

С.А. ФАРБМАН А.Ю. БУН И.М. РАЙХЛИН

РЕМОНТ И МОДЕРНИЗАЦИЯ ТРАНСФОРМАТОРОВ



# ТРАНСФОРМАТОРЫ

Выпуск 29

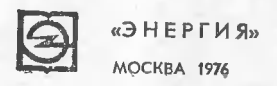
С. А. ФАРБМАНА. Ю. БУНИ. М. РАЙХЛИН

# OKOKK

# РЕМОНТ И МОДЕРНИЗАЦИЯ ТРАНСФОРМАТОРОВ

Издание третье, переработанное и дополненное





УЛК 621.314.2.004.67/.68

### РЕДАКЦИОННАЯ КОЛЛЕГИЯ:

Г. В. Алексенко, В. В. Бритчук, Б. Б. Гальперин, С. Д. Лизунов, А. И. Майорец, И. Ю. Мелешко, Г. Н. Петров, С. И. Рабинович, С. П. Розанов, А. В. Сапожников, Л. Н. Шифрин

> Самуил Аронович Фарбман, Аркадий Юделевич Бун, Илья Маркович Райхлин

# Ремонт и модернизация трансформаторов

Редактор А. И. Аскинази Редактор издательства М. И. Николаева Технический редактор Г. Г. Самсонова Корректор И. А. Володяева

Сдано в набор 23/III 1976 г. Подписано к печати 10/VIII 1976 г. T-15712 Формат 84×1081/32 Бумага машиномелованная Усл. печ. л. 32,34 Уч.-изд. л. 35,75 Тираж 20 000 экз. Зак. 593 Пена 2 р.

Издательство «Энергия», Москва, М-114, Шлюзовая наб., 10.

Московская типография № 10 Союзполиграфпрома при Государственном комитете Совета Министров СССР по делам издательств, полиграфии и книж-ной торговли. Москва, М-114, Шлюзовая наб., 10,

### Фарбман С. А. и др.

Ремонт и модернизация трансформаторов. Изд. Φ 24 3-е, перераб. и доп. М., «Энергия», 1976.

616 с. с ил. (Трансформаторы. Вып. 29).

Перед загл. авт.: С. А. Фарбман, А. Ю. Бун, И. М. Райхлин.

В книге приведены основные сведения о конструкциях и расчетах различных трансформаторов и рассмотрена технология ремонта и модернизации трансформаторов средних (1000 кВ · А) и больших мощ-ностей напряжением до 220 кВ включительно в условиях проведения этих работ на месте эксплуатации.

Даны отдельные справочные и вспомогательные сведения, необхо-

димые, для ремоита и модернизации трансформаторов. Второе издание книги вышло в 1966 г. В третьем издании все сведения как основные, так и вспомога-

тельные значительно обновлены и дополнены.

Книга предназначена для работников, занятых восстановлением и модернизацией трансформаторов. Она рассчитана на инженерно-технических работников, мастеров и квалифицированных рабочих, занятых ремонтом и эксплуатацией трансформаторов.

30307-507 78-76 051(01)-76

6II2.1.082

# ПРЕДИСЛОВИЕ К ТРЕТЬЕМУ ИЗДАНИЮ

Со времени выпуска второго издания (1966 г.) в трансформаторостроении произошли значительные изменения, повышающие качество трансформаторов, а именно: уменьшены потери, облегчена изоляция, снижены габариты и трудоемкость производства. Это достигнуто за счет применения колоднокатаной стали взамен горячекатаной, улучшения систем охлаждения и широкого распространения РПН.

Кроме того, внедрены новые, более совершенные конструкции переключающих устройств, вводов, армату-

ры и охлаждающих устройств.

Это делает не всегда целесообразным ремонт силовых трансформаторов общего назначения, изготовленных по ГОСТ 401-41, поэтому сведений по этим трансформаторам в третьем издании нет. Эти сведения даны

во втором издании.

Целесообразность ремонта трансформаторов, изготовленных по ГОСТ 401-41, должна устанавливаться для каждого трансформатора в отдельности в зависимости от года выпуска, его мощности, потерь холостого хода, состояния магнитной системы и бака. При ремонте этих трансформаторов, в частности реконструкции обмоток и их изоляции, выборе испытательных напряжений, реконструкции отдельных узлов и деталей, а также модернизации трансформаторов, рекомендуется руководствоваться материалами настоящего издания.

Третье издание книги значительно обновлено и допол-

нено.

В третьем издании более подробно описан ремонт магнитопроводов из холоднокатаной стали бесшпилечной конструкции; дана полная номенклатура выпускаемых в настоящее время всеми отечественными трансформаторными заводами силовых трансформаторов общего и специального назначения; приведены новые данные по изоляции трансформаторов, вводам, арматуре

и охлаждающим устройствам; дополнен расчет обмоток с принудительным движением в них масла, а также написана вновь глава «Конструкции и ремонт переключаю-

щих устройств».

При освещении вопросов ремонта и модернизации трансформаторов авторы использовали как свой многолетний опыт, так и практику различных ремонтных организаций и отдельных работников, а также имеющуюся соответствующую литературу. Кроме того, были использованы руководящие технические материалы электропромышленности по трансформаторостроению.

Авторы выражают благодарность инженерам Г. В. Антонову, М. И. Ройзенману и канд. техн. наук В. В. Порудоминскому за помощь в получении отдельных материалов, а также за полезные советы и заме-

чания.

Все замечания по настоящей книге просим направлять по адресу: 113114, Москва, М-114, Шлюзовая наб., 10, издательство «Энергия».

Авторы

# **ВВОДНАЯ**

### ГЛАВА ПЕРВАЯ

# ОСНОВНЫЕ ВИДЫ РЕМОНТНЫХ РАБОТ

В практике имеют место три основных вида ремонтных работ:

1) восстановительный ремонт, когда восстанавливаются или заменяются новыми какие-либо части трансформатора по причине их изношенности или выхода из строя; параметры трансформатора, а также конструкции этих частей при этом не изменяются и остаются

в заводском исполнении;

2) реконструкция, когда конструкция каких-либо частей трансформатора изменяется, а параметры трансформатора остаются при этом без изменения, например изменяется конструкция обмоток вследствие их динамической неустойчивости, в частности концентрическая обмотка заменяется пепрерывной, или изменяется конструкция прессовки (осевой стяжки) обмоток, в частности прессовка путем расклинивания заменяется прессовкой с помощью нажимных колец и прессующих болтов и т. п.;

3) модернизация, когда изменяются параметры трансформатора: мощность, напряжение, ток, схема и группа соединения обмоток и пр.; при модернизации изменяется, как правило, и конструкция отдельных частей

трансформатора: обмоток, отводов, вводов и пр.

Реконструкция и модернизация, строго говоря, не являются ремонтными работами, но, учитывая, что эти работы осуществляются не в заводских условиях, а непосредственно на местах и что при этом переделываются лишь отдельные части трансформатора, тогда как другие именно ремонтируются, оба эти вида работ практически относят к ремонтным. Обычно эти работы приурочиваются к капитальному ремонту трансформатора.

Во всех этих случаях приходится иметь дело с готовым трансформатором и, в частности, с готовыми магнитопроводом и баком, что определяет как активное сечение стали магнитопровода, так и все те размеры и габариты, в которые необходимо укладываться при любом виде ремонтных работ, в том числе и при модернизации.

Помимо указанных трех основных видов ремонтных работ, в практике имеет место еще профилактический ремонт без подъема или с подъемом активной части. Этот вид ремонта сводится в основном к периодическому осмотру трансформатора и устранению различных небольших дефектов, обнаруженных в процессе осмотра.

В настоящей книге этот вид ремонта не рассматри-

вается.

### 1-1. ВОССТАНОВИТЕЛЬНЫЙ РЕМОНТ

Из всех указанных основных видов ремонтных работ восстановительный ремонт является наиболее простым, поскольку в этом случае ничего не изменяется и задача ремонтного персонала сводится только к знанию определенной технологии и умению практически эту технологию выполнить.

Основное требование при восстановительном ремонте— это выполнять по возможности все так, как это было сделано заводом. Если приходится делать некоторые отступления (например, заменять провода обмоток), то они должны быть тщательно продуманы и обоснованы, чтобы не нарушить работоспособности трансформатора и не ухудшать его качественных показателей.

### 1-2. РЕКОНСТРУКЦИЯ

Более сложной является реконструкция той или иной части трансформатора в целях устранения выявленных недостатков и повышения надежности работы, а также

перегрузочной способности трансформатора.

Здесь помимо знания технологии и умения ее применить необходимо находить такое решение, которое отвечало бы своему назначению и которое можно было бы реально осуществить в данных, вполне определенных габаритах.

Рассмотрим несколько примеров.

Пример 1. На химическом заводе работало большое количество преобразовательных трансформаторов иностранной фирмы для

питания ртутных металлических выпрямителей мощностью по  $2\times 5000$  кВ-А, которые систематически выходили из строя. Анализ аварий показал, что основной причиной являлись неудачная конструкция обмоток и ненадежные крепления отводов. Обмотки были выполнены фирмой как многослойные цилиндрические со сложной транспозицией и оказалнсь электродинамически пестойкими. Возникла необходимость реконструкции обмоток, а соответственно и отводов, причем требовалось сохранить все параметры трансформаторов без изменения. Фирма вложила в каждый трансформатор по 4,5 т меди, и заменять такое количество меди было пецелесообразно — надо было использовать старый провод.

Было принято решение выполнить обмотки по типу обмоток наших отечественных преобразовательных трансформаторов, которые зарекомендовали себя как весьма надежные. Однако при новой копструкции обмоток оказалось возможным вложить в существующие габариты трансформатора только 3,5 т старого провода. Это снижало мощность трансформатора с 2×5000 до 2×3500 кВ·А.

Поскольку снижение мощности было недопустимо, одновременно с реконструкцией обмоток была осуществлена реконструкция системы охлаждения: масляное охлаждение с естественной циркуляцией масла было заменено масляно-водяным с принудительной циркуляцией с установкой водяного маслоохладителя и насосов. Это позволило соответственно увеличить плотность тока в обмотках, а возросшие в связи с этим потери отвести более эффективно. Таким образом, в результате проведенной реконструкции обмоток, отводов и системы охлаждения были сохранены требуемые параметры и одновременно достигнута необходимая электродинамическая стойкость, а соответственно и надежность значительного количества трансформаторов, которые после реконструкции работают безаварнйно уже около 20 лет.

Пример 2. На электростанции, питающей ответственных потребителей, работали в блоках мощностью 100 МВт группы однофазных трансформаторов 3×ОДГ-40000/220 Московского электрозавода пмени В. В. Куйбышева. С течением времени изменился характер нагрузки трансформаторов, это вызывало в отдельные периоды их перегрузку выше установленных норм. Такие перегрузки создавали в эти периоды большие превышения температуры масла над оклаждающей средой, что могло привести к аварии. Необходимо было повысить не мощность трансформаторов, а их перегрузочную способность.

Для этого у трансформаторов с системой охлаждения Д была проведена реконструкция этой системы с введением дополнительной ширкуляции масла. По всасывающему маслопроводу насосом ЭЦТ-63/10 горячее масло забирается из-под крышки трансформатора и нагнетается в нижнюю часть бака в среду холодного масла. Эта перекачка как бы номогает естественной циркуляции масла, и за счет ее температура масла по высоте бака усредняется, а так называемый центр охлаждения смещается вниз и масло в верхних слоях становится холоднее. Это позволяет дополнительно перегружать трансформатор.

Наибольшей эффективности эта система достигает при определенной скорости масла, ограниченной не только снизу, но и сверху, чтобы не снижался температурный градиент между верхними и нижними патрубками радиаторов и соответственно теплосъем радиаторов. Скорость масла регулируется задвижкой после насоса. На-

гнетательный маслопровод разветвляется и подает масло по нескольким  $(4\times6)$  патрубкам, расположенным равномерно по периметру бака трансформатора, этим устраняются тепловые перекосы. Впоследствии такая реконструкция была осуществлена на нескольких электростанциях Урала и зарекомендовала себя очень хорошо.

Пример 3. На ряде электростанций в блоках с турбогенераторами мощностью 150 МВт работали трансформаторы типа ТДЦГ-180000/110 Запорожского трансформаторного завода. Их система охлаждения ДЦ была выполнена с навешенными на бак спаренными охлаждающими устройствами, собранными из калори-

феров типа КФБО-11 со стальными трубками.

Тяжелые климатические условия, в которых находились трансформаторы (среднегодовая температура +9°С, летом температура воздуха доходит до 40°С и держится длительное время), а также конструктивные недостатки этих охлаждающих устройств приводили к частым недопустимо высожим натревам и превышениям температур масла в верхних слоях в баже трансформатора. Во избежание аварии приходилось снижать напрузку блока.

Тепловые испытания трансформаторов (в летнее время) подтвердили необходимость реконструкции системы охлаждения. Эта реконструкция была разработана и выполнена сначала на двух траисформаторах, а после проверки ее результатов повторными тепловыми испытаниями — и на всех остальных трансформаторах

с подобной системой охлаждения.

Эта реконструкция заключалась в расщеплении спаренных охлаждающих устройств, в установке на каждое охлаждающее устройство дополнительно по два вентилятора и в вынесении охлаждающих устройств на отдельно стоящие фундаменты. В результате этого теплосъем каждого охлаждающего устройства повысился с 140—160 до реконструкции до 240—270 кВт после реконструкции.

Описанная реконструкция охлаждающих устройств позволила снимать с энергоблоков максимально возможную мощность даже с некоторым запасом по температуре.

# 1-3. МОДЕРНИЗАЦИЯ

Наиболее сложным видом ремонтных работ является модернизация, во время которой изменяются параметры, а соответственно и конструкция отдельных частей трансформатора. В каждом отдельном случае приходится находить свое решение в зависимости от задания, назначения, предъявляемых требований и конструкции подлежащего модернизации трансформатора.

Наибольшие трудности возникают, если требуется повысить мощность трансформатора. Такое требование наиболее часто предъявляется к электропечным трансформаторам, мощность которых оказывается недостаточной по отношению к возросшим производственным

возможностям питаемых ими электропечей.

Повышение мощности трансформатора в существующих габаритах возможно за счет: 1) лучшего использования магнитопровода, т. е. повышения магнитной индукции; 2) вложения в те же габариты большего количества меди; 3) более эффективной системы охлаждения; 4) общего комплекса всех указанных факторов.

Увеличение мощности за счет повышения магнитной индукции, принятой заводом, как правило, исключается, так как готовый магнитопровод обычно рассчитан на

оптимальную магнитную индукцию.

В отдельных редких случаях, при низких значениях магнитной индукции (1,2—1,3 Т) в горячекатаной стали, принятой на заводе, можно допустить небольшое увеличение ее (в пределах 5—10%).

Однако для горячекатаной электротехнической стали значение магнитной индукции во всех случаях не должно превышать 1,48 T, а для холоднокатаной стали 1,65 T.

При стыковой магнитной системе трансформатора допускают меньшее значение магнитной индукции, чем при шихтованной. Для электропечных трансформаторов берут меньшее значение магнитной индукции, чем для силовых общего назначения.

В практике модернизации мощность увеличивают, как правило, или за счет размещения в тех же габаритах большей массы металла обмоточного провода, или за счет применения более эффективной системы охлаждения, или за счет одновременного использования обоих этих мероприятий. Чтобы разместить в тех же габаритах большую массу металла обмоточного провода и при этом сохранить магнитную индукцию, близкую к заводской, а также выдержать необходимые изоляционные расстояния и все прочие требования, вытекающие из задания, назначения и условий работы подлежащего модернизации трансформатора, необходимо, как правило, находить решение, принципиально отличное от заводского как по расположению, так и по конструкции обмоток.

Так, например, электропечные трансформаторы, имеющие чередующиеся обмотки и винтовую обмотку НН в виде коротких катушек с витками из многих параллельных проводов, удается модернизировать с повышением мощности на 60% и более, заменяя чередующиеся обмотки концентрическими и выполняя обмотку НН наружной. Можно обмотку НН выполнить при этом или

дисковой с двойными катушками и большим количеством параллельных групп, располагаемых равномерно по всей высоте стержня, или в виде голых медных цилинд-

ров (см. рис. 3-9,a-8).

Снижение испытательных напряжений промышленной частоты и как следствие облегченная конструкция главной и продольной изоляции позволяет в свою очередь разместить в тех же габаритах большую массу металла обмоточного провода. Это также возможно, если модернизация производится на старых моделях магнитопроводов.

Но увеличение мощности влечет за собой увеличение нагрузочных потерь (потерь короткого замыкания). Это в свою очередь может потребовать замены существующей системы охлаждения более эффективной, например естественно-масляной системы циркуляционной с водя-

ным или воздушным маслоохладителем.

Применяя более эффективную систему охлаждения, можно решить задачу определенного повышения мощности трансформатора без каких-либо других его переделок, обеспечив при этом необходимую термическую стойкость трансформатора, т. е. допустимую температуру обмоток и масла.

Однако электропечные трансформаторы (средних и больших мощностей) имеют, как правило, циркуляционное олаждение, которое с увеличением мощности трансформатора иногда оказывается недостаточным. В этом случае может помочь устройство направленного принудительного циркуляционного охлаждения, когда в нижней части бака создается напорная камера, из которой поступившее в нее из охладителя холодное масло направляется принудительно непосредственно в обмотки и тем самым эффективно их охлаждает. Боле подробные сведения о циркуляционном охлаждении с направленным движением масла и его эффективности даны в приложении 10.

В отдельных случаях, если это допускает технологический процесс, можно увеличить номинальную мощность трансформатора за счет уменьшения общего диапазона регулирования напряжения и повышения нижнего предела этого диапазона. Как известно, при большом диапазоне регулирования и низком пределе его номинальная мощность трансформатора сильно отличается от типовой мощности.

Модель трансформатора выбирается не по номинальной, а по типовой мощности, а типовую мощность определяют количеством закладываемых в трансформатор активных материалов (стали и металла провода). Чем больше диапазон регулирования напряжения и меньше нижний предел этого диапазона, тем больше требуется заложить в трансформатор активных материалов. При этом активное сечение стали определяется магнитной индукцией и числом витков, соответствующим верхнему пределу напряжения, тогда как для получения нижнего предела напряжения приходится включать в обмотку ВН большое число витков. Магнитная индукция при этом падает, и модель оказывается недоиспользованной.

При модернизации имеется готовый магнитопровод, соответствующий типовой мощности трансформатора. Поэтому, уменьшая общий диапазон регулирования и повышая нижний предел напряжения, можно увеличить в определенных пределах номинальную мощность трансформатора и тем самым улучшить использование мо-

дели.

Рассмотрим несколько примеров осуществленной модернизации трансформаторов.

Пример 1. Электропечной трансформатор типа ЭТЦП-1000/10, выпущенный Московским электрозаводом имени В. В. Куйбышева в 1960 г., имел следующие параметры:

| Номинальная  |               |    |     |    |   |  |  |                        |
|--------------|---------------|----|-----|----|---|--|--|------------------------|
| Номинальные  | напражения    |    |     |    |   |  |  | 10 500/178—149—128—    |
|              |               |    |     |    |   |  |  | 112—89 B               |
| Номинальные  | токи          |    |     |    |   |  |  | 248-196/14 600-17 400- |
| 10           |               |    |     |    |   |  |  | 20 300—23 200 A        |
|              |               |    |     |    |   |  |  | $\Delta/\Delta$ -0     |
| Напряжение в | короткого зам | ИЫ | Kai | ни | Я |  |  | 4.87%                  |

В связи с увеличением мощности и изменением режима работы электрической печи, питаемой этим трансформатором, возникла необходимость повысить его поминальную мощность, а также папряжения низкой стороны НН. У трансформатора были заменены обмотки, изменена схема и группа соединений и установлен более мощный маслоохладитель МП-37 вместо стоявшего ранее МП-21.

После модернизации по результатам испытаний трансформатор был перемаркирован на следующие параметры:

| Номинальная мощность . :                            |       |      |         |   |   |   |   |   |                     |
|-----------------------------------------------------|-------|------|---------|---|---|---|---|---|---------------------|
|                                                     |       |      |         |   |   |   |   |   | 5625 κB⋅A           |
| Номинальные напряжения.                             |       |      |         |   |   |   |   |   | 10 500/384—365—347— |
|                                                     |       |      |         |   |   |   |   |   | 292—270 B           |
| Номинальные токи                                    |       |      |         |   |   |   |   |   | 440-418-398-335-    |
|                                                     |       |      |         |   |   |   |   |   | 310/12 000 A        |
| Схема и группа соединений Напряжение короткого замь |       |      |         |   |   |   |   | , | Λ/Y-11              |
| Напряжение короткого замь                           | 11/21 |      | ·<br>ст | • | • | • | • | * | 10,76%              |
| - Printellic Ropo Rolo Samb                         | ina   | TIPL | л       |   |   |   |   |   | 10,10%              |

Пример 2. Промышленному предприятию для питания карбидных электропечей потребовался электропечной трансформатор РПН проходной мощностью 7000 кВ А, напряжением 6300/142—87,5 В. Оно обратилось к электроремонтному предприятию с просьбой изготовить такой трансформатор, переделав из силового трансформатора типа ТМ-7500/35 Московского электрозавода имени В. В. Куйбышева.

Такая переделка потребовала разработки и изготовления фактически нового трансформатора с использованием существующих магнитопровода и бака, в размеры которых необходимо было вписать принципиально другие узлы трансформатора. Здесь необходимо было произвести весьма сложную модернизацию силового трансформатора с изменением не только его параметров, но и назначения, т. е. режима работы.

Силовой трансформатор имел следующие параметры:

| Номинальная мощность           |                            |
|--------------------------------|----------------------------|
| Номинальные напряжения         | 38 000 <u>+</u> -5%/6600 B |
| Номинальные токи               | 107,5—136/656 A            |
| Схема и группа соединений      | $Y/\Delta$ -11             |
| Напряжение короткого замыкания | 7,78%                      |
| Потери холостого хода          | 21 300 Вт                  |
| Потери короткого замыкания     | 70 900 Br                  |

Электроремонтное предприятие ныполнило расчет трансформатора в необходимом объеме и разработало проект, в котором предусматривались и впоследствии были выполнены следующие работы: а) изготовление и установка новых обмоток; б) изготовление и установка нсей изоляции; в) изготовление и монтаж новых отводов ВН с использованием фирменных вводов НН; г) изготовление и монтаж новых отводов НН; д) реконструкция ярмовых балок с изготовлением и установкой осевой прессовки обмоток; е) реконструкция бака для размещения отводов НН и переключающего устройства РПН; ж) замена крышки бака с изготовлением и установкой шинных вводов НН; з) модернизация расширителя с установкой воздухоосушителя; и) установка переключающего устройства типа РНТ-13А-625/35 Тольяттинского электротехнического завода; к) замена масляного охлаждения с естественной циркулянией масла (М) масляно-водяным с принудительной циркуляцией (Ц) с компоновкой всех элементов системы охлаждения на базе маслоохладителя типа МП-37.

Тип трансформатора после модернизации — ЭТПЦ-9500/6М. По результатам испытаний установлены его параметры:

| Номинальная мощность               | 7000—4315 кВ·А<br>6300/142—87,5 В |
|------------------------------------|-----------------------------------|
| Номинальные токи                   | 641-396/28 400 A                  |
| Схема и группа соединений обмоток! |                                   |
| Напряжения короткого замыкания на  |                                   |
| ступени НН 142 В                   | 11,25%                            |
| То же на ступени НН 87,5 В         | 19,8%                             |
| Потери холостого хода              | 13 000 Br                         |
| Потери короткого замыкания         | 139 100 Br                        |

Пример 3. На некоторых электростанциях были установлены повышающие трехобмоточные однофазные трансформаторы типа

ЭДТГ-4000/220, выпущенные Московским электрозаводом за период 1933—1955 гг. Эти трансформаторы работали в блоках с турбогенераторами мощностью 110 МВт и одновременно связывали между собой системы 220 и 110 кВ. Трансформаторы имели следующие параметры:

| Номинальные мощности обмоток                                                   | 40/40/40 MB·A                                |
|--------------------------------------------------------------------------------|----------------------------------------------|
| Номинальные напряжения                                                         | $\frac{242}{\sqrt{3}}$ ±2×2,5%/121/13,8 кВ   |
| Схема и группа соединеиия в трехфазной группе                                  | $Y_0/\Delta/\Delta-11-11$<br>1,45 <u>i</u> T |
| ВН—СН ВН—НН СН—НН Потери холостого хода Потери короткого замыкания в двухобмо- | 22,62%<br>14,42%<br>8,06%<br>117 kBT         |
| точных режимах для:  BH—CH  BH—HH  CH—HH                                       | 275,6 кВт<br>266,2 кВт<br>203,6 кВт          |
|                                                                                |                                              |

Примечание. Напряжения и потери короткого замыкания приведены к мощности обмоток 40 000 кВ-А.

У части этих трансформаторов за время их работы произошел естественный износ изоляции, и поэтому встал вопрос об их капи-

тальном ремонте с заменой обмоток.

Теперь в подобных случаях на электростанциях устанавливаются уже не такие трансформаторы, а повышающие автотрансформаторы, так как при этом повышается взаимное резервирование сетей и исключается необходимость установки дополнительного автотрансформатора связи. Поэтому электроремонтные предприятия Минэнерго по проекту ЦКБ Главэнергоремонта осуществили модернизацию указанных трансформаторов, переделав их в автотрансформаторы.

Как известно, перевод на автотрансформаторную схему повы-

шает проходную мощность, которая становится равной

# $P_{\pi p} = P_{\pi n \pi} / \alpha$ ,

где  $\alpha$  — коэффициент, равный  $(k-1)/k = (U_1-U_2)/U_2$ ; k — коэффициент трансформации.

В нашем случае проходная мощность автотрансформатора бу-

дет равна 80 МВ·А, так как k=2 и  $\alpha=0.5$ .

При модернизации потребовалось изготовить новую обмотку ВН из меди большего в 2 раза сечения, а число витков в обмотке ВН, исходя из сочетаиия напряжений, в 2 раза уменьшить.

Таким образом, объем меди в обмотке ВН автотрансформатора

по сравнению с трансформатором не изменяется.

Но, учитывая, что трансформаторы выполнены на старых моделях магнитопроводов и по старым нормам испытательных напряжений, нашли возможность дополиительного размещения обмоток (до 35%). Это позволило повысить мощность обмотки НН примерно на 17%, а обмоток ВН и СН — более чем на 60%. Применение облегченной конструкции главной и продольной изоляции (согласно новым нормативам трансформаторных заводов) дало возможность разместить в окнах магнитопровода стальные прессующие кольца и заменить расклиновку, т. е. значительно улучшить прессовку обмоток. Кроме того, при изготовлении новых обмоток СН было предусмотрено соединение их в трехфазной группе в звезду, что позволило ликвидировать сдвиг фаз между напряжениями 220 и 110 кВ, который имел место до модернизации трансформаторов.

При модернизации трансформаторов в автотрансформаторы были выполнены следующие работы: а) изготовление и установка новых обмоток ВН, СН и НН, а также главной изоляции; б) изготовление и установка стальных прессующих колец и связанная с этим механическая обработка ярмовых балок; в) выполнение новой схемы отводов и установка нового устройства ПБВ на стороне ВН в связи с увеличением мощности; г) установка новых вводов и трансформаторов тока; д) монтаж контрольных кабелей; е) реконструкция системы охлаждения Д—замена крыльчаток дутьевых вентиляторов крыльчатками новой конструкции; ж) сварочные и механические работы по переделке бака и крышки.

После модернизации по результатам испытаний, проведенных по расширенной программе, автотрансформатор был обозначен

ОДТГА-80000/220 с параметрами:

| Номинальная мощность                            | 66,6/66,6 Авто/46,6 МВ-А                                        |
|-------------------------------------------------|-----------------------------------------------------------------|
| Номинальные напряжения                          | $\frac{242}{\sqrt{3}}$ ±2×2,5%/ $\frac{121}{\sqrt{3}}$ /13,8 кВ |
| Схема и группа соединений в трехфазной группе   |                                                                 |
| тагитная индукция в активнои стали              | $Y_{0 \text{ ABTO}}/\Delta - 0 - 11$<br>1,377 T                 |
| Напряжения короткого замыкания между обмотками: |                                                                 |
| BH—CH<br>BH—HH                                  | 10,3%                                                           |
| CHHH                                            | 16,88%<br>10,62%                                                |
| Потери колостого хода                           | 117 кВт                                                         |
| точных режимах для:                             | 000 1 0                                                         |
| BH—CH<br>BH—HH                                  | 239,1 кВт<br>327,5 кВт                                          |
| СН—НН                                           | 248,6 кВт                                                       |
| рованном режиме при мощностях:                  |                                                                 |
| $CH = 20,0 \text{ MB} \cdot A$ BH—66,6 MB·A     | 335,8 кВт                                                       |
| HH—46,6 MB·A<br>BH—20,0 MB·A } CH—66,6 MB·A     | 335,8 кВт                                                       |
|                                                 |                                                                 |

Модернизация действующих трансформаторов с повышением их мощности и изменением параметров экономически целесообразна и является одним из существенных средств повышения производительности технологических агрегатов.

Так, производственное предприятие «Электропромремонт» Министерства электротехнической промышленности модернизировало на заводах страны с повышением мощности за последние 5 лет 380 электропечных трансформаторов и трансформаторных агрегатов номинальной мощностью 1000—45 000 кВ·А в единице на общую мощность около 2 000 000 кВ·А. Это дало прирост мощности только за счет модернизации около 500 000 кВ·А. Экономический эффект составил при этом 8,5 млн. руб.

Модернизация электропечных трансформаторов с повышением их мощности и изменением параметров производилась на заводах металлургической, химической, машиностроительной, тракторной, автомобильной, судостроительной и других отраслей промышленности непо-

средственно на местах их установки.

Модернизация трансформаторов позволила повысить на заводах указанных отраслей промышленности производительность установленных электропечей, а также освоить технологические процессы получения новых металлов и сплавов.

В свою очередь широкое внедрение в цветной металлургии силовых полупроводниковых преобразователей на электролизе и тяге потребовало модернизации трансформаторов для питания ртутных выпрямителей с целью их использования для питания силовых полупроводниковых выпрямителей. Для этого объединение «Уралэнергоцветмет» модернизировало ряд трансформаторов с полной заменой обмоток и соответствующим увеличением номинальной мощности на 25—30%. При этом наиболее экономичным оказалось использование чолупроводниковых выпрямителей с мостовой схемой выпрямления, при которой обеспечивается повышение мощности и к. п. д. как трансформатора, так и всего преобразовательного агрегата.

Когда повышения мощности не требовалось, трансформаторы модернизировали без замены обмоток только изменением схемы соединения. Типовой проект такой модернизации трансформатора ТМРК-12800/10 был разработан объединением «Уралэнергоцветмет» и разослан заводам цветной метуллургии. В результате было модернизировано около 35 электролизных трансформаторов, что обеспечило экономию электроэнергии свыше

7 млн. кВт ч в год.

# ОСНОВНЫЕ ТРЕБОВАНИЯ, ПРЕДЪЯВЛЯЕМЫЕ К ТРАНСФОРМАТОРАМ

# А. Общие требования

Любой вид ремонтных работ требует грамотного и сознательного выполнения их, а для этого надо знать, от чего зависят работоспособность и надежность того или иного трансформатора.

С этой точки зрения необходимо хотя бы коротко напомнить как общие требования, которые предъявляются к каждому трансформатору, так и специальные дополнительные требования, которые предъявляются к тем или иным трансформаторам или группе трансформаторов в зависимости от их мощности, класса изоляции, назначения и условий работы.

Следует заметить, что технические требования к ремонту силовых трансформаторов общего назначения приведены в технических условиях ТУ 16.519.012-71 Мини-

стерства электропромышленности.

К каждому трансформатору предъявляются приведенные ниже требования, которым он должен во всех случаях удовлетворять.

### 2-1. ЭЛЕКТРИЧЕСКАЯ ПРОЧНОСТЬ

Согласно этому требованию любой трансформатор должен выдерживать различные перенапряжения кратковременные воздействия, которые могут превыщать

рабочее напряжение в несколько раз.

Различают коммутационные перенапряжения, которые воздействуют на трансформатор при всяких переходных процессах и режимах его работы (включение и отключение трансформатора, резкое изменение нагрузки и т. п.), и атмосферные, которые возникают на вводах трансформатора при атмосферных (грозовых) разрядах, а также при перекрытии на линии вблизи трансформатора, т. е. при резком спаде напряжения, так называемом срезе волны напряжения.

Воздействие на трансформатор перенапряжений зависит как от их значения (амплитуды  $U_0$ ), так и от их продолжительности. Амплитуда атмосферных перенапряжений больше, чем амплитуда коммутационных перенапряжений, и доходит до 10-кратного и более значения фазного напряжения, однако продолжительность атмосферных перенапряжений значительно меньше и не пре-

вышает нескольких десятков микросекунд.

На конструкцию и размеры изоляции трансформатора влияют как коммутационные, так и атмосферные перенапряжения, однако при решении вопроса об электрической прочности продольной изоляции трансформатора исходят из анализа явлений, которые имеют место при различных атмосферных перенапряжениях, так как они

оказываются наиболее опасными для этой изоляции обмоток. Амплитуда и форма волны атмосферного перенапряжения, проникающего в обмотки трансформатора, в сильной степени зависят от того, как далеко находится место атмосферного разряда или перекрытия на линии, а также от защиты подстанции и подхода к ней и т. п.

Грозовые разряды вызывают, как правило, отдельные короткие электрические импульсы с большой амплитудой (рис. 2-1). В этих импульсах различают начальный и

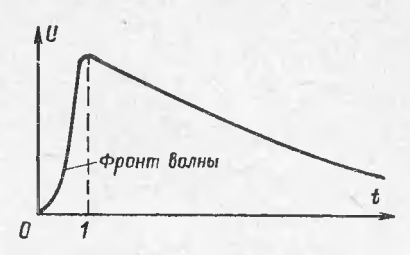


Рис. 2-1. Волна напряжения, имеющая характер апериодического импульса.

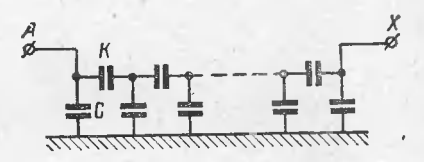


Рис. 2-2. Емкостная цепочка обмотки.

конечный периоды. Начальный период протекает очень быстро, причем время подъема напряжения от нуля до максимума измеряется микросекундами. Эту часть кри-

вой называют фронтом волны (рис. 2-1).

Скорость процесса в начальный период столь велика, что в момент, когда волна с крутым (коротким) фронтом достигает трансформатора, ток не проходит по виткам обмотки вследствие их большого индуктивного сопротивления, а практически протекает по емкостной цепочке обмотки. Иначе говоря, в первый (начальный) момент падения весьма крутой (прямоугольной) волны на трансформатор обмотку его можно приближенно представить как цепочку емкостей С и К (рис. 2-2), считая, что обмотки состоят из отдельных независимых витков.

Hohh

Начальное распределение напряжения по емкостной цепочке обмотки зависит в этот момент от коэффициента  $\alpha = \sqrt{C/K}$ , где C — поперечная емкость, т. е. емкость между катушками и заземленными частями, а K — продольная емкость, т. е. емкость между отдельными элементами продольной изоляции обмотки (рис. 2-2). В обычных трансформаторах  $\alpha = 5 \div 15$ . Как показывает расчет, при таких значениях  $\alpha$  распределение напряжений по емкостной цепочке обмотки крайне неравномерно и почти не зависит от того, заземлен ли конец обмотки или нет.

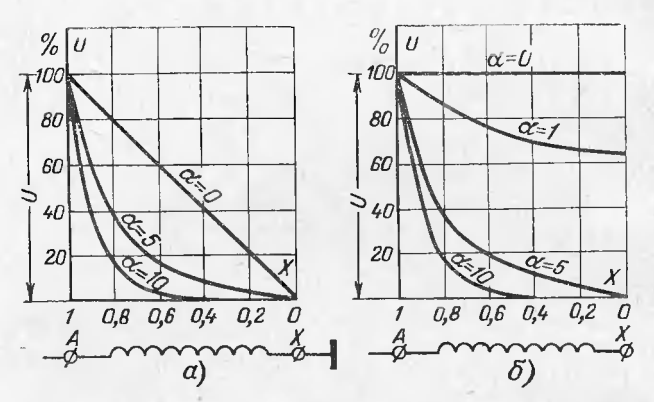


Рис. 2-3. Начальное распределение напряжения по емкостной цепочке обмотки.

a- при заземленном конце обмотки; b- при иезаземленном конце обмотки.

На рис. 2-3 даны кривые начального распределения напряжений по емкостной цепочке обмотки при разных значениях  $\alpha$  как при заземленном (рис. 2-3,  $\alpha$ ), так и при незаземленном (рис. 2-3,  $\delta$ ) конце обмотки. Здесь U — амплитуда фронта волны напряжения; x — расстояние рассматриваемого элемента от конца обмотки в долях полной длины обмотки.

Из кривых рис. 2-3 следует, что в начальный период воздействия волны с крутым фронтом наиболее опасные напряжения возникают для изоляции начальных катушек обмотки. Непосредственно для первых катушек опасные напряжения возникают при резком спаде напряжения— срезе волны, который проискедит при пере-

крытии линии вблизи трансформатора. Форма волны при срезе показана на рис. '2-4.

Явление среза волны опасно тем, что новое распределение потенциалов появится в этом случае под действием

волны с фронтом  $U_1+U_2$ .

Значение обратного пика  $U_2$  зависит от того, как далеко от трансформатора находится место среза волны.

Поэтому часто  $U_1 + |U_2|$  бывает больше амплитулы U.

Итак, в обычных трансформаторах при начальном (емкостном) распределении наибольшее напряжение получается на начальных катушках обмотки.

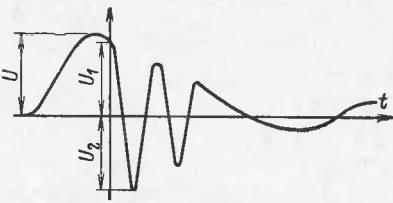


Рис. 2-4. Срезанная волна импульса напряжения.

В связи с наличием индуктивности обмотки первоначальное распределение напряжений переходит в конечное после некоторого колебательного процесса, в котором принимают участие не только емкости отдельных элементов обмотки, но и их индуктивности. Таким образом, в течение переходного процесса схему обмотки трансформатора следует представлять уже в виде элементов емкостей C и K и самоиндукции L (рис. 2-5). При этих колебаниях потенциалы отдельных точек обмотки могут оказаться больше амплитуды волны и во много раз превзойти рабочее напряжение в этих точках (рис. 2-6,a,  $\delta$ ).

Напряжение между отдельными точками (катушками) обмотки (импульсные градиенты) могут также возрасти и быть во много раз больше, чем при нормальном режиме. В результате этого в трансформаторе возможны

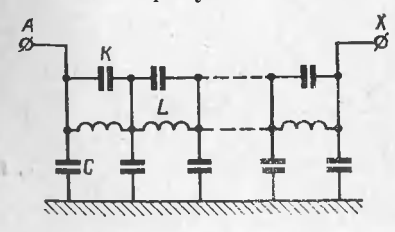


Рис. 2-5. Схема обмотки в виде цепочки индуктивностей и емкостей.

пробои, а также перекрытия (поверхностные разряды) изоляции.

Уровень перенапряжений определяется степенью электрической защиты, осуществляемой разрядниками, и другими видами ее, установленной на подстанциях, трансформаторах и линиях пе-

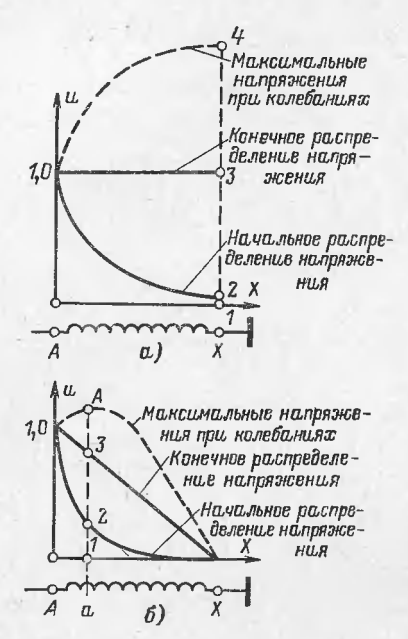


Рис. 2-6. Кривые начального и конечного распределения напряжений.

a — для обмоток с изолированной нейтралью; b — для обмоток с заземлениой нейтралью.

редачи. Эти уровни определяются стандартом на разрядные и испытательные напряжения (ГОСТ 1516-73).

Для проверки соответствия изоляции изготовленного трансформатора на заводах проводятся импульсные испытания (типовые) и испытания изоповышенным пряжением промышленной частоты (50 Гц) в течение 1 мин (контрольные). При ремонтных работах проводятся только контрольные испытания.

Значения испытательных напряжений промышленной частоты для каждого класса изоляции обмоток даны в табл. 2-1.

Изоляция каждого трансформатора как по своей конструкции, так и по расстояниям между токоведущими и заземлен-

ными частями должна выдерживать указанные в табл. 2-1 испытательные напояжения.

В масляном трансформаторе различают внутреннюю (масляную) и внешнюю (воздушную) изоляции. К внутренней (масляной) изоляции относятся главная и продольная изоляции обмоток, а также изоляции отводов,

переключающих устройств и т. п.

Главная изоляция — изоляция данной обмотки трансформатора до заземленных частей и до других обмоток, а продольная изоляция — изоляция между слоями, между витками и между катушками данной обмотки. То же относится к изоляции отводов, переключающих устройств и т. п. К внешней (воздушной) изоляции относятся наружная изоляция вводов, воздушные промежутки между вводами, а также расстояния по воздуху от вводов до заземленных частей.

Испытательные напряжения промышленной частоты (50 Гц) для испытаний главной изоляции обмоток масляных трансформаторов общего назначения вместе с вводами по ГОСТ 1516-73

| Класс напряжения | Наибольшее рабо-      | Испытательное одноминутное напряжение, кВ          |                  |  |  |  |  |
|------------------|-----------------------|----------------------------------------------------|------------------|--|--|--|--|
| обмотки, кВ      | чее напряжение,<br>кВ | по отношению к кор-<br>пусу и другим об-<br>моткам | между фазами     |  |  |  |  |
| 3                | 3,6                   | 18                                                 | 7 - <u>2</u> - 1 |  |  |  |  |
| 6                | 7,2                   | 25                                                 | _                |  |  |  |  |
| 10               | 12,0                  | 35                                                 | -                |  |  |  |  |
| 15               | 17,5                  | 45                                                 |                  |  |  |  |  |
| 20               | 24,0                  | 55                                                 |                  |  |  |  |  |
| 35               | 40,5                  | 85                                                 |                  |  |  |  |  |
| 110              | 126,0                 | 200                                                | 200              |  |  |  |  |
| 150              | 172,0                 | 230                                                | 275              |  |  |  |  |
| 220              | 252,0                 | 325                                                | 400              |  |  |  |  |

Примечание. Испытательные напряжения промышленной частоты для испытаний главной изоляции обмоток масляных трансформаторов для преобразователей вместе с вводами указаны в ГОСТ 16772-71.

В приложении 2 даны для трансформаторов различных классов напряжения допустимые изоляционные расстояния как для главной и продольной изоляций обмоток, так и для изоляции отводов, переключателей ответвлений и вводов.

Указанные расстояния приняты для отечественных

трансформаторов.

Внутренняя изоляция масляного трансформатора состоит: из сплошной твердой изоляции (между соседними витками, между соприкасающимися вплотную изолированными отводами и т. п.), из чисто масляных промежутков (между голыми отводами, между шпилькой ввода и стенкой бака и т. п.) и комбинированной изоляции, т. е. из сочетания масляных промежутков с твердой изоляцией (главная изоляция обмоток, изоляция между катушками и т. п.).

Твердая изоляция в сочетании с маслом применяется

в виде покрытий и барьеров.

Покрытие — слой изоляции, плотно облегающий металл электрода, например, изоляция витка обмотки в масляном промежутке до бака или изоляция отвода в промежутке до ярмовой балки и т. п.

Барьеры — цилиндры, угловые шайбы и другие прямые и фасонные перегородки из твердой изоляции, помещенные в масляном промежутке между электродами.

Как в чистомасляном промежутке, так и в комбинированной изоляции электрическую прочность определяет пробой масла, так как электрическая прочность масла меньше, чем у большинства твердых диэлектриков,

применяемых в трансформаторах.

При твердой изоляции электродов напряженность в масле будет тем меньше, чем меньше диэлектрическая проницаемость твердой изоляции отличается от диэлектрической проницаемости масла. Поэтому изоляция отводов бумагой будет более эффективной, чем изоляция лакотканью, которая имеет более высокую диэлектриче-

скую проницаемость.

При симметричных электродах, т. е. электродах, имеющих одинаковую напряженность электрического поля, например двух круглых стержнях, необходимо изолировать оба электрода. В неоднородном электрическом поле, например острие — плоскость, необходимо изолировать острие как имеющее большую напряженность электрического поля. При электродах отвод — плоскость, например отвод — стенка бака, изоляция отвода дает значительное увеличение пробивного напряжения масляного промежутка.

Барьеры дают эффект лишь при сравнительно небольшой толщине их, которая определяется в основном механической прочностью. Барьеры, как и покрытия, повышают пробивное напряжение масла при напряжении 50 Гц в однородном электрическом поле, причем при голых электродах применение барьеров дает больший эффект, чем при изолированных. Барьеры следует располагать ближе к электроду с меньшим радиусом закругления, например перегородка между обмоткой и

стенкой бака ставится ближе к обмотке.

Барьеры в виде цилиндров между обмотками повышают прочность главной изоляции как при напряжении переменного тока, так и при импульсах, причем барьеры из электрокартона имеют при прочих одинаковых условиях более высокую электрическую прочность, чем конструкция с бумажно-бакелитовыми цилиндрами, так как у электрокартона диэлектрическая проницаемость ниже, а электрическая прочность выше, чем у бумажно-бакелитовых цилиндров.

В неоднородном поле барьер, помещенный вблизи острия, значительно цовышает напряжение полного пробоя в промежутке между электродом и барьером. Эти пробои сначала повреждают поверхность барьера, а при многократном повторении могут вызвать поверхностный разряд вокруг барьера; поэтому размеры барьера должны быть достаточно большими (выступы цилиндров и шайб за обмотки).

Необходимо иметь в виду, что напряженность электрического поля при пробоях в масляных промежутках с увеличением их размеров снижается. Поэтому в главной изоляции обмоток класса 110 кВ и выше канал от обмотки до ближайшего цилиндра, а также между соседними цилиндрами не делают больше 20—25 мм.

Указанное обстоятельство является одной из причин того, что в главной изоляции обмоток класса 110 кВ и выше применяют не один, а два или три цилиндра. Это дает возможность получить относительно небольшие ма-

сляные каналы.

В приложении 2 (рис. П2-1, П2-7 и П2-8) даны конструктивные схемы главной изоляции трансформаторов 110 и 220 кВ.

Применение угловых шайб и плоских, а также угловых барьеров позволяет осуществить значительно более

компактную изоляционную конструкцию.

На повышение электрической прочности внутренней изоляции оказывает большое влияние технологическая обработка изоляции, а именно: удаление влаги из изоляции, степень пропитки твердой изоляции маслом и уда-

ление воздушных включений.

Одним из опасных воздействий на электрическую изоляцию трансформатора является атмосферное перенапряжение. С этой точки зрения, чтобы повысить электрическую прочность и тем самым надежность трансформатора, необходимо соблюдение двух условий: 1) не допускать воздействия волн перенапряжений выше предела, установленного для данного класса изоляции обмоток; 2) выровнять начальное распределение напряжения вдоль обмотки и сблизить его с конечным распределением, чтобы тем самым уменьшить колебания при переходных процессах и снизить перенапряжения между витками и катушками обмотки.

Для выполнения первого условия применяются различные устройства так называемой внешней защиты:

а) заземляющие тросы, протянутые над линией, для защиты как линии, так и соединенных с нею трансформаторов от прямых ударов молнии; б) разрядники для уменьшения амплитуды фронта волны; в) дроссельные катушки для уменьшения крутизны фронта волны и т. п.

Для выполнения второго условия, т. е. для выравнивания начального (емкостного) распределения напряжения, применяется так называемая емкостная защита или емкостная компенсация (емкостные кольца обмоток, экранирующие витки обмотки, экраны емкостной защи-

ты обмотки, специальные конструкции и т. п.).

При классе напряжения до 35 кВ импульсные градиенты невелики и поэтому нет необходимости в применении специальных средств защиты от атмосферных перенапряжений, так как обычная изоляция провода марок ПБ и АПБ, выполненная из телефонной или кабельной бумаги толщиной 0,45 мм на обе стороны, достаточна и для начальных витков и катушек. Провода при напряжении 110 кВ и выше имеют усиленную изоляцию 1,35 мм и больше на обе стороны. Кроме того, у отечественных трансформаторов класса напряжения 110 кВ и выше входные катушки имеют дополнительную, так называемую катушечную изоляцию, для чего эти катушки целиком по радиальному размеру обматываются в полуперекрытие лентой из кабельной бажелизированной бумаги (приложение 2). Однако при номинальном напряжении 110 кВ и выше усиления только продольной изоляции обмотки уже недостаточно, так как с увеличением размеров изоляции, например масляных каналов между входными катушками, уменьшается емкость между ними и возрастает перепад импульсного напряжения (импульсный градиент).

Поэтому для защиты изоляции обмоток у трансформаторов класса изоляции 110 кВ и выше применяются различные способы, сводящиеся к изменению электрической емкости витков или секций обмотки, чтобы обеспечить большие продольные емкости и тем самым получить начальное более равномерное распределение напряжения по виткам, приближающееся к конечному распре-

делению.

Изменение емкости витков обмотки достигается присоединением к ним специальных экранирующих витков или емкостных колец, создающих дополнительные емкости. Различная емкость экранирующих витков обмотки

достигается различным расстоянием между ними и экра-

нируемыми секциями.

Для снижения максимальных градиентов между витками первых катушек обмотки применяются емкостные кольца. Благодаря дополнительной емкости, создаваемой емкостным кольцом обмотки между первым и последующим витками первой катушки, перенапряжения, прихо-

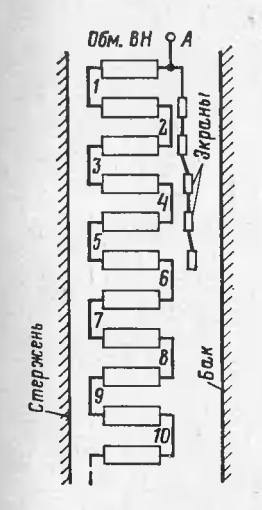


Рис. 2-7. Схема обмотки с частичной емкостной защитой с помощью экранирующих витков обмотки.

1-10 — катушки.

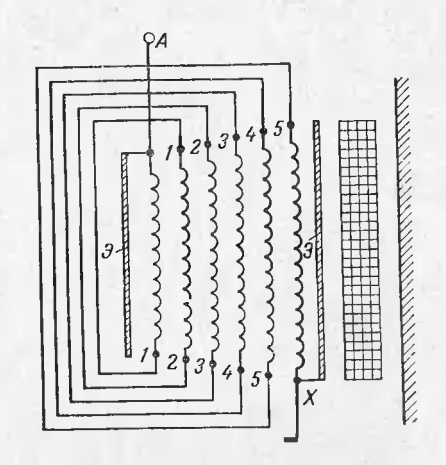


Рис. 2-8. Схема экранированной многослойной обмотки высокого напряжения.

1-5— слои обмотки;  $\Im$ — экран емкостной защиты трансформатора.

дящиеся на эту катушку, распределяются по ее виткам более равномерно. Кроме того, емкостные кольца обмотки выполняются с закругленными краями, что обеспечивает выравнивание электрического поля у краев обмотки.

Для защиты входных катушек обмотки в последнее время стали применять так называемую градацию изоляции, при которой различная емкость входных катушек обмотки достигается различной толщиной изоляции входных катушек и различным размером масляного канала между катушками, причем у первых катушек он равен 6—8—10 мм и увеличивается постепенно у последних до 12—14—16 мм.

В результате изоляция трансформаторов с учетом внешней защиты их от перенапряжений надежно противостоит воздействиям последних. Такие трансформаторы называются грозоупорными (рис. 2-7 и 2-8).

Технология изготовления различных элементов изоляции, а также средств емкостной защиты описана в гл. 8.

### 2-2. ТЕРМИЧЕСКАЯ СТОЙКОСТЬ

Изоляционные материалы в трансформаторах быстро разрушаются, если они подвергаются длительному воз-

действию температуры свыше 100°С.

Чем выше температура обмоток, тем интенсивнее происходит старение их изоляции. Опытным путем установлено, что повышение температуры на 8°С сокращает срок службы масляного трансформатора примерно в 2 раза. Продолжительность службы каждого трансформатора рассчитывается на срок его амортизации (обычно 20 лет). Если в течение этого срока изоляция трансформатора работает нормально, то такой трансформатор называют термически стойким. У трансформатора, обладающего термической стойкостью, ни одна часть не должна перегреваться сверх установленных норм при работе на номинальную мощность в заданном режиме нагрузки. Кроме того, трансформатор должен выдерживать в течение своего срока службы короткие замыкания, которые могут иметь место во время эксплуатации.

Наибольшие допустимые температуры и превышения этих температур над температурой окружающей среды отдельных частей масляных трансформаторов при номинальной мощности и длительном режиме как при естественно-масляном, так и при циркуляционно-масляном охлаждении не должны превышать значений, указанных в табл. 2-2. Эти температуры не должны непрерывно поддерживаться в трансформаторе путем форсирования его нагрузки, так как это значительно сократит срок его службы. Указанные температуры установлены исходя из того, что температура окружающей среды колеблется в течение суток и года: так же колеблется и нагрузка. Лишь при этом условии приведенные выше температуры допустимы и обеспечивают работу трансформатора в течение нормального срока его амортизации.

Для трансформаторов, работающих с дутьем, обычно указывается номинальная мощность как при включен-

### Наибольшие допустимые превышения температуры отдельных частей масляного трансформатора над температурой окружающей среды

Температура охлаждающей среды при этом не должна быть выme:

а) для воды — 25°C у входа в охладитель;

б) для гоздуха — естественно изменяющаяся температура охлаждающего воздуха не выше плюс 40 и не ниже минус 45°C:

кроме того: а) средняя суточная температура воздуха не выше

плюс 30°С;

б) среднегодовая температура воздуха не выше плюс 20°С.

| Части трансформатора                                                         | Допустимые превышения температуры, °C | Метод испытания              |
|------------------------------------------------------------------------------|---------------------------------------|------------------------------|
| Обмотки                                                                      | 65                                    | Измерение сопро-<br>тивления |
| Поверхности магнитопровода и конструктивных элементов Масло в верхних слоях: | 75                                    | С помощью термометра         |
| исполнение герметизированное или с устройством, полностью защищающим масло   | 60                                    | То же                        |
| от соприкосновения с окру-<br>жающей средой<br>в остальных случаях           | 55                                    | 79 37                        |

Примечания: 1. Для электропечных трансформаторов, работающих внутри помещений, где окружающий воздух может длительно иметь температуру плюс 40°С, допустимые превышения температуры меньше на 10°С. 2. Для обмоток трансформаторов для преобразовательных установок допустимые превышения температуры плюс 60°С.

3. Для обмоток трансформаторов питания преобразовательных установок, обмоток встроенных уравнительных реакторов, токоограничивающих реакторов схем РПН и других встроенных в баки трансформаторов изделий в отдельных случаях допускается превышение температуры до 65°C.

4. В трансформаторах мощностью более 63 МВ А и в трансформаторах,

4. В трансформаторах мощностью облее 63 м.В. А и в трансформаторах, питающих преобразовательные агрегаты с напряжением преобразователя до 100 В и током свыше 6300 А, в отдельных точках матнитопровода и конструктивных элементов допускается превышение температуры металлических поверхностей до 85°С, если испытаниями доказано, что это превышение нигде не превзойдено.

ном, так и при отключенном дутье. У отечественных трансформаторов эта мощность при отключенном дутье равна 50% мощности при включенном дутье; у трансформаторов для преобразовательных устройств — 60%; у трансформаторов иностранных фирм она составляет 60-80%.

Трансформаторы с масляно-водяным и масляно-воздушным циркуляционным охлаждением должны всегда работать при включенном охлаждении независимо от нагрузки, так как охлаждающая поверхность этих трансформаторов, имеющих гладкие баки, при естественном масляном охлаждении настолько мала, что она не может отвести даже потерь холостого хода мощных транс-

форматоров 1.

В трансформаторах мощностью не более 250 МВ·А с охлаждением ДЦ и Ц в случае аварийного прекращения искусственного охлаждения (прекращение работы вентилятора при охлаждении ДЦ, циркуляции воды при охлаждении Ц, циркуляции масла при охлаждении ДЦ и Ц) допускается поддерживать номинальную нагрузку в течение 10 мин (или режим холостого хода в течение 30 мин) после прекращения искусственного охлаждения. Если по истечении указанного времени температура верхних слоев масла не достигла 80°С, допускается поддерживать номинальную нагрузку до достижения температуры верхних слоев масла 80°С, но не более 1 ч после прекращения искусственного охлаждения.

Данный пункт распространяется и на случай одновременного прекращения работы водяных и масляных насосов при охлаждении Ц или масляных насосов и вен-

тиляторов при охлаждении ДЦ.

Для трансформаторов мощностью более 250 MB·A

применяют те же нормы, но заменяют 80 на 75°C.

Короткое замыкание трансформатора, как правило, длится очень недолгое время. Однако температура обмоток может достигнуть за это время значения, опасного для целости изоляции. В связи с тем, что в нормальной эксплуатации короткие замыкания бывают относительно редко, считают допустимой температуру для кратковременного нагрева медных обмоток 250 и алюминиевых обмоток 200°С.

В этих условиях нагрева длительность короткого замыжания согласно союзным нормам (ГОСТ 11677-65)

<sup>&</sup>lt;sup>1</sup> По ГОСТ 11677-65.

В трансформаторах с естественной циркуляцией масла и дутьем (охлаждение Д) при отключении всех вентиляторов допускается номинальная нагрузка в течение следующего времени в зависимости от температуры окружающего воздуха:

равна  $\tau = 900/k^2$  (но не более 5 с), где k — кратность установившегося тока короткого замыкания, т. е.

$$k = I_{\rm K}/I_{\rm H} = 100/u_{\rm K}$$
.

В табл. 2-3 даны кратности установившегося тока короткого замыкания k и допустимые длительности  $\tau_{\rm K}$  протекания его в зависимости от напряжения короткого замыкания  $u_k$ .

Таблица 2-3 Допустимые кратности и длительности тока короткого замыкания в зависимости от  $u_{\rm K}$ 

| u <sub>K</sub> , % | Кратность <i>k</i> | τ <sub>K</sub> , c | u <sub>K</sub> , % | Кратность <i>k</i> | т <sub>к</sub> , с |
|--------------------|--------------------|--------------------|--------------------|--------------------|--------------------|
| 4,0                | 25                 | 1,45               | 7,0                | 14,3               | 4,4                |
| 5,0                | 20                 | 2,25               | 7,5                | 13,3               | 5,1                |
| 5,5                | 18,2               | 2,8                | 8,0                | 12,5               | 5,7                |
| 6,5                | 15,4               | 3,75               | 10,5               | 9,5                | 10,0               |

В каждом трансформаторе имеют место потери холостого хода (потери в активной части магнитопровода) и нагрузочные потери при нагрузке в металле обмоток и отводов, а также в конструкциях. Все эти потери должны быть отведены в окружающую среду, иначе отдельные части трансформатора нагреются до недопустимо высоких температур и разрушат изоляцию трансформатора.

В приложении 10 даны краткие сведения об охлаждающих устройствах, которые находят применение в различных трансформаторах для отвода тепла.

Для того чтобы любая система охлаждения была эффективной, необходимо обеспечить свободный доступ масла ко всем частям трансформатора, в частности к магнитопроводу и обмоткам. С этой целью как в магнитопроводе, так и в обмотках, а также между обмотками устраивают охлаждающие каналы. Размеры каналов оказывают существенное влияние на эффективность отвода тепла, а соответственно и на температуру обмоток. С этой точки зрения ширина канала не должна быть меньше 1% его высоты и не меньше 5 мм независимо от высоты.

При чередующихся обмотках в трансформаторах со стержневыми магнитными системами размер канала в осевом направлении в обмотке должен быть не меньше 10% радиального размера обмотки.

# 2-3. ЭЛЕКТРОДИНАМИЧЕСКАЯ СТОЙКОСТЬ

Механические усилия в обмотках трансформатора возникают от взаимодействия тока, протекающего в обмотке, с магнитным полем рассеяния.

Поле рассеяния трансформатора может быть представлено как сумма двух полей: продольного, линии маг-

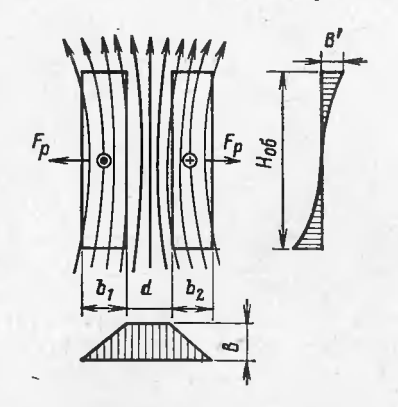


Рис. 2-9. Продольное и поперечное поля рассеяния при концентрических обмотках.

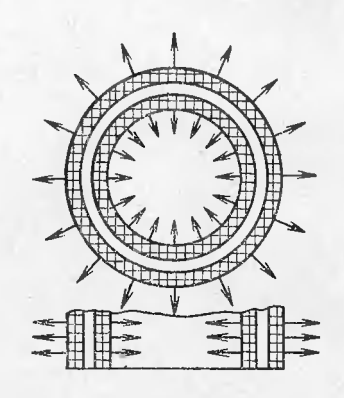


Рис. 2-10. Растягивающие и сжимающие радиальные силы при концентрических обмотках.

нитной индукции которого направлены параллельно оси обмотки, и поперечного, магнитные линии которого расходятся радиально (рис. 2-9).

В концентрических обмотках взаимодействие продольного поля рассеяния с токами, протекающими по обмоткам, вызывает радиальные усилия  $F_{\rm p}$ , которые действуют на обмотки, стремясь растянуть радиально наружную обмотку и, наоборот, сжать внутреннюю обмотку (рис. 2-10).

Взаимодействие поперечного поля рассеяния с токами, протекающими по обмоткам, вызывает осевые усилия  $F_{\rm oc}$ , которые стремятся сжать обмотки по их высоте. В симметричных обмотках значения сжимающих усилий малы и обычно не учитываются. Однако в несимметричных обмотках, имеющих неодинаковую высоту и нерав-

номерное распределение витков с током по высоте стержня, осевые усилия стремятся увеличить ту несимметрию, в силу которой они возникли, и могут достигнуть больших и опасных значений (рис. 2-11).

При чередующихся обмотках распределение осевых  $F_{\rm oc}$  и радиальных  $F_{\rm p}$  усилий отличается от распределения в концентрических обмотках (рис. 2-12). Для чере-

дующихся обмоток поток рассения направлен радиально и механические усилия в каждой магнитно-уравновешенной труппе будут стремиться отделить обмотки од-

Рис. 2-11. Осевые силы при несимметричных концентрических обмотках.

Рис. 2-12. Осевые и радиальные силы в чередующихся обмотках.

пой группы от другой. Поэтому две крайние обмотки будут оказывать давления на верхние и нижние ярма, а все средние обмотки будут испытывать сжимающие силы, равные  $F_{\rm oc}$ .

Радиальные усилия при чередующихся обмотках и их одинаковых радиальных размерах малы и не учиты-

ваются

Как радиальные, так и осевые усилия достигают наибольших значений при коротких замыканиях. Поэтому при механических расчетах учитывается не только установившийся ток короткого замыкания, но и затухающая постоянная составляющая тока короткого замыкания.

Требование электродинамической стойкости состоит в том, чтобы ни одна часть трансформатора не могла деформироваться даже при повторном действии весьма больших сил, которые возникают при коротких замыка-

ниях и действуют на обмотки и другие детали трансфор-

матора.

Согласно союзным нормам (ГОСТ 11677-65) трансформаторы должны выдерживать без повреждений и

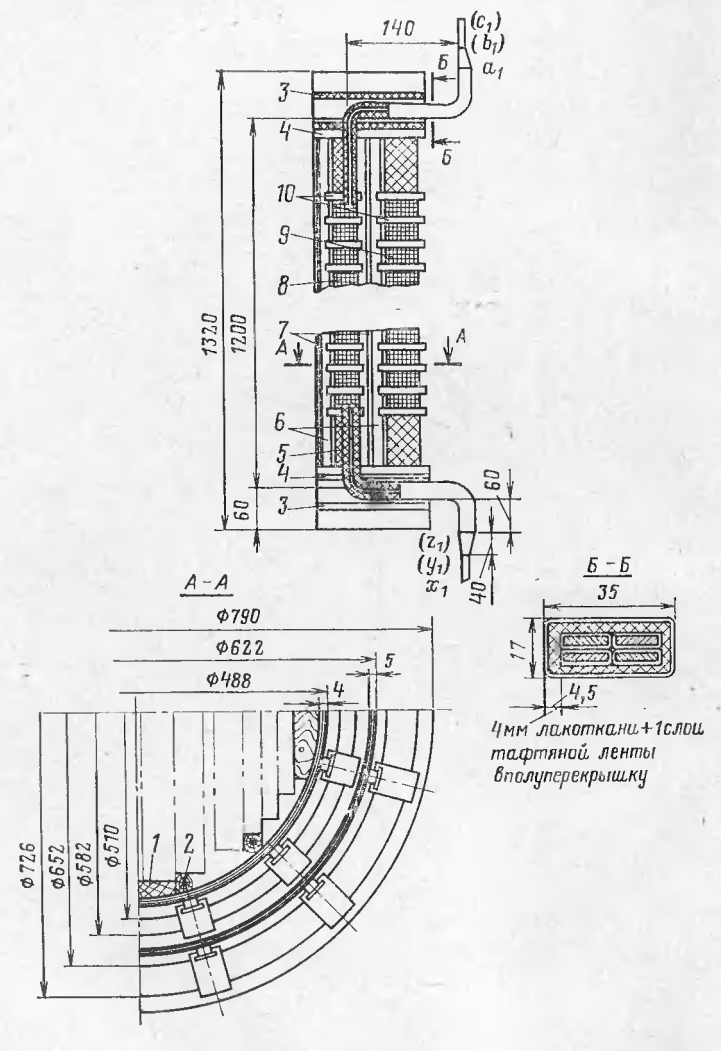
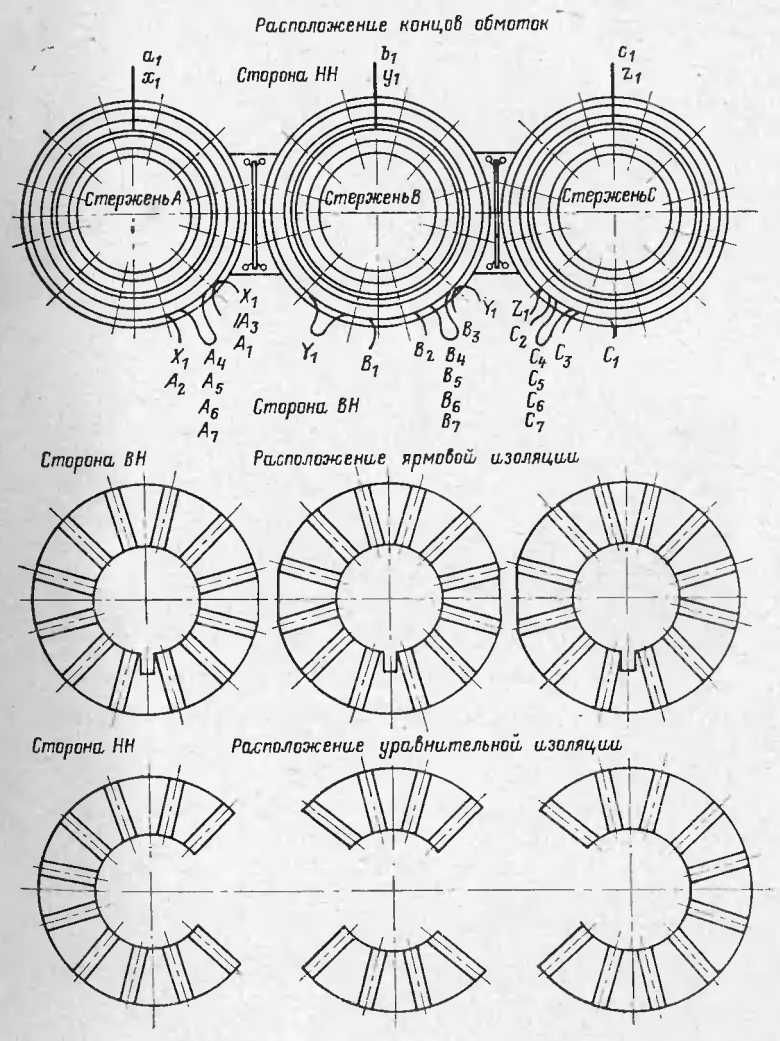


Рис. 2-13. Установка обмоток

/ — деревянные расклинивающие планки;
 / — деревянные расклинивающие вые кольца;
 / — электрокартонные рейки;
 / — бумажно-бакелитовые цилиндры;
 электро

остаточных деформаций внезапные короткие замыкания на зажимах вторичной обмотки при значениях установившегося тока короткого замыкания, не превышающих 25-кратного номинального тока обмотки.



трансформатора типа ТД-10000/35.

стержни; 3 — уравнительная изоляция; 4 — ярмовая изоляция; 5 — уравнителькартона. HH: 9 — обмотка  ${\rm BH}$ ; 19 — дистанционные прокладки из

Исходя из требований электродинамической стойкости обмотки трансформатора должны быть надежно закреплены как в радиальном, так и в осевом направлениях. На рис. 2-13 дан чертеж установки обмоток, из которого следует, что внутреннюю обмотку расклинивают относительно магнитопровода деревянными круглыми стержнями и фасонными планками.

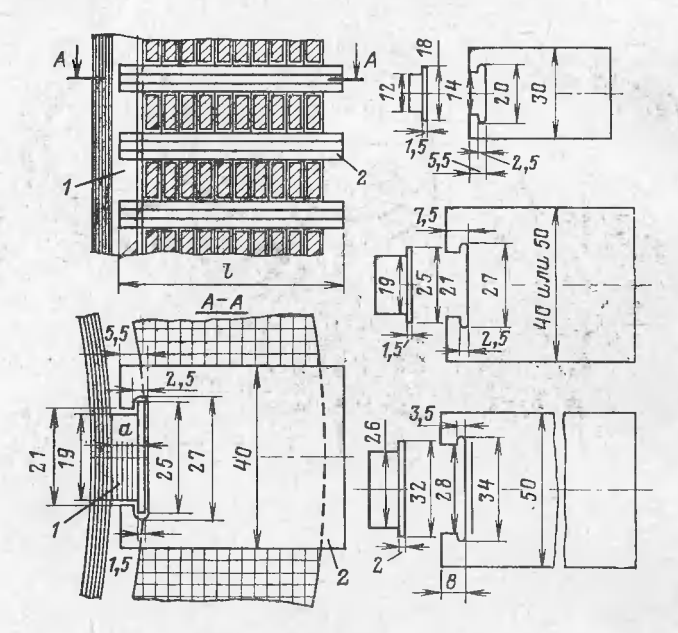


Рис. 2-14. Рейки и прокладки из электрокартона для непрерывных, винтовых и других обмоток.

l — рейка; 2 — прокладки; a — толщина рейки; l — длина прокладки.

Внутренняя непрерывная или винтовая обмотка отделяется от цилиндра наружной обмотки выступами прокладок, образующими горизонтальные масляные каналы во внутренней обмотке. Между выступом прокладки, считая от середины ее торца, и цилиндром наружной обмотки оставляют зазор 2—3 мм.

Прокладки, образующие горизонтальные масляные каналы в наружных обмотках, имеют выступы за радиальный размер обмотки. (Выступ прокладок и шайб за радиальный размер наружной обмотки у трансформаторов до 35 кВ включительно равен 10 мм и у транстально разен 10 мм и у транстально разе

форматоров 110 кВ и выше до 15 мм.)

Способность трансформатора выдерживать короткие замыкания в значительной мере зависит от того, насколько плотно обмотки зажаты в осевом направлении.

В непрерывных, а также винтовых обмотках горизонгальные масляные каналы образуются прокладками из
электрокартона. У прокладок с одного торца выштамповываются вырезы в виде ласточкина хвоста. Этими вырезами прокладки закрепляются на продольных вертикальных рейках (рис. 2-14). Число реек, а соответственно и прокладок по окружности определяется расчетом
на механическую прочность обмоток при коротких замыканиях.

Для ориентировки могут служить следующие данные:

Трансформаторы  $630-1000~{\rm kB\cdot A}$  . . Трансформаторы  $1600-6300~{\rm kB\cdot A}$  . . Трансформаторы  $10\,000~{\rm kB\cdot A}$  и выше

8—10 реек 10—12 реек

Число реек должно быть таким, чтобы расстояние между их осями по среднему диаметру наружной обмотки было 150—200 мм

35

У большинства выпускавшихся ранее отечественных трансформаторов, а также трансформаторов зарубежных фирм осевая прессовка (стяжка) обмоток производилась клиньями, забиваемыми равномерно между верхним ярмом и обмоткой. Вследствие усушки деталей продольной изоляции из электрокартона, а также ярмовой, опорной и уравнительной изоляции осевая прессовка может нарушиться и тогда клинья полностью или частично выпадут. Это приводит к выходу из строя трансформаторов, в особенности электропечных и преобразовательных, работающих в тяжелых условиях (часты аварийные режимы). Поэтому как при ремонтах, так и в особенности при модернизации таких трансформаторов осевую прессовку обмоток путем расклинивания целесообразно заменять прессовкой с помощью нажимных колец и прессующих болтов (рис. 2-15,а), которую, как правило, применяют у трансформаторов больших мощностей. Однако для установки такого прессующего устройства необходимо иметь дополнительное место по высоте окна магнитной системы 60-90 мм, которого в данном готовом магнитопроводе может не оказаться. В этом случае различные другие решения, которые даны в приложении 4.

В процессе эксплуатации происходит усадка обмоток вследствие усыхания бумажно-картомной изоляции. По-

этому приходится время от времени подпрессовывать обмотки, подвинчивая нажимные винты, что требует периодического вскрытия трансформатора. Чтобы этого избежать, были разработаны различные конструкции автоматической подпрессовки обмоток в процессе работы трансформатора.

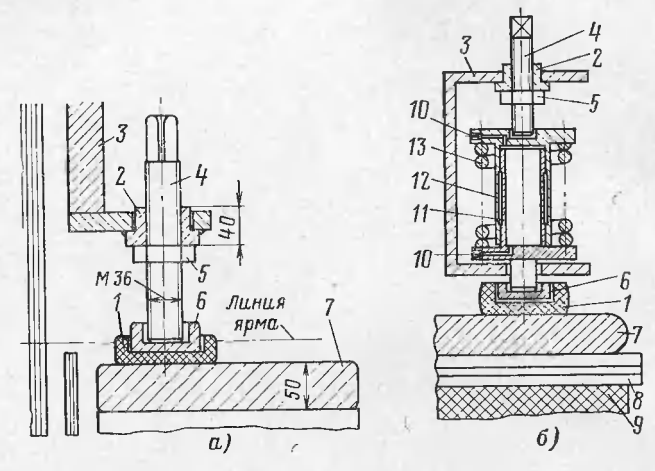


Рис. 2-15. Осевая прессовка обмоток.

a— при помощи стального прессующего кольца и нажимных винтов; b— поередством гидропружинного запорного устройства; I— текстолитовый башмак; 2— фасонная гайка; 3— ярмовая балка; 4— стальной нажимной винт; b— контргайка; b— стальной башмак; b— стальное прессующее кольцо; b— ярмовая изоляция; b— обмотка; b— ниппеля; b— винтовая пружина.

Наиболее эффективной является конструкция с гидропружинным запорным устройством (рис. 2-15,6), простая и дешевая в изготовлении, оправдавшая себя на ряде мощных трансформаторов 110—220 кВ и реакторов 500 кВ (разработана работниками «Мосэнергоремонта»).

Гидропружинное устройство конструктивно представляет собой два вставленных один в другой стальных взаимно подвижных цилиндра (стакана) 11 и 12, заполненных трансформаторным маслом и совмещенных со сжатой винтовой пружиной 13, расположенной снаружи цилиндров (рис. 2-15,6). При усадке изоляции обмоток стаканы под воздействием разжимающейся пружины раздвигаются и во внутреннюю их полость засасывается из бака трансформатора дополнительно необходимое количество масла через отверстия нижнего и верхнего

ниппелей 10. При коротком замыкании электродинамические усилия от обмоток передаются на гидродомкраты, давление масла в полостях цилиндров резко возрастает и масло запирается конусной частью ниппеля. Гидропружинное устройство размещается между прессующим кольцом 7 и нажимными винтами 4.

Возможны и другие варианты описанной конструкции. На рис. 2-15,6 показан вариант установки гидро-

пружинного устройства в ярмовой балке 3.

В процессе сборки после сушки активной части завинчивают нажимные винты до упора в стаканы и навинчивают контргайки, а далее в процессе работы трансформатора подпрессовка происходит автоматически. Трансформаторное масло, которым заполнен резервуар гидропружинного домкрата, выдерживает ударные нагрузки очень большой силы. Поглощая энергию удара, масло служит прекрасным амортизатором.

# Б. Специальные требования

Специальных требований может быть очень много. Поэтому мы ограничимся рассмотрением лишь основных дополнительных требований, которые должны быть учтены при ремонте, реконструкции и модернизации трансформаторов.

### 2-4. ВОЗМОЖНОСТЬ ПАРАЛЛЕЛЬНОЙ РАБОТЫ

Требованию о возможности работать параллельно должны удовлетворять, как правило, силовые трансформаторы общего назначения.

Параллельной работой двух трансформаторов и более считается работа, при которой одноименные вводы этих

трансформаторов соединены как с первичной, так и со

вторичной стороны.

При идеальной параллельной работе необходимо выполнять условия: 1) между трансформаторами не должны протекать уравнительные токи; 2) токи нагрузки должны совпадать по фазе; 3) токи нагрузки должны распределяться между трансформаторами пропорционально номинальным мощностям последних.

Чтобы это обеспечить, необходимо соблюдение сле-

дующего.

1. Напряжения обмоток и коэффициенты трансфоргимации должны быть одинаковыми; различаться они могут в соответствии с допусками по ГОСТ 11677-65. Для коэффициентов трансформации этот допуск составляет: а)  $\pm 1\%$  для трансформаторов, у которых эти коэффициенты меньше 3; б)  $\pm 0.5\%$  для всех прочих трансформаторов, а также для автотрансформаторов с высшим напряжением 10 кВ и более.

2. Напряжения короткого замыкания должны быть одинаковыми и могут различаться на ±10% (допуск

по ГОСТ 11677-65).

3. Группы соединений должны быть тождественными.

# 2-5. ПОВЫШЕННАЯ ЭЛЕКТРОДИНАМИЧЕСКАЯ СТОЙКОСТЬ

Этому требованию должны, как правило, удовлетворять преобразовательные трансформаторы для питания

ртутных выпрямителей, а также электропечные.

В ртутных выпрямителях вследствие различных причин происходят «обратные зажигания», когда один из анодов мгновенно делается катодом и токи от других анодов устремляются к нему. В этом случае обмотки трансформаторов, питающие ртутные выпрямители, претерпевают очень большие механические усилия, вследствие чего требуется усиление электродинамической стойкости обмоток и отводов у трансформаторов, питающих ртутные выпрямители.

В свою очередь электропечные трансформаторы часто работают в тяжелых условиях резко изменяющейся нагрузки, значения которой изменяются в пределах холостой ход — короткое замыкание. При этом обмотки и отводы электропечных трансформаторов претерпевают значительные усилия, возникающие при частых внезанных коротких замыканиях. Поэтому обмотки и отводы у электропечных трансформаторов должны иметь повы-

шенную электродинамическую стойкость.

Может быть очень много специальных дополнительных требований к тем или иным трансформаторам или группе трансформаторов в зависимости от их мощности, класса изоляции, назначения и условий работы; в частности, отметим следующие (оказывающие влияние на конструкцию трансформаторов): род установки — наружный или внутренний и как следствие различные типы и конструкции вводов; диапазон регулирования напря-

жения, система и способ регулирования, число ступеней, переключение обмоток трансформатора без возбуждения или под нагрузкой, способ переключения, система привода и т. п.

### ГЛАВА ТРЕТЬЯ

# КОНСТРУКТИВНЫЕ ОСОБЕННОСТИ ТРАНСФОРМАТОРОВ СПЕЦИАЛЬНОГО НАЗНАЧЕНИЯ

Основным типом трансформатора является силовой трансформатор общего назначения. Различные конструкции этих трансформаторов подробно описаны в соответствующей литературе [Л. 2, 4, 6]. Поэтому в гл. 3 конструкции силовых трансформаторов общего назначения не рассматриваем. Отдельные справочные данные, необходимые при ремонте, реконструкции и модернизации трансформаторов, даны в приложениях.

Рассмотрим кратко конструктивные особенности некоторых трансформаторов специального назначения, в частности электропечных, преобразовательных и регулировочных, с которыми часто приходится иметь дело

ремонтным работникам.

### 3-1. ЭЛЕКТРОПЕЧНЫЕ ТРАНСФОРМАТОРЫ

Электропечные трансформаторы имеют следующие отличительные особенности: а) низкие вторичные напряжения (десятки и сотни вольт); б) большие вторичные токи, доходящие в отдельных установках до 100 000 А и более (карбидные печи мощностью 40 000 и 60 000 кВ·А); в) электродинамическая стойкость при частых коротких замыканиях; г) большой диапазон и многоступенчатость регулирования напряжения (в отдельных установках до 50% при нескольких десятках ступеней); д) возможность регулирования по фазам в отдельных установках (прямоугольные карбидные и ферросплавные печи с расположением электродов по продольной оси в одной плоскости); е) способность к значительным перегрузкам; ж) герметичность и нечувствительность к загрязнению (работа в условиях металлургического и химического производства).

Электропечные трансформаторы выполняются как однофазными, так и трехфазными. Они строятся как со стержневой, так и с броневой магнитной системой. Пре-

обладают электропечные трансформаторы (отечественные) со стержневой магнитной системой.

Магнитопроводы у таких трансформаторов аналогич-

ны трансформаторам общего назначения.

Эти трансформаторы выполняются как с чередующимися, так и с концентрическими обмотками.

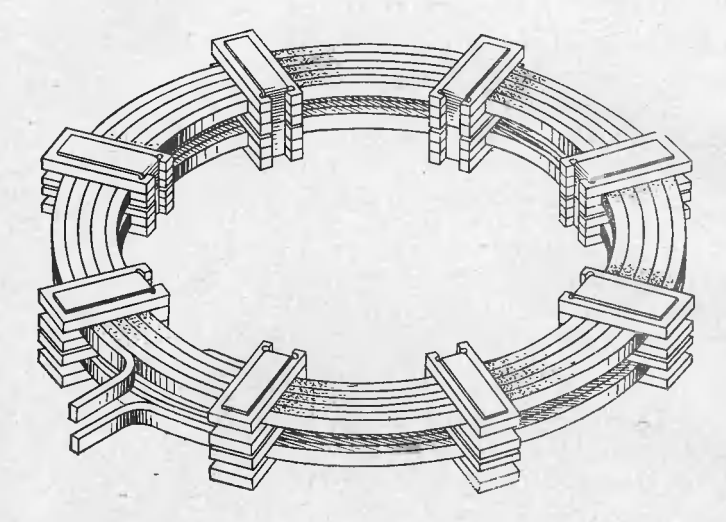


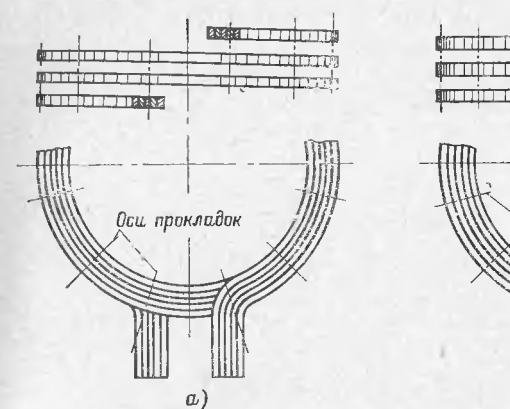
Рис. 3-1. Двойная дисковая катушка с замковыми прокладками.

В отечественных конструкциях с чередующимися обмотками обмотки ВН выполняются в виде нескольких двойных дисковых катушек (рис. 3-1), а обмотки HH—винтовыми из «коротких» катушек с витками из многих параллельных проводов (рис. 3-2,a,  $\delta$ ).

Для возможности припайки большого количества параллельных проводов, составляющих концы катушек, к шинным отводам концы последних предварительно

обрабатывают (рис. 3-3).

В зависимости от мощности, а соответственно и тока чередующиеся обмотки позволяют иметь на каждом стержне несколько одинаковых параллельных цепей. Это в сочетании с большим сечением витка обмотки НН, выполняемого из многих параллельных проводов, дает возможность строить электропечные трансформаторы на относительно большие вторичные токи. Для того чтобы иметь при этом относительно небольшое напряжение



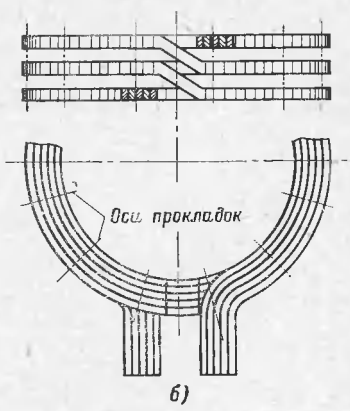


Рис. 3-2. Короткая катушка винтовой обмотки **с** витками из многих параллельных проводов.

a — без перегиба проводов; b — с перегибом проводов.

рассеяния, в каждой параллельной цепи делается несколько одинаковых групп чередующихся катушек, причем способы чередования катушек ВН и НН могут быть в отдельных трансформаторах различными, в особенно-

сти при наличии в одной из обмоток (обычно ВН) регулировочных витков. Однако при любом чередовании катушек ВН и НН обмотки обязательно должны быть расположены симметрично как по отношению друг к другу, так и по отношению к вертикальной, а также средней по высоте горизонтальной осям (рис. 3-4,а, б). Такое расположение необходимо потому, что всякая несимметрия вызывает увеличение напряжения рассеяния, а также добавочных потерь и механических усилий. При чередующихся обмотках магнитные потоки рассеяния. замыкаясь каждый вокруг своей обмотки, проходят па-

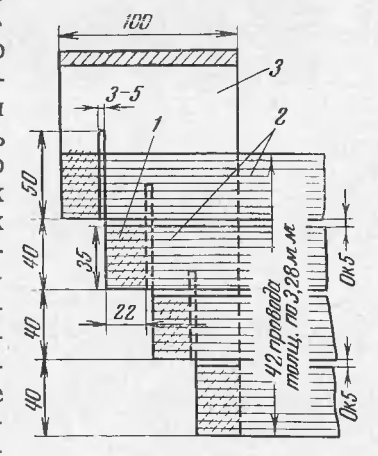


Рис. 3-3. Припайка большого количества параллельных проводов к концу шинного отвода. 1— площадь пайки; 2— параллельные провода; 3— обработанный колец шинного отвода.

раллельно радиальному размеру проводов, образующих витки, и перпендикулярно их осевым размерам (рис. 3-5). Поэтому параллельные провода витка НН не требуют перекладки (транспозиции). Наоборот, провода будут пересекаться линиями магнитного поля рассеяния по осевой стороне провода и для уменьшения добавочных потерь осевые размеры проводов должны быть по возможности минимальными.

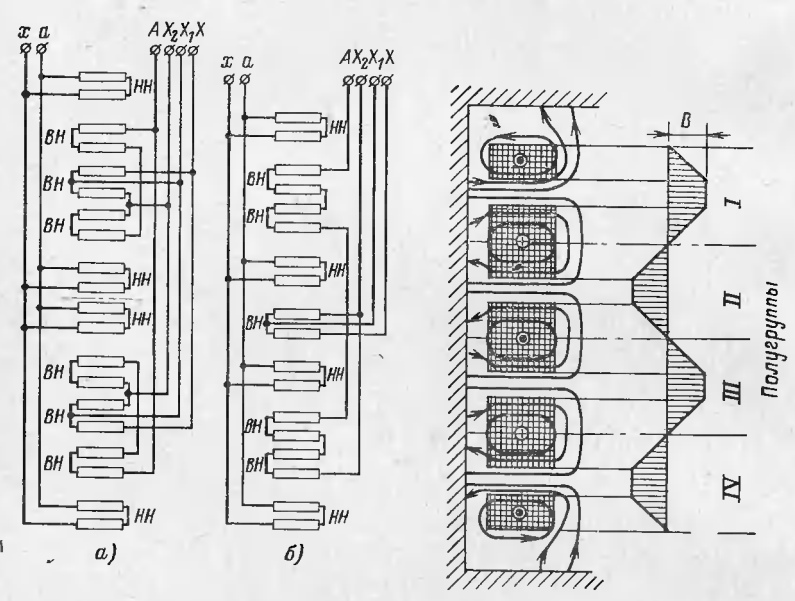


Рис. 3-4. Схема симметричного чередования катупіек ВН и НН. a-c параллельными ветвями; b-c регулировкой между группами.

Рис. 3-5. Поле рассеяния симметричной чередующейся обмотки.

Однако при указанной конструкции обмотки НН, когда виток состоит из многих параллельных проводов, имеет место неравномерное распределение тока в витке по параллельным проводам. Это происходит по двум причинам: во-первых, параллельные провода, образующие виток, имеют разные диаметры, а соответственно и активные сопротивления; во-вторых, вследствие изгиба линий магнитного поля рассеяния внутренние провода витка сцепляются с наибольшим числом матнитных линий этого поля и в них наводится наибольшее напряжение рассеяния, а в наружных проводах — меньшее напряжение рассеяния. Поэтому появляется уравнительный ток,

в результате чего крайние провода как внутренние, так и наружные перегружаются и притом тем больше, чем больше параллельных проводов в витке. Это ограничивает мощность трансформатора.

В зарубежных конструкциях электропечных трансформаторов с чередующимися обмотками обмотки НН

выполняются также в виде «коротких» винтовых катушек, но витки у них делаются обычно не из многих параллельных проводов, а из листовой меди в виде двух параллельных дисков, располагаемых один в другом (рис. 3-6). Такая конструкция является более надежной и имеет лучшую теплоотдачу, однако она менее технологична в изготовлении.

Как в отечественных, так

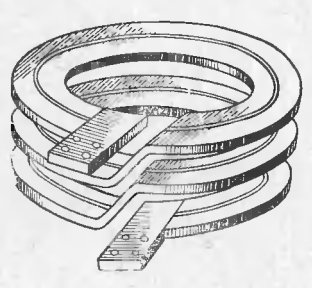


Рис. 3-6. Короткая катушка винтовой обмотки из листовой меди.

и в зарубежных конструкциях электропечных трансформаторов с чередующимися обмотками обмотки НН часто выполняются из голых (неизолированных) проводов. Во избежание быстрой порчи масла все голые обмотки должны быть покрыты бакелитовым лаком или эмалью 624с и запечены.

Получили широкое распространение электропечные трансформаторы со стержневой магнитной системой с концентрическими обмотками. Эти трансформаторы строятся обычно как трехобмоточные, ближе к стержню располагается регулировочная обмотка, выполняемая или в виде многослойной цилиндрической (несколько катушек одна в другой), или в виде непрерывной, или в виде винтовой (рис. 3-7 и 3-8).

Основная обмотка ВН располагается в середине и делается в виде непрерывной без регулировочных витков. Обмотка НН является наружной. Она выполняется при этом или дисковой из двойных дисковых катушек и имеет большое количество параллельных групп, располагаемых равномерно по высоте стержня (рис. 3-9,а), или в виде медных голых цилиндров, изготовляемых из листовой меди (рис. 3-9,6, в).

Примеры выполнения катушек НН в виде коротких медных цилиндров, а также их концевых отводов даны

на рис. 3-10 и 3-11.

Установка обмоток НН в виде медных цилиндров

показана на рис. 3-11.

Вследствие искривления линий магнитного поля у концов обмоток при выполнении обмотки НН в виде многих параллельных групп начальная и конечная груп-

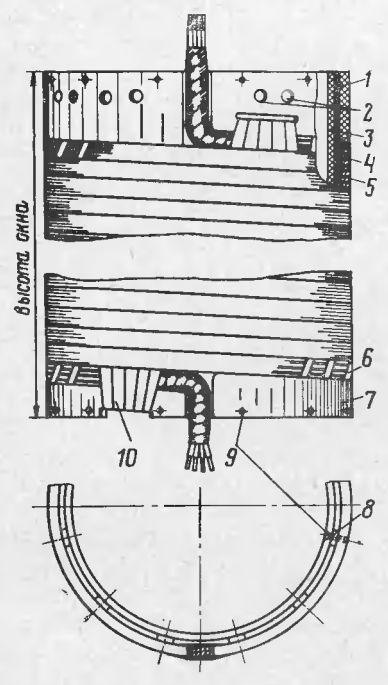


Рис. 3-7. Многослойная цилиндрическая регулировочная обмотка (четыре катушки одна в другой) электропечного трансформатора.

I — верхний уравнительный бумажно-бакелитовый клин;
2 — отверстия для мрохода масла;
3 — бумажно-бакелитовый цнлиндр;
4 — виток обмотки;
5 — полоса из электрокартона между отдельными проводами;
6 — бандаж из хлопчатобумажной ленты, скрепляющий отдельные провода при намотке;
7 — нижний уравнительный бумажно-бакелитовый клин;
8 — продольная рейка, образующая канал между обмоткой и цилиндром;
9 — заклепки, скрепляющие вверху и внизу уравнительные клинья с цилиндром;
10 — баидаж, закрепляющий концы обмоток.

пы перегружаются по току по сравнению с остальными группами. Испытания показали, что эта перегрузка может достигать 30% и более.

Для ограничения этого явления необходимо начальные и конечные катушки обмотки ВН, противолежащие начальным и конечным группам обмотки НН, выполнять с меньшим количеством витков, чем во всех остальных катушках ВН, а также увеличивать каналы между катушками с уменьшенным количеством витков.

При концентрических обмотках потоки рассеяния, замыкаясь каждый вокруг своей обмотки, проходят через провод параллельно его осевому размеру (рис. 3-12).

В виду указанного для уменьшения добавочных потерь в обмотках параллельные провода, образующие виток в цилиндрической обмотке, располагаются, как

правило, в осевом направлении обмотки, а не в радиальном; в непрерывных и дисковых обмотках, если виток состоит из параллельных проводов, эти провода обязательно перекладываются (транспонируются), т. е. при

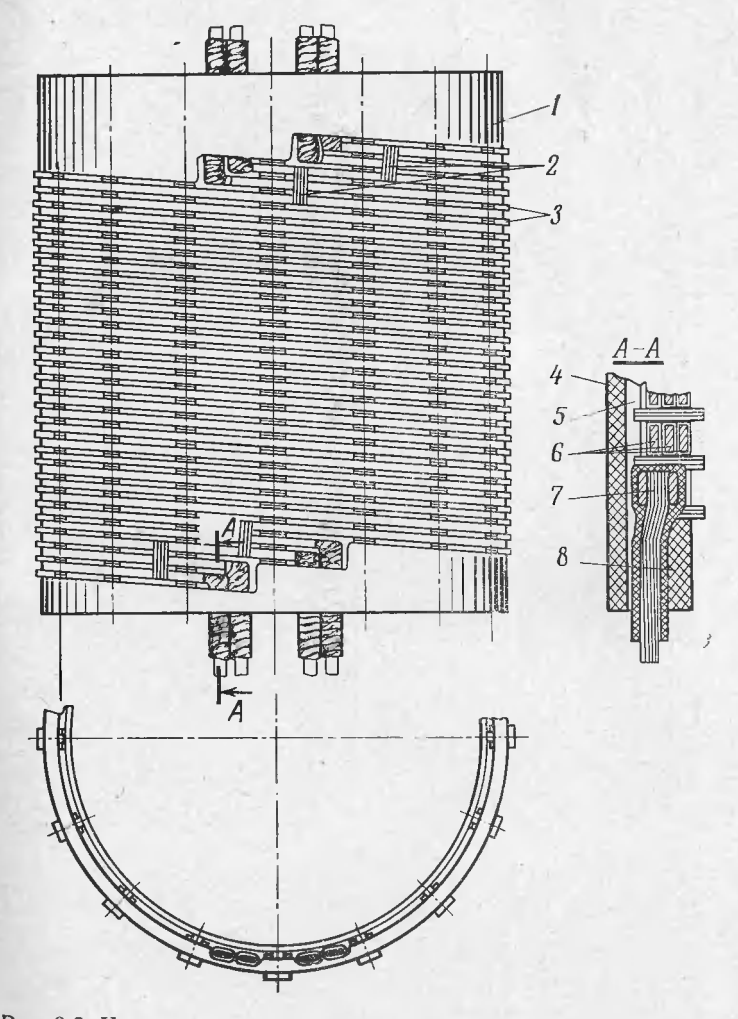
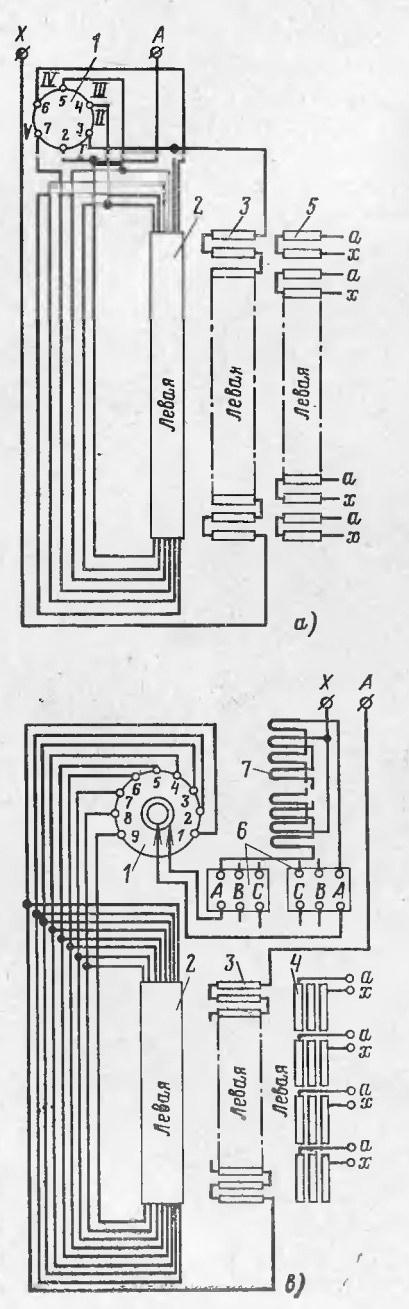


Рис. 3-8. Четырехходовая винтовая регулировочная обмотка (четыре катушки одна в другой) мощного электропечного трансформатора. 

1 — верхний уравинтельный бумажно-бакелитовый клии; 2 — шпагатный бандаж, закрепляющий концы обмотки; 3 — дистанционные прокладки; 4 — бумажно-бакелитовый цилиндр; 5 — продольная рейка; 6 — виток из трех парадлельных проводов; 7 — усиленный выводной конец из ленточной меди; 8 — нижний уравинтельный клин.



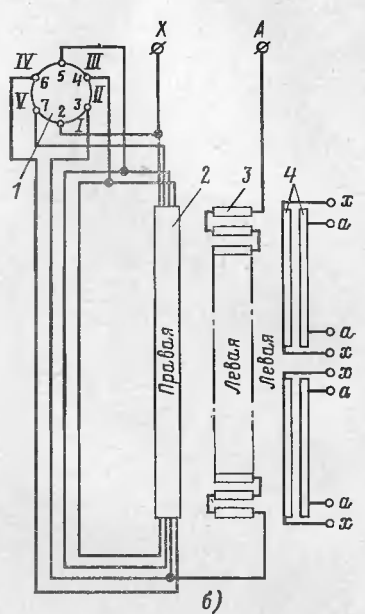
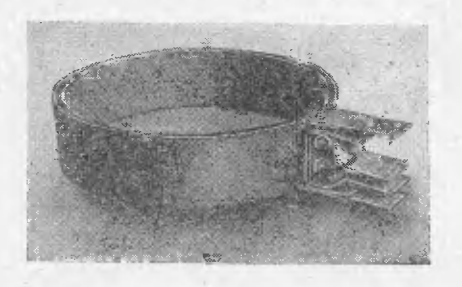


Рис. 3-9. Схемы электропечных трансформаторов с концентрическими обмотками.

a-c дисковой обмоткой НН из двойных дисковых катушек;  $\delta-c$  с обмоткой НН в виде медных голых цилиндров;  $\theta-t$ 0 же, но с РПН; I- избиратель; 2- регулировочная обмотка; 3- обмотка ВН; 4- обмотка НН в виде медных цилиндров; 5- дисковая обмотка НП из двойных дисковых катушек; 6- контактор; 7- реактор РПН.

переходе из катушки в катушку меняются местами. Транспозиция обязательна и в винтовых обмотках, поскольку виток такой обмотки состоит из нескольких параллельных проводов, расположенных радиально.



Ръс. 3-10. Катушка НН в виде короткою медного цилиндра с углубленными внутренними концевыми отводами.

По тем же причинам радиальные размеры проводов, образующих виток, при концентрических обмотках должны быть по возможности минимальными.

Электропечные трансформаторы как с чередующимися, так и с концентрическими обмотками строятся на на-

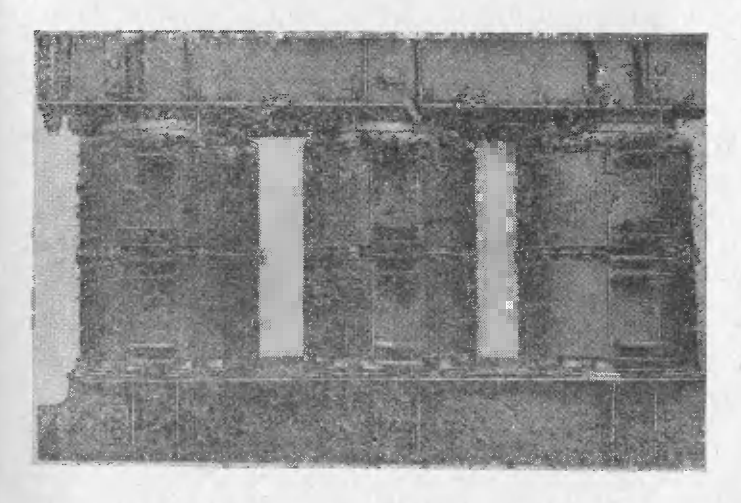


Рис. 3-11. Установка обмоток НН в виде медных цилиндров при модернизации электропечного трансформатора 9000 кВ·А с повышением мощности до 11 000 кВ·А.

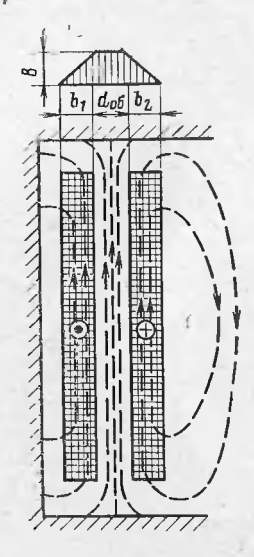


Рис. 3-12. Поле рассеяния при концентрических обмотках.

пряжение ВН до 35 кВ включительно. Для больших карбидных печей выпускается трансформатор мощностью 60 000 кВ · А на напряжение ВН 110 кВ и выполняется как трехобмоточный с концентрическими обмотками.

Опрессовку обмоток или их осевое крепление у электропечных трансформаторов со стержневой магнитной системой как с чередующимися, так и с концентрическими обмотками целесообразно осуществлять (и обычно осуществляют) нажимными кольцами и прессующими болтами.

При концентрических обмотках конструкция изоляции и изоляционные расстояния у электропечных трансформаторов такие же, как и у трансформаторов общего назначения. Учитывая требования повышенной механической прочности, целесо-

образно применять при этом более толстые и жесткие бумажно-бакелитовые цилиндры, а также более частое расположение по окружности реек и прокладок, образующих вертикальные и горизонтальные масляные каналы.

Обмотки ВН и НН при чередующихся обмотках собираются на одном и том же жестком бумажно-бакелитовом цилиндре. Здесь также целесообразно применять более толстые цилиндры и более частое расположение реек и прокладок по окружности. При чередующихся обмотках применяются, как правило, так называемые замковые П-образные прокладки (рис. 3-13), изготовляемые из электрокартона. Как следует из рис. 3-13, эти прокладки состоят из длинных штампованных пластин 1 с торцовым вырезом в виде «ласточкина хвоста», коротких штампованных пластин «заполнителя» 2 и «замка» 3, который приклеивается к крайним пластинам 1 и скрепляет всю прокладку. Замковые прокладки устанавливаются при окончательной сборке группы катушек и охватывают каждую катушку изнутри с ее (рис. 3-1). Высоту пластин «заполнителя» делают на 1 мм меньше расчетного расстояния между пластинами, учитывая осевую стяжку катушек. Для скрепления наружных концов замковых прокладок часто применяют «прошивку» (рис. 3-14), для чего с наружного торца прокладок делают вырезы в виде ласточкина хвоста, в которые вставляют рейки. Замковые прокладки, на которых собираются катушки дисковых обмоток, позволяют уста-

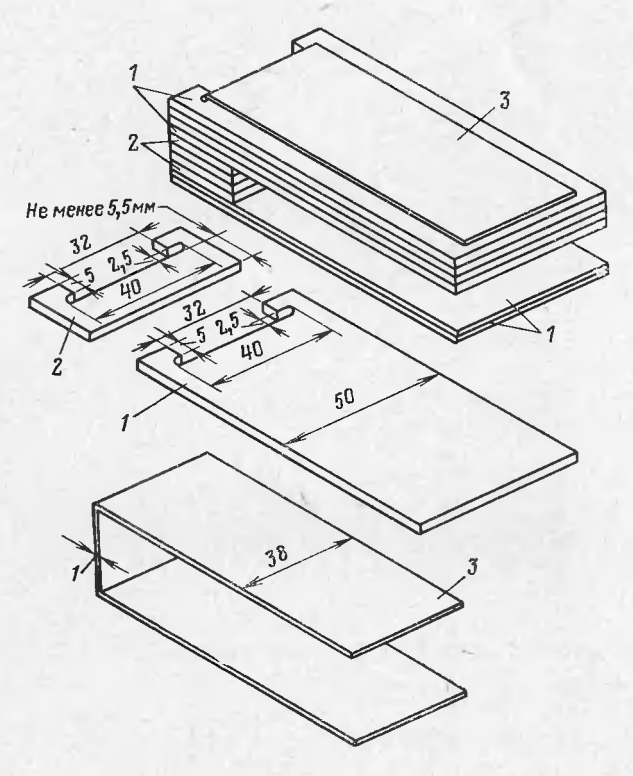


Рис. 3-13. Замковая прокладка. 1— длииные пластины; 2— короткие пластины «заполнителя»; 3— «замок».

навливать между обмотками ВН и НН, а также между отдельными группами катушек ВН целые изоляционные шайбы с выступами как внутрь, так и наружу. Шайбы при чередующемся расположении обмоток играют роль цилиндров, причем выступы шайбы позволяют сделать ее электрически равнопрочной как на пробой, так и на перекрытие (рис. 3-15).

Однако такая конструкция изоляций, когда внутренние выступы межобмоточных и межкатушечных шайб фактически перекрывают вертикальный канал между цилиндром и обмотками, затрудняет циркуляцию масла и ухудшает охлаждение внутренних проводов, расположенных ближе к стержню магнитопровода. Если учесть, что эти внутренние провода в витках обмотки НН и без

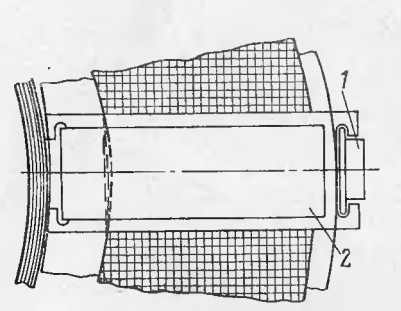


Рис. 3-14. Замковая прокладка с внешней прошивкой. 1—наружная рейка (прошивка); 2—замковая проклацка.

Рис. 3-15. Главная изоляция чередующихся обмоток 35 кВ. 1 — бумажно-бакелитовый цилиндр; 2 — электрокартонные шайбы.

того сильнее нагружены током, ухудшение их охлаждения еще более усугубляет опасность превышения температуры. Это обстоятельство заставляет увеличивать осевой размер каналов между катушками, в особенности у мощных трансформаторов, а также брать небольшие плотности тока. Все это увеличивает расход активных материалов.

Некоторые зарубежные фирмы («Сименс») применяют при чередующихся обмотках вместо прокладок бумажные бандажи, наматываемые на диски катушек ВН или на виток катушек НН на определенную толщину

(рис. 3-16).

Для уменьшения изоляционного расстояния между обмотками ВН и НН при чередующихся обмотках при напряжении ВН 35 кВ некоторые зарубежные фирмы применяют угловые шайбы. Это уменьшает габариты магнитопровода, а соответственно и всего трансформатора, но одновременно усложняет и удорожает конструкцию изоляции. На рис. 3-17, а—в даны примеры установки обмоток электропечных трансформаторов со 50

стержневыми магнитными системами как с чередующимися, так и с концентрическими обмотками.

Отводы ВН у электропечных трансформаторов по своему выполнению, расположению, изоляции и изоляционным расстояниям, а также креплению аналогичны

отводам трансформаторов общеназначения. Электропечные трехфазные трансформаторы, например, для сталеплавильных дечей выполняются, как правило, с переключением на стороне ВН с треугольника на звезду (в период расплавления твердой шихты необходима наибольшая мошность, поэтому трансформатор в этот период включается в треугольник, а рафинировка металла требует пониженных мошности и напряжения, поэтому на этот период трансформатор переключается на стороне ВН на звезду). Переключение с треугольника на звезду производится не под нагрузкой, и для переключения трансформатор отключается масляным выключателем со стороны ВН от питающей его сети. В современных конструкциях регулировочное устройство совмещает устройства ДЛЯ переключения с треугольника на звезду и обратно, и устройства регулирова-

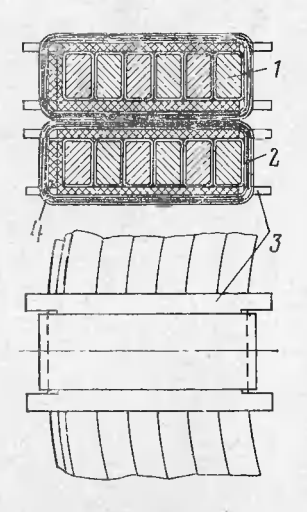


Рис. 3-16. Горизонтальные масляные каналы, образуемые с помощью бандажей.

Виток катушкн; 2 — бандаж из кабельной бумаги;
 прокладки из электрокартона;
 4 — выравнивающие полосы из электрокартона.

ния ступеней напряжения при соединении обмоток в треугольник и в звезду. На рис. 9-11 показано такое устройство.

Отводы НН электропечных трансформаторов выполняются из голых медных шин, а так как вторичные обмотки имеют несколько параллельных групп, то и отводы НН состоят соответственно (на каждую фазу) из ряда параллельных шин. Если на стороне НН звезда, то соединение фаз в звезду производится, как правило, внутри трансформатора, а все начала фаз в соответствующем порядке выводятся на крышку. Если на стороне НН треугольник, то все начала и концы фаз выводятся

51

(в соответствующем порядке) на крышку и соединение в треугольник производится в этом случае непосредственно на самой печи.

В трансформаторе при нагрузке наряду с полем рассеяния обмоток есть и поле рассеяния отводов, которое вызывает дополнительное напряжение рассеяния, а также дополнительные потери от вихревых токов как

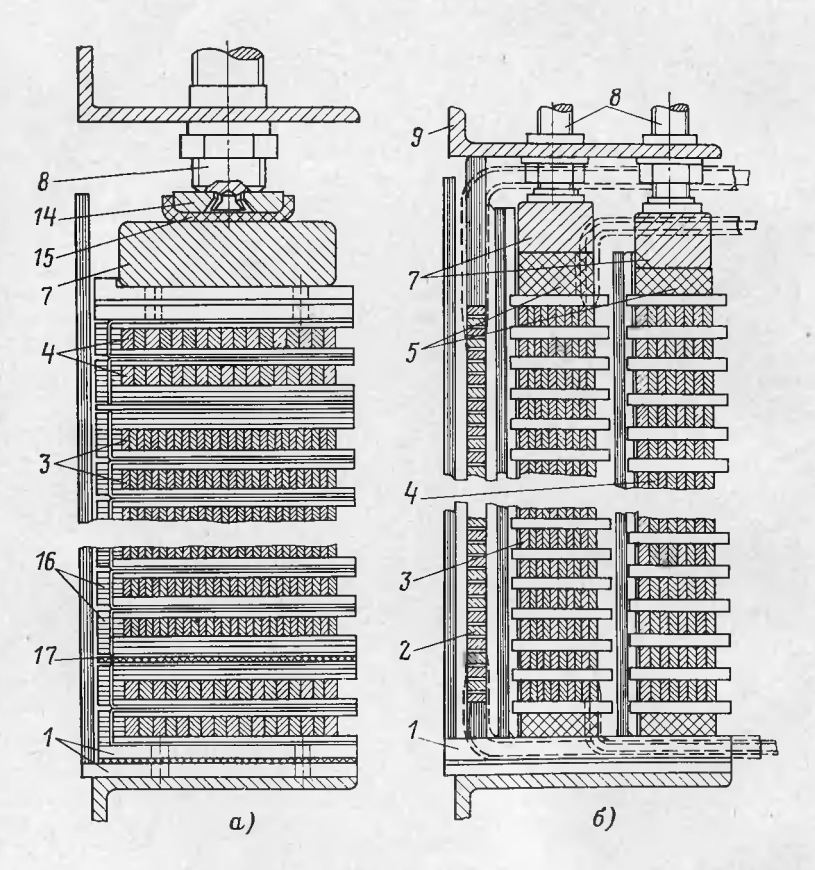
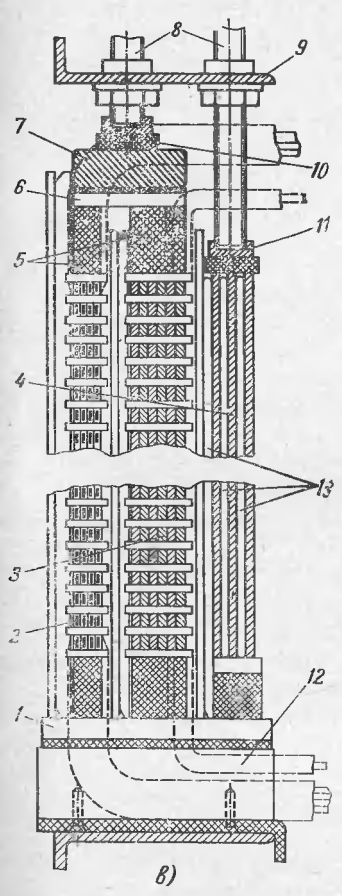


Рис. 3-17. Установка обмоток электропечных трансформаторов со стемами с различными расположением

a — чередующиеся; b — концентрические с наружной днсковой обмоткой НН b — концентрические с наружной обмоткой НН b виде медных цилиндров; ровочная обмотка; b — обмотка ВН; b — обмотка НН; b — уравнительные стальные разрезные прессующие кольца; b — нажимные винты; b — нижняя изолирующая гетинаксовая пластнна; b — нажимные винты; b — уравнительрейки; b — нодвижная стальная «иятка»; b — нзолирующий стакан; b — зам b — зам

в близко расположенных стальных частях (стенки бака, ярмовые балки и т. п.), так и в самих отводах. Эти дополнительные потери зависят от тока в отводах, от геометрических размеров и расположений (взаимного и относительно стальных частей). Поскольку вторичные токи у электропечных трансформаторов достигают больших значений, то и дополнительные потери, вызываемые по-



стержневыми магнитными сии конструкцней обмоток,

из двойных дисковых катушек; 1— ярмовая изоляция; 2— регуликольца; 6— верхняя изоляция; 7 полка верхней ярмовой балки; 10 ная изоляция; 13— гетинаксовые ковые электрокартонные прокладки; же в разрывах обмотки ВН. лем рассеяния отводов НН, будут весьма значительными. Поэтому для уменьшения указанных дополнительных потерь конструкция и расположение отводов НН у электропечных трансформаторов должны отвечать определен-

ным правилам.

1. Шины должны обязательно располагаться ребрами к стенке бака и на небольшом расстоянии друг от друга (плоскости шин параллельны). У отечественных трансформаторов расстояние между шинными отводами обычно не превышает 10-12 мм; для предохранения от возможных замыканий между отводами при коротких замыканиях по всей длине шин прокладывают и закрепляют полосы из электрокартона шириной, равной ширине шин плюс 5 мм. Расстояния от шины до стенки бака, а также ло обмоток должны быть не меньше ширины шины.

2. Шины должны правильно чередоваться (рис. 3-18); такое чередование значительно ослабляет поле рассеяния отводов.

Согласно правилу 1 шинные вторичные отводы должны располагаться возможно ближе друг к другу. Участок шин между соседними креплениями рассчитывается на изгиб, как балка с равномерной нагрузкой, закрепленная на концах. Напряжение на изгиб для меди при токе короткого замыкания принимается равным (6—8) 107 Па (600—800 кгс/см²). При этом максимально допустимое расстояние между соседними креплениями вторичных отводов получается не больше 300—400 мм.

Крепление шинных вторичных отводов обычно выполняют планками из листового гетинакса, который прочнее

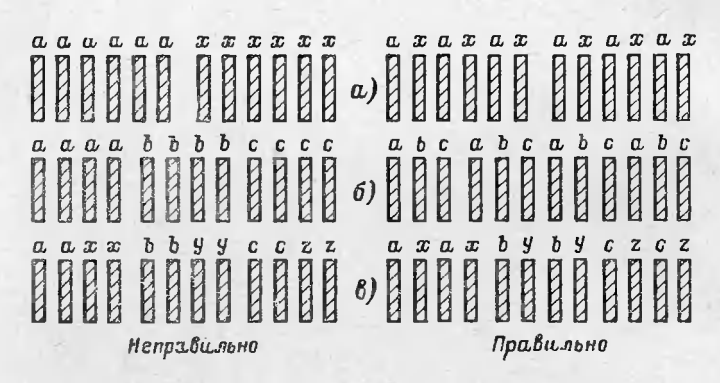


Рис. 3-18. Чередование шин отводов.

a — однофазный трансформатор;  $\delta$  — то же трехфазный (отводы от линейных концов обмотки); s — то же трехфазный (отводы от начал и концов обмоток фаз).

дерева и не дает усадки. Пакет из шин  $100 \times 10$  мм стягивается гетинаксовыми планками толщиной 20-30 мм и скрепляется стальными шпильками 10-12 мм. Чтобы шпильки не нагревались от вихревых токов, зазор между ними и шинами должен быть не меньше 5 мм. Иногда пакеты из широких шин (до 200 мм) стягиваются литыми латунными накладками.

Учитывая частые толчки, имеющие место при работе электропечного трансформатора, шинные отводы НН соединяют с вводами, как правило, через промежуточные демпферы (компенсаторы), которые набираются из медных лент определенных ширины и длины и толщиной 0,3—0,5 мм. С одного конца ленты спаиваются между собой и с концом отвода электропайкой; другой конец пропаивается оловянным припоем и имеет отверстие для

шпильки ввода. В средней части отдельные ленты не спаяны; этим создается гибкость демп-

фера.

Демпфер при присоединении к вводу изгибается петлей. При шинных вводах НН у электропечных трансформаторов конец демпфера, пропаянный оловянным припоем, присоединяется к облуженному концу шинного ввода болтами с шайбами, гайками и контргайками (рис. 3-19). При вторичных обмотках в виде медных цилиндров выполнение концевых отводов от обмоток получается более сложным.

На рис. 3-10 показано примерное выполнение концевых отво-

дов от медных цилиндров.

Все необходимые сведения по вводам как для трансформаторов общего назначения, так и для электропечных трансформаторов даны в приложении 6, а по охлаждающим устройствам — в приложении 10.



Рис. 3-19. Соединение отводов с вводами через промежуточные демпферы.

Электропечные трехфазные феры. трансформаторы имеют схемы соединения обмоток  $\Delta/Y$ ,  $\Delta/Y_0$  или  $\Delta/\Delta$ , так как они работают, как правило, при

неравномерной нагрузке по фазам.

В прямоугольных печах, у которых электроды расположены не в вершинах треугольника, а по продольной оси в одной плоскости, имеют место так называемые «дикая» и «мертвая» фазы, поэтому в таких печах необходимо вести процесс с регулированием мощности по отдельным фазам. При схеме  $\Delta/\Delta$  такое регулирование по отдельным фазам производят «по току» передвижением электродов, т. е. изменяя сопротивления дуги в отдельных фазах. Такое регулирование требует от плавильщика большого опыта и мастерства и создает определенные трудности в достижении равномерного плавления шихты под всеми электродами и использовании при этом допустимой мощности трансформатора.

Более удобным в этом отношении является регулирование мощности в отдельных фазах путем изменения напряжения. Повышая напряжение на «мертвой» фазе и, наоборот, понижая его на «дикой» фазе, можно относительно легко добиться равномерного плавления шихты под всеми электродами и использовать при этом допустимую мощность трансформатора.

Однако, как следует из теории работы трансформатора при несимметричной нагрузке [Л. 6], такая разрегулировка напряжения по фазам возможна лишь при схеме  $\Delta/Y$  и пятистержневом магнитопроводе или при

трехфазной группе.

Все необходимые сведения по схемам регулирования напряжения, а также по переключающим устройствам как для трансформаторов общего назначения, так и для электропечных трансформаторов даны в гл. 9.

# 3-2. ТРАНСФОРМАТОРЫ ДЛЯ ПИТАНИЯ ПРЕОБРАЗОВАТЕЛЬНЫХ УСТРОЙСТВ

Для сокращения эти трансформаторы будем называть преобразовательными. Они имеют следующие отличительные особенности.

а) Главное различие между преобразовательным и обычным силовым трансформаторами (общего назначения) состоит в том, что вследствие вентильного действия выпрямителя каждый анод его работает только в течение части периода; поэтому условия работы первичной и вторичной обмоток преобразовательного трансформатора будут неодинаковыми. Преобразовательный трансформатор питается с первичной стороны синусоидальным напряжением, а каждая фаза вторичной обмотки будет находиться под током только часть периода, поэтому токи в первичной обмотке будут неправильными по форме и несинусоидальными.

б) В ртутных выпрямителях возможны «обратные зажигания», во время которых на одном из анодов появляется катодное пятно, в результате чего этот анод теряет вентильные свойства и между ними и другими анодами получается короткое замыкание. В связи с этим преобразовательные трансформаторы должны иметь повышенную механическую прочность обмоток и отводов, позволяющую неоднократно выдерживать без остаточных деформаций те большие механические усилия, которые

возникают в обмотках трансформатора при обратных зажиганиях.

в) Конструктивно преобразовательные трансформаторы аналогичны трансформаторам общего назначения, но они имеют две или четыре обмотки НН и соответственно более сложную схему соединения.

Номинальные величины. Некоторые номинальные величины преобразовательных трансформаторов отличаются по своему определению от номинальных ве-

личин трансформаторов общего назначения.

а) Номинальная мощность преобразовательного трансформатора есть мощность его первичной (сетевой) обмотки  $P_1$ , поскольку именчо эта мощность подводится к трансформатору из сети.

б) Мощность вторичной (вентильной) обмотки  $P_2$  есть произведение номинального вторичного напряжения  $U_2$  на действующее значение тока во вторичной обмотке  $I_2$  при полной нагрузке на стороне выпрямленного тока.

в) Номинальные значения выпрямленного напряжения и выпрямленного тока есть напряжение  $U_{\rm B}$  и ток  $I_{\rm B}$ 

при полной нагрузке вентиля.

Схемы преобразовательных установок [Л. 6]. В преобразовательных установках трехфазного тока применяют обычно трансформаторы, обмотка НН которых имеет 6 или 12 фаз, так как в этом случае уменьшаются пульсации выпрямленного тока и напряжения. Поскольку выпрямитель нагружает трансформатор несимметрично и его фазы работают поочередно, необходимо так соединять выпрямители или вентильные обмотки в преобразовательном трансформаторе, чтобы имело место равновесие первичных и вторичных м. д. с. на каждом стержне, т. е. чтобы в магнитопроводе преобразовательного трансформатора не мог появиться нескомпенсированный, одинаково направленный во всех трех стержнях магнитный поток.

Соотношения между основными электрическими величинами в преобразовательном трансформаторе зависят от того, по какой схеме соединения работает преобразовательная установка. Эти соотношения между основными электрическими величинами даны для каждой схемы соединений в расчетном формуляре (см.

табл. П14-1).

Рассмотрим несколько типичных схем преобразовательных установок, а именно: трехфазную мостовую,

звезда — двойной зигзаг и звезда — две обратные звезды

с уравнительным реактором.

Отечественные преобразовательные установки обычно выполняются по схеме звезда — две обратные звезды с уравнительным реактором, как наиболее полно отвечающей требованиям для преобразовательных установок.

а) Трехфазная мостовая схема (рис. 3-20,а—г). В этой схеме в любой момент работают два анода: один из четной группы, имеющий наибольшее напряжение, а другой из нечетной группы, имеющий наименьшее напряжение.

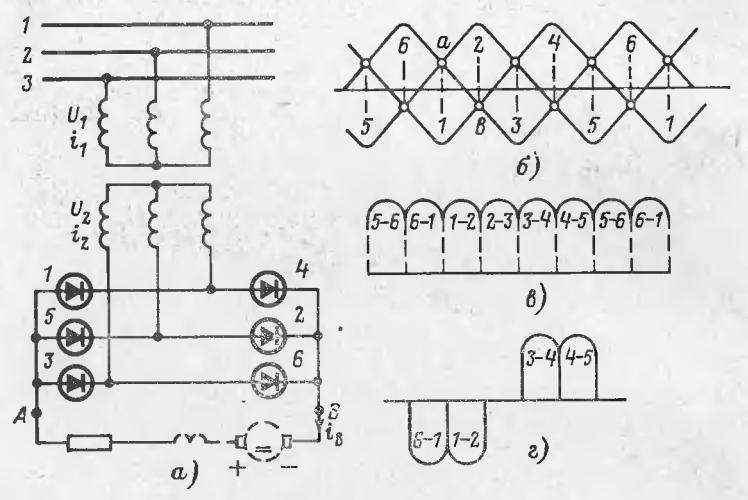


Рис. 3-20. Трехфазная мостовая схема.

a — схема соединений; b — вторичные фазные напряжения траисформатора; b — выпрямленное напряжение; a — вторичный фазный ток трансформатора.

На рис. 3-20,6 показаны кривые вторичных фазных напряжений трансформатора, а на рис. 3-20,6— кривые вторичных линейных напряжений, которые получаются как разности двух соответствующих фазных напряжений. В этой схеме каждые два любых работающих анода включены в линейное вторичное напряжение, поэтому кривая этого напряжения будет являться и кривой выпрямленного напряжения. Выпрямленное напряжение (рис. 3-20,8) имеет шестикратные пульсации. Если выпрямитель нагружен только на активное сопротивление, то кривая выпрямленного тока будет иметь такую же форму, как и кривая выпрямленного напряжения,

На рис. 3-20, г изображена кривая выпрямленного тока в каждой фазе вторичной обмотки трансформатора: часть кривой под осью абсцисс дает ток в аноде 1, который работает поочередно с анодами 6 и 2, а часть кривой над осью абсцисс дает ток в аноде 4, который работает поочередно с анодами 3 и 5. Кривые выпрямленного напряжения и тока показывают, что при мостовой схеме включения выпрямителей имеют место мень-

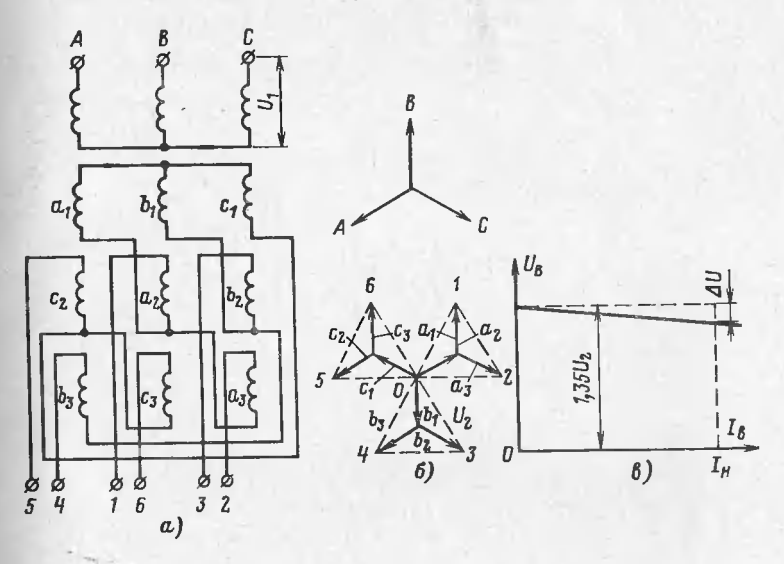


Рис. 3-21. Схема звезда — двойной зигзаг.

a — соединение обмоток; b — днаграмма э. д. с.; b — внешняя характеристика преобразовательного трансформатора; b — зажимы и соответствующие им точки векторной днаграммы.

шие пульсации выпрямленного напряжения, чем в трехфазной схеме с выведенной нейтралью. В этом отношении мостовая схема эквивалентна шестифазной схеме с выведенным нулем. При мостовой схеме первичные и вторичные м. д. с. уравновешены, в связи с чем добавочный однофазный поток в магнитопроводе отсутствует.

б) Схема звезда — двойной зигзаг (рис. 3-21, а-в). При этой схеме первичная обмотка преобразовательного трансформатора соединяется в звезду, а каждая фаза вторичной обмотки делится на три равные части, которые соединяются зигзагом, причем две части включаются согласно, а одна - встречно по отношёнию к первичной обмотке. В результате звезда э. д. с  $a_1-b_1-c_1$  повернута относительно звезды A-B-C на  $180^\circ$ , а э. д. с.  $a_2$  и  $a_3$ ,  $b_2$  и  $b_3$ ,  $c_2$  и  $c_3$  геометрически вычитаются соответственно из э. д. с.  $a_1$ ,  $b_1$ ,  $c_1$  (рис. 3-21, $\delta$ ). Напряжения  $U_2$  выражены векторами 01, 02, ..., 06 и образуют симметричную шестифазную систему. На рис. 3-21, $\delta$  показана внешняя характеристика преобразовательного трансформатора при схеме соединения звезда — двойной зигзаг, которая имеет более кру-

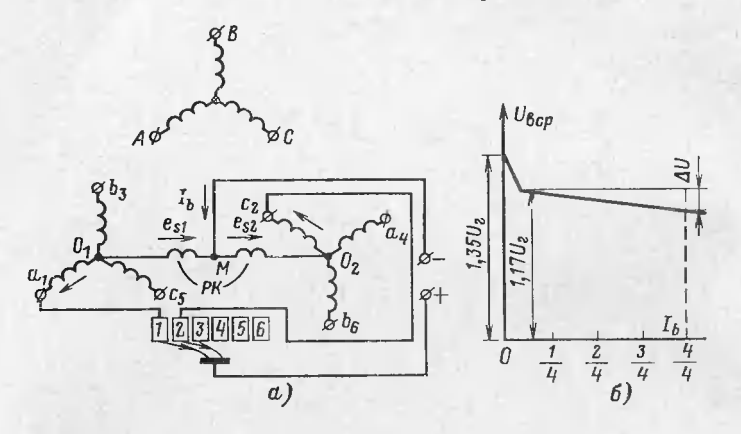


Рис. 3-22. Схема звезда — две обратные звезды с уравнительным реактором.

a — схема соединения;  $\delta$  — внешияя характеристика; 1— $\delta$  — зажимы.

той наклон, чем у трансформатора общего назначения, так как по вторичной обмотке преобразовательного трансформатора протекает постояная составляющая тока, которая увеличивает потоки рассеяния и добавочные чотери. Напряжение короткого замыкания у трансформаторов при схеме соединения звезда — двойной зигзаг составляет обычно 4—5%.

в) Схема соединения звезда—две обратные звезды с уравнительным реактором (рис. 3-22,a,  $\delta$ ). При этой схеме на каждом стержне имеются две вторичные обмотки. Одна из них соединена в прямую звезду (так называемая нечетная звезда—зажимы  $a_1$ ,  $b_3$ ,  $c_5$ ), а другая—в обратную звезду (четная звезда—зажимы  $a_4$ ,  $b_6$ ,  $c_2$ ).

Здесь буквы a, b, c обозначают стержень, на котором расположена обмотка, а цифровой индекс — порядок

зажиганий анодов. Благодаря уравнительному реактору обе звезды работают параллельно и нагрузочный ток распределяется пополам между обеими звездами. Это облегчает работу анодов и повышает нагрузочную способность выпрямителя, так как при данном значении выпрямленного тока  $I_{\rm B}$  на каждый из двух параллельно работающих в данный момент анодов приходится при-

мерно половина тока  $I_{\rm B}$ . Второе преимущество данной схемы соединения состоит в том, что при одновременной параллельной работе двух анодов каждая фаза вторичной обмотки нагружается током в течение  $^{1}/_{3}$  периода, т. е. каждый из анодов загорается на  $30^{\circ}$  раньше, чем при шестифазном режиме, и затухает на  $30^{\circ}$  позже. Таким образом, при этой схеме каждый анод работает не одну шестую периода (как это имеет место при схеме звезда — двойной зигзаг), а одну треть периода или так же, как в трехфазном преобразовательном устройстве. Схема же в отношении всех других свойств остается при этом шестифазной. Указанный переход работы выпрямителя с шестифазного режима на трехфазный позволяет лучше использовать преобразовательный трансформатор.

При схеме звезда — две обратные звезды с уравнительным реактором внешняя характеристика преобразовательного трансформатора (рис. 3-22, $\delta$ ) имеет также более крутой наклон, чем у трансформаторов общего назначения:  $\Delta U = U_{0\rm B} - U_{\rm B}$ , где  $U_{0\rm B} -$  идеальное выпрямленное напряжение, которое было бы, если бы не было

падения напряжения  $\Delta U$ .

Падение напряжения при номинальной нагрузке обусловлено, во-первых, падением напряжения в дуге выпрямителя, которое обычно составляет 25 В и почти не зависит от нагрузки; во-вторых, активным падением напряжения в трансформаторе, реакторах, кабелях и т. п.; в-третьих, индуктивным падением напряжения от рассеяния в трансформаторе и реакторе, если последний установлен перед трансформатором.

Напряжение короткого замыкания преобразовательного трансформатора при данной схеме обычно состав-

ляет 5—10%.

У 12-фазного трансформатора обмотки состоят из двух параллельных цепей, из которых в каждой вторичная обмотка имеет прямую и обратную звезды и уравнительный реактор. Уравнительный реактор имеет сталь-

ной двухстержневой магнитопровод и обычно винтовую обмотку, состоящую из двух одинаковых ветвей с коэффициентом трансформации, равным 1 (рис. 3-23). Ветви соединяют так, чтобы токи обеих ветвей магнитно уравновешивали друг друга. Таким образом, постоянного

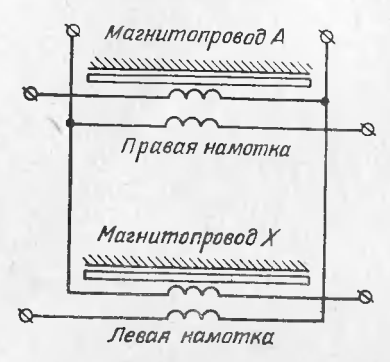


Рис. 3-23. Схема обмоток уравнительного реактора.

магнитного потока в стержне уравнительного реактора не возникает. По каждой ветви течет выпрямленный ток, равный чоловине  $I_{\rm B}$ , а также очень лебольшой переменный гок, возбуждающий в магнитопроводе реактора переменный магнитный поток тройной частоты (150  $\Gamma$ ц).

Роль уравнительного реактора заключается в том, что индуцированное в нем напряжение уравни-

вает потенциалы соседних по номерам анодов и заставляет их гореть одновременно. Пусть, например, анод 1 имеет в данный момент наибольшее напряжение; тогда по цепи анода потечет выпрямленный ток. Этот ток, проходя по левой половине уравнительного реактора, создает в ней поток, который наведет в обеих половинах э. д. с. е и е 2. При нарастании анодного тока э. д. с.  $e_1$  направлена так, что она будет противодействовать этому нарастанию и снизит напряжение фазы  $O_1 a_1$  относительно Наоборот, э. д. с.  $e_2$  в правой половине реактора, имея то же направление, что и э. д. с. е1, будет стремиться повысить напряжение  $O_2c_2$  относительно точки M. В результате напряжения фаз  $O_1a_1$  и  $O_2c_2$  выравниваются и аноды 1 и 2 будут работать параллельно. Соответственно в следующие части периода будут работать параллельно аноды 2 и 3, 3 и 4, 4 и 5, 5 и 6. В каждый данный момент горят один анод из нечетной группы и один анод из четной. Таким образом, весь выпрямленный ток делится пополам: одна половина течет к очередному аноду нечетной группы, а другая — к очередному аноду четной. Поэтому уравнительный реактор называют разделяющим. Многофазные схемы соединения преобразовательных трансформаторов применяются для подавления высших гармонических в несинусоидальной кривой первичного фазного тока. Если вторичная обмотка имеет m фаз, то в кривой первичного фазного тока будут все гармонические с номерами, равными km+1, где k — целое число. При этом, чем больше номер гармонической, тем меньше ее амплитуда.

Все эти высшие гармонические крайне нежелательны. Они создают дополнительные потери; вызывают резонансные колебания; создают вредные шумы в близле-

жаших установках связи и т. п.

Чем значительней удельный вес преобразовательной установки в питающей ее энергетической системе, тем сильнее сказывается вредное влияние высших гармонических и тем большее число фаз требуется выбрать для преобразовательного трансформатора. Практика показывает, что при обычно имеющей место несимметрии напряжения сети гармонические все же полностью не исчезают.

Конструк тивны е требования к преобразовательным трансформ аторам. Основное требование, которое предъявляется этим трансформаторам,это повышенная механическая прочность обмоток и других узлов трансформатора. В соответствии с этим требованием обмотпреобразовательных трансформаторов должны иметь значительную торцовую поверхность и выполняться, как правило: обмотки ВН - в виде непрерывных или нескольких дисковых с катушками из двойных дисков, а НН — таких же дисковых или винтовых. Все обмотки НН одного стержня должны быть расположены симметрично.

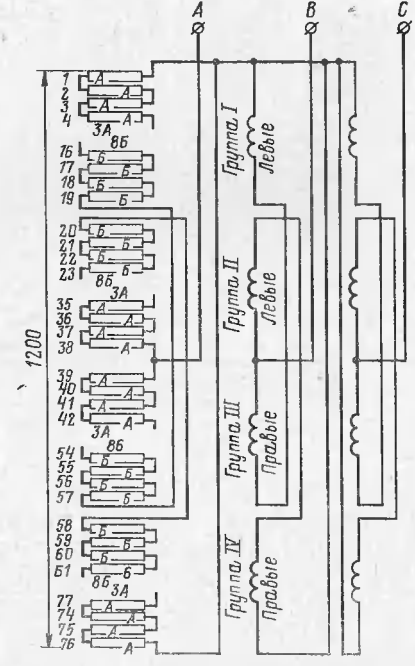


Рис. 3-24. Схема обмоток ВН 12фазного преобразовательного трансформатора. 1—76— катушки.

Конструкция прессовки должна надежно обеспечивать осевую стяжку обмоток и поэтому выполняется в виде нажимных колец и прессующих болтов (рис. 2-15, а); кроме того, верхние и нижние ярмовые балки связываются вертикальными шпильками.

Все изделия из электрокартона (прокладки, кольца, шайбы и т. п.), из которых выполняется продольная изоляция обмоток, должны быть предварительно обра-

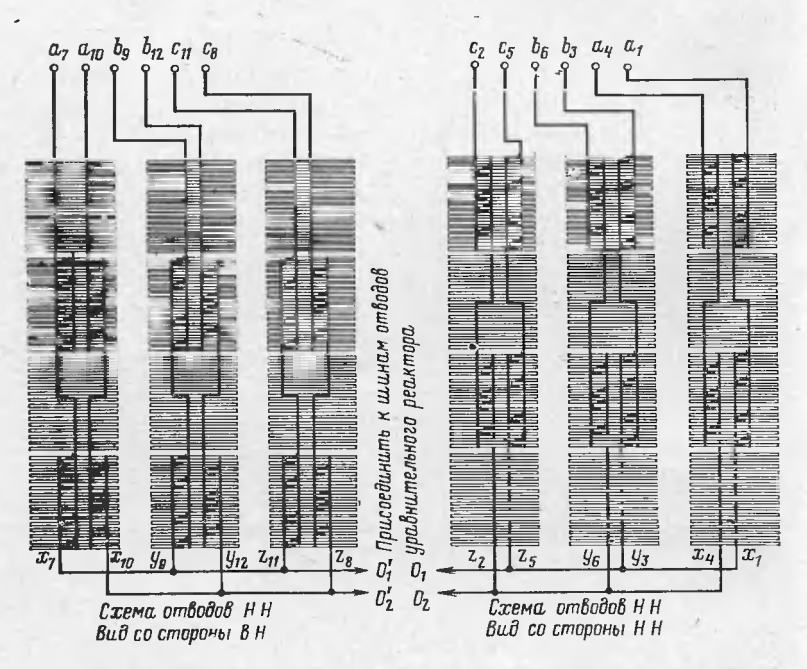


Рис. 3-25. Схема обмоток и отводов НН преобразовательного трансформатора мощностью 8500 кВ·А.

ботаны, т. е. высушены, опрессованы, пропитаны и запечены, чтобы исключить дальнейшую усушку и усадку этих изделий в процессе работы трансформатора и тем самым сохранить осевую стяжку обмоток. Отводы, в особенности от вторичных обмоток, должны быть надежно закреплены.

Мощные отечественные преобразовательные трансформаторы выполняются со стержневыми шихтованными магнитными системами и концентрическими обмотками,

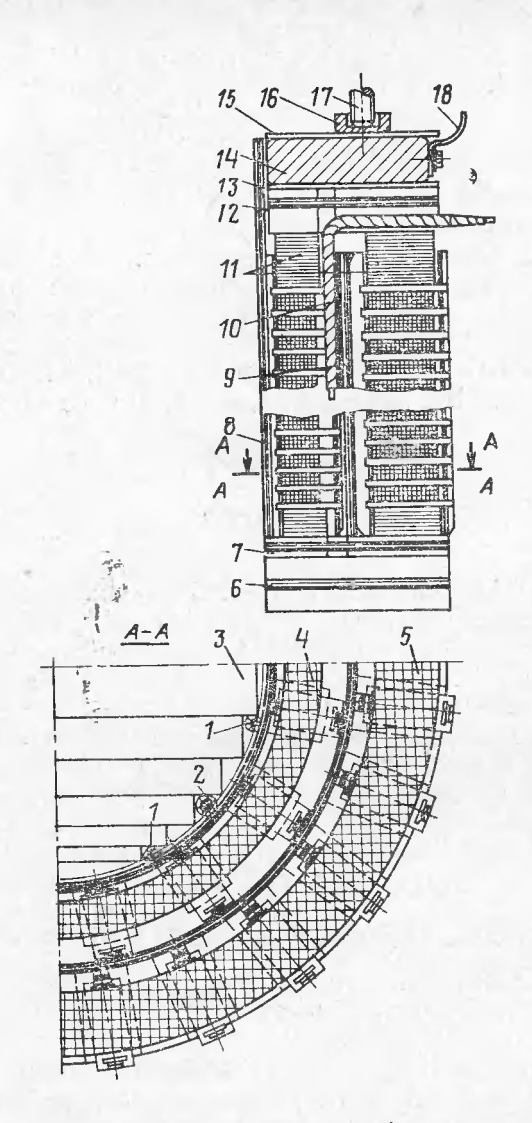


Рис. 3-26. Установка обмоток преобразовательного трансформатора мощностью 8500 кВ·А.

I— деревянный стержень  $\oslash$  18×1430 мм; 2— то же  $\oslash$  22×1430 мм; 3— магнитопровод; 4— обмотка ВН; 5— обмотка НН; 6— уравнительная изоляция; 7— нижняя ярмовая нзоляция; 8— цилиндр обмотки ВН; 9— цилиндр обмотки НН; 10— концы обмоток ВН; 11— уравнительные кольца; 12— верхияя ярмовая нзоляция; 13— электрокартонная шайба  $\oslash$  500/860×3; 14— стальное нажниное кольцо; 15— электрокартонная шайба  $\oslash$  500/860×4; 16— стальное стаканчик; 17— прессующий болт; 18— медная лента 0.3×30×250 для заземлення нажниного кольца.

причем обмотка ВН — внутренняя, а НН — наружные. Эти трансформаторы 12-фазные, и обмотки их состоят из двух параллельных цепей, из которых каждая выполнена по схеме звезда (или треугольник) — две обратные звезды с уравнительным реактором. Уравнительные реакторы (по одному в каждой параллельной цепи) расположены в баке трансформатора.

Для более полного представления о конструкции преобразовательного трансформатора на рис. 3-24 и 3-26 даны схемы обмоток и отводов, а также показана установка обмоток отечественного 12-фазного трансформатора мощностью 8500 кВ · А, 13 360/765 В ( $U_{0B}$ =895 В и  $U_{B}$ =800 В), I=386 А,  $I_{B}$ =2·4500 А со схемой

1 Juny

Коэффициент полезного действия преобразовательных трансформаторов несколько ниже, а масса песколько больше, чем у трансформаторов общего назначения.

Преобразовательные трансформаторы выполняются как с естественно-масляным (без дутья или с дутьем), так и с циркуляционным масляным охлаждением и имеют внешнее оформление (баки, крышка, арматура и т. п.) такое же, как и у трансформаторов общего назначения.

В табл. П1-6 приведены технические данные отечественных преобразовательных трансформаторов.

# 3-3. РЕГУЛИРОВОЧНЫЕ ТРАНСФОРМАТОРЫ

В электролизных установках требуется частое регулирование выпрямленного напряжения при полном токе. Это регулирование осуществляется переключением под нагрузкой при помощи регулировочного трансформатора, который устанавливается перед преобразовательным трансформатором и составляет с ним один агрегат.

Обычно регулировочный трансформатор выполняется как трехфазный масляный автотрансформатор, который имеет проходную мещность, равную номинальной мощности преобразовательного трансформатора. В свою очередь ток I' и напряжение U' автотрансформатора

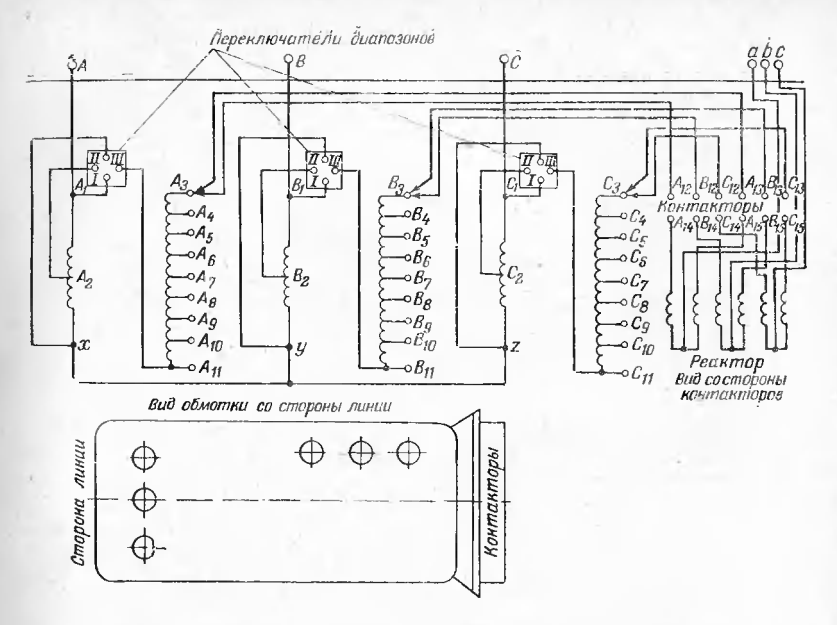


Рис. 3-27. Паспортная схема регулировочного автотрансформатора типа ATMH-8500/10.

 $A_1 - A_{11}$ ,  $B_1 - B_{11}$ ,  $C_1 - C_{11}$  — регулировочные ответвления.

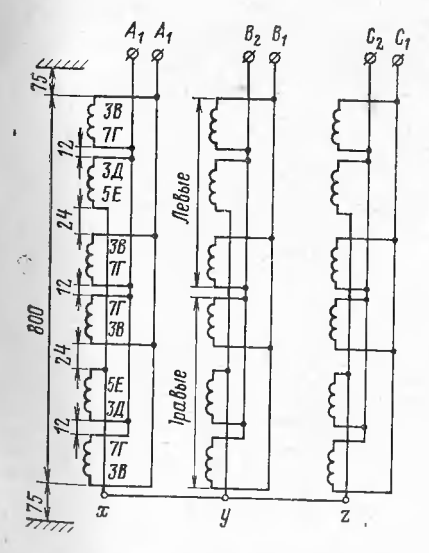


Рис. 3-28. Схема непрерывной обмотки возбуждения автотрансформатора типа АТМН-8500/10. Цифры и буквы около обмотки — количество и тип катушек.

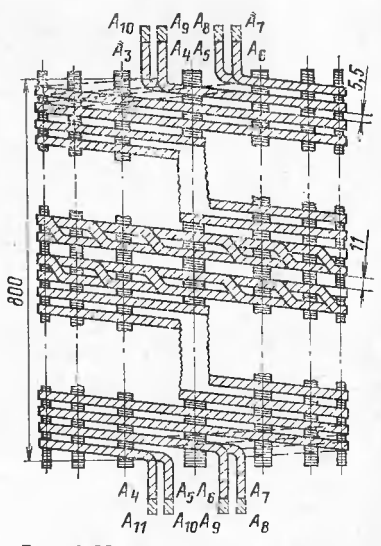
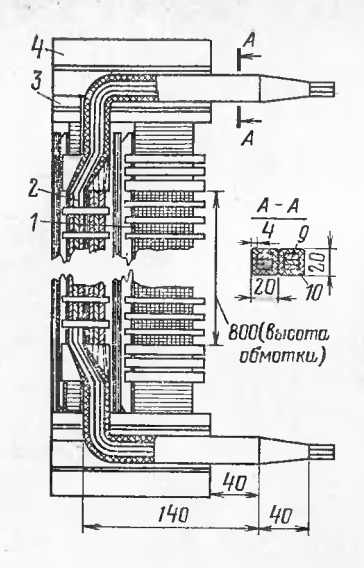


Рис. 3-29. Четырехходовая винтовая регулировочная обмотка автотрансформатора типа ATMH-8500/10,



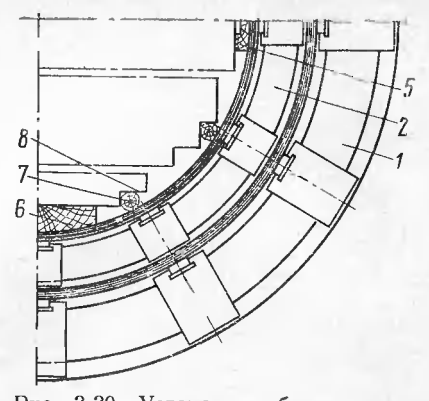


Рис. 3-30. Установка обмоток автотрансформатора типа ATMH-8500/10. I — обмотка возбуждения; 2 — регулировочная обмотка; 3 — ярмовая изоляция; 4 — уравнительная изоляция; 5 и 6 — расклинивающие планки; 7 — расклинивающий стержень 14×490 мм; 8 — полоса из электрокартона 0.5×40×940 мм; 9 — изоляция из лакоткани; 10 — бандаж из тафтяной ленты.

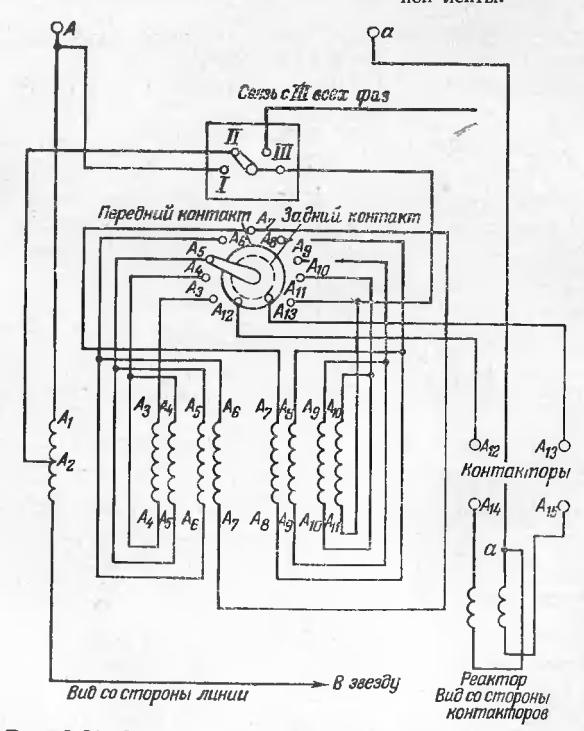


Рис. 3-31. Монтажная схема автотрансформатора типа ATMH-8500/10.

равны току  $I_1$  и напряжению  $U_1$  преобразовательного

трансформатора.

На рис. 3-27 дана паспортная схема такого регулировочного отечественного автотрансформатора типа АТМН-8500/10 с переключающим устройством РПН (16 одинаковых ступеней по 220 В, т. е. 3520 В) с реактором 140 кВ  $\cdot$  А, 254 В,  $I_{\rm MAKC} = 368$  А,  $I = 0.5I_{\rm H} = 184$  А. Автотрасформатор имеет три диапазона регулирования, из которых первые два служат для рабочего регулирования, а третий — для формовки ртутного выпрямителя. Переключение диапазонов производится не под нагрузкой (ПБВ).

Приведенные на рис. 3-28—3-31 данные дают достаточное представление о конструкции подобного типа

автотрансформаторов.

### ГЛАВА ЧЕТВЕРТАЯ

# РАСЧЕТЫ ПРИ РЕМОНТНЫХ РАБОТАХ

### 4-1. СОДЕРЖАНИЕ, ОБЪЕМ И СХЕМА РАСЧЕТА

При ремонтных работах приходится часто производить различные расчеты, содержание и объем которых несколько отличаются от заводских, поскольку при этом обычно исходят из существующих магнитной системы, а также бака, крышки и т. п. Содержание и объем расчета определяются характером и видом ремонтных работ, а также наличием паспортной таблички и заводской расчетной записки.

При восстановительном ремонте со сменой обмоток при наличии паспорта и заводской расчетной записки, если используется старый провод или новый, но тех же размеров, никаких расчетов не делают. В этом случае восстановительный ремонт производят руководствуясь заводской расчетной запиской, которую руководитель ремонтом и обмотчик должны уметь прочитать и убедиться в том, что она не содержит ошибок. Ниже приводится типовая расчетная записка Московского электрозавода имени В. В. Куйбы-

шева и дается ее описание.

Если при ремонте размеры провода необходимо изменить, то производят весь расчет обмоточных данных и заполнения окна магнитопровода, а также поверочный расчет напряжения и потерь короткого замыкания и поверочный тепловой расчет. Иногда при изменении размеров провода приходится изменять конструкцию обмоток, а также магнитиую индукцию в магнитопроводе и плотности тока в обмотках. В этом случае производят выбор типа обмоток и изоляционных расстояний, а также поверочный расчетной записки, а тем более паспортной таблички трансформатора все указанные расчеты являются необходимыми. В этих случаях основанием для расчетов служат тщательные замеры магнитопровода, обмоток, бака и т. п. подлежашего ремонту трансформатора.

# Общая схема расчета трансформатора при ремонтных работах

|  | Исходные данные    | Паспортная табличка трансформатора. Загание по трансформатору в части его номпналькъм значений и регулирования, а также схемы и группъ соединений | Ведомость осмотра и дефектировки. Заводская расчетвая записка. Данные из отыта холостого хода при номилальном напряжении. Стандарт на соответст вующие трансформаторы | Задание по трансформатору и его назначение. Ве домость осмотра и дефектировки. Заводская расчетлаж- записка. Испытательные напряжения. Ссответствукливе данные по сбмоткам до реконта                                                                                                                                                                                                    | Задание по трансформатору. Заводская расчетная за-<br>писка. Соответствующие параметра трансформатора до<br>воможта. Стандарт на соответствующие трансформатсты<br>в части потерь и напражений короткого замыкания                                                                                                                                                                                                                  | Ведомость осмотра и дефектировки, Заводская расчеткая записка. Параметры трансформатора до ремонта. Стандарт на трансформаторы в части допустимых превышений температур обмоток и масла над температурой окружающей среды |
|--|--------------------|---------------------------------------------------------------------------------------------------------------------------------------------------|-----------------------------------------------------------------------------------------------------------------------------------------------------------------------|------------------------------------------------------------------------------------------------------------------------------------------------------------------------------------------------------------------------------------------------------------------------------------------------------------------------------------------------------------------------------------------|-------------------------------------------------------------------------------------------------------------------------------------------------------------------------------------------------------------------------------------------------------------------------------------------------------------------------------------------------------------------------------------------------------------------------------------|---------------------------------------------------------------------------------------------------------------------------------------------------------------------------------------------------------------------------|
|  | Содержавие расчета | Линейные и фазные значения токов и напряжений,<br>а в отдельных случаях и мощности на гсех ступенях<br>регулирования                              | Активное сечеине стержней и ярм. Магнитная ин-<br>дукция в стержиях и ярмах. Массы стержней и ярм.<br>Потери и ток холостого хода                                     | Выбор расположения и типа облоток. Выбор наоля-<br>наоляция и наоляционных расстояний гланой и продольной<br>ваоляция Расчет обмоток: 1) число витков на фазу и на раз-<br>иых ступенях регулирования; 2) выбор плотностей то-<br>ка; 3) выбор провода и его наоляция для начальных и<br>осковых катуппек; 4) раднальное и севое строение<br>катушек и обмоток; 5) подсчет массы обмоток | Потери короткого замыкания: 1) основные потери в металье обсчити; 2) потери в отводах; 4) потери то тогом расседия: 5) суммариые потери то тогом расседия: 5) суммариые короткого замыжания: 1) активная составляющая напряжения короткого замыжания: 1) активная составляющая напряжения короткого замыжания: 2) на пряжение расседия (основное и добаренее); 3) напражение короткого замыжания; 4) механические усилия в обмотках | Подсчет удельных тепловых нагрузок в облотках.<br>Поверочный расчет ожлаждения трансформатора                                                                                                                             |
|  | Порядок расчета    | Определение основных электрических величин                                                                                                        | Определение параметров<br>магнитопровода                                                                                                                              | Расчет обмоток                                                                                                                                                                                                                                                                                                                                                                           | Определение параметров ко-<br>роткого замыкания                                                                                                                                                                                                                                                                                                                                                                                     | Теп овой расчет                                                                                                                                                                                                           |

При модернизации, когда изменяются те или иные параметры трансформатора, а соответственно и отдельные конструкции, все расчеты приходится производить в полном объеме как до модернизации, так и после нее, чтобы можно было сделать необходимые выводы и сравнения. В отдельных случаях приходится рассчитывать несколько вариантов, с тем чтобы найти наиболее правильное и оптимальное решение.

Однако при любом виде ремонтных работ надо сохранять при расчетах значение магнитной индукции, близкое к заводскому, а также обеспечить электрическую прочность, термическую и электродинамическую стойкость трансформатора и соответствующее зна-

чение напряжения короткого замыкания.

Здесь дается общая схема расчета трансформатора при ремонтных работах (табл. 4-1).

### 4-2. ТИПОВАЯ РАСЧЕТНАЯ ЗАПИСКА МОСКОВСКОГО ЭЛЕКТРОЗАВОДА

Все расчеты при ремонтных работах оформляются в виде расчетной записки, которая является основным документом при пронаводстве этих работ. При восстановительном ремонте, когда ничего не изменяется и есть заводская расчетная записка, все работы производят, руководствуясь ею. Когда заводской записки нет или когда осуществляется модернизация трансформатора, составляют ковую расчетную записку, на основании которой и ведут работы.

Все необходимые расчеты производятся по соответствующим формулам, которые даны в приложении 14 в той последовательно-

сти, какая указана в общей схеме расчета.

Здесь приводится типовая расчетная записка Московского электрозавода имени В. В. Куйбышева для трансформаторов общего назпачения средних и больших мощностей и дается ее краткое описание. Для лучшего понимания записки, а также самостоятельного составления ее в указанной расчетной записке приводится конкретный пример расчета трехфазного двухобмоточного трансформатора типа ТМ-10000/35.

Записка состоит из двух частей: основные данные (табл. 4-2) и обмоточные данные (в зависимости от числа обмоток), по которым производится намотка обмоток (табл. 4-3

и 4-4).

Кроме указанных основных данных (табл. 4-2), в записке могут быть дополнительные данные, что часто встречается в записках на специальные трансформаторы, когда места, отведенного для тех или иных расчетов в основных листах, оказывается педостаточно (например, при расчете реактивного падения напряжения или потерь и т. п.).

Основные данные трансформатора (в самой записке цифровые данные по трансформатору ТМ-10000/35 указаны без скобок, а в по-

яснениях к записке — в скобках).

Лист 1 содержит следующие данные:

1. Паспортные данные, а именно: тип (ТМ-10000/35); номинальная мощность, кВ-А (10 000); частота, Гц (50); схема и группа соединения (Y₀/∆-11); напряжение, В (35 000±2×2,5%/6600); установка (наружная). Эти данные берутся из паспортной таблички или задания по трансформатору. Здесь указаны не все паспортные данные; в частности, не указаны потери и напряжение короткого

# Расчетная записка

|                                                                     |                      |                                                                      |                            | 4                            | Трансформатор                                                 |
|---------------------------------------------------------------------|----------------------|----------------------------------------------------------------------|----------------------------|------------------------------|---------------------------------------------------------------|
| Московский э тектрозавод имени В. В. Куйбышева                      |                      | Основные данные трансфор-<br>матора                                  | Тип ТМ-10000/35            | 35 19                        | 1-й лист                                                      |
|                                                                     |                      |                                                                      | San                        | Заказ                        |                                                               |
| Заказчик                                                            |                      |                                                                      | H                          | Щиток                        |                                                               |
| Мощность, кВ·А, 10 000; частота, Гц, 50; схема Y <sub>0</sub> /A-11 | 000; частота, Гц, 50 | ; cxema Y <sub>0</sub> /A-11                                         | No.                        | Установка внутрен <i>няя</i> |                                                               |
| Напряжение, В, 35 000±2×2,5/6600                                    | 000±2×2,5/6600       |                                                                      |                            |                              |                                                               |
| Обмотки                                                             |                      | ВН                                                                   | CH                         |                              | НН                                                            |
| Испытанне главной изоляции                                          |                      | Напряжением, кВ=85                                                   | Напряжением,<br>кВ         | Напряжением, кВ = 25         |                                                               |
| Отводы                                                              |                      | ПБОТ -6; 95 мм²                                                      | B                          | разе: шина — 4,4×25;         | В фазе; шина — 4,4 $\times$ 25; в линин; шина — 5 $\times$ 40 |
| Вводы                                                               |                      | (4) 35 kB; 174 A                                                     | (3)                        | (3) 6,6 кВ; 875 А            |                                                               |
| Переключатели                                                       | (35 KB)              | (35 кВ); 174 А; стержней — 6                                         |                            |                              | _1                                                            |
| Остов — одинарный с                                                 | тержневой шихтован   | Остов — одинарный стержневой шихтозанный; сталь лакированная; 0,5 мм | ,5 мм                      | 12                           |                                                               |
| Днаметр стерж-<br>ня, мм                                            | Высота оква, мм      | Активное сечение, см2                                                | Магнитная индук-<br>ция, Т | Ватты на 1 кг                | Чистая масса стали, к г                                       |
| 470                                                                 | 1200                 | Стержень — 1368                                                      | 1,449                      | 3,12                         | Стержни — 3743                                                |
| МО, мм 789                                                          | -                    | Ярмо—1437                                                            | 1,380                      | 2,86                         | Ярма — 4367                                                   |
|                                                                     |                      |                                                                      |                            | _                            |                                                               |

| свету; 2500×1150 мм<br>ю мм<br>няе — поперечное;<br>падкне;                                                                                                                                                                                                                                                                                                                                                                                                                                                                                                                                                                                                                                                                                                                                                                                                                                                                                                                                                                                                                                                                                                                                                                                                                                                                                                                                                                                                                                                                                                                                                                                                                                                                                                                                                                                                                                                                                                                                                                                                                                                                   | етр 610×2220 мм                                                                |
|-------------------------------------------------------------------------------------------------------------------------------------------------------------------------------------------------------------------------------------------------------------------------------------------------------------------------------------------------------------------------------------------------------------------------------------------------------------------------------------------------------------------------------------------------------------------------------------------------------------------------------------------------------------------------------------------------------------------------------------------------------------------------------------------------------------------------------------------------------------------------------------------------------------------------------------------------------------------------------------------------------------------------------------------------------------------------------------------------------------------------------------------------------------------------------------------------------------------------------------------------------------------------------------------------------------------------------------------------------------------------------------------------------------------------------------------------------------------------------------------------------------------------------------------------------------------------------------------------------------------------------------------------------------------------------------------------------------------------------------------------------------------------------------------------------------------------------------------------------------------------------------------------------------------------------------------------------------------------------------------------------------------------------------------------------------------------------------------------------------------------------|--------------------------------------------------------------------------------|
|                                                                                                                                                                                                                                                                                                                                                                                                                                                                                                                                                                                                                                                                                                                                                                                                                                                                                                                                                                                                                                                                                                                                                                                                                                                                                                                                                                                                                                                                                                                                                                                                                                                                                                                                                                                                                                                                                                                                                                                                                                                                                                                               |                                                                                |
| ие — топеречное;<br>падкне;                                                                                                                                                                                                                                                                                                                                                                                                                                                                                                                                                                                                                                                                                                                                                                                                                                                                                                                                                                                                                                                                                                                                                                                                                                                                                                                                                                                                                                                                                                                                                                                                                                                                                                                                                                                                                                                                                                                                                                                                                                                                                                   |                                                                                |
| Marca 257.                                                                                                                                                                                                                                                                                                                                                                                                                                                                                                                                                                                                                                                                                                                                                                                                                                                                                                                                                                                                                                                                                                                                                                                                                                                                                                                                                                                                                                                                                                                                                                                                                                                                                                                                                                                                                                                                                                                                                                                                                                                                                                                    | Боздух———ме, мин, ——мм; тэ.С. Электрод вигатель вентилятора: Тип— — кВт, —— В, |
| мель — 2260 Вода — 1130 — 1130 — 1130 — 1130 — 1130 — 1130 — 1130 — 1130 — 1130 — 1130 — 1130 — 1130 — 1130 — 1130 — 1130 — 1130 — 1130 — 1130 — 1130 — 1130 — 1130 — 1130 — 1130 — 1130 — 1130 — 1130 — 1130 — 1130 — 1130 — 1130 — 1130 — 1130 — 1130 — 1130 — 1130 — 1130 — 1130 — 1130 — 1130 — 1130 — 1130 — 1130 — 1130 — 1130 — 1130 — 1130 — 1130 — 1130 — 1130 — 1130 — 1130 — 1130 — 1130 — 1130 — 1130 — 1130 — 1130 — 1130 — 1130 — 1130 — 1130 — 1130 — 1130 — 1130 — 1130 — 1130 — 1130 — 1130 — 1130 — 1130 — 1130 — 1130 — 1130 — 1130 — 1130 — 1130 — 1130 — 1130 — 1130 — 1130 — 1130 — 1130 — 1130 — 1130 — 1130 — 1130 — 1130 — 1130 — 1130 — 1130 — 1130 — 1130 — 1130 — 1130 — 1130 — 1130 — 1130 — 1130 — 1130 — 1130 — 1130 — 1130 — 1130 — 1130 — 1130 — 1130 — 1130 — 1130 — 1130 — 1130 — 1130 — 1130 — 1130 — 1130 — 1130 — 1130 — 1130 — 1130 — 1130 — 1130 — 1130 — 1130 — 1130 — 1130 — 1130 — 1130 — 1130 — 1130 — 1130 — 1130 — 1130 — 1130 — 1130 — 1130 — 1130 — 1130 — 1130 — 1130 — 1130 — 1130 — 1130 — 1130 — 1130 — 1130 — 1130 — 1130 — 1130 — 1130 — 1130 — 1130 — 1130 — 1130 — 1130 — 1130 — 1130 — 1130 — 1130 — 1130 — 1130 — 1130 — 1130 — 1130 — 1130 — 1130 — 1130 — 1130 — 1130 — 1130 — 1130 — 1130 — 1130 — 1130 — 1130 — 1130 — 1130 — 1130 — 1130 — 1130 — 1130 — 1130 — 1130 — 1130 — 1130 — 1130 — 1130 — 1130 — 1130 — 1130 — 1130 — 1130 — 1130 — 1130 — 1130 — 1130 — 1130 — 1130 — 1130 — 1130 — 1130 — 1130 — 1130 — 1130 — 1130 — 1130 — 1130 — 1130 — 1130 — 1130 — 1130 — 1130 — 1130 — 1130 — 1130 — 1130 — 1130 — 1130 — 1130 — 1130 — 1130 — 1130 — 1130 — 1130 — 1130 — 1130 — 1130 — 1130 — 1130 — 1130 — 1130 — 1130 — 1130 — 1130 — 1130 — 1130 — 1130 — 1130 — 1130 — 1130 — 1130 — 1130 — 1130 — 1130 — 1130 — 1130 — 1130 — 1130 — 1130 — 1130 — 1130 — 1130 — 1130 — 1130 — 1130 — 1130 — 1130 — 1130 — 1130 — 1130 — 1130 — 1130 — 1130 — 1130 — 1130 — 1130 — 1130 — 1130 — 1130 — 1130 — 1130 — 1130 — 1130 — 1130 — 1130 — 1130 — 1130 — 1130 — 1130 — 1130 — 1130 — 1130 — 1130 — 1130 — 1130 | ——M <sup>3</sup> /MRH, ——KГ/M <sup>3</sup>                                     |
| Активная часть—11 500 В плане Вак—2552 Радиаторы—4104 Распиритель—148 Ведиы—135                                                                                                                                                                                                                                                                                                                                                                                                                                                                                                                                                                                                                                                                                                                                                                                                                                                                                                                                                                                                                                                                                                                                                                                                                                                                                                                                                                                                                                                                                                                                                                                                                                                                                                                                                                                                                                                                                                                                                                                                                                               | Габаритные размеры, мм Высота до крышки до выеодов до выхлопной трубы          |
| Лрочее— 83 Бак                                                                                                                                                                                                                                                                                                                                                                                                                                                                                                                                                                                                                                                                                                                                                                                                                                                                                                                                                                                                                                                                                                                                                                                                                                                                                                                                                                                                                                                                                                                                                                                                                                                                                                                                                                                                                                                                                                                                                                                                                                                                                                                | Количество масла                                                               |
| Бак с арматурой: 7400         Радиаторы           Масло: 7800         Расширитель                                                                                                                                                                                                                                                                                                                                                                                                                                                                                                                                                                                                                                                                                                                                                                                                                                                                                                                                                                                                                                                                                                                                                                                                                                                                                                                                                                                                                                                                                                                                                                                                                                                                                                                                                                                                                                                                                                                                                                                                                                             | 9                                                                              |
| Параллельняя работа                                                                                                                                                                                                                                                                                                                                                                                                                                                                                                                                                                                                                                                                                                                                                                                                                                                                                                                                                                                                                                                                                                                                                                                                                                                                                                                                                                                                                                                                                                                                                                                                                                                                                                                                                                                                                                                                                                                                                                                                                                                                                                           | и работа                                                                       |

Про должение табл. 4-2:

|                                                  |                  |                                                                |                                            |                    |            | Трансформатор                                   |            |
|--------------------------------------------------|------------------|----------------------------------------------------------------|--------------------------------------------|--------------------|------------|-------------------------------------------------|------------|
| Московский элечтровавод<br>имеии В. В. Куйбышева | Расчет тра       | Расчет трансформатора                                          | Tun TM-10000/35                            | 10000/35           | 61 ,       | 2-й лист                                        | листов     |
| Облотки: Напряжение ВН 35 кВ                     |                  |                                                                | Мощность, кВ.А, 10 000                     | κΒ·Α, 10 000       | Напряже    | Напряжение НН 6,6 кВ, мощность,<br>кВ.А, 10 000 | мощность,  |
| Bonbr = 44;                                      | 36 750<br>21 200 | 36 750 35 870 35 000<br>21 200 20 720 20 210                   | 34 130<br>19 700                           | 33 250<br>19 200 B |            | 6600 B                                          |            |
| Ток, А                                           |                  | 157; 161; 165; 169; 174                                        | 5; 169; 174                                |                    |            | 875(505)                                        |            |
| По. ные витки                                    |                  | 482; 471; 460; 448; 436                                        | 0; 448; 436                                |                    |            | 150                                             |            |
| Прокладки                                        |                  | 12 по окружности: 40×62 мм                                     | ти: 40×62 мм                               |                    | 12 по      | 12 по окружности: 40×60 мм                      | <60 mm     |
| Число катушек на стержень (всего 64)             | 44;              | 52 <i>B</i> ;                                                  | 4C;                                        | 4D                 | (Bcero 52) | 10 K;                                           | 427        |
| Число витков в катушке                           | ેંગ્ર            | &∵                                                             | <b>6</b>                                   | 2 2                |            | 212                                             | -12<br>121 |
| Размеры провода                                  | ŏ                | A — 12,5,2,83 (2 парадлели) Остальные — 9,30,2,1 (2 парадлеги) | . (2 парадлели)<br>3.1<br>3.6 (2 парадлеги |                    | 31         | 12.5.3,05 (4 ларал ели)                         | т-ели)     |
| Поперечное сечение, мм²                          |                  | 35,1×2=70,2; 19,2×2=38,4                                       | 19,2×2=38,4                                |                    |            | 37,8×4=151,2                                    |            |
| Плотность тока, А/мм³                            |                  | 2,35; 4,29                                                     | 4.29                                       |                    |            | 3,34                                            |            |
|                                                  |                  |                                                                |                                            |                    |            |                                                 |            |

| 3,14×0,554=1,74 M      | 784=1,74.3.150 м                      | 0,0213 • 281,3 × 0,037 OM     | $\frac{(1060)}{1085} \qquad \Sigma = \frac{(2194)}{2260}$     |                      | Радиальный размер 1,03 [3,55(4,3)] = 44 + 1=45 1,02 [0.0000000000000000000000000000000000                                                                                                |
|------------------------|---------------------------------------|-------------------------------|---------------------------------------------------------------|----------------------|------------------------------------------------------------------------------------------------------------------------------------------------------------------------------------------|
| 3,14×0,703=2,21 M      | 3203=133+3070 M                       | 0,0135+0,57=0,5835 OM         | $\frac{(84)}{90} + \frac{(1050)}{1085} = \frac{(1134)}{1175}$ | Строение обмоток, мм | осевое строение: 44—13,9.4 ≈ 56; 60 остальные 9,8 60-588 8 × 1=28 8 × 1=28 8 × 8=64 1060 Опрессовка (23) Обмогка= 1037 до ярм — 163 окно — 1200                                          |
| Средняя длина витка, м | Полная длина, м (провода всех<br>фаз) | Сопротивление (фазы обмотки), | Масса меди, кг                                                |                      | ВН  4—1,03 [4,23(2.5)] = 44 + 1 = 45;  В—1,03 [2,6(2.8)] = 43 + 1 = 44;  С и D—1,03 [2,6(2.6)] = 32+10+1=43;  Регулировочная зона по высоте:  медь—9,8,8=79 разрые—28.1=28 каналы—6.7=42 |

| Московский электрозавод плени В. В. Куйбышева Обмотка СН — Мощн Ток, А Полиме витки | Расчет трансформатора | Тип ТМ-10000/35 19— 3-й лист листов                        |
|-------------------------------------------------------------------------------------|-----------------------|------------------------------------------------------------|
| Обмотка СН—<br>ение, В                                                              | ость, кВ.А            |                                                            |
| Напряжение, В<br>Ток, А<br>Полыве витки                                             |                       | Радиальное строение, мм                                    |
| Полиые витки                                                                        |                       | Радиус стержня 235<br>+5 расклиновка<br>240                |
| Прокладки<br>Число катушек на стержень                                              |                       | +4 цилиндр<br>244<br>+11 рейки<br>255                      |
| Размеры провода:<br>поперечное сечение, А/мм²<br>Съевное влания вите»               |                       | +44 HH 299 +1                                              |
| орудиля длина<br>Полная длина<br>Электрическое <sub>в</sub> сопротивление           |                       | +13 канал<br>313                                           |
| Масса меди (для обмотки СН)                                                         |                       | +5 цилиндр<br>318<br>+12 рейки                             |
| Строение обмотки                                                                    |                       | 373<br>+43 BH<br>+1<br>Дваметр ВН — 748<br>32—между фазами |

| индры, мм:<br>480/488×1145—3 шт. мягкие<br>626/636×1145—3 шт. мягкие | M                 | Расстояние до бака:<br>2500—(1560 + 748);= 192 мм;<br>1150—748 = 402 мм |                                                                                                                           |                                                      |                                                                           |                                                               |  |
|----------------------------------------------------------------------|-------------------|-------------------------------------------------------------------------|---------------------------------------------------------------------------------------------------------------------------|------------------------------------------------------|---------------------------------------------------------------------------|---------------------------------------------------------------|--|
| Цялиндры, мм;<br>480/488×1145.<br>Реактивное падение напряжения      | Угловые шайбы, мм | $u_s = \frac{24.8}{10^4} \frac{505.150.188,6.0,964}{44.103,7} = 7,5\%,$ | где $\text{LR}D = \frac{4, 4 \cdot 27, 7}{3} + \frac{4, 3 \cdot 35, 15}{3} + 3, 1 \cdot 31, 45 = 188,6$ см; $k_R = 0,984$ | $u'_{s} = 2.75\%; u_{s0} = 7.5.1,0275 \approx 7,7\%$ | $\frac{1037}{44 + 43 + 31} = \frac{1037}{118} = 8,8; k_{R} \approx 0,964$ | $u'_{S} = 2.75\%$ ; $u_{S0} = 7.5 \cdot 1,0275 \approx 7.7\%$ |  |

| лева Расчет трансфо<br>гоки 1,52%                                                                                                 | рматора<br>75°С °С<br>35,000<br>6600<br>690<br>—                                                                                                                                                                                                                                                                                                                                                                                                                                                                                                                                                                                                                                                                                                                                                                                                                                                                                                                                                                                                                                                                                                                                                                                                                                                                                                                                                                                                                                                                                                                                                                                                                                                                                                                                                                                                                                                                                                                                               | Тип ТМ-10009/35 | 10000/35  |    | 101                  | Трансформатор                                       | ор          |
|-----------------------------------------------------------------------------------------------------------------------------------|------------------------------------------------------------------------------------------------------------------------------------------------------------------------------------------------------------------------------------------------------------------------------------------------------------------------------------------------------------------------------------------------------------------------------------------------------------------------------------------------------------------------------------------------------------------------------------------------------------------------------------------------------------------------------------------------------------------------------------------------------------------------------------------------------------------------------------------------------------------------------------------------------------------------------------------------------------------------------------------------------------------------------------------------------------------------------------------------------------------------------------------------------------------------------------------------------------------------------------------------------------------------------------------------------------------------------------------------------------------------------------------------------------------------------------------------------------------------------------------------------------------------------------------------------------------------------------------------------------------------------------------------------------------------------------------------------------------------------------------------------------------------------------------------------------------------------------------------------------------------------------------------------------------------------------------------------------------------------------------------|-----------------|-----------|----|----------------------|-----------------------------------------------------|-------------|
| . В. Куй 5ышева  ———————————————————————————————————                                                                              |                                                                                                                                                                                                                                                                                                                                                                                                                                                                                                                                                                                                                                                                                                                                                                                                                                                                                                                                                                                                                                                                                                                                                                                                                                                                                                                                                                                                                                                                                                                                                                                                                                                                                                                                                                                                                                                                                                                                                                                                | C C             | 100001/35 |    | 10                   | 4-й лист                                            | JANCTO      |
| m1²в Rв         Bнхревые токи 1,52%         m1²сRс         Bнхревые токи, %         m1²нRн         Bнхревые токи, 4,6%            |                                                                                                                                                                                                                                                                                                                                                                                                                                                                                                                                                                                                                                                                                                                                                                                                                                                                                                                                                                                                                                                                                                                                                                                                                                                                                                                                                                                                                                                                                                                                                                                                                                                                                                                                                                                                                                                                                                                                                                                                | ပ်              |           |    |                      |                                                     | _           |
| m1°в R <sub>B</sub> Вихревые токи 1,52%  m1°сR <sub>C</sub> Вихревые токи, %  m1° <sub>H</sub> R <sub>H</sub> Вихревые токи, 4,6% | 000 s 000 000 000 000 000 000 000 000 000 000 000 000 000 000 000 000 000 000 000 000 000 000 000 000 000 000 000 000 000 000 000 000 000 000 000 000 000 000 000 000 000 000 000 000 000 000 000 000 000 000 000 000 000 000 000 000 000 000 000 000 000 000 000 000 000 000 000 000 000 000 000 000 000 000 000 000 000 000 000 000 000 000 000 000 000 000 000 000 000 000 000 000 000 000 000 000 000 000 000 000 000 000 000 000 000 000 000 000 000 000 000 000 000 000 000 000 000 000 000 000 000 000 000 000 000 000 000 000 000 000 000 000 000 000 000 000 000 000 000 000 000 000 000 000 000 000 000 000 000 000 000 000 000 000 000 000 000 000 000 000 000 000 000 000 000 000 000 000 000 000 000 000 000 000 000 000 000 000 000 000 000 000 000 000 000 000 000 000 000 000 000 000 000 000 000 000 000 000 000 000 000 000 000 000 000 000 000 000 000 000 000 000 000 000 000 000 000 000 000 000 000 000 000 000 000 000 000 000 000 000 000 000 000 000 000 000 000 000 000 000 000 000 000 000 000 000 000 000 000 000 000 000 000 000 000 000 000 000 000 000 000 000 000 000 000 000 000 000 000 000 000 000 000 000 000 000 000 000 000 000 000 000 000 000 000 000 000 000 000 000 000 000 000 000 000 000 000 000 000 000 000 000 000 000 000 000 000 000 000 000 000 000 000 000 000 000 000 000 000 000 000 000 000 000 000 000 000 000 000 000 000 000 000 000 000 000 000 000 000 000 000 000 000 000 000 000 000 000 000 000 000 000 000 000 000 000 000 000 000 000 000 000 000 000 000 000 000 000 000 000 000 000 000 000 000 000 000 000 000 000 000 000 000 000 000 000 000 000 000 000 000 000 000 000 000 000 000 000 000 000 000 000 000 000 000 000 000 000 000 000 000 000 000 000 000 000 000 000 000 000 000 000 000 000 000 000 000 000 000 000 000 000 000 000 000 000 000 000 000 000 000 000 000 000 000 000 000 000 000 000 000 000 000 000 000 000 000 000 000 000 000 000 000 000 000 000 000 0000 |                 | ပ္        | ပ္ |                      | Характеристика                                      | ка          |
| m1°в Rв         BHXpebble токи 1,52%         m1°cRc         BHXpebble токи, %         m1°gHR         BHXpebble токи, 4,6%         | 069                                                                                                                                                                                                                                                                                                                                                                                                                                                                                                                                                                                                                                                                                                                                                                                                                                                                                                                                                                                                                                                                                                                                                                                                                                                                                                                                                                                                                                                                                                                                                                                                                                                                                                                                                                                                                                                                                                                                                                                            |                 |           |    |                      | BH—CH                                               |             |
| м18в 8<br>Вихревые токи 1,52%<br>m12cRc<br>Вихревые токи, %<br>Вихревые токи, 4,6%                                                | 690                                                                                                                                                                                                                                                                                                                                                                                                                                                                                                                                                                                                                                                                                                                                                                                                                                                                                                                                                                                                                                                                                                                                                                                                                                                                                                                                                                                                                                                                                                                                                                                                                                                                                                                                                                                                                                                                                                                                                                                            |                 |           |    | $u_a$ , %            | BH—HH                                               | 0,814       |
| Вихревые токи 1,52%  m1²cRc Вихревые токи, %  m1²н/ч Вихревые токи, 4,6%                                                          | 900                                                                                                                                                                                                                                                                                                                                                                                                                                                                                                                                                                                                                                                                                                                                                                                                                                                                                                                                                                                                                                                                                                                                                                                                                                                                                                                                                                                                                                                                                                                                                                                                                                                                                                                                                                                                                                                                                                                                                                                            |                 |           |    |                      |                                                     |             |
| мг°сRс<br>Вихревые токи, %<br>мг²н <sup>2</sup> н <sup>4</sup> .<br>Вихревые токи, 4,6%                                           | 300                                                                                                                                                                                                                                                                                                                                                                                                                                                                                                                                                                                                                                                                                                                                                                                                                                                                                                                                                                                                                                                                                                                                                                                                                                                                                                                                                                                                                                                                                                                                                                                                                                                                                                                                                                                                                                                                                                                                                                                            |                 |           |    |                      | CH-HD                                               |             |
| <i>М</i> <sup>1</sup> <sup>8</sup> <sup>4</sup> <i>R</i> <sub>H</sub> Вихревые токи, 4,6%                                         | 300                                                                                                                                                                                                                                                                                                                                                                                                                                                                                                                                                                                                                                                                                                                                                                                                                                                                                                                                                                                                                                                                                                                                                                                                                                                                                                                                                                                                                                                                                                                                                                                                                                                                                                                                                                                                                                                                                                                                                                                            |                 |           |    |                      | BH — CH                                             | 1           |
| m1² <sub>H</sub> R <sub>H</sub> Вихревые токи, 4,6% (и обмоток                                                                    | 300                                                                                                                                                                                                                                                                                                                                                                                                                                                                                                                                                                                                                                                                                                                                                                                                                                                                                                                                                                                                                                                                                                                                                                                                                                                                                                                                                                                                                                                                                                                                                                                                                                                                                                                                                                                                                                                                                                                                                                                            |                 |           |    | $n_{\mathbf{K}}$ . % | BH-HH                                               | 7,72        |
| н .н<br>Вихревые токи, 4,6%<br>(и обмоток                                                                                         |                                                                                                                                                                                                                                                                                                                                                                                                                                                                                                                                                                                                                                                                                                                                                                                                                                                                                                                                                                                                                                                                                                                                                                                                                                                                                                                                                                                                                                                                                                                                                                                                                                                                                                                                                                                                                                                                                                                                                                                                |                 |           |    |                      | CH-HH                                               | 1           |
| DAXDEBRE TOKA, *,0%                                                                                                               | 1300                                                                                                                                                                                                                                                                                                                                                                                                                                                                                                                                                                                                                                                                                                                                                                                                                                                                                                                                                                                                                                                                                                                                                                                                                                                                                                                                                                                                                                                                                                                                                                                                                                                                                                                                                                                                                                                                                                                                                                                           |                 |           |    | Намагничиваю         | Намагничивающий ток, %, і ==                        | 2,68        |
| ци обмоток                                                                                                                        | 1900                                                                                                                                                                                                                                                                                                                                                                                                                                                                                                                                                                                                                                                                                                                                                                                                                                                                                                                                                                                                                                                                                                                                                                                                                                                                                                                                                                                                                                                                                                                                                                                                                                                                                                                                                                                                                                                                                                                                                                                           | -               |           |    | Township and T       | ta                                                  |             |
| (и обмоток                                                                                                                        | 500                                                                                                                                                                                                                                                                                                                                                                                                                                                                                                                                                                                                                                                                                                                                                                                                                                                                                                                                                                                                                                                                                                                                                                                                                                                                                                                                                                                                                                                                                                                                                                                                                                                                                                                                                                                                                                                                                                                                                                                            |                 |           |    | I UK BUSUY WACH      | Llandramanoon                                       | I wor gr    |
|                                                                                                                                   | 5100                                                                                                                                                                                                                                                                                                                                                                                                                                                                                                                                                                                                                                                                                                                                                                                                                                                                                                                                                                                                                                                                                                                                                                                                                                                                                                                                                                                                                                                                                                                                                                                                                                                                                                                                                                                                                                                                                                                                                                                           |                 |           |    | (7)                  | 33,35.3743 = 125 000 B·A<br>23,6.4357 = 103 000 B·A | 00 B.A      |
|                                                                                                                                   | 81 390                                                                                                                                                                                                                                                                                                                                                                                                                                                                                                                                                                                                                                                                                                                                                                                                                                                                                                                                                                                                                                                                                                                                                                                                                                                                                                                                                                                                                                                                                                                                                                                                                                                                                                                                                                                                                                                                                                                                                                                         |                 |           |    | 6                    | 405.1368.10 = 404                                   | 268 400 B.A |
| В стали магнитопровода<br>Суммарные                                                                                               | 26 620<br>108 010                                                                                                                                                                                                                                                                                                                                                                                                                                                                                                                                                                                                                                                                                                                                                                                                                                                                                                                                                                                                                                                                                                                                                                                                                                                                                                                                                                                                                                                                                                                                                                                                                                                                                                                                                                                                                                                                                                                                                                              |                 |           |    |                      | $\frac{268401}{10 \cdot 10000} = 2.68\%$            | %85         |
|                                                                                                                                   |                                                                                                                                                                                                                                                                                                                                                                                                                                                                                                                                                                                                                                                                                                                                                                                                                                                                                                                                                                                                                                                                                                                                                                                                                                                                                                                                                                                                                                                                                                                                                                                                                                                                                                                                                                                                                                                                                                                                                                                                | _               |           |    | 180                  | $\frac{40400}{268400}$ 100 = 15% (стыки)            | (стыки)     |
| Поверхность охлаждения, м² Бак                                                                                                    |                                                                                                                                                                                                                                                                                                                                                                                                                                                                                                                                                                                                                                                                                                                                                                                                                                                                                                                                                                                                                                                                                                                                                                                                                                                                                                                                                                                                                                                                                                                                                                                                                                                                                                                                                                                                                                                                                                                                                                                                | 18,38           |           |    |                      | C                                                   |             |
| Радиатор (9)                                                                                                                      | 31                                                                                                                                                                                                                                                                                                                                                                                                                                                                                                                                                                                                                                                                                                                                                                                                                                                                                                                                                                                                                                                                                                                                                                                                                                                                                                                                                                                                                                                                                                                                                                                                                                                                                                                                                                                                                                                                                                                                                                                             | 185,40          |           |    | -                    | Осдински                                            | υ           |
| Змесвик                                                                                                                           |                                                                                                                                                                                                                                                                                                                                                                                                                                                                                                                                                                                                                                                                                                                                                                                                                                                                                                                                                                                                                                                                                                                                                                                                                                                                                                                                                                                                                                                                                                                                                                                                                                                                                                                                                                                                                                                                                                                                                                                                | 1               |           |    |                      |                                                     | Расчетное   |
| Полная                                                                                                                            | ×                                                                                                                                                                                                                                                                                                                                                                                                                                                                                                                                                                                                                                                                                                                                                                                                                                                                                                                                                                                                                                                                                                                                                                                                                                                                                                                                                                                                                                                                                                                                                                                                                                                                                                                                                                                                                                                                                                                                                                                              | 203,78          |           |    |                      |                                                     |             |

| 1/4                                |           | 2/4                      | 3/4                                                                                                                            | 4/4     | 5/4 | 6/4                                                         |
|------------------------------------|-----------|--------------------------|--------------------------------------------------------------------------------------------------------------------------------|---------|-----|-------------------------------------------------------------|
| Масло<br>39,6+35 <b>≕</b> 74,6°С   |           |                          | 66,6+35=101,6°C                                                                                                                | o.      |     | 69,4+35=104,4°C                                             |
| Масло<br>47,5°C                    |           | 1                        | D.9*99                                                                                                                         | ာ့<br>၁ |     | 69,4°C                                                      |
| 528                                | l         | - [                      | 1 1                                                                                                                            | ı       |     | ı                                                           |
| $q_3$ , $\mathrm{Br}/\mathrm{M}^2$ | q₃, Br/™² | q <sub>Mar</sub> , Br/M? | $q_{\text{OG}}$ , Br/M <sup>2</sup><br>$q_{\text{BH}} = 21,4$ $\frac{165.8 \cdot 4,29 \cdot 1,0152}{0.782 \cdot 102,8} = 1540$ | CH      |     | $q_{HH} = 21, 4\frac{505.3.3,34.1,046}{0,724.111,2} = 1420$ |

Вихревые потери, потери от рассеяния и механические усилия

Вихревые потерн:  $P_{\text{вих.в.H}} = \frac{3.8}{10^7} \frac{(50.16.64.2.1.19.2)^2}{1037} = 1,52\%$   $P_{\text{вих н.H}} = \frac{3.8}{10^7} \frac{(50.12.52.3.05.37.8)^2}{1037} = 4.6\%$ 

Потери в коиструкциях:

 $P_{\rm KOHC} = \frac{2, 2.7, 7^2 \cdot 14490^2 \cdot 1368^2 \cdot 1037^3 \cdot 10^{-12}}{6300 \; [1037 + 2(525, 5-314, 5)]^2} = 5100 \; {\rm Br}$ 

# Таблица обмоточных данных ВН

| Мощность, кВ.А, 10 000 இ⊊  | Изоляция<br>между | слоями витками       | , La |             | 1   | 2 MM*.5*       | 2 MM* .5*                      |
|----------------------------|-------------------|----------------------|------|-------------|-----|----------------|--------------------------------|
| кВ·А, 1                    | Изс               |                      | 1    |             | 1   | 2 M            | 2 M                            |
| ощность,                   | Диаметр,<br>мм    | наруж-               | 750  |             | 748 | 746            | 746                            |
| M                          | Диам              | внут-<br>рен-<br>ний | 099  |             | 099 | 099            | 099                            |
| герж-                      | Размер, мм        | ради-<br>альный      | 45   |             | 44  | 43             | 43                             |
| Количество стерж-<br>ней 3 | Разме             | oce-<br>Boğ          | 13,9 |             | 8,6 | 9,8            | 9,8                            |
| Коли                       |                   | прово-               | 266  |             |     | 6140           |                                |
|                            | Macca             | да, кг               | 84   | (06)        |     | 1050<br>(1085) |                                |
| Катушек 64                 | Марка и размер    | провода              | TIB  | 12, 5.2, 83 | 1   | 115<br>9,8.2,1 | <b>Изо</b> ляция<br>нормальная |
| в 482                      | пара 7-           | проводов             | 2    |             | 2   | 2              | 62                             |
| Количество витков 482      | ушка              | всего                | 2    |             | œ   | 9              | 51/2                           |
| Количес                    | Каждая катушка    | витков<br>в слое     | -    |             | -   | -              | -                              |
|                            | Ka.               | слоев                | w    | 1           | 80  | 9              | 51/2                           |
| Напряжение,<br>кВ, 36 700  |                   | Hiryk                | 4    |             | 52  | 4              | 4                              |
| Напряз<br>кВ, З            | Ka-               | Тушки                | A    |             | В   | S              | Q                              |

## Плашмя

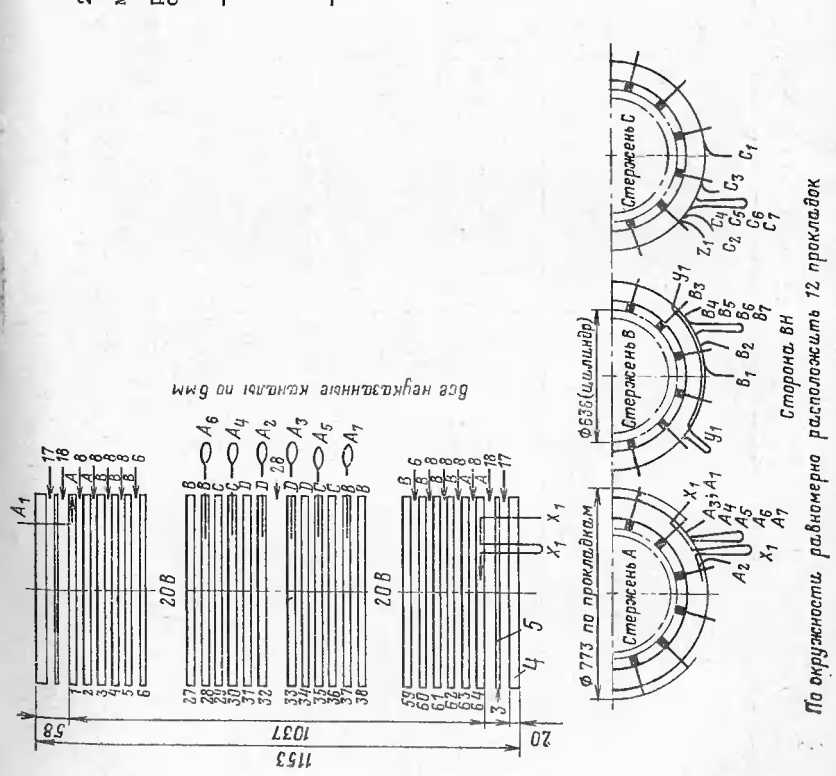
Расчетиая длина обмотки 1060, прессовка 23, после прессовки 1037 мм.

Разгон полосами из электрокартона для выравнивания радиальных размеров катушек (секций).

Примечания: 1. На один стержень изготовить непрерывную состсящую из 4 катушек А, 52 катушек В, 4 катушек С в 2. Намотка девя.
2. Намотка девя.
3. Рейки и после прессовки обрезать по порным кольцам 4.
4. Обмотка должна иметь указанные осевые разметы после прессовки.

5. Длина концов и петель (в одну сторону) по 6. Масса и длина провода даны на весь трансформатор. Тукатушки A, B в C будут иметь увеличение радиального размера в местах переходов на толицину одного провода.

| Macca,<br>Kr | 11,5                    | 44,6              | 0,2               | 12, #                        | 1,8                |
|--------------|-------------------------|-------------------|-------------------|------------------------------|--------------------|
| Материал     | Электро-<br>картон      | *                 | £                 | £                            |                    |
| Количе-      | 36                      | 0006              | 80                | ဖ                            | 9                  |
| Наименованке | Клин (рейка)<br>12×1350 | Прокладка<br>2/62 | Прокладка<br>1×62 | Коль <b>ио</b><br>664/754X20 | Шайба<br>664/754×3 |
| 2            |                         | 63                | භ                 | 4                            | ည                  |

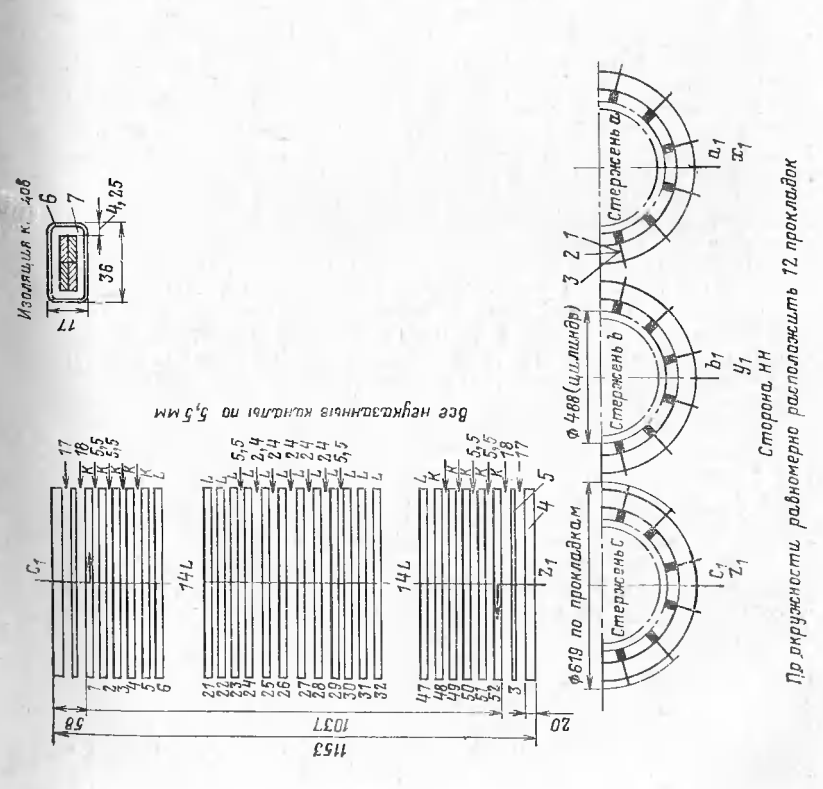


| тво витков 150 Количество стерж- Мошность, кВ.А, 10 000 | Марка правмер прово-<br>проводов да, кг | ресего проводов $\frac{120,000}{100000000000000000000000000000000$ | 2 <sup>9</sup> / <sub>12</sub> 4 ITB 12,5.3,05 1060 3148 13,0 45 510 600 — | // / / / / / / / / / / / / / / / / / / | DIVILLO |
|---------------------------------------------------------|-----------------------------------------|--------------------------------------------------------------------|----------------------------------------------------------------------------|----------------------------------------|---------|
| Количество витков 150                                   | Каждая катушка                          | BUTKOB DOBO                                                        | 29,12                                                                      | 211/12 4                               |         |
| Количес                                                 |                                         | витков в слое                                                      | 1                                                                          | -                                      | -       |
| +                                                       |                                         | c_oeB                                                              | 29/12                                                                      | 211/12                                 |         |
| Напряжение,<br>В, 6600                                  |                                         | Штук                                                               | 10                                                                         | 42                                     |         |
| Напря<br>В, Є                                           | Ka-                                     | тушкн                                                              | K                                                                          | 7                                      |         |

Расчетная длина обмотки 1049, прессовка 12, после прессовки 1037 мм.

Примечания: 1. На один стержень изготовить непрерывную обмотку, состоящую из 10 катушек K и 42 катушек L, намотанных на 2. Намотка везя. Палиндр мяткий  $\emptyset$  480/488×1145 мм.
2. Намотка везя, везя, закотканью по 4 мм на сторону и тафтяной элентой 0,25 мм на сторону.
4. Рейки J после прессояки обрезать по опорным кольцам 4.
5. Обмотка делжна иметь указаные ссевые размеры после опрессовки.
6. Дина концою от опорных колец 500 мм.
7. Масса и дляна проводов указаны на весь трансформатор.

| Macca,       | 11,5                    | 35,2              | 6,5                 | 9'6                         | 1,2                       | L                 | 1             |  |
|--------------|-------------------------|-------------------|---------------------|-----------------------------|---------------------------|-------------------|---------------|--|
| Материал     | Электро-<br>картон      | *                 | F                   | R                           | 8.                        | Тафтяная<br>лента | Лакоткань     |  |
| Коли-        | 36                      | 0069              | 5300                | 9                           | 9                         | 1                 | - 1           |  |
| Наименование | Клин (рейка)<br>11×1350 | Прокладка<br>2×60 | Прокладка<br>0,5×60 | Кольцо<br>≈ 514/604×<br>×20 | Шайба<br>⊘ 514/604×<br>×3 | Лента<br>0,25×20  | Лента<br>0,24 |  |
| ž,           | -                       | 63                | က                   | 4                           | rc.                       | 6                 | <u></u>       |  |



замыжания  $u_{\rm K}$ . Однако эти данные могут быть определены лишь после того, как рассчитаны обмотки и установлены их параметры и строение. Поэтому в записке МЭЗ они даются на четвертом листе основных данных трансформатора.

2. Испытательные напряжения обмоток, кВ: ВН (85), НН (25), которые берутся, исходя из класса изоляции обмоток, по табл. 2-1 и которые (гл. 2) определяют все изоляционные расстояния и раз-

меры изоляции (см. приложение 2).

3. Данные по отводам, вводам и переключателям, а именно: отводы ВН (кабель ПБОТ-6, 95 мм²), НН (в фазе шина 4,4×25; в линии шина 5×40 мм); вводы ВН (количество 4), 35 кВ, 174 А; соответственно НН (3), 6,6 кВ, 875 А; переключающие устройства ВН (35 кВ), 6 стержней, 174 А. Выбор проводников для отводов (круглый, шина, изолированный провод или кабель), а также их сечения и изоляции производится в зависимости от напряжения, тока и сложности схемы. Для трансформаторов средних и больших мощностей напряжением до 220 кВ круглые проводники (учитывая поверхностный эффект и гибкость) применяют диаметром не более 12 мм. При большем сечении отводов используют шину или кабель (например, типа ПБОТ). Из условий электрической, а также механической прочности диаметр круглого отвода должен быть: для средней мощности не меньше 4 мм, для большой мощности не меньше 12 мм.

Данные для выбора сечений различных проводников для отводов указаны в приложении 5, а для выбора изоляции и изоляционных расстояний — в приложении 2. Все данные по вводам указаны в приложении 6, а по переключающим устройствам — в гл. 9. Изоляционные расстояния от вводов в масле и на воздухе и рас-

стояния от переключателей указаны в приложении 2.

4. Параметры магнитопровода, а именно: тип остова (одинарный, стержневой, шихтованный); сталь (лакированная); толщина листов стали, мм (0,5); диаметр стержня, мм (470); высота окна, мм (1200); межосевое расстояние стержней (МО), мм (780); активное сечение стали, см²: стержней (1368) и ярм (1437); магнитная индукция, Т: в стержнях (1,449) и ярмах (1,38); удельные потери в стали в зависимости от марки стали и магнитий индукции (см. табл. П14-4), Вт/кг; в стержнях (3,12) и ярмах (2,86); чистая масса, кг: стержней (3743) и ярм (4367), всего (8110).

Поскольку при ремонтных работах магнитопровод уже имеется, параметры его являются основными исходными данными при необходимости расчета и изготовления новых обмоток (см. приложение 14-2). При отсутствии заводской расчетной записки все размеры магнитопровода получают из непосредственных замеров, а активное сечение, магнитную индукцию, массу и т. п. определяют по

соответствующим формулам (см. приложение 14-2).

5. Механические усилия на стержень, Н. В примере они не подсчитаны и поэтому не приводятся. Если возникает необходимость в их определении, то в разделе «Параметры короткого замыкания»

формуляра даны соответствующие формулы.

6. Данные по баку, радиаторам, расширителю и охлаждающим устройствам, а также массы отдельных элементов и трансформатора в целом. При ремонтных работах этими данными можно пользоваться как справочным материалом. Если они не указаны в заводской расчетной записке, то они могут быть взяты из приложения 1 по данным для аналогичных трансформаторов.

Листы 2 и 3 содержат данные о параметрах и строении обмоток.

 Параметры обмоток, а именно: мощность каждой обмот-ки, кВ·А: ВН (10 000), НН (10 000); напряжение одного витка (44); линейные (числитель) и фазные (знаменатель) напряжения на каждой ступени регулирования, т. е. +5%, +2,5%, номинал, -2,5%— 5%, В (см. записку, лист 2); токи линейные и фазные на каждой ступени регулирования. А: витки на фазу на каждой ступени регулирования.

В данной записке введена графа «Мошность каждой обмотки». так как в трехобмоточном трансформаторе общего назначения, а также в специальных трансформаторах мощности отдельных обмоток не всегда одинаковы. Значения указанных параметров обмоток получаются путем расчетов по соответствующим формулам

(см. приложение 14-1 и 14-3).

2. Строение и размеры обмоток и их отдельных элементов (катушек, витков и пр.), а также главной и продольной изоляции (прокладки, цилиндры, угловые шайбы), размеры вертикальных и горизонтальных масляных каналов и т. п. (см. записку листы 2 и 3).

а) При выборе числа прокладок по окружности руководствуются соображениями, указанными в § 2-3.

- б) Различие отдельных катушек в обмотках по числу витков, размерам и изоляции провода и т. п. (в примере: ВН-4А, 52В, 4C, 4D и HH — 10К и 42L) вызывается рядом условий, а именно требованиями: защиты входных катушек от импульсных перенапряжений; четного числа катушек в каждой половине обмотки, а также четного числа регулировочных катушек, когда необходимо, чтобы начальные, конечные и регулировочные ответвления выходили наружу обмотки; обеспечения заданного регулирования напряжения и т. п.
- в) Общее число катушек на стержень, а также размеры отдельных катушек по осевому направлению обмотки и размеры горизонтальных каналов между катушками выбирают так, чтобы общая высота обмотки после опрессовки поместилась в окне магнитопровода и при этом были обеспечены: 1) необходимые с точки зрения электрической прочности расстояния от обмотки до ярм (см. приложение 2); 2) место для размещения прессующего устройства (см. приложение 4); 3) размеры горизонтальных масляных каналов с точки зрения электрической прочности между входными и остальными катушками, а также разрыва в регулировочной зоне обмотки (см. приложение 2); размеры горизонтальных масляных каналов, необходимые с точки зрения охлаждения витков (cm. § 2-2).

г) Опрессовка обмотки берется равной 3-5% расчетной высоты столба прокладок из электрокартона, образующих горизон-

тальные масляные каналы.

д) При расчете заполнения окна магнитопровода по высоте подсчитывают отдельно высоту регулировочной зоны обмоток ВН и СН, а также разгона обмотки НН (назначение разгона указано в гл. 9).

е) Осевое строение различных обмоток подсчитывается по фор-

мулам, указанным в приложении 14-3.

Всякое нарушение симметрии в распределении витков с током в одной обмотке по отношению к распределению витков с током в другой обмотке дает соответствующие увеличение осевых усилий при концентрических обмотках и радиальных усилий при чередующихся обмотках. Поэтому размеры обмоток в осевом их направлении в первом случае и радиальные размеры обмоток во втором

должны быть одинаковыми.

ж) При выборе размеров проводов, если необходимо изготовить обмотку на новые параметры, приходится учитывать: а) допустимую плотность тока, А/мм², с точки зрения тепловых нагрузок и потерь как для начальных, так и для основных секций и витков (см. приложение 14-3); б) соотношение между осевым и радиальным размерами провода как с точки зрения учета воздействия магнитных полей рассеяния (идет ли поток рассеяния перпендикулярно или параллельно тому или иному размеру провода, образующего виток), так и с точки зрения технологической, т. е. возможности намотать из такого провода данный тип обмотки. Например, при изготовлении непрерывной обмотки, которая в отечественной практике выполняется с перекладкой нечетных катушек, наименьшее сечение витка, обеспечивающее его устойчивость при перекладке, примерно 6 мм² при размере провода по оси обмотки 4,4 мм.

В свою очередь число параллельных проводов в витке непрерывной обмотки с учетом добавочных потерь от несовершенства транспозиции допускается не более 4. Таким образом, максимальное сечение витков в непрерывной обмотке ограничивается суммарным сечением четырех параллельных проводов такого наибольшего размера, который допустим по добавочным потерям, а также по выполнению изгиба на ребро при переходе. При концентрических обмотках для обеспечения минимума добавочных потерь радиальный размер провода в непрерывных и винтовых обмотках, направленный перпендикулярно потоку рассеяния, должен быть по возможности минимальным. Кроме того, учитывая технологию изготовления этих обмоток, отношение осевого размера провода а к радиальному

*b* желательно иметь в пределах 2,5—3,5.

з) С учетом указанных соображений окончательные размеры проводов выбираются такими, которые позволяют разместить обмотки в окне дапной готовой магнитной системы как радиально, так и по высоте с выполнением при этом всех требований, определяющих электрическую прочность, термическую и электродинамическую стойкость обмоток.

и) Изоляция проводов, образующих виток, определяется клас-

сом изоляции обмоток (см. приложение 2).

к) В табл. 14-2 даны размеры прямоугольных обмоточных проводов (их сечений и изоляции), которые выпускаются отечественной промышленностью и на которые следует ориентироваться при расчете обмоток.

л) Радиальные размеры различных обмоток подсчитываются по

формулам, которые даны в приложении 14-3.

м) На листе 2 записки указапы выбранные для нашего примера размеры проводов и их изоляции (числитель — размеры голых проводов, знаменатель — размеры проводов с изоляцией) как для входных, так и для основных катушек, а также (в скобках) число параллелыных проводов, образующих виток: ВН (2 параллели) и НН (4 параллели). Дальше указано общее сечение меди витка, мм², с учетом сечения провода и числа параллелыых проводов, а также плотности тока в витке, А/мм².

н) Заполнение окна магнитной системы в радиальном направ-

лении дается на листе 3 записки.

Расчет заполнения окна в радиальном направлении ведется от диаметра стержня магнитопровода или, вернее, от диаметра окружности, описанной вокруг стержня магнитопровода, с учетом зазора на размещение деталей, раскрепляющих цилиндр внутренней обмотки от стержня.

С учетом размещения указанных распорных деталей зазор между описанной окружностью стержия магнитопровода и внутренним

диаметром первого изоляционного цилиндра берут не менее:

При диаметре стержня 100—150 мм... 3,5 мм " " 500 мм... 5 мм > 500 мм... 1% диаметра стержня

Затем идет радиальный размер главной изоляции внутренней обмотки от стержия. Эта изоляция обычно состоит из жесткого бумажно-бакелитового цилиндра определенной толщины и высоты или мягкого цилиндра определенной толщины, наматываемого из листов электрокартона, а также из вертикального масляного канала, образуемого рейками, которые предварительно набирают из полос электрокартона, склеивают бакелитовым лаком, опрессовывают и запекают (см. рис. 2-13 и 2-14). Числу реек соответствует число прокладок по окружности, образующих торизонтальные масляные каналы в непрерывных или винтовых обмотках, так как эти прокладки своими торцовыми вырезами закрепляются в процессе намотки обмоток на указанных рейках. Толщину и высоту цилиндра, а также радиальный размер масляного канала устанавливают, исходя из значения испытательного напряжения для данной обмотки, а также обеспечения ее охлаждения (см. приложение 2 и гл. 2).

При выборе толщины цилиндра следует учитывать также его мехапическую прочность как в зависимости от мощности трансформатора (масса обмотки), так и от назначения и условий работы трансформатора (электропечные и преобразовательные трансфор-

маторы).

Дальше идет радиальный размер внутренней обмотки (обычно НН). К этому размеру прибавляют 1 мм на перекладку при переходах. Затем идет радиальный размер главной изоляции между обмотками. Эта изоляция обычно состоит из двух масляных каналов и жесткого или мягкого цилиндра у трансформаторов напряжением до 35 кВ включительно и нескольких масляных каналов и, как правило, двух мягких цилиндров при напряжении 110 кВ (см. рис. П2-1) и трех и более мягких цилиндров при напряжении выше 110 кВ (см. рис. П2-6 и П2-7).

о) При пепрерывной или винтовой внутренней обмотке первый канал между внутренней обмоткой и цилиндром наружной обмотки создается наружными выступами прокладок, образующих горизонтальные масляные каналы во внутренней обмотке, а второй канал между цилиндром и наружной обмоткой (обычно ВН), а также каналы между цилиндрами образуются рейками. Толщина и высота цилиндров, а также размеры каналов устанавливаются с учетом тех же требований, что и для внутренней обмотки, исходя из зна-

чения испытательного напряжения обмотки ВН.

Дальше идет размер наружной обмотки в радиальном направлении, к которому также добавляют на перекладку при переходах 1 мм и устанавливают наружный диаметр этой обмотки. Вычтя этот диаметр из значения МО, получают расстояние между фазами, ко-

торое должно быть не меньше размера, указанного в табл. I12-2 для соответствующего значения непытательного напряження наружных обмоток.

Таким образом, при расчете заполнения окна магнитной системы по радиусу необходимо разместить в радиальном направлении в окнах имеющегося магнитопровода все расклинивающие детали, изоляцию и сами обмотки и обеспечить при этом соответствующие изоляционные расстояния и размеры изоляции, а также размеры вертикальных масляных каналов, достаточные для охлаждения обмоток.

При этом расчете устанавливаются расстояния от стержня до внутренней обмотки, между обмотками и между фазами, а также диаметры цилиндров, внутренние и наружные диаметры обмоток и

толщина реек.

п) После того как закончены расчеты по осевому и радиальному заполнению окна имеющегося магнитопровода, подсчитывают по каждой обмотке: 1) длину витка  $l_w = \pi D_{\rm cp}$ , м (в примере: для ВН 3,14 · 0,703 = 2,21 м и для НН 3,14 · 0,554 = 1,74 м); 2) полную длину витков обмоток всех трех фаз (в примере: для ВН 2,21 · 5 · 4 · 3 + +2,21 · 462 · 3 = 133 + 3070 м и для НН 1,74 · 150 · 3 = 784 м) и 3) активное сопротивление фазы каждой обмотки:  $R = \rho lw/s$  при  $\Theta = 75^{\circ}C$  (в примере: для ВН 0,0213 · 20 · 2,21/70,2 + 0,0213 · 440 · 2,21/38,4 = 0,0135 + 0,57 = 0,585 Ом; для НН 0,0213 · 1,74 · 150/151,2 = 0,037 Ом, где 0,0213 — удельное электрическое сопротивление меди при  $\Theta = 75^{\circ}C$ ).

р) Затем по формуле (П14-62) подсчитывают массы обмоток, кг (в примере: для ВН 84/90+1050/1085=1134/1175; НН 1060/1085 и всего 2194/2260, где числитель — масса голых проводов,

а знаменатель -- изолированных.

с) Лист 3 записки, помимо заполнения окна магнитной системы в радиальном направлении, включает в себя параметры и строение обмотки СН, если трансформатор трехобмоточный, а также количество и размеры цилиндров и угловых щайб.

Кроме того, на листе 3 подсчитываются размеры до бака, а также реактивное падение напряжения, т. е. напряжение рассея-

ния (см. записку, лист 3).

т) Расстояния до бака подсчитывают: 1) по длине, м:  $A_6$ — $(2MO+D_{\rm BH})$ , где  $A_6$ — длина бака в свету (в примере: 2,5 м), MO— расстояние между осями стержней и  $D_{\rm BH}$  наружный диаметр обмотки ВН [в примере: 2,5—(1,56+0·748)=0,192 м]; 2) по ширине, м:  $B_6$ — $D_{\rm BH}$ , где  $B_6$ — ширина бака в свету (в примере: 1,15—0,748=0,402 м).

 у) Напряжение рассеяния и<sub>в</sub> для трансформаторов общего назначения и концентрических обмоток МЭЗ подсчитывают по фор-

мулам (П14-92) и (П14-93)

(в примере: 
$$u_s = \frac{24.8}{10^4} \frac{505 \cdot 150 \cdot 188, 6 \cdot 0,964}{44 \cdot 103,7} = 7,5\%$$
).

Здесь 505 — фазный ток в обмотке НН, А; 150 — полное число витков на фазу в обмотке НН; 188,6 — сумма, см:

$$b_2 R_{2cp}/3 + b_1 R_{1cp}/3 + d_{00} R_{cp} = 2$$

(в примере:  $0.44 \cdot 0.277/3 + 0.43 \cdot 0.3515/3 + 0.31 \cdot 0.3145 = 0.407 + 0.503 + 0.976 = 1.886 м = 188,6 см; 0.964 — коэффициент Роговского [по <math>(\Pi 14-13)$ ] или по табл.  $\Pi 14-5$ ] (в примере  $H_{0.6}/\lambda = 1.037/(0.044 + 0.0000)$ 

+0.043+0.031)=1.037/0.118=8.8; по табл. П14-5 этому значению соответствует  $k_R=0.964$ ).

Здесь 44 — напряжение витка, В; 1.037 — высота обмотки, м;

24.8/10<sup>4</sup> — коэффициент [по формуле (П14-92)].

ф) Добавочное напряжение рассеяния  $u'_s$  подсчитывают по

формуле (П14-94).

Расчет трансформаторов обшего назначения ведут для ступени номинального напряжения, т. е. когла в обмотке ВН отключена половина регулировочных витков, что составляет по высоте половину регулировочной зоны (для нашего примера 0.0745 м, или 0.0745·100/1,037=7,12% общей высоты обмотки). Этот результат и надо было бы подставить как значение  $h_{\rm of}$  в формулу (П14-94). Однако в обмотке НН против регулировочной зоны сделан разгон, равный по высоте регулировочной зоны. Такой разгон уменьшает значение  $h_{\rm of}$  в 2 раза. Поэтому в формулу (П14-94) надо подставить значение  $h_{\rm of}$  =3,56%. Таким образом, добавочное напряжение рассеяния в нашем примере составит:

$$u'_{s} = \frac{h_{c6}}{2} \left( 1 + 0.5 \frac{\pi H_{c6}}{\lambda} \frac{h_{c6}}{100} \right) =$$

$$= \frac{3.56}{2} \left( 1 + 0.5 \frac{3.14 \cdot 103.7}{11.8} \frac{3.56}{100} \right) = 2.75\%.$$

х) Общее напряжение рассеяния будет равно:

$$u_{os} = u_s (1 + u'/100) = 7,5 \cdot 1,0275 \approx 7,7\%.$$

Лист 4 записки включает:

1. Потери, Вт, при  $\Theta$ =75°C: а) в металле каждой обмотки (эти потери могут быть подсчитаны по формулам (П14-66)—(П14-69)— основные и добавочные от вихревых токов при номинальной нагрузке; б) в отводах; в) в конструкциях (от полей рассеяния); г) суммарные в металле обмоток; д) в активном сечении магнитопровода и е) суммарные в трансформаторе (см. лист 4 записки). Все указанные потери могут быть подсчитаны по соответствующим формулам (см. приложение 14, II и IV).

Как видно из даиных листа 4 записки, МЭЗ подсчитывает основные потери в металле обмоток по формуле  $P'_{\rm M} = mI^2_{\rm \Phi}R$ , Вт, считая  $I_{\rm \Phi}$  и R' для ступени номинального напряжения; m—число фаз. В нашем примере: для ВН  $3\cdot165^2\cdot0.5835=45\,500$  Вт и для НН

 $3.505^2 \cdot 0.037 = 28300$  Br, a m=3.

Добавочные потери в обмотках от вихревых токов МЭЗ считает по формулам (П14-69) и (П14-75), а потери в конструкциях (от рассеяния) — по формуле (П14-81). [В примере: а) вихревые потери ВН равны 1,52%, т. е.  $0.0152P'_{1M}=0.0152\cdot45\,500=690$  Вт и для НН равны 4,6%, т. е.  $0.046P'_{2M}=0.046\cdot28\,300=1300$  Вт; б) потери в конструкциях 5100 Вт (см. записку лист 4).

2. Поверхность охлаждения, м<sup>2</sup>, бака, радиаторов и полную. Подсчет поверхности овального бака производят по формуле (140) формуляра. В нашем примере: [2(2,5—1,15)+3,14·1,15]2,65+0,75×

 $\times 2.61 = 16.42 + 1.96 = 18.38 \text{ m}^2$ .

Поверхности раднаторов в даниом случае равны 9.20,6 = 185,4 м², где 20,6 — эффективная поверхиость охлаждения двой-

ного радиатора при вертикальном расстоянии между осями патрубков 2285 мм (см. табл. П10-2).

Таким образом, полная поверхность охлаждения в нашем при-

мере составит 18,33+185,4=203,78 м<sup>2</sup>.

3. Удельные тепловые нагрузки, Вт/м², бака и обмоток.

Эти нагрузки подсчитывают по формулам (П14-135) и (П14-121) — (П14-124). Для нашего примера:

$$q_6=107\ 210/203, 78=528\ \mathrm{Br/m^2};$$
  $q_{\mathrm{BH}}=21, 4\cdot 165\cdot 8\cdot 4, 29\cdot 1, 0152/0, 782\cdot 102, 8=$   $=1540\ \mathrm{Br/m^2}$  (для катушек ВН);

 $q_{\rm H\,H}\!=\!21,4\cdot505\cdot3\cdot3,34\cdot1,046/0,724\cdot11\cdot2\!=\!1420$  Вт/м² (для катушек НН).

4. Превышение температуры, °С, над окружающим воздухом:

а) масла в верхних слоях  $\Delta\Theta_{\text{Mac}/\text{Bo3}}$ ; б) обмотки ВН  $\Delta\Theta_{\text{B.06/Bo3}}$  и в) обмотки НН  $\Delta\Theta_{\text{H.06/Bo3}}$ .

Превышение температуры подсчитывается по соответствующим

формулам приложения 14, разд V.

Для нашего примера при естественном масляном охлаждении:

a) 
$$\Delta \Theta'_{\text{MAC.BOS}} = 1.2 \cdot 0.262 q_6^{0.8} = 1.2 \cdot 0.262 \cdot 528^{0.8} = 1.2 \cdot 39.6 = 47.5 \, ^{\circ}\text{C};$$

6) 
$$\Delta\Theta_{\rm B~o5/Bo3} = \Delta\Theta_{\rm B~o5/mac}^{\rm e} + \Delta\Theta'_{\rm Mac/Bo3};$$

 $\Delta \Theta_{ ext{B of/Mac}}$  — для непрерывной наружной обмотки

0,358
$$k_{\rm K}q_{\rm BH}^{0,6} = 0$$
,358·0,93·1540<sup>0,6</sup> = 27,0°C;  
 $\Delta\Theta_{\rm B\,oG/E03} = 27 + 39$ ,6 = 66,6°C;

B) 
$$\Delta\Theta_{\text{H cG/Bo3}} = \Delta\Theta_{\text{H cG/Mac}} + \Delta\Theta'_{\text{Mac.Bo3}};$$

 $\Delta \Theta_{ ext{H of/Mac}}$  — для непрерывной внутренней обмотки

$$0.41k_{\rm K}q_{\rm HH}^{0.6} = 0.41 \cdot 0.96 \cdot 1420^{0.6} = 29.8^{\circ}{\rm C};$$
  
 $\Delta\Theta_{\rm H \, b6/BOS} = 29.8 + 39.6 = 69.4^{\circ}{\rm C}.$ 

5. Активное падение напряжения  $u_{\rm a}$ , %, п напряжение короткого замыкания  $u_{\rm K}$ , %, вычисляют по формулам (П14-88) и (П14-98). В нашем примере:

$$u_a = P_K/10P_H = 81390/10 \cdot 10000 \approx 0.814\%$$

Н

$$u_{\rm K} = \sqrt{0.814^2 + 7.7^2} = 7.72\%$$

здесь  $P_{\rm H}$  — мощность, кВ·А.

6. Намагничивающий ток подсчитывают по формуле (П14-50):

$$i = P_{\mu}/10P_{\rm H} = 268\,400/10\cdot10\,000 = 2,68\%$$

где  $P_{\mu}$  — намагничивающая мощность, В.А;

$$P_{\mu} = p_{\mu c}G_{c} + p_{\mu, sp}G_{sp} + p_{\mu, cT}S_{c}n_{cT}.$$

 $\dot{V}$ дельные намагничивающие мощности  $p_{\mu}$  берут по табл.  $\dot{\Pi}14\text{-}4$ 

в зависимости от значений магнитной индукции в стержиях и ярмах,  $B \cdot A/\kappa r$ , а в стыках — в зависимости от магнитной индукции в стержнях,  $B \cdot A/\kappa n^2$ , причем общая намагничивающая мощность стыков равна удельной мощности, умноженной на активное сечение  $S_c$  стержней,  $cm^2$ , и число стыков  $n_{cr}$ .

Таблицы 4-3 и 4-4 типовой расчетной записки МЭЗ включают обмоточные данные, по которым производят намотку обмоток. Табличные обмоточные данные по каждой обмотке, а также эскизы эбмоток со всеми размерами попятны сами по себе и не требуют

дополнительных пояснений.

Типовая расчетная записка МЭЗ вместе с помещенными в ней примером расчета и всеми сделанными пояснениями, а также приложение 14 дают все необходимые сведения и формулы, которые нужны для различных расчетов при том или ином виде ремонтных работ [Л. 6—7].

#### 4-3. ОСОБЕННОСТИ ТРАНСФОРМАТОРОВ С АЛЮМИНИЕВЫМИ ОБМОТКАМИ

В ряде стран выпускались и частично еще выпускаются трансформаторы с алюминиевыми обмотками. Такие силовые трансфор-

маторы общего назначения выпускаются к у нас.

Объясняется это сравнительно медленным развитием добычи и производства меди при все возрастающей потребности в ней, тогда как производство алюминия растет очень быстро и там, где это целесообразно и оправданно, медь стараются заменнть алюминием.

Цена обмоточного алюминиевого провода марки АПБ на 5—7% ниже цены медного обмоточного провода марки ПБ. В табл. 4-5 приведены основные физические свойства проводов из меди и алю-

миния.

Таблица 4-5 Основные физические свойства материалов для обмоточных проводов [Л. 8]

| Материал                            | Удельное электрическое<br>сопротивление р, Ом·м 10-6 |                   | Плотность,<br>кг/м <sup>8</sup> |
|-------------------------------------|------------------------------------------------------|-------------------|---------------------------------|
|                                     | при 20°С                                             | при 75°С          | WIIW                            |
| Медь электротехническая<br>Алюминий | 0,0175<br>0,0282                                     | 0,02135<br>0,0344 | 8900<br>2700                    |

Из данных табл. 4-5 следует: удельное электрическое сопротивление алюминиевых проводов в 1,61 раза больше медных; 2) плотность алюминия в 3,3 раза меньше плотности меди; 3) при одинаковых размерах (сечении и длине) и одном и том же токе потери в алюминиевых проводах будут в 1,61 раза больше, чем в медных; следовательно, для того чтобы при одном и том же токе потери в алюминиевых и медных проводах были одинаковы, необходимо снизить плотность тока в алюминиевых проводах в 1,27 раза, для чего во столько же раз увеличить пх сечение. Масса алюминневых проводов составит тогда 0,385 массы медных; 4) при одинаковых

массе и длине потери в алюминиевом проводе будут в 2 раза меньше, чем в медиом.

Из сравнения алюминиевых проводов с медными следует, что принципиально возможно создание таких трансформаторов с алюминиевыми обмотками, в которых при одинаковых токах будут иметь место небольшие потери и стоить эти трансформаторы будут не дороже, чем с медными обмотками.

Увеличение объема алюминиевых обмоток по сравнению с эквивалентными медными увеличивает стоимость работ по намотке обмоток; кроме того, пайка или сварка алюминиевых проводов зна-

чительно сложнее, чем медных.

Увеличение объема алюминиевых обмоток в свою очередь увеличивает расход отдельных изоляционных материалов, в частности бумажно-бакелитовых цилиндров (примерно на 30—35%), а также электрокартона и пропиточных лаков (примерно на 50—60%).

Однажо увеличение стоимости намотки и пайки, а также материалов компенсируется уменьшением массы и стоимости обмоточного провода. В результате стоимость рационального спроектированного трансформатора с алюминиевыми обмотками практически не отличается от стоимости эквивалентного трансформатора с медными обмотками.

П. М. Тихомиров [Л. 7] отмечает, что анализ серий трансформаторов показал следующие приближенные отношения параметров трансформаторов с алюминиевыми и медными обмотками, имеющих одинаковую мощность и одинаковые характеристики холостого хода

и короткого замыкания:

| 2.  | Диаметр стержня магнитопровода                                                                |
|-----|-----------------------------------------------------------------------------------------------|
|     | $l_{\text{c.a}} \approx (1 \div 1,05) l_{\text{c.m}}$                                         |
| Λ   | Principal Manuscript (1-1,00) (c.m                                                            |
| -X- | Высота магнитопровода (стержни                                                                |
|     | плюс два ярма) $H_{\text{Mar.a}} \approx (1,15 \div 1,3) H_{\text{Mar.m}}$                    |
| 5   | Витки в обмотке                                                                               |
| 0.  | Витки в обмотке                                                                               |
| о.  | Масса металла обмоток $G_{\text{сб.a}} \approx (0,63 \div 0,65) G_{\text{сб.м}}$              |
| 7.  |                                                                                               |
| 0   | Масса стали магнитопровода $G_{\text{ст.a}} \approx G_{\text{ст.m}}$                          |
| 0.  | Плотность тока в обмотках $\Delta_a \approx (0.55 \div 0.6) \Delta_M$                         |
| 9.  | Растягивающие напряжения в об-                                                                |
|     |                                                                                               |
| • • | мотках при коротких замыканиях $\sigma_{\rm p.a} \approx (0, 35 \div 0, 4)  \sigma_{\rm p.m}$ |
| 10. | Удельная тепловая нагрузка $q_a \approx (0,6 \div 0,7) \ q_{\rm M}$                           |
|     | 73 C (0,0-0,1) q <sub>M</sub>                                                                 |

Из приведенных соотношений параметров «алюминиевых» и «медных» трансформаторов видно, что для применения алюминия должны разрабатываться другие трансформаторы, отличающиеся

конфигурациями и размерами.

При ремонте же и модернизации трансформаторов приходится иметь дело уже с готовыми магнитопроводом и баком. В силу указанного замена в этом случае меди алюминием или обратно с получением при этом заданных параметров не всегда возможна. В каждом конкретном случае это должно решаться соответственно щими техническими и экономическими расчетами.

В приложении 14 и табл. П14-2 наряду с формулами и данными для расчета трансформаторов с медными обмотками приведены формулы и данные для расчета траисформаторов с алюминиевыми обмотками. Одновременно дана технология пайки и свар-

ки алюминиевых проводов, шин и листов (приложение 13).

#### ЧАСТЬ ВТОРАЯ

#### ТЕХНОЛОГИЯ РЕМОНТА И МОДЕРНИЗАЦИЯ ТРАНСФОРМАТОРОВ

#### ГЛАВА ПЯТАЯ

#### РАЗБОРКА И ДЕФЕКТИРОВКА ТРАНСФОРМАТОРОВ

#### 5-1. ОЗНАКОМЛЕНИЕ С РАБОТОЙ И ДОКУМЕНТАЦИЕЙ ПО ТРАНСФОРМАТОРУ

При любом виде ремонтных работ с подъемом активной части разбирают трансформатор и в процессе разборки производят его дефектировку, т. е. выявляют комплектность и состояние как трансформатора в целом, так и отдельных его узлов и деталей, а также характер аварии и ее причину. На основании данных дефектировки уточняют характер и объем ремонта. Прежде чем приступить к разборке и дефектировке

Прежде чем приступить к разборке и дефектировке трансформатора, необходимо выяснить на месте: 1) назначение трансформатора; 2) в каких условиях он работал или будет работать (характер нагрузки, наличие толчков и перегрузок, загрязненность воздуха и т. п.); 3) специальные требования; 4) какие дефекты и неисправности наблюдались и наблюдаются в процессе его эксплуатации (течь, быстрое старение, повышенная температура масла, ненормальный нагрев крышки или вводов; повышенные потери; повышенный шум и т. п.); 5) каким ремонтам и реконструкциям подвергался трансформатор, кем, когда и по каким причинам.

Затем необходимо ознакомиться со всей технической и эксплуатационной документацией по трансформатору, в частности: а) с паспортом трансформатора; б) с аварийными актами; в) с журналами ревизий и ремонтов; г) с протоколами испытаний; д) с протоколами анали-

зов и испытаний масла и т. п.

Собранные сведения необходимо проанализовать и составить предварительное заключение о состоянии трансформатора, его слабых местах и возможных дефектах, которые могли вызвать как аварию, так и ненормальности при его работе.

Для ориентировки в приложении 11 приведены основные типичные виды повреждений трансформаторов, их признаки, возможные причины и способы выяв-

ления.

Все сведения, полученные в результате ознакомления с работой и документацией по трансформатору, должны быть занесены в соответствующие разделы «Ведомости осмотра и дефектировки», форма которой имеется в каждой ремонтной организации.

#### 5-2. ВНЕШНИЙ ОСМОТР, ПРЕДВАРИТЕЛЬНЫЕ ИСПЫТАНИЯ И УСТАНОВЛЕНИЕ КОМПЛЕКТНОСТИ

#### Внешний осмотр

Прежде чем разбирать трансформатор, производят тщательный внешний осмотр как трансформатора в целом, так и его отдельных частей. При этом обращают внимание на конструктивные особенности и состояние каждой части, а также устанавливают комплектность трансформатора. На все недостающие части составляют отдельный список, который прикладывают к ведомости осмотра и дефектировки. При внешием осмотре как трансформатора в целом, так и его отдельных частей проверяют, нет ли загрязненностей, течей масла, механических повреждений (пробоин, вмятин, трещин, короблений), коррозии; проверяют состояние уплотнений и крепежных деталей, масломерного стекла, мембраны, мест сварки и креплений, исправность кранов и пробок; устанавливают необходимость покраски.

При осмотре вводов обследуют состояние шпилек (обгар, срыв резьбы), фарфорового изолятора (сколы, трещины, следы разрядов по поверхности, загрязнения); проверяют, нет ли течи масла через уплотнения, армировку, шпильки, внутренних повреждений в изоляторе (если отсутствуют внутренние повреждения, при легком постукивании по изолятору звук получается чистым и звонким, при наличии повреждений — звух глухой).

При осмотре ручного привода переключающего устройства барабанного типа классов напряжения 35 и

110 кВ, смонтированного на крышке, обращают внимание на отсутствие внешних повреждений, течи масла во

фланце и т. п. (рис. 5-3 и 11-32).

У трансформаторов, регулируемых под нагрузкой (РПН), оборудованных переключающим устройством типа РНТ с разрывом тока через токоограничивающий реактор, а также с быстродействующими контакторами и токоограничивающими активными сопротивлениями (например, типа РС-3) осматривают приводной механизм (состояние контактов, мальтийских шестерен и других частей механизма, наличие смазки в масленках и подшипниках приводного механизма). Кроме того, осматривают все другие части переключающего устройства, расположенные снаружи и доступные для осмотра (см. рис. 5-13).

Если позволяет состояние привода, то, чтобы убедиться в его работоспособности, производят все переключения в прямом и обратном направлении, предварительно ознакомившись с инструкцией по эксплуатации

переключающего устройства.

При осмотре приборов защиты и контроля (газовое реле, термометрический сигнализатор, термометр и пр.) обращают внимание на отсутствие внешних повреждений и течи масла. В дальнейшем после съема каждого прибора и его осмотра прибор отправляют в лаборато-

рию для проверки и испытания.

При осмотре охлаждающих устройств обследуют дутьевые вентиляторы и их двигатели, а при системе ДЦ — также охладители и маслопроводы, проверяя, нет ли загрязненности, каково состояние уплотнений и т. д. При системе масляно-водяного охлаждения типа Ц обследуют все элементы системы: задвижки, насосы, водяные маслоохладители (колонки), воздухоотделители, адсорберы, фильтры, приборы, трубопроводы, сигнальные устройства и т. п.

При осмотре термосифонных фильтров и воздухоосушителей проверяют состояние сорбента и устанавливают, есть ли необходимость в перезарядке фильтров (проверяют лабораторным испытанием адсорбционные свойства пробы сорбента). Индикаторный силикагель воздухоосушителя, пропитанный хлористым кобальтом, в сухом виде имеет голубую окраску, а увлажненный розовую; в последнем случае его восстанавливают или заменяют. Кроме того, обращают внимание на состояние наружных частей фильтров (отсутствие внешних повреждений, течи масла, ржавчины снаружи и внутри и т. п.).

#### Предварительные испытания

Если предварительное ознакомление с состоянием трансформатора показывает, что могут быть произведены те или иные отдельные испытания и измерения, то, прежде чем приступить к разборке трансформатора, целесообразно их провести с тем, чтобы уточнить состояние отдельных частей трансформатора и характер самих повреждений. Методика проведения испытаний дана в гл. 13.

В приложении 12 указаны отдельные дефекты, повреждения и неисправности, которые могут быть установлены и выявлены при помощи того или иного испытания.

Результаты испытаний, которые при дефектировке необходимо будет провести, должны быть оформлены протоколом.

Необходимо в конце внешнего осмотра измерить мегаомметром 2500 В сопротивление изоляции обмоток между собой, а также по отношению к корпусу при данной окружающей температуре, которая предварительно замеряется.

На основании результатов испытаний должны быть сделаны соответствующие заключения, которые, как и результаты внешнего осмотра, заносятся в ведомость осмотра и дефектировки.

#### 5-3. ПОДГОТОВИТЕЛЬНЫЕ РАБОТЫ

После внешнего осмотра наружных частей трансформатора сливают масло, откачивая его насосом через боковой нижний кран. Насос подсоединяют к сливной магистрали при помощи резинового шланга. Чтобы определить, в какую емкость слить масло, сливают немного масла в ведро. Если масло темное, т. е. горелое, его сливают в емкость для негодного масла, если масло светлое, — в емкость для масла, подлежащего сушке, очистке и восстановлению.

Перед разборкой трансформатора необходимо устроить помост. Для помоста (при ремонте на месте) изготовляют заранее несколько относительно легких

стремянок, свариваемых из труб, и заготовляют несколько досок (рис. 5-1). Стремянки устанавливают вокруг бака или активной части и укладывают на требуемой высоте на их перекладины необходимое количество досок. Такие стремянки могут быть использованы и для устройства различных стеллажей под инструмент, изоляцию, крепежные детали, приспособления и т. п.

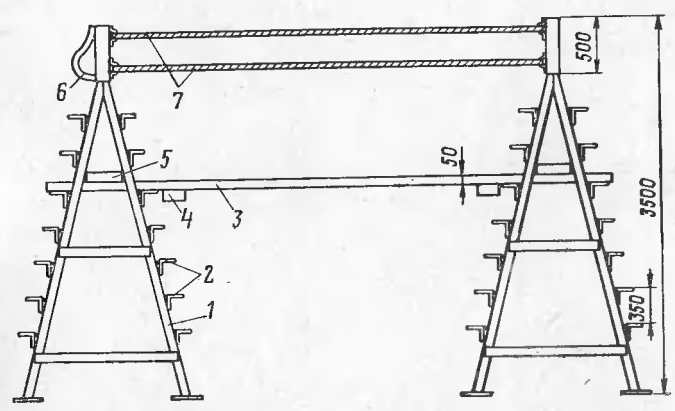


Рис. 5-1. Помост на стремянках, сделанных из труб. 1- стремянка; 2- перекладины из уголков; 3- помост из досок; 4- скрепляющая планка; 5- поперечная доска; 6- поручень; 7- натянутые веревки.

Установив у стены на том или ином расстоянии друг от друга две такие стремянки и уложив на их перекладины на разной высоте доски, быстро получают необходимый временный стеллаж.

Для разборки трансформатора, кроме стремянок и досок, необходимы переносные лестницы (рис. 5-2), устройство для съема и установки обмоток в виде крестовин или траверсы с лапами, различные тросы и стропы, пеньковая веревка, переносные ящики для инструмента и крепежных деталей, набор различных ключей и несколько шпал.

Если на крышке трансформатора смонтированы армированные вводы классов напряжения 35 кВ и ниже, а также приводы от переключающих устройств барабанного типа и крышка механически не связана с активной частью, то отсоединение отводов от указанных вводов и приводов от переключающих устройств производится через люк на крышке. Если крышка механически связана с активной частью, отводы и приводы 7—593

после подъема активной части отсоединяют вместе

с крышкой.

Рабочий, который будет отсоединять отводы через люк, должен освободить все карманы одежды от металлических предметов, а инструменты привязать лентой за ближайший болт или

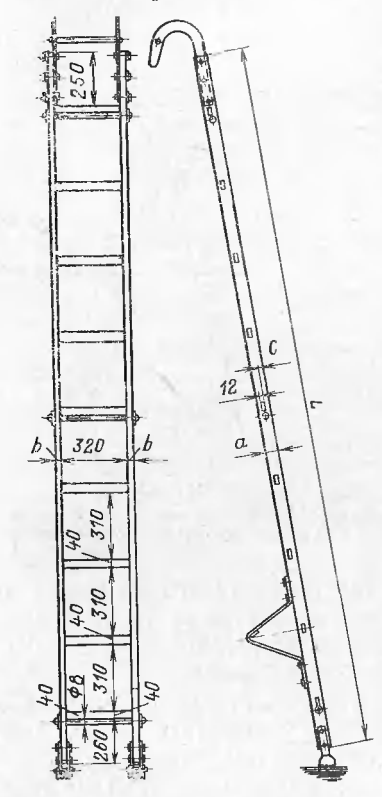


Рис. 5-2. Переиосная лестиица.

| L                                    | a                          | ь                                | с                          |  |
|--------------------------------------|----------------------------|----------------------------------|----------------------------|--|
| 4050<br>3350<br>3000<br>2300<br>1950 | 65<br>65<br>60<br>60<br>50 | 28<br>28<br>28<br>28<br>28<br>28 | 20<br>20<br>17<br>17<br>17 |  |

отверстие в крышке. Обувь рабочего не должна иметь металлических гвоздей. Все соединительные и крепежные детали по мере их снятия складывают в переносный ящик, устанавливаемый на крышке вблизи отверстия люка. При работах по отсоединению отводов и в условиях слабого освещения спускают в отверстие лю-ка переносную защищен-ную сеткой электролампу на 12 или 24 В.

Привод от переключа-ющего устройства барабанного типа классов напряжения 35 и 110 кВ отсоединяют, вынимая штифт 3 (рис. 5-3) с пружинной манжетой. Этим освобождают верхнюю муфту 5 штанги 6 от соединения ее со штырем 4, который вставлен во втулку 2, насаженную на вал колпака привода.

У трансформаторов РПН, на которых установ-

4050 65 28 20 лено переключающее 3350 65 28 20 устройство типа РНТ (см. 2300 60 28 17 рис. 11-33), сливают маголо из бачка контактора, осматривают состояние контактов, снимают вал, соединяющий избиратель с контактором, и отключают концы отводов от контактора. На концы отводов и проходные

болты контактора прикрепляют одноименные бирки. Для подготовки к демонтажу переключающих устройств с быстродействующими контакторами и токоограничивающими сопротивлениями типа РС-3 отсоединяют горизонтальный вал привода и через люки в стенке

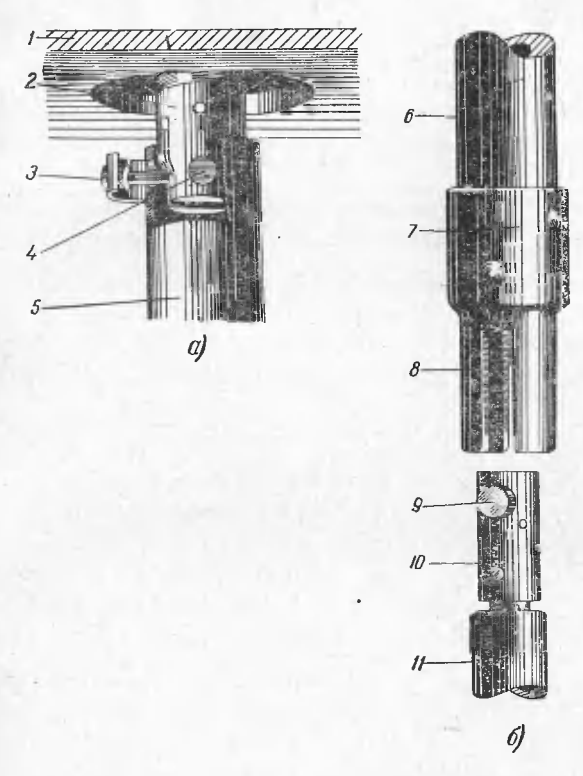


Рис. 5-3. Детали привода устройства ПБВ барабанного типа. a — соединение верхнего конца штанги с валом привода; b — соединение нижнего конца штангн с коленчатым валом переключателя; b — втулка на валу привода; b — штанрт с пружняной манжетой; b — штырь; b — верхняя муфта штангн; b — штанга; b — штанга; b — инжняя муфта штанги; b — верхняя муфты; b — штанга; b — переходная втулка; b — инжней муфты; b — штанга; b — переходная втулка; b — инжней коленчатого вала переключающего устройства.

бака регулировочные отводы от избирателя, предызбирателя и контактора.

При любом отсоединении отводов должны соблюдаться следующие правила: а) все резьбовые крепежные детали, после того как они были сняты, должны 7\* быть обязательно собраны, т. е. на резьбу должны быть надеты шайбы и навинчены гайки, контргайки и т. п.; б) все резьбовые детали после разборки должны быть сложены в переносную тару (ящики, ведра) до нового использования; к таре прикрепляют бирку с указанием ремонтного номера трансформатора. Если винты заржавели и не отвинчиваются, их смачивают керосином. После разборки трансформатора все металлические крепежные детали очищают от ржавчины, промывают в керосине и ревизуют. Если резьба имеет дефекты, ее по возможности восстанавливают при помощи метчиков и плашек.

#### 5-4. ДЕМОНТАЖ И ОСМОТР ПРИБОРОВ И ВЫСОКОВОЛЬТНЫХ ВВОДОВ

Приборы контроля температуры масла (термосигнализатор, термометр и пр.) снимают с крышки в первую очередь, чтобы не повредить их в процессе разборки. Эти приборы отправляют после осмотра в лабораторию для проверки и испытания.

Чтобы снять термометр, отвертывают колпачок на его оправе и снимают его, отвинтив отверткой винты в ее нижней части. Чтобы демонтировать термометрический сигнализатор, сначала отвинчивают винты, которыми при помощи скобочек прикреплен шланг с капил-

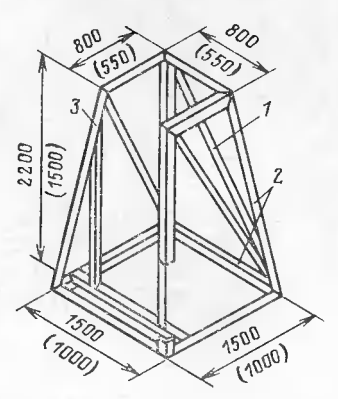


Рис. 5-4. Стойка для вводов 110—220 кВ.

1—угловая сталь 50×50 мм; 2 швеллер № 10; 3—угловая сталь 75×75 мм. Размеры в скобках для вводов 110 кВ.

ЛЯТОМ K стенке бака крышке. Потом снимают термобаллон, вывернув ключом штуцер из гильзы, установленной на крышке. После этого отвинчивают винты и снимают корпус термосигнализатора, смотав осторожно (без резких перегибов) в бухту шланг капилляра.

Высоковольтные вводы (110 кВ и выше) отсоединяют и демонтируют отдельно от крышки. Предварительно подготавливают стойки для установки вводов после их демонтажа (рис. 5-4), а также соответствующие стропы и подъемные сред-

ства. Демонтаж вводов 110 кВ и выше производят в основном одинаково.

Демонтаж вертикальных вводов 1 (рис. 5-5,а), установленных на крышке бака, производят в следующем порядке: а) отвертывают контактный колпак с наконечником ввода и болты, которыми крепится фланец 8 ввода; б) застропливают ввод за подъемные

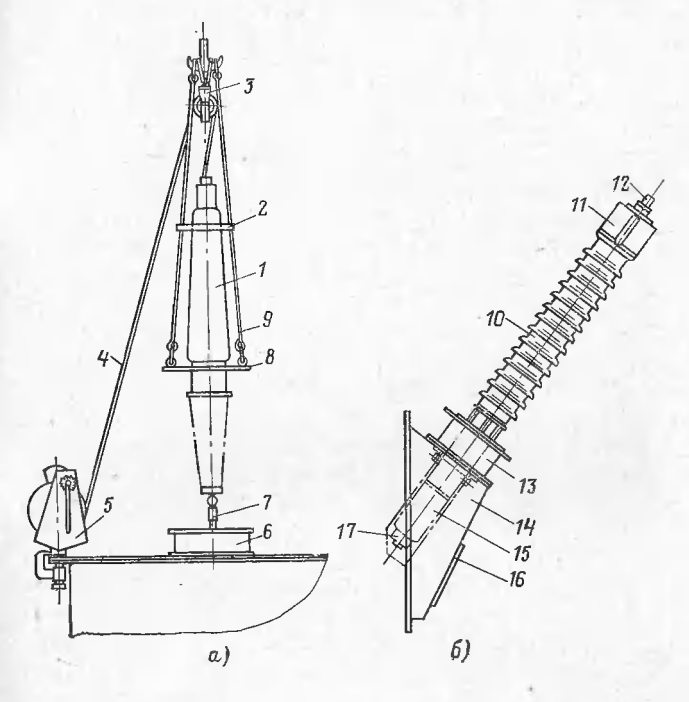


Рис. 5-5. Схема демонтажа и монтажа вводов 110-220 кВ. a- ввод вертикальной установки на крышке трансформатора; b- ввод наклонной установки в приварениом кармаие; b- и b- ввод b- переходные фланцы (адаптеры); b- иаконечник отвода с подъемным кольцом; b- фланец ввода; b- строп; b- расшнритель ввода; b- сонтактная клемма; b- карман; b- бумажно-бакелитовый цилиндр; b- люк; b- изолированный экран ввода.

кольца и привязывают веревкой или ремнем 2 верхнюю фарфоровую рубашку ввода к стропам 9; в) вынимают штифт из наконечника 7 отвода и привязывают к верхней части наконечника трос 4, который перекидывают через блок 3, специально подвешиваемый для этого к подъемному крюку. Трос привязывают для того, чтобы

было видно, что наконечник свободно проходит через токоведущую трубу; г) выравнивают крюк строго по оси ввода и начинают медленно поднимать ввод. При этом следят за тем, чтобы наконечник с тросом свободно уходил внутрь трубы ввода; в этом случае отвод обмотки будет оставаться на месте и не подниматься вместе с вводом.

Наклонные вводы демонтируют, последовательно перемещая их в вертикальном и горизонтальном направлениях, иногда снимая, если это удобнее, вместе с наклонным переходным фланцем (адаптером) 13 (рис. 5-5,б). Если наклонные вводы размещены в специальных карманах 14 на стенке бака и карманы съемные, вводы удобнее демонтировать вместе с карманами и устанавливать весь узел на стойку так, чтобы вводы располагались вертикально. При этом упрощает-

ся съем переходных фланцев и вводов.

Обычно наклонный ввод соединяют с отводом обмотки тросом, пропускаемым через токоведущую трубу ввода, но иногда соединение осуществляют непосредственно на нижней части токоведущей трубы. В этом случае ввод отсоединяют через люк 16 в кармане. Вынутый ввод ставят на крышку в подвещенном состоянии и снимают бумажно-бакелитовый цилиндр 15 с деревянными планками. Цилиндр и планки связывают вместе, навещивают на них бирку и укладывают на стеллаж. же бирку вещают на ввод. Трансформаторы тока, встроенные во фланцы высоковольтных вводов, на время ремонта помещают в сосуд с чистым сухим трансформаторным маслом. Затем ввод устанавливают на стойку. Армированные вводы классов напряжения 35 кВ и ниже снимают вместе с крышкой. Вводы со съемными изоляторами отсоединяют от отводов, снимая изоляторы.

### 5-5. ДЕМОНТАЖ И ОСМОТР ПРЕДОХРАНИТЕЛЬНОЙ ТРУБЫ, РАСШИРИТЕЛЯ, ГАЗОВОГО РЕЛЕ, КРЫШКИ И ОХЛАЖДАЮЩИХ УСТРОЙСТВ

После снятия и осмотра приборов и высоковольтных вводов демонтируют предохранительную (выхлопную) трубу, расширитель, газовое реле, разболчивают и снимают крышку (у мощных трансформаторов крышка, как правило, механически не связана с активной частью) и, наконец, демонтируют радиаторы.

Предохранительную трубу сначала отсоединяют от соответствующего крепления вверху, перевязывают веревкой и стропят за крюк крана. Затем отвинчивают болты на нижнем фланце и снимают трубу с крышки, следя за тем, чтобы не повредить мембрану.

Расширитель отсоединяют сначала от маслопровода, а затем от соответствующего крепления (см. рис. 11-36) и стропят тросом за подъемные кольца. При съеме рас-

ширителя обеспечивают сохранность масломерного стекла и воздухоосушителя, если он встроен в

расширитель.

Трансформаторы, оборудованные переключателем РС-3, имеют отдельное защитное реле типа RS-1000 (рис. 5-6). Реле с одной стороны соединено с камерой контактора, а с другой — с частью общего расширителя 2, отделенной перегородкой 3. представляющей собой. таким образом, как самостоятельный расширитель. Поэтому для снятия расширителя в этом случае отсоединяют его также и от трубы 6, идущей от реле 7.

Газовое реле и маслопроводы демонтируют после съема расширителя. Реле отправляют в лабораторию для проверки и испытания.

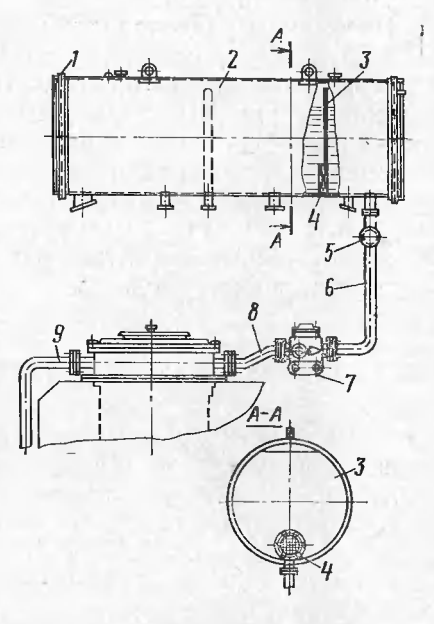


Рис. 5-6. Реле RS-1000 для защиты контактора переключающего устройства PC-3.

1 — маслоуказатель;
 2 — расширитель;
 3 — перегородка;
 4 — фильтр;
 5 — кран;
 6 и 8 — трубы
 25 мм;
 7 — реле
 RS-1000;
 9 — труба сифона.

**Крышку,** не связанную с активной частью, разболчивают, стропят за подъемные кольца, снимают и устанавливают на козлы для очистки, дальнейшей разборки и, если надо, для ремонта.

Радиаторы или навесные охладители ДЦ демонтируют следующим образом. Закрывают радиаторные краны (задвижки на маслопроводах) и стропят радиа-

тор (охладитель) за верхнюю скобу, слегка натягивают трос и отвинчивают гайки у нижнего и верхнего фланцев. После этого радиатор (охладитель) осторожно сдвигают на шпильках, снимают, отвозят в сторону и укладывают горизонтально на деревянные планки. Радиаторы укладывают друг на друга в штабели по нескольку штук, перекладывая их досками или планками. Охладители ДЦ укладывают отдельно, следя за тем, чтобы не повредить трубки и крыльчатки вентиляторов. На фланцы радиаторов и маслопроводов устанавливают заглушки или вставляют в патрубки деревянные проваренные в масле пробки. (О маслопроводах систем охлаждения ДЦ с выносными охлаждающими устройствами и Ц — см. приложение 10.) Для очистки, промывки и перезарядки снимают термосифонный фильтр. отсоединяя его от патрубков.

Все демонтируемые части тщательно осматривают, обнаруженные дефекты заносят в ведомость осмотра и

дефектировки.

#### 5-6. ПОДЪЕМ АКТИВНОЙ ЧАСТИ И ЕЕ ВНЕШНИЙ ОСМОТР

Сняв крышку или вместе с крышкой, если она механически связана с активной частью, поднимают активную часть и устанавливают на выкладку. Если в полу есть решетка для стока масла в емкость, выкладку делают над решеткой. Если решетки нет, для стока остатков масла устанавливают противень, сваренный из листов стали, и над ним делают выкладку из железнодорожных шпал. Если выкладка представляет собой два ряда шпал, уложенных друг на друга в виде клетки, то

шпалы скрепляют металлическими скобами.

Активную часть стропят за подъемные кольца, если она механически связана с крышкой (рис. 5-7,а), или за подъемные планки, если не связана (рис. 5-7,б). Угол между стропами на крюке должен быть не больше 30°. Активная часть должна висеть на крюке строго вертикально, без наклонов и перекосов. Предварительно крановщик должен проверить работу всех механизмов и тормозов крана. Поэтому активную часть сначала приподнимают не более чем на 300 мм над дном бака и убеждаются в том, что она застроплена правильно и что все тормоза и механизмы крана работают исправно.

Затем ее снова опускают на дно бака, поднимают, перевозят к месту установки и опускают на выкладку.

Во время подъема ни одна деталь активной части не должна задевать за стенки бака. Поднимать, перевозить и опускать активную часть надо осторожно, без рывков и раскачиваний. При опускании активной части необходимо обеспечить, чтобы она установилась на выкладке устойчиво, без наклонов и перекосов. После этого активную часть расстропливают и освобождают кран.

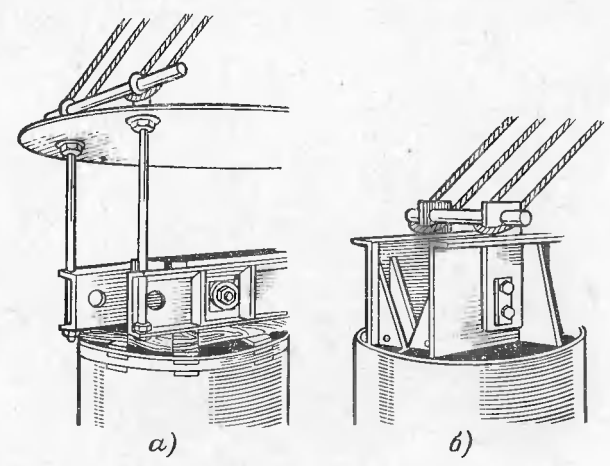


Рис. 5-7. Подъем активной части. a — за кольца;  $\delta$  — за планки.

У мощного трансформатора с баком колокольного типа, т. е. с разъемом внизу, после подъема «колокола» (верхней съемной части) активная часть остается на днище бака и в таком виде производится ее внешний

осмотр.

У высоковольтных трансформаторов 110—220 кВ имеется сложная изоляция и емкостная защита, барьеры различной формы: цилиндры 4 (рис. 5-8), угловые шайбы 6, ярмовые барьеры 10 и междуфазная изоляция (перегородки) 8, а также емкостные кольца обмотки 9, экранирующие витки обмотки и т. п.

В связи с внедрением более совершенных разрядников и снижением испытательных напряжений главная изоляция высоковольтных трансформаторов упрощена. Для примера на рис. 5-9 показана современная конст-

рукция главной изоляции у выпускаемых трансформаторов класса напряжения 110 кВ, где уменьшено количество барьеров и нет угловых шайб только в регуликонцентре, который выполнен отдельных внешних обмоток. Кроме того, ограничена специальная емкостная защита только емкостными обмоток EK в регулировочном концентре,

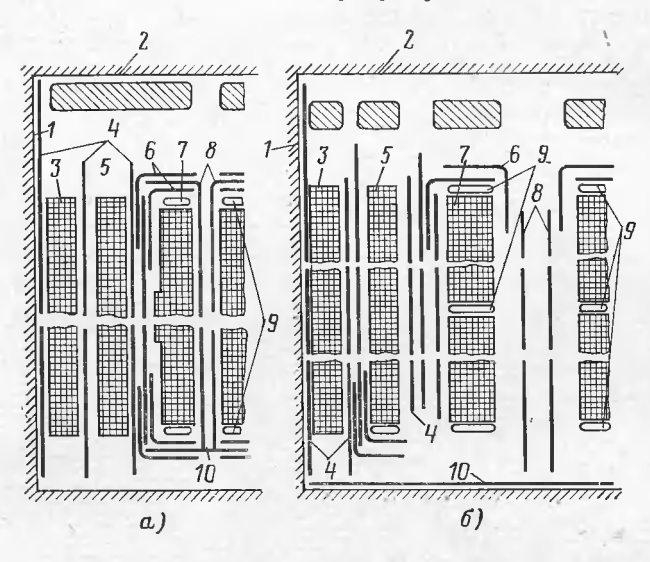


Рис. 5-8. Расположение барьеров главной изоляции трансформатора. a — трансформатор 110 кВ; b — то же 220 кВ; b — стержень магнитопровода; b — ярмо; b — обмотка НН; b — изоляционные цилиндры из электрокартона; b — обмотка СН; b — угровые шайбы; b — обмотка ВН; b — междуфазная перегородка; b — емкостные кольца обмотки; b — ярмовой барьер.

а также емкостным кольцом в обмотке BH, через которое осуществляется ввод в середину обмотки. Экранирующие витки отсутствуют, уменьшены отдельные изо-

ляционные расстояния.

Чтобы осмотреть у трансформаторов 220 кВ активную часть после ее отделения от бака, необходимо снять наружные барьеры (кезинги). В современных высоковольтных трансформаторах наружные барьеры закрывают только среднюю часть обмотки и не касаются ярмовой изоляции. Они скрепляются бандажами из нескольких рядов электрокартонных поясов, нарезанных лентами шириной 40—60 мм из листа большемерного электрокартона толщиной 2 мм. В старых конструкциях 106

высоковольтных трансформаторов кезинги полностью закрывают обмотки и опираются на нижнюю ярмовую изоляцию. При такой конструкции иногда появляются поверхностные разряды по кезингам. При ремонте такие кезинги заменяются современными. Это отмечают в ведомостях дефектировки активной части.

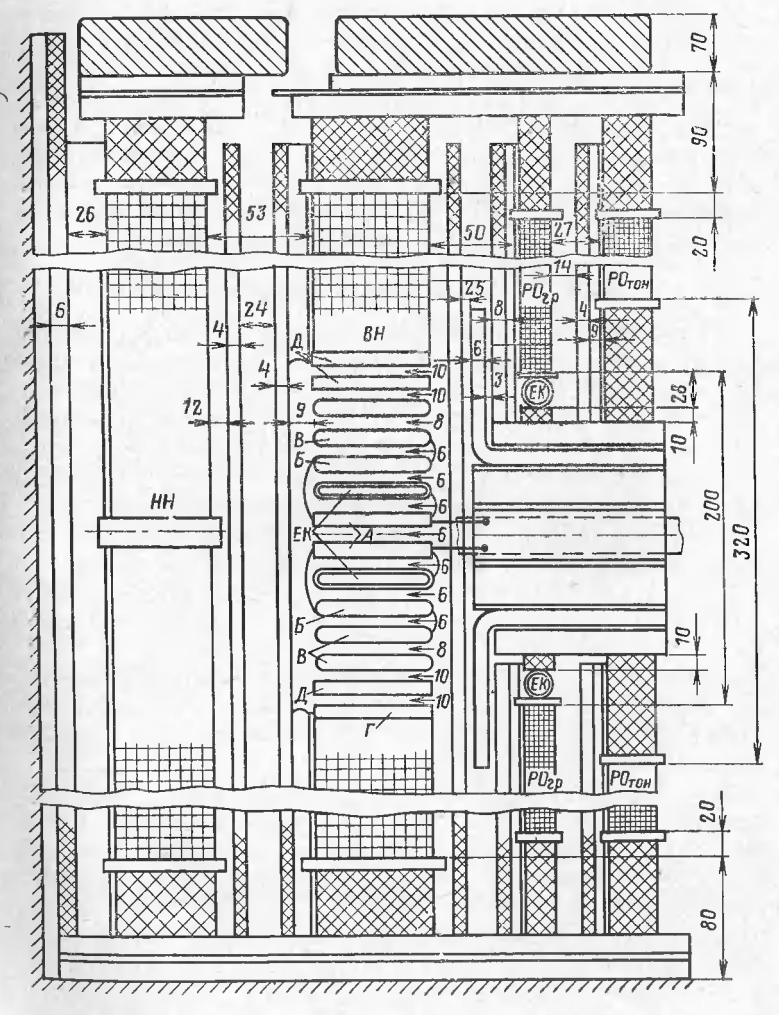


Рис. 5-9. Главная изоляция трансформатора 110 кВ с вводом в середине.

<-6, <-8, <-10 — размеры каналов между катушками, мм.

При съеме кезингов сначала снимают барьер, наиболее удобный по своему местоположению, а затем поочередно остальные. При съеме и складировании отмечают их верх и низ и навешивают на них бирки, на которых указывают порядковый. номер для безошибочной уста-

новки их на сборке в прежнее положение.

При внешнем осмотре активной части прежде всего обращают внимание на ее общее состояние [загрязненность, внешние повреждения и разрушения, кусочки оплавившейся меди («корольки»), обгары, обрывы, пробои и разряды] и на состояние опрессовки. Затем тщательно осматривают конструкцию и состояние каждого отдельного элемента активной части. Результаты внешнего осмотра уточняют по мере разборки активной части и заносят в ведомость осмотра и дефектировки.

# 5-7. ОСМОТР ОСНОВНЫХ ЭЛЕМЕНТОВ АКТИВНОЙ ЧАСТИ

Магнитопровод. Все современные трансформаторы выполняются с магнитопроводами из холоднокатаной трансформаторной стали толщиной пластин 0,35 мм, у которых, как правило, применяется бесшпилечная конструкция крепления и прессовки стержней и ярм. Пакеты стержней прессуют стальными ленточными бандажами 3 (рис. 5-10,a) или бандажами из стеклоленты 8 (рис. 5-10,b); пакеты ярма прессуют стальными полубандажами 5 (рис. 5-10,b). Предварительно пакеты активной стали ярма прессуют концевыми шпильками, которые вставляют в отверстия на концах ярмовых балок вне активной стали.

Верхние и нижние ярмовые балки связывают вертикальными шпильками или замковыми вертикальными пластинами из немагнитной стали (рис. 5-11), проложенными под бандажи по оси крайних пакетов стержней и сцепленными с ярмовыми балками. Замковые пластины применяют, чтобы разгрузить активную сталь магнитопровода от воздействия механических сил при коротких замыканиях, а также при подъеме мощного трансформатора.

Для равномерного распределения нагрузок по всем трем стержням и замковым пластинам применяют устройство с клином 3 для выбора зазора между шипом 1 замковой пластины и опорным шипом 4 ярмовой балки. Чтобы при этом не уменьшались опорные поверхности шипов замковой пластины и ярмовой

балки, шип 1 замковой пластины имеет цилиндрическую форму. На него надевают опорное самоустанавливающееся кольцо 7 со скосом, соответствующим скосу клина 3. Для выбора зазора в замковых соединениях отдельных фаз между шипами замковых пластин и ярмовых балок подтягивают клиновые вкладыши с по-

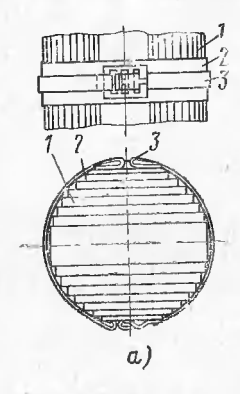
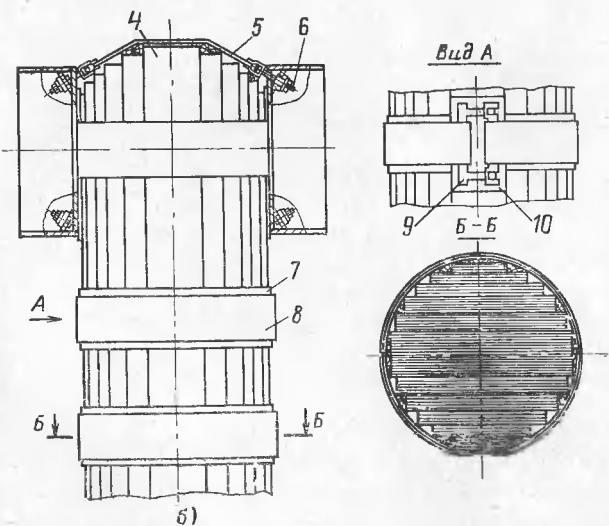


Рис. 5-10. Бесшпилечная конструкция крепления и прессовки стержней и ярм магнитопровода.



мощью винтов и стропят винты контргайками. Кольца 7 выравнивают при этом все отклонения при выполнении скосов.

Конструкции магнитопроводов из холоднокатаной стали с толщиной пластин 0,35 мм без отверстий

в активной стали имеют меньшие погери холостого хода и габаритные размеры и являются в настоящее время основными.

При внешнем осмотре таких магнитопроводов устанавливают конструкцию и состояние крепления и прессовки стержней и ярм; отсутствие внешних признаков повреждений стальных пластин и их изоляции (потемнение, цвета побежалости, следы нагрева, мест-

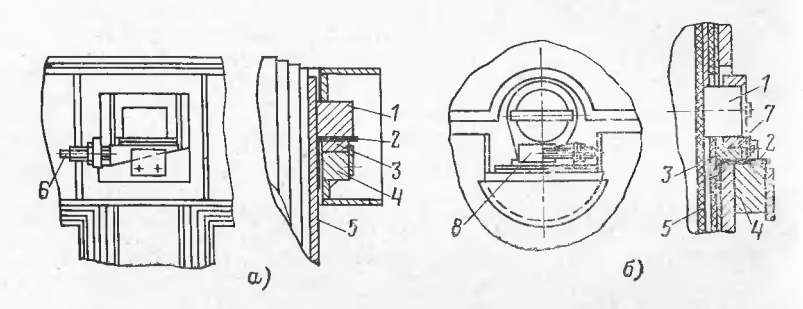


Рис. 5-11. Замковые пластины.

a— клиновое устройство выбора зазора между шипами ярмовой балки н замковой пластины;  $\delta$ — клиновое устройство с самоустанавливающимся кольцом; I— шип замковой пластины; 2— изоляционная прокладка; 3— клин для выбора зазора; 4— опорный шип ярмовой балки;  $\delta$ — замковая пластина;  $\delta$ — винт для стопорення клина; 7— сямоустанавливающееся кольцо;  $\delta$ — удерживающая пластина со шпилькой.

ное замыкание и выгорание, пожар в стали, заусенцы, изломы и т. п.); состояние каналов в активной стали; состояние стыков и изоляции в стыках; состояние изоляций бандажей и полубандажей, а также ярмовых балок (проверяют мегаомметром); конструкцию и состояние заземления; отсутствие ржавчины и загрязненности.

Обмотки и изоляция. При внешнем осмотре обмоток устанавливают: расположение их на магнитопроводе; схему соединений; тип обмоток ВН, СН, НН, регулировочной (непрерывная, винтовая одно- или многоходовая, дисковая, цилиндрическая одно- или многоходовая, переплетенная и т. п.); состояние витковой, продольной, ярмовой, уравнительной и всей главной изоляции (цвет, эластичность, хрупкость, отсутствие расслоения, вспучивания, трещин, следов пробоев и разрядов, механических повреждений и т. п.). Особое внимание обращают на состояние дополнительной изоляции входных катушек обмоток и емкостных колец обмоток, поскольку в практике наблюдаются случаи проникновения масла

под дололнительный слой изоляции, вспучивание этой изоляции и частичное закрытие масляных каналов между катушками. Все это нарушает циркуляцию масла, вызывает местные перегревы, быстрое окисление масла в замкнутом объеме, разложение изоляции и ускоренное ее старение. Также обращают внимание на конструкцию и состояние прессовки обмоток, качество изоляции отдельных элементов прессующего устройства, а также заземлений прессующих стальных колец.

Отводы. При осмотре отводов обращают внимание на состояние их изоляции, а также на состояние паек, резьбовых соединений, демпферов, системы креплений

и т. п.

Элементы переключающих устройств. При осмотре переключателей ответвлений и избирателей устанавливают: тип, конструкцию, расположение, крепление, сочленение с приводом, а также состояние самого узла и его отдельных деталей (контактов, пружин, изолирующих цилиндров и планок, штанги, деталей крепления и сочленения с приводом). Обращают внимание на отсутствие оплавления и выгорания контактных поверхностей; следов пробоев, разрядов и перекрытий на изолирующих деталях; трещин и поломок на деталях креплений и штанге; механических повреждений. Подробно дефектировка переключающих устройств рассматривается в гл. 9.

### 5-8. ИЗМЕРЕНИЯ И ОПРЕДЕЛЕНИЯ ПРИ ОСМОТРЕ АКТИВНОЙ ЧАСТИ

При осмотре активной части, ее отдельных элементов и деталей необходимо произвести ряд замеров и определений с целью установления размеров магнитопровода и обмоток, числа витков, изоляционных расстояний, состояния изоляции и т. п.

1. Для установления основных размеров магнитопровода необходимые замеры производятся следующим образом (рис. 5-12): для проверки расстояния между осями стержней MO замеряется длина ярма  $l_{\rm яр}$  и ширина средней основной ступени сечения стержня  $a_{\rm c}$ ; тогда для трехфазного трехстержневого магнитопровода  $MO = (l_{\rm яp} - a_{\rm c})/2$  мм, а для однофазного двухстержневого  $MO = l_{\rm яp} - a_{\rm c}$ , мм; высота окна  $H_0$  или стержней определяется как расстояние между внутренними пло-

скостями верхнего и нижнего ярм в свету. Измерять высоту необходимо в глубине окна, как можно ближе к середине толщины ярм; диаметр стержня  $D_{\rm c}$  замеряют как диагональ основного среднего пакета или же вычисляют по формуле  $D_{\rm c} = \sqrt{a^2_{\rm c} + b^2_{\rm c}}$ , где  $a_{\rm c}$  — ширина основного среднего пакета, а  $b_{\rm c}$  — его толщина, мм.

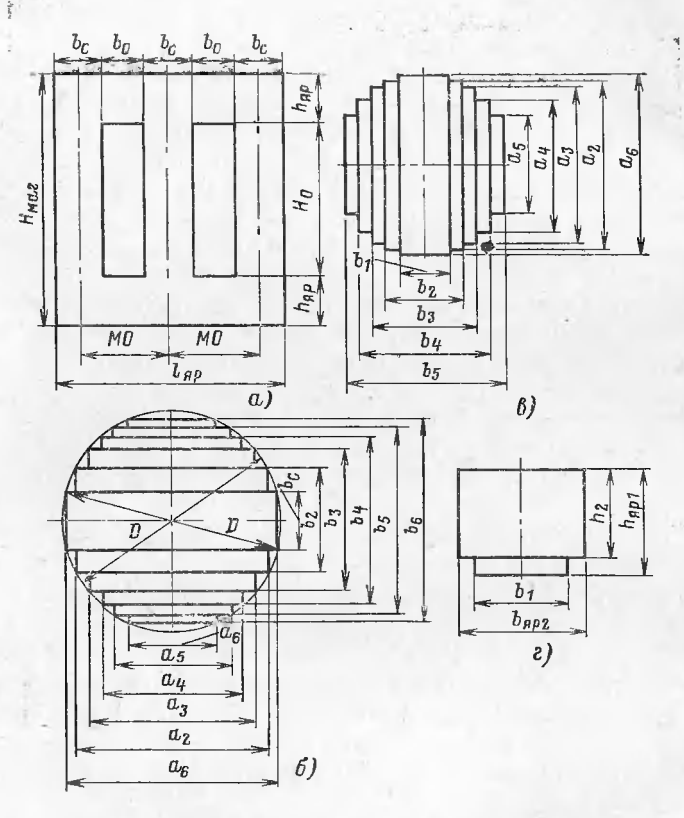


Рис. 5-12. Эскиз магнитопровода. a — магнитопровод; b — сечение стержня; b — сечение многоступенчатого ярма; a — сечение двухступенчатого ярма.

Размеры магнитопровода: МО, высота окна и диаметр стержня— являются весьма ответственными, и поэтому нужно их замерять с особой тщательностью. То же относится и к замерам ширины и толщины отдельных пакетов, а также толщины каналов и прокладок

между пакетами. Как известно, активное сечение стали стержней и ярм есть сумма сечений их отдельных пакетов (за вычетом каналов и прокладок), умноженная на коэффициент заполнения сечения, учитывающий изоляцию пластин стали [см. формулу (П14-32)]. Поэтому ошибки в замерах отдельных пакетов дадут неправильное значение активного сечения стали, а соответственно и неправильное расчетное значение магнитной индукции.

Во избежание ошибок все указанные отдельные замеры необходимо проверять и сопоставлять с общими размерами магнитопровода. Высота окна плюс две высоты ярма должны дать общую высоту магнитопровода; сумма толщин отдельных пакетов, включая каналы и прокладки, должна дать общую толщину стержня; двойное значение МО плюс ширина основного среднего пакета дают длину ярма в трехфазном стержневом магнито-

проводе и т. п.

2. Когда задание по трансформатору и его состояние требуют полной дефектировки, то определить размеры катушек и обмоток, отдельные изоляционные расстояния (в частности, заполнение окна магнитопровода в радиальном направлении), размеры цилиндров, числа витков в отдельных катушках, конструкцию и состояние внутренних обмоток, а также конструкцию и состояние всей внутренней изоляции (от обмотки до стержня и между обмотками) необходимо с разборкой активной части и снятием обмоток хотя бы одной фазы. В этом случае все указанные данные и размеры определяют путем непосредственного осмотра и прямых замеров. Некоторые определения и размеры можно установить и без разборки активной части и снятия обмоток.

Весьма ответственными данными при дефектировке обмоток являются размеры провода, а также определение числа витков на фазу. Для получения наиболее точных размеров провода замер этих данных необходимо производить как с изоляцией, так и без нее, а также в нескольких точках. Окончательный результат получается по среднему значению отдельных замеров. Основным размером является размер голого провода, определять который следует особо тщательно. Для отечественных трансформаторов полученные в результате замеров размеры провода необходимо сравнить со стандартными размерами обмоточных проводов, выпускае-

мых нашей кабельной промышленностью (см. табл. 14-2). Замеры провода производят микрометром, а при отсут-

ствии последнего — штангенциркулем.

Число витков на фазу определяют различно в зависимости от того, известны ли точно линейные значения напряжений ВН и НН, т. е. есть ли паслорт трансформатора или табличка на баке, а также производится ли дефектировка с разборкой или без разборки активной части и снятием обмоток. В первом случае число витков в обмотке НН можно, как правило, определить путем непосредственного подсчета, а именно установить: число катушек, число слоев в отдельных катушках, число витков в слое, число витков в катушке и, таким образом, подсчитать число витков в обмотке и число витков на фазу.

Зная линейные значения напряжений ВН и НН, а также схему соединений каждой обмотки (звезда, треугольник, зигзаг), можно по формулам приложения 14, разд. I, определить напряжение одного витка  $u_{\rm H}$ , а затем установить и число витков на фазу в обмот-

ке ВН.

Если имеется паспорт трансформатора, то дефектировка обмоток призводится без разборки активной части и съема обмоток, а если отсутствует паспорт, то число витков на фазу в обмотках можно определить при помощи контрольной обмотки. Для этого одну из фаз наружной обмотки ВН обертывают листами электрокартона на толщину 1-2 мм и поверх полученного таким образом мягкого цилиндра наматывают изолированным проводом то или иное известное небольшое число витков (12-20), располагая их равномерно по всей высоте обмотки. На данную фазу обмотки ВН подают низкое напряжение (120-380 В) и по вольтметрам, подключенным к концам контрольной обмотки, а также к концам обмоток ВН и НН, замеряют как значение напряжения, поданного на обмотку ВН, так и значения напряжений, трансформируемых в обмотках НН и «контрольной». Поскольку число витков и напряжение на контрольной обмотке точно известны, а также известны имеющие место в этом случае фазные напряжения обмоток ВН и НН, то число витков на фазу в этих обмотках можно легко подсчитать по приложению 14, I и III. Вольтметры для указанных замеров необходимо брать класса точности 0,2 или 0,5 с такими шкалами, которые позволяли бы получать отчетливые показания.

3. Состояние бумажной изоляции провода, а также состояние электрокартона, из которого в основном изготовляется вся изоляция трансформатора, определяется в зависимости от эластичности, твердости или хрупкости, а также тех деформаций, которые получаются при нажатии пальцем, царапании ногтем и полном изгибе или изгибе под углом.

Практикой установлена следующая классификация

изоляции трансформатора.

1-й класс — изоляция хорошая; электрокартон нехрупкий, при полном изгибе вдвое, но без сдавливания мест изгиба, не ломается и не дает трещин; изоляция провода эластичная, при нажатии пальцем не дает остаточных деформаций, при царапании ногтем не разрушается, с трудом снимается с провода, будучи снята с помощью надреза при изгибе не ломается; цвет изоляции светлый.

2-й класс — изоляция удовлетворительная; электрокартон нехрупкий, при изгибе под углом не ломается, но при полном изгибе дает трещины; изоляция провода твердая, при нажатии пальцем не дает трещин и деформаций, будучи снята с провода с помощью надреза, при изгибе не ломается, но дает мелкие трещины; цвет изоляции светлый.

3-й класс — изоляция ограниченно годная; электрокартон при полном изгибе ломается; изоляция провода хрупкая, при нажатии пальцем дает мелкие трещины или деформации; цвет изоляции потемневший.

4-й класс — изоляция плохая; электрокартон при изгибе до прямого угла ломается, а изоляция провода при нажатии рукой дает значительные деформации или раз-

рушения; цвет изоляции темный.

При определении состояния изоляции следует основное внимание обращать не на цвет ее, а на эластичность и отсутствие деформаций, трещин и разрушений при нажатии пальцем, а также при изгибах. Темный или потемневший цвет изоляции иногда является следствием не плохого или ограниченно годного состояния изоляции, а поглощения из масла темного осадка, что имеет место, если обмотка не пропитана лаком. В свою очередь хорошая пропитка и сильная запечка обмоток могут также вызвать некоторое потемнение изоляции.

# 5-9. РАСЧЕТНАЯ ПРОВЕРКА ДАННЫХ ЗАМЕРОВ, ОПРЕДЕЛЕНИЙ И ИСПЫТАНИЙ

Для того чтобы исключить те или иные ошибки, которые могут иметь место в процессе дефектировки при всех указанных выше замерах, определениях и испытаниях, необходимо произвести проверку расчетом и сопоставлением полученных ранее основных данных как по магнитопроводу, так и по обмоткам. Все проверки тех или иных величин производят по формулам приложения 14, а полученные в результате значения сопоставляют с данными практики, установленными нормами, общими размерами магнитопровода и обмоток и, наконец, с соответствующими значениями тех же величин у аналогичных трансформаторов.

Ниже даются указания по расчетной проверке и сопоставлению основных данных по магнитопроводу и

обмоткам.

1. Рассчитать по формулам (П14-32) и (П14-35) активное сечение стали стержней по диаметру стержня с учетом коэффициентов заполнения круга и сечения стержня и сопоставить его с ранее подсчитанным активным сечением как сумма сечений отдельных пакетов.

2. Подсчитать по формулам (П14-38) и (П14-39) магнитную индукцию в стержнях и ярме и сопоставить ее с допустимыми значениями магнитной индукции (для горячекатаной стали, как правило, не более 1,48 и не менее 1,4 Т, для холодлокатаной стали не более 1,65 и

не менее 1,55 Т.

- 3. Сопоставить замеры расстояний от обмоток до стержня, между обмотками, между фазами, от обмотки до ярм и других заземленных частей с минимально допустимыми расстояниями по нормам для соответствующего класса напряжений (см. табл. П2-1 и рис. П2-1, П2-6 и П2-7).
- 4. Произвести проверочный расчет заполнения окна магнитопровода как в радиальном направлении, так и по высоте окна (см. пример, помещенный в расчетной записке) и сравнить результаты с данными непосредственных замеров высоты окна и межосевого расстояния МО).
- 5. Произвести проверочный расчет размеров обмоток в радиальном и осевом направлениях в зависимости от типа и конструкции обмоток [см. формулы (П14-53)—

(П14-61)] и сравнить данные расчета с данными непо-

средственных замеров.

6. Зная фазный ток в обмотке, размеры, а соответственно и сечение провода, число параллельных проводов в витке и число параллельных групп, вычислить по формуле (П14-52) плотность тока в каждой обмотке и сопоставить ее с допустимыми практикой значениями для плотностей тока в масляных трансформаторах. То же необходимо проверить и в отношении отводов.

Если результаты расчетных проверок и сопоставлений будут соответствовать данным непосредственных замеров, определений и испытаний, а также окажутся в пределах установленных норм и практически допустимых значений, то следует считать, что дефектировка вы-

полнена качественно.

# 5-10. ДЕМОНТАЖ ОТВОДОВ И ПЕРЕКЛЮЧАЮЩИХ УСТРОЙСТВ

Закончив внешний осмотр активной части, ее разбирают для выполнения капитального ремонта с заменой

обмоток, а иногда и ремонта магнитопровода.

Отсоединение регулировочных отводов. Если крышка механически связана с активной частью, то последнюю, как указывалось, поднимают вместе с крышкой. В этом случае разборку активной части начинают с отсоединения отводов от армированных вводов 35 кВ и ниже, а также привода переключающего устройства, если он барабанного типа. Затем освобождают крышку от подъемных шпилек и снимают ее. После этого демонтируют отводы и переключатель ответвлений (избиратель).

Предварительно эскизируют расположение отводов и их креплений со сторон ВН и НН (а также СН, если трансформатор трехобмоточный), нумеруют отводы и крепежные детали, прикрепив к ним бирки с соответствующими номерами и обозначениями сторон. Если позволяют схема и конструкция крепления, после отсоединения всех отводов демонтируют их целиком вместе с креплениями и в таком виде устанавливают у стены,

временно закрепив их, чтобы они не упали.

Все неразъемные соединения (пайки) предварительно очищают от изоляции, аккуратно разрубают или распаивают.

Устройства ПБВ после отсоединения регулировочных отводов снимают, как правило, отдельно от конструк-

ции их крепления и укладывают горизонтально на стеллаж или в отдельный ящик.

Устройства РПН состоят из трех основных частей: контактора, избирателя и приводного механизма. Они могут быть с токоограничивающим реактором типа РНТ или с быстродействующими контакторами и токоограничивающими сопротивлениями типов РС-3, РНОА и др. Контакторы у устройств типа РНТ помещаются в специальном баке, смонтированном на стенке основного бака (рис. 5-13) и заполненном маслом.

Избиратель переключающего устройства РНТ (см. рис. 11-12) установлен обычно на верхнем ярме актив-

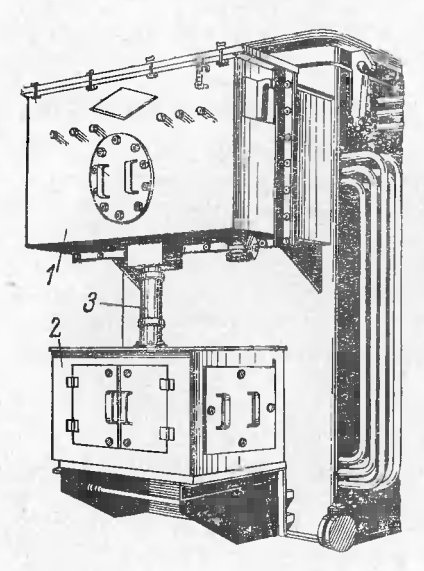


Рис. 5-13. Размещение аппаратуры устройства РПН с токоограничивающим реактором на баке трансформатора.

1 — масляный бак устройства; 2 — бак приводного механизма; 3 — кожух вертикального вала.

ной части, и после отсоединения регулировочных ответвлений обмотки, открепления стальных пластин, соелиняющих верхние ярмовые балки, его снимают краном и устанавливают на стеллаж. Реактор переключающего устройства РНТ (см. рис. 9-22) установлен обычно на нижнем ярме активной части; после отсоединения и осмотра его снимают краном за подъемные кольца и помещают на стеллаж.

Прежде чем снимать избиратель и реактор, а также отсоединять от них отводы, делают эскиз монтажной схемы расположения, крепления и присоединения к ним всех отводов. Нумеруют в натуре и на эскизе отводы и

планки крепления, прикрепив к ним соответствующие бирки. При этом отмечают состояние и необходимость того или иного ремонта или замены.

У трансформаторов класса напряжения 110 кВ с переключающим устройством РС-3 последнее снимают до подъема активной части. Для этого отсоединяют через

люки все отводы от избирателя, предызбирателя и контактора, отвинчивают шпильки, с помощью которых несущий фланец переключающего устройства прикреплен к фланцу на крышке («колоколе») трансформатора, и снимают металлический пояс, посредством которого нижняя часть устройства крепится в разрезном цилиндре. Затем последнее стропят за подъемные планки краном или тельфером, поднимают его, отводят в сторону и опускают в заранее подготовленный специальный бак. Помещенное в бак на время ремонта переключающее устройство заливают сухим чистым трансформаторным маслом и бак закрывают крышкой на резиновом уплотнении, поскольку переключающее устройство нельзя держать на воздухе более 8 ч.

#### 5-11. РАСШИХТОВКА ВЕРХНЕГО ЯРМА

Для расшихтовки ярма устанавливают на необходимую высоту с обеих сторон активной части временные помосты, на которые становятся в зависимости от длины ярма один, два или больше рабочих с каждой стороны. Разборку и расшихтовку ярма при бесшпилечной конструкции крепления и прессовки производят следующим образом. Отвинчивают не до конца гайки на полубандажах (рис. 5-10,6). Поддерживая ярмовые балки краном или подкладывая под них клинья, чтобы они не упали, снимают прессующие полубандажи и концевые шпильки, укомплектовывают их деталями и укладывают на стеллаж. Предварительно стягивают ярмо П-образными скобами в шахматном порядке (рис. 5-14).

Стропят сначала одну ярмовую балку на крюк крана, освобождают ее от замковой пластины 5 (рис. 5-11), связывающей верхнюю балку с нижней (при наличии вертикальных шпилек их предварительно демонтируют), поднимают и отвозят в предусмотренное место. Также демонтируют вторую ярмовую балку. После этого снимают верхнюю уравнительную изоляцию, заполняющую

выступ ярма, и расшихтовывают ярмо.

Отдельные пакеты из двух-трех пластин вынимают (от краев к середине) одновременно с двух сторон, снимая при этом постепенно П-образные скобы, стягивающие ярмо. Вынимаемые при расшихтовке стальные пластины каждый рабочий аккуратно складывает около себя на помост. По мере расшихтовки пластины снима-

ют с помоста и относят к месту складирования, где укладывают в отдельные стопки пластины, приносимые с каждой стороны. Пластины складывают на пол на чистый стальной лист или деревянный щит в сухом месте и по окончании расшихтовки и складирования закрывают бумагой.

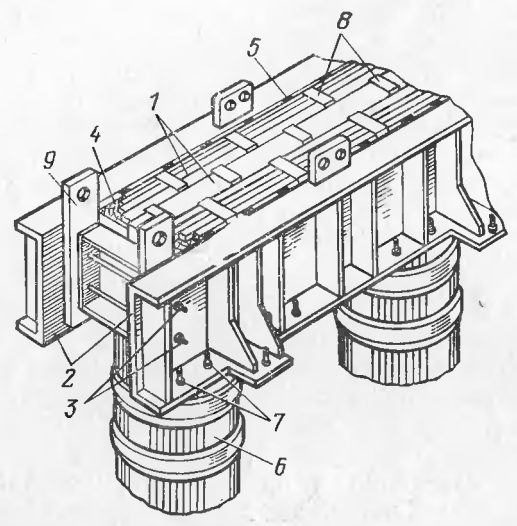


Рис. 5-14. Распрессовка верхнего ярма магнитопровода **бесшпилеч**ной конструкции.

1— пластины активной части магиитопровода; 2— ярмовая балка; 3— концевые горизоитальные прессующие шпильки (вне активной части); 4— деревянный брус; 5— изоляционная прокладка (мост); 6— вертикальная пластина стержия; 7— винты осевой прессовки обмоток; 8— технологические скобы; 9— подъемное устройство.

С пластинами трансформаторной стали необходимо обращаться очень осторожно: не бросать их, не гнуть, не ударять по ним и т. п., так как всякие удары и сотрясения ухудшают магнитные свойства стали. В процессе расшихтовки тщательно осматривают отдельные пластины и их изоляцию.

Дефектные пластины складывают отдельно для их замены или восстановления.

# 5-12. ДЕМОНТАЖ ПРЕССУЮЩЕГО УСТРОЙСТВА, СЪЕМ ИЗОЛЯЦИИ И ОБМОТОК

После расшихтовки верхнего ярма распушенные в виде веера верхние пластины стержней связывают ремнями, снимают прессующие стальные кольца, а так-120 же междуфазную изоляцию, верхнюю ярмовую изоляцию, угловые шайбы, уравнительную изоляцию, заполняющую выступ цилиндров, и т. п. По мере съема изоляционных деталей со всех стержней тщательно обследуют их состояние (отсутствие изломов, трещин, следов пробоев и разрядов), навешивают на каждую деталь бирку с указанием стержня, с которого она снята, и порядкового номера ее положения. После этого все снятые детали укладывают в определенном порядке на стеллаж.

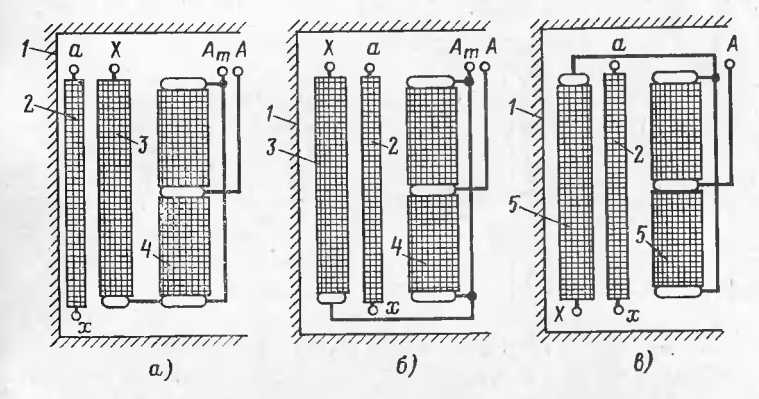


Рис. 5-15. Расположение обмоток в автотрансформаторах и трансформаторах 220 кВ.

a— понижающий автотрансформатор;  $\delta$ — повышающий автотраисформатор; s— двухобмоточный трансформатор с двойной концентрической обмоткой ВН; l— стержень магиитопровода; 2— обмотка НН; s— обмотка СН; s— обмотка ВН (последовательная часть обмотки автотрансформатора); s— обмотка ВН трансформатора, состоящая из двух хонцентров.

У автотрансформаторов обмотки ВН и СН связаны электрически спайкой их концов или емкостных колец. Поэтому перед съемом обмоток предварительно отпаивают обмотку, например, 220 кВ от емкостного кольца в понижающих автотрансформаторах (рис. 5-15,а) или от конца обмотки 110 кВ повышающих (рис. 5-15,б). У двухобмоточных трансформаторов с двойной концентрической обмоткой ВН (рис. 5-15,в) распаивают соединение двух концентров. Кроме того, в некоторых конструкциях трансформаторов 220 кВ с вводом в середину обмотки ВН монтируют и демонтируют по частям.

Для съема обмоток применяют различные приспособления, обычно имеющие лапы и траверсы, которые могут быть лвух- и трехлучевыми. Эти же приспособления применяют для подъема и насадки обмоток

(рис. 5-16,а и б).

Лапы подъемного устройства обязательно подводят под столбы прокладок. Для этого лом вставляют под соседний столб прокладок или приподнимают слегка обмотку при помощи клиньев и вставляют лапу под ближайший столб прокладок так, чтобы она захваты-

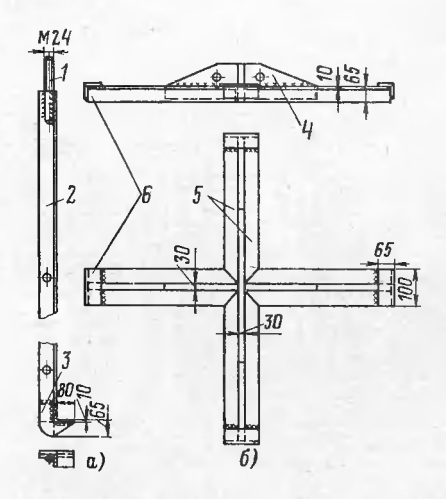


Рис. 5-16. Устройство для съема и установки обмоток. а — «лапа»; 6 — крестовина; 1 — шпилька; 2 — стержень лапы из уголка; 3 — пластина, усиливающая «лапу»; 4 — ребро; 5 — уголки креста; 6 — боковые скрепляющие уголки.

вала только данную обмотку. Между стержнями лап и обмоткой прокладывают электрокартонные полосы, а затем жестко обвязывают лапы вместе с обмоткой веревкой с небольшой разбежкой по высоте. Подъемный крюк крана подводят к центру обмотки и стропят на него обмотку за подъемные кольца так, чтобы она не перекашивалась при подъеме и висела на крюке крана строго вертикально. При съеме обмотки следят за тем, чтобы она снималась одна и не тянула за собой другую обмотку. После съема обмотку устанавливают вертикально на пол, подложив два деревянных бруска или шпалы. Обмотка должна быть установлена устойчиво, без наклонов и перекосов.

После съема с магнитопровода всех обмоток и всех изоляционных и крепежных деталей их тщательно осматривают, а также и магнитопровод, чтобы уточнить состояние, место и характер аварии и необходимость ремонта или замены. На все изоляционные и крепежные детали навешивают бирки с указанием порядкового

номера их местоположения, после чего детали укладывают на стеллажи. По окончании разборки активной части осматривают внутреннюю поверхность бака и конструкцию крепления активной части в баке. Бак закрывают щитом, на отверстия в нем ставят заглушки. После разборки и дефектировки трансформатора заполняют ведомость осмотра и дефектировки и составляют списки узлов и деталей, подлежащих ремонту и замене.

#### ГЛАВА ШЕСТАЯ

#### ИЗГОТОВЛЕНИЕ ОБМОТОК

# 6-1. ОБМОТКИ ТРАНСФОРМАТОРОВ СРЕДНИХ И БОЛЬШИХ МОЩНОСТЕЙ

Изгоготовление обмоток является одним из наиболее ответственных видов работ при ремонте и модернизации трансформаторов.

Чтобы изменить параметры трансформатора, необходимо с учетом магнитопровода изменить параметры

его обмоток.

В отечественных трансформаторах применяются все типы обмоток: непрерывная, винтовая одно-, двух- и многоходовая, дисковая, а для обмоток ВН класса напряжения выше 220 кВ — переплетная. Последняя имеет преимущества перед непрерывными обмотками, хотя процесс намотки переплетенных обмоток более сложный, а значит, и более трудоемкий. Недостатком переплетенных обмоток является, кроме того, увеличенное межвитковое напряжение, что требует усиленной витковой изоляции. В процессе намотки переплетенных обмоток витки соседних катушек (секций) переплетаются, что положительно сказывается на первоначальном распределении импульсных напряжений и позволяет отказаться от экранирующих витков обмотки и полнительной катушечной изоляции входных дисковых катушек.

В связи с увеличением числа ступеней регулирования напряжения под нагрузкой применяют в качестве регулировочных обмоток (PO) цилиндрические многослойные обмотки, выполняемые в виде отдельных наружных обмоток. В этом случае широко применяются двухслойные цилиндрические обмотки с отдельными концентрами грубой  $(PO_{\rm rp})$  и тонкой регулировки

(РОтон) (рис. 5-9). Как правило, эти обмотки выполняют на бумажно-бакелитовых цилиндрах проводом

прямоугольного сечения плашмя или на ребро.

В зависимости от мощности, проходящего по обмоткам тока и числа ступеней регулирования обмотки выполняют одно-, двух- или многоходовыми из нескольких параллельных проводов в виде нескольких слоев, из

которых каждый — многоходовая спираль.

Витки регулировочной обмотки соединяют так, чтобы между соседними ходами рабочее напряжение не преступеней. вышало напряжения двух регулировочных Многослойные цилиндрические регулировочные обмотки имеют более высокую импульсную прочность, чем винтовые, и меньший радиальный размер 1.

# 6-2. ИЗГОТОВЛЕНИЕ И УСТАНОВКА ПРИСПОСОБЛЕНИЙ для намотки обмоток

Для изготовления обмоток на месте ремонта необприспособления: следующие упрощенные ходимы 1) козлы для установки намоточного станка и барабанов с проводом; 2) намоточный станок с редуктором и приводом; 3) шаблоны; 4) педальный выключатель; 5) зажимы для натяжения провода и крепления концов обмоток; 6) приспособления для выгибания провода; 7) скобы (вилки) для временного крепления витков при их затяжке.

Установочные козлы (рис. 6-1) для установки намоточного станка изготовляют из швеллеров относительно больших размеров (№ 20 и 30) на длину не менее 6 м. Всего изготовляют двое таких козел с ножками в виде

буквы А высотой 600 мм.

Козлы должны быть устойчивыми и строго горизонтальными. Их устанавливают параллельно на том или ином расстоянии в зависимости от высоты обмотки, а соответственно и длины шаблона. К одному из козел, отступя 0,5 м от торца, приваривают снаружи площадку для установки электродвигателя и червячного

Намоточный станок (рис. 6-1) собирают из следую-

щих деталей.

Нормаль электротехники — ОАА 629.004-68 и технические условия Запорожского трансформаторного завода ОВБ 517.286-70 включают технические требования к изготовлению обмоток.

А. На площадке *I*, приваренной к одним из козел, монтируют электродвигатель и червячный редуктор, который подбирают так, чтобы вал станка делал 4—8 об/мин. Чем больше диаметр обмотки, тем меньше должна быть частота вращения станка, и наоборот. Вал редуктора должен иметь диаметр 30—40 мм. Редуктор сочленяют муфтами с одной стороны с электродвигателем, а с другой — с валом станка. Рядом с электродви-

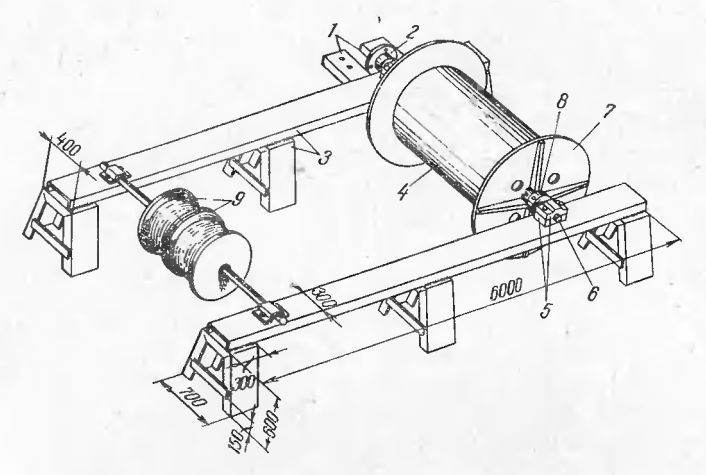


Рис. 6-1. Намоточный станок.

I — площадка для установки редуктора с электродвигателем; 2 — соединительная муфта; 3 — козлы из швеллеров; 4 — шаблои; 5 — деревянный подшипник; 6 — стальной вал; 7 — стальной диск; 8 — гайка; 9 — барабаны с обмоточным проводом.

гателем монтируют закрытый реверсивный переключатель или перекидной рубильник, к которому от ближайшего щитка подводят питающие провода в газовой трубе.

Б. На козлах устанавливают деревянные подшипники 5 так, чтобы валы станка и редуктора были на одной линии и на одном уровне, причем вал станка должен

лежать в подшипниках строго горизонтально.

В. Стальной вал 6 станка должен иметь диаметр 40—60 мм в зависимости от массы обмотки и размера пролета между козлами. Длина вала должна быть равна длине шаблона плюс 600 мм. На концах вала вытачивают шейки, которыми он ложится в подшипники, а дальше от шеек нарезают на соответствующую

длину резьбу так, чтобы она несколько заходила внутрь шаблона.

Г. На вал станка надевают и раскрепляют на нем шаблон 4, на который и производится намотка обмоток. Шаблон центрируют на валу так, чтобы он находился на одинаковом расстоянии от козел. На рис. 6-2 показан наиболее простой шаблон, который представляет собой разрезной свальцованный цилиндр из листовой стали толщиной 2—3 мм.

Д. По обе стороны от шаблона надевают на вал станка упорные металлические диски 7 (рис. 6-1) толщиной 10-30 мм, диаметром, равным наружному диаметру самой большой обмотки плюс 200 мм. Диски должны свободно насаживаться на вал. Если диски выполняются из толстого листа, то для облегчения в них делают по окружности несколько внутренних вырезов, за которые их стропят при насадке. Если диски выполняют из более тонкого листа, то, чтобы они не прогибались при подпрессовке обмоток в процессе намотки, их усиливают ребрами или шайбами, которые приваривают к дискам с их наружной стороны. Затем навертывают на резьбу вала станка гайки 8 и зажимают шаблон между указанными дисками. В одном из дисков делают наружный вырез для крепления конца обмотки.

Е. Раскрепление шаблона на валу производят поразному. Наиболее простой способ — раскрепление с помощью нескольких деревянных крестовин, которые туго вставляют в металлический разрезной цилиндр и вместе с ним насаживают на вал. Однако при этом надо иметь отдельные крестовины для разных по диаметру шаблонов. Кроме того, после намотки обмотки, чтобы вынуть шаблон, крестовины приходится выбивать, что усложняет снятие обмотки с шаблона.

На промышленных предприятиях, если в электроремонтных цехах имеются намоточные станки серин ТТ, последние следует использовать для намотки катушек обмоток ремонтируемых трансформаторов.

Рекомендуются: для намотки обмоток трансформаторов III габарита станки модели ТТ-21 или их модификации ТТ-20 с укладчиком витков, применяемые для намотки слоевых обмоток; для трансформаторов IV—VI габаритов станки типа ТТ-23 и его модификации ТТ-24 без задней бабки для намотки дисковых катушек; типа РТ-28 и его модификации РТ-29 без задней бабки для намотки особо крупногабаритных и тяжелых катушек обмоток. Шаблон (рис. 6-2) вальцуется на наружный диаметр, равный внутреннему диаметру жесткого бакелитового цилиндра (при намотке обмотки на таком цилиндре) минус зазор 20—30 мм, на который он может раздвигаться, или внутреннему диаметру самой обмотки (при

намотке обмотки непосредственно на шаблон) минус толщина реек, образующих продольный канал между обмоткой и цилиндром, а также минус зазор 20— 30 мм.

К внутренним краям шаблона приваривают на всю длину угольники с отверстиями на полках. С помощью шпилек 4, вставляемых в эти отверстия, регулируют зазор и тем самым сжимают или раздвигают шаблон на размер зазора. В зазор на всю длину вставляют деревянную рейку. Длина шаблона должна быть равна

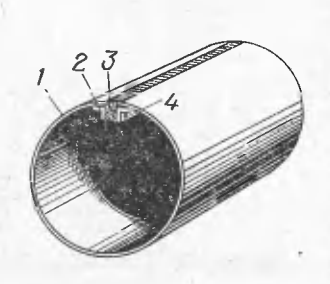


Рис. 6-2. Шаблон. 1— стальной вальцованный цилиндр; 2— угольники; 3 деревянная рейка; 4— шпилька.

высоте бумажно-бакелитового цилиндра, на который наматывается обмотка, или высоте обмотки плюс 120—150 мм. Указанный шаблон нашел широкое применение при изготовлении непрерывных, винтовых и цилиндрических обмоток для трансформаторов средних и больших мощностей. Недостатком этого шаблона является то, что для каждого диаметра обмотки необходимо иметь свой такой шаблон.

Поэтому существуют различные конструкции раздвижных шаблонов, например шаблоны с механизиро-

ванной настройкой (рис. 6-3).

На валу 3 свободно сидят два диска 1 и закреплены неподвижно четыре конические шестерни 2. Эти шестерни можно жестко фиксировать на дисках винтами 10. Диски имеют с каждой стороны Т-образные пазы 4 для размещения болтов 5 и кольцевые конусообразные пазы для закрепления корпусов лучей 11.

В корпусе луча закреплен винт 6, на конце которого сидит коническая шестерня 8, сцепленная с шестерней 2. На винт навертывается гайка-стержень 7, которая представляет собой пустотелый цилиндр и может перемещаться по винту в корпусе луча. На гайках-стержнях расположены швеллерообразные планки 9,

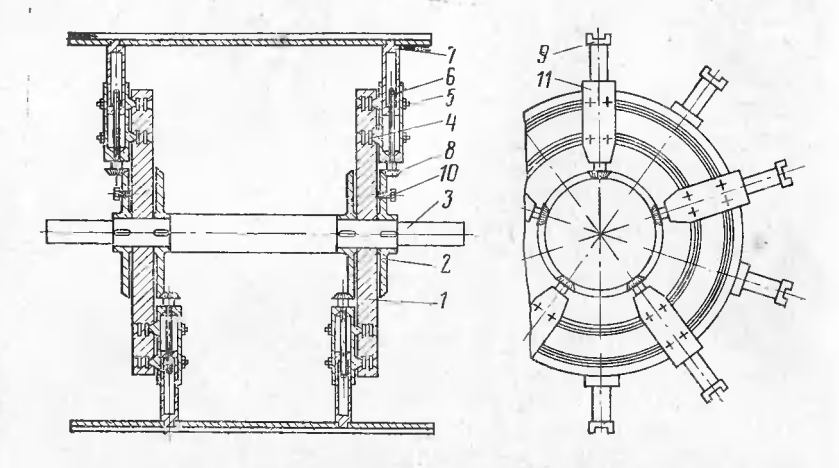


Рис. 6-3. Шаблон с механизированной настройкой.

1 — диск; 2 и 8 — коиические шестерии; 3 — вал; 4 — Т-образиый паз; 5 — болт; 6 — виит; 7 — гайка-стержень; 9 — швеллерообразиая планка; 10 — фиксирующий винт; 11 — корпус луча.

имеющие пазы для картонных реек, которые устанавливаются при намотке обмоток.

Для настройки шаблона на необходимый диаметр закрепляют его в центрах, освобождают диски 1 относительно вала 3 и закрепляют их неподвижно относительно корпуса станка. После этого приводят во вращение шпиндель станка, связанный с валом. Вал с жестко сидящими на нем шестернями 2 вращается

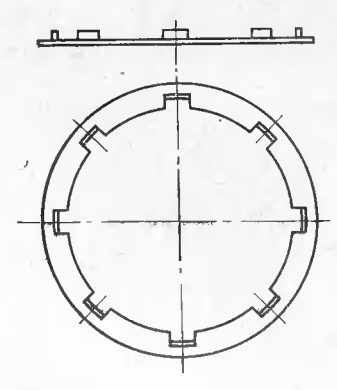
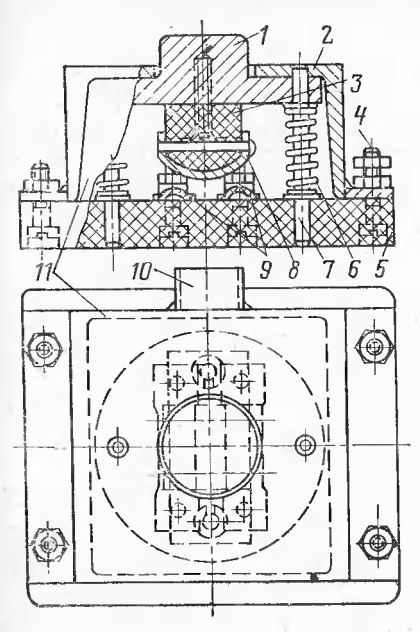


Рис. 6-4. Контрольная шайба.

относительно неподвижных дисков и передает вращение на шестерни 8 и винты 6. Гайкистержни перемещаются при этом в радиальном направлении до нужного диаметра.

На наружных диаметрах дисков нанесены деления, по которым в зависимости от числа реек обмотки производится установка (или съем) лучей 11 и планок 9. Такие шаблоны позволяют осуществлять очень тонкую настройку (±0,5 мм) на необходимый диаметр, при

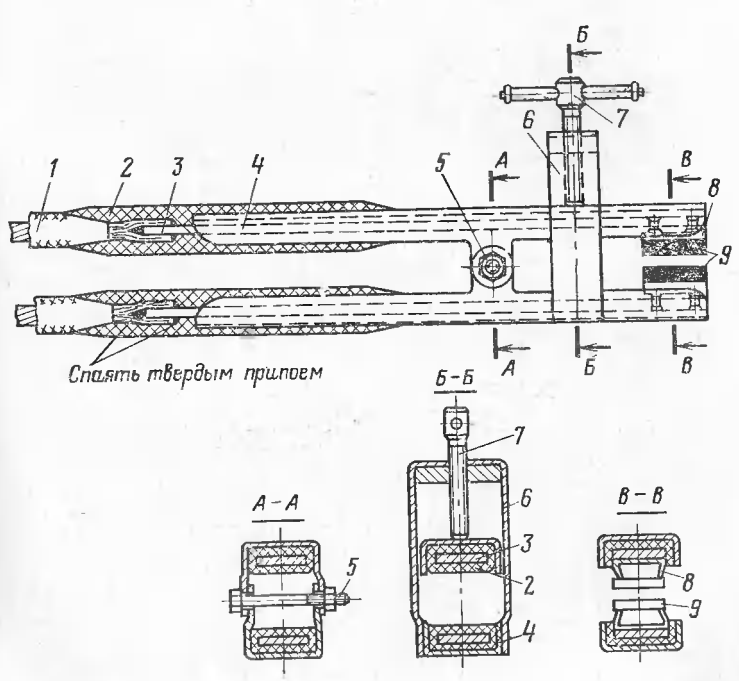


# Рис. 6-5. Педальный выклю-

1— педаль; 2— корпус из швеллера; 3— текстолитовый контактодержатель; 4— контакт для заземления; 5— основание из текстолита; 6— пружина; 7 стальной штифт; 8— подвижный контакт; 9— неподвижные коитакты; 10— трубка для проводов; 11— стенка корпуса.

# Рис. 6-6. Электропаяльные клещи.

I— гибкий кабель; 2— изоляцня из асбеста; 3— медная шина; 4— стальная коробка; 5— иарннурый болт; 6— зажимная скоба; 7— винт зажимной скобы; 8— медная обойма; 9— угольные электроды.



этом время на настройку в несколько раз сокращается. На этих шаблонах (масса 600—3000 кг) можно наматывать обмотки трансформаторов со следующими характеристиками: внутренний диаметр 600—2800 мм, длина 1500—3200 мм, количество реек 12—48 шт., масса

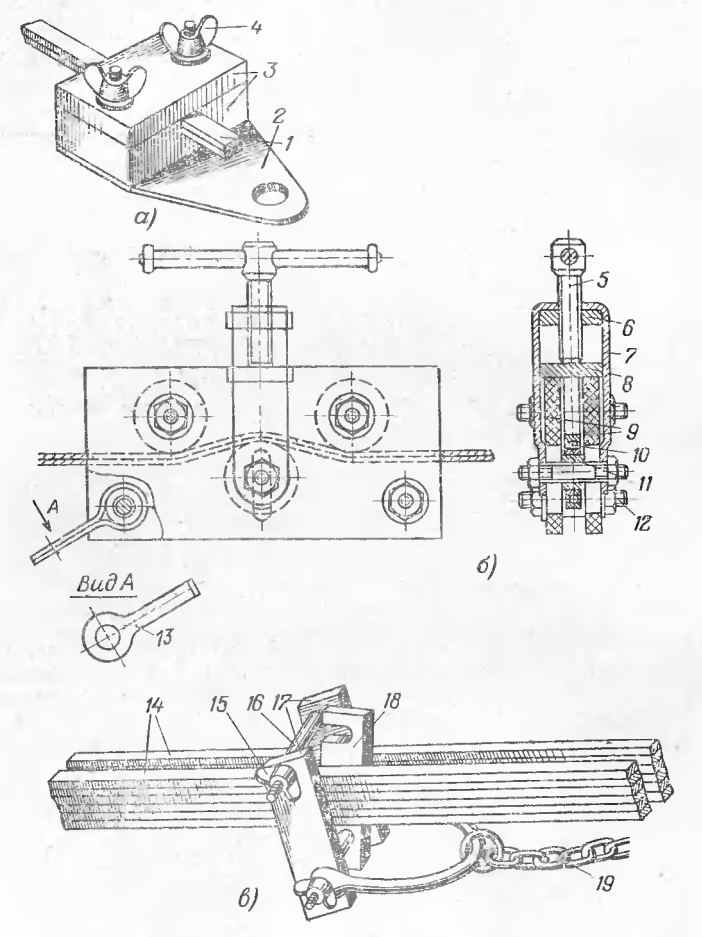


Рис. 6-7. Зажимы для натяжения обмоточного провода.

а—простой;  $\delta$ — роликовые;  $\epsilon$ — для намотки двухходовых винтовых обмоток; I— обмоточный провод; 2— основание зажима— стальная пластина; 3— зажимные текстолитовые или гетинаксовые планки; 4— зажимный винт;  $\delta$ — пластина с резьбовым отверстием; 7— металлический корпус в випе скобы; 8— опорная планка; 9— щеки из текстолита или гетинакса; 10— шариконодишиник; 11— втулка; 12— шпилька; 13— скоба для крепления зажима; 14— параллельные провода витка; 15— шинлька с барашковой гайкой; 16— трубка, свободно надетая на шпильку; 17— зажимные планки; 18— промежуточная откидная планка; 19— цепь.

3—15 т. Рекомендуется ремонтным организациям, обладающим ремонтными мастерскими, а также ремонтным заводам, изготовляющим обмотки для трансформаторов средней и большой мощности, иметь такие шаблоны.

Описанный шаблон (рис. 6-3) включает в себя приспособление для фиксации и закрепления реек. Простые шаблоны имеют упорные диски с прорезями для уста-



Рис. 6-8. Приспособление для выгибания провода.

I — стальная планка с прорезями для провода; 2 — щеколда; 3 — ограничитель хода щеколды,

новки реек. Если таких прорезей нет, на концах шаблона устанавливают контрольные шайбы (рис. 6-4). При изготовлении приспособлений для намотки обмоток на месте ремонта необходимо иметь два комплекта некоторых

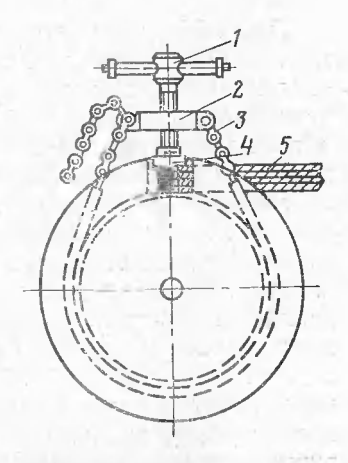


Рис. 6-9. Цепной зажим для крепления коица многопараллельной обмотки.

/- прижниный винт;
 2 -- коромысло с резьбовым отверстием;
 3 -- цепь Галля;
 4 -- прижимиая пластниа;
 5 -- жонец витка из многих параллельных проводов.

из указанных деталей, а именно: вал станка, упорные диски и гайки, шаблон. На одном комплекте производят намотку той или иной обмотки, а на другом обмотку после ее намотки сушат и опрессовывают.

На рис. 6-5 показан педальный выключатель, который одновременно используют и при пайке твердым припоем

с помощью электропаяльных клещей (рис. 6-6).

Различные зажимы для натяжения провода показаны на рис. 6-7. Их устанавливают на специальном приспособлении или на цепи, прикрепленной обычно к стойке с барабанами. Любой зажим должен обеспечивать натяжение провода, в то же время изоляция провода при его прохождении через зажим не должна задираться, рваться и т. п.

Кроме основного оборудования для намотки примениют приспособления для выгибания провода при выполнении переходов, транспозиций и пр. (рис. 6-8), а также для крепления частей обмоток: витков, катушек, концов (рис. 6-9).

# 6-3. ПОДГОТОВИТЕЛЬНЫЕ РАБОТЫ

Прежде чем приступить к намотке той или иной обмотки, обмотчики знакомятся с расчетной запиской и чертежом обмотки, включая развертку с указанием всех переходов, транспозиций и конструктивных элементов, а также получают технологическую карту и материальную спецификацию. Затем обмотчики подготовляют в соответствии с указанными документами необходимые приспособления и аппараты для внутренней пайки и сварки проводов. Кроме того, обмотчики подготовляют плиты и шпильки для стяжки и прессовки обмоток, деревянные и металлические подставки, устанавливаемые между прессующими плитами и торцами обмоток при их стяжке и прессовке, набор рабочего и мерительного (монтажный нож, ключи, напильники, инструментов плоскогубцы, кусачки, молоток, рычажные ножницы, ручные тиски, портновские ножницы, киянки, микрометр, штангенциркуль и пр.), а также электроизоляционный материал (электрокартон толщиной 0,5-2 мм, кабельную, телефонную и крепированную бумагу, лакоткань, тафтяную и киперную ленту и т. п.) и различные припои (серебряный и медно-фосфорный) в виде узких пластинок или прутков.

Обмотчики получают изоляцию, необходимую для данного типа обмоток (продольные рейки, дистанционные прокладки, шайбы, выравнивающие клинья, пояски, коробочки из электрокартона, жесткие бумажно-бакелитовые цилиндры, если они предусмотрены конструкцией обмотки, опорные и емкостные кольца и т. п.) и барабаны с соответствующим проводом. После этого собирают всю установку для намотки обмотки, устанавливают и закрепляют соответствующий шаблон, продувают его сухим, чистым сжатым воздухом и протирают обтирочными концами; устанавливают и закрепляют приспособление для фиксации реек и сами рейки с набором прокладок, соответствующий зажим для натяжения провода, проверяют размеры провода, устанавливают на стойку

барабаны с обмоточным проводом, заправляют провода через зажим на рейки, пускают станок и регулируют

натяжение провода.

Если обмотка выполняется на жестком бумажнобакелитовом цилиндре, его размечают перед насадкой и раскреплением на шаблоне для равномерной укладки реек по окружности. Если обмотка наматывается непосредственно на шаблон, его обертывают листом кабельной бумаги или тонкого электрокартона и размечают на нем места укладки реек цветным карандашом.

После установки шаблона на станок укладывают на шаблон вдоль размеченных линий рейки с набранными на них дистанционными прокладками. Концы реек заводят при этом в пазы контрольной шайбы или в прорези упорных дисков. Чтобы при укладке провода на рейки в процессе намотки получалась окружность, между постоянными рейками с набором прокладок устанавливают временные вспомогательные рейки. Постоянные и временные рейки закрепляют на цилиндре или шаблоне киперной лентой.

Чтобы изоляция провода при его проходе через зажим не рвалась, барабан с проводом, зажим и шаблон должны располагаться по возможности на одной прямой линии. Тогда провод, сматываясь с барабана и проходя через зажим, а затем поступая на станок, не будет

изгибаться.

### 6-4. НАМОТКА НЕПРЕРЫВНОЙ ОБМОТКИ

Обмотки, а соответственно и отдельные катушки могут иметь левую и правую намотку. Обмотка считается левой, если обход вдоль витков совершается против часовой стрелки (рис. 6-10), и правой — если по часовой стрелке. Обычно обмотки выполняют левыми. Поворачивание на 180° непрерывной и винтовой обмоток, однослойной цилиндрической обмотки, а также двойной дисковой катушки в дисковой обмотке не меняет их на-

правления, при поворачивании же одинарной дисковой катушки направление намотки изменяется.

Непрерывная обмотка (рис. 6-11) состоит

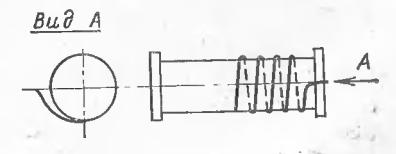


Рис. 6-10. Намотка левой обмотки.

из отдельных катушек, причем переход из одной катушки в другую производится непрерывно, без паек. Это достигается перекладыванием витков в процессе намотки каждой нечетной катушки, если концы обмотки выводятся наружу, и каждой чегной катушки, если концы обмотки выводятся внутрь. Катушки отделяются другой каналами, которые создаются набором прокла-

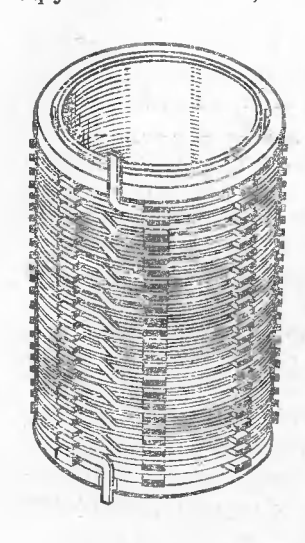


Рис. 6-11. Непрерывная обмотка.

док, располагаемых равномерно по окружности. Прокладки насаживают на продольные рейки. Если высота окна магнитопровода недостаточна, каналы делают после каждых двух катушек, а между дисками двойной катушки прокладывают шайбы.

Чтобы начало и конец обмотки были оба наружными или оба внутренними, число катушек в непрерывной обмотке должно быть четным. В свою очередь, чтобы регулировочные отводы в обмотке были все наружными и отходили от наружных переходов. число катушек в каждой половине обмотки, а также число регулировочных катушек должно быть четным.

При намотке левой обмотки перемещают все прокладки по

рейкам влево, передвигают с края шаблона к правому упорному диску прокладки, образующие канал между первой катушкой и опорным кольцом, и начинают намотку первой перекладной катушки.

Закрепляют петлей из киперной ленты конец провода за вырез в упорном диске, освобождают натяжение провода и пускают станок в соответствующую сторону.

Витки при намотке временной катушки укладывают один на другой (рис. 6-12, І) и, когда заканчивают укладку последнего верхнего витка, плавно изгибают провод для внутреннего перехода во вторую неперекладную катушку. Предварительно провод на месте изгиба дополнительно изолируют коробочкой длиной до 100 мм из электрокартона толщиной 0,5—1 мм, которую накладывают на провод сверху и закрепляют одним слоем вполуперекрытие тафтяной лентой. Изгиб провода для перехода делают в загибочном приспособлении

(рис. 6-13).

Производят перекладку временно намотанной первой катушки. Для этого зажимают провод, идущий от барабана, сдвигают катушку немного влево и, сбрасывая с нее верхний виток, укладывают его на рейки.

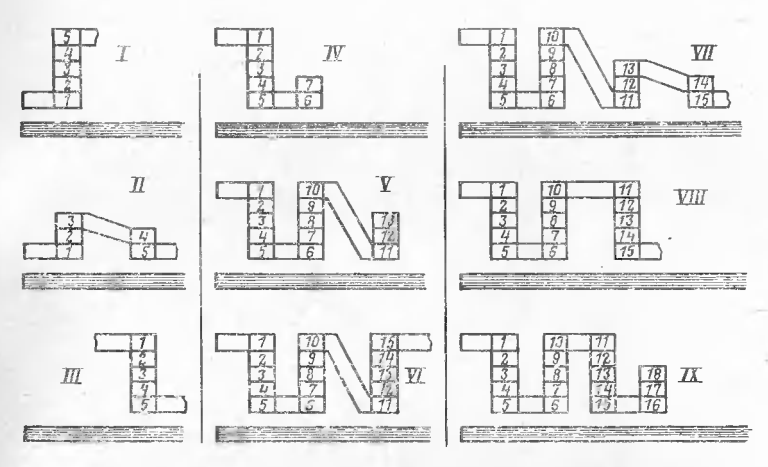


Рис. 6-12. Процесс намотки непрерывной обмотки. 1—18 — витки; I—IX — чередование перекладной и основной катушек.

Затем снимают следующий виток и укладывают его на ранее снятый и т. д. (рис. 6-12, II). Котда последний нижний виток временно намотанной первой катушки будет уложен сверху на катушку, получившуюся после

перекладки (рис. 6-13, III), катушку сдвигают на место и затягивают сначала от руки, а затем путем кратковременных пусков станка при закрепленном свободном конце провода. В процессе затяжки катушку обстукивают легкими ударами киянки.

Чтобы катушка во время затяжки не рассыпалась, на нее надевают в нескольких местах по окружности спе-

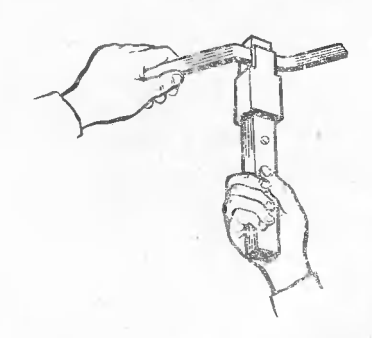


Рис. 6-13. Изгиб провода для перехода во вторую катушку.

циальные скобы 5 (рис. 6-14). После затяжки катушки снимают скобы, придвигают к ней прокладки, образующие канал между первой и второй катушками, выгибают и закрепляют начало обмотки и наматывают с необходимым натяжением провода вторую неперекладную катушку (рис. 6-12, IV).

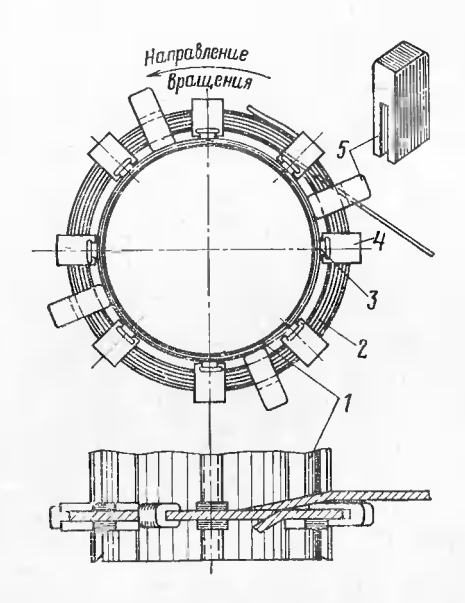


Рис. 6-14. Намотка перекладной катушки непрерывной обмотки. 1- цилиндр; 2- переложенная катушка; 3- рейка; 4- прокладка; 5- скоба (вилка).

Начало обмотки изгибают и изолируют согласно чертежу. Под начало провода укладывают на катушку электрокартонную коробочку и закрепляют ее бандажом из киперной ленты. Так же в последующем обрабатывают и конец обмотки. После намотки второй катушки изгибают провод для наружного перехода из второй в (рис. 6-12, V). Место перекладную катушку изгиба предварительно изолируют электрокартонной полоской, которую накладывают на провод снизу и занесколькими витками тафтяной крепляют в середине ленты. Места изгиба для внутреннего перехода всегда изолируют электрокартонной коробочкой, накладываемой на провод сверху, а для наружного

электрокартонной полоской, которую накладывают на

провод снизу.

После намотки второй пеперекладной катушки накладывают на обе катушки три бандажа из киперной ленты. Первым бандажом закрепляют начало обмотки, второй бандаж накладывают диаметрально противо-

положно первому, а третий — через одну рейку после первого. Дальше весь процесс повторяют, т. е. все нечетные катушки наматывают пере-C клалкой витков и изгипровода для BHVтреннего перехода, а все четные катушки — без перекладки витков и с изгибом провода для наружного перехода (рис. 6-12, VI - IX).

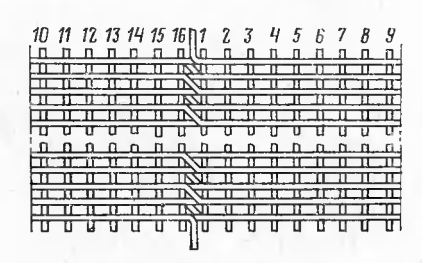


Рис. 6-15. Непрерывная обмотка в развернутом виде. 1-16 - рейки.

На рис. 6-15 показана непрерывная обмотка в развернутом виде, имеющая 16 реек по окружности. Если в каждой катушке целое число витков, то начало и конец обмотки, а также все переходы располагают в одном из пролетов. В обмотке, показанной на рис. 6-15, это сделано в 16-м пролете, т. е. между рейками 16 и 1.

Достоинством непрерывной обмотки является не только отсутствие паек, но и то, что в ней число витков может быть не кратным числу катушек, т. е. каждая катушка может иметь дробное число витков. Знаменателем дроби берут число реек по окружности, а числителем — число, показывающее, после какой рейки надо сделать переход. Если во всех катушках целое число витков, все переходы получаются в одном пролете. В этом случае в месте перехода увеличивается радиальный размер катушки на толщину меди. При дробном числе витков в катушках все переходы смещаются от начала катушки и не дают местного увеличения ее радиального размера.

Например, обмотка имеет 16 реек по окружности, начало обмотки расположено в 16-м пролете, т. е. между рейками 16 и 1, в первой катушке 4,5 витка, во второй тоже 4,5 витка, а в остальных по  $4^{15}/_{16}$  витка. Приводим дробь 4,5 к знаменателю, равному числу реек по окружности, и получаем  $4^8/_{16}$ . Тогда переход из первой катушки во вторую будет в 8-м пролете, переход из второй

катушки в третью (учитывая, что начало второй катушки находится в 8-м пролете) в 16-м пролете и дальше в 15-м, затем в 14-м и т. д.

Если при дробном числе витков не выдерживается радиальный размер катушек, его обязательно выравнивают, прокладывая между витками электрокартонные пояски.

При диаметре обмотки более 1500 мм или если ее размер в радиальном направлении больше 140 мм, перекладывание витков в перекладных катушках затруднительно. Поэтому такие обмотки мотают одинарными дисками, поочередно изменяя направление вращения шпинделя станка. Диски в ходе намотки соединяют пайкой.

Намотка производится поочередно с барабанов, которые располагают по обе стороны намоточного станка. Обмотчик при этом переходит с одной стороны станка на другую. Сначала он выгибает конец провода, который будет служить внутренним переходом в следующий второй диск, и закрепляет конец за шаблон. Затем наматывает первый диск, обрезает верхний конец первого барабана и закрепляет наружный конец первого диска (он же служит началом обмотки).

Обмотчик переходит на другую сторону, припаивает конец второго барабана, установленного на этой стороне, к внутреннему концу первого диска, выполненному как внутренний переход из первого диска во второй, и наматывает второй диск, пуская станок в сторону, противоположную вращению при намотке первого

диска.

Третий диск наматывают подобно первому с первого барабана, четвертый подобно второму со второго барабана и т. д. Конец наружного витка третьего диска выполняют как наружный переход и спаивают с концом наружного витка второго диска, а начало внутреннего витка, выполненное как внутренний переход, спаивают с началом внутреннего витка четвертого диска и наматывают четвертый диск. Аналогично указанным четырем дискам мотают все остальные диски обмотки.

Транспозиция параллельных проводов. Иногда виток состоит не из одного, а из нескольких параллельных проводов. При этом провода должны иметь равную длину и одинаковое сцепление с полем рассеяния, иначе будут значительные дополнительные потери. Поэтому

параллельные провода, образующие виток, если они расположены перпендикулярно потоку рассеяния, должны соответственно транспонироваться, т. е. меняться местами.

В непрерывной обмотке параллельные провода меняют местами в переходах из одной катушки в другую, причем число переходов получается равным числу парал-

лельных проводов в витке. Параллельные провода (рис. 6-16) при переходе из первой катушки во вторую меняются местами, т. е. верхние провода становятся нижними, а нижние — верхними. Чтобы это осуще-

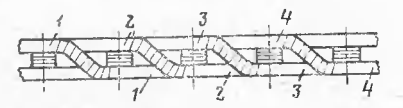


Рис. 6-16. Транспозиции параллельных проводов в непрерывной обмотке.

1-4 - параллельные провода в витке.

ствить, переходы проводов смещают один по отношению к другому. Смещение производят обычно на один пролет между рейками. В результате виток, состоящий из двух параллельных проводов, занимает своими переходами два пролета, из трех — три пролета, из четырех — четыре.

Практикой изготовления многопараллельных непрерывных обмоток выработано правило, согласно которому началом и концом катушки, виток которой состоит из нечетного числа параллельных проводов, считают средний провод, а при четном числе параллельных проводов — последний провод первой половины всех

проводов.

Так, при двухпроводном витке это будет первый верхний провод, при трехпроводном витке — второй средний, а при четырехпроводном витке — второй про-

вод, считая сверху, и т. д.

Место изгиба каждого из параллельных проводов для перехода из катушки в катушку предварительно изолируют электрокартоном. При изгибе для наружного перехода накладывают полоску на провод снизу, а для внутреннего — коробочку на провод сверху. Места переходов, а соответственно и изгибов проводов размечают в соответствии с чертежом обмотки в развернутом виде, где показаны и пронумерованы все рейки и пролеты и изображены все переходы и транспозиции. На чертеже наружные переходы показывают сплошными линиями, а внутренние — пунктирными.

При выполнении наружных переходов из неперекладной катушки в перекладную сначала изгибают верхний провод, а затем, идя последовательно сверху вниз, остальные. При этом смещают место изгиба для каждого последующего провода на одну рейку. Переходы всех проводов укладывают так, чтобы верхние провода переходили соответственно в нижние, а нижние в верхние.

Для намотки перекладной катушки необходимо плавно спустить переходы с верха постоянной катушки вниз на рейки к основанию временной катушки. Для этого применяют технологический клин, который набирают ступеньками из электрокартонных полос шириной, равной примерно ширине провода вместе с изоляцией. Длину клина в зависимости от числа параллельных

проводов в витке берут равной 1/3—1/2 витка.

Клин должен иметь наибольшую высоту, равную радиальному размеру катушки минус один виток. Эта высота должна постепенно уменьшаться: под вторым переходом — на толщину одного провода, под третьим переходом — еще на толщину одного провода и т. д., а за пределами всех переходов равномерно и постепенно сойти на нет. После того как клин скомплектован, его бандажируют вразгон по всей длине киперной лентой. Изготовленный таким образом клин подкладывают под переходы и плавно спускают их на рейки. Затем наматы-

вают перекладную катушку.

При намотке первого витка перекладной катушки провода укладываются на рейки по небольшой спирали, причем начало витка несколько приподнято по сравнению с концом. Поэтому под конец первого витка также подкладывают на некоторой длине технологический клин, набранный из электрокартонных полос. При наличии этого клина второй виток ложится без усилий и равномерно на первый виток и все временные витки устойчиво лежат один на другом. После намотки временной катушки размечают места изгибов для внутренних переходов в следующую постоянную неперекладную катушку и выгибают все параллельные провода. Предварительно место изгиба каждого провода изолируют электрокартонной коробочкой, которую накладывают на провод сверху и закрепляют лентой.

При выполнении внутренних переходов из перекладной катушки в неперекладную сначала выгибают ниж-

ний провод, а затем идя последовательно снизу вверх, все остальные. При этом смещают место изгиба для каждого последующего провода на одну рейку. Переходы всех проводов укладывают так, чтобы нижние провода переходили соответственно в верхние, а верхние—в нижние.

Между параллельными проводами, идущими с разных барабанов, наблюдаются небольшие линейные смещения вследствие разности в диаметрах этих барабанов при намотке. Чтобы смещения в процессе перекладывания витков не увеличивались, провода зажимают ручными тисками или рукой. Затем перекладывают

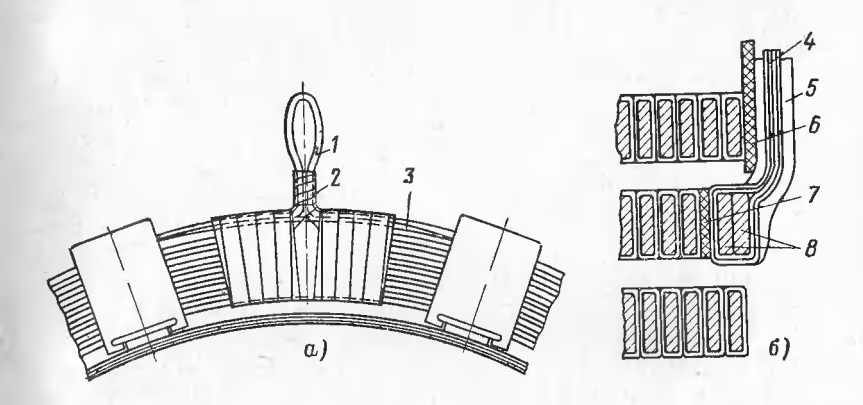


Рис. 6-17. Регулировочные ответвления.

a — наружное, выполненное в виде петли; 6 — внутреннее из полос ленточной меди; 1 — петля; 2 — бандаж из кнперной ленты; 3 — электрокартонная полоса; 4 — ответвления; 5 — назоляция; 6 — электрокартонная коробочка; 7 — полова из электрокартона; 8 — виток из двух параллелых проводов.

витки, наблюдая за тем, чтобы провода взаимно не смещались. Перекладывание витков из нескольких параллельных проводов производят так же, как и витков из одного провода.

Намотку непрерывных катушек производят двое рабочих; один находится по одну сторону станка,

а второй — по другую.

Выполнение регулировочных ответвлений. Регулировочные ответвления у наружной обмотки выводят наружу, а у внутренней — наружу или внутрь.

Наружные регулировочные ответвления выполняют, как правило, в виде петли 1 (рис. 6-17,а) из того же

провода, что и витки катушки. Петлю выполняют следующим образом: отмечают на проводе место начала изгиба петли и на расстоянии 500 мм — конец ее изгиба; затем от начала и конца изгиба изолируют дополнительно провод на длине 120—130 мм навстречу. Изоляцию

выполняют согласно указанию чертежа.

Освобождают провод в зажиме, выгибают плоскогубцами петлю так, как показано на рис. 6-17, а, и закрепляют ее тремя-четырьмя оборотами киперной ленты. Подкладывают под провод перед началом петли, а также после ее конца электрокартонные коробочки длиной каждая 40—50 мм или сплошную полосу 3 и накладывают на катушку с обеих сторон петли бандажи 2 из киперной ленты. После выполнения петли и ее закрепле-

ния продолжают дальнейшую намотку витка.

Внутренние регулировочные ответвления выполняют обычно из полос ленточной меди толщиной 0,5—1 мм в несколько слоев для получения необходимого сечения. Такие ответвления 4 (рис. 6-17,6) припаивают к проводам витка 8. Для этого укладывают все провода витка, к которому должно быть припаяно ответвление, отмечают риской место припайки, снимают с проводов изоляцию, подкладывают под виток медную ленту ответвления, обжимают ею провода и натягивают их.

Затем зажимают провода в ручные тиски и накладывают на виток вблизи мест пайки асбестовые компрессы, а также ограждают, если это необходимо, близлежащие места асбестовыми экранами. Для получения более свободного доступа к месту пайки поворачивают обмотку немного назад. Пайку производят сплавом медь фосфор при помощи электропаяльных клещей. Место пайки тщательно зачищают и обрабатывают напильником и наждачным полотном, проверяя, чтобы не было наплывов, заусенцев, острых краев, затем изолируют лакотканью, которую закрепляют одним слоем тафтяной ленты вполуперекрытие.

Как наружные, так и внутренние ответвления изоли-

руют и располагают согласно чертежу.

Внутренние ответвления располагают между цилиндром и обмоткой и укладывают по всей длине в специальные электрокартонные коробочки 6. Между проводом, к которому припаяны ответвления, и соседним проводом витка прокладывают электрокартонную полосу 7. Изоляция ответвлений должна заканчиваться всегда на

конус на длине, равной двадцатикратной ее толщийе. Начало конуса должно быть выше опорного кольца на 15—20 мм.

Как наружные, так и внутренние регулировочные ответвления выполняют обычно по одному в пролете, причем если катушки имеют целое число витков, то первое ответвление располагают не в том пролете, в котором находится начало обмотки, а в предыдущем. Соответственно второе ответвление сдвигают на одну рейку от первого, третье — от второго и т. д.

При намотке левых обмоток с внутренними ответвлениями по прямой схеме намотку первой половины начинают не с конца, а с середины шаблона и ведут справа налево 1, перекладывая при этом не нечетные, а четные катушки. После окончания намотки первой половины весь шаблон повертывают на 180° и начинают наматывать вторую половину также с середины в том же на-

правлении, т. е. справа налево1.

При намотке левых обмоток с внутренними ответвлениями по оборотной схеме намотку обеих половин начинают также с середины цилиндра, но шаблон после окончания намотки первой половины не повертывают, а наматывают каждую половину от середины к соответствующему концу цилиндра. Обе половины получаются разных направлений, как это требуется при оборотной схеме.

При намотке левых обмоток с наружными ответвлениями по оборотной схеме намотку первой половины начинают с конца цилиндра и ведут к середине справа налево<sup>1</sup>, перекладывая нечетные катушки. После окончания намотки первой половины шаблон повертывают на 180° и продолжают намотку от середины, т. е. от намотанной первой половины. Вторая половина будет при этом наматываться слева направо, и обе половины получатся разных направлений.

Регулировочные ответвления выводят наружу: одну половину — сверху, а другую — снизу. В местах паек вкладывают между катушками набор прокладок, чтобы при опрессовке и насадке обмоток эти места не могли быть повреждены. Переходы из катушки в катушку в обмотках с регулировочными ответвлениями распола-

<sup>&</sup>lt;sup>1</sup> При намотке правых обмоток намотку производят слева направо.

гают по возможности в пролетах, где нет ответвлений. Если это осуществить нельзя, то переход делают над ответвлением, а не под ним.

## 6-5. НАМОТКА ОДНОХОДОВОЙ ВИНТОВОЙ ОБМОТКИ

Винтовые обмотки применяют на стороне НН, а иногда и СН у трансформаторов средних и больших мощностей. Они бывают одно-, двух-, трех- и четырех-

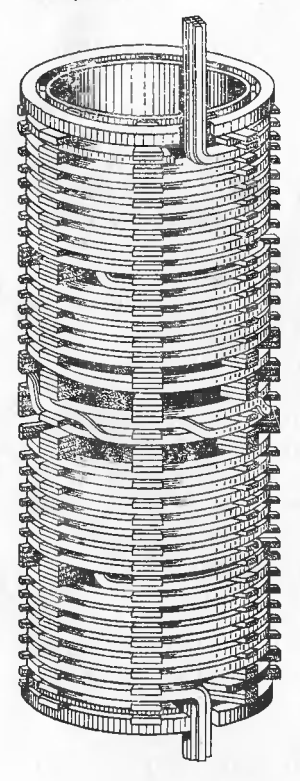


Рис. 6-18. Винтовая одноходовая обмотка.

ходовыми. Одноходовые винтовые обмотки применяют при 4—10 параллельных проводах, двухходовые — при 12—20, трех- и четырехходовые — при 40 и более. Винтовые обмотки обычно применяют для напряжений до 35 кВ.

Рассмотрим изготовление олвинтовой обмотки нохоловой (рис. 6-18). Каждый диск этой обмотки состоит из одного витка, выполняемого из нескольких параллельных прямоугольных проводов, располагаемых плашмя. Провода, образующие укладывают в радиальном правлении вплотную друг к другу. Винтовые обмотки наматывают на жестком бумажно-бакелитовом цилиндре в виде спирали с каналами между витками, которые создаются набором прокладок, располагаемых равномерно по окружности. Прокладки насаживают на продольные рейки, которые укладывают на предвариразмеченный цилиндр. Рейки образуют продольный канал между цилиндром и обмоткой. Таким образом, конструкция

продольной изоляции и крепежных деталей у винтовой обмотки такая же, как и у непрерывной обмотки.

Витки одноходовой винтовой обмотки образуют винтовую поверхность, как в одноходовом винте. При ее намотке возникают значительные силы упругости, которые

стремятся раскрутить витки. Поэтому начало обмотки комплектуют и зажимают в специальное приспособление, которое закрепляют на выступе универсального шаблона или упорном диске 1 (рис. 6-19) нераздвижного шаблона. Приспособление состоит из скобы 3, при-

жимной планки  $\hat{A}$ , нажимного винта 5 и планки 6 с резьбовым отверстием для нажимного винта. Концы проводов предварительно выгибают под прямым углом и комплектуют так, как показано на рис. 6-19. После выгиба и комплектовки восстанавливают изолянию отдельных проводов, которая повредилась при их выгибе. Затем все концы провоизолируют лакотканью, которую закрепляют тафтяной лентой. В процессе намотки ставят бандажи из киперной ленты (три-четыре по окружности), которые скре-

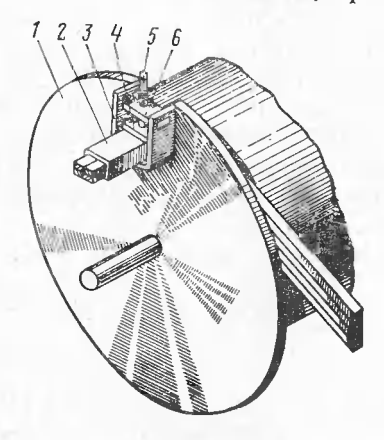


Рис. 6-19. Закрепление начала винтовой одноходовой обмотки. I— упорный диск; 2— скомплектованный нзолнрованный конец катушки; 3— скоба зажима; 4— прижимиая планка; 5— нажимный винт; 6— планка.

пляют начало обмотки с соседними дисками.

При намотке одноходовой винтовой обмотки весь провод перематывают на отдельные барабаны по количеству параллельных проводов в витке. Барабаны устанавливают на специальной стойке один за другим. Зажим применяют такой, какой показан на рис. 5-7,8, но без откидной планки 18. Перед намоткой левой обмотки сдвигают все прокладки по рейкам влево, устанавливают на шаблон вплотную к правому диску опорное кольцо с вырезами для прохода конца обмотки и придвигают к нему прокладки, образующие канал между кольцом и первым витком. В винтовой обмотке винтовая поверхность первого крайнего витка должна быть ровной, поэтому высота набора прокладок по окружности будет разной. Эту высоту указывают для каждой отдельной рейки на чертеже обмотки в развернутом виде. Если высота набора прокладок превышает 20— 25 мм, их скрепляют для устойчивости сегментами или электрокартонными шайбами. Сегменты имеют клино-

вые выступы для закрепления за рейки.

Намотав первый виток, придвигают к нему прокладки, образующие канал между первым и вторым витками, и наматывают второй виток с шагом, равным толщине провода плюс ширина канала между витками. После намотки второго витка накладывают симметрично по окружности три-четыре общих бандажа из киперной ленты на оба витка и продолжают наматывать обмотку, разделяя витки прокладками. Намотку ведут до первой транспозиции параллельных проводов, которую выполняют для компенсации уравнительных токов.



Рис. 6-20. Схема общей (A) и групповой (B) транспозиций в одноходовой винтовой обмотке. 1-6- провода в ветвях.

В одноходовой винтовой обмотке выполняют одну общую и две групповые транспозиции проводов. С этой целью всю обмотку делят на четыре равные части и после намотки ½ всех витков делают первую групповую транспозицию половинным числом проводов, образующих виток (рис. 6-20, Б). После намотки половины всех витков, т. е. на середине обмотки, делают общую транспозицию (рис. 6-20, А), при которой каждый провод в отдельности меняет свое место. Наконец, после намотки 3/4 всех витков делают вторую групповую гранспозицию (рис. 6-20, Б) половинным числом проводов, образующих виток.

Каждая групповая транспозиция занимает три пролета (рис. 6-21,6) а общая — столько пролетов, сколько в витке параллельных проводов (рис. 6-21,a). Каждая транспозиция занимает в осевом направлении обмотки место, равное осевому размеру провода плюс размер одного канала, т. е. шагу винта обмотки. Канал К по условиям выполнения транспозиции должен быть минимальным по высоте.

Групповую транспозицию выполняют следующим образом: 1) намечают место изгиба и делят всю группу па-

раллельных проводов витка на две равные ветви при четном числе проводов или на две ветви, у которых в одной на один провод больше, при нечетном числе проводов; 2) выгибают каждый провод в отдельности в нижней ветви и изолируют провода все вместе одним слоем вполуперекрытие тафтяной лентой. На переход накладывают сверху электрокартонную коробочку, закрепляя ее лентой; 3) выгибают через две рейки каждый провод в отдельности в верхней ветви и изолируют провода все вместе так же, как и в нижней ветви. Сверху на переход накладывают электрокартонную коробочку. закрепляя ее лентой; 4) укладывают обе ветви одну на другую так, чтобы нижняя ветвь проводов перешла в верхнее положение, а верхняя — в нижнее. Расстояние между переходами оказывается при этом наполовину пустым, поэтому для закрепления свободно лежащих ветвей подкладывают два клина, набираемые из электрокартонных полос (рис. 6-21, $\delta$ , поз.  $2_1$  и  $2_2$ ): один клин под одну ветвь, а другой — под другую.

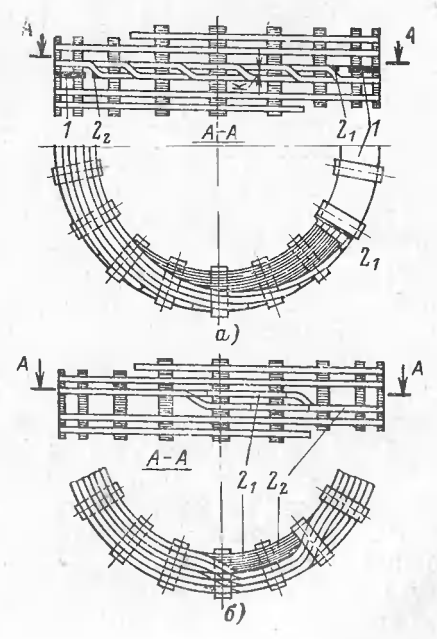
Чтобы продолжать намотку, необходимо в процессе первой групповой транспозиции переложить все провода

в натяжном зажиме: они должны укладываться в витке в том порядке, какой они заняли после транспозиции.

Групповую транспозицию одноходовой винтовой обмотки принято называть «специальной».

Рис. 6-21. Коиструктивное выполнение транспозиций параллельных проводов одноходовой винтовой обмотки.

 <sup>4 —</sup> общая транспозиция; б — групновая транспозиция; f — прессованные электрокартонные сегменты с клиновыми выступами для закрепления за рейки; 21 и 22 — клиныя из электрокартонных полос.



При дальнейшей намотке витков их разделяют прокладками, образующими каналы между витками. Намотав половину всех витков, т. е. дойдя до середины обмотки, делают общую транспозицию (рис. 6-20, A).

Начало и конец общей транспозиции должны быть

симметричными относительно ее середины.

Общию транспозицию выполняют следующим образом: 1) выгибают верхний провод в том пролете, который указан на чертеже. Затем, идя последовательно сверху вниз, выгибают каждый следующий провод, смещая один переход от другого на одну рейку. Вся транспозиция займет, таким образом, столько пролетов между рейками, сколько параллельных проводов в витке; 2) места изгиба каждого перехода изолируют предварительно электрокартонной коробочкой, которую накладывают на провод сверху и закрепляют лентой; 3) в местах переходов подкладывают два клина, набираемых ступеньками из электрокартонных полос (рис. 6-21,а, поз.  $2_1$  и  $2_2$ ). Наибольшая высота каждого клина должна равняться радиальному размеру витка минус толщина одного провода. Эта высота уменьшается под каждым переходом на толщину одного провода и, таким образом, постепенно сходит на нет. Длина клина равняется длине части окружности, занимаемой переходами всех проводов.

В процессе изготовления общей транспозиции перекладывают снова все провода в натяжном зажиме так, чтобы они укладывались в витке в том порядке, какой

они заняли после транспозиции.

Общую транспозицию называют еще «стандартной»

в отличие от общей транспозиции Бюда.

После выполнения общей транспозиции продолжают наматывать витки до второй групповой транспозиции, которую выполняют так же, как первую. На рис. 6-21 показано выполнение групповых и общей транспозиций для случая, когда виток винтовой одноходовой обмотки

состоит из шести параллельных проводов.

Если число параллельных проводов в витке четное, то положение проводов после транспозиций будет аналогично этому. Если число параллельных проводов в витке нечетное и при выполнении первой групповой транспозиции ветвь, имеющая на один виток больше, шла сверху вниз, то при выполнении второй групповой транспозиции ветвь, имеющая на один виток больше, должна

идти также сверху вниз. Переложив после второй групповой транспозиции провода в натяжном зажиме, продолжают дальше наматывать витки до конца обмотки.

Для вывода конца обмотки надежно закрепляют бандажами из киперной ленты в трех-четырех местах последние два витка обмотки, в том числе один бандаж накладывают у выхода конца обмотки. Затем устанавливают струбцину, зажимая по столбу прокладок четыре последних витка, отмечают необходимую длину выводного конца обмотки, отрезают провода и выгибают их под прямым углом, комплектуя так же, как и у начала обмоток. Выводной конец изолируют лакотканью и закрепляют тафтяной лентой.

## Транспозиции Бюда

Если число параллельных проводов в витке одноходовой винтовой обмотки кратно 4, то при намотке такой обмотки рекомендуется выполнять транспозиции Бюда.

Групповая транспозиция Бюда (рис. 6-22 и 6-23) одноходовой обмотки заключается в том, что все парал-

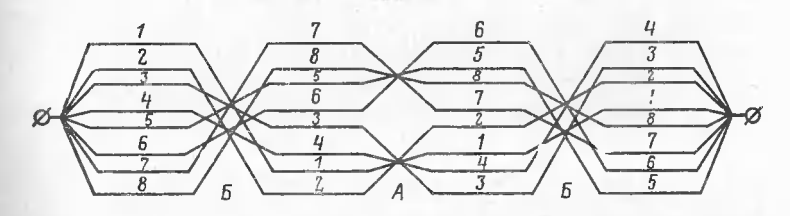


Рис. 6-22. Схема транспозиций Бюда в одноходовой винтовой обмотке.

A — общая транспозиция Бюда; Б — групповая транспозиция Бюда; 1—8 — групповая транспозиция транспозиц

лельные провода подразделяются на четыре равные группы, которые в процессе выполнения транспозиции меняются местами. Так, верхние группы 1-4 переходят вниз, а нижние группы 5-8 переходят наверх (рис. 6-22,  $\mathcal{E}$ ).

Групповая транспозиция Бюда состоит из четырех переходов, выполняемых через поле, и занимает семь полей по окружности обмотки (рис. 6-23).

Общая транспозиция Бюда. Общая транспозиция Бюда одноходовой винтовой обмотки заключается в том,

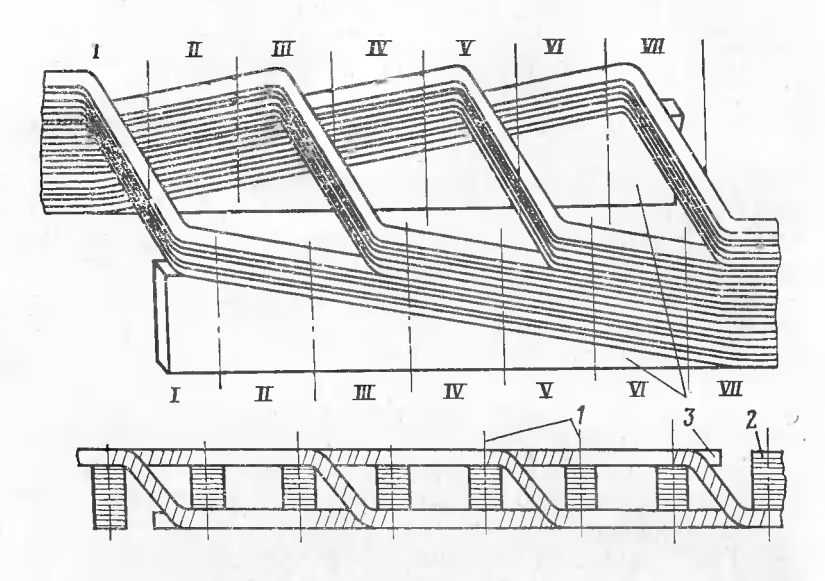


Рис. 6-23. Групповая транспозиция Бюда одноходовой винтовой обмотки из 20 параллельных проводов.

I — оси реек; 2 — дистанционные прокладки; 3 — электрокартонные клинья; I - VII — поле.

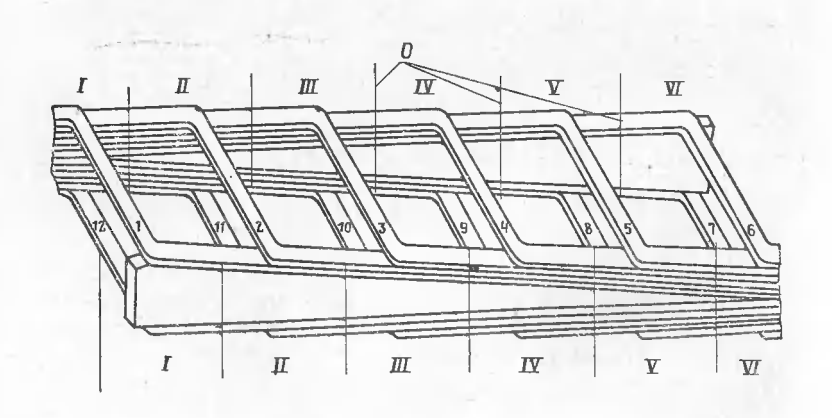


Рис. 6-24. Общая транспозиция Бюда одноходовой винтовой обмотки из 12 параллельных проводов.

О — оси реек; К — электрокартонные клинья; 1—12 — номера проводов.

что стопка проводов витка делится пополам и в обеих половинах выполняется одновременно общая транспозиция (рис. 6-22, A). Общая транспозиция Бюда занимает по окружности количество полей, равное половине числа параллельных проводов витка. В каждом поле выполняется один наружный и один внутренний переход из одного витка в другой (рис. 6-24).

# 6-6. НАМОТКА ДВУХ- И ЧЕТЫРЕХХОДОВОЙ ВИНТОВОЙ ОБМОТКИ С СОВЕРШЕННОЙ ТРАНСПОЗИЦИЕЙ ПАРАЛЛЕЛЬНЫХ ПРОВОДОВ

При больших токах и соответственно большом общем сечении металла проводника витка применяют двух ходовую винтовую обмотку с 10—20 параллельными проводами. При таком большом числе параллельных проводов их подразделяют на две равные группы, которые в виде двух стопок располагают одну под другой по высоте обмотки. Таким образом, витки в двухходовой винтовой обмотке образуют винтовую поверхность, как в двухходовом винте, т. е. получается двойная спираль.



Рис. 6-25. Схема полной транспозиции параллельных проводов в двухходовой внитовой обмотке.

O — начальное положение параллельных проводов; I — положение после первой перекладки; II — то же после второй; III — то же после третьей; VI — то же после шестой; XII — то же после последней, двенадцатой перекладки; I—I2 — номера перекладки.

При намотке двухходовой винтовой обмотки применяют зажим, состоящий из двух половин, со средней откидной, разделяющей обе группы планкой (рис. 6-7, в). Барабаны с проводом располагают в две параллельные линии, устанавливая барабаны в каждой линии один за другим по числу параллельных проводов в каждой группе.

Транспозицию в двухходовой винтовой обмотке выполняют путем перекладки проводов (на определенной доле витка, указанной в расчетной записке) из одной группы в другую, причем верхний провод 6 (рис. 6-25) из первой стопки перекладывают на верх второй стопки, а нижний провод 7 из второй стопки под низ первой стопки. Если произвести через указанные доли витка

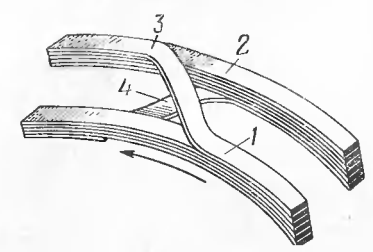


Рис. 6-26. Перекладка двух проводов.

1— первая стопка; 2— вторая стопка; 3— переход из первой стопки во вторую; 4— переход из второй стопки в первую.

столько перекладок, сколько всего параллельных проводов в витке (XII) (рис. 6-25), то каждый из проводов побывает во всех положениях при 12 перестановках по отношению к магнитному полю и, таким образом, будет выполнена совершенная транспозиция проводов.

Между двумя рейками перекладывают только два

провода, как было указано: верхний провод из первой стопки— на верх второй стопки и нижний провод второй стопки— под низ первой стопки (рис. 6-26). Перекладку этих двух проводов между двумя рейками производят без смещения переходов.

Ниже дается пример расчета полной транспозиции всех параллельных проводов в двухходовой винтовой

обмотке.

Пример. Пусть обмотка имеет 30 витков, каждый виток выполнен из 16 параллелей, обмотку наматывают на 12 рейках. Всего должно быть 16 перестановок, но фактически будет 17 перестановок, так как первую и последнюю транспозицию делают на половине тех долей витка, которых будет недоставать после выполнения

остальных 15 гранспозиций.

Вычисляем доли витка, через которые должны быть выполнены основные транспозиции:  $^{30}/_{16} = 1^{14}/_{16} = 1^7/_{8}$  витка. Эту дробь приводим к знаменателю, равному числу реек, т. е. к 12, и получаем:  $I^{10,5}/12$ . Округляем дробь. Тогда доли витка, через которые должны быть сделаны основные перестановки, будут  $1^{14}/_{12}$  или  $1^{10}/_{12}$ . Возьмем  $1^{14}/_{12}$ . Таким образом, 15 основных транспозиций должны быть выполнены каждая через  $1^{14}/_{12}$  витка. Это дает  $1^{14}/_{12} \cdot 15 = (2^3/_{12}) \cdot 15 = {}^{845}/_{12} = 28^9/_{12}$  витка. У нас в обмотке всего 30 витков, т. е. недостает  $1^3/_{12}$  витка. Разделив это число пополам, получим, что первую транспозицию надо делать через  ${}^7/_{12}$  витка от начала, последнюю — на  ${}^8/_{12}$  витка от конца.

Намотку двухходовой винтовой обмотки производят следующим образом: а) выгибают начальные концы проводов под прямым углом, комплектуют согласно чертежу в две ветви, изолируют лакотканью и тафтяной 152

лентой и закрепляют в зажиме, установленном на шаблоне или упорном диске; б) надевают на провода зажим для натяжения и зажимают их; в) накладывают на начало обмотки петлю из киперной ленты; г) при намотке левой обмотки сдвигают все прокладки по рейкам

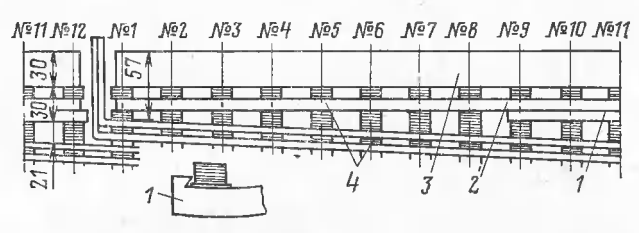


Рис. 6-27. Выравнивание опорной поверхности двухходовой винтовой обмотки.

1 — сегмент с закраинами; 2 — опорное кольцо толщиной 10 мм с разрезом; 3 — опорное кольцо толщиной 30 мм; 4 — прокладки; № 1—12 — столбики прокладок,

влево и придвигают к правым опорным кольцам 3 и 2 (рис. 6-27) набор прокладок 4 разной высоты на каждой рейке, чтобы образовать канал между первым витком и кольцом и выровнять винтовую поверхность первого витка (прокладки скрепляют для устойчивости

сегментами 1); д) наматывают витки. одновременно укладывая ветви и разделяя их прокладками 2 (рис. 6-28). образующими между ветвями и витками; е) делают первую перекладку параллельных проводов через доли витка, указанные в расчетной записке. Перекладку делают так, как указано выше, т. е. между двумя рейками перекладывают в указанном месте верхний провод из первой ветви на верх второй ветвии нижний провод из второй • ветви под низ первой ветви.

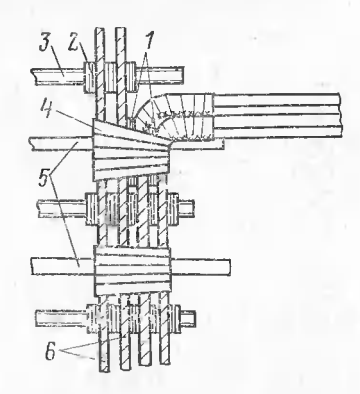


Рис. 6-28. Выгиб, комплектовка и закрепление начальных концов двухходовой винтовой обмотки.

1 — дополнительные прокладки из электрокартона; 2 — диставционные прокладки; 3 — продольные рейки; 4 — бандажи из киперной ленты; 5 — временные технологические рейки; 6 — витки обмотки.

Предварительно в отмеченном для транспозиции месте изолируют нижний провод второй ветви, для чего накладывают на него сверху электрокартонную коробочку длиной 80—100 мм и закрепляют ее лентой. Также изолируют верхний провод первой ветви, но коробочку накладывают на провод снизу. Изолированные места выгибают и, отпустив зажим, перекладывают провода (рис. 6-26); ж) зажимают натяжное приспособление и доматывают виток; з) накладывают на начало

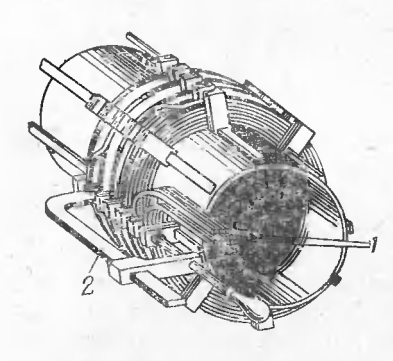


Рис. 6-29. Выгиб и закрепление струбциной конечных проводов двухходовой винтовой обмотки. 

1 — концы проводов; 2 — струблина.

обмотки и первые два витка бандажи 4 из киперной ленты (рис. 6-28); и) наматывают следующие ВИТКИ делают перекладку проводов так, как указано выше. Набор прокладок межлу витками и группами выполняют согласно расчетной записке: к) после последней транспозиции ломатывают витки обмотки и закрепляют последние два витка бандаиз киперной л) отмечают место располообмотки конца длину конечных проводов, закрепляют четыре последних

витка по столбу прокладок струбциной 2 (рис. 6-29) и отрезают конечные провода отмеченной длины; м) выгибают концы 1 проводов под прямым углом, комплектуют их в каждой ветви так же, как и начальные провода, изолируют лакотканью и тафтяной лентой и закреп-

ляют киперной лентой (пять-шесть оборотов).

Две двухходовые обмотки, соединенные вместе, представляют собой четырехходовой обмотке число параллельных проводов витка делят на четыре равные части, которые в виде четырех стопок располагают рядом одну под другой по высоте обмоток. Перекладку проводов в них производят самостоятельно в каждой двухходовой спирали, т. е. в первой двухходовой спирали провода перекладывают из первой стопки во вторую и из второй в первую, а во второй двухходовой спирали — из третьей стопки в четвертую и из четвертой в третью.

В трансформаторах большой мощности при большом числе параллельных проводов в витке двухходовую и четырехходовую винтовые обмотки выполняют с двойной транспозицией проводов, т. е. в первой половине обмотки все перестановки делают в одном направлении (верхний провод из первой стопки на верх второй и нижний провод из второй стопки под низ первой), а во второй половине обмотки — в обратном направлении (верхний провод из второй стопки на верх первой и нижний провод из первой стопки на верх первой и нижний провод из первой стопки под низ второй). При обратном направлении во второй половине обмотки происходит раскручивание пучка проводов, идущих с барабанов, которые в первой половине все время закручивались.

Трехходовая винтовая обмотка (и технология ее намотки) разработана для крупных трансформаторов большой мощности, но ввиду ее сложности применяется ограниченно. В ремонтаом производстве она встречается редко, поэтому в настоящей книге не рассматривается.

#### 6-7. НАМОТКА ПЕРЕПЛЕТЕННОЙ ОБМОТКИ

Переплетенная обмотка выполняется примерно так же, как и непрерывная, т. е. поочередно наматывают перекладные и постоянные катушки и транспонируют параллельные провода при переходах из одной катушки в другую. Разница заключается в том, что переплетенную обмотку наматывают двумя проводами и за каждый оборот одновременно по два витка.

На рис. 6-30, а показаны четыре катушки (*I—IV*). Витки *I—6* первой катушки чередуются с витками *13—18* из второй катушки, а во второй катушке витки *7—12* из первой катушки чередуются с витками *19—24* второй катушки. Таким образом, каждая катушка состоит из 12 витков, но только половина из них располагается в своей катушке. а другая половина — в соседней катушке.

своей катушке, а другая половина — в соседней катушке. Как и в непрерывной обмотке, сначала наматывают шесть сдвоенных витков первой перекладной катушки, затем производят перекладку и затяжку витков этой катушки и делают внутренний переход во вторую постоянную катушку. Во внутреннем переходе провода транспонируют, т. е. верхний провод (виток 6) переходит вниз (виток 7), а нижний провод (виток 18) переходит вверх (виток 19). Дальше наматывают шесть сдвоенных витков второй постоянной катушки и переплетают витки двух первых намотанных катушек, для чего соединяют

последний виток первой катушки (виток 12) с первым

витком второй катушки (виток 13).

Делают это так. Намотав вторую постоянную катушку, выгибают конец второго провода (виток 13) в виде перехода из первой катушки во вторую, обрезают конец первого провода (виток 12) с таким расчетом, чтобы пайка была выше перехода, и оба конца очищают от

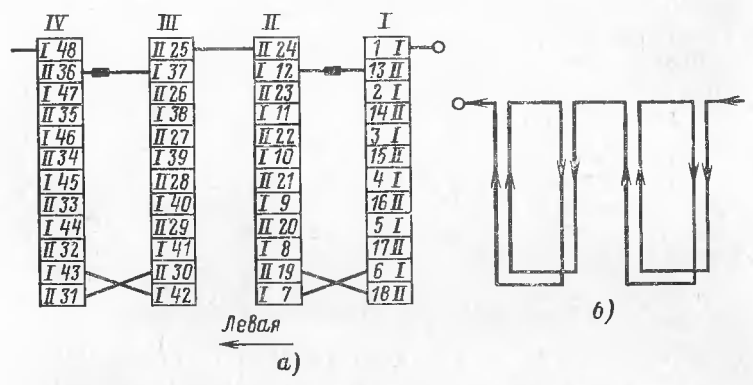


Рис. 6-30. Намотка одноходовой переплетенной обмотки. a— схема намотки; 6— направление тока в витках катушек.

изоляции, срезая бумагу на конус. Затем спаивают концы внахлестку и изолируют лентами кабельной бумаги вполуперекрытие до толщины изоляции провода, заполняя постепенно конус. Изоляцию закрепляют одним

слоем тафтяной ленты вполуперекрытие.

В переплетенных обмотках витки должны быть намотаны очень плотно, отставание витков и выравнивание радиального размера полосами электрокартона не допускаются. Поэтому сдвинутые при пайке витков 12—13 их части натягивают на свое место и обеспечивают плотное прилегание их к катушке. После пайки остаются два свободных конца: конец верхнего провода I первой катушки и конец провода II второй катушки. Первый провод I изгибают, изолируют и закрепляют бандажом. Этот провод является началом обмотки. Второй провод II изгибают и изолируют, как наружный переход в третью катушку. Но для намотки третьей перекладной катушки нужны два провода, поэтому под виток 24 подкладывают конец провода I, идущего от первого бараба-

на, и скрепляют концы проводов І и ІІ между собой

бандажом из киперной ленты.

Далее приступают к намотке третьей перекладной катушки, передвинув ко второй катушке дистанционные прокладки, создающие канал между катушками. Под первый виток 25 подкладывают ступенчатый по высоте клин из электрокартона для правильного расположения переходов и плотного прилегания проводов друг к другу и наматывают шесть сдвоенных витков третьей перекладной катушки. Потом повторяют те же операции, которые выполнялись при намотке первой и второй катушек. Таким образом наматываются все катушки обмотки. Заканчивают намотку переплетенной обмотки закреплением концов и последних катушек бандажом из киперной ленты.

На рис. 6-30,6 показано направление тока в витках катушки.

#### 6-8. НАМОТКА ДИСКОВОЙ ОБМОТКИ

Входные катушки-обмоток ВН у некоторых конструкций трансформаторов 220 кВ выполняют в виде двойных дисковых с дополнительной катушечной изоляцией. Число таких дисковых катушек у этих трансформаторов большое; их заранее комплектуют в самостоятельные группы. Сборка таких катушек производится на

замковых прокладках (см. рис. 3-1 и 3-13).

На рис. 6-31 показан шаблон для намотки отдельных двойных дисковых катушек. Основной частью его является относительно короткий вал, который с одной стороны соединен с редуктором. На вал насаживают торцовый диск 2, диаметр которого на 200 мм больше наружного диаметра катушки, и шаблон 4, диаметр которого равен внутреннему диаметру катушки. Диск и шаблон могут представлять собой одно целое и закрепляться на валу на общей шпонке. Затем на вал надевают вспомогательный шаблон 5 для предварительной намотки катушки, который закрепляется на валу стопорным винтом 3.

Сначала наматывают временную катушку. Для этого закрепляют конец провода на шаблоне 6. Затем педалью включают станок и наматывают на шаблон 6 временную катушку. Витки укладывают свободно вдоль шаблона

по направлению стрелки. После окончания намотки временной катушки провод переводят на шаблон 5 и делают внутренний переход в постоянную катушку. Переход изолируют электрокартонной коробочкой, ее накладывают на провод сверху и закрепляют лентой.

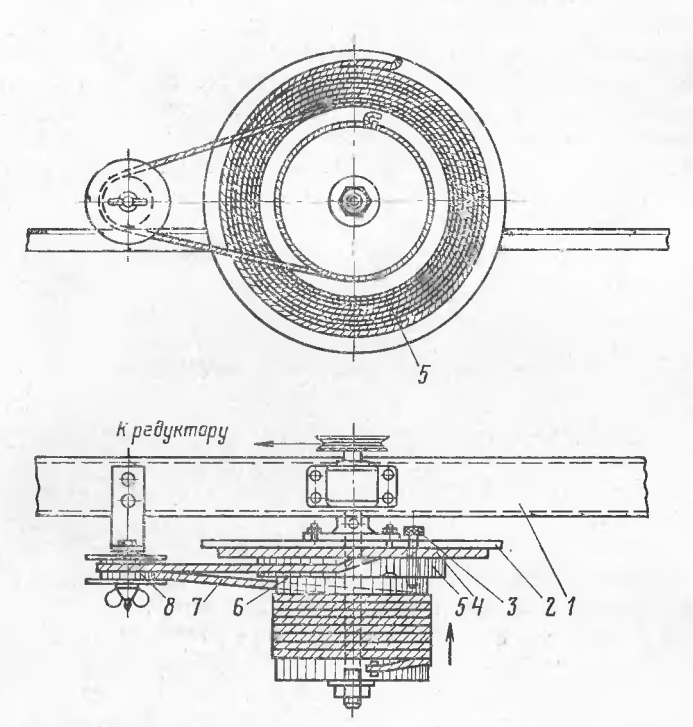


Рис. 6-31. Шаблон для намотки отдельных двойных дисковых катушек.

1— швеллер-основание намоточного станка; 2— торцовый диск; 3— стопорный винт; 4— шаблон для намотки с наложенной поверх него полосой из электрокартона; 5 н 6— оправки для временной намотки второго диска; 7— обмоточный провод; 8— направляющий ролкк.

Если виток состоит из нескольких параллельных проводов, то в переходе делают перестановку (транспозицию) проводов так, как это указано в § 6-4. Затем придвигают провод с переходом вплотную к торцовому диску, под провод у перехода подкладывают кусок ленты и наматывают на шаблоне 4 постоянную катушку, укла-

дывая радиально витки вплотную один на другой. После окончания намотки постоянной катушки отрезают провод, а катушку связывают у перехода ранее заложенной лентой.

После этого переключают станок на обратный ход и освобождают вспомогательный шаблон, чтобы он смог

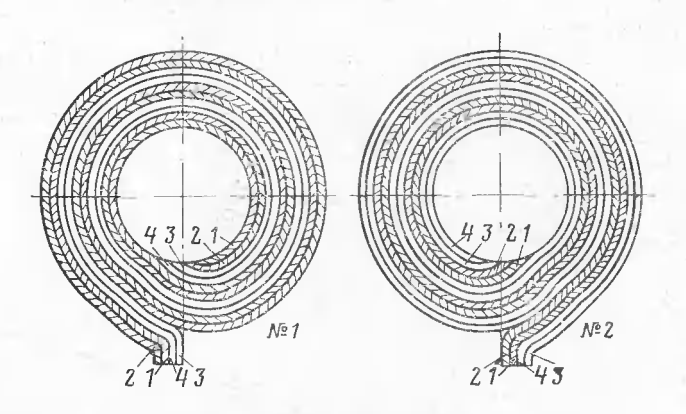


Рис. 6-32. Схема двойной днсковой катушки с нечетным числом витков (5) с разной намоткой двух групп параллельных проводов (по два и три витка в каждой из катушек).

1 и 2 — номера одинарных катушек; 1-4 — номера параллельных проводов.

свободно вращаться на валу. Затем провод временной катушки ослабляют у перехода в виде петли, которую укладывают на направляющий ролик, провод зажимают в натяжном зажиме (на рис. 6-31 не показан), включают педалью станок в обратном направлении и наматывают на шаблоне 4 рядом с намотанной постоянной катушкой вторую постоянную катушку двойной дисковой катушки. После намотки второй постоянной катушки ее закрепляют ленточным бандажом и отрезают лишний провод. Чтобы намотанную двойную катушку можно было легко снять с шаблона, подкладывают у места перехода перед намоткой первого витка электрокартонную полоску толщиной 2 мм и длиной 250—300 мм. Перед съемом намотанной катушки вытаскивают эту полоску и катушка легко снимается с шаблона.

Если общее число витков в двойной дисковой катушке нечетное, например 5, и виток состоит из n параллельных проводов, то в одном диске укладывают два витка

из n параллельных проводов, а в другом — три витка из n проводов. В результате в одном диске будет 2n проводов, а в другом 3n проводов, т. е. в одном на n проводов будет больше, и радиальные размеры дисков будут неодинаковыми. В этом случае в диске, имеющем на n проводов меньше, радиальный размер разгоняют полосками из электрокартона до радиального размера второго диска.

При четном числе параллельных проводов в витке, например n=4, и нечетном числе витков в двойной катушке, например, 5, разгона можно не производить, если выполнить двойную дисковую катушку следующим обра-

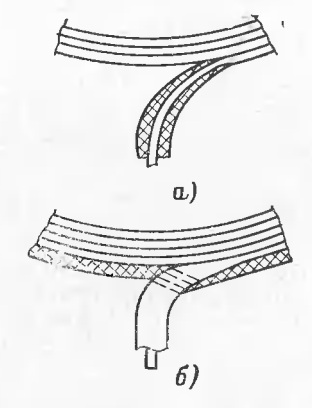


Рис. 6-33. Процесс наложения катушечной изоляции на дисковые катушки. a — начало наложения изоляции;  $\delta$  — продолжение наложения.

зом: намотать в первом диске два витка всеми четырьмя параллельными проводами каждый (1-4), затем отрезать параллельные провода 3 и 4 и намотать третий виток только двумя проводами 1 и 2. Во втором диске также намотать первые два витка всеми четырьмя проводами (1-4), затем отрезать провода 1 и 2 и намотать третий виток двумя проводами 3 и 4. В результате в двух дисках двойной катушки каждый провод образует пять витков и радиальный размер по всей окружности у обоих дисков получится одинаковым (рис. 6-32).

Если обмотки имеют в начале, в конце или в середине отдельно намотанные двойные дисковые катушки, то на

них накладывают катушечную изоляцию, общую для всех витков каждого диска. Эту изоляцию выполняют лентой из кабельной бумаги, которую накладывают вполуперекрытие по всему периметру диска на определенную

толщину.

Чтобы у начального конца катушки, а также у внутреннего перехода не получалось при этом разрыва, катушечную изоляцию выполняют следующим образом: сначала изолируют лакотканью на конус наружный конец (рис. 6-33, а) и внутренний переход, затем начинают накладывать катушечную изоляцию (рис. 6-33, б). Первым слоем бумажной ленты обходят конец катушки и переход у корня, вторым слоем — несколько дальше корня, частично накрывая сам конец и переход, третьим слоем — еще дальше и т. д. Катушечную изоляцию выполняют сразу двумя лентами кабельной бумаги, сложенными вместе, толщиной  $2 \times 0,12 = 0,24$  мм. наложении двойной ленты вполуперекрытие получается за один обход толщина изоляции 0,5 мм на одну сторону. Чтобы получить требуемую толщину катушечной изоляции, делают нужное количество обходов.

После наложения катушечной изоляции дисковые катушки собирают на замковых прокладках, комплектуют в группы, прессуют между плитами и сушат. Затем их «пристраивают» к непрерывным частям обмотки, соединяя пайкой после наружного перехода с основной обмоткой. Предварительно переход изолируют так, как

указано выше.

### 6-9. ОБМОТКИ ДЛЯ ЭЛЕКТРОПЕЧНЫХ ТРАНСФОРМАТОРОВ

Обмотки электропечных трансформаторов выполняются в виде двойных дисковых катушек, а также в виде коротких винтовых катушек и цилиндров из листовой меди.

Технология изготовления дисковых катушек для электропечных трансформаторов ничем не отличается

от описанной выше.

Здесь приводится технология изготовления обмоток НН, выполняемых в виде коротких винтовых катушек с витками из многих параллельных проводов (40 и более), а также в виде цилчидров из листовой меди.

161

Короткие винтовые катушки с витками из многих параллельных проводов для обмоток НН электропечных трансформаторов (см. рис. 3-2) имеют небольшое число витков (2-10) и выполняются на специальных приспособлениях (рис. 6-34). Для намотки этих катушек применяют деревянный шаблон 2, по окружности которого сделаны пазы. В эти пазы вставляют и закрепляют шурупами с потайной головкой стальные скобы 5. В скобы вдвигаются стальные гребенки б на необходимое число витков. Гребенки состоят из круглых стержней диаметром, равным расстоянию между витками винтовой катушки. Расстояния между стержнями гребенки равны высоте витка плюс небольшой припуск. Стержни гребенки вставляются в отверстия соединяющей их стальной планки и завариваются. К шаблону 2 прикрепляется шпильками стальной диск 1, имеющий выступ за пределы шаблона на высоту витка плюс 70-100 мм. В диске 1 и шаблоне 2 сделаны по окружности вырезы 10 для установки струбцин, которыми скрепляются после намотки витки катушки перед ее съемом.

Поскольку виток катушки винтовой обмотки электропечного трансформатора обычно состоит из большого числа параллельных проводов (несколько десятков), намотка такой катушки производится в несколько приемов, примерно по десяти параллельных проводов за прием. С этой целью все параллельные провода, образующие виток, разделяют на несколько пучков по числу барабанов с проводом, возможных к установке. Начало пучка параллельных проводов зажимают двумя специальными зажимами, состоящими каждый из винта 7, закрепленного неподвижно в планке 9. По винту 7 при его вращении ходит фасонная гайка 8 и закрепляет

начало пучка.

При намотке первый виток пропускается через первый промежуток в гребенках, второй виток — через второй промежуток и т. д. Когда намотаны все витки катушки из первого пучка параллельных проводов, конец пучка закрепляют в зажиме, который состоит из упора 4 с резьбой и гайки 3. При вращенци гайки закрепляется конец пучка. Затем провода пучка обрезают и на намотанный первый пучок тем же способом наматывают следующие пучки. После намотки всей катушки устанавливают указанные выше струбцины и снимают катушку.

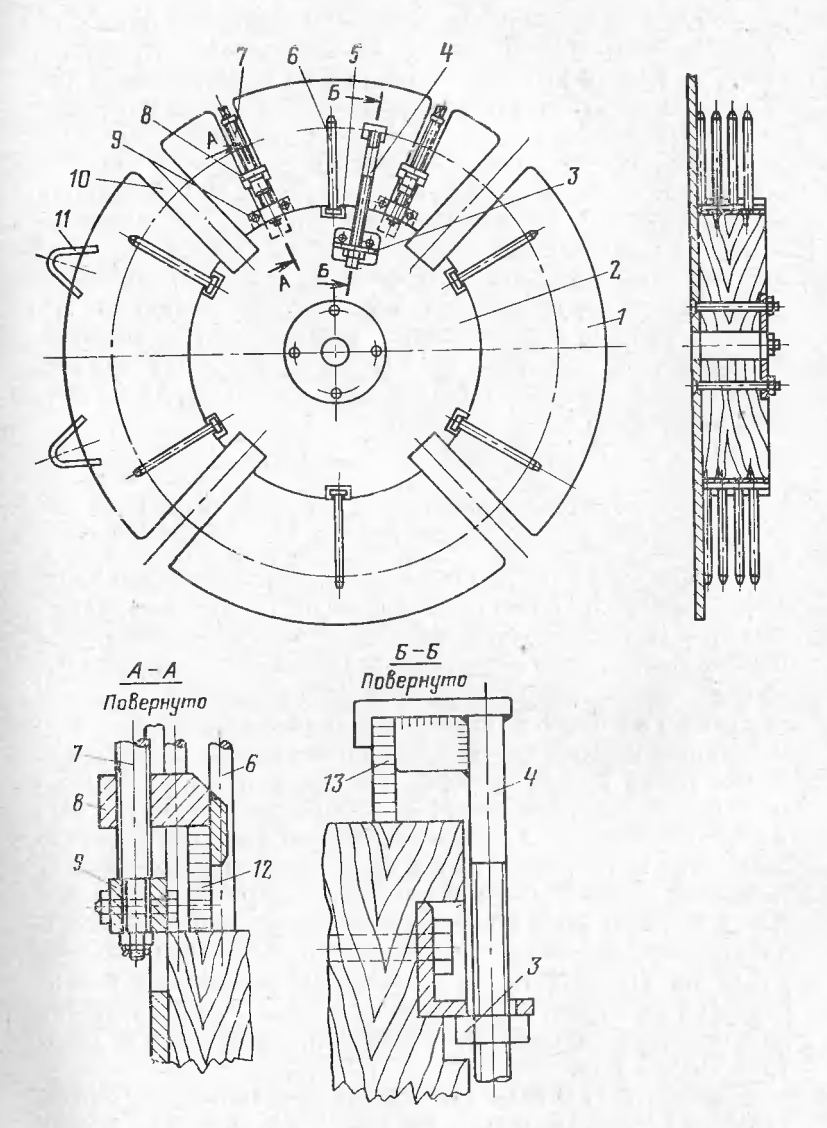


Рис. 6-34. Шаблон для намотки многопараллельных коротких катушек винтовых обмоток.

1 — стальной торцовый диск;
 2 — деревянный шаблон;
 3 — гайка зажима конца пучка проводов;
 4 — упор зажима с резьбой;
 5 — стальная скоба;
 6 — стальная гребенка;
 7 — винт зажима начала пучка проводов;
 8 — фасонная гайка;
 9 — стальная планка;
 10 — паз в диске для установки струбци;
 11 — начало пучка параллельных проводов, закрепленных в зажиме;
 13 — конец пучка параллельных проводов, закрепленных в зажиме.

Короткие катушки для винтовых обмоток НН электропечных трансформаторов выполняют без перегиба и с перегибом (с уточкой) проводов на каждом витке (см. рис. 3-2, а и б). Катушка без перегиба менее трудоемка в изготовлении и позволяет расположить начало и конец катушки непосредственно друг под другом. Однако такая катушка занимает больше места в осевом направлении обмотки. Поэтому иногда катушку выполняют с перегибом проводов. Начало и конец катушки приходится при этом раздвигать, а само выполнение перегибов увеличивает трудоемкость изготовления катушки. Но зато у катушки с перегибом выравнивается винтовая поверхность каждого витка, что уменьшает размер катушки в осевом направлении обмотки и делает ее механически более устойчивой.

## Цилиндрические обмотки НН из листовой меди

На рис. 3-11 была показана конструкция цилиндрических обмоток НН из листовой меди. Такие конструкции обмоток НН были осуществлены при модернизации ряда отечественных электропечных трансформаторов, которые имели раньше чередующиеся обмотки, причем винтовая обмотка НН была выполнена в виде короткой катушки с витками из многих параллельных проводов. Модернизация таких трансформаторов с заменой чередующихся обмоток концентрическими и выполнением обмотки НН в виде цилиндров из листовой меди позволила увеличить мощность трансформатора в отдельных случаях на 60% и больше и одновременно повысить напряжение ВН с 6 до 35 кВ, при этом как электрическая прочность, так и электродинамическая стойкость обмоток значительно возросли. Правда, при указанной модернизации увеличивается  $u_{\rm K}$  трансформатора, что несколько ухудшает коэффициент мощности установки, а также к. п. д. трансформатора.

На рис. 3-17, в был дан эскиз установки обмоток таких трансформаторов, а на рис. 3-7 и 3-8—их регулировочные обмотки. Обмотка ВН выполняется в виде непрерывной без регулировочных отводов по технологии,

которая изложена выше.

Ниже описана технология изготовления обмотки НН в виде цилиндра из листовой меди. Обычно такая об-

мотка имеет два-три витка. Для уменьшения дополнительных потерь толщина медного листа при трех витках не должна быть больше 6 мм.

Сварка медных листов. Чтобы получить длину заготовки, которая требуется для намотки указанной обмотки НН, необходимо отдельные медные листы расчетной толщины сварить по ширине листа, равной высоте цилиндра (см. приложение 13).

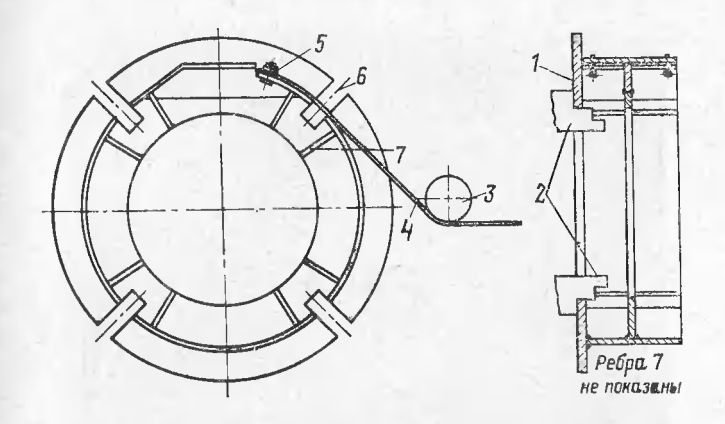


Рис. 6-35. Шаблон для намотки цилиндрических катушек из листовой меди.

1 — диск; 2 — губки патрона станка ДИП-500; 3 — направляющий ролик; 4 — медная полоса; 5 — планка, закрепляющая конец шины; 6 — вырез в диске 1 для установки струбцин; 7 — дополнительные ребра жесткости.

Намотка цилиндрической обмотки из медного листа применяют шаблон (рис. 6-35) в виде сварного металлического цилиндра, имеющего длину, равную ширине медного листа (высота катушки) плюс 100 мм, и наружный диаметр, равный внутреннему диаметру катушки. С одной стороны к шаблону приваривают борт в виде диска 1, с помощью которого шаблон зажимают в распор губками 2 патрона токарного станка ДИП-500 (рис. 6-35) или его устанавливают и закрепляют на столе карусельного станка (рис. 6-36). На суппорте станка закрепляют обкатывающий ролик 3 так, чтобы он прижимал и обкатывал медный лист при намотке катушки (рис. 6-35 и 6-36). Конец медного листа закрепляют на шаблоне (рис. 6-35). В диске 1 шаблона делают четыре

выреза 6 для установки струбцин, которыми зажимают витки катушки после намотки ее перед съемом с шаблона. После намотки первого витка наматывают на него вручную по всей высоте катушки листы электрокартона на толщину канала между витками и наматывают второй виток. После намотки второго витка снова наматывают на него листы электрокартона на толщину канала между витками и делают третий виток и т. д. После

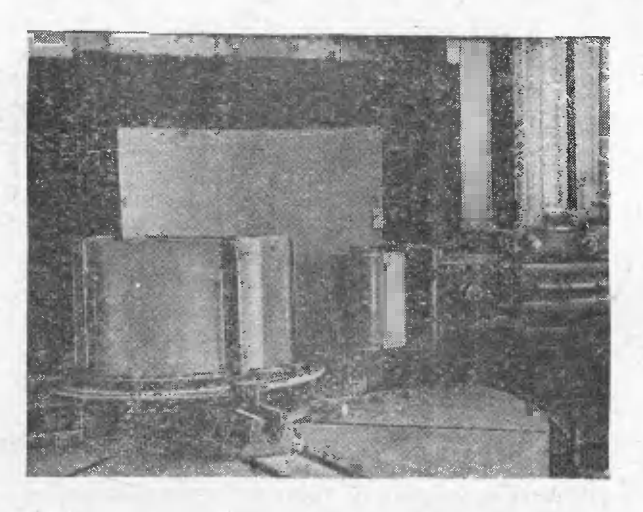


Рис. 6-36. Установка шаблона для намотки цилиндрической обмотки из медного листа на карусельном станке.

намотки последнего витка устанавливают в прорези 6 струбцины, зажимают витки, обрезают лишний конец медного листа и снимают с шаблона намотанную катушку. Затем вынимают заложенные между витками при намотке листы электрокартона и приваривают отводы. Предварительно отводы нарезают из медного листа, выгибают и приваривают (рис. 3-10). Приварку отводов производят к началу и концу катушки встык медным электродом дугой постоянного тока (см. приложение 13). После приварки отводов и зачистки мест сварки сверлят в катушке и отводах отверстия и ставят крепления (см. рис. 3-10).

Фирма «Сименс» выполняет обмотки НН трансформаторов для карбидных печей мощностью 37 000—40 000 кВ А на ток до 90 000 А в виде двух медных полуцилиндров на общую высоту 1700—1900 мм. Обмотка основного трансформатора состоит из одного

витка; толщина медного листа 12—14 мм (рис. 6-37). Отводы НН фирма делает иначе, чем это было показано на рис. 3-10 и 3-11. Фирма отбортовывает края полуцилиндров и делает в них пропилы, разделяя их на пять-шесть парных концов. Концы лудят и в них сверлят отверстия. К указанным концам подсоединяют на болтах из немагнитной стали гибкие демпферы, к которым также на бол-

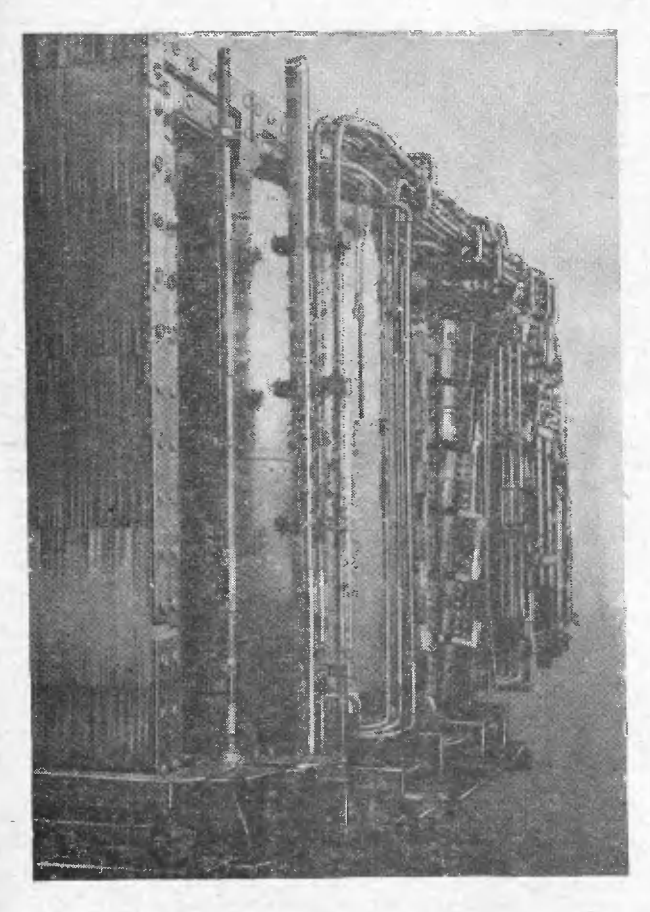


Рис. 6-37. Электропечной трансформатор 40 000 кВ $\cdot$ А. Вид со стороны коицевых отводов обмотки НН.

тах подсоединяются трубчатые водоохлаждаемые вводы. Вводы выводятся через боковую степку бака, имеющую соответствующее осно, которое закрывается на уплотиениях алюминиевой плитой. Плита имеет окна для прохода трубчатых вводов (на каждый двойной вход — два отверстия). Вводы при проходе через окиа плиты изолируются от последией фасонными отбортованными гетинаксовы-

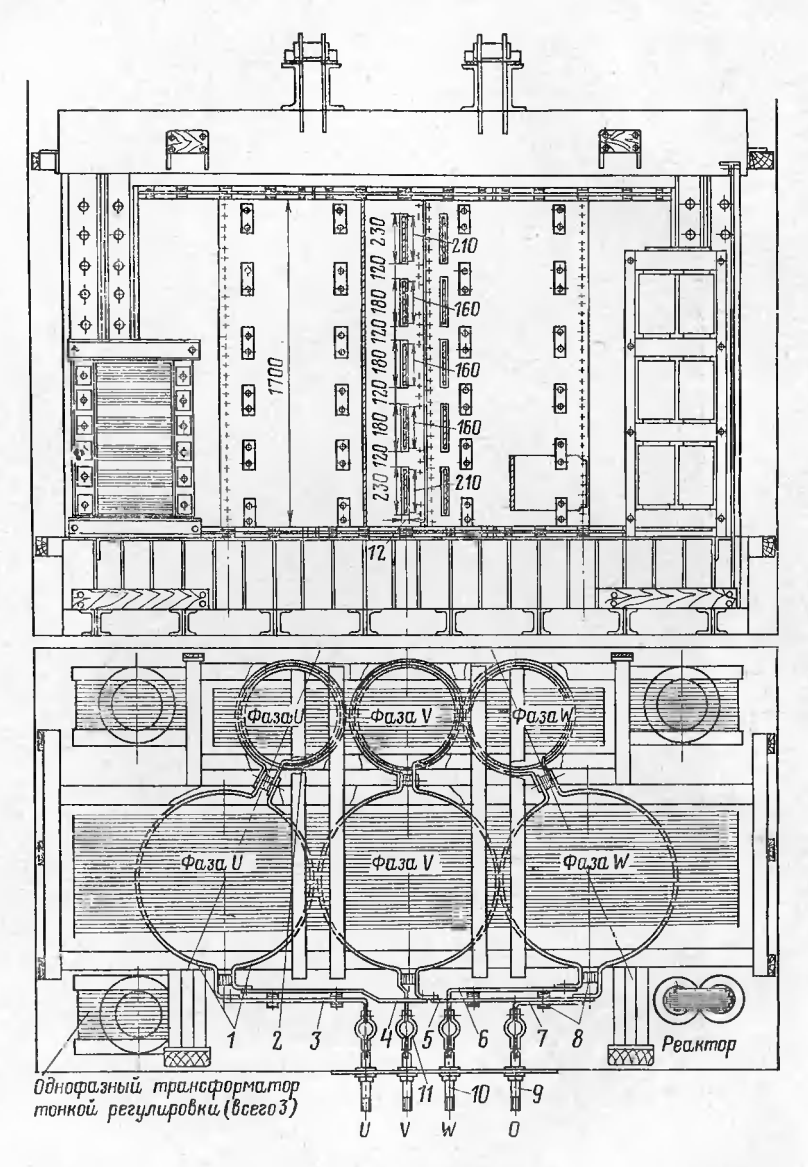


Рис. 6-38. Обмотки и выводы НН электропечного трансформатора 37 000 кВ  $\cdot$  А.

I — обмотка основного трансформатора; 2 — обмотка НН регулировочного вольтодобавочного трансформатора; 3 — отвод фазы U; 4 и 5 — медные листы, образующие звезду; 6 — отвод фазы W; 7 — отвод к нулевому выводу; 8 — гетннаксовые дистанцирующие планки; 9 — нулевой трубчатый вывод; 10 — линейный трубчатый вывод; 10

ми шайбами и кольцами. На каждую фазу идет 10—12 трубчатых водоохлаждаемых одинарных вводов (или 5—6 двойных).

Соединение в звезду выполняют медным листом с окнами, через которые проходят изолированные начальные отводы сред-

ней фазы

Если обмотка состоит из двух витков, то фирма отбортовывает начало первого внутреннего витка, делает в нем пропилы, разделяя отбортованный конец на несколько частей по числу выводов, и выпускает последние нзолированно через окна, которые вырезаются по высоте одно под другим в теле второго наружного витка (рис. 6-38). Такая конструкция, при которой концы внутренних витков пропускают через окна, вырезанные в меди наружного витка, уменьшает в местах пропуска сечение меди витка примерно в 2 раза. Это увеличивает плотность тока в этих местах до 12—14 А/мм². Однако, как пожазала практика эксплуатации таких трансформаторов, они работают достаточно длительно и надежно.

Когда обмотка состоит из одного витка, то цилиндр не наматывают, а вальцуют, для чего медный лист или пропускают через соответствующие вальцы, нли вальцуют вручную на соответствую-

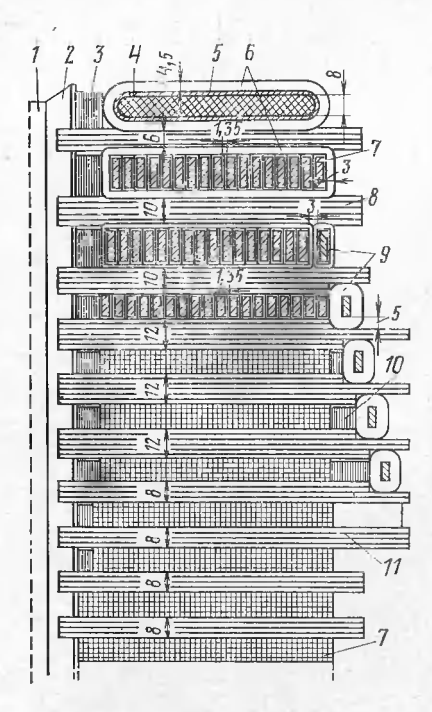
щей оправке.

#### 6-10. ИЗГОТОВЛЕНИЕ И УСТАНОВКА ЭКРАНИРУЮЩИХ ВИТКОВ ОБМОТКИ

В некоторых конструкциях трансформаторов 220 кВ для уменьшения грозовых перенапряжений на элементах продольной изоляции обмоток применены на обмотках ВН незамкнутые экранирующие витки (см. рис. 2-7). Такие витки раньше устанавливались на обмотке ВН и у трансформаторов 110 кВ (рис. 6-39). Экранирующие витки 9 выполняются из того же провода, что и витки экранируемых катушек, и поддерживаются выступами удлиненных прокладок. При этом первый экранирующий виток располагают вплотную к катушке, а следующие отделяют от катушек масляными каналами, которые образуются электрокартонными полосами, устанавливаемыми на выступах прокладок. Изменяя расстояние между витком и катушкой, а также угол охвата, изменяют емкость. На рис. 6-40 приведена схема расположения (план) экранирующих витков верхних катушек трехфазного трансформатора.

Экранирующие витки обмотки имеют усиленную изоляцию (5—6 мм на сторону). При местных ремонтах дополнительную изоляцию провода выполняют вручную, накладывая на него вполуперекрытие соответствующее количество слоев кабельной или крепированной бумаги.

Витки, экранирующие несколько катушек обмотки, соединяют параллельно, причем переход одного витка в другой выполняют в виде петли (рис. 6-41) с внутренним радиусом примерно 20 мм. При выполнении петли изоля-



#### Рис. 6-39. Непрерывная обмотка 110 кВ.

1 — мягкий цилиндр, наматываемый из отдельных листов электрокартона; 2 — рейка; 3 — кольцо из полос электрокартона; 4 — прессованное кольцо из электрокартона; 5 — обмотка медной лентой с изоляцией между витками; 6 — бумажная изоляция и бандаж; 7 — катушка обмотки; 8 — прокладки; 9 — экранирующие витки обмотки; 10 — полосы электрокартона, образующие масляный канал между катушкой и экранирующим витком обмотки; 11 — опорный сегмент, спрессованный из электрокартона.

цию провода на всей длине изгиба обильно увлажняют горячей водой, иначе из-за большой толщины она будет рваться. Все начала экранирующих витков 4 (рис. 6-42), а также отводы обмоток и емкостного кольца обмотки припаивают к общей шине. Шину с припаян-

ными к ней концами витков и отводов (гребенку) изолируют лентой лакоткани 6 шириной 20 мм вполуперекрытие на толщипу 5—6 мм на сторону.

Изолировку начинают от места выхода линейного конца из гребенки. При наложении второго слоя изме-

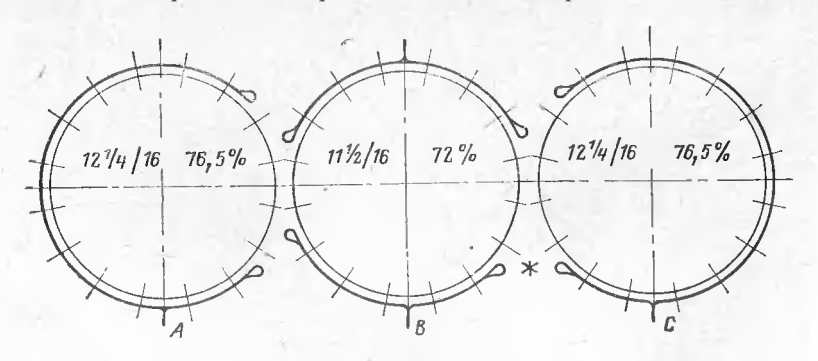


Рис. 6-40. Схема расположения (в плане) экранирующих витков верхних катушек обмотки (цифры указывают угол охвата катушек экранирующими витками в долях окружности и процентах).

няют направление, затем накладывают третий слой, опять изменяя направление, и т. д. Не прерывая ленты, продолжают изолировку и накладывают первый слой на отвод 2 емкостного кольца обмотки 1. Дойдя до конуса, делают один оборот ленты вокруг начала конуса. Изме-

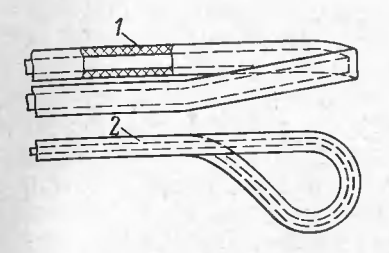


Рис. 6-41. Переход одного экранирующего витка обмотки в другой в виде петли.

1 — бумажная изоляция; 2 — поверхность экраннрующего витка, обращенная к катушке.

няя направление, накладывают второй слой на место пайки 5 конца дисковой катушки А и изолируют сам конец до начала конуса. На него накладывают еще один слой, изменяя направление ленты, и спускаются немного вниз. Снова изменяют на-

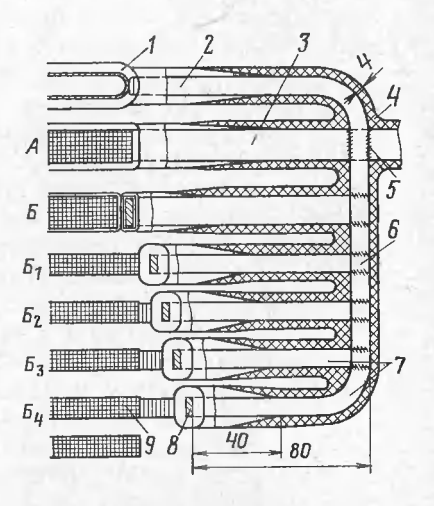


Рис. 6-42. Гребенка экранирующих витков обмотки ВН. 1—емкостное кольцо обмотки; 2—отвод от емкостного кольца; 3—конец катушки А; 4—лакоткань; 5—места паек; 6—медная шина грефеста.

места паек; 6 — медная шина гребенки; 7 — коицы экранирующих витков обмотки; 8 — экранирующие витки обмотки; 9 — катушки  $E_1$ — $E_4$  в непрерывной части обмотки;

правление ленты и накладывают второй слой ленты до места пайки конца экранирующего витка дисковой катушки Б и т. д. Так изолируют все концы 9 экранирующих витков. Ленту укладывают равномерно и плотно, постепенно заполняя конус у выхода концов экранирующего витка, катушки и емкостного кольца. После изолировки лакотканью гребенку бандажируют одним слоем тафтяной ленты вполуперекрытие.

#### 6-11. СБОРКА, СТЯЖКА, ПРЕССОВКА, ОТДЕЛКА И СУШКА ОБМОТОК

Обмотка ВН у некоторых трансформаторов классов напряжения 220 кВ с вводом в середине неоднородна: ее верх и низ — непрерывная обмотка, а середина — диско-

вая обмотка из двух групп двойных дисковых катушек, намотанных и собранных самостоятельно.

Диски двойных катушек собираются на замковых прокладках. Предварительно на каждый диск накладывают дополнительную катушечную изоляцию из лент бакелизированной кабельной бумаги. В процессе дальнейшей сборки, прессовки и сушки катушечная изоляция уплотняется, что уменьшает проникновение масла под дополнительную изоляцию.

Сборку групп двойных дисковых катушек производят в определенном порядке. Сначала устанавливают экранирующие витки обмотки на нижние катушки обмотки, затем собирают диски двойных катушек на замковых прокладках. При сборке следят за тем, чтобы поля замковых прокладок были одинаковы, а их расположение по окружности было равномерно и строго вертикально.

По окончании сборки каждой группы дисковой обмотки проверяют размеры полей, вертикальность столбов прокладок по отвесу и производят пайку всех двойных катушек группы. Для этого выгибают концы каждой пары дисков для наружных переходов и выполняют пайку внахлестку серебряным припоем ПСр-15. Места паек зачищают, изолируют лентами лакоткани до заданной на чертеже толщины, бандажируют одним слоем тафтяной ленты вполуперекрытие и подбивают деревянным молотком запаянные и изолированные переходы к катушкам. Собранную нижнюю группу дисковой обмотки прессуют между плитами, стягивая плиты шпильками. Предварительно под верхнюю плиту ставят на верхнюю катушку деревянные или металлические подставки (плашки) так, чтобы они встали на столбы прокладок. На нижней плите подставки ставятся заранее при установке и сборке на ней в группы дисковых катушек. Затем производят пайку всех экранирующих витков обмотки на стянутой части обмотки в гребенку. Перед пайкой зачищают концы экранирующих витков обмотки на конус в местах пайки схемы на длине, равной не менее 10-кратной толшины изоляции. Поверхности конусов спаиваемых вместе экранирующих витков обмотки должны плотно прилегать друг к другу.

Гребенку изолируют лентами лакоткани, продвигаясь сверху вниз и обратно до наложения заданной толщины изоляции, а затем бандажируют одним слоем тафтяной ленты вполуперекрытие. Окончив изолировку, отделы-

вают группы, проверяя качество изолировки паек и гребенки, а также сборки группы катушек обмотки. При этом обращают внимание на то, чтобы не было выступов, искривлений и смещений столбов прокладок, а также ворсинок и нитей от концов тафтяной ленты. Также собирают, обрабатывают, паяют, изолируют, прессуют и проверяют верхнюю группу двойных дисковых катушек обмотки, начиная с установки экранируюших витков и сборки дисков на замковых прокладках.

Собранные и спрессованные группы дисковых катушек сушат непосредственно перед сборкой активной части. Так же производят стяжку и прессовку любой намотанной обмотки. Выбор прессующих плит и стягивающих шпилек производится по

табл. 6-1.

Таблица 6-1 Выбор прессующих плит и количества стяжных шпилек (М20

| Вид или мощность<br>трансформатога                                                                     | Толшина<br>плиты, мм             | Количест-<br>во шпилек,<br>шт. | Примечание                                                    |
|--------------------------------------------------------------------------------------------------------|----------------------------------|--------------------------------|---------------------------------------------------------------|
| До 5600 кВ-А                                                                                           | 16-20                            | 3                              | Шпильки располо-<br>жить равномерно<br>по окружности<br>То же |
| От 5600 до 30 000 кВ·А<br>Свыше 30 000 кВ·А<br>Электропечные III габарита<br>Электропечные IV габарита | 24—30<br>24—30<br>24—30<br>24—30 | 4-6<br>6-8<br>4<br>6           |                                                               |

Примечания: 1. Наружный диаметр плит должен быть больше наружного диаметра обмотки не менее чем на 100 мм.
2. Внутренний диаметр нижией плиты должен быть меньше наружного диаметра шаблона (или бакелитового цилиндра) не менее чем на 100 мм.
3. Внутренний диаметр верхней плиты должен быть на 10—40 мм больше внутреннего диаметра обмотки.

4. Длина стяжных шпилек для обмоток, стянутых без обойм с тарельчатыми пружинами, составляет L=1,1 A+2l+2s+100.

5. Длина стяжных шпилек для обмоток, подлежащих прессовке под постоянным

давлением (обоймами с наборами тарельчатых пружин),

L = 1.1 A + 2l + 3s + h + b + 100,

где L-общая длина шпильки; A-расчетный размер (высота) обмотки с концевой изолящией; t-высота подставки; s-толщина подставки; b-высота втулки; h-высота обоймы с тарельчатыми пружинами.

Диаметр окружности отверстий для шпилек должен быть примерно на 200 мм больше наружного диаметра обмотки, ширина подставок под плиты — на 20 мм больше ширины дистанционной прокладки, длина подставок — на 30 мм больше радиального размера катушки

плюс толщина рейки и, наконец, высота подставки должна быть не менее 100 мм и не более 300 мм. При установке подставок на каждый столб прокладок они не должны упираться в рейки или цилиндр, а после окончания прессовки обмотки прессующая плита не должна упираться в верхний край цилиндра, в отводы и концы обмотки. Из этого исходят, выбирая размеры подставок.

После прессовки обмотки выравнивают при помощи молотка столбы прокладок по отвесу, устраняют при помощи клиньев наклон отдельных катушек, выравнивают смещенные или изогнутые витки, поправляют изоляцию под переходами, подтягивают бандажи на концах, регулировочных петлях и экранирующих витках, изолируют поврежденные участки изоляции обмоточного

провода кабельной бумагой и т. п.

Раньше обмотки подвергали прессовке, сушки и пропитке глифталевым лаком. Теперь ограничиваются только сушкой и прессовкой. На отечественных трансформаторных заводах сушку обмоток производят в вакуум-сушильных шкафах с паровым обогревом. В условиях ремонтной мастерской сушку обмоток обычно производят так же, как и на заводе, поскольку ремонтная мастерская, как правило, имеет и сушильную печь и вакуум-насос. На пути от сушильной печи к вакуум-насосу обязательно устанавливают конденсационную колонку; она защищает вакуум-насос от попадания в него воды и позволяет учитывать количество влаги, удаленной из обмотки.

Для сушки обмотки загружают на тележке в сушильную печь, герметически закрывают дверь или крышку, открывают вакуумный клапан, который соединяет пространство печи с атмосферой и служит для снятия вакуума, и включают обогрев. Температуру нагревателей поднимают не выше 110°С. Нагрев обмотки обычно длится 3—5 ч. Затем закрывают вакуумный клапан и включают вакуум-насос, создавая остаточное давление в печи ступенями по 20—27 кПа (150—200 мм рт. ст.) в течение 1 ч, а иногда и более плавно, если обмотка выполнена на бакелитовых цилиндрах. Вакуум доводят до возможно глубокого [остаточное давление (4÷6,7) 10² Па (3—5 мм рт. ст.)]. Во время сушки записывают ежечасно в журнале: давление пара в сети, температуру и остаточное давление в печи, а также количество конденсата,

выделившегося в течение 1 ч. Сушку заканчивают, если в течение 3 ч конденсат не выделяется.

Закончив сушку, выключают обогрев, останавливают вакуум-насос, открывают клапан снятия вакуума, а затем открывают дверь или крышку. Выкатив тележку, подтягивают гайки на стяжных шиильках и снимают обмотку с тележки.

Обмотку после сушки окончательно подпрессовывают. Если она сушилась вместе с металлическим шаблоном, на котором выполнялась намотка, то производят его отделение. Это делают осторожно, чтобы не повредить обмотку, причем после длительной выдержки, когда и обмотка и шаблон остынут до 20—30°С.

Если сушку обмоток требуется произвести непосредственно перед их насадкой на стержни магнитопровода, сушку производят на месте ремонта, где собирают активную часть. Там также, как правило, имеется вакуум-насос и сушильная печь. При отсутствии печи сушку производят индукционным способом, загружая обмотку в бак трансформатора, на который намотана намагничивающая обмотка. Сушку ведут под вакуумом по той же примерно технологии, что и при сушке в печи, однако остаточное давление в баке не должно быть ниже при гладких баках (без радиаторов) [40—47 Па (300—350 мм рт. ст.)]. Температура обмотки должна быть не выше 100°С, а бака — 110—115°С.

#### ГЛАВА СЕДЬМАЯ

# РЕМОНТ МАГНИТОПРОВОДОВ БЕСШПИЛЕЧНОЙ КОНСТРУКЦИИ 1

## 7-1. УСТАНОВЛЕНИЕ ДЕФЕКТОВ И УТОЧНЕНИЕ НЕОБХОДИМОСТИ ЗАМЕНЫ ИЗОЛЯЦИИ ПЛАСТИН МАГНИТОПРОВОДА

При ремонтах трансформаторов иногда возникает необходимость в восстановлении или полной замене изоляции пластин магнитопровода. Это связано с перешихтовкой магнитопровода. Для изоляции пластин при изготовлении магнитопроводов на трансформаторных

Ремонт магнитопроводов шпилечной конструкции — см. 2-е издание настоящей книги.

заводах применяется лак и жаропрочное изоляционное

покрытие типа «карлит».

В последние годы трансформаторная сталь поставляется металлургическими заводами уже изолированной жаропрочной изоляцией. Изоляция этого типа настолько механически прочно связывается со сталью, что не наблюдается явлений ее отслаивания или сползания. Удалить эту изоляцию химическим или механическим способом очень сложно, да такая необходимость и не возникает.

Лаковая изоляция, если она выполнена некачественно, отслаивается и сползает полностью или частично. В этом случае лаковую изоляцию необходимо заменить на всех пластинах. Если лаковая изоляция выполнена качественно, то она служит очень долго и чеобходимость в ее полной или частичной замене может возникнуть лишь в результате внешних причин, например пожара в трансформаторе, местного пожара в стали, местного замыкания и выгорания пластин и т. п. Такие местные дефекты в магнитопроводе могут возникнуть и при покрытии пластин жаропрочной изоляцией.

Причинами возникновения меєтного пожара в магнитопроводе, а также местных замыканий и выгораний пластин магнитопровода являются: витковое замыкание во внутренней обмотке; касание металлической деталью стержня в двух точках, например нажимным стальным кольцом, прессующим обмотку; неправильное заземле-

ние, создающее короткозамкнутый контур, и т. п.

Признаками дефектов в магнитопроводе являются: 1) ухудшение состояния масла, в частности понижение температуры вспышки, увеличение кислотности, понижение пробивного напряжения; 2) увеличение потерь холостого хода.

В местных условиях ремонта замена изоляции стальных пластин и перешихтовка являются сложной и трудоемкой операцией, требующей большой предварительной организационно-технической подготовки и значительной затраты времени. Кроме того, на месте ремонта не всегда можно изготовить нужные приспособления. Поэтому, прежде чем решить вопрос о замене изоляции пластин, следует убедиться в действительной необходимости этого.

Уточнение решения этого вопроса производится двумя путями: 1) путем непосредственного осмотра

пластин стали стержней и ярм после расшихтовки верхнего ярма и разборки активной части; 2) специальными испытаниями.

Расшихтовка верхнего ярма производится согласно указаниям § 5-11, а демонтаж активной части трансформатора — § 5-12.

В процессе расшихтовки верхнего ярма, а также после снятия обмоток, изоляции и очистки магнитопровода производится тщательный осмотр пластин стали стержней и ярм, при этом обращается внимание как на состояние самих пластин, так и на состояние их изоляции.

При достаточной механической прочности лаковой изоляции и наличии лишь местных дефектов перелакировывают 50% пластин в каждом пакете (через пластину). Старую изоляцию, если она жаропрочная, не удаляют, а производят однократную лажировку непосредственно по ней. Также иногда исправляют дефекты и при лаковой изоляции. Незначительное увеличение при этом диаметра стержня (толщина пленки всего 0,01 мм) практического значения не имеет и может быть отрегулировано уменьшением толщины раскрепляющих деревянных планок или заменой их электрокартоном.

### 7-2. СПЕЦИАЛЬНЫЕ ИСПЫТАНИЯ

Если непосредственным осмотром состояния пластин и их изоляции не обнаружено очагов пожара или местных замыканий, а также не подтверждена дефектность изоляции, то необходимо произвести специальные испытания, для чего верхнее ярмо снова зашихтовывают и запрессовывают до нормальных размеров.

Для уточнения состояния изоляции пластин произво-

дят следующие испытания:

Испытание первое—измерение потерь холосстого хода  $P'_0$ , Вт.

1. Определяют потери холостого хода при зашихтованном верхнем ярме и соответствующей контрольной обмотке, обеспечивающей полное возбуждение магнитопровода, т. е. магнитную индукцию В, на которую рассчитан магнитопровод. Чтобы это обеспечить, необходимо при имеющемся на месте низком напряжении (220, 380 В) и выбранной схеме соединения (звезда или тре-12—593

угольник) выполнить контрольную обмотку с определенным количеством витков, а именно:

$$w = U_{\phi. \kappa} 10^4 / 222 s_c B_c$$

где  $s_{\rm c}$  — сечение стержня, см²;  $B_{\rm c}$  — индукция в стержне, Т.

Сечение провода для контрольной обмотки определяется по формуле  $s_{\rm пp} = I_0$  к/ $\Delta$ , где s — сечение, мм²;  $I_0$  к — линейный ток холостого хода, приведенный к числу витков контрольной обмотки, т. е.  $I_0$  к =  $I_0$  w/w к, где  $I_0$  w — м. д. с. (ампер-витки) холостого хода на фазу.

Плотность тока  $\Delta$  принимается равной 3—3,5 А/мм². До намотки контрольной обмотки стержни магнитопровода обертывают листовым электрокартоном общей толщиной 2 мм и закрепляют киперной лентой. На полученный таким образом мягкий цилиндр наматывают равномерно по высоте стержня витки контрольной обмотки. Контрольную обмотку лучше всего наматывать проводом ПРГ или ПР. Замер потерь холостого хода производится по схеме и правилам, описанным в гл. 13.

2. Замыкают крайние пластины магнитопровода по наружной поверхности проводом того же сечения, что и для контрольной обмотки, и замеряют вторично потери

холостого хода  $P_0$ ", Вт.

Если состояние изоляции пластин удовлетворительное, то разница между  $P_0'$  и  $P_0''$  не превышает 1-2%. Большее увеличение потерь холостого хода указывает на недостаточность изоляции пластин.

Испытание второе — измерение напряжений между крайними пластинами и пакетами магнитопро-

вода.

1. Подают напряжение  $U_{\rm л.к}$  на контрольную обмотку

для полного возбуждения магнитопровода.

2. Измеряют напряжения между крайними пластинами магнитопровода по наружной и внутренней поверхности постям (рис. 7-1). Измерение по наружной поверхности должно дать 0,43  $u_w$ , т. е. 0,43 напряжения одного витка, а по внутренней — 0,57  $u_w$ . Меньшие значения напряжений, полученные при замерах, указывают на закорачивание части пластин. Напряжения между крайними пластинами магнитопровода измеряют путем касания концами проводов от вольтметра соответствующих точек. Вольтметр выбирают со шкалой, примерно равной 1,1  $u_w$ . На концы изолированных проводов от вольтметра

надевают для безопасности бумажно-бакелитовые трубки длиной не менее 0,5 м. Для создания лучшего контакта на концах проводов устанавливают иголки, которыми и прикасаются к пластинам магнитопровода при испытании.

3. Измеряют напряжения по пакетам согласно рис. 7-2. Отсутствие напряжения между пакетами указывает «район», в котором имеются закороченные пластины. Точное место замыкания устанавливают осмотром при разборке пакетов, входящих в дефектный район.

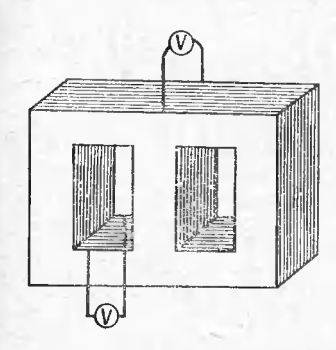


Рис. 7-1. Схема ко второму испытанию магнитопровода.

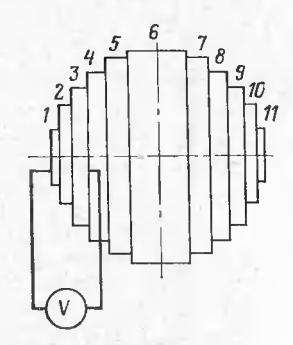


Рис. 7-2. Схема измерения напряжения по пакетам магнитопровода.

1—11— пакеты.

Испытание третье—измерение сопротивлений постоянному току изоляции пластин отдельных пакетов.

1. Снимают контрольную обмотку без расшихтовки верхнего ярма.

2. Измеряют сопротивления постоянному току изоляции пластин отдельных пакетов стержней и ярм магнитопровода методом амперметра и вольтметра по схеме рис. 7-3.

Для измерения подбирают следующие приборы: а) аккумуляторную батарею напряжением 6—12 В при токе 0,25—2,5 А; б) ползунковый реостат на 10 Ом; в) амперметр постоянного тока со шкалой на 5 А; г) вольтметр постоянного тока со шкалой на 25 В; д) два медных электрода площадью 100—150 мм² и толщиной 3—4 мм с заостренными с одной стороны краями.

При измерении медные электроды плотно вставляют между пластинами активной стали на глубину 30—40 мм. Изоляцию пластин при этом не зачищают.

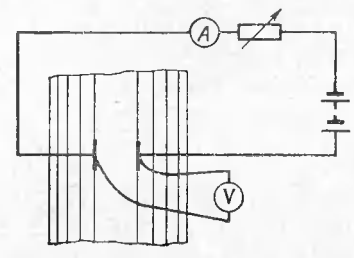


Рис. 7-3. Схема измерения сопротивлений постоянному току отдельных пакетов магнитопровода,

3. Измеряют сопротивление каждого пакета и всего магнитопровода. При этом реостатом устанавливают ток 2—2,5 А. По результатам измерений определяют удельное электрическое сопротивление изоляции между пластинами стали по формуле

$$\rho_{\text{\tiny H3}} = R_{\scriptscriptstyle \Pi} F_{\scriptscriptstyle \Pi} / n$$
,

где n — число пластин стали в пакете;  $F_{\pi}$  — площадь пластины, см $^2$ ;  $R_{\pi}$  — сопротивление пакета, Ом.

4. Результаты измерений проверяют на соответствие следующим требованиям: а) полное сопротивление изоляции магнитопровода в омах должно быть не меньше:

| у однофазных трансформаторов | мош- |
|------------------------------|------|
| ностью до 20 000 кВ.А        | 0.8  |
| то же свыше 20 000 кВ.А.     | 1.1  |
| у трехфазных трансформаторов | мощ- |
| ностью до 16000 кВ.А         | 1,2  |
| то же свыше 16 000 кВ.А      | 1.6  |

б) сопротивление изоляции симметричных пакетов не должны различаться более чем в 1,5 раза; в) сумма измеренных сопротивлений отдельных пакетов не должна отличаться от измеренного полного сопротивления более чем на 3%; г) сопротивление изоляции, измеренное между двумя рамами, не должно отличаться от суммы полных сопротивлений обеих рам более чем на 3% [Л. 2]; д) удельное сопротивление изоляции между иластинами стали  $\rho_{\text{из}}$  должно быть не менее 50—60 См·см².

## 7-3. ПОДГОТОВИТЕЛЬНЫЕ РАБОТЫ

Если в результате специальных испытаний и непосредственного осмотра пластин стали и их изоляции окажется необходимым заменить лаковую изоляцию на всех пластинах или на половине их, а при жаропрочной изоляции произвести однократную лакировку пластин поверх изоляции «карлита», то в соответствии с местными условиями и возможностями надо изготовить и установить все необходимые приспособления.

Чтобы разобрать магнитопровод для ремонта, а затем собрать его после ремонта, необходимо повернуть его (скантовать) из вертикального положения в горизонтальное, а после сборки — обратно из горизонтального положения в вертикальное. Такой поворот (кантовку) производят на специальном кантователе, имеющем вид саней (рис. 7-4). Примерная схема кантовки магнитопровода на кантователе из горизонтального положения

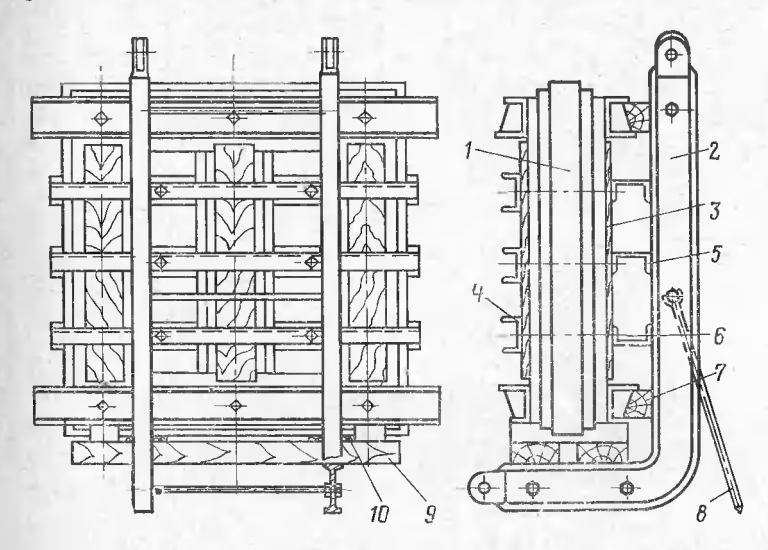
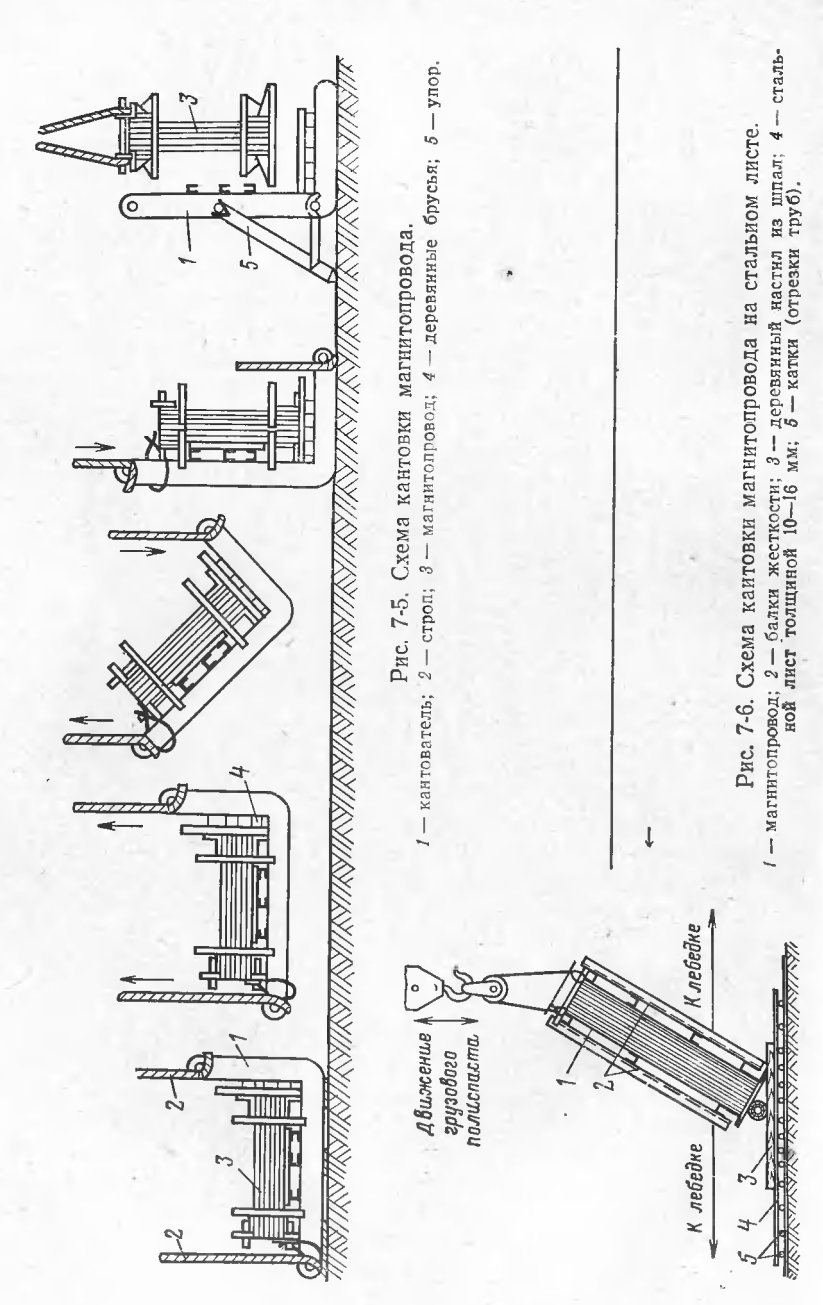


Рис. 7-4. Кантователь (сани) для разборки и сборки магнитопровода. I — магнитопровод; 2 — сани; 3 — деревянная подкладка; 4 и 5 — швеллеры, создающие опоры против протиба магнитопровода при кантовке; 6 — скрепляющие шпильки; 7 — деревянный брус; 8 — подпорка; 9 и 10 — деревянные установочные и фасонные брусья.

в вертикальное показана на рис. 7-5. Однако для единичного ремонта магнитопровода изготовление кантователя нецелесообразно, поскольку он представляет собой громоздкое и дорогостоящее приспособление. Поэтому для ремонта магнитопровода мощных трансформаторов ремонтное предприятие имеет, как правило, один кантователь, который перевозит по железной дороге к месту ремонта.

Часто кантуют магнитопровод без специального кантователя. Для этого жестко стягивают магнитопровед швеллерами нли двутавровыми балками и кантуют на стальном листе так, как это показано на рис. 7-6. При



наличии мостового крана с двумя крюками магнитопровод, предварительно скрепленный балками, поднимают на высоту 5—10 см от пола и с помощью большого крюка осуществляют основной подъем или опускание, а малым крюком устанавливают необходимый наклон магнитопровода. При отсутствии мостового крана и наличии лишь лебедки с механизмом подъема в одной точке магнитопровод укладывают в горизонтальное положение на тележку, установленную на рельсы, и откатывают в сторону от лебедки. После сборки магнитопровода на тележке его снова подкатывают под крюк лебедки для кантовки в вертикальное положение. Для устройства тележки можно использовать катки от бака трансформатора.

Скантовав магнитопровод в горизонтальное положение, проверяют уровнем горизонтальность положения магнитопровода и устраняют перекосы при помощи подкладок. До начала разборки магнитопровода необходимо сделать его эскиз, указать точные размеры, а также расположение и толщину пакетов, схему шихтовки стержней и ярм, размер зазоров в стыках между пласти-

нами активной стали.

Очистку пластин стали от дефектной лаковой изоляции в местных условиях ремонта производят путем их кипячения в растворе каустической соды (10%) или тринатрийфосфата (20%). Для этого применяют следующие

приспособления:

а) Вблизи подвода воды и острого пара устанавливают ванну — сварную металлическую коробку (бак) для кипячения пластин стали. Если ремонт происходиг летом, то коробку желательно установить на открытом воздухе и углубить в землю так, чтобы это было удобно для погрузки в коробку пластин. Коробка сверху должна быть открыта. Размеры коробки примерно следующие: длина не менее 1,5 м, высота равна наибольшей ширине пластины плюс 500 мм, ширина не менее 1 м. Коробку (или бак) желательно подобрать из числа готовых, имеющихся на месте. Подвод в коробку воды и пара производится сверху с помощью газовых труб, оборудованных вблизи коробки запорными вентилями. Конец паровой трубы должен быть опущен в воду не менее чем на половину высоты коробки. Сначала в коробку пускают раствор, который заполняет ее, не доходя на 250—300 мм до верха, затем в воду пускают острый пар,

который и нагревает ее до кипения. Приготовить раствор можно и непосредственно в ванне, сначала наполнив ее водой.

б) После кипячения пластины стали должны промываться в проточной горячей воде. Для этой цели рядом с ванной для кипячения монтируют такую же ванну для промывки. В стенку ее коробки вблизи самого дна вваривают трубу с вентилем для отвода промывочной воды в канализацию. Сверху к промывочной коробке подводятся вода и острый пар с помощью газовых труб, оборудованных запорными вентилями.

в) При наличии на месте подъемно-транспортных средств (крана, тельфера и т. п.) изготовляют или специальную подвеску на 100—200 пластин (в виде, например, крестовины или звезды из швеллеров с крючками для подвески), или открытый контейнер, в котором пластины стали укладывают горизонтальными рядами, прокладывая через каждый ряд слой прутков. В этом

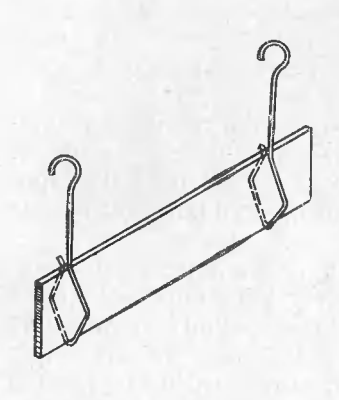


Рис. 7-7. Подвеска пластин без отверстий.

случае подвеску или тейнер с пластинами поднимают краном или тельфером и опускают в ванну лля кипячения. Если на месте **Установки** ванн для кипячения и промывки отсутствуют подъемно-транспортные средства, то операции подъема и опускания пластин стали в ванны производят вручную. С этой целью заготовляют необходимое количество металлических прутков диаметром 6-8 мм двух размеров по длине для установки их как по длине, так и по ширине, а также крючки из проволоки диаметром 2-3 мм.

Чтобы крючки с пластинами не сдвигались по пруткам, на последних делают напильником через соответствующие расстояния небольшие углубления (зарубки) на глубину 2 мм. Чтобы прутки при их установке в свою очередь не сдвигались, концы их, которыми они устанавливаются на борта коробки, слегка расплющивают. Пластины подвешивают на пруток по длине за нижний край с помощью двух или трех крючков (рис. 7-7).

Пластины стали подвозят к месту кипячения и обратно на цеховых тележках-платформах, подвешивают с помощью крючков на прутки, поднимают вручную и, устанавливая концы прутков на борта коробки, опускают полностью в раствор. При установке прутков с пластинами необходимо, чтобы между пластинами получался зазор 30—50 мм. При загрузке и выгрузке пластин подача острого пара в раствор прекращается.

г) Кроме указанного оборудования и приспособлений для очистки пластин стали необходимы различный инвентарь и материалы, а именно: столы для протирки пластин стали, ведра, металлические щетки, тряпки, не

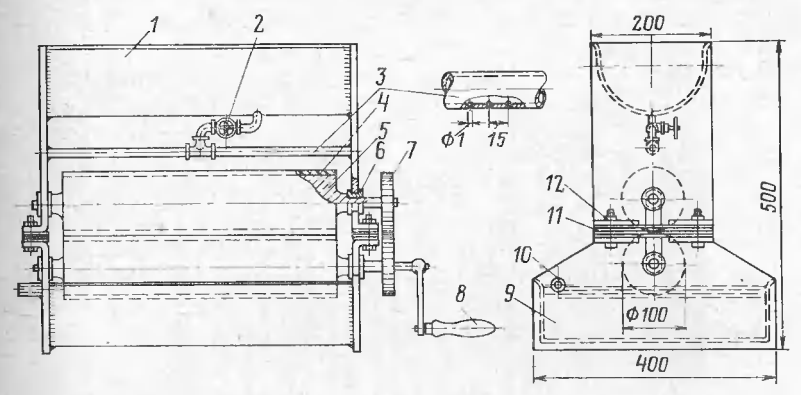


Рис. 7-8. Стаиок для лакировки пластин стали.

1— верхний бачок; 2— запорный краник; 3— трубка с отверстиями; 4— покрытие из резины; 5— стальной вал; 6— втулка-подшипник (латунь или бронза); 7— шестерня; 8— рукоятка; 9— нижняя ванна; 10— отводная трубка; 11— набор подкладок (электрокартон или резина); 12— установочный болт.

оставляющие ворса, спецодежда (защитные очки, резиновые перчатки и брезентовые рукавицы, резиновые и брезентовые фартуки), каустическая сода (NaOH) или тринатрийфосфат ( $Na_3PO_4$ ).

д) Для сушки, лакировки и запечки пластин стали применяют лакировальный станок (рис. 7-8) и печь. На трансформаторных и ремонтных заводах операции сушки, лакировки и запечки совмещают в одной специальной лакировальной конвейерной установке. При ремонте на местах сооружают для этой цели упрощенную установку. Ремонтными предприятиями разработано много конструкций установок, достаточно простых в изготовлении. Одна из них показана на рис. 7-9. Она по-

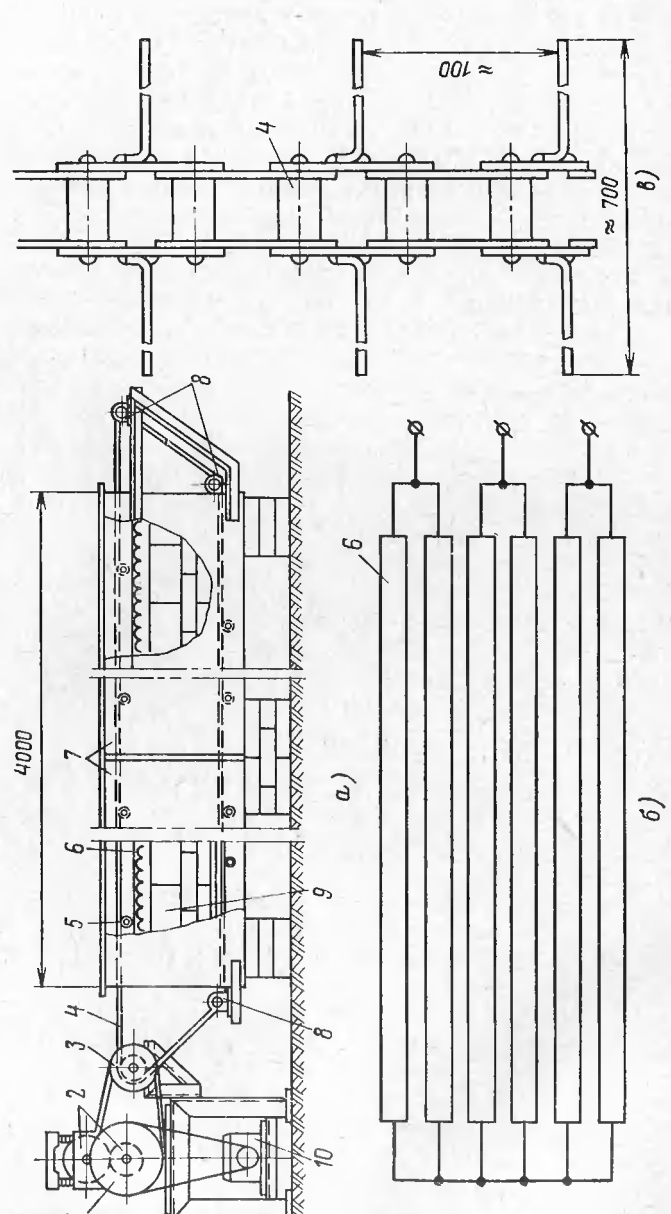


Рис. 7-9. Конвейерная установка для лакировки и запечки пластин стали.

передачи; 2 — резиновые валики; 3 — ведомый шкив и звездочка цепкой передачи; 4 — роликовая цепь; 5 — промежуточный валик (стальной стержень со своблым одлегым отрезками труб); 6 — нагровательные элементы; 7 — каркас печи; 8 — звездочки цепрестальной стержень со своблым передачи; 9 — кирпичная кладка; 10 — заектродывататель с редуктором. а — общий вид;  $\delta$  — схема соединения в звезду спиралей из нихромовой проволоки;  $\theta$  — приводная цепь; I — шкив жлиноременной

зволяет осуществлять операции лакировки и запечки в виде непрерывного технологического процесса, при котором обеспечиваются высокая производительность, хорошее качество лаковой пленки и своевременный контроль в процессе производства самих операций.

Установка состит из двух основных частей: лакировального станка и конвейерной нагревательной печи. Конвейер может быть пристроен к обычному лакировальному станку (рис. 7-8). Для этого устанавливают два кронштейна, на которых располагают приводной валик 2 (рис. 7-9), а также шкив для клиноременной передачи 1 на нижнем валу лакировального станка.

Конвейерная печь с электронагревом состоит из следующих элементов: 1) каркаса 7 в виде двух ящиков длиной по 2 м из листовой стали толщиной 3—4 мм с вырезами в торцах для прохода цепи конвейера; 2) кирпичной кладки без связующего раствора из простого или огнеупорного крипича 9; 3) нагревательных элементов 6 из нихромовой проволоки диаметром 3 мм, навитых на токарном станке в виде спиралей на оправке диаметром 20 мм; отводы от спиралей выполняются с тройным сечением проволоки и привариваются авто-

теном к концам спиралей; 4) цепного конвейера, состоящего из приводного валика 2, звездочки 3, промежуточных валиков 5, велосипедной или мотоциклетной цепи 4 и электродвигателя с редуктором 10; к цепи привариваются стальные прутки или уголки для укладки листов стали.

Печь может быть закрыта сверху по всей длине листами стали, утепленными асбестом. Мощность печи приэтом 25—30 кВт. Однако в этом случае печь сильно чадит и дымит и поэтому требует установки над нею низко опущенного громоздкого вентиляционного колпака с вытяжной трубой. Чтобы этого избежать, лакировальную установку монтируют в сарае или на открытом воздухе под навесом и делают полностью или частично открытой. Мощность печи в этом случае повышается до 60 кВт, но чад и дым не скапливаются, и вытяжка получается простой и облегченной. В том и другом случае печь требует предварительного прогрева в течение 2—2,5 ч. Қаркас печи и лакировальный станок должны быть заземлены.

Спирали при мощности до 30 кВт соединяются в звезду, а свыше 30 до 60 кВт — в треугольник.

У лакировального станка нижний вал погружен наполовину в ванну с лаком и вращается электродвигателем или вручную. Верхний вал приводится во вращение через шестереночную передачу от нижнего. Сверху вдоль верхнего вала помещают трубочку с отверстиями, через которые на верхний вал поступает самотеком лак из бачка с запорным краном. Поступающий на верхний вал лак стекает в ванну с лаком, в которой вращается нижний вал. Ванна имеет сбоку отводную трубочку с запорным краном, на конец которой надевается резиновый шланг, который опускается другим концом в стоящее на полу ведро. При излишке лака в ванне он через шланг спускается в ведро, а из ведра может быть перелит в верхний бачок.

Верхний вал прижимается к нижнему установочными болтами. С помощью этих болтов регулируется натяг между валами. Валы вытачиваются из стальной круглой заготовки. Диаметр валов 80—100 мм, длина валов равна наибольшей ширине пластин стали плюс 100 мм. Валы обтягиваются листовой резиной толщиной 6 мм. В месте стыка концы резины срезаются по всей длине под углом 15° так, чтобы при заходе одного на другой внахлест в этом месте не получалось утолщений. Концы склеива-

ют резиновым клеем.

Для того чтобы резина от действия лака быстро не разрушалась, ее вулканизируют. Очень удобен и устойчив в этом отношении резиновый шланг от шлангового, врубового или шахтного кабеля большого диаметра. Если 1 м такого кабеля удается найти на месте, то, освободив осторожно без повреждений шланг от внутреннего содержимого и, сняв наружное покрытие, отрезают от него по длине два куска и натягивают плотно, без морщин и складок, на каждый вал. Диаметр вала подгоняют при этом под диаметр шланга.

Кроме лакировальной установки, необходимы следующий инвентарь и материалы: столы для укладки и проверки пластин стали после запечки, лак КФ-965 (бывший (302), растворитель лака (уайт-спирит или керосин—20% количества лака), пожарный инвентарь и ящики с песком, аптечка первой помощи, спецодежда.

# 7-4. РАЗБОРКА БЕСШПИЛЕЧНОГО МАГНИТОПРОВОДА

Ремонт бесшпилечного магнитопровода производят в два приема: сначала разбивают верхнюю половину до 188

середины среднего пакета; пластины этой половины перелакировывают, собирают на нижней половине магнитопровода, крепят остов струбцинами, кантуют на другую сторону, поворачивая на 180°, и разбирают вторую половину, которая после поворота стала верхней. При

этом удаление старой изоляции и лакировку начинают с пластин централь-

ного пакета.

При разборке верхних половин нижние пакеты могут сдвинуться. Во избежание этого их закрепляют по длине стержней и ярм деревянными ступенчатыми брусками и струбцинами (рис. 7-10).

Разборку магнитопровода начинают с распрессовки ярма с помощью технологических шпилек и полубандажей, сняв полубандажи (см. рис. 5-14), а также концевые шпильки вне активной стали, если они имеются. Затем снимают вертикальные стяжные шпильки или замковые вертикальные пластины, стягивающие верхние и нижние ярмовые балки, со стороны остова, обращенной кверху (с нижней стороны шпильки и замковые пластины не снимают), и демонтируют с верхней стороны остова ярмовые балки вместе с изоляцией (мостами).

После этого, установив на каждый стержень в двухтрех местах временные струбцины (рис. 7-11), сруба-

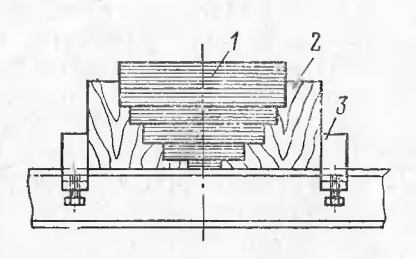


Рис. 7-10. Закрепление нижних пакетов магнитопровода. 1 — магнитопровод; 2 — ступенчатый деревянный брусок: 3 — струбцииа из швеллеров.

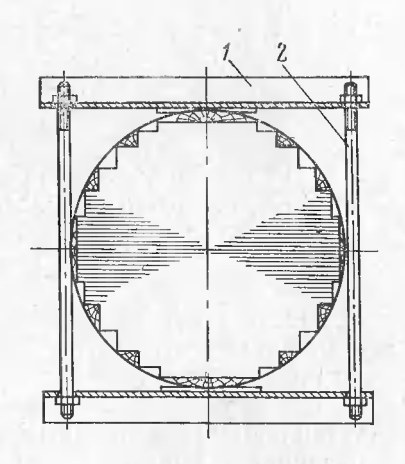


Рис. 7-11. Струбцина из швеллеров.
1 — швеллер; 2 — шпилька.

ют стеклобандажи со стержней и разбирают верхнюю половину магнитопровода до середины среднего пакета, снимая по две пластины по всему контуру магнитопровода. Снимаемые пластины осматривают, имеющие механиче-

ские повреждения откладывают отдельно, а подлежащие перелакировке относят сначала к ваннам для удаления старой лаковой пленки, а потом к столам для протирки и очистки от остатков изоляции. Очищенные от старой изоляции пластины незамедлительно лакируют во избежание ржавления. Пластины, имеющие подгары, оплавления и другие дефекты, следует рассортировать так, чтобы в процессе перешихтовки их можно было равномерно распределить по всему контуру магнитопровода, чередуя поврежденные пластины с неповрежденными.

В процессе разборки и последующей сборки, а также транспортировки и подвески пластин категорически запрещается подвергать их резким ударам, бросать и изгибать. Несоблюдение этого требования приводит к значительному возрастанию потерь холостого хода

трансформатора (до 20% и выше).

#### 7-5. ОЧИСТКА ПЛАСТИН МАГНИТОПРОВОДА

Кипячение пластин для очистки их от лаковой изоляции осуществляют или в 10%-ном растворе едкого натра или в 20%-ном растворе тринатрийфосфата в воде; указанные проценты должны быть проверены опытным путем. Растворы готовят, загружая небольшими порциями едкий натр (каустическую соду) или тринатрийфосфат в ванну с водой, нагретой до 50°С. После введения каждой порции порошкообразного реактива в воду ее осторожно, без расплескивания и брызг, тщательно перемешивают до полного растворения введенного компонента.

После загрузки в коробку (бак) возможного количества пластин пускают в воду острый пар, нагревают ее до кипения и кипятят пластины до тех пор. пока с них не будет удалена лаковая изоляция. Время кипячения устанавливается опытным путем. После окончания кипячения, т. е. после удаления с пластин лаковой пленки, пластины переносят в промывочную коробку с водой, пускают в воду острый пар, открывают спуск воды в канализацию и промывают таким образом очищенные от изоляции пластины стали проточной нагретой водой в течение 15—20 мин.

При очистке старой изоляции, в особенности с применением щелочей, необходимо соблюдать правила техники безопасности, а именно: все операции по взвеши-

ванию и растворению щелочи, а также по загрузке и выгрузке пластин стали необходимо производить в резиновых перчатках, фартуках, закрытой обуви, защитных очках и с покрытой головой. Несоблюдение этих правил может привести к ожогам и травмам.

# 7-6. ЛАКИРОВКА И ЗАПЕЧКА ПЛАСТИН МАГНИТОПРОВОДА

Вязкость лака КФ-965, применяемого для лакировки пластин, должна быть не менее 18 с по воронке НИИЛК № 7 при 18—20°С. Разбавитель — очищенный керосин или уайт-спирит. Лак маслостойкий, горячей печной сушки; при 300—600°С сохнет не более 1 мин. Образует прочную эластичную электрически прочную пленку от светлого до темно-коричневого цвета.

После подготовки лака, заливки его, прогрева печи, а также наладки лакировального станка и всей установки производят пробную лакировку и запечку нескольких опытных образцов (пластин). После достижения необходимых качества и толщины лаковой пленки приступают к массовой лакировке и запечке пластин. Пластины, пройдя через лакировальный станок, непосредственно попадают на движущийся конвейер, проходящий через печь. Время прохождения пластин по конвейеру составляет 40—45 с. За это время происходят воспламенение и сгорание разбавителя (керосина) и запечка лаковой пленки. В конце конвейера пластины с запеченной лаковой пленкой сползают с цепей на специально подставленный стол и непосредственно на нем укладываются в стопку. Чтобы пластины после конвейера не рассыпались, а укладывались в стопку, их надо точно и одинаково направлять в лакировальный станок, а соответственно и на конвейер.

Перез запуском в лакировку и запечку пластин необходимо проверять (осмотром) на отсутствие дефектов. В свою очередь снятые с конвейера отлакированные и запеченные пластины необходимо не реже 1 раза в час проверять на толщину и качество лаковой пленки согласно § 7-2 и 7-7.

Работать на лакировальной установке необходимо в рукавицах фартуках, закрытой обуви и с покрытой головой. Корпуса всех электрических установок должны быть заземлены. Курить вблизи лакировальной установки запрещается.

# 7-7. КОНТРОЛЬ ПЛАСТИН МАГНИТОПРОВОДА ПОСЛЕ ЛАКИРОВКИ И ЗАПЕЧКИ

Пластины после лакировки и запечки проверяют на столе.

Лаковая пленка на отлакированных и запеченных пластинах не должна иметь отлипа, и вся поверхность пластин с обеих сторон должна быть ровной, без наплывов и пузырей, глянцевитой, блестящей, однородного темно-коричневого цвета. Пленка лака должна быть твердой и прочной — при царапании ножом не должна отслаиваться. Дефектные пластины после снятия указанных подтеков, наплывов и пузырей лакируют и запекают вновь.

Толщина двустороннего покрытия должна быть не более 0,02 мм, а одностороннего — 0,01 мм. Проверяют толщину изоляции, для чего собирают пакет из 30 однотипных пластин, зажимают его до отказа по всей длине между двумя стальными накладками толщиной 20 мм при помощи струбцин или болтов и замеряют толщину пакета. При толщине пластины 0,35 мм, а с лакировкой 0,36—0,37 мм эта толщина должна быть около 11,0 мм.

Качество изоляции проверяют путем замера сопротивления запрессованного пакета из 30 пластин так, как это указано в § 7-2.

# 7-8. РАСЧЕТ СТЕКЛЯННЫХ БАНДАЖЕЙ

Заготовляются бандажные пояса из стеклоленты ЛСБ-Т на специальном приспособлении (рис. 7-12).

Число слоев ленты, размеры и количество поясов берется аналогично снятым при разборке с учетом раз-

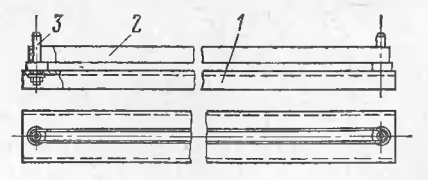


Рис. 7-12. Приспособление для намотки бандажного пояса из стеклоленты.

1 — основание — швеллер; 2 — пояс из стеклоленты;
 3 — штырь.

рыва и пряжек (рис. 5-10) или в соответствии с данными расчета. Изготавливают пряжки из листовой немагнитной стали X18H9 (ГОСТ 5949-61) толщиной 3 мм (рис. 7-13,a), а также приспособления для стяжки бандажа (рис. 7-13,б).

При замене стальных бандажей на бандажи из стеклоленты или необходимости в проверке и уточнении данных бандажей механическая их прочность и параметры определяются приведенным ниже расчетом.

Стеклолента толщиной  $a\!=\!0,\!2$  мм и шириной  $b\!=\!20$  мм имеет

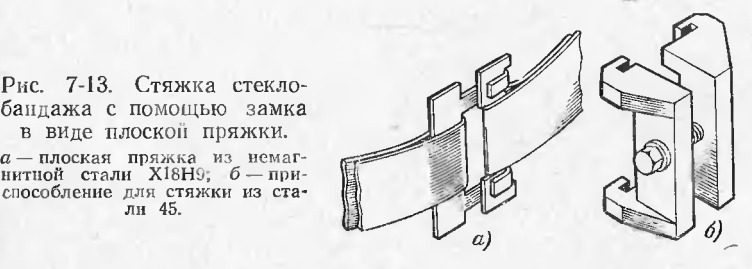
плошадь сечения 4 мм<sup>2</sup>.

Прочность ленты на разрыв  $\sigma = 6.4 \cdot 10^8$  Па (65 кгс/мм²).

При расчете принимают: усилие натяжения ленты  $N\!=\!1000~{
m H}$  (100 кгс); удельное давление в среднем пакете наиболее широкого стержня  $p=(29-39)\cdot 10^4$  Па (3—4 кгс/см²); D — диаметр стержня магнитопровода, см; B — шаг бандажа, см (обычно берется равным 24 см).

Рис. 7-13. Стяжка стеклобандажа с помощью замка в виде плоской пряжки. a — плоская пряжка из немагнитной стали  $X^{1}8H^{9}$ ;  $\delta$  — при-

ли 45.



При намотке витки стеклобандажа должны равномерно располагаться по ширине бандажа.

Число витков стеклоленты в одном бандаже  $n=n_{\rm B}n_{\rm C}$ , где  $n_{\rm B}$  число витков в слое, принимается равным 2-4;  $n_{\rm c}$  - число слоев.

При заданном числе витков в слое определяется  $n_0 = pDB/2n_{\scriptscriptstyle B}N$ . Из табл. 7-1 по значению  $n_0$  определяется необходимое число слоев бандажа с учетом уменьшения натяжения стеклоленты в процессе

Таблица 7-1

#### Число слоев стеклоленты в бандаже при заданном числе витков в слое

| $n_0$ | 1    | 2    | 3    | 4   | 5   | 6    | 7    | 8    | 9    | 10  |
|-------|------|------|------|-----|-----|------|------|------|------|-----|
| nc    | 1,50 | 1,75 | 4,25 | 6,0 | 8,0 | 10,0 | 13,5 | 18,5 | 28,5 | -41 |

полимеризации при температуре 90—100°C во время сушки активной части. Қоэффициент, учитывающий это уменьшение,  $K=n_0/n_c=$  $=N_{\rm T}/N$ ;  $(N_{\rm T}-$  действительное натяжение бандажа).

Число витков бандажа  $n=n_{\rm B}n_{\rm C}$ .

Действительное натяжение бандажа  $N_{\scriptscriptstyle T} = KN$ .

Усилие, действующее на бандаж,  $N_0 = N_T n$ . Усилие, действующее на один болт,  $N_6 = N_0/2$ .

Пример расчета стеклянного бандажа н стяжных болтов замка

$$D=40$$
 cm;  $n_B=3$ ;  $p=39\cdot10^4$  Па (4 кгс/см<sup>2</sup>);  $B=24$  cm;  $N=1000$  H (100 кгс).

# $n_0 = pDB/2n_BN = 4 \cdot 40 \cdot 24/2 \cdot 3 \cdot 100 = 6.4.$

Из табл. 7-1 определяем число слоев  $n_c=11$ .

Тогда  $K=n_0/n_c=6.4/\text{id}=0.58$  и  $N_x=KN=0.58\cdot 1000=580$  Н (58 кгс).

Число витков в бандаже  $n=n_{\rm B}n_{\rm c}=11\cdot 3=33$  и усилие, действую-

щее на бандаж,  $N_0 = N_\pi n = 580 \cdot 33 = 19100$  Н (1910 кгс).

Усилие, действующее на 1 болт,  $N_6 = N_0/2 = 9550$  Н (955 кгс). Выбнраем болт М10 с допустимым усилием  $N_6 = 9700$  Н (970 кгс).

## 7-9. СБОРКА МАГНИТОПРОВОДА

Стеллажи с отлакированными пластинами доставляются к магнитопроводу и располагаются вокруг него.

Если магнитопровод разбирался до половины средних пакетов, то шихтовку начинают с укладки на них отлакированных пластин расшихтованной половины этих (центральных) пакетов по всему контуру магнитопровода, строго соблюдая при этом схему шихтовки; после этого укладывают пластины остальных пакетов в том же порядке и количестве, как они были уложены до разборки.

При укладке пластин на толщину 10—12 мм производят каждый раз их выравнивание медными подбойками через фибровую подкладку. При этом гребенки в пакетах и зазоры между пластинами не должны превышать 1,5 мм. По окончании шихтовки половины магнитопро-

вода проверяют качество сборки пакетов.

На стержни в местах расположения бандажей устанавливают струбцины (см. рис. 7-11), подложив под них электрокартонные подкладки, и опрессовывают стержни, гачиная с середины стержня и переходя равномерно в обе стороны. При опрессовке необходимо соблюдать осторожность, чтобы не сдвинуть пакеты и отдельные пластины.

Укладывают осторожно ярмовые балки вместе с их изоляцией (мостами), проверяют их расположение и опрессовывают концевыми технологическими шпильками, а затем закрепляют стальными ленточными полубандажами, подложив предварительно под полубандажи электрокартонную изоляцию (см. рис. 5-10). Затем стопорят крепежные детали замковыми шайбами.

Устанавливают стяжные вертикальные шпильки, связывающие верхние и нижние ярма, закрепляют замко-

вые планки на ярмовых балках и устанавливают раскосы.

Магнитопровод закрепляют на санях (если разборка, сборка и кантовка производятся на санях); зачаливают стропы большого крюка мостового крана за рамы верхних ярмовых балок, а стропы малого крюка за рамы коротких полозьев саней и кантуют магнитопровод

в вертикальное положение.

После этого магнитопровод освобождают из саней, приподнимают, отводят в сторону, повертывают на 180° и устанавливают на сани другой стороной к длинным полозьям саней. Закрепив магнитопровод на санях, зачаливают стропы и проверяют надежность креплений и отсутствие перекосов; кантуют магнитопровод в горизонтальное положение и снимают струбцины. Разобрав верхнюю половину магнитопровода до середины среднего пакета, закрепляют нижние уже отлакированные и собранные пакеты стали деревянными ступенчатыми брусками и струбцинами из швеллеров.

Разборку, очистку, лакировку пластин и последуюшую сборку второй половины магнитопровода производят аналогично первой, как указано в § 7-4—7-7.

Затем опрессовывают стержни и устанавливают изоляцию и ярмовые балки, как указано выше. Проверяют все размеры. В уступы пакетов устанавливают деревянные клинья, предусмотренные заводом-изготовителем, и закрепляют на стержнях резиновыми жгутами. На места установки бандажей из стеклоленты укладывают полосы из электрокартона в качестве подбандажной изоляции по образцу заводских. В заготовленные бандажные пояса из стеклоленты вставляют пряжки (см. рис. 7-13,а), после чего последние укладывают на подбандажную изоляцию.

Бандажи затягивают специальным приспособлением (см. рис. 7-13,6) с усилием (10—11) 10<sup>2</sup> Н (100—110 кгс). Наложение и затяжку бандажей необходимо начинать с середины стержней и продолжать в обе стороны равномерно (см. рис. 5-10,6).

Кантуют магнитопровод с санями в вертикальное положение, снимают его с саней и устанавливают на вы-

ровненную площадку на полу.

Проверяют основные размеры магнитопровода, учитывая допустимые отклонения размеров при сборке бесшпилечных магнитопроводов согласно табл. 7-2.

13\*

# Допустимые отклонения размеров при сборке бесшпилечных магнитопроводов

| Размеры                                               | Допустимые отклонения, мм, при диаметрах стержия |            |  |
|-------------------------------------------------------|--------------------------------------------------|------------|--|
|                                                       | до 340                                           | 340—750    |  |
| Наибольший зазор в местах стыков пластин и "гребенки" | 1,5                                              | 1,5        |  |
| Толщина стержня                                       | -2                                               | 3          |  |
| Диаметр стержня                                       | +3                                               | +4         |  |
| Толщина центрального пакета                           | +2                                               | +3         |  |
| Смещение оси стержня от вертикали на 1 м высоты       | 1,5                                              | 1,5        |  |
| Расстояние между замками бандажей                     | -1-8                                             | <u>+</u> 8 |  |
| Расстояние от оси стержня до замка<br>бандажа         | <u>+</u> 5                                       | <u>+</u> 8 |  |

Примечание. На размеры магнитолровода после сборки влияет разновысотность ярмовых балок, которая допускается при наготовлении трансформаторов на заводе не более: для трансформаторов мощностью до 6,3 МВ-А-3 мм; свыше 6,3 до 63 МВ-А-5 мм; свыше 63 МВ-А-8 мм.

# 7-10. ИСПЫТАНИЕ МАГНИТОПРОВОДА

Для испытания магнитопровода после замены изоляции пластин и перешихтовки его применяют один и тот же метод для трансформаторов как средней, так и большой мощности. Для этого наматывают на магнитопровод временную обмотку так, как это было указано в § 7-2, и производят опыт холостого хода, замеряя потери холостого хода при номинальной магнитной индукции. Полученные значения потерь сравнивают с результатами измерений, полученными при испытании до замены изоляции пластин, а также с нормальными их значениями для данного трансформатора.

Оставляют магнитопровод под напряжением в течение 4—6 ч и проверяют температуры отдельных мест наощупь, а также термопарами, установленными в разных местах магнитопровода. При проверке температур отдельных мест на ощупь напряжение во время проверки необходимо отключать. При этом не должно быть резко выраженных местных нагревов.

Если испытания и проверка температур дают положительные результаты, то отключают напряжение, снимают временную обмотку и расшихтовывают верхнее ярмо для установки обмоток и сборки активной части.

Перед испытанием магнитопровода измеряют сопротивление изоляции бандажей и ярмовых балок относительно активной стали мегаомметром 2500 В. Сопротив-

ление должно быть не менее 2 МОм.

ГЛАВА ВОСЬМАЯ

# ИЗГОТОВЛЕНИЕ ДЕТАЛЕЙ ИЗОЛЯЦИИ И ЕМКОСТНОЙ ЗАЩИТЫ ОБМОТОК

# 8-1. ПРЕДВАРИТЕЛЬНАЯ ОБРАБОТКА ИЗОЛЯЦИОННЫХ МАТЕРИАЛОВ

Большинство изоляционных деталей в трансформаторе (прокладки, рейки, шайбы, кольца и т. п.) изготов-

ляется из электроизоляционного картона.

Электроизоляционный картон по ГОСТ 4194-68 бывает разных марок и толщин. Для изготовления деталей главной изоляции масляных трансформаторов используют картон марки А (эластичный, гибкий, обладающий высокой стойкостью к поверхностным разрядам в масле) при напряжении до 1200 кВ включительно и марки Б при напряжении до 220 кВ включительно. Для изготовления деталей продольной изоляции используют картон марки В (твердый, малосжимаемый под давлением). Для склеивания картона и изготовления из него изоляционных деталей масляных трансформаторов используют картон марки Г (с повышенным сопротивлением расслаиванию).

Листы электрокартона толщиной более 1,0 мм марок А и Б имеют размеры:  $3000 \times 4000$ ;  $3000 \times 2000$ ;  $1500 \times 1000$ ;  $1000 \times 1000$ ; марки  $\Gamma - 1850 \times 3850$ ;  $1650 \times 3800$ ;  $850 \times 1100$ ;  $850 \times 1000$ ;  $850 \times 950$ .

Толщина электрокартона марок A и B 2—3 мм; марки B-1-6;  $\Gamma-1-3$  мм; последний выпускается толщиной 0,5 мм в рулонах шириной не менее 980 мм.

Электрокартон имеет усадку по ширине листа в пределах 1—1,5%, а по длине листа 0,7—1,2%. Поэтому при

изготовлении из листов электрокартона изоляционных деталей прямоугольной формы размечают их так, чтобы

наибольшие размеры совпадали с длиной листа.

Листы электрокартона имеют большой разброс по толщине, поэтому, прежде чем изготовлять детали, необходимо электрокартон рассортировать. Для этого толщину каждого листа замеряют микрометром. Замер производят в одной точке с допуском  $\pm 0,05$  мм. Замеры рекомендуется производить не на листах, а па небольших полосах электрокартона, используя обрезки, отходы и т. п. После замеров все листы одной толщины складывают и хранят отдельными партиями, отметив мелом

на каждой партии толщину ее листов.

Изоляционные детали, изготовленные из электрокартона, в процессе работы трансформатора усыхают, что ослабляет осевую прессовку (стяжку) обмоток. Такое ослабление может привести к аварии и особенно опасно для преобразовательных трансформаторов, испытывающих исключительно большие усилия и толчки при «обратных зажиганиях». Поэтому детали продольной изоляции обмоток преобразовательных трансформаторов, в частности прокладки, образующие горизонтальные масляные каналы между катушками, должны быть обязательно предварительно обработаны. Для этого электрокартон, предназначенный для изготовления прокладок, предварительно сушат, пропитывают жидким глифталевым лаком ГФ-95, запекают при 100—105°С в течение 4—8 ч до исчезновения отлипа и опрессовывают.

Если изделия из электрокартона комплектуются в один пакет или столбик (например, при изготовлении шайб, колец, реек и т. п.), то необходимо, чтобы направление волокон в них было одинаковым, иначе будет иметь место коробление этих изделий. Направление волокон необходимо отмечать мелом на листах электро-

картона еще до заготовки из них изделий.

# 8-2. ИЗГОТОВЛЕНИЕ РАЗЛИЧНЫХ ПРОКЛАДОК

На рис. 2-14 были показаны прокладки, образующие масляные горизонтальные каналы между катушками непрерывной или дисковой обмотки, а также между витками винтовой обмотки, а на рис. 3-13—замковые прокладки, которые находят применение при чередующихся обмотках электропечных трансформаторов со стержневыми магинтыми системами.

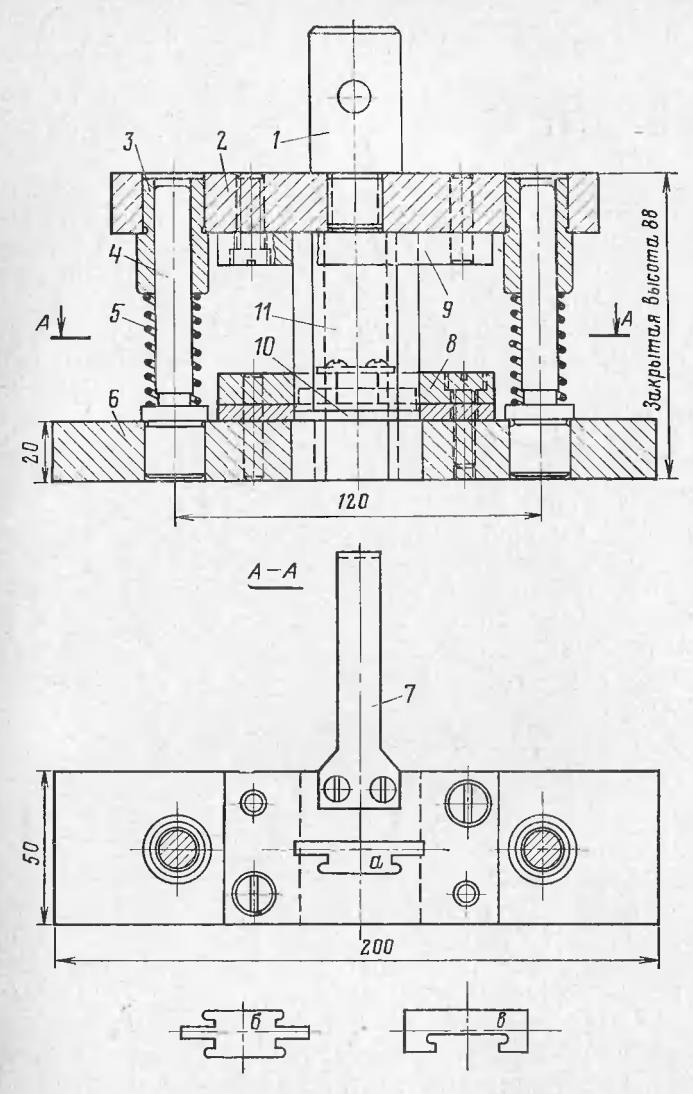


Рис. 8-1. Штами для вырубки прокладок из электрокартона (см. рис. 2-14).

a — для прокладок с односторонней вырубкой; 6 — то же с двусторонней; a — для вырубки заполнителя к замковой прокладке (см. рис. 3-13); I — хвостовик; 2 — верхняя плита; 3 — направляющая втулка; 4 — направляющая колонка; 5 — пружина; 6 — нижняя плита; 7 — сменный упор для вырубки прокладок разных длин; 8 — съемник; 9 — пуансонодержатель; 10 — матрица; 11 — пуансон.

Для изготовления прокладок, имеющих торцевые вырубки в виде ласточкина хвоста, применяют штами с приспособлением для регулирования длины прокладки (рис. 8-1), который может быть изготовлен на месте

Если на месте имеется небольшой ручной или приводной пресс, то штамп должен быть увязан с ним для возможности установки его на данном прессе. Если пресса на месте нет, то для вырубки прокладок штампом может быть использован приводной редуктор от намоточного станка. Для этого редуктор соединяют муфтой с валом, на другой конец которого надевают и закрепляют эксцентрик в виде диска, имеющий эксцентриситет, равный ходу штампа (примерно 10 мм).

Для вырубки прокладок предварительно нарезают полосы электрокартона размером по ширине прокладок, устанавливают в штампе упор на необходимую длину прокладки и, пропуская полосы через штамп, производят вырубку прокладок с помощью того или иного пресса или описанного выше приспособления. В процессе штамповки необходимо просматривать прокладки, отбраковывать негодные, а также проверять время от времени штангенциркулем или микрометром их толшину.

#### 8-3. ИЗГОТОВЛЕНИЕ РЕЕК

Рейки, на которые набирают дистанционные прокладки и которые образуют продольные масляные каналы между цилиндром и обмоткой, показаны на рис. 2-14. Они набираются из отдельных полос электрокартона. проклеенных бакелитовым лаком, и затем прессуются и запекаются. При необходимости бакелитовый дак разбавляется этиловым спиртом до плотности 950-970 кг/м³; удельное давление при опрессовке— (40— 80) 10<sup>5</sup> Па; температура запечки 125—140°С]. Длина рейки обычно равна длине цилиндра, а ширина как самой рейки, так и паклеенной на нее полосы должна быть на 2 мм меньше ширины просечки в прокладке. Толшина рейки зависит от размера канала между цилиндром и обмоткой.

Полосы для реек нарезают с допуском по ширине +0,5 мм на гильотинных или дисковых ножницах. При отсутствии последних нарезку производят перепосными электрическими вибрационными ножницами с установленным упором (рис. 8-2). При этом предварительной разметки не требуется. Упор устанавливается на размер, соответствующий ширине полосы. Наружный ровный край листа электрокартона опирается на вращающиеся ролики 5 упора, и ножницы отрезают полосу необходимой ширины. Полосы после нарезки промазывают с одной стороны бакелитовым лаком или одну полосу промазывают лаком с двух стороп, а на нее накладывают другую непромазанную. При отсутствии упора листы

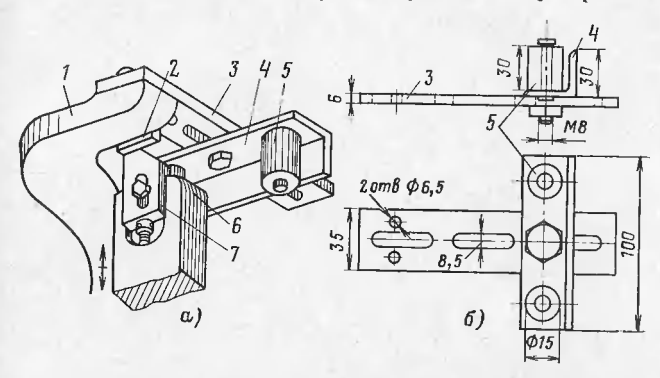


Рис. 8-2. Упор при вырезке электроножницами.

a— установка упора; b— упор; b— держатель неподвижного ножа электроножниц; b— неподвижный нож; b— планка упора, закрепляемая иа держателе; b— уголок; b— роликовые упоры; b— держатель подвижного ножа электроножниц; b0— подвижный нож.

электрокартона предварительно размечают цвегным карандашом. Писать на изоляционных деталях простым или черным карандашом, содержащим графит, ни в коем случае нельзя, так как графит — это проводник и его попадание в электрическое поле нарушает электрическую

прочность изоляции в трасформаторе.

Нижняя полоса, если рейка предназначена для насадки и закрепления прокладок, делается шире, чем сама рейка, а именно: если рейка имеет ширину 19 мм, то полосу делают шириной 25 мм (см. рис. 2-14). Края полосы должны одинаково выступать с обеих сторон за края рейки. Чтобы в процессе прессовки и запечки рейка не двигалась по нижней полосе, ее укладывают в станок (рис. 8-3), в котором ее прессуют и запекают. С этой целью каждую рейку комплектуют на толщину, равную необходимому размеру плюс 10—15% на усадку. Затем скомплектованные рейки укладывают на основание стан-

ка. Между рейками прокладывают в двух-трех местах по длине деревянные фасопные вкладыши, не позволяющие рейкам смещаться, а также искривляться при прессовке и запечке. Затем рейки прессуют, зажимая швеллером 4 с помощью болтов 1, и запекают, для чего включают электронагреватели, помещенные под основание станка 6. Нагрев осуществляют электронагревателем. Проволоку нагревателя в виде плоских змеек по-

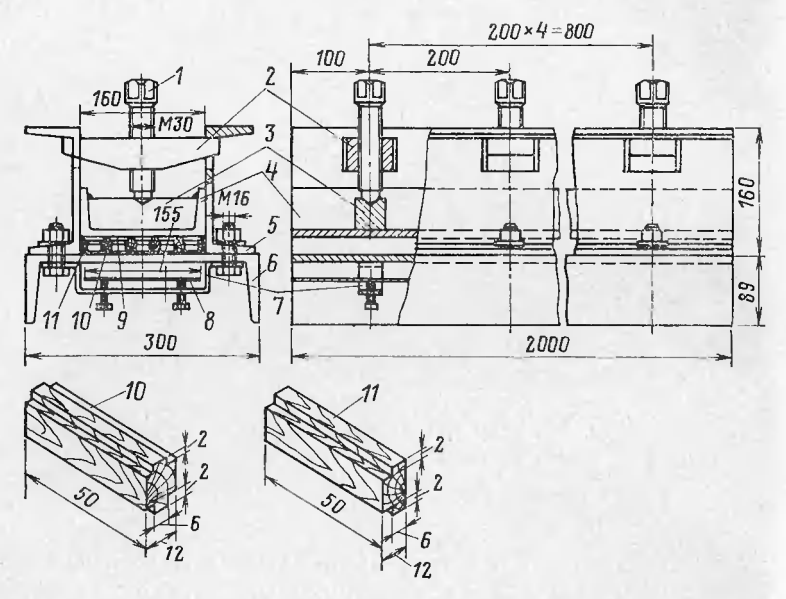


Рис. 8-3. Станок для прессовки и запечки реек.

1 — прессующий болт;
 2 — опорная планка с резьбовым отверстием;
 3 — ребро;
 4 — прессующий швеллер;
 5 — боковой швеллер;
 6 — основание-швеллер;
 7 — скоба;
 8 — пластина, прижимающая нагревательный элемент к швеллеру
 6 снизу;
 9 — прессуемые и запекаемые рейки;
 10 и 11 — деревянные дистанциониые вкладыши,

мещают между двумя (сверху и снизу) изоляционными прокладками из асбеста или миканита, укладывают на пластину 8 (сверху) и прижимают снизу болтами к внутренней горизонтальной поверхности швеллера 6.

Общая мощность нагревателя 5 кВт. Удельную нагрузку принимают 2,5 Вт на 1 см² поверхности проволоки нагревателя. Напряжение— не более 40 В. После запечки очищают каждую рейку стеклянной шкуркой от наплывов лака.

Рейки без уширенной нижней полосы после комплектовки отдельных полос на указанную выше толщину бандажируют по всей длине киперной лентой или крепированной бумагой, зажимают в станке и запекают.

Продолжительность запечки и опрессовки реек (и других склеенных из электрокартона деталей) составляет около 1 ч при толщине до 25 мм; 1,5 ч при 26—

36 мм, 2 ч при 36-80 мм и 3 ч при 80-120 мм.

#### 8-4. ИЗГОТОВЛЕНИЕ ШАЙБ И КОЛЕЦ

При изготовлении шайб из электрокартона наносят на листы циркулем наружный и внутренний диаметры шайбы и затем вырезают ее вручную шайборезом (рис. 8-4) или электрическими вибрационными ножницами. В ремонтных условиях можно пользоваться спе-

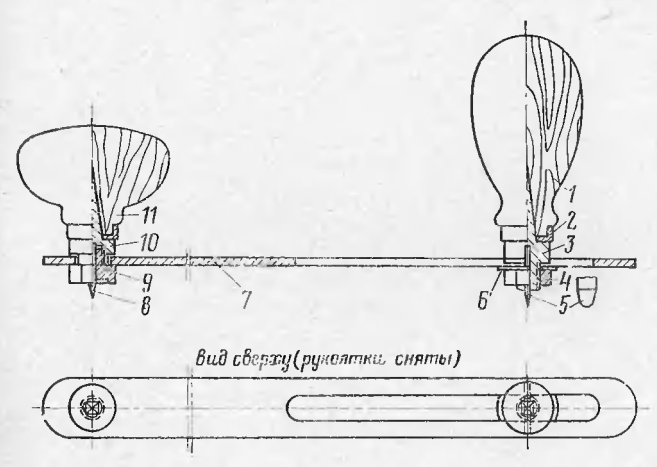


Рис. 8-4. Ручной шайборез.

1— рукоятка ножа; 2—колпачок рукоятки; 3— штырь— держатель ножа; 4—гайка; 5—нож из иожовочного полотна; 6— шайба; 7—стальная пластина; 8— игла; 9— пятка— держатель иглы; 10— штырь; 11— рукоятка иглы.

циальным приспособлением (рис. 8-5), состоящим из двух резцов 1 и 2, которые могут передвигаться по рейке и закрепляться на ней при помощи винтов, вделанных в ручки 3. При вращении вокруг центрового упора 4 резцы описывают две окружности большего и меньшего размера, соответствующие наружному и внутреннему диаметрам шайбы и кольца, прорезая при этом одновременно материал, из которого изготовляют шайбу.

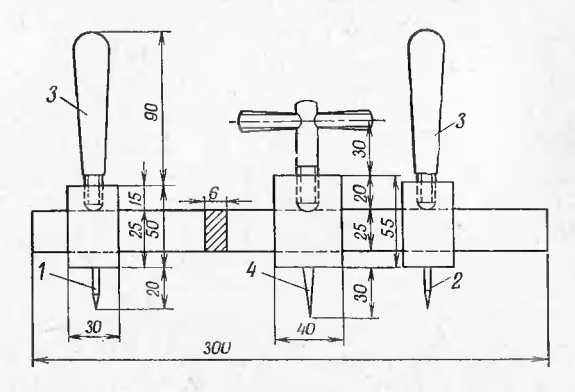


Рис. 8-5. Приспособление для вырезки шайб и колец.

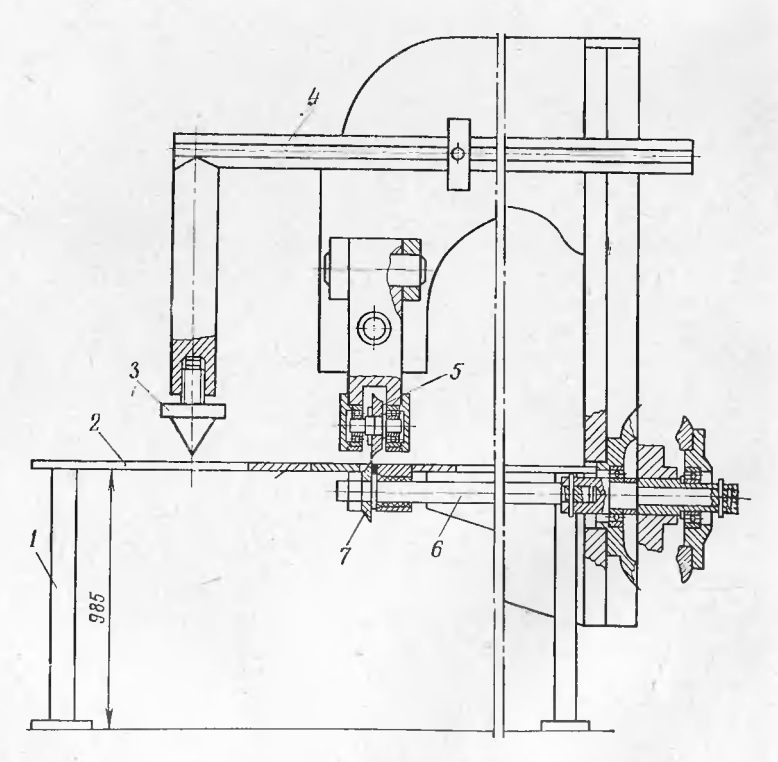


Рис. 8-6. Станок для вырезки шайб и колец. I- стойка; 2- стол; 3- центр; 4- штанга; 5 и 7- дисковые ножн; 6- вал, 204

Хорошо зарекомендовал себя для вырезки различных прокладок, шайб, колец и т. п. станок, показанный

на рис. 8-6.

Листовую заготовку размещают на столе 2 и прижимают центром 3, вылет которого устанавливают по штанге 4 в зависимости от диаметра (сначала наружного, а затем внутреннего) вырезаемой прокладки (шайбы). Нажатием педали включают электродвигатель.

Через червячный редуктор вращение передается на ведущий нож 7. Ведомый нож 5 опускается в рабочее положение. Дисковые ножи 5 и 7 увлекают при своем вращении лист прокладочного материала и, заставляя его поворачиваться вокруг центра 3, вырезают прокладку необходимого диаметра. Максимальная толщина вырезаемых прокладок 5 мм.

Если из отдельных шайб необходимо скомплектовать кольцо определенной толщины, то промазывают отдельные шайбы с одной стороны бакелитовым лаком (или половину всех шайб с двух сторон, чередуя промазанную

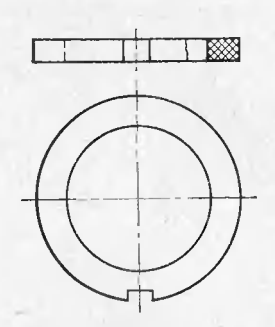


Рис. 8-7. Уравнительное кольцо с вырезом для конца внутренней обмотки.

шайбу с непромазанной) и комплектуют их с учетом усадки при прессовке и запечке. Напоминаем, что при комплектовке шайб в один пакет необходимо, чтобы направление волокон в них было одинаковым, иначе будет иметь место коробление шайб. После комплектовки каждое кольцо бандажируют вразбежку киперной лентой, зажимают между двумя металлическими дисками и запекают в печи при 125—130°C. После запечки кольца очищают от наплывов лака.

В условиях местного ремонта изготовление колец из электрокартона является очень трудоемкой операцией, если учесть вырезку большого количества шайб, их промазку, комплектовку, опрессовку и запечку. Поэтому кольца изготовляют зачастую из листового гетинакса марок V и VI соответствующей толщины, вырезая их на токарном или другом станке (рис. 8-7).

#### 8-5. ИЗГОТОВЛЕНИЕ И СБОРКА УГЛОВЫХ ШАЙБ

Угловые шайбы (рис. 8-8) применяют обычно в трансформаторах класса изоляции 110 кВ и выше. Угловая шайба состоит из цилиндрической части высотой 150 мм и отворота, имеющего ширину, равную радиальному размеру обмотки. Стандартная толщина шайбы 8 мм. «Мягкую» угловую шайбу собирают из отдельных слоев-заготовок (рис. 8-9,а), ширина отворота и технологический припуск 30—50 мм. Заготовки вырезают из ру-



Рис. 8-8. Угловая шайба.

лонного электрокартона. Слои размечают и надрезают на глубину, равную ширине отворота. Разметку надрезов производят штангенциркулем.

После того как все заготовки подготовлены, собирают угловую шайбу и делают отвороты. Сборку ведут на стальной оправке (рис. 8-9,6) с наружным диаметром, рав-

ным внутреннему диаметру шайбы. Сначала наматывают на оправку первый слой и закрепляют его по всей окружности киперной лентой, затем на первый слой наматывают и закрепляют лентой второй слой так, чтобы лепестки второго слоя перекрывали надрезы первого слоя. Таким образом наматывают и закрепляют все слои, строго следя за тем, чтобы лепестки каждого последующего слоя перекрывали надрезы предыдущего. После намотки последнего слоя цилиндрическую часть закрепляют по внешнему диаметру лентой и надевают

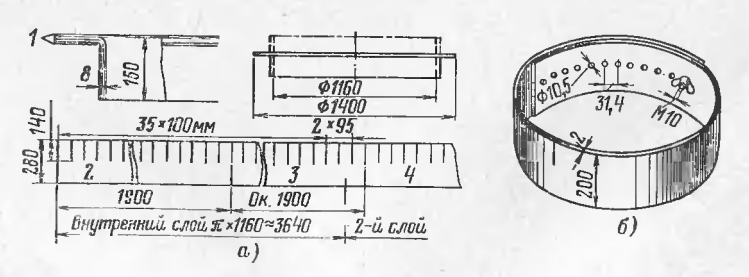


Рис. 8-9. Изготовление угловои шайбы.

a — заготовка; 6 — раздвижная стальная оправка; 1 — вспомогательные электрокартонные шайбы толщиной  $1,5\,$  мм, скрепляющие лепестки отворота; 2-4 — заготовки из рольного электрокартона толщиной  $2\times0,5\,$  мм,

цельную шайбу на то место, где начинаются надрезы. Затем на всю высоту цилиндрической части укладывают по всей окружности временную полосу из электрокартона толщиной 2 мм так, чтобы она опиралась на ранее надетую шайбу. Полосу закрепляют киперной лентой и приступают к отбортовке надрезанных лепестков. Сначала отгибают под углом 90° вокруг выступа полосы лепестки верхнего слоя, обстукивая их по всей окружности деревянным молотком, затем так же отгибают лепестки всех следующих слоев. Под нижний отбортованный слой укладывают в свою очередь цельную шайбу и производят сшивку отворота шпагатом в шестивосьми местах по окружности. Для прошивки сверлят дрелью (сверлом Ø 3 мм) отверстия возле края отворота, продевают через них шпагат и завязывают узелком. Затем снимают всю шайбу с оправки, удаляют временную технологическую полосу и прошивают цилиндрическую часть таким же образом, как и отворот.

# 8-6. ИЗГОТОВЛЕНИЕ И СБОРКА БАРЬЕРНОЙ ИЗОЛЯЦИИ

Барьерную изоляцию применяют в трансформаторах класса изоляции 110 кВ и выше.

Барьеры могут быть плоскими и угловыми (рис. 8-10). Верхние угловые барьеры в трехфазных отечественных трансформаторах служат одновременно и междуфазной изоляцией (рис. 8-11). Однако при ремонте на месте такие барьеры изготовлять трудно и последние выполняют так, как показано на рис. 8-11, а междуфазную изоляцию изготовляют и устанавливают отдельно.

Угловой барьер изготовляют из электрокартона толщиной 2 мм. Отметив необходимые длину и ширину заготовки, отрезают ее электрическими вибрационными ножницами. Затем наносят циркулем из центра заготовки диаметр отверстия и вырезают последнее вибрационными ножницами. После этого отгибают края на длинной стороне заготовки. Для этого кладут заготовку на стол так, чтобы она выступала за край стола на размер отгиба. Край стола должен быть предварительно заглажен и слегка закруглен. Место отгиба смачивают водой тряпичным тампоном с двух сторон по всей линии отгиба. После увлажнения места отгиба делают небольшую выдержку, для того чтобы влага впиталась в поры электрокартона. Затем прижимают заготовку к столу у ли-

нии отгиба, положив на нее в том месте швеллер, и отгибают на угол 20° вокруг заглаженной кромки стола

выступающие за нее края заготовки.

На барьер (рис. 8-11) надевают со стороны отверстия П-образные прокладки. Для их изготовления нарезают из полос электрокартона толщиной 2 мм и шириной, равной ширине прокладки, пластинки длиной, равной сторо-

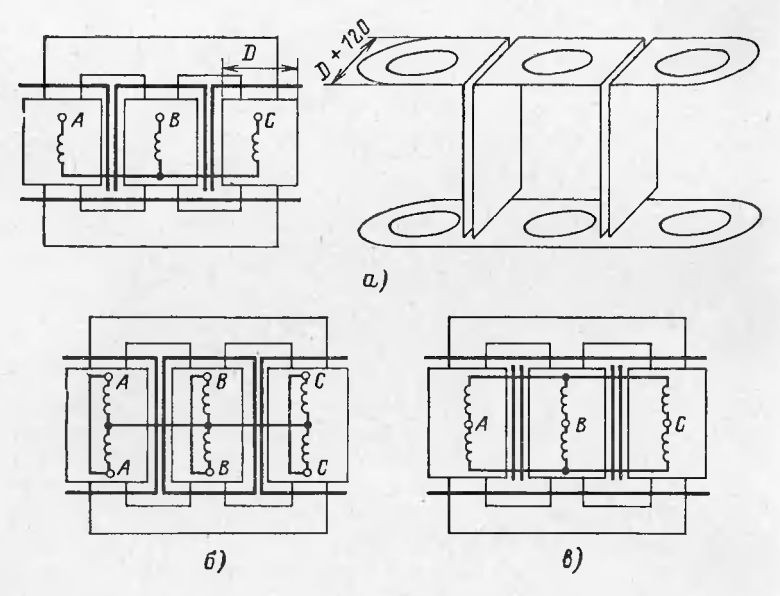


Рис. 8-10. Схема устройства барьеров междуфазной изоляции в трехфазных трансформаторах 110 кВ.

a— обмотка ВН с вводом на конце, нейтраль внизу; b— обмотка ВН с вводом на конце, нейтраль посередине высоты обмотки; b— обмотка ВН с вводом лосередине.

не прокладки. Кроме того, нарезают полоски, равные по длине П-образной прокладке в развернутом виде. На обе стороны полоски укладывают то или иное количество пластинок в зависимости от толщины каждой стороны прокладки (рис. 8-11). Пластинки и полоску промазывают бакелитовым лаком и бандажируют отдельно каждую сторону прокладки лентой или крепированной бумагой. Затем сгибают полоску на шаблоне с толщиной, равной высоте промежутка между сторонами прокладки. Предварительно место сгиба увлажняют. При

сгибе стороны прокладок обстукивают деревянным молотком. Изготовив необходимое количество П-образных прокладок, собирают их на деревянной рейке с толщиной, равно высоте промежутка. Собранные на рейке прокладки зажимают между швеллерами запекают. После запечки прокладки очищают от наплывов лака, снимают бандажи и, если торцы прокладок получились (ступенькой), А неровными отдельные неровности И выступы спиливают жовкой.

В условиях местных ремонтов П-образные прокладки устанавливают, не приклеивая их предварительно к барьеру. Последнее делают уже при сборке активной части, после установки барьера. Когда барьер установлен, выравнивают на нем прокладки так, чтобы они бы-

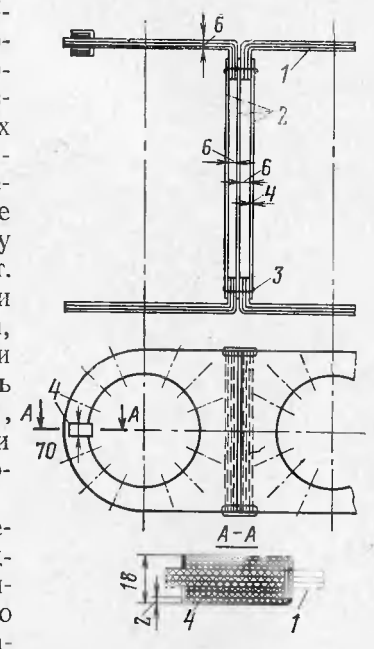


Рис. 8-11. Угловой барьер. 1 — барьер; 2 — междуфазная изоляция в виде перегородок; 3 — скрепляющий шпагатный бандаж: 4 —  $\Pi$ -образная прокладка.

ли на одной линии со столбом прокладок уравнительной и ярмовой изоляций, а затем смазывают соприкасающиеся поверхности бакелитовым лаком. После опрессовки обмоток прокладки плотно прижимаются к барьеру, а после сушки смазанные поверхности спекаются и про-

кладки оказываются склеенными с барьером.

Междуфазную изоляцию собпрают из цельных полос электрокартона толщиной 2 мм, предварительно пропитанных (лакированных). Ширина полос должна равняться диаметру наружной обмотки. Отдельные полосы сшивают по краям шпагатом и прикрепляют сверху и снизу к отворотам угловых барьеров. Там, где нет угловых барьеров, междуфазную изоляцию (перегородки) привязывают к вертикальным стяжным шпилькам, проходящим между фазами. При отсутствии вертикальных шпилек перегородки привязывают к ярмовым балкам.

# 8-7. ИЗГОТОВЛЕНИЕ ЯРМОВОЙ И УРАВНИТЕЛЬНОЙ ИЗОЛЯЦИИ

Ярмовая изоляция состоит из шайбы с приклепанными к ней с обеих сторон прокладками (рис. 8-12). Шайбы вырезают шайборезом или электроножницами из электрокартона толщиной 2—3 мм. В условиях местного ремонта прокладки необходимых размеров нарезают из листового гетинакса марки V или VI соответствующей толщины. Необходимая толщина прокладок увеличивается с ростом диаметра стержня и размера обмоток в радиальном направлении. Ориентировочно толщина про-

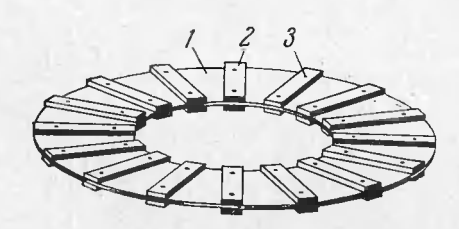


Рис. 8-12. Изоляция обмоток от ярма. 1 — электрокартонная шайба; 2 — прокладка (электрокартон, гетинакс); 3 — заклепка (фибра, электрокартон).

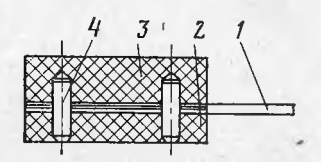


Рис. 8-13. Закрепление прокладок на шайбе ярмовой изоляции. 1— шайба; обращенная к обмотке; 3— обращенная к обмотке; 4— штифт.

кладок для трансформаторов средней мощности составляет 8 мм, для трансформаторов большой мощности класса напряжения 35 кВ — 10 мм, а для класса напряжения 110 кВ — 15 мм. Заклепки изготовляют или из прутковой фибры, или из кабельной бакелизированной бумаги, плотно наматывая ее в виде прутка необходимого диаметра. После намотки прутки запекают.

При напряжении 35 кВ и выше прокладки, обращенные к обмоткам, сверлят не насквозь, а так, как указано на рис. 8-13. Прокладки ярмовой изоляции имеют большую на 10—20 мм ширину, чем прокладки между ка-

тушками обмоток.

Длина прокладок нижней ярмовой изоляции на стороне, обращенной к обмоткам, делается меньше на толщину внутреннего цилиндра плюс 2 мм, так как цилиндр опирается на шайбу ярмовой изоляции и выступы прокладок, обращенных к ярму. Для прохода концов внутренней обмотки в шайбах ярмовой изоляции делают соответствующие вырезы.

Уравнительную изоляцию, заполняющую выступ ярма, изготовляют в виде сегментов и полуколец из электрокартона с наклепанными прокладками (рис. 8-14). Технология их изготовления никаких особых пояснений не требует; следует лишь тюмнить, что высота прокладок, обращенных к ярмовой изоляции, должна быть больше, чем со стороны полки ярмовой балки, так как между пластиной уравнительной изоляции и шайбой ярмовой изоляции в промежутках между их прокладками выводятся концы внутренних обмоток.

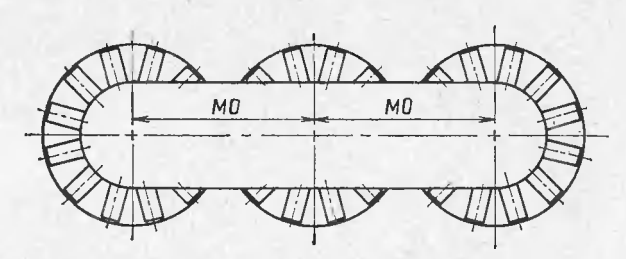


Рис. 8-14. Уравнительная изоляция трехфазного трансформатора в виде пластин электрокартона с приклепанными прокладками.

Ширина прокладок уравнительной изоляции такая же, как и прокладок ярмовой изоляции. Последние должны быть расположены равномерно и строго на одной вертикальной линии. Наружное очертание уравнительной изоляции по дуге окружности делают несколько большего диаметра, чем диаметр наружной обмотки.

Уравнительную изоляцию, заполняющую выступ цилиндра, выполняют из набора прокладок с ласточкиными хвостами, а также из колец. Прокладки насаживают на продольные рейки. Затем на прокладки устанавливают кольца, которые при ремонтах и модернизации обычно вырезают из листового гетинакса соответствующей толщины.

Технология изготовления как прокладок, так и колец описана выше.

# 8-8. ИЗГОТОВЛЕНИЕ РАЗЛИЧНЫХ ОТДЕЛЬНЫХ ИЗОЛЯЦИОННЫХ ДЕТАЛЕЙ (ВЫРАВНИВАЮЩИХ КЛИНЬЕВ, КОРОБОЧЕК И Т. П.)

В условиях местного ремонта и индивидуального производства изготовление той или иной изоляционной детали производят упрощенным способом, исходя из местных возможностей, имеющихся оборудования и приспособле-14\* ний. Описанные способы изготовления различных изоляционных деталей, а также рекомендованные при этом приспособления необходимо рассматривать как примерные и оправдавшие себя в отдельных случаях на практике при ремонтах и модернизации трансформаторов на местах.

Трансформаторы разных фирм, разных годов выпуска и разного назначения имеют самые различные конструкции, в том числе и самые различные изоляционные детали. Поэтому, кроме описанной ранее технологии из-

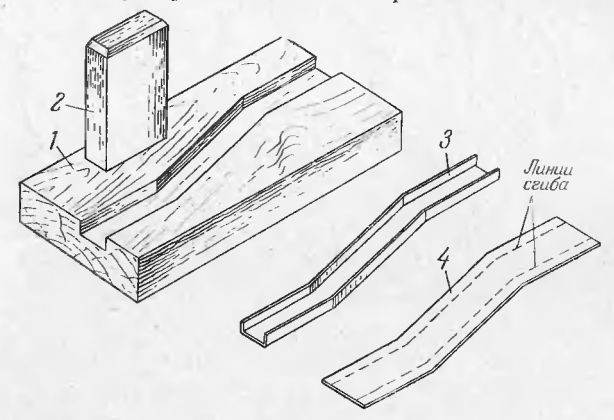


Рис. 8-15. Устройство для изготовления коробочек для изоляции переходов.

1 — деревянная матрица; 2 — текстолитовая подбойка; 3 — коробочка из электрокартона; 4 — заготовка коробочки,

готовления основных, наиболее часто встречающихся изоляционных деталей, ограничимся описанием технологии изготовления выравнивающих концевых клиньев и

коробочек для изоляции переходов.

Концевые клинья, выравнивающие винтовую поверхность витка цилиндрической обмотки, изготовляют из бумажно-бакелитового цилиндра соответствующих диаметра и толщины. С этой целью на чертеже дается развертка клина, по которой вырезают соответствующую ей полоску бумаги. Эту полоску обертывают вокруг конца цилиндра и отмечают по ней (на цилиндре) цветным карандашом или мелом линию отреза клина. Затем по этой линии отрезают ручной ножовкой конец цилиндра и получают выравнивающий клин. Клинья прибандажируют к началу и концу обмотки (см. рис. 3-7 и 3-8).

Коробочки для изоляции переходов выполняют из электрокартона толщиной 0,5 мм. В условиях местного ремонта эти коробочки изготовляют так: в деревянном бруске вырезают соответствующей длины углубление по форме перехода (рис. 8-15). Затем нарезают полоски электрокартона, по ширине несколько большие, чем ширина изолированного провода плюс две его толщины. Эти полоски вырезают также по форме перехода. Положив полоску электрокартона над углублением в деревянном бруске (которое служит своего рода матрицей), обстукивают ее деревянным молотком через текстолитовую подбойку. В результате из полоски электрокартона получают коробочку по форме перехода.

## 8-9. ИЗГОТОВЛЕНИЕ ЕМКОСТНЫХ КОЛЕЦ ОБМОТОК

Для выравнивания электрического поля у концов обмотки, а также для некоторого снижения максимальных напряжений между концевыми катушками у трансформаторов классов напряжения 110 кВ и выше применяют емкостные кольца обмотки (рис. 8-16). Емкостные кольца устанавливают на начало и конец обмотки. Между кольцами и обмоткой делают масляные каналы с помощью набора дистанционных прокладок.

Емкостное кольцо обмотки состоит из электрокартонной склеенной и опрессованной шайбы с округленными краями, тонкой металлической оболочки и изоляции. Шайбу делают толщиной 8—10 мм и в том месте, где к металлической оболочке присоединяют отводной ка-

бель, ее срезают по хорде (рис. 8-16).

Металлическую оболочку выполняют из тонкой медной ленты шириной 20—30 и толщиной 0,2—0,3 мм, завернутой в кабельную бумагу. Изолированную ленту наматывают в два слоя, бифилярно, вразбежку по всей окружности электрокартонной шайбы. Металлическая оболочка не должна быть замкнута, поэтому в ней делают разрыв порядка 50 мм. На одной стороне кольца к виткам медной ленты с шагом 60—70 мм припаивают оловянным припоем узкую медную полоску, для чего в изоляции ленты вырезают небольшие окна. Отвод от металлической оболочки емкостного кольца обмотки выполняют кабелем сечением 25 мм². Кабель расплющивают и припаивают оловянным припоем к виткам медной ленты на стороне, противоположной разрыву. Отвод изоленты на стороне, противоположной разрыву. Отвод изо-

лируют на конус лентой из кабельной или крепированной бумаги и при изоляции самого емкостного кольца обмотки постепенно перекрывают так же, как и при изготовлении катушечной изоляции.

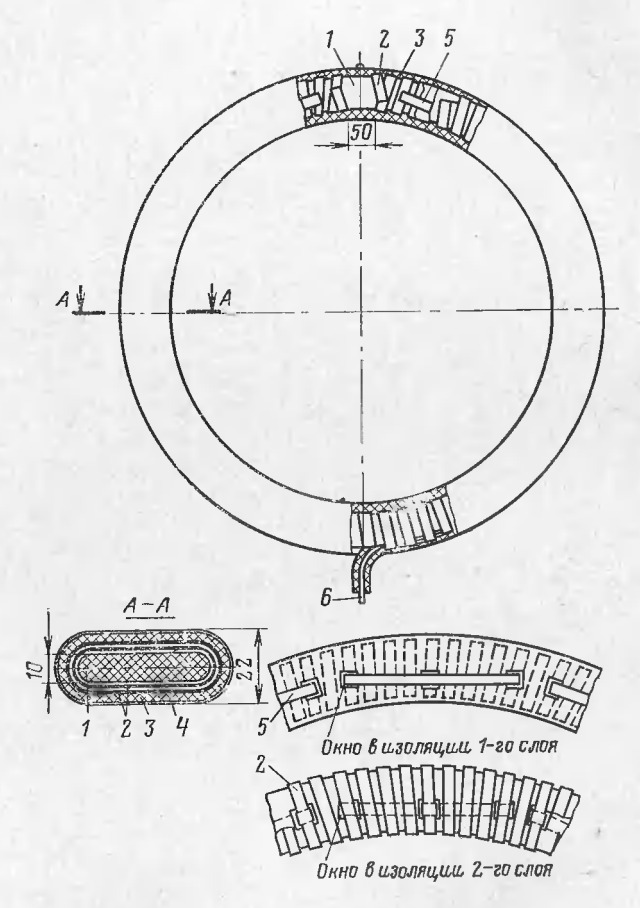


Рис. 8-16. Емкостное кольцо обмотки.

I — шайба из электрокартона; 2 — металлическая оболочка; 3 — изоляция; 4 — закрепляющий бандаж из тафтяной ленты; 5 — узкая медная полоска; 6 — отвод — гибкий кабель,

Емкостное кольцо обмотки изолируют лентой из кабельной или крепированной бумаги, кроме той части, где припаивается отвод; это место изолируют лакотканью. 214

# КОНСТРУКЦИИ И РЕМОНТ ПЕРЕКЛЮЧАЮЩИХ УСТРОЙСТВ

#### 9-1. КЛАССИФИКАЦИЯ ПЕРЕКЛЮЧАЮЩИХ УСТРОЙСТВ

На современных трансформаторах и автотрансформаторах устанавливают переключающие устройства.

В трансформаторах общего и специального назначения применяют два вида переключений: а) переключение ответвлений обмоток без возбуждения (ПБВ), т. е. после отключения всех обмоток трансформатора от сети;

Таблица 9-1

# Буквенные обозначения переключающих устройств ПБВ

| Буквенное<br>обозначение | Число фаз | Тип переключате-<br>ля ответвлений | Вид контакта       |  |
|--------------------------|-----------|------------------------------------|--------------------|--|
| П                        | 1         | Барабанный                         | Кольцевой          |  |
| ПТ                       | 3         | ,                                  | Сегментный         |  |
| ПС<br>ПСТ                | 3         | 27                                 | Сегментныи         |  |
| ПЛ                       | - 1       | 27                                 | Ламельн <b>ы</b> й |  |
| ПЛТ                      | - 3       | 29                                 | 99                 |  |
| ПР                       | 1         | Реечный                            | 27                 |  |
| ПРТ                      | 3         | , ,                                | 29                 |  |

б) переключение ответвлений обмоток под нагрузкой — регулирование под нагрузкой (РПН).

Соответственно этим видам переключений применя-

ют переключающие устройства ПБВ и РПН.

До последнего времени трансформаторные заводы разрабатывали и устанавливали много различных переключающих устройств, отличающихся друг от друга

Таблица 9-2 Буквенные обозначения переключающих устройств РПН

| Буквенное<br>обозначение                   | Число фаз                  | Вид токоограничивающего сопротивления |  |  |
|--------------------------------------------|----------------------------|---------------------------------------|--|--|
| PHO<br>PHT<br>PHOP<br>PHTP<br>PHOA<br>PHTA | 1<br>3<br>1<br>3<br>1<br>3 | Нет<br>Индуктивное<br>Активное        |  |  |

конструкцией, принципом действия и параметрами работы. Соответственно этому вводились различные обозна-

чения типов переключающих устройств.

Сейчас все переключающие устройства к трансформаторам нормализуются. ГОСТ 17500-72 помимо всех параметров устанавливает буквенные обозначения типов переключающих устройств (табл. 9-1 и 9-2).

#### 9-2. СХЕМЫ РЕГУЛИРОВАНИЯ И РАСПОЛОЖЕНИЕ РЕГУЛИРОВОЧНЫХ ВИТКОВ

Переключающие устройства устанавливают на трансформаторах для регулирования напряжения в сети после трансформатора.

У повышающих трансформаторов это высшее напряжение, у понижающих, подстанционных — низшее, а у трехобмоточных трансформаторов, как правило, имеется возможность регулирования двух напряжений: на сторонах ВН и СН или СН и НН; при этом аппаратура регулирования устанавливается обычно на сторонах ВН или СН, а иногда и на стороне НН.

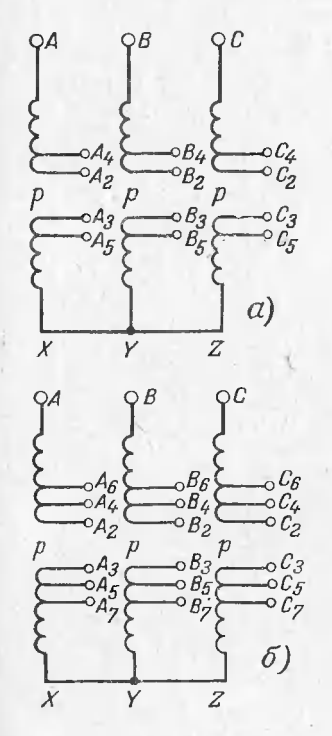
У трансформаторов общего назначения регулирование напряжения осуществляется, как правило, в пределах  $\pm 5\%$ , причем трансформаторы малой и средней мощности имеют обычно три ступени: +5%, «номинал» и -5%, а трансформаторы большой мощности — пять ступеней: +5%, +2,5%, «номинал», -2,5% и -5%.

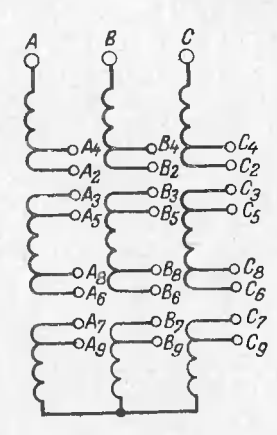
В последнее время и у трансформаторов малой и средней мощности устанавливают переключающие устройства на пять ступеней регулирования.

Диапазоны регулирования трансформаторов РПН бывают обычно от  $\pm 7$  до  $\pm 22\%$ . Наиболее распространены диапазоны от  $\pm 10$  до  $\pm 12,5\%$ , причем последний считается достаточным в подавляющем большинстве случаев.

Для многих специальных трансформаторов (электропечные, электролизные и т. п.) применяют значительно более широкие пределы регулирования (иногда до 100 %). В особых случаях требуется широкий диапазон регулирования при очень мелких ступенях. Так, например, в одном трансформаторе фирмы «Аллис-Чалмерс» (США) мощностью 100 кВ·А и напряжением 13,8 кВ, предназначенном для электролизных установок, сделано регулирование от нуля, причем имеется по 32 ступени грубой и тонкой регулировки. Напряжение каждой ступени равно 5/16 % номинального.

Имеются примеры, когда регулирование напряжения, необходимое для конкретных условий работы специального трансформатора, осуществлялось при его ремонте и модернизации. Так, в «Электропромремонте» была разработана и осуществлена модернизация электропечного трансформатора типа ЭОМН-2000/10 с повышением коли-





Рнс. 9-2. Схема обмотки с большим количеством выключаемых витков.  $A_2$ — $A_9$ ,  $B_2$ — $B_9$ ,  $C_2$ — $C_5$ — регулировочные ответвления.

Рис. 9-1. Прямая схема обмотки с регулировочными ответвлениями в ее середине.

a — четыре ответвления на фазу (регулировка  $\pm 5\%$ ); 6 — шесть ответвлений на фазу (регулировка  $\pm 2\times 2.5\%$ );  $A_2$ — $A_7$ ,  $B_2$ — $B_7$ ,  $C_2$ — $C_7$  — регулировочные ответвления.

чества ступеней регулирования напряжения с 17 до 159, в результате чего была достигнута возможность плавного регулирования напряжения на стороне НН — через каждые 0,5 В, а допустимая кратность переключений повышена до 400 раз в сутки. Весьма распространена типовая модернизация трансформаторов без РПН с встраиванием аппаратуры РПН.

Напряжение трансформатора регулируется изменением числа витков в обмотках, т. е. изменением коэффициента трансформации путем переключения ступеней регу-

лировочных ответвлений обмоток.

Регулировочные катушки располагаются в середине обмотки (рис. 9-1, а и б), так как в этом случае поперечный магнитный поток рассеяния при отключении одного и того же числа витков получается меньшим, чем при отключении витков обмоток, из-за отдаленности ярм.

При относительно большом количестве выключаемых витков их располагают на стержне в двух местах (рис. 9-2). В этом случае поперечный магнитный поток рассеяния получается почти в 2 раза меньшим, чем в случае, когда все регулировочные витки располагают в одном месте в середине обмотки (рис. 9-1).

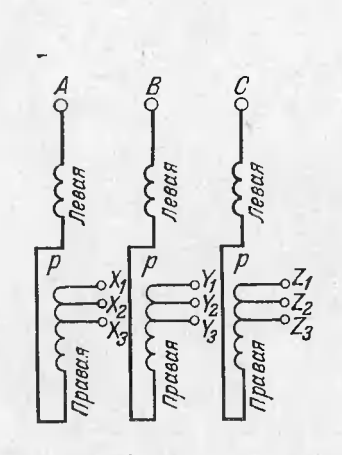


Рис. 9-3. «Оборотная» схема обмотки с регулировочными ответвлениями вблизи нулевой точки.

 $X_1$ — $X_3$ ,  $Y_1$ — $Y_3$ ,  $Z_1$ — $Z_3$  — регулировочные ответвления.

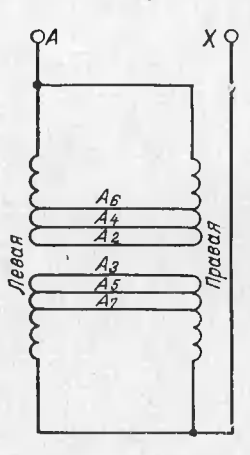


Рис. 9-4. Схема обмотки однофазного трансформатора с вводом на конце — схема 0; обмотки двух стержней соединены параллельно,

Несимметрию, получающуюся при отключении части витков, можно также уменьшить примерно в 2 раза путем разгона у обмотки НН витков, противолежащих выключаемым виткам обмотки ВН.

Для трансформаторов средних и больших мощностей классов напряжения 35, 110 кВ и выше принята так называемая «прямая» схема с регулировочными ответвлениями посередине обмотки (рис. 9-1) или с ответвлениями на <sup>1</sup>/<sub>4</sub> и <sup>3</sup>/<sub>4</sub> высоты обмотки (рис. 9-2).

Для трансформаторов средних мощностей класса напряжения 10 кВ часто применяют так называемую

оборотную схему с регулировочными ответвлениями в нуле (рис. 9-3), но геометрически в середине обмотки. При оборотной схеме обе половины обмоток должны быть разных направлений: одна — левого, другая — правого.

У однофазных трансформаторов при напряжении до 220 кВ включительно обычно обмотки двух стержней соединяют параллельно и выполняют с разными направ-

лениями намотки (рис. 9-4).

У трансформаторов РПН выполняют специальную регулировочную обмотку в виде отдельного концентра. Это винтовая или простая цилиндрическая обмотка с количеством параллелей, равным числу ступеней регулирования, т. е. каждая ступень «разносится» по всей высоте обмотки.

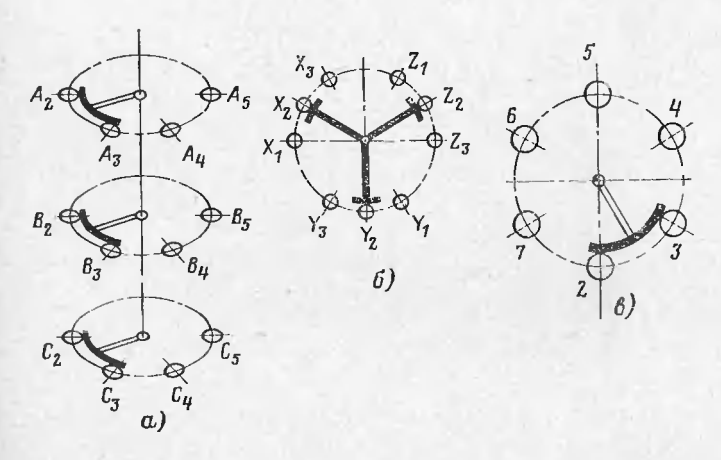


Рис. 9-5. Схемы контактных систем переключающих устройств. a— трехфазного переключающего устройства, схема обмотки по рис. 9-1,a; b— трехфазного «нулевого» переключающего устройства; b— однофазного переключающего устройства, схема обмотки по рис. 9-1,b.

В зависимости от класса напряжения, а также от схемы, диапазона, числа ступеней и способа регулирования применяются различные переключающие устройства, которые в принципе состоят из системы неподвижных контактов, соединяемых с регулировочными ответвлениями обмотки, и системы движущихся контактов, замыкающих разные пары неподвижных контактов (рис. 9-5).

Приводы переключающих устройств могут быть ручными, устанавливаемыми обычно на крышке бака трансформатора, и моторными, устанавливаемыми на стенке

бака.

## 9-3. ОБЩИЕ СВЕДЕНИЯ О ПЕРЕКЛЮЧАЮЩИХ УСТРОЙСТВАХ ПБВ

Соответственно своему назначению — осуществлять переключение ответвлений обмоток при отключенном со всех сторон от сети трансформаторе — устройства IIБВ отличаются простотой копструкции, небольшими размерами и массами и соответственно недороги в производстве и ремонте.

Устройства ПБВ устанавливаются на трансформаторах очень давно, почти с начала развития отечественного трансформаторостроения, и по мере технического прогресса они постоянно совершенствуются.

Имеется много различных устройств ПБВ.

В табл. 9-3 приведены все переключающие устройства ПБВ с ручным управлением, а в табл. 9-4— с дистанционным управлением, изготавливаемые Московским электрозаводом имени В. В. Куйбышева.

ГОСТ 17500-72 с 1973 г. устанавливает стандартные ряды номинальных токов для устройств ПБВ каждого

класса напряжения.

Для класса напряжения 10 кВ ряд номинальных токов составляет 16; 32; 63; 160; 320 и 630 А при пяти ступенях регулирования; для класса напряжения 35 кВ — 16; 32; 63; 160; 320; 630; 1000; 1250 и 1600 А при пяти ступенях и 1000; 1250 и 1600 А при трех ступенях регулирования;

для класса напряжения 110 кв — 320; 630; 1000; 1250 и 1600 А; для классов напряжения 150 и 220 кв — 320 и 630 А при пяти

ступенях регулирования.

# 9-4. ОДНОФАЗНЫЕ ПЕРЕКЛЮЧАЮЩИЕ УСТРОЙСТВА ПБВ. УСТРОЙСТВО П-6

В табл. 9-3 и 9-4 представлено несколько типов однофазных переключающих устройств. Устройства типов ОПС-6 и ОПС-8 с сегментными контактами характеризуются небольшой массой и легкостью переключения ответвлений.

Разработанные на Московском электрозаводе имени В. В. Куйбышева переключающие устройства с ламельными контактами и дистанционным управлением типа ПЛ-11-10/320-71 применяются на однофазных электропечных трансформаторах. Однажо небольшой номинальный ток ограничивает их применение на мощных трансформаторах.

На подавляющем большинстве трансформаторов средней и большой мощности из однофазных переключающих устройств ПБВ нашли шпрокое применение

устройства П6 и реже — П8.

Гереключающие устройства ПБВ с ручным управлением

| Подводка кабелей                                                                                                                             | и переключателю<br>ответвлений | Сверху и снизу<br>То же<br>Снизу     | Снизу Попеременно сни-              | Тер                   | сверху свизу и               | Снизу или попере-<br>менно снизу и<br>сверху |       |
|----------------------------------------------------------------------------------------------------------------------------------------------|--------------------------------|--------------------------------------|-------------------------------------|-----------------------|------------------------------|----------------------------------------------|-------|
| Macca                                                                                                                                        | устрои-                        | 22,50                                | 1,80<br>2,20<br>1,90                | 2,30                  | 6,80<br>6,80<br>6,30         | 11,68<br>12,16<br>11,68<br>11,68             | 11,68 |
| Коли.         Номи.         Класс нальный наль.         Макси. напряжен корот.         Испытательное напряжение, каль.         Номер чертежа | переключающего<br>устройства   | C5-28273 гр1<br>То же гр2<br>" " гр3 | C5-6322 rp1<br>To же rp2<br>" " rp3 | " rp4<br>C5-21158 rp1 | 10 же гр2                    | C5-21157 rp1 To же rp2 " " rp3               | rp3   |
| Испытательное<br>напряжение,<br>кВ, между                                                                                                    | стерж-<br>нем и<br>осыо        | ಬ                                    | 30                                  | 65                    |                              | 30                                           |       |
| Испыт<br>напря<br>кВ,                                                                                                                        | стерж-                         | വ                                    | 30                                  | 65                    |                              | 30                                           |       |
| Макси-<br>мальный<br>ток корот-                                                                                                              | кого за-<br>мыкания,<br>А      | 3500<br>3500<br>2000<br>2000         | 1000<br>1000<br>1000                | 1000                  | 4000<br>4000<br>4000<br>4000 | 88000<br>80000<br>80000<br>80000             | 8000  |
| Класс напряже-                                                                                                                               | ния обмот-<br>ки, кВ           | 11                                   | 35                                  | 35                    |                              | 35                                           |       |
| Номи-<br>наль-                                                                                                                               | ныи ра-<br>бочий<br>ток, А     | 350<br>350<br>200<br>200             | 001                                 | 300                   | 300000                       | 200000000000000000000000000000000000000      | 200   |
| Коли-                                                                                                                                        | поло-<br>жений                 | നവനന                                 | ოიო                                 | വ വ                   | രതതന                         | തരവവവ                                        | က     |
| Число                                                                                                                                        | фаз                            |                                      | _                                   | -                     |                              | - 57                                         |       |
| Tribunda Samos                                                                                                                               | Trill yet ponet 8a             | П6-200-350/11                        | 116-100/35                          | H6-300/35             |                              | П6-500/35                                    |       |

Продолжение табл. 9-3

|                | 1                                      |                                      | Устя                                 | ановка ус                              | Установка устройства |                                                  |                                                |                              |                    |
|----------------|----------------------------------------|--------------------------------------|--------------------------------------|----------------------------------------|----------------------|--------------------------------------------------|------------------------------------------------|------------------------------|--------------------|
|                | Сечение                                | Диаметр                              | без защитного цилиндра               |                                        | с защитным цилиндром | мидром                                           | Номер чертежа                                  | Macca                        | Крутяций           |
| Тип устройства | кабеля,<br>мм²                         | бель, мм                             | Номер чертежа                        | Macca,                                 | Номер чертежа        | Macca,<br>Kr                                     | ручного привода                                | да, кг                       | момент на валу, Дж |
| П6-200-350/11  | 50                                     | 11,0                                 | C5-28595 rp1<br>To жe rp2<br>" " rp3 | 1,33<br>1,32<br>1,31<br>1,30           | 1                    | 1                                                | С5-6361 гр1<br>То же гр2<br>" " гр1            | 5,16<br>5,17<br>5,16<br>5,16 | 5,0                |
| П6-100/35      | 22                                     | 8,0                                  | C5-6494<br>To жe                     | 2,2,2,2                                | 1                    | 1                                                | C5-6361 rp2<br>To же rp1<br>" " rp2<br>" " rp1 | 5,17<br>5,16<br>5,17<br>5,16 | 5,0                |
| П6-300/35      | 95<br>50<br>150<br>95<br>150           | 16,0<br>20,0<br>12,0<br>16,0<br>20,0 | C5-21464 To we C5-23839 To we        | 8,8,8,8,8<br>2,7,0<br>7,70<br>7,70     | C5.21462<br>To же    | 0,000,000<br>0,000,000<br>0,000,000<br>0,000,000 | 35-11567<br>55-185 rp1<br>To жe<br>" " rp3     | 444444                       | 14,6               |
| TG-500/35      | 150<br>240<br>300<br>150<br>240<br>300 | 19,0<br>28,0<br>19,0<br>24,0<br>28,0 | C5-21466 To we "5-23841 To we " " "  | 60,000,000<br>00,000,000<br>00,000,000 | C5-21468<br>To же    | 6,65<br>6,65<br>6,65<br>6,65                     | Э5-11567<br>Б5-185 гр1<br>То же<br>" " гр3     | 444444                       | 29,4               |

|               | Подводка кабелей       | к переключателю<br>ответвлений | Снизу и сверху                       | Снизу, сверху или<br>попеременно сни-<br>зу и сверху      | Снизу<br>Снизу и сверху<br>То же<br>Снизу<br>Снизу и сверху<br>То же | Снизу<br>"                |
|---------------|------------------------|--------------------------------|--------------------------------------|-----------------------------------------------------------|----------------------------------------------------------------------|---------------------------|
|               | Macca                  | ycrpow-<br>ctBa, Kr            | 21,33<br>17,30<br>21,33<br>17,30     | 11,77<br>11,94<br>11,85<br>11,77<br>11,94<br>11,85        | 0,0,0,0,0,0,0,0,0,0,0,0,0,0,0,0,0,0,0,                               | 45,0**<br>45,0*           |
|               | Номер чертежа          | переключающего<br>устройства   | C5-32914 гр1<br>То же гр2<br>" " гр1 | C5-6253 rp1<br>To же гр2<br>" " гр1<br>" " гр1<br>" " гр2 | C5-34150 rp1 To we rp2 " " rp4 " " rp1 " " rp1 " " rp2 " " rp2       | С5-23520 гр1<br>То же гр2 |
| Испытательное | кВ, между              | стерж-<br>мем и<br>осью        | 30                                   | 90                                                        | 09                                                                   | 105                       |
| Испыта        | KB, M                  | стерж-<br>нями                 | 30                                   | 30                                                        | 09                                                                   | 105                       |
| Макси-        | мальный ток корот-     | кого за-<br>мыкания,<br>А      | 12 000<br>12 000<br>12 000<br>12 000 | 0014<br>0014<br>0014<br>0014<br>0014<br>0014              | 4000<br>8000<br>8000<br>4000<br>8000<br>8000<br>8000                 | 3500<br>3500              |
|               | Класс напряже-         | ния обмот-<br>ки, кВ           | 35                                   | 35                                                        | 35/25***                                                             | 150                       |
| E C           | Ha.m-                  | бочий<br>Ток, А                | 1000<br>1000<br>1000<br>1000         | 3000000                                                   | 200<br>300<br>4400<br>4400<br>4000<br>4000                           | 350                       |
|               | Коли-                  | поло-                          | നനനന                                 | LL9999                                                    | ~~~~°°°°°°°°°°°°°°°°°°°°°°°°°°°°°°°°°°                               | ~ ~                       |
|               | Число                  | фаз                            | -                                    | -                                                         | -                                                                    | -                         |
|               | Company of The Company | ran yerboacıba                 | TG-1000/35                           | 118-300/35                                                | IT8-400/35-25                                                        | T8-350/154                |

Продолжение табл. 9-3

|                                                                            |     |                 | VCTE               | ановка ус                              | Установка устройства |                                         |                                          |                              |          |
|----------------------------------------------------------------------------|-----|-----------------|--------------------|----------------------------------------|----------------------|-----------------------------------------|------------------------------------------|------------------------------|----------|
| Диаметр без                                                                | 6e3 | без зап         | зацитного цилиндра | линдра                                 | с защитным цилиндром | индром                                  | Номер чертежа                            | Macca                        | Крутяший |
| мм² бель, мм Номер                                                         |     | Номер           | Номер чертежа      | Macca,<br>kr                           | Номер чертежа        | Macca,<br>Kr                            | ручного привода                          | да, кг                       | валу, Дж |
| 240 23,5<br>150 18,5<br>240 23,5<br>150 18,5                               |     |                 |                    | 1                                      | C5-32508<br>To жe    | 6,19<br>6,19<br>6,19<br>6,19            | 95-11567<br>B5-185 rpl<br>To we rp3      | 14,4<br>14,4<br>14,4<br>14,4 | 29,4     |
| 95 16 C5-6380<br>50 12 To же<br>150 20 " " "<br>95 16 " " "<br>50 12 " " " |     | C5-638<br>To же | 0                  | ယယ္လယ္လယ္လ<br>လူလူလူလူလူ<br>လူလူလူလူလူ | I                    | I                                       | Б5-1157 гр1<br>То же<br>" " гр2<br>" " " | 14,6                         |          |
| 50 20 20 20 20 20 20 20 20 20 20 20 20 20                                  |     |                 |                    | 1                                      | C5-35037<br>To же    | 7,7,7,7,7,7,7,7,0,0,0,0,0,0,0,0,0,0,0,0 | D5-1157 rp1 To жe """ rp2 """" rp2       | 14,6                         | 8,21     |
| 95 12 50                                                                   |     | 1               |                    | ı                                      | С5-24022<br>То же    | 37,7                                    | С5-23730<br>То же                        | 21,7                         | 62,5     |

| Тил устройства         фаз тболо- на жений           ПТУ-9-350/11         3         3           ПТУ0-9-350/11         3         3           ПТУ0-9-120/10         3         3           ТПСУ-9-120/10T         3         3           ТПСУ-9-120/10T         3         3           ТПУ-5-50/35T         3         3           ПТЛ-4-120/35         3         3           3-50/35-20         3         3           16-300/110         1         5 | ный ра-<br>бочий<br>ток, А | Класс напряже-       | мажск-<br>жальный<br>ток корот-      | напряз<br>кВ, м | напряжение,<br>кВ, между | Номер чертежа                         | Macca                | Подводка кабелей               |
|-------------------------------------------------------------------------------------------------------------------------------------------------------------------------------------------------------------------------------------------------------------------------------------------------------------------------------------------------------------------------------------------------------------------------------------------------|----------------------------|----------------------|--------------------------------------|-----------------|--------------------------|---------------------------------------|----------------------|--------------------------------|
| /11 3<br>0/11 3<br>0/10 3<br>0/10T 3<br>35T 3<br>/35 3                                                                                                                                                                                                                                                                                                                                                                                          |                            | ния обмот-<br>ки, кВ | кого за-<br>мыкания,<br>А            | стерж-          | стерж-<br>нем и<br>осью  | переключающего<br>устройства          | устрои-<br>ства, кг  | к переключателю<br>ответвлений |
| 0/11 3<br>0/10 3<br>0/10T 3<br>35T 3<br>/35 3                                                                                                                                                                                                                                                                                                                                                                                                   | 350<br>260<br>200          | 10                   | 3500<br>5500<br>5500                 | က               | വ                        | C5-166050 rp1<br>To жe rp2<br>" " rp3 | 5,37<br>4,86<br>4,76 | Снизу и сверху<br>Снизу        |
| 0/10<br>0/10T 3<br>35T 3<br>/35 3                                                                                                                                                                                                                                                                                                                                                                                                               | 350<br>260<br>200          | 10                   | 5500<br>5500<br>5500                 | ഹ               | ഗ                        | С5-166040 гр1<br>То же гр2<br>" " гр3 | 5,38<br>4,87<br>4,77 | Снизу и сверху<br>Снизу<br>"   |
| 0/10T 3<br>35T 3<br>/35 3                                                                                                                                                                                                                                                                                                                                                                                                                       | 120                        | 10                   | 1900                                 | ω               | വ                        | 6BT.209.006                           | 4,86                 |                                |
| 35T 3<br>/35 3<br>3                                                                                                                                                                                                                                                                                                                                                                                                                             | 120                        | 10                   | 1900                                 | ъ               | ഹ                        | 6ET.209.008                           | 4,86                 | L                              |
| /35                                                                                                                                                                                                                                                                                                                                                                                                                                             | 20                         | 32                   | 1000                                 | 15              | 30                       | <b>55-109450</b>                      | 6,23                 | 1                              |
|                                                                                                                                                                                                                                                                                                                                                                                                                                                 | 120                        | 35                   | 2400                                 | 30              | 30                       | B5-107860                             | 9,84                 | 1                              |
|                                                                                                                                                                                                                                                                                                                                                                                                                                                 | 2020                       | 888                  | 009                                  | 15              | 30                       | C5-24347 rp1<br>To жe rp2             | 4,10                 | 1                              |
| 4                                                                                                                                                                                                                                                                                                                                                                                                                                               | 300                        | 110                  | 2800                                 | 85              | 82                       | Б5-543 гр1<br>То же гр2               | 16,01                | Снизу                          |
|                                                                                                                                                                                                                                                                                                                                                                                                                                                 | 388                        |                      | 2800                                 |                 |                          | rp3                                   | 16,01                |                                |
| N IC                                                                                                                                                                                                                                                                                                                                                                                                                                            | 200                        |                      | 2800                                 |                 |                          | " " IDS                               | 13,91                |                                |
| ) 411                                                                                                                                                                                                                                                                                                                                                                                                                                           | 200                        |                      | 2800                                 |                 |                          | rp6                                   | 13,91                | : \$                           |
| m 01 1                                                                                                                                                                                                                                                                                                                                                                                                                                          | 2025                       |                      | 2800<br>2800<br>2800<br>2800<br>2800 |                 |                          | " " " " " " " " " " " " " " " " " " " | 13,91                | £ £                            |

|                    |                 |                      | Yer                    | ановка у                                                                       | Установка устройства |        |                     | _      |                       |
|--------------------|-----------------|----------------------|------------------------|--------------------------------------------------------------------------------|----------------------|--------|---------------------|--------|-----------------------|
|                    | Сетение         | Диаметр<br>отверстия | без защитного цилиндра | 1 1                                                                            | с защитным цилиндром | индром | Номер чертежа       | Macca  |                       |
| ANI YCTDONCI BA    | MM <sup>2</sup> | под ка-<br>бель, мм  | Номер чертежа          | Масса,<br>кг                                                                   | Номер чертежа        | Масса, | ручного привода     | приво- | момент на<br>валу, Дж |
| ITV-9-350/11       | 2020            | ===                  | 1                      | - 1                                                                            | 1                    | I      | C5-42710<br>To жe   | www    | 21,8                  |
| $\Pi TV0-9-350/11$ | 202             |                      | ı                      | I                                                                              | I                    | - 1    | C5-42710<br>To жe   |        | 221,8                 |
| TITCV-9-120/10     | I               | 1                    | I                      | ı                                                                              | 1                    | - 1    | С приводом          | 1      | 4,9                   |
| TITCY-9-120/10T    | ı               | 1                    | 1                      | -1                                                                             |                      | 1      | То же               | 1      | 4,9                   |
| THY-5-50/35T       | 1               | 1                    | 1                      | 1                                                                              | 1                    | ı      | С приводом          | l      | 3,72                  |
| ПТЛ-4-120/35       | 1               | ı                    | ı                      | 1                                                                              | I                    | Ī      | С приводом          | 1      | 11,8                  |
| <b>3-50/35-</b> 20 | i               | ı                    | I                      | 1                                                                              | I                    | 1      | С приводом          | 1      | 3,72                  |
| T6-300/110         | 32              | ñ                    | C5-3813                | 4.33                                                                           | C5-3204              | 60.6   | 10 же<br>55-185 rn1 | 14.4   | 3,72                  |
|                    | 88              | 121                  | То же                  | 4,33                                                                           | То же                | 9,09   | То же гр2           | •      | · ·                   |
|                    |                 | <u> </u>             | R 1                    | 4 4<br>8 8<br>8 8                                                              | R                    | 6060   | * * rp3             |        |                       |
|                    | 00 8            | =                    |                        | 88                                                                             | R R                  | 60,6   | a a Ipl             |        |                       |
|                    | 20              |                      | R 1                    | 4, 4<br>5, 5,<br>5, 5,<br>5, 5, 5,<br>7, 7, 7, 7, 7, 7, 7, 7, 7, 7, 7, 7, 7, 7 | R                    | 60°6   | " rp2               |        |                       |
|                    | 20.50           | :=°                  | R R                    | 4,33                                                                           | R F                  | 9,00   | r r p4              | ,      |                       |
|                    | 04              | 0                    |                        | 4,00                                                                           | R                    | 3,03   | rpi                 |        |                       |

| а         фаз томо- бочий бочий бочий бочий бочий ток, А         нам домо- бочий боч                                         |                |       |                 | Номи-                                  | Класс | Макси-<br>маљный<br>ток корот-                              | Испытательное<br>напряжение,<br>кВ, между | гельное<br>кение,<br>эжду | Номер чертежа                | Macca                                                                                  | Подводка кабе тей                                                                                        |
|------------------------------------------------------------------------------------------------------------------------------------------------------------------------------------------------------------------------------------------------------------------------------------------------------------------------------------------------------------------------------------------------------------------------------------------------------------------------------------------------------------------------------------------------------------------------------------------------------------------------------------------------------------------------------------------------------------------------------------------------------------------------------------------------------------------------------------------------------------------------------------------------------------------------------------------------------------------------------------------------------------------------------------------------------------------------------------------------------------------------------------------------------------------------------------------------------------------------------------------------------------------------------------------------------------------------------------------------------------------------------------------------------------------------------------------------------------------------------------------------------------------------------------------------------------------------------------------------------------------------------------------------------------------------------------------------------------------------------------------------------------------------------------------------------------------------------------------------------------------------------------------------------------------------------------------------------------------------------------------------------------------------------------------------------------------------------------------------------------------------------|----------------|-------|-----------------|----------------------------------------|-------|-------------------------------------------------------------|-------------------------------------------|---------------------------|------------------------------|----------------------------------------------------------------------------------------|----------------------------------------------------------------------------------------------------------|
| 1   5   500   110   10000   85   85   C5-656   21,10     1   5   1000   110   12000   85   85   C5-96840   65,8**     1   5   1300   110   12000   85   85   C5-145629   26,81     1   5   200   150   7500   105   105   C5-26460 rpl   29,70     5   200   7500   7500   7500   7500   7500   7500   7500   7500   7500   7500   7500   7500   7500   7500   7500   7500   7500   7500   7500   7500   7500   7500   7500   7500   7500   7500   7500   7500   7500   7500   7500   7500   7500   7500   7500   7500   7500   7500   7500   7500   7500   7500   7500   7500   7500   7500   7500   7500   7500   7500   7500   7500   7500   7500   7500   7500   7500   7500   7500   7500   7500   7500   7500   7500   7500   7500   7500   7500   7500   7500   7500   7500   7500   7500   7500   7500   7500   7500   7500   7500   7500   7500   7500   7500   7500   7500   7500   7500   7500   7500   7500   7500   7500   7500   7500   7500   7500   7500   7500   7500   7500   7500   7500   7500   7500   7500   7500   7500   7500   7500   7500   7500   7500   7500   7500   7500   7500   7500   7500   7500   7500   7500   7500   7500   7500   7500   7500   7500   7500   7500   7500   7500   7500   7500   7500   7500   7500   7500   7500   7500   7500   7500   7500   7500   7500   7500   7500   7500   7500   7500   7500   7500   7500   7500   7500   7500   7500   7500   7500   7500   7500   7500   7500   7500   7500   7500   7500   7500   7500   7500   7500   7500   7500   7500   7500   7500   7500   7500   7500   7500   7500   7500   7500   7500   7500   7500   7500   7500   7500   7500   7500   7500   7500   7500   7500   7500   7500   7500   7500   7500   7500   7500   7500   7500   7500   7500   7500   7500   7500   7500   7500   7500   7500   7500   7500   7500   7500   7500   7500   7500   7500   7500   7500   7500   7500   7500   7500   7500   7500   7500   7500   7500   7500   7500   7500   7500   7500   7500   7500   7500   7500   7500   7500   7500   7500   7500   7500   7500   7500   7500   7500   7500   7500   7500   7500   7500   | Тип устройства | - фаз |                 | ный ра-<br>бочий<br>ток, А             |       | кого за-<br>мыкания,<br>А                                   | стерж-                                    | стерж-<br>нем и<br>осью   | переключающего<br>устройства | устрэй-                                                                                | к переключателю<br>ответвлений                                                                           |
| 1   5   1000   110   10 000   85   85   C5-96840   65,8**     1   5   1300   110   12 000   85   85   C5-145629   26,81     1   5   200   150   7500   105   105   C5-26460 rpl   29,70     2   2   200   7500   7500   7500   7500   7500   7500   7500   7500   7500   7500   7500   7500   7500   7500   7500   7500   7500   7500   7500   7500   7500   7500   7500   7500   7500   7500   7500   7500   7500   7500   7500   7500   7500   7500   7500   7500   7500   7500   7500   7500   7500   7500   7500   7500   7500   7500   7500   7500   7500   7500   7500   7500   7500   7500   7500   7500   7500   7500   7500   7500   7500   7500   7500   7500   7500   7500   7500   7500   7500   7500   7500   7500   7500   7500   7500   7500   7500   7500   7500   7500   7500   7500   7500   7500   7500   7500   7500   7500   7500   7500   7500   7500   7500   7500   7500   7500   7500   7500   7500   7500   7500   7500   7500   7500   7500   7500   7500   7500   7500   7500   7500   7500   7500   7500   7500   7500   7500   7500   7500   7500   7500   7500   7500   7500   7500   7500   7500   7500   7500   7500   7500   7500   7500   7500   7500   7500   7500   7500   7500   7500   7500   7500   7500   7500   7500   7500   7500   7500   7500   7500   7500   7500   7500   7500   7500   7500   7500   7500   7500   7500   7500   7500   7500   7500   7500   7500   7500   7500   7500   7500   7500   7500   7500   7500   7500   7500   7500   7500   7500   7500   7500   7500   7500   7500   7500   7500   7500   7500   7500   7500   7500   7500   7500   7500   7500   7500   7500   7500   7500   7500   7500   7500   7500   7500   7500   7500   7500   7500   7500   7500   7500   7500   7500   7500   7500   7500   7500   7500   7500   7500   7500   7500   7500   7500   7500   7500   7500   7500   7500   7500   7500   7500   7500   7500   7500   7500   7500   7500   7500   7500   7500   7500   7500   7500   7500   7500   7500   7500   7500   7500   7500   7500   7500   7500   7500   7500   7500   7500   7500   7500   7500   7500   7500   7 | П6-500/110     |       | ഹ               | 200                                    | 110   | 1 000                                                       | 85                                        | 85                        | C5-656                       | 21,10                                                                                  | Снизу                                                                                                    |
| 1         5         1300         110         12 000         85         85         C5-145629         26,81           1         5         200         150         7500         105         105         C5-26460 rpl         29,70           5         200         7500         7500         7500         7500         7500         7500         7500         7500         7500         7500         7500         7500         7500         7500         7500         7500         7500         7500         7500         7500         7500         7500         7500         7500         7500         7500         7500         7500         7500         7500         7500         7500         7500         7500         7500         7500         7500         7500         7500         7500         7500         7500         7500         7500         7500         7500         7500         7500         7500         7500         7500         7500         7500         7500         7500         7500         7500         7500         7500         7500         7500         7500         7500         7500         7500         7500         7500         7500         7500         7500         7500                                                                                                                                                                                                                                                                                                                                                                                                                                                                                                                                                                                                                                                                                                                                                                                                                                                                                                           | TI6-1000/110   | 7     | വ               | 1000                                   | 110   | 10 000                                                      | 85                                        | 82                        | C5-96840                     | 8**                                                                                    | Снизу и сверху                                                                                           |
| 1 5 200 150 7500 105 105 C5-26460 rpl 29,70 5000 7500 105 105 C5-26460 rpl 29,70 30,10 5000 7500 105 105 C5-26460 rpl 29,70 300 5000 105 105 105 105 105 105 105 105                                                                                                                                                                                                                                                                                                                                                                                                                                                                                                                                                                                                                                                                                                                                                                                                                                                                                                                                                                                                                                                                                                                                                                                                                                                                                                                                                                                                                                                                                                                                                                                                                                                                                                                                                                                                                                                                                                                                                         | TI6-1300/110   |       | 10              | 1300                                   | 110   | 12 000                                                      | 18                                        | 82                        | C5-145629                    | 26,81                                                                                  | Снизу и сверху                                                                                           |
| 3 200 5000                                                                                                                                                                                                                                                                                                                                                                                                                                                                                                                                                                                                                                                                                                                                                                                                                                                                                                                                                                                                                                                                                                                                                                                                                                                                                                                                                                                                                                                                                                                                                                                                                                                                                                                                                                                                                                                                                                                                                                                                                                                                                                                   | П6-300/154     | -     | 101010104444000 | 80000000000000000000000000000000000000 | 150   | 72000<br>72000<br>72000<br>72000<br>72000<br>72000<br>72000 | 105                                       | 105                       |                              | 29,70<br>29,70<br>29,70<br>29,70<br>29,70<br>29,70<br>29,70<br>29,70<br>29,70<br>29,70 | Сиязу и сверху<br>То же<br>Сиязу и сверху<br>То же<br>Сиязу и сверху<br>Сиязу и сверху<br>То же<br>Сиязу |
| 1 5 400 220 8000 140 C5-24143 51,0**                                                                                                                                                                                                                                                                                                                                                                                                                                                                                                                                                                                                                                                                                                                                                                                                                                                                                                                                                                                                                                                                                                                                                                                                                                                                                                                                                                                                                                                                                                                                                                                                                                                                                                                                                                                                                                                                                                                                                                                                                                                                                         |                |       | က               | 200                                    |       | onne                                                        |                                           |                           | n n I D4                     | 14,67                                                                                  |                                                                                                          |
|                                                                                                                                                                                                                                                                                                                                                                                                                                                                                                                                                                                                                                                                                                                                                                                                                                                                                                                                                                                                                                                                                                                                                                                                                                                                                                                                                                                                                                                                                                                                                                                                                                                                                                                                                                                                                                                                                                                                                                                                                                                                                                                              | TG-490/220***  |       | D.              | 400                                    | 220   | 8 000                                                       | 140                                       | 140                       | C5-24143                     | 51,0**                                                                                 | Снизу и сверху                                                                                           |

Продолжение табл. 9-3

|                |                |                     | VCT                    | ановка ус    | Установка устройства |                      |                       |                  |          |
|----------------|----------------|---------------------|------------------------|--------------|----------------------|----------------------|-----------------------|------------------|----------|
| E              | Сечение        | Диаметр             | без защитного цилиндра | линдра       | с защитным цилинаром | линаром              | Номер чертежа         | Macca            |          |
| Іип устройства | кабеля,<br>мм² | под ка-<br>бель, мм | Номер чертежа          | Macca,<br>Kr | Номер чертежа        | Масса,               | ручыого привода       | приво-<br>да, кг | валу, Дж |
| П6-500/110     | 150            | 19                  | 1                      | 1            | C5-3855              | 11,67                | B5-185 rp1            | 14,4             | 37,2     |
| П6-1000/110    | 240            | 24                  | i                      | l            | C5-3855              | 11,67                | 55-185 rp1            | 14,4             | 1        |
| П6-1300/110    | 300            | 27                  | l                      | ı            | C5-145655            | 15,3                 | 115-11566             | 1                | 78,1     |
| П6-300/154     | 2002           | 9129                | I -                    | I            | С5-6181<br>То же     | 27,0<br>27,0<br>27,0 | Б5-66203 гр1<br>То же | 15,63            | 1        |
| 1.4            | 2020           | 2292                |                        |              |                      | 27,0<br>27,0<br>27,0 |                       |                  | -        |
| 7.30%          | 0200           | 91295               |                        |              |                      | 27,0<br>27,0<br>27,0 | 7 7 2                 |                  |          |
|                | 202            | 192                 |                        | -15          |                      | 27,0                 | 2 2 2                 |                  | n        |
| T6.400/220***  | 92             | 15                  | C5-24157               | 37,0         | 1                    | 1                    | B5-4270               | 1                | Ì        |
|                | 1              |                     |                        | 1 1          |                      |                      |                       |                  |          |

Продолжение табл. 9-3

|                 | Uncho | Коли- | Номи-                      | Класс                | Макси-<br>мальный<br>ток корот- | Испытательное<br>напряжение,<br>кВ, межцу | спытательное<br>напряжение,<br>кВ, между | Номер чертежа                         | Macca                      | Подводка кабелей                 |
|-----------------|-------|-------|----------------------------|----------------------|---------------------------------|-------------------------------------------|------------------------------------------|---------------------------------------|----------------------------|----------------------------------|
| Тип устройства  | фаз   |       | ный ра-<br>бочий<br>ток, А | ния обмот-<br>ки, кВ | кого за-<br>мыкания,<br>А       | стерж-                                    | стерж-<br>нем и<br>осью                  | переключающего<br>устройства          | устрои-                    | к переключателю<br>ответвлений   |
| 16-1000/220     | g(    | വവവ   | - 0001                     | 220                  | 6370<br>6370<br>6370            | 82                                        | 85                                       | C5-112871 rp1<br>To же rp2<br>" " rp3 | 36,6**<br>43,5**<br>60,6** | Снизу и сверху<br>То же<br>То же |
| 30-50/35-20     | က     | ကက    | 2020                       | 35<br>20             | 200                             | 155                                       | 30                                       | C5-24743 гр3<br>То же гр4             | 4,10                       | 1.                               |
| ОПС-6-120/35    | ,     | വവ    | 120                        | 333                  | 1900                            | 255                                       | 255                                      | 55-11931<br>55-91885                  | & &<br>& w                 | 1                                |
| ОПС-8-30/15     | -     | 7     | 30                         | 15                   | 800                             | າດ                                        | ro                                       | C5-108630                             | 2,56                       | 1                                |
| HO-4-120/35     | -     | က     | 120                        | 32                   | 1200                            | 1                                         | 1                                        | <b>55-163923</b>                      | 70,7                       | İ                                |
| HO-6-120/10     |       | າດ    | 120                        | 10                   | 2400                            | າດ                                        | ın                                       | B5-116620                             | 7,07                       | 1                                |
| HT-6-120/10     | က     | 10    | 120                        | 10                   | 2400                            | ю                                         | າດ                                       | D5-109300                             | 9,48                       | ì                                |
| ПСС-4-120/35*** | က     | က     | 120                        | 33.                  | 2400                            | 30                                        | 30                                       | <b>B</b> 5-61410                      | 1                          | Γ                                |

|                 |                | ,                   | Vers                   | ановка у     | Установка устройства |        |                     |        |          |
|-----------------|----------------|---------------------|------------------------|--------------|----------------------|--------|---------------------|--------|----------|
| ,               | Сечение        | Диаметр отверстня   | без защитного цилиндра |              | с защитным цилиндром | модрим | Номер чертежа       | Macca  | Крутяций |
| Тип устройства  | кабеля,<br>мм² | под ка-<br>бель, мм | Номер чертежа          | Macca,<br>Kr | Масса,<br>кг         | Macca, | ручного привода     | да, кг | валу, Дж |
| П6-1000/220     | 95             | 15                  | C5-112955<br>To жe     | 12,8         | 1 =                  | ı      | 55-185 rp1<br>To жe | 14,4   | 78,1     |
|                 | 300            | 27                  | R                      | 12,8         |                      |        | *                   |        |          |
| 30-50/35-20     | 1              | 1                   | 1                      | 1            | 1                    | 1      | С приводом<br>То же | 1      | 3,72     |
| ОПС-6-120/35    |                | ı                   | 1                      | 1            |                      | 1      | R                   | 1      | 11,8     |
| 31/06 0 010     |                |                     |                        |              |                      |        | R                   | l      | ×        |
| HO-4-120/35     |                | 1 1                 |                        |              |                      | 1      | r r                 |        | 8,6      |
| HO-6-120/10     | 1              | I                   | ı                      | I            | ı                    | 1      | R<br>E              | l      | 8,6      |
| HT-6-120/10     | 1              | 1                   | 1                      | ı            | -                    | 1      | R                   | 1      | 8,6      |
| ПСС-4-120/35*** | 1              | ı                   | 1                      | 1            | 1                    | 1      | R                   | 1      | 8,6      |
|                 |                |                     |                        |              |                      |        |                     |        |          |

Прыменания: 1. Таблица составлена по данным действующих нормалей Московского электрозавода имени В. В. Куйбышева. 2. Крутящие моменты указаны без привода.

только снизу.
\*\* Масча устройства указана с кабелем,
\*\*\* В новых конструкциях не применяются.
\*\*\* Рабочее наприжение между соседиями ступенями.

<sup>\*</sup> Переключающее устройство может быть установлено на трансформаторах 110 кВ с днапазоном регулирования 10%; подводка кабелей-

Гереключающие устройства ПБВ с дистанционным управлением

| אמשרטיה אסקסג ו | Переключающее устройство                    |              | L'Out.                   | HOMB.                    | Knace                            | Переключат      | Переключатель ответвлений  |
|-----------------|---------------------------------------------|--------------|--------------------------|--------------------------|----------------------------------|-----------------|----------------------------|
| Тип             | Номер чертежа<br>установки                  | Число<br>фаз | чество<br>положе-<br>ний | 31, 111.                 | напряже-<br>ния об-<br>мотки, кВ | Тип             | Номер чертежа              |
| HT-4×3-350/10   | Б5-98905 гр1<br>То же<br>"5-128300          | ოოოო         | *****<br>*****           | 320<br>320<br>320<br>320 | 0000                             | HT-4X3-350/10   | Б5-94220<br>То же          |
| HT-4×3-625/10   | B5-114545 rp1<br>6BT,736,035<br>6BT,736.073 | ကကက          | XXX<br>80000             | 625<br>625<br>625        | 000                              | HT-4×3-625/10   | Б5-118805<br>То же         |
| HT-5-625/10     | 6 <b>5</b> T.736.055<br>C5-120468           | ကက           | വവ                       | 625<br>625               | 10                               | HT-5-625/10     | Б5-62330<br>То же          |
| HT-4×2-625/35   | Б5-113020 гр1                               | က            | 4×2                      | 625                      | 35                               | PHT-13-625/35   | Б5-47794 с измене-<br>нием |
| HT-8-625/35     | То же                                       | က            | 00                       | 625                      | 35                               | PHT-13-625/35   | 95-8798                    |
| ПЛ-11-10/320-71 | 65T.736.086C5<br>To жe                      |              | ===                      | 320<br>320<br>320        | 001                              | ПЛ-11-10/320-71 | ' 65T,209.036C5<br>To жe   |
| PEO-635/10      | C5-113022 rp1                               | -            | 36                       | 625                      | 10                               | P5O-625/11      | B5-57300 rp1               |
| HO-9-150/10     | <b>55-18467</b> 3                           | -            | o                        | 150                      | 01                               | HO-9-150/10     | <b>55-18434</b> 0          |

Продолжение табл. 9-4

| Переключаюш            | Переключающее устройство                    | Прив                                   | Приводной механизм                              |                                           | Напряже-                                 |                                        | Kovra-                  |
|------------------------|---------------------------------------------|----------------------------------------|-------------------------------------------------|-------------------------------------------|------------------------------------------|----------------------------------------|-------------------------|
| Тип                    | Номер чертежа<br>установки                  | Тип                                    | Номер чертежа                                   | Номер специфи-<br>кации чертежей          | ние пита-<br>ния приво-<br>да, В         | Номер схемы<br>приводного<br>механизма | щий<br>момент,<br>Джізд |
| HT-4×3-350/10          | Б5-98905 гр1<br>То же<br>Б5-128300          | МАЗ 2/12<br>То же<br>То же<br>БРЗ12/12 | Б5-177220 гр1<br>Э5-12982<br>То же<br>Б5-138480 | FV-2016<br>FV-2305<br>FV-2292             | 220/380<br>220/380<br>220/440<br>220/440 | Б5-175536<br>То же<br>" "              | 93,1                    |
| HT-4×3-625/10          | 65-114545 rp1<br>66T.736.035<br>66T.736.073 | MA3-2/12<br>To we<br>MA3-1/12          | Б5-177220 гр1<br>Э5-12982<br>Б5-175100 гр12     | ΓУ-1984<br>ΓУ-2289<br>ΓУ-2154             | 220/380<br>220/380<br>220/380            | Б5-175536<br>То же<br>Б5-175539        | 127,2                   |
| 14T-5-625/10           | 6BT.736.055<br>C5-120468                    | МАЗ-1/6<br>То же                       | 95-12848<br>55-175100 rp3                       | FV-1990<br>FV-1967                        | 230/400<br>220/380                       | Б5-175539<br>То же                     | 44,0                    |
| $HT-4 \times 2-625/35$ | B5-113030 rp1                               | MA3-1/8                                | 55-175100 rp4                                   | FV-1971                                   | 220/380                                  | <b>B5-175539</b>                       | -                       |
| HT-8-625/35            | То же                                       | То же                                  | То же                                           | ГУ-1972                                   | 220/380                                  | То же                                  |                         |
| ПЛ-11-10/320-71        | 6BT.736.086CB<br>To жe                      | MA3-2/11<br>То же<br>То же             | KB5-17220 rp3<br>To жe                          | O5T.405.059<br>O5T.405.066<br>O5T.405.067 | 220/380<br>220/380<br>220/380            | I                                      | 1                       |
| PEO-635/10             | C5-113022 rp1                               | MA3-1/36                               | Б5-175100 гр5                                   | LV-1970                                   | 220/380                                  | <b>D5-180247</b>                       | ı                       |
| HO-9-150/10            | B5-184673                                   | MA3-2/9                                | B5-177220 rp2                                   | LV-2484                                   | 220/380                                  | B5-184796                              | l                       |

Примечания: 1. Таблица составлена по данным действующей нормали Московского электрозавода имени В. В. Куйбышева. 2. Указаны крутящие моменты, замеренные на рукоятке приводного механизма.

Преимуществами их, благодаря которым они получили такое распространение, являются: большие номинальные токи, простота конструкции и надежность в эксплуатации.

Как показывает опыт ремонта трансформаторов, переключатели П6 не получают повреждений при токах короткого замыкания, превышающих значения, указан-

ные в табл. 9-3.

Рассмотрим переключающее устройство Пб.

На рис. 9-6.а показан рабочий элемент устройства. В двух дисках 4 из листового гетинакса просверлены шесть отверстий по окружности и одно в центре. В центральное отверстие вставлены сначала бумажнобакелитовые трубки 3, а потом стальные втулки 5 и в них — шейки стального коленчатого вала 7, между щечками которого на оси крепятся пять латунных контактных колец 6. В остальные отверстия дисков в таких же трубках 3 вставлены контактные латунные стержни 8. В нижней или в верхней части каждого стержня имеется сверление, куда впаивается кабель 9, соединяющий каждый стержень с одним из ответвлений обмотки. На верхнем конце оси коленчатого вала к нему двумя штифтами крепится переходная втулка 2, сцепляемая штифтом 1 со штангой привода. В каждом положении коленчатого вала контактные кольца под действием своих пружин прижимаются к двум соседним стержням и осуществляют между ними надежное электрическое соединение (рис. 9-6,6). Как видно из схемы работы устройства, если стержни занумеровать по порядку, то стержни с четными номерами соединяются кабелями с ответвлениями одной части обмотки, а с нечетными другой.

Таким образом, при соединении каждой пары соседних стержней обе части обмотки оказываются соединенными через устройство теми или иными ответвле-

ниями.

Если трансформатор трехфазный, то все три переключателя должны быть соединены с одноименными ответвлениями обмоток.

В § 11-4 подробно описана и показана на рис. 11-1 установка переключающего устройства П6 на трансформаторе.

Переключающее устройство типа П8 отличается от П6 только тем, что у него между дисками установлено

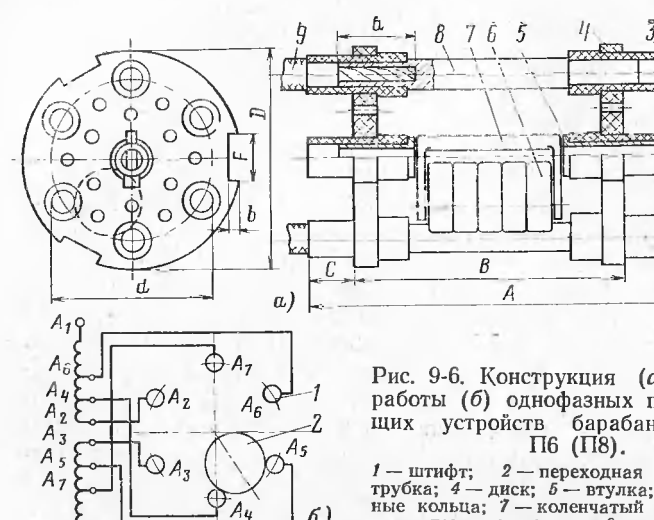


Рис. 9-6. Конструкция (a) и схема работы (b) однофазных переключающих устройств барабанного типа  $\Pi b$   $\Pi b$ 

1- штифт; 2- переходная втулка; 3- трубка; 4- диск; 5- втулка; 6- контактные кольца; 7- коленчатый вал; 8- контактные стержин; 9- кабель.

| Тип переклю-<br>чателя                                                             | Размеры, мм                            |                                        |                                  |                                               |                                  |                                  |                                        |                                       |                                        |                       | Колнчество  |  |
|------------------------------------------------------------------------------------|----------------------------------------|----------------------------------------|----------------------------------|-----------------------------------------------|----------------------------------|----------------------------------|----------------------------------------|---------------------------------------|----------------------------------------|-----------------------|-------------|--|
|                                                                                    | A                                      | В                                      | C                                | D                                             | E                                | F                                | a                                      | b                                     | d                                      | наконечников          |             |  |
|                                                                                    |                                        |                                        |                                  |                                               |                                  |                                  |                                        |                                       |                                        | снизу                 | сверху      |  |
| П6-200-350/11                                                                      | 238                                    | 126                                    | 59                               | 114                                           | 8                                | 125                              | 14                                     | 8                                     | 78                                     | 6<br>4<br>6           | 6           |  |
| П6-100/35                                                                          | 256                                    | 136                                    | 62                               | 114                                           | 8                                | 25                               | 14                                     | 8                                     | 78                                     | 4<br>4<br>6<br>2<br>3 |             |  |
| П6 <b>-3</b> 00/ <b>3</b> 5                                                        | 336                                    | 184                                    | 70                               | 159                                           | 12                               | 35                               | 27                                     | 8                                     | 109                                    | 6                     | 3           |  |
| 116-500/35                                                                         | 426                                    | 238                                    | 106                              | 169                                           | 12                               | 35                               | 45                                     | 8                                     | 115                                    | 3 2 6                 | 3 2 3 6     |  |
| П6-1000/35<br>П6-300/110<br>П6-500/110<br>П6-1000/110<br>П6-1300/110<br>П6-300/154 | 345<br>406<br>474<br>474<br>576<br>527 | 238<br>256<br>324<br>324<br>426<br>340 | 25<br>40<br>40<br>40<br>40<br>75 | 169<br>204<br>224<br>224<br>224<br>224<br>329 | 12<br>12<br>12<br>12<br>12<br>12 | 35<br>50<br>50<br>50<br>50<br>60 | 70<br>80<br>80<br>80<br>80<br>80<br>36 | 8<br>12<br>12<br>12<br>12<br>12<br>14 | 115<br>152<br>163<br>163<br>163<br>240 | 432,63666666          | 6<br>6<br>6 |  |
| П6-400/220<br>П6-1000/220                                                          | 685<br>474                             | 400<br>324                             | 100<br>40                        | 414<br>224                                    | 15<br>12                         | <b>7</b> 0<br>50                 | 46<br>80                               | 14<br>12                              | 300<br>163                             | 6<br>6<br>6<br>8      | 6 6         |  |
| TI8-300/35                                                                         | 401                                    | 220                                    | 97                               | 183                                           | 12                               | 35                               | 27                                     | 8                                     | <b>13</b> 0                            | 4                     | -<br>8<br>4 |  |
| П8-400/35-25<br>П8-350/154                                                         | 350<br>545                             | 204<br>340                             | 53<br>65                         | 224<br>414                                    | 12<br>15                         | <b>4</b> 0<br><b>7</b> 0         | 20<br>30                               | 8<br>14                               | 170<br>320                             | 8<br>8<br>8           | 8           |  |

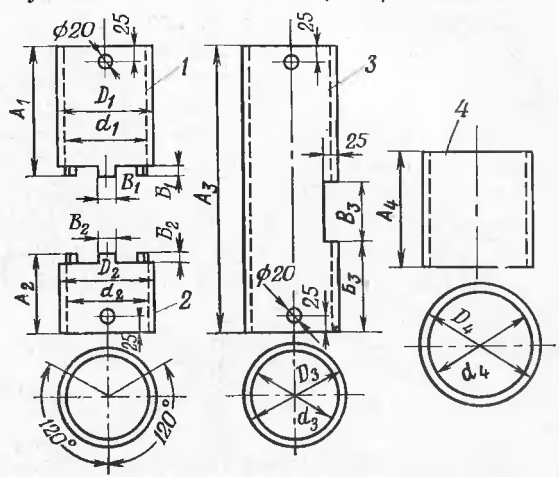


Рис. 9-7. Бумажно-бакелитовые цилиндры переключающих устройств Пб.

| Тип пере-<br>ключаю-<br>щего<br>устройства | Номера цилиндров для переключающих устройств ПБВ типа П6<br>и их размеры, мм |                |              |                 |                |                     |                |            |          |          |  |
|--------------------------------------------|------------------------------------------------------------------------------|----------------|--------------|-----------------|----------------|---------------------|----------------|------------|----------|----------|--|
|                                            |                                                                              |                | 1            | Ĭ.              |                | 2                   |                |            |          |          |  |
|                                            | $D_1$                                                                        | d <sub>1</sub> | A1           | $\mathcal{B}_1$ | B <sub>1</sub> | D <sub>2</sub>      | d <sub>2</sub> | $A_2$      | Б2       | $B_2$    |  |
| П6-100/35                                  | 115<br>160                                                                   | 105<br>150     | . 145<br>173 | 15<br>15        | 25<br>35       | 115<br>160          | 105<br>150     | 145<br>173 | 15<br>15 | 25<br>35 |  |
| П6-300/35                                  | 160<br>170                                                                   | 150<br>160     | 343<br>206   | 15<br>15        | 35<br>35       | 160<br>170          | 150<br>160     | 173<br>206 | 16<br>15 | 35<br>35 |  |
| П6-500/35                                  | <b>17</b> 0                                                                  | 160            | 396          | 15              | 35             | 170                 | 160            | 206        | 15       | 35       |  |
| П6-1000/35                                 | 170<br>205                                                                   | 160<br>195     | 396<br>195   | 15<br>20        | 35<br>50       | 170<br>205          | 160<br>195     | 126<br>195 | 15<br>20 | 35<br>50 |  |
| П6-300/110                                 | 205                                                                          | 195            | 465          | 20              | 50             | 205                 | 195            | 195        | 20       | 50       |  |
| П6-500/110                                 | 225                                                                          | 215            | 526          | 20              | <b>5</b> 0     | 225                 | 215            | 190        | 20       | 50       |  |
| Тип пере-                                  | Ho                                                                           | омера ц        | илиндро      | в для           |                | очающих<br>меры, ма |                | тв ПБВ     | в типа   | Π6       |  |
| щего<br>устройства                         |                                                                              | 11             | 3            | 1,              |                | 4                   |                |            |          |          |  |
| ,                                          | $D_8$                                                                        | d <sub>8</sub> | A            | 3               | Ба             | B <sub>3</sub>      | D <sub>4</sub> | $d_4$      |          | Aa       |  |

 **7**2 **7**2

 $\Pi6-100/35$ 

 $\Pi6-300/35$ 

П6-500/35 П6-1000/35

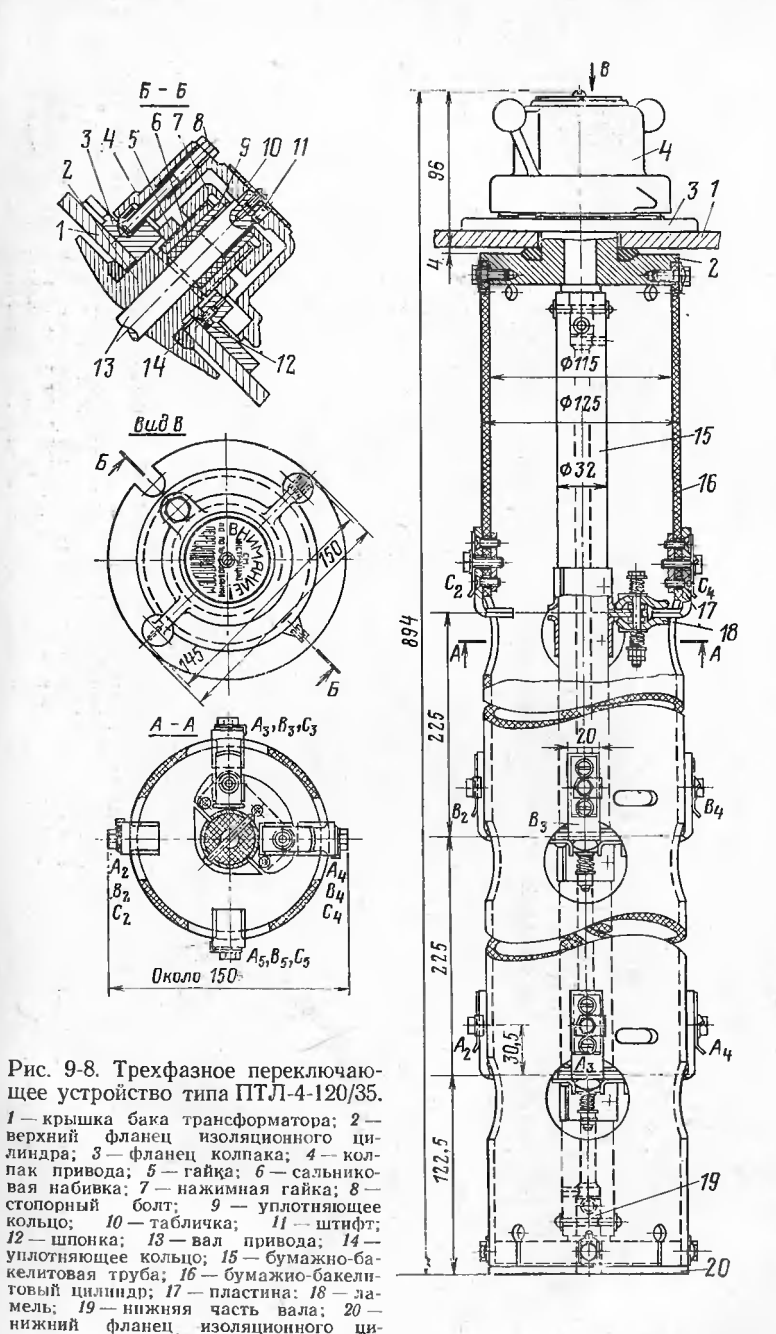
П6-300/110 П6-500/110 не 6, а 8 контактных стержней; соответственно этому и максимальное число положений — семь.

Интангу 5 привода для переключателя ответвлений 110 кВ (см. рис. 11-11) выполняют комбинированной, состоящей из деревянного стержня и бумажно-бакелитовой трубки, или изготовляют из двух бумажно-бакелитовых трубок. Стержень и трубку или две трубки соединяют между собой бумажно-бакелитовой муфтой и текстолитовыми шпильками. Штанга для устройств 35 кВ выполняется или из дерева в виде четырехгранного бруска, или из бумажно-бакелитовой трубки диаметром 50 мм.

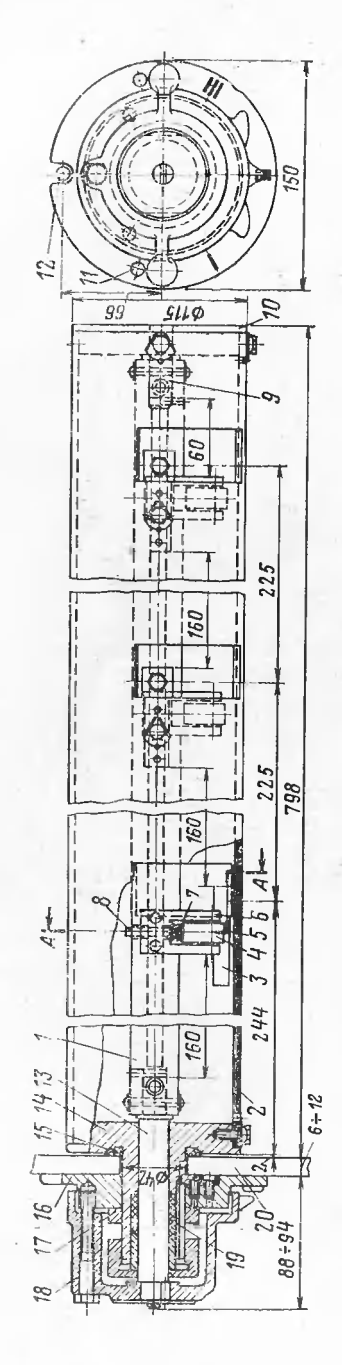
Конструкции и размеры бумажно-бакелитовых цилиндров некоторых наиболее распространенных переключающих устройств типа П6 приведены на рис. 9-7.

# 9-5. ТРЕХФАЗНЫЕ ПЕРЕКЛЮЧАЮЩИЕ УСТРОЙСТВА ПБВ

На мощных высоковольтных трехфазных трансформаторах для переключения ответвлений обмоток применяются однофазные устройства типа Пб. Лишь при напряжении 35 кВ и ниже и при сравнительно небольших рабочих токах можно использовать не три однофазных, а одно трехфазное переключающее устройство. Принципиально последние бывают двух конструкций. Одни представляют собой собранные в единый блок три одинаковые сборки, каждая из которых работает как самостоятельное однофазное устройство (рис. 9-5,а). Таковы переключающие устройства ПТЛ-4-120/35 (рис. 9-8), ПСС-4-120/35×3 (рис. 9-9), а также с дистанционным управлением серии НТ (на рис. 9-10 показано устройство HT-5-625/10, а на рис. 9-11 — HT-4×2-625/35). Все три фазы между собой изолированы, между ними выдержаны соответственно классу напряжения необходимые изоляционные расстояния. Поэтому эти устройства имеют вытянутую форму. Основой, на которой закреплены все неподвижные детали, является, как правило, бумажно-бакелитовый цилиндр. Длинный вал, на котором собраны подвижные детали, - это также изоляционная конструкция, бумажно-бакелитовая труба. В каждом положении ламельный или сегментный полвижный контакт соединяет два соседних неподвижных контакта. Все три фазы такого переключающего устройства работают синхронно.



лиидра.



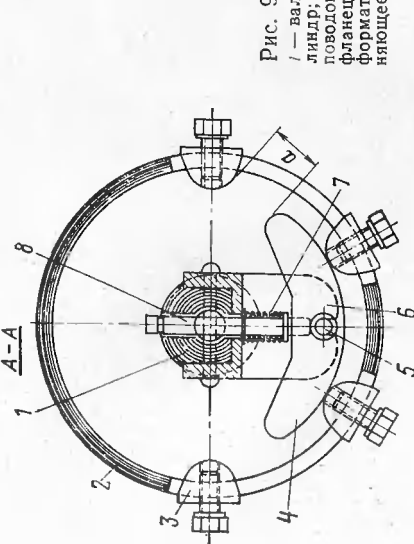
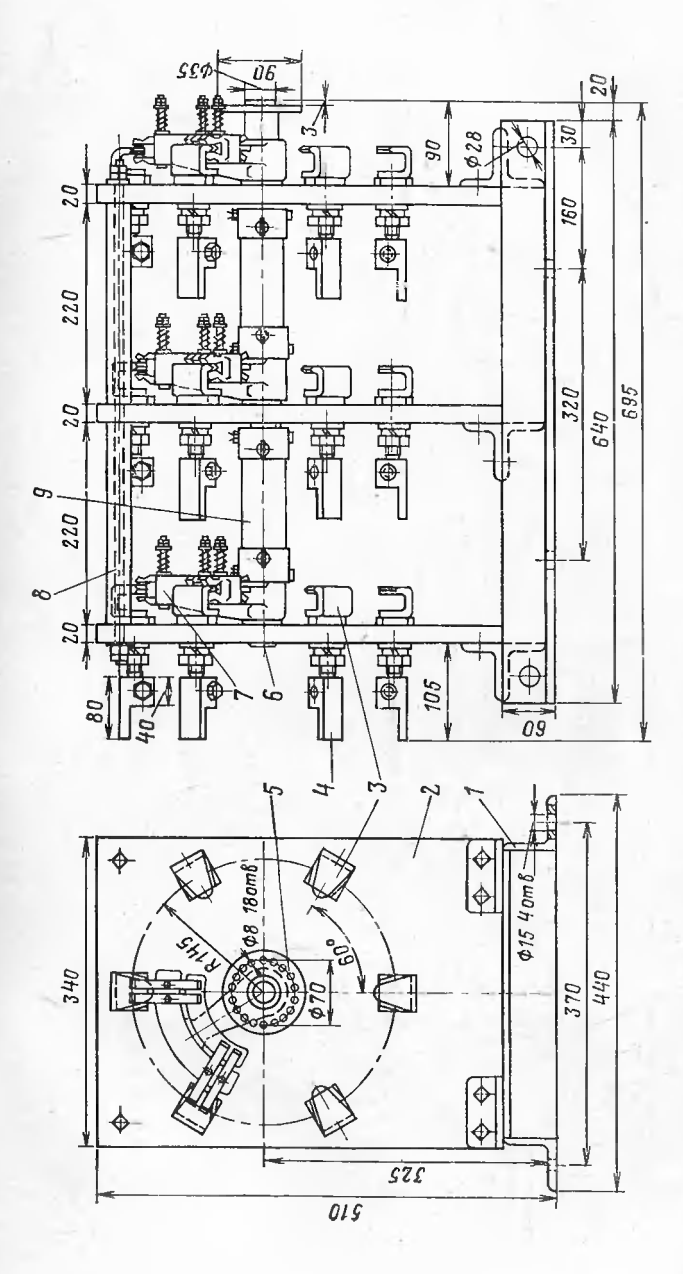
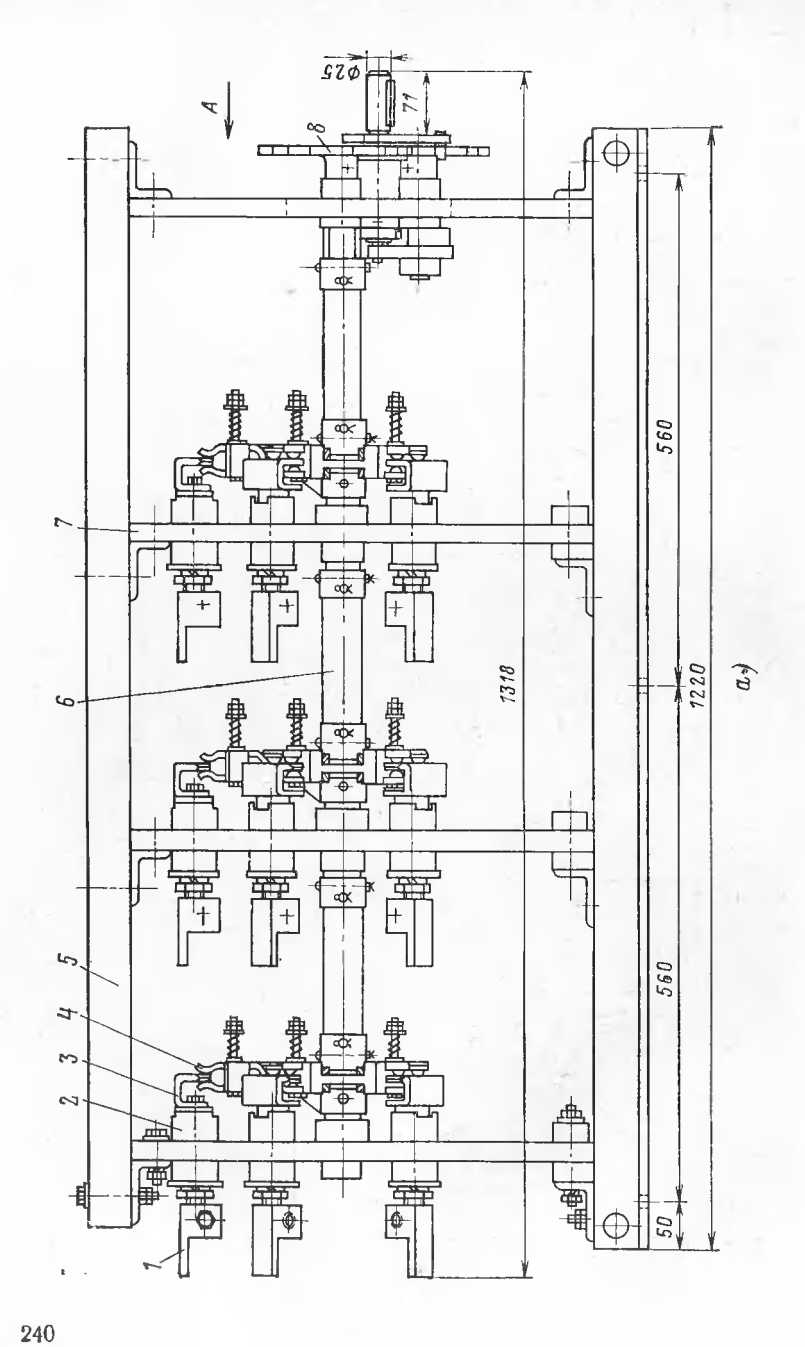
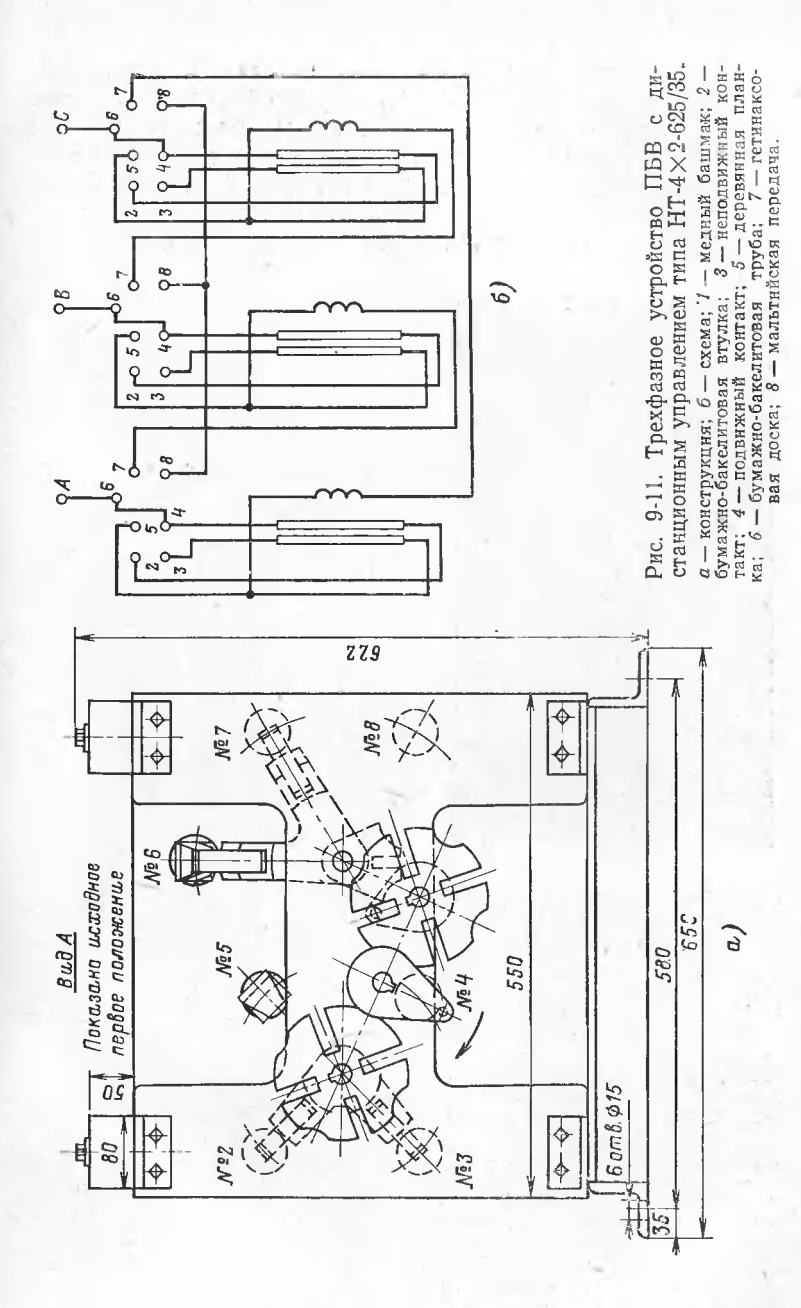


Рис. 9-9. Трехфазное переключающее устройство типа ПСС-4-120/35 X3. линдр; 3 — неподвижный контакт; 4 — контактный сегмент; 5 — ось сегментз; 6 поводок; 7 — пружнна; 8 — ось пружниы; 9 — инжинй конец вала; 10 — нижинй 12 - центрирующая шпилька на крышке траис-18 — колпак переключателя; форматора, *13* — верхиий конец вала; *14* — верхиий фланец цилипдэ; *15* — уплот-няющее кольцо, *16* — фланец колпака; *17* — гайка; *18* — колпак переключателя; привода (бумажно-бакелитовая труба); 2 — бумажно-бакелитовый трансформатора. 19 — сальниковая набивка; 20 — крышка фланец цилиидра; 11 — стопор; - Ban



4- медный башмак; 5- нониусная муфта; 6- вал из трех  $14/26\,$  мм; 9- бумажно-бакелитовая труба  $120/50\,$  мм. Рис. 9-10. Трехфазное переключающее устройство ПБВ с дистанционным управлением типа НТ-5-625/10. I — рама; 2 — гетинаксовая поска; 3 — иеподвижный контакт; 9 — бумажно-бакелитовая труба





Другая конструкция — это так называемые трехфазные «нулевые» переключающие устройства. В каждом положении подвижный элемент замыкает между собой три неподвижных контакта, соединенных с одноименными ответвлениями обмоток трех фаз (см. рис. 9-3 и 9-5,6). Таким образом, коэффициент трансформации изменяется за счет перемещения нуля звезды. К таким

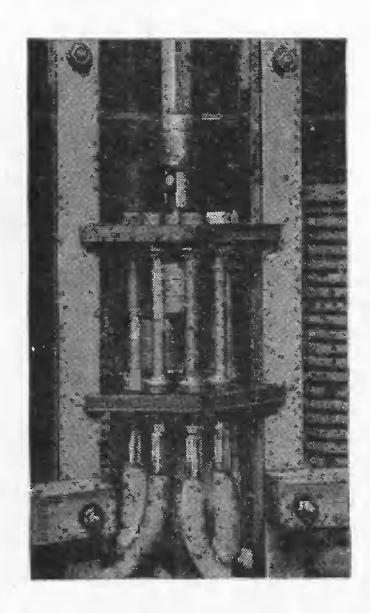
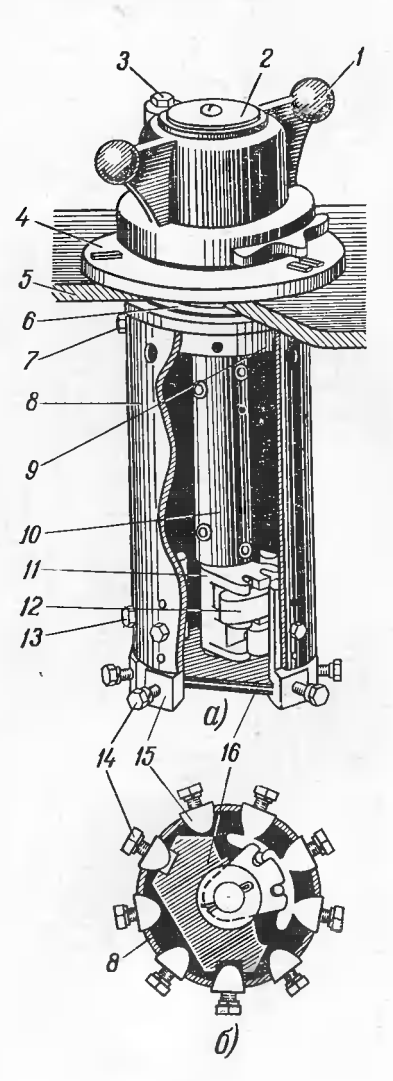


Рис. 9-12. Трехфазное нулевое устройство ПБВ типа ПТУ-9-350/11.

Рис. 9-13. Трехфазное нулевое устройство ПБВ типа ТПСУ-9-120/10.

а—общий вид переключателя; б— вид синзу; I— колпак привода; 2— дюралюминиевая табличка; 3— стопорный болт; 4— фланец колпака; 5— крышка бака трансформатора; 6— резиновое уплотняющее кольцо; 7— болт с замковой шайбой; 8— бумажно-бакелитовай цилиндр Ø 95/105×194 мм; 9— фланец цилиндра; I0— изоляционная часть вала (бумажно-бакелитовая труба); I1— коленчатый вал; I2— контактный сегмент; I3—болт с пружиний шайбой; I4— контактный болт; I5— неподвижный контакт; I6— гет; I5— неподвижный контакт; I6— гет; наксовая центрирующая пластина.



устройствам относятся устройства ПТУ-9-350/11 (рис. 9-12), ТПСУ-9-120/10 (рис. 9-13), 30-50/35-20 и некоторые другие. Все они имеют по девять зажимов, к которым присоединяются по три ответвления от каждой фазы обмотки, а устройство ТПУ-5-50/35 имеет 15 зажимов — по пять ответвлений от каждой фазы (рис. 9-14).

Все вышеназванные переключающие устройства выпускаются и устанавливаются на трансформаторы Мо-

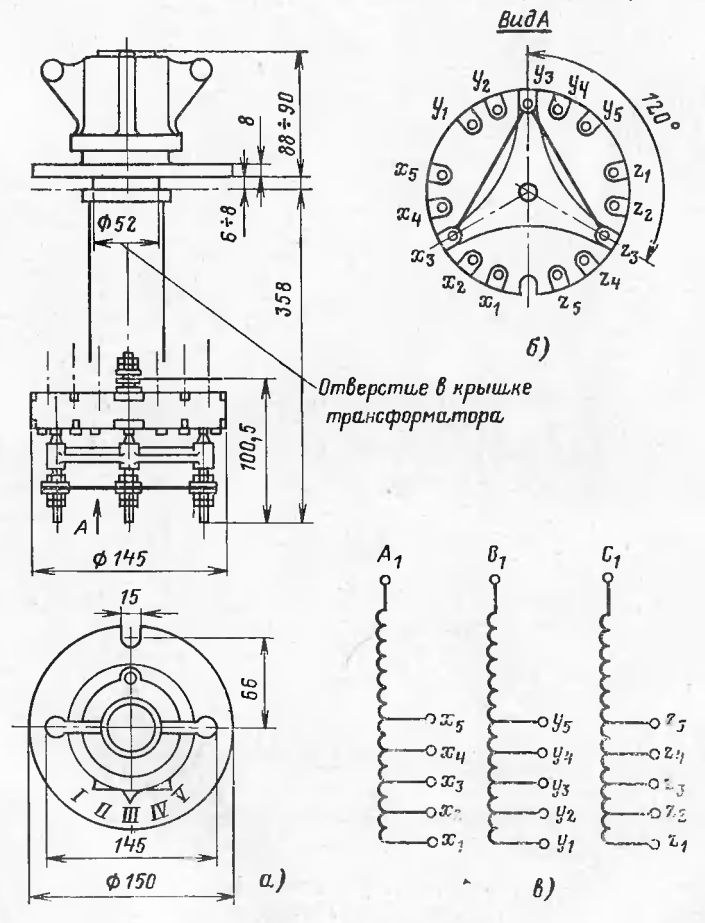


Рис. 9-14. Трехфазное нулевое устройство ПБВ типа ТПУ-5-50/35.

243

a — конструкция;  $\delta$  — расположение контактов; s — схема обмотки. 16\*

1100011

сковским электрозаводом имени В. В. Куйбышева. Есть также устройства ПБВ, разработанные Запорожским трансформаторным заводом. Они в принципе подобны рассмотренным, только несколько отличаются параметрами и размерами. Среди трехфазных переключающих устройств распространены устройства с ламельными

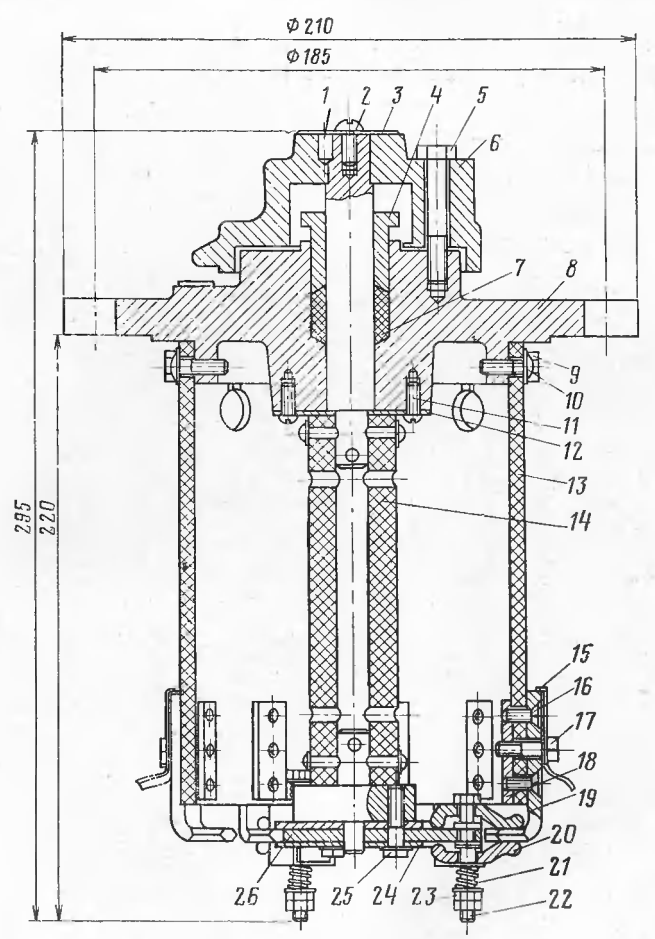


Рис. 9-15. Трехфазное нулевое устройство ПБВ типа ПТЛ-9-120/11 I— штифт; 2— винт; 3— табличка с надписью; 4— гайка сальника; 5— стопорный болт; 6— коллак; 7— сальниковая набивка; 8— крышка; 9— болт; 10— стопорная найба; 11— винт; 12— кольце; 13— изоляционный цилинчр 14— вал; 15— пластина; 16— внит; 17— болт; 18— пластина; 19— контакт, 20— ламель; 21— пружина; 22— специальный болт; 23— гайка; 24— поводок, 25— болт; 26— контактная пластина.

контактами типа ПТЛ, причем одни из них имеют конструкцию, состоящую из трех однофазных переключателей, а другие — «нулевые».

Характеристики некоторых переключающих устройств

ЗТЗ типа ПТЛ приведены в табл. 9-5.

Таблица 9-5 Трехфазные переключатели ПБВ конструкции ЗТЗ

|                      |                         | Ä,                       | же-                               |                                |                                     |           | Габариты, мм |              |
|----------------------|-------------------------|--------------------------|-----------------------------------|--------------------------------|-------------------------------------|-----------|--------------|--------------|
| Тип<br>переключателя | Количество<br>положений | Номинальный рабочий ток, | Класс напряже-<br>ния обмоток, кВ | Заводской чертеж переключателя | Конструк-<br>ция пере-<br>ключателя | Масса, кг | длина        | диа-<br>метр |
| ПДТЛ-6-10/400        | 5                       | 400                      | 10                                | 6BB.209.367                    | 3 однофаз-<br>ных                   | 11,4      | <b>7</b> 55  | 167          |
| ПТЛ-4-100/35         | 3                       | 100                      | 35                                | 6BB.209.256                    | То же                               | 10,0      | 766          | 150          |
| ПТЛ-6-35/200         | 5                       | 200                      | 35                                | 6BB.209.343                    |                                     | 10,6      | 1039         | 160          |
| ПТЛУ-9-120/10        | 3                       | 120                      | 10                                | 6BE:209.272                    | Нулевой                             | 5,2       | 300          | 150          |
| ПТЛ-9-120/11         | 3                       | 120                      | 11                                | 6BB.209.241                    | ,,,                                 | -         | 295          | 210          |
| ПТЛ-9-120/35         | 3                       | 120                      | 35                                | 6BE.209.339                    |                                     | 4,9       | 360          | 210          |

Нулевое устройство типа ПТЛ-9-120/11 представлено на рис. 9-15.

## 9-6. ОБЩИЕ СВЕДЕНИЯ О ПЕРЕКЛЮЧАЮЩИХ УСТРОЙСТВАХ РПН

Переключающие устройства РПН, позволяющие регулировать напряжение трансформатора без снижения нагрузки и отключения его от сети, — это дальнейший шаг по пути совершенствования трансформаторов.

В Советском Союзе такие трансформаторы выпускаются с 1935 г., и доля этих трансформаторов в общем объеме продукции трансформаторных заводов непрерывно возрастает. Разработаны и постоянно улучшаются переключающие устройства на номинальные напряжения 10, 35 и 110 кВ. Устанавливаются на отечественные трансформаторы и болгарские переключатели типа РС-3, изготавливаемые Софийским заводом «Васил Коларов». Уже в ближайшие годы почти все мощные трансформаторы 110, 220, 330 и 500 кВ будут выпускаться с регулированием напряжения под нагрузкой. Например, сейчас Запорожский трансформаторый завод выпускает автотрансформаторы типа АОДЦТН-267000/500 с номинальным напряжением на стороне СН 230 //3 ± (8×1,4%) кВ.

нальным напряжением на стороне СН  $\frac{1}{\sqrt{3}} \pm (0 \times 1,4 \%)$  кв. Сейчас устройства РПН выпускаются по заве

Сейчас устройства РПН выпускаются по заводским нормалям. ГОСТ 17500-72 устанавливает ряды номинальных токов, а также рекомендуемое число ступеней, номинальные напряжения ступеней, схемы соединения

фаз в трехфазных переключающих устройствах и уровии

испытательных напряжений.

Все устройства РПН имеют принципиально одинаковое строение. Весь диапазон регулирования разбивается на несколько поддиапазонов, переключением которых осуществляется грубое регулирование. Внутри каждого

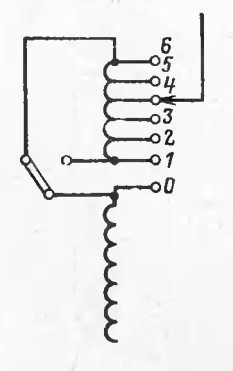


Рис. 9-16. Схема регулирования напряжения с реверсированием.

0-6 — регулировочные

поддиапазона переключаются ветвления, чем достигается тонкое

регулирование напряжения.

Переключатель поддиапазонов переключающих **устройствах** разных типов носит название предызбиратель (предызбиратель ответвлений). Часто последний называют реверсором, если в качестве способа грубого регулирования применяется реверсирование регулировочной обмотки (рис. 9-16). В некоторых переключающих устройствах этого элемента нет совсем (PHT-9, PHO-9, PHT-13 и PHO-13). Переключатель ответвлений называется избирателем ответвлений (избирателем). Это основной элемент любого устройства РПН.

В переключающих устройствах с большим номинальным током (400 А и выше) для изменения или отключения тока в цепях контактов избирателя применяются

контакторы.

В момент размыкания контактов при разрыве токовой цепи возникающая электрическая дуга должна немедленно гаситься. Дуга гасится тем успешней, чем меньше разрываемый ток. Для ограничения тока замыкания ступени применяются токоограничивающие сопротивления.

В отечественных и зарубежных переключающих устройствах распространены два вида токоограничивающих сопротивлений: индуктивное-токоограничивающий реактор и активное (резисторное) — токоограничивающие резисторы.

Прежде в Советском Союзе изготавливались только устройства с токоограничивающими переключающие реакторами, разработанные Московским электрозаводом

имени В. В. Куйбышева. Их выпускают и некоторые зарубежные фирмы.

Переключающие устройства с резисторами находят широкое применение у большинства фирм европей-

ских стран.

Запорожский трансформаторный завод уже более 10 лет изготовляет такие переключающие устройства, разработанные Всесоюзным институтом трансформаторо-

строения (§ 9-8).

Для управления работой всех элементов переключающего устройства служит приводной механизм. У большинства трансформаторов привод может осуществляться с помощью электродвигателя или вручную специальной рукояткой.

### 9-7. ПРИНЦИП ДЕЙСТВИЯ И КОНСТРУКЦИИ УСТРОЙСТВ РПН СЕРИЙ РНТ И РНО

Устройства РПН с токоограничивающими реакторами применяются всеми трансформаторными заводами Советского Союза, выпускающими трансформаторы средней и большой мощности, а также электроремонтными предприятиями, выполняющими модернизацию трансформаторов с установкой устройств РПН.

Принципиально возможны две схемы включения токоограничивающего реактора: симметричная и несимметричная (одноплечная) схемы. Применение последней ограничивается строго определенными условиями, при которых она эффективна: направлением мощности через трансформатор, ее небольшим значением, значением соя ф в системе вообще и через реактор в частности.

В переключающих устройствах Московского электрозавода имени В. В. Куйбышева применяется включение

реактора по симметричной схеме.

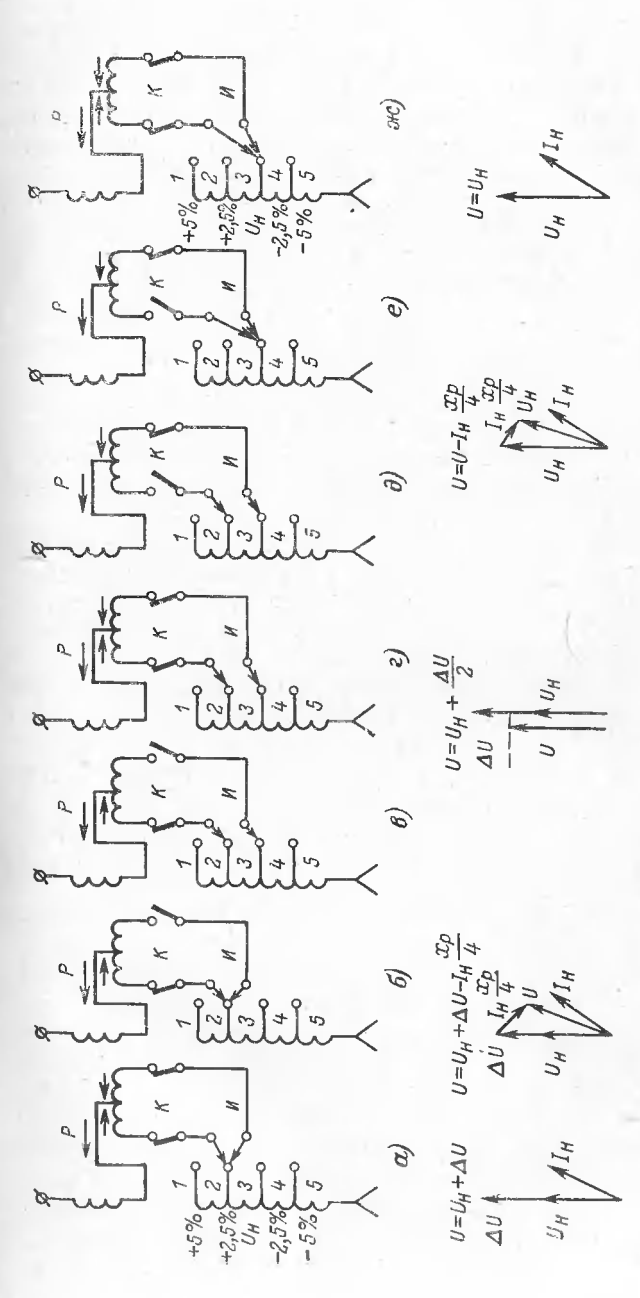
На рис. 9-17 показана работа токоограничивающего реактора, а также избирателя и контактора одного из переключающих устройств, имеющего пять ступеней ре-

гулирования напряжения.

При переключении напряжения с любой ступени на соседнюю оно изменяется на  $\Delta U$  и работа всех элементов переключающего устройства во всех случаях одинакова. Пусть трансформатор работает длительно на вто-

рой ступени регулирования. Оба контакта избирателя соединены со вторым ответвлением регулировочной обмотки, а обе пары контактов контактора замкнуты (рис. 9-17,а). Рабочий ток обмотки разветвляется на дверавные части, которые идут по двум симметричным плечам реактора навстречу друг другу, компенсируя индуктивные составляющие сопротивления его плеч. Дополнительные потери мощности в токоограничивающем реакторе имеют место лишь за счет его активного со-

противления, которое весьма незначительно. Для того чтобы переключить трансформатор на третье ответвление, необходимо прежде всего разомкнуть правые контакты контактора  $\hat{K}$  (рис. 9-17, $\delta$ ). Здесь в это мгновение и возникает электрическая дуга. Время горения дуги, зависящее от индуктивности реактора, обычно не превышает 0,10-0,12 с (это предельно допустимое время, которое закладывают в расчет при проектировании токоограничивающих реакторов). За указанное время токоограничивающий реактор не перегревается, а контакты контактора, находящиеся в масле в отдельном бачке, не обгорают. После погасания дуги и разрыва цепи правого плеча реактора рабочий ток трансформатора проходит только по левому плечу; этот момент и зафиксирован на рис. 9-17,6, а под ним приведена векторная диаграмма, показывающая, как влияет индуктивная составляющая левого плеча токоограничивающего реактора на напряжение обмотки в этот момент. Теперь нижние контакты избирателя H обесточены и подвижный контакт переходит со второго на третье ответвление регулировочной обмотки (рис. 9-17.8). Правые контакты контактора замыкаются. Момент замыкания также сопровождается электрической дугой, менее продолжительной, чем при размыкании контактов. Установившийся режим (рис. 9-17,г) уже не симметричен, поскольку токи, проходящие через плечи реактора, не равны. Это самый тяжелый рабочий режим реактора. По индуктивной составляющей разности токов в плечах и считают сопротивление токоограничивающего реактора. Благодаря этому трансформатор может длительно работать в этом положении и для привода переключающих устройств с токоограничивающими реакторами не требуется специальных быстродействующих механизмов. В этом причина высокой надежности переключающих устройств такого типа.



Рпс. 9-17, Последовательность работы избирателя и контактора при переходе со 2-й ступени регулирования на 3-ю и векторные диаграммы соответствующих положений.

a — неходное положение на 2-й ступеви; b — правый контакт контактора разомкнут; b — нижний контакт изbнратcля переходит на 3-ю ступень; е правый контакт контактора замыкается, секция 2-3 замкнута на реактор; д - левый контакт контактора размыкается; е — верхний контакт избирателя переходит на 3-ю ступень; ж — левый контакт контактора замыкается.

Дальше все происходит аналогично описанному, Размыкаются левые контакты контактора K, левое плечо реактора гасит образующуюся при этом дугу, а правое плечо в установившемся режиме несет всю токовую нагрузку трансформатора (рис. 9-17,д); обесточенный верхний контакт избирателя И переходит со регулировочной обмотки ответвления на третье ответвления регулировочной обмотки на гретье (рис. 9-17,е), после чего левые контакты контактора замыкаются, приводя схему в исходное положение, при котором трансформатор работает на третьем ответвлении (рис. 9-17,ж), и через токоограничивающий реактор идет уже измененный рабочий ток соответственно изменившемуся напряжению на значение одной ступени регулирования. Промежуточное положение симметричной токоограничивающего реактора включения (рис. 9-17,2) называется положением моста. Разность тока между плечами называется циркулируюшим током.

По такой схеме работают все переключающие устройства с токоограничивающими реакторами Московского электрозавода имени В. В. Куйбышева. Но в зависимости от трансформаторов, на которых они устанавливаются, они рассчитаны на разные параметры работы, поэтому они имеют конструктивные различия. Переключающие устройства с токоограничивающими реакторами служат для регулирования напряжения в нейтральной точке трансформаторов и автотрансформаторов и имеют изоляцию классов 10 и 35 кВ.

Характеристики переключающих устройств РПН Московского электрозавода имени В. В. Куйбышева

приведены в табл. 9-6.

Наиболее распространенные типы переключающих устройств — это PHT-13, PHT-18, PHT-20 и PHT-24.

Рассмотрим самое простое переключающее устройство РНТ-9 (рис. 9-18). Оно рассчитано на небольшой ток, поэтому оключаемая мощность невелика и устройство не имеет отдельного контактора, а представляет собой избиратель-контактор, расположенный в отдельном бачке с маслом. Его корпусом является бумажно-бакелитовый цилиндр 3. На его внутренней поверхности расположены неподвижные контакты 4 — по девять парных контактов на каждую фазу. Каждый неподвижный контакт имеет выводную клемму, к которой присоединяется соответствующий регулировочный отвод (клеммы

 $\Lambda_7$ ,  $B_7$  и  $C_7$ ). Кроме этих клемм, имеются по две нулевые клеммы на каждую фазу ( $A_{42}$ ,  $A_{13}$  и т. д.), соединенные между собой и с нулевой точкой обмотки трансформатора. Нулевые клеммы идут от отводящих контактов 9, прикрепленных двумя заклепками каждый к латунным контактным шайбам 7. Цилиндр с двух сторон закрыт стальными фланцами: верхним 2 и нижним 10. В фланцы впрессованы подшипники (в нижний радиальный, а в верхний — радиально-упорный), в которых вращается приводной вал, изготовленный из бумажно-бакелитовой трубки или стальной, изолированный насаженными

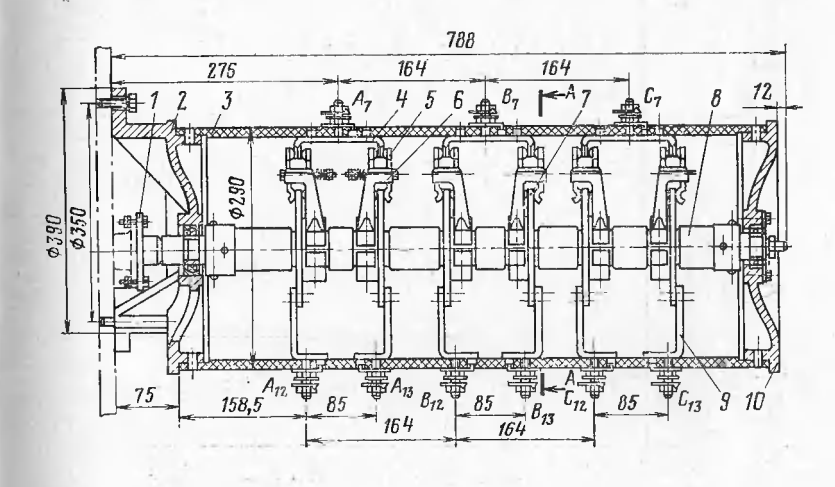
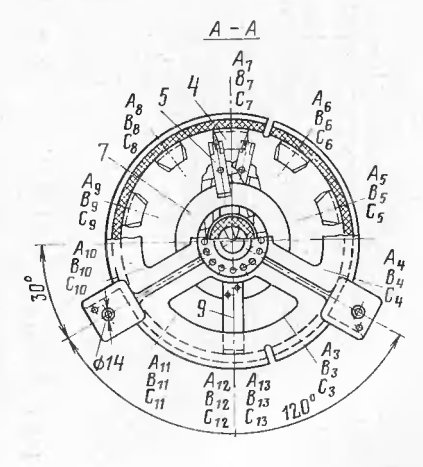


Рис. 9-18. Трехфазный контактор-избиратель устройства РПН типа РНТ-9-150/10.

І — нониусная муфта; 2 — верхний фланец; 3 — нзоляционный бумажис-бакелитовый цнлиндр; 4 — неподвижный отводящий контакт; 5 — подвижный отводящий контакт; 6 — держатель подвижного контакта; 7 — контактная шайба; 8 — изоляционная втулка, насаженная на вал; 9 — отводящий контакт; 10 — нижний фланец.



Перек почающие устройства РПН с токоограничивающими пеакторами

| Переключающее устройство | устройство                 |              |                         | Номиналь-                  | Класс на-                  | Избиратель       | атель                |
|--------------------------|----------------------------|--------------|-------------------------|----------------------------|----------------------------|------------------|----------------------|
| Тип                      | Номер чертежа<br>установки | Число<br>фаз | Количество<br>положений | ный рабо-<br>чий ток,<br>А | пряжения<br>обмоток,<br>кВ | Тип              | Номер чертежа        |
| PHO-9-150/10             | B5-142665                  | -            | 6                       | 150                        | 10                         | PHO-9-150/10     | B5-142661 rp1        |
| PHO-9-150/10T            | 6ET.736.037                |              | 6                       | 150                        | 10                         | То же            | То же                |
| PHT-9-150/10             | B5-138204 rp1              | က            | 6                       | 150                        | 10                         | PHT-9-150/10     | <b>D5-136654</b> rp1 |
| PHT-9-150/10T            | 6BT.736.047                | က            | 0                       | 150                        | 10                         | Тоже             | To we                |
| PHT-9-150/35             | B5-186666 rp1              | က            | 6                       | 150                        | 35                         | PHT-9-150/35     | 55-131176 rpl        |
| PHO-13-625/10            | B5-143006 rp1              |              | 17                      | 625                        | 29                         | PHO-13-635/10    | D5-142965 rp1        |
|                          | EE 143000 rp2              | - <b>-</b>   | 710                     | 070                        | 200                        | 10 же            | - 10 WC              |
| PHO-13-1200/10           | E5-144069                  | 4            | 0                       | 1200                       | 01                         | PHO-13-1200/10   | B5-144062 rpl        |
|                          | 65T,736,031                | -            | , O                     | 1200                       | 10                         | То же            | То же                |
| PHT-13-625/35            | 6BT.736.027                | co           | 6                       | 300                        | 35                         | PHT-13-625/35    | B5-47794             |
|                          | B5-113019 rp3              | က            | 0                       | 300                        | 35                         | То же            | То же                |
|                          | E5-113019 rp4              | ന            | 6                       | 625                        | 32                         | R                | 20 20                |
|                          | E5-113019 rp5              | က            | 17                      | 625                        | 32                         | )<br>)<br>)<br>) | 202                  |
| PHT-13-625/35/110        | E5-113019 rp1              | က            | o (                     | 300                        | 110*                       | PHT-13-625/110   | 35-6698 rp1          |
|                          | 55-113019 rp2              | n (          | o (                     | 300                        | 110                        | To жe            | IO We                |
| PHT-13A-625/35/110       | 65-154976                  | ro -         | ກຸ                      | 625                        | 110                        | PHI-13A625/110   | 30-0090 Lpz          |
| PHO-17-625/35            | 651.736.071                | (            | 46                      | 625                        | က္မ                        | PUO-17-023/33    | C0-94540             |
| PHTP-17-625/35           | E5-168072 rp1              | n (          | 49                      | 625                        | 22                         | PHIP-1/-625/35   | 35-8/62              |
| PHT-18-1200/35           | E5-133184 rp1              | n c          | 222                     | 002                        | χ.<br>υ.                   | FHI-18-1200/35   | To 22220 rps         |
|                          | 651.736.018                | n (          | 7.7.                    | 1200                       | S (                        | Io Ke            | IO We                |
| PHT-19-625/35**          | 55-123873 rp1              | n            | 23                      | 625                        | 35                         | PHT-19-625/35    | P5-1216/2 rp1        |
|                          |                            |              |                         |                            |                            |                  |                      |
|                          |                            |              |                         |                            |                            |                  |                      |
|                          |                            |              |                         |                            |                            |                  |                      |

| Переключающее устройство      | устройство                            | Конт                   | Контактор                 |                      | Привод                   |
|-------------------------------|---------------------------------------|------------------------|---------------------------|----------------------|--------------------------|
| Тип                           | Номер чертежа<br>установки            | Тип                    | Номер чертежа             | Тнп                  | Номер чертежа.           |
| PHO-9-150/10                  | D5-142665                             | 1                      | ſ                         | MA-2'9               | Б5-176805 гр2            |
| PHO-9-150/10T                 | 6BT.736.037                           |                        |                           | MA-2/9               | То же                    |
| PHT-9-150/10<br>PHT-9-150/10T | B5-138204 rp1 6BT.736.047             | 1                      | 1 -                       | MA-2/9<br>MA-2/9     | B5-176805 rpf<br>To жe   |
| PHT-9-150/35                  | B5-186666 rp1                         | 1                      | I                         | MA-2/9               | B5-176805 rp1            |
| PHO-13-625/10                 | 55-143006 rp1<br>55-143006 rp2        | РНО-13-625/10<br>То же | Б5-143622 гр1<br>То же    | MAK-1/17<br>MAK-1/17 | 755-175100 rp11<br>To we |
|                               | po-145000 rps                         | 22 22                  | *                         | 1414-1/3             | " " rp2                  |
| PHO-13-1200/10                | <b>B5-144069</b> 6 <b>BT</b> .736.031 | РНО-13-625/10<br>То же | Б5-143622 гр1<br>То же    | MA-1/9<br>To жe      | 55-175100 rp2<br>  To же |
| PHT-13-625/35                 | 6BT,736.027                           | PHT-13-625/35          | 3-12472                   | MA-1/9               | 95-12847                 |
|                               | Б5-113019 гр3                         | То же                  | E5-48000 rp3              | То же                | E5-175100 rp2            |
|                               | E5-113019 rp4                         | 22 22                  | То же гр4                 | M A-1 17             | То же                    |
|                               | D2-115019 IPO                         | * # #                  | E I                       | MA 1 /0              | " " I'JI                 |
| PH1-13-625/35/110             | D5-113019 rp1<br>D5-113019 rp2        | Fn1-15-625/35<br>To жe | To we rp3                 | To we                | Do-1/5100 rpz            |
| PHT-13A-625/35/110            | B5-154976                             | PHT-13-625/35          | B5-48000 rp4              | MA-1/9               | B5-175100 rp2            |
| PHO-17-625/35                 | 657.736.071<br>E5_168079 rn1          | PHO-20                 | B5-184300<br>B5-85750 mm1 | MA-1/49              | E5-175100 rp6            |
| PHT-18-1200/35                | E5-133184 rp1                         | PHT-18                 | 55-1368 ro2               | MII-4/22             | 10 жe<br>55-1366 rp2     |
|                               | 65T.736.018                           | То же                  | То же                     | То же                | Тоже                     |
| PHT-19-625/35**               | Б5-123873 гр1                         | PHT-18                 | Б5-1368 гр3               | MПК-4/23             | 55-1366 rp4              |
| 253                           |                                       |                        |                           |                      |                          |

|                               | The state of the s | ABIUMAINSCHOO Supamenne | oc ynpassicanc         |                                      |                                     |                                        |
|-------------------------------|--------------------------------------------------------------------------------------------------------------------------------------------------------------------------------------------------------------------------------------------------------------------------------------------------------------------------------------------------------------------------------------------------------------------------------------------------------------------------------------------------------------------------------------------------------------------------------------------------------------------------------------------------------------------------------------------------------------------------------------------------------------------------------------------------------------------------------------------------------------------------------------------------------------------------------------------------------------------------------------------------------------------------------------------------------------------------------------------------------------------------------------------------------------------------------------------------------------------------------------------------------------------------------------------------------------------------------------------------------------------------------------------------------------------------------------------------------------------------------------------------------------------------------------------------------------------------------------------------------------------------------------------------------------------------------------------------------------------------------------------------------------------------------------------------------------------------------------------------------------------------------------------------------------------------------------------------------------------------------------------------------------------------------------------------------------------------------------------------------------------------------|-------------------------|------------------------|--------------------------------------|-------------------------------------|----------------------------------------|
| Тип                           | Номер чертежа<br>установки                                                                                                                                                                                                                                                                                                                                                                                                                                                                                                                                                                                                                                                                                                                                                                                                                                                                                                                                                                                                                                                                                                                                                                                                                                                                                                                                                                                                                                                                                                                                                                                                                                                                                                                                                                                                                                                                                                                                                                                                                                                                                                     | Тип                     | Номер чертежа          | Номер спецификации<br>чертежей       | лапряжение<br>питания<br>привода, В | гомер схемы<br>приводного<br>механизма |
| PHO-9-10/150                  | B5-142665                                                                                                                                                                                                                                                                                                                                                                                                                                                                                                                                                                                                                                                                                                                                                                                                                                                                                                                                                                                                                                                                                                                                                                                                                                                                                                                                                                                                                                                                                                                                                                                                                                                                                                                                                                                                                                                                                                                                                                                                                                                                                                                      | 1                       | l                      | LY-2144                              | 220/380                             | B5-175537                              |
| PHO-9-150/10T                 | 6ET.736.037                                                                                                                                                                                                                                                                                                                                                                                                                                                                                                                                                                                                                                                                                                                                                                                                                                                                                                                                                                                                                                                                                                                                                                                                                                                                                                                                                                                                                                                                                                                                                                                                                                                                                                                                                                                                                                                                                                                                                                                                                                                                                                                    |                         |                        | 6BT.736.070                          | 220/380                             | OFT.364.052                            |
| PHT-9-150/10<br>PHT-9-150/10T | E5-138204 rp1<br>6ET.736.047                                                                                                                                                                                                                                                                                                                                                                                                                                                                                                                                                                                                                                                                                                                                                                                                                                                                                                                                                                                                                                                                                                                                                                                                                                                                                                                                                                                                                                                                                                                                                                                                                                                                                                                                                                                                                                                                                                                                                                                                                                                                                                   | БАУРПН                  | C5-186189              | FV-2118; FV-2528<br>6BT, 736,068     | 220/380<br>220/380                  | B5-175537<br>OBT.364.052               |
| PHT-9-150/35                  | B5-186666 rp1                                                                                                                                                                                                                                                                                                                                                                                                                                                                                                                                                                                                                                                                                                                                                                                                                                                                                                                                                                                                                                                                                                                                                                                                                                                                                                                                                                                                                                                                                                                                                                                                                                                                                                                                                                                                                                                                                                                                                                                                                                                                                                                  | БАУРПН                  | C5-186189              | ΓV-2529                              | 220/380                             | B5-175537                              |
| PHO-13-625/10                 | B5-143006 rp1                                                                                                                                                                                                                                                                                                                                                                                                                                                                                                                                                                                                                                                                                                                                                                                                                                                                                                                                                                                                                                                                                                                                                                                                                                                                                                                                                                                                                                                                                                                                                                                                                                                                                                                                                                                                                                                                                                                                                                                                                                                                                                                  | I                       | ı                      | Fy-2146                              | 220/380                             | B5-175535                              |
|                               | E5-143006 rp2<br>E5-143006 rp3                                                                                                                                                                                                                                                                                                                                                                                                                                                                                                                                                                                                                                                                                                                                                                                                                                                                                                                                                                                                                                                                                                                                                                                                                                                                                                                                                                                                                                                                                                                                                                                                                                                                                                                                                                                                                                                                                                                                                                                                                                                                                                 |                         |                        | ΓУ-2562<br>ΓУ-2576                   | 220/380<br>220/380                  | B5-175535<br>B5-175535                 |
| PHO-13-1200/10                | B5-144069                                                                                                                                                                                                                                                                                                                                                                                                                                                                                                                                                                                                                                                                                                                                                                                                                                                                                                                                                                                                                                                                                                                                                                                                                                                                                                                                                                                                                                                                                                                                                                                                                                                                                                                                                                                                                                                                                                                                                                                                                                                                                                                      | . 1                     | l                      | FV-2147<br>6FT 736.039               | 220/380                             | B5-175535<br>B5-175535                 |
| 30/ 303 C1 THO                | GET 736 097                                                                                                                                                                                                                                                                                                                                                                                                                                                                                                                                                                                                                                                                                                                                                                                                                                                                                                                                                                                                                                                                                                                                                                                                                                                                                                                                                                                                                                                                                                                                                                                                                                                                                                                                                                                                                                                                                                                                                                                                                                                                                                                    |                         |                        | 6FT.736.028                          | 230/400                             | OBT.764.038                            |
| FIII-13-07/30                 | B5-113019 rn3                                                                                                                                                                                                                                                                                                                                                                                                                                                                                                                                                                                                                                                                                                                                                                                                                                                                                                                                                                                                                                                                                                                                                                                                                                                                                                                                                                                                                                                                                                                                                                                                                                                                                                                                                                                                                                                                                                                                                                                                                                                                                                                  | БАУРПН                  | C5-186189              | ΓV-2522; ΓV-2017                     | 220/380                             | B5-175535                              |
|                               | E5-113019 rp4                                                                                                                                                                                                                                                                                                                                                                                                                                                                                                                                                                                                                                                                                                                                                                                                                                                                                                                                                                                                                                                                                                                                                                                                                                                                                                                                                                                                                                                                                                                                                                                                                                                                                                                                                                                                                                                                                                                                                                                                                                                                                                                  | Тоже                    | C5-189189              | ГУ-2519; ГУ-2018<br>ГУ-1974          | 220/380<br>220/380                  | B5-175535<br>B5-175535                 |
| PHT-13-625/35/110             | E5-113019 rp1<br>E5-113019 rp2                                                                                                                                                                                                                                                                                                                                                                                                                                                                                                                                                                                                                                                                                                                                                                                                                                                                                                                                                                                                                                                                                                                                                                                                                                                                                                                                                                                                                                                                                                                                                                                                                                                                                                                                                                                                                                                                                                                                                                                                                                                                                                 | БАУРПН<br>То же         | C5-186189<br>C5-186189 | ГУ-2520; ГУ-2114<br>ГУ-2521; ГУ-2015 | 220/380<br>220/380                  | B5-175535<br>B5-175535                 |
| PHT-13A-625/35/110            | <b>B5-154976</b>                                                                                                                                                                                                                                                                                                                                                                                                                                                                                                                                                                                                                                                                                                                                                                                                                                                                                                                                                                                                                                                                                                                                                                                                                                                                                                                                                                                                                                                                                                                                                                                                                                                                                                                                                                                                                                                                                                                                                                                                                                                                                                               | БАУРПН                  | C5-186189              | ГУ-2524; ГУ-2155                     | 220/380                             | <u>55-175535</u>                       |
| PHO-17-625/35                 | 65T.736.071<br>E5.168079 ro1                                                                                                                                                                                                                                                                                                                                                                                                                                                                                                                                                                                                                                                                                                                                                                                                                                                                                                                                                                                                                                                                                                                                                                                                                                                                                                                                                                                                                                                                                                                                                                                                                                                                                                                                                                                                                                                                                                                                                                                                                                                                                                   | 1                       | 1                      | 65F.736.071Cn<br>Fy-2279             | 220/380<br>220/380                  | B5-175540<br>B5-175540                 |
| PHT-18-1200/35                | B5-133184 rp1                                                                                                                                                                                                                                                                                                                                                                                                                                                                                                                                                                                                                                                                                                                                                                                                                                                                                                                                                                                                                                                                                                                                                                                                                                                                                                                                                                                                                                                                                                                                                                                                                                                                                                                                                                                                                                                                                                                                                                                                                                                                                                                  | 1                       | 1                      | FV-2084<br>6BT.736.019               | ==220<br>==220                      | C5-80064<br>C5-80064                   |
| PHT-19-625/35**               | E5-123873 rp1                                                                                                                                                                                                                                                                                                                                                                                                                                                                                                                                                                                                                                                                                                                                                                                                                                                                                                                                                                                                                                                                                                                                                                                                                                                                                                                                                                                                                                                                                                                                                                                                                                                                                                                                                                                                                                                                                                                                                                                                                                                                                                                  | l                       | 1                      | ΓV-1994                              | =220                                | B5-122573                              |

| Переключающее устройство                                             | устройство                                             |              | _                          |                            | Класс на-                   | Избиратель                                                           | атель                                                      | ١ |
|----------------------------------------------------------------------|--------------------------------------------------------|--------------|----------------------------|----------------------------|-----------------------------|----------------------------------------------------------------------|------------------------------------------------------------|---|
| Тип                                                                  | Номер чертежа<br>установки                             | Число<br>фаз | Количество                 | ный рабо-<br>чий ток,<br>А | пряжения<br>сбмоток,<br>кВ  | Тип                                                                  | Номер чертежа                                              |   |
| PHT-20-625/35<br>PHT-20A-625/35                                      | Б5-140113 гр1<br>Б5-141946 гр2<br>То же гр1            | ကကက          | 23<br>23<br>23             | 625<br>625<br>625          | 3333                        | PHT-20-625/35<br>PHT-20A-625/35<br>To жe                             | Б5-138800 гр1<br>Б5-141967 гр1<br>То же                    |   |
| PHO-20A-625/35<br>PHT-20B-625/35<br>PHT-20F-625/35<br>PHT-20F-625/35 | B5-184763<br>6BT.736.015<br>6BT.736.061<br>6BT.736.059 | 0000         | 23<br>22<br>22<br>22<br>22 | 625<br>625<br>625<br>625   | ល្អ<br>លំលំលំលំ<br>លំលំលំលំ | PHO-20A-625/35<br>PHT-20B-625/35<br>PHT-20B-625/35<br>PHT-20I-625/35 | B5-172440 rp1<br>6BT.209.025<br>6BT.209.029<br>6BT.209.031 |   |
| PHO-21-625/35<br>PHT-21-625/35                                       | b5-139506 rp1<br>b5-148229<br>6bT.736.093              | -000         | 23<br>23                   | 625<br>300<br>300          | 3333                        | PHO-19-625/35<br>PHT-19-625/35<br>To жe                              | Б5-138080 гр1<br>Б5-121672<br>То же                        |   |
| PHO-22-625/35                                                        | B5-157566 rp1                                          | -            | 23                         | 625                        | 32                          | PHO-18-1200/35                                                       | B5-156230 rp1                                              |   |
| PHO-23-625/10<br>PHT-23-625/35<br>PHT-23-625/35/110                  | 657.736.095<br>55-157326 rp2<br>To жe rp1              | <b></b> თთ   | 17                         | 625<br>709<br>625          | 35.                         | PHO-13-625/10;<br>PHT-13A-625/35<br>PHT-13A-625/110                  | 55-149965 rpl<br>55-154977 rpl<br>35-6698 rp2              |   |
| PHT-23-1200/35                                                       | 6LT.736.003                                            | ကက           | ກດ                         | 1200                       | 35                          | PHI-13-625/110<br>PHT-13-1200/35                                     | 10 жe<br>65T.013.004                                       |   |
| PHO-24-625/35<br>PHT-24-625/35                                       | B5-184361<br>B5-166767 rp1<br>6BT.736.025              | - 66         | 23 23                      | 625<br>625<br>625          | 3333                        | PHO-19-625/35<br>PHT-19-625/35<br>To we                              | Б5-138080 гр1<br>Б5-121672 гр1<br>То же                    |   |
| 55                                                                   |                                                        |              |                            |                            |                             |                                                                      |                                                            |   |

Продолжение табл. 9-6

| Переключающее устройство                                                                                                            |
|-------------------------------------------------------------------------------------------------------------------------------------|
| Номер чертежа установки                                                                                                             |
| D5-140113 rp1 PHT-20-625/35 D5-141946 rp2 To we Tp1 " "                                                                             |
| B5-184763       PHO-20A-66         6BT.736.015       PHT-20-625/35         6BT.736.061       PHT-20         6BT.736.059       To we |
| D5-139506 rp1     PHO-13-625/35       D5-148229     PHT-13-625/35       GBT.736.093     To же                                       |
| 55-157566 rp1 PHO-13-625/35                                                                                                         |
| 65T.736.095 PHO-20<br>B5-157326 rp2 PHT-20-625/35<br>To see rp1 To see<br>65T.736.003 ""                                            |
| 55-184361 PHO-20A-66<br>B5-166767 rp1 PHT-20-625/35<br>6BT.736.025 To we                                                            |
|                                                                                                                                     |

|                           | гюмер схемы<br>приводного<br>механизма | Б5-175535<br>То же                                       | OBT.364.051                                        | Б5-175535<br>То же<br>" "                 | 65-184535<br>OBT.354.038<br>E5-175535           | 10 же  " " Б5-175535  Т0 же  Obr.364.042                              |
|---------------------------|----------------------------------------|----------------------------------------------------------|----------------------------------------------------|-------------------------------------------|-------------------------------------------------|-----------------------------------------------------------------------|
|                           | папряжение<br>питания<br>привода, В    | 220/380<br>220/380<br>220/380<br>220/380                 | 220/380<br>220/380<br>220/380                      | 220/380<br>220/380<br>220/380             | 220/380<br>220/380<br>220/380                   | 220/380<br>220/380<br>220/380<br>220/380<br>220/380                   |
|                           | Номер спецификации<br>чертежей         | FV-2517; FV-2262<br>FV-2461<br>FV-2263                   | 651.736.016<br>65T.763.062<br>65T.736.060          | ΓУ-2121<br>ΓУ-2164<br>6БТ.736.094         | FV-2219<br>65T.736.096<br>FV-2528               | 1.Y-2518<br>FY-2418<br>65T,736.004<br>FY-286<br>65T,736.026           |
| Автоматическое управление | Номер чертежа                          | C5-186189                                                |                                                    | l                                         | C5-186189                                       | То же                                                                 |
| Автоматическ              | Тип                                    | БАУРПН                                                   |                                                    | ı                                         | БАУРПН                                          | To же                                                                 |
| устройство                | Номер чертежа<br>установки             | B5-140113 rp1<br>B5-141946 rp2<br>To жe rp1<br>B5-184763 | 65T.736.015<br>65T.736.061<br>65T.736.059          | B5-139506 rp1<br>B5-148229<br>6BT.736.093 | B5-157566 rp1<br>6BT.736.095<br>B5-157326 rp2   | To we rpl<br>6BT-736.003<br>E5-184361<br>E5-166767 rpl<br>6BT.736.025 |
| Переключающее устройство  | Тип                                    | PHT-20-625/35<br>PHT-20A-625/35<br>PHO-20A-625/35        | PHT-205-625/35<br>PHT-208-625/35<br>PHT-207-625/35 | PHO-21-625/35<br>PHT-21-625/35            | PHO-22-625/35<br>PHO-23-625/10<br>PHT-23-625/35 | PHT-23-625/35/110<br>PHT-23-1200/35<br>PHO-24-625/35<br>PHT-24-625/35 |

Примечание. Табляца составлена поданным действующей нормали Московского электрозавода имени В. В. Куйбышева. \* Переключающие устройства устанавливаются в нейтрали обмотки 110 кВ. \*\* В вовых конструкциях трансформаторов не применяются.

на него с двух сторон изоляционными втулками 8. На валу при помощи специальных держателей 6 закреплены подвижные контакты 5. На каждую фазу их два, они расположены не строго друг под другом, а имеют угловое смещение, равное 18°, благодаря которому достигается необходимая очередность их работы и размер моста (когда при переключении ответвлений передний подвижный контакт касается уже нового неподвижного контакта, а задний — еще старого). Специального контактора у этого переключающего устройства нет, и эти контакты разрывают и замыкают токовую цепь. Поэтому у каждого подвижного контакта по две контактные пластины (ламели), прижимающиеся друг к другу под действием пружин, а на конце у них - дугостойкие металлокерамические наконечники. Подвижный контакт ножевого типа, помещается между наконечниками.

Переключающее устройство крепится тремя кронштейнами верхнего фланца к стальной плите, на которой расположен приводной механизм MA-1/9 с электродви-

гателем переменного тока мощностью 270 Вт.

Вал приводного механизма соединен с валом избирателя через нониусную муфту 1, позволяющую производить регулировку переключающего устройства при ревизиях, а также после замены рабочих элементов при его ремонте.

Непрерывное вращение привода преобразуется в прерывистое вращение вала самого переключающего устройства при помощи мальтийской передачи. Последняя будет рассмотрена при описании других типов переключающих устройств с токоограничивающими реак-

торами.

Простота конструкции, надежность в работе и легкость регулировки — главные достоинства устройства РНТ-9, благодаря которым оно, будучи разработано очень давно, до сих пор производится и устанавливается на трансформаторах. Однако его применение ограничивается небольшим током и на трансформаторах выше ПП габарита оно применяться не может.

На трансформаторах IV габарита классов напряжения 35 и 110 кВ применяются переключающие устройства с токоограничивающими реакторами, имеющие номинальный рабочий ток 300, 625, 709 и 1200 А (табл. 9-6). Все они принципиально и конструктивно очень мало различаются. Рассмотрим наиболее распространенные

элементы, которыми комплектуются разные переключаю-

щие устройства.

На рис. 9-19, а показана кинематическая схема устройства РНТ-20 на 23 ступени регулирования с предызбирателем (реверсором). На схеме условно показана одна фаза автотрансформатора, соединенная со сдвоенным избирателем ответвлений И1 и И2, токоограничива-

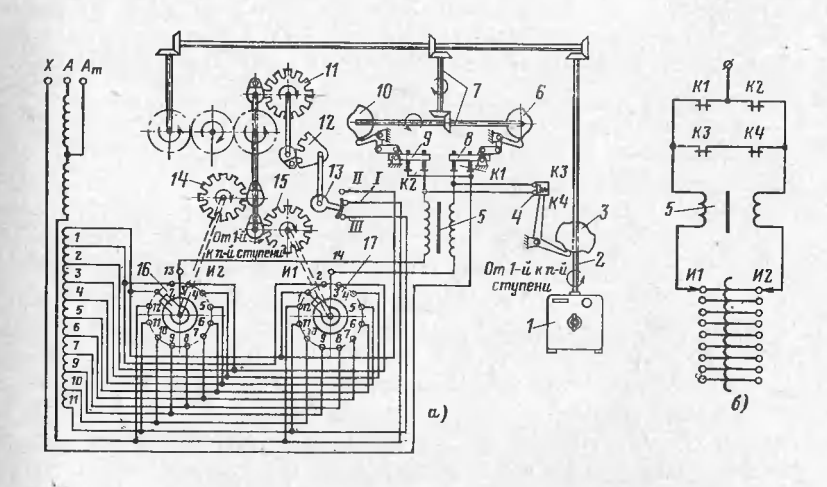


Рис. 9-19. Схемы переключающего устройства типа РНТ-20. а—кинематическая и монтажная;  $\delta$ — электрическая; I— приводиой механизм; 2— главный вертикальный вал; 3— двусторонний кулачок; 4— дугогасительные контакты; 5— реактор;  $\delta$  и 10— односторониие кулачки; 7— валы контактора; 11, 14, 15— полиозубые мальтийские шестернн; 12— неполнозубая мальтийская шестерня; 13— реверсор; 16 и 17— части сдвоенного избирателя.

ющим реактором 5 и контакторным устройством К1-К2 и КЗ-К4. Рассмотрим работу этого переключающего устройства и сравним его схему со схемой переключающего устройства РНТ-13, наиболее широко распространенного в трансформаторах класса напряжения 110 кВ. От приводного механизма 1 вращательное движение передается главному вертикальному валу 2, от него с помощью двустороннего кулачка 3 — спаренным дугогасительным контактам КЗ-К4 и одновременно через систему зубчатых конических, цилиндрических и мальтийских передач на контакторные валы 7. При поворотах валов 7 включаются главные контакты 8 и 9, которые соединены с разветвленными на две части обмотками токоограничивающего реактора 5. Замыкание и размыкание 17\* 259 главных контактов контактора производится двумя плоскими односторонними кулачками 6 и 10, которые повернуты относительно друг друга на угол 180°. За время одного переключения каждая пара главных контактов замыкается и размыкается 1 раз, а дугогасительные контакты 4—2 раза. Мальтийские шестерни (мальтийские кресты) 11 через неполнозубую мальтийскую шестерню 12 управляют механизмом реверсора 13. Мальтийские шестерни 14 и 15 служат для передачи вращательного движения изоляционным валам с подвижными

контактами сдвоенного избирателя 16 и 17.

Все зубчатые передачи устройства имеют передаточные числа 1:1, поэтому за один оборот вертикального вала совершается один оборот горизонтального вала, на котором установлены поводки мальтийских шестерен. За это время каждая мальтийская полнозубая шестерня, имеющая двенадцать пазов, поворачивается на <sup>1</sup>/<sub>12</sub> оборота. После того как шестерня 11 повернется на <sup>11</sup>/<sub>12</sub> оборота, считая от первого нормального положения переключающего устройства, поводок, насаженный на ее ось, повернет неполнозубую шестерню 12 и переключит предызбиратель (реверсор) из положения I—III в положение I—II. При этом контакты избирателя переключатся с одиннадцатой ступени регулировочной обмотки на двенадцатую.

В отличие от переключающего устройства РНТ-13 (оно работает по схеме на рис. 9-17) в устройстве РНТ-20 реактор не имеет общей точки и работает по мостовой схеме, показанной на рис. 9-19,6. Шунтирование реактора обеспечивается спаренными дугогасительными контактами K3 и K4, которые в рабочем положении замкнуты. При такой схеме в первую очередь размыкаются одни из главных контактов K1 или K2, затем размыкаются оба дугогасительных контакта K3 и K4. В этот момент обесточенный контакт избирателя (И1 или И2) передвигается на одну ступень. Замыкание контактов происходит в обратной последовательности.

Трехфазное контакторное устройство РНТ-20 состоит из двух частей. На гетинаксовой плите с одной стороны размещены медные главные контакты ножевого типа, а с другой — металлокерамические дугогасительные контакты. Отключение и включение главных контактов осуществляется двумя плоскими кулачками, расположенными по концам горизонтального контакторного вала. Ду-

гогасительные контакты управляются двусторонним кулачком, расположенным на валу, сочлененном с главным вертикальным валом переключающего устройства. От кулачковых механизмов контакты изолированы бумажно-бакелитовыми тягами. Главные контакты расположены на стороне плиты, обращенной внутрь бака трансформатора, а дугогасительные — во внешнем баке, таком же, как у контактора РНТ-13.

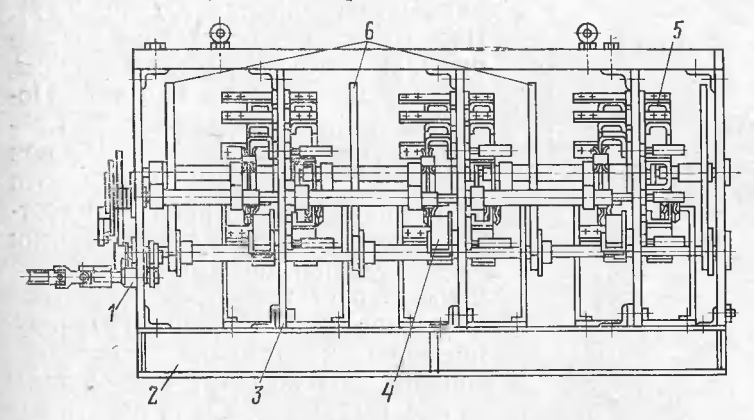


Рис. 9-20. Избиратель РНТ-20.

I — входной вал; 2 — рама; 3 — гетинаксовая плита; 4 — реверсор; 5 — неподвижные контакты; 6 — мальтийские шестерин.

Контакторное устройство РНТ-20 благодаря наличию дополнительной пары контактов на каждой фазе обладает повышенной отключающей способностью. Им комплектуются все современные переключающие устройства: РНТ-20, РНТ-20А, РНТ-23 и РНТ-24 (табл. 9-6), устанавливаемые на мощных трансформаторах 35 и 110 кВ.

В избирателе РНТ-20 (рис. 9-20) три однофазных избирателя закреплены на общей раме 2. Неподвижные контакты 5, предызбиратель (реверсор) 4 и весь механизм с текстолитовыми мальтийскими шестернями 6 и другими элементами размещены на гетинаксовых опорных плитах 3. Работа механизма осуществляется от привода через входной вал 1.

Получили распространение также избиратели РНТ-18 и РНТ-19. Они также имеют 23 нормальных положения, но РНТ-18 с предызбирателем (реверсором), а РНТ-19 с грубой и тонкой регулировкой. Эти избира-

тели в отличие от прямой схемы включения избирателя РНТ-20 (рис. 9-19,6) можно включать по схеме со сдвигом (рис. 9-21), увеличивая диапазон регулирования напряжения.

Переключающее устройство РНТ-13 и пришедшее ему на смену РНТ-23 комплектуются избирателем РНТ-13, который может работать и с полным циклом,

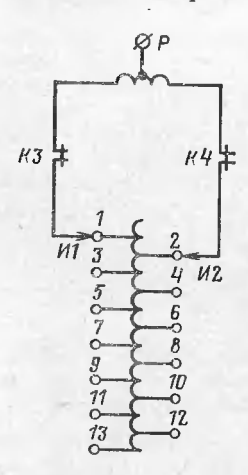


Рис. 9-21. Схема расположения регулировочных ответвлений со сдвигом.

и с половинным. Работа с полным циклом описана ранее (рис. 9-17). При этом соседним ступеням регулирования соответствуют положения, показанные на рис. 9-17,а и ж. Положение, показанное на рис. 9-17.2промежуточное, нерабочее. Но при работе с половинным циклом это положение является рабочим и соответствует самостоятельной ступени регулирования, при котором напрярегулировочной обмотки трансформатора равно среднему напряжений, значению соответствующих положениям, показанным на рис. 9-17,а и ж. Такая работа переключающего устройства называется еще работой с мостами.

Переключающие устройства РНО-13, РНТ-13, РНО-23 и РНТ-23, работающие с полным циклом, име-

ют 9 положений, а с половинным циклом — 17. Контактор РНТ-13 (РНО-13) прост и надежен. Все контакты (три пары правых и три пары левых) расположены на одной стороне гетинаксовой плиты, обращенной внутрь контакторного бачка. Подвижные контакты приводятся в движение кулачковым механизмом. Одному обороту кулачкового вала соответствует переключение на одну ступень при работе избирателя полным циклом или на две ступени — половинным циклом.

Контакторами РНТ-13 и РНО-13 комплектуются переключающие устройства РНТ-13, РНО-13, РНТ-21,

РНО-21 и РНО-22.

С переключающими устройствами РНТ-18 и РНТ-19 применяется контактор РНТ-18, который представляет собой несколько модернизированный контактор РНТ-2 с усиленными главными и дугогасительными контактами.

Из вышеописанного видно, что отечественные переключающие устройства с токоограничивающими реакторами, скомпонованные из разных избирателей и контакторов, различающихся между собой характеристиками и конструкциями, могут устанавливаться на всех трансформаторах 35 и 110 кВ независимо от их назначения: на силовых общего назначения, на электропечных, воль-

тодобавочных и Других специальных трансформаторах, а некоторые и на трансформаторах 150 и

220 кВ.

Разработаны и специальные переключающие устройства для электропечных трансформаторов, например РНТР-17 с раздельной пофазной регулировкой с грубыми и тонкими ступенями на 49 рабочих положений.

Электрические параметры токоограничивающего реактора задаются расчетной запиской трансформатора. Индуктивное сопротивление реактора у каждого трансформатоpa должно иметь значение; оно зависит от мощности и класса напря-

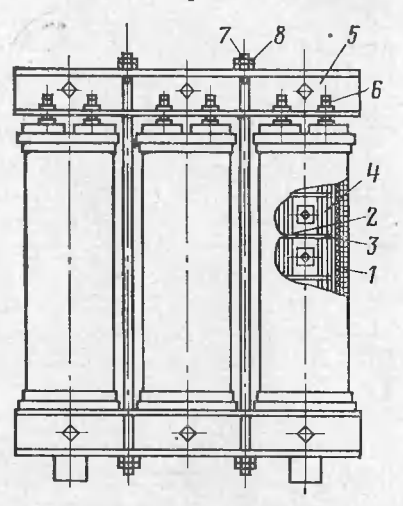


Рис. 9-22. Реактор устройств РПН типа РНТ.

 1 — обмотка; 2 — ленточное заземление; 3 — электрокартонная прокладка: 4 магнитопровод; 5— верхнее накладное ярмо; 6— прессующий болт; 7— сляжные шпнльки; 8— гайка и контргайка.

жения трансформатора, от ступени регулирования напряжения, от схемы включения реактора и от режимов его работы. При режиме работы половинным циклом с мостами (например, у переключающего устройства РНТ-13 на 17 положений) индуктивность рассчитывается по допустимому циркулирующему току, при котором реактор может работать длительно без опасных нагревов.

Конструктивно реакторы всех переключающих устройств одинаковы (рис. 9-22). Магнитопровод 4 собран из пластин электротехнической стали (как правило, горячекатаной). Стержни разделены на секции, между которыми проложены электрокартонные прокладки 3. На стержни насажены цилиндрические обмотки 1. Стержни соединяются накладными ярмами 5 и стягиваются шпильками 7 с гайками и контргайками 8. Обмотки подпрессовываются болтами 6. Реактор крепится на активной части трансформатора.

Для приведения в действие всех элементов переключающего устройства при переключении с одной ступени на другую в необходимой последовательности и с нуж-

ной скоростью служит приводной механизм.

Наибольшее распространение получил приводной механизм типа МА-1 (МА-1/9; МА-1/17; МА-1/23), выпускаемый Московским электрозаводом (табл. 9-6). Знаменатель дроби в обозначении типа приводного механизма показывает количество положений, на которое он выполнен (их может быть от 6 до 49). Указанные приводные механизмы позволяют переключать вручную и от электропривода. Они имеют механическую часть—это система элементов для передачи вращения на валы избирателя и контактора и электрическую часть—схему силовой цепи, а также цепей управления, защиты и блокировки электродвигателя.

Механическая часть была рассмотрена при описании работы переключающего устройства РНТ-20 (рис. 9-19). Общее передаточное число от вала электродвигателя к выходному валу может быть разным — от 20 до 80.

Приводной механизм располагается в коробке, которая крепится на баке трансформатора под контакторным бачком на уровне, позволяющем удобно пользоваться рукояткой при ручном переключении ответвлений.

Общий вид приводного механизма МА-1 показан на рис. 9-23, а, а его кинематическая схема — на рис. 9-23, б, где указаны передаточные числа всех элементов схемы.

У приводных механизмов применяются электродвигатели разной мощности (до 1 кВт). Ранее применялись в основном двигатели постоянного тока, имевшие простую схему торможения, хорошие пусковые свойства, но обладавшие серьезными недостатками: значительным износом контактов коммутирующих элементов, а также необходимостью в мощных источниках постоянного тока для их работы. Современные приводные механизмы выпускаются почти исключительно с асинхронными двигателями с короткозамкнутым ротором и с питанием всех силовых цепей и цепей управления переменным током напряжением 380/220 В.

На рис. 9-24 показана схема приводного механизма переменного тока. Схема достаточно надежна и гибка: она позволяет осуществлять немедленный пуск механиз-

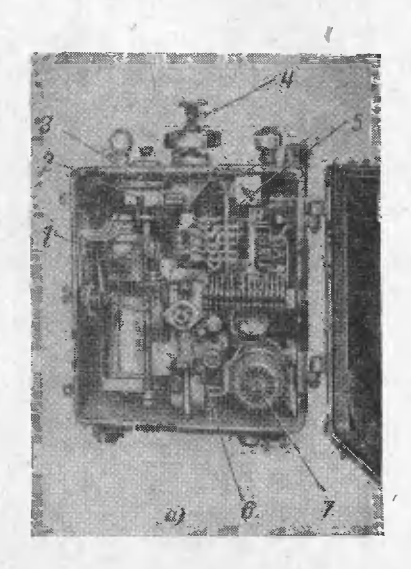
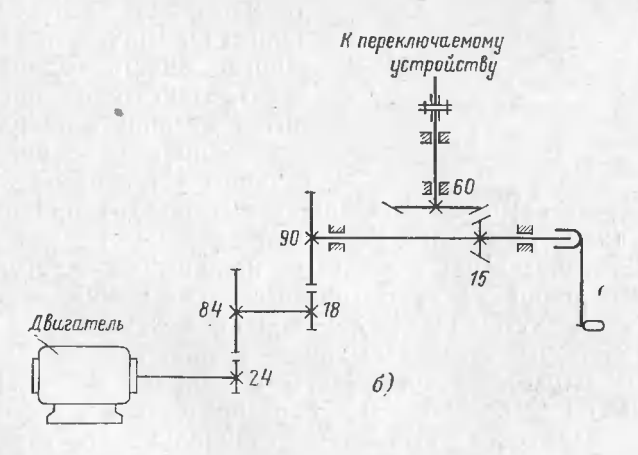


Рис. 9-23. Приводной механизм МА-1.

a— общий вид; b— кинематическая схема; b— лампа освещения; b— суетчик числа переключений; b— главный вертикальный вал; b— барабан контроллера; b— вал рукоятки; b— электролвигатель.



ма в сторону переключения на больший или на меньший номер ответвления (соответственно кнопками управления KY1—n или KYn—1) и точную остановку на фиксированном положении (благодаря контроллеру KP и

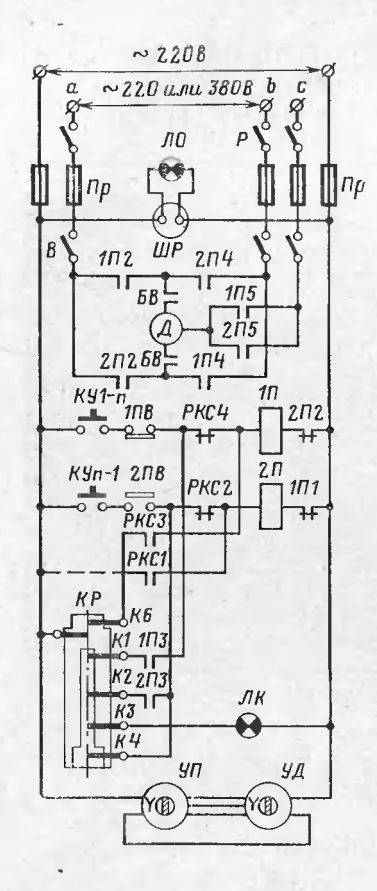


Рис. 9-24. Электрическая схёма приводного механизма перемениого тока.

P — вводной рубильник;  ${\it ЛO}$  — лампа освещения;  ${\it Пр}$  — предохранители ввода: В — включатель двигателя; да: В — включатель двигателя; Д— двигатель; БВ — выключатель блокн-ровки для отключения цепей пнтания при ручном управленин; ІП и 2П — промежуточные реле; ІПВ и 2ПВ — пу-гевые выключатели; КР — контроллер; К — контакты контроллера; КУ — кнопки дистанционного управления (КУІ-л- от 1-й ступени к л-й, КУл-1 - от л-й ступени к 1-й); ЛК — лампа сигнальная красная; РКС — реле контроля скорости при торможении; УД и УП — сельсинный указатель положения (сельсин-датчик и сельсинприемник).

реле контроля скорости РКС). Сельсинный указатель положения показывает ветвление, на котором находится в данный момент переключающее устройство.

Московский электрозавод В. Куйбышева имени В. применяет и другие системы торможения электродвигателя (динамическая схема). Иногда вместо торможения электродвигателя производится механическое расцепление привода с переключающим устройством. Теми

же средствами предотвращается и переход приводного

механизма за крайние положения.

Для проведения ремонтных, наладочных и регулировочных работ предусматривается освещение, а также

подогрев внутри шкафа приводного механизма.

Некоторые переключающие устройства комплектублоком автоматического управления РПН — БАУРПН (табл. 9-6). Этот блок представляет собой полупроводниковое устройство, устанавливаемое отдельно от трансформатора и осуществляющее автоматическую работу РПН в зависимости от напряжения до трансформатора и тока питания приемников электроэнергии после трансформатора по принципу компаундирования. Рижский опытный завод «Латвэнерго» изготовляет и поставляет БАУРПН трансформаторным заводам, которые выполняют только привязку его к приводному механизму в зависимости от места установки блока (чаще всего на главном щите электростанции).

Автоматическое управление РПН может осуществляться и другими схемами автоматики совместно с управлением технологическим процессом, питаемым

трансформатором.

## 9-8. ПРИНЦИП ДЕЙСТВИЯ И КОНСТРУКЦИИ УСТРОЙСТВ РПН С ТОКООГРАНИЧИВАЮЩИМИ РЕЗИСТОРАМИ

Все большее распространение на отечественных трансформаторах находят устройства РПН с токоограничивающими резисторами (активными сопротивлениями) и быстродействующими контакторами.

Вытеснение переключающими устройствами этого типа устройств с токоограничивающими реакторами обусловливается их существенными конструктивными и эксплуатационными преимуществами перед последними:

1. Громоздкий и тяжелый реактор заменен в них сравнительно легкими малогабаритными резисторами, которые обычно являются конструктивной частью контактора, в то время как реактор устанавливается в баке трансформатора отдельно от остальных частей переключающего устройства. Изоляция обмотки реактора от его магнитопровода должна быть выбрана на полное напряжение переключающего устройства, так как весь реактор невозможно изолировать от земли. Класс изоляции этих переключающих устройств не превышает 35 кВ, а на 110 кВ строить переключающее устройство с токоограничивающим реактором уже невыгодно.

2. Переключающим устройствам с активными токоограничивающими сопротивлениями свойственны сравнительно более легкие условия гашения электрической

дуги в контакторе.

Для разных трансфоматоров применяются переключающие устройства разных типов, отличающиеся своими параметрами, которые приведены в табл. 9-7.

Переключающие устройства РНТА-1— это контакторы-избиратели «Армэлектрозавода» имени В. И. Ле-

нина.

Таблица 9-7 Устройства РПН с активными токоограничивающими сопротивлениями (резистовами)

|         | устроиства гип с                                                    | с активны                             | MH TOKOO                              | Граничива                     | у строиства г пп. с. активными токоограничивающими сопротивлениями (резисторами)                                                                                      |                                                             |
|---------|---------------------------------------------------------------------|---------------------------------------|---------------------------------------|-------------------------------|-----------------------------------------------------------------------------------------------------------------------------------------------------------------------|-------------------------------------------------------------|
| Тяп РПН | Тяпоисполжение                                                      | Количество<br>фаз и схема<br>соедине- | Номиналь-<br>ный<br>рабочий<br>ток, А | Рабочее напряжение ступени, В | Число ступеней и схема регулирования                                                                                                                                  | Класс на-<br>пряжения<br>обмотки<br>трансфор-<br>матора, кВ |
|         | PHTA-1-10/63<br>PHTA-1-35/20                                        | 3, Y ¤<br>3, Ⅲ                        | <b>63</b><br>20                       | 100                           | 12 с предызбирателем (реверсором) .                                                                                                                                   | 10<br>35                                                    |
|         | PHTA-2-10-400<br>PHTA-2-35/630*<br>PHTA-2-35/1250*<br>PHTA-2-35/320 | 3, Y u == 3, Y u == 3, Y u            | 400<br>630<br>320<br>320              | 220<br>220<br>220<br>220      | 16 с предъябирателем (реверсором) или одной грубой ступенью То же 12 с предъябирателем или одной грубой ступенью или 18 с предъябирателем или двумя грубьми ступенями | 333310                                                      |
| -       | PC-3-35/400<br>PC-3-110/400                                         | 3, У<br>То же                         | 400                                   | 096                           | Табл. 9-8<br>То же                                                                                                                                                    | 35                                                          |
|         | PC-3-110/630                                                        | R                                     | 630                                   | 1185                          |                                                                                                                                                                       | 110                                                         |
|         | PC-3-150/400<br>PC-3-220/400<br>PC-3-330/120                        | * * *                                 | 400<br>400<br>120                     | 1370<br>1370<br>1400<br>2350  | R R R                                                                                                                                                                 | 150<br>220<br>330                                           |
|         | PHTA-4-35-1000                                                      | з, ү                                  | 1000                                  | 1500                          | 16 с предызбирателем (реверсором)                                                                                                                                     | 110                                                         |
|         |                                                                     | -                                     |                                       | -                             |                                                                                                                                                                       |                                                             |

Продолжение табл. 9-7

|     | Класс на-<br>пряжения<br>обмотки<br>трансфор-<br>матора, кВ | 110<br>110<br>35                               | 35<br>110<br>110<br>220<br>110                                                                                   | 220            | 220           | 330           | 10<br>110                                          |
|-----|-------------------------------------------------------------|------------------------------------------------|------------------------------------------------------------------------------------------------------------------|----------------|---------------|---------------|----------------------------------------------------|
|     | Число ступеней и схема регулирования]                       | 17 с предызбирателем (реверсором)<br>То же     | 40 c предызбирателем (реверсором) 12 c предызбирателем (реверсором) 12 12 и 16 17 с предызбирателем (реверсором) | То же          | 16            | 12 и 16       | 10 или 19 с предызбирателем<br>То же<br>12         |
| 100 | Рабочее<br>напряжение<br>ступени, В                         | l                                              | 630<br>1500<br>1920<br>2100                                                                                      | 2920           | 1950          | l             | 170<br>550<br>1500                                 |
|     | Номиналь-<br>ный<br>рабочий<br>ток, А                       | 630<br>1250<br>1100                            | 1000<br>1000<br>2000<br>1600                                                                                     | 1600           | 3000          | 2000          | 400<br>1000<br>1250                                |
|     | Количество<br>фаз и схема<br>соединения                     | 3, Y<br>3, Y B                                 | 1,  <br>3,  <br>1,   m 3,                                                                                        | 1,             | 1,   из,      | 1,   3,       | ≡ ≡ ≡<br>ຕ <b>ິຕິ</b> ຕິ                           |
|     | Типоисполнение                                              | SDV-35/630**<br>SDV-35/1250**<br>SCV-35/1100** | PHOA-35/1000<br>PHOA-110/1000<br>3PHOA-110/1000<br>PHOA-220/2000<br>SAV-110/1600**                               | SAV-220/1600** | PHOA-220/3000 | PHOA-330/2000 | PHTA-10/400 B<br>PHTA-35/1000 B<br>PHTA-110/1250 B |
|     | Tan Pith                                                    | PHTA-4*                                        | PHOA                                                                                                             |                |               |               | PHTAB                                              |

Поставляются из НРБ.
 Поставляются из ГДР.

Переключающие устройства РНТА-2 изготовляет Запорожский трансформаторный завод и устанавливает их наравне с устройствами РПН с токоограничивающими реакторами на трансформаторы 10 и 35 кВ.

Переключающие устройства РНТА-3 и РНТА-4 изготовляются софийским заводом «Васил Коларов» и известны под названием «болгарские переключатели

PC-3». Они будут подробно рассмотрены ниже.

Переключающие устройства РНТА-В свердловского завода «Уралэлектротяжмаш» основаны на применении вакуумных дугогасительных камер и устанавливаются на мощных трансформаторах для преобразовательных установок.

Переключающие устройства РНОА Запорожского

трансформаторного завода.

На рис. 9-25 приведены электрическая и кинематическая схема переключающего устройства РНОА для ре-

гулирования под нагрузкой в линии 110 кВ.

Приводной механизм a может применяться такой же, как и для рассмотренных выше переключающих устройств с токоограничивающими реакторами. С его выходного вала через коническую передачу b, червячную передачу b и цилиндрические зубчатые передачи b и b вращение передается на вал контактора b и на вал избирателя. На последнем установлены поводки b и b мальтийских передач нечетных b и b и и мальтийских передач нечетного избирателя через неполнозубую мальтийскую передачу b приводится в действие предызбиратель (реверсор) b.

Для быстродействующих переключающих устройств РНОА разработан приводной механизм типа ПДП-4У, снабженный двухступенчатым червячным редуктором с передаточным числом 225 и временем переключения 10 с. Для этих устройств не требуется высокая точность остановки, поэтому специальных систем торможения

здесь не предусмотрено.

Все переключающие устройства РНОА однофазные. Исключение составляет устройство ЗРНОА-110/1000, которое устанавливается на трехфазных трехобмоточных трансформаторах и автотрансформаторах мощностью 125—200 МВ·А классов напряжения 220—330 кВ для регулирования напряжения в линии 110 кВ. Оно состоит из трех усиленных однофазных устройств РНОА-110/1000, работающих синхронно.

Избиратель состоит из двух половин: верхней и нижней. К неподвижным контактам верхней половины подсоединены нечетные ответвления регулировочной обмотки, а нижней — четные (по 6 ответвлений); 13-е ответвление соединено через отвод с разрядником. Разрядник типа РВЭ-25 служит для защиты переключающего устройства от перенапряжений. Избиратель работает в баке с маслом (около 2400 кг), изолированным от масла

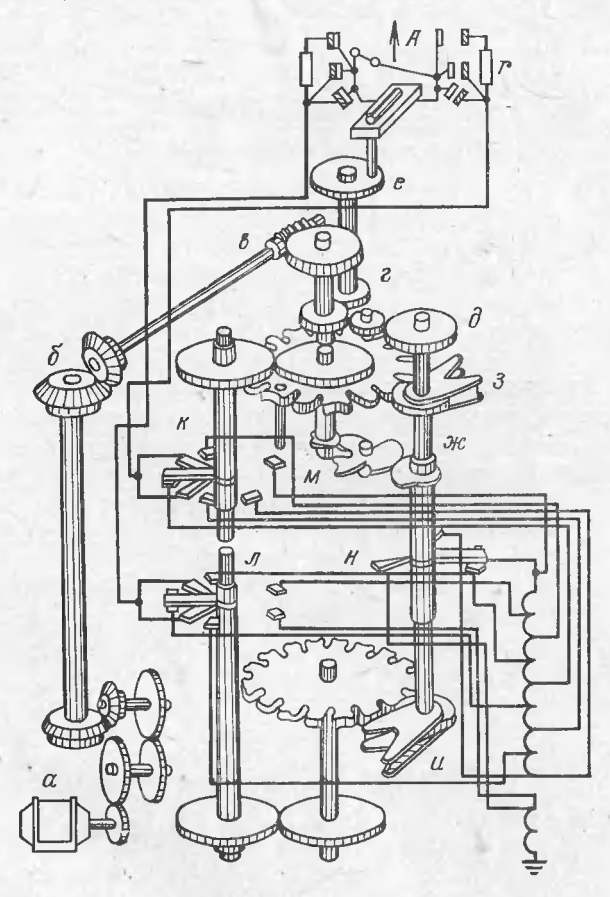


Рис. **9-25**. Кинематическая и электрическая схема быстродействующего переключающего устройства 3T3.

a — приводиой механизм; b — коническая передача; b — червячная передача; c н d — цилиидрические зубчатые передачи; c — вал контактора; c — вал избирателя; c — поводки мальтийских передач; c — иечетный избиратель; c — четный избиратель; c — иеполнозубая мальтийская передача: c — реверсор.

в баке трансформатора. Бак контактора соединен с расширителем трансформатора. Подвижные контакты обеих половин избирателя соединены через отводы с шинами контактора. Механически избиратель и контактор связаны стальным валом, вставленным в бумажно-бакелитовую трубу. На трубу надеты еще два бакелитовых цилиндра, в которых проходят отводы. На крышке бака избирателя установлен кожух с трансформаторами тока.

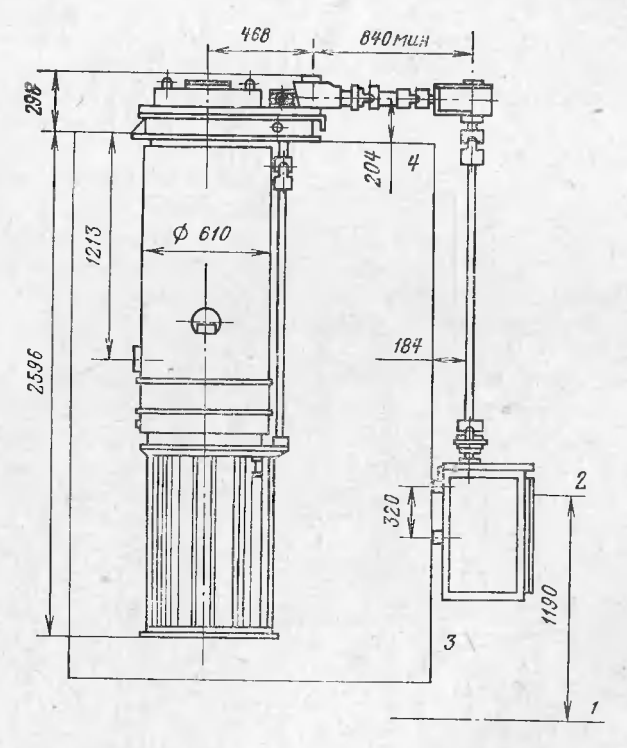


Рис. 9-26. Устройство РПН с токоограничивающим сопротивлением типа PHOA-110/1000.

1 — уровень головок рельсов; 2 — ось рукоятки; 3 — стенка бака трансформатора; 4 — крышка трансформатора.

Между кожухом и контактором расположена фарфоровая рубашка. В бак контактора также заливается масло (150 кг), в котором работают контакты и горит электрическая дуга.

Фазы устройства ЗРНОА-110/1000 изготавливаются отдельно от трансформатора.

Длительная эксплуатация трансформаторов с этими устройствами показала их пизкую надежность (отсутст-

вие герметичности).

Более прогрессивным является устройство РНОА-110/1000 погружной конструкции (рис. 9-26). Оно устанавливается непосредственно в баке трансформатора. Разработана модификация установки его и в отдельном баке, пристраиваемом к баку трансформатора. Его масляный объем соединяется с расширителем трансформатора через газовое реле.

Все переключающие устройства РНОА имеют аналогичную конструкцию и одинаковую схему. В них применена симметричная схема с двумя сопротивлениями, известная под названием схемы флаг или схемы

Янсена. Ее работа показана на рис. 9-27.

В нормальном рабочем положении переключающего устройства (рис. 9-27,а) ток проходит через контакты И1 избирателя и контакты К1 контактора. При переключении в первую очередь происходит переход подвижного контакта  $\dot{H}2$  (при отсутствии тока) на ответвление, соответствующее следующему положению переключающего устройства (рис. 9-27,6). Затем происходит быстрое перебрасывание контактора в другое положение. При этом сначала размыкаются контакты (рис. 9-27,6) и нагрузочный ток проходит через сопротивление  $r_1$ ; контакты K1 производят разрыв дуги при полном нагрузочном токе. Затем замыкаются контакты КЗ и образуется «мост» (рис. 9-27,г) аналогично тому, как это имеет место в переключающем устройстве с токоограничивающим реактором. Через каждый из резисторов проходит половина нагрузочного тока; кроме тоциркулирующий ток, вызванный разго, появляется ностью напряжений на соседних ответвлениях регулировочной обмотки трансформатора. После этого контакты К2 размыкаются, отключая ток, равный сумме (или разности) половины нагрузочного тока и циркулирующего тока (рис. 9-27,д); затем замыкаются контакты K4, шунтирующие сопротивление  $r_2$ , и переключение заканчивается (рис. 9-27,е).

Контакторы переключающих устройств с токоограничивающими сопротивлениями выполняются быстродействующими; переключение всех контактов происходит в течение сотых долей секунды, так как сопротивления рассчитаны только на кратковременное прохожде-

18-593

ние тока; в противном случае при переключении выделялись бы большие тепловые потери. Быстродействие контактов достигается расположением подвижных контактов; конфигурацией рычагов, на которых крепятся подвижные контакты; применением мощных пружин, под действием которых происходит переключение.

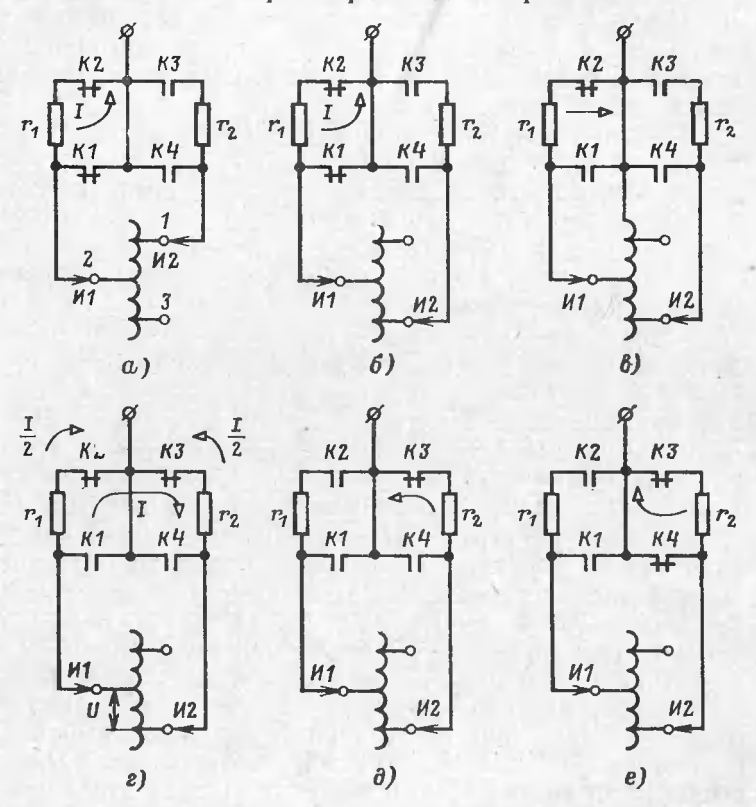


Рис. 9-27. Схема работы переключающего устройства при симметричном включении токоограничивающих сопротивлений.

a — исходное положение на 2-й ступени; b — переход правого подвижвого коитакта избирателя с 1-го ответвления на 3-е; b — размыкание левых главных контактов контактора K1; b — замыкание правых дугогасительных контактов коитактора K3; b — размыкание левых дугогасительных контактов контактора K3; e — замыкание правых главных контактор контактора K4.

На рис. 9-28 показана простейшая схема работы быстродействующего контактора тумблерного типа. Нижние контакты — это главные, а верхние — дугогасительные. Вспомогательные контакты, имеющиеся у контак-274

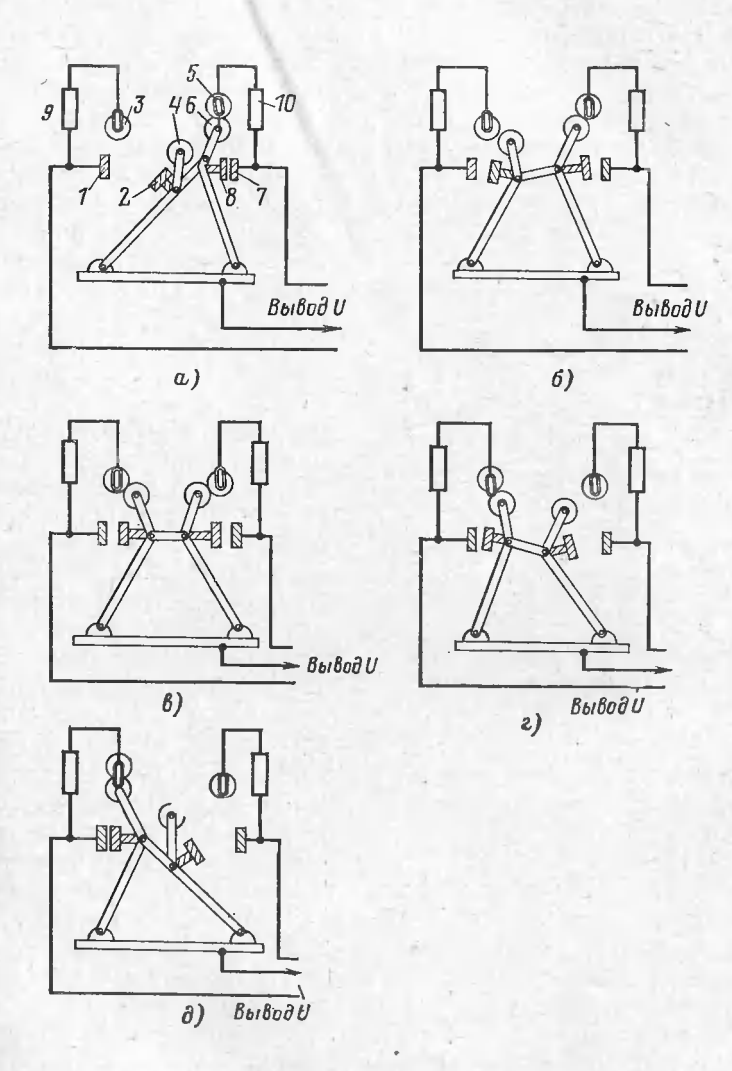


Рис. 9-28. Схема последовательной работы быстродействующего контактора тумблерного опрокидывающегося типа.

a— исходное положенне; b— размыканне главных контактов 7 н 8; b— положенне «моста»; b— размыканне дугогасительных контактов 5 и b; b— замыкание главных контактов b и b— b0 главные неподвижные контакты; b1 и b0 главные подвижные контакты; b1 и b0 главные положентельные неподвижные контакты; b1 и b0 главные положентельные неподвижные контакты; b1 и b0 гразисторы.

тора КНОА-110/1000, на рисунке для упрощения не показаны, они включены параллельно с главными и работают почти одновременно с ними: размыкаются на мгновение позже, а замыкаются — раньше. Положения рычагов и контактов контактора и направление тока в каждом положении на рис. 9-28, $a-\partial$  соответствуют положениям работы схемы на рис. 9-27, $\delta-e$ .

Неподвижные контакты контактора шинопроводом соединены с выводом, заканчивающимся контактной

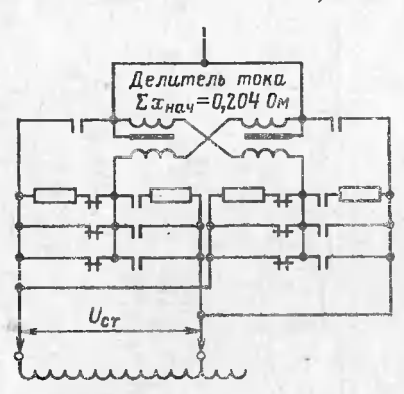


Рис. 9-29. Схема включения механизмов сдвоенного контактора типа КНОАС-220/2000 через делитель тока.

пластиной, с которой соединяется линейный провол сети 110 кВ. Таким образом, фаза переклюустройства чающего 3PHOA-110/1000 служит как бы маслонаполненным вводом 110 кВ. Конструкция и схема работы всех переключающих устройств типа РНОА почти не отличаются от рассмотренного-вся серия РНОА-КНОА строится из унифицированных узлов различных типоисполнений. Переключающие устройства классов напряжения 220 и 330 кВ на номи-

нальные рабочие токи 2000 и 3000 А выполняются сдвоенными. Выемная часть устройства РНОА-220/2000 состоит из двух параллельно работающих механизмов контакторов, каждый из которых способен коммутировать половину номинального тока устройства. Для обеспечения одновременности размыкания контакторов обоих механизмов подвижные рычаги соответствующих плеч соединены синхронизирущими связями. Механизмы контакторов включаются через делитель тока — рис. 9-29.

Болгарские переключающие устройства типа РС-3 широко применяются в трансформаторостроении Советского Союза. Они разработаны по примеру фирм «Рейнхаузен» (ФРГ) и «Эллин» (Австрия), выпускающих так называемые ступенчатые регуляторы напряжения самых различных модификаций. На рис. 9-30 показан регулятор фирмы «Рейнхаузен» типа

ЕПП1000 Y (трехфазный, на ток 1000 A, на 18 и 35 положений, для регулирования в нулевой точке обмотки 250 кВ). Все элементы этого переключающего устройства, находящиеся в баке трансформатора, скомпонованы в одно целое. Они бывают трехфазного и однофаз-

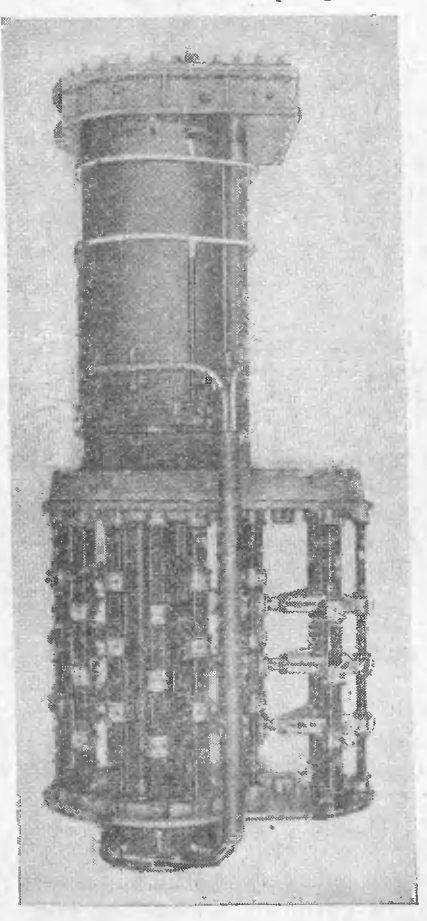


Рис. 9-30. Ступенчатый регулятор напряження фирмы «Рейнхаузен».

ного исполнения. Трехфазные устройства применяются для регулирования напряжения в нейтрали обмотки трехфазного трансформатора, соединенной в звезду, но могут применяться и при соединении обмотки в треугольник, а также по автотрансформаторной схеме.

Переключающие устройства РС-3 имеют разные исполнения, различающиеся схемами соединения ответвлений регулировочной обмотки, количеством положений и техническими характеристиками (табл. 9-8).

Переключающие устройства выполняются с предызбирателями, которые могут быть реверсорами или иметь грубые ступени. Есть исполнения без предызбирателей.

Предызбиратель включает или выключает регулировочные витки ступеней грубого регулирования обмотки (число витков ступени трубого регулирования обмотки равно числу витков основной регулировочной обмотки или отличается от него на одну ступень). Реверсор (предызбиратель, который может реверсировать регулировочную часть обмотки) осуществляет сложение или вычитание э. д. с. основной обмотки и регулировочных ступеней.

Схемы с грубыми ступенями и с реверсором по диапазону регулирования равноценны, но при схеме с грубыми ступенями уменьшаются нагрузочные потери

трансформатора.

Избиратель производит бестоковое переключение с работающего положения на соседнее.

Контактор осуществляет перенос нагрузки на вы-

бранное избирателем ответвление.

Работа избирателя и контактора аналогична работе избирателя и контактора переключающих устройств

РНОА (рис. 9-27).

Конструкция переключающего устройства РС-3 с предызбирателем показана на рис. 9-31. Основными элементами устройства являются верхний несущий фланец 1, закрепляемый на крышке или верхней части бака трансформатор? колокольного типа; командный вал 2, связанный с системой шестеренчатых и мальтийских передач, передающих движение на валы избирателя, предызбирателя и контактора; корпус 3 контактора 4, представляющий собой герметично закрытый изоляционный цилиндр, в который встроен механизм переключения контактора и токоограничивающие консгантановые сопротивления 5; фланец избирателя 6, в котором размещен блок зубчатых и мальтийских шестерен избирателя 7 и предызбирателя 8.

Избиратель представляет собой цилиндрическую клетку, состоящую из гетинаксовых реек, на которых закреплены в шесть рядов неподвижные медные контак-

Технические характеристики переключающих устройств РС-3

| =<br>+1                           | 25 25                                                                                  | 12 23 3 0   12 23 1 0                         | 12                     | 23                                 | -                                  | 0 ,                                                                   |     |
|-----------------------------------|----------------------------------------------------------------------------------------|-----------------------------------------------|------------------------|------------------------------------|------------------------------------|-----------------------------------------------------------------------|-----|
| H <sub>10</sub>                   | 70000                                                                                  | 12 23 3 0                                     | 12                     | 23                                 | က                                  | 0                                                                     | 3   |
| <b>§</b> 11                       | 114 9 8 2 7 2 8 7 12 8 3 7 0 5 5 5 7 2 8 3 7 0 5 5 5 5 5 5 5 5 5 5 5 5 5 5 5 5 5 5     | 12 12 0                                       | 13                     | 12                                 | 0                                  | L                                                                     | 6   |
| 6+1                               | 27 825<br>510824<br>55 523                                                             | 10 19 1 F                                     | 01                     | 19                                 | -                                  | <b>L</b>                                                              |     |
| <b>∞</b><br>+                     | 2000                                                                                   | 10 19 3 F                                     | 10                     | 19                                 | ന                                  | <u></u>                                                               |     |
| 6+1                               | 25 25<br>55 23                                                                         | 0 1 61 01                                     | 10                     | 19                                 | -                                  | 0                                                                     | 7   |
| <b>∞</b>                          | 24.00                                                                                  | 10 19 3 O   10 19 1 O   10 19 3 F   10 19 1 F | 01                     | 19                                 | က                                  | 0                                                                     |     |
| 6                                 | 44.9 2.7 40.0 5.0 5.0 5.0 5.0 5.0 5.0 5.0 5.0 5.0                                      | 10 10 O                                       | 10                     | 10                                 | 0                                  | 1                                                                     |     |
| Число ступеней регули-<br>рованвя | Расположение и нумера-<br>ция контактов избира-<br>теля, предъзбирателя<br>(реверсора) | Обозначение основной<br>схемы                 | Число положений изби-г | Число рабочих положений устройства | Число средних положений устройства | Наличне предызбирателя с грубой ступенью (Г) или в виде реверсора (О) | 970 |

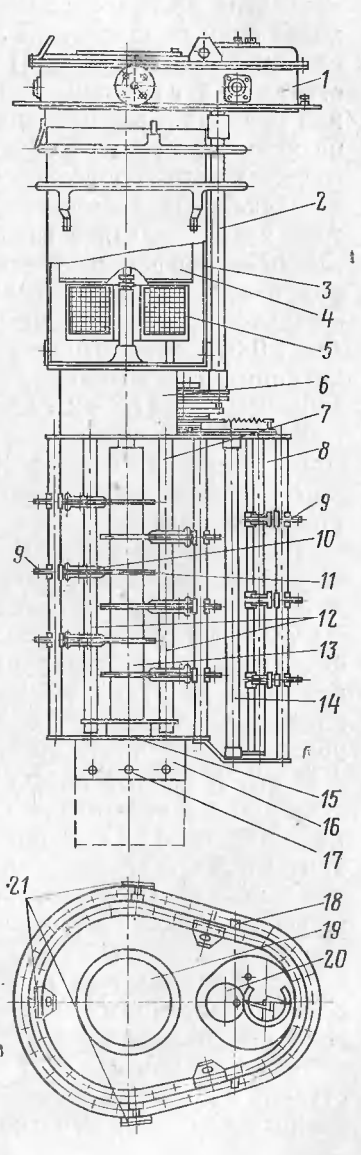
| Продолжение табл. 9-8 | +13                               | 29 25                                                                                  | 14 27 1 Г                     | 14                                | 27                                      | 1                                       | Ĺ                                                                     |  |
|-----------------------|-----------------------------------|----------------------------------------------------------------------------------------|-------------------------------|-----------------------------------|-----------------------------------------|-----------------------------------------|-----------------------------------------------------------------------|--|
| Продолжен             | +12                               | # # # # # # # # # # # # # # # # # # #                                                  | 14 27 3 F                     | 14                                | 27                                      | က                                       | L                                                                     |  |
|                       | H<br>13                           | 25 4 25                                                                                | 14 27 3 0   14 27 1 0         | 14                                | 27                                      | 7-                                      | 0                                                                     |  |
|                       | 十12                               | 12 4 2 5 5 5 5 5 5 5 5 5 5 5 5 5 5 5 5 5                                               | 14 27 3 0                     | 14                                | 27                                      | က                                       | 0                                                                     |  |
|                       | 13                                | 13 # 11<br>6 8 9 9 9 9 14<br>8 3 0 5 12                                                | 14 14 0                       | 14                                | 14                                      | 0                                       | 1                                                                     |  |
|                       | + 11                              | 22 22 25<br>27 2 22 4<br>25 2 2 2 2 3                                                  | 12 23 3 F   12 23 1 F         | 12                                | 23                                      | greet.                                  | L                                                                     |  |
|                       | +10                               | 4000 %                                                                                 |                               | 12                                | 23                                      | က                                       | <u>L</u>                                                              |  |
| 80                    | Число ступеней регули-<br>рования | Расположение и нумера-<br>ция контактов избира-<br>теля, предызбирателя<br>(реверсора) | Обозначение основной<br>схемы | Число положений изби-<br>. рателя | Число рабочих положе-<br>ний устройства | Число средних положе-<br>ний устройства | Наличие предызбирателя с грубой ступенью (Г) или в виде реверсора (О) |  |

ты 9. Для каждой фазы предусмотрено два ряда контактов: к верхнему ряду подсоединяются четные, а к нижнему— нечетные регулировочные ответвления. На каждый ряд неподвижных контактов приходится один

подвижный контакт Шесть подвижных контактов приводятся в движение двумя изоляционными валами 12 (одним—нечетные контакты трех фаз, а другим четные). Подвижные контакты перемещаются вокруг центральной трубы 13. С подвижных контактов ток отводится на контактные диски 11, размещенные на центральной трубе, а с них - на контактор. Концы изоляционных планок с неподвижными контактами прочно закреплены между нижним 15 и верхним 6 фланцами. На изоляционном цилиндре 16 размещены шпильки 17. к которым подсоединяются отводы от нулевых точек обмотки трансформатора. Провода от шпилек проходят внутри трубы 13 и подсоединяются к дискам 11.

## Рис. 9-31. Переключатель РС-3 с предызбирателем.

I— верхний фланец; 2 — командный вал; 3 — корпус контактора; 4 — контактора; 5 — токоограничнвающие сопротивления; 6 — верхний фланец избиратель; 7 — набиратель; 8 — предызбиратель; 9 — неподвижные контакты; 10 — подвижный контакты; 10 — подвижный контакт; 11 — контактый диск; 12 — изоляционные валы; 13 — центральная труба; 14 — поворотный вал предызбирателя; 16 — изоляционный фланец избирателя; 16 — изоляционный цилнир; 17 — шпилька; 18 — приводной вал; 19 — предохранительнаи мембрана; 20 — окно указателя положений; 21 — патрубки для присоединення маслопроводов,



Предызбиратель состоит из трех гетинаксовых реек, закрепленных между плитами. На каждой рейке размещены неподвижные контакты, на каждую фазу предусмотрено три контакта. Для каждого ряда неподвижных контактов на поворотном валу 14 закреплено по одному подвижному контакту. Несущий фланец выполнен разъемным (с крышкой). Горизонтальный вал 18. выступающий из фланца, позволяет присоединять к нему вал привода с той или другой стороны фланца. Во фланце имеются три патрубка 21. Один из них служит для соединения трубопроводом 8 (см. рис. 5-6) контакторного бачка переключателя с расширителем 2 трансформатора через защитное газовое реле 9 типа RS-1000, другой 10 - с сифоном, предназначенным для взятия пробы или слива масла; третий патрубок — запасной, его заглушают пробкой. В крышке фланца имеется окно 20 (рис. 9-31) для пифрового указателя положения и предохранительная мембрана 19, выдерживающая давление  $180-250 \text{ kHa} (1.8-2.5 \text{ krc/cm}^2).$ 

Масло в расширителе, подпитывающее бачок контактора, отделено от всего объема расширителя, соединенного с баком трансформатора, перегородкой 3 и филит-

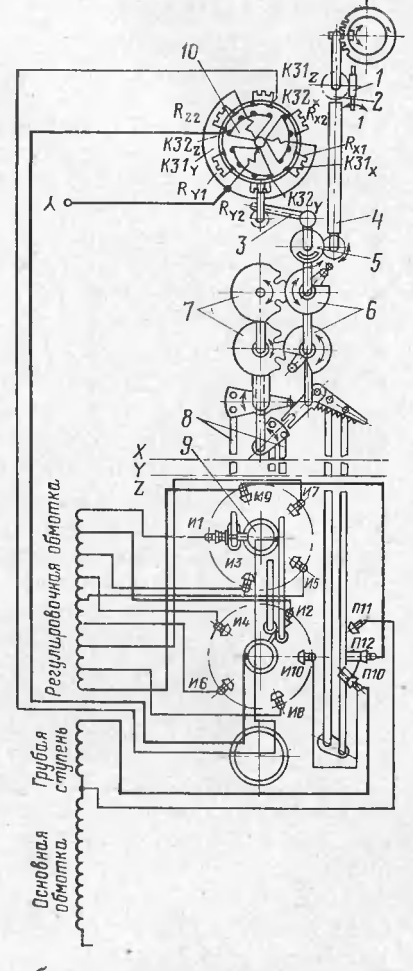
ром 4 (см. рис. 5-6).

Работу всего переключающего устройства проследим по кинематической схеме, приведенной на рис. 9-32, где для наглядности показано соединение только одной фазы трансформатора — переключения ответвлений других фаз происходят одновременно и аналогично. Прохождение тока на схеме показано жирными линиями. Переключение происходит при перебросе токовой нагрузки контактором с нечетной ступени на четную — с контакта КЗ1 (X, Y или Z) на контакт КЗ2 (X, Y или Z) или с четной на нечетную — с контакта КЗ2 (X, Y или Z) на контакт КЗ1 (X, Y или Z). Для всех четных ступеней контактор всегда включен на контакт КЗ2 (X, Y или Z), для всех нечетных — на контакт КЗ1 (X, Y или Z). Переброс происходит мгновенно, в течение сотых долей секунды.

На схеме контакты избирателя включены на вторую ступень регулировочного ответвления обмотки, нечетные контакты находятся в нерабочем положении, контактор включен на контакт *K32*. При переключении со второй ступени на третью прежде всего начинают работать подвижные контакты нечетного ряда избирателя — они пе-

Рис. 9-32. Кинематическая скема переключающего устройства РС-3 с предызбирателем. 1—вал приводного механизма; 2—червячиая передача; 3—зубчатая рейка; 4—командный вал; 5—цилиндрическая зубчатая передача; 6—сдвоенные днски; 7—мальтийские шестерни; 8—валы избирателя и предызбирателя; 9—подвижные контакты избирателя; 10—коитактор.

реходят с первой ступени на третью. Движение передается с вала приводного механизма 1 через червячную передачу 2 на командный вал 4, а с него — через шестерни 5 (с передаточным отношением 2:1) на контактор 10 и на вал нечетного ряда избирателя. контактов В пружине контактора создается натяжение и контактор с помощью больпой шестерни 5 и зубчатой рейки 3 подготавливапереключению. Сдвоенные диски 6 с роликами и мальтийские шестерни 7 обеспечивают последовательность движения валов 8 избиратепредызбирателя. Подвижные контакты 9



избирателя не нагружены рабочим током, и они, не нарушая цепи, переходят с первой ступени на третью. После этого пружина контактора мгновенно перебрасывает токовую нагрузку с контакта *К32* на контакт *К31*. Во время срабатывания механизма контактора регулировочные катушки обмотки кратковременно замыкаются на токоограничивающие резисторы.

Если после переключения со второй ступени на третью необходимо вновь переключать трансформатор с третьей ступени на вторую, переключается только контактор, а валы избирателя при этом не поворачиваются благодаря свободному ходу между шестерней 5 и диском 6. Контактор применяется секторного (роторного) типа. Он так же, как и тумблерный, является быстродействующим. Неподвижные четные и нечетные контакты закреплены на изоляционном цилиндре, а подвижные — на трех секторах. На каждом секторе имеются по четыре контактные системы: по два главных контакта медных и по два дугогасительных, изготовленных из металлокерамики. Длительно замкнутыми могут быть только главные контакты, а дугогасительные (они еще называются вспомогательными, не следует их путать с вспомогательными контактами тумблерных контакторов) замыкаются только при работе контактора и сразу же размыкаются, ограничивая нагрузочный ток токоограничивающими резисторами только в момент переброса нагрузки с одного главного контакта на другой.

Приводной механизм переключающего устройства имеет планетарный редуктор с передаточным числом 4, а выходной вал привода вращается с частотой около 350 об/мин. Для одного переключения выходной вал должен сделать 33 оборота. Продолжительность переключения от электродвигателя составляет 5,6 с. Переключения от электродвигателя производятся дистанционно, с расстояния до 3 км, или при помощи кнопочного управления в механизме. Допускается и ручное переключение — съемной рукояткой. В приводе предусмотрены сигнальные и предохранительные устройства. Включение определенной ступени фиксируется в самом приводе и одновременно дистанционно с помощью специального стрелочного указателя типа логометра.

При низкой температуре воздуха внутреннее пространство привода обогревается четырьмя нагревателями по 125 Вт с терморегулятором. Электродвигатель непосредственно связан с механизмом силовой передачи, встроенным в герметично закрытую коробку, залитую веретенным маслом. Слева от коробки находится механическое управление с электрической блокировкой и концевыми выключателями, справа — электрическое управление, сигнализация и термоэлементы.

## 9-9. КРУГОВЫЕ ДИАГРАММЫ ПЕРЕКЛЮЧАЮЩИХ УСТРОЙСТВ РПН

Переключающее устройство в целом — это сложный комплекс разных частей и механизмов, каждый из которых надежно выполняет свою функцию только при правильном взаимодействии всех 284

элементов. Четкая последовательность работы всех, даже самых мельчайших, деталей — основной залог надежности работы всего переключающего устройства. Ввиду важности этой последовательности установлен критерий исправной работы переключающего устройства — это его круговая диаграм ма; показывающая порядок замыкания и размыкания всех контактов устройства при повороте рукоятки приводного механизма.

Диаграмма называется круговой (или угловой), так как она строится в зависимости от угла поворота входного вала приводного механизма и охватывает целый оборот вала. Но для удобства поль-

зования ею она имеет форму не круга, а линейного графика, отградуированного в грапусах от 0 до 360°. Диаграмма может быть полной, когда каждой паре контактов соответствует свой график, и совмещенной когда каждым двум парам симметричных контактов график: соответствует один двум парам контактов избирателя, двум парам главных и двум парам вспомогательных контактов контактора. Контакты предызбирателя имеют свой график.

В качестве примера на рис. 9-33 показана типовая диаграмма работы контактов переключающего устройства PHT-20-625/35 (рис. 9-19,6),имеющего реверсор. Заштрихованные участки каждого графика (полосы) обозначают области замкнутого состояния контактов, а незаштрихованные -разомкнутого. Границы стков соответствуют моментам размыкания и замыкания контактов. По круговой диа-

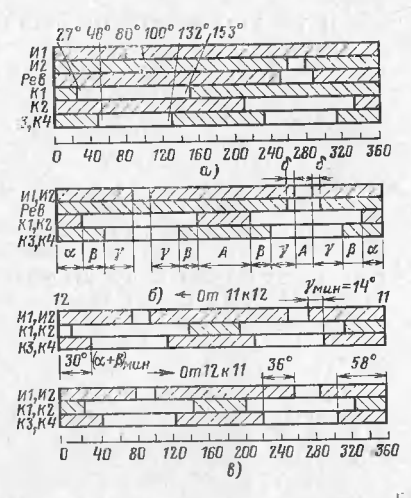


Рис. 9-33. Круговые диаграммы переключающего устройства с токоограничивающим реактором.

 а — полная днаграмма; б — совмещенная днаграмма; в — днаграммы, снятые при переключенни ответвлений в обе стороны.

грамме можно установить опережение или запаздывание замыкания и размыкания обоих контактов относительно других, а также относительно нормального (нулевого) положения входного вала (как правило, вертикального вала привода) переключающего устройства. Эти соотношения измеряются углами, изображенными на совмещенной диаграмме (рис. 9-33,6). Рассмотрим, что обозначает каждый угол.

1)  $\alpha$  — угол поворота вала от нормального положения до момента размыкания пары главных контактов (KI или K2) контактора (рис. 9-19,6) или от момента замыкания контактов до ближайшего нормального положения. Минимально допустимый размер этого угла определяется из условия достаточно хорошего контактоголишком малое значение угла приводит к тому, что в нормальном положении переключающего устройства одна из пар главных контактов контактора будет не полностью замкнута, что может быть

причиной ее чрезмерного нагрева при нормальной нагрузке или вы-

хода из строя при коротком замыкании.

2) β — угол от момента размыкания пары главных контактов контактора до момента размыкания ее дугогаснтельных контактов (КЗ илн К4 на рнс. 9-19,6) нлн угол между моментами замыкания этих пар контактов. Если этот угол слишком мал, то в дальнейшем вследствие механического н электрического нзноса контактов он может уменьшиться до нуля. Это приведет к одновременному замыканию или размыканию главных и дугогаснтельных контактов, что недопустимо, так как главные контакты не предназначены для разрыва токовой цепн и дуга на них возникать не должна.

3) у — угол от момента размыкания дугогасительных контактов контактора до момента размыкания пары контактов избирателя И1 или И2 или угол между моментами замыкания этнх контактов. Этот угол и соответствующее ему время переключения должны быть достаточными для того, чтобы полностью исключалась возмож-

ность появления дугн на контактах избирателя.

4) δ — угол между моментами замыкания нли размыкания контактов избирателя и предызбирателя (реверсора). Поскольку предызбиратель работает в таких же условиях, как и избиратель, этот угол также определяется требованием недопустимости появления дуги на его контактах. Если зоны разомкнутого состояния контактов избирателя и предызбирателя располагаются симметрично (рнс. 9-33,6), то общая зона размыкания контактов не увеличивается и обеспечиваются необходимые углы запаса.

5) А — суммарный угол замкнутого или разомкнутого состояння контактов, зависящий только от кинематики переключающего устройства. Заметное отклонение угла А от нормального значения указывает на износ элементов кинематики. Оно встречается редко и легко обнаруживается. Угол А имеет гораздо меньшее практиче-

ское значение, чем остальные углы.

Круговая диаграмма снимается при вращении вала приводного

механизма в обе стороны (рис. 9-33,в).

Сопоставление круговых днаграмм прямого и обратного хода имеет целью определить люфт, нзмеряемый углом  $\mathfrak V$  в градусах и вычисляемый как разиость между одиоименными углами при прямом и обратном ходе. Этот угол в разных местах днаграммы может быть разный. Критерием работы кинематики является максимальный люфт.

Все углы круговой диаграммы должны находнться в пределах допустимых значений, установленных для каждого типа переключающего устройства и указанных в заводской документации. Изменение этих углов пронзводнтся в процессе наладки и регулнровки

переключающего устройства (§ 9-11).

## 9-10. РЕМОНТ ПЕРЕКЛЮЧАЮЩИХ УСТРОЙСТВ ПБВ

Устанавливаемые на мощных высоковольтных трансформаторах устройства ПБВ — в основном барабанного типа — отличаются большой надежностью в работе. Поэтому при восстановительном ремонте трансформатора устройство ПБВ подвергается, как правило, только ревизии, т. е. чистке, осмотру и проверке работы. Шлам, осевший на деталях переключателя ответвлений, очи-

щают кистью и ветошью, смоченной чистым маслом. Контактные поверхности деталей протирают ветошью, смоченной в бензине, удаляя пленку, образующуюся на

поверхности от сернистого масла.

При обнаружении черных следов подгаров следует обязательно найти их источник. Это могут быть оплавления на стержнях и контактных кольцах переключателя ответвлений (имеется в виду переключающее устройство типа П). Их причиной может быть ослабление пружин всех или нескольких колец, непараллельность прилегания кольца к стержню из-за механического износа (точечный контакт вместо линейного). При больших оплавлениях на кольцах их следует заменить новыми заводского изготовления. Для этого надо вынуть ось колец из пазов коленчатого вала, предварительно оттянув ее двумя плоскими крючками. Ослабшие пружины колец следует также заменить новыми (заводского изготовления). Незначительные оплавления на поверхности колец можно зачистить мелкой стеклянной шкуркой. Также зачистить можно и стержни. Следует помнить, что гальваническая пленка никеля, которой покрыты сопрягаемые поверхности латунных колец и стержней, имеет толшину всего около 20 нм и ее не следует снимать совсем, иначе кольца и стержни быстро придут в негодность. Стержни, имеющие оплавления, допускается не зачищать и не заменять, а просто повернуть вокруг своей оси, чтобы кольца при работе переключателя ответвлений сопрягались с неповрежденной частью их поверхности. При этом надо обязательно закрепить их в новом положении от самопроизвольного поворота.

При ревизии переключающего устройства непосредственно на активной части осматривают состояние его крепления к деревянным стойкам и стоек к ярмовым балкам, при необходимости подтягивают крепления. Обращают внимание на возможное скручивание деревянной штанги, что может вызвать плохой контакт. Если переключающее устройство при ремонте трансформатора демонтируется со своего места, то проверка крепления производится при его монтаже. Осматривается привод, надежность его фиксации на всех положениях, состояние сальниковой набивки. Последнюю заменяют, если есть течь масла и ее невозможно устранить подтягиванием болтов ( рис. 11-32), а резиновые уплотнения заменяют в любом случае.

Выше приведены технологические указания по ремонту наиболее распространенных устройств ПБВ — типа П. Примерно так же ремонтируются и другие устройства ПБВ. Если есть дистанционный привод или ручной боковой привод, то производится осмотр всех его элементов, а также проверка работы всей кинематической схемы переключающего устройства.

При реконструкции и модернизации трансформаторов часто устанавливается новое устройство ПБВ (или его раньше на трансформаторе не было, или старое не подходит по параметрам, или оно вышло из строя и подлежит замене и т. п.). В этом случае специально разрабатывается конструкция установки и крепления как самого

устройства, так и его привода.

Переключающее устройство устанавливается, как правило, новое, полученное с завода. К нему предъявляются все требования, установленные ГОСТ 17500-72, в том числе и в части проведения контрольных испытаний.

Для устройств ПБВ устанавливаются следующие обязательные испытания: 1) измерение силы контактного нажатия; 2) измерение сопротивлений элементов токоведущего контура; 3) измерение крутящего момента; 4) проверка последовательности действия контактов и механизмов; 5) испытание электрической прочности изоляции.

Эти испытания, если не все, то некоторые из них, могут проводиться на заводе-изготовителе: в этом случае при наличии протокола о их проведении в сопроводительной документации они при ремонте не проводятся. Если устанавливается старое переключающее устройство, работавшее на этом или на другом трансформаторе, то измеряют силу контактного нажатия и проверяют последовательность действия контактов и механизмов (для переключающих устройств с дистанционным или боковым ручным приводом). Измерение крутящего момента специально не проводится, а пробуются переключения от руки. Усилие на рукоятке привода при ручном управлении не должно превышать 200 Н (20 кгс). Испытания электрической прочности изоляции проводятся совместно с контрольными испытаниями всего трансформатора после ремонта.

Сила контактного нажатия измеряется динамометром или специальным прибором с тензометрическим датчи-

ком. Допускается пользоваться стандартными гирями или грузом, сила тяжести которых при помощи неподвижного блока направляется вдоль силы контактного нажатия (навстречу ей). Момент размыкания контактов фиксируется сигнальной лампой, включенной через испытуемые контакты, или с помощью пластинки толщиной не более 0,1 мм, зажатой между контактами. Каждую пару контактов испытывают по три раза, и каждый раз производят по три переключения. Разброс показаний должен быть не более 10%. Сила контактного нажатия должна находиться в пределах допусков, установленных для каждого типа устройства ПБВ. Методы испытаний переключающих устройств устанавливает ГОСТ 8008-70.

### 9-11. РЕМОНТ ПЕРЕКЛЮЧАЮЩИХ УСТРОЙСТВ РПН С ТОКООГРАНИЧИВАЮЩИМИ РЕАКТОРАМИ

Переключающие устройства с реакторами, работающие на отечественных трансформаторах давно, зарекомендовали себя надежными и износоустойчивыми. Они сконструированы с учетом возможных перегрузок трансформатора и благодаря значительному запасу механической и электрической прочности способны выдерживать большие электродинамические и тепловые воздействия при коротких замыканиях. Поэтому у ремонтируемых трансформаторов все элементы переключающих устройств большей частью бывают исправны.

Однако четкая и надежная работа переключающего устройства зависит не только от исправности его отдельных узлов. Каждый из узлов—и реактор, и предызбиратель, и избиратель и контактор, и приводной механизм, состоящий из элементов кинематики и электропривода, — может быть исправен, но небольшие отклонения от правильной последовательности их работы могут не только быть причиной ненормальной работы всего переключающего устройства, но и привести к значительным повреждениям некоторых узлов, в результате которых может произойти авария трансформатора при переключении ответвлений.

Сложная взаимосвязь между узлами переключающего устройства может легко нарушиться в результате небрежности при разборке, сборке, ремонте или замене некоторых деталей новыми. Большие люфты в каждом элементе могут привести к полному нарушению взаи-

19—593

модействия всех узлов устройства и вызвать необходи-

мость повторного вскрытия трансформатора.

Обычно основные неисправности переключающего устройства известны из эксплуатационной документации. Кроме того, в комплексе обязательных предварительных испытаний трансформатора, выполняемых при дефектировке, входит снятие круговой диаграммы работы переключающего устройства в обе стороны. По этой диаграмме судят о состоянии переключающего устройства

и устанавливают объем необходимого ремонта.

Если углы  $\alpha + \beta$ ,  $\gamma$ ,  $\delta$  и  $\vartheta$  находятся в допустимых пределах, то переключающее устройство работает правильно и подлежит лишь ревизии и мелкому ремонту отдельных элементов. В этом случае перед разборкой сочлененных деталей следует нанести на них риски, по которым будет проводиться сборка, чтобы все детали после сборки заняли такое же положение. В большинстве случаев такие риски уже имеются на деталях (по ним выполнялась сборка переключающего устройства на трансформаторном заводе). Их необходимо совместить, установив переключающее устройство на определенном ответвлении, при этом рукоятка приводного механизма должна занимать вертикальное положение ручкой вверх или вниз. Если углы круговой диаграммы выходят за пределы допустимых, то переключающее устройство подлежит регулировке. Наладка и регулировка производятся после ремонта при сборке устройства.

При дефектировке необходимо выявить причины несвоевременного замыкания или размыкания тех или

иных контактов.

Наиболее вероятные причины—это увеличенные люфты в следующих соединениях: 1) шарнирные муфты; 2) другие виды муфт; 3) шарнирные соединения рычагов и тяг; 4) кулачковые механизмы; 5) мальтийские передачи; 6) зубчатые передачи; 7) шпоночные и штифтовые соединения.

В процессе переключений могут возникнуть неисправности в результате нагаров в контактных соединениях. Если в контакторе обнаружены контакты, обгоревшие сверх допустимых значений (толщина их стала меньше 7 мм), их заменяют новыми запасными. Толщина всех одноименных контактов должна быть одинаковой; при разной толщине изменяется время включения и отключения контактов контактора. Поэтому при частичной

замене контактов должна производиться регулировка всех контактов.

Подгар контактов не всегда является признаком неисправности контактора. Причиной подгаров может быть плохое качество масла в его бачке. Кроме того, если при эксплуатации трансформатора электрическим приводом не пользовались, а переключения под нагрузкой производили только вручную, подгары контактов могли произойти от слишком продолжительного времени

горения дуги на дугогасительных контактах.

Наличие переходных сопротивлений в контактах явление неизбежное; прохождение тока через переходное сопротивление вызывает нагрев контактов, вследствие чего может подгорать масло, могут оплавляться и свариваться контакты. При небольших следах оплавлений контактную поверхность зачищают мелкой шлифовальной шкуркой, сильно оплавленные контакты заменяют. Объем ремонта контактора уставнавливают при дефектировке. В большинстве случаев бачок контактора с бака трансформатора не снимают, а промывают его горячим маслом и протирают ветошью, чтобы удалить остатки старого масла, в котором горела дуга, а также следы нагара на панели контактора. Если нет необходимости заменить контакты, то и сам контактор не вынимают из бачка, а мелкий ремонт, наладку и все проверки измерения производят непосредственно на месте.

Осмотр приводного механизма и всех элементов кинематической схемы производят особенно тщательно, так как здесь наиболее вероятное место большинства

неисправностей.

При осмотре приводного механизма (рис. 9-23, *а*) подтягивают гайки и контргайки, проверяют состояние контактов в промежуточных реле, концевом выключателе и на контроллере 5. Проверяют, есть ли смазка в масленках приводного механизма, в подшипниках электродвигателя 7 и в других трущихся деталях. Проверяют состояние (износ) мальтийских, цилиндрических и конических шестерен и всех трущихся частей рычагов и тяг. Проверяют исправность ручного привода и блокировки. При нажатии на рукоятку, надетую на вал 6 привода, рычаг должен размыкать блокировочный выключатель и расцеплять шестерни электропривода. При проверке люфтов обращают внимание не только на их размер, но и на положение ведущих элементов относительно ведо-

мых в нормальном положении — в середине люфтов: это обеспечивает одинаково четкую работу механизма в ту

и другую сторону.

Увеличенные люфты должны быть устранены. Для этого разбирают механизм; дефектируют его отдельные детали с целью проверки их исправности и выявления мест и степени износа и выработки (зубцов шестерен, пазов мальтийских крестов, осей, посадочных мест и пр.); поврежденные или изношенные детали по возможности восстанавливают. Детали, не годные для ремонта, заменяют новыми, запасными или изготовленными по заводскому исполнению и тщательно подгоняют по месту.

При работе переключающего устройства от электропривода иногда возможен недоход или переход соответствующей ступени регулирования. Эта неисправность часто возникает от неправильного положения пальцев на барабане контроллера и из-за неточной работы реле РКС. В некоторых конструкциях, особенно в трансформаторах старых серий, пальцы на барабане контроллера закреплены в неустойчивом положении, их необходимо отрегулировать и закрепить; для ослабления торможения пальцы перемещают в сторону вращения барабана, а для усиления торможения — в обратную сторону. Тормозное реле регулируют натягом пружины специальными двумя винтами, находящимися под съемной крышкой в торцовой части реле. Если регулировкой контроллера и РКС недоход или переход устранить не удается, следует заменить всю схему с РКС другой, более совершенной схемой торможения (например, схемой динамического торможения).

При ревизии переключающих устройств с токоограничивающими реакторами большое внимание обращают на состояние реактора. Основной его неисправностью часто бывает ослабление прессовки элементов магнитопровода 4 (рис. 9-22). В этом случае при эксплуатации грансформатора наблюдается повышенный гул, который резко усиливается в процессе переключений. Если при ремонте трансформатора не предусматривается замена обмоток реактора, то после осмотра состояния обмоток, изоляции и паек проверяют степень усадки электрокартонных прокладок 3 между элементами стержней магнитопровода. При необходимости подтягивают верхнее ярмо. Перед подтяжкой ярма предварительно полностью ослабляют прессовку обмоток 1, отвернув все прессую-

щие болты 6. Этот метод определения слабины между элементами магнитопровода довольно грубый, поэтому подтяжку верхнего ярма надо производить очень внимательно, следя за числом поворотов гаек. Если при полтягивании шпилек отмечена небольшая усадка ярма (1-1,5 мм), достаточно подложить под его стыки электрокартонные прокладки соответствующей толщины. Для установки прокладок отвертывают контргайки и гайки 8 и осторожно снимают верхнее накладное ярмо 5. При этом следят, чтобы не были нарушены ленточные заземления 2, вставленные между отдельными элементами магнитопровода. При снятом верхнем ярме целость заземлений можно установить мегаомметром. Через канал между обмоткой и стержнем осматривают выступающие кромки прокладок, освещая канал переносной лампой. При разрушении прокладок и нарушении заземлений магнитопровод полностью разбирают. После сборки реактора проверяют его индуктивное сопротивление, которое должно соответствовать данным расчетной записки. Индуктивное сопротивление реактора может измениться при отклонении толщины набора прокладок между элементами магнитопровода, а это недопустимо; при уменьшении индуктивности увеличится циркулирующий ток в положении «моста» при переключениях ответвлений и реактор будет чрезмерно нагреваться, а при увеличении будут увеличиваться падения напряжения на реакторе, что приведет к резким колебаниям напряжения регулировочной обмотки трансформатора.

Испытывают реактор в процессе ремонта трансформатора. При этом проверяют сопротивление изоляции обмоток и стяжных шпилек магнитопровода мегаомметром, сопротивление обмоток постоянному току, отсутствие витковых замыканий и подгаров. Все электрические измерения производят так же, как у обычного трансфор-

матора.

Все узлы переключающего устройства имеют много деталей из электроизоляционных материалов и нормально рассчитаны на длительную работу в трансформаторном масле. При ревизии и ремонтных работах их бывает необходимо вынуть из масла. Следует соблюдать условие, чтобы суммарное время пребывания избирателей, контакторов и реакторов на воздухе не превышало 16 ч. В противном случае эти элементы необходимо сушить. Сушка переключающего устройства производит-

ся, как правило, вместе с активной частью трансформатора. Режим сушки зависит от класса напряжения обмотки и всегда бывает достаточным для элементов переключающего устройства. Сушка в отдельности переключающего устройства рассмотрена в § 9-12. Но лучше избиратель, контактор и реактор не увлажнять, а держать в сосудах с сухим трансформаторным маслом.

## 9-12. ОСОБЕННОСТИ РЕМОНТА ПЕРЕКЛЮЧАЮЩИХ УСТРОЙСТВ РПН С ТОКООГРАНИЧИВАЮЩИМИ РЕЗИСТОРАМИ

В принципе дефектировка, ремонт и наладка этих переключающих устройств производится почти так же, как и устройств с токоограничивающими реакторами. Однако в виду более тяжелых условий, в которых работают рассматриваемые устройства, к ним предъявляются более жесткие требования и их ревизия является более ответственной. Контакторы этих переключающих устройств быстродействующие, и малейшие увеличения люфтов в кинематике приводного механизма могут привести к серьезным повреждениям всего переключающего устройства.

Круговая диаграмма устройства с быстродействующим контактором снимается методом осциллографа (ГОСТ 8008-70). Осциллограмма — это временная диаграмма, она непосредственно показывает время нахождения контактов в том или другом положении. Время моста у большинства типов переключающих устройств должно быть не менее 0,002 с. Этот и другие параметры осциллограмм указываются в заводских инструкциях по

эксплуатации переключающих устройств.

Осциллографирование переключающих устройств производится не только при капитальных ремонтах трансформаторов, но и через каждые 40 000 переключений для определения степени износа дугогасительных контактов

Через 5000 переключений берется проба масла из бачка контактора. Такая возможность имеется почти во всех переключающих устройствах через специальное сифонное устройство без отключения трансформатора от сети. Масло испытывается на пробой. Если его электрическая прочность ниже 25 кВ, оно заменяется через сифонное устройство.

Конструкциями устройств с токоограничивающими резисторами предусматривается возможность ревизии

контактора без вскрытия трансформатора. У устройств РС-3 и РНТА... В имеется специальное грузоподъемное устройство — ручная лебедка для выемки контактора.

Для выемки контактора устройства РС-3 предварительно закрывают кран 5 (см. рис 5-6) и кран основной полости расширителя, спускают масло сначала из трубопровода 8 защитного реле 7, а потом из всего бачка контактора, затем разболчивают и снимают крышку. После освобождения и выемки контактора трансформатор даже можно включать в работу без него: временно собрать нулевую точку, промыть бачок контактора и заполнить его чистым трансформаторным маслом, установить на место крышку бачка и открыть краны расширителя. Трансформатор будет работать без РПН неограниченное время, но необходимо отключить питание электропривода приводного механизма и вывесить пла-

каты о запрещении переключений.

При ревизии контактора секторного типа (переключающего устройства РС-3) прежде всего проверяют провалы контактов. Провал контакта (подвижного или неподвижного) — это ход контакта при неизменном состоянии всех контактов. Имеет практическое значение провал пары взаимодействующих между собой контактов — это суммарный провал подвижного и неподвижного контактов. Провал пары контактов определяет ее положение относительно других контактов. У устройства РС-3 нормируются два провала контактов контактора: 1) провал дугогасительного контакта к главному; он равен ходу контакта с момента прикосновения до его выравнивания с рабочим медным контактом; если этот провал меньше 0,3 мм, его следует увеличить до 2,5 мм; 2) провал дугогасительного контакта к другому дугогасительному жонтакту; он равен ходу контакта с момента соприкосновения измеряемого дугогасительного контакта со своим неподвижным контактом до момента соприкосновения другого дугогасительного контакта; если этот провал меньше 0,6 мм, его необходимо увеличить до 5 мм.

Измерение и при необходимости регулирование провалов производят для всех контактов. Для этого сначала снимают главную пружину контактора. Последовательно с контактами, между которыми измеряется провал, включают лампочки. Секторы, несущие подвижные контакты, устанавливаются в одно из крайних положений

до упора (рис. 9-34,а). Затем медленно посредством рычага передвигают сектор до момента загорания лампочки дугогасительного контакта — на рис. 9-34,6 четного. В этом положении на неподвижной детали контактора против оси сектора наносится первая риска. Сектор передвигают дальше до размыкания главных контактов (рис. 9-34,в). В этом положении наносится вторая риска. Расстояние между первой и второй рисками соответствует провалу между главными и дугогасительными контактами. При дальнейшем перемещении сектора замыкается пара других дугогасительных контактов

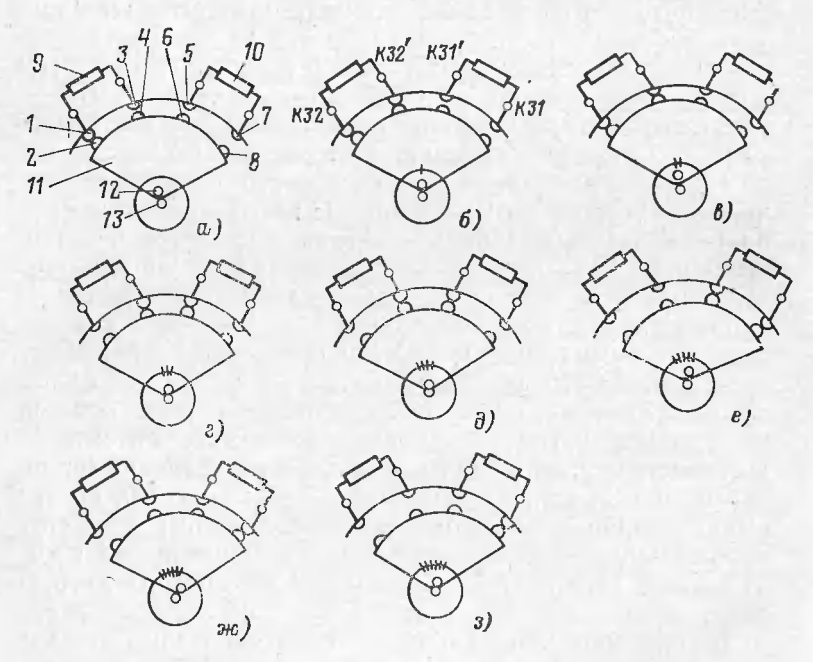


Рис. 9-34. Схема проверки провалов контактов быстродействующего контактора секторного типа.

a — крайнее левое положение сектора; b — момент замыкання левых гасительных контактов; b — момент размыкання левых главных контактов; c — момент замыкания правых гасительных контактов; b — момент размыкания левых гасительных контактов; b — момент размыкания левых гасительных контактов; b — момент размыкания правых гасительных контактов; b — момент размыкания правых гасительных контактов; b — крайнее правое положение сектора; b — неподвижный главный контакт (b — подвижный гасительный четный контакт (b — подвижный гасительный четный контакт (b — подвижный гасительный четный контакт; b — подвижный гасительный нечетный контакт (b — подвижный гасительный нечетный контакт (b — подвижный главный нечетный контакт (b — подвижный контактов; b — подвижный контактов; b — подвижных контактов; b — под

(рис. 9-34,2) — наносится третья риска. Расстояние между первой и третьей рисками соответствует провалу между дугогасительными контактами. Аналогично при загорании и погасании соответствующих лампочек отмечаются рисками положения, показанные на рис. 9-34,д,е и ж. Всего получается шесть рисок. У правильно отрегулированного контактора расстояния между ними примерно одинаковы и соответствуют перемещениям подвижных контактов на сближение (или отдаление) с неподвижными на размер хода не менее 0,3 мм. При уменьшении провалов между парами соседних контактов увеличивается время горения дуги и контакты быстро выходят из строя. На рис. 9-34 показана проверка провалов контактов одной фазы контактора (одного сектора). Аналогично проводится проверка провалов контактов всех фаз (секторов).

Регулирование главных контактов производят следующим образом: неподвижный главный контакт снимают с изоляционного цилиндра и измеряют микрометром его толщину посередине, в месте припайки медной пластины; медную пластину запиливают до тех пор, пока она не выровняется с изношенной частью металлокерамики; снова измеряют толщину контакта и по разности двух замеров устанавливают спиленную толщину; подвижный главный контакт снимают с сектора и измеряют его толщину; запиливают его до тех пор, пока не получится разница с металлокерамикой, равная 2,5 мм; измеряют толщину контакта и определяют спиленную толщину; подвижный контакт устанавливают на место; под неподвижный контакт ставят твердую изоляционную прокладку толщиной, равной сумме двух спиливаний.

Регулирование и ремонт главных контактов контактора переключающего устройства РС-3 разрешается производить только один раз. Это ограничивается возможностью спиливания рабочего медного контакта (1,5 мм) и небольшой толщиной припаянной металло-керамической пластинки (1 мм). При необходимости повторного регулирования главных контактов их заменяют новыми из комплекта запасных частей, который прилагает завод-изготовитель к каждому устройству.

Регулирование дугогасительных контактов производится отвинчиванием корончатых гаек, которые крепят подвижные контакты к чугунному сектору. Чтобы сохранить нажатие пружин, под них ставят компенсирующие шайбы толщиной, равной осевому перемещению корон-

чатой гайки. Гайки обязательно шплинтуют.

Если регулировались только главные контакты, проверяют провал между главными и дугогасительными контактами, который теперь должен быть не менее 1,0 мм. Если регулировать дугогасительные контакты, то проверяют все провалы.

После регулировки контактов устанавливают на место главную пружину, делают несколько переключений и проверяют все соединения, а также наличие и

положение гаек и шплинтов.

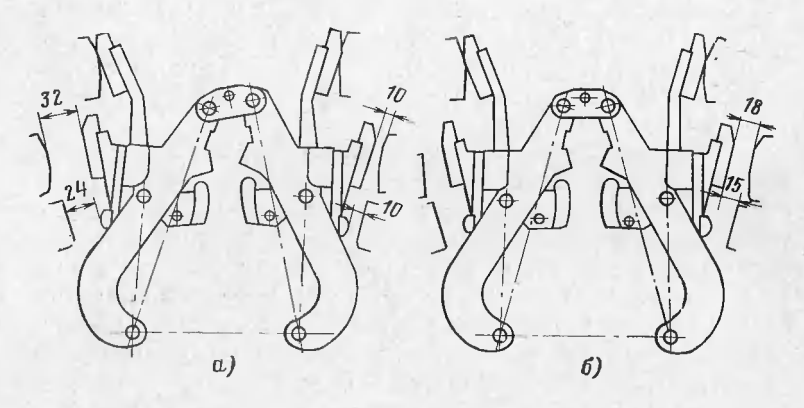


Рис. 9-35. Регулировка контактора КНОА-110/1000. a- момент касания (отрыва) дугогасительных контактов;  $\delta-$  положение «моста».

Ревизия контакторов переключающих устройств типа РНОА также допускается без вскрытия трансформатора. Для этого из бака контактора сливают масло, а затем разболчивают и снимают крышку. Проверку работы механизма контактора тумблерного типа производят измерением зазоров между разомкнутыми главными и вспомогательными контактами В момент замыкания (размыкания) дугогасительных контактов и в положении середины моста. Эти два положения и соответсвующие им зазоры для переключающего устройства ЗРНОА-110/1000 показаны на рис. 9-35. Зазоры регулируют изменением положения подвижных контактов (предусмотрено конструкцией). Контактные поверхности осматривают, следы подгаров зачищают мелкой стеклянной шкуркой. Сильно обгоревшие контакты заменяют новыми.

По окончании ревизии снимают осциллограмму работы переключающего устройства. И только после этого бак контактора, промытый горячим маслом, закрывают крышкой, уплотняют и заливают чистым сухим

трансформаторным маслом.

При ремонте трансформатора с вскрытием активной части производят ревизию избирателя. В ее объем входят: 1) проверка состояния изоляционных реек, труб и цилиндров; 2) установление износа подвижных и неподвижных контактов; 3) измерение силы контактного нажатия; 4) осмотр контактных поверхностей; 5) проверка прочности и надежности электрических соединений регулировочных отводов с клеммами избирателя; 6) проверка состояния и действия элементов привода избирателя.

Проверка и устранение дефектов производятся так же, как и при ремонтах переключающих устройств с токоограничивающими реакторами. Но требования к работам с этими устройствами выше. Их узлы нельзя держать на открытом воздухе с влажностью до 75% дольше 8 ч. Это связано с опасностью увлажнения изоляции, которая сама по себе более толстая и которую высушить потом трудно. Если сушки избежать не удалось (сопротивление изоляции токоведущих элементов по отношению к земле снизилось до 800 МОм), то следует выполнить ее полно и качественно.

Сушка может производиться несколькими способами. Первый способ, не требующий специального оборудования, простой, но длительный — сушка в масле, подогретом до 70—75°С. Электрическая прочность масла должна быть не ниже 50 кВ. Влага из изоляционных деталей свободно переходит в масло, снижая его электрическую прочность. Периодически заменяя сухим масло, впитавшее влагу, удаляют последнюю из элементов устройства. В практике обычно масло не заменяют, а освобождают от влаги непрерывно, пропуская его через цеолитовую установку, центрифугу или фильтр-пресс.

При возможности проведения сушки под вакуумом следует отдавать предпочтение этому способу. Вакуумную сушку переключающего устройства можно производить в баке трансформатора вместе с активной частью, а можно — в вакуум-сушильной печи. Рекомендуемый режим сушки в вакуум-сушильной печи приводится в табл. 9-9.

Если сушку ведут в баке с намагничивающей обмоткой, то устанавливают остаточное давление, допустимое для данного бака. Время сушки при этом будет значительно больше.

Следует избегать быстрого высушивания изоляционных элементов под вакуумом во избежание расслоения гетинаксовых деталей.

После вакуумной сушки все резьбовые соединения на изоляционных деталях проверяют и при необходимости подтягивают, но так, чтобы контакты избирателя и предызбирателя не изменили своего положения.

Таблица 9-9 Режимы вакуумной сушки переключающих устройств

| Стадця сушки                                                                | Вид устройства                        |                        |                 |                                        |                        |                 |  |
|-----------------------------------------------------------------------------|---------------------------------------|------------------------|-----------------|----------------------------------------|------------------------|-----------------|--|
|                                                                             | с токоограничиваю-<br>щими реакторами |                        |                 | с токоограничиваю-<br>цими резисторами |                        |                 |  |
|                                                                             |                                       | Остаточное<br>давление |                 |                                        | Остаточное<br>давление |                 |  |
|                                                                             | Вре-<br>мя, ч                         | кПа                    | MM pr. cr.      | Вре-                                   | кПа                    | MM pt. cr.      |  |
| Равномерный подъем температуры до 100°C                                     | 1,5                                   | 101                    | 760             | 1,5                                    | 101                    | 760             |  |
| Прогрев при температуре 100°C Сушка при 100°C Охлаждение до 50°C и заполне- | 8<br>14<br>1                          | 101<br>5,32<br>5,32    | 760<br>40<br>40 | 12<br>72<br>1                          | 101<br>3,33<br>3,33    | 760<br>25<br>25 |  |
| ние маслом<br>Охлаждение до температуры<br>окружающего воздуха              | 12                                    | 5,32                   | 40              | 12                                     | 3,33                   | 25              |  |

Бак переключающего устройства наружного исполнения следует после ревизии испытывать на герметичность избыточным давлением 10 кПа (0,1 кгс/см²). Особое внимание уделяют уплотнениям, которые при ремонтах трансформатора заменяют. В эксплуатации бывают и такие случаи, когда после ревизии течей масла через уплотнения нет, а со временем от вибрации и от частых переключений герметичность нарушается и в баки контакторов и избирателей попадает вода (3РНОА-110/1000).

### 9-13. ИСПЫТАНИЯ ПЕРЕКЛЮЧАЮЩИХ УСТРОЙСТВ РПН ПРИ РЕМОНТЕ

При ремонте переключающих устройств РПН объем их испытаний назначается в зависимости от объема произведенного ремонта. Но при всех условиях обязательными испытаниями являются измерение силы контактного нажатия и проверка последовательности действия

контактов — снятие круговой диаграммы.

Делают несколько измерений силы контактного нажатия (не менее трех), между которыми производят переключения. Каждый из результатов измерения не должен отличаться от среднего значения больше чем на 10%, а само среднее значение должно находиться в пределах, установленных для каждых контактов любого типа переключающего устройства.

Например, для переключающих устройств типа РС-3 установлены следующие усилия контактного нажатия: контактов избирателя, предызбирателя и реверсора—65 Н (6,5 кгс), главных контактов контактора—200 Н (20 кгс) и дугогасительных—140 Н (14 кгс).

Круговую диаграмму в процессе ремонта трансформатора нужно снимать несколько раз: перед разборкой при дефектировке, после сборки при наладке кинематической схемы и при окончательных, сдаточных испытаниях трансформатора. Основные углы снятой круговой диаграммы (§ 9-9 и 9-11) должны укладываться в пределы, установленные для данного типа переключающего устройства. Диаграмму снимают при повороте ведущего вала от одного заранее выбранного положения до другого, а затем при повороте в другую сторону (в обратную). У переключающих устройств с токоограничивающими реакторами круговую диаграмму надо снимать при одном полном обороте вала независимо от того, сколько при этом происходит переключений (РНТ-13).

У устройства с токоограничивающими резисторами, работающих по схеме со сдвигом и имеющих отдельный контактор, круговую диаграмму надо снимать при переключении не менее чем на два положения подряд

(PHOA).

Если имеется предызбиратель, то круговую диаграмму снимают между такими его положениями, когда он участвует в переключении (PC-3, PHT-18, PHT-20).

У избирателей-контакторов во всех случаях круговую диаграмму снимают на всем диапазопе регулирования (РНТ-9, РНТА-1).

У всех трехфазных переключающих устройств допускается производить пофазное снятие круговых диаграмм, а у однофазных, работающих синхронно на трехфазных трансформаторах, необходимо проверять одновременность размыкания и замыкания параллельных контактов.

Согласно ГОСТ 8008-70 существуют два метода снятия круговых диаграмм: метод сигнальных ламп (для

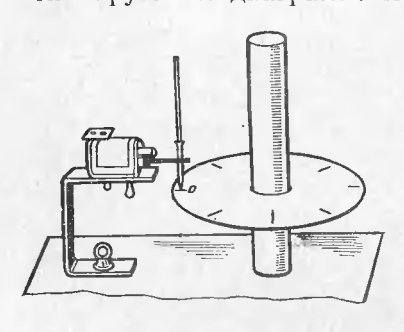


Рис. 9-36. Общий вид устройства для снятия круговых диаграмм переключающих устройств с токоограничивающими реакторами.

СНЯТИЯ

контактов медленнодействующих элементов); предызбирателей (реверсоров) и избирателей всех устройств и контакторов переключающих устройств с токоограничивающими реакторами и метод осциллографа (для контактов быстродействующих контакторов).

Рассмотрим менее распространенный и более сложный, но более удобный автоматический метод, предложенный канд. техн. наук Н. В. Шульгиным и применяемый в Мосэнергоремонте диаграмм переключающих

устройств с токоограничивающими реакторами.

круговых

Метод основан на применении специального устройства, представляющего собой соленоид с двумя обмотками и подвижным сердечником. Один конец сердечника опирается на пружину, а на другом конце закреплен карандаш (шариковая ручка). Соленоид может быть использован любой, например от реле типа РВ. Устройство прикрепляют к корпусу приводного механизма кронштейном под рым-болт, а на вертикальный вал переключающего устройства ниже нониусной муфты закрепляют разрезной планшет с бланком круговой диаграммы— это лист бумаги со шкалой, разбитой на градусы от 0 до 360. Карандаш выдвигается до соприкосновения с бумагой на нулевом делении шкалы. Планшет центрируется с точностью 1—2 мм. Общий вид устройства показан на рис. 9-36.

При повороте вала приводного механизма вручную или от электродвигателя вертикальный вал вместе с

планшетом поворачивается и карандаш чертит на шкале дугу установленного радиуса. В момент размыкания пары контактов контактора (момент 1') сердечник соленоида втягивается и карандаш переходит на дугу большего радиуса и прочерчивает ее до момента размыкания пары контактов избирателя (момент 2'), когда сердечник

соленоида под действием пружины возвращается в исходное положение (рис. 9-37). Так автоматически фиксируется каждое изменение положений всех пар контактов контактора, избирателя, предызбирателя (реверсора) при полном обороте вала с планшетом.

Затем карандаш закрепляют в другое отверстие сердечника соленоида (или перемещают весь соленоид на кронштейне вдоль оси сердечника) и производят снятие круговой диаграммы аналогично при вращении вала в противоположном направлении (обратный ход). Прямая и обрат-

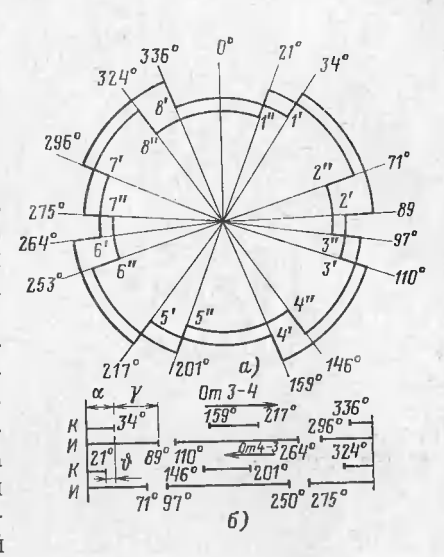


Рис. 9-37. Прямая и обратная круговые диаграммы устройства РПН типа РНТ-13.

a — при автоматическом снятии; b — в линейном исполнении.

ная диаграммы, полученные этим методом для переключающего устройства типа РНТ-13, показаны на рис. 9-37,*a*, а построение их в линейном исполнении — на рис. 9-37,*б*.

Электрическая схема устройства для снятия круговой диаграммы РНТ-13 и РНТ-18 приведена на рис. 9-38,6.

Другие испытания устройств РПН проводятся при необходимости в зависимости от объема выполненных работ.

При замене электроизоляционных деталей (бакелитовых цилиндров, трубок, гетинаксовых досок и пр.) проводят испытание электрической прочности изоляции.

Нормы и методы этих испытаний даны в ГОСТ 8008-70 и 1516-73.

При ремонте элементов токоведущего контура, в том числе и при подгонке контактов, производят измерение сопротивления этих элементов постоянному току двойным мостом постоянного тока, микроомметром или методом падения напряжения (амперметром и вольтметром).

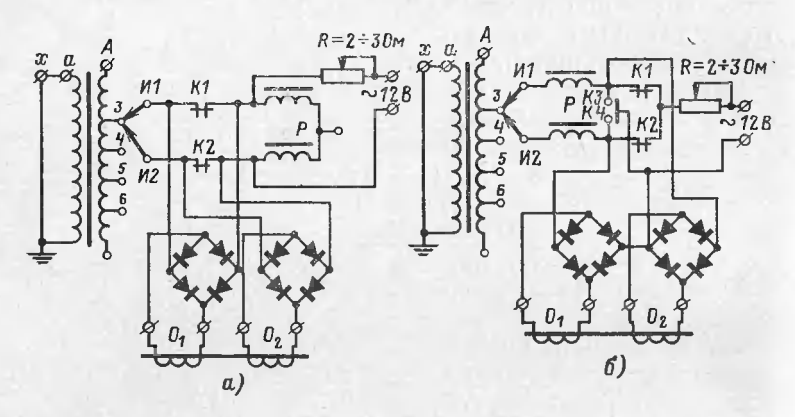


Рис. 9-38. Электрические схемы устройства для автоматического снятия круговых диаграмм реакторных переключающих устройств.  $a-{
m PHT}$ -13 и PHT-18;  $b-{
m PHT}$ -20.

При ремонте элементов кинематической схемы производят прогонку механизмов и измерение крутящего момента на входном валу динамометром или прибором с тензометрическими датчиками. Динамометр прикрепляют к рукоятке ручного переключения и прикладывают усилие перпендикулярно плечу рукоятки. Крутящий момент — это произведение наибольшего измеренного усилия при переключении на длину плеча рукоятки. Измерение производят по 3 раза в ту и другую сторону и подсчитывают два средних значения.

При измерении с помощью тензометрических датчиков можно получить график измерения крутящего момента на валу переключающего устройства при работе

от приводного механизма.

Тензометрический датчик — эго резистор, сопротивление которого изменяется при деформации. Датчики наклеиваются на вал под углом 45° друг к другу и включаются по схеме моста на гальванометр, который устанавливается на нулевое положение. При закручивании 304

вала датчики деформируются, причем два из них растягиваются, а два других сжимаются. Мост измеряет напряжение, пропорциональное крутящему моменту на валу. Датчики с вала не снимают (без разрушения их снять нельзя), но можно использовать их многократно для измерения крутящего момента на этом же валу (при дальнейших ремонтах и регулировках, а также в эксплуатации).

Если проводилась регулировка и наладка приводного механизма, необходимо проверить точность его остановки на каждом фиксируемом нормальном положении в обоих направлениях. Проверку производят при местном управлении электродвигателем. При этом определяют длительность переключения механизма на одну ступень электросекундомером или другим прибором, обеспечивающим точность измерения не ниже 2,5%. Проверяют также работу каждото из видов блокировки, сигнализации, счетчика числа переключений и указателя положений.

При ремонте трехфазного трансформатора с тремя однофазными переключающими устройствами обязательно производят проверку групповой работы трех приводных механизмов (сигнализации). При этом проверяют все блокировки и устройства сигнализации, служащие для предотвращения несинхронности переключения (рассогласования). Для этого имитируют неисправность одного из приводных механизмов.

При ревизиях должны производиться испытания на герметичность баков отдельных элементов переключающих устройств, в которых масло изолировано от масла

в трансформаторе (§ 9-12).

При ремонте реактора или токоограничивающего резистора проверяют индуктивное сопротивление реактора или омическое сопротивление резистора.

### ГЛАВА ДЕСЯТАЯ

### РЕМОНТ НАРУЖНЫХ УЗЛОВ ТРАНСФОРМАТОРА

Параллельно с ремонтом и сборкой активной части трансформатора производят ревизию, ремонт и подготовку к сборке и монтажу всех его наружных частей: элементов системы охлаждения (охладителей, радиато-20—593

ров, дутьевых вентиляторов, маслопроводов, задвижек и кранов), а также бака, расширителя, предохранительной трубы, термосифонного фильтра и воздухоосущителя.

### 10-1. РЕМОНТ ЭЛЕМЕНТОВ СИСТЕМЫ ОХЛАЖДЕНИЯ

Для охлаждения мощных силовых масляных трансформаторов применяют дутьевую ДЦ или масляно-водяную Ц системы охлаждения с принудительной циркуляцией масла и дутьевую Д с естественной циркуляцией масла.

Демонтаж и ремонт системы охлаждения ДЦ включает следующие основные операции: перекачку масла из охладителей в заранее подготовленную емкость, демонтаж и разборку трубопроводов, промывку охладителей горячим маслом (60—70°С), замену прокладок, замену сорбента в адсорбном фильтре, ревизию масляных насосов и вентиляторов обдува, устранение течей масла, опрессовку системы охлаждения. Все эти работы производят на месте установки трансформатора только при наличии соответствующих условий и благоприятной погоды. Попадание пыли или влаги в систему охлаждения может привести к аварии трансформатора.

В процессе демонтажа охладителей и трубопроводов на них навешивают соответствующие бирки, чтобы после окончания ремонта охладители и трубопроводы можно было быстро вновь скомпоновать в прежнем положении. Все фланцы охладителей и трубопроводов после их демонтажа немедленно плотно закрывают заранее подготовленными заглушками или промасленными де-

ревянными пробками.

При ремонте охладителей учитывают их невысокую механическую прочность. При необходимости в кантовке соблюдают осторожность, так как строповка охладителей с перекосами может вызвать деформацию трубок и нарушение сварных швов. По тем же соображениям перед укладкой охладителей на подготовленный настил тщательно выравнивают горизонтальную плоскость деревянного настила.

При установке новых охладителей тщательно продувают охладительные трубки сжатым воздухом и промывают их горячим маслом.

Качество промывки определяют по электрической прочности промывочного масла в стандартном маслопробойнике. При установке новых трубопроводов их впутреннюю поверхность очищают ершом, изготовленным из пучка стального троса или стальной сетки, свернутой

в виде рулона.

После очистки трубы продувают сжатым воздухом, дополнительно очищают ветошью, смоченной в бензине, и протирают насухо. Внутреннюю полость труб окрашивают эмалью 624с или 1201; если нет эмали, покрывают двумя слоями бакелитового лака.

При сборке системы охлаждения так же, как и при разборке, принимают меры по предотвращению попадания во внутренние полости трубопроводов и охладителей пыли и влаги.

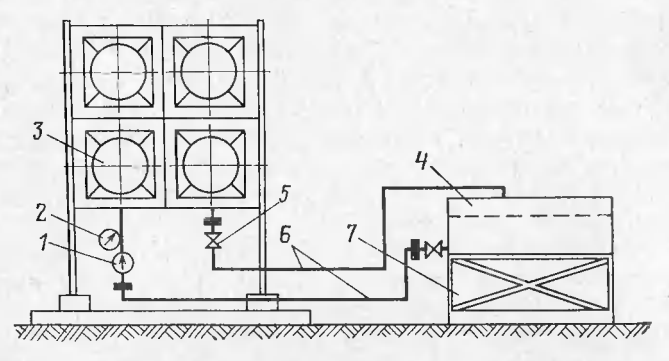


Рис. 10-1. Схема промывки и опрессовки охладителей ДЦ на фундаменте.

1 — масляный насос;
 2 — манометр;
 3 — охладитель;
 4 — бак с горячим маслом;
 5 — задвижка;
 6 — временный маслопровод;
 7 — подставка.

Собранную систему охлаждения заполняют маслом из отдельного специально подготовленного бака или непосредственно из бака трансформатора в соответствии с заводскими инструкциями. Для заполнения системы охлаждения слегка открывают задвижки, чтобы проток масла был небольшим. Воздух удаляют полностью из системы путем открывания специальных пробок в охлалителях.

После заполнения системы в течение 1 ч проверяют герметичность охладителей маслом, нагретым до 50-60°С. Калориферы со стальными трубками испытывают избыточным давлением 3·10<sup>5</sup> Па, с алюминиевыми — 2.10 Па. Испытание давлением (рис. 10-1) производят при закрытых задвижках на баке с помощью специального вспомогательного небольшого бака 4 с чистым го-20\*

307

рячим маслом и отдельного масляного насоса 1 (обычно ручного, типа БКФ-4). Результаты гидравлического испытания считают удовлетворительными, если в течение 1 ч давление снизится не более чем на 10%.

Чтобы масло, оставшееся на стенках трубок, не воспламенилось, трещины в стальных трубках калориферов заваривают под вакуумом или в среде углекислого газа. Наиболее удобно трещины заделывать холодным способом специальной пластмассой или эпоксидной замазкой (§ 10-2).

Особое внимание обращают на качество очистки системы охлаждения. Даже небольшое количество загрязнений или воздуха, оставшихся в системе охлаждения и проникших в бак трансформатора, могут вызвать электрический пробой между токоведущими частями. В некоторых конструкциях трансформаторов патрубки нагнетательных труб в баке расположены напротив токоотводов. иногда выполненных голыми шинами, поэтому попадание на голые шины занесенных вместе с напорной струей масла различных посторонних включений вызывает пробой изоляционного промежутка между шинами. Чтобы воздух и другие посторонние включения не попали на части, находящиеся под напряжением, проверяют систему охлаждения заранее, до подключения трансформатора под напряжение. При этом включают на 3-6 ч все охлаждающие устройства. Одновременно проверяют, нет ли в адсорбных фильтрах воздуха, вращаются ли крыльчатки вентиляторов против часовой стрелки (если смотреть на электродвигатели со стороны крыльчатки) и нет ли вибрации охладителей. Если вибрация более 0,1 мм, крыльчатки вентиляторов балансируют. Чтобы устранить передачу вибрации от вентиляторов на трубки охладителя, целесообразно электродвигатели с крыльчатками устанавливать на отдельном основании (плите).

При установке новых охладителей с встроенными бессальниковыми насосами применяют для промывки системы посторонний насос. Дело в том, что в бессальниковых насосах масло проходит непосредственно через статор электродвигателя, поэтому при попадании ржавчины или других случайных металлических включений в обмотку электронасос может легко повредиться. Промывка системы с использованием собственных насосов допустима только в том случае, когда предварительно пропускают масло через фильтр-пресс или центрифугу. После испытания гидравлическим давлением и промывки всей системы вспомогательный бак отсоединяют от охлаждающего устройства, а систему охлаждающих устройств и трубопроводов подсоединяют к баку трансформатора.

Ремонт маслоохладителей и всех других элементов системы Ц включает в основном те же операции, что и системы ДЦ, т. е. ремонт и чистку трубной системы, промывку и чистку трубопроводов и фильтра, замену прокладок, замену сорбента в адсорбере, ревизию насосов и электродвигателей, устранение течей масла и воды.

В процессе эксплуатации систем охлаждения Д и М наружные поверхности труб радиаторов покрываются плотным слоем загрязнений, который не только портит внешний вид трансформатора, но и снижает эффективность работы системы охлаждения. Наружный слой загрязнений труб радиатора удаляют ультразвуковой очисткой или погружением радиатора в ванны с 10—15% ным раствором едкого натра. Щелочной раствор подогревают до 60-70°С и перемешивают, пропуская через ванну воздух или пар. После очистки в щелочном растворе радиатор промывают проточной водой.

Чтобы щелочной раствор не попал внутрь радиаторов, в них создают избыточное давление 10 кПа (0,1 ат) или их заранее испытывают на герметичность избыточным давлением 50 кПа (0,5 ат). Избыточное давление создают сжатым воздухом, при этом следят по манометру,

чтобы в течение 5-10 мин оно не снижалось.

Во многих трансформаторах старых выпусков вентиляторы установлены в межтрубном пространстве самих радиаторов. Исследования показали, что ранее применяемые легкие (массой 0,4 кг) крыльчатки не обеспечивают должного обдува радиаторов. Мощность электродвигателей вентиляторов позволяет заменить их более мощными крыльчатками серии МЦ (массой 1,3 кг); при этом отвод тепла увеличивается в среднем на 20%. Но более тяжелые и мощные крыльчатки даже при небольшом небалансе, например при разных углах наклона лопастей или если одна лопасть несколько тяжелее другой, вызывают сильную вибрацию радиаторов. При вибрации нарушается герметичность уплотнений и сварных соединений радиаторов; кроме того, ускоряется износ подшипников электродвигателей.

При замене крыльчаток электродвигатели вентиляторов устанавливают на специальных кронштейнах, закрепленных на стенке бака трансформатора, и балансируют их динамически или в крайнем случае статически на круговых или двух призматических ножах. При статической балансировке крыльчатка, закрепленная на специально изготовленном валике и установленная на два опорных ножа, в любом положении не должна поворачиваться. Если одно крыло имеет меньшую массу, чем другое, его уравновешивают, приваривая стальную пластину или напаивая его оловом. Статическая балансировка только частично уменьшает вибрацию. При различных наклонах лопастей вибрацию можно устранить только динамической балансировкой.

В объем ремонта дутьевых вентиляторов входит разборка и чистка электродвигателей. Проверяют состояние ротора, статора, его обмотки, подшипников. Измеряют сопротивление изоляции обмотки статора мегаомметром 1000 В. Испытывают электрическую прочность изоляции обмотки статора относительно корпуса и между фазами приложенным напряжением 1 кВ переменного тока промышленной частоты или мегаомметром 2500 В в течение не менее 1 мин.

При ремонте основных элементов системы охлаждения производят ревизию, осмотр и ремонт, а при необходимости — замену гидрозапорной арматуры. Задвижки и краны тщательно очищают от грязи и ржавчины, устраняют выявленные при осмотре дефекты и заменяют сальниковые уплотнения и прокладки. Гидравлическое испытание производят с помощью ручного насоса давлением  $3 \cdot 10^5$  Па (3 ат) в течение 15—20 мин.

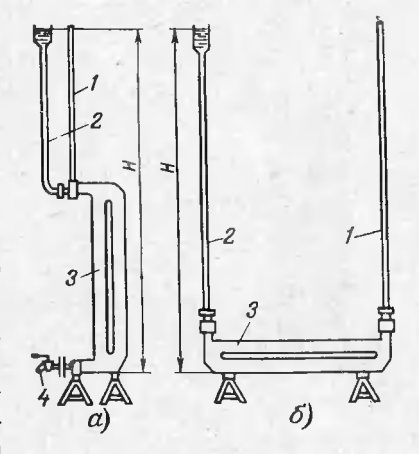
При ревизии осматривают радиаторы и определяют состояние мест сварки, уплотнений и наружной окраски. При необходимости заварки ее производят электросваркой тонким электродом. Если учесть, что толщина стенки трубы или волны небольшая (1,5—2 мм), заварка дефектных мест у радиаторов представляет значительные трудности и требует высокой квалификации сварщика. Поэтому при заделке трещин, отверстий, пробоев и т. п. в радиаторах можно применять замазки из пластмасс или эпоксидных смол (§ 10-2).

Радиаторы испытывают давлением столба масла высотой  $H_{\rm M}$ , равной высоте столба масла от нижней точки подвешенного радиатора до верхней точки расширителя

Рис. 10-2. Испытание радиаторов давлением столба масла.

а — вертикальная установка радиатора;
 б — горизонтальная установка радиатора;
 І — труба для выхода воздуха;
 2 — труба для создания столба масла;
 3 — радиатор;
 4 — сливной кран.

плюс 0,5 м. Испытание давлением проводят или столбом масла в трубе 2 (рис. 10-2) Ø 18 мм, установленной на один из фланцев радиатора, или с помощью ручного пресснасоса (рис. 10-3). В установке по рис. 10-2 труба



1 служит для выхода воздуха. Давление в установке с пресс-насосом определяют по манометру, имея в виду, что давление столба масла высотой 1 м эквивалентно 8,31 кПа (0,0846 ат). Радиатор держат под давлением в течение 15 мин и проверяют отсутствие течи масла. После испытания производят внутреннюю очистку радиаторов путем промывки горячим маслом (60—70°С).

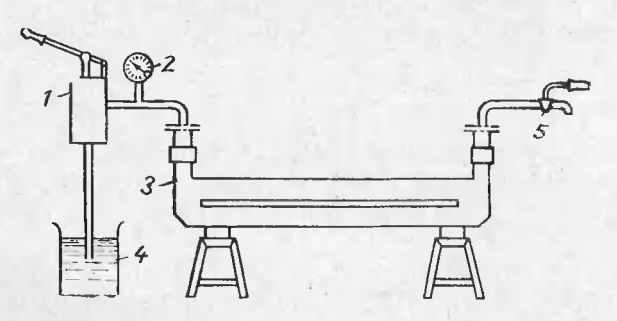


Рис. 10-3. Установка для испытания радиатора давлением масла с помощью ручного пресс-насоса.

1- насос; 2- манометр; 3- радиатор; 4- бачок с маслом; 5- запорный кран.

На рис. 10-4 показана схема промывки радиаторов. Вначале масло перекачивают через радиатор без фильтрации в течение 1 ч, затем его сливают, заполняют установку очищенным маслом и снова перекачивают через

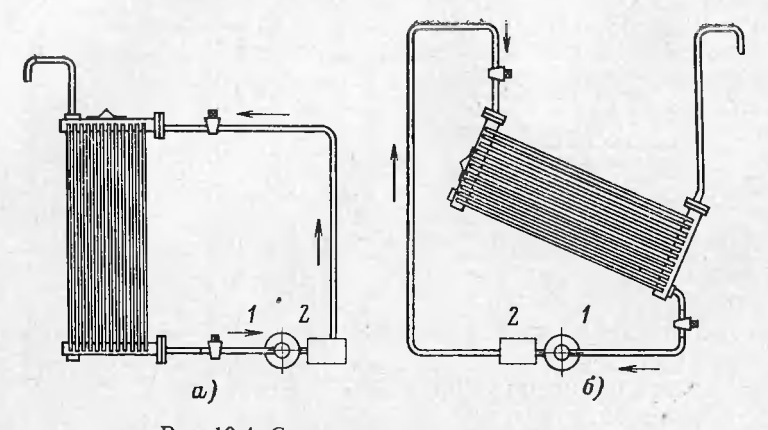


Рис. 10-4. Схема промывки радиаторов. a — вертикальная установка раднаторов;  $\delta$  — горнзонтально-наклонная установка раднатора; I — насос; 2 — фильтр-пресс.

радиатор, но уже с фильтрацией, также в течение 1 ч. После промывки радиаторы подвешивают на бак. Если сразу после промывки их нельзя подвесить на бак, то на их фланцы устанавливают заглушки или вставляют в отверстия патрубков деревянные пробки.

До подвески радиаторов ревизуют радиаторные краны. При необходимости их ремонтируют или заменя-

ют новыми.

# 10-2. РЕМОНТ БАКА, РАСШИРИТЕЛЯ, ПРЕДОХРАНИТЕЛЬНОЙ ТРУБЫ, ТЕРМОСИФОННОГО ФИЛЬТРА И ВОЗДУХООСУШИТЕЛЯ

Бак. Ремонт бака — очень трудоемкий процесс. Это объясняется необходимостью выполнения сварочных работ, которые производят на специальном сварочном участке, соблюдая весьма жесткие правила техники безопасности и противопожарной техники. Кроме того, возможны сварочные работы, при которых сварщик должен находиться внутри бака. В этом случае приходится соблюдать особые правила. Ремонт многотонных баков еще более трудоемок, так как приходится производить сложные такелажные работы (кантовку, установку бака в нужном положении и пр.).

Для заварки трещин и швов бака применяют электродуговую сварку. Маслоплотность шва проверяют керосином и мелом. С одной стороны шов окрашивают мелом, а с другой стороны обильно промазывают керосином. Если в сварном шве есть трещины, керосин просачивается через них и оставляет на меловом покрытии отчетливые следы.

Если активая часть находится в баке, трещины заваривают только при полном заполнении трансформатора маслом. Частичный или полный спуск масла из бака недопустим во избежание воспламенения пленки масла, оставшейся на стенках. Заварку предпочтительно производить постоянным током.

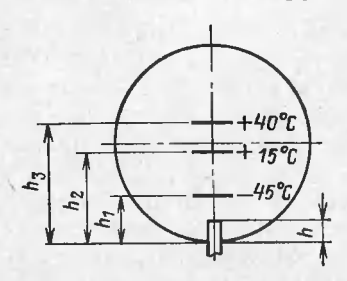
Наиболее простым и надежным средством заделки трешин в баке собранного трансформатора является замазка трешин специальными пластмассами или эпоксидными смолами. В практике ремонтов для заделки трешин используют пластмассы, применяемые для изготовления различных литых деталей, в частности пластмассы АСТ-Т и АСТ-2А. Для повышения прочности, снижения усадки и сближения температурных коэффициентов расширения в приготовленные замазки из эпоксидных смол или пластмасс добавляют металлические опилки. Места запелки трешин пластмассами и эпоксидными смолами тщательно очищают от грязи и обезжиривают. Для устранения течи масла через трещину во время заделки масло из бака частично сливают и создают небольшой вакуум из расчета, что давление 1 м столба масла равно 8.31 кПа (0,0846 ат). Вакуум над поверхностью масла удерживает масло в состоянии равновесия, не позволяя ему просачиваться через трещины.

Подробные сведения по применению и рецептуре приготовления пластмасс и эпоксидных смол, а также их физико-химические свойства приведены в проспектах на данный вид изделия, инструкциях завода-изготовителя и в специальных справочниках. Целесообразно произвести предварительно несколько опытных заделок трещин или отверстий на кусках листовой стали.

Если необходимо покрасить внутреннюю поверхность бака и крышки, тщательно очищают их от следов масла сначала сухой ветошью, а затем ветошью, смоченной в керосине или бензине, после чего протирают поверхность насухо. Затем покрывают внутреннюю поверхность эмалью 624с, 1201, ВЛ-515 или ФЛ-03К.

Покраску производят в противогазе пульверизатором, подавая в бак сжатый воздух из магистрали с помощью резинового шланга, опущенного в бак.

Расширитель. Ремонт расширителя включает в себя обнаружение ржавчины на внутренней поверхности и удаление ее, окраску (при необходимости как внутренней, так и наружной поверхностей), а также мо-



10-5. Расположение контрольных меток уровней масла на дне расширителя.

дернизацию расширителя старой конструкции - приведение его в соответствие требованиям, предъявляемым к расшисовременных трансрителям форматоров.

Ржавчину в расширителе без съемного дна (люка) можно обнаружить простукиванием дна деревянным молотком. При простукивании участков, имеющих ржавчину, слышен глухой звук; иногда она отделяется и, падая, создает харак-

терный шум. При обнаружении ржавчины вырезают дно расширителя газовой горелкой. При этом все отверстия расширителя во избежание взрыва держат открытыми. Взамен глухого дна приваривают кольцевой фланец, изготовляют стальную заглушку и закрепляют ее болтами на резиновом уплотнении. Такое съемное дно позволяет очищать внутреннюю полость расширителя при последующих ревизиях.

Согласно ГОСТ 11677-65 расширители должны иметь торца съемное дно или люк. с одного При ремонте трансформаторов все расширители старой конструкции без съемного дна и с несоответствующими контрольными метками должны быть обязательно пере-

деланы.

Расположение контрольных меток уровней масла на дне расширителя должно соответствовать показанному

на рис. 10-5 и приведенному в табл. 10-1.

Внутреннюю поверхность расширителя очищают от ржавчины стальными щетками, промывают или керосином, протирают насухо ветошью и красят эмалью 624с, ФЛ-03К или 1201. После установки маслоуказателя и реле уровня масла проверяют герметичность расширителя, заполняя его чистым трансформаторным

Расположение контрольных меток уровней масла на дне расширителя (рис. 10-5)

| Диаметр<br>расцирителя, мм | Расстояние, мм |                |       |       |  |  |
|----------------------------|----------------|----------------|-------|-------|--|--|
|                            | h              | h <sub>1</sub> | $h_2$ | $h_3$ |  |  |
| 200                        | 30             | 50             | 100   | 115   |  |  |
| 250                        |                |                | 120   | 150   |  |  |
| 310                        |                |                | 150   | 190   |  |  |
| 470                        | 50             | 80             | 230   | 290   |  |  |
| 690                        |                | 100            | 335   | 430   |  |  |
| 940                        |                |                | 460   | 590   |  |  |
| 1260                       |                |                | 610   | 800   |  |  |
| 1570                       |                | the same of    | 760   | 1005  |  |  |

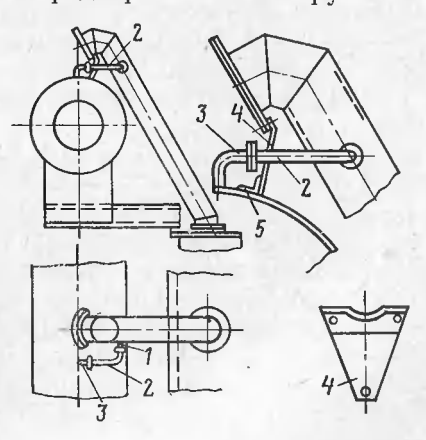
маслом и выдерживая в течение 3—4 ч. Одновременно с этим проверяют работу маслоуказателя и реле уровня масла. Если уровень масла в расширителе ниже допустимого, поплавок реле должен опуститься и включить цепь сигнального устройства. Работу реле уровня масла проверяют с помощью контрольной лампочки в лаборатории. В случае установки на расширителе воздухоосущителя одновременно соединяют верхнюю часть маслоуказателя с внутренним пространством расширителя.

Предохранительная труба. Если в трансформаторе внутренняя полость предохранительной трубы не

связана с расширителем, то соединяют трубкой 2 (рис. 10-6) через патрубки 1 и 3 внутренние полости расширителя и трубы. Для же-

Рис. 10-6. Крепление предохранительной трубы и соединение ее с расширителем.

патрубок, приваренный к предохранительной трубе; 2— соединительная трубка; 3— натрубок, приваренный к расширителю; 4— пластина; 5— угольник.



сткого соединения предохранительной трубы с расширителем к нему приваривают угольник 5, а затем к угольнику и фланцу трубы болтами крепят пластину 4. Дыхательную пробку на верху трубы, которая была нужна для выпуска воздуха при заливке трансформатора мас-

лом, плотно заглушают.

В старых конструкциях трансформаторов полость предохранительной трубы изолирована от атмосферы. При такой конструкции в случае значительного повышения уровня масла в баке трансформатора в предохранительной трубе создается большое давление и стеклянная диафрагма разрушается. В настоящее время во всех трансформаторах внутренние полости верхней части расширителя и предохранительной трубы соединяют трубкой диаметром 18—24 мм. Таким образом, воздух в верхней полости трубы сообщается с атмосферой через воздухоосушитель расширителя, и в нормальных условиях стеклянная диафрагма не испытывает избыточного давления.

При изготовлении новой диафрагмы толщину стекла выбирают в зависимости от диаметра трубы:

Некоторые энергосистемы вместо стекла применяют медную фольгу толщиной 0,1—0,15 мм, окрашенную с обеих сторон эмалью 624с. При замене диафрагмы уплотняющие резиновые прокладки промазывают бакелитовым лаком. Уплотнение должно быть герметичным. Герметичность проверяют, заливая в трубу трансформаторное масло и выдерживая в течение 0,5—1 ч верти-

кально диафрагмой вниз.

Термосифонный фильтр. Ремонт фильтра включает его разборку, очистку корпуса, сетки, решетки, маслопроводов и промывку их чистым сухим трансформаторным маслом. Выгрузку и загрузку сорбента производят соответственно через нижний и верхний патрубки без демонтажа фильтра. По количеству содержащегося в термосифонном фильтре силикагеля марки КСК (кускового или гранулированного) фильтры подразделяют на следующие типы: ТФ-16, ТФ-25, ТФ-40, ТФ-63, ТФ-100, ТФ-160. Цифры показывают массу силикагеля в килограммах. Раньше выпускались фильтры емкостью 12, 25, 50, 75 и 100 кг силикагеля.

Воздухоосушителя сводится к его разборке, очистке от старого силикагеля, загрязнений и просушке. Расположенный в верхней части патрон заполняют индикаторным силикагелем или индикаторной бумагой. Затем в цилиндр засыпают пропитанный раствором хлористого кальция силикагель марки КСМ или КСК. (Очень эффективен как сорбент в воздухоосушителе цеолит, однако он дорог и поэтому не находит широкого применения в трансформаторах). До крышки должно оставаться свободным около 15—20 мм. В гидрозатвор заливают сухое трансформаторное масло и присоединяют фильтр к дыхательной трубке расширителя.

Все наружные поверхности элементов, рассмотренных в этой главе, к которым после установки на трансформатор будет затруднен доступ, целесообразно после ремонта покрасить эмалью, применяемой для окраски

всего трансформатора — см. § 11-14.

#### ГЛАВА ОДИННАДЦАТАЯ

### СБОРКА ТРАНСФОРМАТОРА ПОСЛЕ РЕМОНТА А. СБОРКА АКТИВНОЙ ЧАСТИ

### 11-1. ТРЕБОВАНИЯ К СБОРКЕ АКТИВНОЙ ЧАСТИ

У высоковольтных трансформаторов напряженность электрического поля очень высока. В этих условиях ворсинки, отдельные читки от концов тафтяной или киперной ленты, пылинки, грязь, кусочки электрокартона, попавшие между листами изоляции или между листами и обмоткой, играют роль острых электродов, резко снижающих электрическую прочность масляных промежутков. Поэтому помещение, где производят ремонт и изготавливают отдельные узлы и детали трансформатора и особенно там, где производят сборку, должно быть чистым и защищенным от пыли, грязи и влаги.

При ремонте и изготовлении отдельных частей, а также при сборке необходимо тщательно производить все операции, руководствуясь чертежами и технологическими инструкциями; выдерживать все изоляционные расстояния, размеры вертикальных и горизонтальных каналов, толщину изоляции; правильно накладывать изоляцию, качественно выполнять пайки и другие элект-

рические соединения, а также заделывать концы; при обнаружении повреждений немедленно их устранять.

Подготовительные работы. Прежде чем приступить к сборке активной части, осматривают магнитопровод (стыки пластин стержней с пластинами нижнего ярма, каналы в нижнем ярме и стержнях), проверяют, нет ли волнистости пластин стержней (особенно, если магнитопровод подвергался перешихтовке), состояние запрессовки стержней, состояние изоляции всех крепежных и прессующих магнитопровод устройств; очищают магнитопровод от грязи, пыли, шлама, посторонних предметов Состояние запрессовки стержней проверяют ножом или щупом, состояние изоляции— мегаомметром 2500 В. Если изоляция оказывается дефектной, ее заменяют новой, но прежних размеров и толщины. После установки и закрепления новую изоляцию также проверяют мегаомметром. Сопротивление изоляции должно быть не менее 100 МОм.

Очищают магнитопровод сначала ветошью, не оставляющей ворса, а затем мягкой кистью, окуная ее в сухое трансформаторное масло.

## 11-2. УСТАНОВКА ИЗОЛЯЦИИ И ОБМОТОК. ПОДПРЕССОВКА ОБМОТОК

Наиболее ответственными операциями сборки активной части после ремонта являются установка изоляции и обмоток на стержни магнитопровода и подпрессовка обмоток. Эти операции производятся в следующей технологической последовательности: установка нижней изоляции; подготовка магнитопровода и внутренней обмотки к сборке; насадка и расклиновка внутренней обмотки; установка изоляции между обмотками; насадка средней и наружной обмоток. После установки обмоток производят их подпрессовку.

Установка нижней уравнительной и опорной ярмовой изоляции. Начала и концы обмоток НН и СН выводят в одну сторону, а обмотки ВН — в другую. Поэтому до того как производить укладку нижней изоляции и установку обмоток, проверяют, какая сторона магнитопровода соответствует стороне НН и СН и какая — стороне ВН. Это делают для того, чтобы можно было соединить потом крепления отводов с ярмовыми балками. При сборке активной части руководствуются чертежами уста-

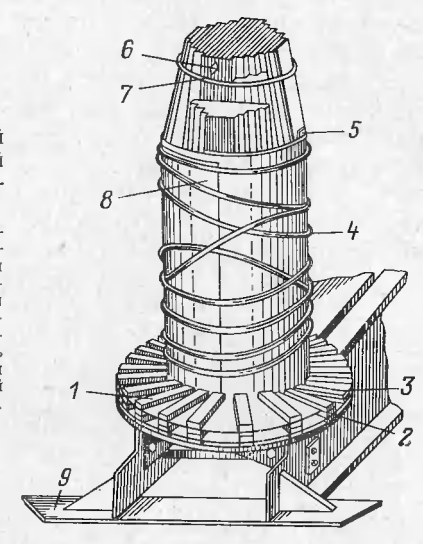
новки изоляции и обмоток, дающими представление

о конструкциях элементов главной изоляции.

Установку изоляции и обмоток начинают с укладки на полки ярмовых балок уравнительной изоляции (рис. 11-1), так чтобы ее поверхность была на одном уровне с поверхностью ярма. Затем укладывают нижнюю ярмовую опорную изоляцию с вынимающейся вставкой 4 для прохода концов обмоток. При этом строго следят за тем, чтобы прокладки 9 ярмовой 1 и уравнительной 2 изоляций точно совпадали друг с другом.

Рис. 11-1. Укладка нижией ярмовой и уравнительной изоляции на ярмо магнито-провода.

1— ярмовая изоляция; 2— уравнительная изоляция; 3— выреа ярмовой изоляции для прохода концов обмоток; 4— киперная лента для стяжки цилиндра; 5— деревянная планка; 6— отметка места окончания расшихтовки; 7— ремень для стяжки верхней части гтержия; 8— электрокартонный цилиндр; 9— опорная пластина.



Подготовка магнитопровода и внутренней обмотки к сборке. После укладки нижней изоляции устанавливают вокруг каждого стержня определенное количество деревянных планок 5 (рис. 11-1), закрепляя их киперной лентой 4 так, чтобы они не закрывали охлаждающих каналов в стержнях магнитопровода и образовывали каркас, диаметр которого должен быть равен внутреннему диаметру первого изоляционного цилиндра минус 3—4 мм. Деревянные планки радиального крепления изготовляют из бука, причем если нельзя избежать установки их в уступы сечения стержней, куда входят охлаждающие каналы, то в них делают вырезы или выточки для прохода масла.

Если внутренняя обмотка не имеет жесткого бакелитового цилиндра, на планки 5 радиального крепления наматывают «мягкий» цилиндр 8. Мягкий цилиндр наматывают из листов гибкого электрокартона марки А толщиной 1,5—2 мм. Высота заготовок листов должна быть равна высоте цилиндра. Стыки листов выполняют с перекрытием не менее чем на 100 мм и располагают в промежутке между рейками, причем в одном промежутке может быть не более одного стыка. Чтобы намотка была плотной, слои в процессе намотки обстукивают равномерно по высоте ладонями рук и раскрепляют вразгон киперной лентой. Слои наматывают один на другой до получения расчетной толщины цилиндра, указанной в чертеже.

После окончания намотки мягкого цилиндра верхний слой закрепляют вразгон по высоте киперной лентой 4. При этом стараются не делать узлов и утолщений, а концы ленты закреплять так, чтобы не было отдельных нитей. Затем проверяют кронциркулем или шнуром наружный диаметр цилиндра. Чтобы цилиндр плотно прилегал к стержню и его диаметр не превышал внут-

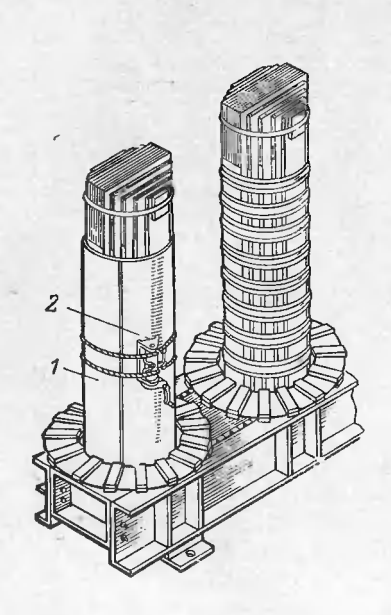


Рис. 11-2. Затяжка мягкого цилиндра.

1 — мягкий цилиндр; 2 — приспособление для затяжки мягкого цилиндра (лебедка).

реннего диаметра насаживаемой обмотки, иногда дополнительно стятивают цилиндр хлопчатобумажной веревкой с помощью специальной лебедки и закрепляют в нескольких местах киперной лентой; после этого веревку снимают (рис. 11-2).

Перед насадкой обмотку тщательно осматривают внутри и снаружи. У обмоток не должна быть повреждена витковая изоляция, прокладжи должны быть правильно и равномерно расположены по окружности и высоте. Не должно быть смещения витков (особенно в местах переходов), повреждений и смещений продольных реек, посторонних предметов и пыли (особенно металлической).

Если витки обмоток состоят из параллельных про-

водов, проверяют обмотку на отсутствие обрыва и замыкания между параллельными проводами мегаомметром 500 или 1000 В. На отсутствие обрыва проверяют поочередно все параллельные провода, для этого их концы с одной стороны разъединяют и разводят (рис. 11-3, а). Если мегаомметр показывает нуль, между началом и концом провода обрыва нет. При проверке на отсутствие

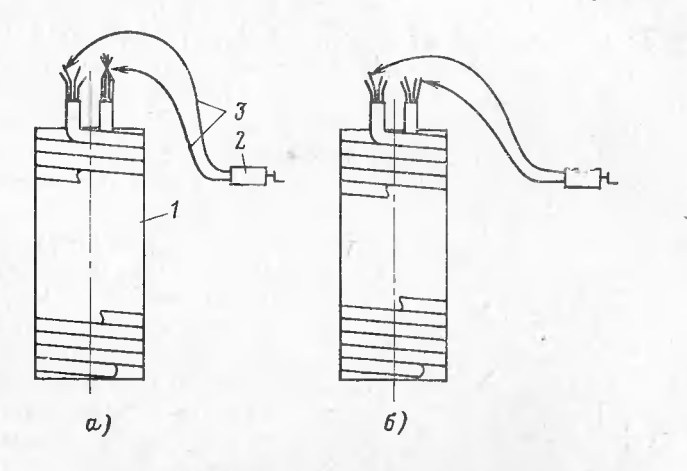


Рис. 11-3. Схема проверки обмоток НН на отсутствие обрыва провода (а) и замыкания между параллельными проводами (б). 1 — обмотка: 2 — мегаомметр; 3 — провода мегаомметра.

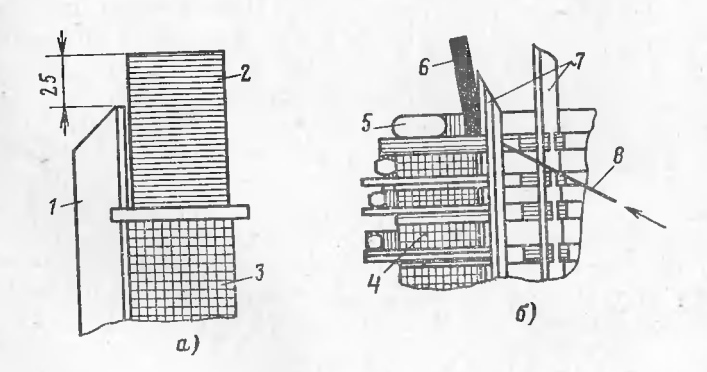


Рис. 11-4. Обрубка вертикальных реек.

a — обмоток НН и СН; b — обмотки ВН; b — рейки; b — опорное кольцо; b — обмотки НН или СН; b — обмотки ВН; b — емкостное кольцо обмотки; b — электрокартониая прокладка для защиты емкостного кольца обмотки; b — стамеска.

21 - 593

замыкания (рис. 11-3, б) разводят начала и концы всех параллельных проводов и один конец мегаомметра присоединяют к одному из разведенных проводов, а другим концом прикасаются поочередно ко всем остальным параллельным проводам. Если замыкания нет, мегаомметр покажет какое-то сопротивление. Так производят проверку между всеми проводами.

Затем обрубают лишнюю длину электрокартонных реек 1 (рис. 11-4, а) в верхней части обмотки 3. Рейки обрубают на 20—25 мм ниже верхнего торца опорного кольца 2. Если обмотка 4 (рис. 11-4, б) имеет наверху емкостное кольцо обмотки 5 и витки с катушечной изоляцией, то, чтобы их не повредить, при обрубке рейки 7

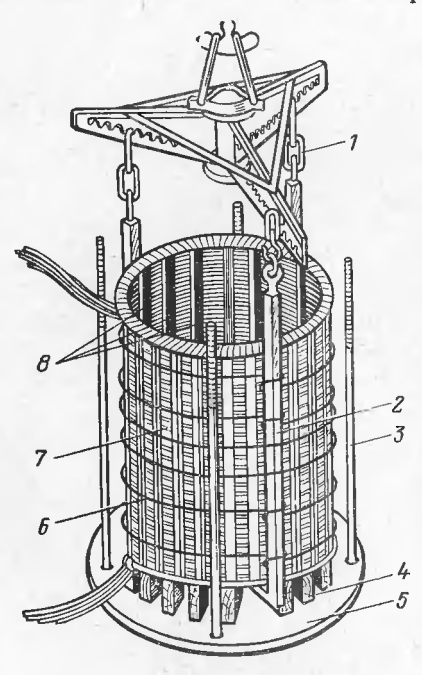


Рис. 11-5. Подъем обмотки с помощью подъемных лап и трехлучевой траверсы.

1— траверса; 2— подъемная лапа; 3— стяжная шпилька; 4— нижняя опорная деревянная подкладка; 5— нижняя стальная плита для стяжки обмоток; 6— веревка для крепления лап к обмотке; 7— обмотка; 8— вертикальные рейки обмотки,

между ней и емкостным кольцом обмотки щают прессованную электрокартонную прокладку 6 толщиной 5—7 мм. Если конструкции главной изоляции предусмотрены угловые шайбы, в рейках делают вырезы строго по размерам, указанным в чертеже, поскольку в эти вырезы помещается цилиндрическая часть угловой шайбы (см. рис. 2-8).

При насадке обмоток. так же как и при съеме их, используют подъемное устройство, состоящее подъемных лап соответствующих размеров и трехлучевой двvxили траверсы 1 (рис. 11-5). Трехлучевую траверсу применяют, если диаметр обмотки превышает 600 мм. Каждую лапу 2, как и при съеме обмоток, подводят под столб прокладок. При этом на опорную часть лапы пакладывают электрокартонную прокладку шириной, большей, чем ширина лапы. Для установки лап выбивают из-под обмотки 7 несколько опорных деревянных прокладок 4 в таких местах, чтобы лапы при насадке обмоток не оказались между стержнями магнитопровода. Установленные ла-

пы закрепляют веревкой 6 по всей высоте.

Закрепленную и подвешенную на крюк крана обмотку поднимают с опорной плиты, ставят на подставку, осматривают, обрабатывают рейки, продувают обмотку струей чистого, сухого сжатого воздуха, натирают парафином изнутри поверхности реек и снова подвешивают обмотку. При подъеме обмотку выравнивают на крюке, чтобы она висела строго вертикально без перекосов, и подводят к магнитопроводу выше стержня, на который производится насадка. Маневрируя краном, устанавливают обмотку против стержня так чтобы ее осевое направление совпадало с осью стержня. Концы обмотки должны быть обращены при этом в нужную сторону и находиться против предназначенных для них промежутков между прокладками уравнительной изоляции.

Перед насадкой внутренней обмотки верхнюю часть стержня магнитопровода временно обертывают электрокартоном толщиной 1 мм, чтобы не повредить изоляцию

витков краями пластин стержня.

Насадка и расклиновка внутренней обмотки. Отрегулировав положение обмотки, медленно опускают ее на стержень. При этом придерживают низ обмотки руками и направляют ее так, чтобы она своими краями не цеплялась за углы стержня и чтобы линии ее дистанционных прокладок совпадали с прокладками ярмовой и

уравнительной изоляций.

При правильных размерах магнитопровода, раскрепляющих планок, цилиндра и обмотки последняя должна опускаться, хотя и медленно, под действием силы тяжести. Иногда под действием силы тяжести обмотка опускается только на часть стержня; тогда дальнейшую насадку производят при помощи груза. В этом случае на обмотку кладут с двух сторон деревянные бруски и подвешивают на кран подходящий груз так, чтобы его центр тяжести совпадал с осью обмотки. Затем плавно, без перекосов, груз опускают на обмотку, постепенно насаживая ее на стержень.

Обмотку при насадке не опускают до ярмовой изоляции, а ставят на деревянные подпорки и освобождают от

лап. Это делается для того, чтобы можно было выгнуть и изолировать нижний конец обмотки. Если концы обмотки состоят из параллельных проводов, их выравнивают, а затем выгибают сначала нижние, а затем верхние концы. Провода выгибают плашмя и укладывают рядами в порядке, указанном на рис. 11-6. Затем изолируют провода и весь конец согласно указаниям в черте-

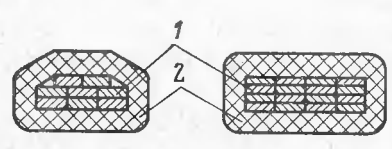


Рис. 11-6. Укладка параллельных проводов конца обмотки.
1 — провода; 2 — изоляция.

же. После этого выбивают из-под обмотки подпорки и опускают ее на ярмовую изоляцию. Конец обмотки укладывают при этом в предназначенный для него промежуток между прокладками уравнительной изоляции.

После насадки внутренних обмоток на все три

стержня их расклинивают круглыми деревянными клиньями. Клинья забивают в свободные уступы сечения стержней, располагая их так, чтобы они приходились против реек внутренней обмотки и не закрывали охлаждающих каналов в стержнях. Если в каком-либо уступе эти требования нельзя выполнить, его пропускают. В высоковольтных трансформаторах в уступ стержня сначала устанавливают полоску электрокартона, согнутую под прямым углом, а затем забивают деревянный клин. Это делают и тогда, когда клин при забивании идет слишком свободно. Перед расклиновкой внутренних обмоток проверяют по чертежу правильность их насадки; нет ли повреждений, которые могут возникнуть при насадке; совпадают ли прокладки обмоток с прокладками ярмовой и уравнительной изоляций, а деревянные клинья с продольными рейками обмоток; проверяют положение концов и качество их изоляции. Одновременно проверяют наружный диаметр и высоту внутренней обмотки и соответствие их расчетным данным.

Если класс напряжения обмотки ВН 110, 220 кВ или выше, то нижняя изоляция сложная. На рис. 11-7, а показана ярмовая изоляция трансформатора 220 кВ. Кроме ярмовой изоляции в этом случае устанавливают ярмовые барьеры с П-образными прокладками (рис. 11-7, б), а также угловые шайбы, цилиндрическую часть которых размещают в вырезах реек обмотки. Уг-

ловые шайбы удлиняют путь возможных поверхностных разрядов и позволяют сократить изоляционные расстояния между обмоткой и ярмом.

При установке барьеров с прокладками следят за тем, чтобы прокладки барьера располагались строго по

оси прокладок ярмовой изоляции.

Установка изоляции между обмотками. Насадка средней и наружной обмоток. Установив внутренние обмотки, приступают к установке элементов главной изоляции между обмотками. Изоляция обмоток ВН от обмо-

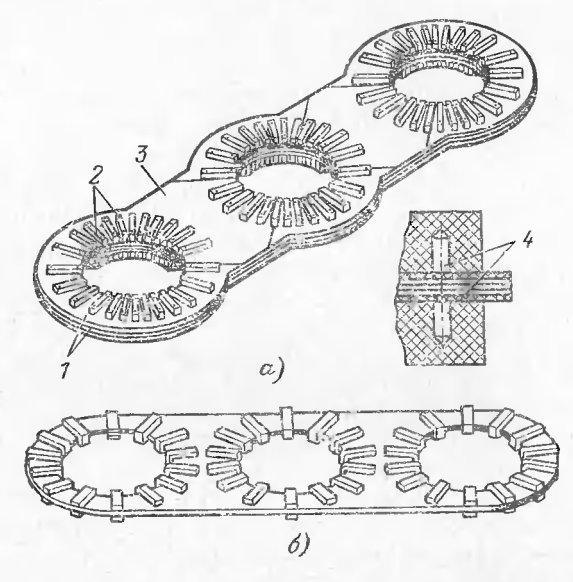


Рис. 11-7. Изоляция обмотки ВН трансформатора 220 кВ. a- ярмовая изоляция; b- ярмовой барьер с П-образными прокладками; b- шайбы; b- прокладки; b- вставка; b- заклепки.

ток СН или НН, так же как и изоляция обмоток СН от НН, состойт из чередующихся масляных промежутков и изоляционных цилиндров, дополненных угловыми шайбами.

Намотку мягких цилиндров на внутреннюю обмотку производят так же, как было указано выше. При намотке цилиндров следят за тем, чтобы стыки листов не приходились на линию прокладок внутренней обмотки. Если стыки попадают на линию прокладок, лист обрезают так, чтобы стыки пришлись на промежуток между линиями прокладок. Если обмотка СН первая на стержне и име-

ет регулировочные отводы, располагаемые с внешней стороны между столбами прокладок, то при намотке цилиндра стыки его листов не должны приходиться на те места окружности обмотки, где проходят ее отводы.

Намотав и закрепив цилиндры на всех трех стержнях, проверяют их наружные диаметры и приступают к установке нижней изоляции следующей обмотки (обмотки ВН). Установку ведут в соответствии с чертежом установки изоляции и обмоток. После укладки пижней изоляции устанавливают на ранее намотанные мягкие цилиндры равномерно по всей окружности дистанционные продольные рейки из электрокартона и закрепляют их

по высоте вразгон киперной лентой.

Число реек у обмоток ВН, СН и НН одинаковое или имеет значительный общий наибольший делитель. Рейки обмотки ВН устанавливают против реек обмотки НН(СН). Ширину реек между цилиндрами берут равной 40 мм, а толщину — согласно чертежу минус 3—4 мм. На рейках с обоих концов делают срезы по толщине на длину, равную высоте цилиндрической части угловой шайбы (обычно 150 мм) плюс допуск на опрессовку (25—30 мм). Установив и закрепив рейки, наматывают на них на всех трех стержнях вторые мягкие цилиндры. Лишнюю длину электрокартонных реек всех обмоток обрубают так же, как и у внутренней обмотки (рис. 11-4).

Обмотки ВН имеют, как правило, регулировочные отводы, расположение которых на разных фазах может быть несколько различным. Поэтому точно устанавливают принадлежность их к тому или иному стержню магнитопровода. Перед установкой обмоток ВН их тщательно осматривают и подготавливают для насадки. Подготовку и насадку обмоток ВН производят точно так же, как и обмоток НН и СН. При насадке следят, чтобы концы обмоток ВН были направлены в нужную сторону, регулировочные ответвления были расположены согласно чертежу, линии прокладок обмоток совпадали с прокладкаим ярмовой и уравнительной изоляций.

После насадки обмоток ВН проверяют по чертежу правильность их установки, а также наружный диаметр и его соответствие расчетным данным. Затем укладывают всю верхнюю изоляцию и прессующее стальное кольцо как на внутренние, так и на наружные обмотки. Обычно верхняя изоляция является зеркальным отображением нижней, однако расстояние от торца обмотки ВН

до прессующего кольца вверх должно быть больше, чем внизу до отводов СН и НН и вообще до ярма, поскольку вверху между торцом обмотки ВН и прессующим кольцом необходимо разместить концы обмоток СН и НН.

Верхние барьеры у трехфазных мощных высоковольтных трансформаторов служат одновременно и междуфазной изоляцией (рис. 11-8). Иногда междуфазную изоляцию изготовляют и устанавливают отдельно, собирая из целых полос электрокартона толщиной 2 мм.

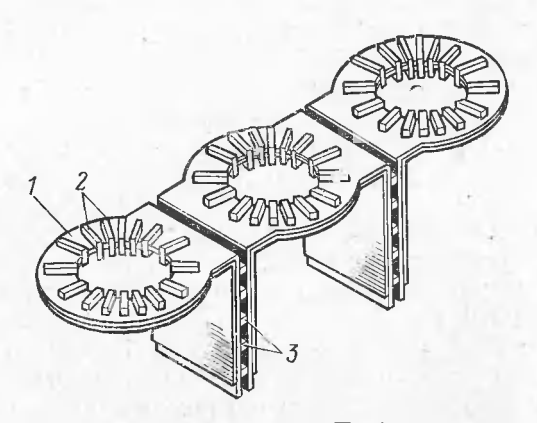


Рис. 11-8. Верхний барьер с П-образными прокладками. 1— шайба: 2— П-образные прокладки: 3— между-

1 — шайба; 2 — П-образные прокладки; 3 — междуфазные перегородки.

Ширину полос берут равной диаметру наружной обмотки. Отдельные полосы сшивают по краям шпагатом и прикрепляют сверху и снизу к отворотам угловых барьеров. Там, где нет угловых барьеров, междуфазную изоляцию привязывают к вертикальным стяжным шпилькам, при отсутствии вертикальных шпилек — к ярмовым балкам.

Сборку и установку верхней изоляции и прессующего устройства производят по чертежу установки изоляции и обмоток. При этом учитывают необходимые допуски на прессовку и строго соблюдают требования, которые были указаны при сборке и установке нижней изоляции.

Подпрессовка обмоток. После установки всей верхней изоляции и прессующего устройства предварительно

подпрессовывают обмотки, чтобы опустить их и изоляцию до уровня стыков стержней с ярмом. Предварительную подпрессовку производят обычно грузом, который опускают на деревянные брусья, уложенные на стальные нажимные кольца, а если их нет, то на изоляцию.

Когда нет подходящего груза, подпрессовку производят с помощью специальной рамы и вертикальных стяжных шпилек. С этой целью под нижнее ярмо подкладывают продольные и поперечные швеллеры и такие же швеллеры устанавливают сверху на прессующие кольца или верхнюю ярмовую изоляцию. Нижние и верхние швеллеры связывают вертикальными стяжными шпильками с шайбами и гайками. Чтобы шпильки не проворачивались, их удерживают снизу ключами. Навертывая гайки на шпильки, сжимают швеллеры и тем самым прессуют обмотку и изоляцию. Прессовку производят одновременно и равномерно по обеим сторонам ярма.

Если, несмотря на усиленную прессовку, обмотка и изоляция не опускаются до уровня стыков, то предварительно сушат активную часть до зашихтовки верхнего ярма. В результате сушки вся изоляция из электрокартона и бумаги дает усадку и при последующей прессовке обмотка и изоляция опускаются до необходимого уровня.

В целях уменьшения усадки электрокартона у собранного трансформатора и сохранения прессовки в течение длительного срока его эксплуатации целесообразно при сборке трансформатора прессовать многократно (не менее 2 раз) его обмотки. Давление начальной прессовки должно быть не менее  $50 \cdot 10^5$  Па ( $50 \text{ krc/cm}^3$ ).

### 11-3. ШИХТОВКА ВЕРХНЕГО ЯРМА. МОНТАЖ УСТРОЙСТВ, ПРЕССУЮЩИХ ОБМОТКИ. МОНТАЖ ЗАЗЕМЛЕНИЙ

**Шихтовка верхнего ярма.** Верхнее ярмо шихтуют, как правило, одновременно с двух сторон от середины к краям, т. е. сначала закладывают средний пакет пластин, образующий обычно масляный охлаждающий канал, а затем производят дальнейшую укладку пластин от середины в обе стороны. Шихтовку производят пакетами так, как это было сделано заводом, чередуя с двух сторон пластины стержней с пластинами ярма.

При шихтовке все время следят за тем, чтобы в местах стыков пластин зазоры были минимальными. Ярмо

по мере шихтовки стягивают в шахматном порядке металлическими скобами (см. рис. 5-14), которые заранее заготовляют разной длины из полосовой стали толщиной 5—6 мм и шириной 50—60 мм. Пластины все время обстукивают сверху молотком или небольшой кувалдой через брусок из дерева, фибры или шинной меди, положенной вдоль пластин. Обстукивают и с торцов ярма, чтобы укладываемые слоями пластины ярма и стержней как сверху, так и с торцов были на одном уровне. При этом следят за тем, чтобы не погнуть и не измять верхние края пластин.

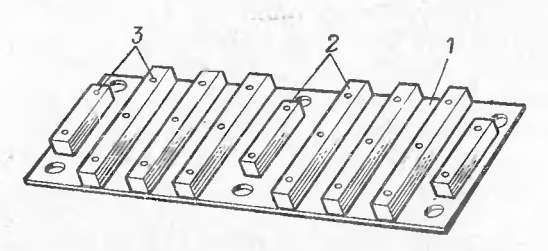


Рис. 11-9. Электрокартонный мост, изолирующий ярмовые балки от активной стали ярм. 1- лист; 2- рейки; 3- заклепки.

После окончания шихтовки и выравнивания всех пластин устанавливают с обеих сторон верхнего ярма электрокартонные мосты с наклепанными рейками (рис. 11-9), которые служат изоляцией ярмовых балок от активной стали ярма. Рейки должны быть обращены в сторону ярма. Мосты временно привязывают к ярму киперной лентой. Затем устанавливают верхнюю уравнительную изоляцию, заполняющую выступ ярма, так чтобы оси прокладок уравнительной изоляции совпадали с осями прокладок верхней и всей нижней изоляции. После этого определяют, какая ярмовая балка относится к стороне НН и какая к стороне ВН, поднимают и устанавливают балки на верхнюю уравнительную изоляцию. При установке ярмовые балки насаживают на вертикальные стяжные шпильки, если они есть, и скрепляют через отверстия на концах шпильками.

Стянув концевыми шпильками ярмовые балки так, чтобы ярмо, мосты и ярмовые балки выровнялись относительно друг друга, снимают металлические скобы, которыми стягивали пластины ярма в процессе шихтовки,

и начинают прессовать ярмо.

При бесіппилечной конструкции магнитопровода ярмо крепят и прессуют с помощью стальных полубандажей (рис. 5-10), а также концевых постоянных шпилек вне ярма. Затем сцепляют вертикальные замковые пластины с верхними и нижними ярмовыми балками, соединяя их между собой (рис. 5-11), и регулируют их зазоры между шипами пластин и опорными шипами ярмовых балок при помощи клинового устройства.

Монтаж устройств, прессующих обмотки. Окончив прессовку ярма, проверяют щупом или ножом, а также по расчетным размерам достаточность затяжки и монтируют соответствующее устройство, прессующее обмотки. Если устройство, прессующее обмотки, выполнено в виде стальной прессующей плиты и нажимных болтов, то монтируют на нижних полках верхних ярмовых балок нажимные болты, устанавливают на прессующие плиты башмаки и с помощью нажимных болтов подпрессовывают обмотки и изоляцию до размеров, указанных в чертеже. На мощных высоковольтных трансформаторах целесообразно устанавливать гидропружинное прессующее устройство (см. рис. 2-15,6). Если вертикальные стяжные шпильки, их гивают до соответствующих размеров раскернивают гайки.

Затем, пока не установлено заземление магнитопровода и прессующих колец, проверяют мегаомметром 2500 В изоляцию нижних и верхних ярмовых балок от ярм, а также изоляцию полубандажей при бесшпилечной конструкции в верхнем и нижнем ярмах. После этого раскернивают гайки на полубандажах, чтобы они не отвинчивались в результате вибрации при работе транс-

форматора.

Монтаж заземлений. Затем осуществляют заземление магнитопровода аналогично заводскому исполнению по одной из схем, показанных на рис. 11-10, в зависимости от конструкции активной части. Обычно заземление выполняют для мощных трансформаторов медной луженой двойной лентой толщиной 0,3 мм каждая и шириной 40 мм. Один конец заземляющей ленты закладывают между пластинами в ярме на глубину 75 мм, а другой в зависимости от схемы или присоединяют под подъемную шпильку, или прижимают к внутренней стороне стенки ярмовой балки, или прикрепляют болтом к полке ярмовой балки.

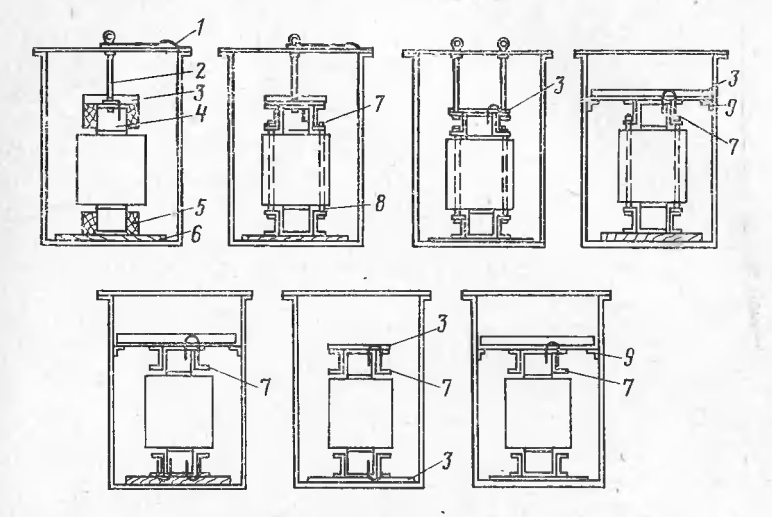


Рис. 11-10. Схемы заэемления магнитопроводов при различных конструкциях активной части.

1 — болт на крышке; 2 — подъемные шпильки; 3 — стальная поперечная планка (угольник); 4 — магннтопровод; 5 — деревянная ярмовая балка; 6 — деревянный опорный брусок; 7 — стальная ярмовая балка; 8 — шпилька, связывающая верхнюю ярмовую балку с нижней; 9 — крепленне на стенке бака.

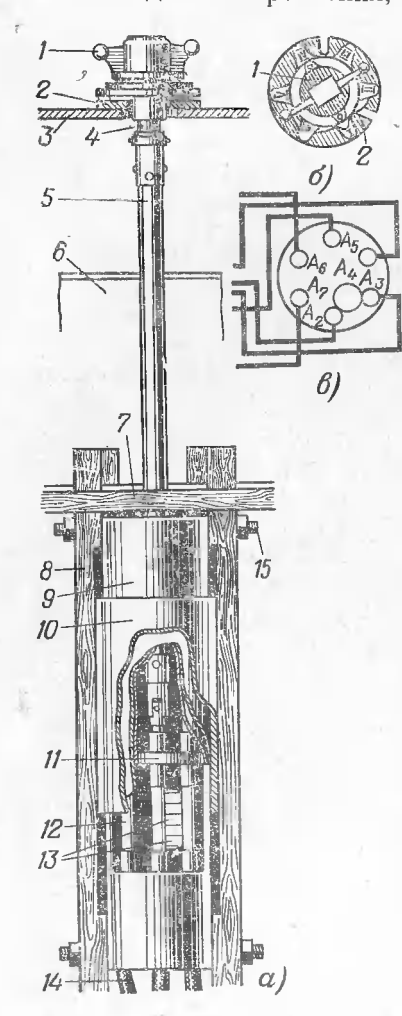
Если схема заземления требует установки заземляющих лент как в верхнем, так и в нижнем ярмах, то ленты располагают одну под другой и на одинаковом расстоянии от края ярма, иначе будут увеличенные потери холостого хода. В некоторых конструкциях трансформаторов иностранных фирм пакеты пластин разделены листами электрокартона. В этом случае пакеты пластин соединяют металлическими перемычками.

### 11-4. РЕВИЗИЯ И МОНТАЖ ПЕРЕКЛЮЧАЮЩИХ УСТРОЙСТВ

При любом виде ремонтных работ переключающее устройство устанавливается или старое, или аналогичное новое заводского изготовления. Место установки и конструкция крепления сохраняются также в заводском исполнении. Если трансформатор до ремонта или модернизации вообще не имел переключающего устройства или в результате модернизации изменились параметры, а соответственно и тип устройства, то приходится специально разрабатывать конструкцию установки и креп-

ления как самого переключающего устройства, так и его привода. Таким образом, монтаж переключающих устройств производится или в прежнем заводском исполнении, или по специально разработанному чертежу.

Прежде всего нужно произвести ревизию, а при необходимости и ремонт (гл. 9) и подготовить переключающее устройство к установке. При его ревизии внимательно осматривают контакты, пружины, изолирующие детали и детали крепления, обращая особое внимание



на состояние контактных поверхностей и их сочленение, давление пружин, состояние изолирующих деталей, затяжку деталей крепления, сочленение переключателя с приводом и т. п. В зависимости от результатов осмотра устраняют все замеченные неисправности и повреждения.

Установка переключающего устройства ПБВ. У отечественных трансформаторов 35, 100 кВ и выше регулировочные ответвления соединяются с переключателем ответвлений кабелями, ко-

Рис. 11-11. Крепление переключающего устройства барабанного типа на активной части трансформатора.

1—колпак привода; 2—фланец, приваренный к крышке бака; 3— крышка бака; 4— вал привода; 5— штанга припода; 6— ярмовая балка; 7— горизонтальная деревянкая планка, скрепленная с ярмовой балкой 6 и стойкой 8; 8— вертикальная деревянная стойка; 9— длиный крепежный бумажно-бакслитовый цилиндр; 10— защитный бумажно-бакслитовый припиндр; 11— гетнаксовый дики; 12—контактный стержень; 13—контактные кольца; 14—кабель; 15— текстолитовый инлиндр; 15— текстолитовые шинльки.

торые или впаиваются в контактные трубки, или присоединяются посредством наконечников с трубной

резьбой.

Отечественные переключающие устройства ПБВ с ручным управлением, размещенным на крышке, на напряжения 35, 110 кВ (рис. 11-11,а) и выше (кроме типов ПТЛ-4-120/35 и ПСС-4-120/35×3) крепятся на ярмовой балке 6 в деревянной раме (7,8) с помощью бакелитовых цилиндров 9, которые надеваются на переключающее устройство (11-12-13) и служат как для крепления, так и для изоляции от обмотки ВН. Два крепежных цилиндра имеют выступы, которыми они входят в прорези писка переключающего устройства. На них надевается общий наружный защитный цилиндр 10 на всю высоту переключающего устройства, включая оба крепежных цилиндра. Этот общий защитный наружный цилиндр имеет вырез (окошко), который закрывается скользящим по нему четвертым коротким цилиндром. Наружный и крепежные цилиндры имеют сверху и снизу по два общих отверстия диаметром 22 мм, через которые вставляют текстолитовые шпильки 15, крепящие цилиндры, а с ними и переключающее устройство к деревянной раме (рис. 11-11,6, в).

В гл. 9 (на рис. 9-7) даны размеры цилиндров, используемых для крепления наиболее распространенных

переключающих устройств ПБВ типа П6.

Для соединения переключающего устройства с приводом служит штанга, конструкция которой рассмотрена в § 9-4. К одному концу штанги крепится металлическая втулка с прорезью, а другой — соединяется с приводом.

На рисунках (гл. 9) показаны различные переключающие устройства с дистанционным управлением как ПБВ, так и РПН. Эти переключающие устройства монтируют или на остове под крышкой, или на крышке в специальном баке, или в баке сбоку от активной части.

Установка избирателя РНТ-18 устройства РПН. Избиратель устройства РНТ-18 (рис. 11-12), применяемый в трансформаторах РПН, устанавливают обычно на верхней раме, а токоограничивающий реактор — на нижней раме активной части с помощью крана. Подъем осуществляют за подъемные кольца. Избиратель устанавливают на стальные пластины, соединяющие верхние ярмовые балки. При этом нижняя рама, на которой со-

бран избиратель, не должна иметь зазоров между своей нижней плоскостью и всеми пластинами, на которых она крепится. При отсутствии зазоров вал переключателя свободно вращается от руки. Это показывает, что избиратель установлен правильно.

Аналогично устанавливают на активной части элементы всех типов переключающих устройств с токоог-

раничивающими реакторами.

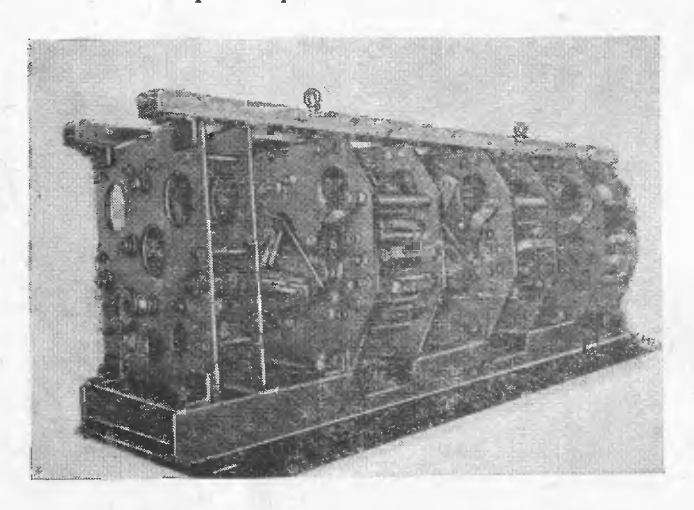


Рис. 11-12. Избиратель РНТ-18.

Монтаж переключающего устройства РПН типа РС-3. Поскольку устройство нельзя держать на воздухе больше 8 ч, его монтируют сразу после установки активной части в бак или после закрытия активной части колоколом перед заливкой трансформатора маслом. Монтаж производят в следующем порядке.

Укладывают уплотнение из клингерита или паронита на приваренный к крышке бака фланец.

Поднимают переключающее устройство за подъемные скобы из бачка с маслом, подводят к трансформатору так, чтобы его ось совпала с осью отверстия во фланце, и опускают в бак до тех пор, пока фланец переключающего устройства не ляжет на уплотнение, уложенное на фланец бака. При этом отверстия во фланцах для шпилек должны совпасть, а приводной вал должен быть направлен к редуктору.

Завинчивают шпильки по всему периметру так, чтобы уплотнение было зажато равномерно.

Крепят переключающее устройство к колоколу при

помощи дополнительного фланца.

Закрепляют нижнюю часть переключающего устройства металлическим поясом на разрезном изоляционном цилиндре, который изолирует нижний конец переключающего устройства от дна бака. Цилиндр предварительно устанавливают через люки в стенке бака.

Соединяют согласно схеме неподвижные контакты избирателя с ответвлениями обмотки, а также избиратель с контактором и предизбирателем (реверсором) через люки в стенке бака или колокола. Все соединения

изолируют и хорошо закрепляют.

Если переключающее устройство ремонтировалось или устанавливается новое, полученное в разобранном виде, предварительно собирают верхнюю самостоятельную контакторную часть с нижней, в которой размещены избиратель и предизбиратель (реверсор). Для правильной сборки этих частей необходимо, чтобы совпали маркировки на деталях блока шестерен избирателя. При этом указатель положения переключающего устройства должен показывать положение К (К — число реек избирателя). В положении К должны быть четные подвижные контакты избирателя, а в положении K-1 нечетные; предызбиратель должен быть замкнут в положении 23, а контактор — в положении 32 (см. рис. 9-32). Изоляционный вертикальный вал избирателя должен правильно войти в зацепление с поводком блока шестерен избирателя.

После сборки переключающее устройство монтируют, как указано выше. Устанавливают реле RS-1000 (см. рис. 5-6), настроенное на срабатывание при скорости масла 0,9 м/с. Это реле связывает масляное пространство контактора с масляным пространством расширителя, отделенным от его объема перегородкой. Маслопровод выполняют из трубы диаметром 25 мм. Реле монтируют как можно ближе к переключающему устройству. Механическую связь последнего с приводом осуществляют при помощи редуктора и двух валов—вертикального и горизонтального. Оба вала связаны с редуктором и приводом карданным соединением. На рис. 11-13 показана установка переключающего устройства РС-3 в трансформаторе с колоколом. Сигнальные

и силовые кабели входят в привод через две муфты. Последние прикреплены к дну защитной коробки болтами так, что привод можно демонтировать, не вынимая кабелей из муфт.

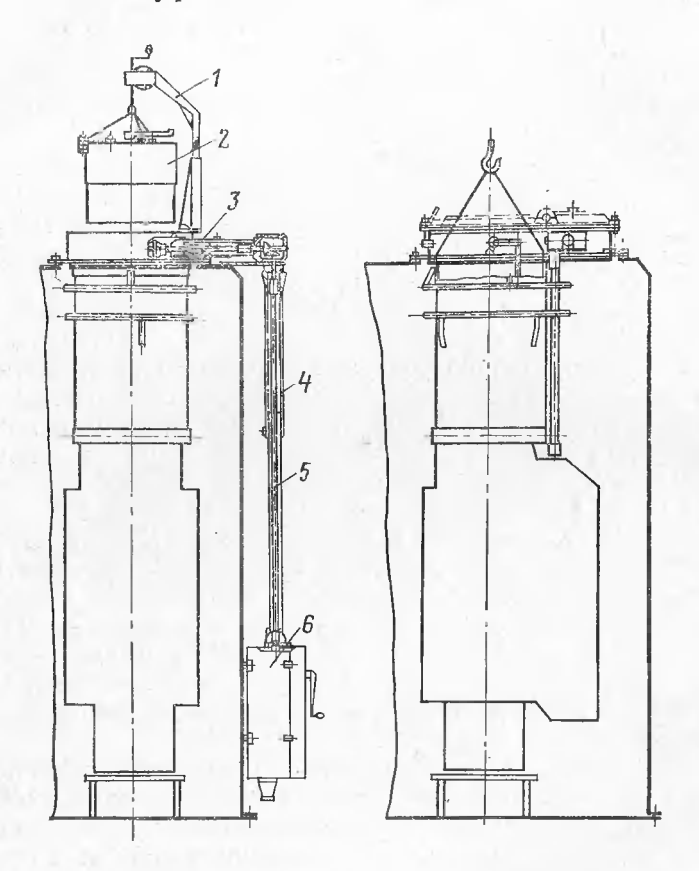


Рис. 11-13. Установка переключающего устройства РС-3 в трансформаторе с колоколом.

1- кран; 2- контактор; 3- система передач; 4- защитная труба; 5- вал; 6- приводной механизм.

Присоединение проводов осуществляют по схеме, имеющейся на внутренней стороне крышки. Провода должны правильно лежать в клеммах, а винты — быть крепко затянуты. При подключении силовых проводов необходимо строго соблюдать их правильную фазировку.

Если по тем или иным причинам переключающее устройство находилось на воздухе более 8 ч, его сушат (§ 9-12).

Закончив монтаж переключающего устройства РС-3,

трансформатор заливают маслом.

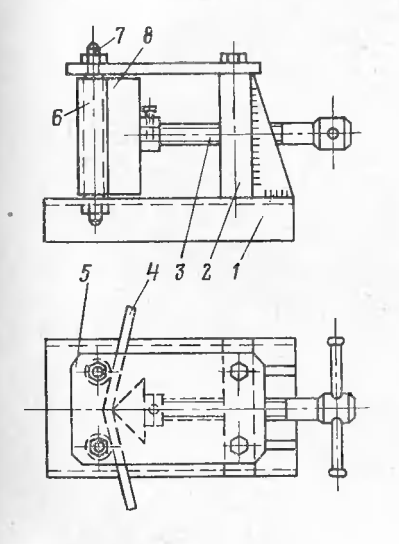
### 11-5. МОНТАЖ, ИЗОЛИРОВКА, КРЕПЛЕНИЕ И ПАЙКА ОТВОДОВ

Монтаж отводов. Отводы, как правило; используют заводские; конструкция их крепления также должна быть в заводском исполнении.

В случае обнаружения дефектов, требующих замены отдельных отводов или отдельных деталей крепления,

их изготовляют заново.

Для изготовления новых отводов отрезают заготовку нужного размера, выгибают ее шиногибом



2 3 4

Рис. 11-14. Шиногиб для изгиба плашмя шинного отвода.

1 — основание — швеллер; 2 — прнваренная стойка с резьбовым отверстием для внита; 3 — ходовой винт; 4 — изгибаемая шина; 5 — скрепляющая пластина; 6 — втулка; 7 — шийлька; 8 — наконечник ходового винта в виде призмы.

Рис. 11-15. Шиногиб для изгиба на ребро шинного отвода.

1 — изгибаемая шина; 2 — основанне — швеллер; 3 — промежуточная сменная пластина (берется в зависимости от толщины нагибаемой шины); 4 — верхияя щека; 5 — рукоятка; 6 — подвижный ролнк; 7 — стержень, вокруг которого производится изгиб.

(рис. 11-14 и 11-15) или вручную по шаблону и обрабатывают концы (расплющивают, сверлят, делают прорези, лудят, припаивают или пристраивают наконечники 2—593

или демпферы и т. п.). Если отвод приходится выгибать вручную, то на заготовке отмечают место изгиба, зажимают ее в тиски так, чтобы пометка была у края их губок, и начинают выгибать заготовку руками или с помощью трубы.

По мере выгиба трубу постепенно отодвигают от края тисков, пока отвод не примет нужную форму. Затем проверяют выгиб по шаблону. В отдельных случаях заготовку отвода зажимают в тиски вместе с шаблоном и

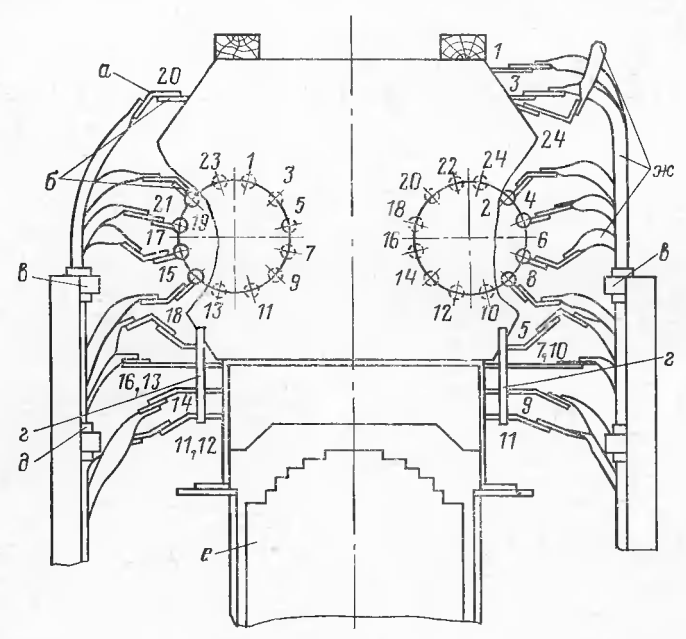


Рис. 11-16. Присоединение отводов к одной фазе избирателя РНТ-18. a — пластина; b — шины; b — деревянная планка; c — гетннаксовая доска; d — электрокартон; e — магннтопровод; m — отводов и контактов переключателей.

выгибают ее по шаблону, выравнивая деревянным молотком. Если отвод изготовляют из гибкого кабеля, то длину отрезка кабеля берут на 50 мм больше необходимого размера, поскольку кабель не дает четких углов. Затем у отвода обрабатывают концы.

Детали крепления изготовляют преимущественно из бука. Однако допускается применять и другие лиственные породы дерева (дуб, березу, граб, ясень). Заготовки деревянных деталей сушат, после чего точно подгозав

няют и обрезают непосредственно по месту, размечают

и сверлят отверстия, вырезают пазы и т. п.

Монтаж отводов при сборке активной части большей частью производят по чертежам или эскизам, сделанным во время разборки. При этом отводы и планки устанавливают в том порядке, в каком они были занумерованы на эскизе (заводское исполнение). Присоединение отводов к переключающим устройствам производят также по чертежам или эскизам. Для примера на рис. 11-16

показано присоединение отводов к одной фазе избирателя РНТ-18, выполненное так же, как оно выполняется на Московском электрозаводе имени В. В. Куйбышева.

Отволы В мошных трансформаторах изготовляют из гибкого кабеля. мелных шин. круглых труб. Их стержней или крепят обычно на деревянной раме, состоящей из системы продольных и поперечных планок с соответствующими стиями, пазами и выреза-

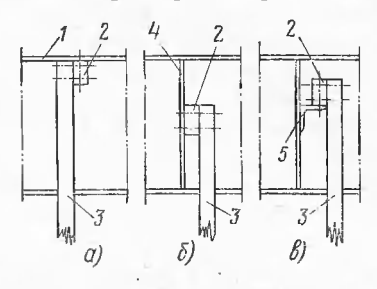


Рис. 11-17. Крепление деревянной рамы к ярмовым балкам.

a — к верхней ярмовой балке; b — к косывке ярмовой балки; b — к угольнику, приваренному к косынке: 1— верхняя полка верхней ярмовой балки; 2 — горизонтальная деревянная планка; 3- вертикальная деревянная планка; 4- косынка ярмовой балки; 5- приварной угольник.

ми. Раму в свою очередь крепят стальными болтами М12 к верхней и нижней ярмовым балкам (рис. 11-17), которые имеют для этого соответствующие отверстия, кронштейны и другие приспособления. Планки размером 35×50 мм скрепляют между собой при напряжении 110 кВ и выше текстолитовыми или деревянными шпильками диаметром 19 мм.

Концы отвода, выполненного из гибкого кабеля, очищают от изоляции. Для этого на расстоянии 110-150 мм от конца делают круговой надрез по изоляции, затем от места надреза делают продольный разрез и снимают изоляцию отдельными слоями вплоть по жилы кабеля. После зачистки конца кабеля часть изоляции (примерно на длине 50 мм от очищенного места) срезают на конус, чтобы после изолировки пайки в месте стыка новой и старой изоляции не получалось просветов. При изгибе отвода, имеющего телстую изоляцию, место изгиба увлажняют горячей водой. Благодаря этому изоляция кабеля в месте изгиба не рвется и не дает трещин.

Если очищенный от изоляции конец кабеля нужно припаять к концу обмотки или шине, его обертывают полоской медной фольги и расплющивают. При большом сечении конец кабеля разделяют на две-три части, каждую часть обертывают полоской демпферной меди, расплющивают и отдельно припаивают к концу обмотки или шине. Также расплющивают в местах пайки круглый сплошной отвод. Если два отвода соединяют болтами, то для лучшего контакта контактные поверхности предварительно лудят.

Если к середине шинного отвода надо присоединить пайкой несколько проводов, то для разделения паек в шине делают неглубокие разрезы. При присоединении большого количества параллельных проводов к концу шинного отвода его обрабатывают в виде зубнов (см.

рис- 3-3).

Отводы НН трансформаторов средних и больших мощностей соединяют со шпильками вводов при помощи гибких демпферов (см. рис. 3-19), которые набирают из медных лент толщиной 0,3—0,5 мм. Одни концы лент спаивают между собой и с концом отвода твердым припоем, а другие концы пропаивают оловянным припоем и делают в них отверстия для соединения с вводом.

Изолировка отводов трансформатора. При необходимости отводы трансформаторов классов напряжения 110 кВ и выше изолируют кабельной или крепированной бумагой, а также лакотканью. Отводы трансформаторов классов напряжения 6-35 кВ обычно изолируют бумажно-бакелитовыми трубками с толщиной стенки 2, 4 и 6 мм. При толщине стенки 2 мм стыки трубок изолируют крепированной бумагой или лакотканью вполуперекрытие на толщину 1,5 мм на сторону на длине 40 мм. У трубок, имеющих толщину стенки 4 и 6 мм, стык затачивают на конус на длине 30—40 мм и изолируют лентой из крепированной бумаги или лакоткани на толщину 2 мм на сторону на длине от места стыка по 60 мм в каждую сторону. Изолированный стык трубок должен отстоять от края деревянной планки крепления для трубки с толщиной стенки 2 мм не менее чем на 25 мм, а для трубки с толщиной стенок 4 и 6 мм — не менее чем на 70 мм. Стыки трубок нескольких парал-340

лельных отводов должны быть смещены по отношению

друг к другу не менее чем на 30 мм.

При изолировании отводов в месте сочленения прерванной и последующей изоляции, а также в месте перехода от меньшей ее толщины к большей изоляцию выполняют в виде конуса на длине, равной 10-кратной ее толщине. При изолировании мест паек изоляцию с обеих сторон зачищают также на конус. Конструкция и толщина изоляции отводов должны соответствовать указаниям в чертежах и определяться классом напряжения трансформатора, а также положением отводов по отношению к обмоткам и заземленным частям.

Отводы и места паек изолируют очень тщательно лентой. Изолирующую ленту накладывают возможно более плотно вполуперекрытие, не допуская образования просветов, пустот, карманов, пазух, особенно на сгибах и переходах. С этой целью в процессе изолировки все время обжимают и приглаживают рукой наложенные слои ленты, прижимая их к предыдущим слоям. Изоляцию из бумаги и лакоткани закрепляют одним или двумя слоями тафтяной или киперной ленты вполуперекрытие.

Если отводы трансформатора не подлежат изолировке, в частности шинные отводы, их покрывают эмалью

624с (серой) или 624к (красной).

Концы обмоток НН у мощных трансформаторов припаивают меднофосфорным припоем к медным шинам, к которым в свою очередь припаивают линейные отво-

ды (гибкие кабели или медные стержни). Линейные отводы у обмоток ВН выполняют обычно из круглого медного провода с припаянным к нему кабелем, пропускаемым в трубу высоковольтного ввода. Вторые расплющенные концы отводов припачвают к концам обмоток ВН и изолируют места паек, как указано выше. Регулировочные отводы трансформаторов выполняют гибкими кабелями. Каждый регулировочный отвод заканчивается контактным латунным наконечником (башмаком) с отверстием, в которое вхо-

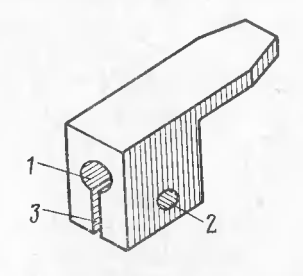


Рис. 11-18. Контактный наконечник отводов к переключающему устройству РНТ-13.

отверстие для коитактного стержня избирателя;
 отверстие для стопорного болта;
 прорезь.

дит стержень переключающего устройства (рис. 11-18). Наконечник закрепляют болтом, который зажимает стержень между двумя половинками наконечника, разделен-

ными прорезью.

Крепление отводов трансформатора. При креплении отводов трансформатора обязательно в местах прохода через планки устанавливают дополнительную изоляцию, выполняемую из электрокартона толщиной 0,5—1 мм; толщина этой изоляции указана в чертеже. На рис. 11-19 показано крепление отводов в деревянных планках.

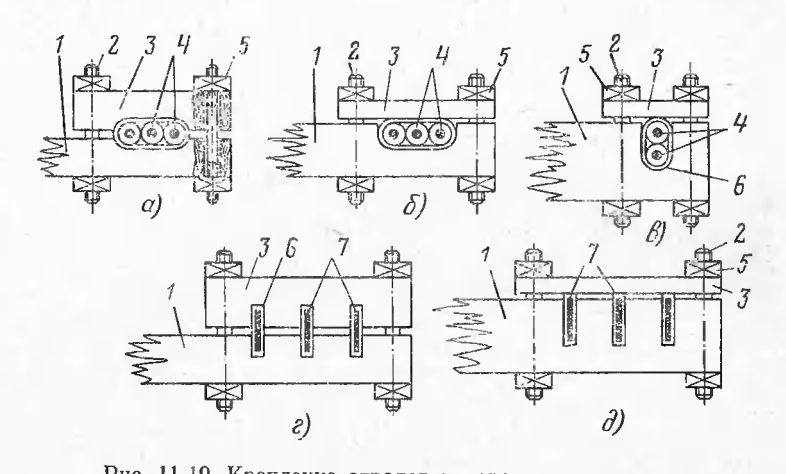


Рис. 11-19. Крепление отводов к деревянным планкам.  $a, \ 6$  н a— крепление кабелей; a н d— крепление шин; J— основная планка; a— шпилька из изоляционного материала; a— прижимиая планка; a— кабели; a— гайка из изоляционного материала; a— электрокартон; a— шины.

При креплении отводов в плашках после их затяжки должен оставаться промежуток. Для этого глубину выреза в планках берут на 2—3 мм меньше наружного диаметра отвода или толщины шины с изоляцией, если шина расположена вдоль планки. Ширина выреза должна быть на 3—5 мм больше диаметра отвода или ширины шины. Если шину устанавливают на ребро, ее зажимают между двумя планками; при этом глубина выреза в каждой планке должна быть меньше половины ширины шины, а ширина выреза — немного больше толщины шины вместе с изоляцией.

При установке отводов трансформатора и их закреплении выдерживают все минимально допустимые изо-342 ляционные расстояния как от отводов до обмоток и заземленных частей, так и между отдельными отводами. В изгибах и местах соединений отводов не должно быть острых углов. Для примера на рис. 11-20 и 11-21 показаны отводы ВН и НН для трансформатора ТД-10000/35.

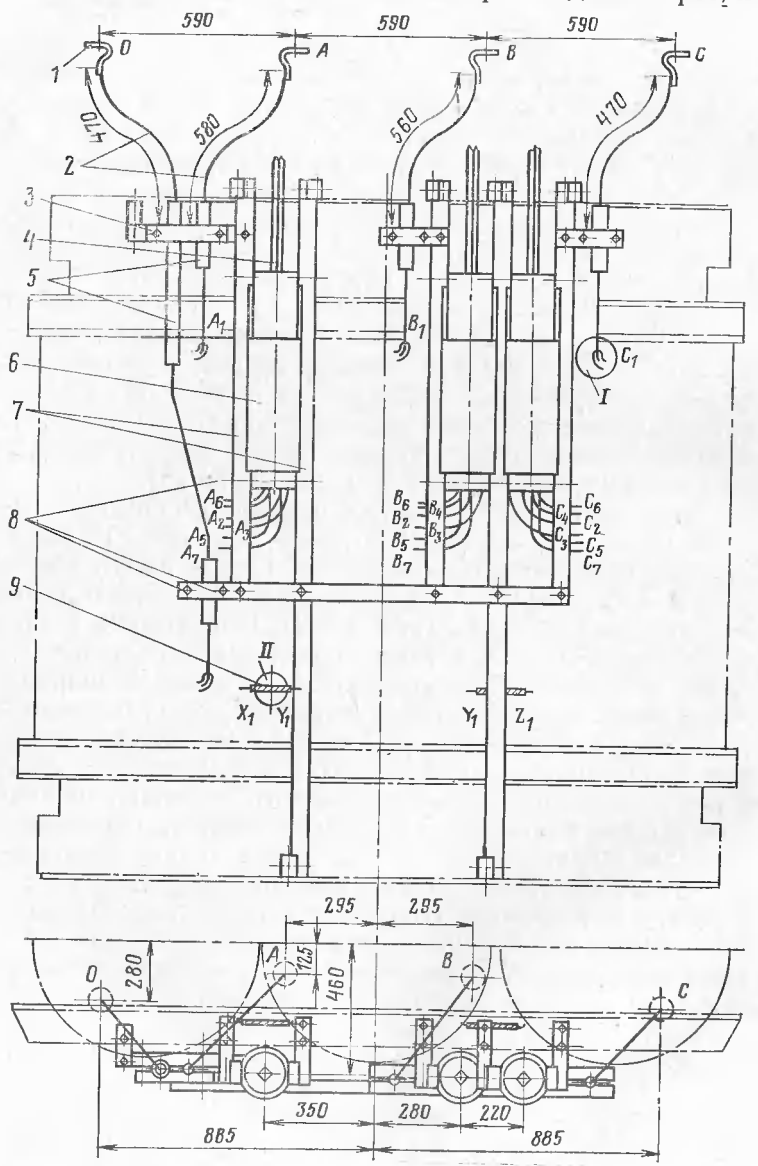
Пайка отводов трансформатора. После заготовки отводов и деталей крепления производят монтаж, пайку и крепление как отдельных отводов, так и всей схемы.

Все эти операции производят так, чтобы ни одна из них не мешала другой. Исходя из этого требования, монтаж, сборку и пайку отводов трансформатора или выполняют до окончательной установки конструкции крепления, или, если она не мешает, сначала устанавливают полностью или частично конструкцию крепления.

Одной из ответственных операций сборки является пайка отводов и схемы трансформатора. Пайку медных отводов и проводов производят твердым припоем без флюса с помощью электропаяльных клещей. В качестве припоя применяют сплав медь—фосфор (ГОСТ 4515-48). Алюминиевые отводы и провода паяют соответствующи-

ми припоями с флюсами (см. приложение 13).

Для электропайки медных отводов используют небольшой электросварочный агрегат, состоящий из однофазного трансформатора мощностью 3-10 кВ А, электропаяльных щипцов с соединительным кабелем и педального выключателя (рис. 11-22). Напряжение трансформатора 220/8 В. Пайку производят внахлестку на длине не меньше полуторной или двойной ширины проводника. Концы проводников, подлежащих пайке, обрабатывают напильником по всей плоскости так, чтобы при наложении их друг на друга не получалось утолщений, затем контактные поверхности зачищают наждаком, чтобы место контакта было чистым, плоским и гладким. Обработанные и зачищенные концы проводников укладывают для пайки один на другой внахлест и зажимают между угольными пластинами щипцов. Вблизи места пайки на проводники накладывают асбестовые компрессы, а для защиты окружающих изолированных и деревянных деталей от загорания, а также от попадания внутрь обмоток кусочков припоя и окалины устанавливают щиты и экраны из листового асбеста. Когда пайка подготовлена, включают нажимом педали трансформатор: уголь начинает накаливаться, а вместе с ним нагревается и место пайки. Трансформатор не следует включать надолго; его включают с перерывами, то нажимая, то отпуская педаль, и таким образом постепенно, но все сильнее нагревают место пайки до темно-вишневого цвета, и если пайка производится серебря-



ными припоями, то в этот момент ее со всех сторон посыпают мелко истолченной пережженной бурой. Затем нагревают место пайки до ярко-красного или светло-желтого цвета, берут плоскогубцами пластинку припоя и водят ею со всех сторон по стыку двух проводников так, чтобы припой, расплавляясь, протек между проводниками и заполнил собой все поры. При пайке медно-фосфорным припоем и припоем ПСр-15 буру не применяют, а нагревая место пайки, водят пластинкой припоя по стыку, как указано выше.

Пайку ведут с перерывами. Образующиеся при пайке наплывы и капли припоя необходимо сразу удалять. Закончив пайку, щипцы не снимают до тех пор, пока проводники не потемнеют. Затем место пайки смачивают водой и после охлаждения его обрабатывают напильником и наждачной бумагой, тщательно заглаживая все

острые углы, неровности, заусенцы и т. п.

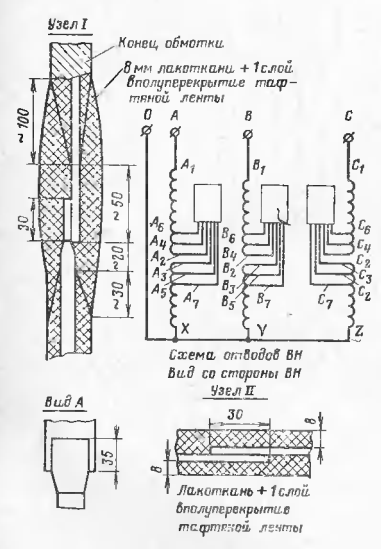


Рис. 11-20. Отводы ВН трансформатора типа ТД-10000/35.

1— компенсатор из ленточной меди; 2— кабель марки ПБОТ-6 сечением 50 мм²; 3—буковая прижимная планка; 4— штанга; 5— бумажио-бакелитовые изолирующие трубки; 6— переключатель ответвлений Пб-300/35; 7—буковые планки крепления переключателя; 8— деревяные шпильки с гайками; 9— междуфазные (нулевые) соединения.

Проверяют качество пайки, для этого ударяют по ней молотком, а также осматривают со всех сторон (можно с помощью зеркала). При осмотре следует убедиться в том, что припой целиком заполнил все пространство в месте контакта и что пайка не имеет трещин и пустот.

После обработки и прозерки место пайки изолируют, как указано выше.

После пайки и окончательного закрепления отводов трансформатора и всей конструкции необходимо проверить, чтобы концы всех шпилек и болтов не подходили близко к токоведущим частям, а также к баку. Как правило, все металлические шпильки в конструкции крепления отводов и схе-

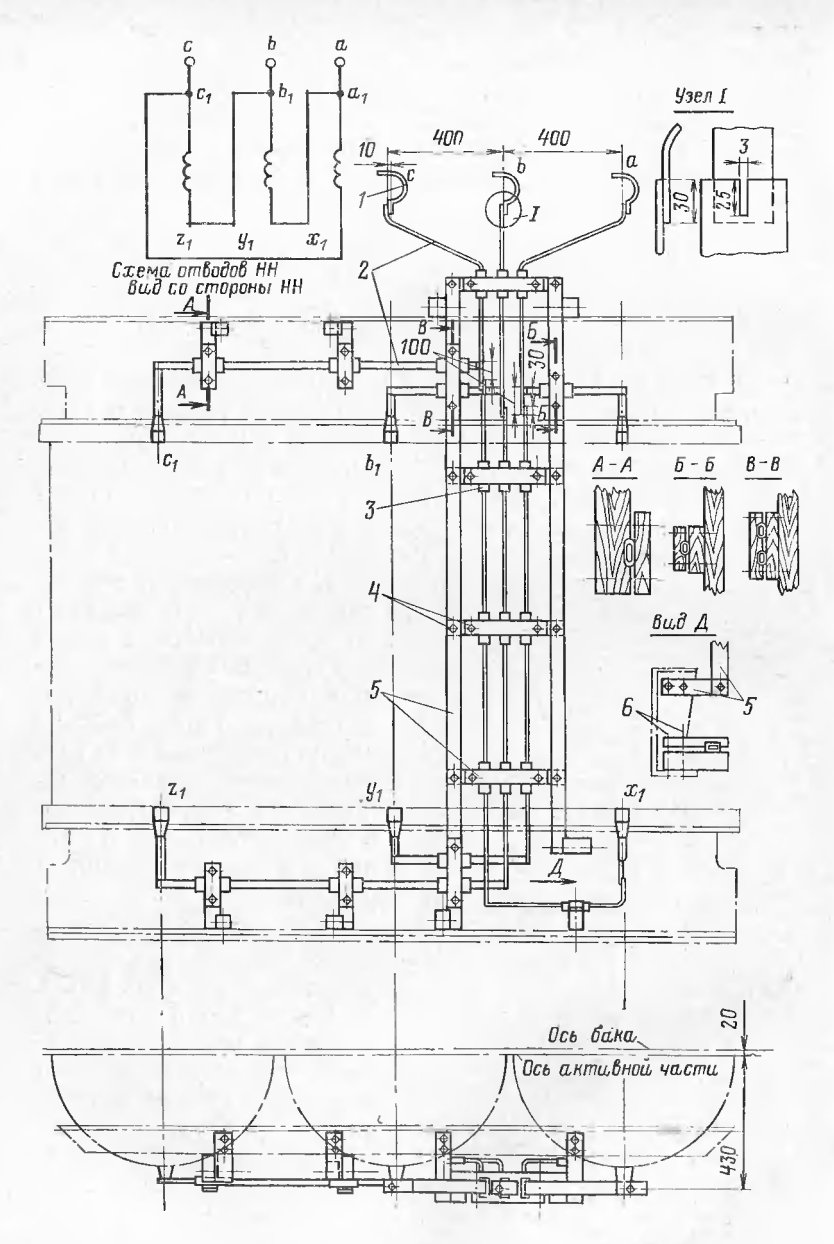


Рис 11-21. Отводы НН (6,6 кВ) траисформатора типа ТД-10000/35. 1- компенсатор из ленточной меди; 2- голая медиая шина; 3- изолящия отвода в местах прохода через деревянные планки; 4- шпильки с гайками для крепления деревянных планок; 5- деревянные буковые планки; 6- болты с гайками.

мы обрезают заподлицо с гайкой и зачищают все заусенцы. Неметаллические шпильки также подрезают, но не заподлицо с гайкой, а оставляя место для перевязки их бечевкой (рис. 11-26).

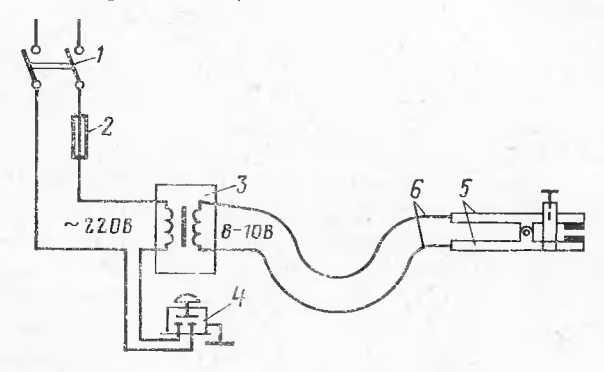


Рис. 11-22. Схема агрегата для электропайки.

1 — рубильник; 2 — предохранитель; 3 — трансформатор; 4 — педальный выключатель;  $\delta$  — электропаяльные клещи;  $\delta$  — соединительные кабели.

При обрезке шпилек и зачистке мест обрезки необходимо обеспечить, чтобы опилки не могли попасть на активную часть

#### 11-6. КОНТРОЛЬНЫЕ ИСПЫТАНИЯ ПРИ СБОРКЕ АКТИВНОЙ ЧАСТИ

В процессе сборки активной части производят ряд

контрольных испытаний.

Испытание обмоток на отсутствие виткового замыкания производят при частичной зашихтовке верхнего ярма (среднего пакета) непосредственно после насадки обмоток НН, а затем и после насадки обмоток ВН. При испытании у двух обмоток НН разводят концы, а на третью подают пониженное напряжение (5-10% номинального). Для замеров подаваемого напряжения, а также тока включают вольтметр и амперметр. Амперметр включают сначала на ток не менее 20% номинального. так как при частичной зашихтовке верхнего ярма ток холостого хода может быть значительно больше его нормального значения. На такой же ток подбирают и соединительные провода. Подготовив испытание, осматривают активную часть, обращая внимание на отсутствие посторонних предметов, а также соприкосновения оголенных проводников друг с другом и с заземленными частями. Магнитопровод при проведении испытаний должен быть заземлен. Убедившись в том, что все в порядке, включают напряжение и наблюдают за обмотками в течение 10—15 мин. При наличии в одной из обмоток виткового замыкания появится дым. Чтобы быть уверенным в достаточности подаваемого напряжения для обнаружения виткового замыкания, делают вокруг одной из обмоток контрольный короткозамкнутый виток из изолированного провода того же сечения, что и у витков обмотки.

Если напряжение достаточно, то через короткий промежуток времени контрольный виток задымит. Тогда трансформатор выключают, контрольный виток снимают и затем снова включают напряжение. Если дыма не появляется, то время от времени выключают напряжение и проверяют на ощупь нагрев всех катушек или витков на всех обмотках. Убедившись после 10—15 мин, что никаких ненормальных явлений не наблюдается,

испытание заканчивают.

После насадки обмоток ВН испытание повторяют, подавая пониженное напряжение или на одну из обмоток ВН, или, если для обмотки ВН имеющееся пониженное напряжение слишком мало, на одну из обмоток НН. Необходимо следить, чтобы концы всех остальных обмоток были разведены, иначе может иметь место короткое замыкание.

Измерение коэффициента трансформации и сопротивлений обмоток постоянному току. До запайки схемы измеряют фазовые коэффициенты трансформации и сопротивления постоянному току обмоток фазы. С этой целью зачищают концы обмоток, соединяют поочередно регулировочные ответвления на обмотке ВН и, подавая на концы обмотки ВН низкое напряжение (127, 220, 380 В), измеряют напряжение как на обмотке ВН, так и на обмотке НН.

Разделив значение напряжения ВН на значение напряжения НН, получают фазный коэффициент трансформации. Таким образом определяют коэффициент трансформации на каждой фазе и всех различных соединениях регулировочных ответвлений. Полученные значения коэффициентов трансформации не должны отличаться более чем на  $\pm 0.5\%$  от расчетных и более чем на 1% для разных фаз.

Сопротивление постоянному току обмоток измеряют или мостом, или постоянным током по методу ампермет-

ра и вольтметра (гл. 13). Эти сопротивления определяют отдельно для обмоток ВН и НН каждой фазы. Значения сопротивлений постоянному току для одних и тех же обмоток различных фаз не должны отличаться друг

от друга более чем на 2%.

Измерения как коэффициентов трансформации, так и сопротивлений постоянному току производят приборами класса точности 0,2—0,5. Схемы и методика испытаний даны в гл. 13. Поскольку указанные измерения производят до запайки схемы на временных соединениях, необходимо обеспечить хороший контакт на всех соединениях, а также повторить все измерения после запайки схемы и полной сборки активной части.

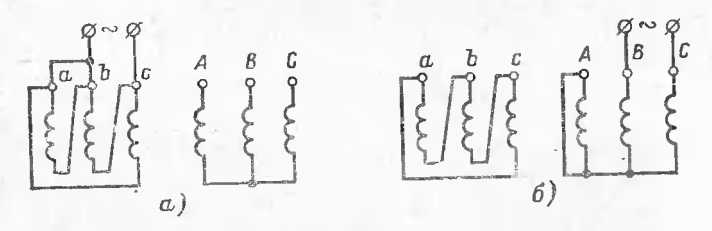


Рис. 11-23. Опыт холостого хода в однофазной схеме. a- закорочена фаза на стороне треугольника; b- закорочена фаза на стороне звезды с нулем.

Результаты измерений коэффициентов трансформации позволяют судить о правильности и идентичности намотки обмоток, а также о правильности сборки схемы и присоединений регулировочных ответвлений к переключающему устройству. Измерения сопротивлений постоянному току помогают своевременно обнаружить

различные дефекты (см. приложение 12).

Специальные испытания при пониженном напряжении. После запайки схемы и сборки всей активной части повторяют измерения коэффициента трансформации и сопротивлений обмоток постоянному току, а также производят три испытания с поочередным замыканием одной из фаз, т. е. первое — при закороченной фазе A или a, второе — при закороченной фазе B или b и третье — при закороченной фазе C или c (рис. 11-23,a и b). Испытания производят при пониженном напряжении (5—10% номинального).

В схему включают амперметр, вольтметр и ваттметр. Все приборы должны быть класса точности не ниже 0,5.

Указанные испытания позволяют выявить дефектную фазу, если она имеется, у трансформаторов с магнито проводами, выполненными из горячекатаной стали. Нормально значения токов и мощностей у таких трансформаторов при подаче напряжения на зажимы АВ (закорочена фаза С) и затем на зажимы ВС (закорочена фаза А) не должны отличаться друг от друга при одном и том же напряжении более чем на 1-2%, значение тока и мощности при подаче напряжения на зажимы АС (закорочена фаза  $\hat{B}$ ) должно быть на 30-40% больше, чем на зажимах АВ и ВС. Если одна из фаз имеет дефекты (витковое замыкание), например фаза A, то только при замыкании ее не будет повышенного значения тока и мощности; в двух других случаях эта фаза участвует и будут иметь место повышенные значения тока и мошности.

Кроме того, эти испытания при пониженном напряжении позволяют определить потери холостого хода. Произведя указанные три испытания и получив три значения мощности, складывают их и делят пополам. Полученное таким образом значение мощности  $P'_0$  пересчитывают на номинальное напряжение по формулам:

 $P_{
m OY} = P'_{
m o} \, (1,16 U_{
m H}/U')^n - {
m пр}$ и соединении обмоток в звезду;

 $P_{_{0\!\Delta}}\!=\!P'_{_0}\,(\!U_{^{_{\mathrm{H}}}\!}\!/U')^n-$  при соединении обмоток в треугольник,

где  $U_{\rm H}$  — номинальное линейное напряжение обмотки, на которой производились измерения, В; U' — измеренное во время испытаний напряжение, В; n — показатель степени, равный (при напряжении 5—10% номинального) для горячекатаной стали 1,8 и для холоднокатаной стали 1,9.

Опыт короткого замыкания производят также после запайки схемы и сборки всей активной части. Так как все испытания как в процессе сборки, так и после нее носят контрольный характер с целью выявления тех или иных дефектов, то производят три пофазных опыта короткого замыкания (рис. 11-24). Для этого замыкают накоротко обмотку НН и подают низкое напряжение (меньше  $u_{\rm k}$ ) поочередно на зажимы сначала AB, затем BC и, наконец, AC. В схему для измерений включают амперметр, вольтметр и ваттметр. Измеренная при каж-

дом опыте мощность представляет собой потери двух фаз. При отсутствии дефектов все три опыта дадут одинаковые результаты. При наличии дефекта «больная» фаза обнаружится тем, что опыт, в котором она не участвует, даст меньшие потери, чем два других опыта с ее участием.

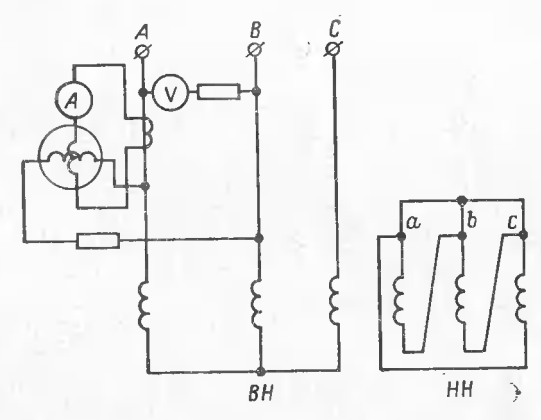


Рис. 11-24. Схема пофазного опыта короткого замыкания трехфазного трансформатора.

Дефекты, которые могут быть обнаружены опытом короткого замыкания, указаны в таблице приложения 12.

Методика проведения опыта дана в гл. 13.

## 11-7. РЕВИЗИЯ, ЧИСТКА И ПРОМЫВКА АКТИВНОЙ ЧАСТИ

После сборки активная часть подвергается сушке. Процесс и методы сушки описаны в гл. 12.

После сушки активную часть ревизуют, чистят, промывают и подготавливают к опусканию в бак.

Ревизия активной части состоит в том, что проверяют и восстанавливают прессовку обмоток, а также затяжку всех креплений, поскольку в процессе сушки последние ослабляются.

Если прессовка обмоток производится с помощью нажимных колец и прессующих болтов, то ее восстанавливают равномерной подтяжкой указанных болтов, если—расклиниванием, то для восстановления прессовки ее дополнительно расклинивают. Для этого между про-

кладками уравнительной и ярмовой изоляций забивают молотком через деревянную планку или приспособлением (рис. 11-25) равномерно по всей окружности добавочные клинья из электрокартона. Клинья должны быть предварительно высушены. Расклинивание ведут при зачаленных и натянутых стропах. Если произощла

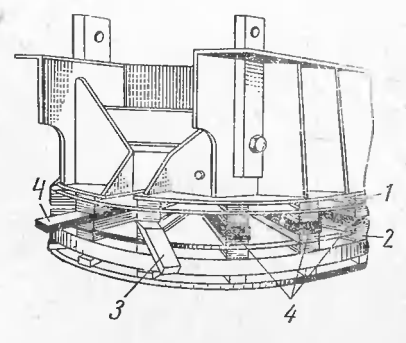


Рис. 11-25. Подпрессовка обмоток электрокартонными прокладками. 1 -- уравнительная изоляция; 2 — ярмовая изоляция; 3 — временный клин; 4 — прокладки.

усушка до 15 мм, то распроизводят клинивание только BBenxv. забивая два-три клина C расчетом, чтобы последний клин с трудом входил ударами молотка. При усушке более 15 мм расклинивание произвосверху, снизу, причем раньше расклинивают низ, а затем верх.

Для расклинивания используют вспомогательный деревянный клин, который забивают между ярмовой и уравнительной

изоляциями. Это дает возможность забить в соседний ряд прокладок нужное количество клиньев. Таким образом, обходят по окружности все ряды прокладок (рис. 11-25).

При расклинивании необходимо соблюдать следующие требования: а) расклинивать обмотку до отказа так, чтобы между деталями изоляции не входило даже лезвие ножа; б) клинья забивать целиком до конца и точно между прокладками, чтобы они не выступали за края прокладок; в) весь столб прокладок вместе с клиньями должен быть расположен строго по прямой вертикальной линии, без искривлений и смещений; г) расклинивание производить быстро, чтобы активная часть после сушки не могла увлажниться (для этого она должна быть еще не остывшей).

После расклинивания закрепляют отводы трансформатора и переключающее устройство, для чего затягивают гайки на всех болтах и шпильках, причем затягивать гайки на деревянных или текстолитовых шпильках падо особенно аккуратно. Отводы после их закрепления должны быть неподвижными. С этой целью производят

подмотку отводов киперной лентой. Если регулировочные отводы подходят к переключающему устройству сверху, то их надо развести так, чтобы они не мешали проходу штанги.

Затянув все гайки, устраняют их самоотвинчивание, для чего металлические гайки или раскернивают, или закрепляют замками, а все деревянные или текстолитовые шпильки перевязывают тонкой бечевкой

(рис. 11-26).

Производят тщательный осмотр всей доступной изоляции обмоток и отводов с целью обнаружения возмож-

ных внешних повреждений и оголенных мест. При осмотре пользуются переносной лампой на 12 или 24 В. При обнаружении тех или иных повреждений их обязательно устраняют. В частности, если в том или ином месте задралась изоляция внешнего витка. его немного оттягивают и аккуратно заправляют в этом месте по всему периметру полоску кабельной бумаги или тонкого электрокартона, промазанную изнутри бакелитовым лаком. Затем виток в этом месте слегка подбивают и выравнивают.

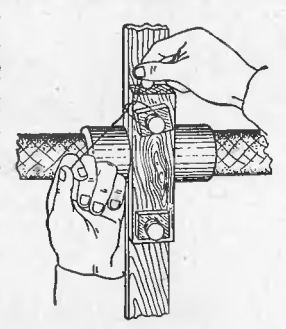


Рис. 11-26. Обвязывание деревянных и текстолитовых шпилек для предотвращения самоотвинчивания гаек.

После осмотра и устранения всех обнаруженных дефектов производят чистку и промывку активной части. Сначала аккуратно протирают ее ветошью, не оставляющей ворса, а затем мягкой кистью, окуная ее предварительно в масло. После чистки активную часть промывают струей масла от насоса давлением (0,5—1,0) 10<sup>5</sup> Па, начиная с верхней части и постепенно переходя к нижней.

# Б. ОПУСКАНИЕ АКТИВНОЙ ЧАСТИ В БАК ИЛИ УСТАНОВКА КОЛОКОЛА. СБОРКА НАРУЖНЫХ ЧАСТЕЙ ТРАНСФОРМАТОРА

### 11-8. ИЗГОТОВЛЕНИЕ И УСТАНОВКА УПЛОТНЕНИЙ

При любом виде ремонта трансформатора приходится заново изготовлять и заменять все уплотнения. Уплотнения обычно выполняют из листовой маслоупор-23—593

ной резины, которая механически прочная, стойкая и сравнительно дешевая, однако при 70—75°С относительно быстро стареет и начинает терять свои уплотняющие свойства.

На рис. 11-27 показаны различные способы уплотнения крышки бака трансформатора. При применении спо-

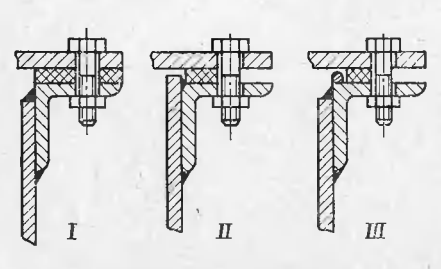


Рис. 11-27. Различные способы уплотнения крышки бака трансформатора.

соба I требуется большой расход материала, а также точная разметка отверстий. Более простыми являются способы II и III. По способу II для предотвращения выдавливания прокладки внутрь бака стенку бака делают несколько выше бортового угольника, по

способу *III* — вдоль всего борта по его внутренней стороне выгибают и приваривают стальную проволоку диаметром 4—5 мм.

Размер сечения уплотнения под крышкой (способ *II* или *III*) зависит от поперечного сечения верхней рамы:

Поперечное сечение верх-

ней рамы, мм . . . .  $50 \times 8$  65 $\times 10$  75 $\times 12$  90 $\times 14$  100 $\times 20$  Сечение уплотнения, мм . 15 $\times 6$  20 $\times 8$  20 $\times 10$  30 $\times 12$  30 $\times 16$ 

Заготовки для уплотнения крышки нарезают для прямых мест в виде прямых полос, а для круглых и овальных мест — в виде полос соответствующей формы. Стыки отдельных полос выполняют, как показано на рис. 11-28. Разметку делают так, чтобы стыки не располагались над отверстиями под болты, а также в местах переходов фасонной формы впрямую. Места стыков

промазывают резиновым клеем.

Места соединений всех фланцев уплотняют резиновыми прокладками толщиной 6—12 мм. Как правило, для уплотнений кольцеобразной формы (пробок, фланцевых соединений и пр.) применяют готовые прокладки необходимой конфигурации и размеров, изготовляемые заводами резино-технических изделий. Часто прокладки приходится изготавливать на месте. Прокладки вырезают цельными по форме фланца. Внутренние отверстия вырезают или пробивают пробойником необходимого размера, всегда несколько большего, чем диаметр от-

верстия во фланце, иначе после сжатия уплотнения часть отверстия окажется закрытой. Это обстоятельство особенно важно при изготовлении уплотнений для мест соединений кранов с вращающимися заглушками (например, радиаторных). Если в этом случае выступы

уплотнений будут выходить за края внутреннего отверстия, они будут мещать открывать и закры-

вать краны.

Пробойники для пробивания внутренних отверстий, а также отверстий для болтов изготовляют из куска трубы соответствующего диаметра, один конец которой зата-

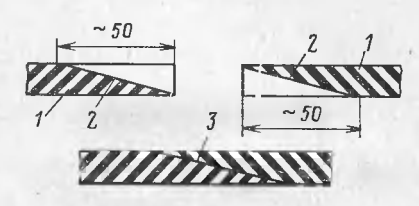


Рис. 11-28. Стыки полос резинового уплотнения бака и крышки. 1—резиновая полоса; 2—линия среза для сочленения; 3—линия среза после сочленения.

чивают. На расстоянии 50 мм от заостренного конца делают на части окружности вырез высотой 15—20 мм, чтобы можно было очистить трубу от пробиваемого материала. Ширина заготовки для уплотнений фланцев может быть равна всей ширине фланца (в этом случае в уплотнениях пробивают отверстия для болтов) или расстоянию от внутреннего отверстия до болтов.

Для изготовления резиновых колец можно использовать приспособления, с помощью которых вырезают

электрокартонные шайбы для изоляции — см. § 8-4.

Если крышка механически связана с активной частью, ее поднимают за кольца, которые навертывают на подъемные шпильки, проходящие через крышку (см. рис. 5-7). Уплотнение этих шпилек в месте прохода их через крышку показано на рис. 11-29.

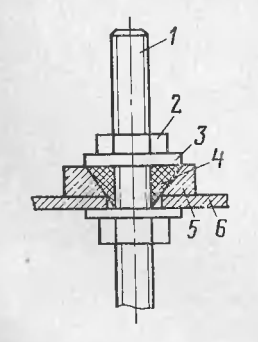


Рис. 11-29. Уплотнение подъемной шпильки.

1 — подъемная шпилька;
 2 — гайка;
 3 — шайба;
 4 — уплотиение (шиуровой асбест);
 5 — фланец;
 6 — крышка бака.

### 11-9. МОНТАЖ РАДИАТОРОВ И НАВЕСНЫХ ОХЛАДИТЕЛЕЙ ДЦ

Очищают фланцы на патрубках бака от старых уплотнений, ревизуют и ставят крепежные болты, устанавливают новые уплотнения, монтируют и закрепляют радиаторные

плоские краны. На краны устанавливают уплотнения и проверяют закрытие и открытие кранов. Радиаторы навешивают грузоподъемным механизмом. Для этого стропят радиатор за верхнюю скобу, подводят его к месту подвески и, маневрируя, устанавливают так, чтобы отверстия в его фланцах приходились против болтов.

Затем одновременно сверху и снизу подтягивают радиатор, сажают его на болты, продвигают по ним до конца, ставят наружные гайки и равномерно затягивают их сверху и снизу. При затяжке гаек снова проверяют, как закрываются и открываются радиаторные краны, фиксируя положение ручки в обоих положениях крана. После подвески всех радиаторов их скрепляют сверху и снизу стальными полосами размером 40×6 мм.

Монтаж навесных охладителей системы ДЦ производят аналогично монтажу радиаторов. При установке задвижек необходимо так поджать сальники, чтобы можно было поворачивать маховик задвижки усилием одной руки (50-80 Н) и в то же время не было течи масла из системы охлаждения.

### 11-10. ПОДЪЕМ АКТИВНОЙ ЧАСТИ И ОПУСКАНИЕ ЕЕ В БАК **ИЛИ УСТАНОВКА КОЛОКОЛА**

На рис. 5-7,а был показан подъем активной части за кольца, расположенные на крышке, когда активная часть механически связана с крышкой, а на рис. 5-7,6 подъем за планки, когда крышка не связана с активной частью. В обоих случаях подъемные тросы закрепляют за стальные круглые стержни, которые вставляют в отверстия колец или подъемных планок. Конструкции для подъема активной части у трансформаторов разных заводов и разных выпусков весьма разнообразны, поэтому и способы подъема также разнообразны.

Иногда для подъема и опускания активной части мощных трансформаторов заводы предусматривают специальные траверсы. В соответствии с этим выполняют и конструкцию для строповки.

Крюк подъемного крана должен располагаться строго по центру тяжести, активная часть должна висеть на крюке строго вертикально, не иметь перекосов и наклонов. Перед подъемом крановщик должен убедиться в исправности электродвигателей, механизмов и тормозов крана. Поднимать, подводить и устанавливать активную часть над баком надо медленно, без рывков и раскачиваний. Прежде чем начать опускание активной части, убеждаются в том, что она правильно ориен-

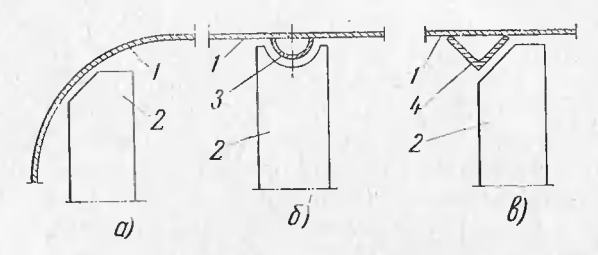


Рис. 11-30. Устройство направляющих, фиксирующих положение активной части в баке при ее опускании.

a- без приваренных деталей; b-с приварной трубой; b-с приварным угольником; 1-стенки бака; 2- направляющая планка, закрепленная болтамн на ярмовых балках; 3-труба, приваренная к стенке бака; 4-угольник, приваренный к стенке бака.

тирована по отношению к баку, т. е. определяют, где стороны НН и ВН. Кроме того, опустив немного активную часть в бак так, чтобы вошли нижние установочные поперечные планки, проверяют, есть ли зазоры до стенок бака. С этой целью часть рабочих при опускании активной части находится наверху и следит за тем, чтобы ни с одной стороны не было трения или касания ее о стенки бака.

Активную часть опускают медленно и осторожно; ответственным моментом при этом является посадка ее на

дно бака. На рис. 11-30 показаны направляющие, фиксирующие положение активной части в баке, а на рис. 11-31 — детали крепления. Детали крепления активной части в баке должны попасть при ее опускании на свои места. Это не всегда удается с первой попытки, поэтому, несколько приподнимая активную часть и чуть передвигая ее в ту или другую сторону, а также

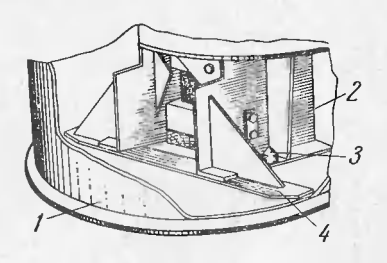


Рис. 11-31. Установка активной части на дно бака на копусные шипы.

 1 — бак; 2 — активная часть; 3 шип; 4 — инжний раскос. слегка покачивая, добиваются полной посадки ее на дно бака.

Чтобы убедиться в правильности посадки, осторожно опускают переносную электрическую лампу между активной частью и стенкой бака и обходят весь периметр. Если расстояние между стенкой бака и активной частью достаточно велико, на дно бака опускается рабочий и проверяет правильность посадки. После этого измеряют расстояние между отводами трансформатора и стенками бака, между отводами и ярмовыми балками, между самими отводами трансформатора и проверяют соответствие этих расстояний чертежу или минимально допустимым размерам для данного класса напряжения.

Если бак трансформатора имеет разъем внизу (колокольного типа), активную часть опускать не приходится. Ее поднимают и сразу устанавливают на нижнюю часть бака — поддон. После установки немедленно проверяют по отвесу, встала ли активная часть строго вертикально. Если имеется наклон, его ликвидируют, приваривая

стальные пластины соответствующей толщины.

Рамы колокола и поддона должны иметь совершенно ровную поверхность; кроме того, должна быть ровной сборочная площадка. Однако баки с разъемом внизу применяют, как правило, для мощных трансформаторов, кмеющих большие размеры, а изготовить сварные рамы больших размеров с совершенно ровными поверхностями трудно. Поэтому неровные поверхности рамы колокола или поддона выравнивают с помощью кусков резины. Концы кусков резины срезают на конус, длина образующей которого должна быть не менее 100 мм. Для уплотнения стыка рам применяют полосовую резину толщиной 16 мм и шириной, равной расстоянию от приваренного по внутреннему краю рамы стального прутка до отверстий болтов.

Колокол опускают на поддон так, чтобы отверстия для болтов в обеих рамах бака точно совпали и при этом не сместились полосы резины. Чтобы избежать смещения полос, необходимо опустить колокол с первого раза правильно. Для этого сначала колокол не опускают до конца, а останавливают на расстоянии около 250 мм от поддона. Затем совмещают отверстия в рамах колокола и поддона, вставляя в три-четыре отверстия по всему периметру бака вспомогательные стержни, и по ним плавно опускают колокол на поддон. После этого

вставляют в отверстия болты и равномерно затягивают

их по периметру бака.

После установки колокола измеряют расстояние между баком и токоведущими частями, для чего проникают внутрь бака через отверстия в карманах вводов.

### 11-11. УСТАНОВКА КРЫШКИ И ЕЕ КОМПЛЕКТОВКА. МОНТАЖ ПРИВОДА ПЕРЕКЛЮЧАЮЩЕГО УСТРОЙСТВА

Установка крышки и ее комплектовка. Перед установкой крышки очищают от старых уплотнений внутреннюю поверхность ее краев и верхнюю раму бака, на которую затем укладывают новое уплотнение (§ 11-8). Затем крышку стропят за подъемные кольца и устанав-

ливают на верхнюю раму.

Для правильной посадки крышки на раму при опускании крышки за 200 мм до бака вставляют в отверстия для болтов в крышке и раме несколько направляющих металлических стержней. Предварительно ревизуют и подгоняют при необходимости все болты и гайки. Для заболчивания крышки сначала затягивают все болты без значительных усилий, затем затягивают их во 2-й раз до отказа.

Крышку частично комплектуют до установки на активную часть или бак трансформатора. На крышке монтируют армированные вводы классов напряжения 35 кВ и ниже и ручной привод переключающего устройства барабанного типа. Это делают независимо от того, связана крышка механически с активной частью или нет. Однако, если крышка механически связана с активной частью, ее установку, подсоединение отводов трансформаторов к вводам и переключателя ответвлений к приводу производят при сборке активной части до опускания ее в бак. Если крышка механически не связана с активной частью, ее устанавливают после опускания активной части в бак. Подсоединение отводов к вводам и привода к переключателю ответвлений производят в этом случае через люк так же, как и отсоединение. При этом соблюдают все условия, приведенные при разборке (§ 5-3).

Монтаж приводов переключающих устройств. Конструкций переключающих устройств, а соответственно и приводов очень много. Поэтому прежде чем их демонтировать, а затем монтировать, знакомятся с их конст-

рукцией, имеющимися описаниями и инструкциями. Для примера на рис. 11-32 показан привод отечественного переключающего устройства барабанного типа, его отдельные узлы и детали.

На рис. 11-32 показана верхняя часть привода переключающего устройства. Снаружи к крышке трансформатора приварен фланец 6, в который укладывается сальниковая набивка, уплотняющая выход вала привода

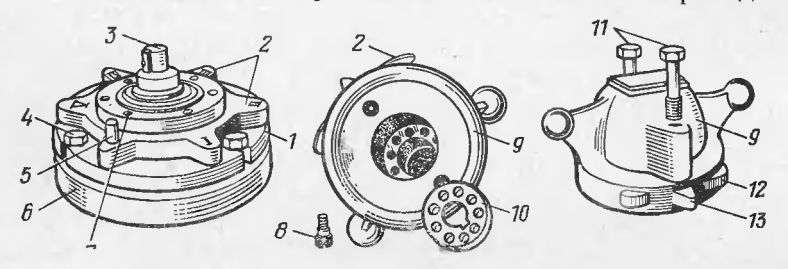


Рис. 11-32. Верхняя часть привода переключающего устройства барабанного типа.

1— крышка сальника; 2— выступы на крышке сальника; 3— вал привода; 4— болт; 5— упор; 6— фланец; 7— отверстие; 8— винт для крепления кольца 10 к колпаку 9; 9— колпак привода; 10— вониусное кольцо; 11— стопорные болты: 12— упорные выступы; 13— указатель положений.

3 из-под крышки и препятствующая просачиванию масла в этом месте. Сальниковая набивка прижимается к фланцу крышкой сальника 1 и затягивается тремя болтами 4. На крышке сальника имеется шесть выступов. На пяти из них выбиты римскими цифрами положения переключающего устройства, против которых останавливается указатель 13 на колпаке 9 привода. На шестом выступе крышки сальника просверлено отверстие и в него вставлен упор 5, в который упираются упорные выступы 12 на колпаке, непозволяющие переключения с положения I сразу в положение V и, наоборот, с положения V в положение I.

Колпак зацепляется с валом привода через нониусное кольцо 10, которое надевается шпоночным пазом на шпокку вала, а предварительно устанавливается в нужном положении во внутреннем углублении колпака винтами 8. Надетый на вал привода колпак в каждом положении переключающего устройства стопорится двумя стопорными болтами 11, ввинчиваемыми в резьбовые отверстия 7 на крышке сальника. Крышка сальника и колпак — детали сложной конфигурации, они отлиты из

алюминиевого сплава силумина и обладают хрупкостыю и невысокой прочностью, поэтому обращаться с ними надо осторожно, не прикладывать усилий более 200 Н (20 кгс). Усилие, прикладываемое к колпаку при переключении положений, зависит от силы сжатия пружин контактных колец, а также от затяжки сальникового уплотнения болтами 4. Болты должны быть затянуты лишь настолько, чтобы не было течи масла. Давление масла под крышкой трансформатора невелико, оно обусловлено высотой уровня масла в расширителе над крышкой, поэтому сильной затяжки болтов 4 не требуется.

На рис. 11-33 показаны элементы устройства РПН типа РНТ-13. Устройство состоит из избирателя, контактора, токоограничивающего реактора и приводного механизма. Компоновка этих элементов на трансформаторе принципиально одинакова для всех устройств серии РНТ (рис. 11-33). Избиратель 16 (чаще всего сдвоенный), а также токоограничивающий реактор (на рис. 11-33 не показан) устанавливаются на ярмовых балках активной части трансформатора. Контакторы установлены в отдельном масляном бачке 9, изолированном от бака трансформатора. Это необходимо потому, что в масле контакторного бачка при работе переключающего устройства горит электрическая дуга, что способствует быстрому старению масла. Замена этого масла не требует демонтажных работ и может быть произведена при любом текущем ремонте с отключением трансформатора от сети.

Приводной механизм 4 осуществляет работу всех элементов в необходимой последовательности. Коробка приводного механизма соединена с контактором вертикальным валом 5 через переходную муфту 6 и вал сальника 7, а контактор с валом избирателя 15 — карданным валом 12 и горизонтальным валом 13 с соединительной муфтой 14. Для регулировки работы всех элементов переключающего устройства на вертикальном и горизонтальном валах имеются нониусные диски соответственно 2 и 3, 10 и 11.

При разборке трансформаторов РПН отсоединяют вал 13 и отключают концы отводов от контактора.

При сборке трансформатора устанавливают вал 13, руководствуясь рисками, которые нанесены на заводе при положении переключающего устройства на первой

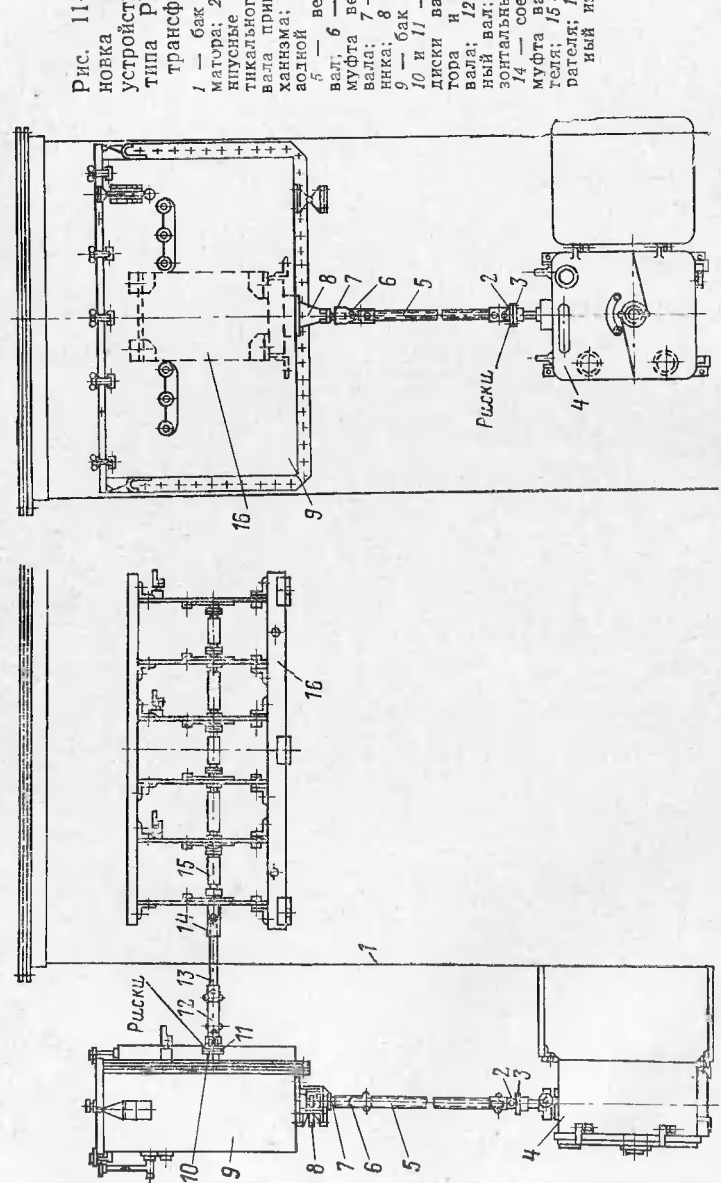


Рис. 11-33. Установка аппаратовустройства РПНтипа РНТ-13 на трансформаторе.

вала избирагеля; 15 — вал изби- переходная
 вертикального - ноинусные вала контаккарданного 14 — соединительная рателя; 16 — сдвоен-И 3-нониусные диски вер--иди - 4 -вал саль-- сальник; контактора; - кардан-- rodnвала приводного метрансфорвертикальный механнзм ный избиратель. тикального вала зонтальный Marupa; 2 ханнзма; аодной ный вал; муфта 10 N 11

ступени регулирования. Риски наносятся: на нониусные диски 2 (вертикального вала) и 3 (вала приводного механизма); на нониусные диски 10 (вала контактора) и 11 (горизонтального карданного вала); на опорное кольцо горизонтального вала контактора и верхнюю бобышку коробки конических шестерен, через которую проходит вертикальный вал.

Для установки снятого вала 13 устанавливают привод переключающего устройства и подвижные контакты избирателей в первое положение и вставляют в соединительную муфту 14 вала избирателя конец вала 13

со шпонкой.

Затем соединяют нониусный диск вала контакторов с нониусным диском горизонтального карданного вала. Риски, нанесенные на обоих дисках, должны совпадать. Если все звенья сопряжены правильно, рукоятка ручного привода расположится вертикально, ручкой вниз. Если этого не произойдет, добиваются указанного расположения при помощи нониусных дисков, расположенных в нижней части вертикального вала и вала приводного механизма. Кроме того, убеждаются, что горизонтальный вал входит в соединительную муфту на 40—70 мм.

После установки вала 13 подсоединяют концы отводов от избирателя и токоограничивающего реактора к проходным болтам контактора, руководствуясь бирками, надетыми при разборке на отводы и болты. При подсоединении концов отводов следят, чтобы в бак не попали инструменты, гайки, шайбы. После присоединения привода поворачивают от руки весь механизм от первого до предельного положения и проверяют последовательность работы всех элементов системы. Для проверки работы приводного механизма и всех элементов переключающего устройства в комплексе снимают круговую диаграмму (гл. 9).

## 11-12. МОНТАЖ ВЫСОКОВОЛЬТНЫХ ВВОДОВ

Установку вводов классов напряжения 110 кВ и выше после ремонта, промывки и замены масла производят в соответствии с указаниями по демонтажу (§ 5-4).

Вводы вертикальной установки монтируют на крышке бака после ее монтажа на бак. Наклоиные вводы обычно монтируют в специальных карманах на стенке бака после опускания активной части в бак. Отечественные вводы как вертикальные, так и наклонные устанавливают на промежуточные прямые или наклонные фланцы. Предварительно на высоковольтный ввод устанавливают бумажно-бакелитовый цилиндр 2 (рис. 11-34), который изолирует нижнюю часть ввода 1 от стенок бака.

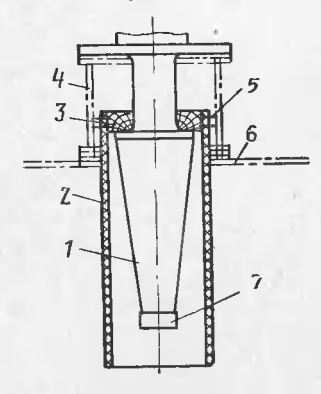


Рис. 11-34. Установка бумажно-бакелитовых цилиндров на ввод 110 кВ.

1- ввод; 2- цилиндр; 3- планка; 4- переходный фланец; 5- винт; 6- крышка; 7- экран ввода.

Цилиндр связывают с вводом и закрепляют на нем при помощи деревянных планок 3, прикрепляемых к цилиндру винтами 5.

Вертикальный ввод устанавливают в следующем порядке.

Зачаливают ввод за подъемные кольца, привязав веревкой верхнюю фарфоровую рубашку к тросам.

Пропускают киперную ленту через трубу ввода, привязав к концу выходящей из трубы ленты груз.

Подводят ввод к жрышке грансформатора, устанавливают строго по оси отверстия фланца и снимают груз с лен-

ты. Ленту привязывают к наконечинку кабеля, соединенного с отводом обмотки.

Медленно опускают ввод, одновременно направляя гибкий токоведущий кабель внутрь трубы ввода и вытягивая его за ленту.

Опускают ввод до резинового уплотнения, которое предварительно укладывают на фланец; вытягивают наконечник кабеля наружу и укрепляют его штифтом.

Добиваются при помощи круглых стальных оправок совпадения отверстий фланцев, опускают ввод на резиновое уплотнение и заболчивают.

Отвязывают и снимают киперную ленту с наконечника и навертывают на ввод контактный колпак, предварительно подложив под него резиновую шайбу.

Значительно сложнее установить наклонные вводы в карманы на стенке бака (см. рис. 5-5). Если карманы несъемные, сначала устанавливают в них переходные наклонные фланцы. Бумажно-бакелитовые цилиндры

в зависимости от конструкции заранее закрепляют на

переходных фланцах или вводе.

При установке переходного фланца с закрепленным в нем бумажно-бакелитовым цилиндром приходится одновременно перемещать их и горизонтально и вертикально. Закрепив переходный фланец в кармане, уста-

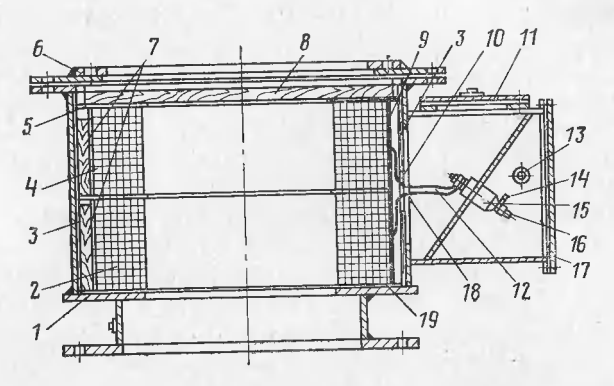


Рис. 11-35. Установка трансформаторов тока в переходный фланец высоковольтного ввода.

I— фланец ввода; 2— трансформатор тока (для релейной защиты); 3— электрокартонный цилиндр; 4— нэмерительный трансформатор тока; 5 и 19— электрокартонные шайбы; 6— фланец под установку ввола; 7— деревянные клинья; 8— временный деревянный брусок для транспортнровки; 9— электрокартонный лист; 10— вырез в цилиндре для отводов; 11— верхняя заглушка; 12 и 18— отводы от трансформаторов тока; 18— сальник для ввода отводов трансформаторов тока; 18— контактная шпилька ввода; 17— боковая заглушка,

навливают ввод. Установку ввода в переходный фланец производят очень осторожно, чтобы не повредить изолирующий бумажно-бакелитовый цилиндр. При установке переходного фланца в карман на стенке бака и ввода во фланец мастер должен наблюдать через люк кармана за их перемещением.

Ввод присоединяют к отводу обмотки через люк кармана демпфером или пропусканием троса через токоведущую трубу. Отвод обмотки иногда присоединяют к нижней части токоведущей трубы ввода, не пропуская

токоведущий трос через трубу.

Монтаж высоковольтных вводов удобнее всего производить мостовым краном с применением блока, чтобы можно было, если потребуется, оттянуть ввод в горизонтальном направлении. Если карманы съемные, иногда удобнее укомплектовать ввод вне трансформатора на стойке и в таком виде подвести краном к стенке бака

и закрепить.

Прокладку под фланец ввода вырезают из маслостойкой резины толщиной 10 мм. При заболчивании фланцев затягивают болты так, чтобы толщина резиновой прокладки уменьшилась на 20—30%. Прокладку предварительно промазывают бакелитовым лаком и сушат.

Установка трансформаторов тока. В мощных силовых трансформаторах устанавливают по два трансформатора тока на фазу (рис. 11-35): один для измерительных приборов, другой для релейной защиты. У встроенных трансформаторов тока первичной обмоткой является токоведущий кабель, проходящий через трубу высоковольтного ввода. Вторичную обмотку наматывают из изолированного провода на ленточный кольцевой магнитопровод, располагая на нем участками, между которыми устанавливают распорные клинья. Клин ставят против надписи «клин» на ленточном бандаже трансформатора тока.

Трансформаторы тока выпускают с номинальным значением вторичного тока 1 или 5 А. Номенклатурное обозначение измерительных трансформаторов строят по следующему образцу: ТВТ-220-1000/1, где первая буква Т — ток, вторая В — встроенный, третья Т — для трансформаторов; 220 — класс напряжения ввода, на котором устанавливают трансформатор, кВ; 1000 — номинальное значение первичного тока, А; 1 — номинальное значение вторичного тока, А.

Выводные концы обмотки в трансформаторе тока обозначают буквами А, Б, В, Г и т. д. Буква А обозначает начало обмотки, а последующие буквы (Б, В и т. д.) — ответвления в порядке возрастания первичного тока; например концы А—Б соответствуют первичному максимальному току 600, А—В — 1000 А, А—Г — 2000 А.

Устанавливают трансформатор тока в следующей по-

следовательности (рис. 11-35).

Снимают с переходного фланца верхний фланец 6 под установку ввода, а также заглушки 11 и 17 с коробки выводов трансформатора тока. Устанавливают изоляционный цилиндр 3 из электрокартона толщиной 3 мм с вырезом для прохода в коробку концов отводов 12 и 18 (вырез должен быть против отверстия в стенке фланца). Укладывают на дно фланца электрокартонную шай-

бу 19 и устанавливают на нее без перекоса в горизонтальной плоскости нижний трансформатор тока 2 для

релейной защиты.

Подъем и установку трансформатора тока производят при помощи трех ремней, которые подводят равномерно по окружности и пропускают через пряжки. Пряжки застегивают на одинаковых по счету отверстиях в ремнях. Ремни подводят только там, где располагаются распорные клинья. Трансформатор тока опускают на дио фланца так, чтобы его внутренний диаметр совпал с диаметром нижнего отверстия во фланце, а участки с клиньями располагались по отношению к вырезу в стенке фланца согласно чертежу установки. Опустив полностью трансформатор тока, отстегивают и снимают ремень. Наматывают на боковую наружную поверхность трансформатора тока электрокартонный лист и вырезают в нем отверстие для прохода концов вторичной обмотки.

Устанавливают и забивают легкими ударами молотка деревянные клинья 7 в промежутки между электрокартонными листами 9 и цилиндрами 3 против распорных клиньев. Устанавливают на нижний трансформатор тока промежуточную шайбу 19 с вырезом и на нее устанавливают верхний трансформатор тока 4 аналогично нижнему.

Выбирают по имеющимся обозначениям на ответвлениях необходимые концы, припаивают к ним контактные пластины и подсоединяют к соответствующим выводам. Лишние ответвления заглушают и изолируют лако-

тканью.

Устанавливают снова на резиновое уплотнение переходного фланца верхний фланец 6, а на коробку выво-

дов — заглушки 11 и 17.

Закорачивают концы вторичных обмоток трансформаторов тока. Это необходимо в качестве меры предосторожности, поскольку при испытаниях силового трансформатора после ремонта на концах вторичных обмоток трансформаторов тока, если их оставить разомкнутыми, появится высокое напряжение, опасное как для людей, так и для изоляции обмоток.

Трансформаторы тока допускается держать на открытом воздухе не более 24 ч; при необходимости их подвергают сушке. Сушку проводят под вакуумом при остаточном давлении не более 4.103 Па (30 мм рт. ст.) и 100—110°С в течение 8 ч. При необходимости переходные фланцы с трансформаторами тока проверяют на герметичность избыточным давлением 25 кПа (0,26 ат) в течение 30 мин.

Все трансформаторы тока подвергают лабораторной

проверке и испытанию.

# 11-13. УСТАНОВКА РАСШИРИТЕЛЯ, ГАЗОВОГО РЕЛЕ, ПРЕДОХРАНИТЕЛЬНОЙ ТРУБЫ И ПРИБОРОВ

После установки вводов вместе с трансформаторами тока монтируют расширитель, газовое реле, предохранительную трубу и приборы. В качестве примера на рис. 11-36 показана установка расширителя, газового ре-

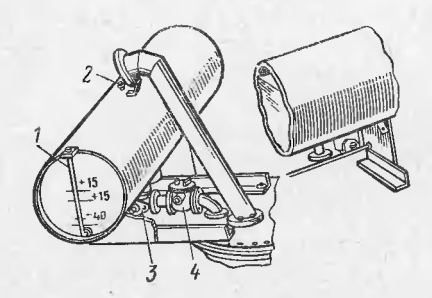


Рис. 11-36. Установка расширителя, газовое реле и предохранительной трубы.

1 — маслоуказатель; 2 — пробка для заливки масла; 3 — кран для отсоединения расширителя; 4 — газовое реле.

ле и предохранительной трубы на крышке трансформатора. Их монтируют после установки крышки на бак. Как было показано на рис. 10-6, предохранительную трубу в настоящее время соединяют с расширителем.

Установка расширителя и газового реле. Сначала монтируют конструкцию для установки расширителя. Затем его стропят, поднимают, устанавливают и закрепляют. У мощных трансформаторов на маслопроводе для отде-

ления расширителя от бака монтируют кран.

Газовое реле после разборки, чистки, проверки и испытания в лаборатории устанавливают на колене маслопровода, соединяющего расширитель с баком трансформатора. Маслопровод от реле к баку должен иметь небольшой уклон (2%) в сторону трансформатора. Стрелка на крышке реле должна быть направлена от бака к расширителю.

Установка предохранительной трубы. Трубу устанавливают и закрепляют после монтажа и закрепления расширителя. На всех фланцевых соединениях у реле, расширителя, крана и предохранительной трубы уста-

навливают соответствующие уплотнения из маслостой-

кой резины.

**Приборы** (термометр, термосигнализатор и пр.) монтируют так же, как они были установлены на трансформаторе до их снятия.

#### 11-14. ЗАЛИВКА ТРАНСФОРМАТОРА МАСЛОМ И НАРУЖНАЯ ОКРАСКА

Заливка трансформатора маслом. Масло для заливки трансформаторов заранее приготавливают в необходимом количестве, сушат и проверяют как химическим анализом, так и на электрическую прочность. Объем и нормы испытаний трансформаторного масла даны в табл. 11-1. Кислотность масла должна быть не более 0.03 мг КОН, содержание водорастворимых кислот — не более 0,01 мг КОН. Для предупреждения образования в масле кислотных соединений и нейтрализации имеющейся в масле кислоты применяют антиокислительные присадки. Присадок имеется много, но не все они одинаково полезны и эффективны. Поэтому проводят лабораторную проверку восприимчивости масла к данной присадке. При использовании присадки вначале приготавливают ее концентрированный раствор в масле, который добавляют в порцию свежего масла.

Мощные высоковольтные трансформаторы 220 кВ и выше заливают маслом под вакумом. Заливку трансформаторов 110—150 кВ можно производить и без вакуума. При заливке под вакуумом предварительно вакуумируют бак и активную часть без масла, затем заливают под вакуумом масло и, наконец, вакуумируют трансформатор, залитый маслом. Масло заливают, пока оно полностью не покроет всю изоляцию над верхним

ярмом.

При заливке масла под вакуумом расширитель и предохранительную трубу не устанавливают, а отверстия на крышке плотно закрывают заглушками. Для присоединения шлангов используют верхний радиаторный патрубок или любое отверстие в крышке бака. Заливать масло под вакуумом лучше сверху, так как при этом лучше отсасывается воздух, попадаемый с маслом. В этом случае между вакуум-насосом и баком устанавливают промежуточный бачок для улавливания масла из отсасываемого воздуха, а также вентиль, чтобы при 24—593

Объем и нормы испытаний трансформаторного масла

| Мых кислот и щелочей         но         сутствовать           Определение температуры вспышки         То же         Снижение температуры вспышки не больше 5°С. |
|-----------------------------------------------------------------------------------------------------------------------------------------------------------------|
| эксплуатацию должна быть не ниже 135°С                                                                                                                          |

|    | Нормы                       | Для чнстого сухого свежего масла кинематичес-<br>кая влякость не более:<br>28.10-8 м²/с (28 сСт)<br>9.10-8 м²/с (9 сСт) | В чистом сухом свежем масле не более 0,005 % | Натровая проба должна быть не более 1<br>балла          | Для трансформаторов, вводимых в эксплуатацию, tgô масла: при 20°С не более 0,2% Лля трансформаторов, находящихся в эксплуата- ции, tgô масла: при 20°С не более 1 % при 70°С не более 7 % |
|----|-----------------------------|-------------------------------------------------------------------------------------------------------------------------|----------------------------------------------|---------------------------------------------------------|-------------------------------------------------------------------------------------------------------------------------------------------------------------------------------------------|
|    | Вэксплуатации               | Обязатель-, Не обяза-                                                                                                   | То же                                        | То же                                                   | Обязательно, если tgå н С2/С50 изоляции обмоток для трансформаторов, залитых маслом, имеют повышенние значения                                                                            |
|    | При вводе в<br>эксплуатацию | Обязатель-                                                                                                              | То же                                        | То же                                                   | Обязательно, ее $C_2/C_{50}$ изолг моток для маторов, зали лом, имеют ные значения                                                                                                        |
| 4* | Испытавие                   | Определение вязкости масла:<br>при 20°C<br>пра 50°C                                                                     | Определение содержания золы                  | Определение натровой пробы с под-<br>кислением в баллах | Измерение tgô                                                                                                                                                                             |

отключении насоса вода или масло не засасывались

обратно в бак.

Вакуумную линию подсоединяют при помощи фланца с отводными патрубками, штуцером и вакуумметром. Через один из патрубков воздух отсасывается из бака, другой служит для установки временного маслоуказателя, остальные — для вакуумирования высоковольтных вводов. Для вакуумирования вводов и соединения их с вакуумным пространством бака ввертывают штуцера в дыхательные отверстия расширителей вводов и с помощью резиновых шлангов соединяют вводы с патрубками на фланце. Временный маслоуказатель выполняют с помощью стеклянной трубки, соединенной шлангами с патрубком вакуумной системы и нижним радиаторным патрубком или сливным краном.

Масло при заливке в трансформаторы 110—150 кВ должно иметь температуру не ниже 10°С. До заливки масло вакуумируют с помощью промежуточного бака, в который чисто сухое масло поступает из цистерны самотеком. Вакуум-насос соединяют с баком трансформатора двумя шлангами: один соединяет вакуум-насос непосредственно с баком, а другой—через промежуточную емкость. Вакуумированное масло закачивается из промежуточного бака центрифугой или фильтр-прессом в

нижнюю часть бака трансформатора.

Предварительное вакуумирование баков трансформаторов 110—150 кВ должно длиться не менее 2 ч, заливка масла под вакуумом при остаточном давлении 4,66·10<sup>4</sup> Па— не менее 6 ч и последующая выдержка при этом вакууме—2 ч. После выдержки открывают верхнюю пробку и удаляют остатки воздуха из радиаторов, изоляторов термосифонного фильтра, из-под люков, крышки и т. п. Контрольную пробу залитого масла берут через 6 ч после заливки трансформатора под вакуумом. Напряжение пробоя масла должно быть не менее 40 кВ.

При заполнении трансформаторов 110—150 кВ маслом без вакуума температура масла и активной части должна быть не ниже 10°С. В этом случае, заполнив трансформатор маслом, прогревают активную часть до 60—80°С, после чего маслу дают отстояться не менее 12 ч. Трансформаторы 220 кВ заливают только под вакуумом при остаточном давлении 4·10³ Па (30 мм рт. ст.) вакуумированным маслом при температуре не ниже

30°С. Продолжительность заливки не менее 8 ч, скорость подачи масла не более 6 т/ч. Однако баки трансформаторов 220 кВ не рассчитаны на такой вакуум и требуется дополнительное крепление временными балками жесткости. Поэтому трансформаторы 220 кВ часто заливают маслом под вакуумом при остаточном давлении 5,3·10³ Па (40 мм рт. ст.) в течение 12 ч с дополнительным вакуумированием до и после заливки по 5 ч.

После окончания вакуумной обработки залитого в тран форматор масла снимают заглушки с отверстий, устанавливают расширитель и предохранительную трубу и доливают маслом (уже без вакуума) через расширитель до необходимого уровня. Электрическая прочность доливаемого масла должна быть на 5 кВ выше прочности ранее залитого в трансформатор масла, а температура его не должна отличаться от температуры масла в баке более чем на 5°С. Вакуумирование бака до заливки его маслом под вакуумом позволяет проверить герметичность всех уплотнений, качество которых в этом

случае должно быть очень высоким.

При заливке маслом без вакуума открывают кран и верхнюю пробку у расширителя, а также все воздушные пробки на крышке, фланцах вводов, в выхлопной трубе, радиаторах и т. п. Одновременно проверяют открытие радиаторных кранов. Когда масло доходит до крышки, воздушные пробки закрывают. По мере дальнейшей заливки выпускают воздух из газового реле, открыв кран на крышке реле до появления масла, после чего кран закрывают. Одновременно проверяют отсутствие течи во всех уплотнениях. Если где-либо появляется течь, то до ее ликвидации заливку маслом прекращают. Течь обычно удается прекратить поджатием соответствующих болтов и пробок После ликвидации течи продолжают заливку трансформатора маслом, наблюдая за появлением его в масломерном стекле. Нормально расширитель заполняется маслом на 30-40 мм выше отметки, соответствующей температуре масла в трансформаторе. После окончания заливки снова проверяют все воздушные пробки и выпускают остатки воздуха. Через 10 ч после окончания заливки берут из трансформатора пробу масла для анализа и испытания.

Если мало заливают под вакуумом, то применяют промежуточный бак, куда масло заливают под вакуумом, т. е. предварительно его вакуумируют. Из проме-

жуточного бака вакуумированное масло заливают в бак трансформатора под вакуумом [остаточное давление не более 4,66·10<sup>4</sup> Па (350 мм рт. ст.)]. Все воздушные пробки, а также кран и верхняя пробка расширителя должны быть закрыты, а радиаторные краны должны быть открыты. Заливают трансформатор под вакуумом до крышки бака, затем заливку прекращают и выдерживают трансформатор под вакуумом в течение 2 ч. Далее снимают вакуум и окончательно заливают трансформатор до нормального уровня. Доливку выполняют без вакуума через верхнюю пробку расширителя, открыв кран между расширителем и баком трансформатора.

После окончания доливки, открывая все воздушные пробки, выпускают остатки воздуха. Через 6 ч после окончания доливки берут пробу масла для испытания на

электрическую прочность и химического анализа.

Для взятия пробы масла применяют стеклянные банки с притертыми пробками. Количество масла, отбирае-

мого на пробу, должно быть не меньше 0,5 л для испытания на электрическую прочность и не менее 1 л для химического аналнза. Перед взятием пробы спускают в ведро не менее 2 л масла, вытирают кран чистой ветошью, спускают снова немного масла для промывки крана, промывают не менее 2 раз банку маслом из трансформатора и только после этого отбирают масло на пробу.

Масло на пробу отбирают из нижнего бокового крана трансформатора: летом —

Масло на пробу отбирают из нижнего бокового крана трансформатора: летом — в сухую погоду, зимой — в морозную. Если банка с маслом на пробу вносится с холода в теплое помещение, то ее нельзя вскрывать до тех пор, пока она не нагреется до

температуры помещения.

Испытывают герметичность всех уплотнений у трансформатора. Испытание производят избыточным давлением столба масла (рис. 11-38). Для этого заготавливают

\$ 200-250

Рис. 11-37. Труба с воронкой для испытания трансформатора на герметичность давлением столба масла.

<sup>1 —</sup> воронка; 2 — труба; 3 — гайка.

трубу диаметром 25—38 мм с воронкой (рис. 11-37). Трубу устанавливают над отверстием взамен верхней пробки расширителя. Нижнее отверстие дыхательной трубки расширителя во время испытания должно быть закрыто. Столб масла в трубе с воронкой должен быть для трубчатых и гладких баков высотой 0,6 м, а для

волнистых и радиаторных — высотой 0,3 м. При установке трубы не на расширителе, а на крышке бака столб масла над крышкой должен быть высотой 1,5 м. Герметичность уплотнений проверяют в течение 1 ч при температуре масла пе пиже 10°С. Если во время испытаний нигде никакой течи не наблюдается, значит, трансформатор выдержал испытание на терметичность. В противном случае устраняют течь и повторяют испытание.

После испытания герметичности уплотнений проверяют сообщаемость расширителя с баком. Для этого заливают доверху расширитель и через нижний кран бака трансфор-

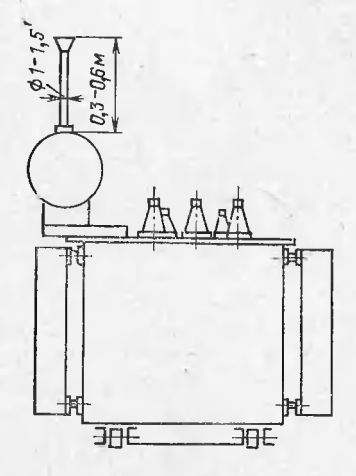


Рис. 11-38. Испытание трансформатора на герметичность избыточным давлением столба масла,

матора сливают часть масла до контрольной черты на маслоуказателе, соответствующей нормальному уровню

при данной температуре масла.

Окраска наружной поверхности трансформатора. Наружную поверхность трансформатора (бака, крышки, радиаторов, расширителя, предохранительной трубы) окрашивают без предварительной шпаклевки эмалью ПФ-133 (быв. ФСХ-25). Эта эмаль растворяется в масле, поэтому окраску производят после полной сборки трансформатора и заливки его маслом. Перед окраской очищают наружную поверхность трансформатора металлическими щетками, скребками, ветошью и закрывают вводы и приборы бумагой, закрепляя ее лентой или шпагатом. Эмаль в зависимости от ее густоты разбавляют бензином (примерно 50%).

Могут применяться и другие эмали: ВЛ-515, 624с,

1201 — маслостойкие.

Окраску производят под давлением, используя пистолет или краскопульт. Струю направляют на вертикальные поверхности сверху вниз. Краска должна ложиться ровно, без подтеков и наплывов. Окончив окраску, все шланги и приборы тщательно очищают и промывают бензином. После естественной сушки до отсутствия отлила снимают бумагу с вводов и приборов и протирают их ветошью, смоченной в денатурате или бензине. Окраску производят на воздухе или в вентилируемом помещении, обязательно в защитных очках, в головном уборе, в комбинезоне и закрытой обуви.

# 11-15. МОНТАЖ И ЗАЛИВКА МАСЛОМ ВЫНОСНЫХ ОХЛАЖДАЮЩИХ УСТРОЙСТВ

Охлаждающие устройства ДЦ и Ц после их ремонта, очистки и промывки собирают и монтируют в том же виде и в том же порядке, как до ремонта. При монтаже и заливке маслом охлаждающих устройств руководствуются соответствующими инструкциями завода-изготовителя трансформатора. Здесь приводятся лишь краткие сведения по выполнению этих работ.

Все фланцевые соединения в процессе монтажа уплотняют резиновыми прокладками. В систему охлаждения не должно быть подсоса воздуха, поэтому воздух из системы выпускают через соответствующие пробки

системы выпускают через соответствующие пробки. Смонтированное охлаждающее устройство испытывают горячим трансформаторным маслом (50—60°С) под давлением 2·10<sup>5</sup> Па (2 ат) в течение 1 ч. При этом задвижки, соединяющие охлаждающее устройство с баком трансформатора, перекрывают.

После испытания охлаждающее устройство тщательно промывают сухим трансформаторным маслом с электрической прочностью не ниже 45 кВ, используя для этой цели электронасос охлаждающего устройства. Краны, соединяющие адсорбер с охладителем, держат при этом открытыми.

Если масло удовлетворяет всем предъявляемым к нему требованиям (имеет пробивное напряжение и tgô, установленные для трансформаторов данного класса напряжения), то охлаждающее устройство оставляют заполненным маслом и подключают к баку трансформатора.

Окончательно заполняют всю систему трансформатора маслом. Для этого масло предварительно заливают в расширитель выше нормального уровня. Доливают масло в охлаждающее устройство через незначительную открытую нижнюю задвижку на баке трансформатора и при полностью закрытой верхней задвижке. Одновременно с доливкой масла у охлаждающего устройства открывают верхние пробки для выпуска воздуха. Заполнение считается законченным, когда через отверстие под пробку пойдет масло.

После заполнения всей системы маслом и выпуска воздуха уплотняют все спускные пробки и полностью от-

крывают задвижки на баке трансформатора.

#### ГЛАВА ДВЕНАДЦАТАЯ

# СУШКА АКТИВНОЙ ЧАСТИ ТРАНСФОРМАТОРА

#### 12-1. ЗАДАЧА СУШКИ

Изоляция трансформаторов при соприкосновении с окружающей атмосферой или находясь в баке с увлажненным маслом, сильно впитывает влагу. Увлажненная изоляция полностью или частично теряет свои изоляционные свойства. Трансформатор с такой изоляцией работать не может.

Поэтому допустимая продолжительность пребывания активной части на воздухе ограничивается (без учета

продолжительности заливки масла):

| При относительной влажности воздуха до 65%                                          | 16 ч |
|-------------------------------------------------------------------------------------|------|
| л п свыше 65%<br>Пота                                                               | 8 ч  |
| при температуре окружающего воздуха ниже ну-                                        | _    |
| ля независимо от степени влажности                                                  | 8 ч  |
| При температуре воздуха выше 0°С и влажности                                        |      |
| менее 75 % (если температура активной части выше температуры окружающего воздуха на |      |
|                                                                                     | 16 u |

Таким образом, после любого вида ремонта с заменой обмоток или той или иной изоляции активная часть

должна подвергаться сушке.

Кроме того, если трансформатор длительное время находился без масла или активная часть его находилась на открытом воздухе больше указанного выше времени, то она тоже должна подвергаться сушке.

Известно много различных способов сушки активной части как с маслом, так и без масла, а также с вакуумом и без вакуума. В настоящее время сушку активной части производят без масла и при этом применяют следующие способы: 1) сушка в вакуумном шкафу; 2) сушка индукционными потерями в собственном баке с вакуумом; 3) то же без вакуума; 4) сушка в специальной камере (тепляке) без вакуума с нагревом воздуходувкой;

5) сушка токами нулевой последовательности.

Сушка в вакуумном шкафу предполагает наличие такого шкафа и находит применение главным образом на трансформаторных заводах. В местных условиях ремонта применяется редко, только при наличии вакуумных шкафов в электроремонтных цехах промышленных предприятий, где ремонтируются трансформаторы. Наиболее распространенным способом сушки активной части при ремонте на местах является сушка индукционными потерями в собственном баке как с вакуумом (если есть соответствующий вакуум-насос), так и без вакуума.

Кроме того, в последние годы для сушки активных частей силовых трансформаторов со стержневой магнитной системой применяют метод сушки токами нулевой последовательности, который не требует намагничивающей обмотки и при котором потребляется меньше электроэнергии, чем при сушке индукционными потерями.

Сушка в тепляке с нагревом при помощи воздуходувки мало эффективна и опасна в пожарном отношении, так как случайно залетевшая искра при интенсивном воздушном дутье легко может вызвать пожар. Поэтому пагрев воздуходувками используют лишь в качестве дополнительного подогрева дна бака снаружи при других способах сушки.

## 12-3. СУШКА ИНДУКЦИОННЫМИ ПОТЕРЯМИ В СОБСТВЕННОМ БАКЕ

Принцип сушки. Способ сушки индукционными потерями в стенках бака основан на принципе трансформации, а именно: на бак наматывают намагничивающую обмотку, через которую пропускают переменный ток, создающий переменный магнитный поток. Изменения магнитного потока наводят э. д. с. в стальных стенках 378

бака и в них появляются вихревые токи, которые и нагревают бак, а соответственно от тепла, выделяемого стенками бака, нагревается и активная часть, помещенная в этот бак.

Намотка намагничивающей обмотки. Провод для намагничивающей обмотки соответствующего сечения применяют или изолированный (ПР, ПРГ, ПРТО, с асбестовой изоляцией и т. п.), или голый. Бак предварительно утепляют асбестовыми листами или асбестовым

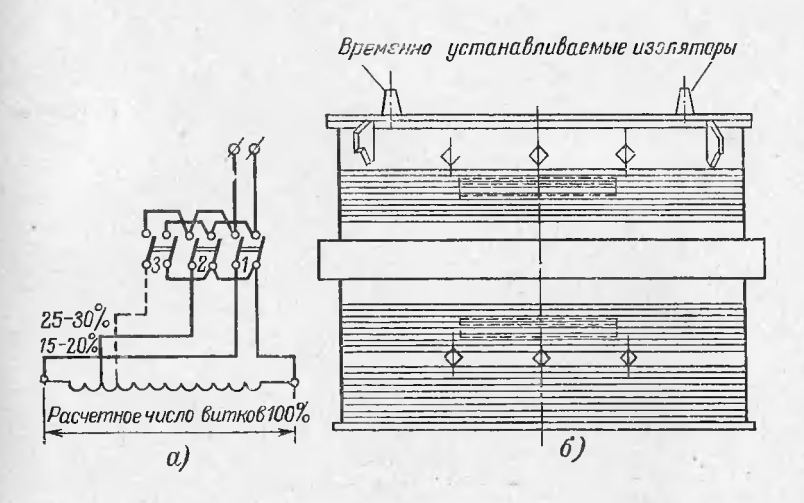


Рис. 12-1. Одпофазная намагничивающая обмотка для сушки индукционными потерями.

a — схема намагничивающей обмотки; 6 — распределение намагничивающей обмотки на баке для трансформаторов средней мощности; 1—3 — ответвления.

полотном на толщину 5—6 мм. Асбестовые листы крепят хлопчатобумажной лентой или шпагатом (но не проволокой). При отсутствии асбеста провод наматывают на деревянные рейки. Если применяют голый провод, то его во всех случаях наматывают на деревянные рейки толщиной 20—25 мм и шириной 50—60 мм.

Изолированный провод наматывают с расстоянием между витками 5—6 мм, голый провод — 20 мм.

Для получения более равномерного распределения температуры внутри бака намагничивающую однофазную обмотку у трансформаторов средней мощности размещают неодинаково по высоте бака, а именно: 60—70% всех витков наматывают на нижнюю часть бака,

примерно на половину его высоты, считая снизу; остальные 30-40% витков размещают в верхней части бака, отступая на 200 мм вниз от радиаторных кранов (рис. 12-1).

На рис. 12-2 показано размещение витков трехфазной намагничивающей обмотки на баке трансформатора

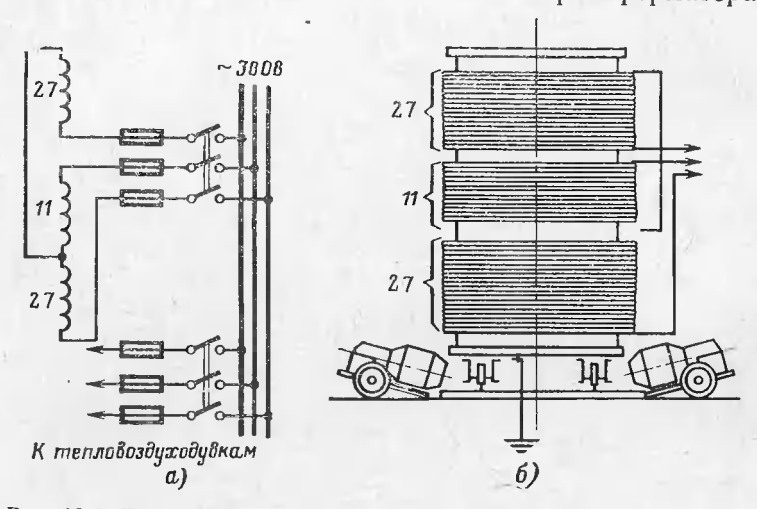


Рис. 12-2. Трехфазная намагничивающая обмотка для сушки индукционными потерями.

a— схема намагничивающей обмотки; b— распределение намагничивающей обмотки на баке для трансформаторов средней мощности; цифры указывают количество витков.

большой мощности. Дно бака во время сушки рекомендуется подогревать воздуходувками или электропечами с температурой спиралей 250—300°С, устанавливаемыми на расстоянии от дна бака 0,6—0,8 м. Мощности нагревательных электропечей в зависимости от периметра бака даны в табл. 12-1.

Таблица 12-1 Выбор мощности электропечей

| Периметр бака трансформатора | Удельная мощность для нагрева<br>дна бака Δ <i>p</i> , кВт/м² |
|------------------------------|---------------------------------------------------------------|
| До 10                        | До 0,8                                                        |
| 11—15                        | 0,9—1,4                                                       |
| 16—20                        | 1,5—1,8                                                       |
| 21—26                        | 1,9—2,2                                                       |

Расчет параметров сушки. Количество витков намагничивающей обмотки зависит от периметра бака, толщины его стенок и расстояния провода от стенок бака. Кроме того, на количество витков оказывает влияние окружающая температура и качество теплоизоляции бака.

Число витков для однофазной обмотки определяется по формуле  $w = AU/\Pi p_6$ , а для трехфазной обмотки, соединенной в звезду (рис. 12-2),— по формуле

$$w_A = w_C = AU_{\Phi}/\Pi p_6$$
;  $w_B = 0.4w_A$ ,

где A — коэффициент по кривым рис. 12-3;  $\Pi p_6$  — периметр бажа, м;  $U_{\phi}$  — фазное напряжение, В.

На рис. 12-3 даны кривые для определения коэффициента A в зависимости от толщины стенок бака a, мм,

расстояния витков от стенки бака d, мм, и удельной намагничивающей мощности кВт/м<sup>2</sup> (мощности, потребной для нагрева 1 м<sup>2</sup> стенки бака). Кривые на рис. 12-3 даны для баков с толшиной стенок a==10 мм. При толщине стенок 8 мм коэффициент А, найденный по кривой рис. 12-3, умножается на 1,1, при толщине стенок 6 мм — на 1,3. Для баков, имеющих толщину стенок, отличную от вышеуказанных, коэффициент А определяется по эмпирической формуле, предложенной инж. А. М. Ки-MOM:

$$A = (83/d) \sqrt{1/a\Delta P}$$
.

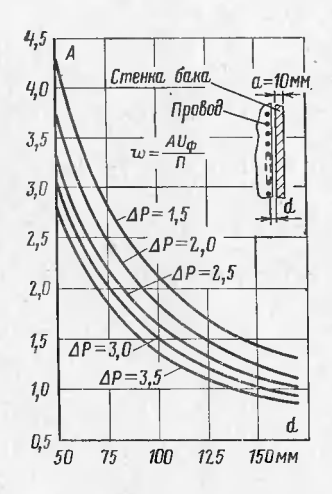


Рис. 12-3. Кривые зависимости коэффициента *A* от расстояния между витками и стенкой бака.

Примерные удельные мощности  $\Delta p$  в зависимости от периметра бака  $\Pi p_6$ , необходимые при сушке индукционным способом, даны в табл. 12-2.

Если бак ребристый, то при расчете намагничивающей обмотки периметр бака Пр<sub>б</sub> принимается равным выпрямленной длине боковых стенок с коэффициентом 0,6.

# Удельные мощности при сушке трансформаторов

| Периметр бака Пр <sub>б</sub> , м | Удельная мощность ∆ <i>p</i> , кВт/м² |
|-----------------------------------|---------------------------------------|
| До 10                             | До 1,9                                |
| 11—15                             | 2,0—2,8                               |
| 16—20                             | 2,9—3,6                               |
| 21—26                             | 3,7—4,0                               |

На рис. 12-4 дана кривая зависимости необходимой мощности P, кВт, от периметра бака Пр<sub>6</sub>, м, при сушке индукционным способом (трехфазная обмотка, напряжение питания 380 B,  $\cos \varphi = 0.6$ , бак утепленный, расстояние витков от стенки бака d = 100 мм).

Ток для питания индукционной обмотки определяется по формулам:

$$I = P \cdot 10^{3} / \sqrt{3} U \cos \phi$$
 — для трехфазной обмотки;

$$I = P \cdot 10^{3} / U \cos \varphi$$
 — для однофазной обмотки;

 $\cos \varphi$  принимается 0,4—0,6 (при  $d \le 100$  мм  $\cos \varphi = 0,6$ ). Сечение провода для индукционной обмотки выбирается, исходя из плотности тока 3,5—5  $A/\text{мм}^2$ .

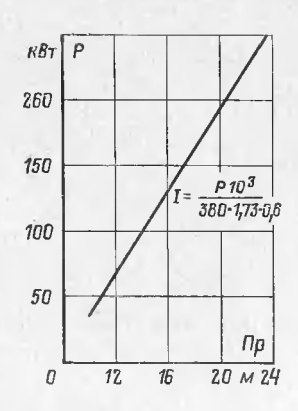


Рис. 12-4. Зависимость необходимой мощности для сушки от периметра бака трансформатора.

Приведенный расчет намагничивающей обмотки является приближенным. Поэтому у обмотки делают одно или два ответвления. Окончательное число витков устанавливается после пробного включения под напряжение.

## 12-4. ПОДГОТОВИТЕЛЬНЫЕ РАБОТЫ

Перед опусканием активной части в бак последний внутри тщательно очищают, удаляют остатки масла и вытирают его насухо салфетками, не оставляющими ворса. Затем активную часть опускают в бак и, если сушку производят под вакуумом, герметически закрывают крышкой.

Предварительно с крышки снимают постоянные вводы и устанавливают на уплотнениях какие-либо подходящие временные вводы на 6—10 кВ. До закрытия бака крышкой устанавливают внутри на активную часть термопары (обычно медь — константан) или термобаллоны от термосигнализаторов, а снаружи бака — термометры (рис. 12-5). Провода от термодатчиков выводят

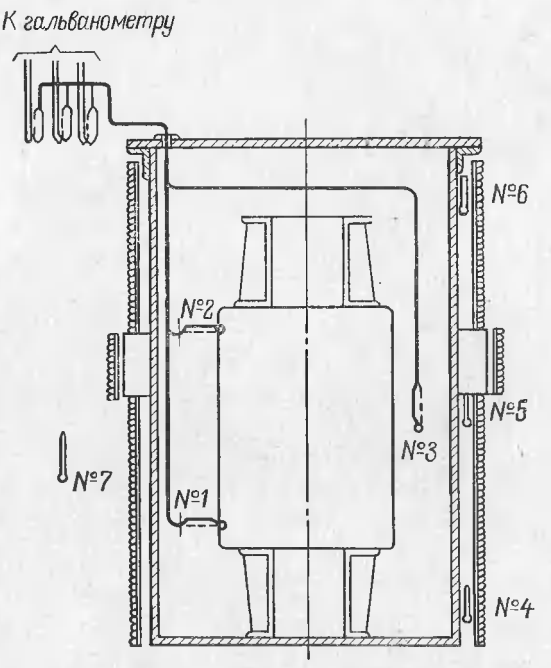


Рис. 12-5. Установка термодатчиков и термометров внутри и снаружи бака трансформатора при сушке.

№ 1-3 — термодатчики; № 4-7 — термометры.

наружу, пропуская между плотно притянутыми друг к другу резиновыми прокладками одного из глухих фланцев.

Если на месте ремонта есть вакуум-насос, то сушку рекомендуется производить под вакуумом <sup>1</sup>. Значение его состоит в том, что он увеличивает скорость испарения

<sup>&</sup>lt;sup>1</sup> Активные части трансформаторов классов напряжения 220 кВ и выше сущат обязательно под вакуумом.

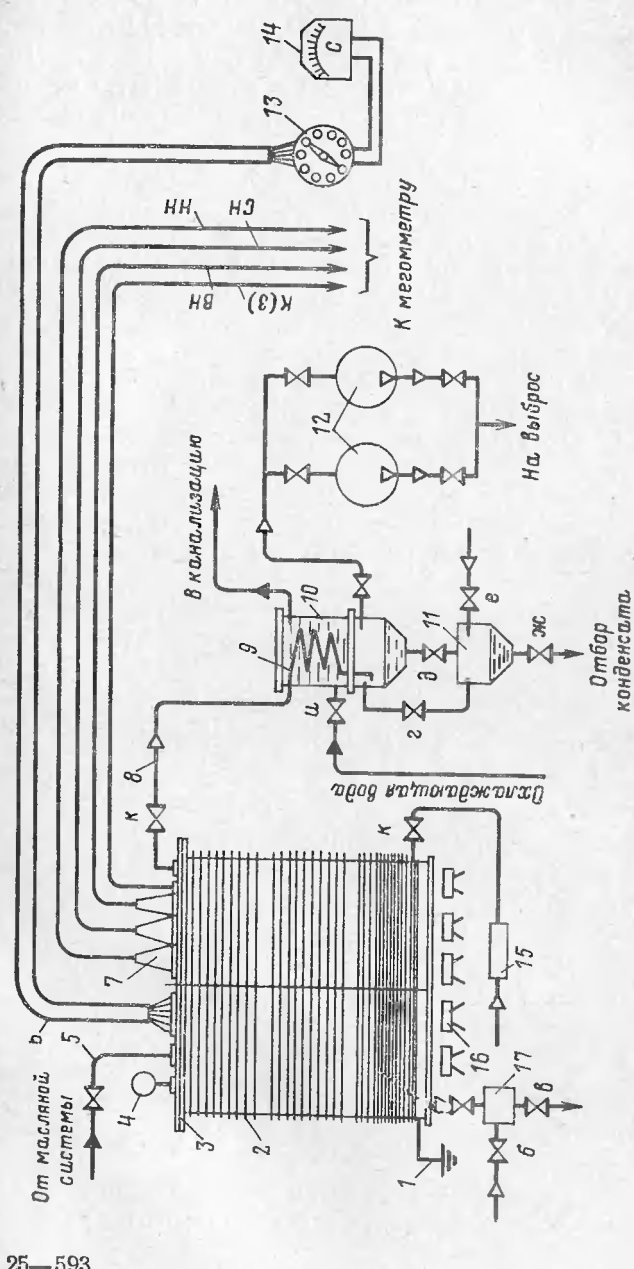
влаги (так называемая внешняя диффузия) и одновременно облегчает внутреннюю диффузию, т. е. движение влаги внутри изоляции. Кроме того, при вакууме требуется меньшая температура для испарения влаги, содержащейся в изоляции.

### 12-5. СУШКА В СОБСТВЕННОМ БАКЕ ПОД ВАКУУМОМ

После выполнения всех указанных выше подготовительных работ собирают вакуумную установку по схеме на рис. 12-6 и, запуская вакуум-насос, плавно поднимают вакуум в баке. По мере подъема вакуума выявляют

и устраняют все нарушения уплотнений.

Одновременно включают намагничивающую обмотку на первую ступень, т. е. на все витки. Предварительно измеряют мегаомметром 2500 В сопротивление изоляции обмоток по отношению к корпусу и между собой. Результаты измерений заносят в журнал сушки, отмечая при этом все температуры, а также время начала сушки. Вначале подогревают воздух внутри бака трансформатора до 100°С. При подъеме температуры включают каждый час вакуумный насос и создают в баке в течение 15 мин остаточное давление не более 27 кПа (200 мм рт. ст.), одновременно подсасывая воздух через фильтр. Остаточное давление поддерживают в пределах 13—27 кПа (100—200 мм рт. ст.), регулируя краном количество подсасываемого воздуха. Когда температура воздуха в баке достигнет 100°С, равномерно повышают в течение 15 мин остаточное давление до 40 кПа и выдерживают его 2 ч. Затем постепенно снимают вакуум и продолжают нагревать активную часть, однако через каждые 2 ч создают и выдерживают в течение полчаса вакуум с остаточным давлением 33-40 кПа (250-300 мм рт. ст.), подсасывая горячий воздух через фильтр. После каждого сброса вакуума измеряют и записывают в журнал количество выделившегося конденсата. Так продолжают прогрев, пока магнитопровод и изоляция не достигнут температуры 95—105°С. При нормальном температурном режиме это достигается примерно за следующее время: для трансформаторов мощностью выше 200 МВ А и класса напряжения 220 кВ — за 80 ч; 80—200 МВ·А, 110 кВ — за 60 ч; 16—80 МВ·А, 110 кВ — за 35—40 ч; 6,3—16 МВ·А, 110 кВ — за 25—30 ч. При подъеме температуры в процессе прогрева и сушки



внутри бака; 7—временные вводы; 8—вакуум-провод; 9—змеевик; 10—охладительная колонка; 11—промежурочный 12—вакуумные насосы; 13— цегочный переключатель; 14—гальванометр, 16—воздушный фильтр; 16—электропечи закрышке бака с пределом измерения 0-1,01 · 10\* Па (1 ат); 5 - подающий маслопровод; 6 - проводники от термодатчиков, установобмотка; 3-утеплениый бак; 4- вакуумметр, установленный Рис. 12-6. Принципнальная схема вакуумной сушки нидукционным способом мощемых трансформаторов крытого типа; 17 — бачок для удалення остатков масла, намагинчивающая 1 — заземление бака; 2 — трехфазная ленных бачок;

активной части необходимо следить, чтобы температура стенок, дна и крышки бака не превышала 115°С, а температура магнитопровода и изоляции— 105°С. При превышении этих температур намагничивающую обмотку отключают и, когда температура снизится на 5°С, ее снова включают.

После нагрева магнитопровода и изоляции до 95— 105°C остаточное давление снижают ступенями по 13,5 кПа (100 мм рт. ст.) за каждые 15 мин до допустимого значения для данной конструкции бака. У трансформаторов, рассчитанных на полный вакуум, устанавливают остаточное давление 53 кПа (400 мм рт. ст.) и выдерживают 1 ч, после чего ступенями по 27 кПа (200 мм рт. ст.) за каждые 15 мин создают вакуум с остаточным давлением 1,5-2 кПа (10-15 мм рт. ст.). За процессом сушки должен наблюдать дежурный из числа квалифицированных рабочих. Кроме того, ход сушки должен периодически проверять мастер по ремонту. Дежурный должен каждый час записывать в журнал сушки по показаниям приборов все температуры, вакуум, ток и напряжение, а также замерять мегаомметром 2500 В сопротивления изоляции обмоток по отношению к корпусу и между собой и количество выделившегося конденсата. Замеры сопротивлений изоляции обмоток производят при отключенной намагничивающей обмотке.

Сушка считается законченной, если сопротивление изоляции обмоток при установившейся температуре и постоянном вакууме не изменяется в течение 5—6 ч и если в течение этого времени выделение конденсата не превышает 3—5 г/ч на каждую тонну заливаемого в трансформатор масла.

По окончании сушки температуру внутри бака снижают до 80°С и трансформатор заливают сухим чистым маслом под вакуумом через нижний кран бака с помощью насоса. Температура масла должна быть не ниже 10°С для трансформаторов класса напряжения 110—150 кВ и 45°С для трансформаторов 220 кВ и выше. Масло заливают до покрытия верхнего ярма магнитопровода. Затем активную часть выдерживают в масле в течение 6—8 ч под вакуумом. После этого вакуум снимают, отключают вакуум-насос и выдерживают активную часть еще 3—4 ч. Когда температура обмоток снизится до 40—50°С, активную часть вынимают для реви-

| Наименование отдельных стадий работы установки                                                                                                                | Номера кранов и их<br>положения (рис. 12-6) |         |  |
|---------------------------------------------------------------------------------------------------------------------------------------------------------------|---------------------------------------------|---------|--|
|                                                                                                                                                               | Закрыты                                     | Открыты |  |
| Первоначальное положение, при котором давление в баке трансформатора равно атмосферному: установка готова к работе                                            | г, ж,е                                      | ∂,κ     |  |
| Рабочее положение, при котором давление в баке трансформатора меньше атмосферного (вакуум устанавливается и автоматически регулируется редукционным клапаном) | ж,е                                         | г,∂,к   |  |
| Выпуск конденсата из сборника при рабочем положении вакуумной установки                                                                                       | ε,∂                                         | е, ж, к |  |
| Конечное положение по окончании сушки. От вакуума переходят к атмосферному давлению                                                                           | г, ж                                        | д,е,к   |  |

зии, а намагничивающую обмотку и отепление бака демонтируют.

Ревизию активной части после сушки производят так,

как это указано в гл. 11.

На рис. 12-6 приведена схема вакуумной установки. Для пояснения ее работы на отдельных стадиях сушки в табл. 12-3 указывается, какой кран и когда должен быть закрыт и какой открыт.

#### 12-6. СУШКА В СОБСТВЕННОМ БАКЕ БЕЗ ВАКУУМА

Если отсутствует вакуумная установка, то сушку производят индукционными потерями в стенках бака без вакуума. В этом случае бак не герметизируют, а просто накрывают крышкой. На одно из отверстий в крышке устанавливают трубу высотой 2—2,5 м, а в нижней части бака оставляют одно из отверстий открытым, чтобы в процессе сушки активной части происходила вентиляция воздуха в баке.

Воздух, поступающий через нижнее отверстие в бак, рекомендуется подогревать. С этой целью на фланец нижнего сливного крана устанавливают отрезок трубы, на который предварительно укладывают асбестовую изоляцию и поверх нее наматывают спираль из нихромовой или фехралевой проволоки, служащую нагревателем воздуха, поступающего в бак.

Сушку активной части ведут так же и при той же температуре, что и при вакууме. Для ускорения сушки 25\*

рекомендуется применять термодиффузию, т. е. в процессе сушки снижать периодически температуру в баке до 50—60°С и затем снова поднимать ее до 95—100°С.

Сушка без вакуума считается законченной при достижении тех же показателей, что и при вакууме, исключая выделение конденсата, которого при сушке без вакуума практически не происходит.

# 12-7. СУШКА ТОКАМИ НУЛЕВОЙ ПОСЛЕДОВАТЕЛЬНОСТИ

Принцип сушки. Сушка токами нулевой последовательности основана на нагреве активной части трансформатора за счет потерь на вихревые токи, которые возникают в ее массивных стальных конструкциях, а также в стенках самого бака при их намагничивании. Для этого обмотки трансформатора (безразлично ВН или НН) надо соединить так, чтобы магнитные потоки, создаваемые протекающими по ним токами, совпадали во всех стержнях магнитопровода как по величине, так и по направлению. В этом случае силовые линии магнитного поля будут замыкаться через стержни на воздух, стенки бака и обратно на стержни.

Схемы получения магнитного потока нулевой последовательности. На рис. 12-7, а—ж даны схемы сушки токами нулевой последовательности для трехфазных и однофазных трансформаторов со стержневыми магнитными системами при разных схемах соединения их обмоток.

Трансформаторы с броневой и со стержневой разветвленной магнитной системой сушить током нулевой последовательности нельзя, так как магнитный поток у этих трансформаторов всегда при любых соединениях

будет замыкаться по магнитопроводу.

Если трехфазный трансформатор со стержневой магнитной системой имеет схему соединения звезда—звезда, то (рис. 12-7,а) для сушки токами нулевой последовательности необходимо закоротить все три фазных вывода любой обмотки (ВН или НН) и подать напряжение между нулевым и закороченными фазными выводами. Другая обмотка остается при этом открытой (незакороченной).

Если нулевого вывода нет, то делают временный

нулевой вывод.

При соединении звезда — треугольник для получения магнитного потока нулевой последовательности

разъединяют треугольник и подают напряжение в рассечку треугольника, оставляя звезду открытой (рис. 12-7,6), или треугольник оставляют разъединенным, а звезду закорачивают и подают напряжение между закороченным выводом и нулем (рис. 12-7,6).

При сушке током нулевой последовательности однофазных трансформаторов с двухстержневой магнитной системой осуществляют схемы (рис. 12-7, в и ж) в зави-

симости от направленности обмоток.

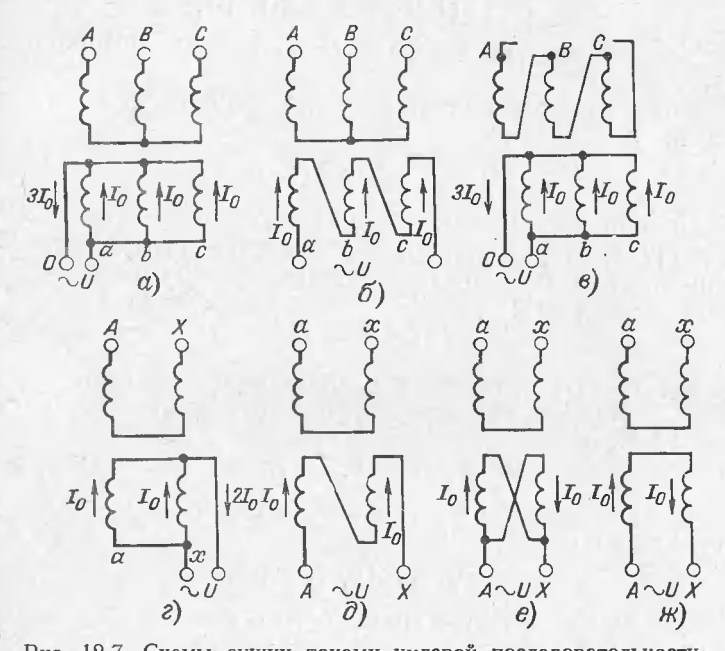


Рис. 12-7. Схемы сушки токами нулевой последовательности. a — при соединении трехфазного трансформатора по схеме звезда — звезда с нулем;  $\delta$  — при соединении по схеме звезда — открытый треугольник; s — при соединении по схеме открытый треугольник — звезда с иулем; s и d — однофазный траисформатор с обмотками одиого направления; s и s — то же с обмотками разного направления.

Определение параметров для сушки токами нулевой последовательности. Инж. А. М. Ким предложил простой мегод определения параметров для сушки током нулевой последовательности.

Определяют опытным путем сопротивление нулевой последовательности  $Z_0$ , для чего в зависимости от соединения обмоток трансформатора собирают ту или

иную схему нулевой последовательности (рис. 12-7,a—ж). В схему включают вольтметр, амперметр и ваттметр. На зажимы схемы подают от сварочного трансформатора напряжение U примерно 60—100 В. Замеряют значения напряжения U, тока I и мощности P; тогда

$$Z_0 = U/I$$
, OM;  $\cos \varphi_0 = P/UI$ .

Рассчитывают мощность, необходимую для нагрева утепленного бака:

$$P = 5S (100 - \Theta_{\text{ок.среды}}), Вт,$$

где S — суммарная поверхность стенок и крышки бака, м<sup>2</sup>.

Подсчитывают напряжение нулевой последовательности.

$$U = \sqrt{PZ_0/\cos\varphi_0}$$
, B.

Подбирают имеющееся на месте напряжение U', близкое к напряжению нулевой последовательности U, и по нему вычисляют окончательно ток нулевой последовательности I'<sub>0</sub>:

 $I'_0 = U'/Z_0$ , A.

Вычисляют мощность, необходимую для сушки,  $P_0$ : а) для трехфазных трансформаторов по схемам на рис. 12-7,a и b

 $P_0=3I'_0U'$ , B·A;

б) для однофазных трансформаторов по схемам на рис. 12-7, $\epsilon$  и  $\epsilon$ 

$$P_0=2I'_0U'$$
, B·A;

в) для однофазных трансформаторов по схемам на рис. 12-7, $\partial$  и  $\mathcal{H}$ , а для трехфазных трансформаторов по схеме на рис. 12-7, $\delta$ 

 $P_0 = I'_0 U'$ , B·A.

Процесс сушки. До опускания активной части в бак последний чистят внутри так же, как и при других методах сушки, после чего его утепляют с наружной стороны. Обмотки активной части соединяют по соответствующей схеме нулевой последовательности и после соединения активную часть помещают в бак, устанавливают приборы для измерения температуры и закрывают бак крышкой. Затем подают на зажимы схемы напряжение нулевой последовательности и начинают сушку, 390

предварительно измерив сопротивление изоляции обмоток по отношению к корпусу и между собой, а также все температуры, напряжение и ток и записав результаты измерений в журнал сушки.

Дежурный по сушке должен измерять и записывать каждый час сопротивление изоляции, ток, напряжение и температуру. При измерении сопротивления изоляции трансформатор необходимо выключать. Температура обмоток при сушке не должна быть больше 100°С.

Сушка считается законченной при достижении тех же показателей, что и при сушке индукционными потерями.

#### 12-8. ДОПОЛНИТЕЛЬНЫЙ МЕТОД ОЦЕНКИ УВЛАЖНЕННОСТИ ИЗОЛЯЦИИ

Дополнительным методом оценки увлажненности изоляции является измерение  $tg\,\delta$ . На трансформаторных заводах при сушке мощных трансформаторов  $220\,\mathrm{kB}$  с маслобарьерной изоляцией заканчивают сушку после достижения установившегося значения  $tg\,\delta$  не более  $3-4\,\%$  при  $100\,^\circ\mathrm{C}$ .

Измерение tg δ при сушке производят мостом МД-16, используя для этого трансформатор осветителя и пита-

Таблица 12-4 Параметры моста МД-16

| Положение рукоятки (наибольший допустимый ток, А)        | 0,01     |             |  |  |
|----------------------------------------------------------|----------|-------------|--|--|
| Электрическая емкость образ-<br>цового конденсатора, мкФ | 0,001    | 0,01        |  |  |
| Электрическая емкость объекта, пФ                        | 300—3000 | 3000300 000 |  |  |

#### Продолжение табл. 12-4

| Положение рукоятки (наибольший допустимый ток, А)   | 0,025           |                    |  |  |
|-----------------------------------------------------|-----------------|--------------------|--|--|
| Электрическая емкость образцового конденсатора, мкФ | 0,001           | 0,01               |  |  |
| Электрическая емкость объекта, пФ                   | 300 000—600 000 | 600 000—1 400 000] |  |  |

ния моста при измерении на низком напряжении (рис. 12-8).

Схема внешних соединений при работе моста на низ-

ком напряжении показана на рис. 12-9.

При выборе электрической емкости образцового конденсатора, встроенного в мост MД-16 (0,01 или 0,001 мкФ), а также положения переключателя шунтов руководствуются данными табл. 12-4. Измерение и подсчет величин электрической емкости и  $tg \delta$  производятся так же, как и при работе моста на высоком напряжении (см. гл. 13); там же даны допустимые значения  $tg \delta$ ,

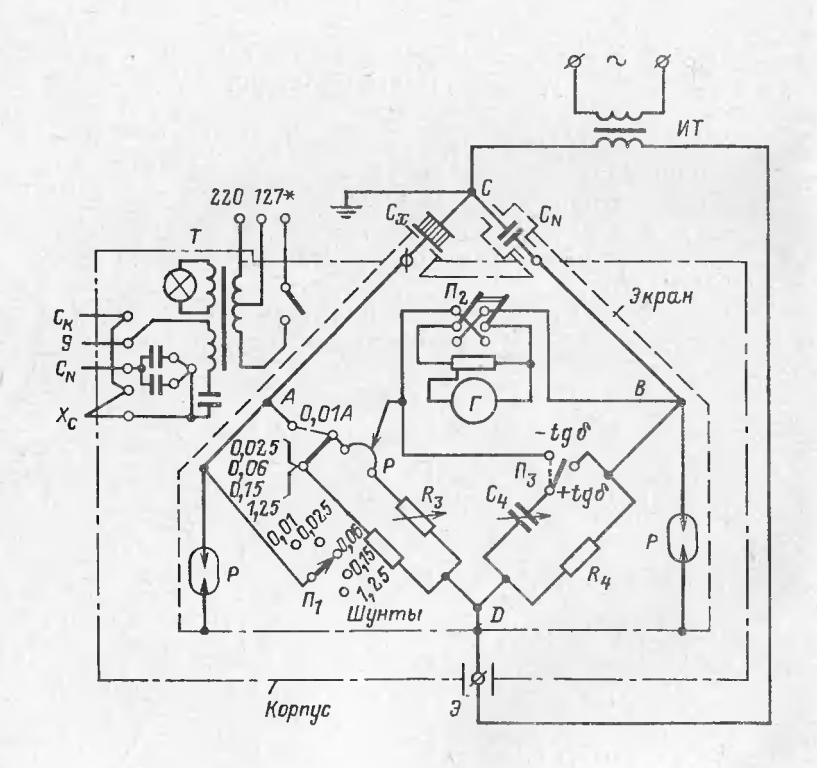


Рис. 12-8. Принципиальная схема моста МД-16.

 $\mathit{UT}$  — испытательный трансформатор;  $C_X$  — измеряемая электрическая емкость;  $C_N$  — образцовый конденсатор;  $\Pi_1$  — переключатель шунтов;  $\Pi_2$  — переключатель полярности гальванометра;  $\Pi_3$  — переключатель электрической емкости  $C_4$  для намерения отрицательного значения  $\operatorname{tg}$   $\delta$ ; T — трансформатор освещения и питания моста при измерении на низком напряжении; P — разрядник.

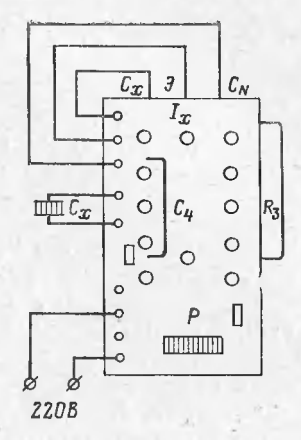


Рис. 12-9. Схема внешних соединений при работе моста на низком напряжении.

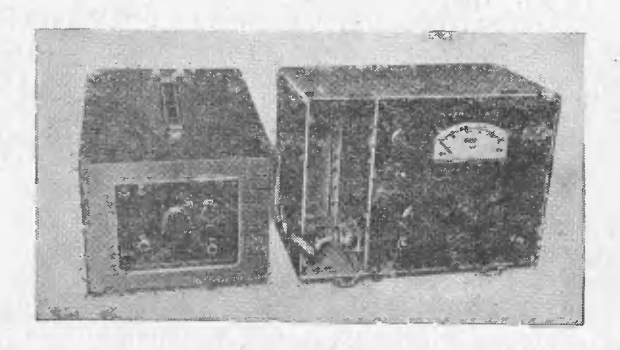


Рис. 12-10. Установка ИДП-2 для измерения tg δ.

а также коэффициенты приведения значений tg δ к соответствующей температуре (табл. 13-8 и 13-9).

Очень удобным прибором для измерения tg δ (или электрической емкости объекта) при сушке является установка ИДП-2, разработанная и выпускаемая грестом ОРГРЭС (рис. 12-10).

Пределы измерения установки:

| Тангенс угла диэлектрических Электрическая емкость Основная погрешность:      | • | ٠ | ٠ | • | 50—50 тыс. пФ |
|-------------------------------------------------------------------------------|---|---|---|---|---------------|
| Тангенс угла диэлектрических Электрическая емкость Испытательное напряжение . |   |   |   |   | Не более 5 %  |

| Допустимые схемы измерения                | Нормальная и перевер- |
|-------------------------------------------|-----------------------|
| Питание                                   | нутая<br>220 В, 50 Гц |
| Масса:<br>измерительного блока            | 9,5 кг                |
| блока питания (со встроенным генератором) | 14 кг                 |

#### 12-9. ПРОТИВОПОЖАРНЫЕ МЕРОПРИЯТИЯ И ТЕХНИКА БЕЗОПАСНОСТИ ПРИ СУШКЕ АКТИВНОЙ ЧАСТИ

При сушке активной части трансформатора должны выполняться следующие противопожарные мероприятия, а также меры по технике безопасности:

1. В помещении, где производится сушка, запрещаются курение и всякие работы, связанные с огнем (свар-

ка, пайка и т. п.).

2. Вблизи трансформатора должны быть установлены средства тушения пожара (ящики с песком, совки, лопаты, ведра и незамерзающие пеногонные огнетушители).

3. Помещение должно быть очищено от мусора и материалов, которые легко загораются (масляная ветошь и концы, дерево, стружка, бумага, войлок, опил-

ки и т. п.).

4. Лаки, бензин, керосин и другие легко воспламеняющиеся материалы должны храниться в закрытых металлических ящиках и закрытой металлической посуде и находиться в отдельном помещении (не там, где производится сушка).

5. Все электрические установки и бак трансформатора должны быть заземлены, а рубильники и плавкие

вставки — смонтированы в закрытых ящиках.

6. В помещении, где производится сушка, должна

исправно работать вентиляция.

- 7. Все измерения сопротивлениня изоляции должны производиться при отключении от трансформатора напряжения.
- 8. Переносные лампы должны быть на напряжение не более 24 В.
- 9. Включение и отключение трансформатора необходимо производить в резиновых перчатках.
- 10. Помимо специального дежурного из числа квалифицированных рабочих, производящих ремонт, в помещении, где производится сушка, рекомендуется уста-

новить на время сушки пожарный пост с непрерывным

дежурством.

11. При возникновении пожара дежурный по сушке должен поднять пожарную тревогу, отключить от трансформатора напряжение и одновременно начать тушение пожара. Пожар надо тушить песком, бросая его с силой при помощи лопаты. Если пожар принял большие размеры, то его надо тушить пеногонными огнетушителями. Тушение водой не допускается.

12. Для дежурства по сушке в электроустановках напряжением до 1000 В допускаются лица, имеющие III квалификационную группу по технике безопасности, а в установках с напряжением выше 1000 В— IV

группу.

13. Зона трансформатора (бак с индукционной обмоткой) должна быть ограждена. На ограждении должны вывешиваться плакаты: «Под напряжением», «За ограждение не входить» и др.

#### 12-10. КОНТРОЛЬНЫЙ ПРОГРЕВ И ПОДСУШКА

Перед испытанием повышенным напряжением мощных трансформаторов производят контрольный прогрев и контрольную подсушку. Контрольный прогрев осуществляют без вакуума, нагревая верхние слои масла до 60—70°С. Контрольную подсушку производят при температуре верхних слоев масла 80°С и максимальном вакууме, допустимом для данной конструкции бака трансформатора. Длительность контрольной подсушки 48 ч при 80°С.

Контрольный прогрев и подсушку наиболее рационально производить постоянным током, пропуская его через обмотки трансформатора, соединенные между собой в той или иной комбинации согласно расчету.

Для прогрева трансформаторов постоянным током применяют переносные малогабаритные преобразовательные устройства, собранные на портативных полупроводниковых (кремниевых) диодах типов ВК-200, ВКЛ-200, ВКВ2-350 и пр.

Для получения максимально возможной мощности они соединяются параллельно и охлаждаются проточной водой или воздухом (обычно применяют вентиляторы для обдува радиаторов).

На рис. 12-11 дана принципиальная электрическая схема однофазного выпрямительного блока, состоящего

из четырех диодов, собранных по мостовой схеме, а на рис. 12--12 — трехфазная мостовая схема выпрямительного блока. Омические сопротивления и электрические емкости в схеме — для защиты диодов от возможных толчков обратного тока. Сопротивление  $R_6$  балластное, для снятия пиков напряжения, возникающих при холостом ходе и малых нагрузках.

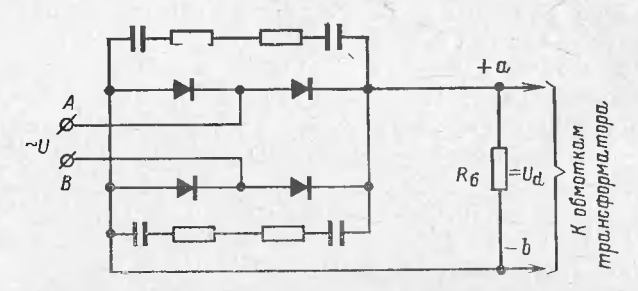


Рис. 12-11. Принципиальная электрическая схема однофазного выпрямительного блока.

К зажимам A и B (рис. 12-11) подводится напряжение переменного тока, а к зажимам a и b на стороне постоянного тока подключается обмотка подогреваемого трансформатора. Среднее значение выпрямленного напряжения при однофазной схеме —  $U_d$  равно при нагрузке  $0.9\ U.$ 

На рис. 12-13 даны схемы соединения обмоток ВН трехфазного трансформатора для получения соответствующего полного сопротивления. Для выбора той или

К обмотком трансформатора.

Рис. 12-12. Трехфазиая мостовая схема выпрямительного блока.

иной схемы соединения обмоток, подключаемых к выпрямительному устройству, необходимо определить омическое сопротивление фазы ВН и номинальный фазный ток при данном напряжении.

Полное сопротивление выбирается так, чтобы в любой из фазных обмоток трансформатора ток был в пределах  $(0.9 \div 1.0) I_{\rm H}$  А. Тогда напряжение прогрева  $U_{\rm np} = (0.9 \div 1.0) I_{\rm H} R_{\rm n}$  В. По этому напряжению прогрева

на стороне постоянного тока выбирают соответствующую мостовую схему блока диодов, а также устанавливают напряжение на стороне переменного тока.

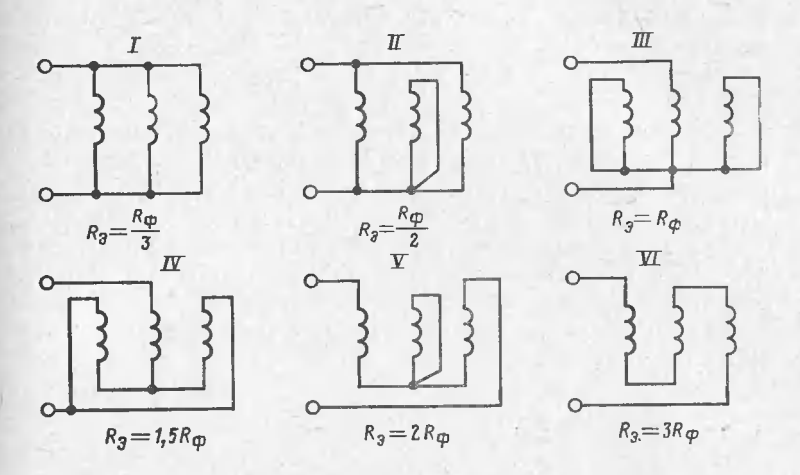


Рис. 12-13. Схемы соединения обмоток трехфазных трансформаторов для их прогрева и подсушки постоянным током.

I-VI — возможные варианты;  $R_{\Phi}$  — омическое сопротивление фазиой обмотки;  $R_{a}$  — полное сопротивление схемы соединення.

Прогрев и подсушку осуществляют в следующем порядке.

1) Сливают частично масло так, чтобы верхнее ярмо

было закрыто маслом.

2) Отключают охлаждающие устройства и подключают масло— насосы для принудительного перемешивания масла.

 Заземляют бак трансформатора и коллектор водяного охлаждения.

4) Подсоединяют выпрямительное устройство к обмоткам трансформатора и к схеме питания, соединив предварительно обмотки ВН по выбранной схеме и подобрав вентильное устройство по току и напряжению.

5) Устанавливают приборы для измерения темпера-

туры верхних слоев масла.

6) Устанавливают и заземляют закоротки на обмотки, не подключенные к выпрямителю, а также на обмотки встроенных трансформаторов тока. 7) Измеряют сопротивление изоляции схемы про-

грева меѓаомметром 500 В.

8) Включают воздушное или водяное охлаждение выпрямительного устройства и подают напряжение на трансформатор.

9) Включают через 1,5 мин вольтметр и измеряют одновременно по команде напряжение и ток прогрева.

10) Измеряют температуру верхних слоев масла  $\Theta_{\text{хол}}$  и определяют сопротивление обмоток трансформатора при температуре  $\Theta_{\text{хол}}$  по формуле:  $R_{\text{хол}} = U_{\text{хол}}/I_{\text{хол}}$  Ом, где  $U_{\text{хол}}$  и  $I_{\text{хол}}$  — напряжение, B, и ток, A, прогрева.

11) Измеряют через 30 мин аналогично напряжение  $U_{\text{гор}}$ , В, и ток  $I_{\text{гор}}$ , А, прогрева и определяют сопротивле-

ние  $R_{\text{rop}} = U_{\text{rop}}/I_{\text{rop}}$ , Ом.

12) Определяют температуру обмоток  $\Theta_{\text{об}}$  после 30 мин прогрева:

$$\theta_{o6} = (R_{rop}/R_{xon} - 1) (235 + \theta_{xon}) + \theta_{xon}$$
, °C.

Измерение сопротивлений производится методом амперметра и вольтметра, причем вольтметр присоединяют непосредственно к вводам обмоток отдельными зажимами, не связанными с зажимами питающих кабелей. Амперметр включают с помощью шунтов. Приборы для измерений применяют класса точности не ниже 0,5.

13) Отключают схему прогрева и, заземляя токоведущие шпильки вводов не менее чем на 2 мин, снимают электростатические заряды с прогреваемых обмоток.

Проверяют на ощупь температуру контактов.

14) Включают повторно схему прогрева.

15) Включают на 1 ч через каждые 3-4 ч маслона-

сосы для перемешивания масла.

- 16) Измеряют через каждый час ток, напряжение и температуру масла и подсчитывают температуру нагрева обмоток, занося результаты в журнал контрольного прогрева.
- 17) Отключают схему при температуре верхних слоев масла  $60-70^{\circ}\text{C}$  сначала вольтметр, а затем выпрямительное устройство.

18) Демонтируют схему прогрева, предварительно

сняв электростатический заряд.

19) Через 5—7 ч после окончания прогрева приступают к измерениям изоляционных характеристик трансформатора.

20) Проверяют электрическую прочность горячего масла. Хорошее масло имеет одинаковую электрическую прочность как в горячем, так и в холодном состоянии.

### ГЛАВА ТРИНАДЦАТАЯ

# ИСПЫТАНИЯ ТРАНСФОРМАТОРОВ ПОСЛЕ РЕМОНТА И МОДЕРНИЗАЦИИ

### 13-1. ЗАДАЧА ИСПЫТАНИЙ

Каждый трансформатор после того или иного ремонта, а тем более модернизации подвергают так называемым сдаточным испытанням. Целью этих испытаний являются проверка качества произведенного ремонта или модернизации, а также уточнение параметров трансформатора.

### 13-2. ОБЪЕМ И НОРМЫ ИСПЫТАНИЙ

В табл. 13-1 даны объем и нормы испытаний, которым должен подвергаться трансформатор в зависимости от характера произведенного ремонта или модернизации. В местных условиях ремонта не всегда можно произвести некоторые испытания. Поэтому в объем и методику испытаний включены в основном лишь те из них, которые предусмотрены техническими условиями на ремонт трансформаторов.

### 13-3. ОБЩИЕ УКАЗАНИЯ ПО ПРОВЕДЕНИЮ ИСПЫТАНИЙ

При проведении испытаний необходимо, чтобы измерительные приборы были класса точности не ниже 0,5, а для некоторых испытаний — 0,2.

При испытаниях пользуются обычно комплектами измерительных приборов, которые расположены в чемоданах и очень удобны в условиях выездных ремонтов.

Технические данные этих приборов даны в табл. 13-2.

Чтобы перейти от показаний приборов в делениях к фактическим значениям замеренных величин, надо показание прибора в делениях умножить на коэффициент k, который будет равен: для вольтметра  $k=k_{\rm B}k_{\rm H}$ ; для амперметра  $k=k_{\rm B}k_{\rm Tok}$ ; для ваттметра  $k=k_{\rm B}k_{\rm H}k_{\rm Tok}$ ; здесь  $k_{\rm B}$ — цена деления вольтметра (например 1 В);  $k_{\rm A}$ — цена деления амперметра (например 0,05 А);  $k_{\rm BT}$ — цена деления ваттметра (например 5 Вт);  $k_{\rm H}$ — коэффициент трансформации напряжения;  $k_{\rm Tok}$ — коэффициент трансформации тока. Пример. Вольтметр, имеющий шкалу 150 делений, включен на

Пример. Вольтметр, имеющий шкалу 150 делений, включен на предел измерений 150 В через добавочное сопротивление на 450 В; амперметр, имеющий шкалу 100 делений, включен на предел измерений 5 А через трансформатор тока 300/5 А; ваттметр, имеющий шкалу 150 делений, включен на пределы измерений 5 А и 150 В через добавочное сопротивление на 450 В и через трансформатор

тока 300/5 A; тогда коэффициенты k будут: для вольтметра k=1.450/150=1.3=3;

для амперметра  $k=0.05\cdot300/5=0.05\cdot60=3$ ;

для ваттметра  $k=5(450/150)(300/5)=5\cdot3\cdot60=900$ .

# Объем и нормы испытаний трансформаторов

|                                                                                                             | Виды ис                                                                            | Вяды испытаний                      |                                                                                                                                                                                                                           |                                                                                                                                                                                                                                             |
|-------------------------------------------------------------------------------------------------------------|------------------------------------------------------------------------------------|-------------------------------------|---------------------------------------------------------------------------------------------------------------------------------------------------------------------------------------------------------------------------|---------------------------------------------------------------------------------------------------------------------------------------------------------------------------------------------------------------------------------------------|
| Испытания                                                                                                   | при ремонте иля мо-<br>дернизации с частич-<br>кой или полной заме-<br>ной обмоток | при ремонте без заме-<br>ны обмоток | Нормы                                                                                                                                                                                                                     | Примечания                                                                                                                                                                                                                                  |
| Измерение сопротивления изоляции доступных стяжных пиплек, бандажей, а также ярмовых балок у магнитопровода | Обязательно                                                                        | Обязательно                         | Сопротивление изоляции не нормируется                                                                                                                                                                                     | Сопротивление изоляции из-<br>меряется мегаомметром 2500 : В<br>Недолустимо снижение сопро-<br>тивления изолящии более чем<br>на 50% по сравнению с исход-<br>ными (заводскими) значескиями                                                 |
| Измерение сопротивления по-<br>стоянному току обмоток на<br>всех ответвлениях                               | Обязательно                                                                        | Облзательно                         | Не должно отличаться более чем на 2% от сопротивлений; измеренных на тех же ответвлениях на других фазах                                                                                                                  | Производится с помощью мо-<br>ста постоянного тока или мето-<br>дом амперметра и вольтметра                                                                                                                                                 |
| Измерение коэффициента<br>траксформации на всех ответ,-<br>влениях                                          | Обязательно                                                                        | Не обязательно                      | Не должно отличаться бо-<br>лее чем на 2% от коэффици-<br>ентов трансформации на тех<br>же ответлениях на других<br>фазах. Дия трансформаторов<br>РПН допуск не должен пре-<br>вышать значения ступени ре-<br>гулярования | Коэффициенты трансформа-<br>щи по данным замерам напря-<br>жений необходимо вычислять<br>непосредственно, не пользуясь<br>логарифициеской лигейкой, От-<br>клонения от расчетных паспорт-<br>ных данных не должны быть<br>более $\pm 0,5$ % |
| Проверка группы соединения трех/дазиых трансформаторов и поляриссти вводов однофазиых трансформаторов       | Обязательно}                                                                       | Не обязательно                      | Группа должна соответство-<br>вать паспортным панным и<br>обозначениям на крышке                                                                                                                                          | В местимх условиях ремонта группу проверяют методом двух вольгистров. Полярность вводов определяют постоянным током с помощью гальванометра                                                                                                 |

| 11 poods meense mad st. 13-1 |                | Примечания                                                                         | Производитея металметром 2500 В между каждой обмот-ками                                                                                                                                                                                                                                                                                                                                                                                                                                         | Замеряется прибором, ПКВ при немпературе не виже +10°C между каждой обмоткой и корпусом при заземленных свобод-ных обмотках                                                                                                                                                                                    |
|------------------------------|----------------|------------------------------------------------------------------------------------|-------------------------------------------------------------------------------------------------------------------------------------------------------------------------------------------------------------------------------------------------------------------------------------------------------------------------------------------------------------------------------------------------------------------------------------------------------------------------------------------------|----------------------------------------------------------------------------------------------------------------------------------------------------------------------------------------------------------------------------------------------------------------------------------------------------------------|
|                              |                | Нормы                                                                              | Сопротивление взолящии об-<br>моток не нормируется. Опыт-<br>ные значения даны в табл.<br>13-4, Значения сопротивления<br>изолящии при включении в<br>эксплуатацию не должень<br>уменьшится более чем на 40%<br>против значений, замеренных<br>против значений, замеренных<br>против значений, замеренных<br>приваденных к той же темпе-<br>приваденных к той же темпе-<br>прираденных к той же темпе-<br>напряжении 35 кВ и ниже не<br>менее 1,3; при напряжения<br>110 кВ и выпе—не менее 1,5 | Отношение $C_3/C_{50}$ не долж-<br>не превышать значений, ука-<br>занных в таба. 13.9 при соот-<br>ветствующей температуре.<br>Значение $C_3/C_{50}$ перед вклю-<br>чением в эксплуатацию не<br>должно возрастать более чем<br>на 15% против значения, за-<br>мереного после ремонта при<br>той же температуре |
|                              | Виды испытаний | при ремонте без за-<br>мены обмоток                                                | Обязательно до н<br>после ремонта. Если<br>производится сушка,<br>то до и после сушки<br>и перед включением в<br>эксплуатацию                                                                                                                                                                                                                                                                                                                                                                   | Обязательно до и<br>после ремонта. Если<br>производится сушка,<br>то до и после сушки                                                                                                                                                                                                                          |
|                              | Виды ис        | при ремонте вдя мо-<br>дернязация с частич-<br>ной или польой заме-<br>вой обмоток | Облаятельно до н<br>после ремонта, а так-<br>же до н после сушки<br>и перед включевием<br>в эксплуатацию                                                                                                                                                                                                                                                                                                                                                                                        | Обязательно до и после сушки                                                                                                                                                                                                                                                                                   |
| 26-                          | -59            | Оспытания                                                                          | Измерение сопротив ления наосящии обметок и определение отношения $k=R_{60}/R_{15}$                                                                                                                                                                                                                                                                                                                                                                                                             | Определение отношения электрических емкостей обмоток при частотах 2 и 50 Гц С2/Сво                                                                                                                                                                                                                             |

| 4  |                | Примечания                                                                       | tgò rəmepartca moctom MД16 (мостом Шерипга) между каж- дой обмоткой и корпусом при- вазамленных свободных обмот- ках при гомпературе не няжен  для трансформаторов классов- напряжентя до 150 кВ 10°С,- в 220 кВ и выше 30°С                                                                         | Замеряются методом двуж.<br>ваттметров                                                                                                                                                             | Замеряются методом двух.<br>ваттметров при ноуивальном<br>напряжении. Потери холостото-<br>хода замеряются также при по-<br>вижением напряжении (5—10%—<br>моминального)          |
|----|----------------|----------------------------------------------------------------------------------|------------------------------------------------------------------------------------------------------------------------------------------------------------------------------------------------------------------------------------------------------------------------------------------------------|----------------------------------------------------------------------------------------------------------------------------------------------------------------------------------------------------|-----------------------------------------------------------------------------------------------------------------------------------------------------------------------------------|
|    |                | Нормы                                                                            | Значения цв'я должны быть ие больше, указанных в табл. 13-7 при соответствую- пцей температуре. Значение цв'я перед, включением в эк- сплуатацию не должно воз- растать более чем на 30% про- тив замеренного после ремой- та при той же температуре или значения, приведенного к той же температуре | Напряжение короткого замыкания для всех трансформаторов не должно отличаться более чем на 10% от расчетного (такого замыкания не должены быть увеличены более чем на 10% от расчетных (паспортных) | Ток холостого хода не должен отличаться более чем на 30%, от расчетного (паспортного). Потери холостого хода не должны быть увеличены более чем на 15 % от расчетных (паспортных) |
|    | Виды испытаний | при ремонте без зв-<br>мены обмоток                                              | Обязательно до и досле ремонта                                                                                                                                                                                                                                                                       | Не облаятельно                                                                                                                                                                                     | Не обязательно                                                                                                                                                                    |
|    | Виды ис        | при ремонте или мо-<br>деризации с частич-<br>ной или полюй заме-<br>ной обмоток | Обязательно до и после сушки                                                                                                                                                                                                                                                                         | Обязательно                                                                                                                                                                                        | Обязательно до и<br>после испътания глав-<br>ной изоляции                                                                                                                         |
| 40 | 9              | Испьтания                                                                        | Измерение тангенса угла ди-<br>электрических потерь (tgò)<br>изоляции обмоток                                                                                                                                                                                                                        | Замеры параметров короткого<br>замыкания (опыт короткого за-<br>мыкания)                                                                                                                           | Замеры параметров холостого<br>хода (опыт холостого хода)                                                                                                                         |

|                | Примечания                                                                         | Испытание главной изоляции повышенным изпражением обя- зательно для грансформаторов класоо вапражения 35 кВ и напряжения выше 35 кВ испытание главной изо- ляции производится лишь при наличии испочника испытанием при напряжения при напряжения | Испытание производится в стаклартном маслопробойнике Для трансформаторов напряжения 110 кВ и звипе                                                                | 1                                          |                                                                                      |                                                                  |
|----------------|------------------------------------------------------------------------------------|---------------------------------------------------------------------------------------------------------------------------------------------------------------------------------------------------------------------------------------------------|-------------------------------------------------------------------------------------------------------------------------------------------------------------------|--------------------------------------------|--------------------------------------------------------------------------------------|------------------------------------------------------------------|
|                | Нормы                                                                              | Испытательное наприжение устанавливестся по табл. 2-1. Длительность испытания 1 мин                                                                                                                                                               | См. табл. 11-2<br>См. табл. 11-2                                                                                                                                  | CM. § 11-14                                | См. гл. 9                                                                            | I                                                                |
| Виды испытаний | при ремонте без за-<br>мены обмоток                                                | Не обязательно При проведении ис- пытания испытатель- ное напряжене берет- ся 80% яначения указанного в табл. 2-1                                                                                                                                 | Обязательно<br>Обязательно                                                                                                                                        | Обязательно                                | Обязательно                                                                          | Не обязательно                                                   |
| Виды ис        | при ремонте или мо-<br>дернизации с частич-<br>ной или полной заме-<br>ной обмоток | Обазательно ,                                                                                                                                                                                                                                     | Обязательно<br>Обязательно                                                                                                                                        | Обязательно                                | Обязательно                                                                          | Обязательно трех<br>иятикратное включе                           |
|                | Испытания                                                                          | Испытавие главной изоляции вместе с вюдами повышенным мапряжением частоты 50 Гц                                                                                                                                                                   | Проверка пробы масла из ба-<br>ка трансформатора;<br>а) испытание электричес-<br>кой прочностия<br>б) измерение тангена уг-<br>ла диэлектрических по-<br>терь tg5 | Гидравлическое испытание<br>трансформатора | Проверка работы переклю-<br>чающего устройства, включая<br>снятие круговой диаграммы | Испытание включением толч-<br>ком на номинальное напряже-<br>ние |

Технические данные приборов, входящих в измерительные комплекты

|                             |       |            | Пределы измерения              | ния        |                                          |                             | KF    |
|-----------------------------|-------|------------|--------------------------------|------------|------------------------------------------|-----------------------------|-------|
| Прибор                      | Тип   | Класс точ- | по напряжению, В               | по току, А | Внутреннее активное<br>сопротивление, Ом | Габаритные раз-<br>меры, мм | Macca |
|                             |       | Α.         | А. Измерительный комплект К-50 | плект К-50 |                                          |                             |       |
| Amnepmerp                   | 369K  | 0,5        | 1                              | 2,5        | 0,018                                    | 145×200×93                  | 1,5   |
| Вольтметр                   | ¥65€  | 0,5        | 75; 150; 300; 600              | 1          | 10 000; 20 000;<br>40 000; 80 000        | 145×200×93                  | 1,5   |
| Ваттметр однофазный         | Д539К | 0,5        | 75; 150; 300; 600 2,5; 5,0     | 2,5; 5,0   | 0,03; 0,02                               | 145×200×106                 | 1,7   |
| Транеформатор тока          | 809И  | 0,2        | 1                              | До 600     | l                                        | 330×115×290                 | 8,2   |
|                             |       | B. I       | Б. Измерительный комплект К-51 | лект К-51  |                                          |                             |       |
| Амперметр (3 шт.)           | W65E  | 0,5        | 1                              | 2,5; 5,0   | 0,018; 0,006                             | 145×200×93                  | 1,5   |
| Вольтметр                   | 359JI | 0,5        | 75; 150; 300; 600              | . i        | 10 000; 20 000;<br>40 000; 80 000,       | 145×200×93                  | 1,5   |
| Ваттметр трехфазный         | Д571К | 0,5        | 250                            | 5,0        | 1                                        | 145×200×90                  | 1,5   |
| Трансформаторы тока (3 шт.) | И520  | 0,2        | ı                              | До 600     | 1                                        | 265×96×225                  | 5,0   |
|                             |       |            |                                |            |                                          |                             |       |

Примечания: 1. Каждый комплект упакован в двух чемоданах: в одном—приборы, соединительные провода, добажные сопротивле-воружом—трансформаторы тока. Габариты чемодана с приборами К.-50—510×385×170 мм, масса—12,2 кг, комплект К.-51 соответственно 600×390×220 мм и 19 кг.
2. Для комплект приодазного трансформатора используется комплект К.-50, трехфазного—один комплект К.-51 или два комплекта К.-50.
3. Комплекты выпускаются киевским заводом "Томэлектроприбор".

Таким образом, чтобы получить измеренное напряжение в вольтах, надо показание вольтметра в делениях умножить на 3; чтобы получить измеренный ток в амперах, надо показание амперметра умножить на 3, и, наконец, чтобы получить измеренную мощность (потери) в ваттах, надо показание ваттметра умножить на 900.

При монтаже схемы необходимо обращать внимание на качество контактов как при присоединении проводов к измерительным приборам, так и при присоединении их к трансформатору. При всех измерениях следует фиксировать температуру обмоток трансформатора, за которую при длительном его отключении принимают температуру окружающего воздуха. Перед подачей напряжения необходимо обязательно проверить схему и убедиться в том, что она собрана правильно и что исключена возможность каких-либо коротких замыканий.

Трансформатор при его испытании должен быть заземлен; должны быть также заземлены металлические корпуса измерительных трансформаторов напряжения и тока, регулировочных

устройств, испытательных трансформаторов и т. п.

В помещении, в пределах которого производится испытание, не должно быть посторонних лиц. Это помещение должно быть ограждено. Кроме того, вокруг должны быть вывешены соответствующие предупредительные плакаты. Включение и отключение напряжения при испытании должны производиться обязательно в резиновых перчатках и только пс команде руководителя испытания. Наблюдать за показаниями приборов должны не менее 2 человек, из которых один дает команду о начале снятия показаний, с тем чтобы эти показания были зафиксированы на всех приборах одновременно.

Схему для испытания с установкой приборов монтируют на деревянном столе, который покрывают листом кабельной бумаги. Лица, производящие испытание, должны стоять на резиновом коврике. Все пересоединения в процессе испытаний должны произво-

питься только при отключенном напряжении.

Испытания рекомендуется производить в следующей последовательности: 1) измерение сопротивлений изоляции обмоток; 2) определение коэффициентов трансформации; 3) проверка группы соединения обмоток; 4) испытание главной изоляции повышенным напряжением; 5) опыт короткого замыкания; 6) опыт холостого хода; 7) измерение сопротивлений обмоток постоянному току; 8) измерение угла диэлектрических потерь (tg  $\delta$ ) изоляции обмоток и вводов; 9) определение отношения  $C_2/C_{50}$ .

Перед началом испытаний обязательно должна быть проверена электрическая прочность масла, залитого в трансформатор, которая

должна соответствовать данным табл. 11-2.

Ниже даются схемы и методика испытаний, указанных в табл. 13-1.

### 13-4. МЕТОДИКА ИСПЫТАНИЙ

Измерение сопротивлений изоляции обмоток с определением отношений  $R_{60}/R_{15}$ . Измерение сопротивлений изоляции обмоток производится мегаомметром 2500 В неоднократно: как при дефектировке до ремонта, так и в процессе ремонта, при сушке, а также после ремонта или модернизации трансформатора. Кроме указанных измерений, сопротивление изоляции обмоток измеряют как до,

так и после испытания главной изоляции, а также перед включением трансформатора на номинальное напряжение.

Сопротивление изоляции измеряют между каждой обмоткой и

корпусом, а также между обмотками.

При измерении показания мегаомметра 2500 В отсчитывают через 15 и 60 с. Отношение  $R_{60}/R_{15}$  называется коэффициентом абсорбции. Этот коэффициент служит одним из критериев степени

увлажненности обмоток (табл. 13-1).

Измерение производят в течение 1 мин при равномерном вращении рукоятки мегаомметра с частотой около 120 об/мин. Значение сопротивления, отсчитанное на 60-й секунде ( $R_{60}$ ) и принимается за сопротивление изоляции обмотки по отношению к корпусу или другой обмотке при данной температуре, которая должна быть предварительно установлена перед началом измерения мегаомметром.

Значения сопротивлений изоляции не нормируются. Поэтому сравнивают их с результатами предыдущих измерений при той же температуре. Если предыдущие измерения производились при других температурах, то значения их приводят к температуре последнего измерения, учитывая, что на каждые 10°С понижения температуры сопротивление изоляции увеличивается в 1,5 раза. Приведение к одной и той же температуре производится умиожением или делением значения сопротивления изоляции на коэффициент изменения сопротивления изоляции  $k_1$ , который берется по табл. 13-3 в зависимости от разности температур.

Таблица 13-3 К выболу коаффициента ь.

| Разность температур между замерами, °C    | 5    | 10   | 15        | 20         | 25    | 30    | 35   |
|-------------------------------------------|------|------|-----------|------------|-------|-------|------|
| Значения k <sub>1</sub>                   | 1,22 | 1,50 | 1,84      | 2,25       | 2,75  | 3,40  | 4,15 |
|                                           |      |      |           |            |       |       |      |
|                                           |      |      | Про       | долж       | сение | табл. | 13-3 |
| Разность температур между<br>замерами, °C | 40   | 45   | · · · · · | <b>5</b> 5 |       |       | 70   |

Пример 1.  $R_{60}$  предыдущего замера равнялось 100 МОм при  $\Theta=50^{\circ}\mathrm{C}$ , а  $R_{60}$  последнего замера равно 450 МОм при  $\Theta=20^{\circ}\mathrm{C}$ .

Чтобы привести  $R_{60}$  предыдущего замера к температуре последнего замера, надо 100 МОм умножить на коэффициент  $k_1$ , соответствующий разности 50—20=30°С. Из табл. 13-3 при этой разности коэффициент  $k_1$ =3,4. Таким образом, сопротивление изоляции предыдущего замера, приведенное к температуре последнего замера, будет равно  $R_{60.1}$ =100-3,4=340 МОм. Сравнивая  $R_{60.2}$  последнего замера с приведенным  $R_{60.1}$  предыдущего, видим, что сопротивление изоляции повысилось с 340 до 450 МОм.

Пример 2.  $R_{60.1}$  предыдущего замера равнялось 300 МОм при

 $\Theta = 20$ °C, а  $R_{60.2}$  последнего замера 100 МОм пои  $\Theta = 30$ °C.

Тогда разность температур последнего и предыдущего замеров составляет 10°С и коэффициент  $k_1$ =1,5. В этом случае, чтобы привести  $R_{60.1}$  предыдущего размера к температуре последнего замера, надо 300 МОм разделить иа 1,5, что дает 200 МОм, т. е. сопротивление последнего замера понизилось против приведенного сопротивления предыдущего замера на 100%. Такое большое понижение является ненормальным и указывает наряду с другими показателями (tg  $\delta$ ,  $C_2/C_{50}$ ) иа увлажнение изоляции между предыдущим и последним замерами. Поиижение изоляции между замерами при одной и той же температуре допустимо не более чем на 40%.

Сопротивление изоляции  $R_{60}$  не нормируется. Однако действующей в настоящее время инструкцией по контролю состояния изоляции трансформаторов (СН 171-61), изданной Госкомитетом по делам строительства (1961 г.), устанавливаются следующие наименьшие допустимые значения сопротивления изоляции  $R_{60}$  обмоток

трансформаторов в масле (табл. 13-4).

Наименьшие допустимые значения сопротивления изоляции  $R_{60}$ , МОм, обмоток трансформаторов в масле ГЛ. 171

|                                                                                              |     | T   | <b>е</b> мпера | гура об    | моток, | °C  |    |
|----------------------------------------------------------------------------------------------|-----|-----|----------------|------------|--------|-----|----|
| Класс напряжения обмоток ВН                                                                  | 10  | 20  | 30             | <b>4</b> 0 | 50     | 60  | 70 |
| До 35 кВ включительно,<br>мощностью менее<br>10 000 кВ·А                                     | 450 | 300 | 200            | 130        | 90     | 60  | 40 |
| До 35 кВ включительно, мощностью 10 000 кВ·А и более и 110 кВ и более иезависимо от мощности | 900 | 600 | 400            | 260        | 180    | 120 | 80 |

П р и м е ч а н и е. Значения  $R_{60}$ , указанные в табл. 13-4, относятся ко всем обмоткам данного трансформатора.

При присоединении мегаомметра иеобходимо провод от корпуса подключать к зажиму  $\mathcal J$  (земля), а провод от обмотки — к зажиму  $\mathcal J$  (линия). При замерах между обмотками провод от обмотки  $\mathcal J$  Н надо присоедииять к зажиму  $\mathcal J$ , а провод от обмотки  $\mathcal J$   $\mathcal$ 

Мегаомметр имеет переключатель из разные цены деления шкалы. Обычио переключатель ставят в такое положение, чтобы отсчет получался непосредственно в мегаомах. При измерении небольших зиачений сопротивлений изоляции переключатель переводят в положение, при котором отсчет получается в килоомах.

Перед, а также после каждого измерения мегаомметр проверяют, вращая его ручку сначала при закороченных, а затем при разъединенных концах идущих от него проводов. В первом случае мегаомметр должен показать иуль, а во втором — бесконечность.

При измерениях мегаомметром можно установить низкую изоляцию обмоток, обрыв или отсутствие цепи, плохой контакт и другие дефекты (приложение 12).

Таблица 13-4

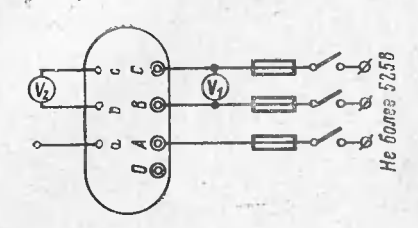


Рис. 13-1. Схема измерения коэффициента трансформации.

Измерение коэффициента трансформации на всех ответвлениях. Коэффициентом трансформации называетси отношение напряжения ВН к напряжению НН при холостом ходе трансформатора.

Обычно определяют линейное значение коэффициента трансформации, т. е.  $=U_{1\pi}/U_{2\pi}$ , но если имеются нулевые выводы или доступны начала и концы обмоток отдельных фаз, TO

определить и фазные коэффициенты трансформации  $k_{\Phi} = U_{1\Phi}/U_{2\Phi}$ .

а) При соединении обеих обмоток ВН и НН в треугольник линейные и фазные напряжения, как известно, равны. Поэтому в этом случае линейный коэффициент трансформации будет одновременно и фазным коэффициентом трансформации.

б) При соединении обмотки в звезду фазное напряжение в 1/3 раз меньше линейного, поэтому если обмотка ВН соединена в звезду, а обмотка НН — в треугольник, то фазный коэффициент трансформации равен:

$$k_{\Phi} = U_{\pi\Upsilon} / \sqrt{3} U_{\pi\Delta} = U_{\Phi\Upsilon} / U_{\Phi\Delta} = k_{\pi} / \sqrt{3}$$
.

в) Наоборот, если обмотка ВН соединена в треугольник, а НН - в звезду, то фазный коэффициент равен:

$$k_{\Phi} = \sqrt{3} U_{\rm MA}/U_{\rm MY} = U_{\rm \Phi A}/U_{\rm \Phi Y} = \sqrt{3} \, k_{\rm M}.$$

г) Если обе обмотки ВН и НН соединены в звезду, то отношение линейных напряжений равно отношению фазных напряжений, т. е.

$$k_{\Phi} = U_{1_{\Pi}Y}/U_{2_{\Pi}Y} = \sqrt{3} U_{1_{\Phi}Y}/\sqrt{3} U_{2_{\Phi}Y} = U_{1_{\Phi}Y}/U_{2_{\Phi}Y} = k_{\Pi}.$$

Фазный коэффициент трансформации является одновременно отношением витков обмоток ВН и НН, т. е.  $k_{\Phi} = w_1/w_2$ . Поэтому если неизвестно число витков у обмоток, то, намотав контрольную обмотку с известным числом витков шк, можно, подведя напряжении  $U_1$  к обмотке ВН и замерив напряжение  $U_{\kappa}$  на контрольной обмотке и  $U_2$  на обмотке НН, определить число витков в обмотках ВН и НН, а именно:

$$w_{\rm BH} = w_{\rm K}U_1/U_{\rm K}; \ w_{\rm HH} = w_{\rm K}U_2/U_{\rm K}.$$

Определение коэффициента трансформации производят на всех ответвлениях обмоток и для всех фаз.

Коэффициент трансформации определяют по методу двух вольтметров (рис. 13-1), т. е. подводят напряжение к обмотке ВН и замеряют напряжение на той же фазе у обмотки НН.

Коэффициенты трансформации отдельных фаз, замеренные на одних и тех же ответвлениях, не должны отличаться друг от друга, а также от расчетных (паспортных) значений более чем на 0,5-1%.

Подводимое напряжение берется меньше номинального напряжения данной обмотки (обычно 220, 380 В).

В качестве вольтметра при измерении напряжений до 600 В применяют, как правило, прибор типа Э59К электромагнитной системы со шкалой до 150 делений.

Если напряжение превышает 600 В, то вольтметр включают через трансформатор напряжения или последовательно с добавоч-

ным сопротивлением.

Коэффициенты трансформации и погрешности должны вычисляться весьма точно, поэтому деление одного напряжения на другое производят непосредственно с точностью до четвертого знака (без применения логарифмической динейки).

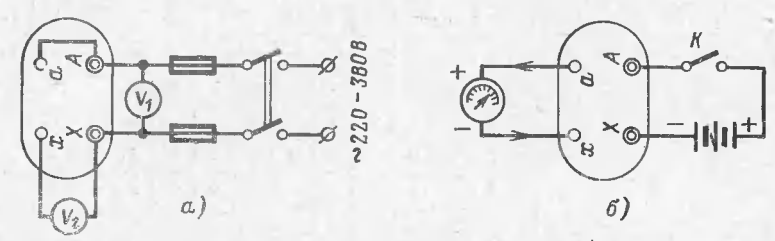


Рис. 13-2. Схемы определения группы соединения обмоток у однофазных трансформаторов.

a — переменным током; b — постоянным током.

Проверка группы соединений обмоток. 1) Определение гриппы соединений обмоток у однофазных трансформаторов производят методом двух вольтметров, а именно: соединяют перемычкой вволы A-a (рис. 13-2,a) и подают низкое напряжение на вводы A-X. измеряя напряжение  $U_{A-X}$  вольтметром  $V_1$ , а также напряжение  $U_{X-x}$  вольтметром  $V_2$ . Если  $U_{A-x}>U_{X-x}$ , то группа 0-я (нуле-

вая), если, наоборот,  $U_{X-x} > U_{A-x}$ , то группа 6-я. Однополяряюєть зажимов у однофазных трансформаторов можно определить постоянным током с помощью гальванометра (желательно с нулем посередине шкалы). Для этого собирают схему согласно рис. 13-2,6, подводят к обмотке ВН постоянный ток от аккумуляторной батареи 2-4 В и, замыкая, а затем размыкая ключ К, наблюдают, куда отклоняется стрелка гальванометра при замыкании, а затем при размыкании. Если смотреть на шкалу прибора сверху и стрелка (при соединении, указанном на рис. 13-2,6)

при замыкаиии отклоняется вправо, а при размыкании -влево, то группа будет 0; еслинаоборот, т. е. при включении стрелка отклоняется влево, а при отключении - вправо, то группа булет 6-я.

2) Определение группы соединений обмоток у трехтрансформаторов. местных условиях ремонта группу определяют и про-

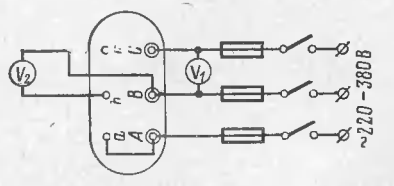


Рис 13-3. Схема определения соединения группы обмоток у трехфазных трансформаторов.

веряют методом двух вольтметров (рис. 13-3). Для этого закорачивают вводы A-a, на личейные вводы (A, B, C) обмотки ВН подают то или иное трехфазиое низкое напряжение  $(U_{1\pi}=220-380~B)$ , измеряя его вольтметром  $V_1$ . Затем вольтметром  $V_2$  измеряют напряжения между вводами B-b, B-c, C-c и C-b. Измеренные напряжения сравнивают с  $U_{1\pi}$  по табл. 13-5 и в зависимости от того, равны, больше или меньше измеренные напряжения по сравнению с подведенным линейным напряжением (в табл. 13-5—буквы «р», «б» и «м»), устанавливают группу.

Таблица 13-5

### К определению группы соединений

| Группа соединений обмог  | rok     | 0 | 1  | 2  | 3   | 4   | 5   | 6   | 7   | 8   | 9   | 10  | 11          |
|--------------------------|---------|---|----|----|-----|-----|-----|-----|-----|-----|-----|-----|-------------|
| Угловое смещение э. д. с | ., град | 0 | 30 | 60 | 90  | 120 | 150 | 180 | 210 | 240 | 270 | 300 | <b>3</b> 30 |
| Сравнение измеренно-     | Bb      | M | М  | М  | р   | б   | б   | б   | б   | б   | p   | М   | M           |
| го напряжения с под-     | Вс      | M | p  | б  | б   | 6   | б   | б   | p   | M   | M   | М   | М           |
| $U_{1,\Pi}$              | C-c     | М | М  | М  | р   | б   | б   | б   | б   | б   | p   | M   | M           |
|                          | C-b     | M | M  | M  | M   | M   | p   | б   | б   | б   | б   | б   | p           |
|                          |         |   |    |    | 200 |     |     |     |     |     |     |     |             |

м-меньше; б-больше; р-равно.

При подаче низкого трехфазного напряжения на вводы обмотки BH и при сравнении с ним измеряемых напряжений между вводами разница в показаниях может оказаться столь мала, что возникают затруднения в установлении группы. В этом случае необходимо подать низкое трехфазное напряжение на вводы обмотки HH и измерять напряжения между вводами B-b, B-c, C-c и C-b через трансформатор напряжения, соблюдая при этом правила техники безопасности при работе с высоким напряжением. Таблица 13-5 действительна и для этого случая.

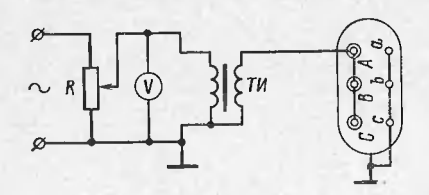


Рис. 13-4. Схема испытания главной изоляции траисформатора повышенным напряжением промышленной частоты. P— реостат, включаемый по схеме потенциометра; V— вольтметр; TH— испытательный трансформатор.

Испытание главной изоляции обмоток повышенным иапряжением. Испытание главной изоляции обмоток от корпуса, а также изоляции между обмотками производится повышенным напряжением промышленной частоты для каждой обмотки в отдельности. Испытательное напряжение для каждого класса изоляции после ремонта трансформатора указано в табл. 2-1. Схема испытания дана на рис. 13-4. У испытываемой обмотки закорачивают вводы, а вводы других обмоток закорачивают и заземляют. Повышенное напряжение подводят к закороченным вводам испытываемой обмотки от испытательного трансформатора, у которого один ввод заземлен.

Напряжение повышают до требуемого постепенно, начиная с нуля, для чего используют со стороны НН или реостаты, или регулировочные автотрансформаторы, или потенциал-регуляторы. Длительность испытания 1 мин. Сначала непытывают обмотку НН, затем

СН и последней ВН.

Трансформатор считается выдержавшим испытание, если во время испытания не произошло пробоя или перекрытия изоляции, отмеченных по звуку разрядов в баке, выделению газов или дыма, а также по показаниям приборов (при пробое напряжение резко уменьшается, а ток растет). Испытание главной изоляции следует производить не раньше, чем через 20—24 ч после заливки трансформатора маслом до его нормального уровня. Это время необходимо для выхода пузырьков воздуха, которые могут оставаться некоторое время на обмотках после заливки трансформатора маслом.

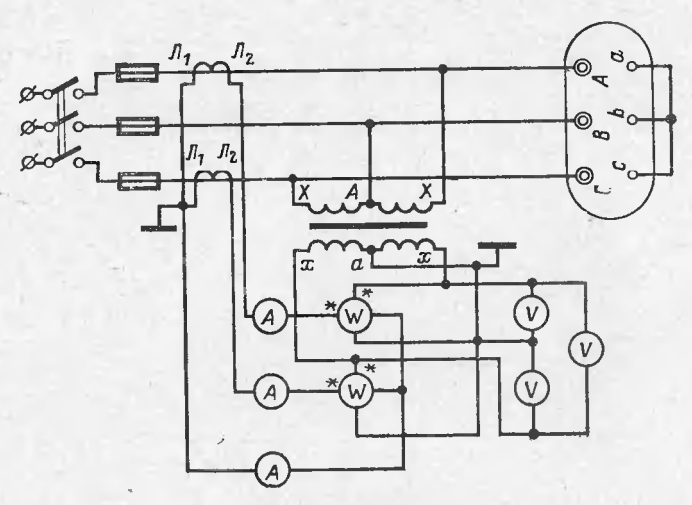


Рис. 13-5. Схема опыта короткого замыкания методом двух ваттметров.

До и после испытания главной изоляции необходимо замернть мегаомметром сопротивление изоляции обмоток; кроме того, после испытания главной изоляции необходимо произвести опыт холостого хода при номинальном напряжении независимо от того, произ-

водился этот опыт раньше или нет.

Определение напряжения и потерь короткого замыкания (опыт короткого замыкания). Для этого испытания закорачивают на вводах одну из обмоток (обычно НН), а к другой подводят такое напряжение, чтобы в обмотках протекали номинальные токи. Это напряжение и является напряжением короткого замыкания, а потребляемая при этом мощность равна потерям короткого замыкания. Такое испытание называется опытом короткого замыкания. Его производят по методу двух ваттметров, для чего собирают схему согласно рис. 13-5.

Для трехфазной схемы (рис. 13-5) по методу двух ваттметров (так называемая схема Арона) нужны два комплекта приборов

K-50 и дополнительно вольтметр с добавочным сопротивлением (или вольтметровый переключатель), а также амперметр с траисформатором тока или один комплект K-51 (см. табл. 13-2).

Для замыкания обмоток накоротко необходимо применять проводники, рассчитанные на прохождение номинального или соответствующего ему тока в закороченной обмотке, причем должно быть

обеспечено надежное соединение их.

Для трехфазных трансформаторов ток и напряжение определяют как среднее арифметическое из показаний приборов всех

трех фаз.

При правильном соединении приборов согласно схеме один ваттметр обычно дает положительное значение потерь (+), а другой — отрицательное(—). Ваттметры, как видно из рис. 13-5, снабжены специальным переключателем «+», «—».

Общие потери определятся в эгом случае как разность показа-

ний двух ваттметров.

Напряжение короткого замыкания  $u_{\rm R}$ ,  $\gamma_0$ , равно  $U_{\rm R3}/U_{\rm B}$ , гле  $U_{\rm R3}$ — измеренное напряжение, B;  $U_{\rm R}$ — номинальное напряжение обмотки трансформатора, к которой подводилось напряжение, B.

Обычно опыт короткого замыкания производят не при номинальном токе  $I_{\rm H}$ , а при меньшем токе  $I_{\rm RB}$ . Однако ток не должен быть меньше 25% номинального. В этом случае полученные значения  $u'_{\rm R}$  и  $P'_{\rm R}$  приводят к номинальному току по формулам:

$$u_{\rm K} \approx u'_{\rm K} I_{\rm H} / I_{\rm H3}$$
, %;  $P_{\rm K} \approx P'_{\rm K} (I_{\rm H} / I_{\rm H3})^2$ , Bt.

Кроме того, приведенные к номинальному току значения  $P_{\rm K}$  и  $u_{\rm K}$  приводят к температуре 75°C, а именно:

$$u_{\text{K75}} = P_{\text{K}} 310/(235 + \Theta_{\text{HS}}), \text{ BT;}$$

$$u_{\text{K75}} = \sqrt{\frac{P_{\text{K}}}{u^{2}_{\text{K}} + \left(\frac{P_{\text{K}}}{10P_{\text{H}}}\right)^{2} \left[\left(\frac{310}{235 + \Theta_{\text{H3}}}\right)^{2} - 1\right]}, \text{ \%}_{\text{B}}}$$

Для трехобмоточных трансформаторов опыт короткого замыкания производят с каждой парой обмоток (всего три опыта), т. е. ВН — СН, ВН — НН и СН — НН. Обмотка, не участвующая в опыте, остается незамкнутой.

Если номинальные мощности отдельных обмоток у трехобмоточного трансформатора неодинаковы, то  $u_{\scriptscriptstyle \rm K}$  относят к наиболее

мощной обмотке.

Определение тока и потерь холостого хода трансформатора при номинальном напряжении. Для этого испытания подают номинальное напряжение на обмотку НН при разомкнутых остальных обмотках и измеряют токи во всех трех фазах, а также потребляемую при этом мощность. Одновременно измеряют во всех трех фазах подводимое напряжение, которое определяется как среднее арифметическое линейных значений напряжений всех трех фаз (т. е. ab, bc и ac).

Среднее арифметическое значение измеренных при этом токов всех трех фаз и является током холостого хода, а потребляемая при этом мощность равна потерям холостого хода. Измерение производят по методу двух ваттметров, для чего собирают схему согласно рис. 13-6, подавая номинальное напряжение на обмотку НН испытываемого трансформатора, а все остальные обмотки оставляя разомкнутыми

Ёсли номинальное напряжение НН трансформатора равно ніли меньше 600 В, то опыт холостого хода производят на месте ремонта или модернизации трансформатора, используя для этого те же

приборы, что и для опыта короткого замыкания.

Если номинальное напряжение НН больше 600 В, то опыт холостого хода обычно удается произвести лишь на месте установки трансформатора. В этом случае при проведении опыта холостого хода должны обязательно участвовать, помимо руководителя ремонта, также представители той подстанции или станции, где установлен трансформатор, поскольку они знакомы с местной схемой коммутации и защиты.

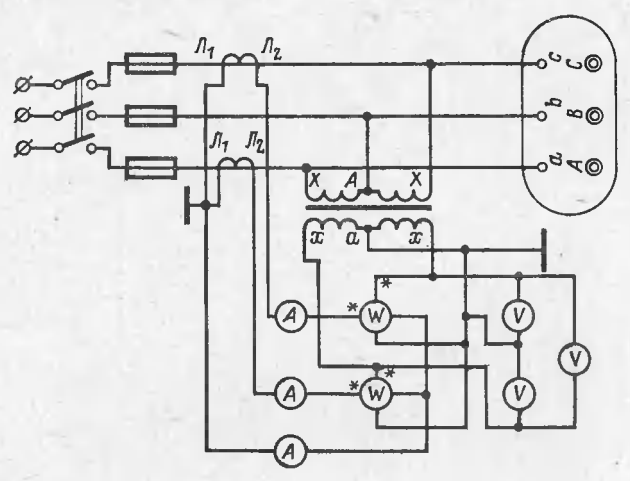


Рис. 13-6. Схема опыта холостого хода при номинальном напряжении.

При напряжении НН больше 600 В приборы должны включаться через измерительные трансформаторы напряжения и тока с классом изоляции, равным номинальному напряжению НН трансформа-

тора (рис. 13-6).

При монтаже схемы для производства опыта холостого хода должны соблюдаться правила, установленные для электротехнических установок высокого напряжения (допуск людей только с предварительной выпиской наряда, заземление металлических корпусов у трансформатора, а также у измерительных трансформаторов напряжения и тока и т. п.).

Монтаж схемы и включення приборов, измерения напряжений, токов и потерь, а также переход от показаний приборов в делениях к фактическим значениям при опыте холостого хода производят

так же, как и при опыте короткого замыкания.

Потери холостого хода можно определить при пониженном напряжении, равном 5—10% номинального. Для этого производят три пофазных опыта с поочередным замыканием одной из фаз (§ 11-6). При этом можно обнаружить некоторые дефекты (приложение 12), если они имеются.

Опыт холостого хода при номинальном напряжении производят 2 раза: 1-й раз — перед испытанием главной изоляции для измерения тока и потерь холостого хода, а 2-й раз — после испытания главной изоляции для обнаружения возможных дефектов, которые могли возникнуть в результате испытания главной изоляции.

Измерение сопротивлений обмоток постоянному току иа всех ответвлениях. Это измерение производится с помощью моста МЛ6 (двойной мост Томсона) или УМВ (универсальный мост Витстона)

или при помощи амперметра и вольтметра.

Таблица 13-6 Пределы сопротивлений. Ом

|   | [m]      | 20A A   | TUM              |
|---|----------|---------|------------------|
|   | 9 9      | 656     | <i>ΚБ</i> ●      |
|   | Br       |         | $\sum_{i=1}^{2}$ |
|   | K Br     | 7 9 9   | 9                |
|   |          | $R_x$   | 0                |
| 1 | Dug 12.7 | Idosepa |                  |

|            | Y 1                       |
|------------|---------------------------|
| Br &       | δ <sub>δ</sub> δ κδ • 1 2 |
|            |                           |
| K Br       |                           |
| ¥Hr        |                           |
|            | $R_x$                     |
|            |                           |
| Рис. 13-7. | Измерение сопротивле-     |

ния обмоток постоянному мостом МД-6.

| Нижний предел | Верхний предел |
|---------------|----------------|
| 0,00001       | 0,00011        |
| 0,0001        | 0,0011         |
| 0,001         | 0,011          |
| 0,01          | 0,11           |
| 0,1           | 1,1            |
| 1,0           | 11,0           |

Измерение мостом МД6. На рис. 13-7 показана схема соединений при измерении сопротивлений обмоток мостом МД6.

Подключают батарею Б напряжением 1-2 В, 40-60 А ч или непосредственно к зажимам, или через реостат 1 Ом и амперметр 20 А. Реостат и амперметр включают тогда, когда сравнительное

сопротивление составляет 0,001 Ом.

Неизвестное измеряемое сопротивление  $R_x$  включают по схеме на рис. 13-7. Подбирают рукояткой I сравнительное сопротивление. Ставят переключатель  $\Pi$  или на наружный  $H\Gamma$ , или на внутренний ВГ гальванометр в зависимости от того, работают с внутренним или наружным гальванометром. Включают кнопку КБ и, поворачи-

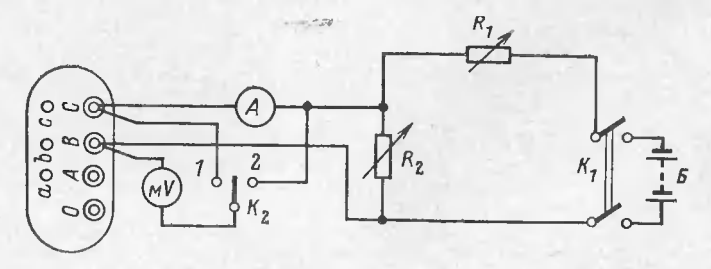


Рис. 13-8. Схема измерения сопротивления обмоток постоянному току методом амперметра и вольтметра.

вая рукоятку 2, уравновешивают мост так, чтобы стрелка гальванометра стояла в центре — на нуле. Затем нажимают кнопку K и закорачивают тем самым защитное сопротивление. Уравновесив окончательно мост, определяют замеряемое сопротивление как произведение показаний шкал рукояток I и 2.

Пределы измеряемых сопротивлений моста МД6 указаны

в табл. 13-6.

Измерение методом амперметра и вольтметра. На рис. 13-8 дана схема измерений сопротивлений обмогок постоянному току методом амперметра и вольтметра. Ток при измерении должен быть не

больше 20% номинального.

Сопротивление проводов от вольтметра должно быть не больше 0,5% сопротивления обмотки вольтметра. Провода от вольтметра должны идти самостоятельно независимо от проводов токовой непи. В качестве измерительного прибора можно рекомендовать вольтамперметр типа М-16, имеющий шкалу по току 0,15-30 А и по напряжению 0.045—300 В. Батарея берется на 4—12 В. Измерения ведут так: вводят реостат  $R_1$  и выводят реостат  $R_2$ . Включают рубильник К, и устанавливают реостатами ток в пределах шкалы прибора. Вследствие индуктивности обмотки ток устанавливается устойчиво не сразу, а примерно через 30 с. Милливольтметр включают только после того, как стрелка амперметра станет устойчиво. Милливольтметр включают ключом К2, предварительно установив его на больший, чем ожидаемый, предел шкалы. Затем, если необходимо, отключают ключом К2 милливольтметр и устанавливают более соответствующий измеряемому сопротивлению предел шкалы.

Искомое сопротивление равно:

### $R_x = \Delta U/I$

где  $\Delta U$ — показание милливольтметра; I— гок в измеряемой цепи. Если  $R_{\mathbf{x}} < V\overline{R_{\mathbf{a}}R_{\mathbf{b}}}$ , то ключ  $K_{\mathbf{2}}$  ставят в положение I; если  $R_{\mathbf{x}} > V\overline{R_{\mathbf{a}}R_{\mathbf{b}}}$ , то ключ  $K_{\mathbf{2}}$  ставят в положение 2 ( $R_{\mathbf{a}}$ — сопротивление амперметра,  $R_{\mathbf{b}}$ — сопротивление милливольтметра).

Отключение тока производят в следующем порядке: отключают ключом  $K_2$  милливольтметр, вводят полностью сопротивление  $R_1$  и выводят полностью сопротивление  $R_2$ . Затем рубильником  $K_4$  от-

ключают схему от батареи.

Сопротивление обмоток трансформатора измеряют между линейными вводами у всех фаз и на всех ответвлениях. Значения линейных сопротивлений пересчитывают на фазные по формулам:

при схеме звезда  $R_{\Phi} = R_{\text{нз}}/2$  Ом; при схеме треугольника  $R_{\Phi} = {}^{3}/{}_{2}R_{\text{нз}}$  Ом.

Измерение сопротивления приводят к 75°C по формуле

## $R_{75} \approx R_{\Theta} 310 (235 + \Theta)$ Om,

где  $\Theta$  — температура, при которой было измерено сопротивление  $R_{\Theta}$  .

Если есть нулевой ввод или доступ к началам и концам обмоток, то фазные сопротивления измеряют непосредственно между соответствующими линейным и нулевым вводами или между соответствующими началом и концом обмотки.

Сопротивления отдельных фаз не должны различаться на од-

ном и том же ответвлении более чем на 2%.

Измерение  $tg \, \delta$  и электрической емкости изоляции обмоток и вводов (рис. 13,a и  $\delta$ ). Тангенс угла диэлектрических потерь, так называемый тангенс дельта ( $tg \, \delta$ ), служит одним из критериев для установления степени увлажненности и загрязненности изоляции обмоток.

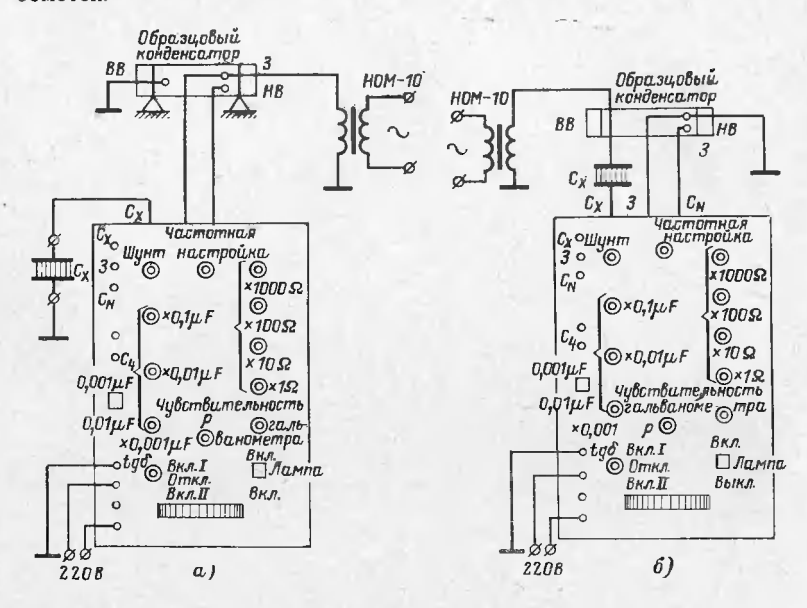


Рис. 13-9. Схема измерения  $\operatorname{tg} \delta$  и емкостей обмоток мостом МД-16. a- перевернутая схема; b- нормальная схема.

Значения  $tg \, \delta$  изоляции обмоток не должны превосходить указанных в табл. 13-7.

Согласно табл. 13-1 измерение tg  $\delta$  обязательно лишь для трансформаторов класса изоляции 20 кВ и выше.

Таблица 13-7 Наибольшие допустимые значения tgô изоляции обмоток трансформатора, %

|                                                                                         |     | 1   | Гемпера | гура об | иотки, | °C  |     |
|-----------------------------------------------------------------------------------------|-----|-----|---------|---------|--------|-----|-----|
| Класс напряжения обмотки                                                                | 10  | 20  | 30      | 40      | 50     | 60  | 70  |
| До 35 кВ нключительно,<br>мощностью менее<br>10000 кВ·А                                 | 1,2 | 1,5 | 2,0     | 2,6     | 3,4    | 4,5 | 6,0 |
| 35 кВ, мощностью<br>10 000 кВ-А и более и<br>110 кВ и более независи-<br>мо от мощности | 0,8 | 1,0 | 1,3     | 1,7     | 2,3    | 3,0 | 4,0 |

Измерение tg  $\delta$ , а также электрической емкости обмоток  $C_{06}$  производят с помощью малогабаритного емкостного моста МД16, собранного по схеме Шеринга. Одио плечо моста составляет испытываемый объект  $C_x$ , второе плечо — образцовый конденсатор  $C_N$ , третье — перемениое сопротивление  $R_3$ , четвертое — постоянное сопротивление  $R_4$ =10 000/ $\pi$ =10 000/3,14=3184 Ом. Параллельно сопротивлению подключен магазин емкостей  $C_4$ . Индикатором равиовесия служит осциллографический гальванометр  $\Gamma$ .

При равиовесии моста

$$C_x = C_N R_4 / R_3 = C_N 3184 / R_3$$
;

$$[tg \delta = C_4 = 100C_4\%,$$

где  $C_4$  — емкость в микрофарадах.

Мост МД16 состоит из двух отдельных частей: измерительного устройства, смонтированиого в металлическом кожухе, и образцового конденсатора. Номинальное напряжение моста 10 кВ. При этом напряжении технические данные моста следующие:

Для испытываемых трансформаторов классов напряжением 20 кВ и выше в качестве источника напряжения 10 кВ используют измерительный трансформатор напряжения HOM-10 мощностью 300—500 Вт, причем включение производят толчком, без применения регулировочного устройства.

Если мощности одного трансформатора напряжения недостаточно, то включают параллельно несколько таких транс-

форматоров.

Мост МД16 включается или по перевернутой схеме, или по

нормальной.

А. Обычно испытываемый объект имеет один глухозаземленный электрод (флаиец ввода, бак трансформатора и т. п.). В этом случае применяют перевернутую схему (рис. 13-9,а), по которой измеряют tg·б и электрическую емкость изоляции обмотки трансформатора по отношению к земле.

Б. Когда измеряют  $\operatorname{tg} \delta$  и электрическую емкость изоляции между обмотками, т. е. когда оба электрода изолированы от земли, применяют нормальную схему, которую в отличие от перевер-

нутой схемы собирают согласио рис. 13-9,б.

Как правило, измерения tg б производят по перевернутой схеме. При измерении все неиспытываемые обмотки, а также бак

трансформатора должны быть заземлены.

Перед измерением  $tg \, \delta$  необходимо измерить мегаомметром сопротивление изоляции обмоток, а также проверить температуру. Сборку и монтаж схем как *перевернутой*, так и *нормальной*, а также подачу напряжения и само измерение  $tg \, \delta$  производят, строго руководствуясь инструкцией, гриложенной к прибору. Электриче-27—593

скую емкость  $C_x$  и  $\operatorname{tg} \delta$  определяют по данным измерений по следующим формулам:

а) положение переключателя шунтов 0,01:

$$C_x = C_N R'_4 / (R'_3 + \rho)$$
; tg  $\delta' = C_4$ ,

где  $C'_4$  — емкость, мк $\Phi$ ; tg  $\delta' = 100C'_4$  %;

б) положение переключателя шунтов больше 0,01:

$$C'_x = C_N R'_4 (100 + R'_3) / n(R'_3 + \rho),$$

где  $C_{\infty}$  измеряется в тех же единицах, что и  $C_N$ ; n берут соответствующим положению рукоятки:

Значение  $C_x$  определяют как среднее арифметическое двух измерений, т. е.  $C_x = (C'_x + C''_x)/2$ , где  $C'_x$  и  $C''_x$  — вычисленные значения электрических емкостей по замерам при установке переключателя полярности сначала в одно крайнее плюсовое положение,

а затем в другое крайнее плюсовое положение.

Допустимое увеличение значения  $tg\,\delta$  не должно быть больше  $30\,\%$  значения предыдущего замера при той же температуре. Если предыдущий замер  $tg\,\delta$  произведел при температуре, отличной от температуры последнего замера, то  $tg\,\delta$  приводят к температуре последнего замера путем деления или умпожения на коэффициент  $K_2$  по табл. 13-8 [Л. 17].

Таблица 13-8

# К выбору коэффициента $k_2$

|                                        |     | ^     | •    |      |      |     |     |      |
|----------------------------------------|-----|-------|------|------|------|-----|-----|------|
| Разность температур меж замерами, °C   | ду  | 5     | 10   | 15   | 20   | 25  | 5   | 30   |
| $k_2$                                  |     | 1,15  | 1,31 | 1,51 | 1,75 | 2,0 | 00  | 2,30 |
| Разность температур между замерами, °C | 35  | 40    | 45   | 50   | 55   | 60  | 65  | 70   |
| k <sub>2</sub>                         | 2,6 | 5 3,0 | 3,5  | 4,0  | 4,6  | 5,3 | 6,1 | 7,0  |

Примеры, а) Последний замер:

tg  $\delta_2$ =2,0 upu  $\Theta$ =20°C;

предыдущий замер: tg δ=1,4 при Θ<sub>1</sub>=10°C.

 $\operatorname{tg} \delta_1$ , приведенный к температуре 20°С, равен 1,4·1,31=1,83, где 1,31—коэффициент из табл. 13-8 при  $\Theta_2$ — $\Theta_1$ =10°С.

Таким образом,  $\operatorname{tg} \delta_2$  последнего замера возрос прогив предыдущего на  $2/1.83 \approx 1.09$ , т. е. на 9%, чго допустимо.

б) Последний замер:

tg δ<sub>2</sub>=2,0 при Θ<sub>2</sub>=10°C; предыдущий замер:

 $tg \delta_1 = 1.8 \text{ при } \Theta_1 = 20^{\circ}\text{C}.$ 

Приведенный tg  $\delta_1 = 1.8/1.31 = 1.37$ , где 1.31 из табл. 13-8 при  $\Theta_1 - \Theta_2 = 10^\circ C$ .

Таким образом, tg б<sub>1</sub> возрос на 2,0/1,37=1,46, т. е. на 46%, что

недопустимо.

Удобным прибором для измерения является установка ИДП-2 (см. рис. 12-10), на которой tg δ отсчитывается непосредственно.

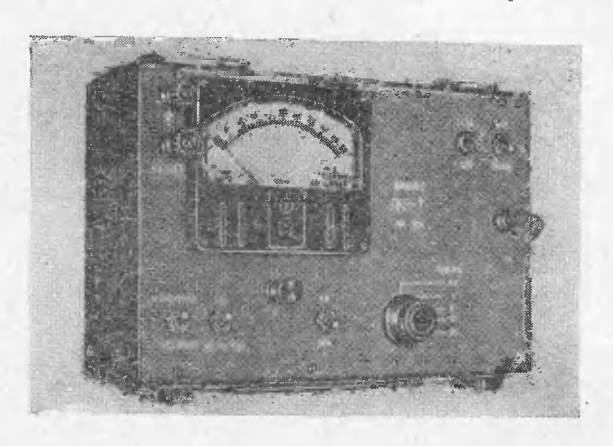


Рис. 13-10. Прибор контроля влажности изоляции обмоток типа ПКВ-7.

Определение отношений  $C_2/C_{50}$  и  $\Delta C/C$ . Критерием увлажиения обмоток, кроме коэффициента абсорбции  $R_{60}/R_{45}$  и  ${\rm tg}~\delta$ , служат также отношения емкость — частота  $C_2/C_{50}$  и емкость — время  $\Delta C/C$ . (Измерение  $\Delta C$  есть измерение относительного прироста электрической емкости во времени по отношению к емкости C испытываемой обмотки в процентах.) Отношения  $C_2/C_{50}$  и  $\Delta C/C$  определяются прибором контроля влажиости ПКВ-7 (рис. 13-10). Прибор ПКВ-7 снабжается инструкцией, которой необходимо руководствоваться при их измерениях.

Таблица 13-9 Наибольшие допустимые отношения  $C_2$   $C_{50}$  обмоток трансформаторов в масле, %

| №    | K Hace Houseway - Comment of the                                                            | Темпер | атура обмот | ки, °С |
|------|---------------------------------------------------------------------------------------------|--------|-------------|--------|
| п.п. | Класс напряжения обмотки ВН                                                                 | 10     | 20          | 30     |
| 1    | До 35 кВ включительно, мощностью менее 10 000 кВ·А                                          | 1,1    | 1,2         | 1,3    |
| 2    | До 35 кВ включительно, мощностью 10 000 кВ-А и более и 110 кВ и выше независимо от мощности | 1,05   | 1,15        | 1,25   |

 $\ddot{\rm B}$  табл. 13-9 [Л. 17] даны наибольшие допустимые отношения  $C_2/C_{50}$  обмоток трансформатора в масле. Значение  $(C_2/C_{50})_2$  последнего замера не должно быть больше, чем на 10%, значения  $(C_2/C_{50})_1$  начального замера при той же температуре.

Таблица 13-10 Наибольшие допустимые отношения  $\Delta C/C$  обмоток трансформаторов без масла, %

| TZ                                                                                          | (△С/С)₂ и                                                   |    | Тем | перат | ypa, °C |    |
|---------------------------------------------------------------------------------------------|-------------------------------------------------------------|----|-----|-------|---------|----|
| Класс напряжения обмотки ВН                                                                 | $(\Delta C/C)_2$ $\mu$<br>$(\Delta C/C)_2$ $(\Delta C/C)_1$ | 10 | 20  | 30    | 40      | 50 |
| До 35 кВ включитель-<br>но, мощностью менее<br>10 000 кВ·А                                  | (ΔC/C) <sub>2</sub>                                         | 13 | 20  | 30    | 45      | 75 |
| То же                                                                                       | $(\Delta C/C)'_2$ — $(\Delta C/C)_1$                        | 4  | 6   | 9     | 13,5    | 22 |
| До 35 кВ включительно, мощностью 10 000 кВ-А и выше и 110 кВ и более независимо от мощности | (ΔC/C) <sub>2</sub>                                         | 8  | 12  | 18    | 29      | 44 |
| То же                                                                                       | $(\Delta C/C)'_2$ — $(\Delta C/C)$                          | 3  | 4   | 5     | 8,5     | 13 |

Примечание. ( $\Delta C/C$ ) $_2$ —значение последнего замера; ( $\Delta C/C$ ) $_2$ —значение паследнего замера, приведенное к температуре начального замера; ( $\Delta C/C$ ) $_1$ —значение начального замера

Значения  $\Delta C/C$ , указанные в табл. 13-10, [относятся ко всем] сбмоткам данного трансформатора.

В табл. 13-10 [Л. 17] даны наибольшие допустимые отношения  $\Delta C/C$  обмоток трансформатора без масла, а также наибольшие допустнмые значения приращений ( $\Delta C/C$ )<sub>2</sub>—( $\Delta C/C$ )<sub>4</sub> двух замеров, приведенных к одной температуре. Для приведения значения ( $\Delta C/C$ )<sub>2</sub> последнего замера к температуре начального замера надо ( $\Delta C/C$ )<sub>2</sub> умножить или разделить на коэффициент (табл. 13-11) [Л. 17].

Таблица 13-11

### Значения коэффициента кз

| Разность тем-<br>ператур, °C | 5    | 10   | 15   | 20   | 25  | 30  | 35  | 40  | 45  | 50  |
|------------------------------|------|------|------|------|-----|-----|-----|-----|-----|-----|
| $k_3$                        | 1,25 | 1,55 | 1,95 | 2,40 | 3,0 | 3,7 | 4,6 | 5,7 | 7,0 | 8,8 |

Пример. Начальное значение ( $\Delta C/C$ ), обмогки ВН трансформатора 110 кВ при  $\Theta_1 = +20^{\circ}$ С равнялось 4%. Значение ( $\Delta C/C$ ), последнего замера при  $\Theta_2 = +15^{\circ}$ С равнялось 6%. Приведем значение ( $\Delta C/C$ ), к температуре  $+20^{\circ}$ С.

Разность  $\Theta_4$ — $\Theta_2$ =5°С. Этой разности в табл. 13-11 соответствует коэффициент  $k_3$ =1,25. Тогда ( $\Delta C/C$ )<sub>2</sub>, приведенное к  $\Theta_1$ =20°С, будет равно 6·1,25=7,5%.

Разность значений  $(\Delta C/C)_2$ — $(\Delta C/C)_1$ =7,5—4=3,5%. Согласно табл. 13-10 эта разность при  $\Theta$ =20°C не должна превышать для

трансформаторов 110 кВ 4%.

Приборами ПКВ можно замерять электрические емкости только между изолированными и заземленными частями. Поэтому если изменяют отношения  $C_2/C_{50}$  и  $\Delta C/C$  какой-либо обмотки трансформатора, то все остальные обмотки, а также корпус трансформатора должны быть заземлены.

Перед тем как производить замеры прибором ПКВ, необходимо замерить мегаомметром сопротивление изоляции обмоток трансформатора, а также проверить гемпературу. Измерение прибором ПКВ необходимо производить при температуре обмоток трансформатора не ниже  $+10^{\circ}$ C.

Прочие испытания. В процессе ремонта и модернизации трансформаторов производятся различные контрольные испытания с целью выявления тех или иных дефектов. Эти испытания опасаны в гл. 11. Методика и схемы контрольных испытаний, аналогичных сдаточным испытаниям, даны в гл. 13.

Протолок испытаний. После проведения испытаний трансформатора должен быть составлен протокол испытаний. Форма прото-

кола имеется в каждой ремонтной организации.

# СПРАВОЧНАЯ

### ГЛАВА ЧЕТЫРНАПЦАТАЯ

# ОСНОВНЫЕ МАТЕРИАЛЫ И ИЗДЕЛИЯ. ПРИМЕНЯЕМЫЕ ПРИ РЕМОНТЕ И МОДЕРНИЗАЦИИ ТРАНСФОРМАТОРОВ

# 14-1. СОРТАМЕНТ ОСНОВНЫХ МАТЕРИАЛОВ И ИЗДЕЛИЙ

В табл. 14-1 указаны основные материалы и изделия, применяемые при ремонтах и модернизации трансформаторов средних и больших мощностей с масляным охлаждением. Действующий сортамент обмоточных прямоугольных проводов ПБ, ПБУ, АПБ и АПБУ дан в табл. 14-2 и 14-3. Сортамент обмоточных прямоугольных проводов и их расчетные сечения (мм²), рекомендованные МЭК, приведены в табл. 14-4.

ГОСТ 16512-70 устанавливает следующие размеры изоляции прямоугольных обмоточных проводов (на обе стороны): марок ПБ и АПБ — 0,45; 0,55; 0,72; 0,96; 1,2; 1,35; 1,68; 1,92 мм; марок ПБУ и АПБУ — 2,0; 2,48;

2,96; 3,6; 4,08; 4,4 MM.

# 14-2. ФОРМУЛЯР ДЛЯ РАСЧЕТА МАТЕРИАЛОВ

Ниже дан формуляр для расчета материалов, применяемых при ремонте и модернизации трансформаторов. Формуляр включает отдельные формулы, а также опытные нормы для разных изделий (табл. 14-5). Формулы учитывают коэффициенты запаса, которые

колеблются для отдельных материалов от 5 до 20% (на

отбраковку, угар, раскрой, отходы и т. п.).

Относительно высокие коэффициенты запаса объясняются рядом соображений, а именно: 1) при ремонте на местах изделия приходится изготовлять, как правило, вручную или применяя простые, часто примитивные приспособления; 2) работы при ремонте и модернизации на местах носят индивидуальный единичный характер; 3) объекты, подлежащие ремонту или модернизации, весьма разнообразны и имеют, как правило, свои особенности по конструкции, размерам и т. п.

Таблица 14-1 Сортамент основных материалов и изделий

| Материалы и изделия             | Едини-<br>ца из-<br>мерения | FOCT (TY)          | Расчетная<br>плотиость<br>кг/м <sup>8</sup> |
|---------------------------------|-----------------------------|--------------------|---------------------------------------------|
| Провод медный и алю-            | KL                          | 16512-70; 16513-70 | _                                           |
| ииниевый прямоугольный          |                             | ,                  |                                             |
| бмоточный (табл. 14-2 и         |                             |                    |                                             |
| 4-3)                            |                             |                    |                                             |
| Провода медные гибкие           | ,,                          | 10787-68           |                                             |
| руглые изолированные            | 27                          | 10.0, 00           | _11111                                      |
| иля отводов (табл. П5-3         |                             |                    |                                             |
| П5-4)                           |                             |                    |                                             |
| Прутки медные круглые           | 37                          | 1535-71            | 8900                                        |
| Прутки латунные                 | "                           | 2060-73            | 8500                                        |
| Проволока медная круг-          | "                           | 2112-71            | 8900                                        |
| ая для отводов                  | "                           | 2112 11            | -                                           |
| табл. П5-1)                     |                             |                    |                                             |
| Шины медные                     | 99                          | 434-71             | 8900                                        |
| табл. П5-2)                     |                             |                    |                                             |
| Лента медная                    | 27                          | 434-71             | 8900                                        |
| Трубы медные наруж-             | "                           | 617-72             | 8900                                        |
| ным диаметром 50 мм             |                             |                    |                                             |
| Провод медный гибкий            | 27                          | 5991-68            | 8900                                        |
| олый                            |                             |                    |                                             |
| Листы медные                    | 37                          | 495-70             | 8900                                        |
| Шины алюминиевые                | 99                          | 5414-63            | 2700                                        |
| тр <b>ямоуго</b> льн <b>ы</b> е |                             |                    |                                             |
| То же круглые                   | 97                          | 5414-63            | 2700                                        |
| Лента алюминиевая               | 9)                          | 13726-68           | 2700                                        |
| Фольга алюминиевая              | 59                          | 618-62             | 2700                                        |
| Сталь марки Х18Н9               | 27                          | 5949-61            | 7800                                        |
| Сталь электротехничес-          | n                           | 802-58             | 7550                                        |
| кая горячекатаная ли-           |                             |                    |                                             |
| товая                           |                             | 000 50             | 7050                                        |
| То же холоднокатаная            | 20                          | 802-58             | 7650                                        |
| То же рулонная                  | 37                          | 802-58             | 7650                                        |
| Прутки стальные                 | 22                          | 3282-46<br>1499-70 | 7800<br>9300                                |
| Припои оловянно-свин-           | 77                          | 1499-70            | 9300                                        |
| Припои медно-фосфор-            |                             | 4515-48            | 8500                                        |
| ные                             | "                           | 4010-40            | 8300                                        |
| Припои серебряные               |                             | 8190-56            | 100                                         |
| Припои цинково-кад-             | 33                          | 0130-00            |                                             |
| ниевые, оловянно-цинко-         | - 92                        |                    |                                             |
| вые и алюминиевые               |                             |                    |                                             |
| (табл. П13-1)                   | -                           |                    |                                             |
| Электроды металличес-           |                             | 9466-60            | _                                           |
| кие (табл. П13-2) для           | "                           | 0.100 - 00         |                                             |
| дуговой сварки сталей           |                             |                    |                                             |
| То же стальные Э-42,            | -                           | 9467-60            |                                             |
| Ø 4—5 мм                        | "                           |                    |                                             |

| Материалы и изделия                 | Едини-<br>ца из-<br>мерения | FOCT (TY) | Расчетная<br>плотность,<br>кг/м <sup>8</sup> |
|-------------------------------------|-----------------------------|-----------|----------------------------------------------|
| Электроды немагнитные               | кг                          | 10052-62  |                                              |
| ЭА-1, ∅ 3 мм                        |                             |           |                                              |
| Угли сварочные для<br>электроклещей | 57                          |           |                                              |
| Флюсы для пайки алю-                |                             |           |                                              |
| миния (приложение 13)               | "                           |           |                                              |
| Канифоль сосновая                   |                             | 797-64    |                                              |
| (флюс)                              | 27                          | 191-04    |                                              |
| Картон электротехни-                |                             | 4194-68   | 0.0.100                                      |
| ческий листовой                     | 39                          | 4194-00   | 0,9.103                                      |
| Бумага кабельная                    |                             | 645-67    | 0.7.100                                      |
| Бумага телефонная                   | "                           |           | 0,7.103                                      |
| Бумага крепированная                | 27                          | 3553-73   | 800—820                                      |
| Бумага асбестовая                   | 27                          | 12769-69  |                                              |
|                                     | 39                          | 2630-69   | 0,9.103                                      |
| Картон асбестовый                   | 27                          | 2850-58   | 1200                                         |
| Полотно асбестовое                  | 33                          | 2198-66   | _                                            |
| Шнур асбестовый ∅3—<br>25 мм        | 27                          | 1779-72   | _                                            |
| Нить асбестовая                     |                             | 1779-72   |                                              |
| Ø 0,5—2,5 мм                        | 27                          | 1119-12   | _                                            |
| Лакоткань                           | M <sup>2</sup>              | 2214-70   | 1100                                         |
| Лента киперная                      | M                           |           | 1100                                         |
| Лента тафтявая                      | IVI                         | 4514-71   | _                                            |
| Лента изоляционная                  | 27                          | 4514-71   |                                              |
| Цилиндры электротех-                | 77                          | 2162-68   | 40-0                                         |
|                                     | шт/кг                       | 8726-72   | 1050                                         |
|                                     |                             |           |                                              |
| питовые ЦБ, внутренний              |                             |           |                                              |
| циаметр 120—1600 мм                 |                             |           |                                              |
| Трубки электротехни-                | M/Kr                        | 8726-72   | 1050                                         |
| геские бумажно-бакели-              |                             |           |                                              |
| говые ТБ, внутренний                |                             |           |                                              |
| циаметр 6—115 мм                    |                             |           |                                              |
| Гетинакс электротех-                | кг                          | 2718-66   | 1350—1400                                    |
| нческий листовой                    |                             | 2:10 00   | 1000 1100                                    |
| Текстолит электротех-               |                             | 2910-67   | 13801400                                     |
| ический листовой                    | 39                          | 2310-01   | 1000-1400                                    |
| Текстолитовые стерж-                |                             | 5385-68   | 1300                                         |
| и Ø13—25 мм                         | 27                          | 9909-00   | 1500                                         |
| Резина маслоупорная                 |                             | 10055 67  | 1500                                         |
| J F-1.                              | 29                          | 12855-67  | 1500                                         |
| листовая, полосовая,                |                             |           |                                              |
| ольца, шайбы, проклад-              |                             |           |                                              |
| (H)                                 |                             |           |                                              |
| Паронит листовой                    | 33                          | 481-71    | 1500—2000                                    |
| Шпагат хлопчатобумаж-               | 20                          | 16266-70  |                                              |
| ый Ø 2 мм                           |                             |           |                                              |
| Шнур льняной Ø 1,0—                 | 23                          | 17306-71  | _                                            |
| —2,5 мм                             | -                           |           |                                              |
| Бук                                 | M3                          | 2695-71   | 0,73.103                                     |
| Dyn                                 |                             |           |                                              |

| Материалы и изделня                             | Едини-<br>ца из-<br>мерения | FOCT (TY)              | Расчетная<br>плотность,<br>кг/м <sup>3</sup> |
|-------------------------------------------------|-----------------------------|------------------------|----------------------------------------------|
| Береза                                          | M <sub>3</sub>              | 2695-71                | 0,63.103                                     |
| Нитроэмаль 624с                                 | кг                          | 7462-73                | _                                            |
| Эмаль ПФ-133                                    | 27                          | 926-63                 |                                              |
| Лак бакелитовый                                 | "                           | 901-71                 | _                                            |
| Лак электроизоляцион-<br>ный ГФ-95              | 29                          | 8018-70                |                                              |
| Лак КФ-965 (быв. 302)                           | 27                          | 15030-69               | _                                            |
| Эмаль 1201                                      | 27                          | ВТУ МЭП ОАА 504.002-53 | _                                            |
| Маркировочная краска (красная) МК-25            | 29                          | ТУ МХП 1927-49         | _                                            |
| Стеклолента ЛСБ-Т                               | 37                          |                        | _                                            |
| Ацетон                                          | , ,                         | 2768-69                | 0,8.103                                      |
| Керосин осветительный                           | 22                          | 4753-68                | 0,8-103                                      |
| Бензин авиационный                              | ,,                          | 1012-72                | 0,8.103                                      |
| Уайт-спирит                                     | 39                          | 3134~52                | 0,8.103                                      |
| Едкий натр техничес-<br>кий (каустическая сода) | ,,                          | 2263-71                | -                                            |
| Сода кальцинированная                           | 77                          | 5100-73                | -                                            |
| Тринатрийфосфат те <b>х</b> -<br>нический       | n                           | 201-58                 |                                              |
| Магний хлористый                                | 27                          | 4209-67                | _                                            |
| Магнезит каустический                           | 70                          | 844-73                 | _                                            |
| Мука фарфоровая                                 | 29                          |                        | ·                                            |
| Мел                                             | 39                          | 1498-64                |                                              |
| Парафин                                         | 20                          | 16970-71               |                                              |
| Силикагель гранулиро-<br>ванный                 | 29                          | 3956-54                | -                                            |
| То же индикаторный                              | 23                          | 8984-59                | _                                            |
| Масло трансформатор-<br>ное (табл. 11-2)        | Т                           | 982-68                 | 0,9.103                                      |
| То же из сернистой нефти                        | 20                          | 10121-62               | 70-1                                         |
| Ткань фильтровальная (бельтинг)                 | M <sup>2</sup>              | 332-69                 | _                                            |
| Картон фильтровальный<br>технический            | Kr                          | 6722-65                | -                                            |
| Ветошь обтирочная                               | ,,                          | 5354-68                |                                              |

| -2-                                   | 5.5                              | 11111                                             | 31,6                                                  | 34,3.<br>37,1<br>39,8                              | 50,3                                      | 73<br>78<br>84,88<br>91,89<br>06,9<br>9,9<br>9,9<br>9,9              |
|---------------------------------------|----------------------------------|---------------------------------------------------|-------------------------------------------------------|----------------------------------------------------|-------------------------------------------|----------------------------------------------------------------------|
|                                       |                                  | 1111                                              | 27,1                                                  | r~w∞000                                            | 0 000                                     | 68,0<br>74,1<br>79,6<br>84,8<br>90,9<br>98,6                         |
| пип                                   | - 2                              | 11111                                             | 26.00                                                 | 2 2 2 2 2 2 2 2 2 2 2 2 2 2 2 2 2 2 2              | 8, 0, 0, 0, 0, 0, 0, 0, 0, 0, 0, 0, 0, 0, | 62,6<br>67,3 74<br>72,5 79<br>78,1 84<br>90,8 98                     |
| пБУ                                   | 4                                |                                                   | - man-                                                | 993919                                             | 6 42,8<br>6 49,9<br>1 53,6                | 10000                                                                |
| Z                                     | 4,                               | 11111                                             | 1 4 1 0 7 0 2 1 9 1 0 0 1 0 0 0 0 0 0 0 0 0 0 0 0 0 0 | 27,3<br>27,3<br>4,4<br>29,5<br>4,3<br>34,3<br>36,9 | 946                                       | 0.00<br>0.00<br>0.00<br>0.00<br>0.00<br>0.00<br>0.00<br>0.0          |
| IIB                                   | 4,1                              | 11111                                             | 24040                                                 | 32 23                                              | 403.1<br>43.4<br>46.7<br>50,4             | 4888826                                                              |
| марок                                 | 8,                               | - 1111. ži                                        | 20212                                                 | 225.8<br>227.7<br>229.6<br>22.0<br>22.0            | 34.8<br>37.5<br>40.5<br>47.0              | 50,88<br>53,7,6<br>67,6<br>73,6                                      |
|                                       | 3,53                             | 11114                                             | 15,0<br>17,1<br>28,9<br>3,3                           | 23,1<br>25,6<br>29,9                               | 32,3<br>37,6<br>40,5                      | 2,44<br>2,58<br>2,58<br>3,4<br>4,8<br>6,3<br>8,1<br>1,4              |
| TOB                                   | 3,28                             | 1 1 1 1 1 1 1 1 1 1 1 1 1 1 1 1 1 1 1 1           | 0,0,0,0,0                                             | 222,5                                              | 322,0<br>327,0<br>40,5<br>0               | 43,5<br>56,6<br>58,6<br>63,5                                         |
| проводова, мм                         | 3,05                             | 10,3                                              | 15.0<br>15.0<br>17.0<br>17.0                          | 20,0<br>22,1<br>23,9<br>25,7                       | 27,9<br>30,0<br>32,4<br>34,9              | 40,7<br>47,0<br>50,7<br>54,0<br>59,0                                 |
|                                       | 2,83                             | 8,15<br>8,8<br>9,51<br>10,3<br>11,1               | 12,0<br>13,9<br>15,1<br>16,2                          | 17,6<br>20,0<br>222,4<br>23,8                      | 25,8<br>30,1<br>34,9<br>34,9              | 37,7<br>443,6<br>47,0<br>54,7                                        |
| <b>медных</b><br>по стороне           | 2,63                             | 7,54<br>8,15<br>8,8<br>9,51<br>10,3               | 11.<br>12.9<br>14.0<br>15.0                           | 16,3<br>17,9<br>19,0<br>22,1                       | 30,0                                      | 0.58<br>0.70<br>0.40<br>0.40<br>0.00<br>0.00<br>0.00<br>0.00<br>0.00 |
|                                       | 2,44                             | 6,98<br>8,52<br>8,73<br>9,73                      | 10,2<br>11,9<br>12,9<br>13,9                          | 15,1<br>16,3<br>17,6<br>19,0<br>20,5               | 22222<br>2000<br>2000<br>2000<br>2000     | 32,22<br>4,04<br>4,3,5<br>4,1,4<br>1,4,4                             |
| прямоугольных<br>ный размер проволоки | 2,26                             | 6,41<br>7,5<br>8,11<br>8,79                       | 9,46<br>10,1<br>11,0<br>11,9<br>12,8                  | 15,0<br>17,0<br>18,9<br>18,9                       | 23,9                                      | 411111                                                               |
| жоул                                  | 2,1                              | 5,93<br>6,41<br>6,93<br>7,5<br>8,13               | 8,76<br>9,39<br>10,2<br>11,1<br>11,9                  | 12,9<br>15,0<br>16,3<br>17,6                       | 19,0<br>22,2<br>23,9                      | ППП                                                                  |
| пря                                   | 1,95                             | 5,74<br>6,19<br>6,67<br>7,2<br>7,79               | 8,37<br>8,96<br>9,74<br>10,5                          | 8,6<br>16,6<br>16,6                                | 20,9                                      | .111111                                                              |
| т, мм², пр                            | 1,81                             | 5,31<br>6,18<br>6,67<br>7,21                      | 7,75<br>8,3<br>9,02<br>9,75<br>10,5                   | 12,3                                               | 16,6                                      | 111111                                                               |
| Ho.                                   | 1,68                             | 5,3<br>5,17<br>6,17<br>6,88                       | 7,18<br>7,79<br>8,36<br>9,03<br>9,7                   | 10,6<br>11,4<br>12,6<br>14,2                       | 15,4                                      | 311111                                                               |
| сечения,                              | 1,56                             | 4,55<br>4,91<br>5,72<br>6,19                      | 6,65<br>7,12<br>7,75<br>8,37<br>8,99                  | 9,77<br>10,6<br>11,3<br>12,3<br>13,2               | 24,3                                      | 111111                                                               |
|                                       | 1,45                             | 44,55<br>44,55<br>5,30<br>5,74                    | 6,17<br>6,61<br>7,77<br>8,33                          | 9,07<br>9,79<br>10,5                               | 13,3                                      | HILL                                                                 |
| расчетные                             | 1,35                             | 3,91<br>4,22<br>4,56<br>4,92<br>5,33              | 5,73<br>6,14<br>6,68<br>7,22<br>7,76                  | 8,43<br>9,11<br>9,78<br>10,6<br>11,4               | 12,4                                      | HIH                                                                  |
| и ра                                  | 1,25                             | 88 444<br>8 8 4 6 6 6 6 6 6 6 6 6 6 6 6 6 6 6 6 6 | 5,29<br>5,67<br>6,17<br>6,67<br>7,17                  | 8,42<br>9,04<br>9,79<br>10,6                       | 11111                                     | 111111                                                               |
|                                       | 1,16                             | 8.00<br>8.00<br>8.00<br>8.00<br>8.00<br>8.00      | 5,24<br>5,71<br>6,17<br>6,63                          | 7,21<br>7,79<br>8,37<br>9,77                       | 11111                                     | HILL                                                                 |
| Размеры                               | 1,08                             | 3,08<br>3,6<br>3,89<br>4,22                       | 4,44<br>7,00<br>6,73<br>1,00                          | 6,70<br>7,24<br>7,78<br>9,08                       | 11111                                     | 111111                                                               |
| 4                                     | 1,0                              | 23.53.53<br>45.53<br>89.53<br>89.53               | 444.59<br>68,28<br>69,69                              | 6,19                                               | 11111                                     | TITLL                                                                |
| -оноф<br>-ото                         | номиналь<br>Номиналь<br>Номиналь | ಬಂಬಬಬ.4<br>⊖ ഗ്ന്ര്മ്∸<br>⊓ ಐಬ                    | 44000<br>4,1,00                                       | 00 V 0 0<br>4 0 4 0 0                              | 9,3<br>10,0<br>11,6<br>12,5               | 13,6<br>16,6<br>18,0<br>18,0<br>19,0                                 |

Размеры и расчетные сечения, мм<sup>2</sup>, прямоугольных алюминиевых обмоточных проводов марок AIIB и AIIBУ

Таблица 14-3

|                       | 14                                            | 7,0                         | 1    | 1    | 1    | 1    | ı    | l    | !    | I    | 50,4 | 4,4  | 500  | 63,2 | 0.89 | 73,5 | 78,9  | 85,0 | 8,16 | 98,6 | 106,1 | 114,3 | 122,4 |
|-----------------------|-----------------------------------------------|-----------------------------|------|------|------|------|------|------|------|------|------|------|------|------|------|------|-------|------|------|------|-------|-------|-------|
|                       |                                               | 6,5                         | [    | I    | I    | 1    | 1    | 1    | ι    | 1    | 46,8 | 50,6 | 54,4 | 8,83 | 63,2 | 68,3 | 73,4  | 79,1 | 85,4 | 7,16 | 7,86  | 106,3 | 114,0 |
|                       |                                               | 0.0                         | - 1  | 1    | ı    | 1    | 1    | 1    | 37,4 | 40,4 | 43,3 | 47,0 | 50,6 | 54,8 | 59,0 | 63,7 | 68,4  | 74,0 | 6,62 | 85,8 | 92,2  | 99,3  | 106,4 |
|                       |                                               | 5,5                         | ı    | ı    | 1    | 1    | ı    | l    | 34,3 | 37,1 | 39,8 | 43,1 | 46,4 | 50,3 | 54,1 | 58,5 | 62,9  | 6.79 | 73,4 | 6,87 | 84,8  | 91,3  | 0.86  |
|                       |                                               | 5,1                         | - 1  | ı    | ı    | -    | l    | 29,2 | 31,7 | 34,3 | 36,8 | 39,9 | 43,0 | 46,5 | 50,1 | 54,2 | 58,3  | 65,9 | 68,0 | 74,1 | 79,6  | 84,82 | 90,94 |
|                       |                                               | 4,7                         |      | I    | l    | 1    | 25,0 | 26,8 | 29,5 | 31,5 | 33,9 | 36,7 | 39,5 | 42,8 | 46,1 | 49,9 | 53,6  | 6,75 | 62,6 | 67,3 | 72,5  | 78,1  | 83,74 |
|                       | a, mm                                         | 4,4                         |      | 1    | ı    | 21,5 | 23,3 | 25,1 | 27,3 | 29,5 | 31,7 | 34,3 | 36,9 | 40,0 | 43,1 | 46,6 | 50,1  | 54,1 | 58,5 | 62,0 | 67,1  | 73,06 | 78,34 |
|                       | стороне                                       | 4,1                         |      | 17.1 | 18,4 | 20,0 | 21,7 | 23,3 | 25,3 | 27,4 | 29,4 | 31,9 | 34,4 | 37,2 | 40,1 | 43,4 | 46,7  | 50,4 | 54,5 | 58,6 | 63,0  | 68,02 | 72,94 |
|                       | Номинальный размер проволоки по стороне а, мм | 3,8                         | 14   | 16.2 | 17,4 | 18,9 | 20,4 | 21,9 | 23,8 | 25,7 | 27,6 | 29,9 | 32,2 | 34,8 | 37,5 | 40,5 | 43,6. | 47,0 | 50,8 | 54,6 | 58,75 | 63,36 | 67,92 |
|                       | провол                                        | 3,53                        | 0 1  | 15.0 | 16.1 | 17,5 | 18,9 | 20,3 | 22,1 | 23,1 | 25,6 | 27,7 | 29,9 | 32,3 | 34,8 | 37,6 | 40,5  | 43,6 | 47,2 | 50,6 | 54,4  | 58,82 | 90'89 |
| adjoint in the modern | размер                                        | 3,28                        | 0 81 | 13.0 | 14.9 | 16,2 | 17,5 | 18,9 | 20,5 | 22,1 | 23,6 | 25,7 | 27,7 | 30,0 | 32,3 | 34,9 | 37,5  | 40,5 | 43,8 | 47,1 | 50,7  | 54,62 | 58,56 |
| odna                  | ลาธหมหั                                       | 3,05                        | 0.00 | 12.9 | 13,8 | 15,1 | 16,3 | 17,5 | 19,0 | 20,6 | 22,1 | 23,9 | 25,7 | 27,9 | 30,0 | 32,4 | 34,9  | 37,6 | 40,7 | 43,7 | 47,0  | 50,7  | 54,42 |
|                       | Номин                                         | 2,83                        | =    | 19.0 | 12,8 | 13,9 | 15,1 | 16,2 | 17,6 | 19,0 | 20,4 | 22,1 | 23,8 | 25,8 | 27,8 | 30,1 | 32,3  | 34,9 | 37,7 | 40,5 | 43,6  | 47,06 | 1     |
|                       |                                               | 2,63                        | 10.2 | 1,1  | 11,9 | 12,9 | 14,0 | 15,0 | 16,3 | 17,9 | 19,0 | 20,5 | 22,1 | 24,0 | 25,8 | 27,9 | 30,0  | 32,4 | 35,0 | 37,6 | 1     | 1     | 1     |
|                       |                                               | 2,44                        | 0 50 | 10.2 | 11,0 | 11,9 | 12,9 | 13,9 | 15,1 | 16,3 | 17,6 | 19,0 | 20,5 | 22,2 | 23,9 | 25,9 | 27,8  | 30,0 | 32,4 | 34,9 | 1     | 1     | 1     |
|                       | 1                                             | 2,26                        | A 70 | 9.46 | 10,1 | 0,11 | 11,9 | 12,8 | 14,0 | 15,1 | 16,2 | 17,8 | 18,9 | 20,5 | 22,1 | 23,9 | 25,7  | 27,8 | 1    | ı    | 1     | ı     | 1     |
|                       |                                               | 2,1                         | 8 13 | 8.76 | 9,39 | 10,2 | 11,1 | 6,11 | 12,9 | 14,0 | 15,0 | 6,3  | 17,6 | 19,0 | 20,5 | 22,2 | 23,9  | 25,8 | 1    | ŀ    | 1     | ı     | ı     |
|                       |                                               | 1,95                        |      |      | 8,96 |      |      |      |      |      |      |      |      |      |      |      |       | ı    | 1    | 1    | ı     | 1     | 1     |
|                       |                                               | 1,81                        | 7.91 | 7,75 | 8,30 | 20,6 | 9,75 | 10,5 | 11,4 | 12,3 | 13,3 | 14,4 | 15,5 | 16,6 | 17,9 | 19,3 | ı     | 1    | 1    | 1    | 1     | 1     | ı     |
|                       | -oto-                                         | Номиня<br>размер<br>фоне р, | 4.1  | 4,4  | 4,7  | 5,1  | 5,5% | 5,9  | 6,4  | 6'9  | 7,4  | 8,0  | 9,8  | 9,3  | 10,0 | 10,8 | 11,6  | 12,5 | 13,5 | 14,5 | 15,6  | 16,8  | 0,81  |

Расчетные сечения прямоуголикых обмотсчных проводов, ммг, рекомендованные МЭК

| npobo-                      |        |        | 1     | 13    |        |       | Номина | льный ра | змер про | Номинальный размер проволоки по стороне а, мм | ю сторон | e a, mm |         |       |       |       |       |
|-----------------------------|--------|--------|-------|-------|--------|-------|--------|----------|----------|-----------------------------------------------|----------|---------|---------|-------|-------|-------|-------|
| Номиия:<br>размер<br>роне р | 06.0   | 0,95   | 1,00  | 1,06  | 1,12   | 1,18  | 1,25   | 1,32     | 1,40     | 1,50                                          | 1,60     | 1,70    | 1,80    | 1,90  | 2,00  | 2,12  | 2,24  |
|                             | ą.     |        |       |       |        |       |        |          |          |                                               |          |         |         |       |       |       |       |
| 2,12                        | 1,734  | 1      | 1,905 | 1     | 2,160  | ı     | 2,435  | 1        | 2,753    | 1                                             | 1        | -       | ı       | 1     | ı     | ı     | ı     |
| 2,24                        | 1,842  | 1,934  | 2,025 | 2,160 | 2,294  | 2,429 | 2,585  | 2,742    | 2,921    | 3,145                                         | 3,369    | -1      | ı       | I     | ı     | ı     | 1     |
| 2,36                        | 1,950  | ı      | 2,145 | 1     |        | 1     | 2,735  | ١        | 3,089    | 1                                             | 3,561    | 1       | ı       | ı     | 1     |       | I     |
| 2,50                        | 2,076  | 2,181  | 2,285 | 2,435 | 2,585  | 2,736 | 2,910  | 3,085    | 3,285    | 3,535                                         | 3,785    | 3,887   | 4,137   | 1     | I     | ı     | 1     |
| 2,65                        | 2,211  | 1      | 2,435 | 1     |        | 1     | 3,098  | I        | 3,495    | 1                                             | 4,025    | ı       | 4,407   | ı     | 1     | 1     | 1     |
| 2,80                        | 2,346  | 2,466  | 2,585 | 2,753 | 2,921  | 3,089 | 3,285  | 3,481    | 3,705    | 3,985                                         | 4,265    | 4,397   | 4,677   | 4,957 | 5,237 | ı     | l     |
| 3,00                        | 2,526  | l      | 2,785 | ı     | 3,145  | I     | 3,535  | I        | 3,985    | 1                                             | 4,585    | ı       | 5,038   | 1     | 5,638 | 1     | 1     |
| 3,15                        | 2,661  | 2,799  | 2,935 | 3,124 | 3,313  | 3,502 | 3,723  | 3,943    | 4,195    | 4,510                                         | 4,825    | 4,992   | 5,307   | 5,622 | 5,937 | 6,315 | 6,693 |
| <b>69</b>                   | 2,841  | I      | 3,135 | ı     |        | ı     | 3,973  | ı        | 4,475    | F                                             | 5,145    | 1       | 5,667   | ı     | 6,337 | ı     | 7,141 |
| 3,55                        | 3,021  | 3,179  | 3,335 | 3,548 | 3,761  | 3,974 | 4,223  | 4,471    | 4,755    | 5,110                                         | 5,465    | 5,672   | 6,027   | 6,382 | 6,737 | 7,163 | 7,589 |
| 3,75                        | 3,201  | ı      | 3,535 | 1     | 3,985  | l     | 4,473  | 1        | 5,035    | ı                                             | 5,785    | I       | 6,387   | 1     | 7,137 | 1     | 8,037 |
| 4,00                        | 3,426  | 3,606  | 3,785 | 4,025 | 4,265  | 4,505 | 4,785  | 5,065    | 5,385    | 5,785                                         | 6,185    | 6,437   | 6,837   | 7,237 | 7,637 | 8,177 | 8,597 |
| 4,25                        | 3,651  | 1      | 4,035 | -1    | 4,545  | F     | 5,098  | 1        | 5,735    | 1                                             | 6,585    | -       | 7,287   | ı     | 8,137 | 1     | 9,157 |
| 4,50                        | 3,876  | 4,081, | 4,285 | 4,555 | 4,8251 | 5,095 | 5,410  | 5,725    | 6,085    | 6,535                                         | 6,985    | 7,287   | 7,737   | 8,187 | 8,637 | 9,177 | 9,717 |
| 4,75                        | 4,101, | -      | 4,535 | 1     | 5,105  | 1     | 5,723  | !        | 6,435    | 1                                             | 7,385    | l       | 8,188   | ı     | 9,137 | 1     | 10,28 |
| 2,00                        | 4,326  | 4,556  | 4,785 | 5,085 | 5,385  | 5,685 | 6,035  | 6,385    | 6,785    | 7,285                                         | 7,785    | 8,137   | 8,637   | 9,137 | 9,637 | 10,24 | 10,84 |
| 5,30                        | 4,596  | ı      | 5,085 | 1     | 5,721  | ı     | 6,410  | 1        | 7,205    | 1                                             | 8,365    | ı       | - 9,177 | Í     | 10,24 | !     | 11,51 |
| 5,60                        | 4,866  | 5,126  | 5,385 | 5,721 | 6,057  | 6,393 | 6,785  | 7,177    | 7,625    | 8,185                                         | 8,785    | 9,157   | 9,717   | 10,28 | 10,84 | 11,51 | 12,18 |
| 00.9                        | 5,226  | I      | 5,785 | 1     | 6,505  | l     | 7,285  | 1        | 8,185    | I                                             | 9,385    | l       | 10,44   | l     | 11,64 | 1     | 13,08 |
| 6,30                        | 5,496  | 5,791  | 6,085 | 6,463 | 6,841  | 7,219 | 7,660  | 8,101    | 8,605    | 9,235                                         | 9,865    | 10,35   | 10,98   | 19,11 | 12,24 | 12,99 | 13,75 |
| 6,70                        | 5,856  | 1      | 6,485 | ı     | 7,289  | l     | 8,160  | ı        | 9,165    | Ī                                             | 10,51    | -1      | 11,70   | 1     | 13,04 | ı     | 14,65 |
|                             |        |        |       |       |        |       |        | Ī        |          |                                               |          |         |         |       |       |       |       |
|                             |        |        |       |       |        |       |        |          |          |                                               |          |         |         |       |       |       |       |

| eoq<br>oro                                  |       |       |       |       |       |       |       |       |       |       |       |       |       |       |       |       |       |
|---------------------------------------------|-------|-------|-------|-------|-------|-------|-------|-------|-------|-------|-------|-------|-------|-------|-------|-------|-------|
| Номинал<br>размер п<br>локи по<br>роке р, и | 06.0  | 0,95  | 1,00  | 1,06  | 1,12  | 1,18  | 1,25  | 1,32  | 1,40  | 1,50  | 1,60  | 1,70  | 1,80  | 1,90  | 2,00  | 2,12  | 2,24  |
|                                             |       | 1     | 1     |       |       |       |       |       |       |       |       |       | 9     | ç     | 70 61 | 2     | P 2   |
| 7.10                                        | 6,216 | 6,551 | 6,885 | 7,311 | 7,737 | 8,163 | 8,660 | 9,157 | 9,725 | 10,44 | 11,15 | 11,71 | 12,42 | 13,13 | 13,84 | 14,69 | 40°C) |
| 1 50                                        | ı     | 1     | 7,285 | 1     | 8,185 | - 1   | 9,160 | 1     | 10,29 | 1     | 11,79 | 1     | 13,14 | 1     | 14,64 | 1     | 16,44 |
| 8 8                                         | . 1   | ı     | 7,785 | 8,265 | 8,745 | 9,225 | 9,785 | 10,35 | 10,99 | 11,79 | 12,59 | 13,24 | 14,04 | 14,84 | 15,64 | 16,60 | 17,56 |
| 0 0                                         | 1     | -     | . 1   | 1     | 9,305 | ı     | 10,40 | !     | 11,69 | ı     | 13,39 | 1     | 14,94 | 1     | 16,64 | 1     | 18,68 |
| 0000                                        |       | 1     | ١     | ı     | 9.865 | 10,41 | 11,04 | 11,67 | 12,39 | 13,29 | 14,19 | 14,94 | 15,84 | 16,74 | 17,64 | 18,72 | 19,80 |
| 0000                                        |       | ı     | 1     | ı     | . 1   | i     | 11,66 | 1     | 13,09 | 1     | 14,99 | 1     | 16,74 | 1     | 18,64 | I     | 20,92 |
| 8 6                                         | 1     | 1     | ı     | I     | 1     | 1     | 12,29 | 12,99 | 13,79 | 14,79 | 15,79 | 16,64 | 17,64 | 18,64 | 19,64 | 20,84 | 22,04 |
| 00,01                                       | .     | 1     | 1     | 1     | 1     | I     | ı     | 1     | 14,63 | 1     | 16,75 | ı     | 18,72 | 1     | 20,84 | 1     | 23,38 |
| 10,00                                       | ı     | ı     | 1     | 1     | ı     | ŀ     | Į     | 1     | 15,47 | 16,59 | 17,71 | 18,68 | 19,80 | 20,02 | 22,04 | 23,38 | 24,73 |
| 00 1                                        | , 1   | -     | 1     | ı     | 1     | 1     | 1     | 1     | ľ     | - 1   | 18,67 | 1     | 20,88 | 1     | 23,24 | l     | 26,07 |
| 000                                         |       |       | ı     | 1     | ı     | I     | 1     | 1     | 1     | 18,50 | 19,79 | 20,89 | 22,14 | 23,39 | 24,64 | 26,14 | 27,64 |
| 0000                                        |       | f     | ı     | 1     | 1     | ı     | 1     | 1     | ì     | 1     | 1     | 1     | 23,40 | 1     | 26,04 | I     | 29,21 |
| 14 00                                       |       | Į     | 1     | 1     | 1     | _1    | ı     | ı     | ı     | 1     | 1     | 1     | 24,84 | 26,24 | 27,64 | 29,32 | 31,00 |
| 00,4                                        | ı     | ı     | l     | 1     | ı     | 1     | ı     | 1     | ı     | -     | 1     | 1     | 1.    | 1     | 29,64 | ŀ     | 33,24 |
| 0000                                        | -     | 1     |       |       |       |       |       |       | 1     | . 1   | ı     | ı     | 1     | -     | ı     | 1     | 1     |
| 15,60                                       | ı     | i     | 1     | 1     | i     | 1     |       |       |       |       |       |       | Ī     |       | 21 04 | 33 40 | 33 56 |
| 16,00                                       | 1     | 1     | 1     | 1     | 1     | 1     | 1     | 1     | ı     | 1     | 1     | 1     | ı     | I     | £0,10 | 0,00  | 200   |
| 16,80                                       | ı     | 1     | I     | 1     | 1     | ı     | 1     | 1     | 1     | ı     | ı     | ı     | ı     | 1     | !     | 1     | l     |
| - 1                                         |       | -     |       |       |       |       | 1     |       |       |       |       |       |       |       |       |       |       |
|                                             |       |       |       |       |       |       |       | _     |       |       |       |       |       | 1     |       | 100   |       |

|                                               | 4,00 |      | l    | 1    | 1     | 1     | I     | 1     | ı     | ١.    | 1     | ı     | 21,54 | 23,14 | 24,34 | 25,94 | 27,54 | 29,14 | 31,14 |           |
|-----------------------------------------------|------|------|------|------|-------|-------|-------|-------|-------|-------|-------|-------|-------|-------|-------|-------|-------|-------|-------|-----------|
|                                               | 3,80 |      | l    | 1    | 1     | 1     | i     | ı     | 1     | l     | 1     | i     | i     | ı     | ı     | 1     | 1     | 1     | 1     |           |
|                                               | 3,75 |      | 1    | I    |       | ı     | 1     | l     | 1     | 1     | i     | 1     | 20,14 | 1     | 22,77 | 1     | 25,77 | Į     | 29,14 |           |
|                                               | 3,55 | 4    | I    | ŀ    | 1 1   | l     | l     | ı     | -     | 1     | 17,20 | 18,27 | 19,33 | 20,75 | 21,82 | 23,24 | 24,66 | 26,08 | 27,85 |           |
|                                               | 3,53 | -    | l    |      | ı     | - 1   | ı     | ı     | ľ     | 1     | ı     | 1     | l     | 1     | ı     | 1     | ı     | i     | ı     |           |
| α, MM                                         | 3,35 |      | ı    |      |       | 1     | ı     | ı     | 1     | 1     | 16,20 | -1    | 18,21 | ļ     | 20,56 | !     | 23,24 | ı     | 26,35 |           |
| тороне                                        | 3,28 |      | 1    | 1 1  | 1     | l     | į     | -1    | 1     | 'n    | 1     | l     | ı     | 1     | 1     | ı     | 1     | 1     | 1     |           |
| Номинальный размер провосски по стороне а, мм | 3,15 |      | I    | 1 1  | 1     | 1     | I     | 1     | 13,63 | 14,41 | 15,20 | 16,15 | 17,09 | 18,35 | 19,30 | 20,56 | 21,82 | 23,08 | 24,65 |           |
| провол                                        | 3,05 |      | l    | 1 1  | , 1   | Į     | 1     | ı     | 1     | 1     | I     | ļ     | ı     | 1     | 1     | ı     | I     | 1     | į.    | _         |
| размер                                        | 3,00 |      | l    |      | 1     | ı     | ļ     | i     | 12,95 | ]     | 14,45 | ı     | 16,25 | 1     | 18,35 | ı     | 20,75 | 1     | 23,45 | -         |
| альный                                        | 2,83 |      | ı    |      | _     | l     | -1    | ١     | l     | 1     | l     | 1     | l     | 1     | -     | 1     | 1     | ı     | I     | -         |
| Номин                                         | 2,80 |      | 1    | !    | I     | 1     | 10,65 | 11,35 | 12,05 | 12,75 | 13,45 | 14,29 | 15,13 | 16,25 | 17,09 | 18,21 | 19,33 | 20,45 | 21,85 |           |
| 3.0                                           | 2,65 |      |      |      | 1     | 1     | 10,05 | 1     | 11,38 | I     | 12,70 | 1     | 14,29 | 1     | 16,15 | 1     | 18,27 | 1     | 20,65 |           |
|                                               | 2,63 |      | 1    | 1    | 1     | 1     | I     | 1     | 1     | ı     | 1     | ı     | 1     | 1     | ı     | 1     | ı     | [     | ı     | market in |
|                                               | 2,50 | ı    | Į    | ı    | 8,326 | 8,826 | 9,451 | 10,08 | 02,01 | 11,33 | 11,95 | 12,70 | 13,45 | 14,45 | 15,20 | 16,20 | 17,20 | 18,20 | 19,45 |           |
|                                               | 2,44 | ı    | I    | ı    | 1     | 1     | 1     | 1     | ı     | 1     | I     | ı     | I     | I     | 1     | [     | 1     | 1     | ī     |           |
|                                               | 2,36 | 1    | _1   | I    | 7,829 | ı     | 8,891 | 1     | 10,07 | I     | 11,25 | 1     | 12,67 | ı     | 14,32 | 1     | 16,21 | Ī     | 18,33 |           |
|                                               | 2,26 | 1    | ı    | 1    | 1     | 1     | 1     | l     | ı     | 1     | 1     | ı     | I     | 1     | l     | ı     | 1     | ı     | Ī     | _         |
| йльный<br>-оводп<br>-отэ о<br>мм              |      | 3,00 | 3,15 | 3,35 | 3,55  | 3,75  | 4,00  | 4,25  | 4,50  | 4,75  | 00,5  | 2,30  | 2,60  | 00,0  | 6,30  | 6,70  | 7,10  | 7,50  | 8,00  |           |

|                                               | 4,00 | 33,14 | 35,14 | 37,14 | 39,14 | 41,54 | 43,94 | 46,34 | 49,14 | 51,94 | 55,14 | 59,14 | I     | 63,14 | ı     | 1     | ı     | 79,52∉ | 1     |     |
|-----------------------------------------------|------|-------|-------|-------|-------|-------|-------|-------|-------|-------|-------|-------|-------|-------|-------|-------|-------|--------|-------|-----|
| Номинальный размер проволоки по стороне а, мм | 3,80 | ı     | ı     | -     | ı     | ı     | ı     | I     | 1     | I     | 1     | l     | ı     | 1     | 63,36 | 67,92 | 73,62 | 1      | 83,12 |     |
|                                               | 3,75 | I     | 32,89 | ì     | 36,64 | 1     | 41,14 | ı     | 46,02 | 1     | 51,95 | 1     | 1     | 59,14 | ı     | ı     | ı     | 1      | 1     |     |
|                                               | 3,55 | 29,63 | 31,40 | 33,18 | 34,95 | 37,08 | 39,21 | 41,34 | 43,83 | 46,31 | 49,15 | 52,70 | ı     | 56,25 | 1     | 1     | 1     | 1      | 1     |     |
|                                               | 3,53 | 1     | ı     | 1     | l     |       | l     | I     | I     | l     | ī     | Į     | 1     | ı     | 58,82 | 90,89 | 68,35 | i      | 77,18 |     |
|                                               | 3,37 | Ť     | 29,60 | ı     | 32,95 | 1     | 36,97 | 1     | 41,33 | 1     | 46,35 | 1     | l     | 53,05 | 1     | ı     | r     | ι      | ţ     |     |
|                                               | 3,28 | 1     | 1     | 1     | ı     | ı     | ı     | 1     | 1     | I     | 1     | 1     | 1     | ı     | 54,62 | 58,56 | 63,48 | 1      | 71,18 |     |
|                                               | 3,15 | 26,23 | 27,80 | 29,38 | 30,95 | 32,84 | 34,73 | 36,62 | 38,83 | 41,03 | 43,55 | 46,70 | 1     | 49,85 | Ì     | ı     | i     | ŀ      | 1     |     |
|                                               | 3,05 | ı     | 1     | ı     | ı     | i     | 1     | ı     | ı     | ı     | ŧ     | 1     | ı     | ı     | 50,70 | 54,42 | 29,00 | ı      | 66,62 |     |
|                                               | 3,00 | 1     | 26,45 | ı     | 29,45 | ı     | 33,05 | ı     | 36,95 | ı     | 41,45 | i     | ı     | 47,45 | ı     | 1     | ı     | 59,52  | I     |     |
|                                               | 2,83 | 1     | ı     | 1     | 1     | ı     | ı     | ı     | L     | l     | I     | 1     | ı     | ı     | 47,06 | 50,46 | 54,70 | 1      | 61,78 |     |
|                                               | 2,80 | 23,25 | 24,65 | 26,05 | 27,45 | 29,13 | 30,81 | 32,49 | ı     | 36,41 | 38,65 | 41,45 | l     | 44,25 | l     | 1     | 1     | 1      | l     | _   |
|                                               | 2,65 | -1    | 23,30 | 1     | 25,95 | ı     | 29,13 | ı     | 32,58 | ı     | 36,55 | 1     | ı     | 41,85 | 1     | I     | ŧ     | ı      | l     | _   |
|                                               | 2,63 | - 1   | ı     | 1     | 1     | 1     | 1     | ı     | 1     | 1     | 1     | ķ     | ı     | ı     | 43,70 | 46,86 | 50,80 | 52,12  | 1     |     |
|                                               | 2,50 | 20,70 | 21,95 | 23,20 | 24,45 | 25,95 | 27,45 | 28,95 | 30,70 | 32,45 | 34,45 | 36,95 | 1     | 1     | ı     | 1     | ı     | 49,52  | ı     |     |
|                                               | 2,44 | 1     | 1     | l     | 1     | ı     | i     | 1     | ı     | ı     | l     | ı     | 1     | ı     | 40,51 | 43,44 | 47,10 | 1      | 1     |     |
|                                               | 2,36 | 1     | 20,69 | 1     | 23,05 | 1     | 25,88 | l     | 28,95 | 1     | 32,49 | i     | 1     | ı     | ١     | ı     | 1     | ı      | ı     |     |
|                                               | 2,26 | ı     | ı     | I     | ı     | 1     | ı     | ı     | ļ     | t     | ı     | ı     | 1     | 1     | 37,48 | 40,20 | 43,60 | 1      | 1     | U   |
| роне р° мм размер прово-                      |      | 8,50  | 00'6  | 9,50  | 10,00 | 10,60 | 11,20 | 11,80 | 12,50 | 13,20 | 14,00 | 15,00 | 15,60 | 16,00 | 16,80 | 18,00 | 19,50 | 20,00  | 22,00 | 121 |

| וימס איי דוד ב                                | 5,60                       |      | ı    | J  | 1    | 1    | 1      | 1     | ı     | I     | 43,94 | 46,74 | 49,54 | 52,34 | 55,14 | 58,50 | 61,86 | 65,22 | 69,14 | 73,06 | 77,54 | 83,14 | 1     | 1     | 91.54 | 98,14 | 106,39 | 1     | 120,14   |
|-----------------------------------------------|----------------------------|------|------|----|------|------|--------|-------|-------|-------|-------|-------|-------|-------|-------|-------|-------|-------|-------|-------|-------|-------|-------|-------|-------|-------|--------|-------|----------|
|                                               | 5,30                       |      |      | 1  | ı    | 1    | 1      | 1     | I     | ١     | 41,54 | 1     | 46,84 | Ī     | 52,14 | 1     | 58,50 | 1     | 62,39 | ı     | 73,34 | 1     | ı     | 83.94 | ı     | ı     | ı      | 1     | 1        |
|                                               | 5,10                       |      |      | l  | 1    | ľ    | 1      | 1     | 1     | 1     | ı     | l     | 1     | 1     | 1     | ı     | ı     | ι     | 1     | I     | 1     | ı     | 1     | ı     | 84.82 | 90.94 | 98,59  | 1     | - 111,34 |
| Номинальный размер преволоки по стороне а, мм | 5,00                       |      |      | I  | 1    | L    | 1      | 1     | 34,64 | 36,64 | 39,24 | 41,64 | 44,14 | 46,64 | 49,14 | 52,14 | 55,14 | 58,14 | 61,64 | 65,14 | 69,14 | 74,14 | ı     | 79.14 |       | ı     | 1      | 1     | 1        |
| преволоки по                                  | 4,75                       | 1    |      | ı  | 1    | 1    | 1      | 1     | 32,87 | 1     | 37,14 | ı     | 41,89 | 1     | 46,64 | 1     | 52,34 | ı     | 58,52 | l     | 65,64 | i     | i     | 75.14 | 1     | Į     | 1      | 1     | 1        |
| ный размер                                    | 4,70                       |      |      | 1  | ı    | 1    | 1      | 1     | -     | 1     | 1     | 1     | 1     | l     | 1     | 1     | 1     | 1     | 1     | 1     | 1     | ı     | I     | ŀ     | 78,10 | 83,74 | 90,79  | J     | 1        |
| Номиналь                                      | 4,50                       | 1    |      |    | !    | 1    | 27',49 | 29,29 | 31,09 | 32,89 | 35,14 | 37,39 | 39,64 | 41,89 | 44,14 | 46,84 | 49,54 | 52,24 | 55,39 | 58,54 | 62,14 | 66,84 | l     | 71,14 | 1     | ì     | ı      | i     | ı        |
|                                               | 4,40                       | ı    | J    |    | ı    | ı    | 1      | l     | l     | 1     | ı     | 1     | 1     | i     | i     | ı     | 1     | 1     | ı     | 1     | ı     | i     | 1     | i     | 73,06 | 78,34 | 84,94  | 1     | 95,94    |
|                                               | 4,25                       | ı    | 1    |    | I    | 1    | 25,92  | 1     | 29,32 | l     | 33,14 | ı     | 37,39 | ı     | 41,64 | ı     | 46,74 | 1     | 52,27 | ı     | 58,64 | 1     | ı     | 67,14 | ı     | 1     | 1      | ı     | ı        |
|                                               | 4,10                       | 1    | . !  |    | 1    | 1    | 1      | ı     | P     | l     | 1     | l     | ı     | L     | l     | 1     | l     | ı     | ı     | 1     | 1     | 1     | ı     | 1     | 68,02 | 72,94 | 60,67  | I,    | 89,34    |
| Номинальный                                   | размер по<br>стороне b, мм | 5,00 | 5,30 | 00 | 00,6 | 00,0 | 6,30   | 6,70  | 7,10  | 7,50  | 8,00  | 8,50  | 00.6  | 9,50  | 10,00 | 10,60 | 11,20 | 11,80 | 12,50 | 13,20 | 14,00 | 15,00 | 15,60 | 16,00 | 16,80 | 18,00 | 19,50  | 20,00 | 22,00    |

формуляр

- заводской № расчета материалов и изделий для ремонта трансформатора типа —

с обмотками из-

| Примечания                  | $G_{\mathbf{M}}$ — масса голого металла провода из расчетной записки $\mathbb{N}^{b}$ —; $\rho$ —плотность, кт/ $\mathbb{M}^{s}$ ; $l$ — длина, $\mathbb{M}M$ ; $s$ — сечение, $\mathbb{M}M^{s}$ ; $n$ — количество деталей или число слоев изоляции; $D$ — диаметр, $\mathbb{M}M$ ; $b$ — ширина, $\mathbb{M}M$ ; $d$ — толицина, $\mathbb{M}M$ ; $d$ — толицина, $\mathbb{M}M$ ; $m$ — число параллелей; $D_{\mathbf{c}\mathbf{p}}$ — средний диаметр, $\mathbb{M}M$ , $D_{\mathbf{c}\mathbf{p}}$ — $D_{$ | метр, мм; $D_b$ — внутренний диаметр, мм; $H$ — высота, мм; $A$ — длина листа, мм; $B$ — ширина листа, мм; $N$ — число листов; $n_1$ — количество изделий из одного листа; $\Pi_P$ — периметр, ми; $k$ — коэффициент перекрытия при изолировании встык $k$ = 1; полуперекрытие $k$ = 2; $\delta$ — толиция | на сторону, мм; <i>V</i> — объем, м <sup>3</sup>                                                                                |
|-----------------------------|------------------------------------------------------------------------------------------------------------------------------------------------------------------------------------------------------------------------------------------------------------------------------------------------------------------------------------------------------------------------------------------------------------------------------------------------------------------------------------------------------------------------------------------------------------------------------------------------------------------------------------------------------------------------------------------------------------------------------------------------------------------------------------------------------------------------------------------------------------------------------------------------------------------------------------------------------------------------------------------------------------------------------------------------------------------------------------------------------------------------------------------------------------------------------------------------------------------------------------------------------------------------------------------------------------------------------------------------------------------------------------------------------------------------------------------------------------------------------------------------------------------------------------------------------------------------------------------------------------------------------------------------------------------------------------------------------------------------------------------------------------------------------------------------------------------------------------------------------------------------------------------------------------------------------------------------------------------------------------------------------------------------------------------------------------------------------------------------------------------------------------------------------------------------------------------------------------------------------------------------------------------------------------------------------------------------------------------------------------------------------------------------------------------------------------------------------------------------------------------------------------------------------------------------------------------------------------------------------------------------------------------------------------------------------------------------------------------------------------------------------------------------------------------------------------------------------------------------------------------------------------------------------------------------------------------------------------------------------------------------------------------------------------------------------------------------------------------------------------------------------------------------------------------------------------------------------------------------------------------------------------------------------------------------------------------------------------------------------------------------------------------------------------------------------------------|------------------------------------------------------------------------------------------------------------------------------------------------------------------------------------------------------------------------------------------------------------------------------------------------------------|---------------------------------------------------------------------------------------------------------------------------------|
| Нормы и формулы для расчета | $G_{\rm np}=1,1$ $k_1G_{\rm m}$ , где $k_1$ —коэффи- циент, учитывающий увеличение мас- сы за счет изоляции; $k_1$ =0,45÷1,27 при толщине изоляции 0,5—3,0 мм; для промежуточных значений толщин- ны изоляции $k_1$ определяется интер-                                                                                                                                                                                                                                                                                                                                                                                                                                                                                                                                                                                                                                                                                                                                                                                                                                                                                                                                                                                                                                                                                                                                                                                                                                                                                                                                                                                                                                                                                                                                                                                                                                                                                                                                                                                                                                                                                                                                                                                                                                                                                                                                                                                                                                                                                                                                                                                                                                                                                                                                                                                                                                                                                                                                                                                                                                                                                                                                                                                                                                                                                                                                                                                                  | $\begin{array}{l} G = 1, 1 \ell b^2 n 10^{-6} \\ G = 1, 1 \ell b^2 b n 10^{-6} \\ G = A B^2 N 10^{-6} \\ N = n/n_1; \ n_1 = A B/D_{\rm H} \\ G = 1, 54 \ell b^2 n 10^{-6} \\ G = 1, 4 A B^2 N 10^{-6} \end{array}$                                                                                         | $G = 0, 1 \frac{G_{\rm M}}{s} \Pi pkn \delta$                                                                                   |
| Матерналы и их назначение   | Обмоточный провод, кг:<br>гольй медный, р = 8900 кг/м³;<br>марки ПБ, р = 9200 кг/м³;<br>марки ПБД, р = 9200 кг/м³;<br>голый алюминиевый,<br>р = 2700 кг/м³;<br>марки АПБ, р = 3100 кг/м³;<br>марки АПБД, р = 3000 кг/м³                                                                                                                                                                                                                                                                                                                                                                                                                                                                                                                                                                                                                                                                                                                                                                                                                                                                                                                                                                                                                                                                                                                                                                                                                                                                                                                                                                                                                                                                                                                                                                                                                                                                                                                                                                                                                                                                                                                                                                                                                                                                                                                                                                                                                                                                                                                                                                                                                                                                                                                                                                                                                                                                                                                                                                                                                                                                                                                                                                                                                                                                                                                                                                                                                  | Электрокартон для прокладок, кг<br>То же для реек, кг<br>То же для шайб и колец, кг<br>Гетиакс листовой для деталей, кг:<br>р == 1400 кг/м³;<br>го же для шайб и колец, кг                                                                                                                                 | Бумага телефонная или кабельная для изолиро-ания провода, кг. телефоиная бумага, р==800 кг/м³; кабельная бумага, р == 700 кг/м³ |

| i poolimenue muoji. 14-0 | Примечания                  |                                                                                                                                               | <ul> <li>1 — длина изолируемого участка, м: N — число изолируемых участков- b — ширина изолирующего мате; риала, мм</li> </ul>                                                                                                | <ul> <li>а — высота провода, мм; b — шири- на провода, мм; п — число парал- лелей по высоте; т — число паралле- лей по ширине; N — количество паек; l — длина пропанваемого участка, мм; д — толщина заливаемого слоя припоя, мм; D — диаметр провода, мм</li> </ul> | Сечение провода, мм² а, <b>г</b> 2—5 5—10 10—25 25—50 25—50 50—75 75—100 3,810                                                                                                |
|--------------------------|-----------------------------|-----------------------------------------------------------------------------------------------------------------------------------------------|-------------------------------------------------------------------------------------------------------------------------------------------------------------------------------------------------------------------------------|----------------------------------------------------------------------------------------------------------------------------------------------------------------------------------------------------------------------------------------------------------------------|-------------------------------------------------------------------------------------------------------------------------------------------------------------------------------|
|                          | Нормы и формулы для расчета | $G = 4,85/D_{cp} \delta n 10 - \epsilon$<br>$V = 1,5/b \delta n 10 - \epsilon$<br>$V = 1,8 d^2 l n 10 - \epsilon$                             | $L = 1, 1/\Gamma pknN/b$<br>$L = 0, 165 I \Gamma pknN/b$                                                                                                                                                                      | G = 0.34 (a + b) N<br>G = 0.54dN<br>G = 0.81 (bn + am) N<br>G = 0.81d (n + m) N<br>$G = 10.21b\delta N 10^{-5}$                                                                                                                                                      | $G=rac{lpha}{9800} m b N$                                                                                                                                                    |
|                          | Материалы и их назначение   | Трубки бумажно-бакелитовые, кг; $\rho=1400~{\rm kr/m^3}$ Дерево для деталей крепления отводов и схемы, а также для расклиновки обмоток, $m^3$ | Лакоткань или хлопчатобумажная, лента для изолирования и закрепления изоляции отводов, и Лакоткань или хлопчатобумажная лента для изолирования и закрепления изоляции концов и переходов (длина конца или перехода 150 мм), м | Припой ПОС-40 для лужения, кг; $\rho = 9300 \text{ кг/м}^3$ То же для пайки с хомутиком (длина участка 45 мм), кг Медно-фосфорный припой для пайки внахлестку, кг; $\rho = 8500 \text{ кг/м}^3$                                                                      | Серебряные припои для пайки обмоточного провода при намотке обмоток, кг. припой ПСр-70, р = 9800 кг/м³ пПСр-45, р = 9300 кг/м³ пПСр-25, р = 8300 кг/м³ пСр-15, р = 8300 кг/м³ |

| Матерналы и их назначение                                                                  | Нормы и фэрмулы для расчета                                 | Примечания                                                                                                                                                                                                                                                             |
|--------------------------------------------------------------------------------------------|-------------------------------------------------------------|------------------------------------------------------------------------------------------------------------------------------------------------------------------------------------------------------------------------------------------------------------------------|
| Резина маслоупорная для уплотнения<br>крышки, кг; р == 1200 кг/м³<br>То же для фланцев, кг | $G=1,32\Pi pb\delta 10^{-3}$ $G=4,15D_{cp}b\delta N10^{-3}$ | $\Pi_{\rm p}$ — периметр бака, мм; $b$ — ширина полки, мм; $\delta$ — толщина резицы, мм; $N$ — число фланцев; $D_{\rm cp}$ — средвий диаметр фланца, мм                                                                                                               |
| Лак глифталевый ГФ-95 для пропит-<br>ки обмоток, кг                                        | $G=k_{ m np}G_{ m np}$                                      | $G_{ m np}$ — масса $\frac{3}{4}$ изолированного провола, $k_{ m np}$ — коэффициент пропитки провода, равный 0,07 для трансформаторов мощностью до 1000 кВ·A и 0,05 — свыше 1000 кВ·A                                                                                  |
| Лак КФ-965 для изолирования пластин активной стали магнитопровода, кг                      | $G=k_{\mathrm{K}}\mathrm{p}k_{\mathrm{I}}G\mathrm{cr}$      | Сст — масса стали, подлежащей лакировке, кг; ккр — коэффициент кратности лакировки, равный: 1,00— при однократной; 1,06 — при двукратной и 1,09 — при трежкратной лакировке; крт — коэффициент, равный 0,018 при толшине пластин 0,35 мм и 0,0135 — при толщине 0,5 мм |

Таблица 14-6 Классификация силовых трансфэрматоров общего назначения по габаритам

| Габарит | Диапазон мощностей, кВ-А | Класс напряжения, кВ |
|---------|--------------------------|----------------------|
| 1       | До 100                   | До 10 включительно   |
| II      | Свыше 100 до 630         | До 35 включительно   |
| III     | " 630 до 6300            | То же                |
| IV      | " 6300 до 80 000         | 35                   |
| V       | До 32 000                | 110, 150 и 220       |
| VI      | Свыше 32 000 до 80 000   | До 330 включительн   |
| VII     | " 80 000 до 200 000      | То же                |
| VIII    | Свыше 200 000            | 27 27                |
| VIII    | Независимо от мощности   | Свыше 330            |

## **LPZIO**XEIZZ

**LPZZOXETZE** 

## СПРАВОЧНЫЕ ДАННЫЕ ПО СИЛОВЫМ ТРАНСФОРМАТОРАМ ОБЩЕГО И СПЕЦИАЛЬНОГО НАЗНАЧЕНИЯ

Таблица П1-1 Технические, данные трехфазных масдяных двухобмоточных трансформаторов общего назначения

| ×                                                                                                                                                                                                                                                                                                                                                                                                                                                                                                                                                                                                                                                                                                                                                                                                                                                                                                                                                                                                                                                                                                                                                                                                                                                                                                                                                                                                                                                                                                                                                                                                                                                                                                                                                                                                                                                                                                                                                                                                                                                                                                                              | 1                                | Номинальное в    | Номинальное напряжение, кВ  |                                      |                                             |              | Потери, кВт                             | кВт               |
|--------------------------------------------------------------------------------------------------------------------------------------------------------------------------------------------------------------------------------------------------------------------------------------------------------------------------------------------------------------------------------------------------------------------------------------------------------------------------------------------------------------------------------------------------------------------------------------------------------------------------------------------------------------------------------------------------------------------------------------------------------------------------------------------------------------------------------------------------------------------------------------------------------------------------------------------------------------------------------------------------------------------------------------------------------------------------------------------------------------------------------------------------------------------------------------------------------------------------------------------------------------------------------------------------------------------------------------------------------------------------------------------------------------------------------------------------------------------------------------------------------------------------------------------------------------------------------------------------------------------------------------------------------------------------------------------------------------------------------------------------------------------------------------------------------------------------------------------------------------------------------------------------------------------------------------------------------------------------------------------------------------------------------------------------------------------------------------------------------------------------------|----------------------------------|------------------|-----------------------------|--------------------------------------|---------------------------------------------|--------------|-----------------------------------------|-------------------|
| Тип трансформатора                                                                                                                                                                                                                                                                                                                                                                                                                                                                                                                                                                                                                                                                                                                                                                                                                                                                                                                                                                                                                                                                                                                                                                                                                                                                                                                                                                                                                                                                                                                                                                                                                                                                                                                                                                                                                                                                                                                                                                                                                                                                                                             | Номинальная<br>мощность,<br>МВ.А | ВН               | НН                          | Схемз и группа<br>соединений обмоток | Напряжение Ток $l_{\mathbf{X},\mathbf{X}'}$ | Tok 'x.x'    | жолостого<br>жода                       | жоротко <b>го</b> |
|                                                                                                                                                                                                                                                                                                                                                                                                                                                                                                                                                                                                                                                                                                                                                                                                                                                                                                                                                                                                                                                                                                                                                                                                                                                                                                                                                                                                                                                                                                                                                                                                                                                                                                                                                                                                                                                                                                                                                                                                                                                                                                                                |                                  | A.               | А. Класс напряжения 10 кВ   | ния 10 кВ                            |                                             |              |                                         |                   |
| TM-1000/10                                                                                                                                                                                                                                                                                                                                                                                                                                                                                                                                                                                                                                                                                                                                                                                                                                                                                                                                                                                                                                                                                                                                                                                                                                                                                                                                                                                                                                                                                                                                                                                                                                                                                                                                                                                                                                                                                                                                                                                                                                                                                                                     | 1,0                              | 6,3; 10,5        | 0,4; 0,69;                  | Y/Y <sub>0</sub> -0; Y/A-11          | 5,5                                         | 5,0          | 3,3-4,6 12,2                            | 12,2              |
| TM-1600/10                                                                                                                                                                                                                                                                                                                                                                                                                                                                                                                                                                                                                                                                                                                                                                                                                                                                                                                                                                                                                                                                                                                                                                                                                                                                                                                                                                                                                                                                                                                                                                                                                                                                                                                                                                                                                                                                                                                                                                                                                                                                                                                     | 1,6                              | 6,3; 10,5        | 3, 15; 0, 3<br>0, 4; 0, 69; | То же                                | 5,5                                         | 4,2          | 4,5-5,7                                 | 18,0              |
| TM-2500/10<br>TM-4000/10                                                                                                                                                                                                                                                                                                                                                                                                                                                                                                                                                                                                                                                                                                                                                                                                                                                                                                                                                                                                                                                                                                                                                                                                                                                                                                                                                                                                                                                                                                                                                                                                                                                                                                                                                                                                                                                                                                                                                                                                                                                                                                       | 2,7                              | 100.00<br>100.00 | 3, 15; 6,3<br>3, 15; 6,3    | Y/∆-11<br>То же                      | က လ<br>က က<br>က                             | 0,00<br>0,00 | 6,2—7,4                                 | 25,0<br>33,5      |
| 1441-0200/10                                                                                                                                                                                                                                                                                                                                                                                                                                                                                                                                                                                                                                                                                                                                                                                                                                                                                                                                                                                                                                                                                                                                                                                                                                                                                                                                                                                                                                                                                                                                                                                                                                                                                                                                                                                                                                                                                                                                                                                                                                                                                                                   | 6,3                              | 10,5             | 3,15; 6,3                   | R ·                                  | c , o                                       | 0,0          | 12,0—10                                 | 40,0              |
| 100 OCC - 100 OC | -                                | 0                | Б. Класс напря              | Класс напряжения 35 кВ               | ш<br>С                                      | u<br>u       | n 0 0 0 0 0 0 0 0 0 0 0 0 0 0 0 0 0 0 0 | 10 0              |
| LM-1000/35                                                                                                                                                                                                                                                                                                                                                                                                                                                                                                                                                                                                                                                                                                                                                                                                                                                                                                                                                                                                                                                                                                                                                                                                                                                                                                                                                                                                                                                                                                                                                                                                                                                                                                                                                                                                                                                                                                                                                                                                                                                                                                                     | 1,0                              | C6, UZ           | 3, 15, 6, 3;                | Y/Λ-0;<br>Y/Δ-11                     | 0,0                                         | 0,0          | 0,1—0,0                                 | 7671              |
| TM-1000/35                                                                                                                                                                                                                                                                                                                                                                                                                                                                                                                                                                                                                                                                                                                                                                                                                                                                                                                                                                                                                                                                                                                                                                                                                                                                                                                                                                                                                                                                                                                                                                                                                                                                                                                                                                                                                                                                                                                                                                                                                                                                                                                     | 1,0                              |                  | c'nı }                      | То же                                | 6,5                                         | 1,5          | 2,75                                    | 12,2              |

437

Продолжение табл. ПІ-І

| -                       |       |                  |            | 4                                                |         |                   |       | wironod 11 | i poodantende maon. 111-1 | A. 111-1 |
|-------------------------|-------|------------------|------------|--------------------------------------------------|---------|-------------------|-------|------------|---------------------------|----------|
|                         |       |                  |            | Масса, т                                         |         |                   |       | Разме      | Размеры, м                |          |
|                         |       |                  | -          |                                                  | Ma      | масла             |       |            | BBIC                      | высота   |
| товитель активной части | части | per <sup>a</sup> | транспорт- | полная                                           | рабочая | транспорт-<br>ная | длина | ширина     | полная                    | до       |
|                         |       | 1                | A. K       | А. К гасс напряжения 10 кВ                       | ояжения | 10 KB             |       |            | À                         | - !      |
| 3T3 2,0                 | 2,0   |                  |            | 4,69                                             | 1,54    | ı                 | 2,65  | 1,66       | 2,58                      | 1,60     |
| 2,9                     | 2,9   |                  | 5.4        | 6,5                                              | 2,30    | 2,25              | 2,27  | 2,27       | 3,12                      | 2,12     |
| 3,83                    | 3,83  |                  | 7,7        | 7,79                                             | 2,27    | 2,22              | 3,34  | 2,12       | 3,22                      | 2,12     |
| ر<br>م<br>م<br>م        | 5,54  |                  | 10,70      | 13,09                                            | 4,10    | 2,65              | 3,90  | 3,60       | 3,56                      | 2,40     |
| 8,05                    | 8,05  |                  | 12,15      | 16,90                                            | 4,91    | 2,86              | 4,23  | 3,63       | 3,79                      | 2,56     |
|                         |       |                  |            |                                                  |         |                   |       |            |                           |          |
| 3T3   2,40              | 2,40  |                  | Б. Кл<br>— | Б. Класс напряжения 35 кВ<br>—   5,64   1,95   - | 1,95    | 5 KB              | 2,57  | 1,60       | 2,84                      | 1,85     |
| 4T3 2,37                | 2,37  |                  |            | 5,43                                             | 2,03    | 1                 | 2,60  | 1,50       | 2,85                      | 1        |
|                         |       |                  |            |                                                  |         |                   |       |            |                           |          |

Продолжение тебл. ПІ-1

|                                                                                                        | 1                                      | Номинальное напряжение,                                                                                                                                                                                                                                                                                                                                                                                                                                                                                                                                                                                                                                                                                                      | напряжение, кВ                                                                                        |                                                |                                               |                                                        | Потери, кВт                                    | кВт                              |
|--------------------------------------------------------------------------------------------------------|----------------------------------------|------------------------------------------------------------------------------------------------------------------------------------------------------------------------------------------------------------------------------------------------------------------------------------------------------------------------------------------------------------------------------------------------------------------------------------------------------------------------------------------------------------------------------------------------------------------------------------------------------------------------------------------------------------------------------------------------------------------------------|-------------------------------------------------------------------------------------------------------|------------------------------------------------|-----------------------------------------------|--------------------------------------------------------|------------------------------------------------|----------------------------------|
| Тап трансформатора                                                                                     | Номинальная<br>мощность,<br>А.ЯМ       | ВН                                                                                                                                                                                                                                                                                                                                                                                                                                                                                                                                                                                                                                                                                                                           | нн                                                                                                    | Схема и группа<br>соединений обмоток           | Напряжение<br><sup>и</sup> к.з <sup>,</sup> % | Ток<br>'х.х' %                                         | холостого                                      | короткого<br>замыкания           |
| TM-1600/35<br>TM-1600/35<br>TM-1600/35<br>TM-2500/35                                                   | 2,10                                   | 20; 35                                                                                                                                                                                                                                                                                                                                                                                                                                                                                                                                                                                                                                                                                                                       | 0,69; 3,15;                                                                                           | Y/Y <sub>0</sub> -0; Y/Δ-11<br>To жe<br>Y/Δ-11 | 6,00<br>6,00<br>7,00<br>7,00                  | 2,1,1                                                  | 5,0—6,3<br>3,65<br>3,65<br>5,1                 | 18,0<br>18,0<br>25,0             |
| TM-2500/35<br>TM-4000/35                                                                               | 2,5                                    |                                                                                                                                                                                                                                                                                                                                                                                                                                                                                                                                                                                                                                                                                                                              | 3,15; 6,3;                                                                                            | To же Y <sub>0</sub> /Δ-11                     | 6,5                                           | 1,1                                                    | 5,1                                            | 25,0<br>33,5                     |
| TM-4000/35<br>TM-4000/35<br>TM-6300/35                                                                 | 6,3                                    |                                                                                                                                                                                                                                                                                                                                                                                                                                                                                                                                                                                                                                                                                                                              | 10,5                                                                                                  |                                                |                                               | 0,10                                                   | 9,4                                            | 33,5<br>34,8<br>46,5             |
| TM-6300/35<br>TM-6300/35                                                                               | 6,3                                    |                                                                                                                                                                                                                                                                                                                                                                                                                                                                                                                                                                                                                                                                                                                              |                                                                                                       |                                                |                                               | 0,9                                                    |                                                | 46,5                             |
| ТД-10000/35<br>ТД-16000/35<br>ТД-16000/35<br>ТД-16000/35<br>ТД-40000/35<br>ТД-40000/35<br>ТДL-80000/35 | 01000000000000000000000000000000000000 | တို့ လို့ လို့ လို့ လို့<br>လို့ လို့ လို့ လို့ လို့ လို့ လို့<br>လို့ လို့ လို့ လို့ လို့ လို့<br>လို့ လို့ လို့ လို့ လို့ လို့ လို့<br>လို့ လို့ လို့ လို့ လို့ လို့ လို့ လို့ | 66,3,3; 10,0<br>66,3,3; 10,0<br>66,3,3; 10,0<br>7,10,0<br>10,0<br>10,0<br>10,0<br>10,0<br>10,0<br>10, |                                                | 0,000,00,00,00,00,00,00,00,00,00,00,00,       | 000440-4<br>8 8 10 10 10 10 10 10 10 10 10 10 10 10 10 | 14,5<br>14,5<br>33—42<br>33—42<br>33÷39<br>129 | 657<br>657<br>95<br>95<br>359, & |
|                                                                                                        |                                        |                                                                                                                                                                                                                                                                                                                                                                                                                                                                                                                                                                                                                                                                                                                              |                                                                                                       |                                                |                                               | -                                                      |                                                |                                  |

Продолжение табл. ПІ-г

|                   |             |                   |            | Macca, T |         |                   |       | Размеры, м | I, M    |                   |
|-------------------|-------------|-------------------|------------|----------|---------|-------------------|-------|------------|---------|-------------------|
| E                 | Завод-изго- |                   |            |          | Ma      | масла             |       |            | Bhlcora | ora               |
| ил трансформатора | товитель    | активной<br>части | транспорт- | полная   | рабочая | транспорт-<br>ная | длина | ширина     | полная  | ,<br>до<br>крышки |
| TM-1600/35        | 3T3         | 3,23              | 6,98       | 7,08     | 2,43    | 2,38              | 2,27  | 2,27       | 3,12    | 2,12              |
| TM-1600/35        | HT3         | 3,08              | I          | 6,95     | 2,23    | 2,23              | 2,62  | 1,58       | 3,17    | 2,15              |
| TM-1600/35        | B3CT        | 3,30              | 7,10       | 7,10     | 2,43    | 2,43              | 2,24  | 1,63       | 3,12    | 2,12              |
| TM-2500/35        | 3T3         | 4,43              | 8,80       | 8,95     | 2,48    | 2,43              | 3,53  | 2,17       | 3,39    | 2,24              |
| TM-2500/35        | 4T3         | 4,20              | 7,18       | 9,60     | 2,70    | 1,80              | 3,42  | 2,12       | 3,36    | 2,25              |
| TM-4000/35        | 3T3         | 5,54              | 9,70       | 13,99    | 4,10    | 2,65              | 3,90  | 3,60       | 3,56    | 2,40              |
| TM-4000/35        | HT3         | 5,36              | 9,85       | 13,40    | 4,18    | 2,73              | 3,85  | 3,60       | 3,74    | 2,40              |
| TM-4000/35        | B3CT        | 5,64              | 11,70      | 13,10    | 4,10    | 2,70              | 3,90  | 3,60       | 3,60    | 2,40              |
| TM-6300/35        | 3T3;        | 8,1               | 12,15      | 16,99    | 4,80    | 2,75              | 4,23  | 3,63       | 3,79    | 2,56              |
| TM-6300/35        | 4T3         | 7,57              | 2,09       | 17,02    | 4,90    | 2,90              | 4,29  | 3,65       | 3,94    | 2,56              |
| TM-6300/35        | B3CT        | 8,10              | 14,94      | 16,90    | 4,80    | 2,84              | 4,23  | 3,63       | 3,79    | 2,54              |
| ТД-10000/35       | 3T3         | 11,20             | 16,90      | 21,20    | 5,20    | 3,30              | 3,00  | 3,76       | 4,17    | 2,80              |
| TI-10000/35       | HT3         | 11,38             | 16,83      | 21,20    | 5,32    | 3,42              | 3,00  | 3,76       | 4,29    | 2,99              |
| TI-16000/35       | 3T3         | 15,60             | 23,20      | 31,20    | 8,05    | 5,45              | 3,95  | 3,97       | 4,86    | 3,25              |
| TI-16000/35       | 4T3         | 15,54             | 24,76      | 31,00    | 8,20    | 2,60              | 3,70  | 3,97       | 4,84    | 3,25              |
| ТД-40000/35       | W93         | 1                 | 1          | l        | 1       | I                 | I     | 1          | ı       | 1                 |
| ТД-40000/35       | HT3         | 1                 | 1          | l        | ı       | 1                 | 1     | 1          | 1       | 1                 |
| TДЦ-80000/35      | W93         | 49,6              | 67,4       | 78,5     | 11,9    | 9,5               | 2,90  | 4,55       | 6,05    | 4,22              |
|                   |             |                   |            |          |         |                   |       |            |         |                   |
|                   |             |                   |            |          |         |                   |       |            |         |                   |

Продолжение табл. П1-1

|                                | 1                                   | Номиналы | Номинальное напряжение, кВ |                                      |                                               |             | Потери, кВт       | кВт                    |
|--------------------------------|-------------------------------------|----------|----------------------------|--------------------------------------|-----------------------------------------------|-------------|-------------------|------------------------|
| Тип трансформатора             | Номинальная<br>моидность,<br>А.В.А. | ВН       | НН                         | Сжема и группа<br>соедпнений обмоток | Напряжение<br><sup>и</sup> к.з <sup>,</sup> % | Ток 'х.х' % | холостого<br>хода | короткого<br>короткого |
|                                |                                     |          | В. Класс напря             | Класс напряжения 110 кВ              |                                               |             |                   |                        |
| TM-6300/110                    | 6,3                                 | 110;     | 6,3; 6,6;                  |                                      |                                               | 4,0         | 20—26             | 54                     |
| ТД-16000/110                   | 16                                  | 121      | 6,3; 10,5                  |                                      |                                               | 2,8         | 45—58             | 104                    |
| ТД-40000/110                   | 40                                  |          | 6,3; 10,5;                 |                                      |                                               | 7,0         | 42—52             | 175                    |
| ТД-80000/110                   | 80                                  |          | 3,15<br>6,3; 10,5; 3,15;   |                                      |                                               | 2,7         | 90—150            | 390                    |
| TALL-125000/110                | 125                                 |          | 10,5; 13,8;                | $Y_0/\Delta$ -11                     | \$ 10,5                                       | 3,5         | 225               | 220                    |
| ТДЦ-200000/110                 | 200                                 |          | 13,8; 15,75;               |                                      |                                               | 2,5         | 250-315           | 730                    |
| ТДЦ-250000/110                 | 250                                 |          | 18; 20<br>15,75;           |                                      |                                               | 3,0         | 530               | 780                    |
| TДЦ-400000/110                 | 400                                 |          | 20<br>15,75;<br>20         |                                      |                                               | 8,0         | 230               | 1350                   |
|                                |                                     |          | Г. Класс напряжения 150 кВ | л<br>сения 150 кВ                    |                                               |             |                   | 3                      |
| ТДГ-15000/150<br>ТДГ-60000/150 | 15                                  | 154      | 6,6; 11                    | $Y_0/\Delta-11$                      | 11,5                                          | 3,0         | 48                | 120 400                |
| 41                             |                                     |          |                            |                                      | _                                             |             |                   |                        |

Продолжение табл. ПІ-1

| 2                  |              |                   |                   | Macca, T                   |               |                   |       | Размеры,  | bī, M  |           |
|--------------------|--------------|-------------------|-------------------|----------------------------|---------------|-------------------|-------|-----------|--------|-----------|
| E                  | Завод-изго-  |                   |                   |                            | Mā            | масла             |       |           | высота | ra        |
| Ійп трансформатора | товитель     | активной<br>части | транспорт-<br>ная | полная                     | рабочая       | транспорт-<br>ная | длина | ширина    | полная | до крышки |
|                    |              | 9                 | B. K              | В. Класс напряжения 110 кВ | овжения       | 110 KB            |       |           |        |           |
| TM-6300/110        | 3T3          | 10,25             | 20,5              | 28,7                       | 9,5           | B/m               | 5,26  | 4,28      | 5,17   | 2,57      |
| TH-16000/110       | TЭЗ          | 19,56             | 35,5              | 42,76                      | 11,7          | 8,22              | 5,32  | 4,39      | 5,46   | 2,94      |
| ТД-40000/110       | 3T3          | 1                 | ı                 | ١                          | !             | 1                 | 1     | 1         | 1      | 1         |
| ТД-80000/110       | тэз,<br>уэтм | 54,51<br>55,2     | 78,0              | 104,0<br>109,5             | 25,22<br>23,5 | 16,51<br>Б/м      | 7,45  | 5,42      | 7,06   | 11        |
| ТДЦ-125000/110     | T93<br>3T3   | 81,43             | 113,7             | 134,15<br>128,75           | 23,04<br>23,0 | 18,89<br>19,45    | 7,77  | 4,71 2,30 | 7,18   | 4,78      |
| ТДЦ-200000/110     | 3T3          | 125,5             | 143,0             | 187,61                     | 27,34         | Б/м               | 7,56  | 3,55      | 7,10   | 4,72      |
| ТДЦ-250000/110     | £            | 152,0             | 166,7             | 213,0                      | 25,5          | R                 | 8,20  | 3,27      | 7,03   | 1         |
| ТДЦ-400000/110     | R            | 194,0             | 218,5             | 296,8                      | 48,8          | E                 | 14,60 | 8,49      | 7,75   | 1         |
|                    |              |                   |                   |                            |               |                   | _     |           |        |           |
|                    |              |                   | I. KA             | Г. Класс напряжения 150 кВ | пэжения 1     | 50 KB             |       |           |        |           |
| TAP-15000/150      | 3T3          | 19,15             | 49,11             | 61,15                      | 26,4          | 21,7              | 6,94  | 4,71      | 7,31   | ı         |
| 丁瓜下-60000/15       | 8            | 62.0              | 0,92              | 153,5                      | 50,5          | B/M               | 8,67  | 5,57      | 8,22   | 1         |
|                    |              |                   |                   |                            |               |                   |       |           |        |           |

Продолжение табл. ПІ-Ё

|                                                    |                      |                   | 1                               |                                      |                                               |               | 170-0-1                   | Dm                     |
|----------------------------------------------------|----------------------|-------------------|---------------------------------|--------------------------------------|-----------------------------------------------|---------------|---------------------------|------------------------|
|                                                    | Е                    | Номинальное в     | Номинальное напряжение, иВ      |                                      | 1.                                            |               | потери, ког               | KDI                    |
| Тип трансформатора                                 | Номинальна:<br>МВ. А | ВН                | НН                              | Схема и группа<br>соединений обмотки | Напряжение<br><sup>и</sup> к.з <sup>, %</sup> | Tok , ix.x' % | холост <b>ого</b><br>хода | жороткого<br>замыкания |
| ТДГ-65000/150<br>ТДЦГ-125000/150<br>ТДЦ-250000/150 | 65<br>125<br>250     | 165<br>165<br>165 | 13,8<br>10,5<br>13,8; 15,75; 18 | }<br>Y₀/∆-11                         | 12,0<br>12,0<br>12,0                          | നന്ന<br>വസവ   | 180<br>280<br>325         | 495                    |
| ТДЦ-400000/150                                     | 400                  | 165               | 20,0                            |                                      | 11,0                                          | 2,0           | 325                       | 1320                   |
|                                                    |                      |                   |                                 |                                      |                                               |               |                           | į.                     |

## Д. Класс напряжения 220 кВ

| ТДЦ-20000/220 | 200 | 242 | 13,8; 15,75;   |                      | 11,00 |      | 160-210 730  | 730  |
|---------------|-----|-----|----------------|----------------------|-------|------|--------------|------|
|               | 250 | 242 | 13.8;          | Y <sub>0</sub> /Δ-11 | 10,9  | 1,5  | 370          | 925  |
|               | 400 | 242 | 15,75;<br>20,0 |                      | 10,7  | 0,8- | 230—330 1300 | 1300 |
|               | 089 | 242 | 15,0           | 9-                   | 12,7  | 0,8  | 295          | 1960 |
|               |     |     |                |                      |       |      |              |      |

Продолжение табл. ПІ-І

|                    |             |                   |                   | Macca, T |         |                   | -     | Размеры, м | M, M    |      |
|--------------------|-------------|-------------------|-------------------|----------|---------|-------------------|-------|------------|---------|------|
|                    | Завод-изго- |                   |                   |          | Mai     | масла             |       |            | BEICOTA | T2   |
| тип трансформатора | товитель    | активной<br>части | транспорт-<br>ная | полная   | рабочая | транспорт-<br>ная | длина | ширина     | полная  | до   |
|                    |             |                   |                   |          |         |                   |       |            |         |      |
| ТДГ-65000/150      | 3T3         | 62,0              | 0,97              | 153,5    | 50,5    | Б/м               | 8,67  | 5,57       | 8,22    | i    |
| ТДЦГ-125000/150    |             | 44,1              | 129,1             | 145,87   | 30,1    | 21,6              | 7,87  | 3,15       | 8,35    | 1    |
| TДЦ-250000/150     | 8           | ı                 | ı                 | 1        | l       | 1                 | I     | <br>       | ı       | 1    |
| ТДЦ-400000/150     | 2           | 194,0             | 220,0             | 8,962    | 54,8    | B/M               | 10,56 | 8,6        | 7,22    | 4,37 |
|                    |             |                   |                   |          |         |                   |       |            |         |      |

Д. Класс напряжения 220 кВ

| 1              | 1               | 1              | 1              |  |
|----------------|-----------------|----------------|----------------|--|
| 7,365          | 8,345           | 8,07           | 8,1            |  |
| 6,34           | 4,73            | 4,135          | 5,19           |  |
| 7,75           | 9,31            | 11,74          | 12,2           |  |
| Б/м            | 0,85            | B/M            | а              |  |
| 39             | 44,23           | 50,5           | 75             |  |
| 195            | 244             | 297            | 374,2          |  |
| 167            | 172,5           | 214            | 300            |  |
| 120            | 148             | 188            | 256,2          |  |
| 3T3            | s               | 8              | я              |  |
| ТДЦ-200000/220 | TALL-250000/220 | ТДЦ-400000/220 | TLL-630000/220 |  |

Tabauya III-2

Технические данные трехфазных масляных двухобмоточных трансформаторов общего назначения с регулированием напряжения под нагрузкой

|                    |                     | Turk rad a  | Manual manual              | c per year parameter manufacture and per |                                               |             | ,                 |                        |
|--------------------|---------------------|-------------|----------------------------|------------------------------------------------------------------------------|-----------------------------------------------|-------------|-------------------|------------------------|
|                    | R                   | Номинальное | Номинальное напряжение, кВ |                                                                              |                                               |             | Horepit,          | KBT                    |
| Тип трансформатора | Номинальна<br>МВ. А | BH          | HH                         | Схема и группа<br>соединений обмоток                                         | Напряжение<br><sup>и</sup> к.з <sup>,</sup> % | Tok 'x.x' % | холостого<br>хода | короткого<br>кинежымые |
| 8.                 |                     | 1           | А. Класс напряжения 35 кВ  | жения 35 кВ                                                                  |                                               |             |                   |                        |
| TMH-1000/35        | 1,0                 | 35; 20      | 0,4; 0,69; 6,3; 11         | $  Y/Y_0-0; Y/\Delta-11$                                                     | 6,5                                           | 2,8         | 3,7               | 22,11                  |
| TMH-1600/35        | 1,6                 |             |                            |                                                                              | 6,5                                           | 2,6         | 4,7               | 15,4                   |
| TMH-2500/35        | 2,5                 |             | 0,69; 6,3;                 |                                                                              | 6,5                                           | 1,1         | 4,3-5,1           | 23,5                   |
| TMH-4000/35        | 4.0                 |             | 6,3; 11                    | Y/A-11                                                                       | 7,5                                           | 1,0         | 5,7-6,7 33,5      | 33,5                   |
| TMH-6300/35        | 6.3                 |             | 6,3; 11                    | <u></u>                                                                      | 7,5                                           | 6,0         | 8,0-0,4           | 46,5                   |
| ТДНС-10000/35      | 10                  | 36,75;      | 3,15; 6,3;                 | Y <sub>0</sub> /Δ-11<br>V <sub>2</sub> /V-0:                                 | 14                                            | 2,5         | 14,5              | 82                     |
| ТДНС-16000/35      | 16                  | (6,6,16,6)  |                            | $Y_0/\Delta - 11;$<br>$\Delta/\Delta - 0$                                    | 10                                            | 0,8         | 18—21             | 105                    |
| ТРДН-25000/35      | 25                  | 36,75; 20;  | 10,5—10,5                  |                                                                              | 9,5                                           | 2,0         | 29                | 145                    |
| TPДH-32000/35      | 32                  | 36,75; 20   |                            | A A A A A A A A A A A A A A A A A A A                                        |                                               | 3,0         | 65                | 180                    |
| ТРДН-40000/35      | 40                  |             |                            |                                                                              | 18,5                                          | 7,0         | 6)                | 1                      |

Продолжение табл. П1-2

| активной гранспорт-<br>части ная |
|----------------------------------|

А. Класс напряжения 35 кВ

|   | 1,9         | 2,15        | 2,26        | 2,42        | 2,54        | 3,41          | 3,81           | 4,37          | 4,26          | 4,15          |  |
|---|-------------|-------------|-------------|-------------|-------------|---------------|----------------|---------------|---------------|---------------|--|
|   | 3,0         | 3,27        | 3,55        | 3,72        | 3,86        | 5,21          | 9,00           | 6,56          | 6,33          | 5,70          |  |
|   | 1,55        | 1,81        | 2,23        | 3,58        | 3,63        | 3,92          | 3,97           | 4,27          | 4,56          | 5,50          |  |
|   | 3,55        | 3,55        | 3,65        | 3,88        | 4,05        | 4,87          | 5,63           | 5,08          | 5,88          | 7,20          |  |
|   | 2,90        | 3,40        | 4,05        | 3,57        | 4,30        | 7,00          | 8,20           | 10,40         | 10,30         | ı             |  |
|   | 2,90        | 3,40        | 4,02        | 4,95        | 00,9        | 9,17          | 11,0           | 15,95         | 15,80         | 22,40         |  |
| • | 8,17        | 09'6        | 12,27       | 16,28       | 19,60       | 28,85         | 39,30          | 53,75         | 00,09         | 75,60         |  |
|   | 1           | 1           | ١           | 14,71       | 15,30       | 22,70         | 30,00          | 42,00         | 48,00         | 62,00         |  |
|   | 2,38        | 3,17        | 4,16        | 7,31        | 7,54        | 12,33         | 18,88          | 24,00         | 30,00         | 36,50         |  |
|   | 4T3         | R           | F           | k           | R           | 3T3           | 8              | £             | £             | W93           |  |
|   | TMH-1000/35 | TMH-1600/35 | TMH-2500/35 | TMH-4000/35 | TMH-6300/35 | ТДНС-10000/35 | T/IHC-16000/35 | TPAH-25000/35 | ТРДН-32000/35 | TPJH-40000/35 |  |

Продолжение табл. П1-2

|                                                                     | IŚ!                            | Номинальное в          | Номинальное напряжение, кВ |                                      |                                               |                            | Потери, кВт                        | Br                       |
|---------------------------------------------------------------------|--------------------------------|------------------------|----------------------------|--------------------------------------|-----------------------------------------------|----------------------------|------------------------------------|--------------------------|
| Тип трансфорчатора                                                  | Номиналы<br>мощность,<br>мв. А | BH                     | НН                         | Схема и групта<br>соединений обмоток | Напряжение<br><sup>и</sup> к.з <sup>,</sup> % | Ток<br><sup>i</sup> х.х' % | холсстого хода                     | короткого<br>замыжания   |
|                                                                     |                                | В                      | Б. Класс напряжения 110 кВ | кения 110 кВ                         |                                               |                            |                                    |                          |
| TMH-2500/110                                                        | 2,5                            | 011                    | 6,6; 11; 22                | Y <sub>0</sub> /Δ-11                 | 10,5                                          | 0,9                        | 111                                | 24                       |
| TMH-6300/110                                                        | 6,3                            | 115                    | 6,6,11;                    |                                      | 10,5                                          | 1,0                        | 13                                 | 20                       |
| ТМН-10000/110<br>ТДН-10000/110<br>ТДН-15000/110<br>ТДН-16000/100    | 100                            | 115<br>110; 115<br>115 | 6,6; 11;<br>6,6; 11;       |                                      | 10,5<br>10,5<br>10,5<br>10,5                  | 0,4,4,0,<br>0,0,0,0        | 18—27<br>27—37<br>30—40<br>22      | 60<br>74<br>130<br>114   |
| ТДНГ-20000/110                                                      | 20                             | 112                    | 52; 38,5<br>6,6; 11;       |                                      | 10,8                                          | 0,4<br>0,0                 | 21—26<br>65                        | 155                      |
| ТДН-31500/110<br>ТДН-40000/110<br>ТДНГУ-63000/110<br>ТРДН-25000/110 | 31,5<br>40<br>63<br>25         | } 110; 115<br>]        | 6,5,11                     |                                      | 11,6<br>10,5<br>10,5                          | 0,4,0                      | 57—95<br>80—110<br>85—110<br>36—48 | 195<br>215<br>280<br>161 |
| ТРДН-32000/110<br>ТРДН-40000/110                                    | 32<br>40;<br>32; 25            |                        | 6,310,5                    |                                      | 10,5                                          | 3,0                        | 57—65                              | 195                      |

Продолжение табл. ПІ-2

| 8                              |            |       |                | Масса, т                   |         |                   |                                                                                                                                                                                                                                                                                                                                                                                                                                                                                                                                                                                                                                                                                                                                                                                                                                                                                                                                                                                                                                                                                                                                                                                                                                                                                                                                                                                                                                                                                                                                                                                                                                                                                                                                                                                                                                                                                                                                                                                                                                                                                                                     | Размеры, | M, M         |        |
|--------------------------------|------------|-------|----------------|----------------------------|---------|-------------------|---------------------------------------------------------------------------------------------------------------------------------------------------------------------------------------------------------------------------------------------------------------------------------------------------------------------------------------------------------------------------------------------------------------------------------------------------------------------------------------------------------------------------------------------------------------------------------------------------------------------------------------------------------------------------------------------------------------------------------------------------------------------------------------------------------------------------------------------------------------------------------------------------------------------------------------------------------------------------------------------------------------------------------------------------------------------------------------------------------------------------------------------------------------------------------------------------------------------------------------------------------------------------------------------------------------------------------------------------------------------------------------------------------------------------------------------------------------------------------------------------------------------------------------------------------------------------------------------------------------------------------------------------------------------------------------------------------------------------------------------------------------------------------------------------------------------------------------------------------------------------------------------------------------------------------------------------------------------------------------------------------------------------------------------------------------------------------------------------------------------|----------|--------------|--------|
|                                | Завод-из-  |       |                |                            | Ma      | масла             |                                                                                                                                                                                                                                                                                                                                                                                                                                                                                                                                                                                                                                                                                                                                                                                                                                                                                                                                                                                                                                                                                                                                                                                                                                                                                                                                                                                                                                                                                                                                                                                                                                                                                                                                                                                                                                                                                                                                                                                                                                                                                                                     |          | Bbľ          | высота |
| Тип трансформатора             | готовитель | части | транспорт-     | полная                     | рабочая | транспорт•<br>ная | Длина     Дерем     Дерем | ширина   | полная       | крышки |
|                                |            |       | E. Kau         | Б. Класс напряжения 110 кВ | жения П | 0 кВ              |                                                                                                                                                                                                                                                                                                                                                                                                                                                                                                                                                                                                                                                                                                                                                                                                                                                                                                                                                                                                                                                                                                                                                                                                                                                                                                                                                                                                                                                                                                                                                                                                                                                                                                                                                                                                                                                                                                                                                                                                                                                                                                                     |          |              |        |
| TMH-2500/110                   | l 4T3      | 9,20  | 22,00          | 24,00                      | 10,15   | 8,93              | 5,12                                                                                                                                                                                                                                                                                                                                                                                                                                                                                                                                                                                                                                                                                                                                                                                                                                                                                                                                                                                                                                                                                                                                                                                                                                                                                                                                                                                                                                                                                                                                                                                                                                                                                                                                                                                                                                                                                                                                                                                                                                                                                                                | 3,54     | 4,07         | 2,51   |
| TMH-6300/110                   | £          | 12,22 | 32,00          | 37,30                      | 14,70   | 12,10             | 6,08                                                                                                                                                                                                                                                                                                                                                                                                                                                                                                                                                                                                                                                                                                                                                                                                                                                                                                                                                                                                                                                                                                                                                                                                                                                                                                                                                                                                                                                                                                                                                                                                                                                                                                                                                                                                                                                                                                                                                                                                                                                                                                                | 3,17     | 4,98         | 2,90   |
| TMH-10000/110                  | IR         | 15,96 | 35,30          | 42,00                      | 14,50   | 11,75             | 6,28                                                                                                                                                                                                                                                                                                                                                                                                                                                                                                                                                                                                                                                                                                                                                                                                                                                                                                                                                                                                                                                                                                                                                                                                                                                                                                                                                                                                                                                                                                                                                                                                                                                                                                                                                                                                                                                                                                                                                                                                                                                                                                                | 3,41     | 5,42         | 3,32   |
| ТДН-10000/110                  | T93        | 16,10 | 31,40          | 38,09                      | 12,89   | 60'6              | 5,90                                                                                                                                                                                                                                                                                                                                                                                                                                                                                                                                                                                                                                                                                                                                                                                                                                                                                                                                                                                                                                                                                                                                                                                                                                                                                                                                                                                                                                                                                                                                                                                                                                                                                                                                                                                                                                                                                                                                                                                                                                                                                                                | 4,27     | 5,38         | 2,86   |
| ТДН-15000/110                  | 2          | 22,96 | 50,10          | 63,50                      | 22,30   | 17,80             | 4,84                                                                                                                                                                                                                                                                                                                                                                                                                                                                                                                                                                                                                                                                                                                                                                                                                                                                                                                                                                                                                                                                                                                                                                                                                                                                                                                                                                                                                                                                                                                                                                                                                                                                                                                                                                                                                                                                                                                                                                                                                                                                                                                | 4,93     | 7,13         | 4,59   |
| ТДН-16000/110<br>ТДН-16000/110 | M33<br>T33 | 23,50 | 45,30<br>46,00 | 52,40 54,50                | 17,40   | Б/м<br>15,60      | 6,60                                                                                                                                                                                                                                                                                                                                                                                                                                                                                                                                                                                                                                                                                                                                                                                                                                                                                                                                                                                                                                                                                                                                                                                                                                                                                                                                                                                                                                                                                                                                                                                                                                                                                                                                                                                                                                                                                                                                                                                                                                                                                                                | 4,45     | 5,96<br>6,33 | 3,53   |
| ТДНГ-20000/110                 | 3T3        | 56,50 | 68,00          | 71,20                      | 23,50   | 18,50             | 5,99                                                                                                                                                                                                                                                                                                                                                                                                                                                                                                                                                                                                                                                                                                                                                                                                                                                                                                                                                                                                                                                                                                                                                                                                                                                                                                                                                                                                                                                                                                                                                                                                                                                                                                                                                                                                                                                                                                                                                                                                                                                                                                                | 4,34     | 7,33         | 4,79   |
| ТДН-31500/110                  | T93        | 43,31 | 73,15          | 89,78                      | 24,90   | 18,90             | 7,49                                                                                                                                                                                                                                                                                                                                                                                                                                                                                                                                                                                                                                                                                                                                                                                                                                                                                                                                                                                                                                                                                                                                                                                                                                                                                                                                                                                                                                                                                                                                                                                                                                                                                                                                                                                                                                                                                                                                                                                                                                                                                                                | 4,69     | 6,37         | 3,86   |
| ТДН-40000/110                  | 8          | 43,31 | 73,15          | 90,27                      | 24,90   | 18,90             | 7,63                                                                                                                                                                                                                                                                                                                                                                                                                                                                                                                                                                                                                                                                                                                                                                                                                                                                                                                                                                                                                                                                                                                                                                                                                                                                                                                                                                                                                                                                                                                                                                                                                                                                                                                                                                                                                                                                                                                                                                                                                                                                                                                | 4,97     | 6,37         | 3,86   |
| TAHFY-63000/110                | a          | 55,98 | 91,69          | 112,00                     | 24,00   | Б/м               | 8,36                                                                                                                                                                                                                                                                                                                                                                                                                                                                                                                                                                                                                                                                                                                                                                                                                                                                                                                                                                                                                                                                                                                                                                                                                                                                                                                                                                                                                                                                                                                                                                                                                                                                                                                                                                                                                                                                                                                                                                                                                                                                                                                | 2,06     | 6,89         | 4,37   |
| ТРДН-25000/110                 | W93        | 32,60 | 56,70          | 67,20                      | 20,00   | я                 | 6,58                                                                                                                                                                                                                                                                                                                                                                                                                                                                                                                                                                                                                                                                                                                                                                                                                                                                                                                                                                                                                                                                                                                                                                                                                                                                                                                                                                                                                                                                                                                                                                                                                                                                                                                                                                                                                                                                                                                                                                                                                                                                                                                | 4,65     | 6,18         | 4,80   |
| ТРДН-32000/110                 | Tes        | 43,31 | 73,15          | 89,78                      | 24,90   | 18,9              | 7,49                                                                                                                                                                                                                                                                                                                                                                                                                                                                                                                                                                                                                                                                                                                                                                                                                                                                                                                                                                                                                                                                                                                                                                                                                                                                                                                                                                                                                                                                                                                                                                                                                                                                                                                                                                                                                                                                                                                                                                                                                                                                                                                | 4,69     | 6,37         | 3,86   |
| TPAH-40000/110                 | W33        | 45,30 | 79,00          | 91,20                      | 27,0    | 22,4              | 6,94                                                                                                                                                                                                                                                                                                                                                                                                                                                                                                                                                                                                                                                                                                                                                                                                                                                                                                                                                                                                                                                                                                                                                                                                                                                                                                                                                                                                                                                                                                                                                                                                                                                                                                                                                                                                                                                                                                                                                                                                                                                                                                                | 4,85     | 6,19         | 3,89   |
|                                |            |       |                |                            |         |                   |                                                                                                                                                                                                                                                                                                                                                                                                                                                                                                                                                                                                                                                                                                                                                                                                                                                                                                                                                                                                                                                                                                                                                                                                                                                                                                                                                                                                                                                                                                                                                                                                                                                                                                                                                                                                                                                                                                                                                                                                                                                                                                                     |          |              |        |

| -593 | F05                                 | Rf                             |     | Номинальное напряжение, кВ      |                                                                                   |                       |                | Потери, кВт       | (Br                    |
|------|-------------------------------------|--------------------------------|-----|---------------------------------|-----------------------------------------------------------------------------------|-----------------------|----------------|-------------------|------------------------|
| 5    | Тип трансформатора                  | Номинальна<br>Мощность<br>МВ.А | BH  | НН                              | Схема и группа<br>соединений обмотки                                              | Напряжение<br>"к.з' % | Tor<br>ix.x. % | холостого<br>хода | короткого<br>замыжания |
|      | ТРДНГУ-40500/110<br>ТРДЦН-63000/110 | 40,5                           | 115 | 6,3—6,3<br>6,3—6,3<br>10,5—10,5 | $\left.\begin{array}{c} \\ \\ \\ \\ \\ \\ \\ \\ \\ \\ \\ \\ \\ \\ \\ \\ \\ \\ \\$ | 10,5                  | 3,4            | 101 59—82         | 203<br>257             |
|      | ТРДЦН-80000/110                     | 80                             | _   | 6,3-10,5                        |                                                                                   | 10,8                  | 9,0            | 100-120           | 520                    |
|      |                                     |                                |     | В. Класс напряжения 150 кВ      | жения 150 кВ                                                                      |                       |                |                   |                        |
|      | TДH-16000/150                       | 91                             | 158 | 3,3; 6,6; 11                    | $Y_0/\Delta-11$                                                                   | 0,11                  | 8,0            | 21                | 85                     |
|      | ТРДН-32000/150                      | 32                             | 158 | 6,3-6,3; 11                     | Y <sub>0</sub> / $\Delta$ / $\Delta$ -11-11                                       | 10,5                  | 3,5            | 72—105            | 175                    |
|      |                                     |                                |     |                                 |                                                                                   |                       |                |                   |                        |
|      |                                     |                                |     | Г. Класс напряжения 220 кВ      | жения 220 кВ                                                                      |                       |                |                   |                        |
|      | ТРДН-32000/220                      | 32                             | 230 | 06,3-6,3;                       | Y <sub>0</sub> /Δ/Δ-11-11                                                         | 12,0                  | 4,5            | 120               | 215                    |
| 44   | ТРДЦН-63000/220                     | 63                             | 230 |                                 |                                                                                   | 12,2                  | 4,0            | 137               | 345                    |
| 19   |                                     | _                              |     |                                 |                                                                                   |                       |                |                   |                        |

|                           |            | 3               | al <sup>-1</sup> | Macca, T                   |           |                   |       | Размеры, м | bi, M  |         |
|---------------------------|------------|-----------------|------------------|----------------------------|-----------|-------------------|-------|------------|--------|---------|
| E                         | Завод-из-  |                 |                  |                            | Ma        | Macha             |       |            | Bbit   | Bbrcora |
| тип трансформатора        | готовитель | активно <b></b> | транспорт-       | полная                     | рабочая   | транспорт-<br>ная | длина | ширина     | полная | до      |
| TPAH <b>ГУ-</b> 40500/110 | EEW (      | 40,33           | 67,83            | 86,51                      | 24,3      | 17,9              | 5,70  | 4,82       | 7,49   | 4,93    |
| ТРДЦН-63000/110           | R          | 57,30           | 94,70            | 107,20                     | 28,5      | 25,1              | 8,30  | 4,45       | 6,47   | 4,17    |
| ТРДЦН-80000/110           |            | 72,30           | 89,9             | 135,70                     | 36,3      | B/Ma              | 8,46  | 4,97       | 6,89   | 4,10    |
|                           |            |                 | B. Ka            | В. Класс напряжения 150 кВ | гэкения Г | 50 KB             |       |            |        |         |
| ТДН-16000/150             | 3T3        | 24,00           | 48,50            | 59,00                      | 18,5      | 15,5              | 6,70  | 4,50       | 6,46   | 3,70    |
| TP_IH-32000/150           | R          | 36,80           | 80,00            | 92,10                      | 24,0      | 17,0              | 6,80  | 4,80       | 7,10   | 1       |
|                           | L.         |                 | L. KA            | Г. Класс напряжения 220 кВ | гжения 2  | 20 KB             |       |            |        |         |
| ТРДН-32000/220            | W33        | 46,50           | 0,99             | 135,00                     | 55,0      | Б/м               | 8,90  | 5,50       | 8,35   | Ī       |
| ТРДЦН-63000/220           |            | 58,30           | 87,10            | 143,60                     | 40,2      |                   | 8,00  | 5,30       | 8,60   | 4,68    |
|                           |            |                 |                  |                            |           |                   |       |            |        |         |

Технические данные трехфазных масляных трехобмоточных трансформаторов общего назначения

| %                                 | Tok Ix.x.                            | 4,0,0,0<br>0,0,0                                                                                    |                                                | 25,1                          | 1,6           |                                 | 0.07                                   | - 0 io<br>- 0 io                                   | ည်က်လုံ<br>ဝက်      | м.<br>Э        |
|-----------------------------------|--------------------------------------|-----------------------------------------------------------------------------------------------------|------------------------------------------------|-------------------------------|---------------|---------------------------------|----------------------------------------|----------------------------------------------------|---------------------|----------------|
| ками, %                           | сн—нн                                | လွှတ်<br>ဝဝည                                                                                        |                                                | 16,5                          | 7,5           |                                 | 6,0                                    | 000                                                | ်<br>က<br>က<br>က    | 000            |
| Напряжение ик. 3 между обмотками, | ВННН                                 | 00%<br>10,5; 17,5<br>12,5; 17,5<br>12,5; 19,5                                                       | ния 35 кВ                                      | 7,5                           | 8,0           |                                 | 18,                                    | 17,0                                               | 11,                 | 17,0           |
| Напряжение и                      | ВН—СН                                | под нагрузк<br>17,0; 10,5<br>17,5; 12,5<br>19,5; 12,5                                               | са напряжения                                  | 7,5                           | 17,0          |                                 | 11,0; 17,0;                            | 13,0<br>50,0<br>51,0                               | 18,4; 11,2          | 10,20<br>10,50 |
|                                   | Схема и группа<br>соединений обмоток | . напря жения $\left. \begin{array}{c} \text{Y}_0/Y_0\Delta\text{-}0\text{-}11 \end{array} \right.$ | регулированиям напряжения под нтгрузкой класса | Y <sub>0</sub> /Δ/Δ-11-11     |               | То же, класса напряжения 110 кВ | Y <sub>0</sub> /Y <sub>0</sub> /Δ-0-11 | Yo/Yo/A-0-11                                       |                     |                |
| кение, кВ                         | НН                                   | регулирования<br>[16,3; 6,6; 10,5]<br>6,6; 11<br>6,6                                                | ражения под                                    | 6,3; 6,6;                     |               | класса напря                    | 6,6; 11                                |                                                    | 27,5; 11<br>6,6; 11 | 6,6; 11        |
| Номинальное напряжение,           | CH                                   | mamopu 6e3<br>38,5<br>38,5<br>38,5                                                                  | пованием нап                                   | 13,8; 10,5                    | 10, (0)       | В. То же,                       | 38,5; 22                               | 22; 27,5; 38,5                                     | 38,5; 27,5          | 38,5           |
| Ho                                | BH                                   | рансфор.<br>110; 121<br>150<br>150                                                                  | c peryau                                       | 35,75                         | 36,75         |                                 | 115; 110                               | 0                                                  | 1122                | 115            |
| R                                 | Номинальна МВ. <b>А</b>              | A. 7<br>6,3<br>15<br>60                                                                             | эже,                                           | 6,3                           | 16            |                                 | 6,3                                    | 292                                                | 1888                | 31,5           |
|                                   | Тип трансформатора                   | TMT-6300/110<br>TATE-15000/150<br>TATE-60000/150                                                    | B. To                                          | TMTH-6300/35<br>TMTH-10000/35 | /MTH-16000/35 |                                 | TMTH-6300/110<br>TATH-10000/110        | TATH-10000/110<br>TATH-16000/110<br>TATH-20000/110 | TATHF3-20000/110    | TATH-25000/110 |

Продолжение табл. ПІ-3

| Тип трансформатора холостого хода (С. 17 р. 17 | мороткого замыжания 3    |                               |                                  |                                        | · (haans.                            |                                                   |                                  |                      | LASM                         | газмеры, м               |                      |
|------------------------------------------------------------------------------------------------------------------------------------------------------------------------------------------------------------------------------------------------------------------------------------------------------------------------------------------------------------------------------------------------------------------------------------------------------------------------------------------------------------------------------------------------------------------------------------------------------------------------------------------------------------------------------------------------------------------------------------------------------------------------------------------------------------------------------------------------------------------------------------------------------------------------------------------------------------------------------------------------------------------------------------------------------------------------------------------------------------------------------------------------------------------------------------------------------------------------------------------------------------------------------------------------------------------------------------------------------------------------------------------------------------------------------------------------------------------------------------------------------------------------------------------------------------------------------------------------------------------------------------------------------------------------------------------------------------------------------------------------------------------------------------------------------------------------------------------------------------------------------------------------------------------------------------------------------------------------------------------------------------------------------------------------------------------------------------------------------------------------------|--------------------------|-------------------------------|----------------------------------|----------------------------------------|--------------------------------------|---------------------------------------------------|----------------------------------|----------------------|------------------------------|--------------------------|----------------------|
| 70 %                                                                                                                                                                                                                                                                                                                                                                                                                                                                                                                                                                                                                                                                                                                                                                                                                                                                                                                                                                                                                                                                                                                                                                                                                                                                                                                                                                                                                                                                                                                                                                                                                                                                                                                                                                                                                                                                                                                                                                                                                                                                                                                         | KODOLKO                  | Saron-waro-                   | 1                                |                                        |                                      | Ma                                                | масла                            |                      |                              | BEI                      | высота               |
|                                                                                                                                                                                                                                                                                                                                                                                                                                                                                                                                                                                                                                                                                                                                                                                                                                                                                                                                                                                                                                                                                                                                                                                                                                                                                                                                                                                                                                                                                                                                                                                                                                                                                                                                                                                                                                                                                                                                                                                                                                                                                                                              |                          | товитель                      | автив-<br>ной<br>части           | транспорт-<br>ная                      | полная                               | рабочая                                           | транс-<br>портная                | длина                | ширина                       | полная                   | до<br>крышки         |
|                                                                                                                                                                                                                                                                                                                                                                                                                                                                                                                                                                                                                                                                                                                                                                                                                                                                                                                                                                                                                                                                                                                                                                                                                                                                                                                                                                                                                                                                                                                                                                                                                                                                                                                                                                                                                                                                                                                                                                                                                                                                                                                              | рансформ                 | А. Трансформаторы без         | pezyant                          | регулирования напряжения под нагрузкой | т ря жени                            | вои в                                             | наг руз                          | кой                  |                              |                          |                      |
|                                                                                                                                                                                                                                                                                                                                                                                                                                                                                                                                                                                                                                                                                                                                                                                                                                                                                                                                                                                                                                                                                                                                                                                                                                                                                                                                                                                                                                                                                                                                                                                                                                                                                                                                                                                                                                                                                                                                                                                                                                                                                                                              | 202 600                  | 3T3                           | 13,20<br>  30,00<br>  70,15      | 29,60<br>65,00<br>86,65                | 38,95<br>85,20<br>159,70             | 14,26<br>31,30<br>50,49                           | 9,32<br>26,70<br>Б/м             | 7,00                 | 5,69                         | 4,95<br>  6,79<br>  8,37 | 111                  |
|                                                                                                                                                                                                                                                                                                                                                                                                                                                                                                                                                                                                                                                                                                                                                                                                                                                                                                                                                                                                                                                                                                                                                                                                                                                                                                                                                                                                                                                                                                                                                                                                                                                                                                                                                                                                                                                                                                                                                                                                                                                                                                                              |                          | регулированием напряжения     | уяжени.                          |                                        | под нагрузкой класса напряжения      | ласса н                                           | апряж                            |                      | 35 KB                        |                          |                      |
|                                                                                                                                                                                                                                                                                                                                                                                                                                                                                                                                                                                                                                                                                                                                                                                                                                                                                                                                                                                                                                                                                                                                                                                                                                                                                                                                                                                                                                                                                                                                                                                                                                                                                                                                                                                                                                                                                                                                                                                                                                                                                                                              | 55  <br>  75  <br>  114  | e L                           | 10,55<br>14,40<br>20,31          | 19,80<br>26,40<br>34,62                | 23,70<br>32,55<br>42,90              | $\begin{vmatrix} 7,28\\9,85\\12,63 \end{vmatrix}$ | 5,93<br>7,20<br>9,10             | 4,86<br>5,57<br>5,81 | 3,96<br>4,18<br>4,28         | $\frac{3,90}{4,78}$      | 3,03                 |
|                                                                                                                                                                                                                                                                                                                                                                                                                                                                                                                                                                                                                                                                                                                                                                                                                                                                                                                                                                                                                                                                                                                                                                                                                                                                                                                                                                                                                                                                                                                                                                                                                                                                                                                                                                                                                                                                                                                                                                                                                                                                                                                              |                          | В. То же, класса              | Kracca                           | напряжения 110                         | ния 110                              | кВ                                                |                                  |                      |                              |                          |                      |
| TMTH-6300/110   15-                                                                                                                                                                                                                                                                                                                                                                                                                                                                                                                                                                                                                                                                                                                                                                                                                                                                                                                                                                                                                                                                                                                                                                                                                                                                                                                                                                                                                                                                                                                                                                                                                                                                                                                                                                                                                                                                                                                                                                                                                                                                                                          | 09                       | 413                           | 15,70                            | 37,64                                  | 42,50                                | 15,40                                             | 15,40   13,50                    | 6,10                 | 3,46                         | 5,40                     | 3,05                 |
| TATH-10000/110 34—47<br>TATH-10000/110 19—25<br>TATH-16000/110 45—60<br>TATH-20000/110 36,5—                                                                                                                                                                                                                                                                                                                                                                                                                                                                                                                                                                                                                                                                                                                                                                                                                                                                                                                                                                                                                                                                                                                                                                                                                                                                                                                                                                                                                                                                                                                                                                                                                                                                                                                                                                                                                                                                                                                                                                                                                                 | 82<br>72<br>115<br>127   | T93<br>3T3, 4T3<br>T93<br>3T3 | 22,00<br>22,00<br>28,50<br>30,20 | 45,00<br>45,00<br>61,50<br>59,00       | 51, 13<br>52, 30<br>73, 70<br>72, 00 | 16,67<br>16,80<br>26,20<br>24,00                  | 12,77<br>12,90<br>21,20<br>18,00 | 6,90                 | 3,75<br>3,75<br>5,32<br>4,44 | 5,40<br>7,04<br>6,16     | 2,86<br>2,90<br>4,48 |
| ТДТНГЭ-20000/110<br>ТДТН-25000/110<br>ТДТН-25000/110<br>ТДТН-31500/110<br>100                                                                                                                                                                                                                                                                                                                                                                                                                                                                                                                                                                                                                                                                                                                                                                                                                                                                                                                                                                                                                                                                                                                                                                                                                                                                                                                                                                                                                                                                                                                                                                                                                                                                                                                                                                                                                                                                                                                                                                                                                                                | 188<br>145<br>145<br>225 | 373<br>T93<br>T93             | 34,00<br>37,65<br>37,30<br>53,00 | 68,50<br>62,00<br>64,80<br>86,90       | 84,00<br>72,50<br>78,16<br>117,10    | 28,00<br>23,00<br>35,70                           | 23,00<br>5/M<br>18,10<br>26,10   | 6,44<br>7,71<br>8,55 | 4,73<br>4,60<br>4,46<br>5,11 | 5,69<br>6,40<br>6,44     | 3,60                 |

|                    | R                  | How      | Номинальное напряжение, кВ | сение, кВ     |                                                                   | Напряжение ик. з между обмотками, | з между обмо | тками, %         | %         |
|--------------------|--------------------|----------|----------------------------|---------------|-------------------------------------------------------------------|-----------------------------------|--------------|------------------|-----------|
| Тип трансформатора | Номинальна<br>МВ.А | HB       | HO                         | НН            | Схема и груша со-<br>единений обмоток                             | вн—сн                             | ВН—НН        | СН—НН            | Tox i xoT |
| ТДТНГЭ-31500/110   | 31,5               | 110      | 38,5; 27,5                 | 27,5; 6,6;    |                                                                   | 17,2                              | 10,65        | C.               | 14        |
| ТДТН-40000/110     | ) 40               | 115; 110 | 38,5                       | 6,6; 11       | $Y_0/\Delta / \Delta^{-1.1}$                                      | 17,0                              | 10,1         | 0,00             | 000       |
| TATHES-40500/110   | 40,5               | 112      | 38,5; 27,5                 | 27,5; 11      | Yo/Yo/A-0-11                                                      | 10,5                              | 17,0         | ့်<br>ကို<br>ကို | 4,        |
| ТДТН-63000/110     | 63                 | 1115     | 38,5                       | 6,6; 11       | Yo/A/A-11-11                                                      | 18,0                              | 11,0         | 6,5              | ්<br>ග    |
| TATHF-75000/110    | 75                 | 115; 110 | 38,5                       | 6,3; 6,6;     | Y <sub>0</sub> /Y <sub>0</sub> /Δ-0-11                            | 20,0                              | 12,0         | 8,0              | 4,0       |
| ТДТН-80000/110     | 80                 | 115      | 38,5                       | 6,6; 11       |                                                                   | 17,0                              | 10,5         | 6,0              | 9,0       |
|                    |                    | Γ.       | Т рансформап               | поры класса   | Г. Трансформаторы класса напряжения 150 кВ                        | 9 KB                              |              |                  |           |
| гдтнг-25000/150    | 25                 | 154      | 38,5 [2                    | 27,5; 11; 6,6 | $ 27,5;11;6,6 $ Y <sub>0</sub> /Y <sub>0</sub> / $\Delta$ -0-11 [ | 18,0                              | 11,5         | 0.9              | 0,0       |
|                    |                    |          | Д. То же,                  | класса напр.  | Д. То же, класса напряжения 220 кВ                                |                                   |              |                  |           |
| TATHFY-20000/220   | 20                 | 220      | 38,5                       | 6,6; 11       | $  Y_0/Y_0/\dot{\Delta}$ -0-11                                    | 18,5                              | 12,5         | 5,9              | 5,7       |
| TATHF-20000/2209   | 20                 | 230      | 38,5; 27,5                 | 27,5; 11      | 8                                                                 | 12,5                              | 19,1         | 6,1              | ທີ່       |
| TATHF-20000/220    | 20                 | 220      | 38,5                       | 6,6; 11       | Y <sub>0</sub> /Y/Δ-0-11                                          | 12,5                              | 19,1         | 6,3              | 4,5       |

Продолжение табл. ПІ-3

|                    | Потери, кВт | кВт                   |          | -                      |            | Macca, T |         |                   |                            | Разме  | Размеры, м |           |   |
|--------------------|-------------|-----------------------|----------|------------------------|------------|----------|---------|-------------------|----------------------------|--------|------------|-----------|---|
|                    |             |                       | d        | -                      |            |          | Ma      | Масла             |                            | 1      | BACOTA     | ота       |   |
| Тип трансформатора | холостого   | зэмгікэні<br>коротког | товитель | актив-<br>ной<br>части | транспорт- | полная   | рабочая | транс•<br>портная | дляна                      | ширина | полная     | до крышки |   |
| TJTHF9-31500/110   | 125         | 1                     | 3T3      | 53.00                  | 95,00      | 119,44   | 30      | 27,40             | 8,90                       | 5,11   | 6,44       | 4,12      |   |
| TTTH-40000/110     | 63          | 230                   | T33      | 54,10                  | 00,76      | 104,30   | 27,70   | 22,00             | 7,55                       | 4,84   | 6,25       | 000       |   |
| TATH-40000/110     | 92          |                       | 3T3      | 55,70                  | 89,42      | 118,74   | 88      | 25,92             | 8<br>5<br>1<br>1<br>1<br>1 | 2,11   | 6,44       | 5,07      |   |
| TATHF3-40500/110   | 135         |                       |          | 58,00                  | 71,20      | 121,00   | 200     | M/d               | 2,0                        | 00,0   | 0,49       | 70,4      |   |
| TATH-63000/110     | 125-170     |                       | T93      | 73,68                  | 118,86     | 154,80   | 200     | 32,40             | 2,07                       | 20,0   | 00,00      | 4. r      |   |
| TATHF-75000/110    | 210         |                       | 3T3      | 79,60                  | 94,70      | 170,50   | 200     | D/M               | 7,6                        | 000    | 7,10       | 00.0      |   |
| TДTH-80000/110     | 73          |                       | T33      | 82,00                  | 124,75     | 146,30   | 30      | 76,20             | 00,6                       | 4,00   | 1,20       | 4,500     |   |
|                    |             |                       | 313      |                        |            |          | _       |                   | -                          |        | _          | _         |   |
|                    |             |                       |          |                        |            |          |         |                   |                            |        |            |           | 9 |

Г. Трансформаторы класса напряжения 150 кВ

| Ö                                   |
|-------------------------------------|
| 4,50                                |
| 4                                   |
| 0                                   |
| 9,                                  |
| 9                                   |
| ~                                   |
| ₹.                                  |
| ເດ                                  |
| .36,70   27,20   8,00   5,48   6,90 |
| 8                                   |
| တ်                                  |
|                                     |
| 8                                   |
| 27                                  |
|                                     |
| 7,                                  |
| 36,                                 |
|                                     |
| 0                                   |
| 0,4                                 |
| 114                                 |
|                                     |
| 87,10   114,00                      |
| 10                                  |
| 7                                   |
| òo                                  |
| he the                              |
| 45,30                               |
| က်                                  |
| 4                                   |
|                                     |
|                                     |
| 3T3                                 |
| Ś                                   |
|                                     |
|                                     |
| ಸ್ತ                                 |
| 195                                 |
|                                     |
|                                     |
| 120                                 |
| 54                                  |
|                                     |
|                                     |
| ДТНГ-25000/150                      |
| 1                                   |
| 8                                   |
| 20                                  |
| 67                                  |
| 上                                   |
|                                     |
| П                                   |

|                                   | i                                                                          | 4,43                                              | 4,41                                            |  |
|-----------------------------------|----------------------------------------------------------------------------|---------------------------------------------------|-------------------------------------------------|--|
|                                   | 7,93                                                                       | 8,40                                              | 7,51                                            |  |
|                                   | 5,47                                                                       | 5,45                                              | 5,40                                            |  |
|                                   | 9,50                                                                       | 9,5                                               | 11,10                                           |  |
|                                   | B/M                                                                        | R                                                 |                                                 |  |
| кВ                                | 20,00                                                                      | 50,00                                             | 61,90                                           |  |
| зния 220                          | 134,40                                                                     | 132,90                                            | 169,80                                          |  |
| нап ря же                         | ]<br>E:."                                                                  | 65,00                                             | 65,60 89,30 169,80 61,90 , 11,10 5,40 7,51 4,41 |  |
| Kaacca                            | 44,30                                                                      | 43,10                                             | 65,60                                           |  |
| Д. То же класса напряжения 220 кВ | 95   145   V3TM   144,30   184   134,40   50,00   B/M   9,50   5,47   7,93 | M33 43,10 65,00 132,90 50,00 " 9,5 5,45 8,40 4,43 | R                                               |  |
|                                   | 145                                                                        | 145                                               | 255                                             |  |
|                                   |                                                                            | 9 95 145                                          | 175                                             |  |
|                                   | TATHFY-20000/2201                                                          | ТДТНГ-20000/220Э                                  | ТДТНГ-20000/220                                 |  |

Технические данные трехфазных масляных трехобмоточных автотрансформаторов общего назначения

|                       | E                         | Номи | альное напряжение, к | жение, кВ |                | Напря             | Напряжение ик. з между | между |
|-----------------------|---------------------------|------|----------------------|-----------|----------------|-------------------|------------------------|-------|
|                       | LP*                       |      |                      |           | Схема и группа | 8                 | бмотками, %            |       |
| ип автотрансформатора | Номина:<br>мощнос<br>МВ-А | BH   | H CH                 | нн        |                | вн-сн вн-нн сн-нн | ВН—НН                  | CH—HH |

А. Автотрансформаторы без регулирования напряжения под нагрузкой классов напряжения 150 и 220 кВ

|                                                                                                                                                                                                                                                                                                                                                                                                                                                                                                                                                                                                                                                                                                                                                                                                                                                                                                                                                                                                                                                                                                                                                                                                                                                                                                                                                                                                                                                                                                                                                                                                                                                                                                                                                                                                                                                                                                                                                                                                                                                                                                                                | 3,0                                   | 3,0                                    | 3,0                                    |
|--------------------------------------------------------------------------------------------------------------------------------------------------------------------------------------------------------------------------------------------------------------------------------------------------------------------------------------------------------------------------------------------------------------------------------------------------------------------------------------------------------------------------------------------------------------------------------------------------------------------------------------------------------------------------------------------------------------------------------------------------------------------------------------------------------------------------------------------------------------------------------------------------------------------------------------------------------------------------------------------------------------------------------------------------------------------------------------------------------------------------------------------------------------------------------------------------------------------------------------------------------------------------------------------------------------------------------------------------------------------------------------------------------------------------------------------------------------------------------------------------------------------------------------------------------------------------------------------------------------------------------------------------------------------------------------------------------------------------------------------------------------------------------------------------------------------------------------------------------------------------------------------------------------------------------------------------------------------------------------------------------------------------------------------------------------------------------------------------------------------------------|---------------------------------------|----------------------------------------|----------------------------------------|
|                                                                                                                                                                                                                                                                                                                                                                                                                                                                                                                                                                                                                                                                                                                                                                                                                                                                                                                                                                                                                                                                                                                                                                                                                                                                                                                                                                                                                                                                                                                                                                                                                                                                                                                                                                                                                                                                                                                                                                                                                                                                                                                                | 6,2                                   | 22,0<br>17,7                           | 22,8<br>18,8                           |
|                                                                                                                                                                                                                                                                                                                                                                                                                                                                                                                                                                                                                                                                                                                                                                                                                                                                                                                                                                                                                                                                                                                                                                                                                                                                                                                                                                                                                                                                                                                                                                                                                                                                                                                                                                                                                                                                                                                                                                                                                                                                                                                                | 7,2 7,3 11,2 19,8                     | 36,0                                   | 35,5                                   |
| 200000000000000000000000000000000000000                                                                                                                                                                                                                                                                                                                                                                                                                                                                                                                                                                                                                                                                                                                                                                                                                                                                                                                                                                                                                                                                                                                                                                                                                                                                                                                                                                                                                                                                                                                                                                                                                                                                                                                                                                                                                                                                                                                                                                                                                                                                                        | 7,2                                   | 11,0                                   | 10,6                                   |
| nous dans                                                                                                                                                                                                                                                                                                                                                                                                                                                                                                                                                                                                                                                                                                                                                                                                                                                                                                                                                                                                                                                                                                                                                                                                                                                                                                                                                                                                                                                                                                                                                                                                                                                                                                                                                                                                                                                                                                                                                                                                                                                                                                                      |                                       | Yo asto/A-0-11;                        |                                        |
| The state of the s | 6,6;111                               | 38, 5; 11<br>18; 10, 5;                | 38,5; 11<br>15,75;                     |
| to common of                                                                                                                                                                                                                                                                                                                                                                                                                                                                                                                                                                                                                                                                                                                                                                                                                                                                                                                                                                                                                                                                                                                                                                                                                                                                                                                                                                                                                                                                                                                                                                                                                                                                                                                                                                                                                                                                                                                                                                                                                                                                                                                   | 121;115                               | 121                                    | 121                                    |
| anedand o                                                                                                                                                                                                                                                                                                                                                                                                                                                                                                                                                                                                                                                                                                                                                                                                                                                                                                                                                                                                                                                                                                                                                                                                                                                                                                                                                                                                                                                                                                                                                                                                                                                                                                                                                                                                                                                                                                                                                                                                                                                                                                                      | 158<br>220                            | 230<br>242                             | 230                                    |
| and and                                                                                                                                                                                                                                                                                                                                                                                                                                                                                                                                                                                                                                                                                                                                                                                                                                                                                                                                                                                                                                                                                                                                                                                                                                                                                                                                                                                                                                                                                                                                                                                                                                                                                                                                                                                                                                                                                                                                                                                                                                                                                                                        | 120                                   | 180/60                                 | 240/60<br>240/120                      |
| an around plant of house of booking transferred to the plant of the pl | ATHTF-90000/150<br>ATHHTFY-120000/220 | АТДЦТГ-180000/220<br>ГДЦТГА-180000/220 | АТДЦТГ-240000/220<br>ТДЦТГА-240000/220 |

Б. То же с регулированием напряжения под нагрузкой класса напряжения 220 кВ

|                                                                                                                                                                                                                                                                                                                                                                                                                                                                                                                                                                                                                                                                                                                                                                                                                                                                                                                                                                                                                                                                                                                                                                                                                                                                                                                                                                                                                                                                                                                                                                                                                                                                                                                                                                                                                                                                                                                                                                                                                                                                                                                                | 2,8              | 2,0                                   | 2,3                                     | <   |
|--------------------------------------------------------------------------------------------------------------------------------------------------------------------------------------------------------------------------------------------------------------------------------------------------------------------------------------------------------------------------------------------------------------------------------------------------------------------------------------------------------------------------------------------------------------------------------------------------------------------------------------------------------------------------------------------------------------------------------------------------------------------------------------------------------------------------------------------------------------------------------------------------------------------------------------------------------------------------------------------------------------------------------------------------------------------------------------------------------------------------------------------------------------------------------------------------------------------------------------------------------------------------------------------------------------------------------------------------------------------------------------------------------------------------------------------------------------------------------------------------------------------------------------------------------------------------------------------------------------------------------------------------------------------------------------------------------------------------------------------------------------------------------------------------------------------------------------------------------------------------------------------------------------------------------------------------------------------------------------------------------------------------------------------------------------------------------------------------------------------------------|------------------|---------------------------------------|-----------------------------------------|-----|
| !                                                                                                                                                                                                                                                                                                                                                                                                                                                                                                                                                                                                                                                                                                                                                                                                                                                                                                                                                                                                                                                                                                                                                                                                                                                                                                                                                                                                                                                                                                                                                                                                                                                                                                                                                                                                                                                                                                                                                                                                                                                                                                                              | 9,9 2,8          | 10,8                                  | 12,8 2,3                                |     |
|                                                                                                                                                                                                                                                                                                                                                                                                                                                                                                                                                                                                                                                                                                                                                                                                                                                                                                                                                                                                                                                                                                                                                                                                                                                                                                                                                                                                                                                                                                                                                                                                                                                                                                                                                                                                                                                                                                                                                                                                                                                                                                                                | 10,2   14,9      | 12,5                                  | 18,9                                    |     |
| Tames de la constante de la co | 10,2             | 10,5                                  | 12,1                                    |     |
| 17: 1 Out of the flow bounded in the flow of the flow  |                  | Yo asro/A-0-11                        |                                         |     |
| 200                                                                                                                                                                                                                                                                                                                                                                                                                                                                                                                                                                                                                                                                                                                                                                                                                                                                                                                                                                                                                                                                                                                                                                                                                                                                                                                                                                                                                                                                                                                                                                                                                                                                                                                                                                                                                                                                                                                                                                                                                                                                                                                            | 38,5; 11;        | ,<br>,<br>,<br>,<br>,<br>,            | 10,5; 6,3                               |     |
| ordania au                                                                                                                                                                                                                                                                                                                                                                                                                                                                                                                                                                                                                                                                                                                                                                                                                                                                                                                                                                                                                                                                                                                                                                                                                                                                                                                                                                                                                                                                                                                                                                                                                                                                                                                                                                                                                                                                                                                                                                                                                                                                                                                     | 121              | 121                                   | 121                                     |     |
| anno d'ans                                                                                                                                                                                                                                                                                                                                                                                                                                                                                                                                                                                                                                                                                                                                                                                                                                                                                                                                                                                                                                                                                                                                                                                                                                                                                                                                                                                                                                                                                                                                                                                                                                                                                                                                                                                                                                                                                                                                                                                                                                                                                                                     | 230              | 230                                   | 230                                     |     |
| 200                                                                                                                                                                                                                                                                                                                                                                                                                                                                                                                                                                                                                                                                                                                                                                                                                                                                                                                                                                                                                                                                                                                                                                                                                                                                                                                                                                                                                                                                                                                                                                                                                                                                                                                                                                                                                                                                                                                                                                                                                                                                                                                            | 30               | 040                                   | 93                                      |     |
|                                                                                                                                                                                                                                                                                                                                                                                                                                                                                                                                                                                                                                                                                                                                                                                                                                                                                                                                                                                                                                                                                                                                                                                                                                                                                                                                                                                                                                                                                                                                                                                                                                                                                                                                                                                                                                                                                                                                                                                                                                                                                                                                | ATATHF-30000/220 | ATATHF-40000/220<br>ATATHFY-60000/220 | ATДЦТНГ-63000/220Э<br>ATДЦТНГ-63000/220 | 455 |

Продолжение табл. ПІ-4

|                    | отери, кВт |
|--------------------|------------|
| -8370-             | RMI OT     |
| ель активной части | 60         |

вания напряжения под нагризкой классов напряжения 150 и 220 кВ

|                                                                                               |                 |                                           |                   | 5                  |                   |                    |     |
|-----------------------------------------------------------------------------------------------|-----------------|-------------------------------------------|-------------------|--------------------|-------------------|--------------------|-----|
|                                                                                               | 1               | 1                                         |                   | 1                  | 1                 | 1                  |     |
| 3                                                                                             | 6,43            | 7,60                                      | 9,31 3,74 7,57    | 6,83               | 6,88              | 6,65               |     |
| or alma                                                                                       | 6,89            | 6,90                                      | 3,74              | 9,11 6,00 6,83     | 6,01              | 11,05 6,50 6,65    |     |
| * prond                                                                                       | 0,6             | 90,6                                      | 9,31              | 9,11               | 10,36             | 11,05              |     |
| 000                                                                                           | 24,50           | Б/м                                       | 8                 |                    | 2                 | 2                  |     |
| 12 N.E. b.                                                                                    | 33,70           | 44,20                                     | 49,00             | 60,00              | 62,00             | 62,50              |     |
| nuchysnu                                                                                      | 111,75          | 158,00                                    | 00 (49,00         | 242,00 60,00       | 244,50 62,00      | 290,40 62,50       | - 1 |
| SHUR HOO                                                                                      | 78,40           | 1 73,30 - 158,00 44,20 B/M 9,06 6,90 7,60 | 123,00            | 162,10             | 154,40            | 196,50             |     |
| наприж                                                                                        | 42,50           | 73,30                                     | 106,60            | 138,54             | 125,30            | 168,10             |     |
| ни рования                                                                                    | 3T3             | NJEV                                      | 3T3               |                    | s                 | 8                  |     |
| es pezi                                                                                       | 65   280        | 480                                       | 650               | 490                | 730               | 200                |     |
| o padoi                                                                                       | 65              |                                           | 250               | 350                | 380               | 460                |     |
| А. Автот рансформаторы 0 ез регулирования наприжения поо насругной клигов клигричения во и по | ATAIT-90000/150 | 220                                       | ATJUIT-180000/220 | THILTFA-180000/220 | ATMITF-240000/220 | THILT A-240000/220 |     |

Б. То же с рггулированием под нагрузкой класса напряжения 220 кВ

| 4,20             | 4,17                                                 | l                 | Ţ                                          |
|------------------|------------------------------------------------------|-------------------|--------------------------------------------|
| 7,60             | 7,02                                                 | 7,94              | 7,65                                       |
| 5,70             | 6,25                                                 | 6,89              | 5,30                                       |
| 11,60            | 10,75                                                | 9,41              | 10,75                                      |
| Б/м              | 43,00                                                | Б/м               | R                                          |
| 61,00            | 26,00                                                | 66,20             | 57,00                                      |
| 145,60           | 150,00                                               | 160,00            | 150,20                                     |
| 66,10            | 55,00 118,50 150,00 56,00 43,00 10,75 6,25 7,02 4,17 | 1                 | 51,70 73,90 150,20 57,00 " 10,75 5,30 7,65 |
| 41,30            | 55,00                                                | 52,56             | 51,70                                      |
| ECM   061   08   | 2                                                    | MTEV              | 3T3<br>M98                                 |
| 190              | 1                                                    |                   | 85 380                                     |
| 80               | 1                                                    |                   | 88                                         |
| ATATFH-30000/220 |                                                      | ATATHFY-60000/220 | АТДТНГУ-60000/220Э<br>АТДЦТНГ-63000/220    |

Технические данные трансформаторов для питания электропечей различного назначения

|                        | r         | 4                      |               |                                            |                                             |                                             |              |              | ນວັ                                                                            |                    |                                          | 1                              |
|------------------------|-----------|------------------------|---------------|--------------------------------------------|---------------------------------------------|---------------------------------------------|--------------|--------------|--------------------------------------------------------------------------------|--------------------|------------------------------------------|--------------------------------|
|                        | высота    | до<br>крыш<br>ки       |               | 11                                         | 1185                                        | 1,65                                        | 1            | 2,61         | 25 C C C C C C C C C C C C C C C C C C C                                       | 3                  | 11                                       | 2,315                          |
| Размеры, м             | BEIG      | полная                 |               | 3,05                                       | 3,32                                        | 2,1                                         | 4,055        | 3,78         | 3,685<br>4,415<br>4,415<br>4,165                                               | 20.                | 8 0 0 0 0 0 0 0 0 0 0 0 0 0 0 0 0 0 0 0  | 1 %                            |
| Разме                  | 1         | енифит                 |               | 1,35                                       | 1881                                        | 1,7                                         | 1,756        | 2,4          | 20,000,000<br>20,000,000<br>10,000,000,000,000,000,000,000                     | 0,320              | 1,63                                     | 12                             |
| - ,                    |           | книгд                  |               | 2,25                                       | 2,71<br>1,72                                | 2,15                                        | 2,68         | 3,46         | 2,87<br>2,18<br>2,46<br>3,07<br>4,74                                           | -                  | 2,9                                      | 19,0                           |
|                        | масла     | транс-<br>порт-<br>ная |               | 11                                         | -111                                        | 11                                          | l            | 2,646        | 110,8                                                                          | ±. 77              | 11                                       | 11                             |
|                        | Ma        | рабо-                  |               | 0,9                                        | 2,685                                       | 1.1                                         | 2,79         | 3,286        | 1 1 1 8 5 5 5 5 5 5 5 5 5 5 5 5 5 5 5 5                                        | 0 : 47             | 11                                       | 11                             |
| Масса, т               |           | REHLOII                |               | 4,00                                       | 3,74                                        | 4.0°                                        | 7,93         | 9,37         | 20,50<br>19,20<br>44,10                                                        | 67,20              | ಗ್ಯ ಕ್ಕ                                  | 0,6                            |
| W                      | -Jde      | транспо<br>ввн         |               | 11                                         | Ш                                           | 11                                          | 1            | 7,7          | 11,5                                                                           | 0.,,               | _11                                      | 11                             |
|                        | Ř         | яктивно<br>части       | -             | 1,3                                        | 1,33                                        | 11                                          | 1            | 3,44         | 13,6                                                                           | 7.17               | 11                                       | 11                             |
| KBT                    | XONG      | натоП<br>ох отот       | разные        | 1,20                                       | 1,40                                        | ω. 4.<br>4.∞.                               | 2,5          | 4,00         | 35,00<br>35,00<br>35,00<br>35,00<br>35,00                                      | 00,25              | Трехфазные                               | 165                            |
| Номинальное напряжение |           | ян, в                  | А. Однофазные | 95—115<br>416—296                          | 240—173<br>45,5—248<br>2(129—111)<br>510—85 | 510—79                                      | 290—182      | 41,7—93,7    | 391—1176<br>1231—1176<br>125—255<br>100—63,5                                   | 13/—23 <b>8</b> ,9 | E. Tp<br>215—124,5<br>170—106<br>916—108 | 225—130<br>225—103             |
| Номинальное            |           | ВН, кВ                 |               | 3,3; 6; 10; 11<br>6; 10                    | 3,3; 6; 10<br>6; 10<br>6: 10                | 6; 10<br>6; 10                              | 6; 10        | 6; 10        | 6; 10<br>10<br>35<br>85                                                        |                    | 6,6<br>6; 10                             | 11<br>6; 10                    |
|                        | Номиналь- | ность,<br>кВ·А         |               | 400—285                                    | 2X0—234<br>400<br>2X750<br>400—76           | 630—110<br>1000—200                         | 1300         | 1000         | 2500—1360<br>4000—5500<br>8000<br>4800—16700                                   | 15320              | 400—231<br>630—308                       | 1000—576<br>1250—610           |
|                        |           | інп трансформатора     |               | <b>30MK-39</b> 0/10<br><b>510M-35</b> 0/10 | ЭПОМ-500/10<br>ЭПОМ-1200/10<br>ЭОМП-1000/10 | <b>30MT-1600/10</b><br><b>30TM-2</b> 300/10 | 30MH-1500/10 | 30MH-2000/10 | 30MH-350/10<br>30JLH-4800/10<br>30LH-8200/10<br>30LH-14000/35<br>30LH-C3000/35 | 3011HK-40000/150   | 9TMIK-650/10<br>9TMIK-1000/10            | STMTK-1600/10<br>STMTK-2000/10 |

Продолжение табл. ПІ-5

| 0 0 0 0 0 0 0 0 0 0 0 0 0 0 0 0 0 0 0                                                                                                                                                                                                                                                                                                                                                                                                                                                                                                                                                                                                                                                                                                                                                                                                                                                                                                                                                                                                                                                                                                                                                                                                                                                                                                                                                                                                                                                                                                                                                                                                                                                                                                                                                                                                                                                                                                                                                                                                                                                                                                                                                                                                                                                                                                                                                                                                                                                                                                                                                                                                                | EH, KB HH, B 242—122,5 243—116 0 257—114 15,1—73,4 10 14,6—73,4         | Тогери жола, того жода, т | энспорт- |          |       | 0 40                   |             | _      |         |                   |
|------------------------------------------------------------------------------------------------------------------------------------------------------------------------------------------------------------------------------------------------------------------------------------------------------------------------------------------------------------------------------------------------------------------------------------------------------------------------------------------------------------------------------------------------------------------------------------------------------------------------------------------------------------------------------------------------------------------------------------------------------------------------------------------------------------------------------------------------------------------------------------------------------------------------------------------------------------------------------------------------------------------------------------------------------------------------------------------------------------------------------------------------------------------------------------------------------------------------------------------------------------------------------------------------------------------------------------------------------------------------------------------------------------------------------------------------------------------------------------------------------------------------------------------------------------------------------------------------------------------------------------------------------------------------------------------------------------------------------------------------------------------------------------------------------------------------------------------------------------------------------------------------------------------------------------------------------------------------------------------------------------------------------------------------------------------------------------------------------------------------------------------------------------------------------------------------------------------------------------------------------------------------------------------------------------------------------------------------------------------------------------------------------------------------------------------------------------------------------------------------------------------------------------------------------------------------------------------------------------------------------------------------------|-------------------------------------------------------------------------|---------------------------|----------|----------|-------|------------------------|-------------|--------|---------|-------------------|
| 1800—910 6<br>2000—963 6; 1800—1240 6; 1800—963 6; 1800—1240 6; 1800—1240 6; 1800—1240 6; 1800—1260 6; 1800—1800 6; 18000—1800 6; 18000—1800 6; 18000—1800 6; 18000—1800 6; 18000—1800 6; 18000—1800 6; 18000—1800 6; 18000—1800 6; 18000—1800 6; 18000—1800 6; 18000—1800 6; 18000—1800 6; 18000—1800 6; 18000—1800 6; 18000—1800 6; 18000—1800 6; 18000—1800 6; 18000—1800 6; 18000—1800 6; 18000—1800 6; 18000—1800 6; 18000—1800 6; 18000—1800 6; 18000—1800 6; 18000—1800 6; 18000—1800 6; 18000—1800 6; 18000—1800 6; 18000—1800 6; 18000—1800 6; 18000—1800 6; 18000—1800 6; 18000—1800 6; 18000—1800 6; 18000—1800 6; 18000—1800 6; 18000—1800 6; 18000—1800 6; 18000—1800 6; 18000—1800 6; 18000—1800 6; 18000—1800 6; 18000—1800 6; 18000—1800 6; 18000—1800 6; 18000—1800 6; 18000—1800 6; 18000—1800 6; 18000—1800 6; 18000—1800 6; 18000—1800 6; 18000—1800 6; 18000—1800 6; 18000—1800 6; 18000—1800 6; 18000—1800 6; 18000—1800 6; 18000—1800 6; 18000—1800 6; 18000—1800 6; 18000—1800 6; 18000—1800 6; 18000—1800 6; 18000—1800 6; 18000—1800 6; 18000—1800 6; 18000—1800 6; 18000—1800 6; 18000—1800 6; 18000—1800 6; 18000—1800 6; 18000—1800 6; 18000—1800 6; 18000—1800 6; 18000—1800 6; 18000—1800 6; 18000—1800 6; 18000—1800 6; 18000—1800 6; 18000—1800 6; 18000—1800 6; 18000—1800 6; 18000—1800 6; 18000—1800 6; 18000—1800 6; 18000—1800 6; 18000—1800 6; 18000—1800 6; 18000—1800 6; 18000—1800 6; 18000—1800 6; 18000—1800 6; 18000—1800 6; 18000—1800 6; 18000—1800 6; 18000—1800 6; 18000—1800 6; 18000—1800 6; 18000—1800 6; 18000—1800 6; 18000—1800 6; 18000—18000 6; 18000—1800 6; 18000—1800 6; 18000—1800 6; 18000—1800 6; 18000—1800 6; 18000—1800 6; 18000—1800 6; 18000—1800 6; 18000—1800 6; 18000—1800 6; 18000—1800 6; 18000—1800 6; 18000—1800 6; 18000—18000 6; 18000—18000 6; 180000—18000 6; 180000—18000 6; 180000—18000 6; 180000—18000 6; 180000—18000 6; 18000000000000000000000000000000000000                                                                                                                                                                                                                                                                                                                                                                                                                                                                                                                                                                                                                                                                                                  | 242—122,5<br>243—126<br>257—114<br>15,1—73,4<br>14,6—70,8<br>14,6—70,8  | того жод                  | знсиоь   |          | масла | calla                  |             |        | BEICOTA | ra                |
| 1800—910 6 2000—963 6; 2800—1240 6; 485—200 6; 1200—807 6; 6300 6; 1600—355 6; 2500—500 6; 2500—500 6; 2500—500 6;                                                                                                                                                                                                                                                                                                                                                                                                                                                                                                                                                                                                                                                                                                                                                                                                                                                                                                                                                                                                                                                                                                                                                                                                                                                                                                                                                                                                                                                                                                                                                                                                                                                                                                                                                                                                                                                                                                                                                                                                                                                                                                                                                                                                                                                                                                                                                                                                                                                                                                                                   | 242—122,5<br>243—116<br>257—114<br>15,1—73,4<br>14,6—70,8<br>40,8—210,4 |                           |          | REHILOII | рабо- | транс-<br>порт-<br>ная | енип,р      | енидит | полная  | до<br>крыш-<br>ки |
| 1800—910<br>2000—963<br>2800—1240<br>6300<br>6300<br>6300<br>6300<br>6300—650<br>6300—1680<br>6300—1680<br>6300—1680<br>63000—1680<br>63000—1680<br>63000—1680<br>63000—1680<br>63000—1680<br>63000—1680<br>63000—1680<br>63000—1680<br>63000—1680<br>63000—1680<br>63000—1680<br>63000—1680<br>63000—1680<br>63000—1680<br>63000—1680<br>63000—1680<br>63000—1680<br>63000—1680<br>63000—1680<br>63000—1680<br>63000—1680<br>63000—1680<br>63000—1680<br>63000—1680<br>63000—1680<br>63000—1680<br>63000—1680<br>63000—1680<br>63000—1680<br>63000—1680<br>63000—1680<br>63000—1680<br>63000—1680<br>63000—1680<br>63000—1680<br>63000—1680<br>63000—1680<br>63000—1680<br>63000—1680<br>63000—1680<br>63000—1680<br>63000—1680<br>63000—1680<br>63000—1680<br>63000—1680<br>63000—1680<br>63000—1680<br>63000—1680<br>63000—1680<br>63000—1680<br>63000—1680<br>63000—1680<br>63000—1680<br>63000—1680<br>63000—1680<br>63000—1680<br>63000—1680<br>63000—1680<br>63000—1680<br>63000—1680<br>63000—1680<br>63000—1680<br>63000—1680<br>63000—1680<br>63000—1680<br>63000—1680<br>63000—1680<br>63000—1680<br>63000—1680<br>63000—1680<br>63000—1680<br>63000—1680<br>63000—1680<br>63000—1680<br>63000—1680<br>63000—1680<br>63000—1680<br>63000—1680<br>63000—1680<br>63000—1680<br>63000—1680<br>63000—1680<br>63000<br>63000<br>63000<br>63000<br>63000<br>63000<br>63000<br>63000<br>63000<br>63000<br>63000<br>63000<br>63000<br>63000<br>63000<br>63000<br>63000<br>63000<br>63000<br>63000<br>63000<br>63000<br>63000<br>63000<br>63000<br>63000<br>63000<br>63000<br>63000<br>63000<br>63000<br>63000<br>63000<br>63000<br>63000<br>63000<br>63000<br>63000<br>63000<br>63000<br>63000<br>63000<br>63000<br>63000<br>63000<br>63000<br>63000<br>63000<br>63000<br>63000<br>63000<br>63000<br>63000<br>63000<br>63000<br>63000<br>63000<br>63000<br>63000<br>63000<br>63000<br>63000<br>63000<br>63000<br>63000<br>63000<br>63000<br>63000<br>63000<br>63000<br>63000<br>63000<br>63000<br>63000<br>63000<br>63000<br>63000<br>63000<br>63000<br>63000<br>63000<br>63000<br>63000<br>63000<br>63000<br>63000<br>63000<br>63000<br>63000<br>63000<br>63000<br>63000<br>63000<br>63000<br>63000<br>63000<br>63000<br>63000<br>63000<br>63000<br>63000<br>63000<br>63000<br>63000<br>63000<br>63000<br>63000<br>63000<br>63000<br>63000<br>63000<br>63000<br>63000<br>63000<br>63000<br>63000<br>63000<br>63000<br>63000<br>63000<br>63000<br>63000<br>63000<br>63000<br>63000<br>63000<br>63000<br>63000<br>63000<br>63000<br>63000<br>63000<br>63000<br>63000<br>63000<br>63000<br>63000<br>63000                                           | 242–122,5<br>243–116<br>257–114<br>15,1–73,4<br>14,6–70,8<br>40,8–210,4 |                           |          |          |       |                        |             | 1      | 1=      |                   |
| 1800—910<br>2800—1240<br>6300<br>1200—807<br>6300<br>6300<br>6300<br>6300—650<br>6300—1680<br>6300—1680<br>63000—1680<br>63000—1680<br>63000—1680<br>63000—1680<br>63000—1680<br>63000—1680<br>63000—1680<br>63000—1680<br>63000—1680<br>63000—1680<br>63000—1680<br>63000—1680<br>63000—1680<br>63000—1680<br>63000—1680<br>63000—1680<br>63000—1680<br>63000—1680<br>63000—1680<br>63000—1680<br>63000—1680<br>63000—1680<br>63000—1680<br>63000—1680<br>63000—1680<br>63000—1680<br>63000—1680<br>63000—1680<br>63000—1680<br>63000—1680<br>63000—1680<br>63000—1680<br>63000—1680<br>63000—1680<br>63000—1680<br>63000—1680<br>63000—1680<br>63000—1680<br>63000—1680<br>63000—1680<br>63000—1680<br>63000—1680<br>63000—1680<br>63000—1680<br>63000—1680<br>63000—1680<br>63000—1680<br>63000—1680<br>63000—1680<br>63000—1680<br>63000—1680<br>63000<br>63000—1680<br>63000<br>63000<br>63000<br>63000<br>63000<br>63000<br>63000<br>63000<br>63000<br>63000<br>63000<br>63000<br>63000<br>63000<br>63000<br>63000<br>63000<br>63000<br>63000<br>63000<br>63000<br>63000<br>63000<br>63000<br>63000<br>63000<br>63000<br>63000<br>63000<br>63000<br>63000<br>63000<br>63000<br>63000<br>63000<br>63000<br>63000<br>63000<br>63000<br>63000<br>63000<br>63000<br>63000<br>63000<br>63000<br>63000<br>63000<br>63000<br>63000<br>63000<br>63000<br>63000<br>63000<br>63000<br>63000<br>63000<br>63000<br>63000<br>63000<br>63000<br>63000<br>63000<br>63000<br>63000<br>63000<br>63000<br>63000<br>63000<br>63000<br>63000<br>63000<br>63000<br>63000<br>63000<br>63000<br>63000<br>63000<br>63000<br>63000<br>63000<br>63000<br>63000<br>63000<br>63000<br>63000<br>63000<br>63000<br>63000<br>63000<br>63000<br>63000<br>63000<br>63000<br>63000<br>63000<br>63000<br>63000<br>63000<br>63000<br>63000<br>63000<br>63000<br>63000<br>63000<br>63000<br>63000<br>63000<br>63000<br>63000<br>63000<br>63000<br>63000<br>63000<br>63000<br>63000<br>63000<br>63000<br>63000<br>63000<br>63000<br>63000<br>63000<br>63000<br>63000<br>63000<br>63000<br>63000<br>63000<br>63000<br>63000<br>63000<br>63000<br>63000<br>63000<br>63000<br>63000<br>63000<br>63000<br>63000<br>63000<br>63000<br>63000<br>63000<br>63000<br>63000<br>63000<br>63000<br>63000<br>63000<br>63000<br>63000<br>63000<br>63000<br>63000<br>63000<br>63000<br>63000<br>63000<br>63000<br>63000<br>63000<br>63000<br>63000<br>63000<br>63000<br>63000<br>63000<br>63000<br>63000<br>63000<br>63000<br>63000<br>63000<br>63000<br>63000<br>63000<br>63000<br>630000<br>63000<br>63000<br>630000<br>630000<br>630000<br>63000<br>63000<br>630000<br>630000<br>630000<br>63000 | 242-122.0<br>243-116<br>257-114<br>15,1-73,4<br>14,6-70,8<br>14,6-73,4  | 1                         | 1        | 1        | 4     |                        | l           | ı      | 1       | 1                 |
| 2800—963 6;<br>2800—1240 6;<br>485—200 6;<br>1200—807 6;<br>6300 6;<br>2500—500 6;<br>2500—1680 6;<br>2500—1680 6;<br>2500—1680 6;<br>2500—1680 6;<br>2500—1680 6;                                                                                                                                                                                                                                                                                                                                                                                                                                                                                                                                                                                                                                                                                                                                                                                                                                                                                                                                                                                                                                                                                                                                                                                                                                                                                                                                                                                                                                                                                                                                                                                                                                                                                                                                                                                                                                                                                                                                                                                                                                                                                                                                                                                                                                                                                                                                                                                                                                                                                   | 257—114<br>15,1—73,4<br>14,6—70,8<br>40,8—210,4<br>14,6—73,4            |                           | 1        | 13.0     | ı     | 1                      | 3,22        | 1,77   | 3,87    | 2,61              |
| 2800—1240 6;<br>485—200 6;<br>1200—807 6;<br>6300 6;<br>2500—550 6;<br>4000—1680 6;<br>2500—5500 6;<br>2500—5500 6;<br>4600—1680 6;<br>2500—5600 6;<br>2500—5600 6;                                                                                                                                                                                                                                                                                                                                                                                                                                                                                                                                                                                                                                                                                                                                                                                                                                                                                                                                                                                                                                                                                                                                                                                                                                                                                                                                                                                                                                                                                                                                                                                                                                                                                                                                                                                                                                                                                                                                                                                                                                                                                                                                                                                                                                                                                                                                                                                                                                                                                  | 15,1—73,4<br>14,6—70,8<br>40,8—210,4<br>14,6—73,4                       | _                         | ı        | 18.7     | i     | 1                      | 4,39        | 3,03   | 3,11    | I                 |
| 485—200 6;<br>1200—807 6;<br>6300 6;<br>1500—355 6;<br>2500—560 6;<br>2500—3500 6;<br>2500—5600 6;<br>4600—1680 6;                                                                                                                                                                                                                                                                                                                                                                                                                                                                                                                                                                                                                                                                                                                                                                                                                                                                                                                                                                                                                                                                                                                                                                                                                                                                                                                                                                                                                                                                                                                                                                                                                                                                                                                                                                                                                                                                                                                                                                                                                                                                                                                                                                                                                                                                                                                                                                                                                                                                                                                                   | 14,6—73,4<br>14,6—73,4                                                  | 10                        | _        | 8 14     | ı     | 1                      | 2,7         | 2,08   | 3,42    | 1                 |
| 1200—807 6;<br>6300 6;<br>1600—355 6;<br>2500—500 6;<br>2500—3500 6;<br>52000—5500 6;                                                                                                                                                                                                                                                                                                                                                                                                                                                                                                                                                                                                                                                                                                                                                                                                                                                                                                                                                                                                                                                                                                                                                                                                                                                                                                                                                                                                                                                                                                                                                                                                                                                                                                                                                                                                                                                                                                                                                                                                                                                                                                                                                                                                                                                                                                                                                                                                                                                                                                                                                                | 40,8—73,4                                                               |                           |          |          |       |                        |             |        |         |                   |
| 6300 6;<br>1600—355 6;<br>2500—500 6;<br>4000—1680 6;<br>2500—5500 6;<br>4500 6;                                                                                                                                                                                                                                                                                                                                                                                                                                                                                                                                                                                                                                                                                                                                                                                                                                                                                                                                                                                                                                                                                                                                                                                                                                                                                                                                                                                                                                                                                                                                                                                                                                                                                                                                                                                                                                                                                                                                                                                                                                                                                                                                                                                                                                                                                                                                                                                                                                                                                                                                                                     | 14,6-73,4                                                               | 5,5                       | 1        | 06*6     | I     | 1                      | 3,13        | 1,76   | 3,525   | Ī                 |
| 1600—355 6;<br>2500—500 6;<br>4000—1680 6;<br>5000—5500 6;<br>54500 6;                                                                                                                                                                                                                                                                                                                                                                                                                                                                                                                                                                                                                                                                                                                                                                                                                                                                                                                                                                                                                                                                                                                                                                                                                                                                                                                                                                                                                                                                                                                                                                                                                                                                                                                                                                                                                                                                                                                                                                                                                                                                                                                                                                                                                                                                                                                                                                                                                                                                                                                                                                               |                                                                         | 12,0 10,37                | 7 22,8   | 28,85    | 10,8  | 7,75                   | 4,3         | 3,43   | 8,4     | 3,2               |
| 1600—355 6;<br>2500—500 6;<br>4000—1680 6;<br>5000—3500 6;<br>5000—5500 6;<br>4500 6;                                                                                                                                                                                                                                                                                                                                                                                                                                                                                                                                                                                                                                                                                                                                                                                                                                                                                                                                                                                                                                                                                                                                                                                                                                                                                                                                                                                                                                                                                                                                                                                                                                                                                                                                                                                                                                                                                                                                                                                                                                                                                                                                                                                                                                                                                                                                                                                                                                                                                                                                                                | 403-7049                                                                |                           |          |          |       |                        | C.          | 0 45   | c c     | 735               |
| 2500—500 6;<br>4000—1680 6;<br>5000—500 6;<br>4500 6;                                                                                                                                                                                                                                                                                                                                                                                                                                                                                                                                                                                                                                                                                                                                                                                                                                                                                                                                                                                                                                                                                                                                                                                                                                                                                                                                                                                                                                                                                                                                                                                                                                                                                                                                                                                                                                                                                                                                                                                                                                                                                                                                                                                                                                                                                                                                                                                                                                                                                                                                                                                                | 394—1968                                                                | 0,0                       | ı        | 10,5     | 1     | 1                      | 2,          | OF 67  | 0,4     | , 10°             |
| 4000—1680 6;<br>2500—3500 6;<br>5000—5500 6;<br>4500 6;                                                                                                                                                                                                                                                                                                                                                                                                                                                                                                                                                                                                                                                                                                                                                                                                                                                                                                                                                                                                                                                                                                                                                                                                                                                                                                                                                                                                                                                                                                                                                                                                                                                                                                                                                                                                                                                                                                                                                                                                                                                                                                                                                                                                                                                                                                                                                                                                                                                                                                                                                                                              | 1057—211                                                                | 7.5                       | 1        | 12,7     | 1     | 1                      | 3,56        | 1,62   | 3,81    | 2,56              |
| 2500—1680 6;<br>5000—2500 6;<br>4500 6;                                                                                                                                                                                                                                                                                                                                                                                                                                                                                                                                                                                                                                                                                                                                                                                                                                                                                                                                                                                                                                                                                                                                                                                                                                                                                                                                                                                                                                                                                                                                                                                                                                                                                                                                                                                                                                                                                                                                                                                                                                                                                                                                                                                                                                                                                                                                                                                                                                                                                                                                                                                                              | 1957389                                                                 | 0,01                      | 1        | 15.0     | ı     | 1                      | 3,55        | 2,0    | 3,7     | 2,68              |
| 2500—3500<br>5000—5500<br>61<br>4500<br>61                                                                                                                                                                                                                                                                                                                                                                                                                                                                                                                                                                                                                                                                                                                                                                                                                                                                                                                                                                                                                                                                                                                                                                                                                                                                                                                                                                                                                                                                                                                                                                                                                                                                                                                                                                                                                                                                                                                                                                                                                                                                                                                                                                                                                                                                                                                                                                                                                                                                                                                                                                                                           | 281-130                                                                 |                           | _        | 10       | 8     | 0                      | 3.48        | 0,00   | 4.22    | 2.62              |
| 5000—5500 6:                                                                                                                                                                                                                                                                                                                                                                                                                                                                                                                                                                                                                                                                                                                                                                                                                                                                                                                                                                                                                                                                                                                                                                                                                                                                                                                                                                                                                                                                                                                                                                                                                                                                                                                                                                                                                                                                                                                                                                                                                                                                                                                                                                                                                                                                                                                                                                                                                                                                                                                                                                                                                                         | 176,5–371                                                               |                           | -        | 21.20    | 3-1   | 3 [                    | 1           | - 1    |         | 1                 |
| OC.                                                                                                                                                                                                                                                                                                                                                                                                                                                                                                                                                                                                                                                                                                                                                                                                                                                                                                                                                                                                                                                                                                                                                                                                                                                                                                                                                                                                                                                                                                                                                                                                                                                                                                                                                                                                                                                                                                                                                                                                                                                                                                                                                                                                                                                                                                                                                                                                                                                                                                                                                                                                                                                  | 178 89                                                                  | _                         |          | 22,00    | 6,7   | ۰<br>در                | မ မ<br>တို့ | 2,57   |         | 2,78              |
| 5000                                                                                                                                                                                                                                                                                                                                                                                                                                                                                                                                                                                                                                                                                                                                                                                                                                                                                                                                                                                                                                                                                                                                                                                                                                                                                                                                                                                                                                                                                                                                                                                                                                                                                                                                                                                                                                                                                                                                                                                                                                                                                                                                                                                                                                                                                                                                                                                                                                                                                                                                                                                                                                                 | 278-116,5                                                               | -                         | 38 19,00 | 19,485   | 5,65  | 1,01                   | 200         | , c    |         | 2,400             |
| 9 0006                                                                                                                                                                                                                                                                                                                                                                                                                                                                                                                                                                                                                                                                                                                                                                                                                                                                                                                                                                                                                                                                                                                                                                                                                                                                                                                                                                                                                                                                                                                                                                                                                                                                                                                                                                                                                                                                                                                                                                                                                                                                                                                                                                                                                                                                                                                                                                                                                                                                                                                                                                                                                                               | 818,5—115                                                               | 21.00                     | _        | 42,04    | 14.5  | 3,5                    | 4,65        | 2,89   | 5,27    | 3,36              |
| 10 500                                                                                                                                                                                                                                                                                                                                                                                                                                                                                                                                                                                                                                                                                                                                                                                                                                                                                                                                                                                                                                                                                                                                                                                                                                                                                                                                                                                                                                                                                                                                                                                                                                                                                                                                                                                                                                                                                                                                                                                                                                                                                                                                                                                                                                                                                                                                                                                                                                                                                                                                                                                                                                               | 964 89.6                                                                |                           |          | 44,0     | 11,5  | 1                      | 6           | 0,0    |         | Ī                 |
| 12 500                                                                                                                                                                                                                                                                                                                                                                                                                                                                                                                                                                                                                                                                                                                                                                                                                                                                                                                                                                                                                                                                                                                                                                                                                                                                                                                                                                                                                                                                                                                                                                                                                                                                                                                                                                                                                                                                                                                                                                                                                                                                                                                                                                                                                                                                                                                                                                                                                                                                                                                                                                                                                                               | 401-134                                                                 |                           | _        | 43,0     | 11,0  | 1                      | 5,28        | 3,08   | 3,65    | ì                 |
| 000 06                                                                                                                                                                                                                                                                                                                                                                                                                                                                                                                                                                                                                                                                                                                                                                                                                                                                                                                                                                                                                                                                                                                                                                                                                                                                                                                                                                                                                                                                                                                                                                                                                                                                                                                                                                                                                                                                                                                                                                                                                                                                                                                                                                                                                                                                                                                                                                                                                                                                                                                                                                                                                                               | 1                                                                       |                           | _        | 35       |       | 11.00                  | 4 67 L      | 9 43   | 5 45    | 3.62              |
| STIL45000/35 45 000 35                                                                                                                                                                                                                                                                                                                                                                                                                                                                                                                                                                                                                                                                                                                                                                                                                                                                                                                                                                                                                                                                                                                                                                                                                                                                                                                                                                                                                                                                                                                                                                                                                                                                                                                                                                                                                                                                                                                                                                                                                                                                                                                                                                                                                                                                                                                                                                                                                                                                                                                                                                                                                               | 164,1—591,5                                                             | 26.5 21.8                 | 88.85    | 41,00    | 12,0  | 10,8                   | 4,72        | 2,1    | 5,7     | 3,87              |
| 45 000                                                                                                                                                                                                                                                                                                                                                                                                                                                                                                                                                                                                                                                                                                                                                                                                                                                                                                                                                                                                                                                                                                                                                                                                                                                                                                                                                                                                                                                                                                                                                                                                                                                                                                                                                                                                                                                                                                                                                                                                                                                                                                                                                                                                                                                                                                                                                                                                                                                                                                                                                                                                                                               | 000 000 000                                                             | -                         |          |          |       |                        | Ī           |        |         |                   |
|                                                                                                                                                                                                                                                                                                                                                                                                                                                                                                                                                                                                                                                                                                                                                                                                                                                                                                                                                                                                                                                                                                                                                                                                                                                                                                                                                                                                                                                                                                                                                                                                                                                                                                                                                                                                                                                                                                                                                                                                                                                                                                                                                                                                                                                                                                                                                                                                                                                                                                                                                                                                                                                      |                                                                         |                           |          |          |       |                        |             |        |         |                   |

Технические данные трансформаторов для питания преобразовательных установок

| £ 6000  | 1 620              | трансфор-<br>матора |
|---------|--------------------|---------------------|
| May     |                    | масла               |
|         | инальные первичные | напряжение, кВ      |
| раметры | номинал            | мошность,           |
| Парам   | итрямленные        | напряжение, В       |
|         | Benthan            | Tok, A              |
|         |                    | ійп трансформатора  |

А. Масляные со встроенным уравнительным реактором для питания ртутных вентилей по скоме две об ратым заведы

|                                 | 10 CX                        | по схеме ове ооратные звезом | the 38630h                   |                 |      |       |
|---------------------------------|------------------------------|------------------------------|------------------------------|-----------------|------|-------|
| VTMPV-2000/10                   | 1750<br>3000<br>3000         | 230<br>245                   | 945<br>846<br>901            | 6,0; 10,01      | 1,45 | 5,05  |
| VTMP-2000/10                    | 1000<br>1750<br>3000         | 660<br>460<br>245            | 753<br>945<br>901            | 0,01            | 1,50 | 4,80  |
| <i>y</i> TMP <i>y</i> -2600/10  | 1450<br>1750<br>2000<br>3000 | 842<br>825<br>600<br>460     | 1372<br>1650<br>1385<br>1620 | 6,0; 6,3; 10,0  | 2,20 | 8,20  |
| YTMPY-2600/10T<br>TMPY-2600/10T | 1350                         | 230<br>750<br>825            | 1060<br>1500<br>1650         | 11,0            | 2,40 | 8,80  |
| VTMPV-3500/35                   | 1000<br>2500<br>3000<br>6000 | 1650<br>825<br>600<br>230    | 1850<br>2360<br>2080<br>1580 | 6,0; 6,3; 10,0; | 4,40 | 13,50 |

Продолжение табл. ПІ-6

|                                   |                                      | Пара                              | Параметры                            |                       | 3%     |                     |
|-----------------------------------|--------------------------------------|-----------------------------------|--------------------------------------|-----------------------|--------|---------------------|
| E                                 | Retupa                               | выпрямленные                      | номина                               | номинальные первичные | ORIA?  | Macca, T            |
| ь ил трансформатора               | ток, А                               | напряжение, В                     | мошность,<br>хВ·А                    | напряжение, кВ        | масла  | трансфор-<br>матора |
| VTMP-35000/35X<br>VTMPV-35000/35B | 2000                                 | 755                               | 1850<br>1464                         | 5,23<br>15,75         | 4,50   | 13,05               |
| TMPV-3500/35T                     | 2000<br>2500<br>2500                 | 825<br>825<br>750                 | 1890<br>2360<br>2142                 | 6,0; 6,6; 11,0        | 4,58   | 15,50               |
| VTMPY-6300/35B                    | 3200                                 | 485                               | 2410                                 | 20,0                  | 5,52   | 20,27               |
| VTMPV-6300/35                     | 1000<br>2000<br>5000<br>6000<br>6000 | 3300<br>1650<br>825<br>460<br>600 | 3700<br>3700<br>4780<br>3240<br>4220 | 6,0; 6,6; 11,0        | 5,86   | 20,80               |
| VTMP-6300/35                      | 3000<br>2×3000                       | 1400                              | 4945<br>4960                         | 10,0                  | } 5,46 | 19,50               |
| TMPY-16000/10-1                   | 3000                                 | 3300                              | 11 000                               | 6,0; 10,5             | 13,10  | 45,00               |
| TДPУ-20000/10Ж                    | 2000<br>3200                         | 3020—3770                         | 9240<br>11830                        | } 10,5                | 11,10  | 39,80               |
| ТДРУ-20000/35                     | 3000                                 | 3100—3700                         | 11300                                | 35 <u>+</u> ·2×5%     | 11,60  | 40,50               |

Продолжение табл. ПІ-6

|                                   |                      | Пара                                 | Параметры            |                       | 7      |                     |
|-----------------------------------|----------------------|--------------------------------------|----------------------|-----------------------|--------|---------------------|
| í                                 | вытрямленные         | тенные                               | номина               | номинальные первичные | Wa     | Macca, T            |
| ил трансформатора                 | ток, А               | напряжение, В                        | мошность,<br>кВ.А    | напряжение, кВ        | масла  | трансфор-<br>матора |
| +                                 | Б. То же,            | Б. То же, регулируемые под нагрузкой | под нагрузк          | oŭ                    |        |                     |
| TMPV H-2000/10<br>TMPV H-2000/10T | 1400<br>800<br>1120  | 460<br>500<br>460                    | 757<br>470<br>604    | 10,0<br>6,6<br>11,0   | 3,83   | 11,37               |
| <b>IMP</b> VH-4000/10             | 1500<br>2800         | 825<br>460<br>345                    | 1430<br>1510<br>1145 | 6,0<br>10,0           | } 5,22 | 16,95               |
| T.MPVH-4000/10T                   | 2240<br>2500<br>1200 | 460<br>345<br>825                    | 1132<br>1132<br>1132 | 10,0                  | 5,20   | 17,10               |
| TMPVH-8000/10                     | 3000                 | 825                                  | 2862                 | 6,0                   | 6,90   | 24,40               |
| IMPVH-8000/10T                    | 2400                 | 825                                  | 2992                 | 9,9                   | 7,10   | 24,50               |
| TMPY-16000/10                     | 6500                 | 006                                  | 0229                 | 6,0                   | 12,60  | 39,00               |
| TJIPV H-16000/10T                 | 5500                 | 910                                  | 5730                 | 6,3                   | 12,70  | 40,30               |
| <b>ТДРУ</b> Н-25000/10            | 2×4500               | 1050                                 | 11000                | 10,0                  | 21,30  | 63,50               |
| 4 TAPVH-40000/10                  | 2×10 000<br>2×9000   | 825<br>910                           | 19650<br>20040       | 10,0                  | 33,00  | 92,20               |

| 2                  |                 |               |                   |                       |        |                     |
|--------------------|-----------------|---------------|-------------------|-----------------------|--------|---------------------|
|                    | 35011036        | Hapar         | Параметры         |                       | Morran | F                   |
| Terr morror Annes  | Bernpa          | выпрямленные  | номинал           | номинальные первичные |        | . (p)               |
| zui ipatrupomatopa | ток, А          | напряжение, В | мошность,<br>кВ.А | напряжение, кВ        | масла  | трансфор-<br>матора |
| ТДРУН-40000/10T    | 2×80 <b>0</b> 0 | 825           | 15 825            | 11,0                  | 33,00  | 92,80               |
| TAP》HF-20000/110   | 3000            | 3700—3500     | 12 750            | 110                   | 20,60  | 57,75               |
| ТДЦТРУН-25000/110П | 3000            | 3300          | 13 400            | 110                   | 16,20  | 60,00               |

В. Масляные без уравнительного реактора для питания ртутных выпрямителей

|               | 1                  | по реверсивной схеме       | схеме                  |              |       |       |
|---------------|--------------------|----------------------------|------------------------|--------------|-------|-------|
| TMP-3200/10   | 3200               | 660                        | 2430                   | 10,0         | 4,55  | 13,00 |
| TMP-3200/10T  | 2×1600             | 460                        | 1750                   | 11,0         | 4,55  | 13,00 |
| ТДР-12500/10Т | 2×4000             | 825                        | 2×3350                 | 11,0         | 10,00 | 40,00 |
| ТДР-20000/10T | 2×6300             | 825                        | 2×4910                 | 11,0         | 13,00 | 50,00 |
| TAP-12500/110 | 2×5000             | 825                        | 2×4780                 | 110,0        | 16,60 | 52,20 |
| TMPH-1600/10  | Г. То же<br>  1400 | Г. То же регулируемые 1400 | под нагрузкой<br>  757 | oŭ<br>  10,0 | 3,75  | 10,91 |
| TMPH-1600/101 | 1120               | 460                        | 604                    | 11,0         | 3,63  | 10,84 |

| Тип транеформатора         ток, А         напряжение, В         мощность, КВ.А.         напряжение, кВ.А.         напряжен |                                                                                                                                                                                                                                                                                                                                                                                                                                                                                                                                                                                                                                                                                                                                                                                                                                                                                                                                                                                                                                                                                                                                                                                                                                                                                                                                                                                                                                                                                                                                                                                                                                                                                                                                                                                                                                                                                                                                                                                                                                                                                                                                |                                         | Пара           | Параметры           |                  | 77    | -                   |
|--------------------------------------------------------------------------------------------------------------------------------------------------------------------------------------------------------------------------------------------------------------------------------------------------------------------------------------------------------------------------------------------------------------------------------------------------------------------------------------------------------------------------------------------------------------------------------------------------------------------------------------------------------------------------------------------------------------------------------------------------------------------------------------------------------------------------------------------------------------------------------------------------------------------------------------------------------------------------------------------------------------------------------------------------------------------------------------------------------------------------------------------------------------------------------------------------------------------------------------------------------------------------------------------------------------------------------------------------------------------------------------------------------------------------------------------------------------------------------------------------------------------------------------------------------------|--------------------------------------------------------------------------------------------------------------------------------------------------------------------------------------------------------------------------------------------------------------------------------------------------------------------------------------------------------------------------------------------------------------------------------------------------------------------------------------------------------------------------------------------------------------------------------------------------------------------------------------------------------------------------------------------------------------------------------------------------------------------------------------------------------------------------------------------------------------------------------------------------------------------------------------------------------------------------------------------------------------------------------------------------------------------------------------------------------------------------------------------------------------------------------------------------------------------------------------------------------------------------------------------------------------------------------------------------------------------------------------------------------------------------------------------------------------------------------------------------------------------------------------------------------------------------------------------------------------------------------------------------------------------------------------------------------------------------------------------------------------------------------------------------------------------------------------------------------------------------------------------------------------------------------------------------------------------------------------------------------------------------------------------------------------------------------------------------------------------------------|-----------------------------------------|----------------|---------------------|------------------|-------|---------------------|
| ток, А         напряжение, В         мощность, кв.А.         напряжение, кв.А.         мошность, кв.А.         напряжение, кв.А.         мошность, кв.А.         напряжение, кв.А.         масла           Т         2240         460         1210         \$ 10,0         5,22           4000         660         3900         10,0         7,23           Г         3200         660         2460         11,0         7,11           Д. То же, для питания ртупных выпрамителей по мостовой схеме         7,11         7,25           5         1000         14 850—10 252         15 500         5,0; 10,5; 35,0; 7,25           80007         1480         11 260         6,0         11,72           2×3250         1490         11 260         6,0         11,70                                                                                                                                                                                                                                                                                                                                                                                                                                                                                                                                                                                                                                                                                                                                                                                      | And the second s | выпря                                   | мленные        | номина              | льные первичные  | Mad   | ca, T               |
| T $2800$ $\frac{460}{345}$ $1510$ $10.0$ $5.22$ $1.240$ $460$ $1.210$ $11.0$ $11.0$ $5.12$ $10.0$ $10.0$ $10.0$ $10.0$ $10.0$ $10.0$ $10.0$ $10.0$ $10.0$ $10.0$ $10.0$ $10.0$ $10.0$ $10.0$ $10.0$ $10.0$ $10.0$ $10.0$ $10.0$ $10.0$ $10.0$ $10.0$ $10.0$ $10.0$ $10.0$ $10.0$ $10.0$ $10.0$ $10.0$ $10.0$ $10.0$ $10.0$ $10.0$ $10.0$ $10.0$ $10.0$ $10.0$ $10.0$ $10.0$ $10.0$ $10.0$ $10.0$ $10.0$ $10.0$ $10.0$ $10.0$ $10.0$ $10.0$ $10.0$ $10.0$ $10.0$ $10.0$ $10.0$ $10.0$ $10.0$ $10.0$ $10.0$ $10.0$ $10.0$ $10.0$ $10.0$ $10.0$ $10.0$ $10.0$ $10.0$ $10.0$ $10.0$ $10.0$ $10.0$ $10.0$ $10.0$                                                                                                                                                                                                                                                                                                                                                                                                                                                                                                                                                                                                                                                                                                                                                                                                                                                                                                                                                  | тип трымсцуорматора                                                                                                                                                                                                                                                                                                                                                                                                                                                                                                                                                                                                                                                                                                                                                                                                                                                                                                                                                                                                                                                                                                                                                                                                                                                                                                                                                                                                                                                                                                                                                                                                                                                                                                                                                                                                                                                                                                                                                                                                                                                                                                            | ток, А                                  | напряжение, В  | мошность,<br>кВ.А   | напряжение, кВ   | масла | трансфор.<br>матора |
| T $2240$<br>$2500$ $460$<br>$345$ $1210$<br>$1018$ $11,0$ $5,12$ F $4000$ $660$ $3900$ $10,0$ $7,23$ F $3200$ $660$ $2460$ $11,0$ $7,11$ T $750$ $3300_0^{11}$ $3500$ $6,0$ $10,5$ $35,0$ $7,25$ 5 $1000$ $14850-1025$ $15500$ $6,0$ $11,72$ 8 $80007$ $1490$ $13750$ $6,0$ $11,70$ 1000 $23250$ $11260$ $1120$ $11,70$                                                                                                                                                                                                                                                                                                                                                                                                                                                                                                                                                                                                                                                                                                                                                                                                                                                                                                                                                                                                                                                                                                                                                                                                                                      | T <b>MPH-</b> 3200/10                                                                                                                                                                                                                                                                                                                                                                                                                                                                                                                                                                                                                                                                                                                                                                                                                                                                                                                                                                                                                                                                                                                                                                                                                                                                                                                                                                                                                                                                                                                                                                                                                                                                                                                                                                                                                                                                                                                                                                                                                                                                                                          | 2800                                    | 460<br>345     | 1510<br>1145        | 0,01             | 5,22  | 16,20               |
| F $4000$ $660$ $3900$ $10,0$ $7,23$ T $3200$ $660$ $2460$ $11,0$ $7,11$ M. To жe, для питания ртутных выпрямителей по мостовой сжеме $750$ $3300$ ; $3500$ ; $3500$ $3500$ $5,0$ ; $10,5$ ; $35,0$ ; $7,25$ 5 $1000$ $14850-1025$ $15500$ $35,0$ $11,72$ 80007 $23250$ $1490$ $11260$ $6,0$ $11,70$                                                                                                                                                                                                                                                                                                                                                                                                                                                                                                                                                                                                                                                                                                                                                                                                                                                                                                                                                                                                                                                                                                                                                                                                                                                          | TMPH-3200/10T                                                                                                                                                                                                                                                                                                                                                                                                                                                                                                                                                                                                                                                                                                                                                                                                                                                                                                                                                                                                                                                                                                                                                                                                                                                                                                                                                                                                                                                                                                                                                                                                                                                                                                                                                                                                                                                                                                                                                                                                                                                                                                                  | 2240<br>2500                            | 460<br>345     | 1210<br>1018        | 11,0             | 5,12  | 16,27               |
| П. То же, для питания ртутных выпрямителей по мостовой схеме         2460         11,0         7,11           П. То же, для питания ртутных выпрямителей по мостовой схеме         3300; 3500         3500         6,0; 10,5; 35,0; 7,25           1000         14850—10252         15500         35,0         11,72           2x3250         1480         13750         6,0         11,20           11,70         11,70         11,70         11,70                                                                                                                                                                                                                                                                                                                                                                                                                                                                                                                                                                                                                                                                                                                                                                                                                                                                                                                                                                                                                                                                                                         | TMPH-6300/10                                                                                                                                                                                                                                                                                                                                                                                                                                                                                                                                                                                                                                                                                                                                                                                                                                                                                                                                                                                                                                                                                                                                                                                                                                                                                                                                                                                                                                                                                                                                                                                                                                                                                                                                                                                                                                                                                                                                                                                                                                                                                                                   | 4000                                    | 099            | 3900                | 10,0             | 7,23  | 23,70               |
| $A$ . То же, для питания ртутных выпрямителей по мостовой схеме 750 3300% 3500 6,0; 10,5; 35,0; 7,25 1000 14850—10252 15500 35,0 11,72 8000 $^{\circ}$ 1490 13750 6,0 11,20 11,70                                                                                                                                                                                                                                                                                                                                                                                                                                                                                                                                                                                                                                                                                                                                                                                                                                                                                                                                                                                                                                                                                                                                                                                                                                                                                                                                                                            | TMPH-6300/10T                                                                                                                                                                                                                                                                                                                                                                                                                                                                                                                                                                                                                                                                                                                                                                                                                                                                                                                                                                                                                                                                                                                                                                                                                                                                                                                                                                                                                                                                                                                                                                                                                                                                                                                                                                                                                                                                                                                                                                                                                                                                                                                  | 3200                                    | 099            | 2460                | 11,0             | 7,11  | 23,87               |
| 1000   14 850—10 252   15 500   35,0   11,72                                                                                                                                                                                                                                                                                                                                                                                                                                                                                                                                                                                                                                                                                                                                                                                                                                                                                                                                                                                                                                                                                                                                                                                                                                                                                                                                                                                                                                                                                                                 |                                                                                                                                                                                                                                                                                                                                                                                                                                                                                                                                                                                                                                                                                                                                                                                                                                                                                                                                                                                                                                                                                                                                                                                                                                                                                                                                                                                                                                                                                                                                                                                                                                                                                                                                                                                                                                                                                                                                                                                                                                                                                                                                | же <b>, для</b> п <b>ит</b> ания<br>750 | 3300;<br>зэоо; | ямителей по<br>3500 | 5,0; 10,5; 35,0; | 7,25  | 21,70               |
| 80007<br>2×3250 1490 13750 6,0 11,20 11,70                                                                                                                                                                                                                                                                                                                                                                                                                                                                                                                                                                                                                                                                                                                                                                                                                                                                                                                                                                                                                                                                                                                                                                                                                                                                                                                                                                                                                                                                                                                   | ТДРН-20000/35                                                                                                                                                                                                                                                                                                                                                                                                                                                                                                                                                                                                                                                                                                                                                                                                                                                                                                                                                                                                                                                                                                                                                                                                                                                                                                                                                                                                                                                                                                                                                                                                                                                                                                                                                                                                                                                                                                                                                                                                                                                                                                                  | 1000                                    | 14 850—10 252  | 15 500-             | 35,0             | 11,72 | 42,00               |
|                                                                                                                                                                                                                                                                                                                                                                                                                                                                                                                                                                                                                                                                                                                                                                                                                                                                                                                                                                                                                                                                                                                                                                                                                                                                                                                                                                                                                                                                                                                                                              | ТДРН-20000/10                                                                                                                                                                                                                                                                                                                                                                                                                                                                                                                                                                                                                                                                                                                                                                                                                                                                                                                                                                                                                                                                                                                                                                                                                                                                                                                                                                                                                                                                                                                                                                                                                                                                                                                                                                                                                                                                                                                                                                                                                                                                                                                  | 8000                                    | 1490           | 13 750<br>11 260    | 6,0<br>10,0      | 11,20 | 43,40<br>42,80      |

6,3; 10,5 4,55 13,00 Е. Масляные для питания силовых полупроводниковых выпрямителей по мостовой схеме

| 3065                |
|---------------------|
| 825                 |
| 3200                |
| 01/00ZE-LW1-3500/10 |

Продолжение табл. ПІ-6

|                      |                | Параметры                                           | етры              |                       | :     |                     |
|----------------------|----------------|-----------------------------------------------------|-------------------|-----------------------|-------|---------------------|
| TET TOTAL CONTRACTOR | B              | выпрямленные                                        | номинал           | номинальные первичные | Ma    | Macca, T            |
| тип трансформатора   | ток, А         | напряжение, В                                       | мощность,<br>кВ.А | напряжение, кВ        | масла | трансфор-<br>матора |
|                      | Ж. То же, с ре | Ж. То же, с регулированием напряжения под нагрузкой | экения под        | наг рузкой            |       |                     |
| TMHIIB-5000/10       | 3000           | 825+2×2,5%                                          | 2850              | 6,0; 10,5             | 5,02  | 17,75               |
| ТДНПВ-10000/10-I     | 12 500         | 300—33                                              | 4510              | 6,0; 10,0             | 8,50  | 26,00               |
| TAHIIB-10000/10C     | 12 500         | 300-36                                              | 4550              | 6,0; 10,0             | 8,90  | 26,40               |
| ТДНПВ-12500/10-I     | 12 500         | 45059                                               | 6750              | 6,0; 10,0             | 10,50 | 32,80               |
| TAHITB-12500/10C     | 12 500         | 45059                                               | 6750              | 6,0; 10,0             | 10,70 | 31,50               |
| TAHIIB-12500/35C     | 12 500         | 45059                                               | 6820              | 35,0                  | 13,40 | 36,10               |
| ТДНПВ-16000/10-1     | 25 000         | 300-30                                              | 9300              | 6,0; 10,0             | 14,15 | 33,70               |
| T 从HITB-16000/10C    | 25 000         | 300-70                                              | 9450              | 6,0; 10,0             | 14,20 | 39,50               |
| TДНПВ-25000/10-1     | 25 000         | 450—53                                              | 13 640            | 10,5                  | 14,40 | 47,70               |
| ТДНПВ-25000/10C      | 25 000         | 45057                                               | 13600             | 6,3; 10,5             | 14,60 | 46,70               |
| ТДНПВ-25000/35-I     | 25 000         | 450-279; 213-153                                    | 13 400            | 35,0                  | 17,70 | 51,80               |
| ТДНПВ-32000/10-II    | 25 000         | 09009                                               | 17 770            | 0,01                  | 24,44 | 72,20               |
| TAHITB-32000/10C     | 25 000         | 06-009                                              | 17 770            | 10,5                  | 18,30 | 53,00               |
| TAHIIB-40000/10-II   | 25 000         | 850-106                                             | 25 000            | 10,0                  | 29,28 | 93,00               |
| ТДНПВ-40000/10C      | 25 000         | 850260                                              | 25 000            | 10,5                  | 21,00 | 71,20               |
| TMHITB-4000/10-11    | 12 500         | 75                                                  | 1262              | 10,0/5,775            | 6,27  | 17,50               |
| TMHIIB-8000/10-II    | 25 000         | 7.5                                                 | 2524              | 10,0/5,775            | 9,35  | 26,00               |
| TAHFIB-12500/10-II   | 37 500         | 75                                                  | 3788              | 10,0/5,775            | 11,73 | 34,30               |

|                |        | Пара          | раметры        |                       | N CON |                     |
|----------------|--------|---------------|----------------|-----------------------|-------|---------------------|
| E              | выпря  | апрямленные   | номина         | номинальные первичные | 7130  | acca, 1             |
| трансформатора | ток, А | напряжение, В | мощность, кВ.А | напряжение, кВ        | масла | трансфор-<br>Матора |

3. Автотрансформаторы масляные с системой ожлаждения В для питания ППВ по сжеме две обратные звезды с встроенными уравнительными реакторами и дросселями насыщения

3,00 | 9,50 25 000 ATIIB-25000-24/10

И. Реакторы уравнительные масляные для комплектации траңсформаторов, питающих ртутные выпрямители по скеме две обратные звезды, однофазные

| <b>VPM-</b> 320 | 3200<br>2240<br>1800 | 460<br>660<br>825             | 1      | Γ | 0,32 | 1,40  |
|-----------------|----------------------|-------------------------------|--------|---|------|-------|
| yPM-630         | 6300<br>4000<br>3600 | 460<br>660<br>825             | 1      | 1 | 0,55 | 2,20  |
| 3PM-1000        | 7100<br>5600<br>4500 | 660<br>825<br>1050            | 1      | 1 | 0,95 | 3,80  |
| VPTM-2500       | A 10 000             | К. То же трехфазные   825   - | фазные |   | 3,30 | 10,40 |
| 95 VPTM-2500-1  | 3000                 | 3300                          | 1      | 1 | 2,29 | 7,65  |

Таблица П1-7

|                        |                                   |                                        |                                               | Mac   | Macca, T                |
|------------------------|-----------------------------------|----------------------------------------|-----------------------------------------------|-------|-------------------------|
| Тип автотрансформатора | Напряжение дитаю-<br>щей сети, кВ | Отрегулированное напряже-<br>ние, В    | Максимальная про-<br>кодная моцность,<br>кВ.А | Масла | автотранс-<br>форматора |
| ATMH-2500/10           | 6,9                               | 6600—1400                              | 1570                                          | 2,92  | 8,80                    |
| ATMH-2500/10-1         | 10,0                              | 16500—10500<br>10 500—2 500<br>8 000—0 | 2500<br>1590<br>1210                          | 3,16  | 9,35                    |
| ATMHY-10000/10         | 10,0                              | 14 250—10 500<br>10 500—5000<br>5000—0 | 10000<br>7360<br>3500                         | 00'9  | 18,33                   |
|                        | 6,0                               | 8550—6300<br>6300—3300<br>3000—0       | 6000<br>4418<br>21 <b>00</b>                  |       |                         |
|                        | 6,0                               | 11 500—6300<br>6300—300<br>6000—0      | ,<br>4050<br>2210<br>2100                     | Ŧ     | -                       |
| ATMH-10000/35          | 35,0                              | 36,750—19 843<br>19,031—0              | 10000 5175                                    | 11,00 | 29,50                   |
|                        | 38,5                              | 38 500—23 440<br>19 200—0              | 10000                                         |       |                         |

Технические данные вспомогательных трансформаторных агрегатов для регулирования напряжения

| M                               | BNCOTA            |                        |  |
|---------------------------------|-------------------|------------------------|--|
| Размеры, 1                      | енидип            |                        |  |
|                                 | диина             |                        |  |
| Масса, т                        | масла             | -тqопэнвqт<br>вен      |  |
|                                 |                   | явро <b>д</b> ва       |  |
|                                 | кенпоп            |                        |  |
|                                 | транспортная      |                        |  |
|                                 | активной<br>части |                        |  |
| Потери,<br>кВт                  |                   | короткого<br>замыкания |  |
|                                 |                   | ОТОТЭОЛОХ<br>ВДОЖ      |  |
| БДОХ                            | % ·x x,           |                        |  |
|                                 |                   | -                      |  |
| % 'E.                           | <sup>М</sup> п :  | —<br>Напряжение        |  |
| 1                               |                   |                        |  |
| 1                               |                   | Напряжение             |  |
| 1                               |                   | Напряжение             |  |
| Номинальное напря-<br>жение, кв | рово              | Напряжение             |  |

д. Последовательные транеформаторы для, регулирования напряжения под нагрузкой мощных силовых транеформаторов и автотранеформаторов 110—500 кВ

|     | 9                   | ~~~~                                                                                                                                                                                                                                                                                                                                                                                                                                                                                                                                                                                                                                                                                                                                                                                                                                                                 | 7                                      |
|-----|---------------------|----------------------------------------------------------------------------------------------------------------------------------------------------------------------------------------------------------------------------------------------------------------------------------------------------------------------------------------------------------------------------------------------------------------------------------------------------------------------------------------------------------------------------------------------------------------------------------------------------------------------------------------------------------------------------------------------------------------------------------------------------------------------------------------------------------------------------------------------------------------------|----------------------------------------|
|     | 4,5                 | 44444<br>00000                                                                                                                                                                                                                                                                                                                                                                                                                                                                                                                                                                                                                                                                                                                                                                                                                                                       | 4,7                                    |
|     | 5,4                 | က္ ကုက္ ကု<br>တက္ကတ္က်က္                                                                                                                                                                                                                                                                                                                                                                                                                                                                                                                                                                                                                                                                                                                                                                                                                                             | 7,8                                    |
|     | 19                  | 21,6<br>21,6<br>19,5<br>21,3                                                                                                                                                                                                                                                                                                                                                                                                                                                                                                                                                                                                                                                                                                                                                                                                                                         | 35                                     |
|     | 27,1                | 27,1<br>27,1<br>26,5<br>26,1                                                                                                                                                                                                                                                                                                                                                                                                                                                                                                                                                                                                                                                                                                                                                                                                                                         | 88                                     |
|     | 80,6                | 88888<br>851                                                                                                                                                                                                                                                                                                                                                                                                                                                                                                                                                                                                                                                                                                                                                                                                                                                         | 123                                    |
|     | 26                  | 88888                                                                                                                                                                                                                                                                                                                                                                                                                                                                                                                                                                                                                                                                                                                                                                                                                                                                | 73                                     |
|     | 26                  | 323333333                                                                                                                                                                                                                                                                                                                                                                                                                                                                                                                                                                                                                                                                                                                                                                                                                                                            | 22                                     |
| ,   | 150                 | 157<br>160<br>255<br>195<br>237                                                                                                                                                                                                                                                                                                                                                                                                                                                                                                                                                                                                                                                                                                                                                                                                                                      | 230                                    |
|     | 22                  | 8888                                                                                                                                                                                                                                                                                                                                                                                                                                                                                                                                                                                                                                                                                                                                                                                                                                                                 | 30                                     |
| •   | 4,0                 | 444.00<br>0000<br>000                                                                                                                                                                                                                                                                                                                                                                                                                                                                                                                                                                                                                                                                                                                                                                                                                                                | 5,5                                    |
|     | 472 4,9-12,6        | '2         628         7,0—10,9         4,0         70         157         32         65         81         27,1         21,6         5,6         4,5         7           '3         105         7,5—11,7         4,5         70         160         32         65         81         27,1         21,6         5,6         4,5         7           '2         860         9,7—15,6         4,0         65         255         35         68         83         26,5         19,5         5,6         4,9         7           '4         740         7,5—12,0         5,0         80         195         32         65         81         26,1         21,3         5,6         4,9         7           '3         1148         8,8—14,5         5,0         87         237         35         68         85         27         20         5,6         4,9         7 | 1013 7,0-10,5                          |
| 1-6 | +25,3               | 14444<br>14444<br>186,4437<br>186,4437                                                                                                                                                                                                                                                                                                                                                                                                                                                                                                                                                                                                                                                                                                                                                                                                                               | <b>+</b> 25                            |
| 7   | 38,5; 11            | 110; 11<br>13,8<br>10,5; 18<br>20; 13,8<br>38,5;                                                                                                                                                                                                                                                                                                                                                                                                                                                                                                                                                                                                                                                                                                                                                                                                                     | 15,75<br>38,5; 11                      |
|     | 180                 | 240<br>270<br>360<br>405<br>480                                                                                                                                                                                                                                                                                                                                                                                                                                                                                                                                                                                                                                                                                                                                                                                                                                      | 750                                    |
|     | ВРТДНУ-180000/35/35 | ВРТДНУ-240000/35/35 240 110; 11 ±24.2 628 7,0—10,9 4,0 70 157 32 65 81 27,1 21,6 5,6 4,5 7 8 8 8 8 8 8 8 8 8 8 8 8 8 8 8 8 8 8                                                                                                                                                                                                                                                                                                                                                                                                                                                                                                                                                                                                                                                                                                                                       | ВРТДНУ-750000/35/35 750 38,5; 11 1 ±25 |

Б. Линейные автотрансформаторы для регуликовсния напряжения 10—35 кВ

|                                                                                                                                                                                                                                                                                                                                                                                                                                                                                                                                                                                                                                                                                                                                                                                                                                                                                                                                                                                                                                                                                                                                                                                                                                                                                                                                                                                                                                                                                                                                                                                                                                                                                                                                                                                                                                                                                                                                                                                                                                                                                                                               | 0.0                                                               |
|-------------------------------------------------------------------------------------------------------------------------------------------------------------------------------------------------------------------------------------------------------------------------------------------------------------------------------------------------------------------------------------------------------------------------------------------------------------------------------------------------------------------------------------------------------------------------------------------------------------------------------------------------------------------------------------------------------------------------------------------------------------------------------------------------------------------------------------------------------------------------------------------------------------------------------------------------------------------------------------------------------------------------------------------------------------------------------------------------------------------------------------------------------------------------------------------------------------------------------------------------------------------------------------------------------------------------------------------------------------------------------------------------------------------------------------------------------------------------------------------------------------------------------------------------------------------------------------------------------------------------------------------------------------------------------------------------------------------------------------------------------------------------------------------------------------------------------------------------------------------------------------------------------------------------------------------------------------------------------------------------------------------------------------------------------------------------------------------------------------------------------|-------------------------------------------------------------------|
|                                                                                                                                                                                                                                                                                                                                                                                                                                                                                                                                                                                                                                                                                                                                                                                                                                                                                                                                                                                                                                                                                                                                                                                                                                                                                                                                                                                                                                                                                                                                                                                                                                                                                                                                                                                                                                                                                                                                                                                                                                                                                                                               | m m m m                                                           |
| D. Il who will be a second of the second of | 25,8 10,6 8,95 - 36,1 11,9 9,6 - 47,3 15,7 12,16 - 67,6 22,6 18,3 |
|                                                                                                                                                                                                                                                                                                                                                                                                                                                                                                                                                                                                                                                                                                                                                                                                                                                                                                                                                                                                                                                                                                                                                                                                                                                                                                                                                                                                                                                                                                                                                                                                                                                                                                                                                                                                                                                                                                                                                                                                                                                                                                                               | 00,00                                                             |
|                                                                                                                                                                                                                                                                                                                                                                                                                                                                                                                                                                                                                                                                                                                                                                                                                                                                                                                                                                                                                                                                                                                                                                                                                                                                                                                                                                                                                                                                                                                                                                                                                                                                                                                                                                                                                                                                                                                                                                                                                                                                                                                               | 2212                                                              |
|                                                                                                                                                                                                                                                                                                                                                                                                                                                                                                                                                                                                                                                                                                                                                                                                                                                                                                                                                                                                                                                                                                                                                                                                                                                                                                                                                                                                                                                                                                                                                                                                                                                                                                                                                                                                                                                                                                                                                                                                                                                                                                                               | 00-100                                                            |
|                                                                                                                                                                                                                                                                                                                                                                                                                                                                                                                                                                                                                                                                                                                                                                                                                                                                                                                                                                                                                                                                                                                                                                                                                                                                                                                                                                                                                                                                                                                                                                                                                                                                                                                                                                                                                                                                                                                                                                                                                                                                                                                               | 2,48,34                                                           |
|                                                                                                                                                                                                                                                                                                                                                                                                                                                                                                                                                                                                                                                                                                                                                                                                                                                                                                                                                                                                                                                                                                                                                                                                                                                                                                                                                                                                                                                                                                                                                                                                                                                                                                                                                                                                                                                                                                                                                                                                                                                                                                                               | C16140                                                            |
|                                                                                                                                                                                                                                                                                                                                                                                                                                                                                                                                                                                                                                                                                                                                                                                                                                                                                                                                                                                                                                                                                                                                                                                                                                                                                                                                                                                                                                                                                                                                                                                                                                                                                                                                                                                                                                                                                                                                                                                                                                                                                                                               | 1111                                                              |
|                                                                                                                                                                                                                                                                                                                                                                                                                                                                                                                                                                                                                                                                                                                                                                                                                                                                                                                                                                                                                                                                                                                                                                                                                                                                                                                                                                                                                                                                                                                                                                                                                                                                                                                                                                                                                                                                                                                                                                                                                                                                                                                               |                                                                   |
| -                                                                                                                                                                                                                                                                                                                                                                                                                                                                                                                                                                                                                                                                                                                                                                                                                                                                                                                                                                                                                                                                                                                                                                                                                                                                                                                                                                                                                                                                                                                                                                                                                                                                                                                                                                                                                                                                                                                                                                                                                                                                                                                             | 1111                                                              |
|                                                                                                                                                                                                                                                                                                                                                                                                                                                                                                                                                                                                                                                                                                                                                                                                                                                                                                                                                                                                                                                                                                                                                                                                                                                                                                                                                                                                                                                                                                                                                                                                                                                                                                                                                                                                                                                                                                                                                                                                                                                                                                                               |                                                                   |
|                                                                                                                                                                                                                                                                                                                                                                                                                                                                                                                                                                                                                                                                                                                                                                                                                                                                                                                                                                                                                                                                                                                                                                                                                                                                                                                                                                                                                                                                                                                                                                                                                                                                                                                                                                                                                                                                                                                                                                                                                                                                                                                               | 1 1 1 1                                                           |
|                                                                                                                                                                                                                                                                                                                                                                                                                                                                                                                                                                                                                                                                                                                                                                                                                                                                                                                                                                                                                                                                                                                                                                                                                                                                                                                                                                                                                                                                                                                                                                                                                                                                                                                                                                                                                                                                                                                                                                                                                                                                                                                               | 1111                                                              |
| 3                                                                                                                                                                                                                                                                                                                                                                                                                                                                                                                                                                                                                                                                                                                                                                                                                                                                                                                                                                                                                                                                                                                                                                                                                                                                                                                                                                                                                                                                                                                                                                                                                                                                                                                                                                                                                                                                                                                                                                                                                                                                                                                             | 3000                                                              |
| 2                                                                                                                                                                                                                                                                                                                                                                                                                                                                                                                                                                                                                                                                                                                                                                                                                                                                                                                                                                                                                                                                                                                                                                                                                                                                                                                                                                                                                                                                                                                                                                                                                                                                                                                                                                                                                                                                                                                                                                                                                                                                                                                             | 20<br>36<br>43                                                    |
|                                                                                                                                                                                                                                                                                                                                                                                                                                                                                                                                                                                                                                                                                                                                                                                                                                                                                                                                                                                                                                                                                                                                                                                                                                                                                                                                                                                                                                                                                                                                                                                                                                                                                                                                                                                                                                                                                                                                                                                                                                                                                                                               | 1111                                                              |
| ,                                                                                                                                                                                                                                                                                                                                                                                                                                                                                                                                                                                                                                                                                                                                                                                                                                                                                                                                                                                                                                                                                                                                                                                                                                                                                                                                                                                                                                                                                                                                                                                                                                                                                                                                                                                                                                                                                                                                                                                                                                                                                                                             | 1111                                                              |
|                                                                                                                                                                                                                                                                                                                                                                                                                                                                                                                                                                                                                                                                                                                                                                                                                                                                                                                                                                                                                                                                                                                                                                                                                                                                                                                                                                                                                                                                                                                                                                                                                                                                                                                                                                                                                                                                                                                                                                                                                                                                                                                               | -                                                                 |
| -                                                                                                                                                                                                                                                                                                                                                                                                                                                                                                                                                                                                                                                                                                                                                                                                                                                                                                                                                                                                                                                                                                                                                                                                                                                                                                                                                                                                                                                                                                                                                                                                                                                                                                                                                                                                                                                                                                                                                                                                                                                                                                                             |                                                                   |
|                                                                                                                                                                                                                                                                                                                                                                                                                                                                                                                                                                                                                                                                                                                                                                                                                                                                                                                                                                                                                                                                                                                                                                                                                                                                                                                                                                                                                                                                                                                                                                                                                                                                                                                                                                                                                                                                                                                                                                                                                                                                                                                               | 1111                                                              |
| )                                                                                                                                                                                                                                                                                                                                                                                                                                                                                                                                                                                                                                                                                                                                                                                                                                                                                                                                                                                                                                                                                                                                                                                                                                                                                                                                                                                                                                                                                                                                                                                                                                                                                                                                                                                                                                                                                                                                                                                                                                                                                                                             | 1111                                                              |
| 3                                                                                                                                                                                                                                                                                                                                                                                                                                                                                                                                                                                                                                                                                                                                                                                                                                                                                                                                                                                                                                                                                                                                                                                                                                                                                                                                                                                                                                                                                                                                                                                                                                                                                                                                                                                                                                                                                                                                                                                                                                                                                                                             |                                                                   |
| -                                                                                                                                                                                                                                                                                                                                                                                                                                                                                                                                                                                                                                                                                                                                                                                                                                                                                                                                                                                                                                                                                                                                                                                                                                                                                                                                                                                                                                                                                                                                                                                                                                                                                                                                                                                                                                                                                                                                                                                                                                                                                                                             | 1111                                                              |
|                                                                                                                                                                                                                                                                                                                                                                                                                                                                                                                                                                                                                                                                                                                                                                                                                                                                                                                                                                                                                                                                                                                                                                                                                                                                                                                                                                                                                                                                                                                                                                                                                                                                                                                                                                                                                                                                                                                                                                                                                                                                                                                               |                                                                   |
| -                                                                                                                                                                                                                                                                                                                                                                                                                                                                                                                                                                                                                                                                                                                                                                                                                                                                                                                                                                                                                                                                                                                                                                                                                                                                                                                                                                                                                                                                                                                                                                                                                                                                                                                                                                                                                                                                                                                                                                                                                                                                                                                             |                                                                   |
| 2                                                                                                                                                                                                                                                                                                                                                                                                                                                                                                                                                                                                                                                                                                                                                                                                                                                                                                                                                                                                                                                                                                                                                                                                                                                                                                                                                                                                                                                                                                                                                                                                                                                                                                                                                                                                                                                                                                                                                                                                                                                                                                                             |                                                                   |
| 2                                                                                                                                                                                                                                                                                                                                                                                                                                                                                                                                                                                                                                                                                                                                                                                                                                                                                                                                                                                                                                                                                                                                                                                                                                                                                                                                                                                                                                                                                                                                                                                                                                                                                                                                                                                                                                                                                                                                                                                                                                                                                                                             | 1111                                                              |
| 3                                                                                                                                                                                                                                                                                                                                                                                                                                                                                                                                                                                                                                                                                                                                                                                                                                                                                                                                                                                                                                                                                                                                                                                                                                                                                                                                                                                                                                                                                                                                                                                                                                                                                                                                                                                                                                                                                                                                                                                                                                                                                                                             | 1111                                                              |
| 2                                                                                                                                                                                                                                                                                                                                                                                                                                                                                                                                                                                                                                                                                                                                                                                                                                                                                                                                                                                                                                                                                                                                                                                                                                                                                                                                                                                                                                                                                                                                                                                                                                                                                                                                                                                                                                                                                                                                                                                                                                                                                                                             |                                                                   |
| Š                                                                                                                                                                                                                                                                                                                                                                                                                                                                                                                                                                                                                                                                                                                                                                                                                                                                                                                                                                                                                                                                                                                                                                                                                                                                                                                                                                                                                                                                                                                                                                                                                                                                                                                                                                                                                                                                                                                                                                                                                                                                                                                             |                                                                   |
| 5                                                                                                                                                                                                                                                                                                                                                                                                                                                                                                                                                                                                                                                                                                                                                                                                                                                                                                                                                                                                                                                                                                                                                                                                                                                                                                                                                                                                                                                                                                                                                                                                                                                                                                                                                                                                                                                                                                                                                                                                                                                                                                                             | = (01010                                                          |
| 3                                                                                                                                                                                                                                                                                                                                                                                                                                                                                                                                                                                                                                                                                                                                                                                                                                                                                                                                                                                                                                                                                                                                                                                                                                                                                                                                                                                                                                                                                                                                                                                                                                                                                                                                                                                                                                                                                                                                                                                                                                                                                                                             | 600000                                                            |
| 3                                                                                                                                                                                                                                                                                                                                                                                                                                                                                                                                                                                                                                                                                                                                                                                                                                                                                                                                                                                                                                                                                                                                                                                                                                                                                                                                                                                                                                                                                                                                                                                                                                                                                                                                                                                                                                                                                                                                                                                                                                                                                                                             | 3,000                                                             |
| 2                                                                                                                                                                                                                                                                                                                                                                                                                                                                                                                                                                                                                                                                                                                                                                                                                                                                                                                                                                                                                                                                                                                                                                                                                                                                                                                                                                                                                                                                                                                                                                                                                                                                                                                                                                                                                                                                                                                                                                                                                                                                                                                             | 16 6,6; 11<br>40 6,6<br>63 38,5<br>100 38,5                       |
| 3                                                                                                                                                                                                                                                                                                                                                                                                                                                                                                                                                                                                                                                                                                                                                                                                                                                                                                                                                                                                                                                                                                                                                                                                                                                                                                                                                                                                                                                                                                                                                                                                                                                                                                                                                                                                                                                                                                                                                                                                                                                                                                                             | 93                                                                |
| 3                                                                                                                                                                                                                                                                                                                                                                                                                                                                                                                                                                                                                                                                                                                                                                                                                                                                                                                                                                                                                                                                                                                                                                                                                                                                                                                                                                                                                                                                                                                                                                                                                                                                                                                                                                                                                                                                                                                                                                                                                                                                                                                             | -                                                                 |
| >                                                                                                                                                                                                                                                                                                                                                                                                                                                                                                                                                                                                                                                                                                                                                                                                                                                                                                                                                                                                                                                                                                                                                                                                                                                                                                                                                                                                                                                                                                                                                                                                                                                                                                                                                                                                                                                                                                                                                                                                                                                                                                                             |                                                                   |
| ;                                                                                                                                                                                                                                                                                                                                                                                                                                                                                                                                                                                                                                                                                                                                                                                                                                                                                                                                                                                                                                                                                                                                                                                                                                                                                                                                                                                                                                                                                                                                                                                                                                                                                                                                                                                                                                                                                                                                                                                                                                                                                                                             |                                                                   |
|                                                                                                                                                                                                                                                                                                                                                                                                                                                                                                                                                                                                                                                                                                                                                                                                                                                                                                                                                                                                                                                                                                                                                                                                                                                                                                                                                                                                                                                                                                                                                                                                                                                                                                                                                                                                                                                                                                                                                                                                                                                                                                                               | വ                                                                 |
|                                                                                                                                                                                                                                                                                                                                                                                                                                                                                                                                                                                                                                                                                                                                                                                                                                                                                                                                                                                                                                                                                                                                                                                                                                                                                                                                                                                                                                                                                                                                                                                                                                                                                                                                                                                                                                                                                                                                                                                                                                                                                                                               | 335                                                               |
|                                                                                                                                                                                                                                                                                                                                                                                                                                                                                                                                                                                                                                                                                                                                                                                                                                                                                                                                                                                                                                                                                                                                                                                                                                                                                                                                                                                                                                                                                                                                                                                                                                                                                                                                                                                                                                                                                                                                                                                                                                                                                                                               | 0000                                                              |
|                                                                                                                                                                                                                                                                                                                                                                                                                                                                                                                                                                                                                                                                                                                                                                                                                                                                                                                                                                                                                                                                                                                                                                                                                                                                                                                                                                                                                                                                                                                                                                                                                                                                                                                                                                                                                                                                                                                                                                                                                                                                                                                               | 00000                                                             |
|                                                                                                                                                                                                                                                                                                                                                                                                                                                                                                                                                                                                                                                                                                                                                                                                                                                                                                                                                                                                                                                                                                                                                                                                                                                                                                                                                                                                                                                                                                                                                                                                                                                                                                                                                                                                                                                                                                                                                                                                                                                                                                                               | 4.00                                                              |
|                                                                                                                                                                                                                                                                                                                                                                                                                                                                                                                                                                                                                                                                                                                                                                                                                                                                                                                                                                                                                                                                                                                                                                                                                                                                                                                                                                                                                                                                                                                                                                                                                                                                                                                                                                                                                                                                                                                                                                                                                                                                                                                               | EEEE                                                              |
|                                                                                                                                                                                                                                                                                                                                                                                                                                                                                                                                                                                                                                                                                                                                                                                                                                                                                                                                                                                                                                                                                                                                                                                                                                                                                                                                                                                                                                                                                                                                                                                                                                                                                                                                                                                                                                                                                                                                                                                                                                                                                                                               | 7555                                                              |
|                                                                                                                                                                                                                                                                                                                                                                                                                                                                                                                                                                                                                                                                                                                                                                                                                                                                                                                                                                                                                                                                                                                                                                                                                                                                                                                                                                                                                                                                                                                                                                                                                                                                                                                                                                                                                                                                                                                                                                                                                                                                                                                               | ЛТЧН-16000/10<br>ЛГДН-40000/10<br>ЛГДН-63000/35<br>ЛГДН-100000/35 |
|                                                                                                                                                                                                                                                                                                                                                                                                                                                                                                                                                                                                                                                                                                                                                                                                                                                                                                                                                                                                                                                                                                                                                                                                                                                                                                                                                                                                                                                                                                                                                                                                                                                                                                                                                                                                                                                                                                                                                                                                                                                                                                                               | 467                                                               |
|                                                                                                                                                                                                                                                                                                                                                                                                                                                                                                                                                                                                                                                                                                                                                                                                                                                                                                                                                                                                                                                                                                                                                                                                                                                                                                                                                                                                                                                                                                                                                                                                                                                                                                                                                                                                                                                                                                                                                                                                                                                                                                                               | -0*                                                               |
|                                                                                                                                                                                                                                                                                                                                                                                                                                                                                                                                                                                                                                                                                                                                                                                                                                                                                                                                                                                                                                                                                                                                                                                                                                                                                                                                                                                                                                                                                                                                                                                                                                                                                                                                                                                                                                                                                                                                                                                                                                                                                                                               |                                                                   |

#### **НЗОЛЯЦИЯ В МАСЛЯНЫХ ТРАНСФОРМАТОРАХ**

1. Главная изоляция в трансформаторах классов напряжения до 35 кВ. Допустимые изоляционные расстояния и виды изоляции в промежутках между различными элементами обмоток и заземленных металлических конструкций трансформаторов классов напряжения до 35 кВ включительно приводятся в табл. П2-1 и П2-2.

Таблица П2-1

## Минимально допустимые изоляционные расстояния для внутренних обмоток (обычно НН) масляных трансформаторов при концентрических обмотках

| Напряжение<br>обмотки, кВ Изс                                     |                | Из             | оляция от стержия                   | Изоляция от ярма         |                          |  |
|-------------------------------------------------------------------|----------------|----------------|-------------------------------------|--------------------------|--------------------------|--|
| рабочее татель-<br>ное типоменти Промежуток,<br>мм До 1,0 5,0 5,0 |                | жуток,         | Вид изоляции                        | Промежуток, мм           | Вид изоляции             |  |
|                                                                   |                | 5,0            | Масляный про-<br>межуток            | Принимается равным про-  | Опорная изо-<br>ляция из |  |
| 36                                                                | 18<br>и 25     | 12             | Масло-барьерная                     | межутку от<br>обмотки ВН | электрокар-<br>тона      |  |
| 10                                                                | 35             | 18             | изоляция с бумаж-<br>но-бакелитовым | до ярма                  | ТОНА                     |  |
| 15<br>20<br>35                                                    | 45<br>55<br>85 | 20<br>25<br>30 | цилиндром толщи-<br>ной 3—6 мм      |                          |                          |  |

Нормальная междуслойная изоляция в многослойных цилиндрических обмотках выполняется слоями кабельной бумаги толщиной 0,12 мм. Число слоев бумаги и выступы изоляции на торцах обмотки в зависимости от рабочих напряжений даны в табл. П2-3.

Таблица П2-2

## Минимально допустимые изоляционные расстояния для наружных обмоток (обычно ВН) масляных трансформаторов при концентрических обмотках

| Напряжение<br>обмотки, кВ |                         | Изоляция            |                                                                           |                            |                                              |  |
|---------------------------|-------------------------|---------------------|---------------------------------------------------------------------------|----------------------------|----------------------------------------------|--|
|                           |                         | между обмотками     |                                                                           | от ярма                    |                                              |  |
| рабо-<br>че <b>е</b>      | испы-<br>татель-<br>ное | промежу-<br>ток, мм | вид изоляции                                                              | промежу-<br>ток, мм        | вид изоляции                                 |  |
| 6<br>10<br>20<br>35       | 25<br>35<br>55<br>85    | 8,5<br>12<br>       | Масло-барьерная изоляция с бу-мажно-бакелитовым цилиндром толщиной 3—6 мм | 20<br>30<br><del>7</del> 5 | Опорная изо-<br>ляция из элек-<br>трокартона |  |

| cs. |  |
|-----|--|
| (   |  |
| -   |  |
| ŝ   |  |
| 0   |  |
| 2   |  |

| Напряжение<br>обмотки, кВ            |                      | Изоляция               |                                                                                          |                        |                          |  |
|--------------------------------------|----------------------|------------------------|------------------------------------------------------------------------------------------|------------------------|--------------------------|--|
|                                      |                      | между фазами           |                                                                                          | от гладкой стенки бака |                          |  |
| рабо-<br>чее испы-<br>татель-<br>ное |                      | проме-<br>жуток,<br>мм | вид изоляции                                                                             | промежу-               | вид изоляции             |  |
| 6<br>10<br>20<br>35                  | 25<br>35<br>55<br>85 | 10<br>14<br>           | Масло-барьерная изоляция с пере-<br>городкой из элек-<br>трокартона тол-<br>циной 2—6 мм | 25<br>30<br>—<br>75    | Масляный про-<br>межуток |  |

Высота выступа цилиндров за пределы обмоток дана в табл. П2-4.

Таблица П2-3 Нормальная изоляция между слоями в цилиндрических обмотках

| Суммарное рабочее иапряжение двух слоев обмотки, кВ | Число слоев кабельной<br>бумаги | Выступ изоляции на тор-<br>цах обмотки на одну<br>сторону, мм |  |
|-----------------------------------------------------|---------------------------------|---------------------------------------------------------------|--|
| До 1,0                                              | 2                               | 10                                                            |  |
| 1,0-2,0                                             | 3                               | 16                                                            |  |
| 2,0-3,0                                             | 4                               | 16                                                            |  |
| 3,0-3,5                                             | 5                               | 16                                                            |  |
| 3,5-4,0                                             | 6                               | 22                                                            |  |
| 4,0-4,5                                             | 7                               | 22                                                            |  |
| 4,5-5,0                                             | 8                               | 22                                                            |  |
| 5,0-5,5                                             | 9                               | 22                                                            |  |

2. Продольная изоляция в обмотках трансформаторов классов напряжения до 35 кВ. Продольная изоляция обмоток напряжением до 35 кВ включительно обеспечивается за счет бумажной изоляции

Таблица П2-4 Выступы цилиндров за пределы обмоток

| Қласс изоляции,<br>кВ | Высота выступа ци-<br>линдра, мм | Класс изоля-<br>ции, кВ | Высота выступа ци- |
|-----------------------|----------------------------------|-------------------------|--------------------|
| - 6                   | 10                               | 20                      | 30                 |
| 10<br>15              | 16<br>22                         | 35                      | 35                 |

провода толщиной не менее 0,45 мм на обе стороны и масляных каналов между катушками непрерывных или между витками винтовых обмоток размерами не менее 4 мм.

Размеры разрывов в регулировочных зонах обмоток даны в табл. П2-5.

Таблица П2-5 Разрывы в регулировочных зонах обмоток

|   | изоляции об-<br>тки, кВ | Размер разрыва, мм     | Примечание                                                                        |
|---|-------------------------|------------------------|-----------------------------------------------------------------------------------|
| + | 6<br>10<br>35           | 8—12<br>10—18<br>12—25 | Большие значения для больших мощностей и наоборот. В месте разрыва—масляный канал |

3. Главная изоляция в трансформаторах класса напряжения 110 кВ. Конструкция изоляции трансформаторов 110 кВ нормализованы.

Для примера на рис.  $\Pi2\text{-}1,a$  показана конструкция главной изоляции силовых трехобмоточных трансформаторов РПН мощностью 6300—10 000 кВ·А включительно, а на рис.  $\Pi2\text{-}1,6$  мощностью 16 000—80 000 кВ·А, выполняемая согласно нормали электротехники 5AA.750.ООН-69.

Примечания к рис. П2-1,а и б:

1. Размеры 115, 215 и 26 соответствуют толщине изолированных отводов обмоток НН и СН равной 21 мм (проводник 5 мм, изоляция на сторону 8 мм). При увеличении толщины отводов все размеры должны быть соответственно увеличены. В случае вывода линейного конца обмотки НН двухобмоточного трансформатора в вырезе прессующего кольца размер 115 мм может быть уменьшен до 90 мм.

Изоляция отвода от прессующего кольца — по существующим

нормам

2. Козырек размера 40 мм выполняется в месте выхода регули-

ровочных отводов.

3. Размер 85 мм соответствует толщине изолированного регулировочного отвода (РО), равной 16 мм (проводник 4 мм, изоляция на сторону 6 мм). При увеличении толщины отвода размер 85 мм должен быть соответственно увеличен.

4. Размеры 35 и 20 мм соответствуют толщине изолированного отвода (проводник 6 мм, изоляция 12 мм на сторону). При увеличении толщины отвода размер 35 мм должен быть соответственно

увеличен, а 20 мм уменьшен, но не более чем на 5 мм.

5. Под линейный отвод обмотки ВН в цилиндре, прилегающем к иаружной поверхности обмотки ВН, сделать вырез. Минимально допустимый зазор между кромкой цилиндра и поверхностью отвода равен 20 мм.

 6. Размеры 50 и 22 мм указаны для трансформаторов мощностью 6300—25 000 кВ·А; для мощностей 40 000—80 000 эти размеры

должны быть 52 и 24 мм.

7. Толщина цилиндра под PO в промежутке BH—PO может быть увеличена до 12 мм за счет масляного канала между цилиндрами при сохранении расстояния BH—PO.

8. Размеры радиального расстояния С от ближайшей к стержню обмотке СН и НН до внутренней поверхности цилиндра на стержне в зависимости от испытательного напряжения этой обмотки должны соответствовать данным табл. П2-6.

Таблица П2-6

### К выбору размера С

| Испытательное  | Радиальное расстоя- | Испытательное  | Радиальное расстояние <b>С</b> , мм |
|----------------|---------------------|----------------|-------------------------------------|
| напряжение, кВ | нне <i>C</i> , мм   | напряжение, кВ |                                     |
| 25             | 11                  | 55             | 18                                  |
| 35             | 11                  | 85             | 27                                  |

9. Размеры масляных каналов между обмотками СН с испытательным напряжением 85 кВ и НН с испытательным напряжением до 55 кВ при толщине проводника регулировочных отводов 2 мм должны соответствовать данным табл. П2-7.

Таблица П2-7 К выбору размеров  $C_1$  и  $C_2$ 

| Взанмное расположение обмоток | C <sub>1</sub> , MM | C <sub>2</sub> , MM |
|-------------------------------|---------------------|---------------------|
| У стержня обмотка НН          | 12                  | 20                  |
| У стержня обмотка СН          | 19                  | 13                  |

Регулировочные отводы располагаются в каналах 19 и 20 мм. При изменении толщины проводника регулировочных отводов изменяются соответственно размеры каналов 19 и 20 мм.

10. Для трансформаторов мощностью 6300-25000 кВ А номинальный изоляционный промежуток НН(СН)—ВН принят 50 мм, расстоянне между фазами 30 мм; для трансформаторов мощностью 40 000-80 000 кВ-А номинальный изоляционный промежуток 52 мм, а между фазами 32 мм.

11. Допускается увеличивать номинальный размер осевого канала, прилегающего к наружной поверхности обмоток СН н ВН (расстояние от обмоточного провода до поверхности электрокартонного цилиндра), до 12 мм, при этом соответственно уменьшается

на 2 мм канал между цилиндрами.

12. Принятые расстояния НН (СН) — ВН и ВН — РО включают допустимый переход провода обмотки в прилегающий осевой канал

4. Конструкция продольной изоляции. Обмотка ВН — непрерывная с частичной емкостной защитой между емкостными кольцами обмотки линейного конца: 1) конструкция продольной изоляции по рис. П2-2; 2) обмотка ВН должна наматываться на провода с изоляцией 1,35 иа обе стороны; 3) радиальный размер обмотки ВН по катушкам основной зоны не менее 65 мм; 4) размеры каналов по рис. П2-2 минимальные.

Обмотка СН — непрерывная: 1) конструкция продольной изоляции по рис. П2-3,а (рис. П2-3,а для СН классов напряжения

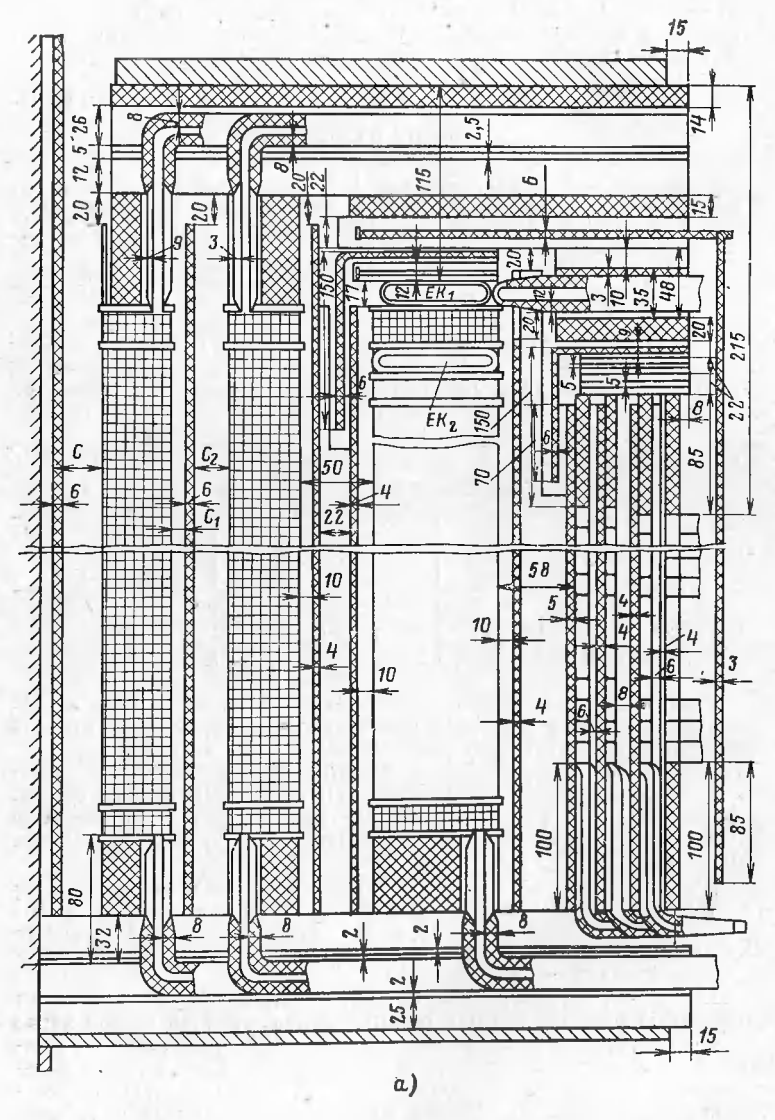
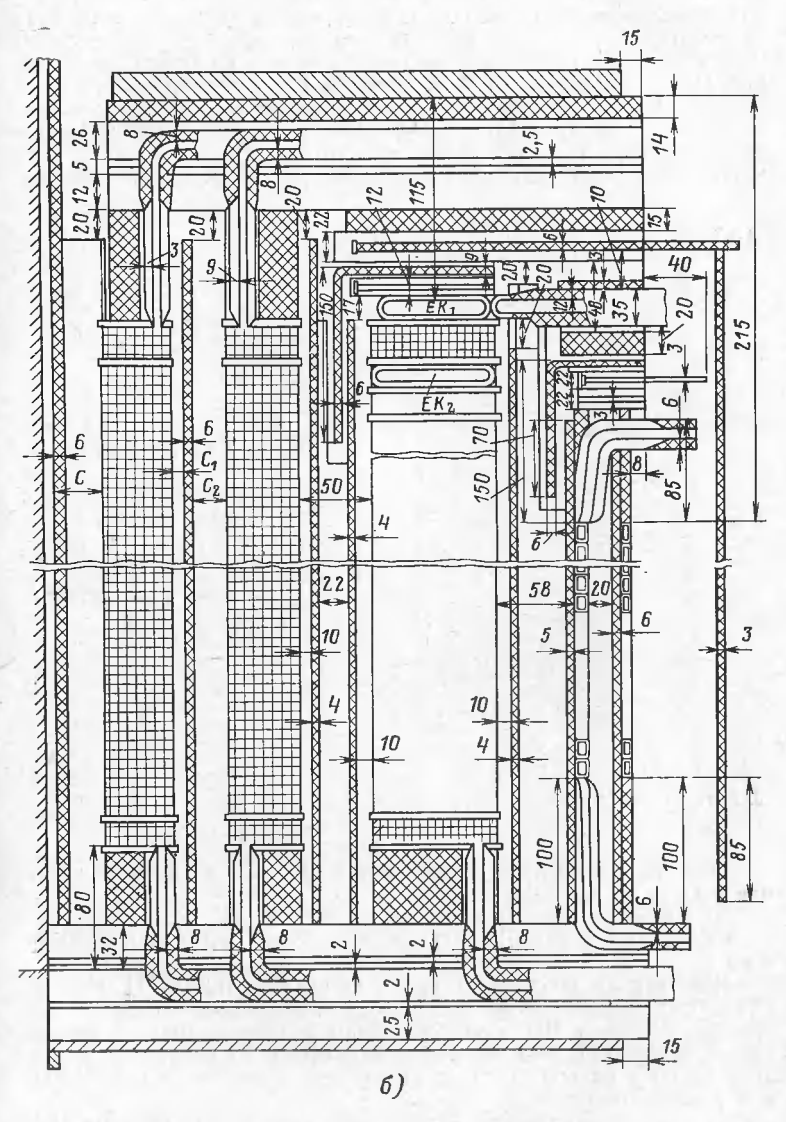


Рис. П2-1. Конструкция главной изоляции силовых трехобмоточных  $\alpha$  — мощностью 6300—10 000 кВ · А;



трансформаторов 110 кВ с РПН в нейтрали обмотки ВН. 6- то же 16 000—80 000 кВ · А.

20—35 кВ трансформаторов 6300—25 000 кВ • А, рис. П2-3,6 то же для трансформаторов 40 000—80 000 кВ А; рис. П2-4,а — конструкция продольной изоляции обмотки СН класса напряжения 10 кВ); 2) обмотка СН должна наматываться из провода с изоляцией 0.55 мм на обе стороны; 3) размеры каналов на рис.  $\Pi 2$ -3,a и b, рис.  $\Pi 2$ -4,a минимальные; 4) в обмотках СН трансформаторов мощностью 40 000—80 000 кВ А в первой катушке между первым и вторым витком от линейного конца должна быть проложена полоса электрокартона толщиной 2 мм; при этом радиальный размер этой катушки допускается на 2 мм больше, чем у остальных катушек.

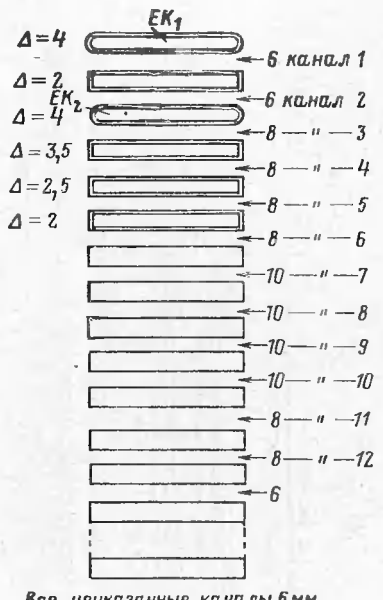


Рис. П2-2. Обмотка ВН — непрерывная с частичной емкостзащитой между двумя емкостными кольцами обмотки у линейного коица.

Размер А, мм, указан на сторону. Конструкция продольной изоляцин и размеры каналов, мм, между ка-тушками, указаны на рисунке.

Все нецказанные каналы 6 мм

Обмотка НН классов напряжения 6—10 кВ — непрерывная или винтовая.

Конструкция продольной изоляции по рис. П2-4,а.

Обмотка НН классов напряжения 25-35 кВ — непрерыв-

Конструкция продольной изоляции по рис. П2-4,6: 1) обмотка НН должна наматываться из провода с изоляцией 0,55 м на обе стороны. Обмотка НН двухобмоточного трансформатора с числом витков в катушке 2—3 должна наматываться из провода с изоляцией 0.95 мм на обе стороны; 2) размеры каналов на рис. П2-4,а и б номинальные.

Размер каналов между катушками для винтовых обмоток НН, где катушка представляет собой один виток обмотки, электриче-

ской прочности продольной изоляции не определяет.

Регулировочная обмотка -- многослойная циливдрическая.

а) Для трансформаторов мощностью  $6300-10\,000~{
m kB\cdot A}$  — четырехслойная. Конструкция продольной изоляции, по рис.  $\Pi 2$ -5,a.

б) Для трансформаторов мощностью 16 000—80 000 кВ·А—двухслойная. Конструкция продольной изоляции по рис. П2-5,6.

1) Слои обмотки грубой регулировки должны наматываться из провода с изоляцией 1,35 мм на обе стороны. Допускается применение провода с изоляцией 1,95 мм на обе стороны.

2) Слои обмотки тонкой регулировки должны наматываться из

провода с изоляцией 2,95 мм на обе стороны.

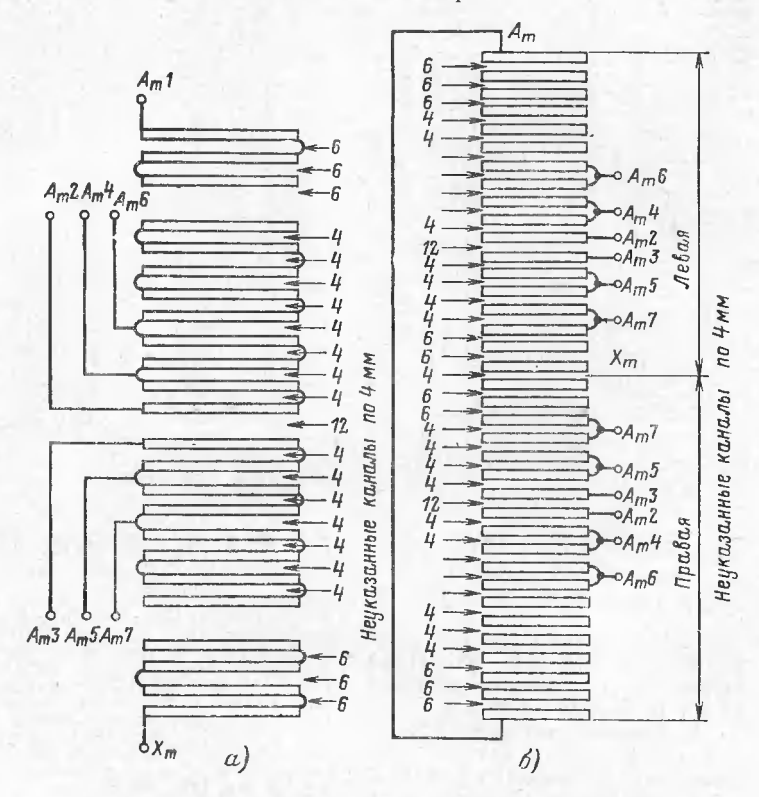


Рис. П2-3. Обмотка СН классов и<br/>апряжения 20—35 кВ — непрерывная.

a — мощностью 6300—25 000 кВ · A; b — то же 40 000—80 000 кВ · A.

Минимальные размеры провода указаны на рис. П2-5,а и б. При разработке конструкции и изготовлении обмоток трансформаторов класса напряжения 110 кВ должны быть учтены следующие технические требования и рекомендации:

1. Обмотка должна дистанцироваться от прилегающих к ней цилиндров рейками, при этом от торцов горизонтальных прокладок

до цилиндра необходимо расстояние не менее 2 мм.

2. Переходы обмоток могут выступать в прилегающий к обмотке осевой канал, но расстояние между переходами и цилиндром

должно быть не менее 4 мм.

3. Верхнее емкостное кольцо обмотки ВН ( $EK_1$ , рис.  $\Pi$ 2-2) должно быть овальной формы, высотой не менее 25 мм (с учетом изоляции).

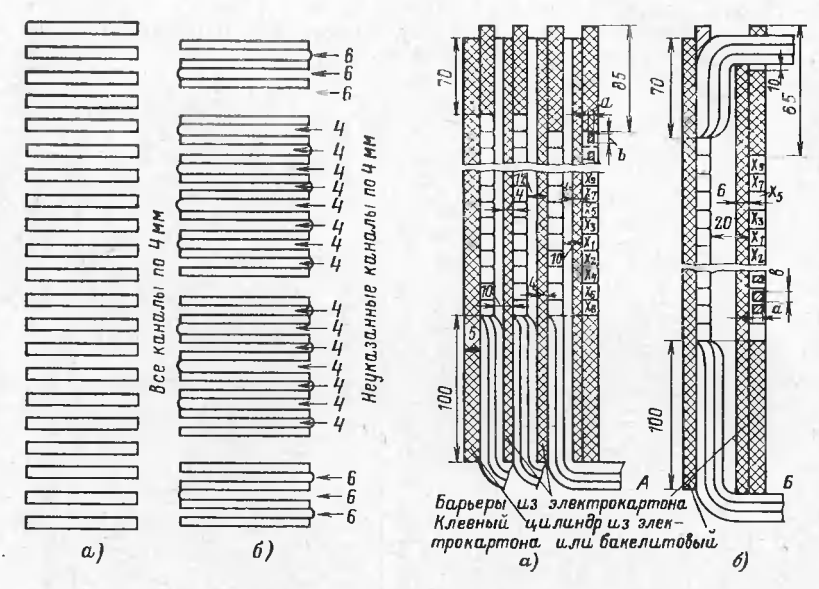


Рис. Гі2-4. Обмотка НН — непрерывная или винтовая.
а — 6—10 кВ; 6 — 20—35 кВ.

4. Внутреннее емкостное кольно обмотки ВН ( $EK_2$ , рис.  $\Pi 2$ -2) должно иметь толщину не менее 12 мм (с учетом изоляции).

Толщина изоляции емкостных колец обмотки должна соответствовать указанной на рис. П2-2.

 Все отводы активной части изолируются лакотканью, кабельной или крепированной бумагой и бандажируются при необходимости тафтяной лентой.

7. При раздельной прессовке обмоток НН(СН)—ВН и ВН—РО

Рис. П2-5. Регулировочная обмотка — многослойная цилиндрическая.

a — мощностью 6300—10 000 кВ • A — четырехслойная; b — мощностью 16 000-80 000 кВ · А — двухслойная. Дополнительная изоляция отводов 2 мм (A) и 3 мм (Б) лакоткани илн кабельной бумаги на сторону плюс бандаж тафтяной лентой 1 слой вполуперекрытие. Размеры голого провода слоев тонкой регулировки: ие нормируется;  $b \ge 4.7$  MM (A); b=5,9 ∆<sub>вит</sub>=2,95 мм на две стороны для слоя тонкой регулировки;  $\Delta_{вит}$ = =1,35 мм на две стороны для слоя грубой регулировки (допускается Двит =1,95 мм для слоя грубой регулировки на две стороны).

обмоток инт(ст)—вт и ви—го разность по высоте запрессовок обмоток должна быть не больше 10 мм.

8. Қоэффициент неравномерности распределения витков по катушкам не более 1,25. При числе витков в катушках не более 5 неравномерность не более 1 витка.

Уменьшение количества витков в катушках регулировочной зоны обмотки СН по сравнению с количеством витков в катушках

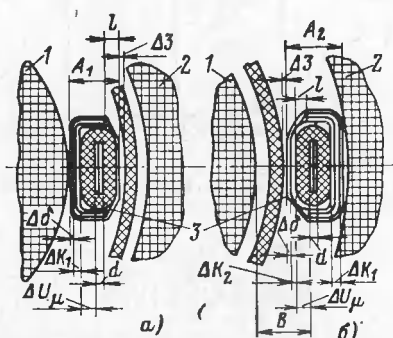
основной зоны не нормируется.

9. Разрешается (при необходимости) увеличить номинальный размер канала основной зоны: а) в обмотке ВН после 20 канала — до 8 мм; б) в обмотке СН и НН классов напряжения 20 и 35 кВ, начиная с <sup>1</sup>/<sub>3</sub> высоты обмотки от линейного конца, — до 6 мм; в регулировочной зоне — до 20 мм, при этом в зонах, прилегающих к регулировочной, каналы по 4—5 с каждой стороны должны быть по 10 мм; в) в обмотке НН класса напряжения до 10 кВ — до 6—12 мм, а в местах выполнения транспозиции — до 25 мм.

Рис. П2-6. Изоляция отводов в осевых каналах обмоток.

1 — обмотка внутренняя; 2 — то же

1 — обмотка внутренняя; 2 — то же наружная; 3 — отбортованная кабельная бумага вполуперекрытие.



10. Разрешается (при необходимости) увеличить номинальный размер канала входной зоны: а) в обмотке НН и СН класса напряжения 10 кВ — до 12 мм (количество каналов не нормируется); б) в обмотке НН и СН классов напряжения 20 и 35 кВ — шесть первых каналов до 8 мм (в этом случае зоне с каналами 4 мм должны предшествовать не менее двух каналов по 6 мм); в) в обмотке ВН увеличение номинального размера канала входной зоны не разрешается.

 После отдели активной части допускаются следующие отклонения размеров каналов в обмотке от их номинальных зна-

чений:

Для каналов больше 12 мм отклонения не нормируются.

12. Увеличение номинальных размеров каналов, прилегающих

к емкостным кольцам обмотки ВН, не допускается.

Конструкция изоляции регулировочных отводов обмотки СН относительно обмотки СН и НН — по рис. П2-6,а, если отводы проходят вдоль внутренней поверхности, или по рис. П2-6,б, если отводы проходят вдоль наружной поверхности обмотки.

Размеры изоляции в зависимости от испытательного напряже-

ния обмотки СН выбирают по табл. П2-8.

В табл. П2-9 приведены минимально допустимые изоляционные расстояния для трансформаторов 110 кВ.

| Испыта-<br>тельное<br>напряже-<br>ние, кВ | Изоли-<br>рующий<br>материал | Толщина<br>изоляции<br>отвода<br>на сторо-<br>ну, мм | Δk <sub>1</sub> — толици-<br>на коробочки,<br>мм | A <sub>1</sub> — d<br>изоляция<br>отвода,<br>мм | A <sub>2</sub> — d<br>изоляция<br>отвода,<br>мм | <ul> <li>l — рас-<br/>стояние<br/>от края<br/>коробочки<br/>до края<br/>отвода,<br/>мм</li> </ul> |
|-------------------------------------------|------------------------------|------------------------------------------------------|--------------------------------------------------|-------------------------------------------------|-------------------------------------------------|---------------------------------------------------------------------------------------------------|
| 55                                        | Қа <b>б</b> ель-             | 3,5                                                  | 3×1,0<br>2×1,5                                   | 11                                              | 12                                              | 3                                                                                                 |
| 85                                        | ная<br>бумага                | 5,0                                                  | 4×1,0<br>2×2,0                                   | 15                                              | 16                                              | 3                                                                                                 |

Примечание. Размеры изоляции по табл. П2-8 минимальные. При достаточном водов они располагаются в пролетах попарно с общей коробочкой для двух отводов. Зазор

Испытательные напряжения внутренней изоляцни обмоток:

Линейный конец обмотки ВН . . . . 200 кВ, 50 Гц Нейтральный конец обмотки ВН . . . 100 кВ, 50 Гц Обмотки СН и НН . . . . . . . . . . . . . . . По табл. 2-1

5. Главная и продольная изоляция в трансформаторах класса напряжения 220 кВ. Конструкции нзоляции трансформаторов 220 кВ не нормализованы и проектируются в каждом отдельном случае для конкретного типа трансформатора.

Для примера на рис. П2-7 показана конструкция изоляции трехобмоточонго автотрансформатора РПН с нспытательным напряжением 325 кВ, а на рис. П2-8 — двухобмоточного трансформатора

РПН с испытательным напряжением 400 кВ.

Для изготовления обмоток применяется провод с изоляцией толщиной 1,35 мм на обе стороны, а концевые катушки (X, Y) — по 1,95 мм.

Катушечная изоляция выполняется бакелизированной кабельной

бумагой толщиной 1,5-2 мм на сторону.

В табл. П2-10 приведены минимально допустимые изоляционные расстояния для трансформаторов класса напряжения 220 кВ.

Испытательные напряжения внутренней изоляции обмоток:

Линейный конец обмотки ВН . . . . . 400 кВ, 50 Гц Нейтральный конец обмотки ВН . . . . 200 кВ, 50 Гц Обмотки СН и НН . . . . . . . . . По табл. 2-1

**6. Отводы.** Минимально допустимые расчетные изоляционные расстояния от наружных отводов до различных заземленных элементов трансформаторов и до наружных обмоток приводятся в табл. П2-11.

Минимально допустимые расстояния между отводами в масле по деревянным планкам общего креплення отводов приведены в табл. П2-12.

| I <sub>1</sub> — расстояние от меди отвода до другой обмотки, мм | <b>А</b> k <sub>2</sub> — толщи-<br>на коробочки,<br>мм | Δδ — толщина бандажа на сторону, мм | $\Delta_8$ — зазор между отводом цилиндром, по формуле $(c/2)^2/(D+2a)$ , где $c$ — ширина отвода, м $a$ — толщина отвода, мм; $D$ |
|------------------------------------------------------------------|---------------------------------------------------------|-------------------------------------|------------------------------------------------------------------------------------------------------------------------------------|
| 16                                                               | 1,0                                                     | 0,5                                 | наружный диаметр обмотки, и<br>(минимальный зазор равен 2 м                                                                        |
| 24                                                               | 1,0                                                     | 0,5                                 | 1 3 29 4                                                                                                                           |

числе продетов отводы выводятся по одному между прокладками. При большом числе отмежду коробкой и прокладкой не менее 5 мм на сторону.

Таблица П2-9 Минимально допустимые изоляционные расстояния, мм, для трансформаторов класса напряжения 110 кВ с испытательным напряжением 200 кВ

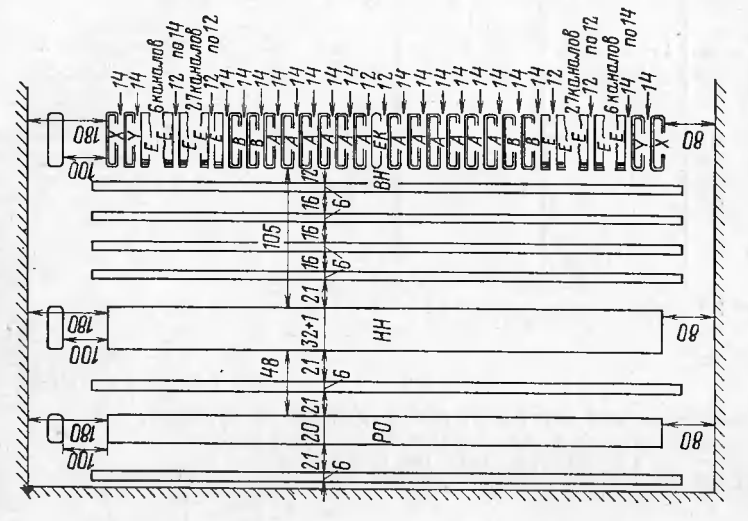
| Промежуток                                                                                      | Рас-<br>стоя-<br>ние | Допуск | Сумма |
|-------------------------------------------------------------------------------------------------|----------------------|--------|-------|
| Ввод — стенка бака1                                                                             | 125                  | 15     | 140   |
| Ввод — ярмовая балка2                                                                           | 125                  | 15     | 140   |
| Ввод — ярмовая балка <sup>2</sup><br>Обмотка ВН — отводы СН и НН³ при толщине изоляции отводов: |                      |        |       |
| 3 мм                                                                                            | 175                  | 15     | 190   |
| 6 мм                                                                                            | 125                  | 15     | 140   |
| 8 мм                                                                                            | 105                  | 15     | 120   |
| Обмотка ВН — стенка бака2:                                                                      | -                    |        |       |
| с перегородкой                                                                                  | 110                  | 15     | 125   |
| без перегородки                                                                                 | 135                  | - 15   | 150   |
| Переключатель ВН — стенка бака4                                                                 | 160                  | 15     | 175   |
| Переключатель ВН — обмотка ВНз и 4                                                              | 130                  | 10     | 140   |
| Переключатель CH — обмотка ВН <sup>3</sup> и 4<br>Отвод ВН — ярмовая балка:                     | 145                  | 10     | 155   |
| голая балка                                                                                     | 160                  | 10     | 170   |
| балка, закрытая щитком 3 мм                                                                     | 105                  | 10     | 115   |
| Отвод ВН — бак                                                                                  | 75                   | 20     | 95    |
| Отвод ВН — обмотка ВН                                                                           | 75                   | 10     | 85    |
| Нулевой отвод ВН — бак (в зоне обмотки)                                                         | 100                  | 15     | 115   |
| Нулевой отвод ВН — обмотка ВН                                                                   | 100                  | 10     | 110   |
| Отвод СН или НН (в изоляции) — обмотка ВН                                                       | 75                   | _      | 75    |

Радиус закругления экрана 37,5 мм, цилиндра — 5 мм, щита на ярмовой бал- $\kappa = -3$  мм.

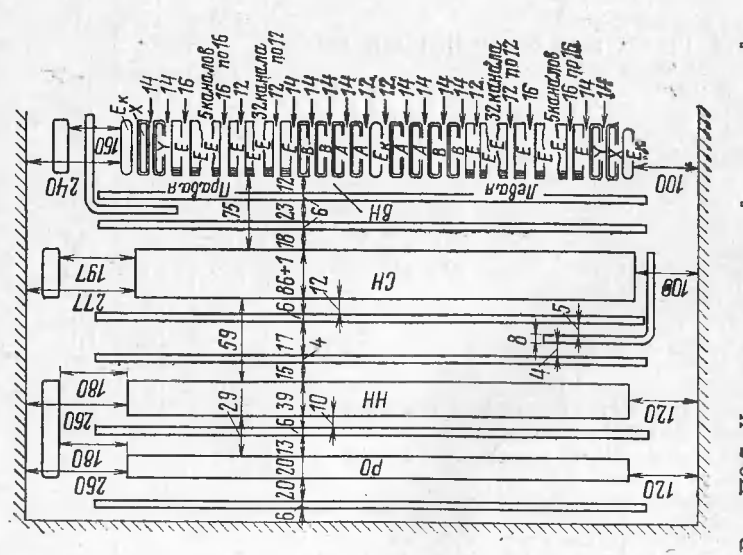
<sup>3</sup> Толщина перегородки для ярмовой балки равна 6 мм.

<sup>3</sup> Эквивалентный промежуток у переключателя при дереве A = a + 0.4d.

<sup>4</sup> Расстояние для переключателя показано от его стержия.



Рнс. П2-8. Конструкция главной и продольной изоляцин двухобмогочного траноформатора 220 кВ с испытательным напряженнем 400 кВ.



Рнс. П2-7. Конструкция главной н продольной изоляции трехобмоточного автотрансформатора 220 кВ с испытательным напряжением 325 кВ.

## Минимально допустимые изоляционные расстояния для трансформаторов класса напряжения 220 кВ с испытательным напряжением 400 кВ

|     | Промежуток                                                                                                                          | форма электродов, толщина изоляции и пр.                                                                                                                      |              |  |
|-----|-------------------------------------------------------------------------------------------------------------------------------------|---------------------------------------------------------------------------------------------------------------------------------------------------------------|--------------|--|
| 1.  | Обмотка ВН — гладкая стен-<br>ка бака                                                                                               | При наличии двух перего-<br>родок толщиной по 6 мм                                                                                                            | 200          |  |
| 2.  | Обмотка ВН — отвод НН                                                                                                               | При наличии перегородки,<br>Отвод ⊘ 10 мм при толщи-<br>не изоляции 3 мм                                                                                      | 290          |  |
| 3.  | То же                                                                                                                               | Без перегородки                                                                                                                                               | 600          |  |
| 4.  | Обмотка ВН — отвод $X$ или СН                                                                                                       | См. п. 2, но с толщиной изоляции отвода 12 мм                                                                                                                 | 275          |  |
| 5.  | Обмотка ВН — переключающее устройство НН или СН                                                                                     | До стержней переключаю-<br>щего устройства при наличии<br>перегородки. Толщина ци-<br>линдра устройства 6 мм;<br>кроме того, со стороны об-<br>мотки щит 6 мм | 325          |  |
| 6.  | Обмотка ВН — переключа-<br>тель ВН своей или чужой<br>фазы                                                                          | То же, но при толщине<br>цилиндра 10 мм                                                                                                                       | 3 <b>2</b> 5 |  |
| 7.  | Ввод ВН — гладкая стенка бака. На вводе цилиндр с выступом 350 мм + допуск                                                          | - Til - 1                                                                                                                                                     | 280          |  |
| 8.  | Ввод ВН — край кармана на стенке бака. На вводе цилиндр                                                                             | Край кармана закруглен радиусом 60 мм и закрыт щитом из электрокартона, плотно прилегающим к металлу                                                          | 280          |  |
| 9.  | Ввод ВН с цилиндром — емкостное кольцо на торце обмотки ВН                                                                          | Изоляция на емкостном кольце обмотки 5 мм на сторону                                                                                                          | 280          |  |
| 10. | Ввод ВН с цилиндром — прессующее кольцо на тор-<br>це обмогки ВН или конце-<br>вые катушки с дополни-<br>тельной изоляцией (ЕК нет) | Край прессующего кольца<br>закруглен радиусом 12 мм.<br>Кольцо изолировано лако-<br>тканью на толщину 3 мм на<br>сторону                                      | 320          |  |
|     |                                                                                                                                     |                                                                                                                                                               |              |  |
| 0.1 | F00                                                                                                                                 |                                                                                                                                                               | 481          |  |

### Расстояния, мм, от наружных отводов до заземленных частей и наружных обмоток

| Наружный отвод — заземленные части |                               |                              |                                       | Наружный отвод — наружная обмотка |        |                               |                           |
|------------------------------------|-------------------------------|------------------------------|---------------------------------------|-----------------------------------|--------|-------------------------------|---------------------------|
| Испыта-<br>тельное                 | Толщина<br>изоляции           |                              | е от отвода<br>уском                  | Испытательное напряжение, кВ      |        | Толщина<br>изоляции           | Расстоя-                  |
| напряжение отвода, кВ              | отвода<br>на сторо-<br>ну, мм | до гладкой<br>стенки<br>бака | до незакры-<br>той ярмо-<br>вой балки | наруж-<br>ной об-<br>мотки        | отвода | отвода<br>на стс-<br>рону, мм | отвода<br>до ка-<br>тушек |
| До 25                              | _                             | 2025                         | 17—20                                 | 85                                | До 35  | _                             | 90                        |
| До 25                              | 2                             | 20                           | 15                                    | 85                                | До 35  | 2                             | 50                        |
| До 35                              | -                             | 3540                         | 25—30                                 | 230                               | До 85  | 3                             | 250                       |
| До 35                              | 2                             | 20                           | 17                                    | 230                               | До 85  | 3                             | 250                       |
| 85                                 | 4                             | 40                           | 42                                    | 230                               | До 85  | 6                             | 160                       |
| 85                                 | 6                             | 35                           | 40                                    | 230                               | До 85  | 6                             | 160                       |
| 230                                | 20                            | 110                          | 190*                                  | 230                               | 230    | 20                            | 105                       |
| 200                                | 20                            | 95                           | 170*                                  | 200                               | 100    | 20                            | 85                        |
| 400                                |                               | Cı                           | и. табл. П                            | 2-10                              |        | 1                             |                           |

До ярмовой балки, закрытой щитком толщиной 3 мм, расстояние уменьшается на 55 мм.

В местах прохода и закрепления отводов в деревянных планках на отводы накладывается дополнительная изоляция в виде коробочек из электрокартона. Толщина коробочек для класса изоляции до 35 кВ равна 2 мм, до 110 кВ—6 мм на сторону. Коробочки должны выступать за планки с каждой стороны для класса изоляпии до 35 кВ на 25 мм, 110 кВ— на 50 мм.

Таблица П2-12 Расстояние между отводами по дереву

| Испытательное напряжение, кВ | Толщина изоляции отвода<br>на сторону, мм | Расстояние, мм |
|------------------------------|-------------------------------------------|----------------|
| 18; 25                       | 2                                         | 25             |
| 18; 25<br>35                 | $\overline{2}$                            | 25<br>25       |
| 85                           | 4                                         | 70             |
| 85                           | 6                                         | 50             |

Минимально допустимые расстояния в масле ог отводов до стальных болтов в деревянных планках приводятся в табл. П2-13.

7. Переключающие устройства ПБВ. Миннмальио допустимые изоляционные промежутки в масле от переключающих устройств ПБВ до стенки бака с учетом допуска даны в табл. П2-14.

8. Вводы. Минимально допустимые расстояния в воздухе от вводов до металлических конструкций трансформатора, а также

### Расстояния по дереву от отводов в масле до стальных болтов

|                                   |                                                | Расстояние по дереву до болта, мм |                |  |
|-----------------------------------|------------------------------------------------|-----------------------------------|----------------|--|
| Испытательное напря-<br>жение, кВ | Толщина изоляции<br>отвода на сторо-<br>иу, мм | заземленного                      | незаземленного |  |
| Д 25                              | 2                                              | 30                                | 25             |  |
| Д 25<br>35                        | 2                                              | 40                                | 25             |  |
| 85                                | 4                                              | 100                               | 70             |  |
| 85                                | 6                                              | 80                                | 55             |  |
| 200                               | 20                                             | <b>42</b> 5                       | 425            |  |

### Таблица П2-14

### Расстояния между переключателем ответвлений и стенкой бака

| Класс изоляции,<br>кВ | Расстояние, мм       | Класс изоляции,<br>кВ | Расстояние, мм                          |
|-----------------------|----------------------|-----------------------|-----------------------------------------|
| 6<br>10<br>15<br>20   | 25<br>30<br>40<br>50 | 35<br>110<br>220      | 90<br>См. табл. П2-9<br>См. табл. П2-10 |

### Таблица П2-15

### Вводы в воздухе

|                              | Допустимые расстояния в воздухе, мм         |                                 |                                                                     |                                                                    |  |  |  |
|------------------------------|---------------------------------------------|---------------------------------|---------------------------------------------------------------------|--------------------------------------------------------------------|--|--|--|
|                              | между ввода                                 | ами (в свету)                   |                                                                     |                                                                    |  |  |  |
| Класс на-<br>пряжения,<br>кВ | разных обмоток или от линейного до нужевого | линейными<br>одной обмот-<br>ки | от ввода до рас-<br>ширителя или<br>до предохрани-<br>тельной трубы | от ввода до кра<br>на, задвижки,<br>оправы термо-<br>метра и т. п. |  |  |  |
| 3 и 6                        | 90                                          | 85                              | 110                                                                 | 90                                                                 |  |  |  |
| 10                           | 135                                         | 120                             | 140                                                                 | 135                                                                |  |  |  |
| 20                           | 200                                         | 190                             | 215                                                                 | 200                                                                |  |  |  |
| 35                           | 330                                         | 305                             | 340                                                                 | 320                                                                |  |  |  |
| 110                          | 900                                         | 900                             | 965                                                                 | 900                                                                |  |  |  |
| 150                          | 1270                                        | 1200                            | 1340                                                                | 1270                                                               |  |  |  |
| 220                          | 1770                                        | 1725                            | 1925                                                                | 1770                                                               |  |  |  |
|                              |                                             |                                 |                                                                     |                                                                    |  |  |  |

| Токоведущие | части | вводов | В | масле |
|-------------|-------|--------|---|-------|
|-------------|-------|--------|---|-------|

| Кла | асс изоляции,<br>кВ | Масляный проме-<br>жуток, мм | Кла <b>с</b> с изоляции,<br>кВ | Масляный промежу-<br>ток, мм |
|-----|---------------------|------------------------------|--------------------------------|------------------------------|
|     | 3 и 6               | 25                           | 35                             | 90                           |
|     | 10                  | 30                           | 110                            | См. табл. П2-9               |
|     | 15<br>20            | 40<br>50                     | 220                            | См. табл. П2-10              |

между вводами одного и разных напряжений приводятся в табл. П2-15.

Минимально допустимые расстояния в масле от токоведущих частей вводов до заземленных металлических частей трансформатора приведены в табл. П2-16.

#### ПРИЛОЖЕНИЕ 3

#### СХЕМЫ И ГРУППЫ СОЕДИНЕНИЙ

В табл. ПЗ-1 указаны наиболее употребительные схемы и группы соединений для трехфазных двухобмоточных трансформаторов и трехфазных групп однофазных двухобмоточных трансформаторов, в табл. ПЗ-2 — однофазных двухобмоточных трансформаторов и в табл. ПЗ-3 — трехфазных трехобмоточных трансформаторов.

Во всех таблицах указаны также обозначения начал и концов

обмоток согласно ГОСТ 11677-65.

В табл. ПЗ-4—ПЗ-7 указаны схемы и группы автотрансформаторов: трехфазных трехобмоточных, однофазных трехобмоточных, трехфазных двухобмоточных и однофазных двухобмоточных.

Из теории трансформатора известно, что у мощных трехфазных трансформаторов соединение одной из обмоток в треугольник необходимо для погашения третьей гармоники кривой вторичного напряжения. У мощных силовых трансформаторов принимают, как правило, соединение обмоток по схеме Y₀/∆, имея при этом в виду возможность заземления системы на стороне ВН. Если у мощных трансформаторов требуется заземлить обе обмотки, как ВН, так и НН, то обе обмотки соединяют по схеме Y₀/Y₀, а для компенсации третьей гармоники кривой вторичного напряжения добавляют третью обмотку, которую соединяют в треугольник.

У однофазных трансформаторов со стержневой магнитной системой, работающих в трехфазной группе, из-за появления в напряжении третьей гармоники большого значения ссединение обмоток

независимо от мощности выполняют по схеме  $Y/\Delta$  н  $Y_0/\Delta$ .

У трехфазных трансформаторов с броневой магнитной системой обмотки средней фазы должна быть обязательно вывернута, иначе магнитные потоки в соприкасающихся частях магнитопровода возрастут в  $\sqrt{3}$  раз, т. е. магнитная цепь в этих местах будет перенасыщена.

Габлица ПЗ-1 Схемы и группы соединения обмоток трехфазных двухобмоточных трансформаторов

| Схемы соедин | ения обмоток | Диаграммы вет | кторов э. д. с. | Условные             |
|--------------|--------------|---------------|-----------------|----------------------|
| ВН           | нн           | ВН            | нн              | обозначения          |
| A B C C      |              | A             | a b             | Y/Y <sub>0</sub> -0  |
| A B G        |              | B<br>A        |                 | Υ/Δ-11               |
|              |              | 8<br>A C      | a               | Υ <sub>0</sub> /Δ-11 |
| A B C C      |              | A C           |                 | Y/Z <sub>0</sub> -11 |
|              | 0 a 6 c      | A C           | b               | Δ/Υ <sub>0</sub> -11 |

### Схема и группа соединения обмоток однофазных двухобмоточных трансформаторов

| Сх  | ема соедине | ния обмоток | "Диаграмма в | Диаграмма векторов э. д. с. |                         |
|-----|-------------|-------------|--------------|-----------------------------|-------------------------|
|     | BH          | НН          | ВН           | нн                          | Условное<br>обозначение |
| A ° | X           | a F         | A            | a d                         | 1/1-0                   |

Таблица ПЗ-3

Условные

### Схемы и группы соединения обмоток трехфазных трехобмоточных трансформаторов

Схемы соединения обмоток

Диаграммы векторов э. д. с.

| ВН      | CH                                                          | HH | BH  | CH                              | нн               | обозначения                            |
|---------|-------------------------------------------------------------|----|-----|---------------------------------|------------------|----------------------------------------|
|         |                                                             |    | *   |                                 |                  |                                        |
| O A B C | O <sub>m</sub> A <sub>m</sub> o <sub>m</sub> c <sub>m</sub> |    | B C | 8 <sub>m</sub>                  | b                | Y <sub>0</sub> /Y <sub>0</sub> /Δ-0-11 |
| 0 A B C | A <sub>m</sub> B <sub>m</sub> C <sub>m</sub>                |    | 8   | $\bigcup_{A_{m}}^{B_{m}} c_{m}$ | $\sum_{a}^{b} c$ | Υ <sub>0</sub> /Δ/Δ-11-11              |
|         |                                                             |    |     | ,                               |                  |                                        |

### Схема и группа соединения обмогок трехфазных трехобмоточных автотрансформаторов

| Схема соединения с | обмоток | Диаграмма векто | Условное |                           |
|--------------------|---------|-----------------|----------|---------------------------|
| ВН и СН            | НН      | ВН и СН         | НН       | ббозначение               |
| O A Am B Bm C Cm   |         | Am Cm           | b c      | Υ <sub>02BTO</sub> /Δ-0-1 |

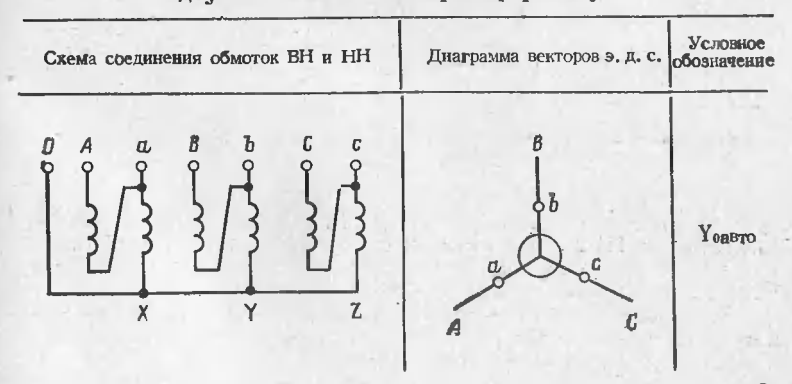
Таблица ПЗ-5

### Схема и группа соединения обмоток однофазных трехобмоточных автотрансформаторов

| Схема соединен | ия обмоток | Диаграмма ве   | Условное |                         |  |
|----------------|------------|----------------|----------|-------------------------|--|
| ВН и СН        | НН         | ВН и СН        | нн       | обозначени              |  |
| A Am X         |            | A <sub>m</sub> |          | 1 <sub>aBTO</sub> /1-0- |  |

Таблица ПЗ-6

### Схема и группа соединения обмоток трехфазных двухобмоточных автотрансформаторов



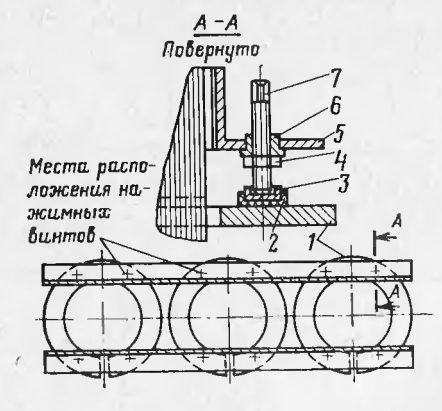
#### Схема и группа соединения обмоток однофазных двухобмоточных автотрансформаторов

| Схема соединения обмоток<br>ВН н НН | Днаграмма векторов э. д. с. | Условное обозначение |  |  |
|-------------------------------------|-----------------------------|----------------------|--|--|
|                                     | A da                        | 1 <sub>авто</sub>    |  |  |

#### ПРИЛОЖЕНИЕ 4

#### ОПРЕССОВОЧНЫЕ УСТРОЙСТВА ПРИ РЕМОНТЕ И МОДЕРНИЗАЦИИ

В процессе ремонтных работ часто приходится заменять несовершенное прессующее устройство более совершенным в виде нажниных стальных разрезных колец и прессующих болтов (рнс. П4-1. Это требует дополнительного места по высоте (60—90 мм). В тех случаях, когда при данной высоте окна готового магнитопровода нет места для установки нажниных колец и прес-



### Рис. П4-1. Нормальное прессующее устройство.

1 — нажнмное стальное разрезное кольцо;
 2 — изолирующий башмак;
 3 — стальной башмак;
 4 — контргайка;
 5 — полка ярмовой балки;
 6 — гайка, приваренная к полке ярмовой балки;
 7 — нажимный вныт.

сующих винтов, опрессовочное устройство может быть выполнено согласно рис. П4-2 с размещением его взамен уравнительной изоляции между выступом ярма и полкой верхней ярмовой балки. Этот выступ имеет обычно высоту 55—75 мм.

Эта конструкция обладает следующими достоинствами: а) возможиа установка ее без расшихтовки верхнего ярма; б) не требует

изолировки прессующих болтов от колед.

Данное прессующее устройство состоит из полуколец 2 и фасонных сегментов 3, которые устанавливаются непосредственно на верхней ярмовой изоляции. В полке верхней ярмовой балки 12 сверлят отверстия, в которые вставляют и приваривают гайки с буртиком 9. В местах нажима болтов к полукольцам и фасониым сегментам приваривают цилиндрические стаканчики 6, куда входят концы прессующих болтов 11, не позволяя тем самым полукольцам и сегментам радиально смещаться. Прямая часть фасоиного сегмен-

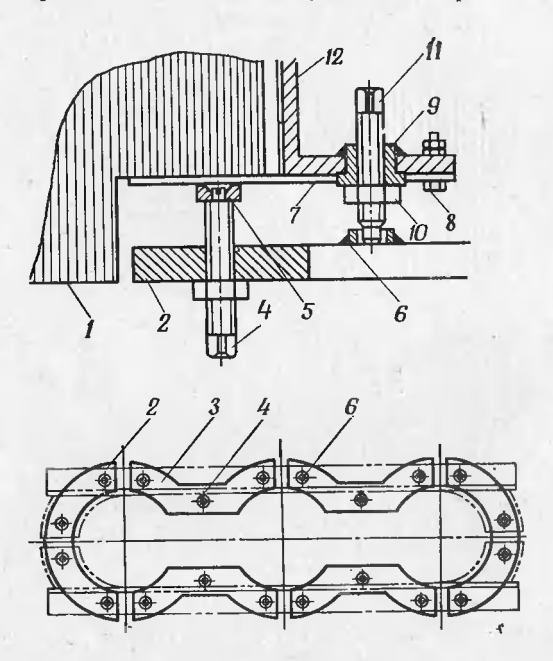


Рис. П4-2. Прессующее устройство с фасонными нажимными сегментами.

1 — выступ ярма; 2 — нажимное полукольцо; 3 — нажимный сегмент; 4 — распорный болт; 5 — подвижная «пятка»; 6 — стаканчик, приваренный к нажимным сегментам и полукольцам; 7 — изолнрующая полоса из электрокартона; 8 — болт, закрепляющий изолнрующую полосу 7; 9 — гайка, приваренная к полке ярмовой балкн; 10 — контргайка; 11 — иажнмный винт; 12 — ярмовая балка.

та заходит под ярмо, что позболяет установить распорные болты 4, которые ввертываются в отверстия в сегментах и производят давление снизу в распор через подвижные «пятки» 5 и изолирующие электрокартонные листы на ярмо и тем самым выравнивают прессовку обмоток. Так как выступающие части болтов 4 близко подходят к обмоткам, то после опрессовки они должны быть соответствению изолированы.

Концы внутрениих обмоток при применении указанного опрессовочного устройства выпускаются через зазоры между кольцами

и фасонными сегментами.

У трансформаторов класса напряжения 110 кВ выступ ярма составляет по высоте 75 мм. Для более равномерного распределения по окружности прессующих болтов и уменьшения толшины нажимного кольца устанавливают дополнительно домкратные рас-

порные болты 4 (рис. П4-3).

При отсутствии выступа ярма, т. е. когда нижняя полка ярмовой балки располагается на одной линии с ярмом, опрессовочное устройство выполняют при наличин места в окне согласно рис. П4-1 в виде стальных разрезных колец с прессующими болтами, которые изолируются от кольца. С этой целью на кольцо устанавливают и

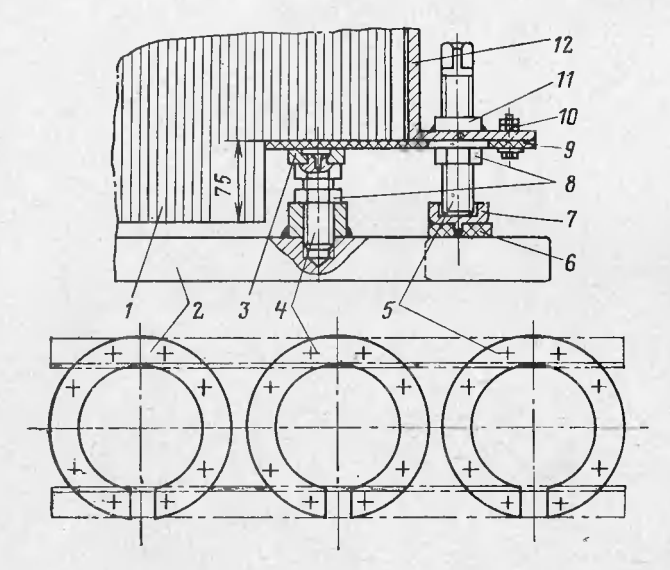


Рис. П4-3. Прессующее устройство с домкратными распорными винтами.

1 — выступ ярма; 2 — нажимное стальное разрезное кольцо; 3 — подвижная «пятка» на головке домкратного винта; 4 — домкратный распорный винт; 5 нажимный винт; 6— гетинаксовая изолирующая пластина; 7— стальной ста-кан; 8— контргайки; 9— изолирующая электрокартонная полоса; 10— болт, закремляющий изолирующую полосу; 11— гайка, приваренная к полке ярмо-вой балки; 12— ярмовая балка.

прибандажировывают шайбу из электрокартона или все кольцо изолируют несколькими слоями телефонной бумаги. Для установки прессующих болтов к нижней полке консоли приваривают в соответствующих местах стальные пластины толщиной 20 мм. а затем сверлят и нарезают в этих местах сквозные отверстия, в которые и ввертывают прессующие болты. На концы болтов устанавливают подвижные «пятки» или стаканчики. Иногда стаканчики устанавливают неподвижно на нажимном кольце. В этом случае кольцо не изолируется, а в стаканчики вставляются гетинаксовые «пятки». через которые болты своими концами нажимают на кольцо и прессуют обмотку.

При отсутствии выступа ярма, а также достаточного места в окие прессующие кольца выполняют на гетинакса со стальиыми накладками толщиной 8—10 мм, через которые болты нажимают на кольца и прессуют обмотки. Поскольку тетинакс плохо работает на изгиб, прессующие болты необходимо устанавливать возможно чаще.

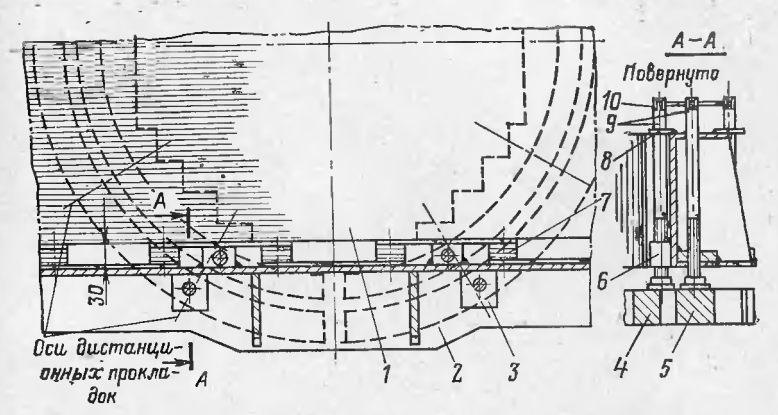


Рис. П4-4. Прессующее устройство для раздельной прессовки обмоток.

1— ярмо; 2— полка ярмовой балки; 3— стальные пластниы, приваренные к полке ярмовой балки; 4 и 5— стальные разрезные прессующие кольца; 6— гайка, приваренияя к стенке ярмовой балки для внутреннего нажимиого винта; 7— изолирующий мост из электрокартона; 8— направляющая пластниа; 9— нажимиые винты; 10— стопор (стальная проволока).

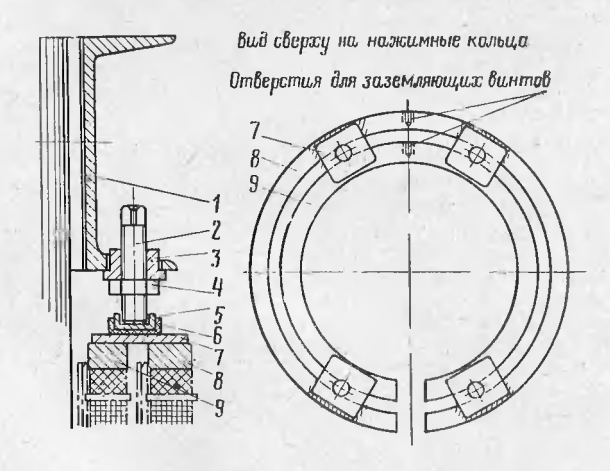


Рис. П4-5. Прессующее устройство с раздельными кольцами и общими нажимными винтами.

1 — ярмовая балка;
 2 — нажимный винт;
 3 — гайка, приваренная к полке ярмовой балки;
 4 — коитргайка;
 5 — стальной башмак;
 6 — изолирующий башмак;
 7 — стальная пластина, приваренная к наружному изжимному кольцу;
 8 — изоружное нажимное кольцо;
 9 — виутрениее нажимное кольцо;

Описанные конструкцин прессующих устройств применяют при общей осевой стяжке, когда одно нажниное кольцо прессует одновременно все обмотки. Более совершенной является раздельная прессовка каждой обмотки своим нажниным кольцом; прн этом размер каждой обмотки в раднальном направленин должен быть не меньше 30 мм и ширина кольца должна равняться раднальному размеру обмотки.

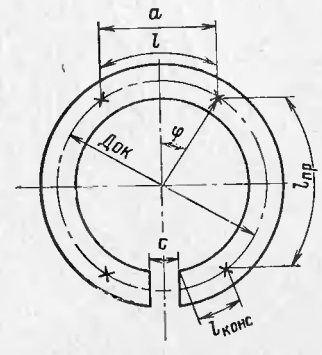


Рис. П4-6. Эскиз нажимного кольца.

Для осуществления раздельной прессовки несколько отодвнгают верхнюю ярмовую балку от ярма и часть винтов 9, прессующих внутрениюю обмотку, устанавливают в пространстве между ярмовой балкой и ярмом. Для этого к стенке ярмовой балки приваривают гайки 6 (рис. П4-4). Изолирующий мост из электрокартона соответственно переделывают так, как указано на рис. П4-4.

На рис. П4-5 показано опрессовочное устройство с раздельными

нажниными кольцами и общими прессующими винтами.

Толщина стального нажниного кольца, а также количество и диаметр прессующих болтов определяются расчетом на механическую прочность:

$$\sigma' = (P_{\rm np} + F_{\rm cm}) l_{\rm npon}/2\pi D_{\rm ckp} b_{\rm kon} \delta_{\rm kon} \leq 2.108$$
 Па (2000 кгс/см²)

для участка между болтами длиной  $l_{\rm про\, n}$  (рнс. П4-6), где  $\sigma'=2\cdot 10^8$  Па (2000 кгс/см²) — допустимое напряжение для стали (Ст. 4);  $P_{\rm пp}=p_{\rm np}S_{\rm пp}$  — усилне прессовки обмоток;  $F_{\rm c\, m}$  — максимальная сила сжатия обмотки (см. механнческие усилия в обмотках — формуляр, приложение 14);  $D_{\rm o\, kp}$  — диаметр окружности, проходящей через оси прессующих болтов, см;  $l_{\rm про\, n}$  — наибольшни пролет между прессующими болтами, счнтая по дуге окружности диаметром  $D_{\rm o\, kp}$ , см;  $b_{\rm no\, n}$  — радиальная шнрина кольца, см:  $p_{\rm np}$  — удельное давление прессовки, равное  $20\cdot 10^5$  Па (20 кгс/см²);  $S_{\rm np}$  — площадь прокладок по окружности обмоток, см²;  $\delta_{\rm no\, n}$  — толщина кольца, см;

$$l=2\pi R~rac{arphi}{360}=0$$
,00872 $D_{
m OKP}$  $arphi$ , см (рис П4-6); 
$$l_{
m ПРО} \pi=rac{\pi D_{
m OKP}}{2}-l=1$$
,57 $D_{
m CKP}=0$ ,00872 $D_{
m CKP}$  $arphi=D_{
m OKP}$  (1,57 $=0$ ,00872 $arphi$ ), см;

$$\sin \varphi = \frac{a}{D_{
m OKP}}$$
;  $l_{
m KOHC} = \frac{0,00872 D_{
m CKP} \varphi - c}{2}$ , см (рис. П4-6); 
$$\sigma'' = \frac{3 \left(P_{
m \PiP} + F_{
m CM}\right) l_{
m KOHC}^2}{\pi D_{
m OKP} \delta^2_{
m KON} b_{
m KON}} \leqslant 2 \cdot 10^8 \; \Pi_{
m B} \; (2000 \; {
m kTc/cm^2})$$

для консольного участка длиной Іконс.

Внутренний диаметр резьбы прессующего болта

$$d_{
m pes} = 0,04\,V\,\overline{(P_{
m np} + F_{
m cw})/n_{
m font}}$$
, где  $n-$ число болтов на фазу.

Острые кромки деталей перед установкой должны быть при-

туплены, сварные швы и заусенцы зачищены.

Перед прессовкой обмоток у масляных трансформаторов резьбовые соединения узла прессовки и опорную поверхность винта рекомендуется смазать трансформаторным маслом.

#### ПРИЛОЖЕНИЕ 5

#### **ОТВОДЫ**

Таблица П5-1

Отводы в масле. Выбор сечения голых (неизолированных) медных шин (15% поверхности отвода закрыто креплениями) [Л. 4]

| ечение<br>н <b>ы,</b> мм²                                                                                        | Добавочные потери, %                                                      | вертика                                                                                                   | льное                                                                                                                                                                                                                                           | горизонт                                                                                                                                                                                                                                                        | альное                                                |
|------------------------------------------------------------------------------------------------------------------|---------------------------------------------------------------------------|-----------------------------------------------------------------------------------------------------------|-------------------------------------------------------------------------------------------------------------------------------------------------------------------------------------------------------------------------------------------------|-----------------------------------------------------------------------------------------------------------------------------------------------------------------------------------------------------------------------------------------------------------------|-------------------------------------------------------|
|                                                                                                                  |                                                                           | и превыше                                                                                                 |                                                                                                                                                                                                                                                 |                                                                                                                                                                                                                                                                 |                                                       |
|                                                                                                                  | 1-                                                                        |                                                                                                           | ении темп <b>е</b> ра<br>ратурой                                                                                                                                                                                                                | атуры щины<br>масла, °C                                                                                                                                                                                                                                         | над темпе                                             |
|                                                                                                                  |                                                                           | 25                                                                                                        | 20                                                                                                                                                                                                                                              | 25                                                                                                                                                                                                                                                              | 20                                                    |
| 83,2<br>109,1<br>131,1<br>179,1<br>199,1<br>249,1<br>269,1<br>299,1<br>359,1<br>479,1<br>499,1<br>639,1<br>799,1 | 1,8<br>2,0<br>3,0<br>3,3<br>3,6<br>4,5<br>4,5<br>5,4<br>5,0<br>6,3<br>7,2 | 173<br>193<br>230<br>244<br>263<br>303                                                                    | 25<br>30<br>30<br>30<br>30<br>30<br>30<br>30<br>30<br>30<br>30                                                                                                                                                                                  | 400<br>52<br>63<br>86<br>95<br>1200<br>1290<br>1440<br>1720<br>1920<br>2300<br>2400<br>2500<br>2680<br>3320                                                                                                                                                     | 5<br>0<br>0                                           |
| 29<br>39<br>47<br>49<br>59<br>60<br>79                                                                           | 99,1<br>59,1<br>99,1<br>79,1<br>99,1<br>59,1                              | 99,1 3,6<br>99,1 4,5<br>99,1 4,5<br>79,1 5,4<br>99,1 5,0<br>59,1 6,3<br>39,1 7,2<br>99,1 8,0<br>99,1 10,0 | 39,1     3,6     144       19,1     4,5     177       19,1     4,5     190       19,1     5,4     230       19,1     5,0     240       259,1     6,3     261       39,1     7,2     307       39,1     8,0     384       39,1     10,0     4800 | 39,1     3,6     1440       19,1     4,5     1720       19,1     4,5     1920       19,1     5,4     2300       19,1     5,0     2400       25,1     6,3     2680       39,1     7,2     3070       39,1     8,0     3840       29,1     10,0     4800     4600 | $\begin{array}{c ccccccccccccccccccccccccccccccccccc$ |

# Отводы в масле. Выбор сечения медных круглых изолированных проводов (превышение температуры отводов над температурой масла 25°C, 15% поверхности отвода закрыто креплениями) [Л. 4]

|                                    |                                        |                     | -                        | -                                   | , .                                             |                                                                                                      |                       |  |
|------------------------------------|----------------------------------------|---------------------|--------------------------|-------------------------------------|-------------------------------------------------|------------------------------------------------------------------------------------------------------|-----------------------|--|
| MM                                 | ************************************** | Прово               | да в бумажн<br>вых труби |                                     | Провод<br>марки ПБ<br>с бумаж-                  | Провод марки ПБ с<br>бумажной изоляцией<br>4,25 мм на обе стороны<br>в бумажно-бакелитовой<br>трубке |                       |  |
|                                    | провода, мм²                           | дка-                | при толщ                 | ый ток, А,<br>ине трубки<br>ону, мм | ной изоля-<br>цией<br>4,25 мм на<br>обе стороны |                                                                                                      |                       |  |
| Днаметр провода,                   | Сечение пр                             | Внутренний ди       | 2                        | 4                                   | Допусти-<br>мый ток, А                          | Диаметр<br>трубки, мм<br>внутрен-<br>ний/внеш-<br>ний                                                | Допусти-А<br>мый ток, |  |
| 72,44<br>3,05<br>4,1<br>4,8<br>5,2 | 4,68<br>7,3<br>13,2<br>18,1<br>21,2    | 6 6                 | 35<br>63<br>87           | 35<br>63<br>87                      | 22,5<br>35<br>63<br>87<br>102                   | 10/14<br>10/14<br>10/14<br>12/16<br>12/16                                                            | 35<br>63<br>87<br>102 |  |
| 5,5                                | 23,8                                   | 8                   | 115                      | 115*                                | -                                               | -                                                                                                    | _                     |  |
| 6,5<br>8,0<br>10,0<br>12,0         | 33,2<br>50,3<br>78,5<br>113,1          | 8<br>10<br>12<br>14 | 167<br>217<br>295<br>380 | 149<br>194<br>261<br>333            | 111                                             |                                                                                                      | =                     |  |

<sup>\*</sup>Значения допустимого тока выше линии соответствуют плотности тока 4,8 А/мм² и определяются нагревом при коротком замыкании. Для превышения температуры 20°С и размеров провода и изолящии (ниже линии) допустимый ток уменьшается на 11% против указанного в табл. ПБ-3.

Таблица П5-3 Отводы в масле. Выбор сечения медных гибких проводов

## Отводы в масле. Выбор сечения медных гибких проводов с бумажной изоляцией (закрытие поверхности отвода креплениями не учтено) [Л. 4]

| Сече-                                            | p ronoro                                                   | изолир<br>мм, п<br>мажн                                      | жный ди<br>ованного<br>ри толщ<br>ой изоля   | провода,<br>ине бу-<br>щин на        | изоля                                                | тимый т<br>ц <b>ян ∆</b> и<br>цов над                | превы                                  | шений:                                 | гемпера                         | туры                            |
|--------------------------------------------------|------------------------------------------------------------|--------------------------------------------------------------|----------------------------------------------|--------------------------------------|------------------------------------------------------|------------------------------------------------------|----------------------------------------|----------------------------------------|---------------------------------|---------------------------------|
| MM <sup>2</sup>                                  | Диаметр<br>провода,                                        |                                                              | Topony                                       | raifaf                               | Δ=                                                   | :3                                                   | Δ=                                     | =6                                     | Δ=                              | =8                              |
|                                                  | Диг                                                        | 3                                                            | 6                                            | - 8                                  | 25                                                   | 20                                                   | 25                                     | 20                                     | 25                              | 20                              |
| 16<br>25<br>50<br>95<br>150<br>240<br>300<br>400 | 5,8<br>7,7<br>10,2<br>14,3<br>18,1<br>23,0<br>26,2<br>29,8 | 13,4<br>15,3<br>17,8<br>21,9<br>25,7<br>30,6<br>33,8<br>37,4 | 21,3<br>23,8<br>27,9<br>31,7<br>36,6<br>39,8 | 25,3<br>27,8<br>31,9<br>35,7<br>40,6 | 80<br>125<br>250<br>410<br>568<br>793<br>931<br>1153 | 80<br>125<br>236<br>364<br>505<br>705<br>827<br>1025 | 125<br>220<br>336<br>460<br>637<br>745 | 125<br>195<br>298<br>409<br>566<br>661 | 125<br>207<br>304<br>430<br>596 | 118<br>184<br>270<br>382<br>530 |

Отводы в масле. Выбор сечения голых (неизолированных) круглых медных проводов (15% поверхности отвода закрыто креплениями) [Л. 4]

| Циаметр провода, мм | Сечение провода, мм <sup>3</sup> | Допустимый ток, А, при превыше<br>нии температуры отвода над<br>температурой масла, °C |     |  |  |  |
|---------------------|----------------------------------|----------------------------------------------------------------------------------------|-----|--|--|--|
|                     |                                  | 25                                                                                     | 20  |  |  |  |
| 3,05                | 7,3                              |                                                                                        | 35  |  |  |  |
| 4,1                 | 13,2                             |                                                                                        | 63  |  |  |  |
| 4,8<br>5,5          | 18,1                             |                                                                                        | 87  |  |  |  |
| 5,5                 | 23,8                             |                                                                                        | 115 |  |  |  |
| 6,5                 | 33,2                             |                                                                                        | 160 |  |  |  |
| 8,0                 | 50,3                             |                                                                                        | 241 |  |  |  |
| 10,0                | 78.5                             |                                                                                        | 377 |  |  |  |
| 12,0                | 113,1                            | 543                                                                                    | 523 |  |  |  |

При закрытии поверхности отвода креплениями допустимый ток уменьшается против указанного в табл. П5-4:

#### ПРИЛОЖЕНИЕ 6

### вводы

Для присоединения траисформаторов к элементам электрической сети служат вводы. Их виды и конструкции зависят от класса напряжения обмотки и сети, от номинальных рабочих токов, от вида сети (воздушная или кабельная), а также от климатических условий, в которых работают трансформаторы наружиой установки.

По электрическим параметрам, заполнению и назначению вво-

ды делятся на группы:

а) высоковольтные маслонаполненные вводы классов напряжения 110 кВ и выше; применяются на всех трансформаторах с напряжением одной или более обмоток выше 35 кВ независимо от мощности;

б) съемные вводы классов напряжения 19-35 кВ; применяются

для всех трансформаторов на сторонах ВН, СН и НН:

в) составные вводы классов напряжения 0,5—1,0 кВ; применяются для силовых трансформаторов I—III габаритов на стороне НН;

г) низковольтные многоамперные вводы — это шивные вводы разных сечений, реже — трубчатые, охлаждаемые водой или маслом; применяются у специальных трансформаторов — электропечных и преобразовательных — на стороне НН;

д) высоковольтные мастиконаполненные вводы классов напряжения 35 и 110 кВ; в отечественном трансформаторостроении не применяются, однако встречаются на трансформаторах иностранных

фирм.

Высоковольтные маслонаполненные вводы. Высоковольтные маслонаполненные вводы выпускаются как самостоятельные комплектующие изделия по ГОСТ 10693-63. С введением в действие этого стандарта, а также благодаря техническому прогрессу в области производства вводов за последние несколько лет произошли коренные изменения.

1. Изменилась маркировка этой группы вводов. Ранее тип ввода обозначался, например, так: МТПУ-220/1000; МТ-110/600. Старая маркировка расшифровывается следующим образом: М—маслонаполненный; Т—для трансформаторов или реакторов (такие же вводы изготавливаются и для других целей, например, для масляных выключателей); П—с измерительным выводом для подключения прибора для измерения напряжения (ПИН), при отсутствии измерительного вывода буква П не ставится; У—усиленный фарфор для районов с загрязненной н химически агрессивной средой, у вводов для нормальных районов буква У не ставится. Дробь показывает номинальные электрические параметры ввода: числитель — напряжение, кВ, знаменатель — ток, А.

Теперь действуют новые обозначения типов вводов. Например  $\frac{\Gamma EMT}{90}$  - 110/1000У или  $\frac{MET\Pi}{30}$  - 220/2000, Маркировка расшифро-

вывается так: Г — герметичный; БМ — бумажно-масляная изоляция (или МБ — масло-барьерная изоляция); Т, П и У — то же, что при старой маркировке, только буква У ставится в конце после дроби. Буквы П, У, а также Г (если ввод негерметичный) в случаях, как у старых вводов, не ставятся. Под буквенным обозначением проводится горизонтальная черта и под ней обозначается угол или диапазон углов в градусах—под таким углом к вертикали допускается установка ввода на трансформаторе. Значение дроби такое же,

как и при старой маркировке.

2. Все большее распространение получают герметичные вводы. Они отличаются небольшими габаритами и массами и в принципе должны быть надежнее негерметичных вводов, так как исключают контакт масла с воздухом в расширителе. Температурные изменения объема масла компенсируются сильфонным или мембранным компенсатором (первый располагается над верхней фарфоровой покрышкой ввода, а второй — отдельно от ввода в так называемом баке давления). При выпуске с завода во вводе создается небольшое избыточное гидравлическое давление, которое в эксплуатации поддерживается в заданных пределах по заводской инструкции; для измерения давления имеется специальное манометрическое устройство. Надежность этих вводов в эксплуатации пока низка: «уходит» давление, часто киснет масло и т. п. Герметичные вводы постоянно совершенствуются.

3. Разработаны и находятся в стадии освоения маслоподпорные вводы (в маркировке будут обозначаться буквой О). Они выполняются без нижних фарфоровых покрышек. Нижняя часть остова закрыта литой твердой изоляцией и находится в масле трансформатора. Пространство между остовом и верхней покрышкой также сообщается с баком трансформатора. Своего расширителя у ввода

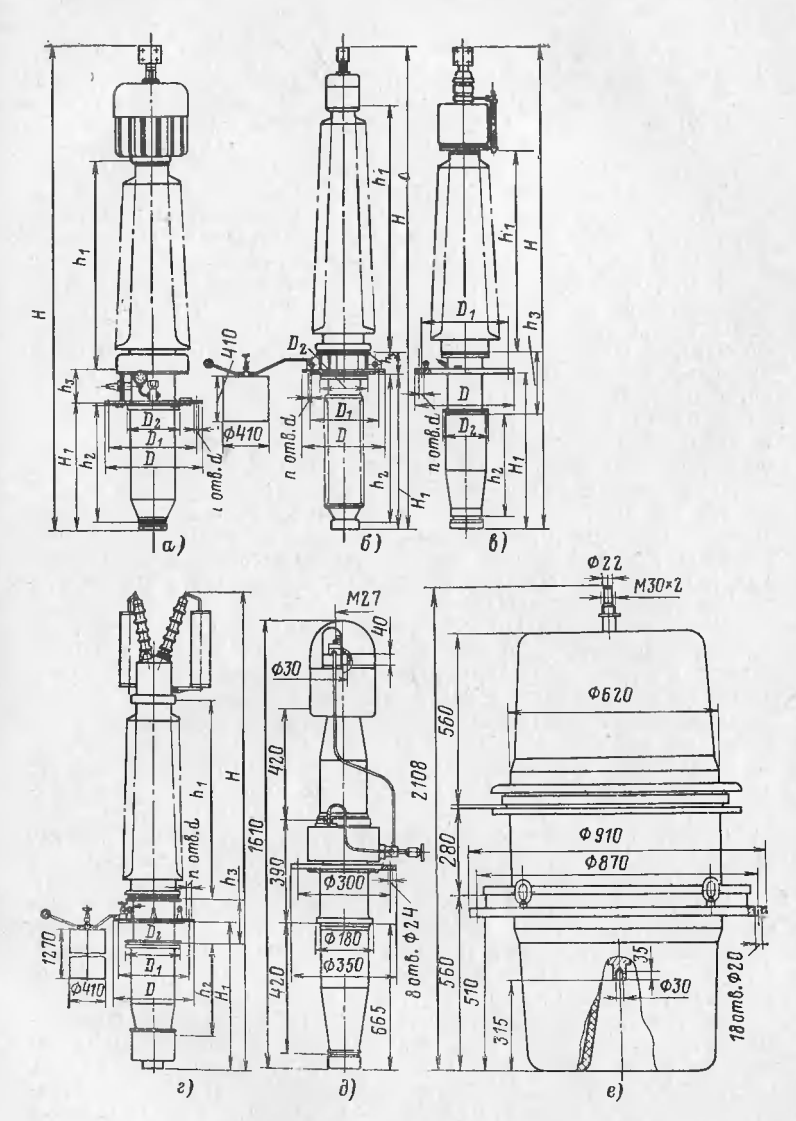


Рис. П6-1. Высоковольтные маслонаполненные вводы.

a— герметичный ввод с сильфонным компеисатором; b— то же с мембранным компенсатором в отдельно вынесенном баке давления; b— негерметичный «малогабаритный» ввод (с бумажно-масляной изоляцией); c— трехзажимный герметичный ввод для автотрансформаторов 220 и 35 кВ; b— герметичный ввод для кабельного подключения трансформатора на напряжение 110 кВ; c— то же негерметичный 220 кВ (горнзонтальной установки).

нет, и для заполнения всего ввода маслом расширитель трансформатора должен быть поднят выше, чтобы уровень масла в нем был выше ввода. Такие вводы по габаритам еще меньше герметичных, не требуют никакого ухода в эксплуатации, но их и адежность будет зависеть от качества литой изоляции остова. При повреждении изоляции (трещины, расслаивания) ввод станет неремонтопригодным и его надо будет заменять.

Но, как показывает опыт эксплуатации таких вводов на трансформаторах иностранных фирм, это значительный шаг вперед в электротехнике и этим вводам, безусловно, принадлежнт будущее.

4. Все большее распространение в электрических сетях и системах получают кабельные высоковольтные линии, и соответственно этому растет спрос на вводы для кабельного подключения трансформаторов (так называемые проходные втулки). Такие вводы выпускаются на напряжения 110 кВ (герметичные) и 220 кВ (негерметичные, горизонтального расположения).

 Вводы с масло-барьерной изоляцией, в принципе иадежные и простые, но имеющие очень большне габариты и массы, еще окончательно с производства не сняты; они выпускаются редко и

скоро за отсутствием спроса на них будут сняты.

На рис. П6-1 показаны высоковольтные маслонаполненные вводы разных конструкций, выпускаемые в настоящее время, а в табл. П6-1 — основные технические характеристики всех вводов 110, 150 и 220 кВ для траисформаторов, имеющихся в номенклату-

рах отечественных заводов.

Устаиовка вводов 110—220 кВ на разных трансформаторах выполняется по-разному: и вертикально, и с наклоном, и на крышке бака, и в специальных карманах. Карманы могут быть приварены к боковой стенке бака, а могут крепиться шпильками и гайками через резиновые уплотнения. В последнем случае карманы являются съемными. Съемные карманы были разработаны для возможности их замены при повреждении, а также для осмотра активной части при ревизии трансформатора без подъема колокола. Однако практика эксплуатации показала, что съемные карманы не нужны, а их уплотнения—это лишние возможности для течи масла, поэтому съемные карманы для вводов делают редко. Но люк для крепления отводов ВН при монтаже вводов все же необходим (см. рис. 5-5,6).

Все трансформаторы классов напряжения 110 кВ и выше комплектуются встроеиными трансформаторами тока для подключення контрольно-измерительных приборов и релейной защиты. Трансформаторы тока помещаются в переходиых фланцах (адаптерах), кото-

рые служат также основой для установки вводов.

Ввод вертикальной установки крепится фланцем соединительной втулки к переходному фланцу болтами с гайками. Ввод наклонной установки имеет в дополнение к этому латуниое кольцо, прикрепленное к верхней части соединительной втулки и центрирующее положение верхней фарфоровой покрышки и таким образом предотвращающее ее сползание, возможное в результате вибрацин при работе трансформатора. Кольцо закрывается алюминиевым экраном. Детали, которые образуют замкнутый виток вокруг трубы или фарфоровых покрышек ввода, делают из немагнитых материалов—из меди, латуни, алюминия, но ни в коем случае ие из стали во избежание сильного нагрева вихревыми токамн.

При ремонте трансформаторов (как при восстановительном ремонте, так и в особениости при модернизации) часто возникает

Таблица Пб-1

24,0 24,0 8,0 8,0 24,0 24,0 8,0 33,0 8,0 покрышки нижиеи 50 00 00 00 00 00 00 59,04 45,0 46,0 0,08 0,07 93,0 o, 0 0,0 верхней Основные технические характеристики высоковольтных маслонаполненных вводов 110-220 кВ 8 93, Kr Macca, 38.5 42,7 Q 'n 50,5 60 20 O, OCTOBA 88 отоннои диктоен 21 2 44 \$ 8 15,8 2,0 N 29,4 ď 29,4 œ Ó 74,0 Macha 8 32 8 27 276.0 0 0 477,0 248,0 0 0 ĽΩ 0 36 248 256 REHROII 8 Отверстия во фланце втулки им , фтэмвир, 24 24 24 24 24 24 83 8 S количество 00 on CD. G G 6 2 2 C (максималения) 8 240 240 240 240 8 260 8 88 погружной части MM интодавто икоо 310 8 33 \$80 89 89 88 310 88 окружности по Диаметр, 52 33 320 230 8 330 530 8 350 епнесф втулки 295 365 392 165 53 65 165 230 စ္တ соединительной TOKDEURKE 675 675 935 420 420 675 675 800 800 нижнеи MM 1100 280 000 020 1180 8 188 1560 8 верхней Высота, 883 663 23 725 22 725 848 848 8 погружной части 3412 2390 2490 2540 3149 2949 2525 2685 2700 REHIVOIT 2000 2000 630 000 0001 2000 630 630 630 Номинальный ток, А 150 110 10 10 110 9 22 22 Класс напряжения, кВ 21111.800.077-11 2IIII.800.077-2 21111.800.068-1 2N3.800.047 Заводской 2M3.800.026 2M3.800.055 2H3.800.050 2N3.800.051 2N3.800.054 чертеж 50/2000-Y 10/1000-У 10/2000-1 0-45 110/630-y 50/630-V 0-90-110/1000 10/2000 150/630 Тип ввода -110/630 CEMT 0-45 LPWI -BMT 'BMT -BMT PWT LPWT LEMT

499

|                     | покрышки | й <b>э</b> нжин .                | 33,0                  | 82,0           | 82,0           | 82,0             | 82,0             | 82,0          | 82,0          | 82,0          | 21,0              | 21,0              | - 1 |
|---------------------|----------|----------------------------------|-----------------------|----------------|----------------|------------------|------------------|---------------|---------------|---------------|-------------------|-------------------|-----|
| L                   | покры    | йэнхүэв                          | 129,0                 | 250,0          | 250,0          | 326,0            | 326,0            | 326,0         | 250,0         | 250,0         | 0,09              | 74,0              |     |
| Масса, кг           |          | отоннониого<br>ваотоо            | 6,99                  | 192,0          | 192,0          | 195,0            | 196,0            | 152,5         | 149,0         | 149,0         | 38,0              | 38,0              |     |
| X                   |          | масла                            | 2,69                  | 153,0          | 153,0          | 164,0            | 164,0            | 139,0         | 133,0         | 133,0         | 35,0              | 42,0              |     |
|                     |          | RSHLOU                           | 420,5                 | 884,0          | 848,0          | 0,576            | 923,0            | 10,568        | 808,01        | 811,01        | 243,0             | 275,0             |     |
| стия                | IKB      | мм ,qтэмвид                      | 22                    | 24             | 24             | 24               | 22               | 24            | 24            | 24            | 24                | 24                | Τ   |
| Отверстия во флание | втулки   | количество                       | 12                    | 16             | 16             | 16               | 16               | 16            | 16            | 91            | 6                 | 6                 |     |
| 4                   | И        | (мэксимэльный)<br>погружной част | 260                   | 440            | 440            | 440              | 440              | 440           | 440           | 440           | 230               | 230               |     |
| Tp, MM              |          | окружности по                    | 380                   | 720            | 260            | 720              | 260              | 720           | 720           | 720           | 480               | 480               |     |
| Диаметр,            |          | фланца                           | 420                   | 200            | 909            | 2092             | 009              | 092           | 290           | 290           | 523               | 535               |     |
|                     |          | соединительной<br>втулки         | 295                   | 185            | 185            | 185              | 185              | 185           | 185           | 185           | 360               | 360               |     |
|                     | покрышки | йэнжин                           | 935                   | 1300           | 1300           | 1300             | 1300             | 1300          | 1300          | 1300          | 630               | 630               |     |
| a, MM               | покрь    | верхней                          | 1360                  | 2130           | 2100           | 2300             | 2300             | 2300          | 2100          | 2100          | 086               | 1280              |     |
| Bысота,             | ит       | погруженой час                   | 994                   | 1380           | 1380           | 1380             | 1380             | 1380          | 1380          | 1380          | 970               | 970               |     |
|                     | -        | REHIVOIT                         | 3212                  | 4445           | 4445           | 4645             | 4645             | 4385          | 4185          | 4230          | 2540              | 2880              |     |
| ¥                   | '' 'Ж    | Номинальный то                   | 2000                  | 2000           | 2000           | 2000             | 2000             | 400           | 400           | 1400          | 630               | 630               |     |
| кВ                  | ,RH      | Класс напряжен                   | 150                   | 220            | 220            | 220              | 220              | 220           | 220           | 220           | 110               | 110               |     |
|                     |          | Заводской<br>чертеж              | 2IIII,800,068-2       | 2M3.800,043    | 2M3.800.043-01 | 2M 3.800.042     | 2M3.800.042-01   | Т510.008-ЕИЗ  | 7910,008.€N2  | 7710-800-017Т | 121-0-0; 121-0-0A | 195-0-0; 195-0-0T |     |
|                     |          | Тип ввода                        | -BMT<br>0-45-150/2000 | -EMT -220/2000 | .EMT -220/2000 | 'EMT -220/2000-y | 'EMT -220/2000.y | 'EMT220/400-y | 'EMT -220/400 | DMT -220/1400 | SMT -110/630      | SMT - 110/630-y   |     |

|                                 | KB                  |              | нижнец                    | 28,0                | 28,0                | 41,5           | 30,0           | 22,0           | 0,07           | 0,07              | 70,07           | 0,07                 |
|---------------------------------|---------------------|--------------|---------------------------|---------------------|---------------------|----------------|----------------|----------------|----------------|-------------------|-----------------|----------------------|
|                                 | покрышки            |              | верхней                   | 0,09                | 0,16                | 87,02<br>71,5  | 118,0          | 130,0          | 2×100,02       | 213,5             | 2×100,02        | 198,02<br>89,0       |
| Масса, кг                       |                     | OTO          | изоляцион                 | 44,6                | 46,1                | 89,2           | 64,0           | 29,0           | 135,8          | 167,7             | 153,2           | 184,0                |
| M                               |                     |              | Machia                    | 23,0                | 23,0                | 105,0          | 57,0           | 50,0           | 205,0          | 187,0             | 205,0           | 205,0                |
|                                 |                     |              | кенкоп                    | 201,0               | 225,0               | 290,0          | 433,0          | 330,0          | 930,0          | 959,0             | 0,016           | 1150,0               |
| Отверстия<br>во фланце<br>втужн |                     | M            | м физметр, м              | 24                  | 24                  | 24             | 24             | 24             | 24             | 24                | 24              | 24                   |
| Отве                            | BO QU               |              | количество                | 6                   | 6                   | 6              | 0              | 6              | 91             | 16                | 16              | 16                   |
| 7                               | н                   | HPIÄ)        | (мэксимэчри<br>погружной  | 280                 | 280                 | 315            | 290            | 290            | 400            | 400               | 400             | 400                  |
| Tp, MM                          | 9                   | ОП I<br>Инта | окружности<br>осям отверс | 480                 | 480                 | 620            | 620            | 620            | 720            | 720               | 720             | 720                  |
| Диаметр,                        |                     |              | фланца                    | 528                 | 528                 | 685            | 685            | 685            | 760            | 760               | 760             | 260                  |
|                                 |                     | пона         | СОСДИНИТЕЛ<br>ВТУЛКИ      | 325                 | 325                 | 1              | 405            | 355            | I              | I                 | 1               | L                    |
|                                 | į                   | КИ           | нижней                    | 780                 | 780                 | 800            | 069            | 009            | 006            | 006               | 006             | 0006                 |
| a, MM                           | покимп              | X            | верхней                   | 086                 | 1100                | 1755           | 1350           | 1350           | 1993           | 2000              | 1993            | 2575                 |
| Высота,                         | IF.                 | TOEF         | погружной                 | 1035                | 1035                | 1180           | 1075           | 895            | 1905           | 1905              | 1905            | 1905                 |
|                                 |                     |              | вансоп                    | 2575                | 2695                | 3770           | 3115           | 3040           | 4885           | 4940              | 4930            | 5515                 |
| 4                               | к, А                | or h         | Номинальнь                | 1000                |                     | 1000           | 1000           | 1500           | 200            | 1400              | 1600            | 1600                 |
| 8                               | н ,ви               | жен          | Класс напря               | 110                 | 110                 | 150            | 150            | 150            | 220            | 220               | 220             | 220                  |
|                                 | Заводской<br>чертеж |              |                           | 405-0-0             | 421-0-0             | 192-0-0        | 229-0-0        | 404-0-0        | 196-0-0        | 413-0-0           | 181-0-0         | 222-0-0;<br>222-0-0T |
|                                 | 111                 |              | Тип ввода                 | EMT 110/1000, 1600, | EMT 110/1030, 1600, | BMT 154/1000-Y | BMT - 150/1000 | BMT - 150/1500 | EMTIT -220/200 | BMT(II) -220/1400 | EMTII -220/1600 | EMT(IT)<br>45        |

Ä. Масса герметичных веодов с компенсаторами, устанавливаемыми отдельно, показана без баков давления; масса баков—111,5 из двух частей: масса каждой части приведена отдельно. Верхняя покрышка состоит

Трехзажимные вноды для автогрансформаторов. Вводы для кабельного подключения трансформаторов. необходимость в замене существующих вводов новыми. Если места для установки и размещения новых вводов недостаточно (с точки зрения необходимых изоляционных расстояний), можно устанавливать наклонные фланцы (рис. Пб-2) или дополнительные повышающие фланцы (например, при замене масло- и мастиконаполненных вводов зарубежных фирм 110 кВ отечественными) и т. п.

Вводы классов напряжения 0,5—35 кВ. Вводы классов напряжения 0,5—35 кВ разделяют на две группы: а) составные вводы

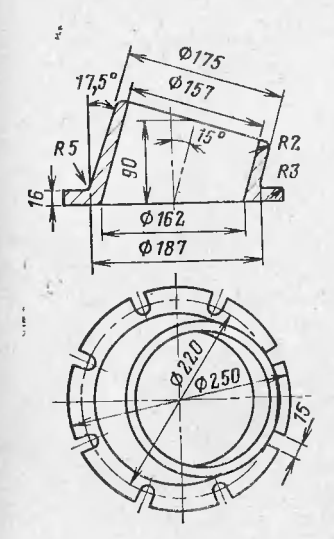


Рис. П6-2. Наклонный фланец.

на напряжения 0,5 и 1,0 кВ; б) вводы на напряжения 6, 10, 20 и 35 кВ.

Ранее вводы этих групп конструктивно выполнялись по-разному. Составные вводы делались разъемными; детали, находящнеся с наружной и с внутренней стороны крышки трансформатора, собраны на токоведущем стержне ввода и стянуты между втулкой, навинченной на стержень

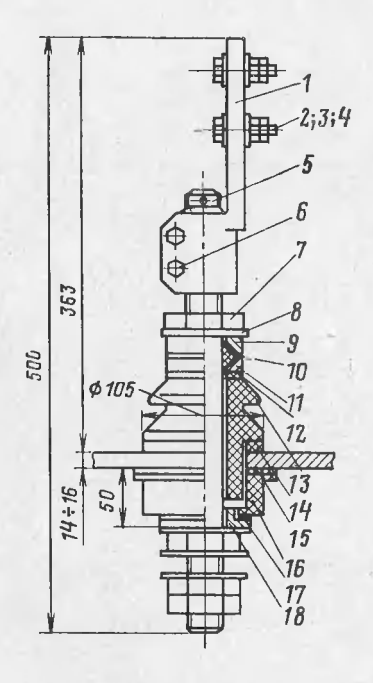


Рис. П6-3. Составной съемный ввод типа ПНТ-1/1600-1.

I — контактная клемма;
2 — болт М12×70;
3 — шайба;
4 — гайка;
5 — стержень;
6 — болт М16;
7 — гайка М33×2;
8 — шайба;
9 — колпак;
10 — резиновое кольцо;
11 — колпак;
12 — резиновая шайба;
13 — фарфоровый изолятор;
14 — резиновая шайба;
15 — пароинтовая или электрокартонная шайба;
18 — втулка, припаяниая к стержию
5.

снизу и припаяниой к нему гайкой. Вводы на напряжения 6—35 кВ выполиялись армированными. Фарфоровый изолятор с помощью различных армировочных замазок неразъемно соединен с чугунным фланцем или обоймой, который на уплотненин установлен на крышке трансформатора. Такие вводы подробио описаны в предыдущем издании данной книгн. Однако такие вводы

обладают рядом недостатком, в силу которых обы с производства для трансформаторов сняты. Главный их недостаток — большая трудоемкость замены или переармировки фарфоровых изоляторов при поломках фарфора или просачивании масла через замазку.

Теперь все трансформаторные заводы страны устанавливают так называемые съемные вводы, комплектуемые по единому отраслевому стандарту ОСТ 16.5.516.001-71 из фарфоровых изоляторов (ГОСТ 16702-71) и других деталей, изготовляемых самими завода-

ми (токоведущих, крепежных и уплотнительных).

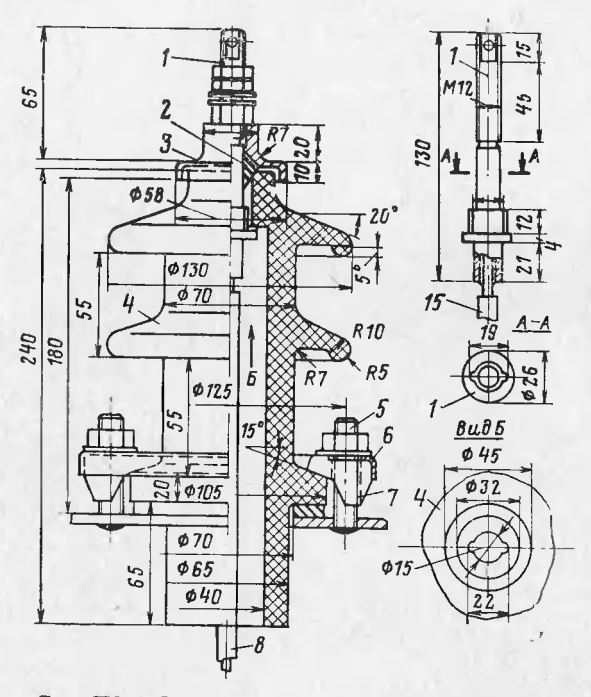
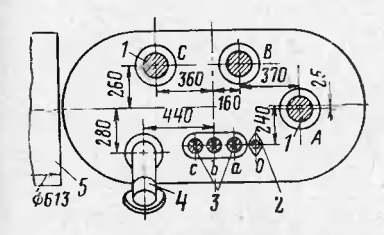


Рис. П6-4. Съемный ввод типа ПНТ-10/250-2.

1 — токоведущий стержень; 2 — резиновое кольцо; 3 — колпак; 4 — фарфоровый изолятор; 5 — стальная шпилька M12; 6 — флаиец, штампованный из листовой стали толщиной 1,5 мм; 7 — кулачок из алюминиевого сплава; 8 — провод марки  $\Pi B$ .

Указанный отраслевой стандарт объединяет все вводы 0,5—35 кВ, т. е. обе группы вводов. Введена единая маркнровка съемных вводов. Она имеет буквенное обозначение, дробь, обозначающую номинальные электрические параметры ввода, и цифру 1 или 2, обозначающую способ соединения стержня ввода с обмоткой трансформатора. Буквенное обозначение ПНТУ расшифровывается так: П—проходной изолятор, Н—наружной установки; Т—для трансформаторов; У—усиленный фарфор для загрязненных и имеющих повышенную влажность воздуха районов, а также для районов с химически агрессивной средой. У вводов для нормальных

районов буква У не ставится. В числителе дроби указывается номинальное напряжение, кВ, на которое рассчитан ввод, а в знаменателе — номинальный рабочий ток, А. Цифра 1 обозначает разъемное соединение токоведущего стержня ввода с обмоткой трансформатора (отвод обмотки через демпфер закрепляется на стержне гайками); цифра 2 — неразъемное (в торец укороченного стержня впаивается гибкий кабель).



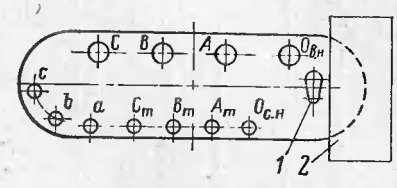


Рис. П6-5. Расположение вводов на крышке трансформатора мощностью  $1000~\mathrm{kB}\cdot\mathrm{A}$  на напряжение  $35~000\pm5\%/400~\mathrm{B}$ .  $1-\mathrm{ввод}$  ВН; 2 и  $3-\mathrm{ввод}$ ы НН; 4— предохранительная труба;  $5-\mathrm{расширитель}$ 

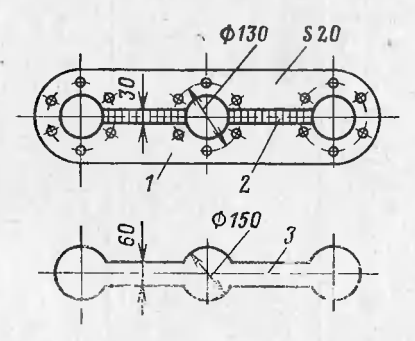
Рис. П6-6. Расположение вводов на крышке трехфазного трехобмоточного трансформатора 110 кВ с регулированием напряжения под нагрузкой.

1 — устройство РПН; 2 — расширитель.

На рис. П6-3 для примера показан составной ввод типа ПНТ-1/1600-1, имеющий две фарфоровые детали (изолятор 13 и втулка 16); на рис. П6-4—съемный ввод типа ПНТУ-10/250-2, имеющий один фарфоровый изолятор с длинной юбкой. В табл. П6-2 приведены основные технические характеристики всех отечественных вводов этих двух групп.

Рис. П6-7. Установка вводов 6—10 кВ на большой ток на крышке трансформаторов IV габарита.

1 — стальная плита, приваренная к крышке;
 2 — прорезь в плите, заваренная немагнитным металлом;
 3 — фасонный вырез в крышке.



Вводы 0,5—35 кВ у большинства трансформаторов монтируются на крышке бака. Для примера на рис. П6-5 показано расположение вводов у силового трансформатора общего назначения мощностью 1000 кВ А на напряжения 35 кВ и 400 В. Сейчас расположение вводов на стандартных трансформаторах выполняется по частным стандартам, где определено строгое размещение всех наружных узлов, в том числе и вводов (рис. П6-6). Но есть трансформаторы, у которых составные и съемные вводы устанавливаются на стенках баков. Это трансформаторы для комплектных

Основные технические характеристики составных и съемных вводов для трансформаторов по ОСТ 16.5.516.001-71 (рис. 116-3 и 116-4)

|                               | Macca   | ввода, кг                         | 42,001<br>42,004<br>42,004<br>42,004<br>43,004<br>43,004<br>43,004<br>43,004<br>43,004<br>43,004<br>43,004<br>43,004<br>43,004<br>43,004<br>43,004<br>43,004<br>43,004<br>43,004<br>43,004<br>43,004<br>43,004<br>43,004<br>43,004<br>43,004<br>43,004<br>43,004<br>43,004<br>43,004<br>43,004<br>43,004<br>43,004<br>43,004<br>43,004<br>43,004<br>43,004<br>43,004<br>43,004<br>43,004<br>43,004<br>43,004<br>43,004<br>43,004<br>43,004<br>43,004<br>43,004<br>43,004<br>43,004<br>43,004<br>43,004<br>43,004<br>43,004<br>43,004<br>43,004<br>43,004<br>43,004<br>43,004<br>43,004<br>43,004<br>43,004<br>43,004<br>43,004<br>43,004<br>43,004<br>43,004<br>43,004<br>43,004<br>43,004<br>43,004<br>43,004<br>43,004<br>43,004<br>43,004<br>43,004<br>43,004<br>43,004<br>43,004<br>43,004<br>43,004<br>43,004<br>43,004<br>43,004<br>43,004<br>43,004<br>43,004<br>43,004<br>43,004<br>43,004<br>43,004<br>43,004<br>43,004<br>43,004<br>43,004<br>43,004<br>43,004<br>43,004<br>43,004<br>43,004<br>43,004<br>43,004<br>43,004<br>43,004<br>43,004<br>43,004<br>43,004<br>43,004<br>43,004<br>43,004<br>43,004<br>43,004<br>43,004<br>43,004<br>43,004<br>43,004<br>43,004<br>43,004<br>43,004<br>43,004<br>43,004<br>43,004<br>43,004<br>43,004<br>43,004<br>43,004<br>43,004<br>43,004<br>43,004<br>43,004<br>43,004<br>43,004<br>43,004<br>43,004<br>43,004<br>43,004<br>43,004<br>43,004<br>43,004<br>43,004<br>43,004<br>43,004<br>43,004<br>43,004<br>43,004<br>43,004<br>43,004<br>43,004<br>43,004<br>43,004<br>43,004<br>43,004<br>43,004<br>43,004<br>43,004<br>43,004<br>43,004<br>43,004<br>43,004<br>43,004<br>43,004<br>43,004<br>43,004<br>43,004<br>43,004<br>43,004<br>43,004<br>43,004<br>43,004<br>43,004<br>43,004<br>43,004<br>43,004<br>43,004<br>43,004<br>43,004<br>43,004<br>43,004<br>43,004<br>43,004<br>43,004<br>43,004<br>43,004<br>43,004<br>43,004<br>43,004<br>43,004<br>43,004<br>43,004<br>43,004<br>43,004<br>43,004<br>43,004<br>43,004<br>43,004<br>43,004<br>43,004<br>43,004<br>43,004<br>43,004<br>43,004<br>43,004<br>43,004<br>43,004<br>43,004<br>43,004<br>43,004<br>43,004<br>43,004<br>43,004<br>43,004<br>43,004<br>43,004<br>43,004<br>43,004<br>43,004<br>43,004<br>43,004<br>43,004<br>43,004<br>43,004<br>43,004<br>43,004<br>43,004<br>43,004<br>43,004<br>43,004<br>43,004<br>43,004<br>43,004<br>43,004<br>43,004<br>43,004<br>43,004<br>43,004<br>43,004<br>43,004<br>43,004<br>43,004<br>43,004<br>43,004<br>43,004<br>43,004<br>43,004<br>43,004<br>43,004<br>43,004<br>43,004<br>43,004<br>43,004<br>43,004<br>43,004<br>43,004<br>43,004<br>43,004<br>43,004<br>43,004<br>43,004<br>43,004 |
|-------------------------------|---------|-----------------------------------|--------------------------------------------------------------------------------------------------------------------------------------------------------------------------------------------------------------------------------------------------------------------------------------------------------------------------------------------------------------------------------------------------------------------------------------------------------------------------------------------------------------------------------------------------------------------------------------------------------------------------------------------------------------------------------------------------------------------------------------------------------------------------------------------------------------------------------------------------------------------------------------------------------------------------------------------------------------------------------------------------------------------------------------------------------------------------------------------------------------------------------------------------------------------------------------------------------------------------------------------------------------------------------------------------------------------------------------------------------------------------------------------------------------------------------------------------------------------------------------------------------------------------------------------------------------------------------------------------------------------------------------------------------------------------------------------------------------------------------------------------------------------------------------------------------------------------------------------------------------------------------------------------------------------------------------------------------------------------------------------------------------------------------------------------------------------------------------------------------------------------------------------------------------------------------------------------------------------------------------------------------------------------------------------------------------------------------------------------------------------------------------------------------------------------------------------------------------------------------------------------------------------------------------------------------------------------------------------------------------------------------------------------------------|
| разме-                        |         | иппилек<br>иппилек                |                                                                                                                                                                                                                                                                                                                                                                                                                                                                                                                                                                                                                                                                                                                                                                                                                                                                                                                                                                                                                                                                                                                                                                                                                                                                                                                                                                                                                                                                                                                                                                                                                                                                                                                                                                                                                                                                                                                                                                                                                                                                                                                                                                                                                                                                                                                                                                                                                                                                                                                                                                                                                                                              |
| Установочные разме-<br>ры, мм | диаметр | кэм<br>по пшил <b>г</b> -         | 11111118222224444488                                                                                                                                                                                                                                                                                                                                                                                                                                                                                                                                                                                                                                                                                                                                                                                                                                                                                                                                                                                                                                                                                                                                                                                                                                                                                                                                                                                                                                                                                                                                                                                                                                                                                                                                                                                                                                                                                                                                                                                                                                                                                                                                                                                                                                                                                                                                                                                                                                                                                                                                                                                                                                         |
| Устан                         | диал    | отверстия<br>в крышке             | 2824428<br>20000000000000000000000000000000                                                                                                                                                                                                                                                                                                                                                                                                                                                                                                                                                                                                                                                                                                                                                                                                                                                                                                                                                                                                                                                                                                                                                                                                                                                                                                                                                                                                                                                                                                                                                                                                                                                                                                                                                                                                                                                                                                                                                                                                                                                                                                                                                                                                                                                                                                                                                                                                                                                                                                                                                                                                                  |
| р, мм                         |         | резьбы токоведущего стерженя      | $\begin{array}{c} M8\\ M12\\ M16\\ M3\\ M27\\ M33\\ M42\\ M33\\ M42\\ M12\\ M12\\ M12\\ M12\\ M12\\ M12\\ M12\\ M1$                                                                                                                                                                                                                                                                                                                                                                                                                                                                                                                                                                                                                                                                                                                                                                                                                                                                                                                                                                                                                                                                                                                                                                                                                                                                                                                                                                                                                                                                                                                                                                                                                                                                                                                                                                                                                                                                                                                                                                                                                                                                                                                                                                                                                                                                                                                                                                                                                                                                                                                                          |
| Диаметр, мм                   | -I      | погруженно<br>части изоля<br>тора | 1   1   1   1   1   1   1   1   1   1                                                                                                                                                                                                                                                                                                                                                                                                                                                                                                                                                                                                                                                                                                                                                                                                                                                                                                                                                                                                                                                                                                                                                                                                                                                                                                                                                                                                                                                                                                                                                                                                                                                                                                                                                                                                                                                                                                                                                                                                                                                                                                                                                                                                                                                                                                                                                                                                                                                                                                                                                                                                                        |
|                               |         | мядээд оп<br>ядотягоен            | 0.00 0.00 0.00 0.00 0.00 0.00 0.00 0.0                                                                                                                                                                                                                                                                                                                                                                                                                                                                                                                                                                                                                                                                                                                                                                                                                                                                                                                                                                                                                                                                                                                                                                                                                                                                                                                                                                                                                                                                                                                                                                                                                                                                                                                                                                                                                                                                                                                                                                                                                                                                                                                                                                                                                                                                                                                                                                                                                                                                                                                                                                                                                       |
| ı                             | -1      | инжието ко                        |                                                                                                                                                                                                                                                                                                                                                                                                                                                                                                                                                                                                                                                                                                                                                                                                                                                                                                                                                                                                                                                                                                                                                                                                                                                                                                                                                                                                                                                                                                                                                                                                                                                                                                                                                                                                                                                                                                                                                                                                                                                                                                                                                                                                                                                                                                                                                                                                                                                                                                                                                                                                                                                              |
| Высота, мм                    |         | наружной<br>насти                 | 250<br>250<br>250<br>250<br>250<br>250<br>273<br>274<br>274<br>274                                                                                                                                                                                                                                                                                                                                                                                                                                                                                                                                                                                                                                                                                                                                                                                                                                                                                                                                                                                                                                                                                                                                                                                                                                                                                                                                                                                                                                                                                                                                                                                                                                                                                                                                                                                                                                                                                                                                                                                                                                                                                                                                                                                                                                                                                                                                                                                                                                                                                                                                                                                           |
| B                             |         | ваниоп                            | 120<br>200<br>200<br>200<br>200<br>200<br>200<br>200<br>200<br>200                                                                                                                                                                                                                                                                                                                                                                                                                                                                                                                                                                                                                                                                                                                                                                                                                                                                                                                                                                                                                                                                                                                                                                                                                                                                                                                                                                                                                                                                                                                                                                                                                                                                                                                                                                                                                                                                                                                                                                                                                                                                                                                                                                                                                                                                                                                                                                                                                                                                                                                                                                                           |
| йигод                         | ed M    | анапвнимоН<br>А <sub>4</sub> иот  | 1000<br>2550<br>2500<br>2000<br>3200<br>3200<br>3200<br>3200<br>3                                                                                                                                                                                                                                                                                                                                                                                                                                                                                                                                                                                                                                                                                                                                                                                                                                                                                                                                                                                                                                                                                                                                                                                                                                                                                                                                                                                                                                                                                                                                                                                                                                                                                                                                                                                                                                                                                                                                                                                                                                                                                                                                                                                                                                                                                                                                                                                                                                                                                                                                                                                            |
| -æqi                          | ish e   | Номинальное кВ                    | 000000000000000000000000000000000000000                                                                                                                                                                                                                                                                                                                                                                                                                                                                                                                                                                                                                                                                                                                                                                                                                                                                                                                                                                                                                                                                                                                                                                                                                                                                                                                                                                                                                                                                                                                                                                                                                                                                                                                                                                                                                                                                                                                                                                                                                                                                                                                                                                                                                                                                                                                                                                                                                                                                                                                                                                                                                      |
|                               |         | Тип ввода                         | IHT-0,5/100-1<br>IHT-1/250-1<br>IHT-1/400-1<br>IHT-1/630-1<br>IHT-1/1000-1<br>IHT-1/3200-1<br>IHT-1/3200-1<br>IHT-1/3200-1<br>IHT-1/250-2<br>IHTY-10/250-1<br>IHTY-10/250-1<br>IHTY-10/400-1<br>IHTY-10/400-1<br>IHTY-10/400-1<br>IHTY-10/400-1<br>IHTY-10/630-1                                                                                                                                                                                                                                                                                                                                                                                                                                                                                                                                                                                                                                                                                                                                                                                                                                                                                                                                                                                                                                                                                                                                                                                                                                                                                                                                                                                                                                                                                                                                                                                                                                                                                                                                                                                                                                                                                                                                                                                                                                                                                                                                                                                                                                                                                                                                                                                             |

|                     | Macca                  | ввода, кГ                           | 4.8.2.2.2.2.2.2.2.2.2.2.2.2.2.2.2.2.2.2.                                                                                                                                                                                                                                                                                                                                                            |
|---------------------|------------------------|-------------------------------------|-----------------------------------------------------------------------------------------------------------------------------------------------------------------------------------------------------------------------------------------------------------------------------------------------------------------------------------------------------------------------------------------------------|
| разме-              |                        | ппинлек<br>колинество               | @@@@@@@@@@@@@@@@@                                                                                                                                                                                                                                                                                                                                                                                   |
| Установочные ры, мм | етр                    | ио шинлр-                           | 828080808080808080808080808080808080808                                                                                                                                                                                                                                                                                                                                                             |
| Устанс              | дваметр                | отверстия<br>в крышке               | 028888888888888888888888888888888888888                                                                                                                                                                                                                                                                                                                                                             |
| р, мм               |                        | резьбы токо-<br>ведущего<br>стержня | M27<br>M33<br>M33<br>M42<br>M42<br>M42<br>M48<br>M48<br>M12<br>M12<br>M12<br>M12<br>M16<br>M20<br>M20<br>M27<br>M33<br>M33<br>M42<br>M33<br>M42<br>M33<br>M42<br>M33<br>M44<br>M33<br>M44<br>M33<br>M44<br>M33<br>M44<br>M33<br>M44<br>M33<br>M44<br>M33<br>M44<br>M33<br>M44<br>M33<br>M44<br>M33<br>M44<br>M33<br>M44<br>M33<br>M44<br>M33<br>M44<br>M33<br>M44<br>M34<br>M3                      |
| Диаметр, мм         |                        | погруженцо<br>части изоля<br>тора   | 45888888888888888888888888888888888888                                                                                                                                                                                                                                                                                                                                                              |
|                     | мяддэд оп<br>вдотилоен |                                     | 251<br>288<br>288<br>288<br>289<br>280<br>280<br>280<br>280<br>280<br>280<br>280<br>280<br>280<br>280                                                                                                                                                                                                                                                                                               |
| ×                   |                        | ижнего ко                           | 088877777   188888887<br>088877777   18888887<br>088877777   18888887                                                                                                                                                                                                                                                                                                                               |
| Высота, мм          |                        | нэружной<br>частн                   | 495<br>487<br>507<br>507<br>507<br>507<br>507<br>507<br>308<br>308<br>308<br>308<br>308<br>308<br>308<br>308<br>308<br>308                                                                                                                                                                                                                                                                          |
| m                   |                        | квипоп                              | 658<br>680<br>725<br>775<br>775<br>775<br>302<br>377<br>510<br>550<br>550<br>560<br>600<br>773<br>845<br>845<br>8860                                                                                                                                                                                                                                                                                |
| ипрод               | ed hi                  | Номинальны А. жот                   | 28 28 28 28 28 28 28 28 28 28 28 28 28 2                                                                                                                                                                                                                                                                                                                                                            |
| -Rqi                | е на                   | Номинально жение, кВ                | 222222888888888888                                                                                                                                                                                                                                                                                                                                                                                  |
|                     |                        | Тит ввода                           | ПНТУ-10/1000-1<br>ПНТ-10/1600-1<br>ПНТ-10/2000-1<br>ПНТ-10/2000-1<br>ПНТ-10/2000-1<br>ПНТ-20/250-2<br>ПНТ-20/250-2<br>ПНТ-20/250-2<br>ПНТ-20/250-1<br>ПНТ-20/250-1<br>ПНТ-20/250-1<br>ПНТ-20/250-1<br>ПНТ-20/250-1<br>ПНТ-20/250-1<br>ПНТ-20/250-1<br>ПНТ-20/250-1<br>ПНТ-20/630-1<br>ПНТ-20/630-1<br>ПНТ-20/630-1<br>ПНТ-20/630-1<br>ПНТ-20/630-1<br>ПНТ-20/630-1<br>ПНТ-20/630-1<br>ПНТ-20/1000-1 |

|   |                                  | Macca          | ввода, кг                           | 29,93          | 35,36                         | 17,81         | 18,33        | 19,96         | 17,09         | 10,43                 | 20,76         | 17,07         | 18,47          | 22,50          | 24,51             | 37,08          | 35,55         | 42,13          | 41,34 | 50,41 |
|---|----------------------------------|----------------|-------------------------------------|----------------|-------------------------------|---------------|--------------|---------------|---------------|-----------------------|---------------|---------------|----------------|----------------|-------------------|----------------|---------------|----------------|-------|-------|
|   | pas-                             |                | илличество<br>плимество             | 00 00          | 00                            | 9             | ၁ ပ          | 9             | 90            | ی د                   | 9             | 9             | 9              | ٥٠             | 000               | 000            | ∞             | ∞              | 00    | ∞     |
|   | Установочные<br>меры, мм         | rerp           | ио пиимъ-                           | 200            | 200                           | 180           | 8 8          | 180           | 280           | 200                   | 180           | 180           | 180            | 081            | 081<br>081<br>081 | 200            | 200           | 200            | 200   | 200   |
| , | Устан                            | днаметр        | отверстия<br>в крыцке               | 135            | 135                           | 110           | 110          | 110           | 110           | 011                   | 110           | 110           | 011            |                | 135               | 135            | 135           | 135            | 135   | 135   |
|   | , MM                             |                | резьбы токо-<br>ведущего<br>стержня | M42×3<br>M48×3 | M48X3                         | M16           | M16<br>M16   | M16           | Mi6           | M20                   | M20           | M20           | M20            | WZ/XI,5        | M2/X1,5           | M33×2          | M42×3         | M42X3          | M48×3 | M48×3 |
|   | Днаметр,                         |                | погруженно тора                     | 126<br>126     | 126                           | 104           | 104          | 104           | 104           | 104                   | 104           | 104           | 104            | 104            | 104               | 126            | 126           | 126            | 126   | 126   |
|   |                                  |                | мефэф оп<br>вфотктоен               | 225<br>185     | 225                           | 202           | 205          | 202           | 205           | 202                   | 205           | 202           | 205            | 205            | 202               | 240            | 240           | 240            | 240   | 240   |
|   | М                                |                | нижнего ко                          | 855<br>955     | 92                            | 56            | ನಿನಿ         | 30            | L             | 34                    | 34            | 1             | 15             | 40             | 04 %<br>⊗ 8       | 889            | 85            | 82             | 95    | 92    |
|   | Высота, мм                       |                | нзьужной<br>частн                   | 617            | 647                           | 417           | 547          | 547           | 417           | 547                   | 550           | 420           | 250            | 605            | 735               | 777            | 299           | 797            | 269   | 827   |
|   | Д                                |                | кенгоп                              | 905            | 945                           | 200           | 710          | 840           | 457           | 587                   | 845           | 457           | 587            | 873            | 1003              | 1075           | 066           | 1120           | 1030  | 1160  |
|   | -098                             | d gr           | Номинальн<br>А , хот йиг            | 2000           | 3200                          | 250           | 250<br>400   | 400           | 400           | 004                   | 630           | 630           | 630            | 1000           | 1000              | 1600           | 2000          | 2000           | 3200  | 3200  |
|   | Номинальное напря-<br>Ви ,эннэ ж |                |                                     | 88             | 20                            | 35            | 8 K          | 32            | 35            | 2<br>2<br>3<br>3<br>3 | 32            | 35            | 35             | 35             |                   | 3 65           | 32            | 35             | 35    | 35    |
|   |                                  | THTV-20/2000-1 | THTY-20/3200-1                      | THT-35/250-1   | THTV-35/250-1<br>THT-35/400-1 | THTY-35/400-1 | THT-35/400-2 | HHTV-35/400-2 | ПНТУ-35/630-1 | THT-35/630-2          | THTV-35/630-2 | ПНТ-35/1000-1 | THTY-35/1000-1 | THTV-35/1600-1 | THT-35/2000-1     | THTY-35/2000-1 | ПНТ-35/3200-1 | THTY-35/3200-1 |       |       |

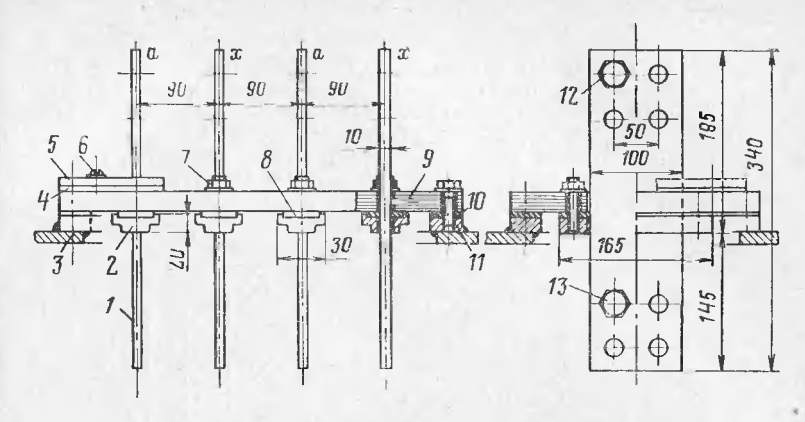


Рис. Пб-8. Шиниые вводы сечением 10×100 мм.

I — медная шина, впаяниая латунью в обойму; 2 — латуиная обойма; 3 — крышка бака; 4 — резиновая прокладка; 5 — треугольная стальная пластна; 6 — стальной винт с шайбой, уплотненный асбестовым шнуром  $\bigcirc$  1 мм (для выпуска воздуха из-под гетииаксовой доски 9); 7 — стальная шпилька М12 с гайкой н шайбой (шпилька впаяна латунью в обойму); 8 — резиновая прокладка; 9 — гетинаксовая доска  $430 \times 270 \times 20$  мм; 10 — резиновая прокладка; 11 — стальной фланец, приваренный к крышке; 12 н 13 — стальные болты М16 $\times$ 50 с гайкой и шайбой; детали 1, 2, 7 и 13 гальванически лужены, деталь 12 оцинкована.

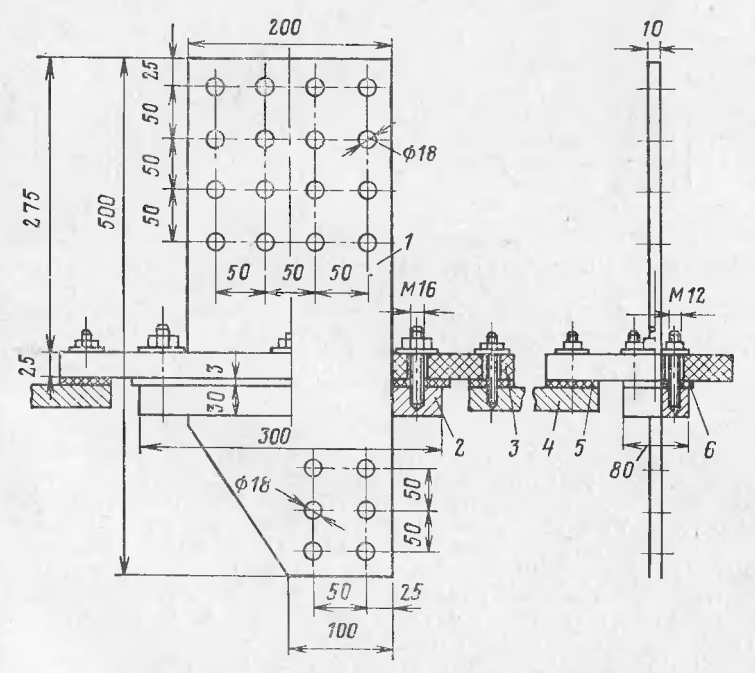


Рис. П6-9. Шинный ввод сечением 10×200 мм.

1 — медная шина, впаяниая латунью в обойму 2; 2 — обойма, изготовленная из медной полосы; 3 — гетинаксовая доска; 4 — крышка бака или фланец, приваренный к крышке; 5 — резиновая прокладка; 6 — паронитовая прокладка.

подстанций, трансформаторы с азотной защитой масла (у них на крышке вообще нет вводов), а также спецнальные трансформаторы: электропечные и для преобразовательных установок, у которых много вводов и все они на крышке не помещаются. Вводы ВН устанавливаются на стенке бака, как правило, компактно (по углам равностороннего треугольника) с соблюдением необходимых изоляционных расстояний, а вводы НН— в один или несколько рядов.

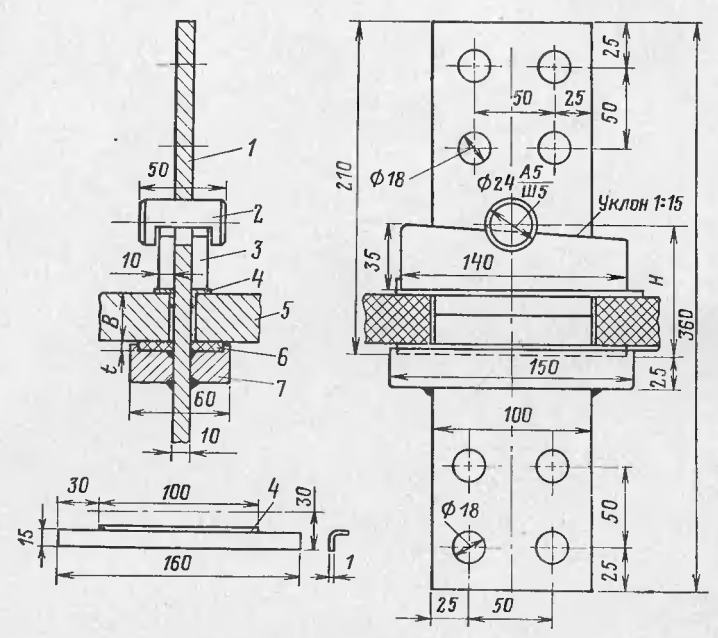


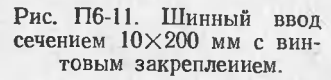
Рис. П6-10. Шинный ввод сечением 10×100 мм с клиновым закреплением.

1 — медная шина, впаяниая латунью в обойму 7; 2 — круглая стальная скоба;
 3 — стальной клин;
 4 — стальная подкладка (стопор);
 5 — гетинаксовая доска;
 6 — резиновая или паронитовая прокладка;
 7 — обойма нз меди или немагинтной стали. (При изготовлении прокладки из паронита углубления в обойме 7 ие делать,
 а поверхность обоймы под прокладку обработать.)

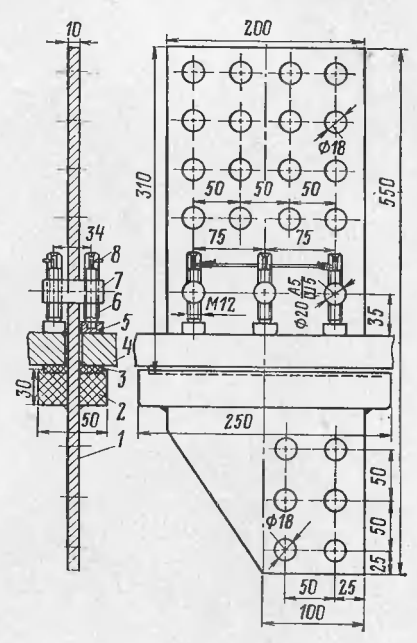
При больших рабочих токах в ферромагнитном материале крышки трансформатора вблизи ввода могут возникать значительные вихревые токи, которые способны нагревать металл до недопустимо высоких температур. Для ограничения вихревых токов в крышке делают фасонный вырез 3 (рис. П6-7), общий для вводов НН всех трех фаз. Вырез перекрывают стальной плитой 1, которую приваривают к крышке. Стальная плита имеет отверстия и шпильки для установки вводов, а также прорези 2 между отверстиями. Прорези заваривают немагнитным сплавом.

**Низковольтиые многоампериые вводы.** Электропечные и преобразовательные трансформаторы имеют на стороне НН низкие

напряжения (до 200 В и реже до 500 В) и большие токи (более 1000 А). Кроме того, эти трансформаторы изготовляются для питания мощных электроприемников, которые требуют для иормального технологического процесса большого количества вводов НН.



1 — медная шнна, впаянная лагунью в обойму 2; 2 — обойма из меди или немагнитной стали; 3 — резнновая нли паронитовая прокладка (см. примечание к рнс. Пб-10); 4 — гетинаксовая доска; 5 — стальной стаканчик; 6 — стальной внит; 7 — круглая стальная перекладина; 8 — медная проволока 2 мм.



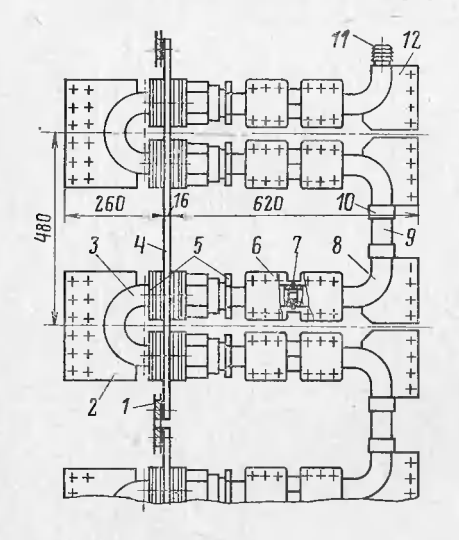
В таких случаях применяются наиболее дешевые и компактиые шиниые вводы.

Сечения наружиых шииных вводов, работающих в воздухе, выбираются по табл. П6-3.

Таблица Пб-3 Сечения шинных вводов

| Допустимый ток, А | Размеры шин, мм | Допустимый ток, А | 🧱 Размеры шин, мм |
|-------------------|-----------------|-------------------|-------------------|
| 1220              | 6×80            | 1930              | 10×100            |
| 1400              | 8×80            | 2150              | 12,5×100          |
| 1575              | 10×80           | 3750              | 10×200            |

Шиниые вводы разных коиструкций показаны на рис. П6-8— П6-11 (подробно описаны в предыдущем издании настоящей кинги и никаких изменений не претерпели). При очень больших вторичных гоках трансформатора (50—100 кА) шинные вводы нельзя применять, так как онн будут снльно нагреваться. У таких трансформаторов применяются трубчатые вводы (рис. Пб-12), в которых циркулирует вода нли трансформа-



### Рис. П6-12. Трубчатые вводы.

1 — стальной фланец BOKDVI отверстия в стеике бака; 2 — лапластниа толшиной 20 мм для присоедниения отводов (компенсаторов), спаянная га: 5 — детали уплотиения трубы 3 в плите 4; 6 - разъемная гайка; 7 — резиновая шайба уплотнение стыка труб 3 и 8; 3 — медиая труба наружного 9 — медиая труба наружного элемента ввода; 9 — резиногканевый рукав, соединяющий трубы 8; 10 — латуниый комут; 11 - наконечник для присоединения рукава с охлаждающей жидкостью; 12 — латунная пластина толщиной 20 мм для присоединения наружиых гибких шин, спаянных с трубой 8.

торное масло, поступающие из системы охлаждения трансформатора. Трубчатые вводы устанавливаются на стенке или на крышке бака на плите из немагнитного материала, приваренной к баку для уменьшения вихревых токов.

### ПРИЛОЖЕНИЕ 7

#### БАКИ

Трансформатор, заполненный жидким диэлектриком, имеет бак, являющийся одновременно и масляным резервуаром, и элементом охлаждения трансформатора, и механической основой, соединяющей воедино все узлы и детали трансформатора. Поэтому бак должен отвечать следующим требованиям.

а) маслоплотность всех разъемных и неразъемных соединений;

б) надежность крепления в баке активной части и другнх деталей и узлов, работающих в масле;

 в) эффективная работа и удобство в эксплуатации системы охлаждения;

т) механическая прочность самого бака и креплення на нем всех комплектующих изделий и арматуры при работе, эксплуатации (включая вакуумную сушку) и возможных перемещеннях трансформатора;

д) антикоррозионная устойчивость металлических покрытий при

длительной работе под открытым небом;

е) экономичность конструкции в смысле использования внутреннего объема бака и снижения массы бака, масла и всего трацсформатора;

ж) эстетичность внешнего внда трансформатора в сборе.

В соответствии с этими требованиями для каждой группы трансформаторов выполняют баки различной конструкции и конфигурации.

Ранее подавляющее большииство баков имели овальную форму. Такие баки выполняются в основном и сейчас. Принципы их конструирования (выбор размеров, материалов и пр.), изложенные

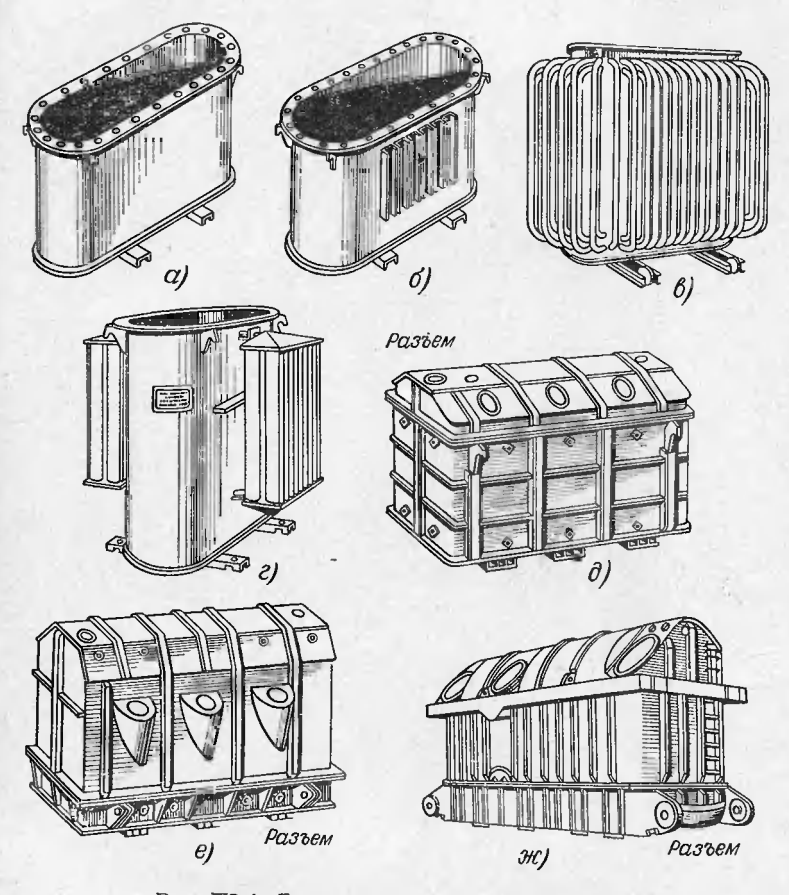


Рис. П7-1. Баки силовых трансформаторов. a- гладкий; b- ребристый; b- трубчатый; b- радиаторный; b- с верхным разъемом; b- колокольного тнпа (с нижним разъемом); b- усиленный с несущей балкой.

в предыдущем издании книги, почти не изменились. Проведеиа нормализация отдельных элементов баков: толщин стенок, доньев и крышек баков, балок жесткости, узлов креплеиия активной части в баке и т. п. Полная нормализация и унификация баков из-за большой их разнотипности невозможна.

33-593

На рис. П7-1,*а*—ж показаны наиболее распространенные типы баков современных трансформаторов, а на рис. П7-2 — бак трансформатора типа ТМ-5600/35.

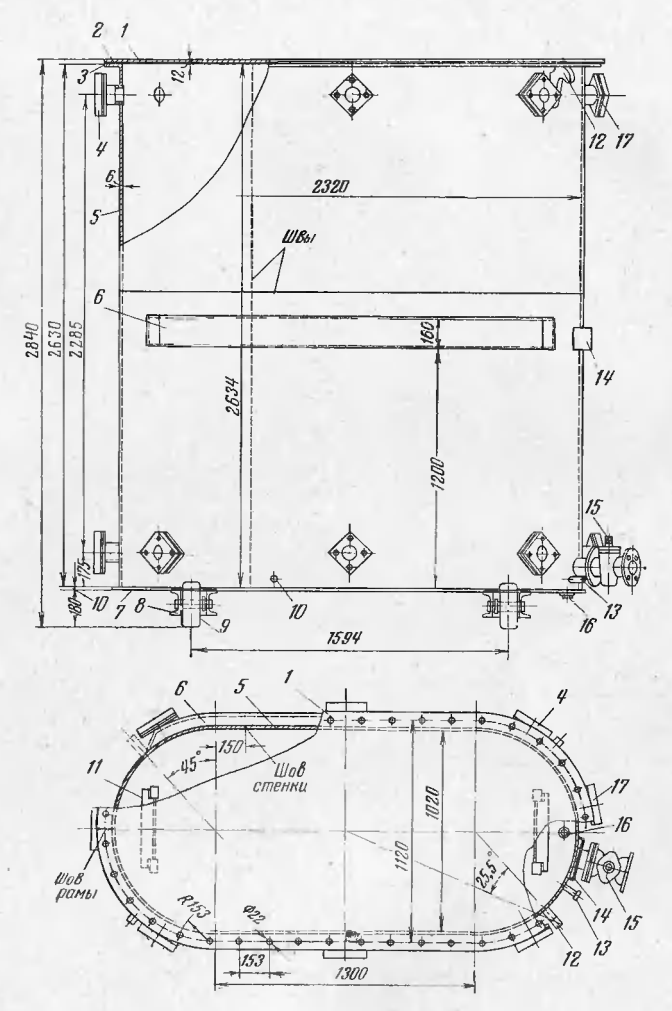


Рис. П7-2. Бак трансформатора 35 кВ мощностью 5600 кВ·А. I— крышка; 2— резиновая прокладка; 3— верхняя рама; 4— плоский кран для присоединения радиатора; 5— стенка; 6— балка; 7— дно; 8— швеллер для крепления катков; 9— каток; 10— гайка для заземления бака; 11— упорный угольник на дне бака для поддомкрачивания; 12— подъемный крок; 13— пробка для взятия пробы масла; 14— пластина для прикрепления паспортной таблички трансформатора; 15— спускной кран; 16— пробка в дне бака для спуска остатков масла; 17— патрубок с плоским краном для присоедипения термосифонного фильтра,

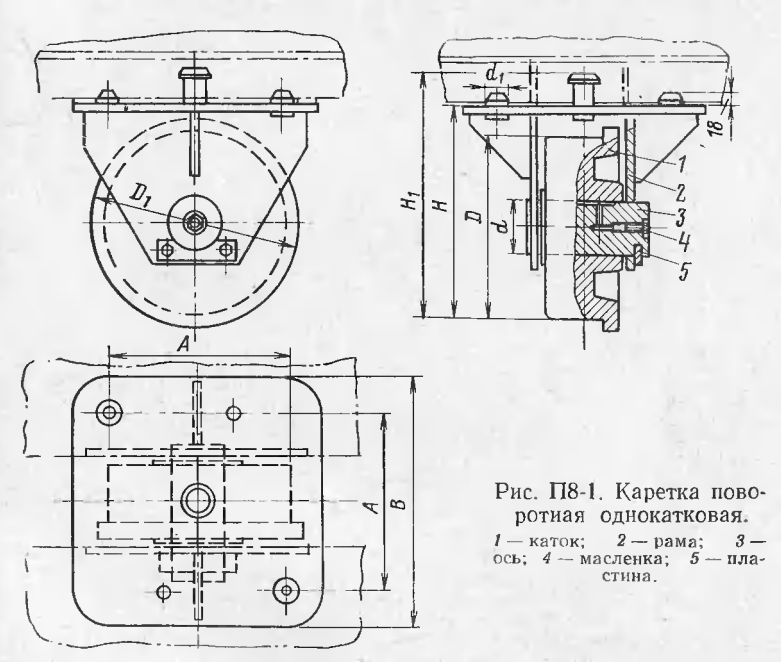
Намечается тенденция к все большему использованию баков прямоугольной, многоугольной, круглой и квадратной форм. Иногда изготавливают баки сложной конфигурации. Ремонтный персонал также при необходимости пристраивает к существующему баку дополнительную емкость (различной формы) для размещения погружных узлов и деталей (например, переключающих устройств).

### ПРИЛОЖЕНИЕ 8

### ПРИСПОСОБЛЕНИЯ ДЛЯ ПОДЪЕМА И ПЕРЕМЕЩЕНИЯ

Все отечественные трансформаторы в зависимости от габаритов и массы имеют различные приспособления для подъема и перемещения.

Трансформаторы мощностью до 1600 кВ-А и папряжением до 35 кВ включительно имеют тележку из двух пар швеллеров, приваренных ко дну бака параллельно малой оси, и переставные катки для продольного и поперечного передвижения.



При поперечном передвижении ось катка вставляется в отверствие в швеллерах; при продольном передвижении ось катка крепится к пластинам, устанавливаемым вертикально на уровне швеллеров и привариваемым к последним.

У трансформаторов большей мощности для перемещения служит съемная тележка. Катки на тележке не переставляются, а укрепляются на поворотных каретках, позволяющих передвигать

33\*

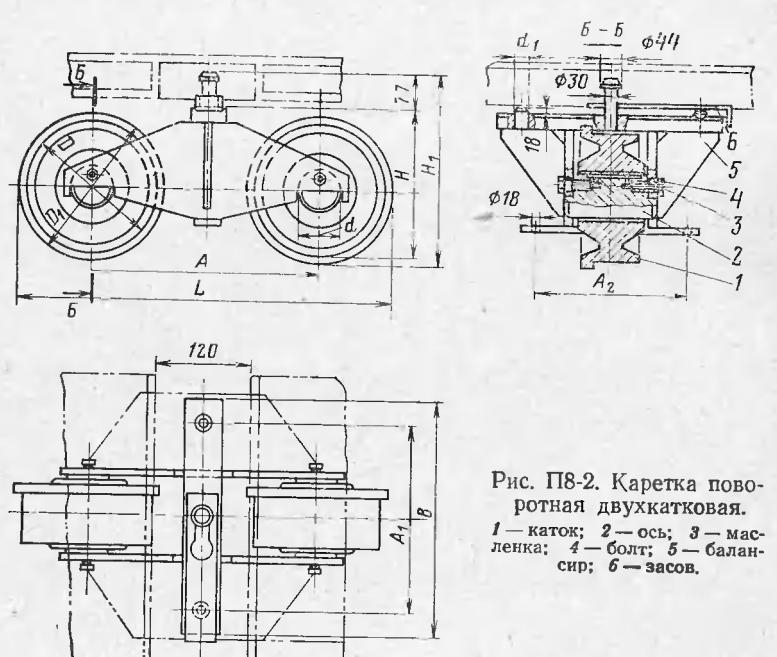
трансформатор по прямолинейному пути в продольном и поперечном направлениях.

Разрабатывается отраслевой стандарт, устанавливающий два

вида кареток: однокатковые и двухкатковые.

Оба типа кареток показаны на рис. П8-1 и П8-2, а их характеристики, основные размеры и массы приведены в табл. П8-1.

Выпускается и стандарт на катки. Катки по этому стандарту мало чем отличаются от применявшихся ранее и приведенных в предыдущем издании книги (уточняются некоторые размеры и изменяется масса при переходе на другие материалы). Катки номинальной нагрузки до 10<sup>5</sup> Н (10<sup>4</sup> кгс) включительно, как и ранее, чугунные литые (марка чугуна СЧ 18-36), катки для больших пагрузок—стальные с латунной впрессованной втулкой (марка стали 55ЛП,



марка латуни ЛС-59-1Л). Қатки номинальной нагрузки до  $3\cdot10^4$  Н  $(3\cdot10^3$  кгс) гладкие для передвижения трансформатора по горизонтально уложенным швеллерам, катки для нагрузск  $6\cdot10^4$  Н  $(6\cdot10^3$  кгс) и выше могут быть гладкие, а могут быть с ребордой

для передвижения по железнодорожным рельсам. На трансформаторах мощностью до 2500 кВ·А и напряжением до 35 кВ включительно применяются гладкие катки, на трансформаторах мощностью 4000—16 000 кВ·А и напряжением 35 кВ применяются и гладкие катки, и с ребордой, а на трансформаторах большей мощности, а также на всех трансформаторах классов иапря-

жения 110 кВ и выше применяются только катки с ребордой.

## Каретки повородные для тележек трансформаторов

| дтем-<br>аретки,<br>03 кгс)                                                     | именя-<br>катков                                   | Размеры, мм (рис. П8-1 и П8-2)  |                          |                          |                                 |                          |                          |                                 |                                 |                                 |                            |                                  |                                      |
|---------------------------------------------------------------------------------|----------------------------------------------------|---------------------------------|--------------------------|--------------------------|---------------------------------|--------------------------|--------------------------|---------------------------------|---------------------------------|---------------------------------|----------------------------|----------------------------------|--------------------------------------|
| Грузоподтем-<br>ность каретке<br>10⁴ Н (105 ктс)<br>Тип применя-<br>емых катков |                                                    | A                               | A <sub>1</sub>           | A2                       | D                               | $D_1$                    | L                        | В                               | Н                               | H <sub>1</sub>                  | đ                          | $d_1$                            | Масса ки, кг                         |
| А. Однокатковые                                                                 |                                                    |                                 |                          |                          |                                 |                          |                          |                                 |                                 |                                 |                            |                                  |                                      |
| 3<br>6<br>10<br>12<br>18                                                        | I-I-3<br>I-II-6<br>I-II-10<br>II-II-12<br>II-II-18 | 169<br>230<br>310<br>240<br>310 | 11111                    |                          | 150<br>220<br>300<br>250<br>300 | 260<br>340<br>285<br>335 |                          | 220<br>310<br>410<br>340<br>410 | 240<br>315<br>395<br>351<br>401 | 185<br>260<br>340<br>296<br>346 | 45<br>55<br>75<br>75<br>90 | 30<br>30<br>30<br>30<br>30<br>30 | 15,6<br>36,0<br>74,5<br>62,0<br>98,0 |
| Б. Двухкатковые                                                                 |                                                    |                                 |                          |                          |                                 |                          |                          |                                 |                                 |                                 |                            |                                  |                                      |
| 24<br>36<br>44<br>56                                                            | II-II-12<br>II-II-18<br>II-II-22<br>II-II-28       | 330<br>420<br>480<br>530        | 320<br>360<br>400<br>440 | 242<br>242<br>274<br>274 | 250<br>300<br>350<br>400        | 285<br>335<br>385<br>435 | 646<br>755<br>865<br>965 | 400<br>450<br>500<br>550        | 299<br>357<br>407<br>455        | 393<br>452<br>501<br>550        | 75<br>90<br>100<br>115     | 30<br>30<br>38<br>38             | 108,7<br>172,8<br>254,9<br>343,0     |

Установка катков и поворотных кареток выполняется по ГОСТ 11677-65.

За ширину колеи для гладких катков принимается расстояние между их средними линиями, для катков с ребордой — между основаниями реборд, обращенных внутрь железнодорожного полотна.

Стандарт устанавливает следующие ширины колеи: для гладких катков: 550, 660, 820, 1070 и 1594 мм; для катков с ребордой: 1524, 2000, 2500 и 3000 мм.

Для трансформаторов массой до  $2\cdot 10^5$  кг предусматривается по одной колее как для продольного, так и для поперечного передвижения. При массах трансформаторов  $(2\div 2,55)\,10^5$  кг для поперечного передвижения предусматриваются две спаренные колеи (по трем рельсам), при массах  $(2,55\div 3)\,10^5$  кг — две раздельные колеи (по четырем рельсам) и при массах свыше  $3\cdot 10^5$  кг — три раздельные колеи (по шести рельсам). Для продольного передвижения всех трансформаторов, имеющих катки с ребордой, выполняется одна колея шириной 1524 мм (нормальная колея, принятая

для железных дорог СССР и многих других стран).

Трансформаторы полной массой ДО 200 ГОСТ 11677-65 должны иметь приспособления для подъема полностью смонтированного и залигого маслом трансформатора. Эти приспособления могут быть самые различные: крюки, рым-болты, скобы. У трансформаторов полной массой 200 т и более выполняются специальные приспособления только для частичного поочередного подъема каждой стороны бака на высоту, достаточную для поворота кареток на угол 90° при изменении направления движения. Это скобы для упора головок домкратов. На баке приваривают четыре скобы симметрично относительно центра тяжести трансформатора. Для подъема тяжелых трансформаторов с отрывом от земли наибольшее применение находят крюки, совмещенные с вертикальными балками жесткости бака. Таких крюков иногда бывает по восемь штук.

Некоторые заводы нормализовали подъемные устройства. На московском электрозаводе имени В. В. Куйбышева действует СТП 6БТ.799.00-71 «Устройства подъемные», устанавливающий четыре разновидности подъемных устройств: а) для установки на баке между вергикальными жесткостами; б) для установки на баке под вертикальной жесткостью; в) для установки на цилиндрическом участке стенки бака; г) для установки на нижней части бака.

Эти устройства предусматривается использовать не только для подъема трансформатора, но и для буксировки трансформатора по рельсовому пути в поперечном направлении.

### ПРИЛОЖЕНИЕ 9

### **АРМАТУРА ТРАНСФОРМАТОРА**

Арматура трансформатора — это вспомогательные устройства, выполняющие различные функции по поддержанию работоспособности и контролю исправного состояния трансформатора в целом н его отдельных частей.

Арматура трансформатора состоит из следующих элементов: 1) расширителя; 2) предохранительной трубы; 3) термоснфонного фильтра (одного или двух); 4) воздухоосушителя; 5) газового реле; 6) реле минимального уровня масла; 7) приборов для измерения температуры масла в баке; 8) маслозапорной арматуры

(задвижек, кранов, вентилей и пробок).

1. Расширитель. Расширитель — это резервуар, чаще всего цилиндрической формы, в котором трансформаторное масло соприкасается с воздухом. Уровень масла в расширителе может изменяться в зависимости от температуры масла; для наблюдения за ним расширитель имеет маслоуказатель, монтируемый на одном дне. Другое дно, как правило, съемное для чистки и окраски внутренней поверхности расширителя при ремонте. У расширителей больших диаметров (у мощных трансформаторов) вместо съемного дна может быть люк.

Расширители различаются емкостью. Емкость расширителя выбирается по шкале, но должно быть не менее 7,7% объема масла в баке трансформатора. Расширители, изготавливаемые на всех отечественных трансформаторных заводах, нормализованы. Конструктивные характеристики этих расширителей приводятся в табл. П9-1.

На дне расширителя возле маслоуказателя контрастной краской наносятся риски, соответствующие уровням масла в расширителе при температурах +15, +40 (максимальный уровень) и —45°С (минимальный уровень). Положение этих рисок показано на рис. 10-5.

Кроме того, показан размер — высота выступания соединительного патрубка внутрь над поверхностью расширителя. Все размеры в зависимости от диаметров расширителей приведены в табл. П9-1.

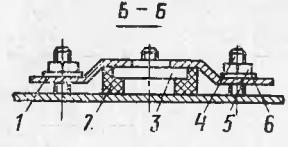
Маслоуказатели применяются разных типов. У расширителей днаметром 200—470 мм применяются плоские маслоуказатели (рис. П9-1), а диаметром 470 мм и выше — трубчатые, в том числе: 1) у расширителей с диаметрами 470 и 690 мм — по рис. П9-2,а; 2) с диаметрами 940, 1260 и 1570 мм — по рис. П9-2,6.

Таблица П9-5 Ссновные характеристики нормализованных расширителей

|                                                                                                                                                                                                                                   | Размеры                                                                                                                                                                                                                                                                                    | расширите                                                                                                                                                                                                                                                                  | ля, мм                                                             | Диаметр                                                                                                                                                                                                                                                                                                                                                                                                                                                                                               | Масса масла, кг                                                                                                                                              |                                                                                                                                                                                                                                                                                                   |  |  |
|-----------------------------------------------------------------------------------------------------------------------------------------------------------------------------------------------------------------------------------|--------------------------------------------------------------------------------------------------------------------------------------------------------------------------------------------------------------------------------------------------------------------------------------------|----------------------------------------------------------------------------------------------------------------------------------------------------------------------------------------------------------------------------------------------------------------------------|--------------------------------------------------------------------|-------------------------------------------------------------------------------------------------------------------------------------------------------------------------------------------------------------------------------------------------------------------------------------------------------------------------------------------------------------------------------------------------------------------------------------------------------------------------------------------------------|--------------------------------------------------------------------------------------------------------------------------------------------------------------|---------------------------------------------------------------------------------------------------------------------------------------------------------------------------------------------------------------------------------------------------------------------------------------------------|--|--|
| Полный<br>оўьем,<br>м <sup>3</sup> · 10 <sup>-3</sup>                                                                                                                                                                             | впутренний<br>диаметр                                                                                                                                                                                                                                                                      | длина                                                                                                                                                                                                                                                                      | толщина<br>стенок                                                  | соедини-<br>тельного<br>патрубка,<br>мм                                                                                                                                                                                                                                                                                                                                                                                                                                                               | в расши-                                                                                                                                                     | в трансфор-<br>маторе                                                                                                                                                                                                                                                                             |  |  |
| 10<br>12<br>16<br>20<br>25<br>32<br>40<br>50<br>60<br>80<br>100<br>125<br>160<br>200<br>250<br>320<br>400<br>500<br>2500<br>2500<br>2800<br>2500<br>2800<br>3150<br>320<br>400<br>400<br>500<br>630<br>7100<br>800<br>630<br>7100 | 200<br>200<br>200<br>200<br>250<br>250<br>250<br>250<br>310<br>310<br>310<br>470<br>470<br>470<br>470<br>470<br>470<br>690<br>690<br>690<br>690<br>690<br>940<br>940<br>940<br>940<br>1260<br>1260<br>1260<br>1260<br>1260<br>1260<br>1260<br>1270<br>1570<br>1570<br>1570<br>1570<br>1570 | 320<br>380<br>510<br>640<br>510<br>650<br>810<br>660<br>800<br>1060<br>1320<br>720<br>920<br>1150<br>1440<br>1840<br>1070<br>1340<br>1680<br>2140<br>1420<br>2250<br>2250<br>2250<br>2250<br>2520<br>2520<br>2520<br>2520<br>3610<br>2580<br>24650<br>4120<br>4650<br>5150 | 1,4<br>1,4<br>1,4<br>1,4<br>1,4<br>1,4<br>1,4<br>1,4<br>1,4<br>1,4 | 19,05 19,05 19,05 19,05 19,05 19,05 19,05 19,05 19,05 19,05 19,05 50,80 50,80 50,80 50,80 50,80 50,80 50,80 76,20 76,20 76,20 76,20 76,20 76,20 76,20 76,20 76,20 76,20 76,20 76,20 76,20 76,20 76,20 76,20 76,20 76,20 76,20 76,20 76,20 76,20 76,20 76,20 76,20 76,20 76,20 76,20 76,20 76,20 76,20 76,20 76,20 76,20 76,20 76,20 76,20 76,20 76,20 76,20 76,20 76,20 76,20 76,20 76,20 76,20 76,20 76,20 76,20 76,20 76,20 76,20 76,20 76,20 76,20 76,20 76,20 76,20 76,20 76,20 76,20 76,20 76,20 | 4,3 5,1 6,9 8,15 11 14 17 21 26 34 42 54 68 85 105 135 170 215 270 340 420 530 680 830 1060 1190 1330 1490 1190 1330 1490 1190 2370 2660 2990 3380 3810 4220 | 60<br>75<br>100<br>125<br>180<br>230<br>290<br>400<br>475<br>640<br>800<br>970<br>1250<br>1560<br>1950<br>2500<br>3300<br>4150<br>5200<br>6600<br>9000<br>11 200<br>14 300<br>17 900<br>23 500<br>26 000<br>29 500<br>33 000<br>37 500<br>48 000<br>500<br>600<br>600<br>600<br>600<br>600<br>600 |  |  |

Примечания: 1. Для каждого объема расширителя дано максимально допустимо значение массы масла в трансформаторе. В тех случаях, когда расчетная масса масла не совпадает со значениями, указанными в таблице, объем расширителя

принимается соответственно больший, указанными в таолице, объем расширителя 2. Зависимости между объемами расширителей и массами масла в трансформаторах справедяны при: а) коэффициенте объемного расширения трансформаторного масла  $0_1007^{\circ}\text{C}^{-1}$ ; б) плотности масла  $880~\text{кг/м}^{\circ}$ .



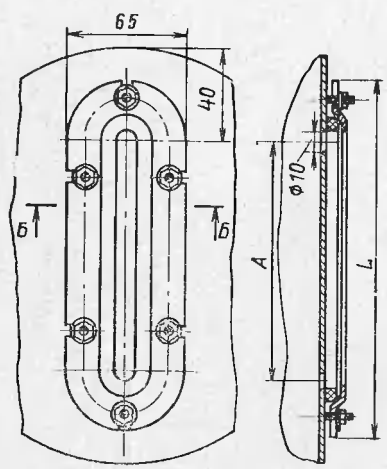


Рис. П9-1. Плоский маслоука-

1 — фланец; 2 — резиновая прокладка; 3 — стекло с делениями; 4 шпилька, приварениая к диу расширителя; 5 — гайка; 6 — шайба.

Размеры, мм

| Диаметр<br>расширителя | L   | A   | Масса,<br>кг |
|------------------------|-----|-----|--------------|
| 220                    | 185 | 120 | 0,21         |
| 250                    | 230 | 165 | 0.26         |
| 310                    | 230 | 165 | 0.23         |
| 470                    | 415 | 350 | 0,45         |

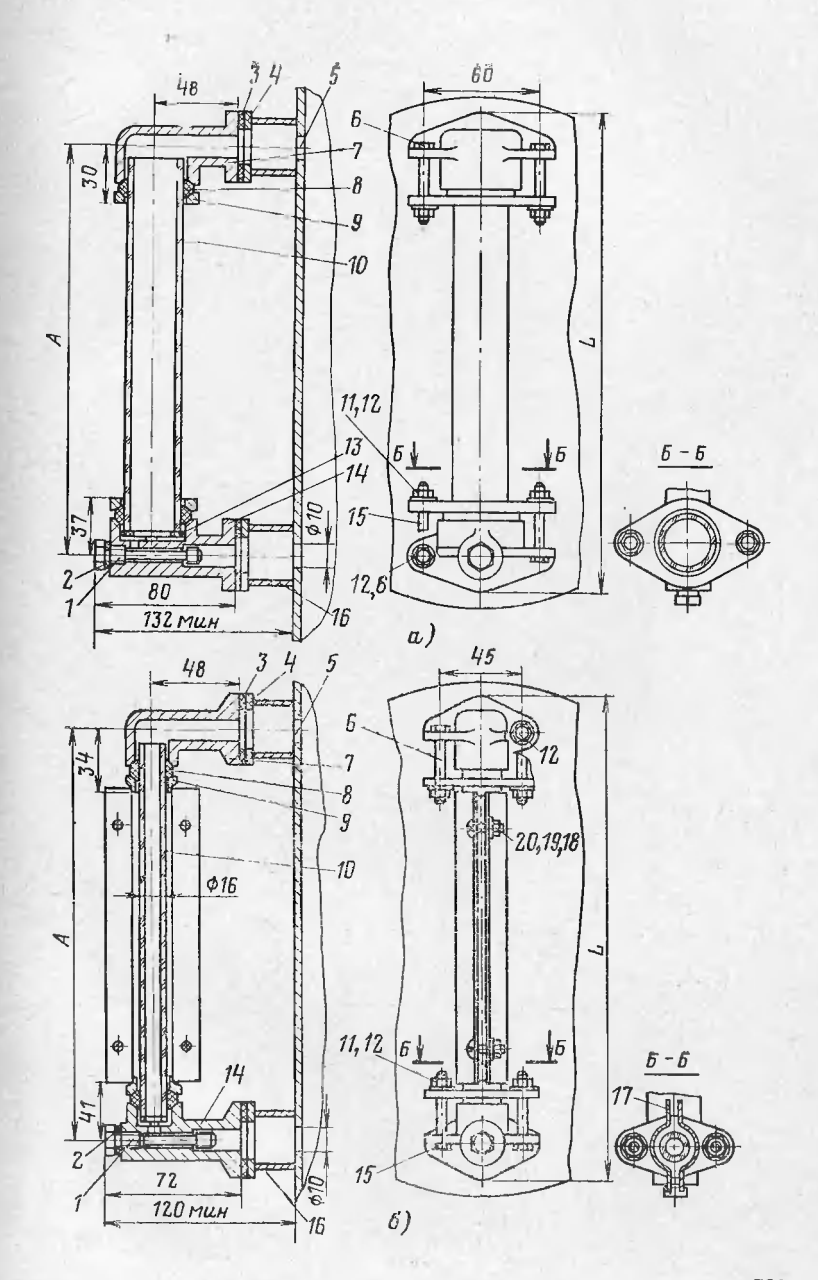
На трансформаторах мощностью 10 MB .А и более устанавливаются стрелочные маслоуказатели, изготавливаемые по ОСТ 16.5.441.001-71. Стрелочный маслоуказатель не только показывает уровень масла в расширителе, но и выполняет функцию реле уровня масла (см. п. 6 настоящего приложения), для этого имеет магнитоуправляемый контакт, замыкающий цепь электрической сигналазации при снижении уровня масла в расширителе ниже

### Рис. П9-2. Трубчатые маслоуказатели.

a — для расширителей диаметром 470 и 690 мм; b — для расширителей диаметром 940, 1260 и 1570 мм; I — специальный болт; b и b — резиновые прокладки; b — фланец, приваренный к патрубку b расширителя; b — окио в дне расширителя; b — окио в дне расширителя; b — b — болты для крепления и подгяжки уплотнений; b — колено; b и b — резиновые уплотнения масломерной трубки; b — фланец; b — стекляиная масломерная трубка; b — гайка; b — шайба; b — колено; b — патрубок, приваренный к дну расширителя; b — кожух, защищающий стеклянную трубку; b — b0 — крепежные дстали кожуха.

Размеры, мм

| Диаметр<br>расширителя | L           | A           | Масса, кг |  |  |
|------------------------|-------------|-------------|-----------|--|--|
| 470                    | 446         | 406         | 1,15      |  |  |
| 690                    | 667         | 627         | 1,36      |  |  |
| 940<br>1260            | 915<br>1232 | 875<br>1192 | 1,65      |  |  |
| 1570                   | 1540        | 1500        | 2,15      |  |  |



допустимого. Стандартом предусмотрены два исполнения маслоуказателя: исполнение 1 — для расширителей со встроенной оболочкой и исполнение 2—для расширителей общепромышленной конструкции без встроенных элементов защиты от увлажнения и окисления масла. Исполнение 2 показано на рис. П9-3,а. На рис. П9-3,б показана схема установки маслоуказателя этого исполнения на дне расширителя.

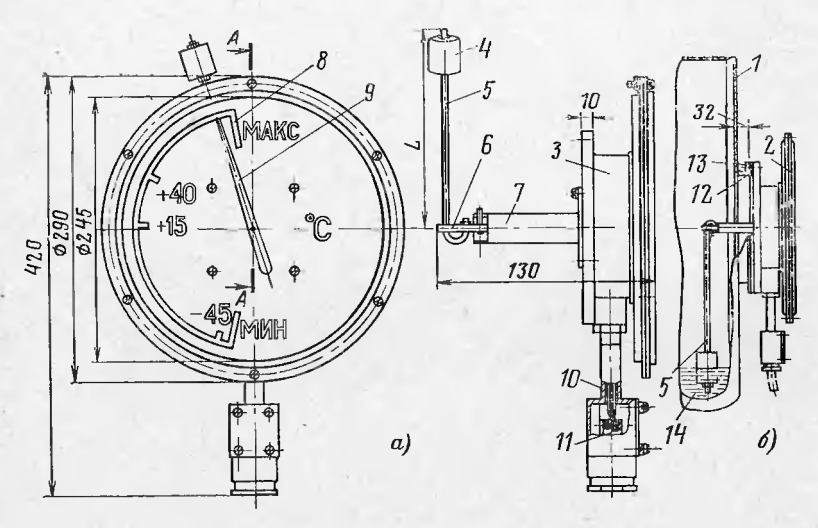


Рис. П9-3. Стрелочный маслоуказатель общепромышленной кон струкции.

a— устройство; b— схема установки на расширителе; l— дно расширителя; 2— крышка циферблата маслоуказателя со стеклом; 3— корпус маслоуказателя; a— сос стрелки; b— ричат маслоуказателя; b— сос стрелки; b— трубка; a— шкала циферблата; b— стрелка маслоуказателя; b— коробка зажимов; b— клемминк для подсоединения проводов сигнализации; b— сезиновое уплотнение: b— фланец, приворенный к дну расширителя; b— трансформаторное масло.

#### Размеры, мм

| Диаметр расширителя | · L         | Масса, кг            |  |  |
|---------------------|-------------|----------------------|--|--|
| 470                 | 175         | 3,66                 |  |  |
| 690                 | 285         | 3,67<br>3,68<br>3,68 |  |  |
| 940                 | 405<br>585  | 3,68                 |  |  |
| 1260                |             | 3,68                 |  |  |
| 1570                | <b>7</b> 25 | 3,69                 |  |  |

2. Предохранительная труба. На масляных трансформаторах мощностью 1000 кВ-А и выше устанавливается предохранительная труба (рис. П9-4). Труба имеет коленообразную форму и заканчивается стеклянной мембраной, толщина которой зависит от диаметра трубы (см. § 10-2).

Внутренняя полость предохранительной трубы для поддержания там атмосферного давления соединяется с верхней частью расшири-

теля (см. рис. 10-6).

При внезапном повышении давления внутри трансформатора сверх  $50-100~\mathrm{k}$ Па (0,5—1 ат) мембрана выбивается и масло выбрасывается через трубу, остальные узлы трансформатора механических повреждений не получают.

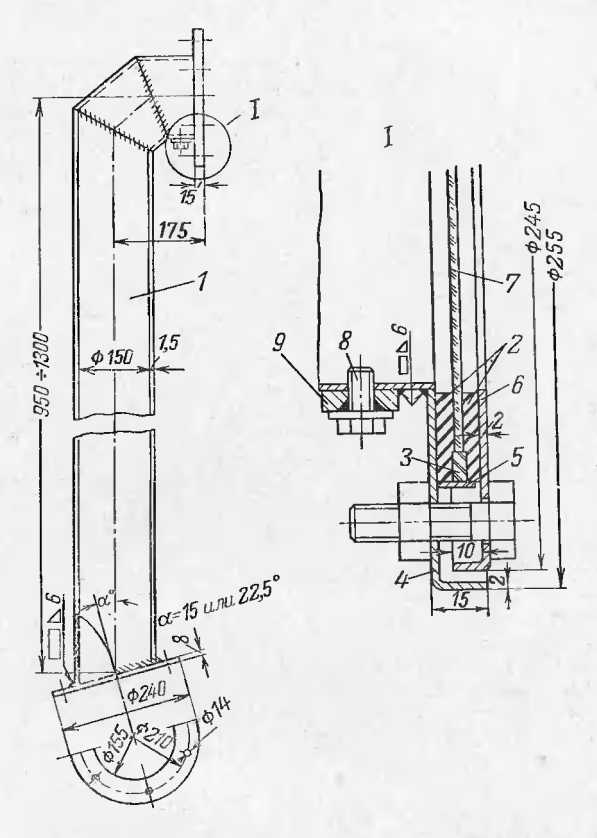


Рис. П9-4. Предохранительная труба.

l — цилиндр предохранительной трубы; 2 — резиновые шайбы  $\bigcirc$  155/195×6 мм; 3 — резиновая шайба  $\bigcirc$  182/195×4 мм; 4 — фланец, приваренный к трубе; 5 — упорное кольцо  $\bigcirc$  200/103×10 мм, приваренное в шести местах к фланцу 4; 6 — фланец; 7 — стеклянная мембрана  $\bigcirc$  185 мм; 8 — пробка для выпуска воздуха; 9 — асбестовое уплотнение.

3. Термосифонный фильтр. На всех масляных трансформаторах применяются устройства для непрерывной очистки масла от пролуктов старения. У трансформаторов с циркуляционными системами охлаждения (ДЦ и Ц) такие устройства являются элементами системы охлаждения. Адсорберы включаются параллельно охладителям,

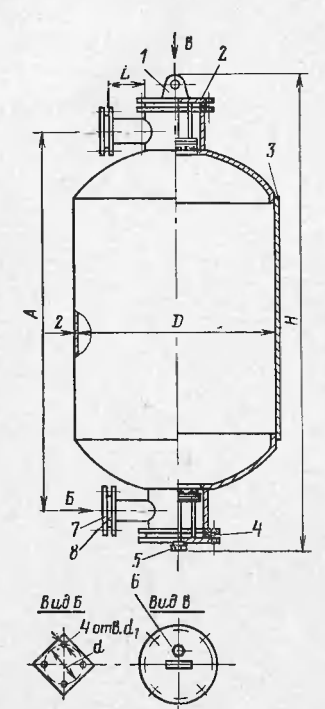


Рис. П9-5. Термосифонный фильтр.

! — скоба для подъема фильтра при моитажных работах;
 ! — заглушка;
 3 — корпус фильтра;
 4, 6 и 8 — резииовые уплотнения;
 5 — пробки для выпуска воздуха и елива остатков трансформаториого масла;
 7 — корпус плоского крана или фланец задвижки.

и через них проходит часть циркулирующего масла. У траисформаторов с системами охлаждения М и Д (с естественной циркуляцией масла) для этой цели устанавливаются термосифонные фильтры. Движение масла в них осуществляется под действием конвекции за счет разности температур в верхнем и нижнем патрубках.

Термосифонные фильтры всех трансформагоров мощностью 1000 кВ А и выше нормализованы. Установлены тилы фильтров, в обозначении которых указывается масса силикателя, засыпаемого в них (в зависимости от массы масла в транс-

форматоре).

Конструкция нормализованиых фильтров показана на рис. П9-5, а их характеристики и размеры даны в табл. П9-2.

На трансформаторах с массой масла свыше 16 до 30 т устаиавливаются по два одинаковых фильтра с общей массой силикагеля, составляющей 1% массы масла, а с массой масла свыше 30 т—0,8%.

Эти термосифонные фильтры рассчитаны на применение в качестве сорбента силикагеля марки КСК по ГОСТ 3956-54 (кускового или гранулированного). Но могут использоваться и другие сорбенты (окись алюминия, алюмогель и пр.). При этом масса сорбента пересчитывается соответственно его плотности.

Таблица П9-2 Термосифонные фильтры

|                                                      |                                        | Pasvi                                       | еры, рис                                     | . П9-5,                                | MM                                     | -                                      | Масса, кг                                                                       |                                    |                                              |  |
|------------------------------------------------------|----------------------------------------|---------------------------------------------|----------------------------------------------|----------------------------------------|----------------------------------------|----------------------------------------|---------------------------------------------------------------------------------|------------------------------------|----------------------------------------------|--|
| Тип<br>фильт-<br>ра                                  | D                                      | A                                           | Н                                            | L                                      | đ                                      | $d_1$                                  | масла в трансфор-<br>маторе                                                     | силика-<br>геля                    | фильт-<br>ра                                 |  |
| ТФ-16<br>ТФ-25<br>ТФ-40<br>ТФ-63<br>ТФ-100<br>ТФ-160 | 262<br>262<br>360<br>360<br>585<br>585 | 760<br>1200<br>1206<br>1450<br>1100<br>1440 | 1026<br>1466<br>1466<br>1776<br>1426<br>1766 | 175<br>175<br>175<br>200<br>200<br>200 | 110<br>110<br>110<br>150<br>150<br>150 | 14<br>14<br>14<br>22<br>22<br>22<br>22 | 800—1600<br>1600—2500<br>2500—4000<br>4000—6300<br>6300—10 000<br>10 000—16 000 | 16<br>25<br>40<br>63<br>100<br>160 | 20,3<br>24,5<br>25,3<br>42,1<br>45,2<br>57,2 |  |

При ремонте трансформаторов могут применяться термосифонные фильтры и других конструкций, но эти конструкции должны позволять производить перезарядку сорбента без слива масла из

бака трансформатора.

4. Воздухоосушитель. Через воздухоосушитель осуществляется сообщение верхней полости расширителя, заполненной воздухом, с окружающим воздухом, т. е. он является фильтром воздуха, входящего в расширитель при понижении уровня масла. Фильтрующим материалом служит сорбент, в качестве которого может использо-

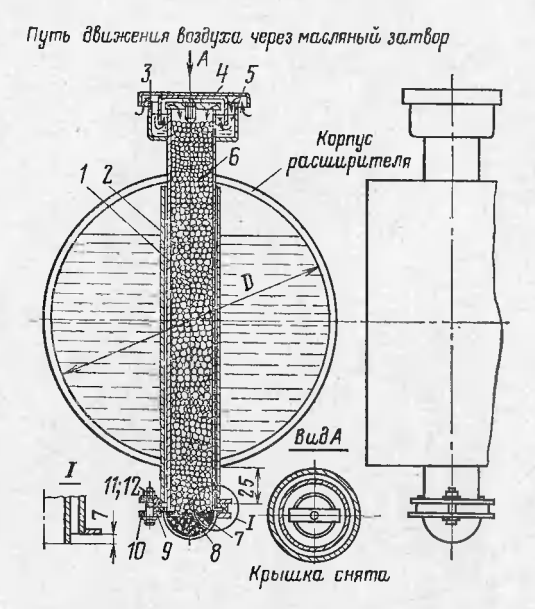


Рис. П9-6. Воздухоосушитель, встроенный в расширитель.

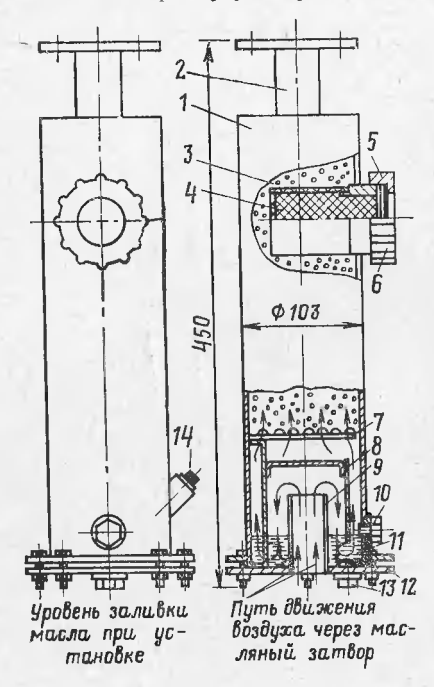
1— внутренная труба, вваренная в верхнюю часть корпуса расширителя; 2— наружная труба, вваренная в нижнюю часть корпуса расширителя; 3— чашечка масляюто затвора, приваренная к внутренией трубе t; 4— крышка воздухоосущителя с разлелятельной перегородкой масляюто затвора; 5— трансформаторное масло в затворе; 6— влагопоглотительный сорбент; 7— индикаторный сорбент; 8— проэрачный колпак; 9— резнновое уплотнение; 10— фланец; 11 и 12— детали для креплення и подтяжки фланца.

ваться любой влагопоглотитель: силикагель, цеолит и пр. До попадания наружного воздуха в воздухоосушитель он проходит через масляный затвор, предохраняющий сорбент от быстрого увлажнения за счет его гигроскопичности. За состоянием сорбента можно наблюдать через специальное устройство (смотровое стекло или прозрачный колпак), засыпанное индикаторным силикагелем ГОСТ 8984-59, изменяющим свой цвет по мере увлажнения.

Конструкция воздухоосушителя зависит от габаритов трансформатора. На трансформаторах III габарита, имеющих расширители диаметром до 470 мм, применяются воздухоосушители, встроенные в расширители (рис. П9-6). Они изготавливаются по отраслевому

станларту ОСТ 16.5.516.004-71. На трансформаторах больших габаритов, имеющих расширители диаметром 690 мм и выше, применяется выносной воздухоосушитель, соединяемый с расширителем трубкой и устанавливаемый на стенке бака трансформатора (рис. П9-7).

5. Газовое реле. Газовое реле — это элемент релейной защиты трансформатора от внутренних повреждений, устанавливаемый непосредственно на трансформаторе, на маслопроводе, соединяющем бак трансформатора с расширителем. Газовое реле устанавливается на масляных трансформаторах мощностью 1000 кВ А и выше.



#### $\Pi 9-7$ . Выносной воз-Рис. духоосушитель.

1 — корпус воздухоосущителя; 2 - фланец для подсоединения к трансформатору; 3 — влагосорбент: 4 поглотительный сетчатый патрон с индикатор-ным сорбентом; 5— крышка патрона; 6— смотровое стекло; 7 — решетка с сеткой; 8 — стен-ка масляного затвора; 9 — входная трубка; 10 — пробка масла до нормального уровня в затворе; 11 — траис-12 - THO форматорное масло; масляного затвора; 13 — пробка для слива остатков масла на затвора; 14 — пробка для заливки масла в затвор.

До 1966 г. в трансформаторостроении применялось газовое реле поплавкового типа ПГ-22 (см. 2-е издание настоящей книги). Теперь применяется более простое и дешевое газовое реле чашечного типа РГЧЗ-66 конструкции Запорожского трансформаторного завода

(рис. П9-8).

Это газовое реле состоит из двух элементов: сигнального А и выключающего Б. Сигнальный элемент действует при скоплении газа или воздуха в корпусе 1 газового реле и при снижении уровня масда, а выключающий — при отсутствии масла в корпусе реле или при больших скоростях перетока масла из бака трансформатора в расширитель. Элементы газового реле имеют круглые плоскодонные чашечки 10, которые могут поворачиваться вокруг осей 6. Внутри чашечек помещены изоляционные стойки 3 и 7, на их выступах закреплены подвижные контакты 4 и 8. Неподвижные контакты 5 и 2 смонтированы на пластинах, закрепленных на корпусе реле. В нормальном, рабочем состоянии, когда корпус реле заполнен маслом,

обе чашечки находятся в верхнем положении и удерживаются пружинами 11. Контакты разомкнуты. При понижении уровня масла в корпусе реле ниже верхней чашечки она под действием веса оставшегося в ней масла поворачивается вниз и замыкает контакты сигнальной цепи. При дальнейшем снижении уровня масла аналогично срабатывает и выключающий элемент. На скорость масла реагирует лопатка 12, прикрепленная к нижней чашечке. В комплект реле входят три лопатки, соответствующие уставкам скоростей 0,6; 0,9 и 1,2 м/с. Контакты нижней чашечки замыкают цепь отключения трансформатора релейной защиты.

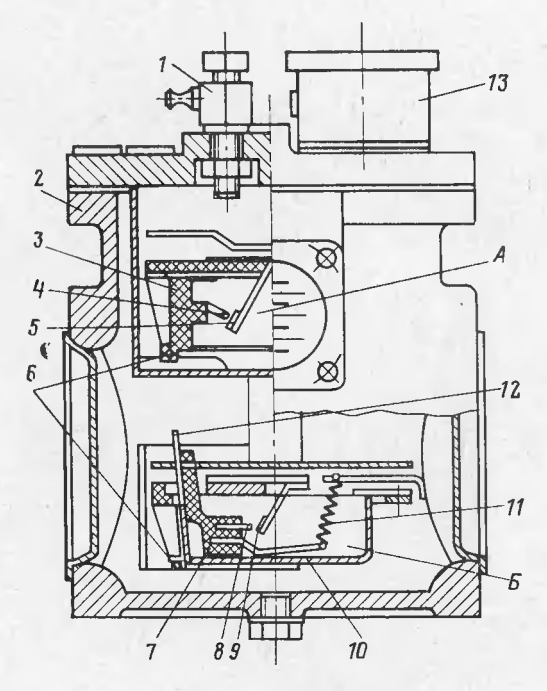


Рис. П9-8. Газовое реле РГЧЗ-66.

I — верхний краник; 2 — корпус; 3 и 7 — изоляционные стойки; 4 и 8 — подвижные контакты; 5 и 9 — неподвижные контакты; 6 — оси чашечек; 10 — металлические чашечки; 11 — пружина; 12 — лопатка; 13 — клеммная коробка для подсоединення проводов релейной защити.

6. Реле минимального уровня масла. Трансформаторы мощностью 10 MB · A и выше снабжаются реле минимального уровня масла, подающим сигнал при сниженин уровня масла ниже допустимого. Реле чашечного типа показано на рис. П9-9.

По принципу устройства и работы реле минимального уровня масла аналогично сигнальному элементу газового реле. Реле устанавливается на внутренней стенке съемного дна расширителя. Его основной элемент — алюминиевая плоскодонная чашка 6 с укрепленной в ней изоляционной стойкой 10, в которую впрессована ла-

тунная контактная пластина с серебряным подвижным контактом 9. Два неподвижных контакта 8, также серебряных, крепятся на пластмассовом сегменте 4, установленном на кольце 14 каркаса 3. Неподвижные контакты проводами в изоляционных трубках 13 подсоединяются к шпилькам 12, которые проходят сквозь дно расширителя.

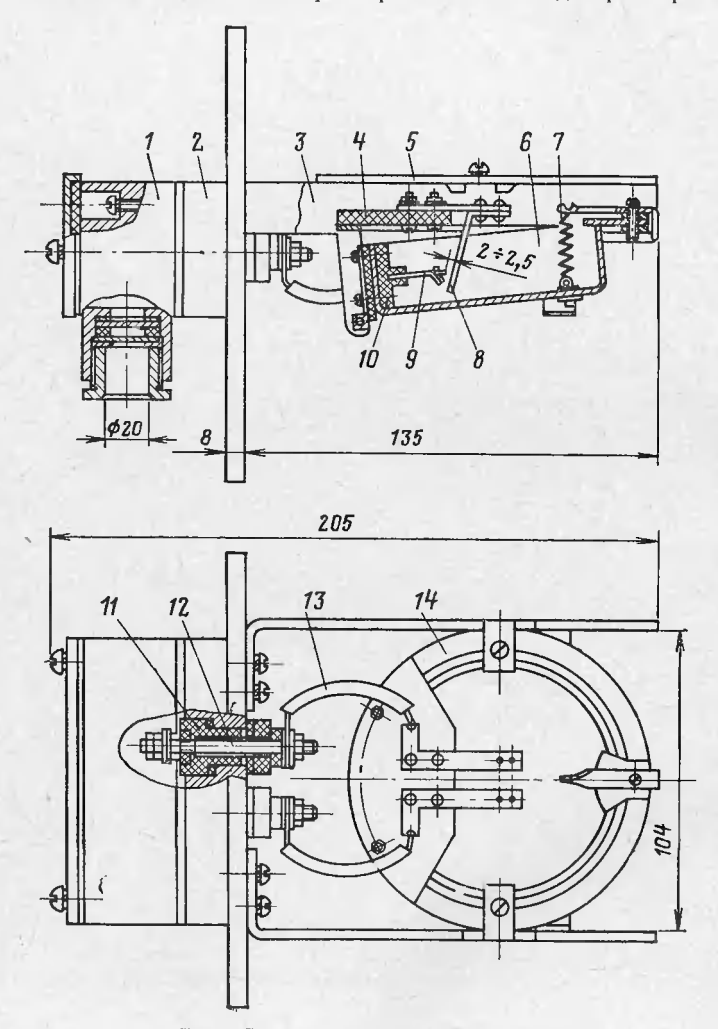


Рис. П9-9. Реле минимального уровня масла.

Коробка зажимов для подсоединения проводов цепей сигнализации;
 Крышка;
 Карышка;
 Подвижный контакт;
 Подвижный контакт;
 Подвижный контакт;
 Подвижный контакт;
 Подвижный проходная шпилька;
 Карышка;
 Карыш

Шпильки изолируются полихлорвиниловыми трубками 11 и уплотияются. К шпилькам в коробке 1 подсоединяются провода цепи

сигнализации.

7. Приборы для измерения температуры масла в баке. На трансформаторах до III габарита включительно нашли широкое распространение стеклянные термометры, вставляемые в специальную футорку, укрепляемую на крышке бака. Ранее использовались как спиртовые, так и ртутные термометры, но теперь ввиду опасности попадания ртути внутрь бака при повреждении термометра от ртутных термометров отказались.

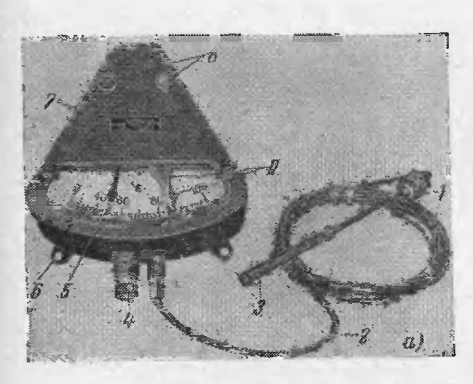
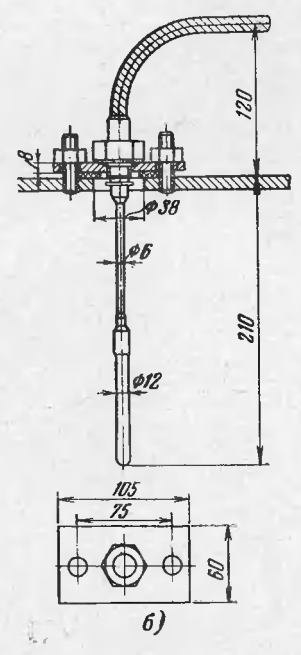


Рис. П9-10. Термометрический сигнализатор типа TC-100.

a— общий вид; b— установка на трансформаторе; I— штуцер, ввинчиваемый в гильзу на крышке трансформатора; b— капилляр; b— термобаллон; b— зажимы контактной системы термосигнализатора; b— указательная стрелка; b— скоба для крепления термосигнализатора; b— корпус прибора; b— пробкн, закрывающие установочные вииты переставных контактов; b— стрелки переставных контактов; b— стрелки переставных контактов.



На мощных трансформаторах применяется термосигнализатор типа TC-100 (рис. П9-10). Это — сложный пирометр, состоящий из датчика и прибора. Датчиком служит термобаллон 3, устанавливаемый в специальный карман на внутренней поверхности бака трансформатора с помощью штуцера 1. От термобаллона к прибору 7 идет медная капиллярная трубка 2, заполненная керосином. Керосин при изменении температуры изменяет свой объем и передвигает стрелку 5 прибора по шкале. Прибор может включаться в цепь сигнализации, для чего имеет две контактные стрелки 9, устанавливаемые арретирами 8, и зажимы, закрытые гильзой 4.

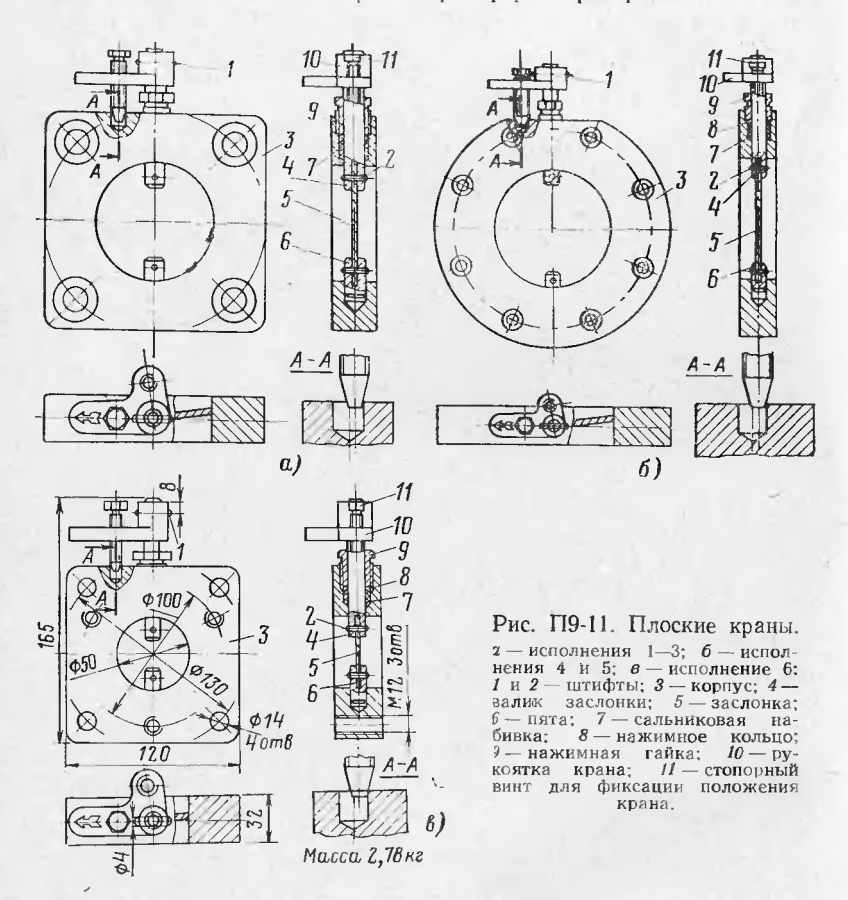
Прибор не обеспечивает высокой точности измерения температуры и является только как бы индикатором (имеет класс точности 4,0). Он устанавливается обычно на стенке бака трансформатора. Однако от постоянной вибрации, имеющей место при работе трансформатора, стрелка термосигнализатора сбивается и погрешность прибора значительно превышает допустимую. Поэтому при ремонте

34 - 593

трапсформатора на месте установки желательно перенести прибор со стенки трансформатора на какую-либо конструкцию, имеющую самостоятельный фундамент (охлаждающее устройство, разрядник, ограждение, стена ячейки и пр.).

8. Маслозапорная арматура. Маслозанорная арматура в зависи-

мости от назначения и габаритов трансформаторов различна.



Для отбора проб масла применяются краны по отраслевому стандарту ОСТ 16.5.455.002-72 — это обычные латунные краны с условным проходом 15 и 32 мм по ГОСТ 2704-66, у которых сальниковая набивка замещяется уплотнительным кольцом из маслостойкой резины.

Для заливки масла на крышке бака трансформатора устанавливается вентиль. Применяются вентили общего назначения с условным проходом 25, 32 и 50 мм и условным давлением 16·10<sup>5</sup> Па (16 кгс/см²) по ГОСТ 18162-72. Такие же вентили устанавливаются и на стенке бака для слива и фильтрации масла.

На трубопроводах циркуляционных систем охлаждения мощных трансформаторов и на их баках устанавливаются фланцевые чугунные задвижки с условным проходом 50, 80, 100, 125 и 150 мм и условным давлением 106 Па (10 кгс/см²) по ГОСТ 8437-63.

На патрубках радиаторов трансформаторов мощностью 1000 кВ · А и выше с естественной циркуляцией масла (системы охлаждения М и Д), а также на соедипительной трубе расширителя рядом с газовым реле для возможности временного перекрытия потока масла устанавливаются плоские краны, изготавливаемые по отраслевому стандарту ОСТ 16.5.455.001-70. Стандартом предусматриваются шесть исполнений плоских кранов. На рис. П9-11,а показаны исполнения 1, 2 и 3 для условных проходов соответственно 50, 80 и 100 мм; на рис. П9-11,6 — исполнения 4 и 5 для условных проходов 125 и 150 мм; на рис. П9-11,8 — исполнение 6 для условного прохода 50 мм для установки с тазовым реле.

#### ПРИЛОЖЕНИЕ 16

### ОХЛАЖДАЮЩИЕ УСТРОЙСТВА

Для отвода тепловых потерь от обмоток и активной стали, выделяемых при работе трансформатора, служит охлаждение.

В масляных трансформаторах теплоносителем от источников, выделяющих тепловые потери, к устройствам, отдающим их в охлаждающую среду, является трансформаторное масло (это вторая по важности функция трансформаторного изоляционного масла).

Различаются следующие виды охлаждения масляных трансфор-

маторов:

M — естественное масляное;

Д — дутьевое с естественной циркуляцией масла;

ДЦ — дутьевое с принудительной циркуляцией масла;

Ц — масляно-водяное с принудительной циркуляцией масла;
 МВ — масляно-водяное с естественной циркуляцией масла.

Охлаждение с направленной циркуляцией масла.

Наибольшее распространение в отечественных трансформаторах нашли виды охлаждения: М, Д, ДЦ и Ц. Охлаждение МВ применяется редко ввиду отсутствия технико-экономической эффективности его устройства и использования.

За рубежом широко применяют циркуляционные системы охлаждения как воздушные, так и водяные с направленной циркуляцией масла через обмотки и магнитопровод аналогично отечественным,

описанным в настоящем приложении.

Естественное масляное охлаждение. Трансформаторы малой и средней мощности — до 6300 кВ · А включительно выполняются

с охлаждением М.

Принцип этого охлаждения заключается в том, что масло в баке трансформатора, соприкасаясь с активной частью и нагреваясь, под действием конвекции поднимается в верхние слои и затем, соприкасаясь с крышкой и стенкой бака, отдает им тепло и охлаждается. Охлажденные частицы масла движутся вниз вдоль бака. Трансформаторы мощностью до 100 кВ А имеют гладкие баки, а при большей мощности для увеличения поверхности охлаждения применяют различные средства. На разных этапах трансформаторостроения изготавливались баки с волнистой поверхностью, трубчатые баки и с радиаторами. Теперь изготавливают только баки с радиаторами,

которые могут быть вварными или съемными. Радиатор сообщается с баком двумя патрубками (верхним и нижним). Между этими патрубками при работе трансформатора создается разность температур примерно 20—35 °С и под ее действием масло по трубам радиаторов движется сверху вниз, как бы ускоряя естественный конвекционный ток масла. Таким образом, конвекционный ток масла в баке является замкнутым, причем максимальные скорости циркуляции масла

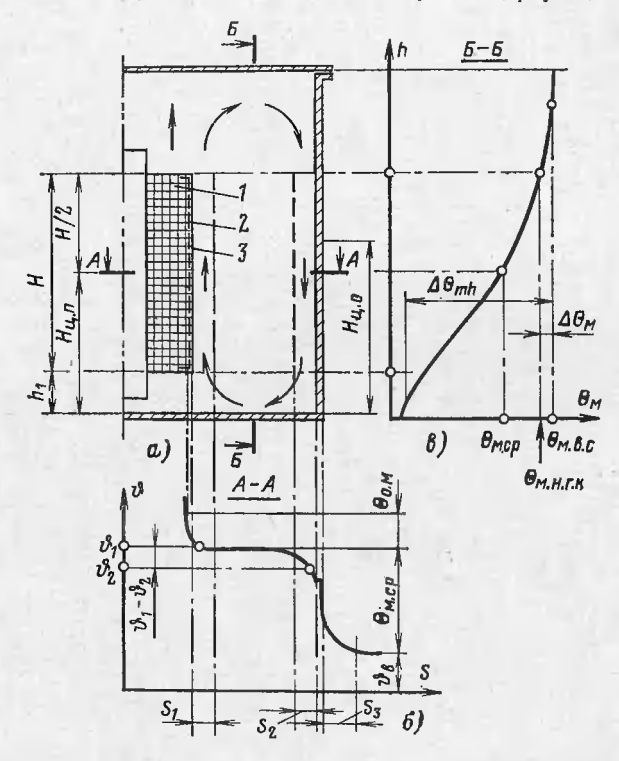


Рис. П10-1. Распределение температур в баке трансформатора при естественной циркуляции масла.

a— схема циркуляции масла (радиаторы не показаны); b— радиальное распределение температур между металлом обмотки и окружающим воздухом; b— распределение превышения температур по высоте бака; b— обмотка; b0— поверхность металла обмотки; b1— зона нагрева масла; b2— зона охлаждения масла; b3— зона изгрева воздуха.

составляют несколько сантиметров в секунду. Зоны интенсивного движения масла имеются только у поверхности, где происходит теплообмен. Остальное масло в баке трансформатора находится в относительном покое и приходит в движение только тогда, когда изменяется нагрузка или температура охлаждающей среды.

Распределение температур в баке трансформатора при естественной циркуляции масла показано на рис. П10-1. Бак трансфор-

матора условно показан гладким, без радиаторов.

Теплопередача через толщину стенок бака и труб радиаторов осуществляется путем теплопроводности. Перепад температур между внутренней и наружной поверхностями стенки составляет менее 1 °C.

Теплопередача от бака и труб в окружающую среду происходит путем конвекции и излучения. Теплоотдача излучением особенно существенна для гладких баков, где она достигает 50% общей теплоотдачи бака. У трубчатых и радиаторных баков теплоотдача стенок бака снижается до 10—20% общей теплоотдачи.

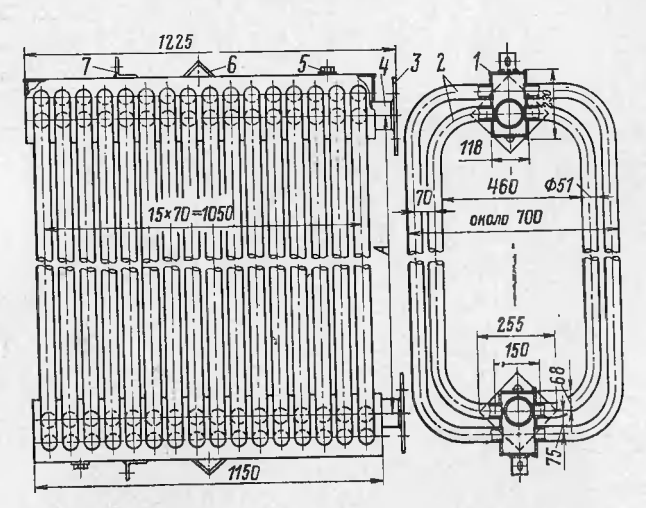


Рис. П10-2. Сдвоенный трубчатый радиатор, 64 трубы. 1- сборная коробка; 2- трубы  $\varnothing$  51×1,8 мм (горизонтальные участки  $\varnothing$  50×1,25 мм); 3- фланец (листовая сталь толщиной 10 мм); 4- труба; 5- пробка для выпуска воздуха; 6- угольник для подъема радиатора; 7- угольник для скреплення радиаторов.

В отечественном трансформаторостроении до последнего времени применялись трубчатые баки, в стенки которых вваривались круглые или овальные трубы. Круглые трубы имеют наружный диаметр 51 мм и толщину стенки 1,75 мм. Трубы располагаются в зависимости от требуемого размера поверхности охлаждения в один, два или три ряда. Эффективность теплоотдачи каждого ряда при трех рядах труб на 17.% меньше, чем у того же ряда, когда он один. Оптимальное расстояние между центрами труб (шаг) в одном ряду 70 мм, а между трубами соседних рядов 75 мм.

Трансформаторы мощностью свыше 1800 кВ А выполнялись с тладкими баками, к которым через уплотнения присоединялись съемные радиаторы. Радиаторы выполнялись волнистыми и трубчатыми, одинарными и сдвоенными. На рис. П10-2 показан сдвоенный

радиатор МЭЗ.

Конструктивные данные трубчатых радиаторов приведены в табл. П10-1. На трансформаторы с охлаждением М устанавливаются наряду с радиаторами конструкции МЭЗ радиаторы прямотрубной конструкции с трубами овального сечения. Они обладают

# Двухрядные трубчатые радиаторы (в каждом ряду по 16 труб, $\varnothing$ 51 $\times$ 1,75 мм)

|                                           | OH-                                                                          | Одинарны                                                                               | й радиато                                                                            | p 16×2=                                                            | 32 трубы                                                           | Сдвоенн                                                                                | ый радиато                                                                             | p 16×4±                                                            | 64 труби                                                           |  |
|-------------------------------------------|------------------------------------------------------------------------------|----------------------------------------------------------------------------------------|--------------------------------------------------------------------------------------|--------------------------------------------------------------------|--------------------------------------------------------------------|----------------------------------------------------------------------------------------|----------------------------------------------------------------------------------------|--------------------------------------------------------------------|--------------------------------------------------------------------|--|
| ия<br>ре расстоя-<br>пентрами<br>мм       |                                                                              | Поверхі<br>охлажден                                                                    |                                                                                      | Mac                                                                | са, кг                                                             |                                                                                        | хность<br>ения, м²                                                                     | Масса, кг                                                          |                                                                    |  |
| Модификация                               | Вертикальное<br>ние между ц<br>патрубков, м                                  | наружная<br>геометри-<br>ческая                                                        | эффектив-<br>ная                                                                     | радиатора<br>(без масла)                                           | масла                                                              | наружная<br>геометри-<br>ческая                                                        | эффектив-<br>ная                                                                       | радиатора<br>(без масла)                                           | масла                                                              |  |
| 1<br>2<br>3<br>4<br>5<br>6<br>7<br>8<br>9 | 1880<br>2000<br>2285<br>2485<br>2685<br>3000<br>3250<br>3750<br>4000<br>4250 | 12,12<br>12,90<br>14,43<br>15,40<br>16,47<br>18,00<br>19,30<br>21,85<br>23,00<br>24,45 | 9,13<br>9,72<br>10,87<br>11,60<br>12,40<br>13,52<br>14,50<br>16,45<br>17,30<br>18,40 | 205<br>215<br>236<br>249<br>264<br>285<br>302<br>337<br>352<br>373 | 161<br>169<br>184<br>194<br>204<br>219<br>232<br>258<br>269<br>284 | 23,60<br>25,12<br>28,20<br>30,16<br>32,30<br>35,40<br>37,92<br>43,00<br>45,30<br>48,25 | 17,75<br>18,85<br>20,60<br>22,65<br>24,20<br>26,60<br>28,50<br>32,40<br>34,10<br>36,30 | 380<br>401<br>442<br>468<br>499<br>540<br>575<br>644<br>675<br>716 | 276<br>291<br>321<br>341<br>362<br>393<br>418<br>469<br>492<br>521 |  |

Примечания: 1. Эффективная поверхность радиатора равна его действительной наружной поверхности, умноженной на коэффициент эффективности теплопередачи, равный при естественном охлаждении 0,753. При этом за единицу принята эффективность теплоотдачи вертикальной плоской степки.

передачи, равным при естественном охлаждении 0,755. 14ри этом за единицу принята эффективность тенлоотдачи вертикальной плоской стенки.
2. Сдвоенные радиаторы имеют обычно 16 или 18 труб в ряду и в отдельных случаях 20 или 22. Поверхности и массы сдвоенных радиаторов с увеличенным числом труб определяют по данным настоящей таблицы с пересчетом пропорционально числу труб, т. е. с коэффициентами 1,125; 1,250; 1,375 соответственно.

по сравнению с радиаторами МЭЗ следующими преимуществами:

а) удельный теплосъем с единицы поверхности увеличен на 30%;
 б) расход металла на изготовление радиаторов уменьшен на 33%;

в) емкость масла в радиаторах уменьшена на 48%; г) значительно снижены габариты радиаторов, а следовательно, и габариты всего трансформатора; д) объем радиатора, отнесенный к единице отводимого тепла, снижен на 53%.

Конструкция радиаторов (рис. П10-3,а) идентична таковым для трансформаторов II габарита. При внедрении таких радиаторов на трансформаторах ТМ-2500/35 и ТМ-4000/35 (по данным Чирчикского отделения ВИТ) вместо радиаторов МЭЗ общие массы трансформаторов были снижены соответственно на 683 и 660 кг.

На трансформаторе ТМ-6300/35 устанавливают секции из четырех прямотрубных радиаторов (рис. П10-3,б). Стоимость системы охлаждения из-за большей сложности изготовления секций несколько повышена, зато масса трансформатора снижена на 783 кг.

Это достигнуто благодаря применению овальных труб с размерами осей 72 и 20 мм, которые при той же поверхности, что и круглые трубы  $\varnothing$  51 мм (радиатор МЭЗ), и почти той же теплоотдаче имеют вдвое меньшее сечение, что ведет к уменьшению объема и стоимости масла, перекрывающему более высокую стоимость овальной трубы.

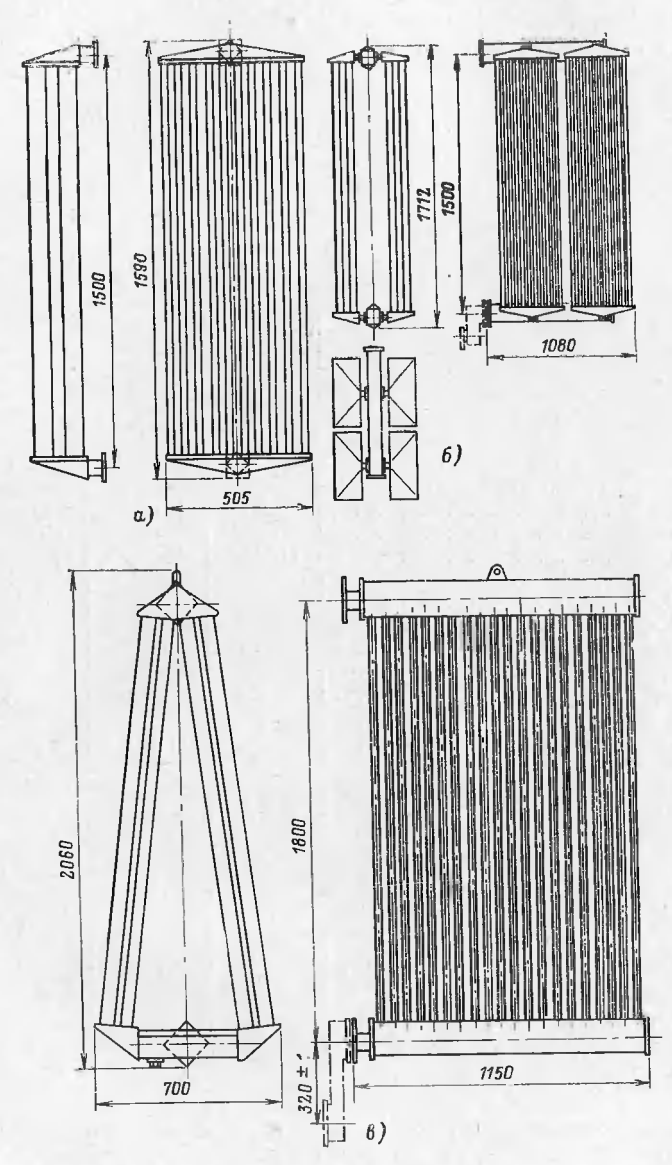


Рис. П10-3. Конструкция прямотрубных радиаторов. a — одинарный радиатор; b — секция из четырех радиаторов; b — шатрообразный радиатор.

Однако прямотрубные радиаторы (рис. ft10-3,a) имеют удельную теплоотдачу примерно на 10% ниже, чем радиаторы МЭЗ, из-за наличия коллектора, создающего дополнительное сопротивление естественно подымающимся вверх потокам воздуха. Этим медостатком не обладают радиаторы с наклонно расположенными трубами, так называемые шатрообразные радиаторы (рис. II10-3,a), разработанные Чирчикским отделением ВИТ по образцу радиаторов производства Болгарии, имеющих очень высокое значение удельного теплосъема (513 Вт/м²).

Таблица П10-2 Конструкционные и эксплуатационные характеристики радиаторов в современных трансформаторах

| Секция из<br>четырех<br>примотруб-<br>ных радиа-<br>торов (рис.<br>П10-3, б) | Радиатор с<br>гнутыми<br>трубами<br>МЭЗ (рис.<br>П10-2) |
|------------------------------------------------------------------------------|---------------------------------------------------------|
|                                                                              |                                                         |
| 1712                                                                         | 2240                                                    |
| 610                                                                          | 710                                                     |
| 1080                                                                         | 1250                                                    |
|                                                                              |                                                         |
| 80                                                                           |                                                         |
|                                                                              | 64                                                      |
| 116,3                                                                        | 141,6                                                   |
| 00.00                                                                        | 00.00                                                   |
| 20,06<br>322                                                                 | 23,60                                                   |
| 113                                                                          | 369<br>276                                              |
| 115                                                                          | 210                                                     |
|                                                                              |                                                         |
| 7,64                                                                         | 9,82                                                    |
| .,                                                                           | 0,02                                                    |
| 379                                                                          | 416                                                     |
|                                                                              |                                                         |
| 23,69                                                                        | 26,60                                                   |
| 0= 0=                                                                        |                                                         |
| 67,37                                                                        | 35,57                                                   |
| 10.61                                                                        | 10.00                                                   |
| 10,61                                                                        | 12,80                                                   |
| 5 65                                                                         | 11,69                                                   |
|                                                                              | 10,61<br>5,65                                           |

В табл. П10-2 приводятся сравнительные характеристики шатрообразных радиаторов, секции из четырех прямотрубных радиаторов и одной из модификаций радиаторов МЭЗ.

Дутьевое охлаждение с естественной циркуляцией масла. Трансформаторы мощностью от 10 000 до 80 000 кВ А, а иногда и

выше (до 120 000 кВ · А) выполняются с охлаждением Д.

Принципиально охлаждение Д отличается от охлаждения М только тем, что трубы радиаторов снаружи обдуваются воздухом специальными вентиляторами, и повышается теплосъем. Конструктивно радиаторы почти не отличаются от радиаторов с гиутыми трубами охлаждения М (рис. П10-2). Это открывает большие возможности для модериизации трансформаторов: заменив обмотки и повысив мощность, а следовательно, и тепловые потери трансформатора с охлаждением М, можно с иезиачительными затратами перевести их на охлаждение Д; для этого достаточно только установить дутьевые вентиляторы.

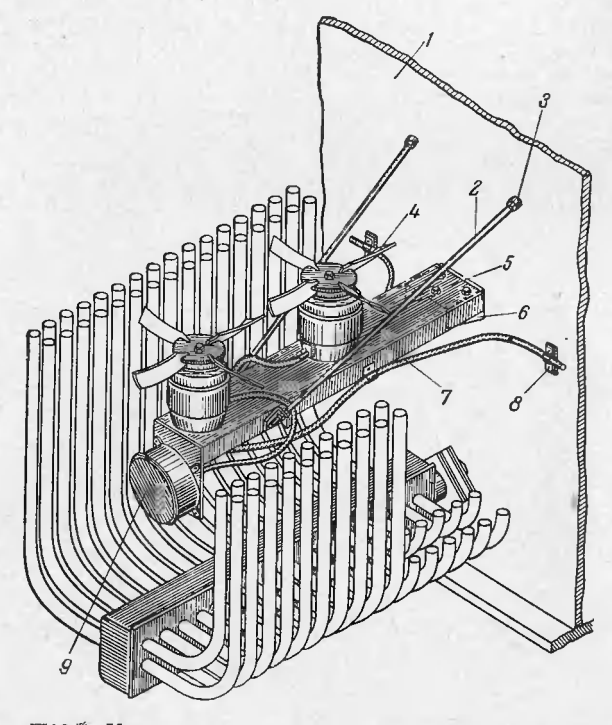


Рис. П10-4. Установка вентиляторов на баке с радиаторами. 1— стенка бака; 2— растяжка  $\varnothing$  12 мм; 3— бобышка; 4— электродвигатель АЗЛ-31/4 с вентиляторами серии МЦ № 4; 5— кронштейн; 6— скоба (болты М16); 7— трехжильный кабель в резиновом шланге (КРПТ-3×4 мм²), помещенный в гибкий рукав из стальной оцинкованной ленты; 8— крепление кабеля; 9— распределительная коробка.

На каждом радиаторе располагается по 2—3 вентилятора. Устаиавливаются они на консольных балках, прикрепляемых к стеике бака (рис. П10-4). Высота установки определяется аэродинамическим расчетом вентиляторов.

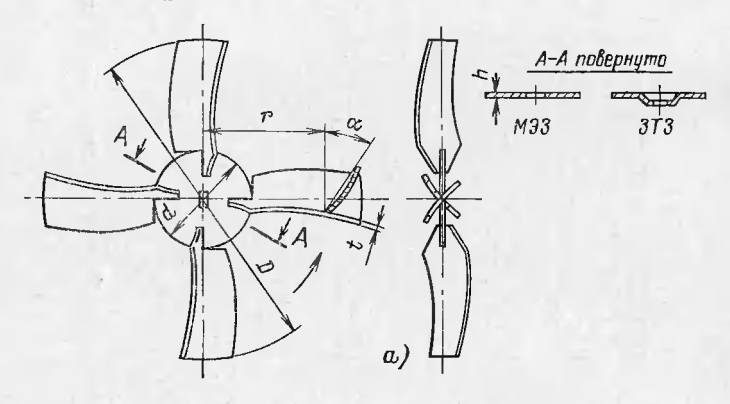
Теплосъем системы охлаждения Д зависит от количества радиаторов с вентиляторами, мощности электродвигателей и частоты вра-

щения крыльчаток, а также от конструкции крыльчаток.

### Характеристики крыльчаток дутьевых вентиляторов

| Конструкция<br>крыльчаток                                                | Размеры, мм (рис. П10-5) |                   |                   |                          |                          |                                              | 3                    | Потреб-                                  |                |
|--------------------------------------------------------------------------|--------------------------|-------------------|-------------------|--------------------------|--------------------------|----------------------------------------------|----------------------|------------------------------------------|----------------|
|                                                                          | D                        | d                 | r                 | h                        | t                        | $\begin{vmatrix} a = \\ = d/D \end{vmatrix}$ | а, град              | ляемая<br>мошность,<br>Вт                | Ж. п. д.       |
| Старые МЭЗ<br>Новые МЭЗ<br>Новые ЗТЗ<br>Новые ЦКБ Глав-<br>энергоремонта | 368<br>420<br>400<br>400 | 140<br>120<br>120 | 168<br>158<br>160 | 2,0<br>4,0<br>3,0<br>4,0 | 1,0<br>1,4<br>1,5<br>2,0 | 0,333<br>0,3<br>0,3                          | 25<br>35<br>35<br>20 | 130—135<br>290—300<br>290—300<br>170—190 | 63<br>63<br>68 |

До 1961 г. применялись малоэффективные крыльчатки с плоскими лопатками. Теперь получили повсеместное распространение более эффективные четырехлопастные крыльчатки с цилиндрическими лопатками (рис. П10-5,а и табл. П10-3, созданные на Московском



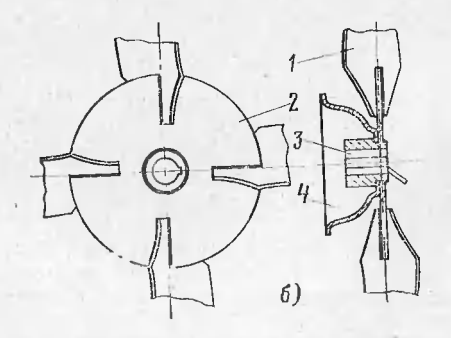


Рис. П10-5. Крыльчатки дутьевых вентиляторов a — конструкция М33 и 3Т3; 6 — молернизированные; f — лопасть; 2 — диск; 3 — ступица; 4 — водоотражающий колпак.

электрозаводе (МЭЗ), на Запорожском трансформаторном заводе (ЗТЗ) и в ЦКБ Главэнергоремонта на основе крыльчаток серии МЦ конструкции ЦАГИ. Новые типы крыльчаток, имея более вы-538 сокие значения к. п. д., создают значительно большие напоры и скорости воздуха и намного улучшают теплоотдачу от радиаторов.

Проводилась модернизация крыльчаток серии МЦ-4 и в другом направлении. На рис. П10-5,6 показана модернизированная крыльчатка, которая имеет ступицу со шпоночной канавкой и водоотражающий колпак, закрепленный на крыльчатке.

Успешно проводятся работы по замене старых крыльчаток новыми при ремонте трансформаторов. Новые и старые крыльчатки взаимозаменяемы, однако новые требуют переноса крепления вентиляторов на стенку бака (рис. П10-4), если она в заводском испол-

нении крепились непосредственно на радиаторах.

Для всех модификаций новых крыльчаток допускается их длительная работа на стандартных электродвигателях завода ХЭМЗ типа АЗЛ-31/4 мощностью 250 Вт (1500 об/мин), которые обычно и применяются в системе охлаждения Д. На ряде старых трансформаторов установлены двигатели типа ТГЗ-41Ф мощностью 150 Вт со старыми крыльчатками МЭЗ. С этими двигателями допускается применять только новые крыльчатки ЦКБ Главэнергоремонта.

Дутьевое охлаждение с принудительной циркуляцией масла. Система охлаждения ДЦ применяется на трансформаторах мощностью 63 000 кВ - А и выше. Горячее масло забирается из-под крышки трансформатора и под действием масляных насосов высокой производительности прогоняется по трубкам калориферных охладителей, облуваемых вентиляторами, а затем охлажденное поступает в ниж-

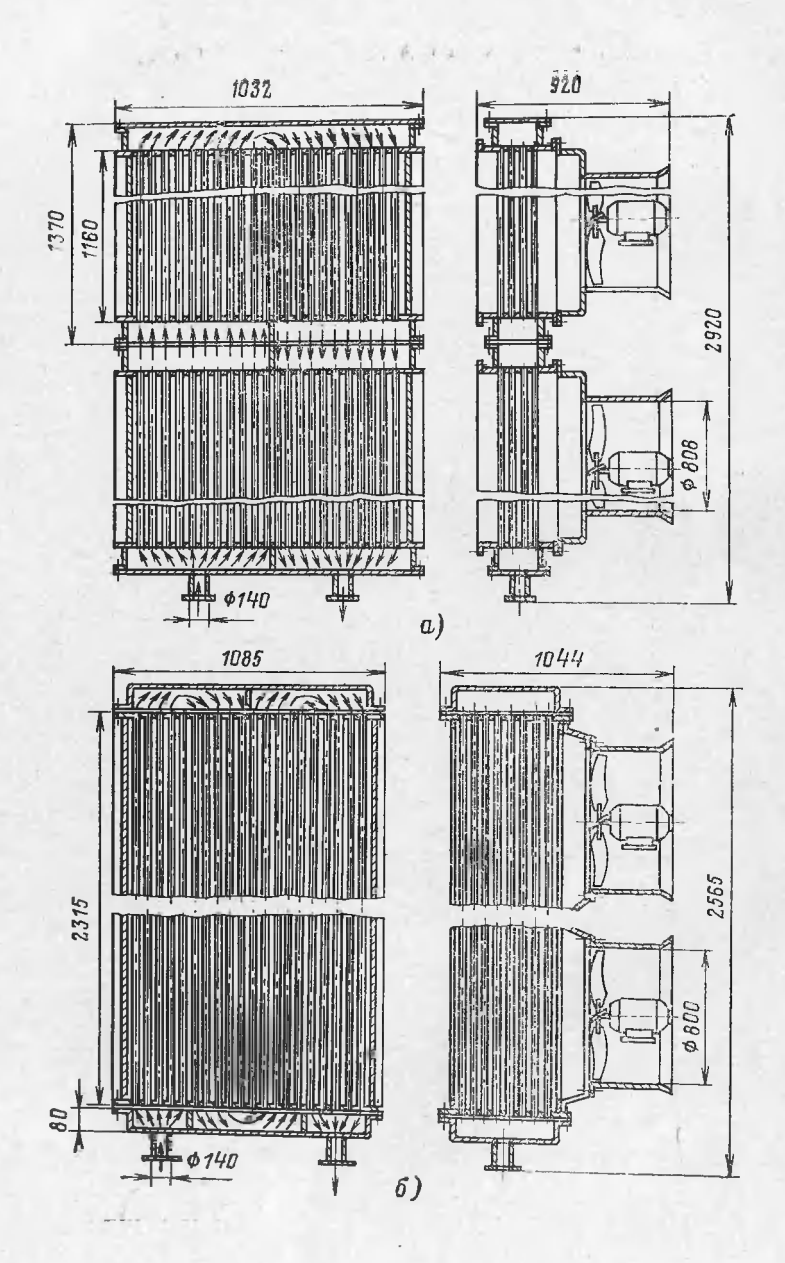
нюю часть бака трансформатора.

На трансформаторах в зависимости от их мощности и суммарных тепловых потерь устанавливается различное количество охлаждающих устройств ДЦ, которые могут работать независимо друг от друга, сообщаясь с баком трансформатора своими заборным (всасывающим) и подающим (нагнетательным) маслопроводами. Одно из охлаждающих устройств может быть резервным и включаться автоматически в случае выхода из строя одного из работающих.

Запорожский трансформаторный завод — основной разработчик и изготовитель охлаждающих устройств ДЦ — выпускал и выпуска-

Таблица П10-4 Геометрические характеристики трубок современных охладителей ДЦ (размеры, мм)

| Тип тепло-<br>обменника   | Днаметр<br>трубки |            |              | Ребро                   |         |         |     | поверх-                 | ope6pe-            | Трубный<br>пучок |           |                          |
|---------------------------|-------------------|------------|--------------|-------------------------|---------|---------|-----|-------------------------|--------------------|------------------|-----------|--------------------------|
|                           |                   |            | TPO T        | ,                       | Размеры |         |     |                         |                    | Mar              |           |                          |
|                           | наружный          | внутренний | по оребрению | Форма сече-<br>ния      | высота  | средняя | шаг | Виутренняя<br>ность, м² | Коэффициент<br>ния | по фронту        | в глубниу | Число рядов<br>в глубину |
| Калорифер<br>КФБО-П       | 22,0              | 18,0       | 41,8         | Прямо-<br>уголь-<br>ник | 9,9     | 0,4     | 4,0 | 5,64                    | 12,6               | 43,0             | 38,0      | 4                        |
| Алюминиевый<br>охладитель | 24,0              | 18,5       | 40,0         | Трапе-<br>ция           | 8,0     | 0,6     | 3,5 | 21,50                   | 9,3                | 48,0             | 41,6      | 8                        |



ет сейчас несколько типов охладителей, различающихся конструк-

циями и эксплуатационными характеристиками.

Для создания большой поверхности охлаждения при относительно небольших габаритах охладителя его трубки выполняются оребренными. Наиболее рациональные виды оребрения: 1) спирально-накатное оребрение алюминиевых трубок; 2) спирально-навивное ленточное оребрение с гофрами стальных калориферных трубок и 3) спирально-навивное оребрение стальных трубок, выполненное проволокой.

Трубки в калориферных и алюминиевых охладителях, выпускаемых в настоящее время, располагаются в шахматном порядке. Основные геометрические характеристики этих труб, трубных пучков

и оребрения приведены в табл. П10-4.

Рис. П10-6. Охладители ДЦ с вентиляторами и их компоновка. a — двухходовой калориферный; b — четырехходовой алюминиевый; b — компоновка калориферных охладителей:

| Схема                                                                                                              |                                          |                                 |                            |                               |
|--------------------------------------------------------------------------------------------------------------------|------------------------------------------|---------------------------------|----------------------------|-------------------------------|
| Тип<br>Количество ходов масла<br>Количество калориферов<br>Количество вентиляторов<br>МЦ-8<br>Тип масляного нассса | 1<br>2<br>2<br>2<br>2<br>6K-1 <b>2</b> a | 2<br>4<br>4<br>2<br>2<br>6K-12a | 3<br>4<br>4<br>4<br>6K-12a | 4<br>4<br>4<br>4<br>9ЦТ-63/10 |

г — то же алюминиевых:

| Схема                                    |        |        |        |           |           |           |
|------------------------------------------|--------|--------|--------|-----------|-----------|-----------|
| Тис<br>Количество хо-                    | 5<br>2 | 6 4    | 7<br>4 | 8<br>5    | 9         | 10<br>4   |
| дов масла<br>Количество ох-<br>ладителей | 1      | 1      | 2      | 1         | 1         | 1         |
| Количество вен-<br>тиляторов<br>МЦ-8     | 2      | 2      | 4      | 2         | 2         | 2         |
| Тип мясляного<br>насоса                  | 6K-12a | 6K-12a | 6K-12a | ЭЦТ-63/10 | ЭЦТ-63/10 | ЭЦТ-100/8 |

Конструкция калориферного охладителя схематически показана на рис. П10-6,а. Он состоит из двух калориферов типа КФБО-11, соединенных средними масляными коллекторами фланцев.

Алюминиевые охладители применяются нескольких модификаций, отличающихся количеством ходов масла, а также типом и расположением масляных насосов. На рис. П10-6.б показан четырехходовой алюминиевый охладитель.

На каждом охладителе болтами укреплены по две вентиляторные коробки с вентиляторами ЦАГИ типа МЦ-8, приводимыми во вращение электродвигателями типа АО-42/4 мощностью 2,8 кВт.

освоения промышленностью бессальниковых ЭЦТ-63/10 и ЭЦТ-100/8 охлаждающие устройства комплектовались консольными насосами типа 6К-12а, которые и теперь имеются в эксплуатании.

Компоновки калориферных охладителей показаны на рис. П10-6,в, а алюминиевых — на рис. П10-6,в. Всего имеется десять типов компоновок охладителей, эксплуатационные характеристики которых приведены в табл. П10-5.

Таблица П10-5 Эксплуатационные характеристики компоновок охлаждающих устройств ДЦ

| ×                     | охлади-<br>и), кВт                     | неское сопро-<br>охладителя,<br>вод. ст.)  | Pac<br>Kr                                    | ход,<br>/c                                    |                                              | нение<br>рату-                               | потр                                         | ность,<br>ебля-<br>двига-                     | дд<br>на<br>г/кВт                                       | Скор                                   | ость,<br>/с                     | гепло-<br>г. °С)                           |
|-----------------------|----------------------------------------|--------------------------------------------|----------------------------------------------|-----------------------------------------------|----------------------------------------------|----------------------------------------------|----------------------------------------------|-----------------------------------------------|---------------------------------------------------------|----------------------------------------|---------------------------------|--------------------------------------------|
| Тип компоиовки        | Тепловой поток оэ<br>теля (теплосъем), | гравлич<br>гление<br>Па (м                 | масла                                        | воздуха                                       | масла                                        | воздуха                                      | телях<br>насоса                              | и, кВт                                        | Удельный расход<br>электроэнергии н<br>охлаждение, Вт/л | масла в трубке                         | воздуха в жи-<br>вом сечении    | Коэффициент тепло-<br>передачи, Вт/(м2.°С) |
| TH                    | Тепл                                   | Гид<br>ТИВ<br>104                          | Ma                                           | BOS                                           | Mac                                          | 100                                          | Hac                                          | венти                                         | V DE CO                                                 | мас                                    | возд<br>вом                     | Ne Ne                                      |
|                       |                                        |                                            | Cn                                           | альные                                        | е, из к                                      | าภา pug                                      | еров Е                                       | ¢ΦE0-1                                        | 1                                                       |                                        |                                 |                                            |
| 1<br>2<br>3<br>4      | 140<br>157<br>268<br>220               | 9,00<br>9,00<br>9,00<br>6,17               | 25,7<br>21,2<br>21,2<br>20,0                 | 6,30<br>4,70<br>12,60<br>12,60                | 2,76<br>3,75<br>6,37<br>5,55                 | 22,1<br>33,2<br>21,2<br>17,4                 | 7,34<br>7,50<br>7,50<br>3,00                 | 6,66<br>6,60<br>13,20<br>13,20                | 100,0<br>90,0<br>77,3<br>73,6                           | 2,7<br>2,2<br>2,2<br>2,0               | 4,4<br>3,3<br>4,4<br>4,4        | 458<br>387<br>457<br>339                   |
|                       |                                        |                                            |                                              |                                               | Алю                                          | миниев                                       | вые                                          |                                               |                                                         |                                        |                                 |                                            |
| 5<br>6<br>7<br>8<br>9 | 215<br>247<br>400<br>210<br>205<br>203 | 5,15<br>11,90<br>7,65<br>7,10<br>—<br>7,17 | 47,2<br>31,9<br>41,2<br>17,1<br>20,0<br>21,8 | 8,05<br>8,60<br>16,12<br>7,33<br>7,33<br>7,50 | 2,31<br>3,93<br>4,90<br>6,20<br>5,20<br>4,70 | 26,5<br>28,7<br>24,7<br>28,5<br>27,8<br>27,0 | 8,46<br>7,33<br>7,40<br>2,90<br>2,90<br>2,84 | 5,66<br>5,50<br>11,32<br>5,60<br>5,60<br>5,40 | 65,7<br>52,0<br>47,0<br>40,5<br>41,5<br>40,5            | 2,4<br>3,5<br>2,1<br>2,4<br>2,2<br>2,4 | 8,1<br>8,2<br>8,1<br>7,3<br>7,4 | 412<br>545<br>378<br>473<br>446<br>423     |

Силовые трансформаторы выпускаются с выносной и навесной системами охлаждения. Выносные охлаждающие устройства крепятся на стойках, установленных на своих автономных фундаментах (рис. П10-7,а). Навесные охлаждающие устройства крепятся непосредственно на стенке бака трансформатора (рис. П10-7,6 и в).

Применение выносной, менее компактной системы охлаждения связано с большими тепловыми потерями трансформатора, недостатком места на стенках бака и необходимостью исключить подсос

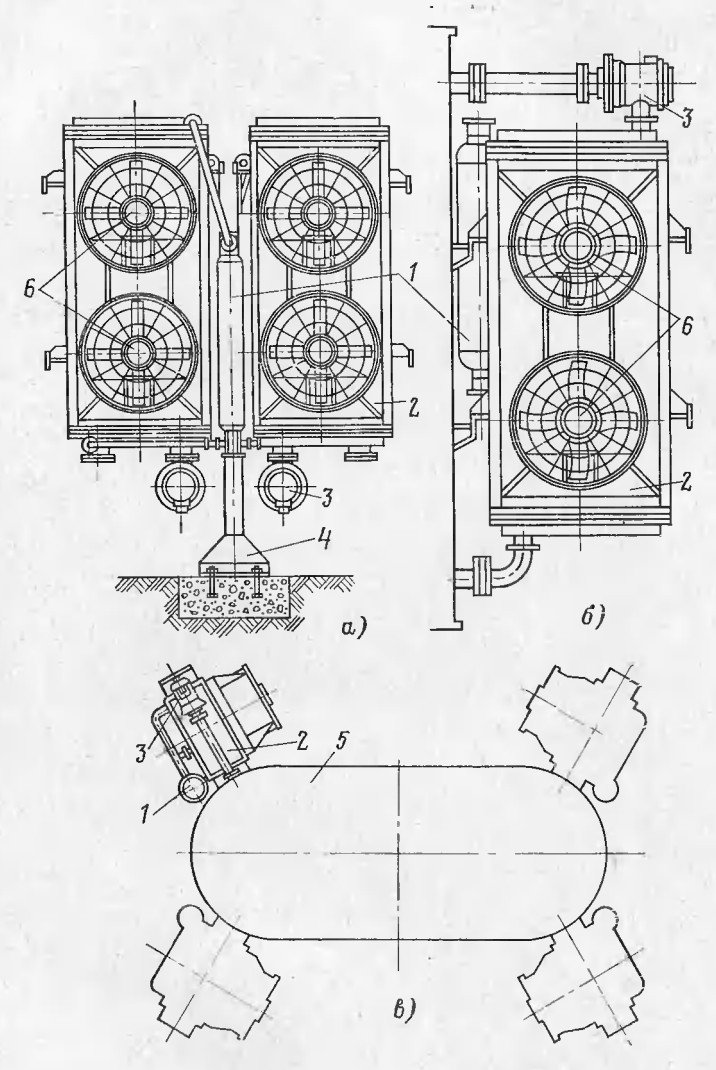


Рис. П10-7. Установка охлаждающих устройств ДЦ. a — выносные ОУ; b — навесное ОУ; b — расположение навесных ОУ на баке трансформатора IV габарита; I — термосифонный фильтр; 2 — охладитель; b — масляный насос; b — стойка выносных ОУ; b — бак трансформатора; b — дутьевые вентиляторы с крыльчатками ЦАГИ серии МЦ b 8.

горячего воздуха вентиляторами. Подмешивание подогретого воздуха к холодному приводит к повышению температуры масла и недопустимому нагреву активной части трансформатора.

Выносную систему охлаждения устанавливают так, чтобы на пути нагретого воздушного потока не было сплошных стен и щитов, способствующих возврату воздуха на вход вентиляторов.

Выносные охладители удобно располагать в одну линию, по одну или по обе стороны трансформатора, предусматривая специ-

альные каналы для прокладки маслопроводов.

Система охлаждения ДЦ отличается большой эффективностью. Достигается это за счет высоких скоростей масла и относительно больших скоростей охлаждающего воздуха. Но при отключенных вентиляторах вследствие большого аэродинамического сопротивления охладителя эффективность его незначительна. Это значит, что независимо от нагрузки трансформатора, даже при холостом ходе, некоторое число вентиляторов и насосов, обеспечивающее подачу воздуха и циркуляцию масла, должно быть включено.

При проектировании системы охлаждения трансформатора количество рабочих охлаждающих устройств той или иной модификации выбирают, исходя из суммарных тепловых потерь, и дополнительно к рабочим предусматривают одно резервное охлаждающее устройство, которое включается автоматически при аварийном отключении рабочего вентилятора или насоса. Допускается длительная работа резервного охлаждающего устройства наравне

с рабочими.

Для управления элементами системы охлаждения ДЦ применяется электрическая автоматика, скомпонованная в шкафу автоматического управления охлаждением трансформатора (ШАОТ), устанавливаемом возле трансформатора. Схема управления обеспечивает включение первой группы охладителей одновременно с включением трансформатора и последовательное включение следующих групп при повышении температуры масла или нагрузки трансформатора.

Аппаратура шкафа подключена к релейной защите трансформатора, отключающей его при повреждении элементов системы охлаж-

дения, которое может привести к аварии трансформатора.

Система охлаждения ДЦ по сравнению с другими системами охлаждения трансформаторов обладает большим недостатком — низкой эксплуатационной надежностью. При попадании масла на наружные поверхности трубок они, обдуваясь воздухом с большим содержанием пыли, обрастают коркой грязи, которая резко снижает теплоотдачу от металла трубок к воздуху. Грязь забивает пространство между ребрами трубок, и высокие эксплуатационные характеристики охладителей, обусловленные большими коэффициентами оребрения трубок (табл. П10-4 и рис. П10-6,г), практически с течением времени ухудшаются. Кроме того, алюминиевые трубки обладают большой хрупкостью. Трещины, возникающие от резких колебаний температур и от механических воздействий (вибрации, неаккуратности обслуживающего персонала), не всегда удается заварить или зачеканить, поэтому приходится выключать поврежденные трубки заглушками (забивают с обеих сторон).

Так, при тепловых испытаниях трансформатора ТДЦГ-200000/110 с системой охлаждения, имеющей тип компоновки 8 (см. рис. П10-6, в и г), был установлен теплосъем охладителя 145 кВт вместо 210 кВт

на новом охладителе.

Поэтому в просктирований новых трансформаторов для строящихся электростанций наметилась тенденция там, где есть естественные водоемы (на ГЭС, на ГРЭС с открытой системой водоснабжения), устанавливать трансформаторы с масляно-водяной си-

стемой охлаждения Ц.

Масляно-водяное охлаждение с принудительной циркуляцией масла. Кроме силовых трансформаторов мощностью 63 000 кВ-А и выше, где система охлаждения Ц получает все большее распространение наравне с системой охлаждения ДЦ, имеются трансформаторы, для которых эта система охлаждения является единственно возможной. Эти трансформаторы внутренней установки, как правило, электропечные, а в иекоторых случаях и общего назначения. Принципиально эта система охлаждения напоминает систему ДЦ: горячее масло также принудительно прогоняется через теплообменники, однако теплоносителем, отбирающим тепловые потери от трансформаториого масла, является вода, маскимально допустимая температура которой установлена равной 25 °С:

Масляно-водяные теплообменники системы охлаждения Ц при-

нято называть маслоохладителями.

Теплосъем системы охлаждения Ц, как и для ДЦ, задается максимальными суммарными потерями трансформатора: на 1 кВт потерь необходимо, чтобы через трубки маслоохладителей проходило в течение 1 мин примерно 4—5 л масла при среднем перепаде температур между горячим и охлажденным маслом 10 °C.

На электропечных трансформаторах, у которых, за редкими исключениями, суммарные потери невелики (не более 200 кВт), устанавливается по одному маслоохладителю. Тип его выбирается в зависимости не только от потерь, но и от режима работы транс-

форматора.

На мощных трансформаторах общего назначения устанавливается по нескольку маслоохладителей. Количество и типы их выбираются так, чтобы суммарный теплосъем всех маслоохладителей пре-

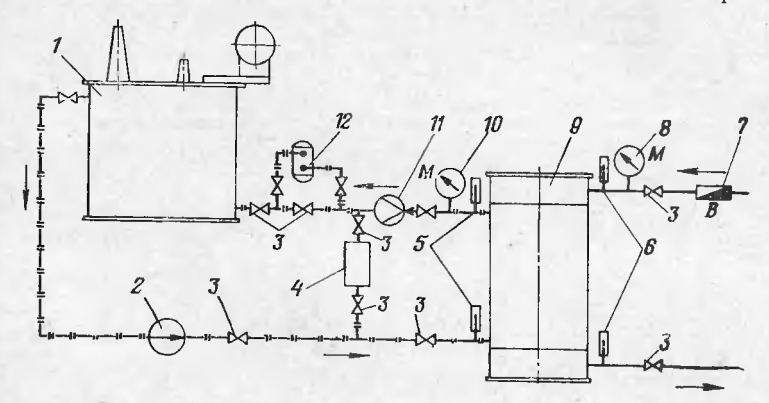


Рис. П10-8. Принципиальная схема масляно-водяной системы охлаждения.

1 — бак трансформатора;
 2 — масляьый насос;
 3 — задвижки;
 4 — адсорбер;
 5 — термометры для масла;
 6 — термометры для воды;
 7 — водомер для измерения расхода воды;
 8 — манометр для воды;
 9 — маслоохладитель;
 10 — манометр для масла;
 11 — днфманометр;
 12 — сетчатый фильтр.

35 - 593

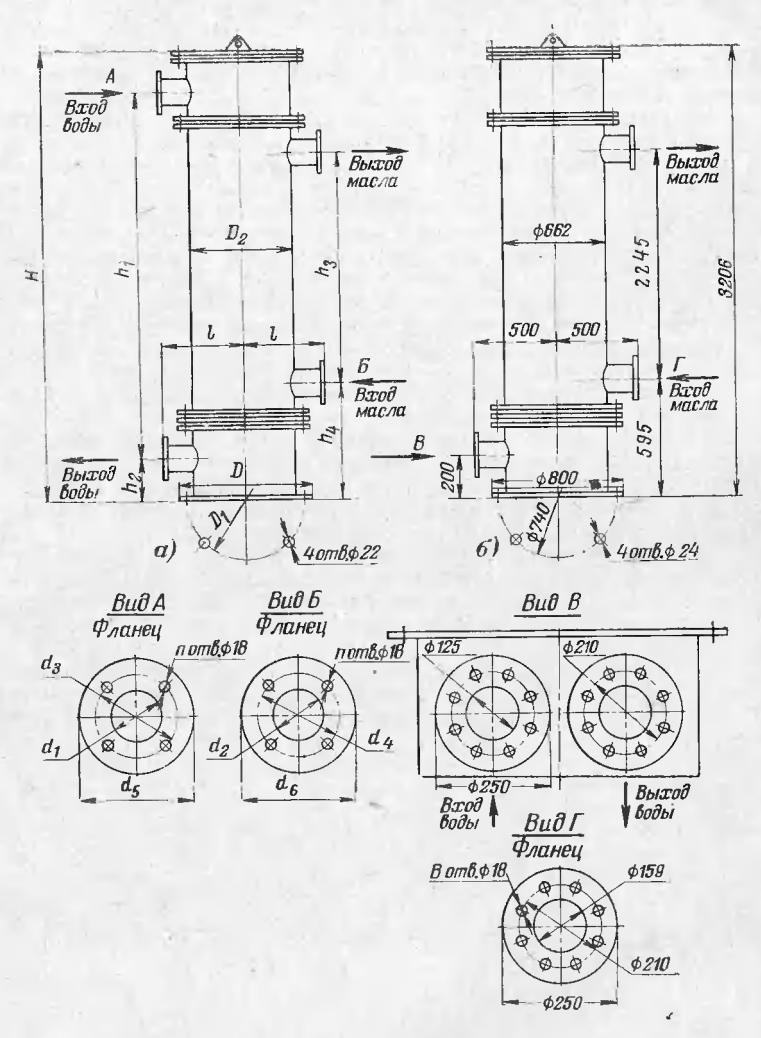


Рис. П10-9. Маслоохладительные колонки серии МП.  $\alpha$  – МП-21 и МП-37;  $\delta$  – МП-65.

| Тиг маслоохла- |     |       |       | Размера | ы, мм |                |       |       |
|----------------|-----|-------|-------|---------|-------|----------------|-------|-------|
| дителя         | D   | $D_1$ | $D_2$ | $d_1$   | $d_2$ | d <sub>3</sub> | $d_4$ | $d_3$ |
| МП-21          | 700 | 640   | 562   | 80      | 108   | 169            | 180   | 200   |
| МП-37          | 810 | 750   | 680   | 133     | 133   | 210            | 210   | 250   |

вышал суммарные потери трансформатора при номинальной нагрузке, образуя резерв. Резерв может быть скрытый, если все маслоохладители должны работать с неполной теплоотдачей, либо явный, когда один из маслоохладителей нормально не работает, а включается при отключении одного из работающих. У мощных трансформаторов наружной установки все элементы системы охлаждения устанавливаются в помещениях, где температура воздуха не опускается ниже нуля. Это может быть далеко от трансформатора, поэтому связь каждого маслоохладителя своими трубопроводами с баком трансформатора, как в системе охлаждения ДЦ, здесь неприемлема. Маслоохладители и насосы включают параллельно и соединяют с баком трансформатора общими заборным (всасывающим) и подающим (нагнетательным) маслопроводами.

Принципиальная схема масляно-водяной системы охлаждения с одним маслоохладителем и одним насосом показана на рис. П10-8.

Основные элементы, используемые трансформаторными заводами для системы охлаждения Ц, выпускаются промышленностью серийно.

Различных теплообменников, которые можно использовать в качестве маслоохладителей системы охлаждения трансформаторов, выпускалось и выпускается много. Наиболее распространенные из них—это колонки вертикальной установки заводов «Пяртале» (г. Каунас) и быв. «Комега» (г. Москва) в трех модификациях: МП-21, МП-37 и МП-65 (рис. П10-9). При расходах масла около 60—70%, номинального эти маслоохладители работают нормально, а при номинальных расходах появляется большая фильтрация масла, не участвующего в теплообмене, и поэтому тепловая натрузка маслоохладителей ниже номинальной.

Московский электрозавод имени В. В. Куйбышева на трансформаторах внутренней установки применяет выносную масляно-водяную систему охлаждения по стандарту предприятия СТП 5БТ.430.001-73. Эта система охлаждения выполняется на базе одного или двух маслоохладителей серии Ц. Общий вид маслоохладителя серии Ц приведен на рис. П10-10, а характеристики, габаритные и установочные размеры, а также данные о массе их модификаций — в табл. П10-6.

Цифры в обозначении типа маслоохладителя показывают: числитель — отводимые потери, кВт; знаменатель — номинальный расход воды, л/мин. Расход воды обусловливается внутренним гидросопротивлением маслоохладителя и давлением воды в водопроводе. Расход воды измеряется водомером, установленным на любом участке водяной системы, и регулируется задвижкой на входе воды в маслоохладитель.

Продолжение табл.

| Гип маслоохла- |                |      |                | Размер         | ы, мм |                |     |   | Macca                    |
|----------------|----------------|------|----------------|----------------|-------|----------------|-----|---|--------------------------|
| дителя         | d <sub>6</sub> | Н    | h <sub>1</sub> | h <sub>2</sub> | $h_3$ | h <sub>4</sub> | ı   | n | маслоожла-<br>дителя, кг |
| MII-21         | 220            | 2267 | 1744           | 410            | 1184  | 704            | 410 | 4 | 799                      |
| M11-37         | 250            | 2205 | 1800           | 225            | 1160  | 580            | 480 | 8 | 1107                     |

Маслоохладители серии Ц имеют очень высокие эксплуатационные характеристики. На рис. III0-II показана зависимость теплосъема всех трех типов маслоохладителей этой серии от превышения температуры масла над температурой входящей воды при разных расходах воды.

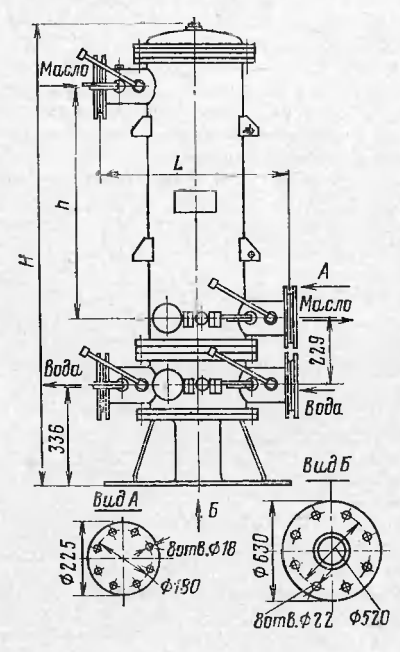


Рис. П10-11. Эксплуатационные характеристики маслоохладителей серии Ц разных типов.  $\vec{a}$  — Ц-63/900-3;  $\vec{b}$  — Ц-100/1100-2;  $\vec{b}$  — Ц-160/1250-1.

Рис. П10-10. Маслоохладитель серии Ц.

Сейчас для мощных трансформаторов ЗТЗ применяет маслоохладители серии МО горизонтальной установки. Маслоохладитель типа МО-53-4A показан на рис. П10-12.

В табл. П10-7 приведены технические характеристики маслоохладителей серии МП в сравнении с горизонтальным маслоохлади-

Таблица П10-6 Маслоохладители серии Ц (СТП 5БТ.430.001-73)

|                                            |                                 | Размерь              | і, мм (рис.        | T110-10)          | Mad            | са, кг]                 |
|--------------------------------------------|---------------------------------|----------------------|--------------------|-------------------|----------------|-------------------------|
| Тип маслоохла-<br>дителя                   | Отводи-<br>мые поте-<br>ри, кВт | Н                    | h                  | L                 | масла          | маслоох-<br>ладителя    |
| Ц-63/900-3<br>Ц-100/1100-2<br>Ц-160/1250-1 | 63<br>100<br>160                | 1514<br>1714<br>1866 | 752<br>952<br>1102 | 571<br>571<br>631 | 30<br>35<br>65 | 258,2<br>275,7<br>373,7 |

## Основные характеристики водяных маслоохладителей мощных трансформаторов

|                                             | повер                                      |                        | Мас <b>л</b> яный нас                             | -1                       |                | 00-<br>ль-<br>мз/ч | θ <sub>M.B.c</sub> =<br>25°C, κBr          | вт/кВт                               | адителя<br>а 1 кВт<br>рь                                            |
|---------------------------------------------|--------------------------------------------|------------------------|---------------------------------------------------|--------------------------|----------------|--------------------|--------------------------------------------|--------------------------------------|---------------------------------------------------------------------|
| Тип масло-<br>охладителя                    | № рисунка                                  |                        | Тип                                               | Мощность, кВт            | масла          | воды               | Теплосъем при $=40$ °С и $\theta_{\rm B}=$ | Удельный расход<br>троэнергии, Вт/кl | Масса маслоохладителя<br>без масла, кг на 1 кВт<br>отводимых потерь |
| МП-21<br>МП-37<br>МП-65<br>МО-53-4 <b>A</b> | П10-9, а<br>П10-9, а<br>П10-9, б<br>П10-12 | 21<br>37<br>65<br>52,6 | ЭЦТ-63/10<br>ЭЦТ-63/10<br>ЭЦТ-100/8<br>ЭЦТ-100/15 | 2,8<br>2,8<br>2,8<br>6,4 | 36<br>60<br>96 | 24<br>36<br>72     | 160<br>260<br>500<br>980                   | 18,65<br>11,20<br>5,60<br>6,53       | 5,31<br>4,28<br>3,05<br>1,58                                        |

 $\Pi$ р и м е ч а н и е. Масса маслоохладителя без учета массы соединительных трубопроводов.

телем типа MO-53-4A. Кроме технико-экономических преимуществ горизонтальный маслоохладитель обладает также и весьма ценным эксплуатационным достоинством: для его ревизии и чистки внутренних поверхностей труб от грязи, микроорганизмов и других наносов нет необходимости полностью демонтировать маслоохладитель — достаточно только слить воду и снять крышки.

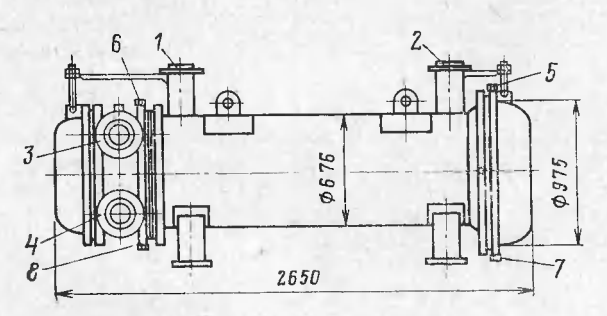


Рис. П10-12. Горизонтальный маслоохладитель типа МО-53-4А. 1— выходной патрубок масла; 2— входной патрубок масла; 3— выходной патрубок воды; 4— входной патрубок воды; 5 и 6— пробки для выпуска воздуха из водяной и масляной камер; 7 и 8— пробки для спуска масла и воды.

Кроме вышеприведенных маслоохладителей могут применяться и другие, предназначенные для охлаждения других масел, в частности турбинного, например маслоохладители серии МБ (ГОСТ 9916-69).

До 1964 г. трансформаторные заводы применяли для системы охлаждения Ц насосы серии K — консольные центробежные: при маслоохладителе МП-21 — насос 3K-9 или 3K-9а; при маслоохладителях МП-37 или МП-65 — насос 4K-12a; при параллельном включении нескольких маслоохладителей — насос 6K-12. Технические данные этих насосов приведены в табл. П10-8.

Таблица П10-8

Технические данные консольных центробежных насосов

|            |                  | Электродвигатель              |       |                                |
|------------|------------------|-------------------------------|-------|--------------------------------|
| Тиц насоса | Мощность,<br>кВт | Частота вра-<br>щения, об/мин | Тип   | Масса агрегата<br>с плитой, кг |
| 3K-9       | 7,0              | 2900                          | A51-2 | 150                            |
| 3K-9a      | 4,5              | 2900                          | A42-2 | 150                            |
| 4K-12a     | 14,0             | 2900                          | A61-2 | 308                            |
| 6K-12      | 14,0             | 1450                          | A62-4 | 356                            |

Насосы серии К имеют существенные недостатки: наличие сальников, через которые в эксплуатации возможна течь масла, значительные габариты комплекта (насос-двигатель), необходимость установки на фундаментной плите и пр.

Теперь насосы серии K заменены на герметичные бессальниковые электронасосы серии ЭЦТ (ЭЦТ-63/10; ЭЦТ-100/8;

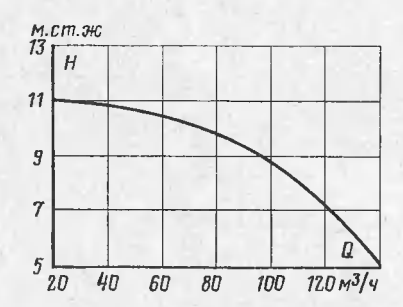


Рис. П10-13. Расходная характеристика масляного насоса типа ЭЦТ-100/8.

ЭЦТ-100/15 и пр.), выпускае-Бендерским заводом «Электроаппаратура». Основные номинальные характеристики насосов этой серии определяются обозначениями типов: числитель дроби - производительность насоса, м3/ч; знаменатель создаваемый напор в метрах масляного столба. Насосы ЭЦТ выполнезаодно с электродвигателями, работающими в траисформаторном масле, поэтому имеют значительно меньшие габариты и массы, что ощутимо снижает вибрацию и совершенно устраняет просачивание масла из системы.

В то же время насосы имеют достаточно стабильные расходные характеристики. Для примера на рис. П10-13 показана расходная

характеристика насоса ЭЦТ-100/8.

На рис. П10-14 показан адсорбер, который включается параллельно маслоохладителям и служит для химической очистки трансформаторного масла как в системе охлаждения, так и во всем трансформаторе. Московский электрозавод имени В. В. Куйбышева изготовляет адсорберы для электропечных трансформаторов емкостью 155 и 325 кг силикателя.

Для задержки волокон и других твердых частиц вблизи входа в трансформатор охлажденного масла на маслопроводе устанавливается сетчатый фильтр (рис. П10-15).

На рис. П10-16 показан фильтр-воздухоотделитель. Масло входит снизу во внутренний конус 4, поднимается и по мере увеличения сечения конуса постепенно теряет скорость. На границе перехода масла из внутреннего конуса в пространство, ограниченное конусами 4 и 5, скорость масла становится минимальной. В этот момент пузырьки воздуха, который насосы засасывают в некотором количестве в систему, поднимаются в головку воздухоохладителя 2. Скопившийся в головке воздух выпускается из воздухоотделителя краном 1 или автоматически при помощи клапанного устройства.

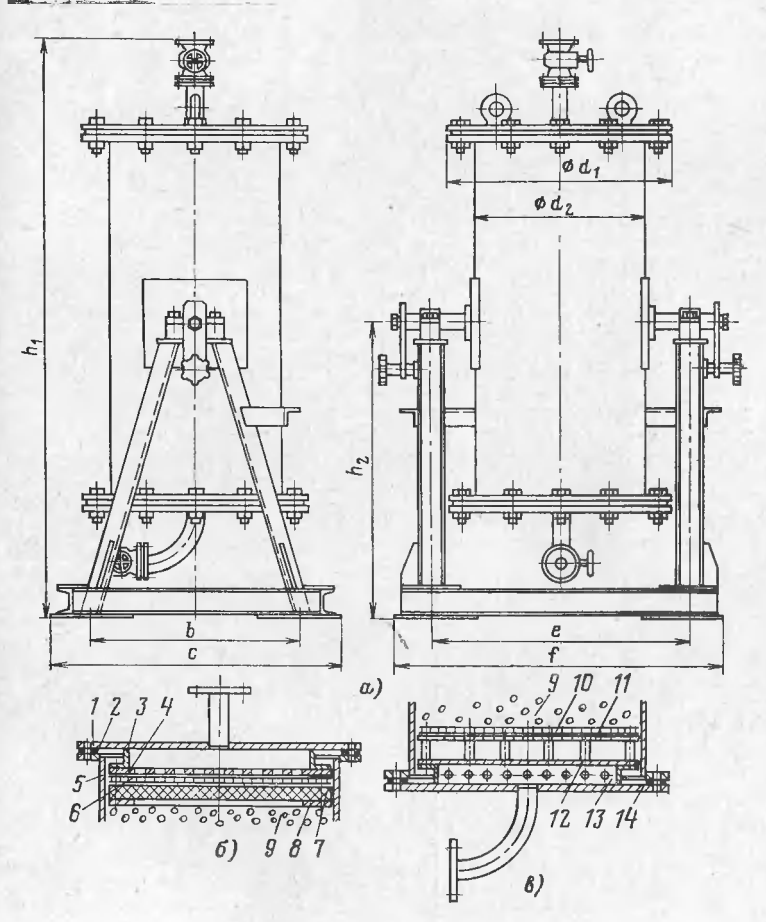


Рис. П10-14. Адсорбер.

a — общий вид адсорбера; b — фильтрующее устройство; b — распределяющее устройство; l — крышка; d — резиновая прокладка; d — рама; d и d — стальные решетки; d — корпус адсорбера; d и d — стальная сетка; d — важимное кольцо; d — сорбент; d — заглушка; d — рама с отверстиями для прохода масла; d — дно (на адсорбере установлены запорные фланцевые вентили с условным проходом d мм).

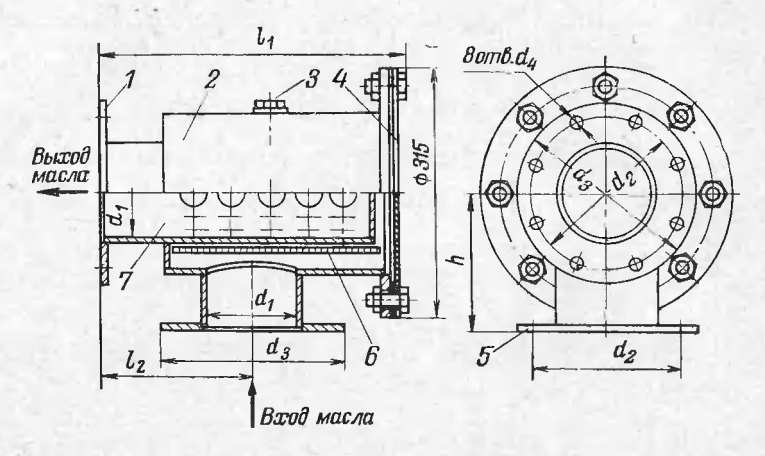
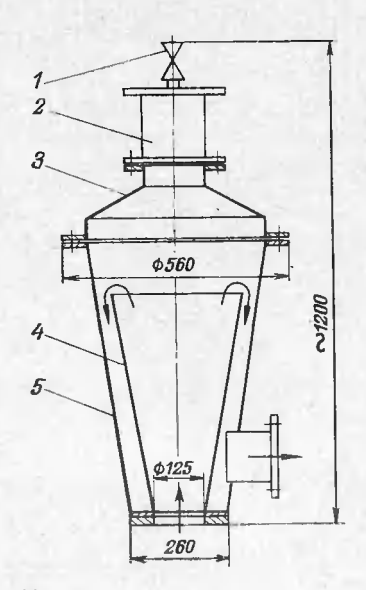


Рис. П10-15. Сетчатый фильтр.

1- патрубок для выхода масла; 2- корпус фильтра; 3- пробка для выпуска воздуха; 4- крышка; 5- патрубок для входа масла; 6- сетка; 7- внутренний цилиидр с круглыми отверстиями, обернутый стальиой сеткой 6.

Система охлаждения Ц еще эффективней, чем система ДЦ. Это обусловливается, во-первых, лучшей теплопередачей от трубок охладителя к теплоносителю системы охлаждения. Жидкий теплоноситель, имея несоизмеримо большую плотность, чем газообразный, даже при одинаковых теплоемкостях обладает большей способно-



стью отволить тепло при меньших скоростях движения. Во-вторых, вода естественных волоемах В обладает хорошими свойствами, необходимыми теплоносителю, особенно в многоводных реках с быстрым течением, таких как Енисей, Обь. Ангара, Иртыш В-третьих, годится к использованию в качестве теплоносителя морская вода, не замерзающая при отрицательных температурах. Для этого трубки маслоохладителей изготовляются не из обычной латуни, как для пресной воды, а из специальной оловянистой латуни или из мельхиора.

### Рис. П10-16. Фильтр-воздухоотделитель.

1— кран для выпуска воздуха; 2— головка воздухоотделителя; 3— крышка; 4— внутренний конус; 5— внешний конус (ко-жух). Стрелками показано направление движения масла.

Система охлаждения Ц обладает высокой эксплуатационной надежностью, она не имеет таких часто выходящих из строя элементов, какими являются дутьевые вентиляторы системы охлаждения ДЦ.

Однако к масляно-водяному охлаждению предъявляется целый ряд строгих требований. Главное из них — чтобы давление масла в маслоохладителях при отключенных масляных насосах превышало не менее чем на 300 кПа (0,3 кгс/см²) максимальное давление воды. Это необходимо для того, чтобы в случае нарушения герметичности между внутренними полостями трубок, где находится вода, и межтрубным пространством маслоохладителя вода не могла попасть в масло, а следовательно, и в трансформатор, что неминуемо приводит к аварии. К другим требованиям относятся правила пуска и остановки системы охлаждения, которые предусматривают: включать масляные насосы только при полностью закрытых задвижках, установленных после насосов, затем их медленно открывать нсключить возможность засасывания воздуха через уплотнения при резком начале циркуляции масла); регулировку скорости циркуляции масла осуществлять задвижкой за маслоохладителями; воду включать после начала циркуляции масла; остановку системы выполнять в последовательности, обратной пуску; при работе системы охлаждения наблюдать за показаниями приборов на трубопроводах масла и воды.

И еще одно требование: маслоохладители и всю аппаратуру можно располагать только в закрытом помещении с плюсовой температурой. В противном случае зимой при остановке трансформатора вода в маслоохладителе может замерэнуть и вывести его из

строя.

Это значительно удорожает систему охлаждения Ц по сравнению с системой ДЦ. Однако, несмотря на это, благодаря существенным техническим и эксплуатационным преимуществам масляно-водяного охлаждения оно все больше вытесняет систему охлаждения ДЦ там, где это возможно в соответствии с местными условиями.

Такая же тенденция наметилась и в области ремонта и модер-

низации трансформаторов.

Так, на Иркутской ТЭЦ № 10 были модернизированы блочные трансформаторы ТДЦГ-180000/110. Система охлаждения ДЦ с охлаждающими устройствами, скомпонованными по схеме № 2 (см. рис. П10-6,в), стала настолько неэффективной, что для поддержания температуры масла под крышкой трансформатора в максимально допустимых пределах персоналу станции приходилось в летние солнечные дни снижать нагрузку блоков (значительный недоот-

пуск электроэнергии).

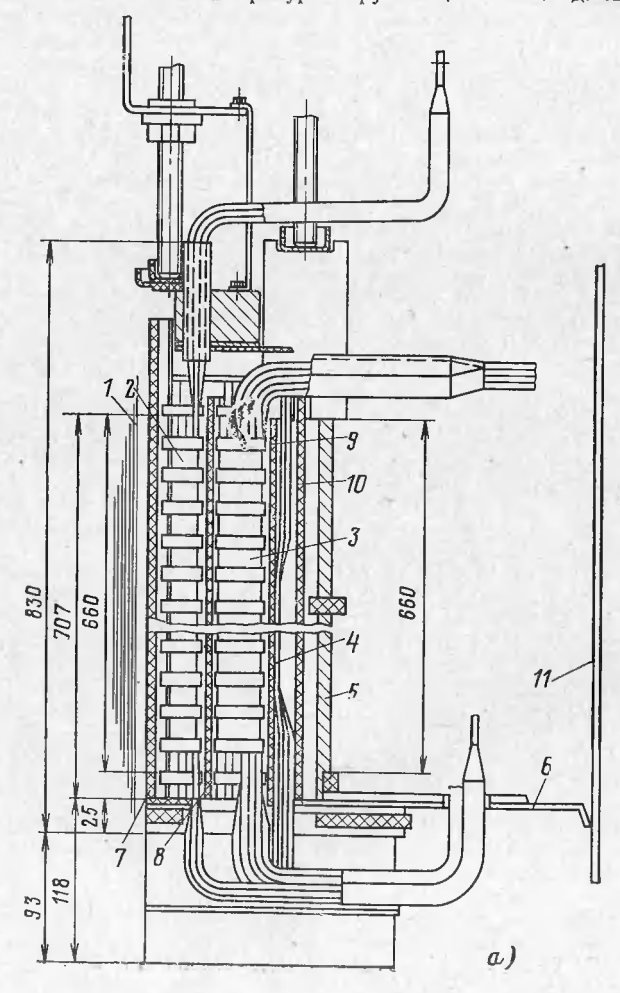
Открытая система водоснабжения на станции была выполнена таким образом, что водоводы для охлаждения турбогенераторов проходят прямо под машинным залом. От этих водоводов и было взято питание водой маслоохладителей (колонки МП-65), установленных в машинном зале на отрицательной отметке. В результате модернизации значительно снижены максимальные температуры масла в баке трансформатора и повышена эксплуатационная надежность системы охлаждения. По этому примеру перевели свои трансформаторы на масляно-водяное охлаждение и ремонтники Братской ГЭС. Там трансформаторы ОДЦГ-210000/500 и ТДЦГ-275000/220 работали с системой охлаждения по схеме компоновки № 6 (см. рис. П10-6,г, алюминиевые охладители). Маслоохладители МП-65

(по два рабочих и одному резервному на трансформатор) были установлены в галерее плотины, вода к ним подведена от направ-

ляющих аппаратов гидротурбин.

Но не на всех электростанциях такой перевод возможен из-за отсутствия помещений, где можно было бы расположить элементы масляно-водяной системы, и места, где их можно было бы построить. Для таких случаев И. М. Райхлиным предложена идея смешанного охлаждения.

Если система охлаждения ДЦ в холодное время тода позволяет трансформатору работать с номинальной нагрузкой, а в теплое время года из-за высокой температуры окружающей и охлажлающей



среды нагрев масла достигает значений, превышающих допустимые иормы, дополнительно к существующей системе охлаждения ДЦ можно установить водяной маслоохладитель для форсирования работы охлаждения только в теплое время года. Такой маслоохладитель может быть установлен вне помещения рядом с трансформатором или в небольшом углублении непосредственно на ОРУ. Осенью вода из маслоохладителя должна сливаться, а весной после небольшой ревизии маслоохладителя он снова должен включаться в работу. Совершенствование горизонтальных маслоохладителей, которые можно чистить без разгерметизации масляной системы, позволит внедрить смещанную систему охлаждения не только при ремонте трансформаторов, но и на опытном образце трансформатора в заводском исполнении.

Охлаждение с иаправленной циркуляцией масла. Бывают случаи, когда обычные циркуляционные системы охлаждения ДЦ и Ц оказываются недостаточно эффективными вследствие того, что в баке трансформатора большая часть циркулирующего масла про-

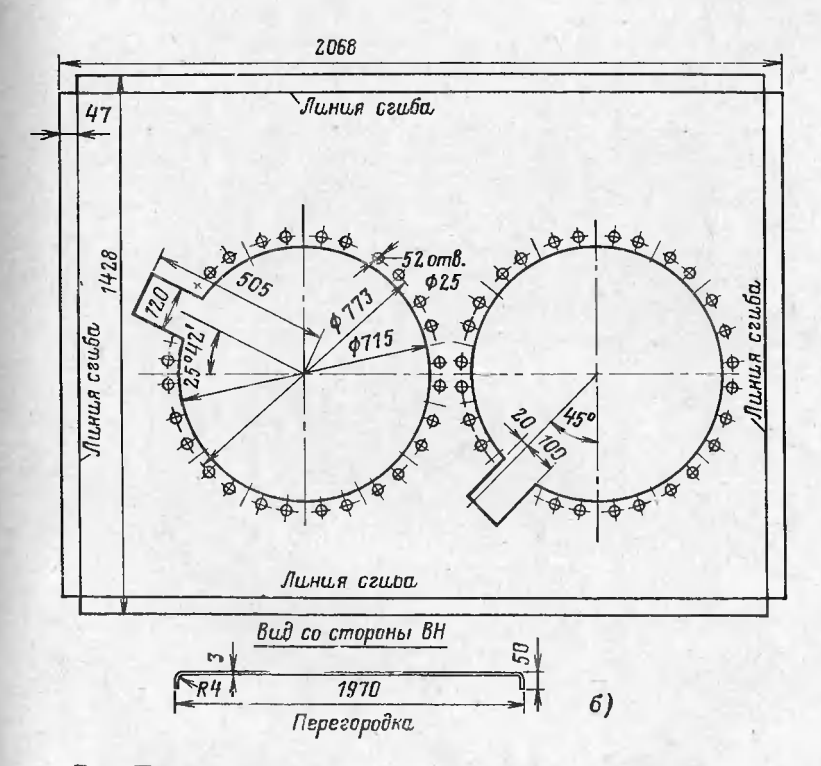
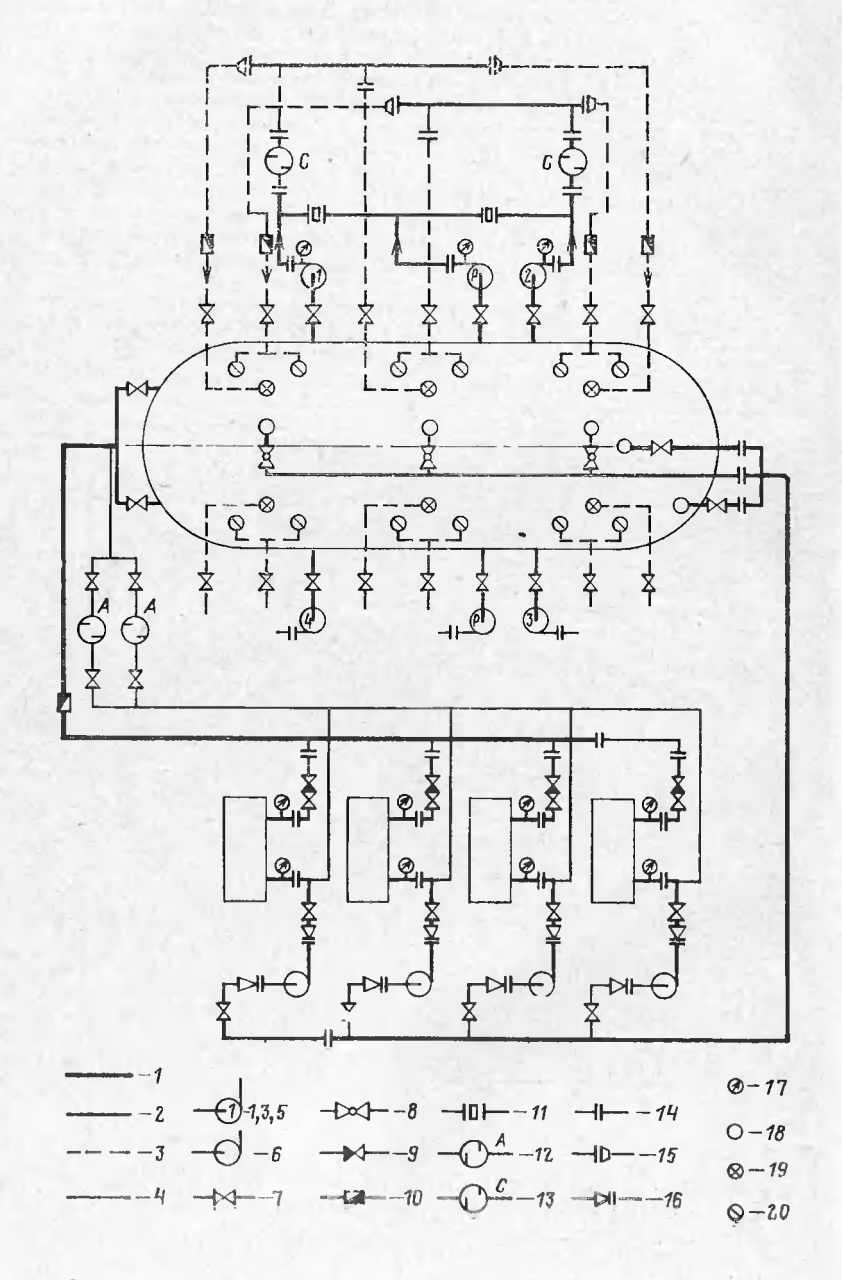


Рис. П10-17. Конструкция активной части трансформатора типа ЭОДЦН-4800/10-72 с направленной циркуляцией масла.

a— монтаж обмоток; b— перегородка; 1— магнитопровод; 2— обмотка PO; b— обмотка BH; d— обмотка PO; b— обмотка HH; b— перегородка; b— обмотка PO; b— обмотка DO; b— обмотка DO; b— обмотка DO; b— обмотка DO; b— перегородка; b— перегородка; b— обмотка DO; b— обмотка DO; b— обмотка DO; b— перегородка; b— перегородка; b— обмотка DO; b— обм



ходит прямо от нижних до верхних патрубков маслопроводов вдоль стенок бака и лишь незначительная часть соприкасается с обмотками и активной частью магнитопровода, отводя тепловые потери.

Эффективность охлаждения резко возрастает, если с помощью конструктивных мер направить поток масла на источники тепла. Такое решение пока не является типовым, а разрабатывается в каждом конкретном случае для определенных трансформаторов.

Рассмотрим конструкцию внутреннего устройства электропечного трансформатора типа ЭОДЦН-4800/10-72 Московского электро-

завода имени В. В. Куйбышева.

При монтаже обмоток (рис. П10-17,а) после насадки на стержим магнитопровода 1 обмоток 2 и 3 устанавливается электрокартонная перегородка 6, все окна которой уплотияются прокладками. За-

тем устанавливаются обмотки 4 и 5.

Бак у трансформатора прямоугольный, колокольного типа. Охлажденное охладителями масло насосами подается в поддон, отделенный от колокола перегородкой (рис. П10-17,6) толщиной 3 мм. Загнутые вниз края перегородки давлением масла прижимаются к стенкам бака, благодаря чему достигается достаточная плотность (масло не может двигаться вдоль стенок бака). Ему приходится двигаться вверх вдоль магнитопровода, а также по каналам основных и регулировочных обмоток ВН (грубой регулировки). Для охлаждения обмоток ВН тонкой регулировки служат 52 отверстия диаметром 25 мм, выштампованные в перегородке равномерно по окружностям вокруг обоих стержней. Обмотка НН выполнена из медной полосы, без витковой изоляции — она охлаждается маслом, омывающим ее витки непосредственно. Отводы охлаждаются маслом, подаваемым принудительно по специальным маслопроводам.

Запорожский трансформаторный завод изготавливает мощные силовые трансформаторы с масляно-водяным охлаждением с иаправ-

ленной принудительной циркуляцией масла.

На рис. П10-18 показана принципиальная схема системы охлаждения трансформатора типа ТЦ-630000/220; вся система как бы состоит из двух независимых систем: из собственно системы охлаждения и системы направленной циркуляции масла. Собственно система охлаждения на базе четырех горизонтальных маслоохладителей и насосов типа ЭЦТ-100/15 выполнена по всем правилам, изложенным выше. Она охлаждает масло во всем трансформаторе. Система изправленной циркуляции состоит из двух одинаковых ветвей с обеих сторон бака трансформатора. Каждая ветвь забирает масло из бака и насосами типа ЭЦТ-160/10 подает его непосредственно к обмоткам ВН и НН каждой фазы. Каждая ветвь имеет два рабочих насоса и один резервный, который может быть введен в работу вместо лю-

Рис. П10-18. Принципиальная схема системы охлаждения трансформатора типа TЦ-630000/220,

I— маслопровод  $D_{\rm y}$ -250; 2— маслопровод  $D_{\rm y}$ -100; 3— маслопровод  $D_{\rm y}$ -100; 4— маслопровод  $D_{\rm y}$ -5; 5— ЭЦТ-160/10 1,3—ВН; 2,4—НН и Р (резервный); 6— ЭЦТ-100/15; 7— задвнжка; 8— кран проходной; 9— клапан обратный; 10— шайба дифференциального манометра; 1I— кран плоский; 12— фильтр адсорбный; 13— фильтр сетчатый; 14— соединенне фланцевое; 15— фланец переходный; 16— конус переходный; 17— манометр; 18— забор масла нз верхней части бака; 19— подвод масла к обмотке ВН; 20— подвод масла к обмотке НН.

бого из рабочих, а также и вместе с рабочими в форсированном режиме работы трансформатора (с допустнмой перегрузкой).

В 1971—1972 гг. уникальную работу, связанную с применением направленной циркуляции масла, провел Сибэнергоремонт при модернизации четырех трансформаторов типа ТДГ-70000/110 на Ново-

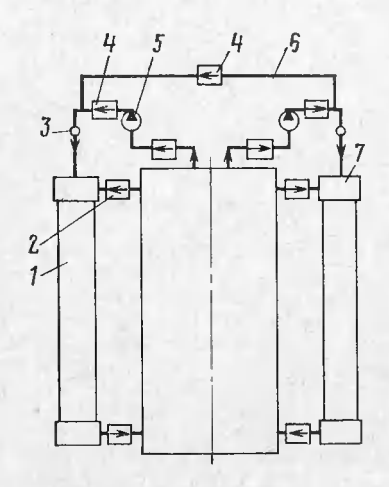


Рис. П10-19. Схема принудительной циркуляции масла через радиаторы.

I и 7 — первая и вторая группы радиаторов; 2 — нормально закрытый плоский кран; 3 — распределительный полукольцевой коллектор; 4 — запвнжки; 5 — масляный насос; 6 — резервный маслопровод.

сибирской ГЭС по проекту ЦКБ Главэнергоремонта [Л. 12]. Обмотки вследствие сильного износа изоляции требовали замены. Мощность трансформаторов надо было повысить для пропуска повышенной в результате модеринзации мощности гидрогенераторов и турбин станции. Повысить мощность трансформаторов обычным путем - заклад-

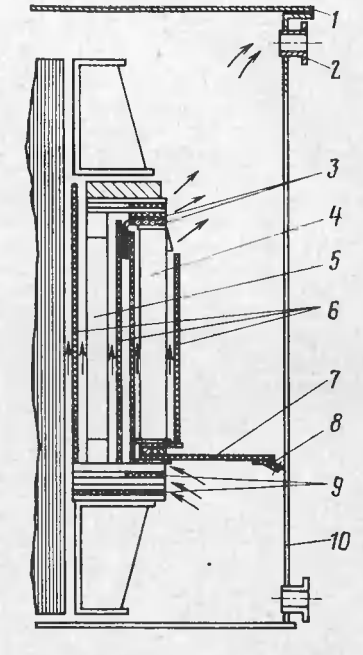


Рис. П10-20. Модернизация активной части трансформатора типа ТДГ-70000/110 с переводом его на охлаждение ДЦ с направленной циркуляцией масла в обмотках. 1— крышка бака; 2— верхний патрубок радиатора; 3— верхняя концевая изоляция обмоток; 4— обмотка ВН; 5— обмотка НН; 6— электрокартонные цилиндры; 7— электрокартонные прегородки относнтельно стенки бака; 9— нижняя концевая нзоляция обмоток; 10— стенка бака трансформатора.

кой большего количества активной стали магнитопровода (или замена сталью лучшего качества) и заменой обмоток с сохранением охлаждения Д не представлялось возможным из-за отсутствия необходимого для этого места в баке трансформатора. Решено было в магнитопроводе ничего не изменять и новые обмотки сохранить в заводском исполнении, а существующую систему охлаждения

Д реконструйровать в систему ДЦ с направленной циркуляцией масла (рис. П10-19). Охладителями служат существующие радиаторы, разбитые на две группы 1 и 7, масло в них подается принудительно двумя насосами 5 типа ЭЦТЭ-160/10. Нижние плоские краны 8 радиаторов открыты всегда, а верхние 2 при работе системы ДЦ закрыты, но при работе трансформатора с пониженной мощностью мотут открываться — тогда при закрытых задвижках 4 системы ДЦ работает система Д.

Для направления потока масла в обмотки и к стержням магнитопровода внесены изменения в конструкцию нижней и верхней концевой изоляции обмоток, а также установлены заградительный щит 7 с уплотнением 8 по периметру стенки бака и электрокартонные

цилиндры 6 (рис. П10-20).

Блатодаря повышению расхода масла через каждый радиатор в 5 раз по сравнению с расходом при естественной циркуляции и правильному выбору размеров каналов, подводящих масло к обмоткам и магнитопроводу (чтобы расход масла через обмотки и магнитопровод был примерно пропорционален тепловым потерям в этих обмотках и магнитопроводе), удалось снизить превышения температур наиболее горячих точек обмоток над температурой воздуха более чем на 15 °C. Согласно результатам тепловых испытаний этих трансформаторов после модернизации превышение температуры верхних слоев масла уменьшено также более чем на 15 °C и составляет около 40 °C, а перепад температуры масла по высоте бака не превышает 4—5°C.

# их признаки, возможные причины и способы выявления) основные виды повреждений трансформаторов

| Способы выявления повреждений |  |
|-------------------------------|--|
| Возможные причины повреждений |  |
| Признаки повреждений          |  |
| Основные виды повреждений     |  |

## Магнитопровод

Дефект изоляции пла-

Нагревы, вызываемые вихрезыми токами или токами в короткозамкнутых контурах, образующимися в результате наруналичия забоин и т. п., а также нарушения схемы заземления. Влага, которая конденсипопадает на верхнее ярмо, прозикает между пластинами магнитопровода в виде водомасляной эмульсии (смеси влаги с изоляцию пластин и вызывает коррозию стали магнитопровода Наличие посторонных металлических или токопроводящих частиц, замыкающих в данном месте пластины магнитопровода. Касание какой-либо металгорячим маслом), разрушает пения изоляции магнитопровода, руется на поверхности масла, ла. Специфический резкий Ухудшение состояния масда (понижение температуры вспышки, повышенная кисреле и работа газовой защиты на сигнал. Понижение температуры вспышки мас-Появление газа в газовом лотность). Увеличение терь холостого хода

1. Внешний осмотр при вынутой активной части
2. Специальные испытания:
замер потерь холостого ходапри зашихтованном ярме с контрольной обмоткой; замер напряжений между крайнимя пластинами и пакстами возбужденного магнитопровода
3. Анализ масла

4. Проверка изоляции стяжных шпилек или бандажей мегаомметром

То же

лической частью стержня в двух

запах и темный цвет масла

замыкание

пластин и "пожар" в маг-

Местное пластин и "г нитопроводе

|    | Способы выявления повреждений      |                                                                                                                                                                                                     | 1. Внешний осмотр актив-<br>ной части<br>2. Проверка напряжения,<br>подаваемого на трансформа-<br>тор                                                                                                                                                                                  | Внешний осмотр заземлений при вынутой активной части 1. Проверка потерь и тока холостого хода 2. Внешний осмотр при вынутой активной части                                                                                        |
|----|------------------------------------|-----------------------------------------------------------------------------------------------------------------------------------------------------------------------------------------------------|----------------------------------------------------------------------------------------------------------------------------------------------------------------------------------------------------------------------------------------------------------------------------------------|-----------------------------------------------------------------------------------------------------------------------------------------------------------------------------------------------------------------------------------|
|    | Возможные причины позреждений      | точках. Местное повреждение изоляции пластин, вызывающее замыкание пластин магнитопросоздающее короткозамкнутый контур. Разрушение или отсутствие изолирующих прокладок в стыках стыковой магнитной | системы трансформатора Ослабление прессовки матин- топровода. Самопровавольное разболчивание и свободное ко- лебание крепежных деталей. Колебание отстающих крайних пластин матинтопровода в стерж- нях или ярмах. Ослабление прессовки стыков. Пробой или разрушение изолирующих про- | кладок в стыках Ослабление крепления или механические повреждения за- земления Плохая пихтовка. Толщина прокладок в стыках при стыко- вой магнитной системе транс- форматоров IV—VI габаритов больше I мм                         |
|    | Признаки повреждений               | вследствие его разложения<br>(крекинг-процесс). Повыше-<br>ние потерь и тока холосто-<br>го хода                                                                                                    | Ненормальное гудение, дребезжание, жужжание при шихтованной магнитной системе трансформатора. Немовой магнитной системе трансформатора                                                                                                                                                 | Обрыв заземления Торансформатора при повы-<br>Увеличены зазоры в сты-<br>ках между пластинами го хода при нормальных по-<br>активной части. Завыше-<br>на толщина прокладок в<br>стыках ярм и колонн в<br>стыковом магнитопроводе |
| 6— | сь<br>сь Основные аиды повреждений |                                                                                                                                                                                                     | Повышенная внбрация<br>магнитопровода                                                                                                                                                                                                                                                  | Обрыв заземления  Увеличены зазоры в стм- ках между пластинами активной части. Завыше- сл на толщина прокладок в стыках ярм и колонн в стыковом магнитопроводе                                                                    |

| to boom of the month of the | Способы выявления повреждений |                                                                                                                                                                                        | двух других т. Проверка метаомметром изоляции между обмотками и корпусом 2. Испытание масла на электрическую прочность и его химический анализ                                                                 |
|-----------------------------|-------------------------------|----------------------------------------------------------------------------------------------------------------------------------------------------------------------------------------|----------------------------------------------------------------------------------------------------------------------------------------------------------------------------------------------------------------|
|                             | Возможные причины повреждений | Отгорание выводных концов вследствие электродинамических усилий при коротких замыканий. Некачественная пайка проводов. Выгорание части витков вследствие виткового замыкания в обмотке | Работа газовой, максималь-<br>ной токовой и дифференци-<br>альной запиты. Выброс мас-<br>ла через предохранительную мов, мятых неровных краев,<br>а также наличия пыли, ворси-<br>нок и т. п. Касание края ци- |
|                             | Признаки повреждений          | Работа газовой зашиты<br>вследствие дуги, возникаю-<br>шей в месте обрыва и раз-<br>лагающей масло                                                                                     | Работа газовой, максималь-<br>ной токовой и дифференци-<br>альной запиты. Выброс мас-<br>ла через предохранительную<br>трубу                                                                                   |
|                             | Основные виды повреждений     | Обрыв в обмотках                                                                                                                                                                       | Пробой на корпус                                                                                                                                                                                               |
| 6*                          |                               |                                                                                                                                                                                        | 500                                                                                                                                                                                                            |

| 4  |                                                                                                      |                                                                                                                     |                                                                                                                                                                                                                                                                                       |                                                                                                                                                                            |
|----|------------------------------------------------------------------------------------------------------|---------------------------------------------------------------------------------------------------------------------|---------------------------------------------------------------------------------------------------------------------------------------------------------------------------------------------------------------------------------------------------------------------------------------|----------------------------------------------------------------------------------------------------------------------------------------------------------------------------|
|    | Основные виды повреждений                                                                            | Признаки повреждений                                                                                                | Возможиъе причины повреждений                                                                                                                                                                                                                                                         | Способы выявления повреждений                                                                                                                                              |
|    |                                                                                                      |                                                                                                                     | линдра или барьера металли-<br>ческих частей прессующего<br>устройства, в результате чего<br>может возникнуть ползучий<br>электрический разряд по изоля-<br>ции из электрокартона. Пони-<br>жение уровня масла. Попада-<br>ние влаги или грязи внутрь<br>грансформатора. Перенапряже- | 3. Внешний осмотр актив-<br>ной части                                                                                                                                      |
| 0) | Междуфавное короткое<br>замыкание обмотки                                                            | Работа газовой, максималь-<br>ной токовой и дифференци-<br>альной зациты. Выброс мас-<br>ла через предохранительную | мин. Коротких замыжана солоток при<br>Причины те же, что и при<br>пробое на корпус; кроме того:<br>а) замыкание на отводах; б) за-<br>мыкание на вводах                                                                                                                               | 1. Внешний осмотр при вы-<br>нутой активной части<br>2. Проверка мегаомметром                                                                                              |
|    | Замыкание параллель-<br>ных проводов в витках<br>непрерывной обмотки,<br>близких к ее началу или     | труоу<br>Увеличение потерь холо-<br>стого хода при нормальном<br>токе холостого хода                                | Причины те же, что и при<br>межвитковом замыкании                                                                                                                                                                                                                                     | 1. Внешний осмотр мест подгаров изоляции витков при вынутой активной части 2. Пофазные измерения по-                                                                       |
|    | концу<br>Замыкание параллель-<br>ных проводов в витках<br>винтовой обмотки в мес-<br>те транспозиции | Увеличение потерь корот-<br>кого замыкания                                                                          | Уравнительные токи в замк-<br>нутых контурах                                                                                                                                                                                                                                          | терь и токов холостого хода  1. Внешний осмотр мест потемнений и подгаров изо- ляции витков при вынутой активной части  2. Пофазные измерения по- терь короткого замыкания |

|                                                                                                                                                          | Переключающие устройства                                                                                                         | Переключа                                                                                          |                                                                                |
|----------------------------------------------------------------------------------------------------------------------------------------------------------|----------------------------------------------------------------------------------------------------------------------------------|----------------------------------------------------------------------------------------------------|--------------------------------------------------------------------------------|
| ния 3. Внешний осмотр мест- потемнений, подгаров и раз- рушений изолящии витков при- вынутой активной части                                              |                                                                                                                                  |                                                                                                    |                                                                                |
| рущении изоляции витков привынутой активной части 1. Измерение сопротивления обмоток постоянному току 2. Измерение потерь и наприжения колоткого замыка- | Причины те же, что при об-<br>рыве в обмотках                                                                                    | Обрыв одного или не- скольких парадлельных кого замыкания, а также на- проводов в витке обмот- ния | Обрыв одного или не-<br>скольких параллельных<br>проводов в витке обмот-<br>ки |
| 1. Проверка прибором По-<br>розова<br>2. Внешний осмотр мест<br>потемнений, подгаров и раз-                                                              | Уравнительные токи между 1. Проверка прибором По-<br>парадлельными ветвями 2. Внешний осмотр мест<br>потемнений, подгаров и раз- | Параллельные соедине-<br>ния катушек с неравным ток от уравнительных токов<br>колачеством витков   | Параллельные соедине-<br>ния катушек с неравным<br>количеством витков          |
| Способы выявления повреждений                                                                                                                            | Возможные причины повреждений                                                                                                    | Признаки повреждений                                                                               | Основные виды повреждений<br>—253                                              |
| Продолжение прилож. 11                                                                                                                                   |                                                                                                                                  |                                                                                                    |                                                                                |

Дефекты конструкции или в и упругость нажим-кин), Повышенный наблизких коротких запедостаточное нажатие сверхтоков, возникаю-

утрь трансформатора. Нутой активной части пряжения. Попадание

иутой активной части 2. Проверка мегаомметром при наличии обрыва 3. Измерение сопротивле-1. Внешний осмотр при вы-

ний постоянному току на всех ответвлениях

1. Внешний осмотр при вы-

| 2         |
|-----------|
| -         |
|           |
|           |
| 50        |
| ~         |
| MON.      |
| _         |
| 8         |
| na        |
| 2         |
| ₹2,       |
| nau       |
| -         |
| _         |
| 0         |
| 3         |
| 577       |
| опна.     |
| 20        |
| *         |
| 0         |
| DHCI      |
|           |
| 0         |
| ороа      |
| ŏ         |
| $\approx$ |
| 2         |
| <b>.</b>  |
|           |

| п росолжение приложе. П | Способы выявления повреждений | 2. Проверка мегаомметром                                                              | 1. Внешний осмотр 2. Отсоединение ввода въ                   | омметром н<br>Внешний осмотр                | Внешний осмотр                                                       | 1. Внешний осмотр 2. После стема вводаї опу-                                           | стить фагфор в масло на не-<br>сколько часов, затем тща-<br>тельно протерсть поверхность.<br>Тряпками, опылить зубным по- | рошком и нагреть до 40—50°С—из трешин выступит-<br>масло<br>Внешний осмотр | Измерение температуры на-<br>грева фланца |
|-------------------------|-------------------------------|---------------------------------------------------------------------------------------|--------------------------------------------------------------|---------------------------------------------|----------------------------------------------------------------------|----------------------------------------------------------------------------------------|---------------------------------------------------------------------------------------------------------------------------|----------------------------------------------------------------------------|-------------------------------------------|
|                         | Возможные причины повреждений | Дефекты в изолирующих частях <sup>8</sup><br>(трещины, изломы и т. п.)                |                                                              | ности изолятора Попадание посторонних пред- | метов на вводы Ослабление затяжки болтов. Дефектная уплотняющая про- | кладка<br>Дефекты в армировке (тре-<br>щины и т. п.). Трешина в фар-<br>доле изопатого | форе изолятора, скрытая арми-<br>ровочной массой (просачивание<br>масла через армировочные швы)                           | Пробой фарфора вследствие<br>лефекта в самом фарфоре                       | Вихревые токи, нагревающие металл         |
|                         | Признаки повреждений          | ковой защит. Выброс масла<br>через предохранительную<br>трубу                         | Работа максимальной то-<br>ковой и дифференциальной<br>защит | То же                                       | Течь масла в местах<br>уплотнений                                    | Течь масла в месте арми-<br>ровки ввода                                                |                                                                                                                           | Появление трещин                                                           |                                           |
| 6                       | Основные виды повреждений     | ветвлениями (дефект ана-<br>логичен междуфавному<br>короткому замыканию об-<br>моток) | Пробой на корпус                                             | Перекрытие между вво-                       | Негерметичность уплот-<br>нений                                      | Некачественная арми-<br>ровка ввода                                                    |                                                                                                                           | Нагрев фарфоровых<br>вводов                                                | Нагревы стального<br>фланца ввода         |

| 10 HC     |  |
|-----------|--|
|           |  |
|           |  |
|           |  |
|           |  |
|           |  |
| nd u      |  |
|           |  |
|           |  |
|           |  |
|           |  |
|           |  |
|           |  |
|           |  |
|           |  |
|           |  |
|           |  |
|           |  |
|           |  |
|           |  |
|           |  |
|           |  |
|           |  |
|           |  |
|           |  |
|           |  |
|           |  |
| экение    |  |
|           |  |
| 2         |  |
|           |  |
|           |  |
|           |  |
| $\approx$ |  |
|           |  |
|           |  |
|           |  |
|           |  |
|           |  |
|           |  |
| ğ         |  |
|           |  |
| bood.     |  |
|           |  |
| 7         |  |
|           |  |
|           |  |
|           |  |
|           |  |
|           |  |

| 37  |                                                                    |                                                                  |                                                                                                  | 11 poodsmenue npusom. 1                                                                                               |
|-----|--------------------------------------------------------------------|------------------------------------------------------------------|--------------------------------------------------------------------------------------------------|-----------------------------------------------------------------------------------------------------------------------|
| •   | Основные вяды повреждений                                          | Признаки повреждений                                             | Возможные причины повреждений                                                                    | Способы выявления повреждений                                                                                         |
|     | Негерметичность уплот-                                             | Бак, радиат<br>Негерметичность уплот- Течь масла в местах уплот- | Бак, радиаторы, расширитель естах уплот- Ослабление затяжки болгов. Дефектность уплотняющих про- | Внешний осмотр                                                                                                        |
|     | 1                                                                  | Течь масла через швы, трещины и т. п.                            |                                                                                                  | Виешний осмотр                                                                                                        |
|     |                                                                    | Трансфор                                                         | Трансформаторное масло                                                                           |                                                                                                                       |
|     | Ненормальное повыще-<br>име температуры масла<br>и местные нагревы | 1                                                                | в системе о<br>имер, закрыт<br>ны; вышли<br>вентиляторы<br>зансформатор                          | 1. Проверка работы системы охлаждения 2. Проверка нагрузки и соответствия температуры масла данной нагрузке (по запи- |
|     |                                                                    |                                                                  | Бнутре ние повреждения в<br>траисформаторе                                                       | сям в журнале)<br>3. Обследование активной части                                                                      |
|     | Ухудшение качества<br>масла                                        | 1                                                                | Внутренние повреждения, со-<br>провождающиеся крекинг-про-                                       | 1. Анализ масла 2. Анализ выделяемых мас-                                                                             |
|     |                                                                    |                                                                  | дукты разложения масла растворительном масле,                                                    | 3. Обследование активнова части                                                                                       |
|     |                                                                    |                                                                  | в результате чего понижается температура вспышки масла. Внутренние повреждения, со-              |                                                                                                                       |
|     |                                                                    |                                                                  | провождающиеся разложением масла дугой (выделяемые при                                           |                                                                                                                       |
| 567 |                                                                    |                                                                  | водород и метан)                                                                                 |                                                                                                                       |

| Основные виды повреждений | Признаки повреждений                   | Возможные причины повреждений                                                                                                                                                          | Способы выявления повреждений                                                                                                                                                                                                                                                                             |
|---------------------------|----------------------------------------|----------------------------------------------------------------------------------------------------------------------------------------------------------------------------------------|-----------------------------------------------------------------------------------------------------------------------------------------------------------------------------------------------------------------------------------------------------------------------------------------------------------|
| 1                         | Работа газовой защиты на<br>сигнал     | Попадание воздуха в реле. Медленное понижение уровня масла. Внутренние повреждения, сопровождающиеся крекинт-процессом. Короткое замы-кание, вызвавшее толчок масла через газовое реле | 1. Анализ газов на количество, цвет, запах, горючесть. Если газ без цвета, запах ин не горит, значит, в реле полал воздух; если газ горит—имеется внутреннее повреждение в грансформаторе (по-количеству газа судят о размере повреждения: бело-серый—бумага и электрокартон, желтый—дерево, черный—масло |
|                           | Работа газовой защиты на<br>отключение | Резкое понижение уровня масла. Внутрение повреждения, сопровождающиеся сильным вы-                                                                                                     | 3. Внешний осмотр и вы-<br>яснение причины снижения<br>уровня масла<br>То же                                                                                                                                                                                                                              |
|                           |                                        |                                                                                                                                                                                        |                                                                                                                                                                                                                                                                                                           |

Примечание. В приложении приведены только основные, наиболее характерные неисправности и дефекты трансформаторов, с кото-

# ПРИЛОЖЕНИЕ 12

# ВИДЫ ИСПЫТАНИЙ ДЛЯ ВЫЯВЛЕНИЯ НЕИСПРАВНОСТЕЙ

|                                            | Выявление и уточнение<br>иенсправности | Разборка и осмотр обмоток и изоляции                                                                   | Определение метаомметром 2500 В коэффициента абсорбщим $R_{60}/R_{1s}$ (удовлетворительное значение при $\Theta = 10 \div 30^{\circ}$ С, при напряжении 35 кВ и ниже не менее 1,3; при напряжении 110 кВ и выше — не менее 1,5) | Проверка увлажненности прибором контроля влажности (ПКВ) и определение отношения $C_2/C_{50}$ , а также $\Delta C/C$ (удовлетворительное значение $C_2/C_{50}$ при $\theta$ = $= 20^{\circ}$ C, при напряжении 35 кВ и ниже не более 1,2) |
|--------------------------------------------|----------------------------------------|--------------------------------------------------------------------------------------------------------|---------------------------------------------------------------------------------------------------------------------------------------------------------------------------------------------------------------------------------|-------------------------------------------------------------------------------------------------------------------------------------------------------------------------------------------------------------------------------------------|
| AND MAINTAINE HIM BEINDIERNA RENCHABROCIEN | Возможиме неисправности                | Пробой на корпус, пробой<br>между обмотками                                                            | Увлажнение изоляции                                                                                                                                                                                                             |                                                                                                                                                                                                                                           |
| ביוקים ווכווסוואווין קיוא פט               | Результат испытания                    | Сопротивление изоляции равно нулю                                                                      | Недостаточное сопротив-<br>ление изоляции или сниже-<br>ние его по сравнению со зна-<br>чениями замеров при той же<br>температуре более чем на<br>40%                                                                           |                                                                                                                                                                                                                                           |
|                                            | Вид испытания                          | Измерение сопротивления изоляции обмоток по отно-<br>шению к корпусу и между собой мегаомметром 2500 B | То же                                                                                                                                                                                                                           |                                                                                                                                                                                                                                           |

| Продолжение прилож. 12 | Выявление и уточнение<br>неисправности | Отсоединить вводы от об-<br>моток и замерить отдельно<br>мегаомметром сопротивления<br>изолящии обмоток и каждого<br>ввода по отношению к кор-<br>пусу | Замер сопротивлений по-<br>стоянному току во всех по-<br>ложениях переключателя                                                  | Проверить осмогром при вынутой активной части со-<br>стояние контактов переклю-<br>чателя, а также правиль-<br>ность присоединения регули-<br>ровочных ответьлений к пе-<br>реключающему устройству                |
|------------------------|----------------------------------------|--------------------------------------------------------------------------------------------------------------------------------------------------------|----------------------------------------------------------------------------------------------------------------------------------|--------------------------------------------------------------------------------------------------------------------------------------------------------------------------------------------------------------------|
|                        | [Возможные ненсправности               | Повреждение изолятора<br>ввода                                                                                                                         | Обрыв иля плохой контакт<br>в цепи обмотки                                                                                       | Плохой контакт в пере- ключающем устройствэ. Не- правильное присоединение отводов к переключающему устройству. Этот дефект в работавшем грансформаторе не бывает, но он наблюда- егся при испытаниях после ремонта |
|                        | Результат испытания                    | Разница в сопротивлениях изоляции (уменьшение у од-<br>ной из обмоток), а также между обмотками                                                        | Мегаомметр вместо нуля показывает бесконечность нли какое-то значение                                                            | Значительный разброс по-<br>казаний на разных ступенях<br>переключающего устройства                                                                                                                                |
|                        | Вид испытания                          | Измерение сопротивления изоляции обмоток по отно-<br>шению к корпусу и между собой мегаомметром 2500 В                                                 | Измерение сопротивления между линейным вводом и нулем при звезде или между началом и концом обмотки метаомметром 1000 или 2500 В | Измерение сопротивления постоянному току каждой обмотки при всех положениях переключающего устройства при помощи моста или метра                                                                                   |
| 570                    |                                        |                                                                                                                                                        |                                                                                                                                  |                                                                                                                                                                                                                    |

| ние                                 | осмотром актив-<br>остояние доступ-<br>вв и паек, а так-<br>не обрывов. Про-<br>азное измерение<br>й постоянному<br>соединенными и<br>ими вводами,<br>ими вводами,<br>при пониженном<br>(5—10% номи-<br>сервый — при за-<br>вной фазе В и<br>я закороченной<br>рис. 11-23). Если<br>пример, фаза А,<br>ва закорачивании<br>большого тока,<br>и случаях будут<br>и (гл. 11)                                                                                                                                                                                                                                                                   | ое изме-<br>рить ли-<br>г транс-                                                                                                                                                            |
|-------------------------------------|----------------------------------------------------------------------------------------------------------------------------------------------------------------------------------------------------------------------------------------------------------------------------------------------------------------------------------------------------------------------------------------------------------------------------------------------------------------------------------------------------------------------------------------------------------------------------------------------------------------------------------------------|---------------------------------------------------------------------------------------------------------------------------------------------------------------------------------------------|
| Выявление и уточнение неисправности | Проверить осмотром актив-<br>ной части состояние доступ-<br>ных контактов и паск, а так-<br>же отсутствие обрывов. Про-<br>завести пофазное камерение<br>сопротивлений постоянному<br>току с присоединенными и<br>отсоединенными вводами.<br>Произвести три специальных<br>испытания при пониженном<br>напряжении (5—10% номи-<br>нального): первый — при за-<br>короченной фазе А, второй —<br>при закороченной фазе В и<br>третий — при закороченной<br>фазе С (см. рис. 11-23). Если<br>дефектна, например, фазе В,<br>то только при закорачивании<br>ее не будет большого тока,<br>в двух других случаях будут<br>боль шне токи (гл. 11) | Произвести пофазное изме-<br>рение группы; проверить ли-<br>нейный коэффициент транс-<br>формации                                                                                           |
| Возможные неисправности             | Плохой контакт в местах присоединений концов обмоток и отводам, а также отводов к вводам. Плохая пайжа. Обрыв в цепи обмотки. Межвитковое замыкание                                                                                                                                                                                                                                                                                                                                                                                                                                                                                          | Получаемые результаты Вывернута одна из обмо-<br>не соответствуют ни одной ток на одной фазе (перепу-<br>группе. Этого дефекта в ра-<br>ботающем трансформаторе или начало и конец обмотки) |
| Результат испытания                 | Разница в показаниях со-<br>противлений обмоток отдель-<br>ных фаз больше чем 2—3%                                                                                                                                                                                                                                                                                                                                                                                                                                                                                                                                                           | Получаемые результаты не соответствуют ни одной группе. Этого дефекта в ра-<br>ботающем грансформаторе                                                                                      |
| Вид испытания                       | Измерение сопротивления постоянному току каждой обмотки при всех положениях переключающего устройства при помощи моста или методом амперметра и вольтметра                                                                                                                                                                                                                                                                                                                                                                                                                                                                                   | Проверка группы соедине-<br>ний обмоток                                                                                                                                                     |

| Выявление и уточнение непоправности |                                                                       | корачивании пытание при вынутой актив-<br>одалось уве- ной части до появления ды-<br>ма или обнаружения мест-<br>ного повышенного нагрева,<br>принимая при этом меры по-<br>жарной безопасности | Наличие короткозамк-  о контура через бан- и систему креплений дажей мегаомметром 2500 В, нерез неправильно вы- нере зазамление;  Межвитковое замыка- кание | ия пластин Произвести специальные испытания магнитопровода (см. гд. 7) |
|-------------------------------------|-----------------------------------------------------------------------|-------------------------------------------------------------------------------------------------------------------------------------------------------------------------------------------------|-------------------------------------------------------------------------------------------------------------------------------------------------------------|------------------------------------------------------------------------|
| Возможные неисправности             | на-                                                                   | В Витковое замыкание в об-<br>нию мотке, при закорачивании<br>которой не наблюдалось уве-<br>личенного тока                                                                                     | a) HyTOr Aaж HJM 1 ПОЛНе 6)                                                                                                                                 | ние Плохая изоляция пластин                                            |
| Результат испытания                 | не может быть, но он на-<br>блюдается при испытаниях<br>после ремонта | Значительные токи в<br>двух опытах по сравнению<br>с третьим                                                                                                                                    | Значительно завышенные<br>ток и потери холостого хо-<br>да                                                                                                  | Значительное увеличение потерь холостого хода                          |
| Вид испытания                       |                                                                       | Три специальных испыта-<br>иия с поочередным закорачи-<br>ванием одной из фаз (см.<br>г.т. 7)                                                                                                   | Опыт холостого хода по<br>схеме двух ваттметров при<br>номинальном иапряжении                                                                               | То же                                                                  |

| 11 poods menue upanom. 12 | Выявление и уточнение непсправности | Внешний осмотр стыков<br>при вынутой активной части,<br>а также проверка и опреде-<br>ление сечения ярма                                            | Измерить сопротивления постоянному току во всех положениях переключающего устройства с присоединенными и отсоединенными вво-дами | Произвести три отдельных опыта короткого замкнуть накоротко обмотку ИИ и подвести поочередно напряжение на вводамер потерь дару фаз. В двух опытах дефектная фаза участвует и дает завышеные потери по сравнению с третым опытом, в котором она не участвует |
|---------------------------|-------------------------------------|-----------------------------------------------------------------------------------------------------------------------------------------------------|----------------------------------------------------------------------------------------------------------------------------------|--------------------------------------------------------------------------------------------------------------------------------------------------------------------------------------------------------------------------------------------------------------|
|                           | Возможные неноправности             | Плохая сборка стыков маг-<br>нитопровода. Неполное се-<br>чение верхнего ярма из-за<br>недостачи значительного чис-<br>ла пластин при шихтовке      | Плохой контакт на вво-<br>дах, в переключающем ус-<br>гройстве или в схеме                                                       | Обрыв одной из параллель-<br>ных ветвей обмоток. Непра-<br>вильное выполнение транспо-<br>зиций. Намотка обмотки из<br>провода меньшего сечения,<br>чем по расчету                                                                                           |
|                           | Результат испытания                 | Значительно завышенный ток холостого хода, Этого дефекта у работающего трансформатора не может быть, но он наблюдается при испытаниях после ремента | Завышенное напряжение<br>короткого замыкания                                                                                     | Завышенные потери короткого замыкания                                                                                                                                                                                                                        |
|                           | Вид испытания                       | Олыт холостого хода по схеме двух ваттметров при номинальном напряжении                                                                             | Опыт короткого замыка-<br>ния                                                                                                    | То же                                                                                                                                                                                                                                                        |

### ПАЙКА И СВАРКА ПРОВОДНИКОВЫХ МАТЕРИАЛОВ

Пайка алюминия и его сплавов. Для лужения и пайки применяются следующие припои: цинково-кадмиевый ПЗ00А; оловянноцинковые П200А и П250А и алюминиевые З4А, П575А и П425А. Цифры в обозначении марки припоя указывают температуру окончания плавления припоя.

Химический состав и физико-механические свойства этих при-

поев даны в табл. П13-1.

Для сращивания алюминиевых проводов круглого и прямоугольного сечения при намотке обмоток трансформаторов рекомендуется отдавать предпочтение припою П300А, для припайки гибких медных

отводов ВН и СН — припои П250А и П200А.

Для лужения и пайки шинных отводов НН из алюминия и его сплавов АМг, Д16 и пр. рекомендуются алюминиевые припои. Пайку этими припоями ведут горячим способом с применением флюсов Ф59А и 34А.

Флюс Ф59А имеет следующий химический состав, %:

| Кадмий борфторид (ВТУ ГКХ 1527-61). |  |  | . 10 |
|-------------------------------------|--|--|------|
| Цинк борфторид (ТУ ГКХ 1528-61)     |  |  | . 3  |
| Аммоний борфторид (ВТУ ГКХ 1526-61) |  |  |      |
| Триэтаноламин (ТУ МХП 1931-49)      |  |  | . 82 |

Флюс приготовляется следующим способом. Борфториды кадмия и цинка помещают в одну фарфоровую ступку, а борфторид аммония — в другую. Затем в каждую из ступок добавляют понемногу триэтаноламина. Эти смеси тщательно растирают в течение 10 мин, после чего в каждую из ступок разливают поровну остальное количество триэтаноламина и все тщательно перемешивают в течение 4 ч. Для длительного перемешивания смесей рекомендуется использовать механическую мешалку. Раствор борфторидов кадмия и цинка в триэтаноламине вливают в раствор борфторида аммония в триэтаноламине и готовый флюс дополнительно перемешивают в течение 20—30 мин.

Особенно эффективно применение флюса Ф59А при пайке оловянно-цинковыми припоями, менее эффективно — припоем П300А.

Флюс 34А имеет следующий химический состав, %:

| Калий хлористый (ГОСТ 4568-65) . |  |  |  | . 50+6  |
|----------------------------------|--|--|--|---------|
| Литий хлористый (ГУЦМ 3043-51)   |  |  |  | .32 + 6 |
| Цинк хлористый (ГОСТ 4529-69) .  |  |  |  |         |
| Натрий фтористый (ГОСТ 2871-67)  |  |  |  | .10+1   |

Температура плавления флюса равна 420 °C.

Все компоненты этого флюса, кроме хлористого цинка, перед его приготовлением тщательно просушьвают. Хлористый калий сушат при 110—150 °С в течение 3 ч на противне из нержавеющей стали и затем измельчают. Хлористый литий сушат при 100—120 °С в течение 5—6 ч, измельчают, а затем сушку продолжают при 150 °С. После этого соль расплавляют и выдерживают около 3 ч при 300 °С. Фтористый натрий сушат при 110—150 °С в течение 3 ч. Хлористый цинк расплавляют и после затвердевания разбивают на куски. Подготовленные составляющие, кроме хлористого цинка, расплавляют в электропечи при 600—650 °С. После расплавления

Припои для пайки алюминия и его сплавов между собой и с медью и ее сплавами

|              |          |       | Хими  | Химический состав, % | 3, %                                         |              |        |                              | Физико           | -механичес                   | Физико-механические свойства | Ba                          |
|--------------|----------|-------|-------|----------------------|----------------------------------------------|--------------|--------|------------------------------|------------------|------------------------------|------------------------------|-----------------------------|
| Марка        |          |       | Компс | Қомпоненты           |                                              |              | Bcero  | Температура<br>плавления, °С | латура<br>ия, °С | Плот-                        | Коэффи-<br>циент<br>линейно- | Удельное<br>электриче-      |
| ronndir<br>o | Алючиний | Олово | Медь  | Цинк                 | Кадмий                                       | Кремний      | приме- | начало                       | конец            | HOCT'B,<br>KT/M <sup>3</sup> | го рас-<br>ширения,<br>Х10-6 | ское сопротивление,<br>Ом.м |
| Ť            |          |       |       |                      | Цинково-кадмие вый                           | садмие вы    | 279    |                              |                  |                              |                              |                             |
| П300А        | 1        | 1     | 1     | 59—61                | 59-61   39-41   -   0,045   266   310   7730 | 1            | 0,045  | 266                          | 310              | 7730                         | I                            | 67.10-3                     |
|              |          |       |       |                      | Оловянно-цинковые                            | -цинковые    | 6.     |                              |                  |                              |                              |                             |
| П250A        | 1        | 79—81 | 1     | 19—21                | 1                                            | 1            | 0,150  | 200                          | 250              | 7300                         | 1                            | 106.10-3                    |
| 11200A       | 1        | 89—91 | I     | 9—11                 | 1                                            | 1            | 0,150  | 199                          | 210              | 7320                         | 1                            | 110.10-3                    |
|              |          |       |       |                      | Алюми                                        | Алюминие выр |        |                              |                  |                              |                              |                             |
| 34A .        | 65—67    | 1     | 27-29 | 1                    | 1                                            | 5-7          | 0,450  | 525                          | 525              | 3300                         | 1                            | 1                           |
| II575A       | 79—81    | 1     | 1     | 19—21                | Ī                                            | 1            | 0,450  | 550                          | 575              | 3080                         | 6,92                         | 1                           |
| П425А        | 19—21    | 1     | 14—16 | 64—66                | 1                                            | 1            | 0,420  | 415                          | 425              | 2200                         | 26,0                         | 81.10-3                     |
| 75           |          |       |       |                      |                                              |              |        |                              |                  |                              |                              |                             |

температуру в печи снижают до 450—500 °С и к смеси прибавляют хлористый цинк. Расплавленный флюс перемешивают и выливают на противень. После затвердевания флюс разбивают на куски и растирают в фарфоровой ступке или в шаровой мельнице до состояния пудры.

Флюс 34А применяется при пайке алюминиевыми припоями.

Описанные флюсы обладают очень высокой химической активностью, необходимой им для разрушения стойкой оксидной пленки, покрывающей поверхность алюминия. В процессе пайки флюс предохраняет спаиваемые поверхности от появления новой пленки, которой способна покрываться поверхность алюминия сразу же после удаления старой пленки. Однако пайка протекает сравнительно быстро, поэтому алюминиевые провода и шины разрушаются незначительно, а разъединенные места заливаются металлом припоя.

Если флюс оставить на металле на длительное время, то алюминий в этих местах будет разрушен, а действие рабочего тока на уменьшенном сечении приведет к повышенным нагревам этих мест,

в результате чего трансформатор может выйти из строя.

Поэтому очень важно после пайки тщательно удалить остатки флюсов.

Флюс Ф59А удаляют промывкой проточной горячей

(50-60°C) или тампоном, смоченным в воде или спирте.

Флюс 34А отмывается труднее. Швы промывают горячей водой в течение 8-10 мин и одновременно оттирают жесткой волосяной щеткой, затем промывают холодной проточной водой в течение 30 мин. Отмывка проверяется нанесением на шов 2%-ного раствора азотнокислого серебра. В случае появления белого налета отмывку повторяют. Раствор азотнокислого серебра смывают горячей водой.

Технология пайки алюминия торячим способом ничем не отличается от технологии пайки меди медно-фосфорным припоем, описанной в тл. 11. Поверхности спаиваемых проводников обрабатывают до чистоты 2-3. Шлифованные и полированные поверхности перед пайкой обрабатывают стальной кардовой щеткой или напильником.

Допускается обработка крупной шлифовальной шкуркой.

Перед полудой или пайкой детали очищают от жирных загрязнсний бензином или другим растворителем (РС-1, РС-2, ацетон). При выполнении лудильных и паечных работ не следует оставлять большие перерывы между лужением и пайкой (более 2 суток) во избежание разрушения луженой пленки на воздухе без защиты.

Сварка меди. При ремонте электропечных трансформаторов возникает необходимость выполнить иногда сварку медного листа, из которого изготовлена обмотка НН. Медь применяется, как правило,

чистая электролитическая марок М1, М2 и М3.

Сварку и наплавку меди выполняют медными электродами «Комсомолец-100», изтотавливаемыми из меди марки МТ по ГОСТ 9466-60.

Для сварки необходим постоянный ток обратной полярности, источником которого может служить сварочный генератор постоянного тока. Рекомендуемые значения тока приведены в табл. П13-2.

Ленты толщиной более 6 мм перед сваркой рекомендуется предварительно подогреть до 300—500 °C. Это улучшает качество сварки.

Аргонодуговая сварка алюминия. Самое высокое качество сварки алюминия (проводов, шин. выполнение схем соединения обмоток) обеспечивает аргонодуговая сварка. Это сварка алюминия в аргонной среде вольфрамовым электродом. Но при этом необходимо спе-

# Рекомендуемые значения тока, А

|                     |                 | Диаметр электрода, м | IM                 |
|---------------------|-----------------|----------------------|--------------------|
| Положение шва       | 3               | 4                    | 5                  |
| Нижнее<br>Наклонное | 90—110<br>70—90 | 120—140<br>100—120   | 170—190<br>150—170 |

циальное стационарное оборудование, которое в условнях ремонтов выездными бригадами отсутствует. Поэтому этот вид сварки не рассматриваем.

Холодная сварка алюминия и меди. В электротехнической промышленности все большее применение получает холодная сварка алюминиевых и медных проводов, дающая наиболее качественную, эффективную, надежную и производительную сварку при намотке обмоток.

Холодную сварку производят на машинах серии МСХС, которые разработаны Всесоюзным научно-исследовательским институтом электросварочного оборудования (ВНИИЭСО) и выпускаются серийно.

В зависимости от сечений свариваемых проводов используют разные машины, дающие усилия от  $5 \cdot 10^4$  до  $5 \cdot 10^5$  Н (5—50 тс). Соответственно этому и приводы у них разные. Машины снабжаются комплектами запасных губок (плашек). Каждая пара губок предназначена для сварки проводов одного сечения. Это создает большое неудобство при использовании этих машин во время ремонта, когда нужно соединять провода разных сечений, но в небольших количествах.

Конструкторско-технологическим бюро В/О «Главэлектроремонт» разработаны специальные головки к этим машинам для возможности сварки проводов различных сечений с помощью машин МСХС без перестановки плашек. Для круглого сечения проводов разработана универсальная плашка на 12 размеров, а для прямоугольного сечения — головка для сварки проводов любого сечения с самоустанавливающимися зажимами по размерам проводов.

Холодная сварка применяется и при армировании алюминиевых проводов медными наконечниками при изготовлении демпферов и пр.

#### ПРИЛОЖЕНИЕ 14

#### ФОРМУЛЯР

### ФОРМУЛЫ, ТАБЛИЦЫ И ПОЯСНЯЮЩИЕ РИСУНКИ

- І. Основные электрические величины и соотношения
- Номинальная мощность трансформатора Р<sub>н</sub>, кВ · А
   Трехфазный силовой общего назначения

$$P_{\rm H} = P_2 = \sqrt{3} U_{\rm H2} I_{\rm H2} \cdot 10^{-3} = 3U_{\rm \oplus 2} I_{\rm \oplus 2} \cdot 10^{-3} \approx P_1 \qquad (1114-1)$$

2) Однофазный силовой общего назначения

$$P_{\rm H} = P_2 = U_2 I_2 \ 10^{-3} \approx P_1 = U_1 I_1 \ 10^{-3}.$$
 (III4-2)

3) Трехобмоточный трехфазный силовой общего назначения

$$P_{\rm H} = P_1 = \sqrt{3} U_{\rm J1} I_{\rm J1} 10^{-3} = 3 U_{\rm \Phi1} I_{\rm \Phi1} 10^{-3}$$
 (П14-3)

4) Преобразовательный

$$P_{\rm H} = P_1 = \sqrt{3} U_{\rm J1} I_{\rm J1} 10^{-3} = 3U_{\rm \Phi1} I_{\rm \Phi1} 10^{-3}$$
 (1114-4)

2. Типовая мощность трансформатора \* Рт, кВ · А

1) Силовой общего назначения или электропечной

$$P_{\mathrm{T}} = k_{\mathrm{per}} P_{\mathrm{H}}.\tag{\Pi 14-5}$$

2) Преобразовательный

$$P_{\rm T} = \frac{1}{2} (P_1 + P_2) [JI. 5].$$
 (III4-6)

## 3. Автотрансформатор

1) Однофазный (рис. П14-1,а и б):

а) Проходная мощность, кВ · А,

$$P_{\rm np} = U_2 I_2 \ 10^{-3} = U_1 I_1 \ 10^{-3}. \tag{\Pi14-7}$$

б) Расчетная мощность, к $B \cdot A$ ,  $U_2 > U_1$  (рис.  $\Pi 14-1,a$ )

$$P_{\text{pac}} = P_{\text{np}} (1 - U_1/U_2) = P_{\text{np}} (1 - k_a).$$
 (III4-8)

в) Коэффициент трансформации

$$k_{\rm a} = U_1/U_2.$$

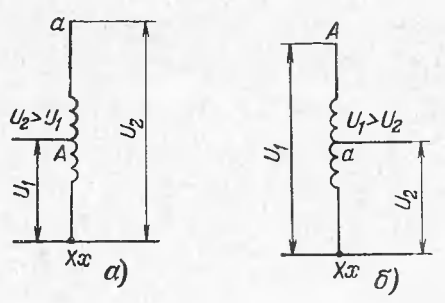


Рис. П14-1. Схемы автотрансформатора.

a — повышающего;  $\delta$  — понижающего,

г) Расчетная мощность, к $B \cdot A$ ,  $U_1 > U_2$  (рнс. П14-1,6)

$$P_{\text{pac}} = P_{\text{np}} (1 - U_2/U_1) = P_{\text{np}} (1 - 1/k_a).$$
 (II14-9)

<sup>\*</sup> Типовая мощность трансформатора — мощность модели, которая соответствует количеству закладываемых в трансформатор активиых материалов (стали и металла обмоточного провода). При отсутствии регулирования напряжения  $P_{\rm T}{=}P_{\rm H}$ ; при наличии регулирования напряжения  $P_{\rm T}{>}P_{\rm H}$ . Коэффициент  $k_{\rm per}{>}1$  зависит от диапазона и схемы регулирования.

д) Коэффициент трансформаций

$$k_{\rm a} = U_1/U_2.$$

2) Трехфазный; соединение в звезду (рис. П14-2,а и б):

a) 
$$P_{\text{pac}} = P_{\text{fip}} (1 - 1/k_a)$$
. (III4-10)

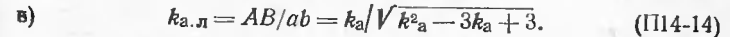
б) Қоэффициент трансформацин

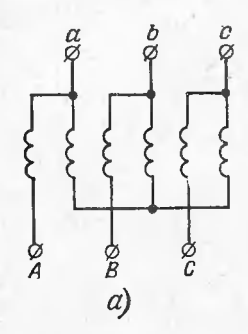
$$k_a = U_{\Phi 1}/U_{\Phi 2} = U_{\pi 1}/U_{\pi 2} = AX/ax = AB/ab = \omega_1/\omega_2.$$
 (114-11)

3) Трехфазный; соединение в треугольник (рис. П14-3,а-в):

a) 
$$P_{\text{pac}} = P_{\text{np}} (k_a - 1) \sqrt{3} / k_a \sqrt{k_a^2 - 3k_a + 3}$$
. (III4-12)

6) 
$$k_{a.\phi} = AB/ab = w_1/w_2.$$
 ([114-13)





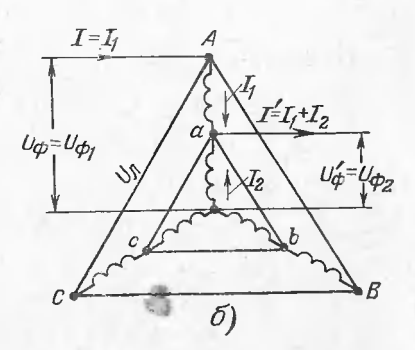
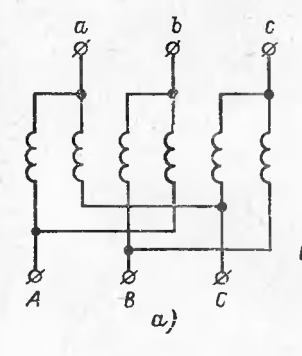


Рис. П14-2. Схема трехфазного автотрансформатора при соединении обмоток в звезду.

а — схема соединений;
 б — развернутая схема.



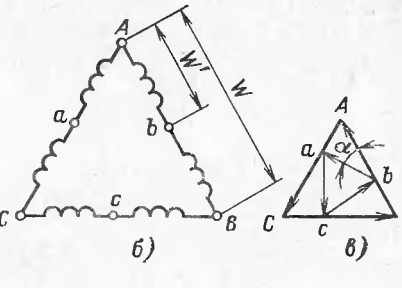


Рис. П14-3. Схема трехфазного автотрансформатора при соединении обмоток в треугольник.

a — схема соединений;  $\delta$  — развернутая схема; s — векторная диаграмма.

4. Фазные  $I_{\Phi}$  и линейные  $I_{\pi}$  токи, A

i) Соединение в звезду (Y) или зигзаг (Z)

$$I_{\Phi} = I_{\pi} = P_{\text{H}} \ 10^{3} / \sqrt{3} U_{\pi} = P_{\text{H}} \ 10^{3} / 3U_{\Phi}.$$
 (II14-15)

2) Соединение в треугольник (Δ):

a) 
$$I_{\Phi} = I_{\pi}/\sqrt{3}$$
. (III4-16)

6) 
$$I_{\pi} = P_{\rm H} \, 10^3 / \sqrt{3} U_{\pi} = P_{\rm H} \, 10^3 / \sqrt{3} U_{\Phi}.$$
 (II14-17)

5. Фазные  $U_{\Phi}$  и линейные  $U_{\pi}$  напряжения, В

і) Соединение в звезду или зигзаг:

a) 
$$U_{\Phi} = U_{\pi} / \sqrt{3}$$
. (114-18)

6) 
$$U_{\pi} = P_{\rm H} 10^3 / \sqrt{3} I_{\pi} = P_{\rm H} / \sqrt{3} I_{\Phi}$$
 (III4-19)

2) Соединение в треугольник

$$U_{\Phi} = U_{\pi} = P_{\rm H} \, 10^3 / \sqrt{3} I_{\pi} = P_{\rm H} \, 10^3 / 3 I_{\Phi}.$$
 (III4-20)

6. Напряжение одного витка и , В

1) Соединение в звезду

$$u_{w} = U_{\Phi}/w_{\Phi} = U_{\pi}/V \, \overline{3} \, w_{\Phi}, \qquad (\Pi 14-21)$$

где  $w_{\Phi}$  — число витков на фазу.

2) Соединение в треугольник

$$u_{\mathbf{w}} = U_{\mathbf{\Phi}} / w_{\mathbf{\Phi}} = U_{\mathbf{J}} / w_{\mathbf{\Phi}}. \tag{\Pi14-22}$$

3) Соединение в зигзат

$$u_{\mathbf{w}} = U_{\mathbf{n}} \, \Im \mathbf{w}_{\mathbf{n}.\mathbf{\Phi}}, \tag{\Pi 14-23}$$

где  $w_{\pi, \phi}$  — число витков в половине обмотки на одном стержне. Формула (П14-23) справедлива для схемы нормальный зигзаг, когда обмотка на каждом стержне разделена пополам.

7. Преобразовательный трансформатор (табл. П14-1) [Л. 5]

#### II. Параметры магнитопровода

1. Активные сечения магнитопровода (стержней  $S_{\mathbf{c}}$  и

1) Активное сечение стержня

$$S_{\mathbf{c}} = S_{\mathbf{K}\mathbf{p}} k_{\mathbf{p}} k_{\mathbf{H}}.\tag{\Pi 14-32}$$

2) Площадь круга, в который вписано сечение стержня,

$$S_{\mathrm{KP}} = \pi D^2 \mathbf{c}/4. \tag{\Pi 14-33}$$

3) Площадь ступенчатой фигуры сечения стержня (см. рис. 5-12)  $S_{\Phi} \! = \! S_{\kappa p} k_{\Phi}.$  (П14-34)

К определению параметров для разных схем соединения обмоток преобразовательных трансформаторов  $[{\rm JI.~5}]$ 

| Параметр                                                                                                                 | Мостовая схема<br>(рис. 3-20) | Схема звезда—<br>двойной энгэаг<br>(рис. 3-21) | Схема звезда—две обратные звезды с уравнительным реактором (рис. 3-22) | Номер<br>формулы |
|--------------------------------------------------------------------------------------------------------------------------|-------------------------------|------------------------------------------------|------------------------------------------------------------------------|------------------|
| Идеальное выпрямленное напряжение $U_{\text{в.о.}}$ В                                                                    | 2,34 U <sub>2</sub> ф         | 1,35 Uгф                                       | 1,17 U <sub>2</sub> ф                                                  | (П14-24)         |
| Действующее значение вторичного тока $I_{\mathtt{2}}$ , $A$                                                              | 0,817 IB                      | 1                                              | 0,289 I <sub>B</sub>                                                   | (П14-25)         |
| Действующее значение вторичного тока в части вторичной обмотки, непосредственно соединенной со звездой, $I'_2$ , A       | 1                             | 0,41 I <sub>B</sub>                            | i                                                                      | (П14-26)         |
| Действующее значение вторичного тока в части вторичной обмотки, присоединенной к нулевой точке, $I^{\prime\prime}_2$ , A | ı                             | 0,58 I <sub>B</sub>                            | I                                                                      | (П14-27)         |
| Мощность вторичной обмотки $P_2$ , В.А                                                                                   | 1,05 UB.o/B                   | 1,81 UB.olB                                    | 1,49 Us.o/B                                                            | (П14-28)         |
| Номнвальная мощность трансформатора $P_1$ , Вт                                                                           | 1,05 UB.olB                   | 1,05 UB.olB                                    | 1,05 UB.olB                                                            | (П14-29)         |
| Тнповая мощность Рт, Вт                                                                                                  | 1,05 UB.olB                   | 1,43 UB.olB                                    | 1,27 UB.clB                                                            | (П14-30)         |
| Коэффициент нспользования $k_{ m BC}=U_{ m B,o}I_{ m B}/P_{ m T}$                                                        | 1/1,05=0,95                   | 1/1,43=0,7                                     | 1/1,27 = 0,788                                                         | (П14-31)         |
| 501                                                                                                                      |                               |                                                |                                                                        |                  |

Активные сечения стали стержней и ярм магнитопроводов, см2

| Дияметр стержия в растранция в растрания в                      |                    | ц        | Число |           |                            | Стержень            | нь                         |                                   |             | Ярмо                 | MO                       |                       |
|-----------------------------------------------------------------------------------------------------------------------------------------------------------------------------------------------------------------------------------------------------------------------------------------------------------------------------------------------------------------------------------------------------------------------------------------------------------------------------------------------------------------------------------------------------------------------------------------------------------------------------------------------------------------------------------------------------------------------------------------------------------------------------------------------------------------------------------------------------------------------------------------------------------------------------------------------------------------------------------------------------------------------------------------------------------------------------------------------------------------------------------------------------------------------------------------------------------------------------------------------------------------------------------------------------------------------------------------------------------------------------------------------------------------------------------------------------------------------------------------------------------------------------------------------------------------------------------------------------------------------------------------------------------------------------------------------------------------------------------------------------------------------------------------------------------------------------------------------------------------------------------------------------------------------------------------------------------------------------------------------------------------------------------------------------------------------------------------------------------------------------|--------------------|----------|-------|-----------|----------------------------|---------------------|----------------------------|-----------------------------------|-------------|----------------------|--------------------------|-----------------------|
| September   Colored | Диаметр<br>стержня | Į        |       | Коэффици- | Площадь                    | Активн<br>коэффицие | ые сечения<br>чтах заполне | S <sub>с</sub> при<br>ния сечения | Площадь     | Активнь<br>коэффицие | ые сечения 5 нтах заполи | яр при<br>ния сечения |
| 8         0,927         570,90         —         548,06         591,10         —           9         —         0,927         746,20         —         657,20         —         675,20         —           9         —         0,927         746,20         —         716,35         762,40         —         —           9         —         0,937         744,80         —         811,00         860,80         —         —           9         1         0,912         1035,80         —         892,03         944,80         —         994,80         —         994,80         —           11         1         0,912         1155,64         —         994,36         1063,40         —         —         994,80         —         —           14         1         0,926         1282,92         —         11231,60         1315,02         —         —         1420,01         —         —         1420,01         —         —         1420,01         —         —         1420,01         —         —         1420,01         —         —         —         1420,01         —         —         1420,01         —         —         —                                                                                                                                                                                                                                                                                                                                                                                                                                                                                                                                                                                                                                                                                                                                                                                                                                                                                                                                                                              | Dc, мм             | ступенер |       | Ф         | ступенчатои<br>фигуры Sф.c | 0,94                | 0,95                       |                                   | фигуры Sф.я | 0,94                 | 0,95                     | 96,0                  |
| 8         —         0,929         657,20         —         630,91         675,20         —           9         —         0,927         746,20         —         —         716,35         762,40         —         —           9         1         0,912         929,80         —         881,00         860,80         —         —           9         1         0,912         1035,80         —         —         894,38         —         —           111         1         0,926         1282,92         —         —         994,36         1063,40         —           14         1         0,926         1282,92         —         —         994,36         —         —           14         1         0,926         1282,92         —         —         1281,60         —         —           14         1         0,926         1284,90         —         —         1420,01         1500,18         —           15         2         0,926         1284,78         —         1742,37         1444,39         —         —           16         2         0,938         286,18         —         —         1420,01                                                                                                                                                                                                                                                                                                                                                                                                                                                                                                                                                                                                                                                                                                                                                                                                                                                                                                                                                                                                     | 280                | 00       | 1     | 0.927     | 570,90                     | Į                   | 1                          | 548,06                            | 591,10      | ı                    | 1                        | 567,45                |
| 9         —         0,927         746,20         —         716,35         762,40         —           9         —         0,930         844,80         —         881,00         860,80         —         —           9         1         0,912         1053,80         —         994,36         1063,40         —         —           11         1         0,926         1282,92         —         994,36         1165,64         —         —         1163,40         —         —           14         1         0,926         1282,92         —         1231,60         1315,02         —         —         1231,60         —         —         —         1231,60         —         —         —         1231,60         —         —         —         —         —         —         —         —         —         —         —         —         —         —         —         —         —         —         —         —         —         —         —         —         —         —         —         —         —         —         —         —         —         —         —         —         —         —         —         —                                                                                                                                                                                                                                                                                                                                                                                                                                                                                                                                                                                                                                                                                                                                                                                                                                                                                                                                                                                             | 300                | 00       | 1     | 0.929     | 657.20                     | i                   | 1                          | 630,91                            | 675,20      | 1                    | 1                        | 648, 19               |
| 9         —         0,930         844,80         —         811,00         860,80         —         —           9         1         0,912         929,80         —         —         994,38         1063,40         —         —           11         1         0,913         1155,64         —         1167,64         —         —         994,36         1167,64         —         —           11         1         0,913         1125,64         —         1167,64         —         —         1177,64         —         —         994,38         1063,40         —         —         1177,64         —         —         1177,64         —         —         1187,64         —         —         —         1177,67         —         —         1173,60         —         —         —         1173,70         —         —         —         —         —         —         —         —         —         —         —         —         —         —         —         —         —         —         —         —         —         —         —         —         —         —         —         —         —         —         —         —         — <td>320</td> <td>6</td> <td>1</td> <td>0,927</td> <td>746,20</td> <td>1</td> <td>ı</td> <td>716,35</td> <td>762,40</td> <td>1</td> <td>1</td> <td>731,90</td>                                                                                                                                                                                                                                                                                                                                                                                                                                                                                                                                                                                                                                                                                                                                                                                                              | 320                | 6        | 1     | 0,927     | 746,20                     | 1                   | ı                          | 716,35                            | 762,40      | 1                    | 1                        | 731,90                |
| 9         1         0,912         929,80         —         892,03         944,80         —           9         1         0,913         1035,80         —         —         994,36         1063,40         —           11         1         0,919         1155,64         —         —         994,36         1063,40         —           11         1         0,926         1282,92         —         —         1231,60         1165,64         —           14         1         0,933         1688,86         —         —         1420,01         1500,18         —         —           14         2         0,926         2044,78         —         1620,98         2077,78         —         1500,18         —           15         2         0,926         2286,18         2149,00         2171,87         2194,73         2316,68         2177,67         2500,84           16         2         0,933         2639,42         2481,05         2577,44         2533,84         2690,92         2520,46         2556,37           16         3         0,927         2892,50         2714,86         3110,20         3142,94         3577,70         3156,23         315                                                                                                                                                                                                                                                                                                                                                                                                                                                                                                                                                                                                                                                                                                                                                                                                                                                                                                                                                 | 340                | 0        | l     | 0,930     | 844.80                     | 1                   | 1                          | 811,00                            | 860,80      | 1                    | 1                        | 626,36                |
| 9         1         0,913         1035,80         —         994,36         1063,40         —           11         1         0,926         1282,92         —         —         1109,41         1167,64         —         —           14         1         0,926         1282,92         —         —         1231,60         1315,02         —         —           14         1         0,931         1688,86         —         —         1420,01         1500,18         —         —           14         2         0,926         2044,78         —         1623,7         1718,66         —         —           15         2         0,926         2044,78         —         1622,98         2077,78         —         —           15         2         0,926         2286,18         2149,00         2171,87         2194,73         2316,68         2177,67         2200,84           16         3         0,933         2639,42         2481,05         2577,44         2533,84         2690,92         2520,46         2556,37           16         3         0,927         2892,50         2718,78         2776,80         2958,30         2780,80         2816,38 <td>360</td> <td>0</td> <td>_</td> <td>0.912</td> <td>929,80</td> <td>1</td> <td>1</td> <td>892,03</td> <td>944,80</td> <td>1</td> <td>1</td> <td>907,00</td>                                                                                                                                                                                                                                                                                                                                                                                                                                                                                                                                                                                                                                                                                                                                                                                       | 360                | 0        | _     | 0.912     | 929,80                     | 1                   | 1                          | 892,03                            | 944,80      | 1                    | 1                        | 907,00                |
| 11         1         0,996         1155,64         —         1109,41         1167,64         —         —         1281,60         1315,02         —         —         1281,60         1315,02         —         —         —         1420,01         155,02         —         —         —         1420,01         155,02         —         —         —         —         —         —         —         —         —         —         —         —         —         —         —         —         —         —         —         —         —         —         —         —         —         —         —         —         —         —         —         —         —         —         —         —         —         —         —         —         —         —         —         —         —         —         —         —         —         —         —         —         —         —         —         —         —         —         —         —         —         —         —         —         —         —         —         —         —         —         —         —         —         —         —         —         —         —         <                                                                                                                                                                                                                                                                                                                                                                                                                                                                                                                                                                                                                                                                                                                                                                                                                                                                                                                                                                                | 380                | 0        |       | 0.913     | 1035,80                    | 1                   | 1                          | 994,36                            | 1063,40     | I                    | 1                        | 1020,86               |
| 11         1         0,926         1282,92         —         1231,60         1315,02         —           14         1         0,921         1479,18         —         1420,01         1500,18         —         —           14         2         0,925         1816,40         —         1743,74         1843,90         —         —           15         2         0,926         2044,78         —         1743,74         1843,90         —         —           15         2         0,926         2286,18         2149,00         2171,87         2194,73         2316,68         2077,78         —         —           16         2         0,928         2286,18         2481,05         2507,44         253,84         2690,92         2529,46         2556,37           16         3         0,927         2892,50         2718,95         2747,87         2776,80         2958,30         2780,80         2810,38           16         3         0,928         3273,90         3077,46         3110,20         3142,94         3797,80         3569,93         3607,91           16         3         0,931         4115,70         3868,15         3909,91         3951,07                                                                                                                                                                                                                                                                                                                                                                                                                                                                                                                                                                                                                                                                                                                                                                                                                                                                                                                                         | 400                | ) =      |       | 0.919     | 1155,64                    | 1                   | 1                          | 1109,41                           | 1167,64     | 1                    | 1                        | 1120,93               |
| 14         1         0,921         1479,18         —         1420,01         1500,18         —         —         1621,37         1718,66         —         —         —         1743,74         1843,90         —         —         —         —         —         —         —         —         —         —         —         —         —         —         —         —         —         —         —         —         —         —         —         —         —         —         —         —         —         —         —         —         —         —         —         —         —         —         —         —         —         —         —         —         —         —         —         —         —         —         —         —         —         —         —         —         —         —         —         —         —         —         —         —         —         —         —         —         —         —         —         —         —         —         —         —         —         —         —         —         —         —         —         —         —         —         —         —                                                                                                                                                                                                                                                                                                                                                                                                                                                                                                                                                                                                                                                                                                                                                                                                                                                                                                                                                                                                      | 420                | =        | _     | 0.926     | 1282,92                    | !                   | 1                          | 1231,60                           | 1315,02     | 1                    | 1                        | 1262,41               |
| 14     1     0,933     1688,86     —     —     1621,37     1718,66     —     —       14     2     0,925     1816,40     —     —     —     1743,74     1843,90     —     —       15     2     0,926     2044,78     2149,00     2171,87     2196,298     2077,78     2177,67     2200,84       16     2     0,928     2286,18     2149,00     2171,87     2194,73     2316,68     2177,67     2200,84       16     3     0,927     2892,50     2718,95     2747,87     2776,80     2958,30     2810,38       16     3     0,928     3273,90     3077,46     3110,20     3142,94     3357,70     3156,23     3189,81       16     3     0,931     2688,00     3466,72     3509,91     3540,48     377,80     3569,93     3607,91       16     3     0,931     4115,70     3868,15     3909,91     3951,07     4251,80     3996,69     4039,21                                                                                                                                                                                                                                                                                                                                                                                                                                                                                                                                                                                                                                                                                                                                                                                                                                                                                                                                                                                                                                                                                                                                                                                                                                                                                 | 450                | 14       | . —   | 0.921     | 1479,18                    | 1                   | 1                          | 1420,01                           | 1500,18     | 1                    | 1                        | 1440,17               |
| 14         2         0,925         1816,40         —         —         1743,74         1843,90         —         —           15         2         0,926         2044,78         —         —         —         1962,98         2077,78         —         —           15         2         0,928         2286,18         2149,00         2171,87         2194,73         2316,68         2177,67         2200,84           16         3         0,927         2892,50         2718,95         2747,87         2776,80         2958,30         2780,80         2810,38           16         3         0,928         3273,90         3077,46         3110,20         3142,94         3357,70         3189,81         3189,81           16         3         0,931         2688,00         3466,72         3503,60         3540,48         3797,80         3569,93         3607,91           16         3         0,931         4115,70         3868,15         3909,91         3951,07         4251,80         3996,69         4039,21                                                                                                                                                                                                                                                                                                                                                                                                                                                                                                                                                                                                                                                                                                                                                                                                                                                                                                                                                                                                                                                                                          | 480                | 14       |       | 0,933     | 1688,86                    | 1                   | 1                          | 1621,37                           | 1718,66     | 1                    | 1                        | 1649,91               |
| 15         2         0,926         2044,78         —         1962,98         2077,78         —         1994, 1994, 1994, 1994, 1994, 1994, 1994, 1994, 1998, 2286,18         2149,00         2171,87         2194,73         2316,68         2177,67         2200,84         2224, 1994, 1994, 1994, 1994, 1994, 1994, 1994, 1994, 1994, 1994, 1994, 1994, 1994, 1994, 1994, 1994, 1994, 1994, 1994, 1994, 1994, 1994, 1994, 1994, 1994, 1994, 1994, 1994, 1994, 1994, 1994, 1994, 1994, 1994, 1994, 1994, 1994, 1994, 1994, 1994, 1994, 1994, 1994, 1994, 1994, 1994, 1994, 1994, 1994, 1994, 1994, 1994, 1994, 1994, 1994, 1994, 1994, 1994, 1994, 1994, 1994, 1994, 1994, 1994, 1994, 1994, 1994, 1994, 1994, 1994, 1994, 1994, 1994, 1994, 1994, 1994, 1994, 1994, 1994, 1994, 1994, 1994, 1994, 1994, 1994, 1994, 1994, 1994, 1994, 1994, 1994, 1994, 1994, 1994, 1994, 1994, 1994, 1994, 1994, 1994, 1994, 1994, 1994, 1994, 1994, 1994, 1994, 1994, 1994, 1994, 1994, 1994, 1994, 1994, 1994, 1994, 1994, 1994, 1994, 1994, 1994, 1994, 1994, 1994, 1994, 1994, 1994, 1994, 1994, 1994, 1994, 1994, 1994, 1994, 1994, 1994, 1994, 1994, 1994, 1994, 1994, 1994, 1994, 1994, 1994, 1994, 1994, 1994, 1994, 1994, 1994, 1994, 1994, 1994, 1994, 1994, 1994, 1994, 1994, 1994, 1994, 1994, 1994, 1994, 1994, 1994, 1994, 1994, 1994, 1994, 1994, 1994, 1994, 1994, 1994, 1994, 1994, 1994, 1994, 1994, 1994, 1994, 1994, 1994, 1994, 1994, 1994, 1994, 1994, 1994, 1994, 1994, 1994, 1994, 1994, 1994, 1994, 1994, 1994, 1994, 1994, 1994, 1994, 1994, 1994, 1994, 1994, 1994, 1994, 1994, 1994, 1994, 1994, 1994, 1994, 1994, 1994, 1994, 1994, 1994, 1994, 1994, 1994, 1994, 1994, 1994, 1994, 1994, 1994, 1994, 1994, 1994, 1994, 1994, 1994, 1994, 1994, 1994, 1994, 1994, 1994, 1994, 1994, 1994, 1994, 1994, 1994, 1994, 1994, 1994, 1994, 1994, 1994, 1994, 1994, 1994, 1994, 1994, 1994, 1994, 1994, 1994, 1994, 1994, 1994, 1994, 1994, 1994, 1994,                                                                                                                                                            | 2002               | 4        | . 6.  | 0.925     | 1816,40                    | 1                   | 1                          | 1743,74                           | 1843,90     | 1                    | 1                        | 1770,14               |
| 15         2         0,928         2286,18         2149,00         2171,87         2194,73         2316,68         2177,67         2200,84         2224, 2224, 2224, 2234, 2234, 2234, 2234, 2234, 2234, 2233, 24           16         3         0,927         2892,50         2718,95         2747,87         2776,80         2958,30         2780,80         2856,37         2563, 37         2563, 37         2563, 37         2563, 37         2563, 37         2563, 37         2563, 37         2563, 37         2563, 37         2563, 37         2563, 37         2563, 37         2563, 37         2563, 37         2563, 37         2563, 37         2563, 37         2563, 37         2563, 37         2563, 37         2563, 37         2563, 37         2563, 37         2563, 37         2563, 37         2563, 37         2563, 37         2563, 37         2563, 37         2563, 37         2563, 37         2563, 37         2563, 37         2563, 37         2563, 37         2563, 37         2563, 37         2563, 37         2563, 37         2563, 37         2563, 37         2563, 37         2563, 37         2563, 37         2563, 37         2563, 37         2563, 37         2563, 37         2563, 37         2563, 37         2563, 37         2563, 37         2563, 37         2563, 37         2563, 37         2563, 37                                                                                                                                                                                                                                                                                                                                                                                                                                                                                                                                                                                                                                                                                                                                                              | 230                | . 10     | 0     | 0,096     | 9044, 78                   | 1                   | 1                          | 1962,98                           | 2077.78     | 1                    | 1                        | 1994,66               |
| 16         2         0,933         2639,42         2481,05         2507,44         2533,84         2690,92         2529,46         2556,37         2563,1           16         3         0,927         2892,50         2718,95         2747,87         2776,80         2958,30         2780,80         2810,38         2839,1           16         3         0,928         3273,90         3077,46         3110,20         3142,94         3357,70         3156,23         3189,81         3223,823,8223,83           16         3         0,931         2688,00         3466,72         3503,60         3540,48         3797,80         3569,93         3607,91         3645,1           16         3         0,931         4115,70         3868,15         3909,91         3951,07         4251,80         3996,69         4039,21         4081,2                                                                                                                                                                                                                                                                                                                                                                                                                                                                                                                                                                                                                                                                                                                                                                                                                                                                                                                                                                                                                                                                                                                                                                                                                                                                         | 260                | 10       | 10    | 0,028     | 2286, 18                   | 2149.00             | 2171.87                    | 2194,73                           | 2316,68     | 2177,67              | 2200,84                  | 2224,01               |
| 16         3         0,927         2892,50         2718,95         2747,87         2776,80         2958,30         2780,80         2810,38         2839,10           16         3         0,928         3273,90         3077,46         3110,20         3142,94         3357,70         3156,23         3189,81         3223,823,81           16         3         0,931         2688,00         3466,72         3503,60         3540,48         3797,80         3569,93         3607,91         3645,93           16         3         0,931         4115,70         3868,15         3909,91         3951,07         4251,80         3996,69         4039,21         4081,                                                                                                                                                                                                                                                                                                                                                                                                                                                                                                                                                                                                                                                                                                                                                                                                                                                                                                                                                                                                                                                                                                                                                                                                                                                                                                                                                                                                                                                 | 000                | 5 6      | 10    | 0,023     | 2539, 42                   | 2481,05             | 2507,44                    | 2533,84                           | 2690,92     | 2529,46              | 2556,37                  | 2563,28               |
| 16         3         0,928         3273,90         3077,46         3110,20         3142,94         3357,70         3156,23         3189,81         3223,           16         3         0,931         2688,00         3466,72         3503,60         3540,48         3797,80         3569,93         3607,91         3645,           16         3         0,931         4115,70         3868,15         3909,91         3951,07         4251,80         3996,69         4039,21         4081,                                                                                                                                                                                                                                                                                                                                                                                                                                                                                                                                                                                                                                                                                                                                                                                                                                                                                                                                                                                                                                                                                                                                                                                                                                                                                                                                                                                                                                                                                                                                                                                                                              | 630                | 2 9      | 3 00  | 0,927     | 2892, 50                   | 2718,95             | 2747.87                    | 2776,80                           | 2958.30     | 2780,80              | 2810,38                  | 2839,96               |
| 16     3     0,931     2688,00     3466,72     3503,60     3540,48     3797,80     3569,93     3607,91     3645,       16     3     0,931     4115,70     3868,15     3909,91     3951,07     4251,80     3996,69     4039,21     4081,                                                                                                                                                                                                                                                                                                                                                                                                                                                                                                                                                                                                                                                                                                                                                                                                                                                                                                                                                                                                                                                                                                                                                                                                                                                                                                                                                                                                                                                                                                                                                                                                                                                                                                                                                                                                                                                                                     | 670                | 2 4      | o en  | 0,008     | 3973, 90                   | 3077,46             | 3110,20                    | 3142,94                           | 3357,70     | 3156,23              | 3189,81                  | 3223,39               |
| 16     3     0,931     4115,70     3868,15     3909,91     3951,07     4251,80     3996,69     4039,21                                                                                                                                                                                                                                                                                                                                                                                                                                                                                                                                                                                                                                                                                                                                                                                                                                                                                                                                                                                                                                                                                                                                                                                                                                                                                                                                                                                                                                                                                                                                                                                                                                                                                                                                                                                                                                                                                                                                                                                                                      | 310                | 25       | o cr  | 0,02      | 2688,00                    | 3466,72             | 3503,60                    | 3540,48                           | 3797.80     | 3569,93              | 3607,91                  | 3645,38               |
|                                                                                                                                                                                                                                                                                                                                                                                                                                                                                                                                                                                                                                                                                                                                                                                                                                                                                                                                                                                                                                                                                                                                                                                                                                                                                                                                                                                                                                                                                                                                                                                                                                                                                                                                                                                                                                                                                                                                                                                                                                                                                                                             | 750                | 9        | . w   | 0.931     | 4115,70                    | 3868,15             | 3909,91                    | 3951,07                           | 4251,80     | 3996,69              | 4039,21                  | 4081,72               |
|                                                                                                                                                                                                                                                                                                                                                                                                                                                                                                                                                                                                                                                                                                                                                                                                                                                                                                                                                                                                                                                                                                                                                                                                                                                                                                                                                                                                                                                                                                                                                                                                                                                                                                                                                                                                                                                                                                                                                                                                                                                                                                                             |                    |          |       |           |                            |                     |                            |                                   |             |                      |                          |                       |
|                                                                                                                                                                                                                                                                                                                                                                                                                                                                                                                                                                                                                                                                                                                                                                                                                                                                                                                                                                                                                                                                                                                                                                                                                                                                                                                                                                                                                                                                                                                                                                                                                                                                                                                                                                                                                                                                                                                                                                                                                                                                                                                             |                    |          |       |           |                            |                     |                            |                                   |             |                      |                          |                       |

4) Коэффициент заполнения круга  $k_{\Phi}$  — отношение площади ступенчатой фигуры к площади круга, в который вписана эта фигура. Диаметр круга равен диаметру стержня трансформатора — см. табл.  $\Pi$ 14-2, где даны значения  $k_{\Phi}$  и активные сечения стержней и ярм.

5) Коэффициент заполнения сечения стержня (учитывающий

изоляцию пластин)  $k_{\rm M}$  (табл.  $\Pi 14-3$ ).

Таблица П14-3 Коэффициент заполнения сечения, учитывающий изоляцию пластины,  $k_{\rm u}$ 

| Вид изоляции пластин                                                             | Коэффициент<br>заполнения<br>сечения k, | толщины г.<br>топровода<br>толицино | тин на 100 мм<br>акета магни-<br>из стали с<br>й пластин<br>5 мм |
|----------------------------------------------------------------------------------|-----------------------------------------|-------------------------------------|------------------------------------------------------------------|
|                                                                                  | CONCINI NA                              | для поми-<br>нальной<br>толщины     | с минусо вым допус-<br>ком 0,03 мм                               |
| Жаростойкое электроизоляционное покрытие                                         | 0,96±0,01                               | 274                                 | 300                                                              |
| То же плюс однократная лакировка (чередование лакируемых и нелакируемых пластин) | 0,95±0,01                               | 272                                 | 298                                                              |
| Однократная лакировка без жаростойкого покрытия                                  | $0,94\pm0,01$                           | 270                                 | 294                                                              |
| Двукратная лакировка без жаро-<br>стойкого покрытия                              | 0,92 <u>±</u> 0,01                      | 264                                 | 288                                                              |

6) Активное сечение прямоутольного ярма стержневой матнитной системы трансформатора

$$S_{\text{sp}} = h_{\text{sp}} b_{\text{sp}} k_{\text{H}}, \qquad (\Pi 14-35)$$

где  $h_{\rm sp}$  — высота ярма, см;  $b_{\rm sp}$  — толщина ярма, см.

7) Активное сечение ступенчатой фигуры ярма стержневой магнитной системы трансформатора

$$S_{\rm sp} = S_{\phi \cdot \rm sp} k_{\rm H}. \tag{\Pi14-36}$$

8) Активное сечение ярма разветвленной магнитной системы трансформатора

$$S_{\text{Ap.6p}} = S_{\text{c}}/2.$$
 (П14-37)

Формула (П14-37) справедлива для неусиленного ярма.

2. Магнитная индукция в стержнях и ярмах, Т

1) Индукция в стержнях  $B_{\mathbf{c}}$ 

$$B_{\rm c} = \frac{U_{\rm \Phi} \, 10^4}{4.44 f w_{\rm \Phi} S_{\rm c}} = \frac{u_{\rm w} \, 10^4}{4.44 f S_{\rm c}},\tag{\Pi14-38}$$

где f — частота тока, Гц.

2) Индукция в ярмах Вяр

$$B_{\rm sp} = B_{\rm c} S_{\rm c} / S_{\rm sp}. \tag{\Pi14-39}$$

Таблица П14-4

Удельные потери в грансформаторной стали  $(p_0, \, \mathrm{Bt/kr})$  по ГОСТ 802-58; толщина равна 0,35 мм, f=50  $\Gamma$ ц [Л. 8]

| Ма <b>г</b> нитная                | Марка                | горячека<br>стали    | атаной                    | Марка же                     | олоднокатано<br>сле механиче | й стали (от<br>еской обраб   | ожженная<br>отки )           |
|-----------------------------------|----------------------|----------------------|---------------------------|------------------------------|------------------------------|------------------------------|------------------------------|
| инд <b>у</b> кция<br><i>В</i> , Т | <b>341-0,3</b> 5     | 342-0,35             | <b>943</b> -0 <b>,3</b> 5 | 9310-0,35                    | Э320-0,35                    | 3330-0,35                    | 9330A-0,38                   |
| 0,90                              | 1,08                 | 0,962                | 0,836                     | 0,662                        | 0,582                        | 0,503                        | 0,404                        |
| 0,92                              | 1,13                 | 1,04                 | 0,875                     | 0,690                        | 0,606                        | 0,522                        | 0,422                        |
| 0,94                              | 1,19                 | 1,06                 | 0,920                     | 0,717                        | 0,629                        | 0,542                        | 0,440                        |
| 0,96                              | 1,24                 | 1,11                 | 0,960                     | 0,745                        | 0,653                        | 0,561                        | 0,460                        |
| 0,98                              | 1,29                 | 1,16                 | 1,010                     | 0,772                        | 0,676                        | 0,581                        | 0,480                        |
| 1,00                              | 1,35                 | 1,20                 | 1,050                     | 0,80                         | 0,70                         | 0,60                         | 0,50                         |
| 1,02                              | 1,40                 | 1,26                 | 1,10                      | 0,830                        | 0,725                        | 0,622                        | 0,52                         |
| 1,04                              | 1,46                 | 1,31                 | 1,14                      | 0,860                        | 0,750                        | 0,644                        | 0,536                        |
| 1,06                              | 1,52                 | 1,36                 | 1,19                      | 0,890                        | 0,775                        | 0,666                        | 0,558                        |
| 1,08                              | 1,57                 | 1,41                 | 1,24                      | 0,920                        | 0,800                        | 0,688                        | 0,575                        |
| 1,10                              | 1,63                 | 1,46                 | 1,29                      | 0,950                        | 0,825                        | 0,710                        | 0,596                        |
| 1,12                              | 1,69                 | 1,52                 | 1,34                      | 0,984                        | 0,834                        | 0,734                        | 0,618                        |
| 1,14                              | 1,75                 | 1,58                 | 1,39                      | 1,02                         | 0,883                        | 0,758                        | 0,640                        |
| 1,16                              | 1,81                 | 1,64                 | 1,45                      | 1,05                         | 0,912                        | 0,782                        | 0,660                        |
| 1,18                              | 1,88                 | 1,70                 | 1,50                      | 1,09                         | 0,941                        | 0,806                        | 0,680                        |
| 1,20                              | 1,94                 | 1,76                 | 1,56                      | 1,12                         | 0,970                        | 0,830                        | 0,703                        |
| 1,22                              | 2,01                 | 1,83                 | 1,61                      | 1,16                         | 1,00                         | 0,858                        | 0,725                        |
| 1,24                              | 2,08                 | 1,89                 | 1,67                      | 1,20                         | 1,03                         | 0,886                        | 0,750                        |
| 1,26                              | 2,15                 | 1,95                 | 1,73                      | 1,23                         | 1,06                         | 0,914                        | 0,770                        |
| 1,28                              | 2,21                 | 2,02                 | 1,79                      | 1,27                         | 1,09                         | 0,942                        | 0,795                        |
| 1,30                              | 2,29                 | 2,09                 | 1,85                      | 1,31                         | 1,13                         | 0,970                        | 0,820                        |
| 1,32                              | 2,36                 | 2,16                 | 1,91                      | 1,35                         | 1,16                         | 1,00                         | 0,842                        |
| 1,34                              | 2,43                 | 2,23                 | 1,93                      | 1,39                         | 1,19                         | 1,03                         | 0,868                        |
| 1,36                              | 2,50                 | 2,30                 | 2,04                      | 1,44                         | 1,22                         | 1,07                         | 0,894                        |
| 1,38                              | 2,57                 | 2,37                 | 2,10                      | 1,48                         | 1,26                         | 1,10                         | 0,920                        |
| 1,40                              | 2,64                 | 2,45                 | 2,17                      | 1,52                         | 1,29                         | 1,13                         | 0,945                        |
| 1,42                              | 2,72                 | 2,52                 | 2,23                      | 1,57                         | 1,33                         | 1,16                         | 0,975                        |
| 1,44                              | 2,79                 | 2,59                 | 2,30                      | 1,61                         | 1,37                         | 1,20                         | 1,00                         |
| 1,46<br>1,48<br>1,50<br>1,52      | 2,86<br>2,93<br>3,00 | 2,66<br>2,73<br>2,80 | 2,37<br>2,43<br>2,50      | 1,66<br>1,70<br>1,75<br>1,81 | 1,42<br>1,46<br>1,50<br>1,56 | 1,23<br>1,27<br>1,30<br>1,35 | 1,03<br>1,07<br>1,10<br>1,14 |
| 1,54<br>1,56<br>1,58<br>1,60      | _                    |                      | _                         | 1,88<br>1,94<br>2,01<br>2,07 | 1,62<br>1,67<br>1,73<br>1,79 | 1,40<br>1,45<br>1,50<br>1,56 | 1,18<br>1,22<br>1,27<br>1,32 |
| 1,62<br>1,64<br>1,66              |                      | _                    | _                         | 2,16<br>2,24<br>2,33         | 1,87<br>1,95<br>2,04         | 1,62<br>1,69<br>1,76         | 1,38<br>1,43<br>1,49         |

| Магнитная<br>индукция        | Марка            | горячека<br>стали          | таной             |                              | олоднокатано<br>сле механиче |                              |                              |
|------------------------------|------------------|----------------------------|-------------------|------------------------------|------------------------------|------------------------------|------------------------------|
| В, Т                         | <b>941-0,3</b> 5 | 942 <b>-</b> 0 <b>,3</b> 5 | <b>'943</b> -0,35 | 9310-0,35                    | 9320-0,35                    | 9330-0,35                    | Э330A-0,35                   |
| 1,68<br>1,70<br>1,72<br>1,74 | _<br>_<br>_      |                            |                   | 2,41<br>2,50<br>2,60<br>2,70 | 2,12<br>2,20<br>2,30<br>2,41 | 1,83<br>1,90<br>2,00<br>2,09 | 1,54<br>1,60<br>1,67<br>1,75 |
| 1,76<br>1,78<br>1,80         | 14               | -                          | _                 | 2,80<br>2,90<br>3,00         | 2,51<br>2,62<br>2,72         | 2,19<br>2,28<br>2,38         | 1,83<br>1,91<br>2,00         |

Примечания: 1. Чтобы получить  $p_0$ , Вт/кг, для стали с толщиной пластин 0,5 мм, надо значение  $p_0$  по таблице умножить на коэффициент k: a) для горячекатаной стали k=1,16; б) для холоднокатаной стали Э310 и Э320 при магнитных индукциях 0,9—1,2 Т k = 1,37; при 1,2—1,6 Т k = 1,40; при 1,6—1,8 Т k=1,28; в) для холоднокатаной стали Э330 k=1,34.

2. Указанные в таблице удельные потери даны для холоднокатаной отожженной стали. Если сталь после механической тору даны для холоднокатаной отожженной сталь после механической тору даны для холоднокатаной отожженной сталь иссле механической тору даны для холоднокатаной отожженной сталь иссле механической тору даны для холоднокатаной отожженной сталь после механической тору даны для холоднокатаной отожженной сталь после механической тору даны для холоднокатаной отожженной стали.

тери умножить на коэффициент 1.1.

3) Индукция в стержнях при  $f = 50 \, \Gamma \text{ц}$ 

$$B_{\rm c} = u_{\rm w} \, 10^4 / 222 \, S_{\rm c}.$$
 (\Pi14-40)

- 3. Масса стали стержней  $G_{c}$  и ярм  $G_{\rm RD}$ , кг
- 1) Масса стали стержней

$$G_{\mathbf{c}} = \rho_{\mathbf{c}} V_{\mathbf{c}}.\tag{\Pi 14-41}$$

2) Объем стали стержней, м3,

$$V_{\rm c} = n_{\rm c}h_{\rm c}S_{\rm c} \cdot 10^{-6}$$
. (II14-42)

3) Плотность трансформаторной стали: =7550 кг/м³; холоднокатаной  $\rho_c$  =7650 кг/м³. горячекатаной рс =

4) Масса стали ярм

$$G_{\rm sp} = \rho_{\rm c} V_{\rm sp}. \tag{1714-43}$$

5) Объем стали ярм, м<sup>3</sup>,

$$V = 2l_{\rm sp}S_{\rm sp} \cdot 10^{-6}. \tag{114-44}$$

4. Потери холостого хода

$$P_0 = k_{\rm H}(P_{\rm 0.c} + P_{\rm 0.8p}), B_{\rm T}$$
 (П14-45)

1) Потери в стали стержней

$$P_{\text{o.c}} = p_{\text{o.c}}G_{\text{c.}} \tag{\Pi14-46}$$

2) Потери в стали ярм

$$^{\circ} P_{\text{o.sp}} = p_{\text{o.sp}} G_{\text{sp}}.$$
 (\Pi14-47)

38 - 593585

- 3) Удельные потери в стали стержней  $p_{0,c}$  и ярм  $p_{0,np}$  берут в зависимости от магнитной индукции в стержнях  $B_{\mathbf{c}}$  и ярмах  $B_{\mathbf{n}\mathbf{p}}$ для стали соответствующей марки из табл. П14-4 с учетом примечаний к таблице.
- 4) Қоэффициент добавочных потерь  $k_{\rm g}$ , учитывающий неравномерное распределение магнитной индукции по сечению стержней и ярм, изменение структуры стали после механической обработки, местное увеличение магнитной индукции в стыках и т. п., следует брать при расчетах (в процессе ремонтных работ) не менее 1,1, так как дополнительные расшихтовка и шихтовка верхнего ярма готового магнитопровода увеличивают влияние этих факторов. Кроме того, при ремонтах готового магнитопровода марка стали не всегда точно известна.

Таблица П14-5 К расчету намагничивающей мощности р.

| Индукция | Горячеката<br>марок Э41 | ная <b>с</b> таль<br>, Э42, Э43 | Холоднокат<br>марки | аная <b>с</b> таль,<br>Э320 |
|----------|-------------------------|---------------------------------|---------------------|-----------------------------|
| В, Т     | Сталь, В-А/кг           | Зазор, В-А/см²                  | Сталь. В. А/кг      | Зазор, В-А/см               |
| 0,9      | 3,50                    | 0,303                           | 1,26                | 0,060                       |
| 0,98     | 4,36                    | 0,449                           | 1,67                | 0,108                       |
| 1,00     | 4,60                    | 0,491                           | 1,80                | 0,122                       |
| 1,06     | 5,62                    | 0,652                           | 2,25                | 0,180                       |
| 1,10     | 6,50                    | 0,776                           | 2,60                | 0,220                       |
| 1,14     | 7,70                    | 0,924                           | 3,15                | 0,286                       |
| 1,20     | 10,0                    | 1,176                           | 3,35                | 0,466                       |
| 1,22     | 11,0                    | 1,278                           | 4,15                | 0,528                       |
| 1,30     | 15,70                   | 1,722                           | 5,60                | 0,853                       |
| 1,38     | 23,48                   | 2,299                           | 7,70                | 1,255                       |
| 1,40     | 25,80                   | 2,457                           | 8,30                | 1,370                       |
| 1,46     | 35,10                   | 3,012                           | 10,50               | 1,720                       |
| 1,48     | 39,30                   | 3,216                           | 11,40               | 1,870                       |
| 1,50     | 43,50                   | 3,420                           | 12,45               | 1,980                       |
| 1,54     | _                       |                                 | 14,85               | 2,260                       |
| 1,60     | _                       |                                 | 19,50               | 2,740                       |
| 1,62     |                         |                                 | 21,60               | 2,920                       |
| 1,70     | _                       |                                 | 32,50               | 3,720                       |

Примечания: 1. Значения  $p_{\mu}$  для сталей ЭЗЗО и ЭЗЗОА равны значениям для

стали ЭЗ20, умноженным на коэффициент k: при  $B=0,92\div1,64$  Т k=0,81; при  $B=1,64\div1,8$  Т k=0,77. 2. Значения  $p_{\mu}$  для стали ЭЗ10 равны значениям для  $\mathfrak{T}$ стали ЭЗ20, умноженным на коэффициент k:

при *B*=0,92÷1,62 T *k*=1,22; при *B*=1,62÷1,72 T *k*=1,35;

при  $B=1,72\div1.80$  Т k=1,50. 3. Намагничнвающая мощиость для зазоров (стыков) рыз одинакова для холоднокатаной стали марок ЭЗ10, ЭЗ20, ЭЗЗ0 и ЭЗЗОА.

1) Ток холостого хода, А,

$$I_0 = P_{\mu}/U_1$$
 (П14-48)

2) Намагничивающая мощность, В.А.

$$P_{\mu} = p_{\mu c}G_{c} + p_{\mu \cdot np}G_{np} + n_{3}p_{\mu 3}s_{c}, \qquad (\Pi 14-49)$$

где  $n_8$  — число зазоров (стыков).

3) Удельная намагничивающая мощность в стержнях  $p_{\mu e}$  и ярмах  $p_{\mu sp}$ , В•А/кг, в зависимости от магнитной индукции в стержнях  $B_e$  и ярмах  $B_{np}$ , а также удельная намагничивающая мощность в зазорах (стыках)  $p_{\mu s}$ , В•А/см², в зависимости от индукции в стержнях для стали разных марок даны в табл. П14-5.

4) Ток холостого хода, %,

$$i = P_{\mu_{\bullet}} \text{ B-A/10}P_{\text{H}}, \text{ kB-A}.$$
 (II14-50)

#### III. Расчет обмоток

1. Число витков на фазу  $w_{\Phi}$  определяют из той же основной формулы, что и магнитная индукция (П14-38):

$$w_{\Phi} = U_{\Phi} 10^4/4,44 f B_{c} s_{c}.$$
 (II14-51)

2. Сечение провода, мм²,

$$s = I_{\Phi}/\Delta n_{\text{map}} n_{\text{pp}}, \qquad (\Pi 14-52)$$

где  $n_{\rm nap}$  — число параллельных проводов в витке;  $n_{\rm rp}$  — число параллельных групп в обмотке.

3. Плотность тока  $\Delta$ ,  $\overline{A}$ /мм², в трансформаторах средней и большой мощности с масляным охлаждением составляет:

для обмоток из медного провода . . . . . . 3,5—4,5 для обмоток из алюминиевого провода . . . . 2,3—3,0

4. Осевое Нов и радиальное воб строения обмоток, мм

1) Цилиндрическая слоевая обмотка

$$H_{06} = 1,03 (w_{cn} + 1) a_{np} n_{nap};$$
 (III4-53)

$$b_{\text{KAT}} = b_{\text{CG}} = n_{\text{CR}}b_{\text{HP}} + (n_{\text{CR}} - 1) \delta_{\text{CR}},$$
 (II14-54)

где  $w_{e\pi}$  — число витков в слое катушки;  $a_{\pi p}$  — осевой размер провода с изоляцией, мм;  $b_{\pi p}$  — радиальный размер провода с изоляцией, мм;  $n_{e\pi}$  — число слоев в обмотке;  $\delta_{e\pi}$  — толщина межслоевой изоляции, мм.

2) Непрерывная обмотка

$$H_{05} = n_{\text{KaT}} + (n_{\text{KaT}} - 1) \delta_{\text{KaT}};$$
 (II14-55)

$$b_{\text{KaT}} = b_{00} = 1,03 n_{\text{сл}} b_{\text{пр}} n_{\text{пар}},$$
 (П14-56)

где  $n_{\mathtt{kar}}$  — число катушек в обмотке;  $\delta_{\mathtt{kar}}$  — осевая высота между катушками, мм;  $n_{\mathtt{c}\,\mathtt{n}}$  — число слоев в катушке. Высота катушки

$$h_{\text{Kar}} = a_{\text{np}}, \text{ MM.}$$
 (П14-57)

3) Винтовая одноходовая обмотка

$$H_{06} = (w_{06} + 4) a_{HP} + (w_{06} + 3) \delta_{BHT},$$
 (III4-58)

где  $\delta_{BHT}$  — осевая высота канала между витками, мм:

$$b_{06} = 1,03 n_{\text{map}} b_{\text{mp}}.$$
 (II14-59)

4) Винтовая двухходовая обмотка при совершенной транспозиции

$$H_{06} = 2a_{\rm np} (w_{06} + 1) + (2w_{06} + 1) \delta_{\rm BHT};$$
 (П14-60)

$$b_{00} = 1.03 \frac{n_{\text{map}}}{2} b_{\text{np}}.$$
 (III4-61)

Коэффициент 1,03 в формулах ( $\Pi$ 14-53), ( $\Pi$ 14-56), ( $\Pi$ 14-59) и

(П14-61) учитывает неплотность намотки.

Примечанне. В настоящее время при подсчете осевых и радиальных размеров строения обмоток считают отдельно размеры металла и отдельно размеры всей изоляции, включая витковую, катушечную изоляцию провода, между слоями, между катушками, между витками, причем суммарный размер изоляции берут с ко-

эффициентом 1.1.

В цилиндрических и винтовых обмотках осевой размер увеличивается на один виток [формулы (П14-53), (П14-58) и (П14-60)] для того, чтобы учесть начало и конец обмотки; кроме того, в винтовой одноходовой обмотке делаются три транспозиции по высоте, которые требуют увеличения осевого размера обмотки на три осевых размера провода и на три высоты канала между витками [формула  $(\Pi 14-58)$ ].

5. Масса металла обмоток и отводов, кг

1) Масса металла обмоток

$$G_{\text{M.06}} = m\pi D_{\text{cp.c6}} w_{\text{06}} n_{\text{nap}} S_{\text{np}} n_{\text{pp}} 10^{-9},$$
 (114-62)

где m — число фаз;  $D_{ ext{cp.of}}$  — средний диаметр обмотки, мм; плотность меди  $\rho_{\rm M} = 8900$  кг/м³; плотность алюминия  $\rho_{\rm a} = 2700$  кг/м³. 2) Масса металла отволов

$$G_{\text{M.OT}} = l_{\text{OT}} S_{\text{OTP}} 10^{-9},$$
 (fil4-63)

где  $l_{\text{от}}$  — длина отводов, мм;  $S_{\text{от}}$  — сечение отвода, мм².

Массу металла обмоток и массу металла отводов подсчитывают для каждой обмотки отдельно и затем суммируют.

### IV. Параметры опыта короткого замыкания

Потери короткого замыкания  $P_{\kappa}$ , Вт

$$P_{\kappa} = P_{06} + P_{0T} + P_{\kappa_{0H}}. \tag{\Pi14-64}$$

1. Потери в проводах обмоток, Вт.

$$P_{06} = P'_{06} + P''_{06}.$$
 (П14-65)

1) Основные потери в проводах обмоток для меди и алюминия

$$P'_{06} = 2,4\Delta^2 G_{\rm M};$$
 (III4-66)

$$P'_{00} = 13,2\Delta^2 G_a$$
. ( $\Pi 14-67$ )

### 2) Добавочные потери в проводах обмоток

$$P''_{o6} = (k_{\pi}/100) P_{o6}.$$
 (П14-68)

Коэффициент  $k_{\rm p}$ , учитывающий добавочные потери в обмотках, в процентах от основных потерь в металле вычисляют как функцию приведенного размера провода  $\beta$  и числа проводов  $n_{\rm np}$ , расположенных перпендикулярно потоку рассеяния  $\Phi_{\rm p}$ , под действием которого возникают в обмотках добавочные потери. В [Л. 7] даны: а) номограмма (рис.  $\Pi 14$ -4, $\alpha$ ) для средних добавочных потерь; б) номограмма (рис.  $\Pi 14$ -4, $\alpha$ ) для максимальных добавочных потерь, которые имеют место в слое, прилежащем к каналу рассеяния, в многослойной катушче.

3) Приведенный размер провода, см,

$$\beta = \frac{b}{1,03} \sqrt{\frac{m_{\rm mp}a}{H_{\rm co}}} k_{R} \,, \tag{\Pi14-69}$$

где (рис. П14-5): b — размер голого провода, перпендикулярный потоку рассеяния, см; a — размер голого провода, параллельный потоку рассеяния, см;  $m_{\rm пp}$  — число проводов параллельно потоку рассеяния;  $H_{\rm o\,6}$  — осевой размер обмотки параллельно потоку рассеяния, см;  $k_{\rm R}$  — коэффициент Роговского.

4) Число проводов, перпендикулярных потоку рассеяния  $n_{\rm np}$ 

[Л. 7], определяют:

а) для цилиндрической обмотки:  $n_{\rm пp} = n_{\rm c\,\pi}$  — число слоев в обмотке;

б) для дисковых и непрерывных обмоток

$$n_{\rm mp} = w_{\rm kar}; \quad n_{\rm mp} = n_{\rm map} w_{\rm kar}$$
 (П14-70)

(если виток состоит из  $n_{\text{пар}}$  параллельных проводов);

в) для одноходовой винтовой обмотки с одной общей и двумя групповыми транспозициями

$$n_{\rm np} = 1$$
;  $\beta = \frac{b}{1.03} \sqrt{\frac{m_{\rm np}a}{H_{\rm o6}} k_R \left(\frac{n_{\rm nap}}{16} - 1\right)}$ ; (II14-71)

г) для двухходовой винтовой обмотки с полной транспозицией

$$n_{\rm np} = n_{\rm nap}/2.$$
 (114-72)

Основные и добавочные потери в металле обмоток подсчитываются для каждой обмотки и затем суммируются.

5) Қоэффициент Роговского  $k_R$  для разного расположения об-

MOTOK:

а) Концентрические обмотки (рис. П14-11)

$$k_R = (1 - \lambda/\pi H_{00});$$
 (П14-73)  
 $\lambda = b_{001} + b_{002} + d_{00}, \text{ cm.}$ 

Значения  $k_{\rm R}$  при концентрическом расположении обмоток в зависимости от  $H_{\rm 0.6}/\lambda$  даны в табл. П14-6.

Пример расчета приведен в § 4-2.

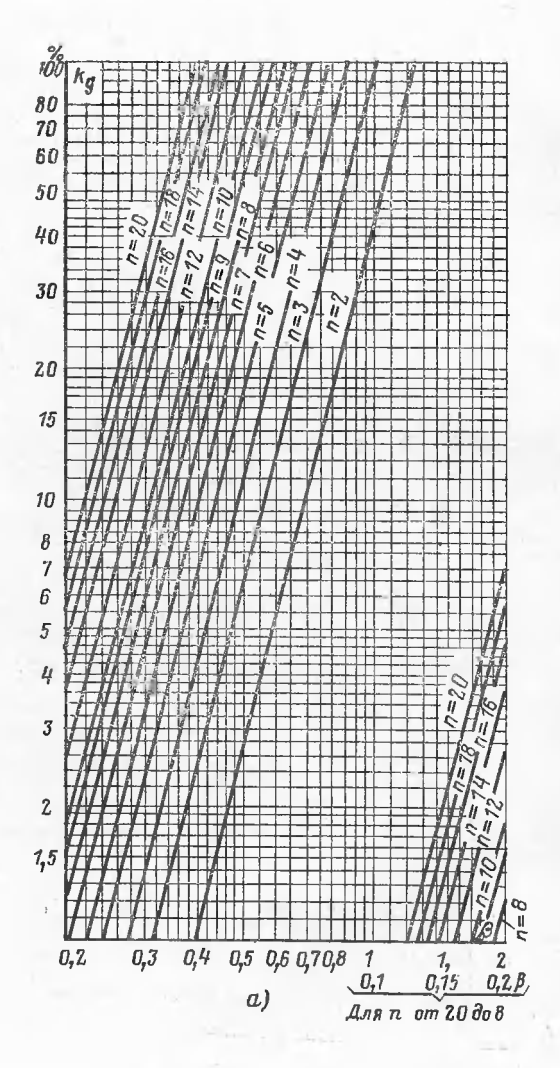
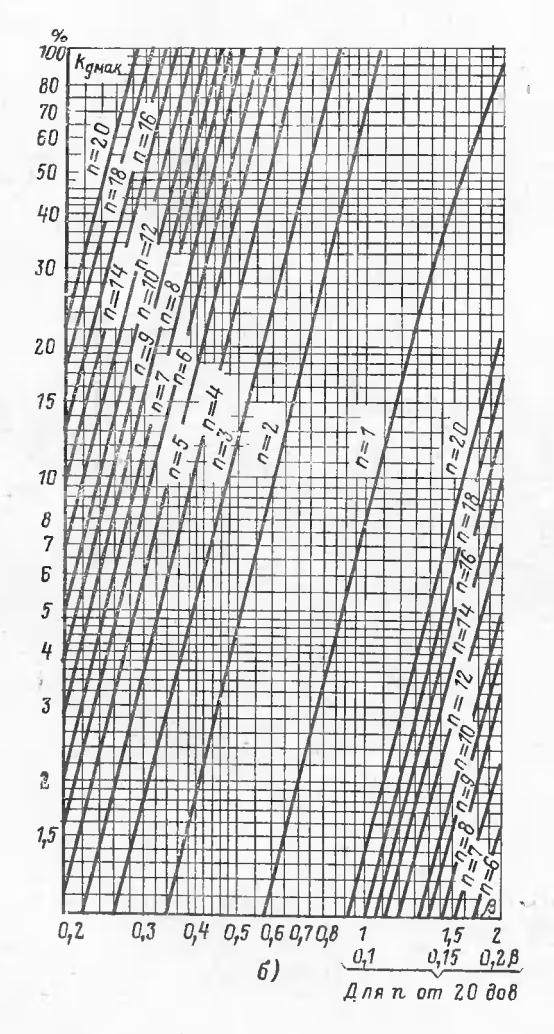


Рис. П14-4. Номограммы для a -средних;



нахождения добавочных потерь. 6 — максимальных.

#### Значения коэффициента $k_R$ [Л. 6]

|                                                                  | 0 20<br>99 0,98  | $\begin{vmatrix} 10 \\ 0.97 \end{vmatrix}$ | 0,96 | $\begin{vmatrix} 6 \\ 0.95 \end{vmatrix}$ | $\begin{bmatrix} 5 \\ 0.94 \end{bmatrix}$ | 0,93 | $\begin{bmatrix} 3,5 \\ 0,91 \end{bmatrix}$ | 3<br>0,89 | 2,5<br>0,87 |
|------------------------------------------------------------------|------------------|--------------------------------------------|------|-------------------------------------------|-------------------------------------------|------|---------------------------------------------|-----------|-------------|
| $\begin{array}{c c} H_{00}/\lambda & 0, \\ k_R & 0, \end{array}$ | 2 1,8<br>84 0,82 | 1,6                                        | 1,4  | 1,2                                       | 1,0                                       | 0,8  | $0,6 \\ 0.55$                               | _         | _           |

б) Чередующиеся обмотки [Л. 7].

Близость магнитопровода к обмоткам при чередующихся катушках сказывается на искривлении индукции магнитной линии у краев этих катушек. Поэтому для чередующихся обмоток коэффициент Роговского определяется по более сложной формуле (рис. П14-6):

$$k_R = [(1 - e) h_0 / \pi b_{\text{KaT}}]^{-\pi b_{\text{KaT}} / h_0} [1 - (e/2)^{-2\pi x_c / h_0} \times (1 - e^{-\pi b_{\text{KaT}} / h_0})],$$
 (П14-74)

где  $b_{\mathtt{kat}}$  — радиальный размер обмоток, равный при чередующемся расположении радиальному размеру катушек, см;  $x_{\mathtt{c}}$  — расстояние от обмоток до стержня, см;  $h_{\mathtt{0}}$  — высота одной подгруппы потока рассеяния, т. е. от одной до другой точки перехода через нуль трапеции индукции  $B_{\mathtt{p}}$  потока рассеяния, см.

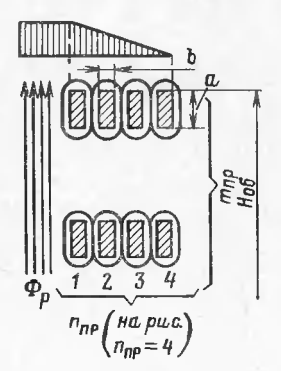


Рис. П14-5. Пояснение к формуле (П14-69) приведенного размера провода при концентрических обмотках.

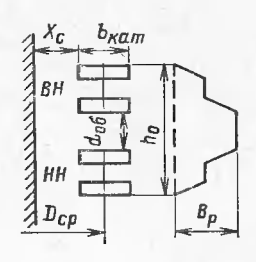


Рис. П14-6. Пояснение к формуле (П14-74) коэффициента Роговского при чередующихся симметричных обмотках.

Значения  $k_R$  при чередующемся расположении обмоток в зависимости от  $x_c/h_0$  и  $b_{\rm RRT}/h_0$  даны в табл. П14-7 (данные МЭЗ). Коэффициент Роговского или вычисляют по (П14-73) или по

Коэффициент Роговского или вычисляют по (П14-73) или по (П14-74), вли берут по табл. П14-6 и П14-7. Пример расчета дан в § 4-2.

k [определению  $k_R$ 

|                                                                                                                                               |                                                                                                                                                                                           |                                                                                                                                                                                                    | x <sub>c/</sub>                                                                                                                                                                  | /ho                                                                                                                                                                                                                  |                                                                                                                                                                                                             |                                                                                                                                                                                                    |
|-----------------------------------------------------------------------------------------------------------------------------------------------|-------------------------------------------------------------------------------------------------------------------------------------------------------------------------------------------|----------------------------------------------------------------------------------------------------------------------------------------------------------------------------------------------------|----------------------------------------------------------------------------------------------------------------------------------------------------------------------------------|----------------------------------------------------------------------------------------------------------------------------------------------------------------------------------------------------------------------|-------------------------------------------------------------------------------------------------------------------------------------------------------------------------------------------------------------|----------------------------------------------------------------------------------------------------------------------------------------------------------------------------------------------------|
| $b_{\mathrm{KaT}}/h_{\mathrm{0}}$                                                                                                             | 0                                                                                                                                                                                         | 0,05                                                                                                                                                                                               | 0,1                                                                                                                                                                              | 0,2                                                                                                                                                                                                                  | 0,4                                                                                                                                                                                                         | св. 0,4<br>до ∞                                                                                                                                                                                    |
| 0,02<br>0,04<br>0,06<br>0,08<br>0,10<br>0,12<br>0,14<br>0,16<br>0,18<br>0,20<br>0,24<br>0,28<br>0,3<br>0,4<br>0,6<br>0,8<br>1,0<br>1,2<br>1,4 | 0,060<br>0,115<br>0,168<br>0,216<br>0,262<br>0,288<br>0,333<br>0,367<br>0,400<br>0,472<br>0,483<br>0,508<br>0,532<br>0,551<br>0,638<br>0,740<br>0,804<br>0,845<br>0,888<br>0,903<br>0,912 | 0,050<br>0,098<br>0,144<br>0,190<br>0,230<br>0,265<br>0,298<br>0,330<br>0,362<br>0,390<br>0,416<br>0,438<br>0,460<br>0,480<br>0,480<br>0,580<br>0,690<br>0,760<br>0,805<br>0,876<br>0,876<br>0,890 | 0,045<br>0,087<br>0,130<br>0,170<br>0,205<br>0,238<br>0,268<br>0,328<br>0,355<br>0,380<br>0,400<br>0,422<br>0,445<br>0,540<br>0,650<br>0,726<br>0,778<br>0,810<br>0,854<br>0,870 | 0,038<br>0,075<br>0,112<br>0,147<br>0,180<br>0,208<br>0,238<br>0,260<br>0,287<br>0,310<br>0,332<br>0,352<br>0,372<br>0,372<br>0,391<br>0,408<br>0,490<br>0,607<br>0,683<br>0,740<br>0,780<br>0,810<br>0,832<br>0,848 | 0,033<br>0,064<br>0,097<br>0,124<br>0,153<br>0,182<br>0,208<br>0,231<br>0,254<br>0,277<br>0,298<br>0,315<br>0,336<br>0,355<br>0,372<br>0,450<br>0,568<br>0,650<br>0,710<br>0,756<br>0,789<br>0,812<br>0,832 | 0,029<br>0,060<br>0,088<br>0,115<br>0,142<br>0,168<br>0,191<br>0,213<br>0,260<br>0,280<br>0,300<br>0,320<br>0,340<br>0,355<br>0,430<br>0,550<br>0,636<br>0,700<br>0,743<br>0,779<br>0,802<br>0,802 |
| 2,0<br>2,2<br>2,4                                                                                                                             | 0,920<br>0,928<br>0,934                                                                                                                                                                   | 0,902<br>0,911<br>0,917                                                                                                                                                                            | 0,882<br>0,893<br>0,903                                                                                                                                                          | 0,865<br>0,878<br>0,890                                                                                                                                                                                              | 0,850<br>0,864<br>0,876                                                                                                                                                                                     | 0,843<br>0,859<br>0,870                                                                                                                                                                            |
| 2,6                                                                                                                                           | 0,940                                                                                                                                                                                     | 0,922                                                                                                                                                                                              | 0,911                                                                                                                                                                            | 0,899                                                                                                                                                                                                                | 0,886                                                                                                                                                                                                       | 0,880                                                                                                                                                                                              |

Для определения коэффициента  $k_{\rm д}$ , учитывающего добавочные потери в обмотках, существуют эмпирические формулы, по которым можно непосредственно подсчитать этот коэффициент для концентрических обмоток:

$$k_{\rm A} = 3.8 \cdot 10^{-7} (f n_{\rm Hp} m_{\rm Hp} b S_{\rm Hp} / H_{\rm O} 6)^2$$
, %. (III4-75)

Формула (П14-75) заимствована из расчетов МЭЗ.

На рис. Пì4-5 показаны значения величин, входящих в (П14-69) и (П14-75).

2. Потери в отводах, Вт:

$$P_{\text{OTB}} = P'_{\text{OTB}} + P''_{\text{OTB}}.$$
 (П14-76)

1) Основные потери в металле отводов для меди и алюминия  $P'_{\text{отв.м}} = 2,4\Delta^2_{\text{отв}}G_{\text{отв.м}}; P'_{\text{отв.a}} = 13,2\Delta^2_{\text{отв}}G_{\text{отв.a}}.$  (П14-77)

Плотность тока в медных отводах, работающих в масле, выбирают из условий нагрева при длительном рабочем режиме. В при-

ложении 5 даны табл. П5-1—П5-4, где приведены допустимые плотности тока для различных отводов.

Плотность тока в алюминиевых отводах можно принимать рав-

ной  $\Delta_{\text{отв.а}} = (0.55 \div 0.65) \Delta_{\text{отв.м.}}$ 

2) Добавочные потери в металле отводов, Вт,

$$P''_{\text{OTB}} = k_{\text{H.OTE}} P'_{\text{OTB}}.$$
 (П14-78)

а) Добавочные потери в металле отводов силовых трансформаторов общего назначення, а также в отводах ВН электропечных трансформаторов незначительны и составляют обычно не более 5% основных потерь в отводах, т. е. от  $P'_{\mathtt{OTB}}$ .

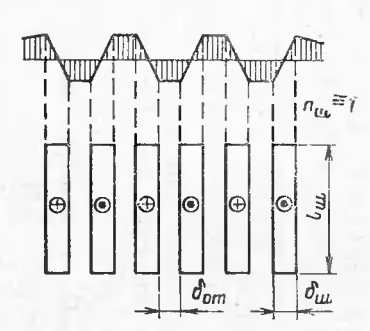


Рис. П14-7. Принятое расположение шинных отводов НН электропечного трансформатора.

б) Добавочные потери в отводах НН электропечных трансформаторов зависят от взаимного расположения шин, и для принятого их расположения (рис.  $\Pi$ 14-7) коэффициент  $k_{\pi,\text{отв}}$  вычисляют по формулам [Л. 7]:

$$k_{\text{II.OTB}} = \delta^4 \text{III}^3 / 200;$$
 (III4-79)

$$\beta = [l_{\text{III}}/(l_{\text{III}} + 0.6\delta_{\text{III}})]^2$$
 (III4-80)

3. Потери в конструкциях (в стенках бака и других стальных частях и деталях) от вихревых токов, индуцируемых потоками рассеяния,  $P_{\text{кон}}$ , Вт. Формулы для подсчета потерь  $P_{\text{кон}}$  не дают точных результатов.

Потери Р<sub>ков</sub> подсчитывают приближенно. 1) Трансформаторы общего назначения

$$P_{\text{KOH}} \approx k_6 \mu^2 s B^2 c S^2 H^3 c 10^{-12} / \Pi p_6 [H_{c6} + 2 (R_6 - R_{c6})]^2$$
, ( $\Pi 14-81$ )

где  $R_6$  — радиус бака, мм:

для трехфазных трансформаторов

$$R_6 = (A_6 + B_6 - MO)/4;$$
 (П14-82)

для однофазных трансформаторов

$$R_6 = (A_6 + B_6 - MO)/2;$$
 (П14-83)

 $u_s$  — напряжение рассеяния, %; Пр $_6$  — периметр бака, мм;  $R_{o6}$  — средний радиус обмотки, мм;  $A_6$  — длина бака, мм;  $B_6$  — ширипа бака, мм;  $k_6$  — коэффициент из табл. П14-8.

Значения коэффициента Ко [Л. 7]

| Параметр       | Однофазный | трансформатор | Трежфазный з | грансформатор |
|----------------|------------|---------------|--------------|---------------|
| us             | <10,5%     | >10,5%        | <10,5%       | >10,5%        |
| k <sub>5</sub> | 1,0        | 0,7           | 2,2          | 1,5           |

Пример расчета дан в § 4-2. 2) Электропечные трансформаторы

$$P_{\text{кон}} \approx \frac{k_{\text{кон}}}{100} (P_{\text{c6}} + P_{\text{отв}}).$$
 (П14-84)

Коэффициент  $k_{\text{ков}}$  берут по табл. П14-9 в зависимости от параметра М.

| рамет            | pa m. |      |       |              |      |       |               |         |                    |       |        |
|------------------|-------|------|-------|--------------|------|-------|---------------|---------|--------------------|-------|--------|
|                  |       |      | Значе | ния к        | ффео | ициен | та <i>k</i> к |         | абли               | ца I  | 714-9  |
| М                | 0,01  | 0,02 | 0,03  | 0,04         | 0,05 | 0,06  | 0,07          | 0,08    | 0,09               | 0,1   | 0,2    |
| k <sub>KOH</sub> | 2,50  | 2,80 | 3,00  | 3,14         | 3,25 | 3,40  | 3,50          | 3,60    | 3,70               | 3,80  | 4,30   |
|                  |       |      |       |              |      |       |               | Продол  | <b>:</b><br>:жение | табл. | T714-9 |
| М                | 0,3   | 0,4  | 0,5   | 0,6          | 0,7  | 0,8   | 0,9           | 1,0     | 2,0                | 3,0   | 4,0    |
| $k_{ m KCB}$     | 4,70  | 5,05 | 5,35  | <b>5,</b> 55 | 5,75 | 5,90  | 6,10          | 6,25    | 7,80               | 9,10  | 10,1   |
|                  |       |      |       |              |      |       |               | П родол | жение              | табл. | П14-9  |
| M                | 5,0   | 6,0  | 7,0   | 8,0          | 9,0  | 10,0  | 20            | 30      | 40                 | 50    | 60     |
| $k_{	ext{KOH}}$  | 11,2  | 12,3 | 13,2  | 14,2         | 15,2 | 16,0  | 23,8          | 31,6    | 40                 | 50    | 62     |

Параметр M зависит от схемы соединения обмоток НН, числа параллельных ветвей НН, выведенных на крышку грансформатора, и тока в одной ветви.

$$M = P_{\rm H} 10^3 / n^2_{\rm BH} U^2_{\rm BH}, \tag{\Pi 14-85}$$

где  $U_{\rm вл}$  — напряжение между вводами.

б) Для трехфазного трансформатора при соединении в звезду или треугольник под крышкой, т. е. на крышку выведены три ввода от каждой обмотки (рис. П14-9):

$$M = P_{\rm H} 10^3 / 2U^2_{\rm BH}$$
 ( $\Pi 14-86$ )

в) Для трехфазного трансформатора, если все начала и концы разных обмоток выведены на крышку (рис. П14-10):

$$M = P_{\rm H} 10^3 / 3n^2_{\rm BH} U^2_{\rm BH}. \tag{\Pi 14-87}$$

Напряжение короткого замыкания ик. %.

$$u_{\rm K} = V \overline{u^2_{\rm a} + u^2_{\rm s}}.$$
 (1114-88)

1. Напряжение рассеяния из, %.

1) Стержневая матнитная система трансформатора; концентрические обмотки (рис. П14-11):

$$u_{\rm s} = I_{\rm \phi} w_{\rm \phi} D_{\rm cp} \delta_{\rm np} k_R / 796 u_{\rm w} H_{\rm o6}, \tag{\Pi14-89}$$

где

$$D_{\rm cp} = D_{\rm 2H} + d_{\rm ob}$$
, cm; (II14-90)

$$\delta_{\rm np} = d_{\rm oo} + (b_{\rm oo} + b_{\rm oo})/3$$
, cm. (III4-91)

Коэффициент Роговского берут по (П14-73) или по табл. П14-6. Расчет напряжения рассеяния для концентрических обмоток производят также по формуле

$$u_s = 24,8I_{\Phi}w_{\Phi}\Sigma RDk_{R}/10^4H_{oo}u_{w},$$
 (П14-92)

где

$$\Sigma RD = R_{\rm cp1}b_1/3 + R_{\rm cp2}b_2/3 + d_{\rm co}R_{\rm cp1-2}$$
, cm. (III4-93)

Здесь  $R_{cp}$  — средние радиусы обмоток и между обмотками.

2. Добавочное напряжение рассеяния  $u_{\text{ѕдоб}}$  [Л. 7]. 1) Одиа обмотка короче другой (рис. П14-12)

$$u's = \frac{h_{ob}}{2} \left( 1 + k_s \frac{\pi H_{ob}}{\lambda} \frac{h_{ob}}{100} \right);$$
 (III4-94)

$$k_s = (1 + \Sigma^2)/(1 + \Sigma)^2;$$
 (Π14-95)  

$$\sum_{i=1}^{n} \frac{H_2}{H_1} \text{ (pHc. } \Pi \text{14-12)};$$

 $k_s = 0.5$  при  $\Sigma = 1$ ;  $k_s = 0.625$  при  $\Sigma = 0.5$ .

В ( $\Pi$ 14-94)  $h_{o\, o}$  — разница в высотах обмоток, отнесенная к наибольшей высоте обмотки, %.

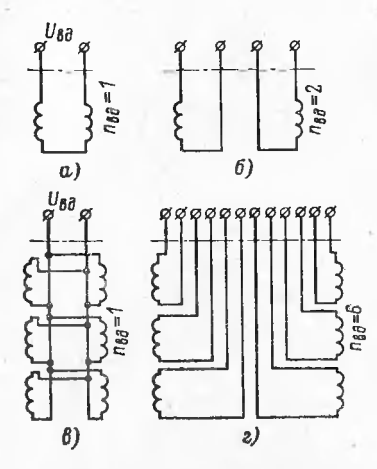
2) Большой осевой размер витка

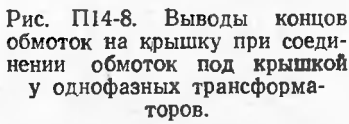
$$u''_{s} = \frac{h_{\rm B}}{2} \left( 1 + \frac{2}{3} \frac{\pi H_{\rm ob}}{\lambda} \frac{h_{\rm B}}{100} \right),$$
 (П14-96)

где  $h_{\rm B}$  — высота витка, отнесенная к высоте обмотки, %.

3. Общее напряжение рассеяния и, %,

$$u_{so} = u_s (1 + u_{s \text{ no}}/100).$$
 (III4-97)





a — коэффициент ввода  $n_{\text{B.Д}}=1;$   $b-n_{\text{B.Д}}=1;$   $b-n_{\text{B.Д}}=1;$   $b-n_{\text{B.Д}}=1;$   $b-n_{\text{B.Д}}=1;$ 

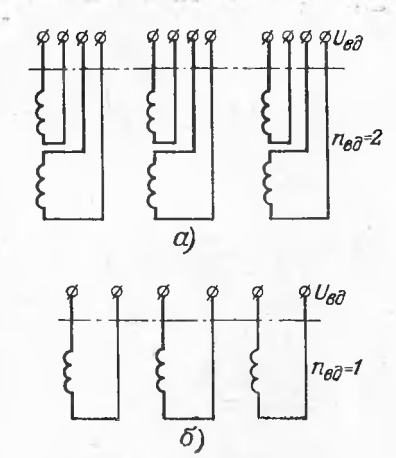


Рис. П14-10. Выводы начал и концов всех обмоток иа крышку трехфазного трансформатора.

a — коэффициент ввода  $n_{\rm B, \chi} = 2;$   $\delta = \pi_{\rm B, \chi} = 1,$ 

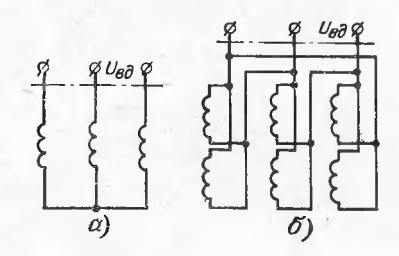


Рис. П14-9. Выводы концов обмоток на крышку при соединении обмоток под крышкой у трехфазиых трансформаторов.

 а — при соединении обмоток в звезду; б — в треугольник.

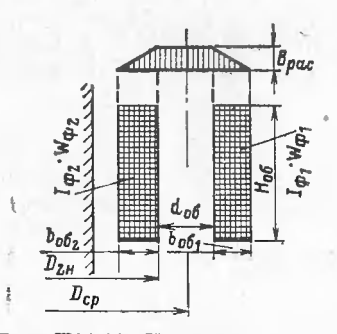


Рис. П14-11. К расчету напряжения рассеяния по формулам (П14-89)—(П14-91) для концентрических симметричных обмоток.

В этом случае

$$u_{\rm K} = \sqrt{u^2_{\rm a} + u^2_{\rm so}},$$
 (II14.98)

где  $u_8$  — активное падение иапряжения, %:

$$u_{\rm a} = P_{\rm K}, \, \text{Br/10} P_{\rm H}, \, \text{kB} \cdot \text{A}.$$
 (114-99)

597

$$u_{\rm s} = I_{\rm \phi} w_{\rm \phi} D_{\rm cp} \delta_{\rm np} k_R / 796 n_{\rm rp} u_{\rm w} b_{\rm co}, \qquad (\Pi 14-100)$$

где  $n_{\rm FP}$  — число параллельных симметричных групп;  $b_{06}$  — радиальный размер обмоток, равный при чередующемся расноложении высоте обмотки, см;  $\delta_{\rm пp}$  — осевой размер канала, см (см. ниже);  $k_R$  — по табл. П14-7.

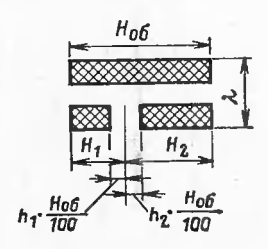
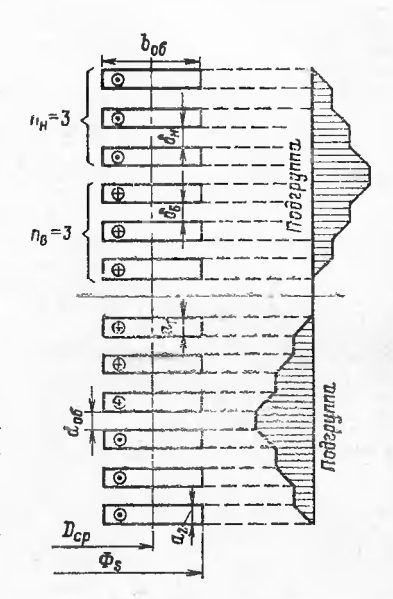


Рис. П14-12. К расчету добавочного напряжения рассеяния по формулам (П14-94) и (П14-95) для концентрических несимметричных обмоток.

Рис. П14-13. К расчету напряжения рассеяния по формулам (П14-100)—(П14-105) для чередующихся симметричиых обмоток.



1) Симметричные чередующнеся обмотки, у которых  $n_{\rm B, Fp}$  магнитно уравновешенных подгрупп с одинаковыми м. д. с. в катушках ВН и НН одной подгруппы. причем осевые размеры голого провода  $a_1$  (т. е. отдельных катушек), а также осевые размеры от металла до металла  $\delta_{\rm B}$  каналов между катушками ВН подгруппы одинаковы; то же  $a_2$  и  $\delta_{\rm H}$  НН подгруппы (рис.  $\Pi$ 14-13).

В этом случае:

$$\delta_{\rm np} = d_{\rm co} + (l_{\rm B} + l_{\rm H})/3 + \delta_{\rm B} k_1 + \delta_{\rm H} k_2,$$
 (II14-101)

где

$$l_{\rm B} = n_{\rm B} a_1; \quad l_{\rm H} = n_{\rm H} a_2, \text{ cm};$$
 (114-102)

$$k_1 = (n_B - 1)(2n_B - 1)/6n_B;$$
 (II14-103)

$$k_2 = (n_H - 1)(2n_H - 1)/6n_H$$
 (III4-104)

(табл. П14-10).

В табл. П14-10 даны значения коэффициентов  $k_1$  и  $k_2$  в зависимости от числа катушек ВН  $n_{\rm B}$  или НН  $n_{\rm H}$  в подгруппе.

#### Значения коэффициентов $k_1$ и $k_2$

|                                       | 1     |       |       |       | 1 1     |           |          |
|---------------------------------------|-------|-------|-------|-------|---------|-----------|----------|
| $n_{\mathrm{B}}$ или $n_{\mathrm{H}}$ | 1,0   | 1,5   | 2,0   | 2,5   | 3,0     | 3,5       | 4,0      |
| k <sub>1</sub> или k <sub>2</sub>     | 0     | 0,111 | 0,250 | 0,400 | 0,556   | 0,714     | 0,875    |
|                                       |       |       |       |       | Продолж | сение таб | л. П14-1 |
| $n_{ m B}$ или $n_{ m H}$             | 4,5   | 5,0   | 6,0   | 7,0   | 8,0     | 9,0       | 10,0     |
| k <sub>1</sub> или k <sub>2</sub>     | 1,035 | 1,20  | 1,53  | 1,86  | 2,10    | 2,52      | 2,85     |

2) Каналы бв, а также бн неодинаковы. В этом случае:

$$\delta_{\text{np}} = d_{\infty} + \frac{l_{\text{B}} + l_{\text{H}}}{3} + \frac{1}{n^{2}_{\text{B}}} \left[ (n_{\text{B}} - 1)^{2} \delta'_{\text{B}} + (n_{\text{B}} - 2)^{2} \delta''_{\text{B}} + \ldots \right] + \frac{1}{n^{2}_{\text{H}}} \left[ (n_{\text{H}} - 1)^{2} \delta'_{\text{H}} + (n_{\text{H}} - 2)^{2} \delta''_{\text{H}} + \ldots \right]. \quad (\Pi 14-105)$$

Осевые размеры каналов от металла до металла  $\delta'_B$ ,  $\delta''_B$ ... ...  $\delta_H^{(n_B-1)}$  и  $\delta'_H$ ,  $\delta''_H$ ...  $\delta_H^{(n_H-1)}$ , входящие в (П14-105), считают от главного расстояния между обмотками ВН и НН.

#### Механические усилия в обмотках

## 1. Концентрические обмотки

1) Радиальная сила, стремящаяся растянуть обмотку ВН и сжать обмотку НН,  $F_{\rm p}$ , H (см. рис. 2-10):

$$F_{\rm p} = \frac{64 \, (I_{\rm M.K} w)^2 \pi D_{\rm cp} k_R}{H_{\rm o6}} \cdot 11^{-8}. \tag{\Pi 14-106}$$

Мгновенное максимальное значение тока короткого замыкапия, A,

$$I_{\text{M.K}} = \sqrt{2} k_{\text{M}} I_{\text{y.K}}.$$
 (П14-107)

Действующее значение установившегося тока короткого замы-кания, А,

$$I_{y.K} = I_H \frac{100}{u_K}$$
 (П14-108)

Коэффициент

$$k_{\rm M} = 1 + e^{-\pi u_{\rm a}/u_{\rm s}}.$$
 (П14-109)

2) Осевая сила, стремящаяся сжать обмотку в осевом направлении,  $F'_{oc}$ , H (рис. 2-11) [Л. 7]:

$$F'_{\text{oc}} = F_{\text{p}} \lambda / 2H_{\text{oo}},$$
 (\Pi14-110)

где  $\lambda = b_{061} + b_{062} + d_{06}$  (рис. П14-12).

3) Осевая сила, вызванная поперечным полем рассеяния от не заполненного витками разрыва ( $h_x$  в обмотке при выключении части витков),  $F''_{oc}$ , H [Л. 7]:

$$F''_{\text{oc}} = F_{\text{p}}h_x/x_{\text{o}}k_xk_{R}, \qquad (\Pi 14-111)$$

где  $x_6$  — расстояние от внутренней поверхности бака до стержня магнитопровода, см, которое определяется по формуле

$$x_6 = B_6 - D_c;$$
 ( $\Pi 14-112$ )

 $k_R$  — коэффициент Роговского по (П14-73) или табл. П14-6;  $k_x$  — коэффициент, зависящий от положения одиой обмотки по отношению к другой по высоте.

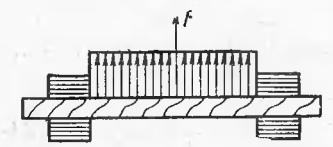


Рис. П14-14. Қ расчету силы, разрывающей обмотку по формуле (П14-113).

Различные взаимные расположения обмоток даны в [Л. 7]. 4) Сила, разрывающая обмотку (рис. П14-14), F<sub>раз</sub>, H:

$$F_{\text{pas}} = F_{\text{p}}/2\pi.$$
 (III4-II3)

Эта сила условно рассматривается как статическая.

5) Напряжение на разрыв провода брав, Па,

$$\sigma_{\text{pas}} = (F_{\text{pas}}/w_{\text{OG}}S_{\text{B}}) \ 10^4,$$
 (П14-114)

где  $S_B$  — сечение витка, см<sup>2</sup>.

а) Для медного провода σ<sub>раз</sub> ≤ (5÷6) 10<sup>7</sup> Па (500—600 кгс/см²).

б) Для алюминиевого σраз ≤2,25 · 107 Па (225 кгс/см²).

6) Напряжение сжатия на опорные поверхности (межкатушечные и опорные прокладки из электрокартона)  $\sigma_{\text{ож}}$ ,  $\Pi$ a,

$$\sigma_{\text{Сж}} = {}^{b}F_{\text{Сж}} \cdot 10^{4}/n_{\text{прек}}b_{\text{прек}}b_{\text{со}} \le (1,8 \div 2,0) 10^{7} \,\text{Па} (180 - 200 \,\text{krc/cm}^{2}),$$
(П14-115)

где  $n_{\tt прок}$  — число прокладок по окружности;  $b_{\tt прок}$  — ширина прокладки, см;  $b_{\tt 06}$  — радиальный размер обмотки, см.

В (П14-115) подставляют максимальную силу сжатия.

### 2. Чередующиеся обмотки

1) Осевая сила, действующая на одну из обмоток каждой подгруппы,  $F_{\text{oc}}$ , H (см. рис. 2-12):

$$F_{\text{o.c}} = 64I_{\text{M.K}}w^2 col_w k_R/n_{\text{H.rp}}b_{\text{co}},$$
 (III4-116)

где средняя длина витка  $l_w = \pi \hat{D}_{\rm cp}$ , см; коэффициент Роговского  $k_R = \pi$ 0 (П14-74) или по табл. П14-7;  $n_{\pi,\rm rp} = 0$  число подгрупп.

2) Изгибающая сила, отнесенная к одному пролету (Іпрол, м,

между прокладками),  $F_{\rm HSP}$ , H (рис.  $\Pi$ 14-15):

$$F_{\text{HSF}} = F_{\text{CC}} (2n_{\text{K}} - 1) / n^2_{\text{K}} n_{\text{прок}},$$
 (П14-117)

где  $n_{\kappa}$  — число катушек (или витков в винтовой обмотке) в одной подгруппе.

3) Максимальный изгибающий момент, Н м, в пролете между

двумя прокладками

$$M_{\text{Marc}} = F_{\text{M3T}} l_{\text{прол}} / 12.$$
 (П14-118)

4) Максимальное напряжение на изгиб для меди отвъ, Па,

$$\sigma_{\text{Mar}} = M_{\text{Marc}} / W_{\text{M.c}} \leq 5.5 \cdot 10^7 \text{ (550 krc/cm}^2).$$
 (П14-119)

Момент сопротивления, м3,

$$W_{\text{M.c}} = n_{\text{mp}} a^2 b / 6 \cdot 10^8. \tag{\Pi14-120}$$

Рис. П14-15. К расчету изгибающей силы, отнесенной к одному пролету, по формуле (П14-117).



#### V. Поверочный тепловой расчет

1. Удельные тепловые нагрузки q, Вт/м²

1) Непрерывные, дисковые и винтовые обмотки: для меди

$$q_{\rm M} = 21, 4I_{\rm KaT}w_{\rm KaT}\Delta k_{\rm B}k_{\rm B3}/k_{\rm 3aK}\Pi p_{\rm KaT};$$
 (П14-121)

для алюминия

$$q_a = 35,6 I_{KaT} w_{KaT} \Delta k_{IJ} k_{H3} / k_{3aK} \Pi p_{KaT}.$$
 (П14-122)

2) Цилиндрические обмотки: для меди

$$q_{\rm M} = 21, 4I_{\rm Kat} w_{\rm Kat} \Delta k_{\rm A} k_{\rm Hs} / k_{\rm 3aK} H_{\rm C6} n_{\rm HOB};$$
 (П14-123)

пля алюминия

$$q_a = 35,6 I_{\text{KaT}} w_{\text{KaT}} \Delta k_{\text{I}} k_{\text{H3}} / k_{3a_{\text{K}}} H_{06} n_{\text{поа}}.$$
 (П14-124)

Здесь  $k_{3ak}=1-n_{\rm прок}b_{\rm прок}/\pi D_{\rm cp.o.6}$ — коэффициент закрытия; Пр — периметр катушки, мм;  $I_{\rm kat}$ — ток, проходящий через катушку, А;  $w_{\rm kat}$ — число витков в катушке;  $\Delta$ — плотность тока,  $A/{\rm Mm}^2$ ;  $k_{\rm g}$ — коэффициент, учитывающий добавочные потери;  $v_{\rm max}$ — число теплоотдающих поверхностей;  $v_{\rm max}$ 0 коэффициент, учитывающий толщину изоляции провода против нормальной (0,45 мм на обе стороны),

$$k_{\text{MS}} = [1 + 0.364 (\delta_{\text{MS}} - 0.45)].$$
 (III4-125)

39—593 601

- 2. Превышение средней температуры обмоток над средней температирой масла ДӨоб/мас. °С
- А. Естественное масляное охлаждение М
- 1) Цилиндрические обмотки из прямоугольного провода

 $\Delta\Theta_{0.6}/_{\text{Mac}} = 0.159q^{0.7}$ °C.  $(\Pi 14-126)$ 

2) Непрерывные, дисковые и винтовые внутренние обмотки  $\Delta\Theta_{0.6}/_{\text{Mac}} = 0.41k_{\text{H}}q^{0.6}^{\circ}\text{C}.$  $(\Pi 14-127)$ 

3) Непрерывные, дисковые и винтовые наружные обмотки  $\Delta\Theta_{0.6}/_{\rm Mac} = 0.358k_{\rm H}q^{0.6}$ °C.

Коэффициент  $k_{\kappa}$  в зависимости от отношения высоты канала к глубине канала приведен в табл. П14-11.

Таблица П14-11

#### Значения коэффициента $k_{\rm K}$ [Л. 8]

| $h_{ m KAH}/b_{ m KAH}$ | 0,07-0.08 | 0,08-0,09 | 0,09-0,11 | 0,11—0,13 | 0,13-0,15 | 0,15-0,2 | Свыше<br>0,2 |
|-------------------------|-----------|-----------|-----------|-----------|-----------|----------|--------------|
| . k <sub>K</sub>        | 1,10      | 1,05      | 1,00      | 0,96      | 0,93      | 0,90     | 0,85         |

Б. Дутьевое охлаждение с естественной циркуляцией масла Д

$$\Delta\Theta_{06/\text{Mac}} = 0.159k_{\text{K}}q^{0.7}{}^{\circ}\text{C}.$$
 (III4-129)

В. Масляно-водяное охлаждение с принуди-•тельной циркуляцией масла Ц

$$\Delta\Theta_{\text{o}\,\text{o}/\text{Mac}} = 0.113 q'^{\,0.7} \,^{\circ}\text{C}$$
 (П14-130)

или по кривой рис. П14-16.

Г. Дутьевое охлаждение с принудительной циркуляцией масла ДЦ

$$\Delta\Theta_{\text{o}6/\text{Mac}} = 0.113q'^{0.7} \,^{\circ}\text{C}$$
 (П14-131)

или по кривой рис. П14-16.

В формулах (П14-130) и (П14-131) q' — удельная тепловая нагрузка с учетом поправки на канал, т. е.  $q\pm\Delta q$ , где  $\pm\Delta q$  — из табл. П14-12 и П14-13.

Таблина П1**4-1**2

# Поправки на канал у дисковой обмогки, Вт/м2 (данные МЭЗ)

| 9                                 | Δζ                                         | при радиальн                               | юм размере ка                           | тушки $b_{K}$ , м                           | M                                            |  |
|-----------------------------------|--------------------------------------------|--------------------------------------------|-----------------------------------------|---------------------------------------------|----------------------------------------------|--|
| Высота канала<br><i>h</i> кан, мм | 6080                                       | 81—105                                     | 106—130                                 | 131—155                                     | 156—185                                      |  |
| 6<br>8<br>10<br>12<br>14<br>16    | +400<br>+120<br>-20<br>-90<br>-170<br>-230 | +500<br>+240<br>+100<br>+30<br>-50<br>-120 | +550<br>+300<br>+150<br>+80<br>0<br>-60 | +650<br>+390<br>+260<br>+190<br>+120<br>+60 | +750<br>+470<br>+330<br>+250<br>+190<br>+120 |  |

# Поправки на канал у винтовой обмотки, Вт/м<sup>2</sup> (данные МЭЗ)

| Высота канала         | Δζ                           | 7 при радиалы             | ном размере к               | атушки $b_{{f K}^{f o}}$ м   | М                            |
|-----------------------|------------------------------|---------------------------|-----------------------------|------------------------------|------------------------------|
| h <sub>кан</sub> , мм | До 20                        | 2130                      | 31—40                       | 4160                         | 61—80                        |
| 5<br>6<br>8<br>10     | $+300 \\ +150 \\ +60 \\ -60$ | +370<br>+220<br>+120<br>0 | +420<br>+230<br>+150<br>+60 | +470<br>+330<br>+420<br>+120 | +520<br>+380<br>+300<br>+180 |

Д. Системы охлаждения ДЦ и Ц с направленной циркуляцией масла в обмотках (см. ниже п. VI).

Е. Масляно-водяное охлаждение с естественной циркуляцией масла МВ (внутри бака по всему периметру — змеевик, по которому прокачивается вода)

$$\Delta\Theta_{o6/Mac} = 0,113q^{0.7}$$
 °C. (II14-132)

3. Превышение средней температуры масла над температурой окружающей среды  $\Delta\Theta_{\text{Mac/Bo3}}$  °C

А. Охлаждение М

$$\Delta\Theta_{\text{Mac/Bo3}} = 0.262q^{0.8} \, \text{°C}.$$
 (\Pi14-133)

Б. Охлаждение Д

$$\Delta\Theta_{\text{Mac/BO3}} = 0,191q_6^{0,8}$$
 (III4-134)

4. Удельная тепловая нагрузка бака q6, Вт/м2,

$$q_6 = P_{\text{пот}}/\Sigma F_{\text{т.п.}} \tag{\Pi14-135}$$

5. Сумма теплоотдающих поверхностей, м<sup>2</sup>

1) Гладкий бак

$$\Sigma F_{\text{T.fl}} = F_{\text{F.fl.}6} + 0.75 F_{\text{Kp.}}$$
 (П14-136)

Таблица П14-14

### Значения коэффициентов $k_{\rm II}$ и $k_{\rm P}$ (по данным МЭЗ)

| Число      | <b>Коэфф</b> ициенты |      |                                                                                                              |  |  |
|------------|----------------------|------|--------------------------------------------------------------------------------------------------------------|--|--|
| рядов труб | $k_{\Pi}$ $k_{p}$    |      | Примечания                                                                                                   |  |  |
| 1          | 0,90                 | 1,00 | 1. Значения коэффициентов даны для наружного диаметра труб $d_{\text{H.T}}$ =51 мм                           |  |  |
| 2          | 0,80                 | 0,96 | и шага между трубами $h_{\rm m} = 75$ мм 2. Обычно $d_{\rm H.T} \approx 40 \div 50$ мм и $h_{\rm m} \approx$ |  |  |
| 3          | 0,75                 | 0,94 | $\approx (1,5\div 2)^{\circ}d_{\mathrm{H.T}}$                                                                |  |  |
| 4          | 0,66                 | 0,91 |                                                                                                              |  |  |
| 1          |                      |      |                                                                                                              |  |  |

2) Трубчатый бак

$$\Sigma F_{\text{T.II}} = k_{\text{II}} k_{\text{P}} (F_{\text{F.II.6}} + F_{\text{TP}}) + 0.75 F_{\text{KP}}$$
 (II14-137)

3) Радиаторный бак

$$\Sigma F_{\text{T.II}} = F_{\text{r.II.5}} + k_{\text{II}} k_{\text{p}} F_{\text{par}} n_{\text{par}} + 0.75 F_{\text{Kp}}.$$
 (П14-138)

Значения коэффициентов  $k_{\pi}$  и  $k_{p}$  зависят от числа рядов труб и даны в табл.  $\Pi 14\text{-}14$ .

6. Поверхности различных баков, м2

1) Гладкий прямоугольный бак

$$F_{r.\pi.6} = 2(A_6 + B_6)H_610^{-6}$$
. (III4-139)

2) Гладкий овальный бак

$$F_{\text{F.H.6}} = [2(A_6 - B_6) + \pi B_6] H_6 10^{-6}.$$
 (П14-140)

3) Поверхность труб

$$F_{\rm Tp} = \pi d_{\rm HT} \left( m_{\rm Tp1} l_{\rm Tp1} + m_{\rm Tp2} l_{\rm Tp2} + \dots + m_{\rm Tp} \, n l_{\rm Tp} \, n \right) \cdot 10^{-6}, \quad (\Pi 14-141)$$

где  $l_{{ t TpI}}$ ,  $l_{{ t Tp2}},\ldots$ ,  $l_{{ t Tpn}}$  — развернутые длины труб соответствующих рядов, мм;  $m_{{ t TpI}}$ ,  $m_{{ t Tp2}},\ldots$ ,  $m_{{ t Tpn}}$  — числа труб в соответствующих рядах.

4) Поверхность одинарного радиатора

$$F'_{\text{pag}} = \pi d_{\text{H.P}} m_{\text{Tp}} (l_{\text{Tp1}} + l_{\text{Tp2}} + ... + l_{\text{Tp}n}) 10^{-6}.$$
 (П14-142)

5) Поверхность двойного радиатора

$$F_{\text{pag}} = 2F'_{\text{pag}}.$$
 (П14-143)

Действительная и эффективная поверхности отечественных радиаторов даны в табл. П10-2.

7. Превышение температуры масла в верхних слоях над температурой окружающей среды  $\Delta\Theta'_{\text{Mac/Bos}}, {}^{\circ}\!C,$ 

$$\Delta\Theta'_{\text{Mac/BO3}} \approx 1,2\Delta\Theta_{\text{Mac/BO3}} + \Delta\Theta''_{\text{M}},$$
 (П14-144)

здесь  $\Delta\Theta''_{\rm M}$  — поправка;  $\Delta\Theta''_{\rm M}$  =  $(h_{
m q}-0.48)/0.03$ , где  $h_{
m q}$  — отношение высоты центра потерь (активиой части) к центру охлаждения бака (значение  $\Delta\Theta''_{
m M}$  округляют до целых градусов).

8. Превышение средней температуры обмоток над температурой окружающей среды  $\Delta\Theta_{o5/eo3}$ , °C

$$\Delta\Theta_{\text{of/Bo3}} = \Delta\Theta_{\text{of/Mac}} + \Delta\Theta_{\text{Mac/Bo3}}.$$
 (П14-145)

Тепловой расчет охлаждения Ц (по данным МЭЗ) 1) Разность между температурами масла, входящего  $\Theta_{\text{M1}}$  и выходящего из маслоохладителя  $\Theta_{\text{M2}}$ , °C:

$$\Delta\Theta_{\rm M} = \Theta_{\rm M1} - \Theta_{\rm M2} \approx 3.6 P_{\rm HOT} 10^{2} / Q_{\rm M} c_{\rm M2M},$$
 ([114-146])

где  $P_{\text{пот}}$ —суммарные потери трансформатора, Вт;  $Q_{\text{м}}$ —расход масла через маслоохладитель, м³/ч (см. табл. II10-10);  $c_{\text{м}}$ — удельная теплоемкость масла, Дж/(кг  $\cdot$  °C) (см. табл. II14-17);  $\rho_{\text{м}}$ — плотность масла, кг/м³ (см. там же).

2) Разность между температурами выходящей из маслоохлади-

теля воды и  $\Theta_{\text{в1}}$  и входящей в маслоохладитель воды  $\Theta_{\text{в2}}$ , °C

$$\Delta\Theta_{\rm B} = \Theta_{\rm B1} - \Theta_{\rm B2} = 86P_{\rm HOT}/Q_{\rm B} \, 10^{-3},$$
 (П14-147)

где  $Q_{\rm B}$  — расход воды через маслоохладитель, м $^{\rm 8}$ /ч (см. табл. П10-10).

3) Температура выходящего из маслоохладителя масла  $Q_{\text{м2}}$ , °C:

$$\Theta_{\text{M2}} = \Theta_{\text{B2}} + (\Delta\Theta_{\text{M}} - \Delta\Theta_{\text{B}})/(A-1) = 25 + (\Delta\Theta_{\text{M}} - \Delta\Theta_{\text{B}})/(A-1),$$
(П14-148)

где

$$A = (\Theta_{M1} - \Theta_{B1})/(\Theta_{M2} - \Theta_{B2}) = 10^{(\Delta\Theta_{M} - \Delta\Theta_{B})/2,3T_{M}}; \qquad (\Pi14-149)$$

$$1g A = (\Delta\Theta_{M} - \Delta\Theta_{B})/2,3T_{M}; \qquad (\Pi14-150)$$

здесь  $T_{\rm m}$  — логарифмическая разность температур масла и воды,

$$T_{\rm M} = 860 \ P_{\rm HoT}/k_{\rm Ten} F_0$$
, °C (II14-151),

 $[F_0$  — охлаждающая поверхность маслоохладителя, м², из табл. П10-7;  $k_{\text{теп}}$  — коэффициент теплопередачи маслоохладителя по паспорту маслоохладителя,  $\text{Вт/м}^2 \cdot {}^{\circ}\text{C}$ ].

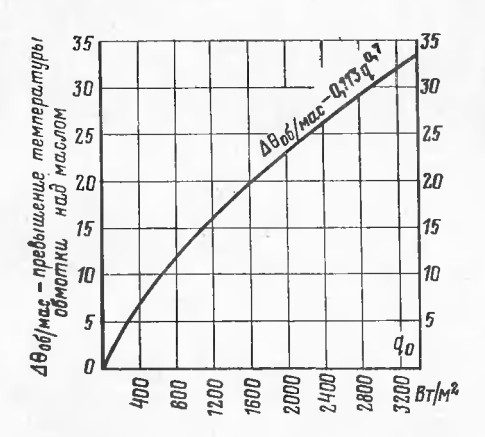


Рис. П14-16. Средиее превышение температуры обмотки.

VI. Тепловой расчет обмоток с направленной (прииудительной) циркуляцией в них масла в диапазоне геометрических размеров, указанных в табл. П14-15

Обозначения геометрических размеров обмотки даны на рис. П14-17.

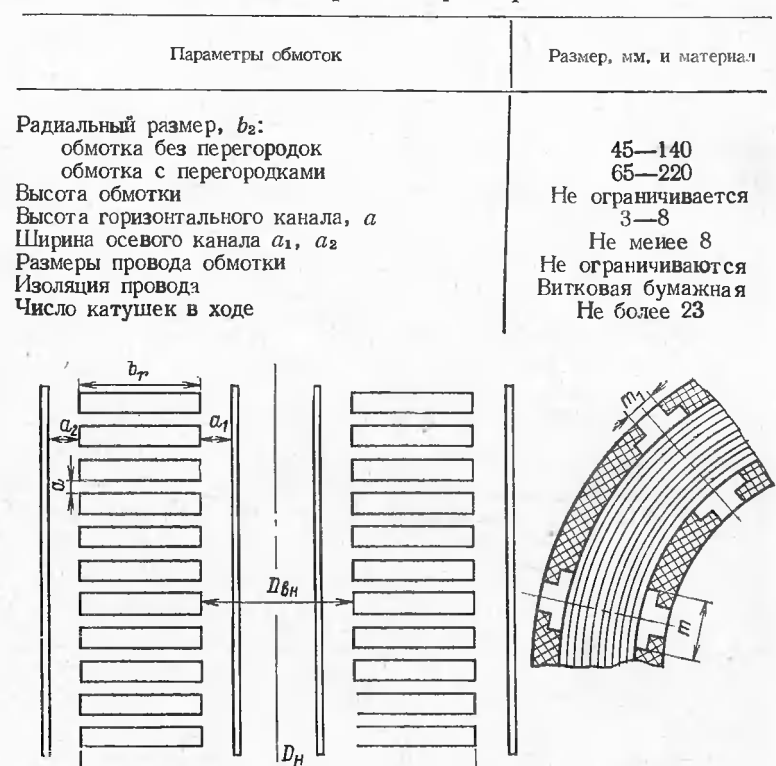


Рис. П14-17. Обозначения геометрических размеров обмоток.

#### А. Обмотки без перегородок

1. Определяем удельную тепловую нагрузку q без учета поправок по соответствующим формулам формуляра.

2. Определяем сечение, м², для прохода масла во внутреинем вертикальном канале

$$S_1 = \pi D_1 a_1 - S_{13ak},$$
 (III4-152)

где  $D_1 = D_{\text{вн}} - a_1$  — средний диаметр внутреннего вертикального канала, м;  $a_1$  — ширина внутреннего вертикального канала, м.

Определяем сечение, м², для прохода масла в наружном вертикальном канале

$$S_2 = \pi D_2 a_2 - S_{23aR},$$
 (III4-153)

где  $D_2 = D_m + a_2$  — средний диаметр наружного вертикального канала, м;  $a_2$  — ширина наружного вертикального канала, м.

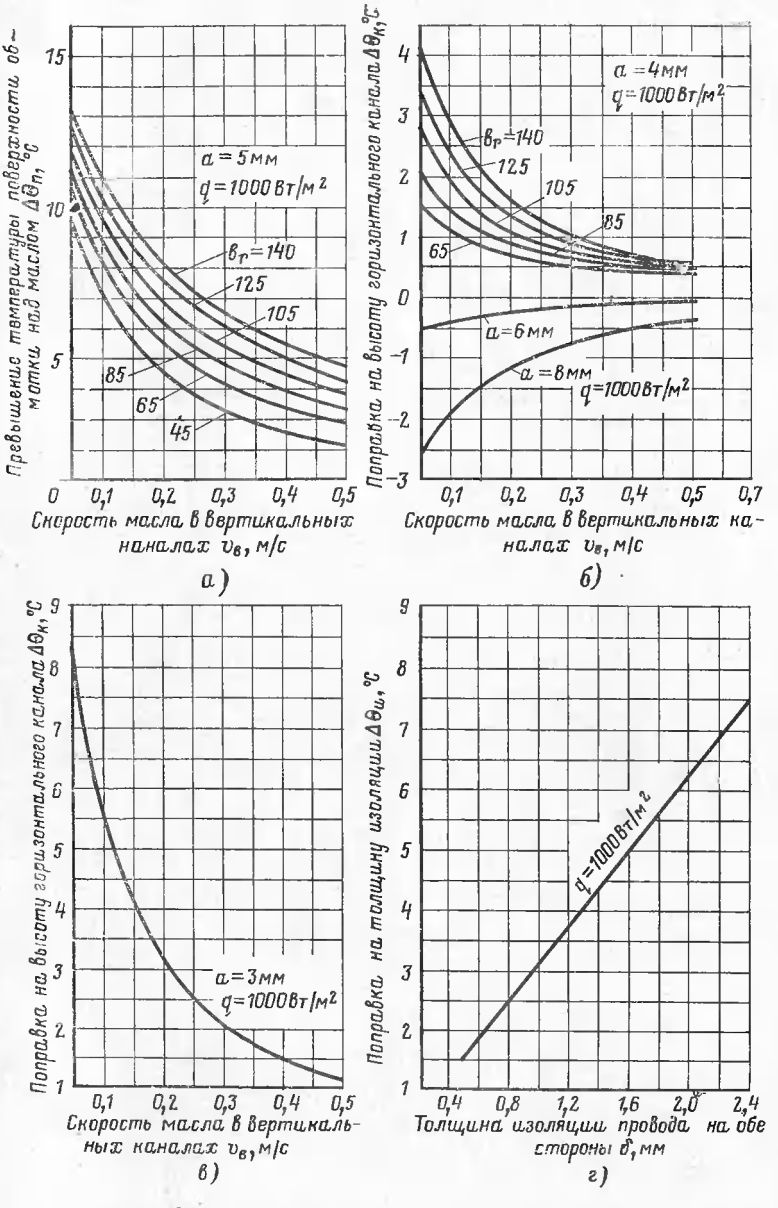


Рис. II14-18. Кривые для определения перегрева поверхности обмотки над маслом  $\Theta \Delta$ , °C.

a — зависимость  $\Delta\Theta_{\rm m}=f(v_{\rm m})$  при  $a=5\,$  мм и  $q=1000\,$  Вт/м²; b — поправка иа высоту геризонтального канала  $\Delta\Theta_{\rm K}=f(v_{\rm m})$  при a=4, b и 8 мм; b — то же при  $a=3\,$  мм; b — поправка на толщину изоляции  $\Delta\Theta_{\rm m}=f(b)$ .

4. Определяем суммарное сечение,  $\mathsf{M}^2$ , для прохода масла в вертикальных каналах

 $S_{\text{B}} = S_1 + S_2.$  (II14-154)

5. Определяем скорость масла в вертикальных каналах, м/с,  $v_{\rm B} = Q_{\rm M}/3600 S_{\rm B}.$ 

6. Определяем по рис. П14-18,a привышение температуры поверхности обмоток над маслом  $\Delta\Theta_{\rm m}$ , °C, в зависимости от  $b_2$  и  $v_{\rm B}$ 

при a=5 мм и q=1000 Вт/м<sup>2</sup>.

7. Определяем по рис. П14-18,6 и в поправку на высоту a горнзонтального канала, отличную от высоты 5 мм ( $\Delta\Theta_{\kappa}$ , °C). Для a, равного 3, 6 и 8 мм, поправка одинакова для всех радиальных размеров.

8. Определяем по рис. П14-18,г поправку на толщину изоляции

провода  $\Delta\Theta_{m} = f(\delta)$ , °C.

9. Определяем среднее превышение температуры обмотки над маслом, °C,

$$\Delta\Theta_0 = \frac{q}{1000} \left( \Delta\Theta_{\rm H} + \Delta\Theta_{\rm K} + \Delta\Theta_{\rm H} \right). \tag{\Pi14-155}$$

 Определяем по рис. П14-19 кривые превышений температуры максимально нагретой точки обмотки над средней температурой

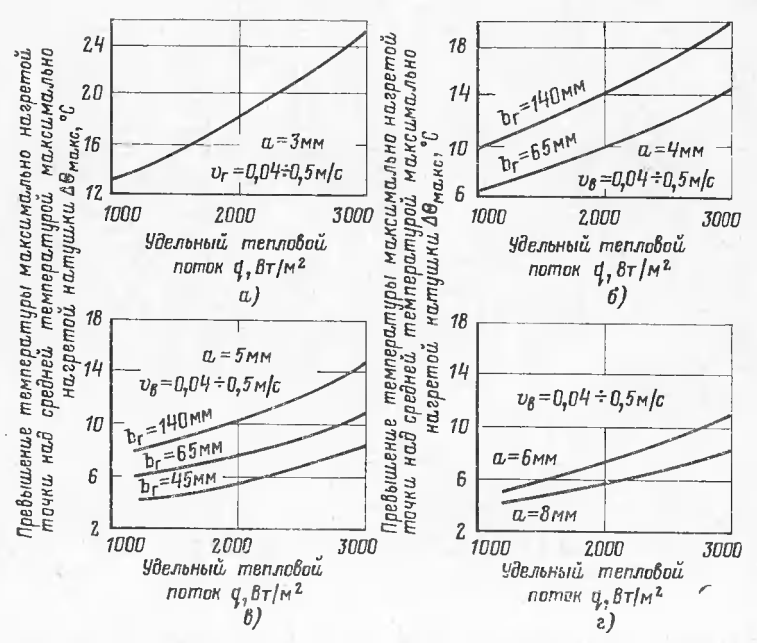


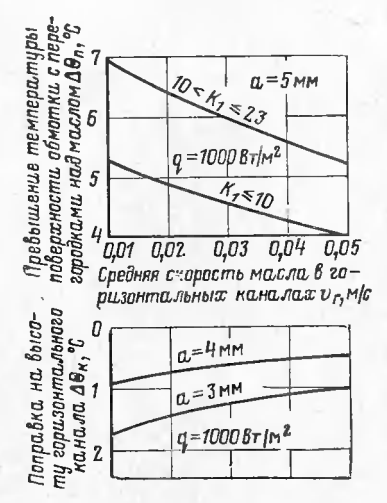
Рис. П14-19. Кривые для определения превышения температуры максимально нагретой точки над средней температурой максимально нагретой катушки при  $v_B = 0.04 \div 0.5 \text{ м/c}$ .

a — при a = 3 мм; b — при a = 4 мм; b — при a = 5 мм; c — при a = 6 и 8 мм.

максимально нагретой катушки  $\Delta\Theta_{\text{макс}} = f(v = 0.04 \div 0.5 \text{ м/c})$  при:

a) a=3 mm; б) a=4 mm; в) a=5 mm; г) a=6 и 8 mm.

Кривые (рис. II14-20) даны для определения температуры поверхности обмотки с перегородками над маслом при a=5 мм и  $q=1000~{\rm Br/m^2}$  для чисел катушек в ходе  $k_1{\leqslant}10~{\rm u}~10{<}k_1{\leqslant}23$ ; а также поправка на высоту горизонтального канала при  $a=3~{\rm u}$  4 мм.



12 11 12 11 12 11 12 11 12 11 12 11 12 11 12 11 12 11 12 11 12 11 12 11 12 11 12 11 12 11 12 11 12 11 12 11 12 11 12 11 12 11 12 11 12 11 12 11 12 11 12 11 12 11 12 11 12 11 12 11 12 11 12 11 12 11 12 11 12 11 12 11 12 11 12 11 12 11 12 11 12 11 12 11 12 11 12 11 12 11 12 11 12 11 12 11 12 11 12 11 12 11 12 11 12 11 12 11 12 11 12 11 12 11 12 11 12 11 12 11 12 11 12 11 12 11 12 11 12 11 12 11 12 11 12 11 12 11 12 11 12 11 12 11 12 11 12 11 12 11 12 11 12 11 12 11 12 11 12 11 12 11 12 11 12 11 12 11 12 11 12 11 12 11 12 11 12 11 12 11 12 11 12 11 12 11 12 11 12 11 12 11 12 11 12 11 12 11 12 11 12 11 12 11 12 11 12 11 12 11 12 11 12 11 12 11 12 11 12 11 12 11 12 11 12 11 12 11 12 11 12 11 12 11 12 11 12 11 12 11 12 11 12 11 12 11 12 11 12 11 12 11 12 11 12 11 12 11 12 11 12 11 12 11 12 11 12 11 12 11 12 11 12 11 12 11 12 11 12 11 12 11 12 11 12 11 12 11 12 11 12 11 12 11 12 11 12 11 12 11 12 11 12 11 12 11 12 11 12 11 12 11 12 11 12 11 12 11 12 11 12 11 12 11 12 11 12 11 12 11 12 11 12 11 12 11 12 11 12 11 12 11 12 11 12 11 12 11 12 11 12 11 12 11 12 11 12 11 12 11 12 11 12 11 12 11 12 11 12 11 12 11 12 11 12 11 12 11 12 11 12 11 12 11 12 11 12 11 12 11 12 11 12 11 12 11 12 11 12 11 12 11 12 11 12 11 12 11 12 11 12 11 12 11 12 11 12 11 12 11 12 11 12 11 12 11 12 11 12 11 12 11 12 11 12 11 12 11 12 11 12 11 12 11 12 11 12 11 12 11 12 11 12 11 12 11 12 11 12 11 12 11 12 11 12 11 12 11 12 11 12 11 12 11 12 11 12 11 12 11 12 11 12 11 12 11 12 11 12 11 12 11 12 11 12 11 12 11 12 11 12 11 12 11 12 11 12 11 12 11 12 11 12 11 12 11 12 11 12 11 12 11 12 11 12 11 12 11 12 11 12 11 12 11 12 11 12 11 12 11 12 11 12 11 12 11 12 11 12 11 12 11 12 11 12 11 12 11 12 11 12 11 12 11 12 11 12 11 12 11 12 11 12 11 12 11 12 11 12 11 12 11 12 11 12 11 12 11 12 11 12 11 12 11 12 11 12 11 12 11 12 11 12 11 12 11 12 11 12 11 12 11 12 11 12 11 12 11 12 11 12 11 12 11 12 11 12 11 12 11 12 11 12 11 12 11 12 11 12 11 12 11 12 11 12 11 12 11 12 11 12 11 12 11 12 11 12 11 12 11 12 11 12 11 12 11 12 11 12 11 12 11 12 11 12 11 12 11 12 11 12 11

Рис. П14-20. Кривые для определения превышения температуры,  $\Delta\Theta$ , °C, поверхности обмотки с перегородками над маслом при a=5 мм и q=1000 Вт/м² и поправки на высоту горизонтального канала при a=3 и 4 мм.

Рис. П14-21. Кривые для определения превышения температуры максимально нагретой точки над средней температурой максимально нагретой катушки (обмотки с перегородками) при  $\alpha$ =3 и 5 мм.

Кривые для определения превышения температуры максимально нагретой точки над средней температурой максимально нагретой катушки (обмотки с перегородками) при a=3 и 5 мм ( $\Delta\Theta_{\kappa}$ ) приведены на рис. П14-21.

11. Определяем разность температур масла на выходе из об-

мотки и входе в нее

$$\Delta\Theta_{\rm M} = 3.6P10^3/Q_{\rm M}\rho c,$$
 (II14-156)

где P — тепловой поток обмотки, Вт;  $Q_{\rm M}$  — расход масла через обмотку, м³/ч;  $\rho$  — плотность масла кг/м³; c — удельная теплоемкость масла, Дж/(кг- $^{\circ}$ С) из табл. П14-16.

12. Определяем температуру масла, °С, на выходе из обмотки  $\Theta_{\text{м. вых}} = \Theta_{\text{м. вых}} + \Delta \Theta_{\text{м.}}$  (П14-157)

13. Определяем среднюю температуру, °C, максимально нагретой катушки

$$\Theta_{\text{R8T}} = \Delta\Theta_0 + \Theta_{\text{M}}. \tag{II14-158}$$

Таблица 14-16 Параметры трансформаторного масла в зависимости от температуры

|                                                                                                                                                                      | от температуры                                                                                                                                                                                                                                                                                                                                                                                                                                                                                                                                                                                                                                                                                                                                                                                                                                                                                                                                                                                                                                                                                                                                                                                                                                                                                                                                                                                                                                                                                                                                                                                                                                                                                                                                                                                                                                                                                                                                                                                                                                                                                                                                                                                                                                                                                                                                                                                                                                                                                                                                                                                                                                                                                                                                                                                                                                                                                                                                                                                                                                                                                                                                                                            |                                                                                                                                                                                                                                                                                                                                                                    |                                                                                                                                                                                                                                                                                                                                                        |                                                                                                                                                                                                                                                       |                                                                                                            |                                                                                                                                                                                                                                                                                           |                                                                                                                                                                                                                                                                                                                                                    |
|----------------------------------------------------------------------------------------------------------------------------------------------------------------------|-------------------------------------------------------------------------------------------------------------------------------------------------------------------------------------------------------------------------------------------------------------------------------------------------------------------------------------------------------------------------------------------------------------------------------------------------------------------------------------------------------------------------------------------------------------------------------------------------------------------------------------------------------------------------------------------------------------------------------------------------------------------------------------------------------------------------------------------------------------------------------------------------------------------------------------------------------------------------------------------------------------------------------------------------------------------------------------------------------------------------------------------------------------------------------------------------------------------------------------------------------------------------------------------------------------------------------------------------------------------------------------------------------------------------------------------------------------------------------------------------------------------------------------------------------------------------------------------------------------------------------------------------------------------------------------------------------------------------------------------------------------------------------------------------------------------------------------------------------------------------------------------------------------------------------------------------------------------------------------------------------------------------------------------------------------------------------------------------------------------------------------------------------------------------------------------------------------------------------------------------------------------------------------------------------------------------------------------------------------------------------------------------------------------------------------------------------------------------------------------------------------------------------------------------------------------------------------------------------------------------------------------------------------------------------------------------------------------------------------------------------------------------------------------------------------------------------------------------------------------------------------------------------------------------------------------------------------------------------------------------------------------------------------------------------------------------------------------------------------------------------------------------------------------------------------------|--------------------------------------------------------------------------------------------------------------------------------------------------------------------------------------------------------------------------------------------------------------------------------------------------------------------------------------------------------------------|--------------------------------------------------------------------------------------------------------------------------------------------------------------------------------------------------------------------------------------------------------------------------------------------------------------------------------------------------------|-------------------------------------------------------------------------------------------------------------------------------------------------------------------------------------------------------------------------------------------------------|------------------------------------------------------------------------------------------------------------|-------------------------------------------------------------------------------------------------------------------------------------------------------------------------------------------------------------------------------------------------------------------------------------------|----------------------------------------------------------------------------------------------------------------------------------------------------------------------------------------------------------------------------------------------------------------------------------------------------------------------------------------------------|
| Temmeparypa,                                                                                                                                                         | Плотность р, кг/м <sup>8</sup>                                                                                                                                                                                                                                                                                                                                                                                                                                                                                                                                                                                                                                                                                                                                                                                                                                                                                                                                                                                                                                                                                                                                                                                                                                                                                                                                                                                                                                                                                                                                                                                                                                                                                                                                                                                                                                                                                                                                                                                                                                                                                                                                                                                                                                                                                                                                                                                                                                                                                                                                                                                                                                                                                                                                                                                                                                                                                                                                                                                                                                                                                                                                                            | Удельная теплоемкость с, Дж/(кг.°С)                                                                                                                                                                                                                                                                                                                                | Коэффициент<br>теплопровод-<br>ности д,<br>Вт/(м.°С)                                                                                                                                                                                                                                                                                                   | Коэффициент<br>температуро-<br>проводности<br>с.10°, м²/с                                                                                                                                                                                             | Коэффициент кинематиче-<br>ской вязкости у 10°, м²/с                                                       | «Коэффициент<br>объемногодрас-<br>пирения<br>3.104, 1/°С                                                                                                                                                                                                                                  | Число Пранд-<br>тля Рг                                                                                                                                                                                                                                                                                                                             |
| 31<br>32<br>33<br>34<br>35<br>36<br>37<br>38<br>39<br>41<br>42<br>43<br>44<br>45<br>55<br>55<br>55<br>56<br>61<br>62<br>63<br>64<br>66<br>67<br>71<br>72<br>73<br>74 | 878,8<br>878,1<br>877,5<br>876,9<br>876,2<br>875,6<br>875,6<br>874,3<br>873,7<br>873,1<br>872,4<br>871,1<br>870,5<br>869,9<br>869,2<br>868,6<br>867,3<br>866,7<br>866,1<br>865,4<br>864,8<br>864,2<br>863,5<br>862,9<br>862,9<br>862,9<br>862,9<br>863,6<br>863,5<br>864,8<br>864,8<br>864,8<br>864,8<br>864,8<br>864,8<br>864,8<br>864,8<br>865,9<br>865,9<br>865,9<br>865,9<br>865,9<br>865,9<br>865,9<br>865,9<br>865,9<br>865,9<br>865,9<br>865,9<br>865,9<br>865,9<br>865,9<br>865,9<br>865,9<br>865,9<br>865,9<br>865,9<br>865,9<br>865,9<br>865,9<br>865,9<br>865,9<br>865,9<br>865,9<br>865,9<br>865,9<br>865,9<br>865,9<br>865,9<br>865,9<br>865,9<br>865,9<br>866,7<br>866,7<br>866,1<br>866,1<br>866,9<br>867,3<br>866,9<br>867,9<br>867,9<br>867,9<br>868,9<br>869,9<br>869,9<br>869,9<br>869,9<br>869,9<br>869,9<br>869,9<br>869,9<br>869,9<br>869,9<br>869,9<br>869,9<br>869,9<br>869,9<br>869,9<br>869,9<br>869,9<br>869,9<br>869,9<br>869,9<br>869,9<br>869,9<br>869,9<br>869,9<br>869,9<br>869,9<br>869,9<br>869,9<br>869,9<br>869,9<br>869,9<br>869,9<br>869,9<br>869,9<br>869,9<br>869,9<br>869,9<br>869,9<br>869,9<br>869,9<br>869,9<br>869,9<br>869,9<br>869,9<br>869,9<br>869,9<br>869,9<br>869,9<br>869,9<br>869,9<br>869,9<br>869,9<br>869,9<br>869,9<br>869,9<br>869,9<br>869,9<br>869,9<br>869,9<br>869,9<br>869,9<br>869,9<br>869,9<br>869,9<br>869,9<br>869,9<br>869,9<br>869,9<br>869,9<br>869,9<br>869,9<br>869,9<br>869,9<br>869,9<br>869,9<br>869,9<br>869,9<br>869,9<br>869,9<br>869,9<br>869,9<br>869,9<br>869,9<br>869,9<br>869,9<br>869,9<br>869,9<br>869,9<br>869,9<br>869,9<br>869,9<br>869,9<br>869,9<br>869,9<br>869,9<br>869,9<br>869,9<br>869,9<br>869,9<br>869,9<br>869,9<br>869,9<br>869,9<br>869,9<br>869,9<br>869,9<br>869,9<br>869,9<br>869,9<br>869,9<br>869,9<br>869,9<br>869,9<br>869,9<br>869,9<br>869,9<br>869,9<br>869,9<br>869,9<br>869,9<br>869,9<br>869,9<br>869,9<br>869,9<br>869,9<br>869,9<br>869,9<br>869,9<br>869,9<br>869,9<br>869,9<br>869,9<br>869,9<br>869,9<br>869,9<br>869,9<br>869,9<br>869,9<br>869,9<br>869,9<br>869,9<br>869,9<br>869,9<br>869,9<br>869,9<br>869,9<br>869,9<br>869,9<br>869,9<br>869,9<br>869,9<br>869,9<br>869,9<br>869,9<br>869,9<br>869,9<br>869,9<br>869,9<br>869,9<br>869,9<br>869,9<br>869,9<br>869,9<br>869,9<br>869,9<br>869,9<br>869,9<br>869,9<br>869,9<br>869,9<br>869,9<br>869,9<br>869,9<br>869,9<br>869,9<br>869,9<br>869,9<br>869,9<br>869,9<br>869,9<br>869,9<br>869,9<br>869,9<br>869,9<br>869,9<br>869,9<br>869,9<br>869,9<br>869,9<br>869,9<br>869,9<br>869,9<br>869,9<br>869,9<br>869,9<br>869,9<br>869,9<br>869,9<br>869,9<br>869,9<br>869,9<br>869,9<br>869,9<br>869,9<br>869,9<br>869,9<br>869,9<br>869,9<br>869,9<br>869,9<br>869,9<br>869,9<br>869,9<br>869,9<br>869,9<br>869,9<br>869,9<br>869,9<br>869,9<br>869,9<br>869,9<br>869,9<br>869,9<br>869,9<br>869,9<br>869,9<br>869,9<br>869,9<br>869,9<br>869,9<br>869,9<br>869,9<br>869,9<br>869,9<br>869,9<br>869,9<br>869,9<br>869,9<br>869,9<br>869,9<br>869,9<br>869,9<br>869,9<br>869,9<br>869,9<br>869,9<br>869,9<br>869,9<br>869,9<br>869,9<br>869,9<br>869,9<br>869,9<br>869,9<br>869,9<br>869,9<br>869,9<br>869,9 | 1752,9<br>1759,0<br>1765,0<br>1771<br>1777<br>1783<br>1789<br>1795<br>1801<br>1807<br>1813<br>1819<br>1825<br>1831<br>1837<br>1843<br>1849<br>1855<br>1861<br>1868<br>1874<br>1880<br>1886<br>1892<br>1898<br>1904<br>1910<br>1916<br>1922<br>1928<br>1934<br>1940<br>1946<br>1952<br>1958<br>1964<br>1970<br>1976<br>1982<br>1988<br>1994<br>2000<br>2006<br>2012 | 0,1180 0,1178 0,1177 0,1176 0,1175 0,1174 0,1174 0,1173 0,1172 0,1171 0,1169 0,1168 0,1165 0,1164 0,1165 0,1164 0,1165 0,1165 0,1165 0,1164 0,1165 0,1165 0,1165 0,1165 0,1165 0,1165 0,1166 0,1165 0,1167 0,1158 0,1157 0,1158 0,1157 0,1158 0,1151 0,1154 0,1153 0,1152 0,1151 0,1154 0,1145 0,1148 0,1147 0,1146 0,1148 0,1147 0,1146 0,1143 0,1142 | 76,69 76,40 76,05 75,79 75,53 75,26 75,00 74,81 74,55 74,29 74,04 73,78 73,53 73,28 73,03 72,85 72,12 71,83 71,59 71,36 70,71 70,48 70,26 70,03 69,80 69,58 69,35 69,12 68,96 68,74 68,52 68,96 68,74 68,52 68,96 67,88 67,66 67,44 67,29 67,08 66,67 | 26051518530853085318642087532087643219876544<br>1133211110000853085318642087532087643219876544<br>14444444 | 7,237 7,243 7,243 7,248 7,253 7,258 7,264 7,269 7,279 7,285 7,290 7,295 7,301 7,306 7,311 7,322 7,327 7,333 7,338 7,344 7,359 7,365 7,371 7,376 7,382 7,387 7,388 7,344 7,359 7,365 7,371 7,376 7,382 7,388 7,403 7,409 7,414 7,420 7,425 7,431 7,436 7,442 7,447 7,453 7,459 7,464 7,470 | 185,2<br>178,9<br>164,9<br>160,2<br>152,8<br>148,0<br>144,4<br>140,8<br>135,1<br>132,8<br>129,2<br>126,9<br>123,2<br>120,1<br>114,7<br>112,3<br>106,2<br>117,1<br>114,7<br>112,3<br>106,2<br>103,7<br>101,2<br>98,8<br>86,2<br>95,5<br>96,9<br>123,8<br>87,7<br>76,2<br>77,3<br>76,3<br>77,3<br>77,9<br>77,9<br>77,9<br>77,9<br>77,9<br>77,9<br>77 |

| 2                                                                                            | -                                                                                                                                    |                                                                                                                      |                                                                                                                                          |                                                                                                                                                       |                                                                                         |                                                                                           |                                                                                                                              |
|----------------------------------------------------------------------------------------------|--------------------------------------------------------------------------------------------------------------------------------------|----------------------------------------------------------------------------------------------------------------------|------------------------------------------------------------------------------------------------------------------------------------------|-------------------------------------------------------------------------------------------------------------------------------------------------------|-----------------------------------------------------------------------------------------|-------------------------------------------------------------------------------------------|------------------------------------------------------------------------------------------------------------------------------|
| Температура,                                                                                 | Плотность р, кг/м³                                                                                                                   | Удељная теп-<br>лосмкость с,<br>Дж/(кг.°С)                                                                           | Коэффициент<br>ности х,<br>Вт/(м.°С)                                                                                                     | Коэффициент<br>температуро-<br>проводности<br>с.10°, м²/с                                                                                             | Коэффициент кинематиче-<br>ской вязкости у·10°, м²/с                                    | Козффициент объемного рас-<br>ширения<br>8.104, 1/°С                                      | Число Пранд-<br>тля <b>Рг</b>                                                                                                |
| 75<br>76<br>77<br>78<br>79<br>80<br>81<br>82<br>83<br>84<br>85<br>86<br>87<br>88<br>89<br>90 | 850,8<br>850,2<br>849,5<br>848,9<br>848,3<br>847,6<br>846,98<br>846,3<br>845,1<br>844,4<br>843,8<br>843,2<br>842,5<br>841,9<br>841,3 | 2018<br>2024<br>2030<br>2036<br>2042<br>2048<br>2054<br>2066<br>2073<br>2079<br>2085<br>2091<br>2097<br>2103<br>2109 | 0,1141<br>0,1140<br>0,1139<br>0,1138<br>0,1137<br>0,1136<br>0,1135<br>0,1134<br>0,1133<br>0,1132<br>0,1131<br>0,1130<br>0,1130<br>0,1129 | 66,46<br>66,25<br>66,05<br>65,84<br>65,70<br>65,50<br>65,30<br>65,10<br>64,90<br>64,67<br>64,48<br>64,29<br>64,09<br>63,96<br>63,96<br>67,77<br>63,58 | 4,1<br>4,0<br>3,8<br>3,7<br>3,6<br>3,5<br>3,4<br>3,2<br>3,1<br>3,0<br>2,8<br>2,7<br>2,7 | 7,475 7,481 7,487 7,492 7,498 7,503 7,509 7,515 7,520 7,526 7,532 7,537 7,543 7,549 7,560 | 61,7<br>60,4<br>59,0<br>57,7<br>56,3<br>55,0<br>53,5<br>52,2<br>50,8<br>49,5<br>48,1<br>46,7<br>45,2<br>43,8<br>42,3<br>41,5 |

14. Определяем температуру, °С, максимально нагретой точки обмотки

$$\Theta_{\text{Marc}} = \Theta_{\text{Rat}} + \Delta\Theta_{\text{Marc}}. \tag{\Pi14-159}$$

Нормы для среднего превышения температуры обмоток даны в табл. 2-2 (ГОСТ 11677-65). Превышение температуры максимально нагретой точки обмотки над температурой охлаждающей среды не должно быть более 78 °C (ГОСТ 14209-69).

15. Определяем смоченный периметр вертикальных каналов, м,

$$\Pi p_1 = 2 (\pi D_1 - m_1 n + a_1 n); 
\Pi p_2 = 2 (\pi D_2 - m_1 n + a_2 n);$$
(II14-160)

где  $m_1$  — ширина рейки, м; n — число реек.

16. Определяем эквивалентный диаметр вертикальных каналов, м,

$$d_1 = 4S_1/\Pi p_1$$
;  $d_2 = 4S_2/\Pi p_2$ ;  $d_B = (d_1 + d_2)/2$ . ( $\Pi 14-161$ )

17. Для установления режима движения масла в каналах обмоток определяем число Рейнольдса

$$Re = vd_B/v. \tag{\Pi 14-162}$$

#### Б. Обмотки с перегородками

18. Определяем удельную тепловую нагрузку q без учета поправок на радиальный размер  $b_2$ , высоту горизонтального канала и толщину изоляции провода.

19. Определяем суммарное сечение, м2, для прохода масла в горизонтальных каналах одного хода

$$S_{\rm r} = 1 \cdot 10^{-3} a k_1 (\pi D_{\rm cp} - mn),$$
 (III 4- 163)

где  $k_{\rm I}$  — число катушек в ходе; m — ширина прокладки; n — число прокладок;  $D_{ep}$  — средний диаметр обмотки, м;  $D_{ep} = (D_{вн} + D_{н})/2$ . 20. Определяем среднюю скорость масла, м/с, в горизонтальных

каналах

#### $v_r = Q_M/3600 S_r$

21. По рис. П14-21 и П14-19, $\epsilon$  определяем поправки  $\Delta\Theta_{\pi}$ ,  $\Delta\Theta_{\kappa}$ ,  $\Delta\Theta_{\rm H}$ , а по рис. П14-22 — поправку  $\Delta\Theta_{\rm Makc}$ .

22. По тем же формулам, что и для обмоток без перегородок,

определяем  $\Delta\Theta_0$ ,  $\Theta_{\text{м.вых}}$ ,  $\Theta_{\text{кат}}$ ,  $\Theta_{\text{макс}}$ .

23. Определяем суммарное сечение для прохода масла в вертикальных внутреннем и наружном каналах так же, как и для обмоток без перегородок (см. пп. 2, 3 и 4 настоящего расчета).

24. Определяем для вертикального канала, имеющего меньшее сечение, смоченный периметр и эквивалентный диаметр (см. пп. 15 и 16), а также скорость движения масла и в этом канале (см. п. 5) и число Рейнольдса (см. п. 17).

#### СПИСОК ЛИТЕРАТУРЫ

1. Фарбмаи С. А., Бун А. Ю. Ремонт и модернизация трансформаторов. Изд. 2-е, М., «Энергия», 1966. 624 с.

2. Герасимова Л. С., Дейнега И. А. Технология и оборудование

производства трансформаторов. М., «Энергия», 1972, 264 с.

3. Порудоминский В. В. Устройства переключения трансформаторов под нагрузкой. М., «Энергия», 1974, 288 с.

4. Сапожинков А. В. Конструирование трансформаторов. М.,

Госэиергоиздат, 1959. 360 с.

5. Костенко М. П., Пиотровский Л. Н. Электрические машины. Ч. 1. Л., «Энергия», 1972. 543 с. 6. Булгаков Н. И. Расчет трансформаторов. М., Госэнергоиздат,

1950, 302 c.

7. Тихомиров П. М. Расчет трансформаторов. М., «Энергия», 1968, 456 c.

8. Аншин В. Ш., Крайз А. Г. Сборка мощных трансформаторов. М., Госэнергоиздат, 1961. 464 с.

9. Герасимова Л. С., Майорец А. И. Обмотки и изоляция снловых масляных трансформаторов. М., «Энергия», 1969. 360 с.

10. Передовые методы ремонта трансформаторов. Под ред. М. И. Сагалова М., «Энергия», 1967. 372 с.

11. Кагановнч Е. А. Испытания трансформаторов малой и сред-

ней мощности. М., «Энергия», 1969. 296 с

12. Тарле Г. Е. Интенсификация охлаждения трансформаторов путем направленной циркуляции масла — «Электрические станции», 1973, № 6, c. 52-56.

# ОГЛАВЛЕНИЕ

| Предисловие к третьему изданию                                                                                                                                                | 3                          |
|-------------------------------------------------------------------------------------------------------------------------------------------------------------------------------|----------------------------|
| ЧАСТЬ ПЕРВАЯ                                                                                                                                                                  |                            |
| вводная                                                                                                                                                                       |                            |
| Глава первая. Основиые виды ремонтиых работ                                                                                                                                   | 5                          |
| 1-1. Восстановительный ремонт<br>1-2. Реконструкция<br>1-3. Модернизация                                                                                                      | 6<br>6<br>8                |
| Глава вторая. Основные требования, предъявляемые                                                                                                                              | . 2                        |
| к трансформаторам                                                                                                                                                             | 16                         |
| 2-1. Электрическая прочность 2-2. Термическая стойкость 2-3. Электродинамическая стойкость 2-4. Возможность параллельной работы 2-5. Повышенная электродинамическая стойкость | 16<br>26<br>30<br>37<br>38 |
| Глава третья. Конструктивные особенности трансформаторов специального назначения                                                                                              | 39                         |
| 3-1. Электропечные трансформаторы 3-2. Трансформаторы для питания преобразовательных устройств 3-3. Регулировочиые трансформаторы                                             | . 39<br>56                 |
|                                                                                                                                                                               | 66                         |
| Глава четвертая. Расчеты при ремонтных работах                                                                                                                                | 69                         |
| 4-1. Содержание, объем и схема расчета 4-2. Типовая расчетная записка Московского электрозавода 4-3. Особенности трансформаторов с алюминиевыми об-                           | 69<br>71                   |
| мотками                                                                                                                                                                       | 91                         |
| ЧАСТЬ ВТОРАЯ                                                                                                                                                                  |                            |
| ТЕХНОЛОГИЯ РЕМОНТА И МОДЕРНИЗАЦИЯ<br>ТРАНСФОРМАТОРОВ                                                                                                                          |                            |
| Глава пятая, Разборка и дефектировка трансформаторов                                                                                                                          | 93                         |
| <ul><li>541. Ознакомление с работой и документацией по трансформатору</li><li>5-2. Внешний осмотр, предварительные испытания и уста-</li></ul>                                | 93                         |
| иовление комплектности . 5-3. Подготовительные работы . 5-4. Демонтаж и осмотр приборов и высоковольтных вво-                                                                 | 94<br>96                   |
| дов                                                                                                                                                                           | <b>10</b> 0                |
|                                                                                                                                                                               | 613                        |

| 5-5. Демонтаж и осмотр предохранительной трубы, расши рителя, газового реле, крышки и охлаждающих                                                                                                                               | ζ.                               |
|---------------------------------------------------------------------------------------------------------------------------------------------------------------------------------------------------------------------------------|----------------------------------|
| устройств 5-6. Подъем активной части и ее внешний осмотр . 5-7 Осмотр основных элементов активной части 5-8. Измерения и определения при осмотре активной части 5-9. Расчетная проверка данных замеров, определений в испытаний | . 102<br>. 104<br>. 108<br>. 111 |
| испытаний 5-10. Демонтаж отводов и переключающих устройств . 5-11. Расшихтовка верхнего ярма . 5-12. Демонтаж прессующего устройства, съем изоляции в обмоток                                                                   | . 117<br>119<br>. 120            |
| Глава шестая Изготовление обмоток                                                                                                                                                                                               | . 123                            |
| 6-1. Обмотки трансформаторов средних и больших мощ-<br>ностей                                                                                                                                                                   | . 123                            |
| ностей . 6-2. Изготовление и установка приспособлений для намот ки обмоток 6-3. Подготовительные работы 6-4. Намотка непрерывной обмотки . 6-5. Намотка одноходовой винтовой обмотки                                            | . 124                            |
| 6-3. Подготовительные работы                                                                                                                                                                                                    | . 132                            |
| 6-4. Намотка непрерывной обмотки                                                                                                                                                                                                | . 133                            |
| 6-5. Намотка одноходовой винтовой обмотки                                                                                                                                                                                       | . 144                            |
| с совершенной транспозицией параллельных проводон                                                                                                                                                                               | 3                                |
| 6-7. Намотка переплетенной обмотки                                                                                                                                                                                              | . 155                            |
|                                                                                                                                                                                                                                 | . 157                            |
| 6-9 Обмотки для электропечных трансформаторов 6-10. Изготовление и установка экранирующих витков об                                                                                                                             | -                                |
| мотки .<br>6-11. Сборка, стяжка, прессовка, отделка и сушка обмотов                                                                                                                                                             | 169                              |
| Глава седьмая. Ремонт магнитопроводов бесшиилечной конструкции                                                                                                                                                                  | i<br>1 <b>7</b> 5                |
| 7-1. Установление дефектов и уточнение необходимости                                                                                                                                                                            | ī                                |
| замены изоляции пластин магнитопровода                                                                                                                                                                                          | 175                              |
| 7-2. Слециальные испытания                                                                                                                                                                                                      | 177                              |
| 7-3. Подготовительные работы 7-4. Разборка бесшпилечного магнитопровода                                                                                                                                                         | 180                              |
| 7-4. Разборка бесшпилечного магнитопровода                                                                                                                                                                                      | . 188                            |
| 7-5. Очистка пластин магнитопровода                                                                                                                                                                                             | 190                              |
| 7-6. Лакировка и запечка пластин магнитопровода .                                                                                                                                                                               | 191                              |
| 7-7. Контроль пластин магнитопровода после лакировки и                                                                                                                                                                          | Ī                                |
| запечки                                                                                                                                                                                                                         | . 192                            |
| 7-8, Расчет стеклянных оандажей                                                                                                                                                                                                 | . 192                            |
| 7-9. Сборка магнитопровода                                                                                                                                                                                                      | 194                              |
| 7-9. Сборка магнитопровода                                                                                                                                                                                                      | . 196                            |
| Глава восьмая. Изготовление деталей изоляции и емко                                                                                                                                                                             |                                  |
| стной защиты обмоток                                                                                                                                                                                                            | 197                              |
| 8-1. Предварительная обработка изоляционных материалог                                                                                                                                                                          | в 197                            |
| 8-2. Изготовление различных прокладок                                                                                                                                                                                           | 198                              |
| 8-3. Изготовление реек                                                                                                                                                                                                          | 200                              |
| 8-4. Изготовление шайб и колец                                                                                                                                                                                                  | 203                              |
| 8-5. Изготовление и сборка угловых шайб                                                                                                                                                                                         | 206                              |
| 8-6 Изготовление и сборка барьерной изоляции                                                                                                                                                                                    | 207                              |
| 8-7. Изготовление ярмовой и уравнительной изоляции                                                                                                                                                                              | 210                              |

| 8-8. Изготовление различных отдельных изоляционных                                                         |            |
|------------------------------------------------------------------------------------------------------------|------------|
| деталей (выравнивающих клиньев, коробочек и т. п.)<br>8-9. Изготовление емкостных колец обмоток            | 211<br>213 |
| Глава девятая. Конструкции и ремонт переключающих                                                          |            |
| устройств                                                                                                  | 215        |
| 9-1. Классификация переключающих устройств . 9-2. Схемы регулирования и расположение регулировоч-          | 215        |
| ных витков                                                                                                 | 216        |
| 9-3. Общие сведения о переключающих устройствах ПБВ 9-4. Однофазные переключающие устройства ПБВ. Устрой-  |            |
| ство П-6.                                                                                                  | 220<br>236 |
| 9-5. Трехфазные переключающие устройства ПБВ                                                               |            |
| 9-7. Принцип действия и конструкции устройств РПН се-                                                      | Y          |
| рий РНТ и РНО                                                                                              | 247        |
| с токоограничивающими резисторами                                                                          | . 267      |
| 9-9. Круговые диаграммы переключающих устройств РПН                                                        | 284<br>286 |
| 9-10. Ремонт переключающих устройств ПБВ 9-11. Ремонт переключающих устройств РПН с токоограни-            |            |
| чивающими реакторами                                                                                       | . 289      |
| 9-12. Особенности ремонта переключающих устройств РПН                                                      | 294        |
| с токоограничивающими резисторами                                                                          |            |
| монте                                                                                                      | . 301      |
| Глава десятая. Ремонт иаружных узлов трансформатора                                                        | 305        |
| 10-1. Ремонт элементов системы охлаждения                                                                  | 306        |
| 10-2. Ремонт бака, расширителя, предохранительной трубы термосифонного фильтра и воздухоосушителя          | 312        |
| Глава одиннадцатая. Сборка трансформатора после                                                            |            |
| ремонта                                                                                                    | 317        |
| 11-1. Требования к сборке активной части                                                                   | 317        |
| 11-2. Установка изоляции и обмоток. Подпрессовка обмоток                                                   | 318        |
| 11-3. Шихтовка верхнего ярма Монтаж устройств, прес-                                                       | 328        |
| сующих обмотки. Монтаж заземлений                                                                          | 331        |
| 11-5. Монтаж, изолировка, крепление и пайка отводов                                                        | 337        |
| 11-6. Контрольные испытания при сборке активной части                                                      | 347        |
| 11-7. Ревизия, чистка и промывка активной части                                                            | 351        |
| 11-8. Изготовление и установка уплотнений                                                                  | 353        |
| 11-9. Монтаж радиаторов и навесных охладителей ДЦ<br>11-10. Подъем активной части и опускание ее в бак или | 355        |
| установка колокола                                                                                         | 356        |
| 11-11. Установка крыши и ее комплектовка. Монтаж при                                                       |            |
| вода переключающего устройства                                                                             | 359        |
| 11-12. Монтаж высоковольтных вводов                                                                        | . 363      |
| 11-13. Установка расширителя, газового реле, предохрани-<br>тельной трубы и приборов                       | 369        |
| 11-14. Заливка трансформатора маслом и наружная окраска                                                    | 369        |
| 11-15. Монтаж и заливка маслом выносных охлаждающих                                                        |            |
| устройств                                                                                                  | . 376      |
|                                                                                                            | 615        |

| Глава двенадцатая. Сушка активной части трансформатора                                                                                                                                                                                                                                                                                                                                                                                           | 377                                                  |
|--------------------------------------------------------------------------------------------------------------------------------------------------------------------------------------------------------------------------------------------------------------------------------------------------------------------------------------------------------------------------------------------------------------------------------------------------|------------------------------------------------------|
| 12-1. Задача сушки 12-2. Способы сушки 12-3. Сушка индукционными потерями в собственном баке 12-4. Подготовительные работы 12-5. Сушка в собственном баке под вакуумом 12-6. Сушка в собственном баке без вакуума 12-7. Сушка токами нулевой последовательности 12-8. Дополнительный метод оценки увлажненности изоляции 12-9. Противопожарные мероприятия и техника безопасности при сушке активной части 12-10. Контрольный прогрев и подсушка | 377<br>378<br>378<br>382<br>384<br>387<br>388<br>391 |
| Глава тринадцатая. Испытания трансформаторов после ремонта и модернизации                                                                                                                                                                                                                                                                                                                                                                        | 399                                                  |
| 13-1 Задача испытаний                                                                                                                                                                                                                                                                                                                                                                                                                            | 399<br>399<br>399<br><b>4</b> 05                     |
| ЧАСТЬ ТРЕТЬЯ                                                                                                                                                                                                                                                                                                                                                                                                                                     |                                                      |
| СПРАВОЧНАЯ                                                                                                                                                                                                                                                                                                                                                                                                                                       |                                                      |
| Глава четырнадцатая. Основные материалы и изделия, применяемые при ремонте и модернизации трансформаторов  14-1. Сортамент основных материалов и изделий                                                                                                                                                                                                                                                                                         | 422<br>422<br>422                                    |
| ПРИЛОЖЕНИЯ                                                                                                                                                                                                                                                                                                                                                                                                                                       |                                                      |
| Приложение 1. Справочные данные по силовым и специальным трансформаторам                                                                                                                                                                                                                                                                                                                                                                         | 437<br>468<br>484                                    |
| дернизации Приложение 5. Отводы Приложение 6. Вводы Приложение 7. Баки Приложение 8. Приспособления для подъема н перемещения Приложение 9. Арматура трансформатора Приложение 10. Охлаждающие устройства Приложение 11. Основные виды повреждений трансформаторов (их признаки, возможные причины и способы выявления) Приложение 12. Виды испытаний для выявления неисправностей.                                                              | 488<br>493<br>495<br>512<br>515<br>518<br>531<br>560 |

AMOUNTOTEKA

Цена 2 руб.